MPK 92

MITTEILUNGEN DER PRÄHISTORISCHEN KOMMISSION

MONIKA GRIEBL, BENEDIKT BIEDERER

DIE SPEICHERGRUBEN DER SPÄTURNENFELDERZEITLICHEN WALLANLAGE VON STILLFRIED AN DER MARCH

VON DER GETREIDELAGERUNG BIS ZUR PROFANEN ODER KULTISCHEN VERFÜLLUNG



VERLAG DER
ÖSTERREICHISCHEN
AKADEMIE DER
WISSENSCHAFTEN

Monika Griebl, Benedikt Biederer

Die Speichergruben der späturnenfelderzeitlichen Wallanlage von Stillfried an der March

Österreichische Akademie der Wissenschaften
Österreichisches Archäologisches Institut
Prähistorie & Westasien / Nordostafrika-Archäologie

Mitteilungen der Prähistorischen Kommission

Mit 1.1.2013 wurde die Prähistorische Kommission in das Institut für Orientalische und Europäische Archäologie und mit 1.1.2021 in das Österreichische Archäologische Institut integriert.

Herausgegeben von Barbara Horejs

Band 92

Publikationskoordination: Ulrike Schuh

Monika Griebl, Benedikt Biederer

Die Speichergruben der späturnenfelderzeitlichen Wallanlage von Stillfried an der March

Von der Getreidelagerung bis zur profanen oder kultischen Verfüllung

Mit Beiträgen von Hubert Feiglstorfer, Andreas G. Heiss, Anna-Maria Kriechbaum, Maria Marschler, Roland Meingast, Michaela Popovtschak, Thomas Prohaska, Anika Retzmann, Konstantina Saliari und Karin Wiltschke-Schrotta

VERLAG DER
ÖSTERREICHISCHEN
AKADEMIE DER
WISSENSCHAFTEN

Angenommen durch die Publikationskommission der philosophisch-historischen Klasse der Österreichischen Akademie der Wissenschaften: Michael Alram, Andre Gingrich, Hermann Hunger, Sigrid Jalkotzy-Deger, Renate Pillinger, Franz Rainer, Oliver Jens Schmitt, Danuta Shanzer, Peter Wiesinger, Waldemar Zacharasiewicz

Veröffentlicht mit Unterstützung der DDr. Franz-Josef Mayer-Gunthof Wissenschafts- und Forschungsstiftung und des Austrian Science Fund (FWF): PUB 881-Z



Gefördert durch das Land Niederösterreich



Open Access: Wo nicht anders festgehalten, ist diese Publikation lizenziert unter der Creative-Commons-Lizenz Namensnennung 4.0; siehe http://creativecommons.org/licenses/by/4.0/

Diese Publikation wurde einem anonymen, internationalen Begutachtungsverfahren unterzogen.
This publication was subject to international and anonymous peer review.

Peer review is an essential part of the Austrian Academy of Sciences Press evaluation process. Before any book can be accepted for publication, it is assessed by international specialists and ultimately must be approved by the Austrian Academy of Sciences Publication Committee.

Bibliografische Information der Deutschen Nationalbibliothek
Die Deutsche Nationalbibliothek verzeichnet diese Publikation in der Deutschen Nationalbibliografie, detaillierte bibliografische Daten sind im Internet über http://dnb.d-nb.de abrufbar.

Umschlagbild: Stillfried, Grabungsfoto aus dem Jahr 1985: Blick vom westlichen Abschnittswall auf das „Hügelfeld“ in Richtung Osten (Slowakei). Einige der dunklen, kreisrunden Verfärbungen im Löß sind späturnenfelderzeitliche Vorratsgruben (Grabungsdokumentation Stillfried, Landessammlung Niederösterreich, Bereich Ur- und Frühgeschichte, Fotonr. ST29225).

Lektorat: Regina Klöckl

Die verwendete Papiersorte in dieser Publikation ist DIN EN ISO 9706 zertifiziert und erfüllt die Voraussetzung für eine dauerhafte Archivierung von schriftlichem Kulturgut.

Bestimmte Rechte vorbehalten.
ISBN 978-3-7001-8734-9
ISSN 0065-5376
Copyright © Österreichische Akademie der Wissenschaften, Wien 2022
Satz: Crossdesign, Graz
Druck: Prime Rate, Budapest

https://epub.oeaw.ac.at/8734-9
https://verlag.oeaw.ac.at
Made in Europe

Inhaltsverzeichnis

Vorwort der Reihenherausgeberin – 13

Vorwort – 15

1. Zum Fundort – 17
   - 1.1 Naturräumliche Voraussetzungen – 17
   - 1.2 Kulturräumliche Einordnung – 18
   - 1.3 Grabungsflächen – 22
   - 1.4 Chronologie – 29
     - 1.4.1 Relative und absolute Chronologie (Keramikentwicklung und Radiokarbondatierung) – 29
       - 1.4.1.1 Siedlungsphase I (Palisadenbefestigung) – 30
       - 1.4.1.2 Siedlungsphase II – 31
       - 1.4.1.3 Siedlungsphase III/1 – 34
       - 1.4.1.4 Siedlungsphase III/2 – 36
       - 1.4.1.5 Siedlungsphase IV – 38
       - 1.4.1.6 Siedlungsphase V – 39
       - 1.4.1.7 Zusammenfassende Aussagen zur relativen und absoluten Chronologie – 39
     - 1.4.2 ^{14}C-Daten – 42
       - 1.4.2.1 Überblick zu den ^{14}C-Daten von Stillfried – 42
       - 1.4.2.2 ^{14}C-Daten der aktuell untersuchten Gruben – 48
     - 1.4.3 Verteilung der Speichergruben nach Siedlungsphasen – 48

2. Grubenbefunde – 51
   - 2.1 Formen und Maße – 51
     - 2.1.1 Grubenformen – 51
       - 2.1.1.1 Hauptformen – 51
         - – Formkategorie 1: Kegelstumpfförmig – 51
         - – Formkategorie 2: Kegelstumpfförmig mit nach außen gewölbter Sohle – 51
         - – Formkategorie 3: Kegelstumpfförmig mit gerundetem Sohle-Wand-Übergang bei waagrechter Sohle – 51
         - – Formkategorie 4: Kegelstumpfförmig mit gerundetem Sohle-Wand-Übergang sowie nach außen gewölbter Sohle – 51

– Formkategorie 5: Stempelförmig – 56
– Formkategorie 6: Zylindrisch – 56
– Auswertung (Grubenformen) – 57
2.1.1.2 Sonderformen – 57
– Gestufte Sohle – 57
– (Zentrale) Eintiefung der Sohle – 59
– Steigbaum(?) – 59
– Zweite, höher gelegene Grubensohle(?) im selben Befund – 59
2.1.2 Grubengrößen – 60
2.1.2.1 Volumina – 60
2.1.2.2 Speicherkapazität einer durchschnittlichen Speichergrube von Stillfried – 64
2.1.2.3 Hochrechnung der Speicherkapazität der gesamten Anlage – 64
2.2 Verfüllung – 65
2.2.1 Hinweise auf primäre Nutzung – 65
2.2.1.1 Verkohltes Getreide – 65
2.2.1.2 Benutzungsstrate? – 65
2.2.1.3 Wandverputz? – 65
2.2.1.4 Versteckt – 66
– Bronzehortfund – 66
– Grubenbefunde mit zwei hintereinander angelegten Grubensohlenniveaus – 67
2.2.2 Verdeckelt – 67
2.2.3 Sekundäre Füllung – 67
2.2.3.1 Unterscheidung der Füllmaterialien – 69
2.2.3.2 Grubensohlenbereich (GS) – 69
– Gegenständliche Funde im Verband – Deponierungen – 71
2.2.3.3 „Deponierungshorizont“ (DH) – 72
– (Sonder)Funde – 72
2.2.3.4 Obere Grubeneinfüllung (OG) – 73
2.2.3.5 Gliederung der Gruben nach den Hauptanteilen ihrer Einfüllungen – 73
– Dominanz Brandschutt/Asche/Asche-Humus – 73
– Dominanz Humus/Löß – 77
– Dominanz Hell-Dunkel-Einfüllung und Schichtpakete aus feinen, unterschiedlichen Bändern – 77
2.2.3.6 Wandverstürze – 79
2.2.3.7 Menschliche Überreste in Gruben – 79
– Menschenniederlegungen in Siedlungsgruben (Siedlungsbestattungen) – 79
– Menschliche Einzelknochen in Siedlungsgruben – 85
– Deponierung von menschlichen Schädeln, großteils ohne Unterkiefer – 85
– Schädelbruchstücke, Unterkiefer(teile) und sonstige menschliche Einzelknochen – 86
– Hypothese zu den Siedlungsbestattungen – 88
2.2.3.8 Tierniederlegungen von Stillfried an der March – 89
– Hypothese zu den Tierniederlegungen – 90
2.2.3.9 Vielfältige Sonderfunde aus den Gruben mit Menschen- und Tierniederlegungen von Stillfried – 91
2.2.3.10 Parallelen zwischen Stillfried und der Hünenburg bei Watenstedt (Niedersachsen) – 92
2.2.4 Nachträgliche Eingriffe – 93
2.3 Räumliche Verteilung der Gruben im Gelände – 93
2.3.1 Allgemeine Beobachtungen – 93
2.3.2 Grubenkonzentrationen – 95
2.3.2.1 Zwillingsgruben/Grubenpaare – 95
2.3.2.2 Größere Grubengruppen – Bezug zu Gebäuden? – 98

3. Funde – 101
3.1 Keramikfunde – 101
3.1.1 Tonbeschaffenheit – 101
3.1.2 Keramische Sonderformen – 101
3.1.2.1 Miniaturgefäße und andere Sonderformen – 101
– Miniaturgefäße – 101
– (Miniatur)Mehrfachgefäß? – 103
– Schüsselförmiges Aufsatzgefäß – 103
– Siebgefäß – 104
– Wagenrad? – 104
– Backplatte – 104
– Gelochtes, plättchenförmiges Bruchstück mit zwei spitzen Enden – 104
3.1.2.2 Halbierte Gefäße und sonstige Zurichtungen(?) von Keramikgefäßen – 105
– Längshalbierte Gefäße – 105
– Sonstige „Werkzeuge“ aus Keramikgefäßen – 106
– Gefäße mit Bodenloch – 106
– Sogenannte „Spielsteine“ – 107
– Halbierte „Spielsteine“ (D-förmige Plättchen) – 109
3.1.2.3 Sonstige halbierte Keramikgegenstände – 109
– Tonringhälften und halbe scheibenförmige Webgewichte – 109
– Halbierte Tonrasseln – 110
3.1.2.4 Sonstige Zurichtungen – 110
– Abgetrenntes Feuerbock-Endstück – 110
– Stempel(?) aus feinkeramischem Deckel(?) – 111
3.1.3 Sonstige keramische Gegenstände/Bruchstücke – 111
3.1.3.1 Feuerböcke – Mondidole – 111
3.1.3.2 Zungenförmige Tonlappen – 112
3.1.3.3 Tonstange – 115
3.1.4 Lehm und Ton – 116
3.1.4.1 Lochtenne – 116
3.1.4.2 Kugelförmige Tonballen von hohem spezifischem Gewicht – 117
Exkurs: Wuzelbautechnik für massive Lehmwände (Roland Meingast und Hubert Feiglstorfer) – 118
3.1.5 Lehmobjekte – 119
3.1.5.1 Hüttenlehm – 119
– Hüttenlehm als Lehmbewurf auf Flechtwerkwänden und Bauholz – 119
– Hüttenlehm als Lehmbewurf auf Rundholzfugen (Fugenverstrich von waagrechten(?) Rundhölzern) – 122
– Die drei Bautechniken im Vergleich: (Pfosten)Bauten mit Flechtwerkwänden, (Pfosten)Bauten mit Wand(teilen) aus waagrechten Rundhölzern und Wuzelbautechnik für massive Lehmwände (Hubert Feiglstorfer) – 123
3.1.5.2 Hüttenlehmartige Objekte in Schuhleistenform – Umrandungen/Einfassungen/Verzierungen? – 123
3.1.5.3 Herdplatten – 127
3.2 Metallhandwerk – 129
3.2.1 Nachweise von Metallhandwerk – 129
3.2.2 Bronzefunde – 131
3.3 Textilhandwerk – 133
3.3.1 Pyramidenstumpfförmige und scheibenförmige Webgewichte und Tonringe – 133
3.3.2 Spinnwirtel – 135
3.4 Geweih- und Knochenverarbeitung – 135
3.4.1 Vierspitzige Geweihgegenstände – Angelutensilien? – 137

3.4.2 Menschenförmiger Geweihanhänger – 139
3.4.3 Knochenwirtel? – 140
3.5 Steine – 141
3.5.1 Reibplatten und ihre Teilstücke – 141
3.5.2 Plattige Sandsteine (Herd-/Ofensteine?) – 142
3.5.3 Arbeitssteine aus Sandstein und aus Sandstein- bzw. Quarzitgeröllen – 143
3.5.4 (Hänge)Schleifsteine – 144
3.5.5 Silices, (neolithische) Steinbeile – 144
3.5.6 Sammelstücke(?) aus Sandstein und anderem Material – 146
3.6 Tierknochenbestimmung (Konstantina Saliari) – 146
3.7 Organische Funde – 149
3.7.1 Holz und Holzkohlen, Bastschnur – 149
3.7.2 Schlackenartiges Material – 149
3.7.3 Bernsteinperle – 150
3.7.4 Birkenpech – 150
3.7.5 Vogeleischalen – 152
3.7.6 Die nachgewiesenen Kultur- und Wildpflanzen – 152
3.7.7 Nachtrag zur archäobotanischen Fundsituation in der urnenfelderzeitlichen Grube V5001: zwei Kleinproben verkohlter Pflanzenreste (Michaela Popovtschak) – 155
3.8 Drei verkohlte, ringförmige Teigobjekte als Fallstudie zur Analyse archäologischer Funde von Speiseresten (Andreas G. Heiss) – 159
3.8.1 Verarbeitete Lebensmittel in der Archäologie – 160
3.8.1.1 Kulinarik: Transformation von Lebensmitteln – 160
3.8.1.2 Lebensmittel sind Artefakte – 161
3.8.1.3 Forschungspotenziale für die Archäobotanik – 161
3.8.1.4 Erhaltungsmöglichkeiten – 162
3.8.1.5 Überlegungen zur Klassifizierung archäologischer Lebensmittel – 163
3.8.2 Die Stillfrieder Ringe – 166
3.8.2.1 Forschungsstand zu Nahrungspflanzen und verarbeiteten Lebensmitteln aus der Siedlung – 166
3.8.2.2 Zielsetzung der aktuellen Analysen – 166
3.8.2.3 Der Fundkontext – 166
3.8.3 Material und Methoden – 168
3.8.3.1 Vorarbeiten und konservatorische Überlegungen – 168
3.8.3.2 Bilddokumentation, Messungen und Komponentenbestimmungen – 169
3.8.4 Ergebnisse und grundlegende Interpretation – 171
3.8.4.1 Formbeschreibung – 171
3.8.4.2 Nachgewiesene Zutaten (FNr. St. 12050.4) – 172
3.8.4.3 Spurensuche nach den Herstellungsprozessen – 174
3.8.5 Schlussfolgerungen – 176
3.8.5.1 Vergleichbare Funde – 176
3.8.5.2 Mögliche Bedeutung der Ringe – 178

4. Menschliche Überreste: Weitere Rätsel aus Gruben mit menschlichen Skelettresten aus Stillfried an der March – eine anthropologische Spurensuche (Maria Marschler, Karin Wiltschke-Schrotta) **– 181**
4.1 Material und Methoden – 181
4.1.1 Material – 181
– Grabungsfläche „Wagneracker“ – 181
– Grabungsflächen „Hügelfeld“ und „Küssleracker“ – 184
4.1.2 Methoden – 184
4.2 Ergebnisse – 184

4.2.1 Grabungsfläche „Wagneracker“ – 184
4.2.1.1 Grube V5000 (UK) – 184
4.2.1.2 Grube V5001 (UK) – 195
4.2.1.3 Grube V5005 (UK) – 196
4.2.1.4 Grubenhaus V5092 (Ha) – 197
4.2.1.5 Graben V5094 (MA) – 206
4.2.1.6 Graben V5095 (MA) – 207
4.2.2 Grabungsflächen „Hügelfeld“ und „Küssleracker“ – 210
4.2.2.1 Grube V885 (UK) – „Hügelfeld“ – 210
4.2.2.2 Fund ohne Verfärbungszusammenhang – „Küssleracker“ – 211
4.3 Diskussion – 212
4.3.1 Erhaltung, Mindestindividuenzahl, Sterbealters- und Geschlechtsverteilung – 212
4.3.2 Paläopathologie – 213
4.3.3 Taphonomische Veränderungen und Manipulationsspuren – 213
4.3.4 Schlussfolgerung – 218

5. $^{87}Sr/^{86}Sr$ Analysen zur Untersuchung der Herkunft der deponierten menschlichen Individuen
(Anna-Maria Kriechbaum, Anika Retzmann, Thomas Prohaska) **– 221**
5.1 Projektziel – 221
5.2 Material und Methoden – 221
5.2.1 Probenliste – 221
5.2.2 Probenaufbereitung – 223
5.2.2.1 Zahn- und Muschelproben – 223
5.2.2.2 Umweltproben – 223
5.2.3 Probenanalyse – 223
5.2.4 Datenauswertung – 223
5.3 Ergebnisse – 224
5.4 Ergebnisüberblick – 226

6. Bevorratung in Gruben – eine Einführung – 229
6.1 Erdkeller – 229
6.2 Erdmieten – 230
6.3 Gärgruben – 231
6.4 Speichergruben – 232

7. Diskussion – 235
7.1 Kommentar zum Brandschutt – „bestattete Häuser“? – 235
7.2 Diskussion über Verfüllungsmuster und Funde in den Speichergruben – 237
7.2.1 Einführung – 237
Exkurs: Ritual – 237
7.2.2 Übereinstimmende Merkmale – 237
7.2.2.1 Verfüllmuster – 237
– Kultische Deutung von Gruben mit Asche-/Brandschutthäufchen im Sohlenzentrum – 239
– Mögliche kultische Deutung von Gruben mit Häufchen von Asche oder Brandschutt auf der Sohle – 239
7.2.2.2 Funde – 240
Exkurs: Symbol – 240
7.3 Stillfrieds Position in Mitteleuropa – 241
7.3.1 Zeitgleiche befestigte Zentren mit ähnlicher Befundlage – 241
7.3.2 Besiedlung im Umfeld von Stillfried und Brno-Obřany – 244

7.4 Stillfrieds Position im Siedlungsgefüge – Diskussion zur Speicherpraxis – 246
7.4.1 Häusliche/domestikale Vorratshaltung – 246
7.4.2 Kommunale und zentrale Vorratshaltung – 247
7.4.3 Gemeinschaftliche Vorratshaltung auf individueller Basis – 247
7.4.4 Alternative Interpretation: Stillfried als Handelszentrum – 248
7.4.5 Resümee – 249

8. Zusammenfassung / Summary – 251

9. Literatur – 257

10. Katalog – 287
10.1 Grubenbeschreibungen – 287
10.1.1 Grabungsflächen „Hügelfeld", westlicher Abschnittswall und „Kirchhügel" – 291
– Objekt V1 – Kegelstumpfförmige Grube – 291
– Objekt V15 – Kegelstumpfförmige Grube mit Deposition eines Hirsches und eines Feldhasen – 294
– Objekt V18 – Kegelstumpfförmige Grube – 297
– Objekt V26 – Kegelstumpfförmige Grube – 299
– Objekt V31 – Kegelstumpfförmige Grube mit Wildschweinfrischling und „kleinem Tier im Verband" – 301
– Objekt V33 – Kegelstumpfförmige Grube – 304
– Objekt V43 – Kegelstumpfförmige Grube – 306
– Objekt V52 – Kegelstumpfförmige Grube – 310
– Objekt V67 – Kegelstumpfförmige Grube mit Hausschwein und vollständigen Gefäßen – 315
– Objekt V106 – Kegelstumpfförmige Grube – 317
– Objekt V119 – Kegelstumpfförmige Grube – 321
– Objekt V156 – Siedlungsgrube – 324
– Objekt V164 – Kegelstumpfförmige Grube – 327
– Objekt V171 – Kegelstumpfförmige Grube – 329
– Objekt V183 – Kegelstumpfförmige Grube mit Anhäufung von Keramikgefäßen und Gusskernen auf der Sohle – 332
– Objekt V193 – Kegelstumpfförmige Grube – 335
– Objekt V195 – Kegelstumpfförmige Grube mit Wildschweinfrischling, alter Hirschkuh und Feldhase – 338
– Objekt V198 – Siedlungsgrube mit gestufter Sohle – 341
– Objekt V204 – Kegelstumpfförmige Grube mit Keramikdeposition(?) – 344
– Objekt V234 – Kegelstumpfförmige Grube – 347
– Objekt V245 – Kegelstumpfförmige Grube mit geweihtragendem Hirschschädel und Teilskelett von weiterem Hirsch – 349
– Objekt V341 – Kegelstumpfförmige Grube – 352
– Objekt V383 – Kegelstumpfförmige Grube – 355
– Objekt V394 – Kegelstumpfförmige Grube – 358
– Objekt V407 – Kegelstumpfförmige Grube mit (deponierten?) Vorratsgefäßen – 360
– Objekt V409 – Kegelstumpfförmige Grube mit (deponierten?) Vorratsgefäßen – 363
– Objekt V412 – Kegelstumpfförmige Grube – 365
– Objekt V445 – Kegelstumpfförmige Grube mit menschlichem Schädel und Ferkel – 368
– Objekt V479 – Kegelstumpfförmige Grube mit Ferkel und zwei Feldhasen – 372
– Objekt V510 – Kegelstumpfförmige Grube – 376
– Objekt V514 – Kegelstumpfförmige Grube – 379
– Objekt V519 – Kegelstumpfförmige Grube mit den Resten eines (Kuppel-)Ofens – 381

– Objekt V523 – Kegelstumpfförmige Grube mit Keramiklage auf der Sohle – 386
– Objekt V526 – Kegelstumpfförmige Grube mit zerbrochener Keramik und Brandschutt auf der Sohle – 389
– Objekt V603 – Kegelstumpfförmige Grube – 393
– Objekt V621 – Kegelstumpfförmige Grube mit zerbrochener Keramik auf der Sohle – 394
– Objekt V628 – Sehr große, kegelstumpfförmige Grube mit Wölfin und Hirsch sowie einem in der Grube verstorbenen Wolf (in zwei Etappen errichtet?) – 397
– Objekt V634 – Kegelstumpfförmige Grube – 401
– Objekt V643 – Kegelstumpfförmige Grube mit einem Feldhasen, Saatgut und Geweihspross – 403
– Objekt V656 – Kegelstumpfförmige Grube mit möglicher höher gelegener, zweiter Grubensohle – 406
– Objekt V662 – Kegelstumpfförmige Grube mit Keramiklage und Kleintierskelett auf der Grubensohle – 409
– Objekt V667 – Kegelstumpfförmige Grube – 413
– Objekt V704 – Sehr große kegelstumpfförmige Grube – 415
– Objekt V715 – Kegelstumpfförmige Grube – 420
– Objekt V729 – Kegelstumpfförmige Grube – 422
– Objekt V777 – Kegelstumpfförmige Grube – 425
– Objekt V780 – Kegelstumpfförmige Grube – 428
– Objekt V792 – Beutelförmige Grube – 431
– Objekt V793 – Kegelstumpfförmige Grube – 433
– Objekt V812 – Große, kegelstumpfförmige Grube – 435
– Objekt V813 – Kegelstumpfförmige Grube – 441
– Objekt V819 – Kegelstumpfförmige Grube – 444
– Objekt V831 – Kegelstumpfförmige Grube – 448
– Objekt V834 – Grube mit Keramiklage – 450
– Objekt V841 – Sehr große, kegelstumpfförmige Grube mit den Niederlegungen von insgesamt 23 Leichen(teilen) – 453
– Objekt V868 – Kegelstumpfförmige Grube – 461
– Objekt V871 – Kegelstumpfförmige Grube – 463
– Objekt V885 – Kegelstumpfförmige Grube – 467
– Objekt V889 – Kegelstumpfförmige Grube – 470
– Objekt V891 – Kegelstumpfförmige Grube mit Keramiklage – 473
– Objekt V894 – Kegelstumpfförmige Grube – 478
– Objekt V897 – Kegelstumpfförmige Grube – 483
– Objekt V949 – Kegelstumpfförmige Grube mit Deposition eines jungen, unvollständigen Hirsches – 488
– Objekt V981 – Kegelstumpfförmige Grube – 491
– Objekt V992 – Kegelstumpfförmige Grube – 497
– Objekt V994 – Kegelstumpfförmige Grube mit Deposition einer verendeten jungen Hirschkuh – 503
– Objekt V1008 – Kegelstumpfförmige Grube mit Haushund – 506
– Objekt V1015 – Kegelstumpfförmige Grube – 508
– Objekt V1138/V1212 – Kegelstumpfförmige (Aschen)Grube mit verstürztem Kuppelofen V1212 und Nachweis von in Töpfen überhitztem Birkenpech – 511
– Objekt V1139 – Kegelstumpfförmige Grube (Aschengrube?) im Nahbereich der schlüssellochförmigen Öfen – 516
– Objekt V1140 – Kegelstumpfförmige Grube mit Deposition einer trächtigen Hirschkuh – 520
– Objekt V1141 – Kegelstumpfförmige Grube mit der Niederlegung von sieben vollständigen Leichen – 523
– Objekt V1325 – Kegelstumpfförmige Grube mit gestufter Sohle – 530
– Objekt V2027 – Kegelstumpfförmige Grube – 534
– Objekt V2044 – Kegelstumpfförmige Grube mit Hausschwein – 536

– Objekt V2648 – Große kegelstumpfförmige Grube mit Fuchs, Feldhase und Wildschweinfrischling – 539
– Objekt V2713 – Große, kegelstumpfförmige Grube – 542
– Objekt V2779 – Kegelstumpfförmige Grube – 547
– Objekt V2784 und V3784 – Zwei kegelstumpfförmige Gruben mit Tierskelettverbänden („Zwillingsgruben"), Gefäß(scherben)- und Arbeitssteinverband sowie Bronzehort in V2784 – 551

10.1.2 Grabungsfläche „Wagneracker" – 558
– Objekt V5000 – (Kegelstumpfförmige) Grube mit Deponierung von drei menschlichen Schädeln – 558
– Objekt V5001 – Kegelstumpfförmige Grube mit Hausbrandschutt, Getreide und menschlichem Fötus/Neugeborenem – 568
– Objekt V5003 – Kegelstumpfförmige Grube mit Brandschutt und verkohltem Getreide – 584
– Objekt V5004 – Sehr große kegelstumpfförmige Grube – 594
– Objekt V5005 – Tiefe Grube mit stark gerundetem Sohlen-/Wandübergang – 601
– Objekt V5006 – Tiefe Grube mit gestufter Sohle – 611
– Objekt V5009 – Kegelstumpfförmige Grube – 618

10.1.3 Grabungsfläche „Bügeleisen" – 622
– Objekt V5200 – Kegelstumpfförmige Grube – 622
– Objekt V5201 – Kegelstumpfförmige Grube – 626
– Objekt V5202 – Kegelstumpfförmige Grube – 631
– Objekt V5203 – Kegelstumpfförmige Grube – 637
– Objekt V5204 – Kegelstumpfförmige Grube – 642
– Objekt V5205 – Kegelstumpfförmige Grube – 648

10.1.4 Grabungsfläche „Küssleracker" – 652
– Objekt V5400 – Kegelstumpfförmige Grube mit verkohlten Getreideerzeugnissen – 652

10.2 Gesamttabelle mit den Grundlagendaten zu den einzelnen Gruben – 662

10.3 Materialvorlage – 666
– Detaillierte Fundbeschreibungen (Erstvorlage) – 666

Tafeln – 703

Liste der Autorinnen und Autoren – 789

Vorwort der Reihenherausgeberin

Der vorliegende 92. Band der MPK-Reihe von Monika Griebl und Benedikt Biederer setzt die abschließenden Publikationen zu Stillfried an der March in Niederösterreich fort, die einen langfristigen Forschungsschwerpunkt an der Österreichischen Akademie der Wissenschaften bilden. Die Prähistorische Kommission hatte die Verantwortung zur detaillierten Aufarbeitung der Felgenhauer'schen Ausgrabungen dieses Fundplatzes aus den Jahren 1969 bis 1989 übernommen, die in einem ersten Forschungsprojekt von Irmtraud Hellerschmid zwischen 2011 und 2015 durchgeführt wurde. Weitere Projekte und akademische Abschlussarbeiten zur Auswertung wurden in den Folgejahren am OREA-Institut als Nachfolgeinstitution der Prähistorischen Kommission an der ÖAW initiiert, deren engagierte Umsetzung vor allem Monika Griebl – der Erstautorin des vorliegenden Bandes – zu verdanken ist. Eingebettet in die Gruppe „Urnfield Culture Networks" des OREA-Instituts (heute ÖAI) unter der Leitung von Michaela Lochner (bis 2017) gefolgt von Mario Gavranović stellen die Forschungen zu Stillfried eine wichtige Referenz für spätbronzezeitliche Zentralorte Europas in der österreichischen und internationalen Forschungsgemeinschaft dar. Die komplexe Stratigraphie der Höhensiedlung und ihrer Befestigungen, die sogenannten Sonderbefunde der Menschen- und Tierniederlegungen und ihre interdisziplinären Analysen, die Interpretation der Speicheranlagen und die dazugehörigen Fundmaterialien erforderten eine systematische Analyse und Neuplanung der Abschlusspublikationen, die ab 2013 gemeinsam mit den Autor*innen und Projektleitungen entwickelt wurden. Ein erstes Ergebnis dieses Forschungsschwerpunktes ist der bereits von B. Biederer vorgelegte Band zu „Herausforderung Vorratshaltung. Essentielle Strategien im urgeschichtlichen Europa vom Neolithikum bis in die Eisenzeit" in der UPA-Reihe, der aus einer von der Reihenherausgeberin betreuten Dissertation entstanden ist. Diese weiträumigen und diachronen Studien bilden einen substantiellen Kontext zur Interpretation der hier nun vorgelegten Gruben aus Stillfried.

Die große Anzahl systematisch angelegter Speichergruben in diesem sozialen, kulturellen und politischen Zentrum der Urnenfelderzeit ermöglicht einen tiefergehenden Einblick in ökonomische und rituelle Praktiken von mitteleuropäischen Gemeinschaften vor rund 3000 Jahren und steht im Zentrum des Bandes „Die Speichergruben der späturnenfelderzeitlichen Wallanlage von Stillfried an der March. Von der Getreidelagerung bis zur profanen oder kultischen Verfüllung". Den Autor*innen ist eine beeindruckende und umfassende Studie gelungen, die eine systematische räumliche und chronologische Analyse der Speicheranlagen und ihrer enthaltenen Deponierungen als Basis zur Deutung versteht. Die Einbeziehung von Expert*innen für Archäobotanik und -zoologie, Anthropologie, Isotopenanalysen und Lehmbau führt zu außerordentlichen Erkenntnissen, wofür allen beitragenden Autor*innen besonders zu danken ist. Die interdisziplinäre Auswertung der Speichergruben bietet nun knapp 40 Jahre nach ihrer Freilegung ein Interpretationsmodell zum Verständnis dieser herausragenden Befunde in Stillfried und der damit verbundenen urnenfelderzeitlichen Gesellschaften.

Unser Dank für finanzielle Förderung gilt dem Fonds zur Förderung der wissenschaftlichen Forschung (FWF), der DDr. Franz-Josef Mayer-Gunthof Wissenschafts- und Forschungsstiftung (ÖAW) sowie dem Amt der NÖ Landesregierung, Abteilung Wissenschaft und Forschung. Die Betreuung der Publikationsprozesse lag in den fähigen Händen von Ulrike Schuh, der herzlich zu danken ist, ebenso wie dem Verlag der Österreichischen Akademie der Wissenschaften für die gewohnt gute Zusammenarbeit.

Barbara Horejs
Wissenschaftliche Direktorin des
Österreichischen Archäologischen Instituts
Wien, 17. November 2022

Vorwort

Diese Arbeit ist das Ergebnis eines FWF[1]-Projektes mit dem Titel: „Ressourcensicherung. Macht und Kult in Stillfried?“.[2] Es handelt sich um eine vergleichende Studie zu den kegelstumpfförmigen Gruben des Fundortes Stillfried an der March während der späten Urnenfelderzeit.

Wichtige Grundlagen lieferte die Arbeit von Irmtraud Hellerschmid, in der der größte Teil der urnenfelderzeitlichen Befunde der Grabungsfläche „Hügelfeld“ vorgelegt wurde.[3] Angaben zu Schichtbeschreibungen, -abfolgen und -nummern haben wir auch den Ergebnissen des FWF-Projektes: „Menschen- und Tierdepositionen. Kult in Stillfried?“ entnommen.[4] Beide Projekte waren vom FWF finanziert und am Institut OREA[5] der Österreichischen Akademie der Wissenschaften angesiedelt. Da die Menschen- und Tierniederlegungen großteils in kegelstumpfförmigen Gruben vorgefunden wurden, hat sich die thematische Fragestellung des hier vorliegenden Werkes, alle kegelstumpfförmigen Gruben von Stillfried zu betrachten, daraus gewissermaßen logisch ergeben.

Für die Betreuung und fachliche Unterstützung ist an erster Stelle Barbara Horejs, Michaela Lochner und Mario Gavranović zu danken. Auch für die Möglichkeit, dass die ÖAW die Fertigstellung des Manuskripts finanziert hat, wollen wir unseren Dank aussprechen.

Wir standen mit einer ganzen Reihe von Spezialisten aus den Geistes- und Naturwissenschaften in fachlichem Austausch, ohne welche dieses Werk nicht hätte zustande kommen können. Ihnen allen wollen wir auf diesem Weg unseren Dank aussprechen. Von einigen finden sich auch Beiträge in diesem Band. Zu nennen sind Walpurga Antl-Weiser, Ulf Baum, Michael Brandl, Clemens Eibner, Hubert Feiglstorfer, Karina Grömer, Andreas G. Heiss, Anna-Maria Kriechbaum, Wolfgang Lobisser, Michaela Lochner, Maria Marschler, Maria M. Martinez, Mathias Mehofer, Roland Meingast, Michaela Popovtschak, Thomas Prohaska, Erich Pucher, Anika Retzmann, Konstantina Saliari und Karin Wiltschke-Schrotta.

Maßgeblich unterstützt wurden wir auch von Stefanie Fragner, Tanja Jachs, Michael Klein, Irene M. Petschko, Sandra Müller und Stephan Tikatsch. Herzlichen Dank für die aufgebrachte Zeit und Geduld.

Für die wertvollen Diskussionen und Hilfestellungen verschiedenster Art danken wir Petra Aigner, Franz Ambichl, Gerhard Antl, Anna Bauer, Hans-Martin Berg, Dominik Bochatz, Herwig Friesinger, Michaela Fritzl, Marc Händel, Hazel Harrison, Irmtraud Hellerschmid, Immo Heske, Marianne Kohler-Schneider, Michael Konrad, Carola Metzner-Nebelsick, Vera Müller, María Antonia Negrete Martínez, Martin Penz, Katharina Rebay-Salisbury, Violetta Reiter, Hans Reschreiter, Maria Röcklinger, Gabriela Ruß-Popa, Oliver Schmitsberger, Ulrike Schuh, Christoph Schwall, Roswitha Thomas, Peter Trebsche, Gerhard Trnka und vielen Anderen, die hier nicht namentlich aufscheinen.

Der zuständige Landesarchäologe Ernst Lauermann und sein Nachfolger Franz Pieler haben uns in jeder Hinsicht dabei unterstützt, die Fund- und Befundaufnahme bestmöglich bewerkstelligen zu können. Vor Ort im Depot in Hainburg an der Donau sind an dieser Stelle Norbert Braunecker, Rudolf Klippl, Josef Steiner und Norbert Weigl zu nennen. Hier ist auch Walpurga Antl-Weiser hervorzuheben, die uns mit Rat und Tat bei der Fundaufnahme im Museum Stillfried zur Seite stand. Ihnen allen gilt unser Dank.

Die Fundfotos wurden mit Genehmigung des Eigentümers neben den Autoren von Felix Ostmann (ÖAW), Ludwig Streinz und Estella Weiss-Krejci (ÖAW) gemacht. Vielen Dank auch dafür.

1. Fonds zur Förderung der wissenschaftlichen Forschung.
2. Projektnr. P-28005-G25, Laufzeit 2015–2019, Leitung: Michaela Lochner.
3. Hellerschmid 2006.
4. Projektnr. P-22755-G19, Laufzeit 2011–2015, Leitung Irmtraud Hellerschmid. – Hellerschmid, Griebl in Druck. – Hellerschmid, Griebl in Vorbereitung.
5. Institut für Orientalische und Europäische Archäologie (heute bildet dieses Institut die Abteilung Prähistorie & Westasien-/Nordostafrika-Archäologie des Österreichischen Archäologischen Instituts der Österreichischen Akademie der Wissenschaften).

1. Zum Fundort

Die Wallanlage von Stillfried an der March liegt im sanft welligen Hügelland im Osten Niederösterreichs (Abb. 1, 2). Die Lage der markanten Bodenschwelle mit Steilabfall im Osten zum Fluss March hin (Abb. 3–5) ermöglichte eine Kontrolle der verkehrstechnischen und handelspolitischen Infrastruktur. Nach Süden ist über die March die nur 30 km entfernte Donau zu erreichen. Die Anhöhe bietet eine weite Sicht in die slowakische Marchniederung bis zu den Kleinen Karpaten (Abb. 6). Nach Nordosten reicht der Blick bis in das Gebiet des Zusammenflusses von March und Thaya. Auch nach Südwesten öffnet sich eine weite Aussicht über die Tallesbrunner Platte.[6] Abschnittsweise konnten an den Rändern der 18 ha großen Anlage Befestigungen aus Wällen und Gräben festgestellt werden. Am höchstgelegenen Bereich im Westen der Anlage war der Wall am stärksten ausgebaut, da das Gelände dort flach ins Hinterland ausläuft (Abb. 7, 228, 229). Er ist heute noch bis zu 4 m hoch erhalten, wobei dies nicht der urnenfelderzeitlichen Situation entspricht, da der Wallbereich in jüngeren Besiedlungsphasen erneut aufgeschüttet wurde. Das Plateau ist durch tiefe Hohlwege geprägt, die im Mittelalter und in der Neuzeit eingeschnitten wurden (Abb. 8).

1.1 Naturräumliche Voraussetzungen

Das östliche Weinviertel wird heute dem westlichsten Abschnitt der eurasischen Steppenregion mit pannonischem Klima zugerechnet.[7] Es ist geprägt durch hohe Sommertemperaturen, Niederschlagsarmut und mäßig kalte Winter.[8]

Für die Rekonstruktion des Mikroklimas im Stillfrieder Raum hält Marianne Kohler-Schneider fest, dass der zonale Pflanzenbestand zu einem größeren Teil aus trockenen Eichenwäldern und/oder wärmeliebenden Eichen-Hainbuchen-Mischwäldern und zu einem kleineren Teil aus Waldsteppen bestanden haben dürfte.[9] Im Einflussbereich der March bestimmten Au- und Bruchwälder sowie Niedermoore das Bild.

Woher die prähistorischen Bewohner des Stillfrieder Hochplateaus ihr **Wasser** bezogen, ist unklar. Auf der Höhensiedlung selbst sind keine Quellen bekannt. Lediglich am Fuße der Anhöhe wissen wir von zwei Quellen. Eine davon befand sich in der sogenannten „Froschau", einem schmalen Einschnitt (Wasserriss) im nordöstlichen Randbereich der Anlage (Abb. 3). Diese Quelle, das sogenannte „Pfarrer-Brünnl", wurde zwischen 1813 und 1830 durch einen Bergrutsch verschüttet.[10] Eine weitere Quelle ist im Umfeld des Gräberfeldes „In der Gans" am Fuß des Südhanges zu nennen.[11] Auch vom Fluss March, der noch bis vor einigen Jahrzehnten nur knapp 40 m vom Steilabfall der Anlage entfernt verlief (Abb. 6),[12] konnte Wasser z. B. zum Tränken der Tiere bezogen werden.

6. Zur topografischen Situation: Eibner 1974a. – Kohler-Schneider 2001, 15–16. – Hellerschmid 2006, 17.

7. Überblick zur Thematik in Kohler-Schneider 2001, 24–25.
8. Kohler-Schneider 2001, 19–21.
9. Kohler-Schneider 2001, 25.
10. Boehmker 1924, 41. – Eibner 1974a, 41.
11. Eibner 1994a, 212.
12. Eibner 1974a, 32.

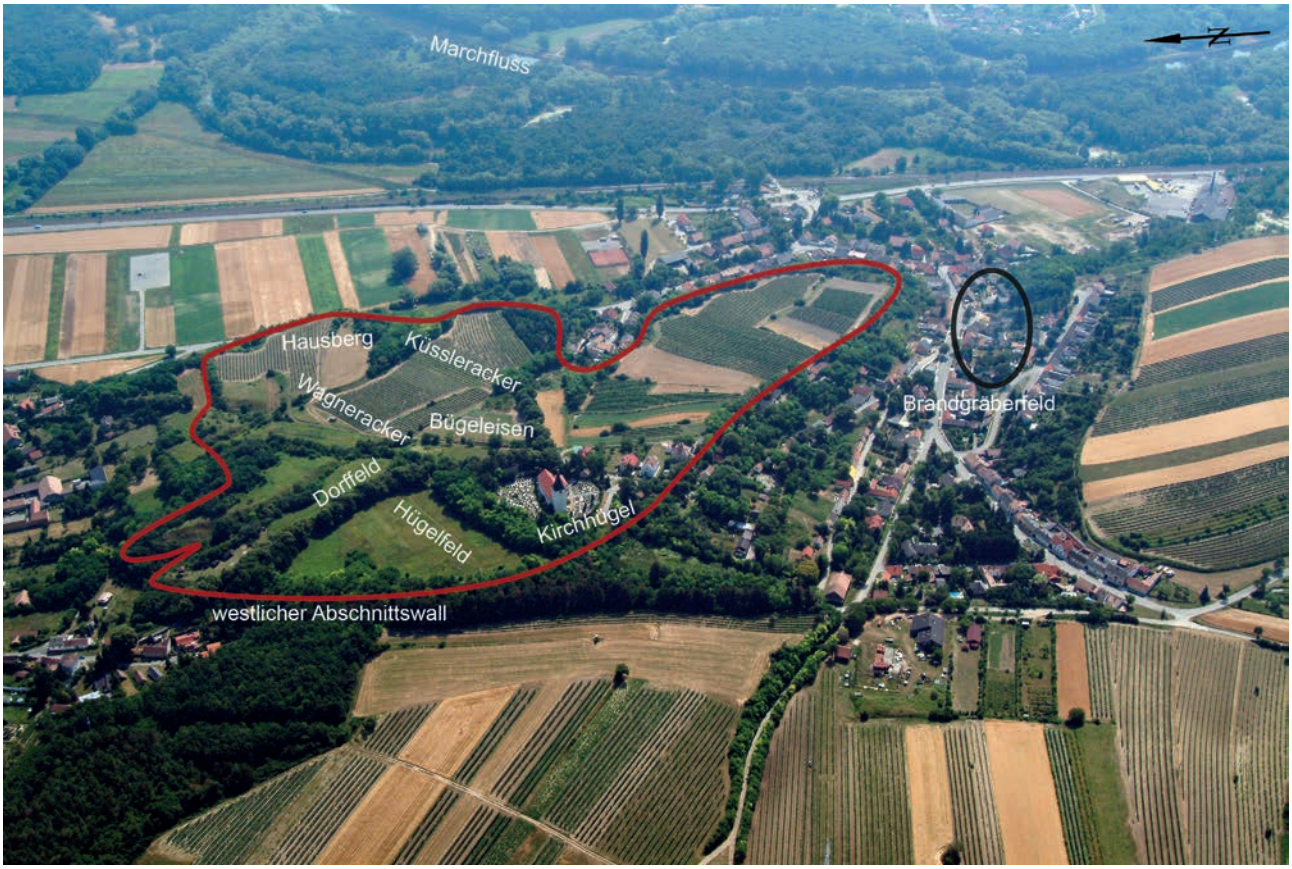


Abb. 1: Luftbild von Stillfried mit Blick nach Osten in die Slowakei aus dem Jahr 2003. Der Bereich der Wallanlage ist rot gekennzeichnet. Das urnenfelderzeitliche Brandgräberfeld wurde im südlich angrenzenden Tal angelegt (schwarzes Oval). Seine genaue Ausdehnung ist nicht bekannt (Luftbildarchiv des Instituts für Urgeschichte und Historische Archäologie, Universität Wien, Nr. 0120030701.096).

Die **Bodenverhältnisse** im Raum Stillfried boten den Bewohnern die Möglichkeit, im großen Umfang Ackerbau zu betreiben. Die vorherrschenden Bodenformen auf den überwiegend ebenen oder nur leicht geneigten Flächen des Hügellandes und der Tallesbrunner Platte sind Tschernoseme auf Löß. Auch auf der Höhensiedlung selbst ist eine mehrere Meter mächtige Lößschicht vorhanden, die das Anlegen von Vorratsgruben begünstigte. Östlich der Anlage sind die Böden der Marchniederung von periodischen Überflutungen geprägt. Die Überschwemmungsweiden eignen sich besonders für Viehhaltung und Futter- bzw. Streugewinnung.[13]

1.2 Kulturräumliche Einordnung

Am Kreuzungspunkt zweier wichtiger Verkehrs- und Handelswege gelegen (NS, OW), war die Fundstelle der mächtige, befestigte Mittelpunkt einer größeren Territorialgemeinschaft.

Das Siedlungsgebiet zählt zum Kulturkreis der mitteldonauländischen Urnenfelderkultur,[14] welche in der jüngeren Urnenfelderzeit (Ha B) als Podoler Stufe/Kultur[15] bezeichnet wird und sich in kleinere räumliche Gemeinschaften untergliedern lässt. Die Wallanlage ist namen-

13. Eine ausführliche Beschreibung der Geologie, der Klimaverhältnisse und der Vegetation findet sich bei Kohler-Schneider 2001, 16–33.

14. Der Begriff „mitteldanubische Urnenfelderkultur“ wurde 1958 von J. Říhovský eingeführt, Říhovský 1958, 117.

15. Podborský 1970, 56–88. – Zur grundsätzlichen Zweiteilung der mitteldonauländischen Urnenfelderkultur in die ältere (Velatitzer) Stufe (Bz D bis Ha A) und die Podoler Stufe/Kultur (Ha B) siehe Říhovský 1958. – Einen Überblick über den ostösterreichischen Raum gibt Lochner 2013. – siehe auch Hellerschmid 2006, 298–299.



Abb. 2: Aquarell von Ludwig Hans Fischer aus dem Jahr 1895. Es zeigt die Wallanlage von Süden mit Blickrichtung Norden. Gut zu erkennen ist der „Kirchhügel“ sowie genau in Bildmitte die leicht abschüssige Flur „Sauberg“, welche im Südwesten von der schräg verlaufenden Weinkellerreihe abgeschlossen wird. Diese Keller wurden in den südlichen Abschnittswall gebaut. Im Vordergrund ragen Häuser der Ortschaft Stillfried an der March ins Bild (Grabungsdokumentation Stillfried, Landessammlung Niederösterreich, Bereich Ur- und Frühgeschichte, Fotonr. ST00600).



Abb. 3: Aquarell von Ludwig Hans Fischer, datiert 1895. Zu sehen ist die Anlage von Osten mit Blickrichtung Westen. Rechts befindet sich das Plateau des Hausbergs, welches durch den Wasserriss der „Froschau“ vom „Küssleracker“ getrennt ist. Bis ins 19. Jahrhundert n. Chr. befand sich am Fuße der „Froschau“ eine Quelle, das „Pfarrer-Brünnl“ (Grabungsdokumentation Stillfried, Landessammlung Niederösterreich, Bereich Ur- und Frühgeschichte, Fotonr. ST00603).

gebend für die sogenannte Stillfrieder Gruppe[16] bzw. Stillfried-Podoler Kulturgruppe.[17] Deren materielle Eigenheiten wurden durch die Aufarbeitung des Fundorts Stillfried von Irmtraud Hellerschmid vorgestellt.[18] Darüber hinaus sind klare Fremdformen sowohl aus dem Gräberfeld[19] als auch aus der Siedlung bekannt. Besonders nach Norden wurden offenbar intensive Beziehungen gepflegt, wie keramische Formen der Spätknovízer Kultur[20] (Štítary-Stufe) Böhmens (z. B. Taf. 3/1 und Abb. 21, 22) sowie der Lausitzer Kultur (Schlesische Stufe/Kultur)[21] (z. B. Taf. 1/5) im Fundgut deutlich zeigen. Auch die auf der Anlage nachgewiesenen Siedlungsbestattungen sind auf diese nördlichen Kontakte zurückzuführen.[22]

16. Oswald Menghin prägte den Begriff „Stillfrieder Gruppe“ für eine bestimmte Vergesellschaftung keramischer Formen, Menghin 1928, 192, 195. – Felgenhauer 1974, 16. – Felgenhauer 1996, 9. – Hellerschmid 2006, 298–299.

17. Lochner 2013, 21, auch als Stillfried-Podolí-Gruppe bezeichnet. – Pare 1998, 385–388. Daneben gibt es vor allem die Chotíner Gruppe in der Südwestslowakei und die Váler Gruppe in Nord(ost) ungarn, Hellerschmid 2006, 299 mit weiterführender Literatur.

18. Hellerschmid 2006, 104–278.

19. Strohschneider 1976, 65.

20. Hrala 1987.

21. Podborský 1970, 18–55.

22. Siehe Kap. 2.2.3.7, Menschenniederlegungen in Siedlungsgruben (Siedlungsbestattungen).



Abb. 4: Blick von Nordosten nach Südwesten auf die steil abfallende Ostseite der Wallanlage. Fotografie vor 1910. Heute sind die Hänge stark mit Bäumen und Sträuchern bewachsen (Boehmker 1917, 51).

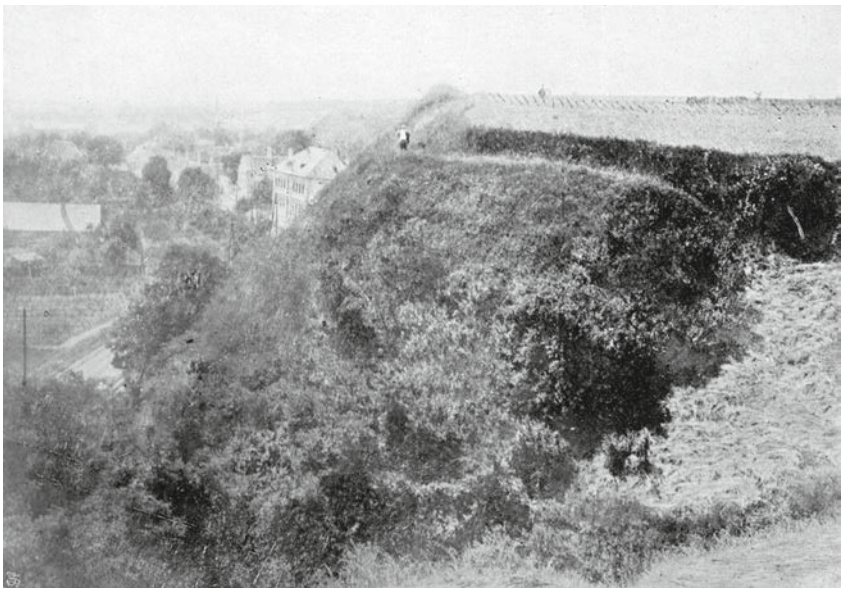


Abb. 5: Aufnahme der steil zur March abfallenden Ostseite der Wallanlage. Der Fotograf befand sich auf dem Hausberg und blickte nach Süden. Rechts ist der „Küssleracker“ zu sehen. Im Hintergrund erkennt man die ehemalige Schule des Ortes Stillfried, das heutige Museum Stillfried (Zentrum der Urzeit; Boehmker 1917, 57).



Abb. 6: Fotografie der Marchschleife bei Stillfried vor 1910. Rechts ist noch ein Teil der östlichen Abbruchkante der Wallanlage zu sehen (Bereich „Hausbergäcker“). Der Blick schweift von der damals noch nahe an der Höhensiedlung verlaufenden March nach Südosten zu den Kleinen Karpaten (Boehmker 1917, 19).



Abb. 7: Ansicht von Norden gegen Südwesten über den Ort Grub an der March auf die Wallanlage. Links im Bild, am „Kirchhügel“, befindet sich die Pfarrkirche Stillfried. Rechts von der Kirche liegen das „Hügelfeld“ und die Erhebung des damals noch unbewaldeten, westlichen Abschnittswalles sowie das flach auslaufende Hinterland (Boehmker 1917, 83).



Abb. 8: Das Plateau der Wallanlage ist heute von tiefen Hohlwegen durchzogen, die vermutlich im Mittelalter angelegt wurden. Der Fotograf blickt nach Südwesten und hat den „Wagneracker“ im Rücken. Linker Hand liegt die Grabungsfläche von C. Eibner, rechts das „Dorffeld“ (Boehmker 1917, 61).

1.3 Grabungsflächen

Die Höhensiedlung Stillfried an der March stand über viele Jahre im Zentrum wissenschaftlicher Forschungen (Abb. 9, 10, 11).[23] Vor allem die systematischen Ausgrabungen der Universität Wien zwischen 1969 und 1989 unter der Leitung von Fritz Felgenhauer erbrachten zahlreiche Funde und Befunde.[24] Dabei wurde vor allem der höchstgelegene Bereich der Anlage, das sogenannte „**Hügelfeld**“, auf einer Fläche von etwa 5500 m² untersucht (Abb. 12, 13). Hierfür legten die Ausgräber in regelmäßigen Abständen 5 × 5 m große Quadranten an. Dazwischen wurden vorerst 1 m breite Stege stehen gelassen, um Profile dokumentieren zu können. In einem zweiten Schritt wurden auch die Profilstege fachgerecht abgebaut. Die meisten der hier bearbeiteten urnenfelderzeitlichen Befunde, hauptsächlich Vorratsgruben, wurden im Zuge dieser Tätigkeiten dokumentiert. Aus der Hallstattzeit zeigen sich die Besiedlungsspuren vorwiegend in Form von Grubenhäusern. Darüber hinaus ist eine Nutzung des Geländes bereits im spätpaläolithischen Gravettien[25] sowie in der Spätlatènezeit, der Römischen Kaiserzeit (vom 2. bis ins 5. Jahrhundert n. Chr.) und dem Hoch- und Spätmittelalter nachgewiesen.[26]

Die **Befestigung** war im Bereich des „Hügelfelds“ am stärksten ausgebaut (als mächtige, mit Erde gefüllte Holzkastenreihe samt Erdwall und tiefem Graben). Dort wurde der Wall mit drei Schnitten untersucht (Abb. 9–11, 13).[27]

Südlich schließt an das „Hügelfeld“ jenes rundliche, räumlich abgegrenzte und mindestens ebenso hohe Areal an, auf dem wir den Ansitz der späturnenfelderzeitlichen Führungsschicht („Fürstensitz“) annehmen (Grabungsfläche „**Kirchhügel**“). Da sich dort bis heute die im frühen Hochmittelalter errichtete Pfarrkirche samt Friedhof befindet, kann diese Hypothese nicht mehr geprüft werden. Während das „Hügelfeld“ stark gegen Osten abfällt (von 199 auf 190 müA), bildet die etwa 400 m² große, ovale Fläche des „Kirchhügels“ gewissermaßen einen Kegelstumpf mit annähernd gleichbleibendem Niveau, der sich als Ansitz bestens eignet. Am westlichen Rand des „Kirchhügels“ stieß man 1976 beim Anlegen eines Suchschnittes auf das urnenfelderzeitliche Objekt V1141, in dem sieben Leichen niedergelegt wurden (Abb. 14 u. Kap. 2.2.3.7).

Neben diesen bereits in Veröffentlichungen behandelten Grabungsarealen werden in dieser Arbeit auch bislang unpublizierte Untersuchungsflächen vorgestellt. Zum einen ist dies ein Bereich am sogenannten „**Wagneracker**“ im Norden der Anlage (Abb. 9). Von 1986 bis 1989 wurden dort mehrere zusammenhängende Schnitte und kleine Flächen von insgesamt 240 m² geöffnet. Neben zahlreichen, vor allem römerzeitlichen, Befunden konnten urnenfelder- und hallstattzeitliche Gruben sowie zwei späthallstattzeitliche Grubenhäuser (V5092 und V5093) dokumentiert werden. Auch zwei große, mittelalterliche Gräben (V5094 und V5095) verliefen dort, aus welchen ^{14}C-datierte, urnenfelderzeitliche menschliche Schädel stammen (Abb. 14). Die zu dieser Zeit anwesende Botanikerin Marianne Kohler-Schneider entnahm vor allem auf dieser Grabungsfläche Proben und wertete diese im Zuge ihrer Habilitation aus.[28]

Im Jahr 1977 wurde östlich des „Kirchhügels“ ein 100 m langer und 1 m breiter Schnitt am sogenannten „**Bügeleisen**“ angelegt. Auch hier sind zahlreiche Bodeneingriffe der Römerzeit und des Mittelalters nachzuweisen. Urnenfelderzeitliche Gruben und zwei hallstattzeitliche Grubenhäuser zeugen ebenfalls von einer urzeitlichen Nutzung des Geländes (Abb. 15).

Darüber hinaus konnte 1978 am östlich gelegenen „**Küssleracker**“ in zwei Suchschnitten eine urnenfelderzeitliche Präsenz belegt werden.[29] Grubenbefunde waren jedoch nur am 30 m langen und 1 m breiten, westlichen Schnitt A auszumachen (Abb. 14). Da der östliche Schnitt B sehr nahe an der Böschungskante angelegt wurde, konnten dort keine prähistorischen Befunde mehr angetroffen werden. Lediglich verlagerte Scherben sowie ein durch

Anmerkung zu Abb. 9:
Überarbeitung und Aktualisierung des Planes durch I. Petschko, OREA/ÖAW, nach Vorlagen von Stiglitz 1978, Taf. 30. – Barg 1987, 35. – Eibner 1993a. – Eibner 1993b. – Eibner 1994b. – Eibner 1995. – Felgenhauer 1996, Taf. 2. – Eibner 2001b. – Antl 2002. – Eibner 2002. – Eibner 2003. – Eibner 2004. – Antl 2012a. – Antl 2012b. – Antl 2013a. – Antl 2013b sowie Vermessungsunterlagen von Anna Maria und Herbert Gailinger und Informationen aus der Grabungsdokumentation Stillfried (Grundlage: Höhenschichtenplan auf der Reliefkarte aus dem NÖ-Atlas „Geländehöhe-Laserscan“).

23. Felgenhauer 1974.
24. Felgenhauer 1996.
25. Weiser 1978.
26. Felgenhauer 1996.
27. Barg 1987. – Hellerschmid, Griebl in Druck.
28. Kohler-Schneider 2001.
29. Die Verortung der beiden „Küssleracker“-Schnitte in Abb. 9 beruht auf unveröffentlichten Planskizzen sowie Beschreibungen (von Osten 1980 und Grabungsprotokollbuch von 1978) und entspricht somit lediglich der ungefähren Lage.



Abb. 9: Gesamtplan der Wallanlage von Stillfried an der March mit den Grabungsflächen, die größtenteils interne Bezeichnungen tragen (einschließlich der Rettungsgrabungen).

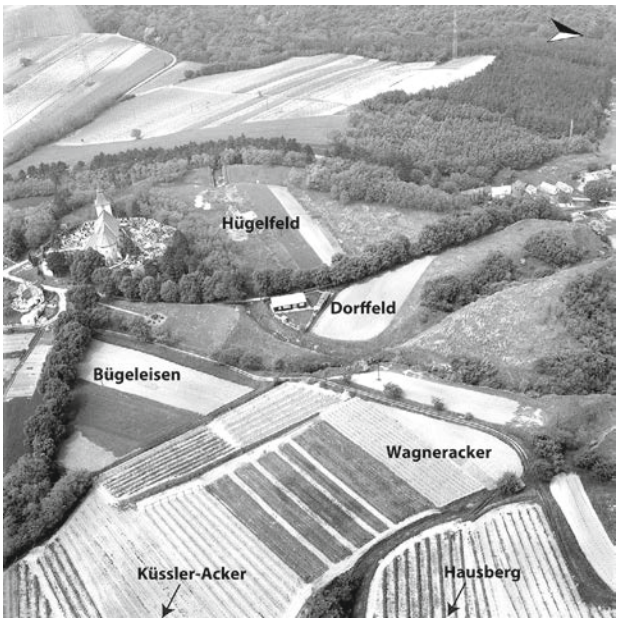


Abb. 10: Luftbild der Wallanlage gegen Westen um 1976. Im Hintergrund ist der teilweise gerodete Abschnittswall mit dem Wallschnitt II gut zu erkennen. Auch auf dem „Hügelfeld“ sind Grabungsspuren auszumachen (Grabungsdokumentation Stillfried, Landessammlung Niederösterreich, Bereich Ur- und Frühgeschichte, Fotonr. ST28765).

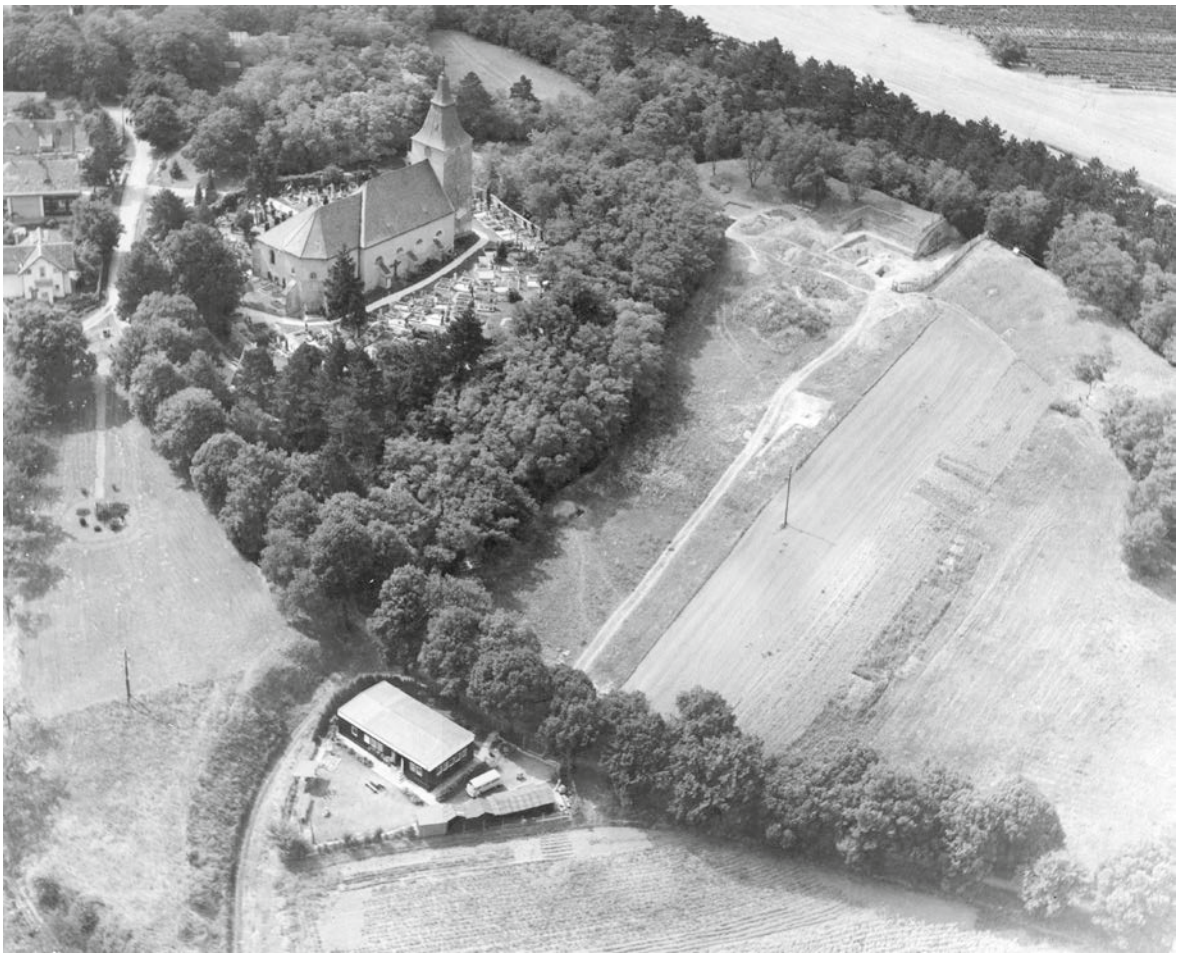


Abb. 11: Wallanlage Stillfried, Luftbild gegen Südwesten von 1981. Auf der rechten Seite befindet sich das „Hügelfeld“ mit dem bereits (nach Norden) erweiterten Wallschnitt II. Am unteren Bildrand ist ein Teil der Grabungsfläche „Dorffeld“ mit dem Grabungshaus zu sehen (Luftbild: Österreichisches Bundesheer, Freigabenr. B.f.L.Z.; RAbt.B_13080_499_81; Grabungsdokumentation Stillfried, Museum Stillfried (Grabungsbaracke)).



Abb. 12: Grabungsfoto mit Blick vom westlichen Abschnittswall auf das „Hügelfeld“ in Richtung Osten aus dem Jahr 1985. Einige der dunklen, kreisrunden Verfärbungen sind Vorratsgruben, in der Bildmitte unter anderem V729 (in Quadrant I3) sowie V715 (in Quadrant I2). (Grabungsdokumentation Stillfried, Landessammlung Niederösterreich, Bereich Ur- und Frühgeschichte, Fotonr. ST03486).

^{14}C-Datierung der späten Urnenfelderzeit zugeordnetes Bruchstück einer menschlichen Schädelkalotte (FNr. St. 12206) konnten geborgen werden.

Insgesamt wurde auf der Höhensiedlung bislang eine Fläche von 8753 m² archäologisch untersucht.[30] Das entspricht ungefähr 4,9 % der gesamten Anlage (Gesamtfläche etwa 18 ha). Durch die Bebauung und tiefgreifende Bodeneingriffe am höchsten Punkt der Anlage, dem „Kirchhügel“, sowie durch stark einschneidende, vermutlich im Hoch- und Spätmittelalter entstandene Hohlwege sind einige Bereiche nicht mehr zu erforschen. Die Hochfläche wird heute großteils landwirtschaftlich, vor allem für Weinbau, genutzt. Großflächige geophysikalische Prospektionen sind aufgrund der Weingärten nicht möglich. Im Areal nördlich des „Hügelfeldes“ wurden allerdings 2011/2012 Messungen mittels Bodenradar und Geomagnetik durchgeführt. Die Ergebnisse deuten auf eine vergleichbar dichte Besiedlung wie am „Hügelfeld“ hin.[31]

Der südliche Bereich der Anlage (Flur „Sauberg“) wurde dagegen bislang kaum untersucht. Lediglich zahlreiche Lesefunde deuten auf eine spätbronzezeitliche Nutzung.

Die urnenfelderzeitliche Siedlungstätigkeit ist vor allem durch sich nach unten erweiternde Vorratsgruben belegt, die in dieser Arbeit ausgewertet werden. Etwa hundert dieser als Speicher für Getreide gedeuteten Befunde wurden im Zuge der Grabungen von Felgenhauer nachgewiesen. Sie stellen den kennzeichnenden Befund des urnenfelderzeitlichen Nutzungsabschnittes der Stillfrieder Anlage dar und

30. Hinzu kommen nicht mehr verifizierbare Grabungen des 19. und frühen 20. Jahrhunderts.

31. Löcker 2012. – Hellerschmid, Griebl in Druck (Kap. 1.2).

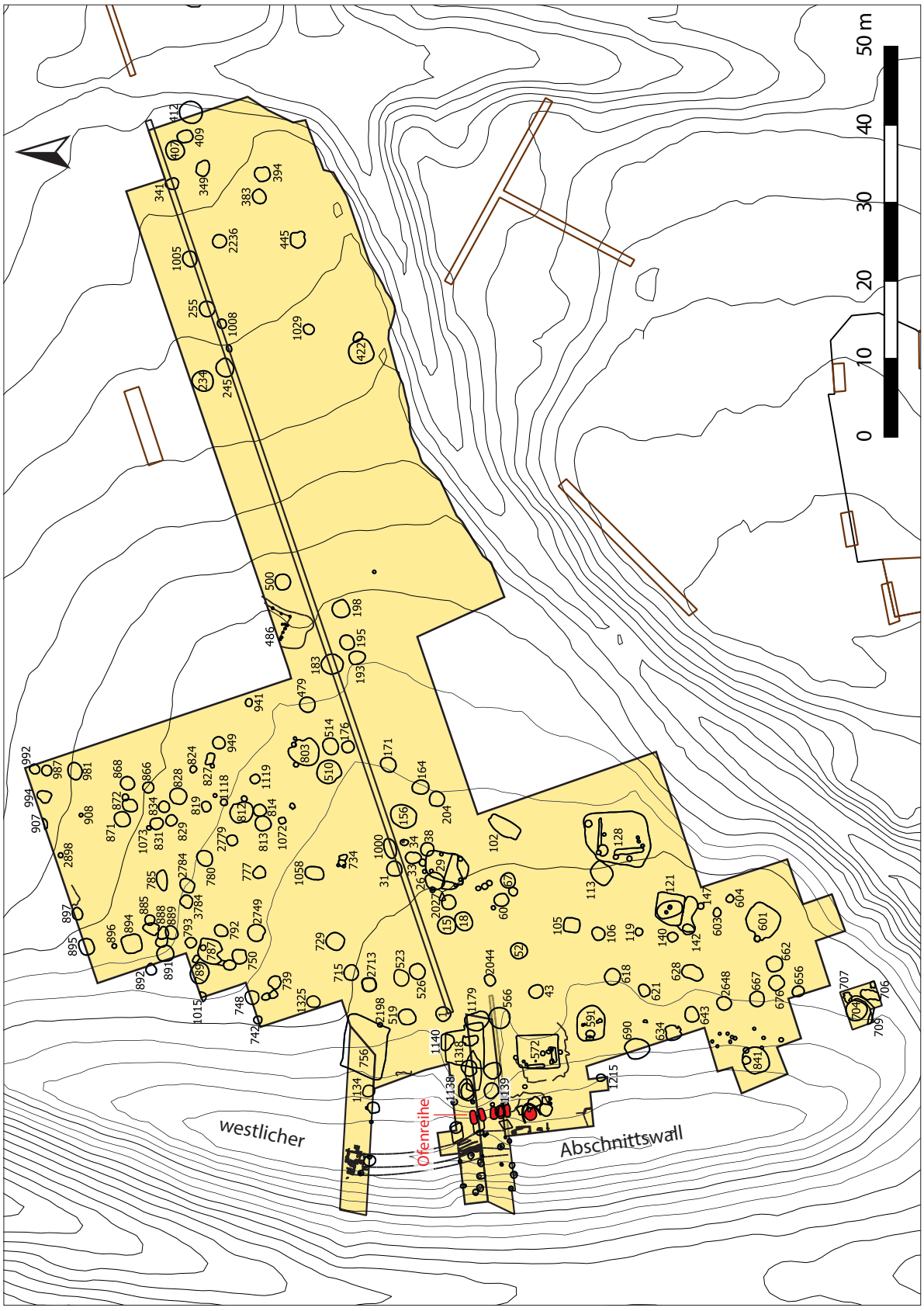


Abb. 13: Grabungsfläche „Hügelfeld“ mit allen urnenfelder- und hallstattzeitlichen Befunden. Eingetragen ist auch der SW–NO verlaufende „Hügelfeld“-Suchschnitt von 1970. Die Reihe der urnenfelderzeitlichen Öfen am Wallinnenfuß wurde rot markiert. Auf die Beschriftung der Pfostengruben sowie jener Befunde, die nicht in dieser Arbeit erwähnt sind, wurde zur besseren Übersicht verzichtet (auf der Grundlage von Felgenhauer 1996, Taf. 2, bearbeitet von B. Biederer, I. Hellerschmid, I. Petschko und S. Tikatsch).

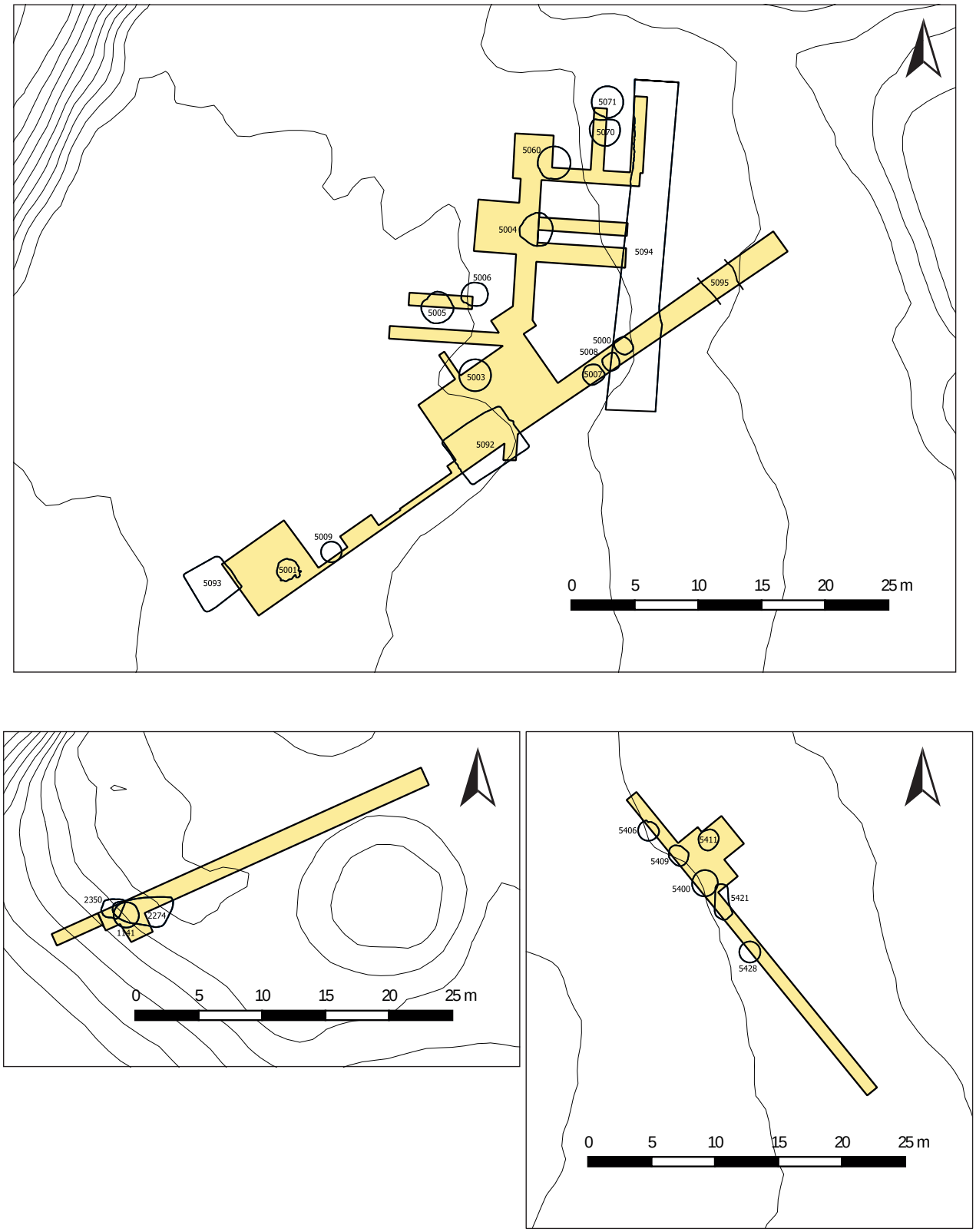


Abb. 14: Grabungsflächen „Wagneracker“ (oben), „Kirchhügel“ (unten links) und „Küssleracker“, Schnitt A (unten rechts), mit allen urnenfelderzeitlichen Befunden. Eingetragen sind am „Wagneracker“ auch die mittelalterlichen Gräben V5094 und V5095. Die Grubenhäuser V5092, V5093 sowie Grube V5004 und V5060 vom „Wagneracker“ datieren hallstattzeitlich. Die Umrisse der Befunde, die über die Grabungsgrenzen hinausgehen, sind frei rekonstruiert. Einige der sehr unvollständig erfassten Gruben haben wir nicht in unsere Untersuchung aufgenommen (bearbeitet von I. Petschko und B. Biederer, OREA/ÖAW).

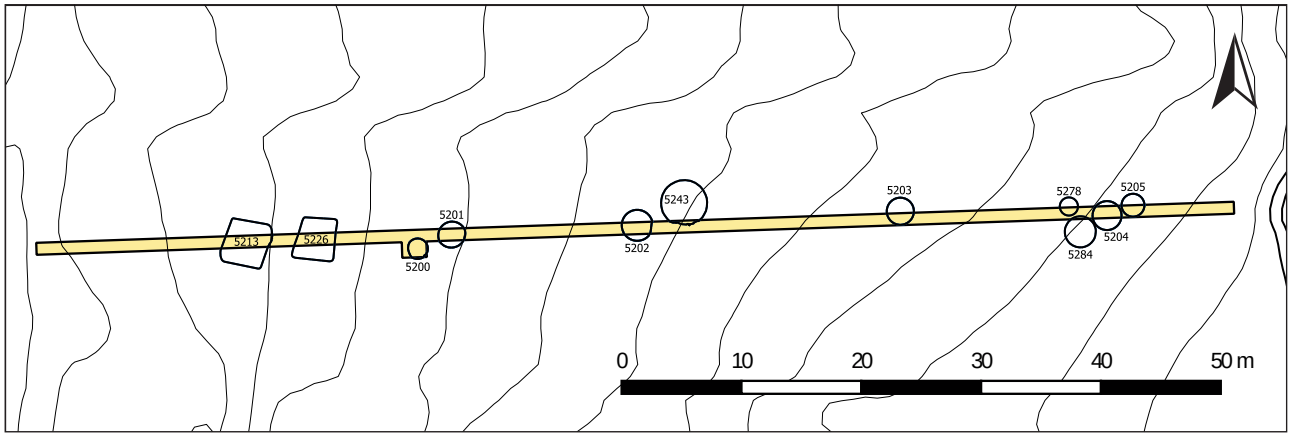


Abb. 15: Grabungsfläche „Bügeleisen“ mit den urnenfelderzeitlichen Gruben. Die beiden Grubenhäuser V5213 und V5226 sind hallstattzeitlich. Die Konturen sind großteils frei rekonstruiert, da nur wenige Plana dokumentiert sind. Auch die Umrisse, die über die Grabungsgrenzen hinausgehen, sind frei erstellt (bearbeitet von I. Petschko und B. Biederer, OREA/ÖAW).

konnten in allen Grabungsflächen aufgedeckt werden.[32] Somit ist davon auszugehen, dass sie nicht auf einen bestimmten Bereich der Anlage beschränkt waren, wenngleich besonders entlang des Wallinnenfußes am „Hügelfeld“ eine Häufung feststellbar ist. Daneben wurden in geringerer Zahl auch Grubenhäuser, Öfen, sonstige Gruben sowie verstreute Pfostengruben derselben Zeitperiode dokumentiert.[33]

Bereits von frühen Grabungen des 19. und vom Anfang des 20. Jahrhunderts sind Vorratsgruben bekannt (damals als „Wohngruben“ bezeichnet). Sie lassen sich meist nicht genau verorten. Die Nennungen verdeutlichen jedoch, dass die unterirdischen Speicher vermutlich über weite Teile der Höhensiedlung angelegt worden sind. So berichtet bereits Matthäus Much, der die Anlage in den 1870er-Jahren entdeckte, von „2 Meter breite[n] und 2–3 Meter tiefe[n] Gruben“,[34] die vermutlich kegelstumpfförmige Vorratsgruben beschreiben. Auch der nachfolgende Ausgräber Oswald Menghin kennt auf der Anlage „Wohngruben“ der Bronzezeit.[35] Seinen Beobachtungen zufolge treten dort, „wo die Hohlwege einschneiden […] überall […] Wohngrubenprofile zutage“.[36] Im Norden der Anlage, bei den „Römerhügeln“ („Osttumulus“), konnte Menghin ebenfalls „Wohngruben“ feststellen.[37] Leonhard Franz wusste 1924 von „Wohngruben mit Gefäßscherben, Beingeräten, […] Tierknochen […], Abdrücken von Wandgeflecht“ zu berichten, die sich „um die Kirche herum fanden“.[38] Auch er vermeldet, dass die „vorgeschichtlichen Wohngruben […] in den Wänden der Hohlwege […] an mehreren Stellen […] als dunkle Färbung“ erkennbar sind.[39] 1931 wurde durch die Universität Wien eine „Wohngrube“ „am Rand der östlichen steilen Böschung des Grabens, durch den der Weg von der Kirche nach Grub führt“ untersucht.[40] Aus der runden Grube mit einem Durchmesser von 2,4 m konnten zahlreiche Funde geborgen werden (u. a. bearbeitete Steine, Knochen, ein Bronzering und ein Bronzestreifen sowie ein handförmiger Anhänger[41]).[42]

In dieser Arbeit werden alle kegelstumpfförmigen Gruben, die im Zuge der Forschungsgrabung von Felgenhauer in den Jahren 1969 bis 1989 untersucht wurden, ausgewertet.

32. Abgesehen von kürzeren Suchschnitten und auf Flächen, wo die Untersuchungen nur bis in eine geringe Tiefe vordrangen oder tiefgreifende Störungen angetroffen wurden.
33. Hellerschmid 2006, 24–31.
34. Much 1875, 170.
35. Menghin 1917, 8.
36. Menghin 1919, 75. Auf Seite 90 berichtet er erneut von „zahllosen Wohngruben“.
37. Menghin 1919, 85, 90. Menghin schreibt von „hallstattzeitlichen Wohngruben“. Die Reinecke-Stufen Ha A und Ha B wurden damals als „hallstättisch“ bezeichnet.
38. Franz 1924, 5.
39. Franz 1924, 9.
40. Boehmker, Willvonseder 1934.
41. Dieser tönerne Anhänger mit der Fundnummer 818 befindet sich im Museum Stillfried.
42. Willvonseder 1931.

1.4 Chronologie

1.4.1 Relative und absolute Chronologie (Keramikentwicklung und Radiokarbondatierung)

Wichtige Grundlagen für die chronologische Zuordnung der 94 hier untersuchten kegelstumpfförmigen Gruben lieferten die veröffentlichte Dissertation von Hellerschmid[43] und die Ergebnisse aus dem FWF-Projekt zu den Tier- und Menschendepositionen von Stillfried.[44] Datiert wird jeweils die Verfüllung, da zum Errichtungszeitpunkt und zur Nutzungsdauer der Objekte kaum Aussagen getroffen werden können. Fünfzehn der von uns untersuchten kegelstumpfförmigen Gruben werden in ihrer Zeitstellung von einem ^{14}C-Datum gestützt (Abb. 32).

Es zeigt sich, dass annähernd alle 94 Gruben der Wallanlage Stillfried den Stufen Ha B1–Ha B3 nach Hermann Müller-Karpe[45] zuzuweisen sind, wobei die frühesten an den Übergang von Ha A2 nach B1[46] (Siedlungsphase I[47]) und die jüngsten an den Übergang von der Urnenfelder- zur Hallstattzeit datieren (Abb. 29, 33). In absoluten Zahlen verläuft dieser Nutzungszeitraum von ungefähr **1100 bis 800/780 v. Chr.**[48] Dies entspricht den Stillfried-Siedlungsphasen I bis III/2 nach Hellerschmid,[49] welche wir übernehmen, wobei sich Hellerschmid ihrerseits auf Ferdinand Barg stützt.[50] Hellerschmid zeigt auch die chronologische Verbindung der Siedlungstätigkeit auf der Hochfläche zu dem dazugehörigen Brandgräberfeld „In der Gans" (Ha B1–Ha B3, Ha C) auf.[51]

Dreiundvierzig der insgesamt 71 ^{14}C-Daten von der Wallanlage von Stillfried weisen in die Urnenfelderzeit, wovon 41 in den Zeitraum von etwa 950 bis 850 v. Chr. fallen (grauer Balken in Abb. 31), was den Siedlungsphasen II und III/1 entspricht. Die archäologischen Datierungen der Gruben bestätigen dieses Bild, indem wir diesen beiden mittleren urnenfelderzeitlichen Abschnitten (II, III/1) 45 der insgesamt 67 genauer datierten Gruben zugeordnet haben (Abb. 29). Mit einiger Wahrscheinlichkeit ist daraus **eine Blütezeit in Ha B2 und im frühen Ha B3**[52] auf der Wallanlage abzuleiten (Sph. II: 23 Objekte, Sph. III/1: 22 Objekte).

Von mehreren Gruben liegen weder ^{14}C-Daten noch chronologisch aussagekräftige Funde vor, sodass eine (genaue) Zuordnung nicht möglich ist. Nur allgemein nach Ha B lassen sich V18, V193, V245(T)[53], V383, V394, V412, V514, V603, V634, V793, V819, V889, V981, V992, V2044(T), V2713 und V2779 vom „Hügelfeld" stellen. Die Gruben vom „Bügeleisen"-Schnitt können ebenfalls nicht genauer als nach Ha B datiert werden, da deren Grabungsdokumentation oft keine verlässliche Fundzuordnung zu den einzelnen Objekten erlaubt. Die Speichergruben V1015, V1325 und V5009 bewegen sich im Zeitraum von Sph. II bis III/1.

Die von Hellerschmid angegebenen Absolutdaten zu den Siedlungsphasen[54] haben wir aufgrund neuerer Literatur[55] etwas nach oben gerückt, was sich gut mit der vergrößerten Basis von ^{14}C-Daten in Einklang bringen lässt (Abb. 30, 31). Dadurch sind für den letzten Siedlungsabschnitt (Sph. III/2) weniger Gruben zu nennen (13) als bei Hellerschmid.[56]

Ab der zweiten Hälfte der Urnenfelderzeit kommt es zu einer **Vereinheitlichung der materiellen Kultur** im Verbreitungsgebiet der mitteldanubischen Urnenfeldergruppen (Stillfried-Podolí und Vál-Chotin), die etwa zwei Jahrhunderte andauert (ab Anfang Ha A2 bis Ende Ha B2/etwa 1100–900 v. Chr.).[57] Für die Gefäßkeramik sind die schräge und senkrechte Kannelur, eingedrückte Verzierungen, Randfacettierung, Turbanrand(Schalen) usw. zu nennen. Lothar Sperber weist in diesem Zusammenhang

43. Hellerschmid 2006. Darin legt sie u. a. den größten Teil der kegelstumpfförmigen Gruben vom „Hügelfeld" vor.

44. Projektnr. P-22755-G19, Leitung I. Hellerschmid (Laufzeit 2011–2015). – Hellerschmid, Griebl in Druck. – Hellerschmid, Griebl in Vorbereitung.

45. Müller-Karpe 1959, 182–225 und Abb. 64.

46. Auch Eibner 1994a, 212.

47. Hellerschmid 2006, Kapitel 7.

48. Nach Sperber 2017, 171 und Abb. 72/C (mitteldanubische Urnenfeldergruppe und oberösterreichisch-salzburgische Gruppe mit mitteldanubisch-niederbayerischer Mischfazies). – auch Eibner 2001a.

49. Hellerschmid 2006, 279–291.

50. Barg 1987, 235–237.

51. Strohschneider 1976. – Kaus 1984. Auch das in der nördlichen Nachbargemeinde Grub befindliche Brandgräberfeld „Alter Mühlgraben" (Ha A2 und Übergang nach B1, Neugebauer-Maresch 1978) wird von Hellerschmid chronologisch berücksichtigt, Hellerschmid 2006, 22, 279.

52. Frühes Ha B3 wird als Ha B3a bezeichnet, entsprechend der von Lothar Sperber entwickelten verfeinerten Aufgliederung der Stufen Ha B1, B2, B3 nach Müller-Karpe 1959 für die mitteldanubische Urnenfeldergruppe, Sperber 2017, 171 und Abb. 72/C.

53. „T" bedeutet „Grube mit Tierdeposition", siehe Abbildungstext von Abb. 29.

54. Hellerschmid 2006, 279–283.

55. Sperber 2017. Beispielsweise rückt der Übergang von Ha A2 nach Ha B1 von 1050/1020–950/920 v. Chr. nach Pare 1998, 299 auf etwa 1080 v. Chr. nach Sperber 2017 hinauf (Sperber 2017, 171 und Abb. 72/C).

56. Hellerschmid 2006, 61–62.

57. Ilon 2015, 252 und Taf. 21.



Abb. 16: Keramik von Siedlungsphase I mit Merkmalen der älteren bzw. mittleren Urnenfelderzeit: Randbruchstück eines zylindrischen Gefäßhalses mit waagrecht ausladendem Rand mit schwacher Innenkantung (FNr. St. 21951, V949).



Abb. 17: Hart gebranntes Randbruchstück eines Zylinderhalsgefäßes mit kurzem, ausladendem Rand aus Grube V1. Da V1 in Siedlungsstufe III/1 gestellt wird, dürfte es sich um ein Altstück handeln, das möglicherweise als Schabgerät in Zweitverwendung stand (FNr. St. 22076).

auf die vielen gemeinsamen Typen im keramischen und metallenen Formengut nicht nur der mitteldonauländischen Kulturgruppen, sondern auch der westlich angrenzenden Gemeinschaften (der oberösterreichisch-salzburgischen Gruppe) in Ha B hin.[58] Fremdeinflüsse sind in der Keramik vor allem aus der Lausitzer Kultur (Schlesische Stufe) und aus der Knovízer Kultur (Štítary-Stufe) festzumachen.[59]

Gut vergleichbares Formengut der spektakulären Bronzekunst und die dabei verwendete Symbolik zeigen Kontakte und Handelsaustausch weit über den Verbreitungsraum der Urnenfelderkultur hinaus auf. Dies belegt weitläufige Verbindungen, die zwischen den Bewohnern in wirtschaftlicher und geistiger Hinsicht während der späten Bronzezeit bestanden.[60] Hand in Hand ging damit auch die einheitliche Brandbestattung am Gräberfeld.

Gábor Ilon umschreibt Ha B3 als die präskythische Periode,[61] in der Neuerungen in Form von Eisengegenständen[62] und v. a. Reitzubehör des pontisch-kaukasischen Typs erscheinen (z. B. im Brandgräberfeld von Stillfried, Grab 6 und 38[63], und im sogenannten Stillfrieder Depot[64]). Der nördliche und nordwestliche Einfluss bleibt bestehen, deutlich stärker schlägt sich in diesem letzten urnenfelderzeitlichen Abschnitt allerdings der Einfluss aus dem Westen mit ersten hallstattisierenden Keramikformen und Verzierungen nieder.[65]

1.4.1.1 Siedlungsphase I (Palisadenbefestigung)

Dieser erste Siedlungsabschnitt[66] umfasst den Übergang von Ha A2 nach Ha B1 und die Stufe Ha B1 (von etwa 1100 bis 960 v. Chr. nach Sperber 2017[67]). Die zugeordneten kegelstumpfförmigen Gruben stammen alle vom „Hügelfeld", darunter auch eine Grube mit Tierdeposition (V949). Die beiden Gruben V164 und V204 wurden eng beieinander angelegt und ähneln sich auch formmäßig (V164: Formtyp 3; V204: Formtyp 1, siehe Abb. 13, 33, 34, 40).

– „Hügelfeld": V106, V156, V164, V183(D[68]), V204, V667, V891, V949(T)

Von dieser Gruppe liegen keine ^{14}C-Daten vor. Die Zeitstellung basiert hauptsächlich auf den Keramikfunden, die noch Anklänge an die mittlere Urnenfelderzeit (Ha A) aufweisen[69] (Abb. 28/1–4). Aus der Grube mit Tiernieder-

58. Sperber 2017, 165–166. – Stegmann-Rajtár 1992, 62, 166 nennt: Griffdornmesser mit gegossenem Zwischenstück, großköpfige Vasenkopfnadel.
59. Hellerschmid 2006, 281–282 (Sph. II, III/1 und III/2).
60. Müller-Karpe 1980. – Ilon 2015, 252 mit vielen Literaturangaben.
61. Ilon 2015, 250–251 und Taf. 22.
62. Strohschneider, Vahlkampf 1980.
63. Kaus 1984.
64. Kaus 1988.
65. Hellerschmid 2006, 282.
66. Hellerschmid 2006, 279.
67. Sperber 2017, 171. – Pare 1998, Abb. 37 (Stufe Stillfried-Podol I/Ha B1).
68. Die Aufschlüsselung dieser in Klammer gesetzten Buchstaben findet sich im Abbildungstext von Abb. 29.
69. Pare 1998, 385–386 und Abb. 37 (Stufe Stillfried-Podol I). – Hellerschmid 2006, 284.

legung V949 sind diesbezüglich gleich zwei Vertreter zu nennen: Das Randbruchstück eines zylindrischen Halsteils mit waagrecht ausladendem Rand und schwacher Innenkantung (Abb. 16) und der mit senkrechten Riefenbündeln verzierte Seitenteil eines mittelfeinen, größeren Gefäßes (Taf. 53/1). Während der waagrecht ausladende Rand ein gängiges Merkmal von Gefäßkeramik (Zylinderhalsgefäßen) der frühen bis zum Beginn der jüngeren mitteldonauländischen Urnenfelderzeit ist,[70] weisen die scharfkantig eingetieften Riefenbündel (Taf. 53/1) nach Mittel- und Nordböhmen, wo sogenannte „Amphoren" (mit tiefliegenden Bauchumbrüchen) auf diese Weise (mit scharfen Mittelgraten) verziert wurden.[71]

Das gut gebrannte und intensiv geglättete Randbruchstück eines Zylinderhalsgefäßes mit kurzem, ausladendem Rand stammt aus Grube V1 (Abb. 17). Da V1 in die Siedlungsstufe III/1 gestellt wird, dürfte es sich um ein Altstück handeln, das möglicherweise sekundär zum Schaben oder Ähnlichem verwendet wurde. Ein vollständiges, großes **Zylinderhalsgefäß** stammt aus V183 (Abb. 28/4). In Verzierung (tordierte Leiste) und Oberflächengestaltung (flächiger Kammstrich) zeigt es eine starke Verbindung zu Großgefäßen aus Siedlungsphase II (vor allem Abb. 28/12).

Der doppelkonische Topf aus V891 (Taf. 2/2 und Abb. 28/2) weist einen schwach betonten Bauchumbruch und grobe, senkrechte Furchung am gesamten Unterteil auf. Form und Unterteilgestaltung könnten als Rudimente der Doppelkoni zu verstehen sein, die mit ihrem scharfen Bauchknick und den radialen Ritzlinien bzw. der Fingerstrichrauung am Unterteil eine Leitform der frühen und älteren Urnenfelderzeit sind.[72] Unterstützt wird diese Annahme durch ein formmäßiges „Zwillingsgefäß" aus St. Andrä vor dem Hagentale (Niederösterreich),[73] das aufgrund des metallenen Grabinventars nach Ha B1 gestellt wird.[74]

70. Siehe Lochner 1991, 269 (Zylinderhalsgefäße Typ C var. A), 295, 296, 298, 299. – auch Sperber 2017, 166 nennt als Beispiel für diesen Abschnitt (SB IIc entspricht Ha B1a) die Gräber 48 und 192 von Budapest-Békásmegyer, die beide ein Gefäß mit solch breitem facettiertem Rand zeigen: Kalicz-Schreiber 2010, Grab 48, 192 und Taf. 27/3; 85/14. – Stegmann-Rajtár 1992, 45.

71. Bouzek, Koutecký, Neustupný 1966, 44, 46, Grube 109/62, und Taf. 38/8; 42/2 (Datierung von Grube 109: Bz D); auch Taf. 43/8 (Sammlung Vicarage).

72. Lochner 1991, 266, 298, Doppelkonus Typ a.

73. Eibner 1974b, 172 und Taf. 6j (Urnengrab 6B).

74. Zwiebelkopfnadel und Schalenkopfnadel: Pare 1998, 386 und Abb. 37. – Sperber 2017, 166 und Abb. 72A.

1.4.1.2 Siedlungsphase II

Dieser Abschnitt des ersten Wallkörpers (Wall I/V1267) mit vorgelagertem Graben[75] umfasst die Zeitstufe Ha B2 (von etwa 960 bis 900 v. Chr. nach Sperber 2017[76]).

Die zugeordneten kegelstumpfförmigen Gruben kommen aus unterschiedlichen Grabungsflächen. Es ist auffällig, dass annähernd alle datierbaren Gruben von den neu vorgestellten Untersuchungsbereichen „Wagneracker" und „Küssleracker" hier zu finden sind:

- „Hügelfeld": V15(T), V26, V52, V67(T), V171, V234, V407, V409, V510, V628(T), V643(G, T) (Mittelwert/Mw. 925 v. Chr.), V656, V662, V729, V868, V894, V897
- „Wagneracker": V5000(Mk) (Mw. 868, 926 v. Chr.), V5001(G, M) (Mw. 928, 937, 1009, 1059 v. Chr.), V5003 (Mw. 901 v. Chr.), „Zwillingsgruben" V5005 (Mw. 859, 950, 981 v. Chr.) und V5006 (Mw. 1009 v. Chr.)
- „Küssleracker": V5400 (Mw. 924 v. Chr.)

^{14}C-Daten liegen von V643, V5000, V5001, V5003, V5005, V5006 und V5400 vor. Die Zahl der eingetieften und wieder verfüllten Speichergruben am „Hügelfeld" ist stark angewachsen (17), was auf eine verstärkte Bevorratung hinweist. Wahrscheinlich geht damit ein Anstieg der Bevölkerung einher. Des Weiteren sind nun auch Speicheraktivitäten auf den neu bearbeiteten Flächen („Wagneracker", „Küssleracker") festzustellen. Besonders hervorzuheben sind von dort die Grube mit den drei menschlichen Schädeln (V5000), die beiden Gruben mit den mächtigen Brandschuttschichten (V5001, V5400) sowie vier Gruben mit Tierdepositionen vom „Hügelfeld". Diese sieben besonderen Grubeninhalte sind mit unterschiedlicher Wahrscheinlichkeit in einem rituellen Zusammenhang zu sehen.[77] Die Zuordnung von V897 zu Siedlungsphase II erfolgt hauptsächlich aufgrund von Keramikanpassungen zu V894 (Kap. 2.3.2.1).

Hellerschmid nennt als die klassischen Vertreter der heimischen Podoler Kultur u. a. die **kannelierten Henkeltassen** (Abb. 19) sowie s-förmig profilierte Kegelhalsgefäße und Schüsseln. Aus Grube V5001 stammen gleich sieben kannelierte Henkeltassen (Abb. 18). Diese Varianten mit senkrechter, schmaler und wenig gegrateter Kannelur über den ganzen Gefäßkörper (von der Schulter abwärts) treten erst in der mittleren und späten Urnenfelderzeit auf.[78] Sie

75. Hellerschmid 2006, 281.

76. Sperber 2017, 171.

77. Siehe Kap. 10.1. – Kap. 2.2.3.7. – Kap. 2.2.3.8. – Hellerschmid, Griebl in Vorbereitung.

78. Lochner 1991, 296 D/b, 304.



Abb. 18: Die Henkeltassen aus V5001. Im Vordergrund v. l.: FNrn. St. 16351.4, 16316.1, 16715.1, 16351.6, 16685.1; im Hintergrund v. l.: FNrn. St. 16741.7, 16724.2.



Abb. 19: Konvolut von Henkeltassen aus unterschiedlichen Befunden. Im Vordergrund v. l.: FNrn. St. 16715.1 (V5001), St. 5147 (zweifach, V510), St. 16351.6 (V5001), St. 16316.1 (V5001), St. 16685.1 (V5001), St. 21410 (V871); im Hintergrund v. l.: FNrn. St. 5147 (V510), St. 16741.7 (V5001), St. 16724.2 (V5001), St. 5453 (V519), St. 1456 (V101).

sind in diesem frühen Abschnitt noch verhältnismäßig groß und hoch geformt (Taf. 6/4–5, 7/1–2 und Abb. 28/6–8; Sph. II). Des Weiteren sind waagrecht abschließende Riefen am Schulter/Halsübergang kennzeichnend (Taf. 7/1; 6/2). Die Henkel sind, soweit vorhanden, nur leicht überrandständig. Auch in Ha B2-zeitlichen Gräbern aus St. Andrä v. d. Hgt. befinden sich solche feinkeramischen Gefäße.[79]

Es sind gleich mehrere **(doppel)henkelige Großgefäße** anzuführen, wobei Doppelhenkel für die nördliche Lausitzer Kultur (Schlesische Stufe) besonders kennzeichnend sind:[80] Das dünnwandige Kegelhalsgefäß aus V5400 (Taf. 30/5 und Abb. 28/11), das grobkeramische (Doppel?) Henkelgefäß (Taf. 8/1; V5001) sowie das feinkeramische, doppelkonische Exemplar mit Dellen auf der Schulter

79. Grab 22: Eibner 1974b, 49, 55, 217–218 und Taf. 25m/niedrige Kegelhalstasse, rek. H. 12,5 cm; Bauchdm. 15 cm, Dat. Ha B2/B3. – Datierung nach Sperber 2017, 166: Ha B2/SB IIIa2; Grab 11: Eibner 1974b, 49, 56, 182 und Taf. 9b/große Henkelschüssel, H. 17,7 cm; Bauchdm. 26 cm, Dat. Ha B3. – Datierung nach Sperber aufgrund des (Griffdorn)Messers bereits an den Übergang Ha B2/B3, Sperber 2017, 166.

80. Podborský 1970, 78 und Abb. 17 (Ha B2); 185 und Abb. 30. – Hellerschmid 2006, 281.



Abb. 20: V841: Das dünnwandige, doppelkonische und gehenkelte Kegelhalsgefäß mit Dellen auf der Schulter ist ein Altstück, das auf Einfluss aus der nördlich benachbarten Lausitzer Kultur zurückgeführt wird (FNrn. St. 13276, 13285, 13286, 13292, 13332; Foto: E. Weiss-Krejci, OREA/ÖAW).



Abb. 21: V894: Bei der hohen Schüssel handelt es sich um ein seltenes Fremdstück aus der mittel- und nordböhmischen Knovízer Kultur (Štítary Stufe II/Ha B2). Der schwach gekröpfte Hals und der dunkle, stark quarzsteinchenhältige Ton sind in Stillfried unbekannt (FNr. St. 21493.1).



Abb. 22: V894: Bei dieser Nahaufnahme des Fremdstücks FNr. St. 21493.1 von Abb. 21 sind die kantigen weißen Quarzsteinchen gut zu erkennen (Kreise).

aus V841 (Abb. 20, 28/14).[81] Ein schönes Beispiel für den Fremdeinfluss der Lausitzer Kultur (Schlesische Stufe) ist die kleine, beidseitig grafitierte und aufwändig verzierte Schüssel auf Taf. 1/5 (Abb. 28/5) aus V643.[82]

In den Ha B2-Horizont weist auch das **weich profilierte Kegelhalsgefäß** aus V5003 mit zwei umlaufenden Riefen und einzelnen, spitzen Knubben auf der Schulter (Taf. 17/2; 71/2 und Abb. 28/13).

Bei der erstmalig vorgelegten, hohen Schüssel aus V894, Taf. 3/1 (Abb. 21; 22; 28/9) handelt es sich um ein seltenes Importstück aus der mittel- und nordböhmischen Knovízer Kultur, das die weiträumigen Handelsverbindungen des Zentralortes Stillfried unterstreicht. Sowohl die Form mit dem senkrechten, schwach gekröpften Hals als auch der grauschwarze, stark quarzsteinchenhältige Ton sind in Stillfried bzw. in der Podoler Kultur unbekannt. Gut entsprechende Formen kommen aus der namengebenden Siedlung Knovíz in Nordwest-Böhmen[83] innerhalb der späten Knovízer Kultur (Štítary Stufe II/Ha B2).[84]

Auch das flaschenartige Hochgefäß[85] aus V643 mit dem tiefliegenden Umbruch (Abb. 28/15) weist in diesen

81. FNrn. St. 13276, 13285, 13286, 13292, 13332, Hellerschmid 2006, Taf. 106/4 (Stücknr. 19613). – Hellerschmid, Griebl in Vorbereitung.

82. Hellerschmid 2006, 152 und Taf. 71/2, Gf 3/Typ E.

83. Bouzek, Koutecký, Neustupný 1966, Taf. 42/6 (Sammlung Vicarage 1962); Grube 10/58: Taf. 10/4; 41/10; 11/21; Grube 43/61: Taf. 20/7.

84. Mittlere Stufe der späten Knovízer Kultur = Stufe II der Štítary-Periode, Bouzek, Koutecký, Neustupný 1966, 47. – auch Kuna, Němcová 2012, 44 und Tab. 4.

85. Hellerschmid 2006, Taf. 70/5.

Raum.[86] Diesem Einfluss anzuschließen sind des Weiteren Bruchstücke von Vorratsgefäßen mit flächigem, senkrechtem Kammstrich an der Außenseite (Abb. 28/10 aus V841[87], Abb. 28/12 aus V445[88]), da diese Art der Oberflächenbehandlung für die Großgefäße der Knovízer Kultur (Štítary-Abschnitt) kennzeichnend ist.[89]

Da wir die Gruben V445 und V841 Siedlungsphase III/1 zuweisen, handelt es sich bei den vorgestellten Funden wohl um Altstücke innerhalb der Verfüllungen.

1.4.1.3 Siedlungsphase III/1

Die Siedlungsphase III/1 beginnt mit der Errichtung des zweiten und letzten Wallkörpers (Wall II/V1154) mit vorgelagertem Graben[90] und umfasst den Zeitraum Ha B3a (von etwa 900 bis 850/840 v. Chr. nach Sperber 2017[91]).

Die zugeordneten kegelstumpfförmigen Gruben stammen vom „Hügelfeld“ und dem anschließenden „Kirchhügel“. Am „Hügelfeld“ zeigen sich die ersten Grubenhäuser:[92]

- „Hügelfeld“: V1, V43, V119, V195(T), V198, V341, V445(Mk, T) (Mw. 858 v. Chr.), V519, „Zwillingsgruben“ V523 und V526, V621, V777, V792, V813, V831, V841(M) (Mw. 892, 918 v. Chr.), V871, V885(Mk) (Mw. 902, 926 v. Chr.), V994(T), V1138(Mk) (Mw. 913 v. Chr.), V2648(T)
- „Kirchhügel“: V1141(M) (Mw. 895, 910, 1250 v. Chr.)
- Grubenhäuser („Hügelfeld“): V131, V601(M, Mk, T), V803

Mit 21 zugeordneten kegelstumpfförmigen Gruben vom „Hügelfeld“, darunter vier Tierdepositionen, ist die größte Zahl an Speichergruben in diesem Bereich erreicht. Da diese Anzahl allerdings nur wenig größer ist als jene des vorangegangenen Abschnittes, sind beide Siedlungsphasen (Sph. II und III/1) als die Zeitspanne mit der höchsten Aktivität in Bezug auf Getreidespeicherung am „Hügelfeld“ festzumachen. In diesen beiden mittleren Zeitstufen wurden dort offensichtlich die meisten Vorratsgruben errichtet,



Abb. 23: V841: Feinkeramische Henkeltasse mit Wolfszahnmuster, im Bereich von SK4 gefunden. Ihre Bruchstücke ließen sich zu einem halben Gefäß zusammensetzen (FNrn. St. 13292, 13315, 13328; Foto: E. Weiss-Krejci, OREA/ÖAW).

genutzt und auch wieder aufgelassen. Dies könnte auf die Blütezeit der Wallanlage hinweisen, in der die größte Menge an Ernteerträgen zu speichern war.[93]

In Siedlungsphase III/1 liegen auch beide Massenbestattungen von Stillfried, V1141 und V841.

Die Zuordnung der „Zwillingsgruben“ V523 und V526 zu dieser Zeitstufe erfolgte hauptsächlich aufgrund von Keramikanpassungen (V519 und V523[94] sowie V523 und V526). Ihre enge Verbindung deutet sich auch durch die gleiche Form und das übereinstimmende Verfüllungsmuster mit mächtigen Hell-Dunkel-Einfüllungen im „Deponierungshorizont“ an (Kap. 2.3.2.1). Weitere Anpassungen sind zwischen den Gruben V119 und V198 zu nennen (Tondüse, Taf. 36/3–4[95]).

Riefen bzw. Kannelur, Abrollungen („Rollrädchenmuster“) sowie punkt- und dellenförmige Eindrücke sind die Grundverzierungselemente auf Feinkeramik der jüngeren und späten Urnenfelderzeit.[96] In der späten Urnenfelderzeit verlagert sich der Bereich des größten Gefäßdurchmessers der (heimischen) Podoler Formen (Schüsseln, Tassen,

86. Bouzek, Koutecký, Neustupný 1966, 89 und Abb. 31. – Hartl 1971/1972, 5–6 und Abb. 1 (Vorratsgefäße).
87. FNrn. St. 13160, 13328, 13338, 13358, Hellerschmid 2006, Taf. 107/6 (Stücknr. 19609).
88. Hellerschmid 2006, Taf. 44/2 (Stücknr. 6891).
89. Bouzek, Koutecký, Neustupný 1966, 92–94 und Abb. 33, 34, Kammstrich (“*combing*”) als grobe Verzierungstechnik auf der ganzen Außenfläche ist typisch für die mittlere Štítary-Stufe (Štítary II, Ha B2). – Kuna, Němcová 2012.
90. Hellerschmid 2006, 281–282.
91. Sperber 2017, 171.
92. Chronologische Zuordnung durch Hellerschmid 2006.
93. Hellerschmid 2006, 282 hat einige der in diese Siedlungsphase III/1 gestellten Objekte der nachfolgendenn Siedlungsphase III/2 zugeordnet (V119, V519, V523, V777, V792, V841) und demgemäß den Nutzungshöhepunkt der Anlage später angesetzt.
94. Hellerschmid 2006, 59 (Befundbeschreibung, Datierung).
95. Auch Penz 2006, Taf. 9/1–2.
96. Wewerka 2001, 79. – Ilon 2015, 252 und Taf. 21.

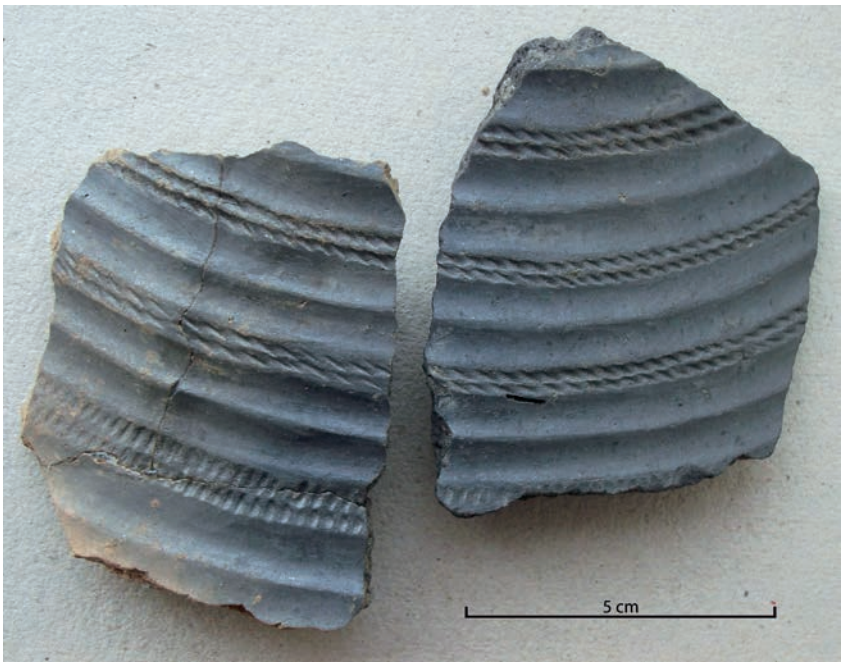


Abb. 24: Zwei Halsbruchstücke ein und desselben aufwändig verzierten, feinkeramischen Kegelhalsgefäßes. Das linke stammt aus dem Bereich der menschlichen Skelette in V841 (FNrn. St. 13159, 13160, 13365), das andere aus der etwa 40 m entfernten Grube V1138 (FNr. St. 7642).

Kegelhalsgefäße) tendenziell nach oben. Unter den (Henkel)Tassen und Schüsseln finden sich nun breitere und niedrigere Ausformungen[97] (Abb. 28/16, 17, 21). Auch unter den sieben **kannelierten Henkeltassen** aus Grube V5001 (Siedlungsphase II, Abb. 18) sind zwei mehr oder weniger deutlich breitere Spielarten dabei (Taf. 6/3; 7/3 und Abb. 28/18–19). Die Entwicklung dieser Henkeltassen mündet in den niedrigen und kleinen Henkelschüsseln der älteren und mittleren Hallstattzeit, die nach wie vor senkrechte Kannelurzier tragen.[98]

Im Umfeld von Skelett Nr. 4 aus V841 fanden sich Bruchstücke einer feinkeramischen Henkeltasse mit Wolfszahnmuster, die sich zu einem halben Gefäß zusammensetzen ließen[99] (Abb. 23; 28/20). Dieses Motiv von ineinander geschachtelten, strichgefüllten Dreiecken war besonders im benachbarten, nördlichen (Lausitzer) Raum beliebt[100] und findet sich bis in die ältere Hallstattzeit.[101]

Hellerschmid betont die starken Einflüsse der mittel- und nordwestböhmischen Knovízer Kultur (Štítary-Stufe) in diesem Abschnitt, die auch in Phase III/2 bestehen bleiben.[102] Darauf zurückzuführen ist das bemerkenswert aufwändig verzierte Halsbruchstück eines feinkeramischen Kegelhalsgefäßes,[103] das im Bereich der menschlichen Skelette in V841 gefunden wurde[104] (Abb. 24 links). Es zeigt eine flächige Verzierung aus waagrechten Riefen und Abrollungen auf den Graten. Ein weiteres Halsbruchstück (FNr. St. 7642) desselben Gefäßes konnte in der etwa 40 m entfernten Grube V1138 entdeckt werden[105] (Abb. 24 rechts). Grafitierte und polierte Außenflächen werden allgemein als Metallgefäßnachahmungen gedeutet, wobei Metallgefäße zu dieser Zeit Repräsentations- und Kultgegenstände waren.[106] Da kaum Zweifel daran besteht, dass die

97. Hellerschmid 2006, Taf.116/3, 5 aus V885; Taf. 82/4 aus V777.

98. Griebl 2004, 158 und Abb. 56: (niedrige) kleine Henkelschüsseln mit Kannelurzier.

99. Hellerschmid 2006, Taf. 105/5.

100. Podborský 1970, 50 und Taf. 47/15; 48/3. – Hellerschmid 2006, 247, 248 („flechtbandartige Anordnung der Verzierung"). – auch Bouzek, Koutecký, Neustupný 1966, Abb. 36/6 (*late period*).

101. Beispielsweise auf den grobkeramischen Kalenderberg-Henkeltassen in Grabhügeln der Malleiten bei Bad Fischau, die allgemein nach Ha C gestellt werden, Klemm 1992, 184 und Taf. 10/57, 61 (Hügel 3); Taf. 18/105 (Hügel 4); Taf. 28/172 (Hügel 5).

102. Hellerschmid 2006, 281–282.

103. Zur Verzierung: Hellerschmid 2006, 243, 244 (Kannelur und Riefe) bzw. 254 (Abrollung auf Graten von Riefen).

104. Hellerschmid 2006, Taf. 109/1, Stücknr. 19641, besteht aus drei Teilen: FNrn. St. 13159 und 13160 aus dem Bereich der Skelette (Sign. 00363, 00364) und FNr. St. 13165 (Aushub).

105. Aus Sign. 10134 in V1138. Ein Halsbruchstück derselben Machart und Gefäßform wurde im Grabungsabschnitt „Dorffeld" entdeckt (FNr. St. 138, im Jahr 1970). Es stammt nicht vom selben Gefäß, da sich zwischen den Abrollzonen kein Riefungsgrat befindet.

106. Metzner-Nebelsick 2003.

Bruchstücke vom selben Gefäß stammen, lagen demnach Einzelteile eines besonderen (im Kult verwendeten?) Gefäßes in zwei auffälligen Gruben: In V841 mit den menschlichen Siedlungsbestattungen und in der in Tuchfühlung zur Ofenreihe gelegenen V1138, die zumindest in Letztnutzung als Aschengrube diente.[107] Es liegt nahe, dass beide Gruben zur gleichen Zeit offen standen. Die charakteristischen Scherben („Zwillingsscherben") sind möglicherweise mit symbolischer Absicht eingebracht worden.

Mit dem sogenannten **Attinger Ornament**, das sich aus gerieften Zierzonen mit randlicher Abrollung zusammensetzt, ist westlicher Einfluss aus den süddeutschen Urnenfeldern im heimischen Verzierungsspektrum fassbar.[108] Es ist in V777 und V885 belegt (Abb. 28/16, 17, 21). Häufig ist es auch auf der befestigten Höhensiedlung von Brno-Obřany (Tschechien) zu finden.[109]

Bei der grobkeramischen Henkeltasse aus V841[110] (Taf. 50/5 und Abb. 28/22) mit angedeuteter, schräger Riefenzier zeigen Form, Tonart und flächige Verzierung(?) bereits erste Merkmale der späteren sogenannten Kalenderbergtassen der älteren Hallstattzeit an (siehe Sph. III/2).[111]

1.4.1.4 Siedlungsphase III/2

Siedlungsphase III/2 umfasst die Zeitperiode Ha B3b (von etwa 850 bis 800/780 v. Chr. nach Sperber 2017[112]) und endet mit der Brandzerstörung des zweiten und letzten Wallkörpers (Wall II/V1154).[113]

Die diesem letzten urnenfelderzeitlichen Abschnitt zugeordneten Speichergruben finden sich wiederum ausschließlich am „Hügelfeld". Ihre Anzahl hat sich verringert (13), wobei der Anteil der Gruben mit Tierniederlegungen (5) im Verhältnis dazu auffallend hoch ist. Die Zahl der Grubenhäuser ist am „Hügelfeld" deutlich angestiegen:

- „Hügelfeld": V31(T), V33, V479(T), V704, V715, V780, V812, V834, V1139, V1140(T) (Mw. 859 v. Chr.), Zerstörung von Ofen V1212, V2027, Zwillingsgruben V2784(T, D) (Mw. 854 v. Chr.) und V3784(T)
- Grubenhäuser („Hügelfeld"): V29, V128, V591, V690, V787

Die Speichergruben V715 und V2713[114] liegen auffällig nahe beieinander (Zwillingsgruben?), während V31 von V33 gestört wird (Kap. 2.3.2.1). Da die Keramik von V33 keinen jüngeren Eindruck als jene von V31 macht, werden beide Gruben hierher gestellt. Das Anlegen beider Objekte könnte in verhältnismäßig kurzem Zeitabstand erfolgt sein. V812 schneidet in Grube V813 aus Siedlungsphase III/1 ein (Kap. 2.2.3.5[115]).

In Siedlungsphase III/2 setzt die Errichtung von rechteckigen bis quadratischen Grubenhäusern ein, die den kennzeichnenden Hausbefund der Hallstattzeit im Kalenderbergraum darstellen.[116] Langrechteckige und quadratische Pfostenbauten mit Flechtwerkwänden sind auf der Anlage über den gesamten spätbronzezeitlichen Siedlungszeitraum hindurch anzunehmen, wie dies die Hüttenlehmfunde und größere Freiflächen zwischen den (Speicher)Gruben als mögliche Standorte anzeigen. Spätere Geländeabtragungen haben jedoch allfällige Spuren zerstört.

Das Fundgut ist vielfältig. Neben urnenfelderzeitlichen Traditionen sind bereits **neue (hallstattisierende) Tendenzen** feststellbar, welche vermehrt aus dem Westen nach Stillfried gelangen.[117] Bei den **Kegelhalsgefäßen** wird nun der Übergang von der Schulter zum Hals und vom Hals zum Rand betont, was bereits die typische Dreiteilung dieser kennzeichnenden Gefäßform in der älteren Hallstattzeit einleitet.[118]

Siedlungsphase III/2 ist die Stufe des Kulturwandels von der Urnenfelder- zur Hallstattzeit, mit dem sich Hellerschmid ausführlich befasst hat.[119] Das Ende dieses Siedlungsabschnittes wird mit der Brandzerstörung des zweiten und letzten Wallkörpers (V1154) gleichgesetzt. Während die Befestigung damit ein plötzliches Ende fand, kann in der Keramikentwicklung kein Bruch zur nächstfolgenden Siedlungsphase IV festgestellt werden.[120] Alte und neue Formen finden sich gemeinsam in den Objektverfüllungen von Siedlungsphase III/2 und Siedlungsphase IV. Mit der relativ gleichzeitigen Zerstörung gut vergleichbarer Anla-

107. Siehe auch Kap. 2.2.3.5, Dominanz Hell-Dunkel-Einfüllung und Schichtpakete aus feinen, unterschiedlichen Bändern. – Hellerschmid, Griebl in Druck.
108. Hellerschmid 2006, 254, 281.
109. Adámek 1961, 138 und Taf. XL, XLI.
110. Hellerschmid 2006, Taf. 108/6.
111. Griebl 2004, 170–172.
112. Sperber 2017, 171.
113. Hellerschmid 2006, 282.
114. V2713 kann nur allgemein nach Ha B gestellt werden.
115. Unterkapitel: Dominanz Hell-Dunkel-Einfüllung und Schichtpakete aus feinen, unterschiedlichen Bändern.
116. Griebl 2004, Kap. 4.1. – Hellerschmid 2006, 282–283, Siedlungsphasen IV und V.
117. Hellerschmid 2006, 282, 307.
118. Griebl 2004, 149, 174, 176–178 und Abb. 68. – Sperber 2017, 172. – Beispiel aus dem Gräberfeld von Stillfried: Kaus 1984, Grab 6, Taf. 8/a oder 9/u.
119. Hellerschmid 2006, Kap. 10.
120. Hellerschmid 2006, 307.



Abb. 25: In der grobkeramischen (Henkel)Tasse aus V841 deuten sich in der Form, der groben Machart (Haushaltsware) und der Verzierung mit flächig eingebrachten Fingernagelkerbreihen bereits die Kalenderbergtassen der älteren Hallstattzeit an (FNrn. St. 13223, 13234).



Abb. 26: Das Vorbild dieses beidseitig grafitierten und beidseitig verzierten Schüsselrandstücks aus V841 (FNr. St. 13222) ist in den feinkeramischen Schlesischen Schüsseln der Lausitzer Kultur (Ha B) zu finden. Die spät zu datierende Nachahmung ist bereits eher flüchtig ausgeführt (Foto: E. Weiss-Krejci, OREA/ÖAW).

gen wie jener von Thunau am Kamp (Niederösterreich)[121] und dem Ende des Horizonts III der mächtig befestigten Wallanlage von Brno-Obřany[122] – der besten Parallele zum Zentralort Stillfried – wird der Zusammenbruch der mitteldonauländischen Urnenfelderkultur vor Augen geführt.[123] In Stillfried (Sph. IV und V sowie Gräberfeldbelegung)[124] und Brno-Obřany[125], aber auch in Thunau,[126] ist eine anschließende Nutzung in der Hallstattzeit nachzuweisen, wenngleich in deutlich schwächerem Ausmaß.

Die kuppelförmigen Öfen V1212 und V1217 aus der Ofenreihe[127] am Innenfuß des Walles standen wahrscheinlich bis zur endgültigen Vernichtung der Anlage (am Ende von Sph. III/2) in Betrieb (Abb. 13).[128] V1138 und V1139 dienten zumindest in ihrer Letztnutzung sehr wahrscheinlich zum Entsorgen der Asche aus dem Ofenbetrieb, wobei eine Verwendung über zwei Siedlungsphasen (III/1 und III/2) gut vorstellbar ist. Eine Erstnutzung als Getreidespeicher ist im Hinblick auf ihre Verortung eher unwahrscheinlich.

Gut greifbar werden die beiden Siedlungsabschnitte III/1 und III/2 anhand von **V841**: Die Bestattung der Leichen(teile) erfolgte in vier Handlungsschritten innerhalb von III/1. Danach (und zwischenzeitlich) war die große Grube verdeckelt, wobei ein Hohlraum in der Grube verblieb.[129] Erst durch den späteren Versturz der Grubenwände (wahrscheinlich im Zuge der endgültigen Zerstörung der Wallanlage) verfüllte sich die Grube (IF3841). In diesen Versturzschichten (Sign. 00365, 00366, 00367) findet sich Keramik mit hallstattisierenden Merkmalen, die Siedlungsphase III/2 zugerechnet werden: So leitet die grobkeramische (Henkel) Tasse (Abb. 25; 28/23) in Form, Machart und Verzierung (flächig ausgeführte Fingernagelkerbreihen) bereits zu den Kalenderbergtassen der älteren Hallstattzeit über.[130]

Die feinkeramische Schüssel wiederum (Abb. 26; 28/25) kann als Derivat einer sogenannten Schlesischen Schüssel der Lausitzer Kultur (Ha B) bezeichnet werden. Auf der Schulter wurde das Motiv der hängenden Halbbögen um eine zentrale Delle angebracht, welches im späturnenfelder-

121. Kern 2001, 73. – Wewerka 2001, 107. – Hellerschmid, Kern, Lochner 2010, 290.
122. Podborský 1996, 218.
123. Hellerschmid, Kern, Lochner 2010, 294.
124. Hellerschmid 2006, 282–283, Keramikformen 288–289. – Gräberfeldbelegung in der Hallstattzeit: Phase III nach Stegmann-Rajtár 1992, 161 bzw. Gräberfeldstufe V nach Kaus o. J.
125. Horizont IV, Podborský 1996, 218.
126. Lochner in Vorbereitung, Taf. 1/1, 6–10; 4/9–10, 12; 67/2.
127. Die Ofenreihe besteht aus den schlüssellochförmigen Öfen V1143–1145, V1172 und V1220 und den beiden flankierenden kuppelförmigen Öfen V1217 im Süden und V1212 im Norden. Letztere werden in Siedlungsphase III gestellt, wobei V1212 schlussendlich in V1138 entsorgt wurde. Die schlüssellochförmigen Öfen werden Siedlungsphase II zugewiesen, sind also zeitgleich mit dem ersten Wallkörper. – Hellerschmid, Griebl in Druck.
128. Barg 1987, 217. – Hellerschmid, Griebl in Druck.
129. Hellerschmid 2006, 93. – Griebl, Hellerschmid 2013, 335 und Abb. 7. – Hellerschmid, Griebl in Vorbereitung.
130. Griebl 2004, 172–173.

zeitlichen und vor allem im hallstattzeitlichen Zusammenhang gut bekannt ist.[131]

Die in der späten Urnenfelder- und älteren Hallstattzeit verstärkt feststellbaren **Fremdeinflüsse aus dem Westen**[132] zeigen sich in der Schale mit eingeritzter Girlanden- und Winkelzier am innen facettierten Rand[133] (Abb. 28/24). Ihre Überreste verteilten sich über den Versturzbereich IF3841. Solche Schalen mit facettiertem, ausladendem Rand sind als verzierte und unverzierte Varianten bereits im Gräberfeld von Kelheim (Niederbayern)[134] in Ha B gut vertreten und stellen eine Leitform im früheisenzeitlichen Fundmaterial des Westhallstattraumes dar. Bei der Beurteilung des Wandels von der Urnenfelder- zur Hallstattzeit kommt ihnen eine Schlüsselrolle zu.[135] Girlandenzier ist als Fremdeinfluss auch am Stillfrieder Gräberfeld für diese Zeitstufe (Stufe IV des Gräberfeldes, Ha B3 und Übergang B3/C) vertreten.[136]

Der von Martin Penz erstmals ausführlich vorgestellte Stillfrieder Metallhortfund[137] war im Sohlenbereich der (Speicher)Grube V2784 versteckt worden. Er ist zeitlich an das Ende von Ha B3 zu stellen (Depotfundstufe [DFS] V nach Christopher Pare[138]).

1.4.1.5 Siedlungsphase IV

Unbefestigte Nutzung der Anlage in Ha C1: Frühe und ältere Hallstattzeit (Ia, Ib) nach Louis Nebelsick[139] von etwa 780 bis in die erste Hälfte des 7. Jahrhunderts v. Chr.

Die chronologische Zuweisung der kegelstumpfförmigen Grube V1008 mit Hundeskelett in diesen Zeitabschnitt wird anhand aussagekräftiger Keramikfunde vorgeschlagen. Von Hellerschmid werden drei Grubenhäuser in diesen frühhallstattzeitlichen Abschnitt gestellt:

– „Hügelfeld“: V1008(?)(T)
– Grubenhäuser („Hügelfeld“): V176?, V487/1, 2, V572[140]



Abb. 27: Das unscheinbare Schulterbruchstück aus V1008 gehörte zu einer rot geschlickerten Kragenrandschüssel. Diese kennzeichnende Form ist auf den starken Einfluss des Westhallstattraumes am Beginn der Hallstattzeit zurückzuführen (FNr. St. 617).

Zu den jüngsten Funden aus (kegelstumpfförmigen) Gruben gehört das Schulterbruchstück einer rot engobierten Kragenrandschüssel(?) aus V1008 (Abb. 27), das im Verband mit einem unvollständigen Hundeskelett gefunden wurde. Kennzeichnend sind der senkrechte (kurze) Kragenrand und die (kirsch)rote Oberfläche, die die ältere Hallstattzeit charakterisieren.[141] Solche rot (und schwarz) bemalten Gefäße gehen auf westlichen Einfluss zurück, wo sich das Alb-Hegau-Gebiet Südwestdeutschlands bereits in der späten Urnenfelderzeit zu einem Zentrum für bemalte und gestempelte Keramik (Alb-Hegau-Keramik) entwickelte.[142] Im ostösterreichischen Raum zeigt diese **rot-schwarz bemalte Keramik** die beginnende Hallstattkultur an.[143]

Das Skelettmaterial der Hündin, deren Fundlage unbekannt ist, zeigt auffällige Knochen- und Gebissveränderungen,[144] die von den anderen Stillfrieder Tierdepositionen gut bekannt sind.[145] Im selben Verband von Tierknochen und rötlichem Schüsselrandstück wurden auch ein

131. Von mittelfeinen und feinkeramischen Schüsseln und Kegelhalsgefäßen, Hellerschmid 2006, 246–247. – Podborský 1970, 185 und Abb. 30 (A Platěnitzer Kultur). – Griebl 2004, 198.
132. Für Siedlungsphasen III/2 und IV von Stillfried, Hellerschmid 2006, 312–313.
133. Aus den süddeutschen Urnenfeldern bzw. dem Westhallstattraum, Hellerschmid 2006, Taf. 112/7.
134. Auf dieselbe Weise wie das vorliegende Stillfrieder Exemplar mit kurzen, gegenständigen Ritzlinien am Rand und/oder Girlanden an der Innenwandung, Datierung nach Ha B3 (Kelheim Stufe IV): Müller-Karpe 1952, 17, Grab 144, Taf. 18/C1; Grab 239, Taf. 27/E2.
135. Stegmann-Rajtár 1992, 64 (Knickwandschalen).
136. Strohschneider 1976, 63 und Taf. 17/6. – Kaus o. J., Nr. 135.
137. Penz 2006, 350–353.
138. Pare 1998, 366, 368, 379; Beilage V.
139. Nebelsick 1997, 26–27, 68–69 und Tab. 3.
140. Langenecker 1986.
141. Stegmann-Rajtár 1992, 73. Die entsprechenden Schüsselvertreter der späten Urnenfelderzeit haben einen Trichterrand, z. B. Müller-Karpe 1952, 15, Karte 12 (dritte und jüngste Gruppe), auch Stegmann-Rajtár 1992, 64 und Abb. 16.
142. Keller 1939, 29, 42. – Zürn 1957, 224, 228–229.
143. Griebl 1997, 89–90.
144. Pucher 1986, 34–35 und Abb. 18, 19.
145. Ähnlich den Wölfen aus V628 und V2784/V3784 und dem Fuchs aus V2648.

Bruchstück eines Mondidols(?)[146] und das Randstück einer großen, grobkeramischen Schale[147] geborgen, die ebenfalls in die ältere Hallstattzeit im Ostalpenraum weisen. Aus der Verfüllschicht der Grube stammt noch das Randstück einer feinkeramischen (Einzugsrand)Schale mit Grafitstreifenmalerei.[148] V1008 wird mit Vorbehalt in Siedlungsstufe IV gestellt. Da in diesem Fall die Fundsituation des Kadavers bzw. der Tierknochen nicht überliefert ist, wäre es möglich, dass es sich um urnenfelderzeitliche Tierknochen handelt, die erst in Siedlungsphase IV in die Grube V1008 gelangten.

1.4.1.6 Siedlungsphase V

Unbefestigte Nutzung der Anlage in Ha C2 und am Übergang Ha C2/D1, mittlere bis jüngere Hallstattzeit nach Nebelsick[149] (zweite Hälfte des 7. bis erste Hälfte des 6. Jahrhunderts v. Chr.).

Eine große kegelstumpfförmige Grube (V5004) und die beiden Grubenhäuser vom „Wagneracker" sind in diesen Abschnitt der fortgeschrittenen Hallstattzeit zu stellen. Fünf Grubenhäuser vom „Hügelfeld" ordnet Hellerschmid ebenfalls hierher:

- „Wagneracker": V5004 (Mw. 582, 600 v. Chr.)
- Grubenhäuser („Wagneracker"): V5092(Mk) (Mw. 587, 604, 664 v. Chr.), V5093
- Grubenhäuser („Hügelfeld"): V102, V121[150], V486, V573[151], V898

Das archäologische Fundgut aus der großen kegelstumpfförmigen Grube **V5004** vom „Wagneracker" ist zahlenmäßig gering und wenig aussagekräftig. Unterstützt wird unsere Einordnung des Objekts in Siedlungsphase V durch ein ^{14}C-Datum, das auf einen jüngeren Horizont weist („Hallstattplateau"). Darüber hinaus unterscheidet sich die Grube durch ihr überdurchschnittliches Fassungsvermögen von etwa 15 m³ deutlich von den üblichen, urnenfelderzeitlichen Getreidespeichergruben der Hochfläche. Ein weiterer Hinweis auf die jüngere Zeitstellung ergibt sich aus der Beobachtung, dass die Keramik aus diesem Objekt keine Keramikbruchmagerung aufweist, welche am „Wagneracker" in der Urnenfelderzeit üblich war (Kap. 3.1.1).

Im näheren Umfeld von V5004 wurden zwei Grubenhäuser angeschnitten (V5092, V5093, Abb. 14). Die erste archäologische Beurteilung des Fundguts aus V5092 (und V5093[152]) erlaubt eine Zeitstellung in die fortgeschrittene Hallstattkultur. Die Verfüllschichten von V5092 enthielten gleich mehrere menschliche Schädelteile, wovon von zweien ^{14}C-Datierungen erstellt wurden, welche in das „Hallstattplateau" fallen (Unterkieferhälfte FNr. St. 16076; Scheitelbeinbruchstück FNr. St. 16115).

Aus dem Verfüllmaterial oberhalb der Hirschkuh in V1140 (am „Hügelfeld") stammen zwei jüngere Scherben: Ein Schulterstück einer **Schüssel mit Pseudokalenderbergzier** (Ha C2/D1)[153] und das Bruchstück einer (Einzugsrand) Schale mit **Grafitstreifenmalerei** (Ha C–D1).[154] Da die ^{14}C-Datierung des Tierskeletts eine Zuordnung in Siedlungsphase III/1–III/2 aufzeigt, erfolgte die vollständige Verfüllung dieser Grube möglicherweise erst in der Hallstattzeit.

1.4.1.7 Zusammenfassende Aussagen zur relativen und absoluten Chronologie

Annähernd alle (bisher ergrabenen) kegelstumpfförmigen Gruben von der Wallanlage Stillfried sind in die vier urnenfelderzeitlichen Nutzungsabschnitte – Siedlungsphasen I bis III/2 (Ha A2/B1–Ha B3b) – zu stellen. Damit erweist sich diese Objektgruppe als die kennzeichnende Befundgattung der befestigten Wallanlage von Stillfried. Sie belegt, dass die Vorratsspeicherung in Ha B im Boden erfolgte.

In die beiden mittleren Siedlungsabschnitte (II, III/1) fallen dabei die mit Abstand meisten Speichergruben (45 von 67 datierbaren Gruben), wobei am archäologisch großflächig erschlossenen „Hügelfeld" durch alle vier urnenfelderzeitlichen Abschnitte hindurch kegelstumpfförmige Speichergruben angelegt wurden. Die Tierniederlegungen in den Gruben verteilen sich ziemlich regelmäßig über die Siedlungsphasen I bis III/2, wobei ihr Anteil in Siedlungsphase III/2 im Verhältnis zur Gesamtgrubenzahl auffallend hoch ist (Abb. 29, 33, 55). Bemerkenswerterweise finden sie sich ausschließlich am „Hügelfeld".

Alle sechs kegelstumpfförmigen Gruben von den neu vorgelegten Grabungsflächen „Wagneracker" und „Küssleracker" weisen wir Siedlungsphase II zu. Durch den kleinen Untersuchungsausschnitt sind Aussagen zur Horizontalstratigrafie dieser Bereiche allerdings nur sehr bedingt möglich.

---

146. Hellerschmid, Griebl in Vorbereitung: V1008, FNr. St. 617.
147. FNr. St. 617. – Bei Griebl 2004, 162–163 mit Randdurchmessern bis annähernd 50 cm werden sie als tragbare Herde gedeutet.
148. FNr. St. 565, Hellerschmid, Griebl in Vorbereitung, V1008.
149. Nebelsick 1997, 68, 77–83 und Tab. 3.
150. Eibner A. 1974.
151. Langenecker 1986.
152. Das Fundgut aus beiden Grubenhäusern ähnelt sich stark und spricht für dieselbe Zeitstellung (jüngere Hallstattzeit). Die Bearbeitung steht noch aus.
153. Heiling-Schmoll 1987, Taf. VI/7. – Hellerschmid, Griebl in Vorbereitung.
154. Heiling-Schmoll 1987, Taf. V/5. – Hellerschmid, Griebl in Vorbereitung.

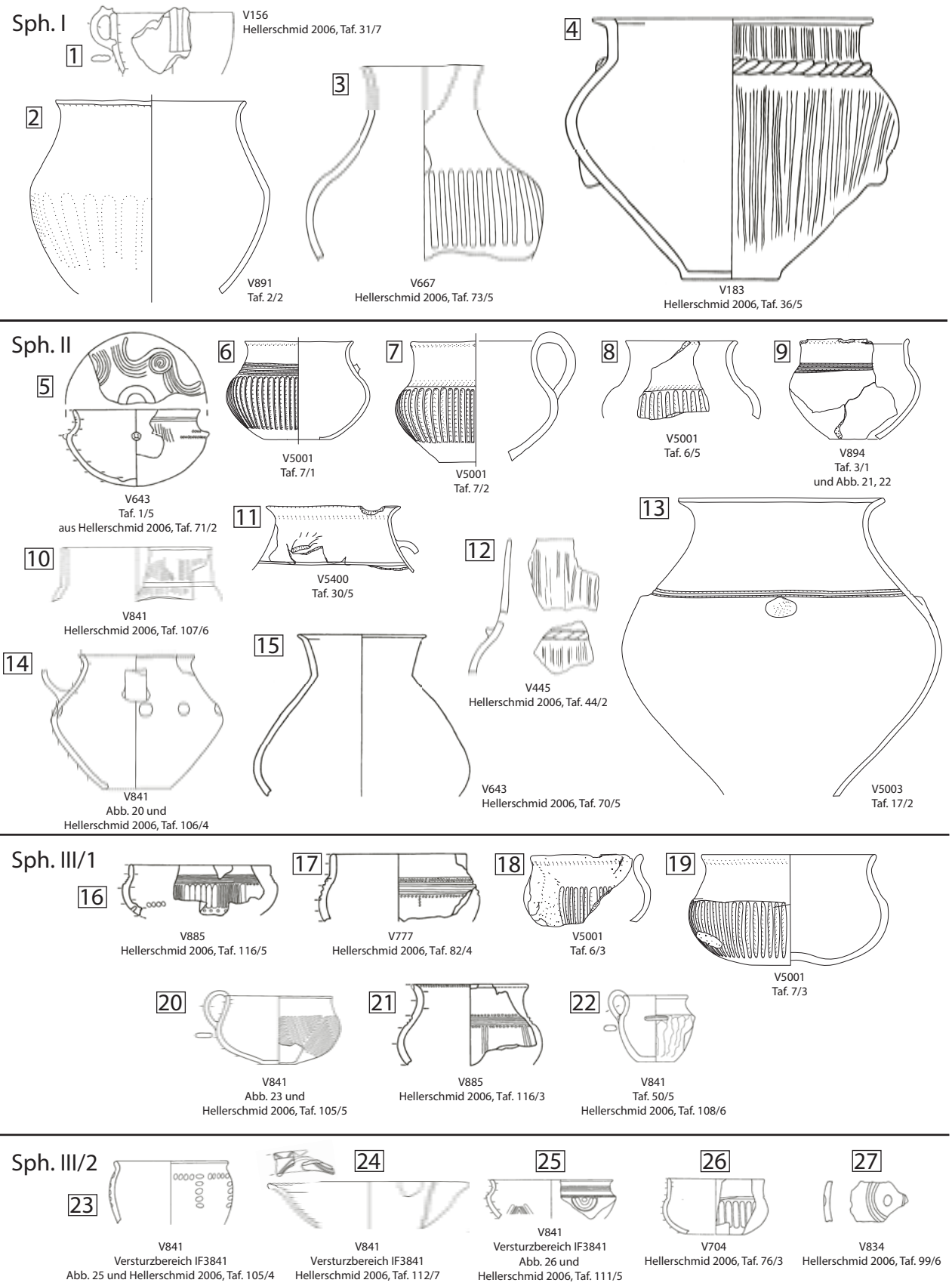


Abb. 28: Die vier urnenfelderzeitlichen Siedlungsabschnitte der Wallanlage von Stillfried (Ha A2/B1 bis Ende Ha B3) und ihnen zugeordnete Keramikformen (ohne Maßstab).

Siedlungsphasen von Stillfried an der March					
Siedlungsphasen Stillfried nach Hellerschmid 2006[a]	absolut (v. Chr.) nach Sperber 2017 und Nebelsick 1997	Phasenbezeichnungen nach Müller-Karpe 1959, Müller-Karpe 1974, Sperber 2017 und Nebelsick 1997	nach Nebelsick 1997	Ereignisse	zugeordnete Verfärbungen (V) Grabungsflächen: HF – Hügelfeld; KH – Kirchhügel; WA – Wagneracker; KÜ – Küssleracker; BE – Bügeleisen
Sph. I	etwa 1100–960[b]	Übergang mittlere/jüngere UK (Ha A2/B1) und Abschnitt Ha B1		Palisadenbefestigung	**HF:** 106, 156, 164, 183 (D), 204, 667, 891, 949 (T)
Sph. II	etwa 960–900	Ha B2 jüngere Urnenfelderzeit		Errichtung von Wall I (V1267); Anlegung des Gräberfeldes im Tal;[c] endet mit der Zerstörung des Walles durch Brand.	**HF:** 15 (T), 26, 52, 67 (T), 171, 234, 407, 409, 510, 628 (T), 643 (G,T) (Mw. 925 v. Chr.), 656, 662, 729, 868, 894, 897 **WA:** 5000 (Mk) (Mw. 868 v. Chr., 926 v. Chr.), 5001 (G,M) (Mw. 928 v. Chr., 937 v. Chr., 1009 v. Chr., 1059 v. Chr.), 5003 (Mw. 901 v. Chr.), 5005 (Mw. 859 v. Chr., 950 v. Chr., 981 v. Chr.), 5006 (Mw. 1009 v. Chr.) **KÜ:** 5400 (Mw. 924 v. Chr.)
Sph. III/1	etwa 900–850/840	Ha B3a[d] späte Urnenfelderzeit	späte Urnenfelderzeit	Errichtung von Wall II (V1154)	**HF:** 1, 43, 119, 195 (T), 198, 341, 445 (Mk,T) (Mw. 858 v. Chr.), 519, 523, 526, 621, 777, 792, 813, 831, 841 (M) (Mw. 892 v. Chr., 918 v. Chr.), 871, 885 (Mk) (Mw. 902 v. Chr., 926 v. Chr.), 994 (T), 1133 (Mk,T) (Mw. 918 v. Chr.), 1138 (Mk) (Mw. 913 v. Chr.), 2648 (T) **KH:** 1141 (M, Mw. 895 v. Chr., 910 v. Chr., 1250 v. Chr.) HF: *Grubenhäuser*[e] *131, 601 (*M,T,Mk*), 803*
Sph. III/2	etwa 850–800/780	Ha B3b[f] späte Urnenfelderzeit	Endurnenfelderzeit	verstärktes Einsetzen von Grubenhäusern, hallstattisierende Elemente; endet mit der Zerstörung des Walles II, der nicht mehr aufgebaut wird; Brandschuttkomplex V1265	**HF:** 31 (T), 33, 479 (T), 704, 715, 780, 812, 834, 1139, 1140 (T) (Mw. 859 v. Chr.), Zerstörung von Ofen 1212, 2027, 2784 (T,D) (Mw. 854 v. Chr.), 3784 (T) HF: *Grubenhäuser*[g] *29, 128, 591, 690, 787*
Sph. II oder III/1					**HF:** V1015, 1325 **WA:** 5009
nicht näher zuordenbar innerhalb von Ha B					**HF:** 18, 193, 245 (T), 383, 394, 412, 514, 603, 634, 793, 819, 889, 981, 992, 2044 (T), 2713, 2779 **BE:** alle kegelstumpfförmigen Gruben
Sph. IV	780 – etwa 650	Ha C1[h]	frühe und ältere Hallstattzeit		**HF:** 1008(?) (T) HF: *Grubenhäuser: 176?, 487/1,2, 572*
Sph. V	2. Hälfte des 7. Jhs. – 1. Hälfte des 6. Jhs.	Ha C2, Ha C2/Ha D1[i]	mittlere und jüngere Hallstattzeit		**WA:** 5004 (Mw. 582 v. Chr., 600 v. Chr.) WA: *Grubenhaus* 5092 (Mk) (Mw. 587 v. Chr., 604 v. Chr., 664 v. Chr.); 5093 HF: *Grubenhäuser: 102, 121, 486, 573, 898*

[a]) Auf der Grundlage von Hellerschmid 2006, 22–23, 279–291, Abb. 10–15.
[b]) Nach Sperber 2017, 171 (Ende von Ha B1 um 960 v. Chr.).
[c]) Kaus 1984; Strohschneider 1976.
[d]) Stufenbezeichnung nach Sperber 2017, 171, Abb. 72C (mitteldanubische Urnenfeldergruppe und oberösterreichisch-salzburgische Gruppe mit mitteldanubisch-niederbayerischer Mischfazies).
[e]) Datierung nach Hellerschmid 2006, 61–62.
[f]) Stufenbezeichnung nach Sperber 2017, 171 (mitteldanubische Urnenfeldergruppe und oberösterreichisch-salzburgische Gruppe mit mitteldanubisch-niederbayerischer Mischfazies).
[g]) Datierung nach Hellerschmid 2006, 61–62.
[h]) Nebelsick 1997, 68.
[i]) Nebelsick 1997, 68.

Abb. 29: Tabellarische Auflistung der sechs Siedlungsphasen von Stillfried (Urnenfelder- und Hallstattzeit) mit den zugeordneten Verfärbungen. In Klammer stehen die Mittelwerte (Mw.) der ^{14}C-Daten. In kursiver Schrift finden sich die Grubenhäuser, deren Zeitstellung wir von Hellerschmid 2006 übernommen haben. Legende: T = Grube mit Tierniederlegung; M = Grube mit Siedlungsbestattung (menschlicher Überrest, der im Sehnenverband in die Grube kam); Mk = Grube mit menschlichem/n (entfleischtem/n) Einzelknochen (Schädel, sonstige Knochen); D = Deposition (absichtsvolle Niederlegung?) von sonstigen Gegenständen; G = Schicht verkohlten Getreides (und verkohlter Wildpflanzenreste); Mw. = Mittelwert der kalibrierten ^{14}C-Datierungen.

Die wenigen Gruben mit Menschendepositionen sind ebenfalls auf die beiden mittleren Abschnitte einzugrenzen. Damit erreichte die Erschließung der Wallanlage von Stillfried nach jetzigem Forschungsstand in den Siedlungsphasen II und III/1 ihren Höchststand, woraus auf eine Hochblüte des Zentralortes im späten 10. und frühen 9. Jahrhundert v. Chr. rückgeschlossen werden kann (Ha B2 und Ha B3 früh).

In Siedlungsphase III/2 setzen vermehrt Grubenhäuser ein, die den kennzeichnenden Hausbefund der anschließenden Hallstattzeit darstellen. Bei den wenigen, in die beiden hallstattzeitlichen Siedlungsabschnitte IV und V gestellten Objekten handelt es sich fast ausschließlich um Grubenhäuser (etwa zehn). Die Getreidespeicherung erfolgte in der Hallstattzeit offensichtlich oberirdisch, was mit den nachweislich feuchteren Klimabedingungen zu erklären ist.[155] Damit bricht auch die Sitte der Tierdepositionen in aufgelassenen Speichergruben ab.[156]

Bei einer kegelstumpfförmigen Grube mit unvollständigem Hundeskelett (V1008) konnte aufgrund einer unzureichenden Befunddokumentation keine verlässliche chronologische Zuordnung getroffen werden. Dies wäre weiter nicht erwähnenswert, wären nicht einige gut datierbare Fundstücke, die wir dieser Grube zuordnen, in die ältere Hallstattzeit zu stellen. Damit muss unser Ergebnis, wonach Getreidespeicherung im Boden (in kegelstumpfförmigen Gruben innerhalb einer bestimmten Kubatur) auf die urnenfelderzeitlichen Siedlungsstufen beschränkt ist, relativiert werden. In vereinzelten Fällen wurden Speichergruben möglicherweise erst in Siedlungsphase IV endgültig verschlossen.

1.4.2 ^{14}C-Daten

1.4.2.1 Überblick zu den ^{14}C-Daten von Stillfried

Im Laufe der jüngeren Forschungsgeschichte von Stillfried wurden insgesamt 75 ^{14}C-Daten von 40 verschiedenen Befunden ermittelt (Abb. 30, 31). Neunundvierzig Daten weisen in die Urnenfelderzeit, wovon 37 im Zeitraum von etwa 950 bis 850 v. Chr. angesiedelt sind (grauer Balken in Abb. 31), was den Siedlungsphasen II und III/1 entspricht. Damit ist vermutlich die Hauptnutzungsphase der urnenfelderzeitlichen Wallanlage von Stillfried erfasst, was sich in der archäologischen Datierung bestätigt.

Die ersten Proben wurden Ende der 1970er-Jahre von Holzresten der Wallanlage genommen (Vienna Radium Institute, Austria; VRI-Daten).[157] Die Ergebnisse dieser frühen Untersuchungen weisen eine aus heutiger Sicht hohe Messungenauigkeit auf, begründet in der noch nicht ausgereiften Messmethode. Entsprechend groß sind die ermittelten Zeitspannen, wiewohl alle vier Daten im erwarteten Zeitrahmen liegen.[158]

Im Jahr 2001 veröffentlichte Kohler-Schneider fünf Daten von verkohlten Getreidekörnern, die als kurzlebige Proben ein sehr geeignetes Untersuchungsmaterial liefern. Sie wurden im Labor der ETH Zürich erstellt.[159] Von den Gruben V5001 und V5005 besteht noch jeweils ein zweites Datum aus einem anderen Labor. In beiden Fällen ist das von der ETH Zürich erstellte Datum höher bzw. zeigt eine längere Zeitspanne.

Ein ^{14}C-Datum konnte darüber hinaus von den Getreideerzeugnissen aus Grube V5400 erstellt werden.[160] Das Ergebnis weist in die Urnenfelderzeit und bekräftigt den Verdacht, dass die zweite Probe mit einem viel jüngeren Datum (römische Kaiserzeit, Poz-99235[161]) von einer Störung herrührt.

Ein weiteres Radiokarbondatum wurde im Zuge des DFG-Projekts „Scales of Transformations: Human-Environmental Interaction in Prehistoric and Archaic Societies" an der Universität Kiel aus verkohlten Rispenhirseklümpchen aus V5001 gewonnen.[162]

Im Rahmen eines Projekts des Fonds zur Förderung der wissenschaftlichen Forschung (FWF)[163] konnten drei

155. Jäger, Ložek 1978, 211–212, 218–219.

156. Hellerschmid 2006, 307.

157. Felber 1979. – Eibner 1980, 135. – Barg 1987, 239.

158. Die verkohlten Holzproben aus dem jüngeren Wallbau V1154 (VRI-477 und 584) weisen wie erwartet in die jüngste Urnenfelderzeit. Jene Holzkohleprobe aus der hallstattzeitlichen Lößschicht, welche über dem Brandschichtpaket V1265 lag (Sign. 10028, VRI-774), befindet sich im „Hallstattplateau". V1265 hat sich aus den Überresten der großen Brandzerstörung des zweiten und letzten Wallkörpers V1154 gebildet, Hellerschmid, Griebl in Druck. Das verkohlte Holz aus dem spätlatènezeitlichen Grubenhaus V2100 (VRI-773), welches direkt in die Wallüberlagerungen eingetieft wurde, umfasst den Zeitraum um Christi Geburt.

159. Kohler-Schneider 2001, 37.

160. Probe FNr. St. 12050.4. ERC-Projekt PLANTCULT. Für die Finanzierung danken wir backaldrin International – The Kornspitz Company GmbH (Labor: Beta Analytic).

161. Tierknochen FNr. St. 12049.14.

162. Probe FNr. St. 16696.1. Projektnr. 2901391021 (Universität Kiel, 2018/2019), über Vermittlung von M. Kohler-Schneider. Da die Rohdaten nicht vorliegen, konnte diese Messung nicht in Abb. 31 aufgenommen werden.

163. Leitung: G. Trnka, FWF-Projekt P-13971-G03, Laufzeit 2005–2007.

weitere ^{14}C-Daten[164] ermittelt werden. Die Messung nahm das Laboratorium Vienna Environmental Research Accelerator (VERA) vor.[165] Während die drei Ergebnisse von V1133 (VERA-2917, Poz- 59943 und Poz-59987) sehr gut übereinstimmen, fällt eines der drei Resultate aus der Massenbestattung in Grube V1141 durch ein zu hohes Datum aus der Reihe, was bereits Hellerschmid erläutert hat.[166]

Die Mehrzahl der ^{14}C-Datierungen wurde im FWF-Projekt zu den Tier- und Menschenniederlegungen erstellt.[167] Die Messungen wurden vom Poznan Radiocarbon Laboratory durchgeführt.[168] Beprobt wurden vorrangig die Skelette der in Gruben abgelegten Menschen und Tiere. Dazu kamen Tier- und Menschenknochen aus sonstigen Objekten und Wallschichten, um die Zeitstellung grob abzuklären. Auf diesem Wege wurde die Frage nach der Datierung der Säuglingsbestattung V2913 beantwortet, die in die Überreste des Walles eingetieft wurde. Obwohl die Stratigraphie ein latènezeitliches Datum erwarten ließ, weist das Ergebnis in die Hallstattzeit.[169] Andere menschliche und tierische Knochenproben aus den Verfärbungen V51, V59, V331, V370 und V413 erwiesen sich als römerzeitlich bzw. als hoch- bis spätmittelalterlich. Die Hochfläche wurde in diesen beiden Epochen ebenfalls intensiv genutzt, sodass eine dahin gehende Datierung im Regelfall eine Störung des als urnenfelderzeitlich vermuteten Befundes aufzeigen wird.

Auch im Zuge des FWF-Projekts „Ressourcensicherung, Macht und Kult in Stillfried?“,[170] dessen Ergebnisse in diese Arbeit münden, konnten 15 ^{14}C-Daten erzeugt werden, wiederum vom Poznan Radiocarbon Laboratory ausgeführt.[171] Der Fokus lag auf der Datierung der Gruben von den bislang noch nicht bearbeiteten Grabungsflächen „Wagneracker“, „Bügeleisen“ und „Küssleracker“. Hierfür wurden Tierknochen gewählt, die möglichst nahe an der Grubensohle gefunden wurden und somit relativ sicher aus dem jeweiligen Befund stammen. In einem Fall (V5001) wurde das Skelett eines menschlichen Neugeborenen beprobt. Dennoch erhielten wir aus zwei Gruben vom „Bügeleisen“ (V5201, V5205) ein Ergebnis, das in die Spätantike bzw. ins Mittelalter weist. Auch eine Probe aus der Grube vom „Küssleracker“ (V5400) erbrachte – wie bereits erwähnt – ein römerzeitliches Datum. Wir gehen davon aus, dass in diesen drei Fällen im Zuge der Fundverwaltung während der Ausgrabung Fehler gemacht wurden, da das keramische Fundmaterial urnenfelderzeitlich ist.[172]

Des Weiteren ließen wir menschliche Schädelfragmente aus unterschiedlichen Zusammenhängen[173] ^{14}C datieren. Das Ergebnis bestätigt unsere Vermutung, wonach einige der in jüngeren Befunden gelegenen Schädelfragmente aus der Urnenfelderzeit stammen (FNrn. St. 16261 und 16259 aus dem mittelalterlichen Graben V5095). Obwohl diese beiden Schädelteile mit großer Wahrscheinlichkeit vom selben Individuum stammen, lagen ihre ^{14}C-Daten 200 Jahre auseinander. Eine neuerliche Messung jenes Knochens mit der höheren Zeitstellung (FNr. St. 16259) erbrachte dann Gewissheit, dass ein Messfehler unterlaufen war, denn das neue Ergebnis von FNr. St. 16259 ist deutlich jünger als das ursprüngliche Messergebnis und stimmt nun gut mit dem anderen Schädelknochen aus V5095 überein (FNr. St. 16261). Als Reaktion darauf wurden alle Altersermittlungen dieses bestimmten (Mess)Durchgangs wiederholt. Die Ergebnisse sind in einer Tabelle (Abb. 30) mit dem Vermerk „Messwiederholung“ ersichtlich.[174]

Für den beprobten Tierknochen aus der Grube mit den drei menschlichen Schädeln, V5000 vom „Wagneracker“, liegen damit zwei abweichende Messdaten vor, von denen eines mit Siedlungsabschnitt II übereinstimmt und das andere mit Siedlungsphase III/1. Aufgrund der Tatsache, dass alle sonstigen Gruben vom „Wagneracker“ in Siedlungsstufe II liegen, wird auch Grube V5000 dorthin gestellt, was dem zweiten, neu ermittelten Datum entspricht.

164. Probe aus der Grube mit dem Mädchenschädel V1133 und Proben von zwei menschlichen Skeletten aus V1141.

165. Die Daten sind bei Hellerschmid 2006, 293 veröffentlicht.

166. VERA-2919 (Skelett Nr. 7), Hellerschmid 2006, 293.

167. Leitung: I. Hellerschmid, FWF-Projekt P-22755-G19, Laufzeit 2011–2015.

168. Verwendetes Kalibrationsprogramm von OxCal. – Die Knochenproben aus Stillfried enthielten mit ganz wenigen Ausnahmen ausreichend Kollagen für die Beprobung.

169. Hellerschmid, Griebl in Druck, Hauptwallschnitt NP IIa.

170. Projektnr. P-28005-G25, Leitung: M. Lochner (Laufzeit 2015–2019).

171. Zuzüglich weiterer sechs Messungen aus einer Messwiederholung vom April/Mai 2019.

172. Möglicherweise handelt es sich um eine Verschleppung durch einen Tiergang.

173. Aus dem hallstattzeitlichen Grubenhaus V5092 und den beiden mittelalterlichen Gräben V5094 und V5095 vom „Wagneracker“, aus Grube V885 vom „Hügelfeld“ sowie aus Suchschnitt B vom „Küssleracker“ ohne Befundzusammenhang.

174. Für die Stichprobe FNr. St. 17038.5 aus V5005 ergab sich ein Unterschied von + 95 Jahren zur ersten Messung. Die weiteren fünf Messwiederholungen aus fünf Gruben (V5000, V5004, V5400, V5201, V5205) erbrachten alle ein älteres Datum. Die ermittelten Unterschiede bewegen sich dabei zwischen –70 Jahre für FNr. St. 12049.14/V5400 (römerzeitlich), –60 Jahre für FNr. St. 16008.3/V5000 und –25 Jahre für die hallstattzeitliche Grube V5004 (FNr. St. 16907.6).

Untersuchungsnummer	FNr.	Untersuchungsobjekt	^{14}C-Datierung	OxCal (95,4%)
R_Date **V0051**_HF_Poz-59944	St. 943	Homo sapiens, Oberarmfragment	1000±30 BP	982–1153 AD
R_Date **V0059**_HF_Poz-59947	St. 1659	Feldhase, Elle	1810±30 BP	126–323 AD
R_Date **V0128**_HF_Poz-59946	St. 1583	Homo sapiens, Unterkiefer	2715±30 BP	914–810 BC
R_Date **V0300**_HF_Poz-59951	St. 2946	Homo sapiens, Schlüsselbeinfragment	2660±30 BP	896–793 BC
R_Date **V0331**_HF_Poz-59948	St. 2292	Homo sapiens(?), Fingerknochen	1765±30 BP	139–380 AD
R_Date **V0370**_HF_Poz-59950	St. 2527	Hausschwein, Schädel	435±30 BP	1417–1615 AD
R_Date **V0377**_HF_Poz-59957	St. 4570	Homo sapiens, Schienbeinfragment	2690±30 BP	901–803 BC
R_Date **V0403**_HF_Poz-59954	St. 4430	Homo sapiens, Oberarmfragment	2750±30 BP	976–821 BC
R_Date **V0403**_HF_Poz-59961	St. 4772	Homo sapiens, Rippenfragment	2740±30 BP	972–816 BC
R_Date **V0413**_HF_Poz-59958	St. 4574	Homo sapiens, Unterkieferfragment	950±30 BP	1024–1155 AD
R_Date **V0436**_HF_Poz-59960	St. 4676	Homo sapiens, Schlüsselbeinfragment	2735±30 BP	970–814 BC
R_Date **V0437**_HF_Poz-59953	St. 4380	Homo sapiens, Oberschenkelfragment	2745±30 BP	975–818 BC
R_Date **V0445**_HF_Poz-59955	St. 4443	Homo sapiens, Unterkieferfragment	2705±30 BP	909–807 BC
R_Date **V0499**_HF_Poz-59962	St. 4789	Homo sapiens, Sprungbeinfragment	2750±30 BP	976–821 BC
R_Date **V0601**_HF_Poz-59966	St. 8020	Homo sapiens, Handknochen	3040±30 BP	1406–1213 BC
R_Date **V0601**_HF_Poz-78215	St. 8852	Haushund	2875±30 BP	1189–936 BC
R_Date **V0643**_HF_ETH-16496	St. 11399	verkohlte Getreidekörner	2785±50 BP	1055–818 BC
R_Date **V0841**_HF_Poz-59980	St. 13150, Sign. 9041, IF2071	Homo sapiens (Mann SK1), Rippe	2735±30 BP	970–814 BC
R_Date **V0841**_HF_Poz-59981	St. 13150, IF2083	Homo sapiens (Kind SK12)	2770±30 BP	998–838 BC
R_Date **V0885**_HF_Poz-99246	St. 21474	Homo sapiens, Scheitelbeinfragment	2755±30 BP	978–827 BC
R_Date **V0885**_HF_Poz-111787	St. 21474	Homo sapiens, Scheitelbeinfragment	2785±30 BP Messwiederholung[a]	1007–845 BC
R_Date **V1044**_HF_Poz-59956	St. 4498	Homo sapiens, Schienbeinfragment	2725±30 BP	924–811 BC
R_Date **V1110**_HF_Poz-59979	St. 12862	Homo sapiens, Unterkieferfragment	2800±35 BP	1045–845 BC
R_Date **V1133**_WW_Poz-59987	St. 122	Homo sapiens (Kind), Schädel mit Hieblöchern	2810±30 BP	1050–860 BC
R_Date **V1133**_WW_VERA-2917	St. 164[b]	Homo sapiens (Kind), Schädel mit Hieblöchern	2810±35 BP	1054–847 BC
R_Date **V1133**_WW_Poz-59943	St. 132	Rind, Carpale II+III	2770±30 BP	998–838 BC
R_Date **V1138**_WW_Poz-59965	St. 7673	Homo sapiens (Kind), Bein-/Fußknochen	2760±30 BP	994–831 BC
R_Date **V1140**_WW_Poz-59964	St. 7644	Rothirsch, Kniescheibe	2710±30 BP	911–808 BC
R_Date **V1141**_KH_Poz-78217	St. 9208	Homo sapiens, Speichenknochen	2770±30 BP	997–839 BC
R_Date **V1141**_KH_VERA-2918	o. FNr. IF2247, Sign. 9023	Homo sapiens (Mann SK1)	2745±35 BP	976–815 BC
R_Date **V1141**_KH_VERA-2919	o. FNr. IF2253, Sign. 9029	Homo sapiens (Kind SK7)	3000±35 BP	1384–1120 BC
R_Date **V1154**_WW_VRI-584	St. 7650[c]	verkohltes Holz aus dem Holz-Erde-Wall	2700±80 BP	1107–599 BC
R_Date **V1154**_WW_VRI-477	o. FNr.[d]	verkohltes Holz aus dem Holz-Erde-Wall	2590±80 BP	910–431 BC
R_Date **V1217**_WW_Poz-78214	St. 9603	Homo sapiens, Unterkieferfragment	4170±35 BP	2885–2632 BC
R_Date **V1265**_WW_Poz-59952	St. 3466	Homo sapiens, Wadenbeinfragment	2745±30 BP	975–818 BC
R_Date **V1265**_WW_Poz-59983	St. 3471	Rind oder Rothirsch, Schienbeinfragment	2790±30 BP	1011–845 BC
R_Date **V1265**_WW_Poz-59985	St. 3536	Rind, Zahn	2860±30 BP	1126–926 BC
R_Date **V1265**_WW_Poz-59986	St. 9578	Schaf(?), Schulterblatt	1690±30 BP	256–420 AD
R_Date **V1267**_WW_Poz-78216	St. 33	Homo sapiens, Kalottenfragment (aus dem älteren Wall V1267)	3330±35 BP	1729–1517 BC
R_Date **V2100**_WW_VRI-773	St. 7225[e]	verkohltes Holz aus dem spätlatènezeitlichen Grubenhaus V2100	1990+90 BP	343 BC–234 AD
R_Date **Sign. 10028**_WW_VRI-774	St. 7226[f]	verkohltes Holz aus der Lößanschüttung Sign. 10028 am Wall (Hallstattzeit)	2650+110 BP	1053–430 BC
R_Date **V2784**_HF_Poz-78218	St. 21307	Wolf, Röhrenknochen	2695±30 BP	901–806 BC
R_Date **V2913**_WW_Poz-59963	St. 7130	Homo sapiens (Säugling), Schädel	2535±30 BP	797–544 BC
R_Date **V5000**_WA_Poz-99232	St. 16008.3	Tierknochen	2725±30 BP	924–812 BC
R_Date **V5000**_WA_Poz-111774	St. 16008.3	Tierknochen	2785±30 BP Messwiederholung	1007–845 BC
R_Date **V5001**_WA_ETH-16498	St. 16498	verkohlte Getreidekörner	2880±50 BP	1210–926 BC
R_Date **V5001**_WA_Poz-99240	St. 16332.1	Homo sapiens, Fötus oder Neugeborenes	2790±30 BP	1011–846 BC
R_Date **V5001**_WA_Poz-111781	St. 16332.1	Homo sapiens, Fötus oder Neugeborenes	2800±30 BP Messwiederholung	1027–848 BC

Untersuchungsnummer	FNr.	Untersuchungsobjekt	^{14}C-Datierung	OxCal (95,4%)
R_Date **V5001**_WA	St. 16696.1[g]	verkohlte Hirse		1110–909 BC[h]
R_Date **V5003**_WA_ETH-16497	o. FNr., aus Sign. 20018	verkohlte Getreidekörner	2750±50 BP	1005–811 BC
R_Date **V5004**_WA_Poz-99233	St. 16907.6	Tierknochen	2445±35 BP	755–409 BC
R_Date **V5004**_WA_Poz-111775	St. 16907.6	Tierknochen	2470±30 BP Messwiederholung	768–431 BC
R_Date **V5005**_WA_ETH-16499	St. 17053	verkohlte Getreidekörner	2830±50 BP	1126–844 BC
R_Date **V5005**_WA_Poz-99239	St. 17038.5	Homo sapiens, Oberarmknochen	2805±30 BP	1046–855 BC
R_Date **V5005**_WA_Poz-111780	St. 17038.5	Homo sapiens, Oberarmknochen	2710±30 BP Messwiederholung	910–809 BC
R_Date **V5006**_WA_ETH-16500	St. 17078	verkohlte Getreidekörner	2840±50 BP	1192–850 BC
R_Date **V5092**_WA_Poz-99269	St. 16076	Homo sapiens, Unterkieferfragment	2505±30 BP	787–540 BC
R_Date **V5092**_WA_Poz-99241	St. 16115	Homo sapiens, Scheitelbeinfragment	2480±30 BP	774–434 BC
R_Date **V5092**_WA_Poz-111782	St. 16115	Homo sapiens, Scheitelbeinfragment	2460±35 BC Messwiederholung	759–416 BC
R_Date **V5094**_WA_Poz-99243	St. 16295	Homo sapiens, Schädeldachfragment	2930±30 BP	1220–1025 BC
R_Date **V5094**_WA_Poz-111785	St. 16295	Homo sapiens, Schädeldachfragment	2910±30 BP Messwiederholung	1209–1011 BC
R_Date **V5094**_WA_Poz-99244	St. 16755	Homo sapiens, Unterkieferfragment	2725±30 BP	924–812 BC
R_Date **V5094**_WA_Poz-111786	St. 16755	Homo sapiens, Unterkieferfragment	2735±30 BP Messwiederholung	968–814 BC
R_Date **V5095**_WA_Poz-99242	St. 16261	Homo sapiens, Hinterhauptfragment	2730±30 BP	930–812 BC
R_Date **V5095**_WA_Poz-111784	St. 16261	Homo sapiens, Hinterhauptfragment	2740±30 BP Messwiederholung	971–816 BC
R_Date **V5095**_WA_Poz-99245	St. 16259	Homo sapiens, Scheitelbeinfragment	2875±30 BP[i]	1189–936 BC
R_Date **V5095**_WA_Poz-111333	St. 16259	Homo sapiens, Scheitelbeinfragment	2745±30 BP Messwiederholung	974–819 BC
R_Date **V5201**_BE_Poz-99236	St. 10562.1	Tierknochen	1640±30 BP	336–535 AD
R_Date **V5201**_BE_Poz-111777	St. 10562.1	Tierknochen	1665±30 BP Messwiederholung	258–506 AD
R_Date **V5205**_BE_Poz-99237	St. 10570.2	Tierknochen	820±30 BP	1165–1265 AD
R_Date **V5205**_BE_Poz-111778	St. 10570.2	Tierknochen	855±30 BP Messwiederholung	1050–1259 AD
R_Date **V5400**_KA_Poz-99235	St. 12049.14	Tierknochen	1830±35 BP	83–316 AD
R_Date **V5400**_KA_Poz-111776	St. 12049.14	Tierknochen	1900±30 BP Messwiederholung	28–214 AD
R_Date **V5400**_KA_Beta-486379	St. 12050.4	verkohltes Getreideerzeugnis	2780±30 BP	1004–844 BC
R_Date **o. N.**_KA_Poz-99268	St. 12206	Homo sapiens, Scheitelbeinfragment	2690±30 BP	900–804 BC

[a]) Aufgrund eines vermuteten Messfehlers bei der Messung der Probe Poz-99245 (FNr. St. 16259, V5095) wurden die Messungen aller der am selben Tag vorgenommenen Probenmessungen wiederholt.
[b]) Hellerschmid 2006, 293. Es handelt sich um denselben Schädel, der bei der Messung Poz-59987 verwendet wurde.
[c]) Barg 1987, 239, der älteren Wallphase zugeordnet (Wall I, V1267).
[d]) Von Barg 1987, 239, der älteren Wallphase zugeordnet (Wall I, V1267).
[e]) Barg 1987, 239.
[f]) Barg 1987, 239.
[g]) Das ^{14}C-Datum wurde im Rahmen des SFB-Projekts Nr. 1266: „TransformationsDimensionen – Mensch-Umwelt Wechselwirkungen in Prähistorischen und Archaischen Gesellschaften“ an der Johanna-Mestorf-Akademie der Christian-Albrechts-Universität zu Kiel (CAU) über Vermittlung von Marianne Kohler-Schneider erhoben. Die Rohdaten werden im Rahmen dieses Projekts erstmals publiziert (freundliche Mitteilung von Dragana Filipovic, Mai 2019).
[h]) Erstellt im Rahmen des SFB/DFG-Projekts „Scales of Transformations: Human-Environmental Interaction in Prehistoric and Archaic Societies“, Projektnummer 2901391021 (Universität Kiel, 2018/2019), über Vermittlung durch M. Kohler-Schneider, kalibriertes Datum vorhanden, keine Rohdaten.
[i]) Da die Schädelbruchstücke FNrn. St. 16259 und 16261 mit höchster Wahrscheinlichkeit vom selben Individuum stammen und die ursprünglichen Messergebnisse doch deutlich auseinander liegen (siehe Poz-99242 und Poz-99245), wurde eine Wiederholung der Messung der älter datierten Probe (FNr. St. 16259) durchgeführt. Ein Messfehler hat sich bestätigt, die beiden aktuellen Ergebnisse entsprechen einander nun sehr gut (siehe Poz-99242 bzw. Poz-111784 und Poz-111333).

Abb. 30: Tabellarische Zusammenstellung der in Stillfried gemessenen ^{14}C-Daten (2-Sigma, erstellt mit dem Programm Oxcal). Die Abkürzungen HF („Hügelfeld“), WW (westlicher Abschnittswall), KH („Kirchhügel“), WA („Wagneracker“), BE („Bügeleisen“), KA („Küssleracker“) kennzeichnen die Grabungsflächen. Mit wenigen Ausnahmen (V1154: Wallanlage; V1265: Brandschutt über Wall; Sign. 10028: Hallstattzeitliche Schicht auf Wall; o. N._KA: ohne Fundverband) stammen alle Proben aus Siedlungsgruben.

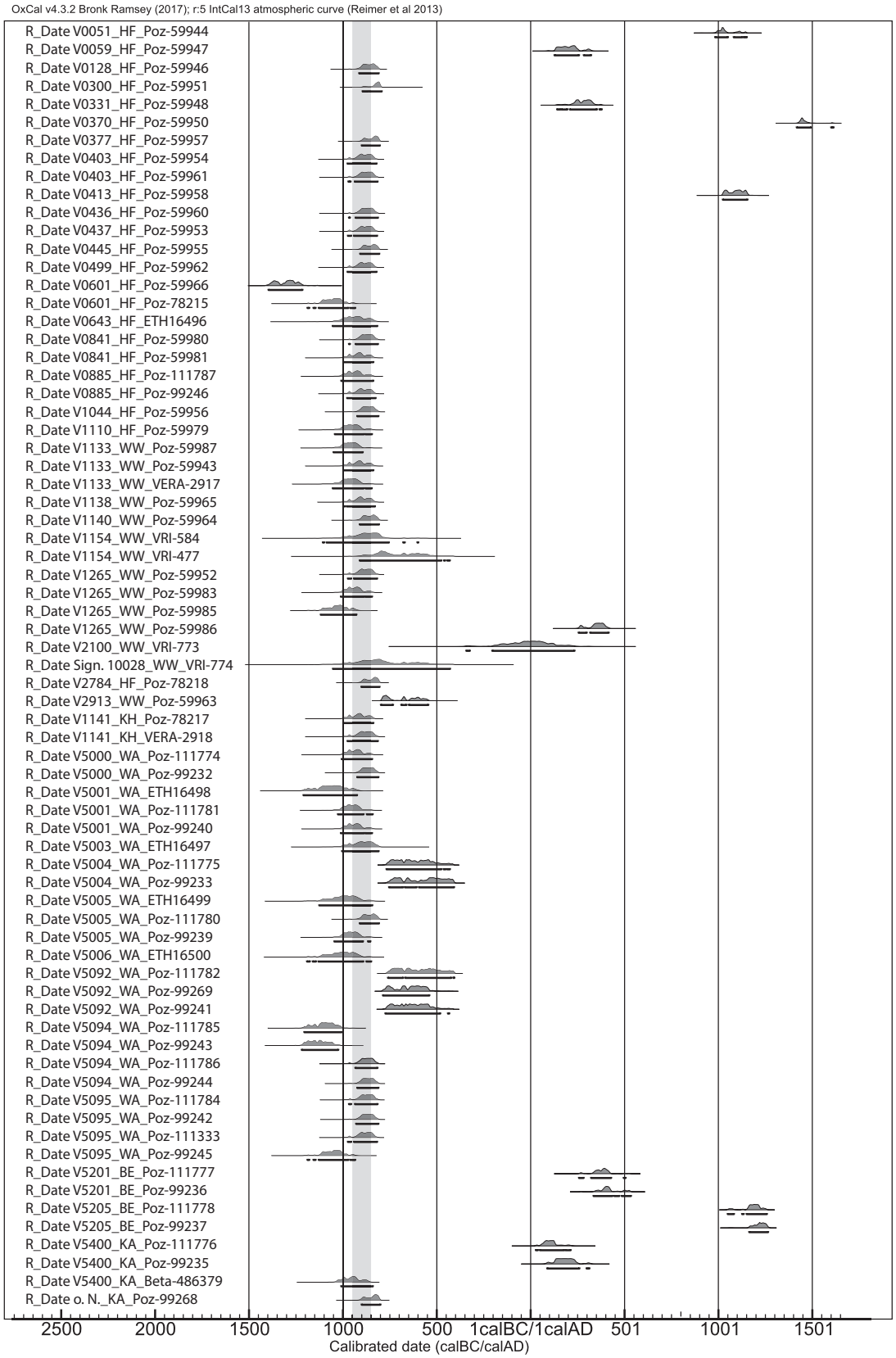


Abb. 31: Die bisher von der Wallanlage von Stillfried gemessenen ^{14}C-Daten (2-Sigma). Der graue Balken markiert die Hauptnutzungsphase der Höhensiedlung in einem Zeithorizont von 950 bis 850 v. Chr. Die Daten sind großteils nach den Grabungsflächen sortiert (siehe Abb. 30).

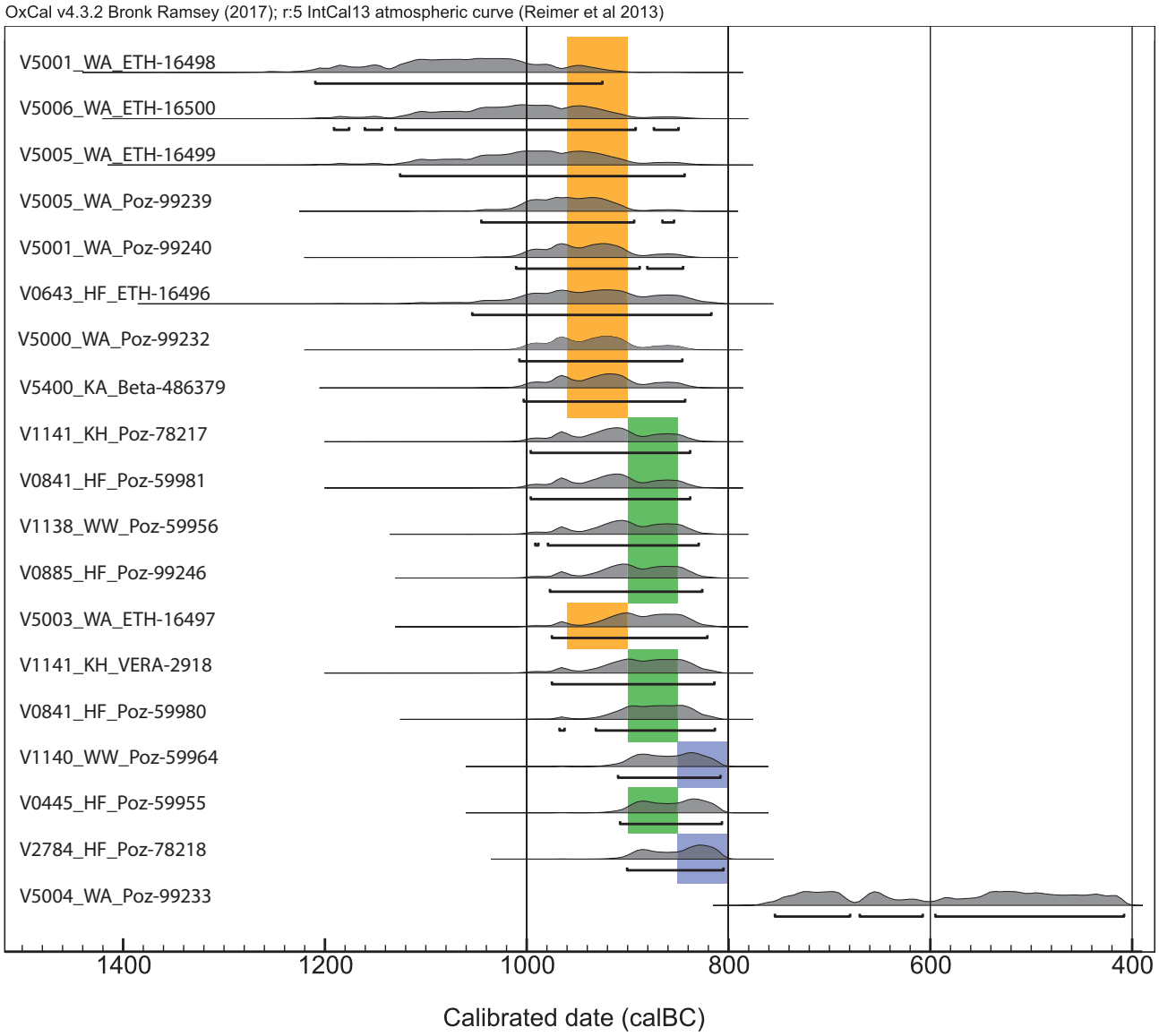


Abb. 32: Diese Darstellung vereint die naturwissenschaftliche Datierung mit der archäologischen Zeitstellung. Sie zeigt die ^{14}C-Daten der in diesem Projekt behandelten Gruben in chronologischer Reihenfolge. Die Farbbalken markieren die absoluten Daten der Siedlungsphasen (Orange: Sph. II, Grün: Sph. III/1, Blau: Sph. III/2). Die Zuordnung der Gruben zur Siedlungsphase anhand archäologischer Funde (entsprechend den Farbbalken) deckt sich großteils mit den ^{14}C-Daten. Eine Ausnahme bildet V5003, die laut ^{14}C-Datum zwischen Siedlungsabschnitt II und III/1 liegt. Anhand unserer archäologischen Auswertung ordnen wir sie Siedlungsphase II zu (erstellt mit dem Programm Oxcal).

Bei der Knochenprobe eines menschlichen Unterkiefers aus dem urnenfelderzeitlichen Ofen V1217 am westlichen Abschnittswall (Poz-78214) war die Kollagenausbeute mit 0,3 % nicht hoch genug, um das (an diesem Kollagen gemessene) ^{14}C-Datum als sicher zu bezeichnen.[175] Daher wurde dieses Messergebnis (Abb. 30) nicht in das Diagramm übernommen (Abb. 31). Ein unbrauchbares Datum hat sich vermutlich auch bei einer weiteren menschlichen Knochenprobe aus dem älteren Wallkörper V1267 ergeben (Poz-78216, Abb. 30).

Auffällig sind auch die beiden hohen Daten aus dem Grubenhaus V601, das archäologisch in die Siedlungsphase III/1

175. Zusätzlich konnte aufgrund der geringen extrahierten Probenmenge die Kollagenqualität nicht durch Messen des atomaren Kohlenstoffs und Stickstoffs überprüft werden, E-Mail von Tomasz Goslar vom 16.2.2016.

gestellt wird.[176] Bei dem ursprünglichen, äußerst hohen Datum (Poz-59966) gab es offensichtlich Probleme.[177] Die Messwiederholung an einer anderen Probe desselben Objekts (V601, Poz-78215) erbrachte neuerlich ein erstaunlich hohes Datum und muss an anderer Stelle diskutiert werden.[178]

Der radiokarbondatierte Tierknochen aus der kegelstumpfförmigen Grube V5004 („Wagneracker“) weist in die Hallstattzeit (FNr. St. 16907.6).

Die archäologische und die naturwissenschaftliche Datierung stellen Grubenhaus V5092 vom „Wagneracker“ in die (fortgeschrittene) Hallstattzeit. In seiner Verfüllung wurden gleich mehrere menschliche Schädelteile und ein Schädel (Kalvarium) entdeckt.[179] Die beiden ^{14}C-Daten von zweien dieser Schädelfunde (FNrn. St. 16076 und 16115) weisen übereinstimmend ins „Hallstattplateau“.

1.4.2.2 ^{14}C-Daten der aktuell untersuchten Gruben

Fünfzehn der von uns bearbeiteten kegelstumpfförmigen Gruben werden in ihrer Zeitstellung von einem ^{14}C-Datum gestützt.[180] Wenn aussagekräftige Funde in einer Grube großteils fehlen, wächst die Bedeutung der ^{14}C-Daten für eine (ungefähre) zeitliche Einordnung. Beispiele dafür sind die Gruben V5000, V5005 und V5006.

Die meisten ^{14}C-Daten korrelieren gut mit der urnenfelderzeitlichen Besiedlung der Anlage (Abb. 32). Das ^{14}C-Datum von V5004 fällt in das „Hallstattplateau“ und ist vermutlich mit dem in die entwickelte Hallstattzeit zu stellenden Grubenhaus V5092 zu synchronisieren. Die Gruben V643, V5000, V5001, V5005, V5006 und V5400 erbrachten die ältesten Daten (Abb. 32, oranger Balken). Die Fundstücke daraus weisen typologisch in die Siedlungsphase II, was gut mit dem naturwissenschaftlichen Ergebnis übereinstimmt. Bei Gruben, die der Siedlungsphase III/1 zugeordnet werden (Abb. 32, grüner Balken), liegen zwei Werte (V841, V1141) etwas höher. Von diesen beiden Gruben liegt allerdings jeweils ein zweites, jüngeres Datum vor.[181] V5003 liegt nach dem ^{14}C-Datum genau zwischen Siedlungsabschnitt II und III/1. Anhand unserer archäologischen Auswertung ordnen wir diese Grube dem älteren Abschnitt (Sph. II) zu.

Siedlungsphase III/2 ist durch zwei ^{14}C-Werte vertreten (Abb. 32, blauer Balken), welche gut zur archäologischen Datierung (V2784) und zu den zoologischen Untersuchungsergebnissen[182] passen (V2784, V1140).

1.4.3 Verteilung der Speichergruben nach Siedlungsphasen

Die Kartierung der Speichergruben anhand ihres datierenden Verfüllmaterials liefert Hinweise auf die Nutzung des Platzes in den verschiedenen Siedlungsphasen (Abb. 33). Sie zeigt jedoch nur den Zeitpunkt der Aufgabe der Gruben an, nicht den tatsächlichen Benutzungsrahmen.

Die Vorratsgruben des ersten Siedlungsabschnittes können ausschließlich am „Hügelfeld“ und dort vor allem im mittleren bis südlichen Bereich ausgemacht werden. Dies ist das Areal, das am nächsten zum „Kirchhügel“, dem anzunehmenden Sitz der herrschenden Elite, lag (Abb. 9). Möglicherweise sollten die ersten Speicher nahe am Machtzentrum angelegt werden. Diese Tendenz bleibt in der zweiten Siedlungsphase bestehen, wobei die Gruben am „Hügelfeld“ deutlich zugenommen haben (17) und über den ganzen Bereich streuen. Weiters ordnen wir alle Speichergruben von den neu vorgelegten Flächen, die feinchronologisch auswertbar waren – also jene vom „Wagneracker“ und vom „Küssleracker“ – dieser Zeitspanne zu.

In der folgenden Siedlungsphase III/1 nimmt die Anzahl der in diesem Zeitraum verfüllten Gruben am „Hügelfeld“ weiter zu (21). Sie streuen nach wie vor über die ganze Grabungsfläche. Bei Siedlungsphase III/1 handelt es sich also um jene Periode, in der am „Hügelfeld“ die meisten Speicher angelegt, genutzt und/oder aufgelassen wurden. Auch die beiden menschlichen Mehrfachbestattungen wurden dieser Zeitspanne zugeordnet (V1141 vom „Kirchhügel“ und V841 vom „Hügelfeld“). Interessanterweise sind diesem jüngeren Abschnitt der Hochblüte auf der Wallanlage (Sph. III/1) keine Objekte aus den neu bearbeiteten Grabungsflächen zuzuweisen.

Mit dem Höchststand an unterirdischem Speicherraum in den beiden mittleren Siedlungsabschnitten (II und III/I) lässt sich mit großer Wahrscheinlichkeit die Aktivitätsspitze auf der Wallanlage fassen, woraus eine starke Nutzung der Fläche abgeleitet werden kann. Die Siedlungsabschnitte II

176. Hellerschmid 2006, 62. – Griebl, Hellerschmid 2013, 333–334. – Hellerschmid, Griebl in Vorbereitung.

177. Fehlende (Prozent)Angaben bei N (Stickstoff) und C (Kohlenstoff; „AAA“).

178. Hellerschmid, Griebl in Vorbereitung.

179. FNr. St. 16055: Kalvarium, FNr. St. 16060: Hinterhauptfragment, FNrn. St. 16061 und St. 16115: Stirnbein und anpassendes Scheitelbeinfragment, FNr. St. 16076: halber Unterkiefer.

180. Einunddreißig der 75 vorhandenen ^{14}C-Daten stammen aus insgesamt 15 der von uns untersuchten (kegelstumpfförmigen) Gruben.

181. Sowohl die älteren als auch jüngeren Daten stammen von menschlichen Skeletten.

182. Späturnenfelderzeitliches Phänomen von in Gruben abgelegten Wildtieren mit eindeutigen Merkmalen von Gefangenschaftshaltung.

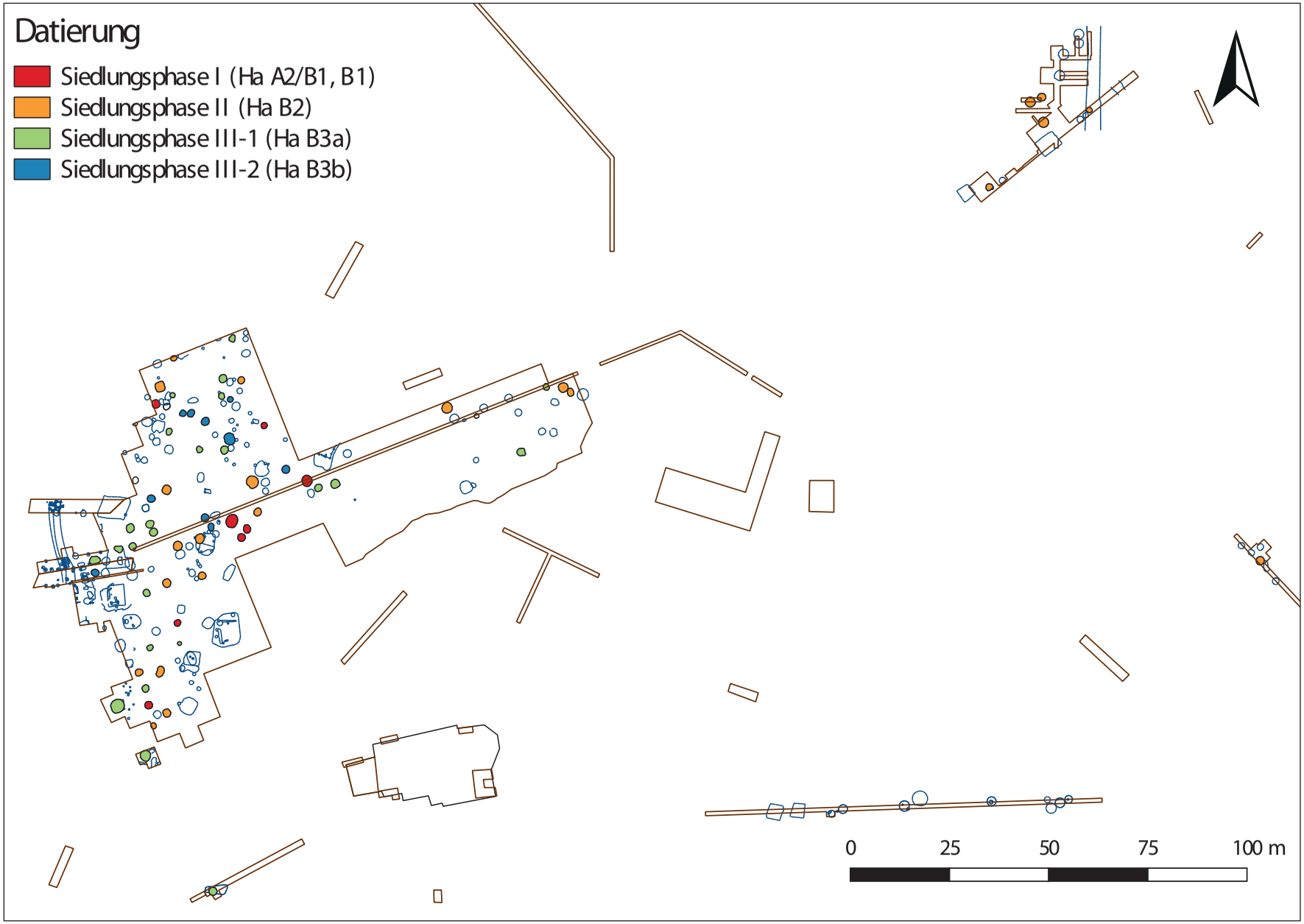


Abb. 33: Verteilung der urnenfelderzeitlichen Speichergruben nach Siedlungsphasen.

und III/1 werden mit den beiden chronologisch aufeinander folgenden Wallkörpern I und II in Verbindung gebracht, wobei der letzte und mächtige Wallkörper II (V1154) bis an das Ende des urnenfelderzeitlichen Abschnittes besteht. Die Nutzungsnachweise am „Wagneracker“ und am „Küssleracker“ beschränken sich – zumindest was die Vorratshaltung im Boden betrifft – auf den älteren Abschnitt dieser Hochblüte (Sph. II). Da wir den Zeitpunkt der Grubenauflassung datieren, ist es denkbar, dass der Grubenhöchststand am „Hügelfeld“ in Siedlungsphase II bestand, als sich die Bevorratung im Boden auch auf die anderen Flächen ausgedehnt hatte. In Siedlungsphase III/1 könnte vermehrt nicht mehr benötigter Speicherraum im Boden aufgelassen worden sein, was zu der größeren Menge an entsprechend zugeordneten Gruben geführt haben könnte.

In der letzten urnenfelderzeitlichen Siedlungsphase (III/2) verringert sich die Zahl der Gruben am „Hügelfeld“ auf 13. Auffälligerweise wurde nur der Nordteil des „Hügelfelds“ mit Vorratsgruben belegt, wo sie sich über eine Fläche von etwa 40 × 50 m verteilen. Einzige Ausnahme ist V704 ganz im Süden. Wie auch im Siedlungsabschnitt III/1 können keine Speicher außerhalb des „Hügelfelds“ festgestellt werden. Möglicherweise ist daraus eine Verkleinerung der genutzten Siedlungsfläche abzulesen. Für V1008, eine kegelstumpfförmige Grube mit Tierdeposition, wird eine Zeitstellung in die frühe Hallstattzeit vorgeschlagen (Siedlungsphase IV). Sie befindet sich einzeln stehend in der Osthälfte des „Hügelfeldes“ (Abb. 13), was eine chronologische Ausnahmestellung stützen könnte. Möglicherweise wurde sie erst in Siedlungsphase IV endgültig verschlossen.

Gewisse Anhaltspunkte (Keramik, ^{14}C-Datum, Grubenausmaße) weisen auf einen nachurnenfelderzeitlichen Horizont (Siedlungsphase V = fortgeschrittene Hallstattzeit) der sehr großen Grube V5004. Diese Grube diente vielleicht nicht mehr der Getreidelagerung, sondern einem uns unbekannten Zweck.

2. Grubenbefunde

2.1 Formen und Maße

2.1.1 Grubenformen

2.1.1.1 Hauptformen

Die Gruben wurden in sechs Formgruppen unterteilt (Abb. 34). Die Entscheidung, eine Grube einer bestimmten Gruppe zuzuordnen, wurde nicht allein aufgrund der in Kapitel 10.1 abgebildeten Längsschnitte getroffen, sondern es wurden dafür auch weitere Profilzeichnungen aus der Grabungsdokumentation hinzugezogen. Eine Grube entfällt dabei auf jeweils eine Gruppe; keine Grube sollte mehreren Gruppen zugereiht werden.

Formkategorie 1: Kegelstumpfförmig
Diese Gruben besitzen eine kegelstumpfförmige Gestalt mit waagrechter Sohle und im Idealfall geradlinig verlaufenden Wänden mit einem Winkel von meist 50–80 Grad (Abb. 35, 36). Auch steilere Winkel wurden mit einbezogen, wenn Verstürze oder andere sekundäre Verformungen angenommen werden können. Der Sohle-Wand-Übergang ist mehr oder weniger spitz zulaufend.

Formkategorie 2: Kegelstumpfförmig mit nach außen gewölbter Sohle
Diese Gruben weisen ähnliche Sohle-Wand-Winkel auf wie jene der ersten Formgruppe, allerdings sind die Sohlen schwach nach außen gewölbt ausgebildet (Abb. 36, 37). Diese Form könnte durch wiederholte Reinigung vor Wiederbenutzung aus Grubenformen mit gerader Sohle (Formkategorie 1) entstanden sein.

Formkategorie 3: Kegelstumpfförmig mit gerundetem Sohle-Wand-Übergang bei waagrechter Sohle
Die Wände dieser Gruben verlaufen wie die der ersten beiden Kategorien. Die Sohle ist waagrecht, der Übergang von Sohle zur Wand jedoch gerundet und nicht spitz zulaufend wie in den ersten beiden Formgruppen (Abb. 37, 38). Auch diese Form könnte durch Reinigungsschritte aus Grubenform 1 entstanden sein.

Formkategorie 4: Kegelstumpfförmig mit gerundetem Sohle-Wand-Übergang sowie nach außen gewölbter Sohle
Diese Gruben weisen eine gewölbte Sohle, einen gerundeten Sohle-Wand-Übergang sowie gerade bis leicht nach

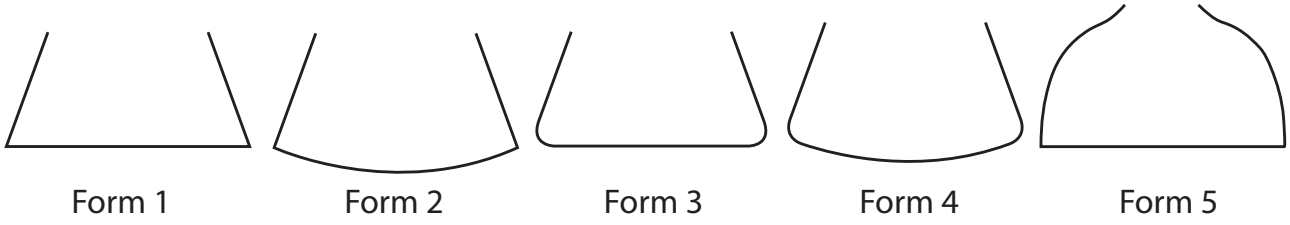


Abb. 34: Schematische Darstellung der Formkategorien 1 bis 5.

Formkategorie 1: Kegelstumpfförmig

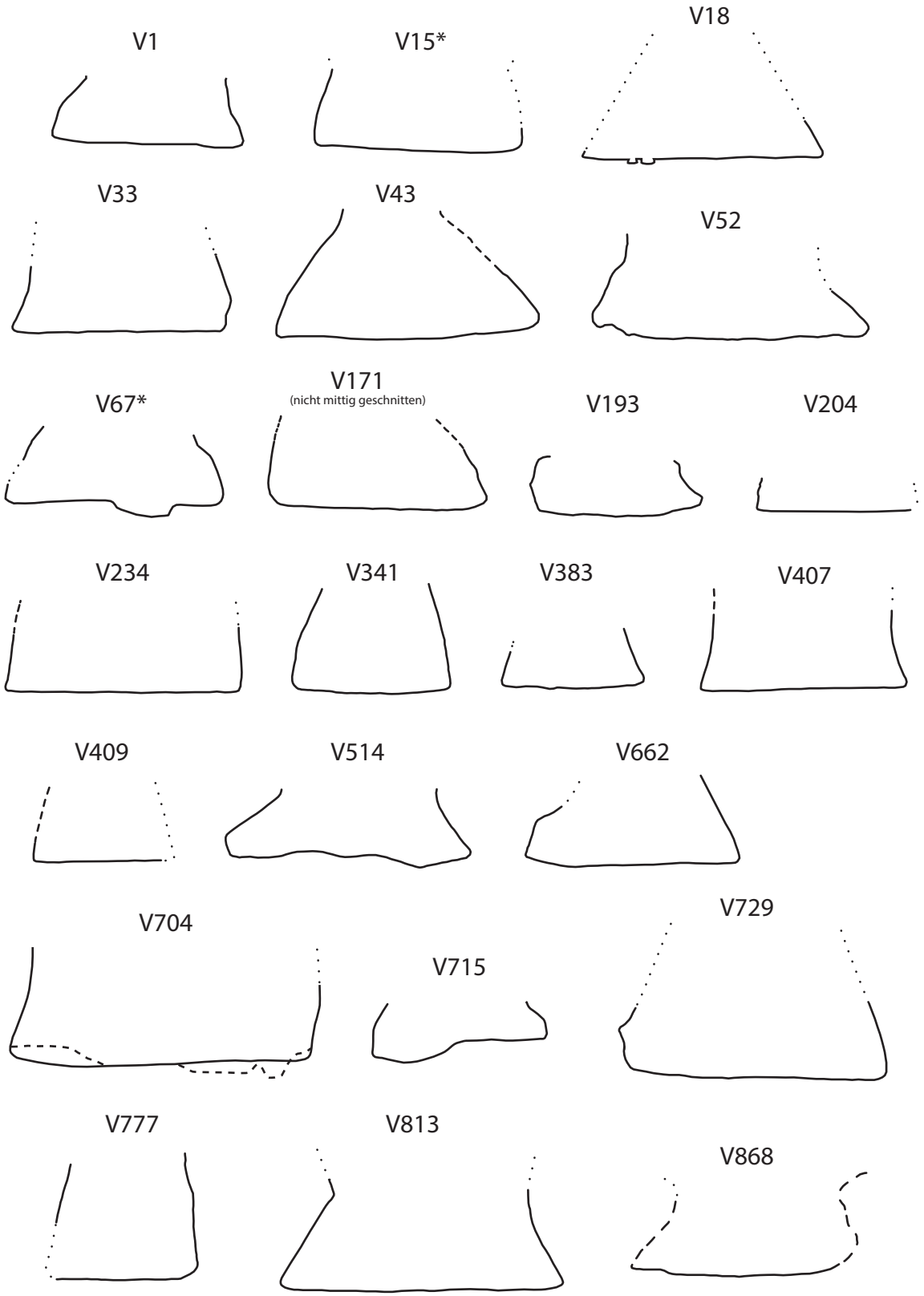
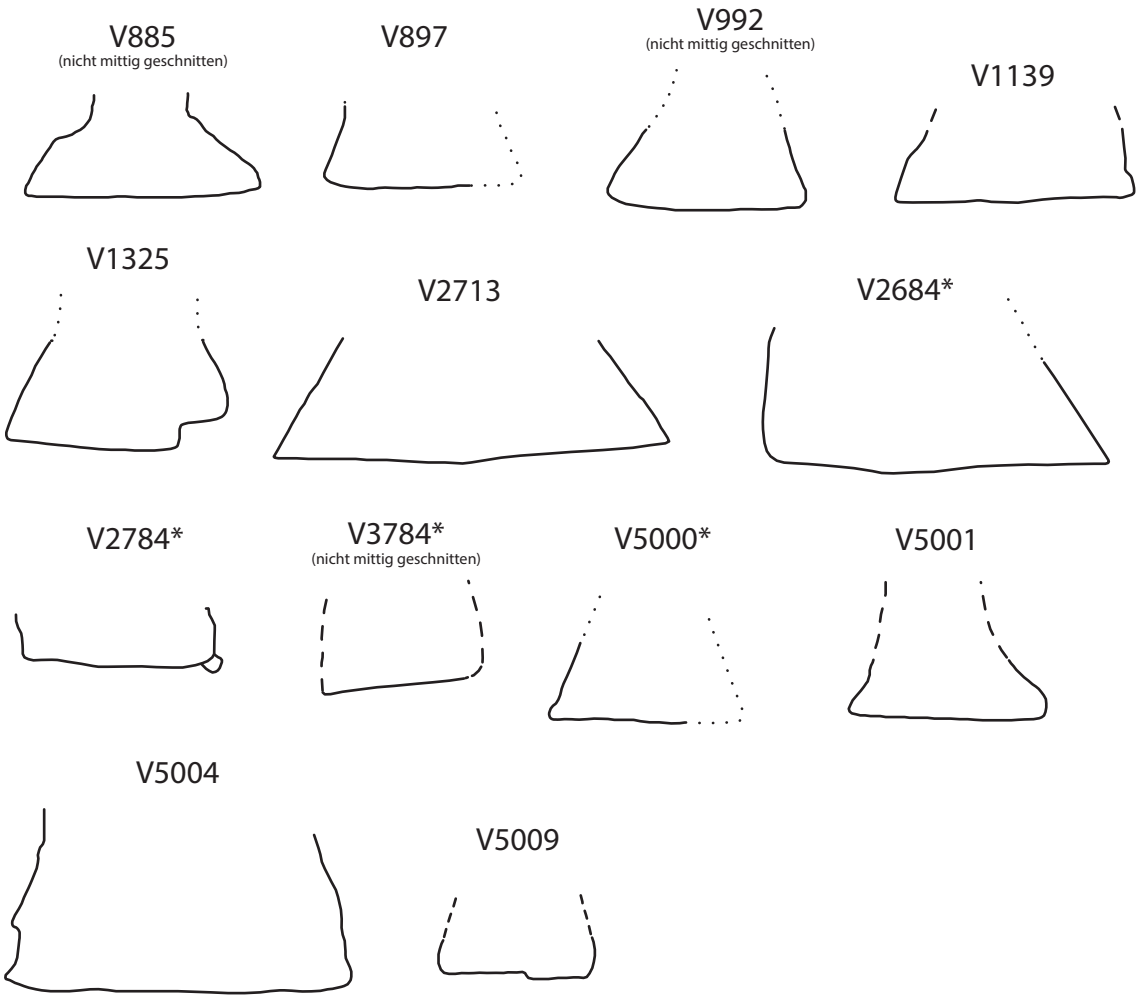


Abb. 35: Ordnung der Grubenformen nach der jeweiligen Kategorie im Maßstab 1:70. Depositgruben sind mit * markiert.



Formkategorie 2: Kegelstumpfförmig mit nach außen gewölbter Sohle

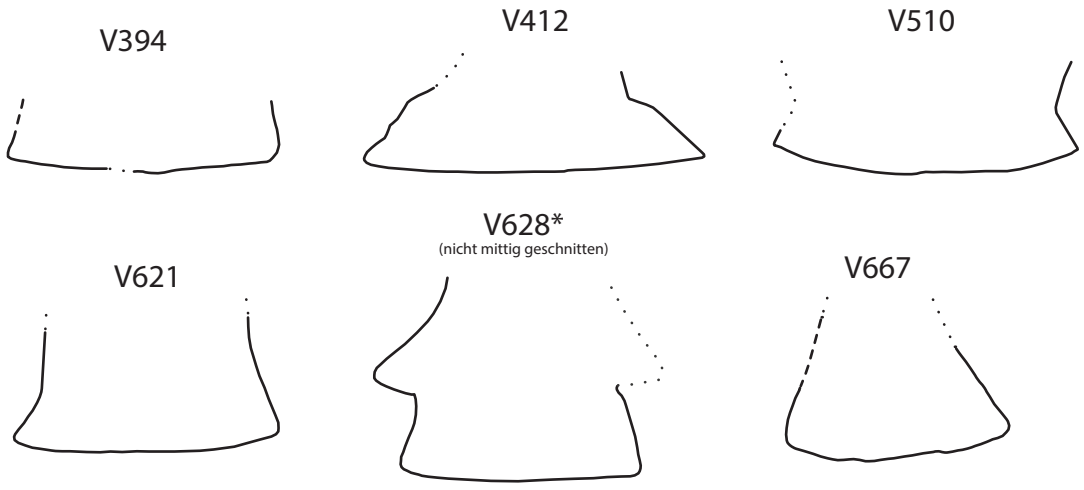
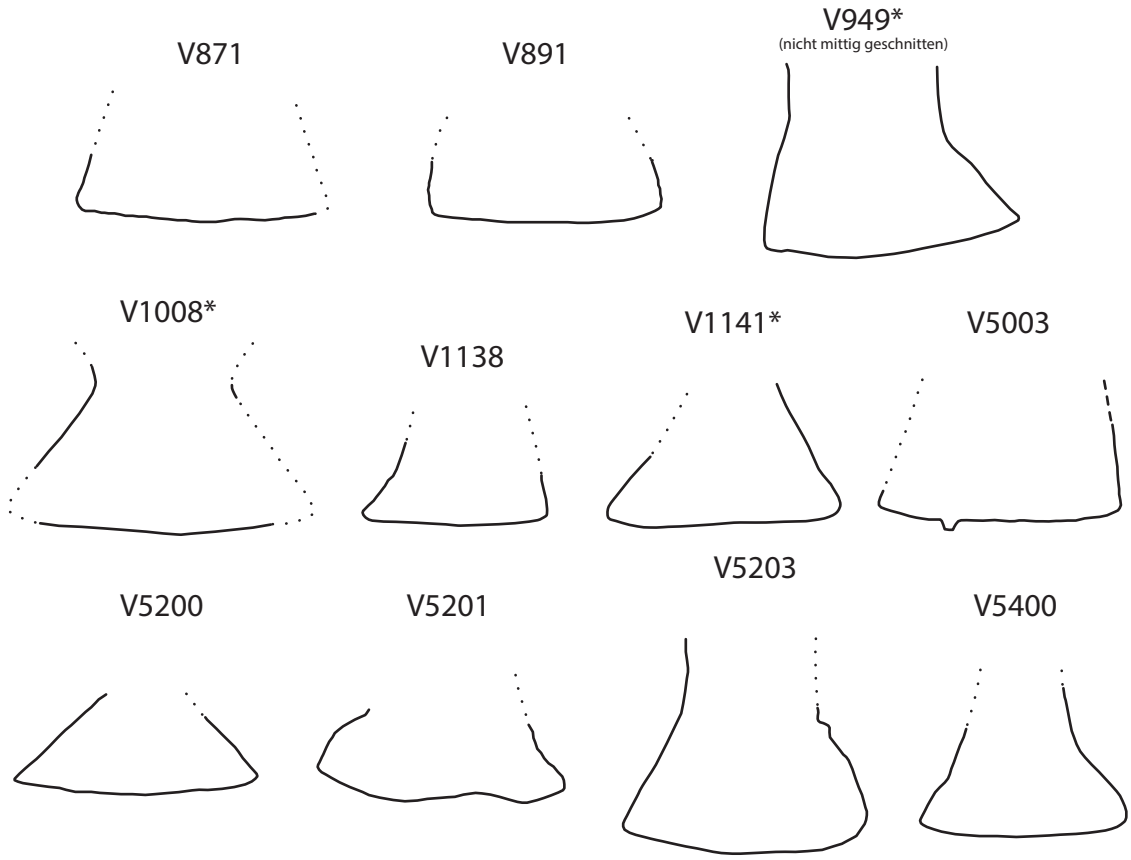


Abb. 36: Ordnung der Grubenformen nach der jeweiligen Kategorie im Maßstab 1:70. Depositgruben sind mit * markiert.



Formkategorie 3: Gerundeter Sohle-Wand-Übergang, waagrechte Sohle

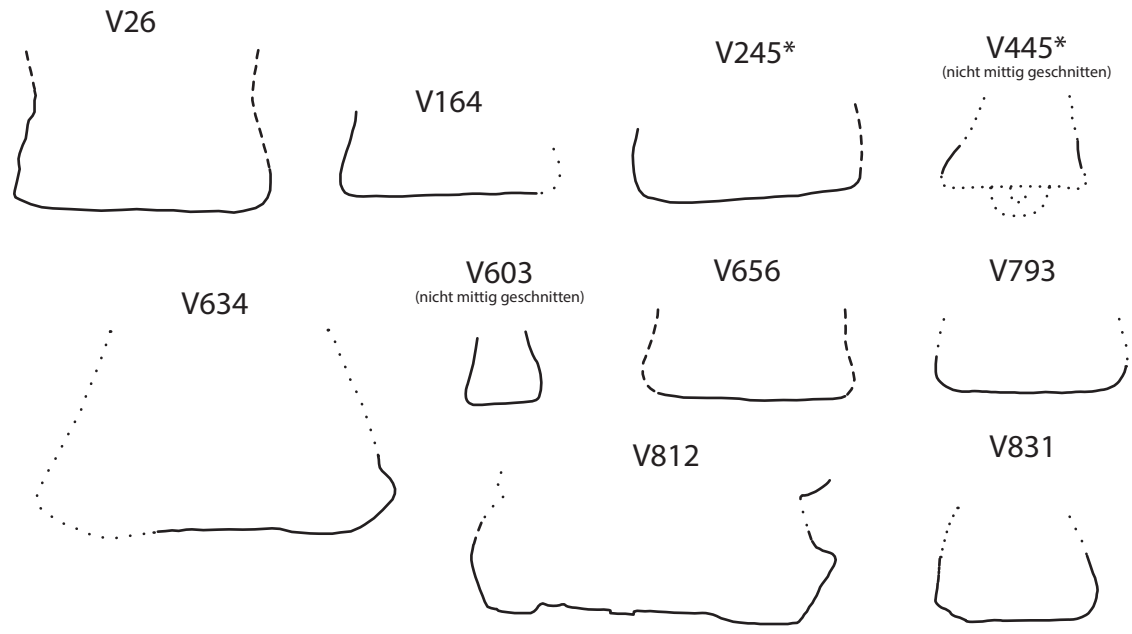
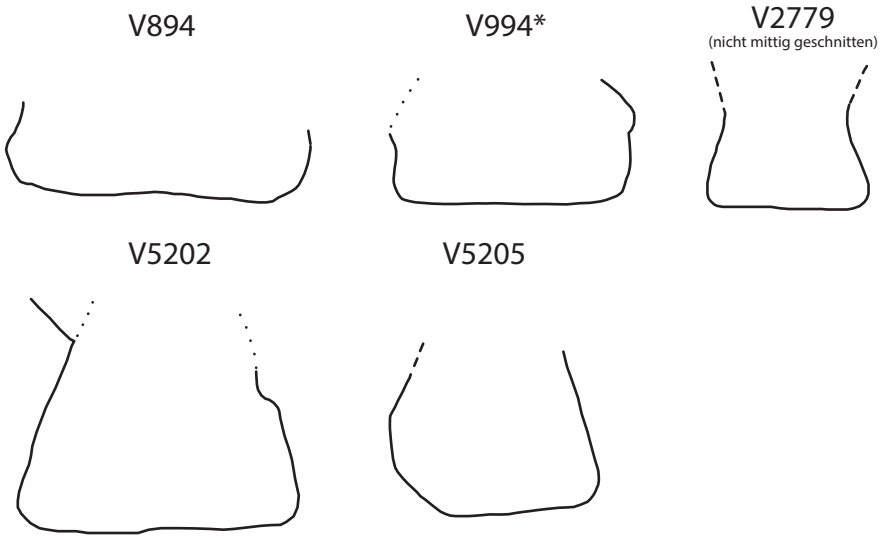


Abb. 37: Ordnung der Grubenformen nach der jeweiligen Kategorie im Maßstab 1:70. Depositgruben sind mit * markiert.



Formkategorie 4: Gerundeter Sohle-Wand-Übergang, nach außen gewölbte Sohle

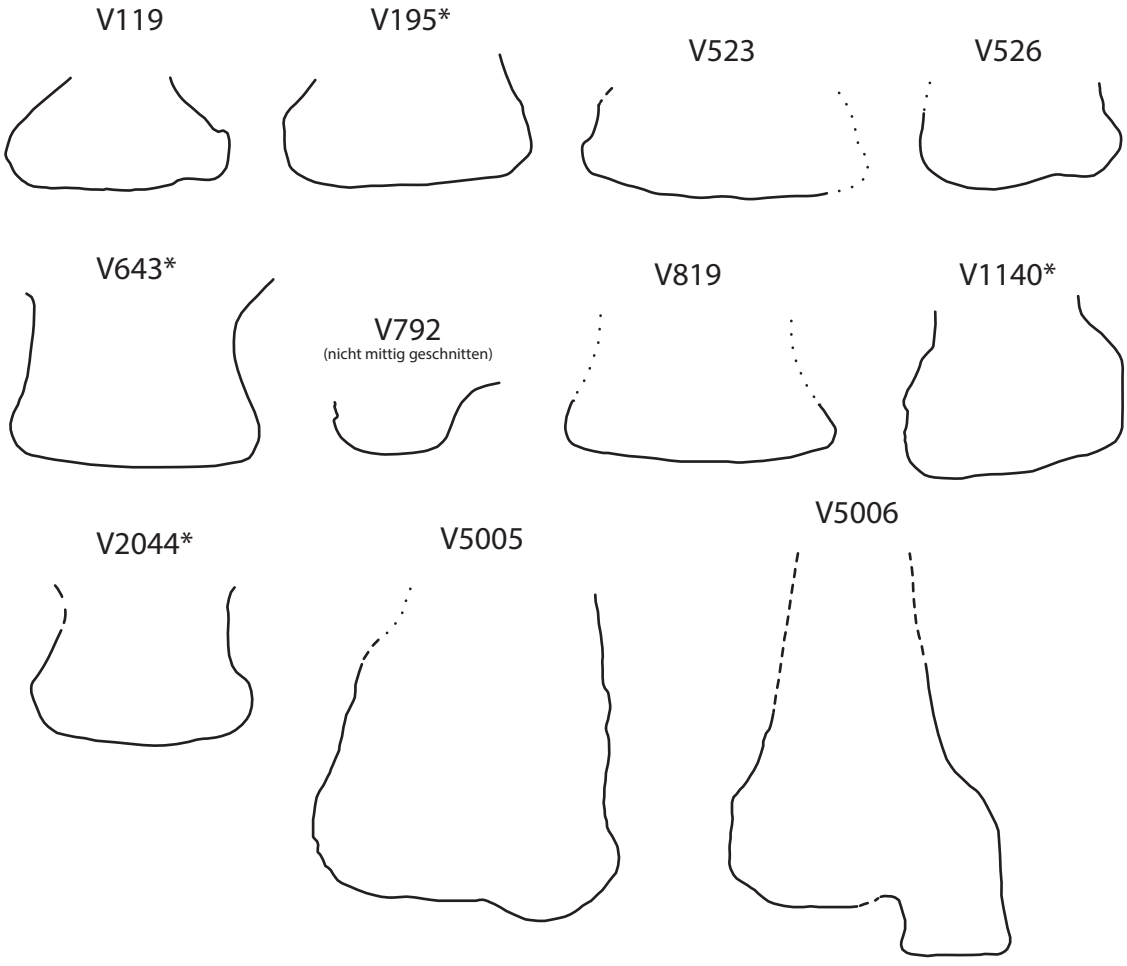


Abb. 38: Ordnung der Grubenformen nach der jeweiligen Kategorie im Maßstab 1:70. Depositgruben sind mit * markiert.

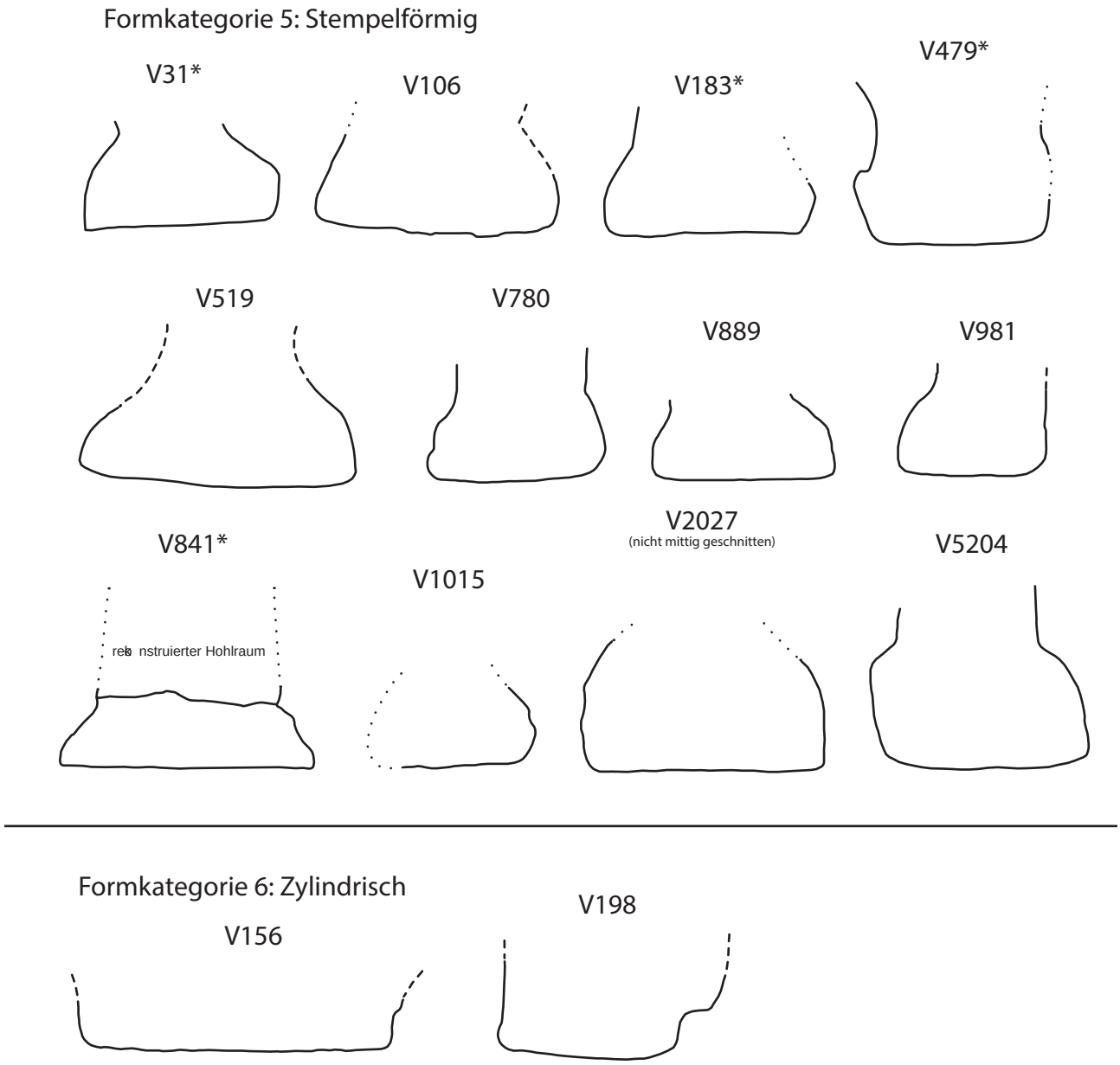


Abb. 39: Ordnung der Grubenformen nach der jeweiligen Kategorie im Maßstab 1:70. Depositgruben sind mit * markiert.

außen gewölbte Wände auf (Abb. 38). Bei dieser Form ist ebenso eine Entstehung aus anderen Kategorien durch sekundäre Reinigungsschritte möglich.

Formkategorie 5: Stempelförmig
Diese Gruben besitzen eine waagrechte Sohle und einen eckigen oder nur leicht gerundeten, jedoch in steilem Winkel verlaufenden Sohle-Wand-Übergang. Die Wände laufen demgemäß zunächst annähernd senkrecht nach oben und erst weiter oben einwärts. Sie sind nach außen gewölbt (Abb. 39). Diese Form könnte das Ergebnis von Reinigungsschritten gewesen sein, die vor allem die Grubenwände betrafen. Alternativ könnte die Gestalt durch eine bewusste Vergrößerung der Grube in die Tiefe entstanden sein.

Formkategorie 6: Zylindrisch
In diese Gruppe fallen nur zwei Gruben. Zylindrische Gruben haben eine flache Sohle sowie senkrecht nach oben verlaufende Wände. Aus der Grabungsdokumentation ist nicht erkennbar, ob die Grubenwände im obersten Abschnitt einziehend waren (Abb. 39).

Auswertung (Grubenformen)
Von den 93 auswertbaren Gruben entfallen 36 (38,7 %) auf Formkategorie 1. Der zweiten Form können 17 Exemplare (13,3 %), der dritten 15 (16,1 %) sowie der vierten elf Vertreter (11,8 %) zugeordnet werden. Weitere zwölf Gruben (12,9 %) entsprechen der fünften Formkategorie, wohingegen der sechsten Form nur zwei (2,2 %) zugeteilt werden können.

Es stellt sich die Frage, welche Faktoren zur jeweiligen Grubenform geführt haben.

Auf der einen Seite sind dies natürliche Einflüsse wie Erosion bei offenstehenden Gruben oder nachsackende Wände bei bereits verfüllten Exemplaren. Diese Veränderungen betreffen hauptsächlich die Wände der Gruben. Auf der anderen Seite stehen beabsichtigte oder unbeabsichtigte anthropogene Einwirkungen. Beispielsweise kann vom spätbronzezeitlichen Besitzer die Entscheidung getroffen worden sein, die Speicherkapazität einer Grube zu vergrößern. Dabei hatte dieser die Möglichkeit, weiter in die Breite oder in die Tiefe zu graben. Das Erweitern in die Breite bei gleichbleibender Tiefe verringert jedoch den Winkel der Wände zur Sohle, schwächt somit die Stabilität der Grube, was das Risiko eines Einsturzes vergrößert. Die teilweise dicht an dicht liegenden Vorratsgruben vermitteln zudem den Eindruck, dass den Menschen nur ein begrenzter Platz zur Verfügung stand. Somit ergibt das Erweitern der Gruben in die Tiefe durchaus Sinn. Ergebnis einer solchen Maßnahme könnte Formkategorie 5 (stempelförmig) sein. Des Weiteren ist es möglich, dass die Formkategorien 2 bis 5 durch Reinigungsschritte und Instandsetzungsarbeiten aus den kegelstumpfförmigen Vertretern entstanden sind. Wollte man eine Grube wiederverwenden, war es sinnvoll, organische Reste der vorherigen Benutzung zu entfernen, um die Gefahr des Verderbens der neuen Befüllung zu verringern. Dabei wurde vermutlich etwas Material des sterilen Lößes von den Wänden und der Sohle abgeschabt. Durch diese sich jährlich wiederholenden Schritte vergrößert sich die Grube nicht nur unweigerlich etwas, sie könnte auch ihre Form geändert haben. Gemäß dieser Logik stellen Vertreter der ersten Formkategorie jene Gruben dar, die verhältnismäßig rasch nach dem Anlegen verfüllt wurden, während Objekten der Gruppen 2 bis 5 eine längere Benutzungszeit innewohnte. Eine weitere Möglichkeit der Formgebung könnte das individuelle Arbeiten der Erbauer sein. Da es offenbar keine genauen Richtlinien gab, wie eine Grube auf der Höhensiedlung anzulegen war, lag es im Ermessen oder Können des Gräbers, dem Speicher Gestalt zu geben. Demzufolge wären ähnliche Formen einem konkreten Erbauer zuzuordnen (Kap. 2.3.2.1).

Daneben könnten die Menschen auch Schritte unternommen haben, die nicht im Zusammenhang mit der Erstfunktion der Grube als Speicher standen. Die in einigen Fällen beobachteten Niederlegungen von Tieren und Menschen könnten zur Abänderung einer Speichergrube geführt haben, etwa um den Raum zu vergrößern.

Es ist damit zu rechnen, dass mehrere dieser Faktoren die Form der Gruben beeinflusst haben.

Die Kartierung (Abb. 40) zeigt eine scheinbar zufällige Verbreitung sämtlicher Grubenformtypen auf allen Grabungsflächen. In keinem Bereich überwiegt eine bestimmte Form, jedoch sind kleinere Konzentrationen bzw. zwei Gruben des gleichen Typs direkt nebeneinander zu erkennen. Das deutet auf die These, nach der ein und derselbe Erbauer die von ihm eingetieften Gruben individuell gestaltete. Diese kleinen Ansammlungen und „Zwillingsgruben" könnten somit auch den Besitz bzw. Zuständigkeitsbereich einer Wirtschaftseinheit widerspiegeln.

Gruben mit Depositionen sind in allen Formkategorien vertreten. Von den 21 Depositgruben sind 15 (71 %) den Formkategorien 2 bis 5 zuzuordnen, der ersten Formgruppe hingegen nur 6 (29 %). Bei Gruben ohne Deposition liegt das Verhältnis dagegen bei 40 Vertretern (57 %) der Formen 2 bis 5 zu 30 (43 %) der Form 1. Somit weisen Depositgruben im Vergleich zu Gruben ohne Niederlegung deutlich häufiger eine rundere Form auf (Formkategorie 2 bis 5), was ein Indiz für eine längere Benutzungszeit (mit vielfachen Reinigungen) ist.

Dies könnte ein Hinweis darauf sein, dass bewährte Gruben im letzten Schritt, das heißt vor ihrer Aufgabe, rituell verfüllt wurden. Alternativ könnte es darauf deuten, dass für die Niederlegungen alte, bewährte, aber noch funktionstüchtige (praktisch die Besten) ausgewählt wurden. Damit wäre die Grube an sich auch als Opfer anzusehen.

2.1.1.2 Sonderformen

Neben den Hauptformen können weitere Besonderheiten an manchen Gruben festgestellt werden (Abb. 41).

Gestufte Sohle
Manche Exemplare weisen eine Art gestufter Sohle auf:
- V119: Stufe im Westen, max. 10 cm hoch (Abb. 253)
- V198: Stufe im Süden, ca. 40 cm hoch (Abb. 266)
- V704: Stufe im Nordosten, max. 20 cm hoch (Abb. 313)
- V1325: Stufe im Nordosten, ca. 25 cm hoch, 40 cm breit, 120 cm lang (Abb. 41/1, 2; 371)
- V2027: Stufe im Südwesten, ca. 15 cm hoch (Abb. 374)
- V5009: Stufe im Westen, ca. 6 cm hoch (Abb. 415, 416)

Diese könnte zweckmäßige Gründe gehabt haben, um das Ein- und Aussteigen zu erleichtern. Ähnliche Stufen sind

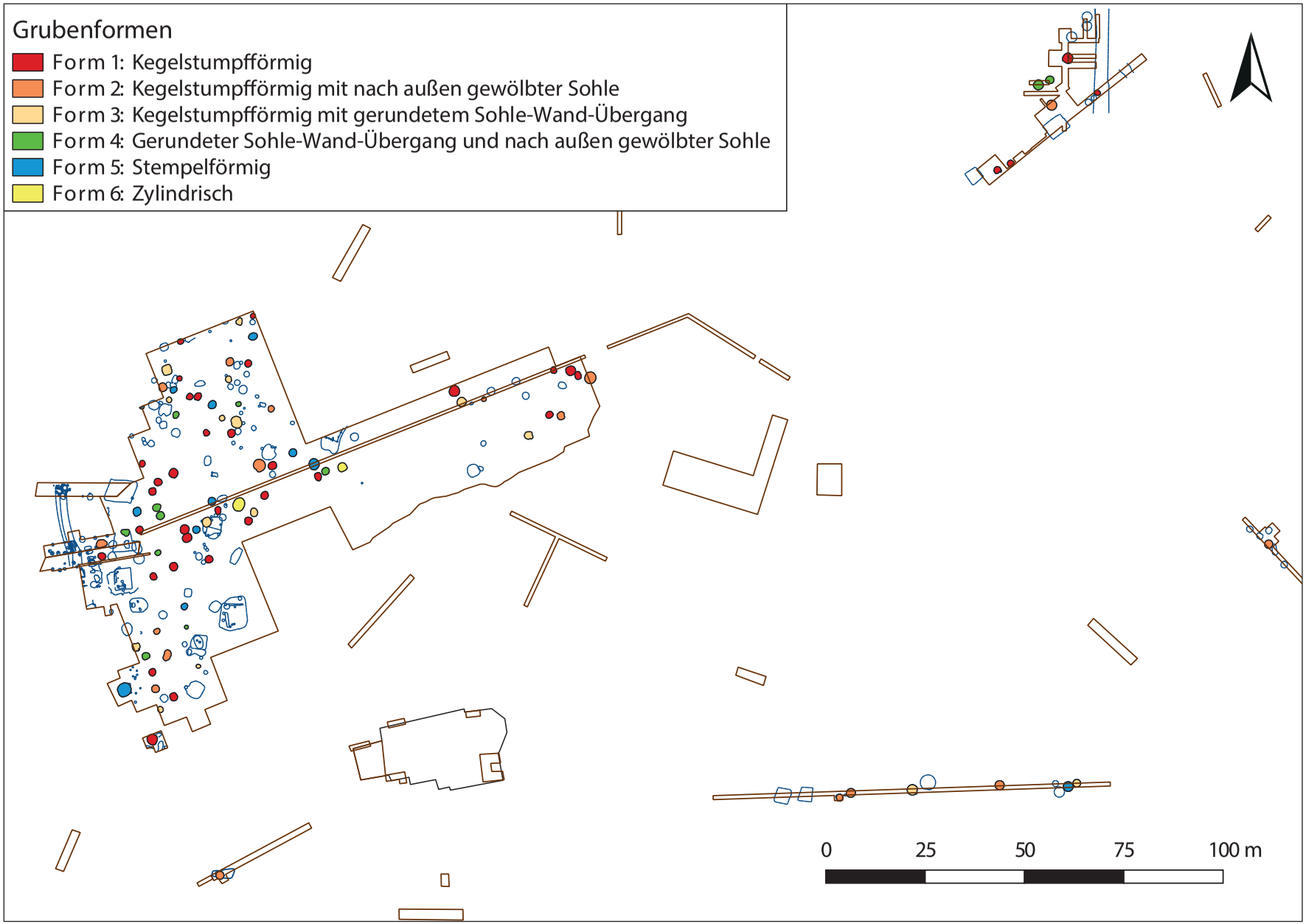


Abb. 40: Kartierung der Speichergruben nach ihrer Form.

auch aus anderen Fundstellen unterschiedlicher Zeitstellung bekannt. So wies beispielsweise Vorratsgrube 43 der früh- bis mittelbronzezeitlichen, befestigten Höhensiedlung Nitriansky Hrádok (Slowakei) eine etwa 20 cm hohe und 90 cm breite Stufe auf.[183] Zu beachten ist, dass es sich im Einzelfall auch um einen herabgefallenen Lößbrocken handeln kann, der von den Ausgräbern nicht erkannt wurde.

(Zentrale) Eintiefung der Sohle

Auch Eintiefungen der Sohle, häufig zentral, liegen einige Male vor. Sie könnten sowohl praktischen Nutzen als auch im Ritus Bedeutung gehabt haben. Da Vertiefungen der Grubensohle bereits auf zahlreichen Fundplätzen unterschiedlicher Zeitstellungen festgestellt wurden, liegen auch zahlreiche Deutungsversuche vor. Friedrich Loré sieht in den etwa 40 cm tiefen, beutelförmigen Eintiefungen, die in mehreren Vorratsgruben der spätbronzezeitlichen befestigten Höhensiedlung Reisensburg in Bayern dokumentiert wurden, Pfostenspuren eines Daches, um den Speicher vor Witterung zu schützen.[184] Jiří Říhovský vermutet dagegen, dass die Vertiefungen besondere Vorräte oder Gegenstände aufnehmen sollten.[185] In seltenen Fällen können Deponierungen in derartigen Vertiefungen nachgewiesen werden. So konnte aus der schachtartigen Vertiefung einer Vorratsgrube der jungneolithischen Gaterslebener Kultur bei Schlagwitz (Thüringen) eine vollständige Steinbeilklinge geborgen werden.[186] Zu verweisen ist zudem auf einen historischen Bericht aus dem 18. Jahrhundert, wonach eine Vertiefung angelegt wurde, um Feuchtigkeit aufzunehmen.[187] Das etwa 30 cm breite und 60 cm tiefe Loch sollte dabei abgedeckt werden, um einen Hohlraum zu schaffen.

Die Vertiefungen der Stillfrieder Gruben sind unterschiedlicher Art und können demnach auf verschiedene Praktiken hinweisen. Dezentral konnte in **V715** (Abb. 314, 315) eine 80 × 45 cm große und 25 cm tiefe Mulde dokumentiert werden. Möglicherweise sollte hier das Grubenvolumen einseitig vergrößert, der Ein- und Ausstieg jedoch nicht durch flächiges Abtiefen erschwert werden. Auch eine Lehmentnahme vor der endgültigen Verfüllung ist vorstellbar. Dasselbe gilt für die Mulde in **V5005** (Abb. 410, 411) sowie das mit 1 m Durchmesser und 50 cm Tiefe relativ große „Loch" im Süden von **V5006** (Abb. 41/5; 412; 413).

Offenbar mit rituellen Handlungen (Brandopfer?) in Verbindung steht die Vertiefung in der Depositgrube **V479**.[188] In deren zentraler Mulde wurde ein unvollständiges Ferkel abgelegt und mit Eichenholz verbrannt. Ebenso konnten dort verkohlte Getreidekörner, Drusch und Wildpflanzen geborgen werden (Abb. 41/4; 286). Die Eintiefung einer weiteren Depositgrube (**V67**) mit Hausschwein und vollständigen Gefäßen wurde dagegen nur mit Löß gefüllt (Abb. 248, 249). Eine mittige Vertiefung der Sohle in **V445** (Grube mit menschlichem Schädel und Ferkel), möglicherweise eine Pfostensetzung, wurde nicht ausreichend dokumentiert, um darüber nähere Aussagen machen zu können (Abb. 282, 284).

Steigbaum(?)

Kleinere, dezentrale Vertiefungen in Trapezform können vom Gebrauch von **Steigbäumen** zum Ein- und Ausstieg zeugen. Zu finden sind diese in **V5003** (Abb. 398–400, 403) und **V18** (hier zwei Stück nebeneinander) (Abb. 41/7; 237). Auch am Südwestrand der Grube **V704** sind eine solche kleinere Vertiefung sowie eine zur Mitte hin etwas erhöhte Lößbegrenzung zu erkennen, die möglicherweise Spuren eines Steigbaumes sind (Abb. 41/3). Bei Grube **V812** ist in ähnlicher Weise eine ringförmige Vertiefung am Sohlenrand zu erkennen (Abb. 324, 326). Nach innen wurde dabei stellenweise eine schwach erhöhte Wölbung stehen gelassen, womit sich im Sohlenzentrum ein kleiner Sockel zeigt (Abb. 324, 326). Zwei flachere Mulden in **V106** zeichnen sich als gebrannte Lehmplatten ab (Abb. 250, 251). Ihre Funktion ist unklar.

Zweite, höher gelegene Grubensohle(?) im selben Befund

Bei zwei Depositgruben (V628, V994) scheint es, als ob jeweils zwei kegelstumpfförmige Vorratsgruben übereinander angelegt worden wären (Abb. 300, 301, 356, 357). In beiden Fällen ist der Übergangsbereich von einer Lößschicht gekennzeichnet, die als Hinweis auf ein Verheimlichen des darunter liegenden Grubeninhalts betrachtet werden könnte.[189] Im Profil zeichnet sich diese zweite, höhere Sohle jeweils als waagrechte Ausbuchtung im Wandverlauf ab.

Aufgrund der ungewöhnlichen Tiefe der Grubensohle von annähernd 3 m[190] in **V628** (Abb. 41/6) erscheint es naheliegend, dass ursprünglich die obere, sich gut abzeichnende, kegelstumpfförmige Grube als Getreidespeicher in Verwendung stand, deren Sohle sich mit etwa 2 m Tiefe im

183. Točík 1981, Plan 70/1.

184. Loré 1993, 59–60.

185. Říhovský 1982, 27.

186. Conrad, Conrad, Strobel 2014, 97–98 und Abb. 1–2 (SWX-02).

187. Anonymus 1772, 214.

188. Griebl, Hellerschmid 2015.

189. V628: Sign. 00230; V994: Sign. 10239.

190. Die durchschnittliche rekonstruierte Tiefe der kegelstumpfförmigen Speichergruben liegt um 2 m.

Normbereich bewegt. Nach dieser Deutung wurde später eine tiefe Grube für ein Ritual benötigt, bei welchem ein Wolf noch lebendig unterzubringen war, sodass die Sohle knapp einen Meter weiter abgetieft wurde. Zunächst legte man ein Hirschgeweih in der Sohlenmitte ab (Abb. 48) und brachte waagrechte Humus- und Lößschichten ein. Darauf wurde ein Wolf gefangen gehalten, dem ein Hirschkadaver als Nahrung diente. Nach dessen Tod warf man eine halbverweste Wölfin dazu und bedeckte alles mit Humus- und Lößschichten (Abb. 60, 61, 300, 301). Auf Höhe der ehemaligen Grubensohle kam eine mächtige Lößschicht zu liegen. Theoretisch könnte der verbliebene Hohlraum für Speicherzwecke weiterbenützt worden sein. Dies ist allerdings wenig wahrscheinlich, da Kultbefunde im Boden im Regelfall durch rasche und vollständige Verfüllung jeglichem Zugriff entzogen werden sollten.

Vorstellbar wäre auch die Variante, dass zuerst die tiefe Grube bestand und erst nach Abschluss der Deponierungen die randliche Erweiterung zur zweiten – höher gelegenen – Grubensohle geschaffen wurde. In diesem Fall wäre eine Verwendung als Wildtierkobel in Erstnutzung vorstellbar. Die Reihenfolge der Nutzungen erschließt sich uns nicht eindeutig, weil der Übergangsbereich im Wandprofil von V628 gestört ist.

V994 (Abb. 356, 357) zeigt eine Tiefe von etwa 2 m, sodass wir in diesem Fall von einer Nutzung als Speichergrube von Beginn an ausgehen. Abschließend diente die leere Grube für die Niederlegung einer jungen – verunfallten – Hirschkuh. Wie in V628 wurde der Tierkörper mit lehmighumosen Einfüllungen überdeckt, ehe die Grube erweitert („Ausbuchtung“) und eine neue Sohle geschaffen wurde. Die überleitende, starke Lößschicht und die randliche Erweiterung (die „zweite Grubensohle“) sprechen dafür, dass eine Sohle vorgetäuscht wurde, um den darunter befindlichen Abschnitt mit dem Tierkörper zu verheimlichen.

Eine interessante Parallele kam im niederbayerischen Weng zu Tage. Etwa 70 cm über der Sohle einer frühlatènezeitlichen Vorratsgrube wurden auf einem Schüttkegel die Leichen zweier erwachsener Männer beigesetzt und mit Erdreich bedeckt. Zu einem späteren Zeitpunkt wurde wenige Zentimeter über den Bestattungen ein zweiter, etwas vergrößerter Nutzungshorizont geschaffen und mehrere Feuer abgebrannt, die eine stark verziegelte Brandsohle und Grubenwand hinterließen. Der Zweck der Brandereignisse ist unbekannt, scheint allerdings mit den Toten in Zusammenhang zu stehen.[191]

Grube V656 wies am Boden eine fest gepresste Schicht humosen Materials auf (Sign. 00256, Abb. 305), die sich verhältnismäßig gleichmäßig in etwa 20 cm Mächtigkeit über die ganze Sohle verteilt. Sie war mit nur wenigen, vereinzelten Keramikfragmenten durchsetzt. Darüber lagerte eine ungefähr 10 cm starke, reine Lößschicht, die eine annähernd waagrechte Oberkante bildete (Sign. 00257). Das darauf befindliche schmale, humose Band (Sign. 10351) wirkt festgestampft, so als ob auf diese Weise eine **zweite, höher gelegene Grubensohle** geschaffen wurde. Die Vertiefung könnte erneut als Speichergrube für Getreide verwendet worden sein, ehe sie endgültig aufgelassen wurde. Die 2–4 cm dünne dunkelbraune Schicht (Sign. 10351) kann ein Überbleibsel dieser Zweitnutzung sein, entweder vom Speichergut selbst oder von einer organischen Auskleidung. Der Grubenwandverlauf verblieb in diesem Fall (V656), im Gegensatz zu den beiden obigen Beispielen, (V628, V994) unverändert.

Eine etwas andere Situation liegt bei **Grube V67** vor, wo sich eine annähernd waagrechte Lößschicht (Sign. 00441) am Grubenboden befindet, deren Oberkante von den Ausgräbern anfänglich als Grubensohle betrachtet wurde. Erst der Längsschnitt durch die Verfärbung brachte eine ebenfalls mit Lößmaterial verfüllte Mulde zutage, die in den Grubenboden eingetieft wurde (Sign. 00440, Abb. 248, 249). Die Mulde war annähernd fundleer.[192] Dieser Befund erweckt den Anschein, als sollte die Mulde versteckt werden, was auch tatsächlich (fast) gelungen ist.

Eine weitere Sonderform bilden einziehende Wände im unteren Grubenbereich, um einer bereits vorhandenen Grube auszuweichen. Dies wird im Kapitel 2.3.2.1 (Zwillingsgruben/Grubenpaare) behandelt.

2.1.2 Grubengrößen

2.1.2.1 Volumina

Bei der Berechnung des Fassungsvermögens der Gruben wurden für jedes Exemplar zwei Maße ermittelt. Zum besseren Verständnis dient eine Skizze (Abb. 42). Das „erhaltene Volumen“ umfasst das tatsächlich vorhandene Ausmaß der Grube, das bei der Ausgrabung festgestellt werden konnte (Kap. 10.1: „erhaltener rekonstruierter Fassungsraum der Grube“). Als Werte dienen der Bodendurchmesser (D) sowie der Durchmesser, der zuoberst erhalten blieb (d). Konnte festgestellt werden, dass die Grubenwände eingestürzt waren, wurde ein kleinerer Durchmesser von uns angenommen, der dem ursprünglichen Maß am nächsten kommt („rekonstruierter erhaltener oberer Durchmesser“,

191. Hanöffner, Richter 2014.

192. Holzkohleflitter und Keramikbruchstück.

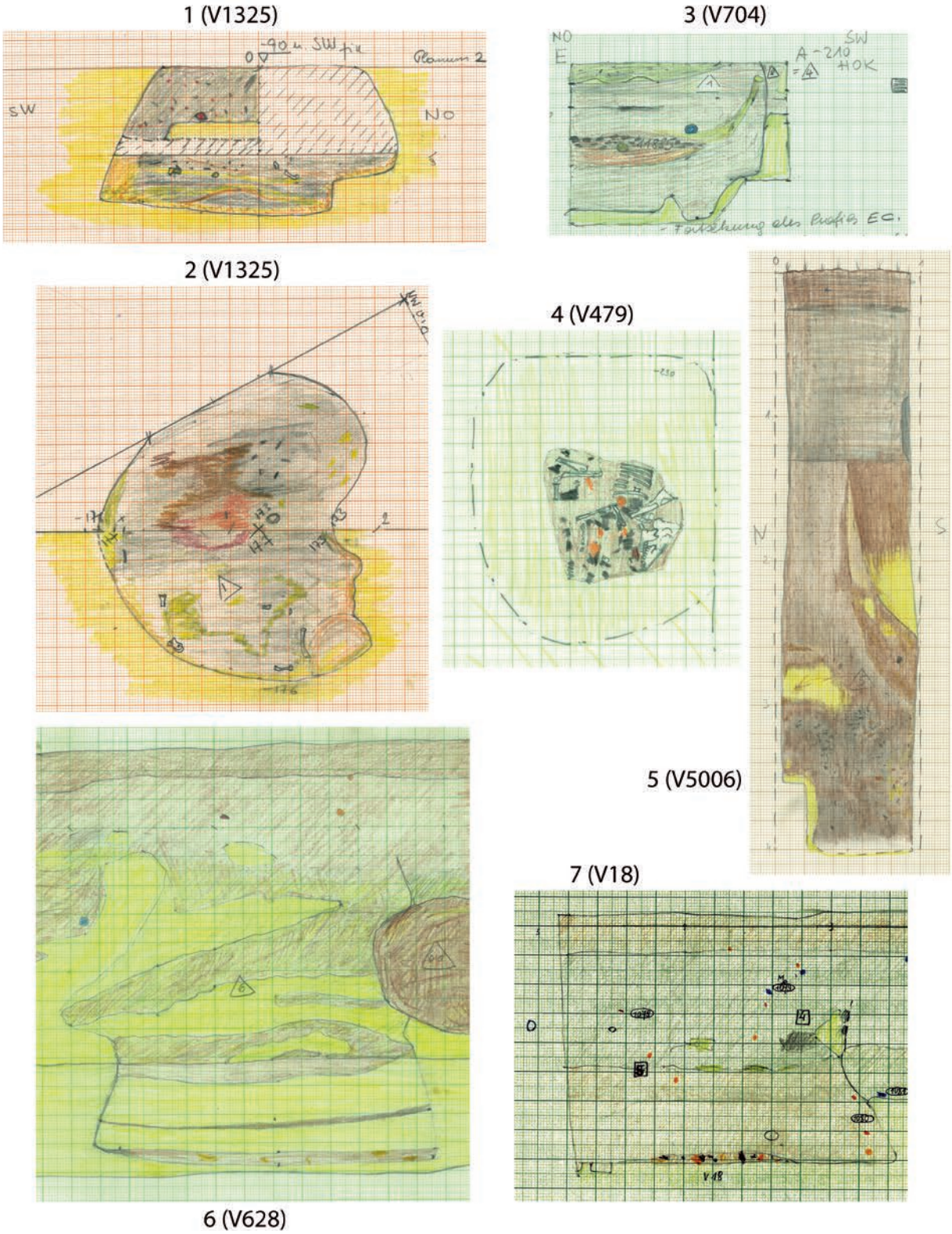


Abb. 41: Grubensonderformen. – 1 und 2. V1325: Zwischenprofil und unterstes Planum mit Einbuchtung im Bereich der Stufe (Zeichnung: A. Mikosz, Universität Wien, Plannr. HF 81/1985 und 101/1985), siehe auch Abb. 371, 372. – 3. V704: Zwischenprofil EF (Zeichnung: I. Artner, Universität Wien, Plannr. HF 42/1984). – 4. V479: Planum durch die zentrale Vertiefung unterhalb der Sohle (Zeichnung: O. Urban, Universität Wien, Plannr. HF 21/1979). – 5. V5006: Profilausschnitt (Ostprofil von Schnitt 7, Zeichnung: M. Frelih, Universität Wien, Plannr. WA 39/1989), siehe auch Abb. 412. – 6. V628: Westprofil (Zeichnung: J. Obereder, Universität Wien, Plannr. HF 48/1982). – 7. V18: Südprofil mit möglichen Steigbaumspuren (Zeichnung: G. Fuchs, Universität Wien, Plannr. HF 78/1971).

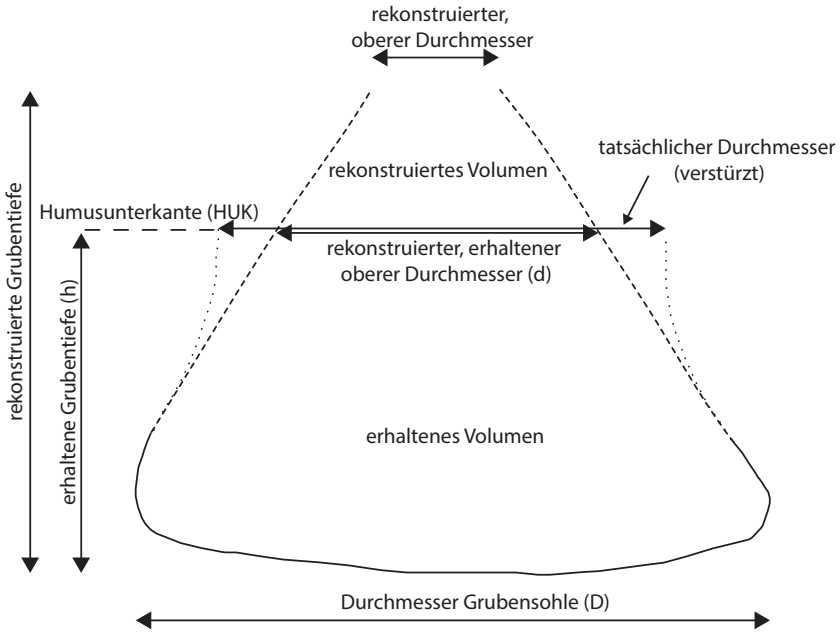


Abb. 42: Skizze der Maße, die zur Berechnung der Grubengrößen herangezogen wurden. Als Anschauungsbeispiel dient V819 (Maßstab 1:30).

Kap. 10.1: „min. rek. erh. Dm. (d)). Als dritter Wert wird die „erhaltene Grubentiefe" einbezogen. Diese entspricht in den meisten Fällen der tatsächlich vorhandenen Grubentiefe (Kap. 10.1: „max. erh. Grubentiefe (h)"). Einige Male ist der obere Grubenteil durch jüngere Befunde zerstört. Bei diesen Objekten wurde der Wert ab der Humusunterkante (HUK) zur Sohle gemessen, welcher der theoretisch heute vorhandenen Tiefe ohne Störung entspricht („max. rek. erh. Grubentiefe (h) bis HUK"). Das „rekonstruierte Volumen" ist das angenommene, ursprüngliche Fassungsvermögen der Grube (Abb. 433: „rek. Volumen", Kap. 10.1: „rek. Fassungsraum der Grube"). Da Speichergruben lediglich bis zum Grubenhals mit dem Lagergut gefüllt werden, werden sie in dieser Berechnung auch nur bis zum Grubenhals rekonstruiert. Der Wert des Bodendurchmessers ändert sich dabei nicht. Als „rekonstruierter oberer Durchmesser" wird konstant ein Wert von 50 cm verwendet, da aus historischen Berichten hervorgeht, dass der Grubenhals etwa dem Schulterdurchmesser eines Mannes entsprach.[193] Deshalb wird für den Grubenschulter-Hals-Übergang dieser Wert angenommen. Die ursprüngliche Tiefe („rekonstruierte Grubentiefe", Kap. 10.1: „max. rek. Grubentiefe") ist demnach ein Näherungswert, der nicht der gesamten Grubentiefe entspricht, sondern nur der Tiefe abzüglich des Grubenhalses. Wurde erkannt, dass die Grubenwände nach oben stärker einziehen, wurde für das rekonstruierte Volumen der obere Teil extra berechnet und beide Werte addiert.

Die Schwankungsbreite des rekonstruierten Volumens ist nicht sehr hoch. Da sich die Gruben nach oben verjüngen, ergeben abweichende Werte nur geringe Unterschiede im Ergebnis.

Auswertung (Volumina)

Der durchschnittliche Durchmesser der Grubensohlen liegt bei 237 cm, der Median[194] bei 230 cm (Abb. 43). Die heute erhaltene Grubentiefe beträgt im Schnitt etwa 70 cm weniger als die rekonstruierte Tiefe. Dabei sind jedoch Unterschiede in den Lokalitäten erkennbar. Während am „Hügelfeld" wohl mit einer größeren Erdabtragung zu rechnen ist, fehlt am „Wagneracker" und am „Bügeleisen" weniger zur errechneten Tiefe.

Das durchschnittliche rekonstruierte Volumen aller behandelten Gruben beträgt 4,92 m³. Blendet man die große Grube V841 mit den Menschenniederlegungen aus, liegt der Mittelwert bei 4,71 m³. Der Median beträgt 3,96 m³ (Abb. 44).

Die Gruben mit Tierniederlegungen besitzen unterschiedliche Fassungsräume von unter 2 m³ bis über 11,5 m³.

193. Kunz 2004, 91.

194. Der Median ist jener Messwert, der sich in einer nach Größe geordneten Liste genau „in der Mitte" befindet. Der Wert ist dadurch weniger empfindlich gegenüber Ausreißern, also Gruben, die überdurchschnittlich klein oder groß sind.

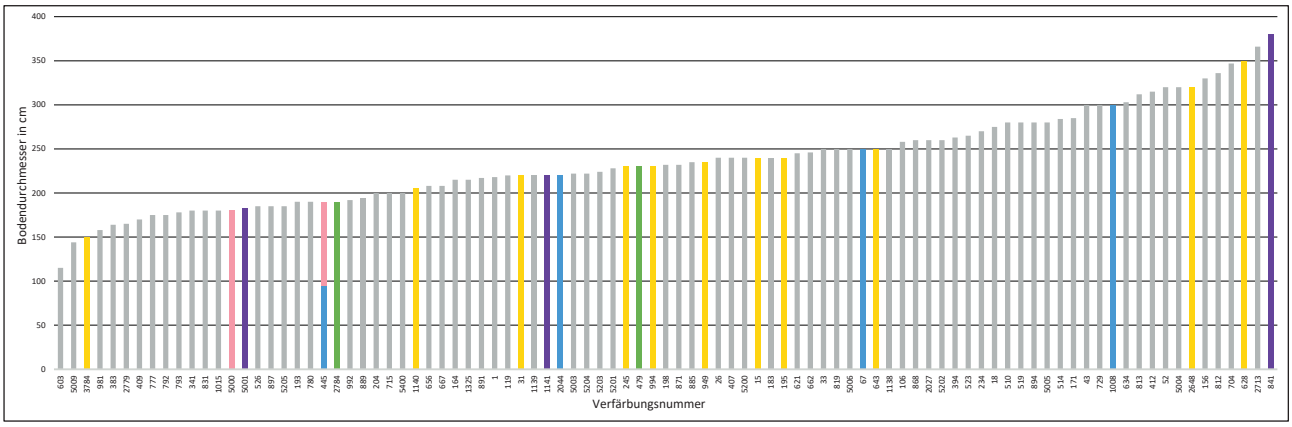


Abb. 43: Grafische Darstellung der Bodendurchmesser. Gruben mit Tier- und Menschendepositen sind farbig markiert. Lila: Menschen im Sehnenverband; rosa: menschliche Schädel; gelb: (gezähmte/s) Wildtier(e); blau: Haustier(e); grün: Wild- und Haustier(e).

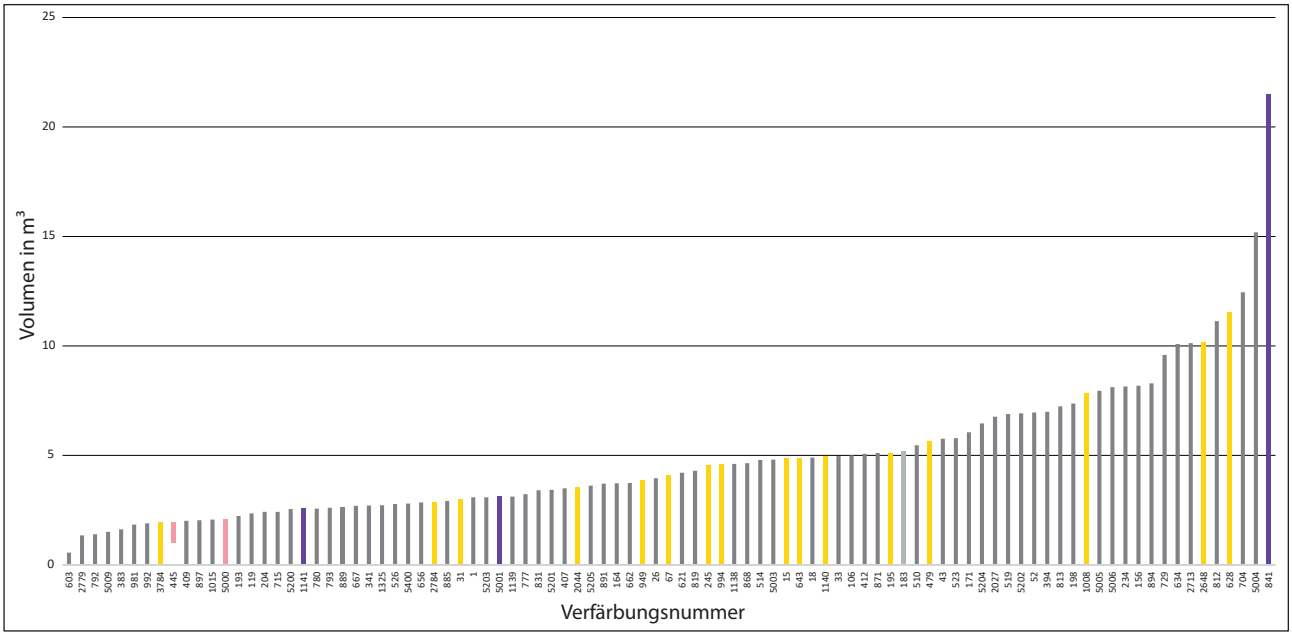


Abb. 44: Grafische Darstellung der rekonstruierten Fassungsräume. Gruben mit Tier- und Menschendepositen sind farbig markiert. Gelb: Tiere im Sehnenverband; lila: Menschen im Sehnenverband; rosa: menschliche Schädel.

Eine Häufung von bevorzugten Größen für die Depositionen ist nicht feststellbar. Dies gilt auch für menschliche Überreste, wobei eher kleinere Gruben gewählt wurden. Eine Ausnahme bildet Objekt V841 mit einem errechneten Fassungsraum von etwa 21,5 m³. In diesem Fall ist es wahrscheinlich, dass die Grube genau für diesen Zweck angelegt wurde.

Von gesamt 94 Gruben haben 60 Gruben (ca. 65 %) ein Volumen zwischen 2 und 6 m³, 9 Gruben liegen darunter (ca. 9 %), 24 Gruben liegen darüber (ca. 26 %).

Dass die Gruben teils unterschiedlich tief angelegt wurden, zeigt sich besonders deutlich bei den benachbarten Gruben V1 und V1140 nahe des Wallinnenfußes (Abb. 45). Die Grube V1140 mit der Deponierung einer Hirschkuh war etwa 1 m tiefer in den Löß gegraben als V1. Der obere Teil von V1140 (Schulterbereich) ist ähnlich geformt wie V1. Möglicherweise waren beide Gruben zunächst vergleichbar tief angelegt worden, ehe V1140 vergrößert werden sollte. Ein naheliegender Grund dafür wäre die geplante Tierbestattung. Um dafür nicht mehr Platz zu benötigen und die Statik der Eintiefung nicht zu gefährden, wurde sie nach unten erweitert (Formkategorie 5 – stempelförmig).

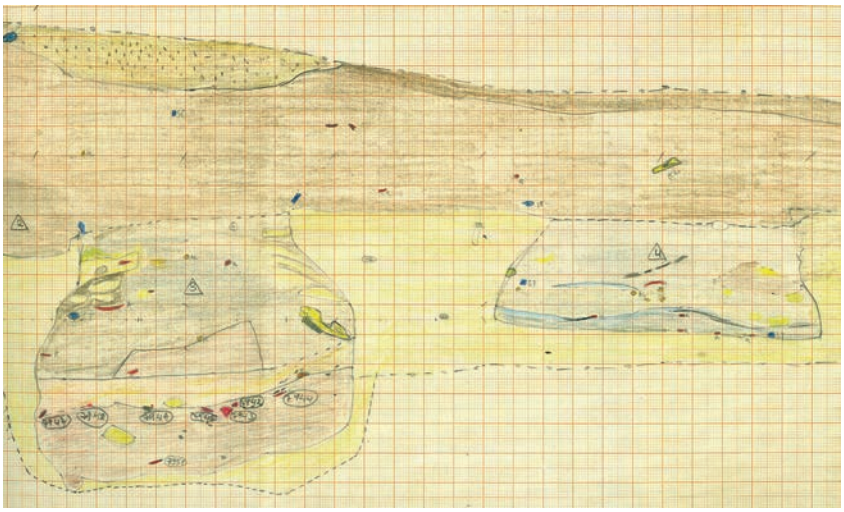


Abb. 45: Profil durch V1140 (links) und V1 (rechts), nahe des Wallinnenfußes gelegen. Die Grube V1140 mit einer abgelegten Hirschkuh ist etwa 1 m tiefer als V1 (Zeichnung: C. Mayer, Universität Wien, Plannr. WW 10/1978).

2.1.2.2 Speicherkapazität einer durchschnittlichen Speichergrube von Stillfried

Für die Berechnung der Speicherkapazität gehen wir von einer durchschnittlichen Stillfrieder Grube mit 4 m³ aus (Durchschnittswert 4,71 m³, Median 3,96 m³, Abb. 44). Als Raumgewicht des Spelzgetreides werden 40 kg pro Hektoliter veranschlagt. Somit passen 1600 kg bespelztes Getreide in die Grube. Mögliche Auskleidungen der Wände und der Sohle könnten den Fassungsraum der Grube um 3–4 % verringert haben (48–64 kg). Auch bei erfolgreicher Speicherung können geringe Verluste entstehen. Bei dieser Berechnung wird ein potentieller Ausschuss von 2–3 % bzw. 31–46 kg kalkuliert, der durch Auskeimung oder Verpilzung an den Grubenwänden und der Sohle anfallen kann. Ein aktuelles Experiment von Benedikt Biederer belegt, dass es sogar möglich ist, ohne Verluste im Randbereich zu speichern, wenn eine Auskleidung mit Stroh verwendet wird.[195] Weitere 2 % sind durch Atmungsverluste einzurechnen. Diese kommen durch Stoffwechselprozesse zustande, bei denen Sauerstoff verbraucht und Kohlendioxid erzeugt wird. Da bei diesen Vorgängen Energie in Form von Stärke benötigt wird, verringert sich die Masse.[196] Folglich können etwa 1475 kg Getreide nach der Speicherung entnommen werden. Davon muss ungefähr ein Drittel der Menge als Saatgut für die nächste Saison abgezogen werden (492 kg). So bleiben 983 kg zum Verzehr übrig. Es ist notwendig, das Getreide vor dem Konsum noch zu entspelzen, womit etwa ein weiteres Drittel wegfällt. Von der ursprünglich gelagerten Menge von 1536–1552 kg bleiben am Ende nur 655 kg verzehrbares Getreide übrig. Weitere Verluste können durch die Verarbeitung, z. B. durch das Mahlen, entstehen. Bei einer Tagesration einer Person von 500 g Getreide pro Tag (entspricht einem hohen Wert) reicht die Speichermenge einer 4 m³ Grube für den Jahresbedarf von etwa vier Personen.

Zur Aussaat werden pro Hektar etwa 150–200 kg benötigt (je ärmer der Standort, umso höher ist der Bedarf). Im Optimalfall kann mit der fünffachen Menge der Aussaat als Ertrag gerechnet werden. In eine 4 m³ Grube gelangt folglich der Ertrag von etwa 2 ha.[197]

2.1.2.3 Hochrechnung der Speicherkapazität der gesamten Anlage

Auf der ergrabenen Fläche, die etwa 5 % des umwallten Areals entspricht, konnten ungefähr 100 Vorratsgruben dokumentiert werden. Diese Speicher waren in allen Untersuchungsflächen, die nicht zu stark gestört waren, vorhanden. Somit ist festzuhalten, dass die kegelstumpfförmigen Vorratsgruben nicht auf das am höchsten gelegene „Hügelfeld“ beschränkt waren (Abb. 40). Dennoch ist am „Hügelfeld“ eine große Dichte an Speichergruben feststellbar, besonders im Nahbereich der Wallinnenseite. Rein rechnerisch gelangt man zu einer Anzahl von 2000 Gruben, die auf der gesamten Anlage bestanden haben könnten. Wir gehen

195. Das Experiment wurde 2018/2019 im Zuge der Dissertation von B. Biederer durchgeführt (Biederer 2022). – Vorberichte finden sich bei Biederer 2019 und Biederer 2020.

196. Herrmann 1963, 288, 806–808.

197. Unterstützung bei dieser Berechnung erhielten wir durch den Agrarwissenschaftler Ulf Baum, wofür wir uns herzlich bedanken.

davon aus, dass Teile des Plateaus mit Häusern bebaut waren. Dafür sprechen zahlreiche Hüttenlehmfragmente. Wie groß der Anteil der mit Gebäuden versehenen Fläche war und ob diese zwischen den Gruben lagen bzw. ob es funktionale Areale wie Wohn- und Wirtschaftsbereiche gab, lässt sich nicht sagen. Da wir zudem nicht wissen, ob die Speichergruben in allen Bereichen ähnlich dicht wie auf dem „Hügelfeld" angelegt waren, wird für die Berechnungen die Hälfte (ein willkürlicher Anteil), also 1000 Gruben, abgezogen. Als Grubenvolumen werden 4 m³ veranschlagt (entsprechend dem durchschnittlichen Fassungsraum von 4,71 m³ sowie dem Median von 3,96 m³, Abb. 44). Ausgehend von 1000 Speichern konnte darin ein Gesamtvolumen von 4000 m³ Getreide gelagert werden.

Die Besiedlung dauerte an die 300 Jahre. Da die Speichergruben über mehrere Jahre verwendet werden konnten, lässt sich nicht feststellen, wie viele davon gleichzeitig im Einsatz waren. Wenn wir von neuen Speichern für jede Generation (25 Jahre) ausgehen,[198] so gelangt man zu einem gleichzeitig verfügbaren Speicherraum von ungefähr 330 m³, was 83 Gruben entspricht. Diese Menge würde reichen, um etwa 330 Menschen ein Jahr lang mit Getreide zu versorgen.[199] Eingerechnet sind hierbei Abzüge durch Verluste, Saatgut und Spelzen. Betont werden muss neuerlich, dass es sich um eine Schätzung mit vielen Unbekannten handelt. Die vorgestellte Hochrechnung kann somit sowohl nach oben als auch nach unten zu korrigieren sein.

2.2 Verfüllung

2.2.1 Hinweise auf primäre Nutzung

Gelegentlich sind in den Gruben Merkmale an der Sohle oder an den Wänden zu beobachten, die von der ursprünglichen Nutzung als Speichergrube stammen könnten.

2.2.1.1 Verkohltes Getreide

Bereits an mehreren Fundstellen wurde eine dünne, schwarze Schicht auf der Grubensohle beobachtet,[200] bei der es sich um geringe Mengen von vergangenem oder verkohltem Getreide gehandelt hat. Diese Lagen könnten auf mehrerlei Weise entstanden sein. Zum einen besteht die Möglichkeit, dass es sich um Reste des primären Speichergutes handelt. Getreidekörner, die sich an den Rändern oder auf der Sohle der Grube befanden, könnten während der Speicherung verdorben und daher unbrauchbar geworden und in der Grube verblieben sein. Wenn eine Auskleidung aus Stroh verwendet wurde, können darin Körner stecken geblieben sein. Da die Auskleidung, wie wir aus ethnologischen Quellen wissen, nach der Entleerung häufig in der Grube verblieb und erst bei der Neubefüllung entfernt bzw. darin verbrannt wurde, können Getreidekörner Monate nach der Leerung auf die Sohle gefallen sein. Wurde die Grube ausgebrannt, konnten diese Getreidekörner verkohlen. Dies bestätigte Peter J. Reynolds in Experimenten.[201] Vor der Wiederbefüllung der Grube mussten häufig Ausbesserungsarbeiten durchgeführt werden. Im Zuge dessen könnte Material von den Wänden abgeschabt worden sein. Dabei gelangten möglicherweise Getreidekörner, die noch an den Wänden „klebten", auf die Sohle, wo sie verblieben. Beispiele dieser dünnen, schwarzen Schichten sind mit den Gruben **V897** (Sign. 10437, Abb. 347, 348), **V981** (Sign. 10452, Abb. 352) und **V1015** (Sign. 10394, Abb. 359) zu nennen.

2.2.1.2 Benutzungsstrate?

Archäologische Ergebnisse weisen darauf hin, dass in manchen Fällen das von den Wänden abgeschabte Material nicht aus der Grube entfernt, sondern auf der Sohle eingetreten wurde.[202] In Stillfried können zwei mögliche Zeugnisse einer solchen „Benutzungsstrate" („B" am idealisierten Profil, Abb. 231) ausgemacht werden. In **V1325** lag über der ganzen Sohle eine etwa 6 cm hohe, helle, gelb-braune Humus-Löß-Schicht (Sign. 00357, Abb. 371–373). Grube **V2027** wies ebenfalls eine hellbraune, etwa 3 cm starke, gleichmäßig auf der Sohle verteilte Strate auf (Sign. 10463, Abb. 374).

2.2.1.3 Wandverputz?

In manchen Fällen waren die Grubenwände möglicherweise mit einem Wandverputz ausgekleidet („A" am idealisierten Profil, Abb. 231), was dünne, senkrecht verlaufende Schichten meist helleren Materials nahelegen. In **V171** dürfte der Wandverputz aus einem Humus-Löß-Gemisch an der Nordostwand noch erhalten sein (Sign. 10298), während

198. Kunz 2004, 76: Aus historischen Quellen ist bekannt, dass Speichergruben auch über mehrere Generationen verwendet und vererbt werden konnten. Der Experimentalarchäologe P. J. Reynolds berichtete, dass er einige Speichergruben seit 16 Jahren in Gebrauch hatte und diese weiterhin funktionierten, Reynolds 1988, 26).

199. Diese Hochrechnung beruht auf der (großzügigen) Annahme von 500 g Getreide pro Mensch und Tag neben sonstiger pflanzlicher (und tierischer) Nahrung.

200. Willerding 1998, 18. – Wagner et al. 2012, Abb. 3.

201. Reynolds 1974, 128.

202. In Menningen konnten mehrere Planierschichten beobachtet werden, die Hinweise auf die Häufigkeit der Benutzung geben: Nortmann 2001, 34–35.



Abb. 46: V2784 vom „Hügelfeld". Der Bronzehort wurde unter der Grubensohle im sterilen Löß versteckt. Das eng gepackte Paket bestand aus vollständigen und neuwertigen Bronzegegenständen, worunter Frauentrachtbestandteile überwiegen (FNr. St. 20523; Grabungsdokumentation Stillfried, Landessammlung Niederösterreich, Bereich Ur- und Frühgeschichte, Fotonr. ST03616).

der stark lößhältige Haufen am Südwestrand der Grube (Sign. 10299) wie zusammengeräumtes, abgeschabtes Material wirkt, das sich von den Wänden gelöst hat (Abb. 257, 258). Wandverputz dürfte auch in den Gruben **V52, V341** und **V5204** vorliegen.

2.2.1.4 Versteckt

Verstecke sind im archäologischen Befund nicht leicht zu entschlüsseln, wie wir auch anhand weniger Beispiele aus Stillfried aufzeigen können:

Bronzehortfund

So wurde eher zufällig während der Ausgrabung im Jahr 1986 der bisher einzige bekannte Bronzehort von Stillfried[203] entdeckt (Abb. 46). Das eng gepackte Paket aus Bronzegegenständen befand sich etwa 5–10 cm unter dem Sohlenniveau von **V2784** am „Hügelfeld" in der südöstlichen Grubenwand. Da die Grubenbegrenzung wieder mit Löß verschmiert wurde, haben wir es folglich mit einem Versteck zu tun. Die Frage, wer den „Schatz" vor wem verheimlichte, bleibt unbeantwortet. Der Hort besteht aus vollständigen und neuwertigen Bronzegegenständen, worunter Frauentrachtbestandteile überwiegen.[204]

Auf der Sohle dieser Grube (V2784) wurden eine Keramikgefäßdeposition[205] und sechs Arbeitssteine (Taf. 62; 63/1–2) abgelegt, die als Werkzeuge für Metallverarbeitung angesprochen werden können.[206] In der oberen Grubenhälfte fanden sich auf einer verziegelten Lößschicht die Überreste von zwei Tieren (Wolf und Reh). Der Zeitraum, der zwischen dem Verstecken des Metallhortes in der leeren Grube und dem Verfüllen der Grube vergangen sein mag, lässt sich nicht bestimmen. Unabhängig davon, ob man beim Verschließen der Grube von dem Hort wusste oder nicht, legt dieser Grubenbefund in mehrfacher Hinsicht Zeugnis von nicht alltäglichen – kultischen? – Vorgängen ab.

Im 10. und 9. Jahrhundert v. Chr. werden die kennzeichnenden Brucherzhorte der älteren und mittleren Urnenfelderzeit von kleineren Fundverbänden aus vollständigen Bronzen verdrängt.[207] Deren Zusammenstellung erinnert an einzelne reiche Grabausstattungen, sodass Carola Metzner-Nebelsick diese Gruppe als personengebundene Hortfunde bezeichnet, deren Spender einzelne, gut situierte Mitglieder der Gesellschaft gewesen sein könnten.[208] Typisch sind Waffen, Bestandteile der Frauentracht, Pferdegeschirr und Metallgefäße, worin sich das Stillfrieder Bronzedepot gut einfügt. Metallhorte zeigen oft einen Bezug zu den

203. Penz 2006, 350–353 und Taf. 22, 23. – Lauermann, Rammer 2013, 96–99. – Hellerschmid, Griebl in Vorbereitung.

204. Zehn (Arm-)Reifen, drei Paar Gewandspangen, zwei Tüllenbeile, zwei Gussklumpen.

205. Scherben von insgesamt 21 Keramikgefäßen, wovon sich sechs vollständig zusammensetzen ließen.

206. Brandl, Martinez in Vorbereitung, Analysenummern 1, 8–10.

207. Ab dem 13. Jahrhundert bis ca. 1000 v. Chr., Metzner-Nebelsick 2012, 160–162.

208. Metzner-Nebelsick 2012, 165, 168.

befestigten Höhenanlagen. Im benachbarten Mähren sind meist deutlich mehr als zwei Depots pro Höhenanlage bekannt geworden, die nicht nur auf der Hochfläche, sondern auch an den Hängen gefunden wurden.[209] Diese sind oft unterschiedlichen Zeitabschnitten innerhalb der Urnenfelderzeit zuzuweisen, was für wiederholte, ortsbezogene Niederlegungen über längere Zeiträume hinweg spricht.[210] Die Verfasser gehen im nördlichen Niederösterreich von einem davon nicht gänzlich abweichenden Bild aus.

Grubenbefunde mit zwei hintereinander angelegten Grubensohlenniveaus

Des Weiteren finden sich zwei Grubenbefunde mit zwei hintereinander angelegten Grubensohlenniveaus, deren Wandverlauf den Eindruck erweckt, als ob jeweils zwei kegelstumpfförmige Vorratsgruben über- und nacheinander angelegt worden wären (Depositgruben **V628** und **V994**). Zwei unterschiedliche Grubensohlen sind auch bei den Befunden von V656 und V67 anzunehmen. In allen vier Fällen ist der Übergangsbereich von einer Lößschicht gekennzeichnet, die als Hinweis auf ein Verheimlichen des darunter liegenden Grubeninhalts betrachtet werden könnte.[211] Während sich im Wandprofil der Gruben mit Tierniederlegungen (V628, V994) jeweils eine waagrechte Ausbuchtung abzeichnet, blieben die Grubenwände von V656 und V67 unverändert (Kap. 2.1.1.2[212]).

2.2.2 Verdeckelt

In einer größeren Zahl von Gruben zeigen sich im „Deponierungshorizont" mächtige Schichtpakete, die sich aus feinen, abwechselnden Asche-, Brandschutt-, Humus- oder Lößbändern zusammensetzen. Sie liegen hauptsächlich in V26, V171, V193, V198, V412, V514, V621, V812, V889, V891, V1138 und V2713 vor (Schichtschlüssel 15 und 16, Abb. 47), wobei in zehn dieser 13 Vertreter Asche- bzw. Brandschuttanteile zu beobachten sind (Abb. 257, 258, 261, 262, 265, 266, 306, 307, 309, 324, 326, 379, 380, 382). Diese Bänderungen erwecken den Eindruck, als ob die dünnen Einfüllschichten in einem (größeren) zeitlichen Abstand nacheinander eingebracht worden wären. Die betreffenden Gruben könnten demnach in ihrer Letztfunktion als Aufnahmebehältnisse für Abfall bestimmter (handwerklicher?) Tätigkeiten gedient haben, die regelhaft durchgeführt wurden. Zwischenzeitlich waren sie wohl verdeckelt. Bei jenen Gruben mit Brandschutt- und Ascheanteil ist an Arbeitsabläufe zu denken, die regelhaft Feuer benötigten und deren Brandrückstände dort entsorgt worden sein könnten (Getreidedarren, Metallhandwerk usw.) (V198/Abb. 265, V812/Abb. 324, Kap. 2.2.3.5[213]). Bei jenen Gruben, in deren gebänderten Schichtpaketen Brandschutt- und Aschereste schwach oder gar nicht vertreten sind, kann über die dahinter stehenden (regelhaften) Handlungsschritte nur gemutmaßt werden (Abb. 257, 261, 379, 380). Möglicherweise wurde organisches (pflanzliches) Material eingefüllt und jeweils mit einer Lößschicht abgedeckt (zur Schädlingsbekämpfung und Geruchsvermeidung?).

In die große Grube **V841** (etwa 20 m³) wurden hintereinander vier Leichenlagen eingebracht, die alle mit Erdmaterial überdeckt wurden (Abb. 57, Kap. 2.2.3.7). Zwischenzeitlich dürfte die Grube abgedeckt bzw. verdeckelt gewesen sein, da keine Einschlämmungen erkennbar sind. Diese Vorgänge datieren in Siedlungsphase III/1 (900–850/840 v. Chr.). In V841 verblieb nach der letzten (vierten) Einfüllung ein Hohlraum von etwa 1 m Höhe. Möglicherweise wurde mit weiteren Einbringungen menschlicher Überreste gerechnet. Nach der Brandkatastrophe am Ende von Siedlungsphase III/2 stürzten die Seitenkanten der Grube ein (IF2841) und der Hohlraum füllte sich mit dem nachrutschenden Material (IF3841).[214] In diesen Versturzschichten (Sign. 00365, 00366, 00367) findet sich Keramik mit hallstattisierenden Merkmalen, die Siedlungsphase III/2 zugerechnet wird (siehe Kap. 1.4.1.4).

2.2.3 Sekundäre Füllung

Nach ihrer Auflassung wurden die Gruben mit unterschiedlichen Materialien wie Löß, Humus oder Brandschutt verfüllt. Dies erfolgte in den allermeisten Fällen rasch, da keine Einschlämmschichten nachzuweisen sind. Das Schließen erfüllte praktische Zwecke, indem es den Untergrund stabilisierte und Unfälle von Mensch und Tier verhinderte, lagen diese Gruben doch innerhalb des Siedlungsareals.

Eine Grube endgültig zu füllen, sie also vom Nutzen als Speicher zu entbinden, konnte mehrere Gründe gehabt haben. Eine Beschädigung, vor allem des Grubenhalses, führte dazu, dass sie in der Folge schwerer und mit höherem Risiko

209. Auch außerhalb der Befestigungen (sogenannte Deponierungslandschaften), Salaš 2012, 199–200 und Abb. 1–3, 5, 9.

210. Salaš 2012, 205.

211. V628: Sign. 00230; V656: Sign. 00257; V994: Sign. 10239; V67: Sign. 00441.

212. Unterkapitel: Zweite, höher gelegene Grubensohle(?) im selben Befund.

213. Unterkapitel: Dominanz Hell-Dunkel-Einfüllung und Schichtpakete aus feinen, unterschiedlichen Bändern.

214. Hellerschmid, Griebl in Vorbereitung.

1	Dunkle Schicht aus Asche mit viel Holzkohle (meist schwach fundführend) (z. B. V52/Sign. 00064).
2	Rötlich-oranger Brandschutt mit größeren verbrannten Hüttenlehmbrocken. Auch verziegelte Brocken von Bauteilen (z. B. Reste eines Kuppelofens) (z. B. V894/Sign. 10446).
3	Reiner Löß in sekundärer Lage, meist fundleer (z. B. V662/Sign. 10354).
4	Dunkle Schicht aus humosem, eher lockerem Material (aus humusbildendem Abfall) (z. B. V514/Sign. 00171).
5	In der Grube gebrannter, sekundär verlagerter Löß (Feuerhorizont) (z. B. V2784/Sign. 10241).
6	Eingeschlämmtes Material aus Löß und Humus (z. B. V2713/Sign. 10373).
7	Verkohlte Getreideschicht (z. B. V5001/Sign. 20011).
8	Keramiklage: Einzelscherben, die vermutlich absichtsvoll so angeordnet wurden, dass sie eine Art Unterlage oder Auflagefläche bilden (z. B. V1140/Sign. 10197) (grüne Linie).
9	Braun-lehmiges bis leicht humoses Material, meist sehr einheitlich und in vielen Fällen nur schwach fundführend (z. B. V1/Sign. 10469).
11	Mischung aus Asche und Löß (z. B. V43/Sign. 09038).
12	Festes, humoses Material, uneinheitliche, fett-braune Beschaffenheit (z. B. V656/Sign. 00256).
13	Helle, feine Asche (z. B. V1/Sign. 10470).
14	„Hell-Dunkel-Einfüllung" aus abwechselnd braun-humosem Material und hellem Löß, die einzelnen Schichten sind mehr oder weniger mächtig. Der farbige Gegensatz ist sehr auffällig (z. B. V628/Sign. 00230).
15	Feine Abfolge unterschiedlicher, dünnlagiger Einfüllungen (Humus, Löß, evtl. Asche) (z. B. V891/Sign. 00405).
16	Beinahe regelmäßige Abfolge etwa gleich mächtiger, dünnlagiger Einfüllungen aus Löß, Asche (teils mit viel Holzkohle) und Humus (z. B. V394/Sign. 00525).
17	Materialgemisch aus Humus und Brandresten (Holzkohleflitter, Asche, verziegelter Lehm) (z. B. V897/Sign. 10431).

Abb. 47: Darstellung des verwendeten Schichtschlüssels nach einer Vorlage von Hellerschmid, Griebl in Vorbereitung.

abgedichtet werden konnte. Vielfach gab man sie aus diesem Grund vermutlich auf und legte eine neue an. Eine weitere Ursache könnte sein, dass die Vorratsgrube nicht mehr benötigt wurde, weil beispielsweise die Besitzer verstarben oder die Produktionsweise geändert wurde. Daneben gab es offensichtlich auch andere Gründe für die Schließung einer Speichergrube, die über das praktische Denken hinausgehen (siehe Kap. 2.2.3.8).

2.2.3.1 Unterscheidung der Füllmaterialien

In diesem Projekt haben wir uns zur Aufgabe gemacht, die Verfüllungen zu analysieren und Hinweise zu finden, die entweder auf ein willkürliches Verschließen oder auf absichtsvolle Handlungsschritte hindeuten. Um die Füllschichten vergleichen zu können, haben wir eine einheitliche Darstellungsform entwickelt und diese mit Nummern und Farben verschlüsselt (Schichtschlüssel Abb. 47). Dabei erhalten sowohl unterschiedliche Materialien wie Löß, Humus, Asche und Brandschutt eine eigene Nummer, wie auch komplexe Verfüllungen, die sich aus mehreren Materiallagen zusammensetzen. Zu Letzteren zählen die Abfolge von sehr feinen Schichten (Schichtschlüssel 15 und 16) und das abwechselnde Auftreten von hellem Löß und dunklem Humus (Schichtschlüssel 14). Auch Spuren, die noch von der Erstnutzung der Gruben als Speicherobjekte herrühren (Wandverputz? [A], Begehungshorizont? [B]) sowie Veränderungen nach der endgültigen Verfüllung (eingebrochene Wandteile [α], spätere Eingriffe in die Grube [β]) sind darin festgehalten (Abb. 231 unten; Abb. 234–432). Für die Funde aus den Gruben entwarfen wir Bildzeichen (Abb. 231).

Auffällig ist, dass sich im Großteil der aufgelassenen Getreidespeicher besondere Funde wie Handwerkszubehör in meist unbrauchbarem Zustand und beispielsweise absichtsvoll abgetrennte(?) Teilstücke von Gefäßen finden. Gleichzeitig ist der Anteil von „Siedlungsmüll" ungewöhnlich niedrig, was an ein absichtsvolles Einbringen dieser „Sonderfunde" denken lässt (Abb. 52, 223, 224, Kap. 7.2).

Unter **Subbefunden** verstehen wir auffällige Befundsituationen innerhalb der Verfärbungen. Sie stehen oftmals mit Sonderfunden in Zusammenhang, was die Wahrscheinlichkeit eines intentionellen Vorgehens im Rahmen einer kultischen Handlung(?) erhöht. Beispiele sind die auf Keramikscherben abgelegte Hirschgeweihstange im Zentrum der Grubensohle von V628 (Abb. 48) und das teilverbrannte Ferkel in einer Mulde unter der Sohle von V479.

Als **Depositionen** bezeichnen wir Anhäufungen von oft gleichartigen Gegenständen (Arbeitssteine, Tonringe, Bronzen), die mit unterschiedlicher Wahrscheinlichkeit absichtsvoll abgelegt worden sind. Darunter finden sich auch vermehrt Sonderfunde (Abb. 49).

Auswertung (Füllmaterialien)

Die Verfüllungen der meisten Gruben bestehen aus mehreren Schichten. Nur wenige Objekte sind einheitlich mit lehmig-humosem Material (V18, V383, V603) oder Asche (V5200) verschlossen worden. Grubenübergreifend lässt sich häufig eine **Dreiteilung** der Verfüllung feststellen, bestehend aus dem Grubensohlenbereich, einem mittleren Grubenabschnitt (= „Deponierungshorizont") und der oberen Grubenverfüllung.[215] Aufbauend auf dieser Beobachtung entwickelten wir ein Schema, nach dem wir die Einfüllschichten aller 94 kegelstumpfförmigen Gruben diesen drei Abschnitten zuordneten. Daraus entstand die Darstellung der Gruben als idealisiertes Profil samt erklärender Matrix (Kap. 10.1, Abb. 234–432).

2.2.3.2 Grubensohlenbereich (GS)

Auf diesen untersten Abschnitt entfällt jenes Material, das direkt auf dem Grubenboden lagert. Dies ist oftmals ein Häufchen aus humosem, lehmigem oder aschigem Material in der Sohlenmitte, dessen Höhe von wenigen Zentimetern bis 30 cm reichen kann. Ein solches kann in allen Gruben – unabhängig vom sonstigen Verfüllungscharakter der Grube – vorliegen. Die Entstehung kann **natürlichen Ursprungs** sein, etwa aufgrund von Sedimentation durch den Grubenhals, insbesondere bei Humus- und Lößhäufchen, die im Regelfall fundleer sind. **Gruben mit Humusanhäufungen in der Sohlenmitte** sind zahlreich vertreten,[216] **kleine Lößkegel** im Zentrum des Bodens fanden sich in V15 (Sign. 00005), V31 (Sign. 00048), V407 (Sign. 10324) und V1015 (Sign. 10395).

Häufig zeigt sich auch ein **Aschehäufchen im Zentrum der Sohle**[217] bzw. **humos-aschiges Material**.[218] Im Fall von **V662** überlagert ein Ascheband (Sign. 00261) eine am Grubenboden abgelegte Keramiklage mit einem Sondergefäß

---

215. Diese Dreiteilung wurde erstmals im FWF-Projekt „Menschen- und Tierdepositionen – Opferkult in Stillfried?" (Projektnr. P-22755-G19) für die Tier- und Menschenniederlegungen festgestellt, Griebl, Hellerschmid 2015, 194.

216. V26 (Sign. 10473), V106 (Sign. 10205), V171 (Sign. 10300), V245 (Sign. 00505), V519 (Sign. 00178) V667 (Sign. 00264) V793 (Sign. 00638), V813 (Sign. 10402), V885 (Sign. 10423), V891 (Sign. 00403), V2027 (Sign. 00021), V2713 (Sign. 10369), V2779 (Sign. 10395), V5003 (Sign. 20017), V5009 (Sign. 20006).

217. V33 (Sign. 00534), V52 (Sign. 00064), V514 (Sign. 10340), V662 (Sign. 00261), V729 (Sign. 10380, 00282), V777 (Sign. 10386), V792 (Sign. 00331), V819 (Sign. 00645), V868 (Sign. 00380), V871 (Sign. 10419), V889 (Sign. 00399), V949 (Sign. 00438), V1325 (Sign. 10386).

218. V193 (Sign. 10304), V204 (Sign. 10307), V409 (Sign. 00075), V634 (Sign. 00240), V897 (Sign. 10431), V5004 (Sign. 20025).



Abb. 48: V628, „Hügelfeld“: Das Foto zeigt die mächtige, schädelechte Geweihstange, die in der Mitte der Grubensohle auf eine Unterlage aus einzelnen Keramikscherben gebettet wurde (Grabungsdokumentation Stillfried, Landessammlung Niederösterreich, Bereich Ur- und Frühgeschichte, Fotonr. ST02794).

(Taf. 45/1) und einem Kleinsäugerskelett (Abb. 308, 309). Viele der angeführten Gruben weisen auf der Sohle oder in den darüber liegenden Verfüllschichten (im „Deponierungshorizont“) einige bemerkenswerte Funde auf, die absichtsvoll im Zusammenhang mit einer symbolischen Bedeutung eingebracht worden sein könnten (Kap. 7.2).

Anzuschließen sind hier **Brandschuttansammlungen in der Sohlenmitte:**[219] Diese Fundkategorie stammt von Hausbrandschutt oder zerstörten Lehmkonstruktionen wie beispielsweise (Kuppel)Öfen und ist nicht als normaler Siedlungsmüll zu betrachten. Herausgestrichen wird die Grube mit der alten Hirschkuh (V195), wo sich ein solches, mit Humus durchmischtes Häufchen in der Mitte des Grubenbodens befand. In V523 konnten über bzw. seitlich der dünnen Brandschuttlage einige zerscherbte Keramikgefäße geborgen werden.

Eine **verkohlte Getreideschicht** (Schichtschlüssel 7) auf der Sohle zeigt sich besonders eindrücklich in V643 (Sign. 00244) und V5001 (Sign. 20011). In **V643** handelt es sich um sorgfältig gereinigtes Saatgut,[220] das sich in verkohltem Zustand auf der Grubensohle (Westhälfte) zusammen mit einem Bronzeniet und einem Hirschgeweihspross fand. Abgedeckt wurde dieser etwa 6 cm hohe Verband mit einer dünnen, verziegelten Löß-/Lehmschicht, während im gegenüberliegenden Sohlenteil ein junger, unvollständiger Feldhase abgelegt wurde (Abb. 304). Die Verbindung von Jungtier und Saatgut (Brandopfer?) lässt eine bewusste Niederlegung vermuten, möglicherweise im Rahmen eines Fruchtbarkeitsrituals.[221]

Etwas anders präsentiert sich die ungefähr 10 cm mächtige Getreidelage von **V5001**. Sie nimmt weite Teile des Grubenzentrums ein und besteht aus einer verkohlten Vorratsmischprobe (v. a. Rispenhirse und Dinkel) und Brocken eines Breigerichts. Darauf wurde ein Teil des Brandschuttes eines (besonderen?) Hauses in zwei Handlungsschritten eingefüllt (Schichten 20012 und 20014), wobei Tafelgeschirr und ein menschliches Neugeborenes angeschlossen wurden (Abb. 394, 397). Nach unserer Deutung wurde das Getreide durch das Schadfeuer bereits im Haus zerstört. Für die weiteren Vorgänge schlagen wir eine profane und eine kultische Deutung vor[222] (Kap. 10.1.2, V5001). Auch in V5003 stammt das mit Abstand meiste Getreide- und Wildpflanzenmaterial von der bodennahen Brandschuttschicht (Sign. 20018).

219. V18 (Sign. 00015), V43 (Sign. 09037), V195 (Sign. 00498), V510 (Sign. 00157), die Zwillingsgruben V523 (Sign. 10341) und V526 (Sign. 00190), V621 (Sign. 10344 auf einer Aschelage), V992 (Sign. 10548).

220. Bestehend vor allem aus emmerähnlichem Spelzweizen (*Triticum timopheevi*), einer besonderen und seltenen Weizenform, und Einkorn (Wintersaat), Kohler-Schneider 2001, 77.

221. Hellerschmid, Griebl in Vorbereitung.

222. Unter kultischen Vorgängen verstehen wir jede Form von vordergründig „irrationalen“ Handlungsschritten, bei denen nicht greifbare (transzendentale) Kräfte eingebunden waren. Dies kann die Durchführung von Ritualen oder auch nur das bewusste Einbringen von Gegenständen („Glücksbringer“) in Grubenverfüllungen gewesen sein. Da diese „überirdische“ Ebene archäologisch nicht greifbar ist, bleibt eine diesbezügliche Deutung im Regelfall immer unsicher, siehe Kap. 7.2.

Deponierungen	Grubensohle	Deponierungshorizont
abgestellte Keramikgefäß(e)	V204, V407, V409, V523?, V621?, V662?, V2784	V891
Getreidelage	V643, V5001	
gemischte Deponierung (Keramikgefäße, Handwerkszubehör usw.)		V67, V183
Bronzehort	V2784[a]	
Deponierung einzelner menschlicher Schädel mit gegenständlichen (Sonder)Funden		V445[b], V5000
Tierniederlegungen (im Sehnenverband) mit gegenständlichen (Sonder-) Funden	V479[c], V643, V662?	V15, V31, V67, V195, V245, V445[d], V479, V628, V949, V994, V1008?, V1140, V2044, V2648, V2784, V3784
Menschenniederlegungen als Mehrfachbelegungen (im Sehnenverband) mit gegenständlichen (Sonder)Funden. Aufgrund von Größe (V841) und Wallnähe keine Erstnutzung als Getreidespeicher		V841, V1141
Einbringung eines einzelnen menschlichen Körpers (im Sehnenverband)		V5001 (Fötus/Neugeborenes)

[a]) Als Versteck unter der Grubensohle.
[b]) Vergesellschaftet mit Ferkelkadaver.
[c]) In Mulde unter der Grubensohlenmitte (angebranntes Ferkel).
[d]) Vergesellschaftet mit menschlichem Schädel.

Abb. 49: Überblick über die Deponierungen in den verfüllten Gruben, welche in Erstnutzung als Speichergruben dienten (Ausnahmen: V841, V1141). Mehrfachnennungen sind möglich, wenn (Tier)Depositionen auf unterschiedlichen Niveaus innerhalb derselben Grube vorliegen (z. B. V479), oder wenn aus einer Grube verschiedene Niederlegungen stammen (z. B. Bronzehort, Keramik- und Arbeitssteindeposition sowie Tierskelette in V2784).

Gegenständliche Funde im Verband – Deponierungen
Eine Ansammlung von Gegenständen, von denen wir annehmen, dass sie absichtsvoll abgestellt bzw. abgelegt wurden, wie Keramikgefäße, Arbeitssteine usw., werden als „Deponierung" bezeichnet und in der Matrix als grünes Oval dargestellt („D" in Schichtschlüssel-Spalte, Abb. 49, 234–432). Sie finden sich entweder auf der Grubensohle oder auf der Oberkante des „Deponierungshorizontes". „Absichtsvoll" bedeutet nicht automatisch, dass ein kultisch-ritueller Hintergrund zu vermuten ist. In vielen Fällen lässt sich nämlich die Frage nach einem möglichen Kultzusammenhang kaum klären. So handelt es sich bei vollständigen Großgefäßen in aufrechter Position eher um nicht mehr gehobene Vorratstöpfe in Letztverwendung der Grube als um mit Speise- und Trankopfern gefüllte Gefäße. Bei Tafelgeschirr wäre es umgekehrt.[223]

Keramikgefäßdeponierungen wurden meist auf der Grubensohle abgestellt. Die Oberfläche, auf der sie sich befinden, ist – wie die Keramik(unter)lage – am idealisierten Profil mit einer grünen Linie gekennzeichnet (Kap. 10.1, Abb. 234–432). Beispiele sind die Keramikgefäße am Grubenboden von **V407** und **V409** (Abb. 278–280), worunter ein Vorratstopf aus unzähligen Bruchstücken zusammengesetzt werden konnte (V407, Taf. 38/1). Eine Scherbenlage fand sich auf der Sohle von **V662** (Abb. 308), eine weitere auf einer Brandschuttschicht in Grubensohlennähe von **V523**, die u. a. ein zerscherbtes Siebgefäß enthielt (Taf. 42/2[224] und Abb. 293). In **V621** wurden Randbruchstücke von Gefäßen auf einer Aschenlage (Sign. 10344) am Grubenboden abgestellt und mit Brandschutt abgedeckt (Abb. 299). Möglicherweise handelt es sich dabei um eine absichtsvolle Zurichtung (Subbefund).

Am Grubenboden von **V2784**, der Grube mit dem Bronzehort, fanden sich 21 zerbrochene Gefäße aller Formtypen, wovon sich sechs vollständig zusammensetzen ließen. Ein Verband von Arbeitssteinen (zur Metallverarbeitung?) – ebenfalls am Grubenboden abgelegt – sowie die Skelette von Wolf und Reh auf gebrannter Lößschicht innerhalb der

223. In Gruben bewusst abgelegte (aufwändig angeordnete) Tafelgeschirrgarnituren sprechen für Keramikgefäßdepots, die meist kultisch gedeutet werden (als imaginiertes Trinkgelage von Mitgliedern der menschlichen und der geistigen Welt), Metzner-Nebelsick 2012, 170.

224. Hellerschmid 2006, Katalog (V523) und Taf. 54/6; 55/1.

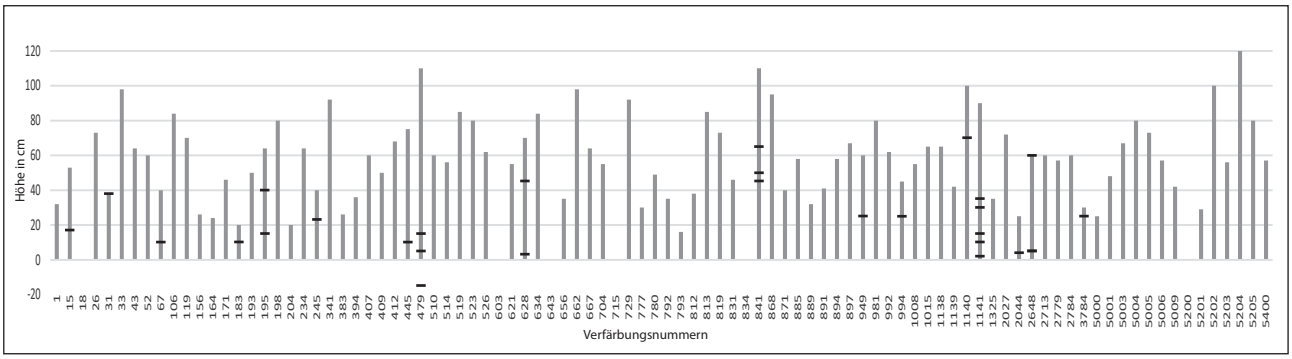


Abb. 50: Grafische Darstellung der Mächtigkeit des „Deponierungshorizonts". Die waagrechten schwarzen Balken zeigen die Höhenlage der Tier- bzw. Menschenniederlegungen an.

oberen Verfüllung sprechen für einen kultischen Hintergrund der Verfüllvorgänge von Grube V2784.[225]

In zwei Fällen (V204 und V523) wurden diese Gefäße am Grubenrand abgestellt, während im Sohlenzentrum bereits Erdmaterial lagerte. Dadurch werden diese Depositionen in unserem Schema dem „Deponierungshorizont" zugerechnet, obwohl sie sich de facto am Grubenboden befinden. Es ist anzunehmen, dass es sich bei den Töpfen in Grube **V204** um nicht mehr gehobene Vorratstöpfe handelt (Abb. 267, 268). Ob sie gefüllt waren, lässt sich nicht mehr sagen.

Eine typische **Keramiklage** (Schichtschlüssel 8) findet sich im Zentrum der Sohle von **V628**, wo eine schädelechte Geweihstange auf einzelne Keramikscherben gebettet wurde (Abb. 48). Nahe der Grubensohle von **V183** fanden sich auf engstem Raum drei zerscherbte Keramikgefäße und Metallhandwerkszubehör. Dieser Fundverband wird als **gemischte Deponierung** bezeichnet. Aufgrund zweier angeblicher (verschollener) Leichenbrandstücke entstand die Vermutung, dass ein Brandgrab (aus dem ersten Siedlungsabschnitt) vorliegen könnte, was sich nicht erhärten lässt. Eine ganz ähnliche Situation findet sich bei **V67** (IF1094).

2.2.3.3 „Deponierungshorizont" (DH)

Auf dem „Grubensohlenbereich" kommen meist ein bis drei Schichten zu liegen, die als „Deponierungshorizont" bezeichnet werden. Die Mächtigkeit dieses mittleren Grubenabschnittes ist unterschiedlich und schwankt zwischen 20 und 60 cm (Abb. 50). Die Bezeichnung „Deponierungshorizont" wurde von der Auswertung der Gruben mit Tierniederlegungen[226] übernommen. Denn in den Gruben mit Tierdepositionen schließt dieser mittlere Grubenabschnitt meist waagrecht ab, worauf die Kadaver abgelegt – deponiert – wurden[227] (auf sogenannten „Plattformen", Abb. 50, Kap. 2.2.3.8). Da der Hauptanteil der Funde und Sonderfunde bei allen Stillfrieder Gruben aus diesem mittleren Bereich stammt, lässt sich die Bezeichnung „Deponierungshorizont" problemlos auf alle Grubenverfüllungen übertragen (Abb. 49, 52).

Erdmaterial, das die Deponierungen abdeckt, wird ebenfalls noch zum DH gezählt. Auch bei Gruben ohne erkennbare Deposition ist oftmals ein mehr oder weniger waagrechter Abschluss festzustellen, allerdings liegt vielfach ein typischer Einfüllkegel vor.

(Sonder)Funde

Unter „Sonderfunden" verstehen wir all jene Gegenstände, die aus dem gängigen Haushaltsmüll, wie Scherben von Koch- und Tafelgeschirr, Tierknochen usw., herausstechen. Größtenteils handelt es sich dabei um keramische Funde wie Siebgefäße, Backplatten, „Spielsteine" und Feuerböcke sowie um auffällige Lehmarchitekturteile, Webgewichte und sonstiges Zubehör von Handwerkszweigen. Es sind auch solche aus Stein, Knochen und Geweih anzuführen, wie Reibplatten, Klopfsteine, Gussformen, Knochenpfrieme (Taf. 80/1) sowie Jagd- und Kriegswaffen (Geweihangeln, bronzene Pfeilspitze), Rohstoffe (abgesägte Geweihstangenstücke, Birkenpech, Rötelstein) und Schmuck- bzw. Trachtzubehör. Diese Gegenstände liegen meist als Bruch- und Teilstücke vor, vollständige Belege sind eher die Ausnahme. Als **Teilstücke** bezeichnen wir jene Funde, die zum einen in quadratischen bzw. rechteckigen Ausschnitten, wie Reibplattenteile (z. B. Taf. 36/1; 37/2; Kap. 3.5.1), zum

225. Hellerschmid, Griebl in Vorbereitung.
226. Hellerschmid, Griebl in Vorbereitung.
227. In nur drei Fällen befanden sich die Tierniederlegungen auf der Sohle (V479, V643, V662; siehe auch Abb. 49).

anderen häufig als exakte Hälften vorliegen. Davon sollen die Kegelhalsgefäßhälfte von V5400 (Taf. 81/1–2), die geteilte Rassel aus V510 (Taf. 38/2) und die halben Tonringe (Taf. 32/5–6, 10; 33/1; 37/5; Kap. 3.1.2.3) genannt werden. Auch in auffälliger Weise abgetrennte Stücke, wie der zu einem pyramidenstumpfförmigen Webgewicht verkleinerte Feuerbock, sind hier zu nennen (Taf. 37/4, V198). Obwohl wir bei vielen dieser Teilstücke von absichtsvollen Durchtrennungen ausgehen, sind Pickspuren oft nicht auszumachen bzw. bedürfen einer eigenständigen Untersuchung (Taf. 37/2, 4–5). Eine weitere Gruppe von **Sonderformen** weicht durch Größe (Miniaturausführungen), Form/Funktion, Verzierung und/oder Material vom bekannten Vorbild deutlich ab (z. B. Drillingsgefäß Taf. 45/1, gezackte, grafitierte Sonderform Taf. 45/3, Miniaturgefäß Taf. 56/7).

Aus der fundreichen Schicht 20501 eines Brandschutt-Humus-Gemisches aus **V5400** vom „Küssleracker" stammen ein Satz gleichförmiger Tonringe und drei Teilstücke von kleinen, ringförmigen Getreideerzeugnissen, neben einer Reihe weiterer besonderer Funde (z. B. zugerichtete Gefäßkeramik, schuhleistenförmige Hüttenlehmstücke usw.). Da die genaue Fundlage der Ringe nicht überliefert ist, können wir von keiner gemischten Deposition sprechen. Eine Vergesellschaftung von ringförmigen Gegenständen aus zwei so unterschiedlichen Materialien (Ton und Getreide) lässt eine bewusste Einbringung zumindest andenken. Ähnlich wie bei V5001 vom „Wagneracker" schlagen wir eine profane und eine kultische Interpretationsmöglichkeit vor (Kap. 10.1.4, V5400, und Kap. 3.8).

In **V891** befindet sich die Ansammlung zerbrochener Gefäße weit über dem Grubensohlenniveau am oberen Abschluss des „Deponierungshorizontes" (Abb. 344, 345). Davon sind vor allem eine Miniaturschale (Taf. 2/1) und ein großteils zusammengesetzter Topf (Taf. 2/2) zu nennen.

Im Umfeld der Tierskelette wurde in den meisten Fällen eine größere Zahl an gegenständlichen (Sonder)Funden geborgen, die dem Spektrum aus den sonstigen Gruben (ohne Tierkadaver) gut entsprechen.

In drei Gruben wurden (auch) menschliche Leichen bzw. Leichenteile im „Deponierungshorizont" gemeinsam mit (Sonder)Funden abgelegt (V841, V1141, V5001). In zwei Fällen nehmen wir an, dass die Gruben extra für diese Mehrfachbestattungen angelegt wurden (V841, V1141), begründet in der räumlichen Nähe zum Wall (V841, V1141) und in der Übergröße von V841 mit etwa 20 m³ Fassungsraum (Abb. 55, 228, 229). Bei der kegelstumpfförmigen Grube V5001 mit dem **menschlichen Neugeborenenskelett** gehen wir hingegen von einer Getreidespeichergrube aus, welche abschließend zu großen Teilen mit Brandschutt verfüllt wurde. Dem bereits erkalteten Brandschutt wurde eine Kinderleiche beigefügt. Da Kinderskelette bis zum dritten Lebensjahr innerhalb des weit bekannten Phänomens der späturnenfelderzeitlichen Siedlungsbestattungen nicht bzw. kaum vertreten sind, steht die Säuglingsdeponierung mit hoher Wahrscheinlichkeit nicht im Zusammenhang mit dieser Totenbehandlungspraxis (Kap. 2.2.3.7).

2.2.3.4 Obere Grubeneinfüllung (OG)

Auf den Abschluss des „Deponierungshorizontes" kam als letzte Verfüllung häufig recht einheitlich hellbraunes, humos-lehmiges Material mit nur vereinzelten Funden **(Schichtschlüssel 9**). Bei manchen Gruben haben wir diese obere Grubenfüllung in der Matrix in zwei Bereiche geteilt (z. B. V31, V33, V43, Abb. 239–244). Dies ist dann der Fall, wenn zunächst Material eingebracht wurde, das nicht dem Schichtschlüssel 9 entspricht („obere Grubeneinfüllung, untere Verfüllschicht", abgekürzt OGU). Der oberste Bereich („obere Grubeneinfüllung, endgültige Verfüllung", OGV) wird in diesen Fällen stets von Material des Schlüssels 9 eingenommen.

2.2.3.5 Gliederung der Gruben nach den Hauptanteilen ihrer Einfüllungen

Wir haben alle Gruben entsprechend ihren anteiligen Verfüllschichten in drei Gruppen untergliedert: Jene, bei denen Brandschutt, Asche und Asche-Humus-Schichten überwiegen (1), jene mit einer Dominanz von Löß/Lehm/Humus (2) und jene mit Schichtpaketen, die sich aus unterschiedlichen Materiallagen gebildet haben (3) (Abb. 433, Spalte: Verfüllmaterial). Die drei Gruppen verteilen sich regellos über die Flächen (Abb. 51). Der Hauptanteil der Funde und Sonderfunde kommt bei allen Gruben aus dem mittleren Abschnitt („Deponierungshorizont"), wobei sich keine Vorliebe beim Verfüllungstyp abzeichnet (Abb. 52).

Dominanz Brandschutt/Asche/Asche-Humus

Besteht eine Grubenverfüllung hauptsächlich aus Materialarten der **Schichtschlüssel 1, 2, 5, 11, 13 oder 17**, fällt sie in diese Kategorie (Abb. 47, 433/Verfüllmaterial Nr. 1). Die Brandschuttschichten finden sich hauptsächlich auf der Grubensohle und im „Deponierungshorizont", wobei sie großteils in Bändern von nicht mehr als 15–20 cm Stärke vorliegen (Beispiel V43, Abb. 242–244) und meist mit humoslehmigem Material vermischt sind. Besonders häufig zeigt sich eine solche Brandschuttschicht als oberer Abschluss des „Deponierungshorizontes" (**einfache Abdeckung aus Brandschutt und Asche**), was den Eindruck erweckt, als ob diese die Grube verschließen soll, bevor der verbliebene Hohlraum mit lehmig-humosem Material ausgefüllt wurde. Beispiele sind V52 (Sign. 00067, 10285; Abb. 245, 247), V341

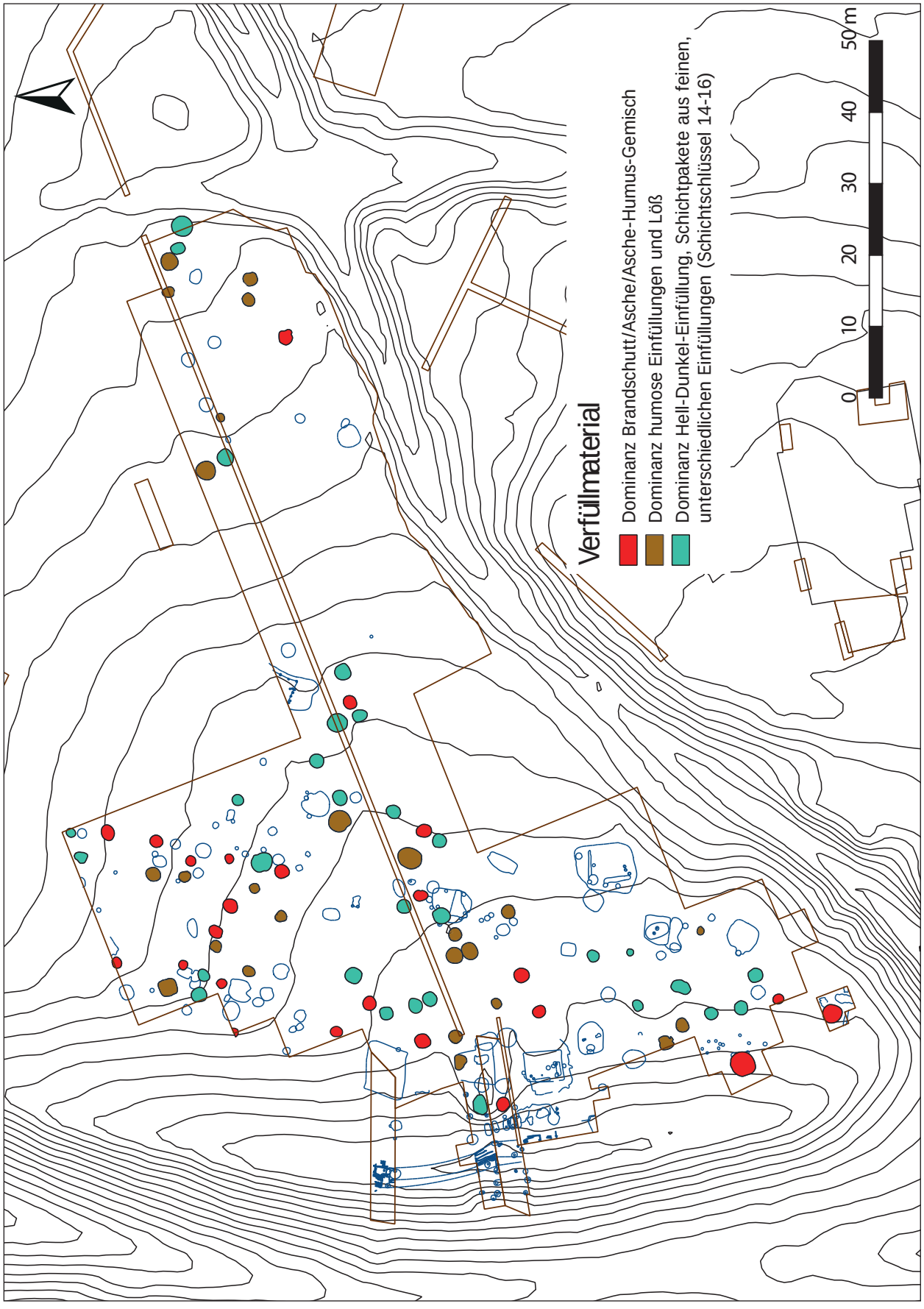


Abb. 51: „Hügelfeld“, Kartierung zum Verfüllmaterial der Gruben.

	Dominanz Brandschutt/Asche/ Asche-Humus (1)	Dominanz Humus-Löß (2)	Dominanz Hell-Dunkel-Einfüllung/ Schichtpakete aus feinen, unterschiedlichen Bändern (3) **Hell-Dunkel-Einfüllung** (Schichtschlüssel **14**)	Dominanz Hell-Dunkel-Einfüllung/ Schichtpakete aus feinen, unterschiedlichen Bändern (3) **feine abwechselnde Schichten** (Schichtschlüssel **15**)	Dominanz Hell-Dunkel-Einfüllung/ Schichtpakete aus feinen, unterschiedlichen Bändern (3) **feine abwechselnde Schichten** (Schichtschlüssel **16**)
(Sonder)Funde auf der **Grubensohle**	V2784, V5003	V1, V234	V992	V662	V198
(Sonder)Funde im Bereich des **Deponierungshorizonts**	V43, V519, V813, V868, V1015, V1325, V5001, V5003, V5200	V156, V234, V510, V871, V894	V526, V729, V992, V5400	V26, V171, V514, V891?	V198, V1138
(Sonder)Funde in **oberer Grubeneinfüllung**	V813, V2784, V5001, V5003	V156, V871	V106	V26?, V514?	V198, V1138
(Sonder)Funde ohne Schichtzuordnung	V52, V868				
abgestellte Keramikgefäße	V2784	V407	V183, V204, V409, V523	V171?, V621?, V662?, V891	
Tierdepositionen			V195?, V479, V628, V949, V994, V1008?, V2648		

Abb. 52: Die Tabelle verbindet die Lage der auffälligen Funde (Sonderfunde) innerhalb der Gruben (ob auf der Sohle, im „Deponierungshorizont", in oberer Grubeneinfüllung; Y-Achse) mit dem Verfüllungstyp der Gruben (ob Dominanz Brandschutt (1), Humus-Löß (2), Hell-Dunkel-Einfüllung bzw. Schichtpakete aus feinen, abwechselnden Schichten (3); X-Achse), ergänzt durch Keramik- und Tierdepositionen. Mehrfachnennungen sind möglich, wenn (Sonder)Funde in unterschiedlichen Grubenniveaus liegen.

(Sign. 10316, 10317), V412 (Sign. 10331, 10332), V445 (Sign. 00086; Abb. 282, 284), V729 (Sign. 10383), V885 (Sign. 00396, 10427), V981 (Sign. 10456, 08006; Abb. 351, 352), V2784 (Sign. 10241) und V5203 (Sign. 21018; Abb. 425, 426). Bei manchen Schichtabfolgen findet sich an dieser Stelle eine Asche-Humus-Lage (**Schichtschlüssel 17**),[228] wobei die Fundführung grundsätzlich sehr unterschiedlich ist.

Bemerkenswert ist die Beobachtung, dass sich in den Gruben V43 (Abb. 242–244), V234, V894, V897 (Abb. 347, 348), V1015, V5001 (Abb. 394, 397), V5003 (Abb. 398, 403), V5204 (Abb. 427, 429) und V5205 der **Brandschutt auf zwei Ebenen** (**doppelte Abdeckung**) innerhalb des „Deponierungshorizontes" aufteilt. Die Hauptmasse befindet sich jeweils im unteren Bereich, wobei Keramikanpassungen aus diesen beiden Schichten in V5001 (Sign. 20012, 20014) belegen, dass es sich um Abfall desselben Brandgeschehens handelt. Es folgt meist eine lehmig-humose Schicht, bevor weiterer Brandschutt in kleinerem Ausmaß eingebracht wurde. In den Brandschuttschichten sind in mehreren Fällen Sonderfunde eingeschlossen, was auch auf die obere, deutlich schwächere Lage zutrifft.[229] Auf gleiche Weise lassen sich auch **zwei Aschelagen** in den Gruben beobachten (V1, V52, V119 [Abb. 252, 253], V510, V780, V793, V813, V885 [Abb. 340, 342], V1015, V1325 [Abb. 371, 373], V2779). In der lößreichen Verfüllung von **V119** zeichnet sich dieses Prinzip der doppelten Abdeckung besonders gut ab.[230] In **V31** wiederum finden sich zwei knapp übereinander liegende Aschebänder im oberen Abschnitt der humusreichen Verfüllung mit Tierniederlegung(en) (Sign. 00031 und 00052). Ob es sich dabei um reinen Zufall handelt oder eine bewusste Vorgehensweise im Zuge des letztendlichen Verschlusses der wertvollen Speichergruben vorliegen könnte, mag zu diskutieren sein. Im Fall von V31 könnten die beiden Aschebänder die (nicht dokumentierte) Niederlegung(?) eines Wildschweinfrischlings verschlossen haben.

228. V15 (Sign. 00010), V119 (Sign. 00451), V868 (Sign. 00383), V2713 (Sign. 10375).

229. Feuerbockbruchstück und Spinnwirtel in V5001 (Sign. 20014); ein Tonring in V5003 (Sign. 20023).

230. Bestehend aus dem Brandschuttband Sign. 00449 und den beiden Aschebändern Sign. 10288 und 10290, überdeckt von der fundreichen Humus-Asche-Lage (Schichtschlüssel 17, Sign. 00451).



Abb. 53: V5001, „Wagneracker“: Planum 3 mit der Brandschuttschicht Sign. 20012, die mit humos-lehmigem Material vermischt ist, Blick nach Norden (Grabungsdokumentation Stillfried, Landessammlung Niederösterreich, Bereich Ur- und Frühgeschichte, Fotonr. ST03844).

Nur in wenigen Fällen sind **mächtige Brandschuttpakete** in die Gruben gefüllt worden, welche sich ebenfalls im mittleren Abschnitt („Deponierungshorizont“) befinden. Allen voran ist hier Grube **V5001** mit Schicht 20012 zu nennen, woraus etwa 100 kg Hüttenlehm und ungefähr 15 kg Brandkeramik geborgen werden konnten (Abb. 53, 394, 395, 397). Die Schicht war bis zu 42 cm mächtig und besaß ein Volumen von etwa 0,7 m³. Neben der sekundär gebrannten Haushaltskeramik stammen daraus auch auffällige Funde wie längliche Lehmobjekte (Architekturteile, Taf. 67–69), eine Bronzepfeilspitze (Taf. 70/5) und ein menschliches Neugeborenes (Taf. 188). Aus den Brandschuttschichten von **V5003** wurden ein Miniaturkegelhalsgefäß, ein Kegelhalsgefäß und ein Tonring geborgen (Taf. 17/1–2; 18/4).

Die rot-lehmige Schicht mit Löß- und Hüttenlehmbrocken in **V519** (Sign. 00181) war etwa 30–35 cm mächtig und lag auf Asche (Sign. 00180, Abb. 291). In dieser Verfüllung fanden sich eine Reihe von Sonderfunden wie eine Knochenperle, ein Rehkrickerl und eine Trensenseitenstange aus Geweih (Taf. 42/1). Es ist gut vorstellbar, dass die meisten dieser bemerkenswerten Funde in symbolischer Bedeutung in die Gruben kamen.

In **V5009** zeigt sich eine ähnliche Situation, indem die annähernd 40 cm starke, rötliche Schicht 20009 auf einer dünnen Ascheschicht (Sign. 20008) lagert. Die Zahl der darin gefundenen Keramikscherben ist ausgesprochen niedrig (drei Gefäßbruchstücke und zehn Scherben), an sonstigen Funden ist lediglich ein halbes Webgewicht zu nennen (Taf. 25/3; 77/3). Anzuschließen ist Grube **V5000**, wo Brandschutt (Sign. 20005) die drei menschlichen Schädel überdeckt, welche in die Ascheschicht 20004 am Grubenboden gebettet wurden. Aufgrund einer massiven späteren Störung ist die Mächtigkeit dieser Brandschuttlage unbekannt.

In der Grube mit dem Bronzehort (**V2784**) und in jener mit dem Hausschwein (**V67**) überdeckt jeweils eine dicke Brandschuttlage (Sig. 00328 bzw. 00442) – wie in V5000 – die auf der Sohle bzw. in Sohlennähe abgelegten Deponierungen (V2784: Keramikgefäß- und Arbeitssteindepot; V67: Tierniederlegung).

Reine graue Aschelagen (**Schichtschlüssel 1**) sind verhältnismäßig selten und finden sich meist in der unteren Grubenhälfte (Sohle und „Deponierungshorizont“). Eine Ausnahme bildet **V5200**, die ausschließlich mit feiner Asche und Holzkohleflittern verfüllt war (Abb. 417, 418). Daraus sind zwei Sonderfunde – eine umgeformte Tonrassel und ein verziertes Tondüsenbruchstück – zu nennen (Taf. 78/1–2). Letzteres ist ein typisches Zubehör für Metallhandwerk, das in Verbindung mit der Asche- und Holzkohleverfüllung dafür spricht, dass diese Grube zumindest abschließend als Aschengrube eines metallverarbeitenden Betriebes verwendet wurde (Abb. 54). Von Aschen bestimmt sind auch die Grubenfüllungen von V52, V1138/V1212 und V1139. Dabei dominieren im Grubenzentrum von **V52** mächtige **Asche-Löß-Schichten**[231] (**Schichtschlüssel 11**) neben dünneren Aschelagen[232] (**Schichtschlüssel 1**). Eine Letztnutzung dieser großen Grube als Aschengrube ist wahrscheinlich. Im Fall von **V1139** werden der „Deponierungshorizont“ und die obere Grubenverfüllung von Aschelagen bestimmt. Im

231. Sign. 00066, 10284.

232. Sign. 00064, 10283, 10285.

Zentrum befindet sich das bis zu 80 cm starke Asche-Löß-Band (Schicht 10051, Schichtschlüssel 11), überlagert vom Ascheband Sign. 10052 (Schichtschlüssel 1) und den Löß-Asche-Humus-Einfüllungen Sign. 10053 (Schichtschlüssel 16; Abb. 364, 365). V1139 schließt unmittelbar an V1138 an und wird wie diese als Aschengrube der nahe gelegenen Ofenreihe gedeutet[233] (Abb. 13, siehe unten: Dominanz Schichtpakete aus feinen, unterschiedlichen Bändern). V1139 enthielt eine Bernsteinperle (Taf. 57/4) und ein halbkugeliges, gelochtes Knochenartefakt (Taf. 58/1).

In den **Siedlungsbestattungen** sind Nachweise von Brandgeschehen vermehrt festzustellen: Feuer innerhalb von **V1141** verziegelte die Lößoberfläche der Sohle und der Lößabdeckung über der ersten Leichenlage (Sign. 09019 und 09022, Schichtschlüssel 2). In beiden Siedlungsbestattungen (V1141, V841) wurde eine mächtige Ascheschicht auf der Sohle eingebracht, worauf jeweils die erste Leichenlage gebettet wurde.[234] Die Einfüllungen mit den menschlichen Überresten wurden mit dicken Ascheschichten abgeschlossen.[235]

Gruben mit Tierniederlegungen haben keine Berührung mit Feuergeschehen. Eine Ausnahme ist V2784 mit der mächtigen Brandschuttlage (Sign. 00328) und der gebrannten Lehmwanne (Sign. 10241).

Gemische aus braunem, lehmig-humosem Material mit Brandresten (Schichtschlüssel 17) finden sich in 26 der insgesamt 94 Gruben in allen drei Zonen.[236] In mehreren Fällen stellen sie die – besonders mächtige – oberste Einfüllung.[237] Meist überwiegt darin lehmiger Humus, der mit rötlichen Hüttenlehmbrocken, Asche und Holzkohleflittern durchsetzt ist. Obwohl diese Schichten meist mächtig ausgebildet wurden, sind kaum Sonderfunde festzustellen.

Dominanz Humus/Löß

In 27 Gruben überwiegen lehm- bzw. lößhältige, humose Einfüllungen und Löß (**Schichtschlüssel 3, 4, 6, 9, 12,** Abb. 47, 433/Verfüllmaterial Nr. 2). Den größten Teil nimmt dabei das braune, lehmige bis schwach humose Material ein, das die Gruben in der oberen Grubenhälfte fast durchgängig verschließt und von Fundarmut gekennzeichnet ist (**Schichtschlüssel 9**). Es ist jedoch auch in den unteren Grubenabschnitten vertreten und umschließt in einigen Fällen in der Sohlenmitte ein kleines Brandschutt- oder Lößhäufchen (V18, V510). Genauso kann dieses helle, einheitliche Material eine Tierdeponierung abdecken (V15, V245, V643, V1140, V3784).

In einigen Fällen sind die Gruben vollständig mit dieser eher hellen, fundarmen Humusschicht ausgefüllt (V383, V603, Abb. 275, 276, 298). In **V871** wurden darin (Sign. 00389) viel sekundär gebrannte Keramik sowie ein Miniaturkegelhalsgefäß eingelagert. Sowohl in V871 als auch in **V894** durchziehen brandige Schichten diese (Humus)Pakete (V871/Sign. 10420, V894/Sign. 10446 und 10449). Dunkler, lockerer Humus (**Schichtschlüssel 4**) überwiegt hingegen nur in einer Grube (V341/Sign. 00521, 10318).

Dominanz Hell-Dunkel-Einfüllung und Schichtpakete aus feinen, unterschiedlichen Bändern

In mehreren Fällen liegen mächtige Einfüllungen aus unterschiedlichen Materialschichten vor (**Schichtschlüssel 14–16**; Abb. 47, 433/Verfüllmaterial Nr. 3). Teilweise sind regelrechte Muster zu beobachten. Der Großteil davon zeigt sich wiederum vorwiegend im „Deponierungshorizont". So befindet sich die charakteristische Füllung aus abwechselnd dunklem Humus und hellem Löß („**Hell-Dunkel-Einfüllung**", **Schichtschlüssel 14**) als mächtiges Paket häufig über Tierniederlegungen (V479 [Abb. 285, 286], V628 [Abb. 300, 301], V949 [Abb. 349, 350], V994 [Abb. 357], V2648 [Abb. 377, 378], V195? [Abb. 263]). Besonders anschaulich ist das in **V628** und **V2648**, aber auch in **V897** zu sehen, wo die gleichmäßige schicht- bzw. ringförmige Anordnung den Eindruck einer absichtsvollen Vorgehensweise erweckt (Abb. 300, 347, 377). Des Weiteren zeigt sich die Hell-Dunkel-Einfüllung unter anderem in Verbindung mit drei Keramikdepositionen: In **V204** unterhalb der Keramiklage und in **V409** und **V523** darüber. Deutlich ausgeprägt ist sie in V523 (Abb. 295, 296). Weitere typische Beispiele zeigen sich in den Gruben V106 (Abb. 250), V183, V526 und V992. In **V526** überlagert diese Schicht einen zungenförmigen Tonlappen (Taf. 42/3). Solche außergewöhnlichen und für Stillfried kennzeichnenden Funde stammen überwiegend aus kultisch gedeuteten Fundverbänden, darunter vier Gruben mit Tierniederlegungen (Kap. 3.1.3.2). Damit ist V526 zweifach mit den kultisch konnotierten Tierniederlegungen verbunden: Zum einen durch die auffallende, hell-dunkle Einfüllschicht (Schichtschlüssel 14) und zum anderen durch diese

233. Hellerschmid, Griebl in Druck.

234. V1141: Sign. 09020, Schichtschlüssel 13; V841: Sign. 00360, Schichtschlüssel 11.

235. V1141: Sign. 09031, Schichtschlüssel 11; V841: Sign. 00363, Schichtschlüssel 1.

236. V31, V33, V164, V195, V445, V656, V704, V715, V780, V793, V813, V819, V834, V868, V885, V897, V981, V1015, V1325, V5005, V5006, V5201–5205.

237. Z. B. V526 (Sign. 00192); V704 (Sign. 00278); V780 (Sign. 00327); V793 (Sign. 00640); V813 (Sign. 01333); V819 (Sign. 10430); V885 (Sign. 00397); V1015 (Sign. 09012); V1325 (Sign. 00359); V5203 (Sign. 21020); V5205 (Sign. 21042).

keramische Sonderform, bei der von einer absichtsvollen (symbolischen) „Beigabe“ auszugehen ist. In **V992** sind ein Tonring-, ein Webgewicht- und ein Reibplattenfragment zu nennen (Taf. 4/2), während sich in **V106** ein Bronzeblechaufsatz sowie Bruchstücke eines Miniaturgefäßes und eines Mahlsteines fanden (Taf. 36/1–2).

Ebenso auffällig sind sehr **feine Einfüllschichten** aus unterschiedlichen Materialien wie Humus und Löß und eventuell auch Asche, die ebenfalls meist mächtige Lagen im „Deponierungshorizont“ ausbilden (**Schichtschlüssel 15**). Sie liegen hauptsächlich in V26, V171, V193 (Abb. 261, 262), V407, V412, V514, V621, V662 (Abb. 306–308), V889, V891 und V2713 (Abb. 380, 382) vor. In Grube **V171** überspannt diese Schicht aus feinen Asche- und Lößbändern die gesamte Grubeneinfüllung mit vielen großen Keramikfragmenten im Zentrum (Abb. 257, 258). In **V891** umschließt bzw. überdeckt sie eine Keramiklage in der Grubenmitte. Betrachtet man die Befundfotos (vor allem Abb. 257, 261, 306), entsteht der Eindruck, dass diese Gruben nicht in einem Handlungsschritt verfüllt wurden, sondern dass diese zahlreichen, dünnen, einander abwechselnden Bänder vielmehr in einem (größeren) zeitlichen Abstand nacheinander eingefüllt wurden. Eine gewisse Regelhaftigkeit spricht für sich oftmals wiederholende Tätigkeiten, die außerhalb der Grube stattfanden und deren Abfälle in der Grube entsorgt wurden. Sie werden von uns allgemein als „Abfallgruben im handwerklichen Bereich“ bezeichnet, die von Anbeginn an als solche vorgesehen waren oder erst in der Letztnutzung diesen Zweck erfüllten (Abb. 54). Zwischenzeitlich müssen diese Gruben verdeckelt gewesen sein, da sich keine Einschlämmschichten erkennen lassen. Die großteils fundarmen Pakete zeigen einige Sonderfunde, wie ein wahrscheinlich absichtsvoll halbiertes, scheibenförmiges Webgewicht und einen vollständigen Tonring in **V514**. In **V26** fanden sich in dieser Schicht (Sign. 00019) ein sehr kleines Feuerbockbruchstück und ein zerbrochener, vollständiger Vorratstopf (Taf. 35/1). In **V662** überdeckt dieses mächtige Paket gleich mehrere Sonderfunde (ein Miniatursondergefäß, eine Reibplatte und Herdsteine? Taf. 44/2–3; 45/1). Das Vorhandensein eines kleineren Säugetieres auf der Sohle lässt an einen kultischen Hintergrund dieses Subbefundes denken, was durch die Verortung von V662 im Nahbereich von Gruben mit Tierdepositionen (V628, V2648) und menschlichen Sonderbestattungen (V601/Grubenhaus[238] und V841) bestärkt wird (Abb. 13).

Schichtschlüssel 16: Hier zeigen sich mächtige Pakete aus feinen Löß-, Asche- und Humusbändern in beinahe regelmäßiger und sich wiederholender Abfolge im „Deponierungshorizont“. Sie finden sich in mindestens drei Gruben (V198, V812, V1138). Während bei Schichtschlüssel 15 Asche ein möglicher Bestandteil ist, stellt sie hier einen fixen und wesentlichen Bestandteil dar. Die feinen Lagen lassen vermuten, dass sie in zeitlicher Abfolge Schicht für Schicht eingebracht worden sind, was ähnlich wie bei Schichtschlüssel 15 als Abfall von regelhaft ausgeführten Arbeitsschritten gedeutet werden könnte. Durch den hohen Brandschutt- und Aschenanteil ist von Tätigkeiten auszugehen, die Feuer benötigten. Zu denken ist an Aschegruben für nahe gelegene Getreidedarren, Öfen und Feuerstellen von Handwerksbetrieben wie Schmiedewerkstätten (Abb. 54).

V812 schneidet über eine größere Fläche in die ältere Grube V813 ein, was eine Nutzung als Getreidespeicher für V812 unwahrscheinlich macht (Abb. 324–326). Sie wurde offensichtlich für einen anderen Zweck eingetieft, wobei die rötliche Störung bzw. Einfüllung im Nordosten (Sign. 10413–10415) als noch heiß eingefüllter Brandschutt gedeutet werden könnte. Zusammen mit den mächtigen aschigen Einfüllungen im „Deponierungshorizont“ wird für V812 eine Deutung als Aschengrube bereits in Erstnutzung vorgeschlagen.

V1138 ist von einer dicken Lage aus **Löß-, Asche- und Humusstreifen** bestimmt (Schichtschlüssel 16[239], Abb. 360, 362). Wir nehmen an, dass V1138 durch die räumliche Nähe zur Ofenreihe am inneren Wallfuß – bereits von Beginn an? – als Aschengrube des Ofenbetriebes genützt wurde, wovon diese Einfüllungen zeugen[240] (Abb. 13). Der darüber liegende Schichtverband aus u. a. feiner, weißer Asche (Schichtschlüssel 13[241]) gehört bereits zum Ofen **V1212.** Dieser ehemalige Kuppelofen war Teil der Ofenreihe[242] und wurde nach seiner Auflassung bzw. Zerstörung in die Grube V1138 geschoben. Sowohl aus V1138 als auch aus V1212 wurden mehrere Sonderfunde geborgen.

Ein Zusammentreffen von asche- bzw. brandschutthältiger Verfüllung (Schichtschlüssel 16) und Fundgegenständen des Metallhandwerks ergibt sich bei **V198**, wo gleich zwei bzw. drei Zubehörstücke der Metallverarbeitung (verzierter Tondüsenteil [Taf. 36/3], keramischer Gusskern[243] und eine

238. Hellerschmid, Griebl in Vorbereitung.

239. Sign. 10135, 10246.

240. Hellerschmid, Griebl in Druck.

241. Sign. 10131.

242. Dieser Ofen befand sich ursprünglich nördlich des schlüssellochförmigen Ofens V1172, Hellerschmid, Griebl in Druck.

243. Penz 2006, Taf. 8/8.

Abfallgruben im Umfeld von Handwerksbetrieben? (Öfen?)	Verfärbungsnummern mit Interpretation	Argumentation/Begründung	Lage des/r (Sonder)Funde/s: Grubensohle	Lage des/r (Sonder)Funde/s: Deponierungshorizont	Lage des/r (Sonder)Funde/s: obere Grubeneinfüllung
in Erstnutzung(?)	Aschengruben: V1138, V1139, V812 Aschengrube eines metallverarbeitenden Betriebes?: V198	V1138, V1139: räumliche Nähe zu Wall und Ofenreihe, in V1138 entsorgter Ofen (V1212). V812: schneidet die ältere Grube V813, was eine Nutzung als Getreidespeicher unwahrscheinlich macht; darin noch heißen Brandschutt entsorgt (Sign. 10413–10415). V198: zylindrische Grubenform mit Stufe, zwei Tondüsenfunde	V198	V198, V812, V1138	V198, V1138, V1139
in Letztnutzung(?), (Erstnutzung als Getreidespeicher)	V26, V52?, V171, V514?, V891, V5200 Aschengruben(?): V52?, V514 Aschengrube eines metallverarbeitenden Betriebes: V5200?	Form der Gruben und deren Lage (Verortung) sprechen für eine ursprüngliche Nutzung als Getreidespeicher	V514?	V26, V514?, V5200?	V5200?

Abb. 54: Als Abfallgruben im handwerklichen Bereich(?) gedeutete Grubenbefunde (in Erstnutzung; in Letztnutzung), begründet hauptsächlich in der Verfüllung, die von feinen, sich wiederholenden Materiallagen mit meist viel Asche bestimmt wird (Schichtschlüssel 15 und 16 bzw. große Aschemengen: Schichtschlüssel 1 und 13). Es findet sich auch die Lage der (Sonder)Funde innerhalb der Dreigliederung Sohle/Deponierungshorizont/obere Grubeneinfüllung. Mehrfachnennungen sind möglich, wenn (Sonder)Funde in unterschiedlichen Grubenabschnitten liegen.

weitere Tondüse?[244]) vorliegen. Demzufolge handelt es sich bei der mächtigen, feingegliederten Verfüllung im „Deponierungshorizont" (Sign. 00502, Abb. 265) möglicherweise um Rückstände eines nahegelegenen Metallhandwerksbetriebs. Die zylindrische Grubenform mit Stufe, die nicht den traditionellen Getreidespeicherumrissen entspricht, lässt sogar an eine Erstnutzung zu diesem Zweck denken. Das auffällige Feuerbockteilstück in Pyramidenstumpfform mit Tierohren (Taf. 37/4) und eventuell auch das vollständige scheibenförmige Webgewicht (Taf. 37/3) werden als symbolische Einbringungen in die Grube V198 gedeutet.

2.2.3.6 Wandverstürze

Allgemein kann festgehalten werden, dass die meisten Gruben rasch verfüllt wurden. Dies ist damit zu begründen, dass weder dünne Einschlämmschichten auf der Sohle nachzuweisen sind, noch **Wandverstürze** in großer Zahl vorliegen. Wenn **verstürzte Lößbrocken** (**Schichtschlüssel** α) zu finden sind, lagen sie fast ausschließlich im mittleren oder oberen Grubenbereich, was besagt, dass zum Zeitpunkt des Teilversturzes die Grube verfüllt war (V183, V195 [Abb. 263[, V245 [Abb. 272], V341, V407, V667, V831, V868, V5005 [Abb. 410, 411], V5202). Lediglich in Grube V5201 fand sich ein mächtiger Lößbrocken im unteren Grubenbereich (Abb. 419, 420). Hier dürfte sich ein Teilversturz der Grube zu einem Zeitpunkt ereignet haben, als die Grube erst ansatzweise gefüllt war. In V5005 brachen 1–1,5 m große Lößstücke vermutlich vom einziehenden Halsbereich bei verfüllter Grube ab (Abb. 410). Natürliches Einwirken (Druck) auf die verfüllte Grube V5004 führte zum Nachsacken der angrenzenden Lößwand, wodurch **Risse** entstanden (Abb. 405, 406). Dass insgesamt betrachtet nur wenige Wandverstürze zu beobachten sind, ist ein Hinweis auf die volle Funktionstüchtigkeit der Gruben zu dem Zeitpunkt, zu dem sie verfüllt wurden. Offenbar war bei den meisten eine Unbrauchbarkeit nicht der Grund ihrer Auflassung.

2.2.3.7 Menschliche Überreste in Gruben

Menschenniederlegungen in Siedlungsgruben (Siedlungsbestattungen)

In Stillfried lässt sich neben der gut bekannten Brandbestattung am Gräberfeld[245] eine weitere Totenbehandlungspraxis nachweisen, die zeitgleich und parallel durchgeführt wurde.

244. Penz 2006, Taf. 8/7.

245. Kaus 1984. – Strohschneider 1976.

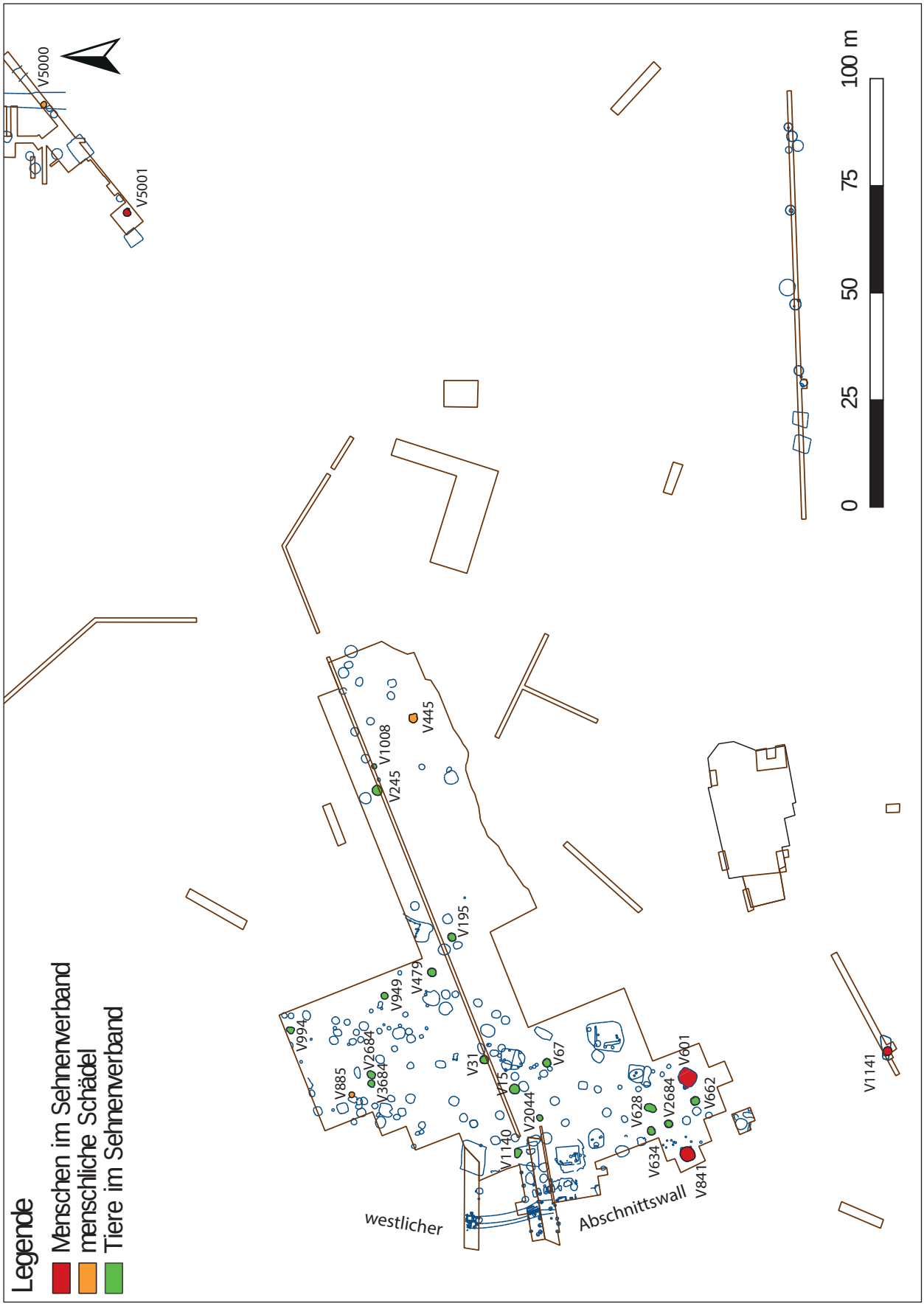


Abb. 55: Verteilung der Gruben mit Niederlegungen von Menschen im Sehnenverband, menschlichen Schädeln sowie Tieren im Sehnenverband.



Abb. 56: V1141, „Kirchhügel“: Detailansicht von Frau SK 3 mit Drahtspiralring (Lockenring). Auch die darunter befindliche Frau SK 5 trug einen solchen Bronzeschmuck (Grabungsdokumentation Stillfried, Landessammlung Niederösterreich, Bereich Ur- und Frühgeschichte, Fotonr. ST01444).

In drei Eintiefungen fanden sich nämlich die menschlichen Überreste von insgesamt 31 Verstorbenen, die großteils im Sehnenverband – in allen möglichen Vollständigkeitsgraden – in Gruben gelegt oder hineingeworfen wurden. Konkret handelt es sich um die beiden Massenbestattungen in den Gruben V841 und V1141 sowie um die Einzelbestattung aus Grubenhaus V601.[246] Alle drei Befunde lagen am höchstgelegenen Bereich der Fläche, der unter anderem für Getreidespeicherung genutzt wurde („Hügelfeld“: V601, V841) und vermutlich als Wohn- und Herrschaftssitz der Führungsschicht zu betrachten ist („Kirchhügel“: V1141, Abb. 55). Sie liegen folglich in einem speziellen, wohl öffentlich kontrollierten Areal, das für die Gemeinschaft von Bedeutung war. Alle drei Bestattungen werden in die Siedlungsphase III/1 (900–850 v. Chr.) gestellt, die Hochblüte der Anlage.[247]

Die Ausübung der Siedlungsbestattung wurde am Zentralort Stillfried von den nördlichen Nachbarregionen (der böhmischen Knovìzer Kultur und der Lausitzer Kultur)[248] übernommen und könnte hier als Ausgangspunkt einer – bescheidenen – Verbreitung im ostösterreichischen Raum gewirkt haben.[249] Die Stillfrieder Befunde fügen sich gut in das überregional übereinstimmende Erscheinungsbild der bronzezeitlichen einschließlich der urnenfelderzeitlichen Siedlungsbestattungen, wonach vollständige oder unvollständige – auch verlagerte – menschliche Skelette, Teilskelette und Einzelknochen in Siedlungsgruben aufgefunden werden. Die große Zahl an nicht kompletten Skeletten zeigt, dass die Verwesung teilweise an einem anderen Ort erfolgte (am sogenannten „Leichensammelplatz“), was auf zumindest zweistufige Bestattungsvorgänge schließen lässt.[250]

Am Körper getragener (Bronze)Schmuck ist an Skeletten aus Siedlungsbestattungen ganz allgemein selten nachweisbar (Abb. 56).[251] Da sich auch keine Gewandnadeln finden, ist zu vermuten, dass die Toten unbekleidet bzw. in Leichentüchern in die Gruben verbracht worden sind.[252] Gegenstände, die in direktem Bezug zu einem Toten stehen, sind selten.[253] Mehrfach ist eine unterschiedlich starke Feuereinwirkung auf die menschlichen Körper bzw. auf bestimmte Körperregionen an den Knochen festzustellen (V601, V841/SK16–22).

246. Griebl, Hellerschmid 2013, Abb. 2. – Retzmann et al. 2020, 55 und Abb. 1. – Diese Sonderbefunde waren Themenstellung des vorangegangenen FWF-Projekts (P-22755-G19): Menschen- und Tierniederlegungen. Kult in Stillfried? (Leitung: I. Hellerschmid, Laufzeit: 2011–2015). – Hellerschmid, Griebl in Vorbereitung.

247. Auf der Grundlage von ^{14}C-Daten (aus dem Jahr 2014) und der archäologischen Auswertung.

248. Mit einem Schwerpunkt in Ha A und Ha B1. – Stapel 1999, 218. – Wiesner 2009, 150–161, Liste 24, 902–907.

249. Hahnel 1995, 177. – Stapel 1999, 218, 397–398. – Wiesner 2009.

250. Anhand mikromorphologischer Untersuchungen konnte nachgewiesen werden, dass sich die Körper aus Grube 1-550 des ungarischen Fundorts Pusztataskony-Ledence zuvor an einem anderen Ort befanden, Király et al. 2013, 319.

251. Die beiden Frauen aus V1141 trugen Ohr- bzw. Haarschmuck und einen Fingerring, Eibner 1988, 81; grüne Flecken an einigen Schädeln aus V841 deuten auf ehemaligen (sehr dünnen/kleinen?) Ohr- bzw. Haarschmuck hin, Wiltschke-Schrotta, Marschler in Vorbereitung.

252. Auch Wiesner 2009, 161.

253. Auch Stapel 1999, 207–208.

In den meisten Fällen ist die Todesursache unbekannt, sodass die dahinterstehenden Gründe bzw. Ereignisse verborgen bleiben. Sie könnten mit Todesart (Krankheit usw.), sozialem Stand, Herkunft oder auch sehr praktischen Gründen wie einer Notsituation zu tun haben, die gleichzeitig zu mehreren Toten führte.[254] Im Zusammenhang mit der Herkunftsfrage sind die Ergebnisse der Sr-Isotopenuntersuchung[255] wesentlich, wonach alle 16 untersuchten Personen aus den Siedlungsbestattungen (V841, V1141) und der Grube mit dem Mädchenschädel (V1133)[256] um den Todeszeitpunkt Mitglieder der Stillfrieder Bevölkerung waren.[257]

Bei V841 und V1141 handelt es sich um zwei kegelstumpfförmige Gruben von sehr unterschiedlicher Größe. Beide zeigen eine auffallende Nähe zum Wallkörper (Abb. 55), was vermuten lässt, dass sie extra für die Bestattungen angelegt worden waren. In V1141 (3,6 m³) wurden sieben vollständige Leichen abgelegt (ein Mann, zwei Frauen, vier Kinder; Abb. 368).[258] Im Vergleich zu den Skeletten aus V841 zeigen sie einen stärkeren Körperwuchs[259] und einen besseren Gesundheitszustand auf.[260] Grube V1141 befindet sich im Nahbereich des vermuteten Herrschaftssitzes am „Kirchhügel". Die Todesursachen der „Sieben" sind unbekannt, was Raum für unterschiedliche Szenarien schafft.[261] Ein über der Bestattungsgrube (V1141) errichteter Holzbau (V2274) steht in direktem Zusammenhang mit diesem Ereignis, das sich als (Sonder)Bestattung einer Gruppe aus der höheren Gesellschaftsschicht beschreiben lassen könnte.[262]

In die große Grube V841 (etwa 20 m³) sind die Überreste von 23 Individuen[263] in mindestens vier Handlungsschritten eingebracht worden (Abb. 57, 333): Anfänglich komplett (Skelettlage 1), danach in unterschiedlichen Haltungen und Vollständigkeitsgraden samt Tierverbiss, was für einen Erstlagerungsplatz an anderem Ort spricht (am „Leichensammelplatz").[264] Wir wissen, dass die Grube zwischendurch und auch nach der letzten (vierten) Einfüllung verdeckelt war, sodass möglicherweise mit weiteren Einbringungen gerechnet wurde. An den Skelett(-teil)en zeigen sich mit Gewalt einhergehende Eingriffe, die alle an den bereits toten Körpern durchgeführt worden sein könnten, darunter eine Schädelzertrümmerung bei einem 10–12-jährigen Kind (SK5/2), von dem keine sonstigen Knochen vorhanden waren. Fesselung (SK7) und Schnürungen (SK14, Abb. 58) können auf Transportzwecke zurückzuführen sein. Zuletzt dürften drei Leichen(teile) in die oberste Ascheschicht geworfen worden sein (SK1–3), in welcher sich verbrannte Körperteile von sieben Individuen befanden (SK16–22). Feuer hat in mehrerlei Hinsicht eine wesentliche Rolle bei diesen Bestattungsvorgängen gespielt, da die Leichenlagen von V841 mit einer mächtigen Ascheschicht überdeckt wurden (Schicht 00363). In V1141 verziegelten die Lößsohle und die Lößabdeckung über den zuerst eingebrachten Leichen, was mit direkter Feuereinwirkung erklärt wird (Sign. 09019 und 09022).

Beim dritten Befund (**V601**)[265] wurde eine Frauenleiche in einem bereits abgebrannten Grubenhaus abgelegt. Der Schädel der Frau war rund um den Todeszeitpunkt eingeschlagen worden. Nachträglich wurde noch daran hantiert, was Schnittspuren (am linken Scheitelbein) hinterließ.[266] Abschließend wurde die Leiche teilverbrannt.

254. Aspöck 2013, 29.

255. Kap. 5. – Teschler-Nicola, Irrgeher, Prohaska 2016. – Retzmann et al. 2020.

256. Griebl, Hellerschmid 2013, 331–332 und Abb. 3. – Hellerschmid, Griebl in Vorbereitung.

257. D. h. sie verbrachten ihre letzten Lebensjahre in Stillfried und Umgebung.

258. Hellerschmid 2015. – Zur Blutsverwandtschaft der „Sieben" aus V1141: Parson et al. 2018, Ergebnis der mtDNA-Untersuchungen: nur eine Blutsverwandtschaft über die mütterliche Linie: SK5 und SK6.

259. Zur größeren Körperhöhe Breitinger 1980, 61: Mann SK1, rek. Körperhöhe 172 cm, „übermittelgroß". – Bei Wiltschke-Schrotta, Marschler in Vorbereitung: Mann SK1, rek. Körperhöhe 173 cm. – Szilvássy, Kritscher, Hauser 1988, 23–24.

260. Wiltschke-Schrotta, Marschler in Vorbereitung. Beide Frauen aus V1141 weisen eine Knochennarbe am Schädeldach auf (Breitinger 1980, 76–78), was auf eine gute medizinische Versorgung schließen lassen könnte.

261. Hellerschmid 2015, 226.

262. Ausführlich wird diese Situation zu V1141 in Hellerschmid, Griebl in Vorbereitung erörtert.

263. Wiltschke-Schrotta 2006. – Wiltschke-Schrotta, Marschler in Vorbereitung.

264. Hellerschmid, Griebl in Vorbereitung (Kap. 2.5). – siehe auch Stapel 1999, 52, Fußnote 141.

265. Griebl, Hellerschmid 2013, 333–334 und Abb. 5. – Hellerschmid, Griebl in Vorbereitung.

266. Breitinger 1996, 56–57 und Taf. 10: „[Es handelt sich] um scharfe Schnittspuren am linken Parietale. Sie beginnen an der Sagittalnaht, ungefähr 30 mm hinter dem Bregma und ziehen in kurzen Bögen annähernd transversal über das Scheiteldach (Taf. 10, obere Bildreihe rechts): Nahezu vertikal ist die Außentafel und ein anschließender Teil der Diploe durchschnitten, dann war das schneidende Instrument an der tieferen Diploe ausgeglitten, ehe die Innentafel erreicht war. Es sind Schnittverletzungen, die das Leben nicht unmittelbar gefährden können." Dieser Nebensatz ist nicht nachvollziehbar, da es sich um Schnitte an der Schädelinnenfläche handelt. Da das Skelett der Frau nicht auffindbar ist, können keine neuerlichen Untersuchungen durchgeführt werden.

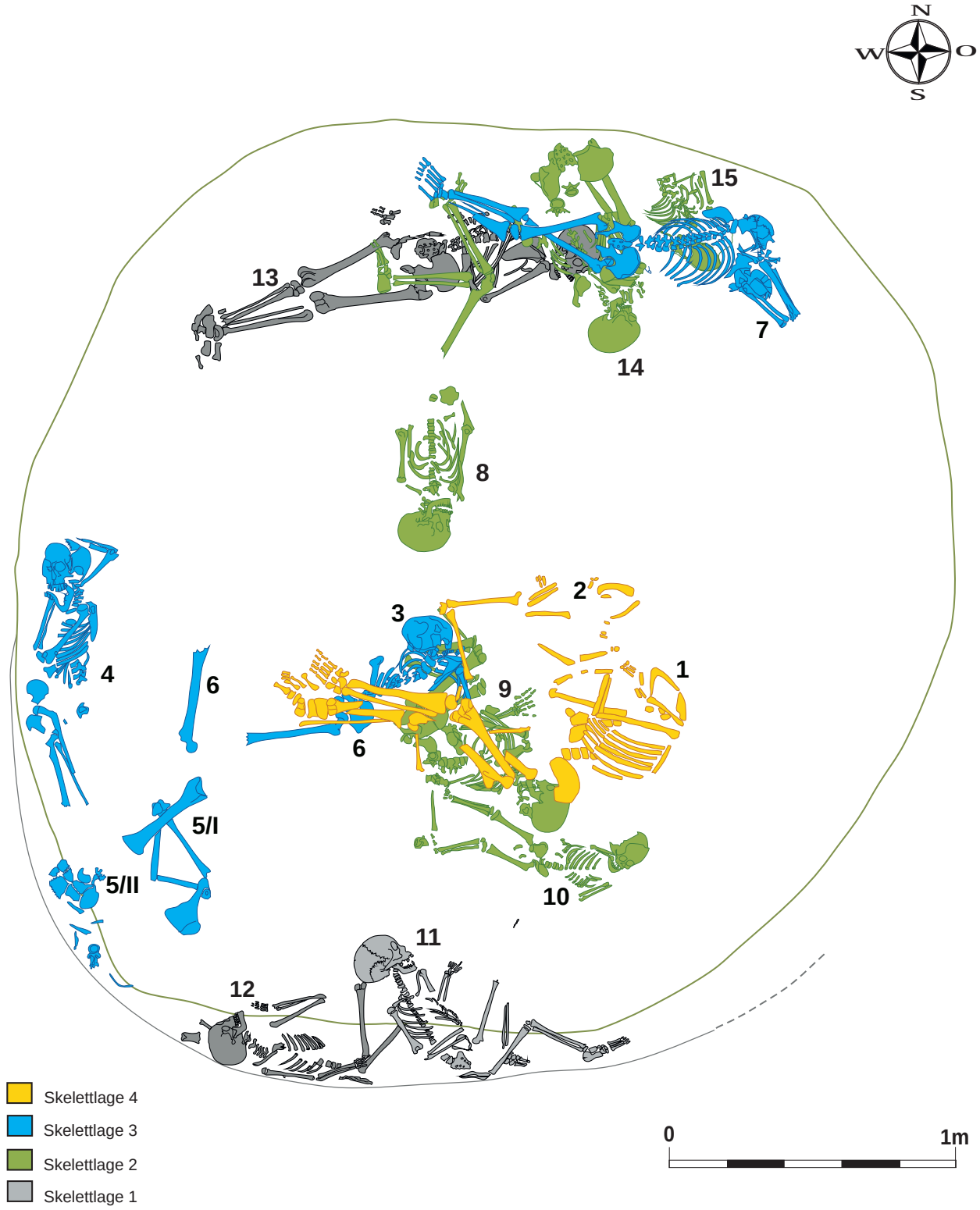


Abb. 57: V841, „Hügelfeld“: Schematische Darstellung der vier Skelettlagen mit insgesamt 16 unverbrannten, menschlichen Skeletten oder Skelettteilen (SK1 bis SK4, SK5/1, SK5/2, SK6 bis SK15). In Skelettlage 4 wurden auch schlecht verbrannte, aber bereits kalzinierte Knochen von mindestens sieben Individuen (SK16 bis 22) gefunden, die hier nicht dargestellt sind (bearbeitet von I. Hellerschmid und St. Tikatsch auf Grundlage der Grabungsdokumentation Stillfried, Landessammlung Niederösterreich, Bereich Ur- und Frühgeschichte).



Abb. 58: V841, „Hügelfeld“: Skelettlage 2. Im Vordergrund ist das Skelett einer 20- bis 25-jährigen Frau (SK14) in extremer Hockerlage zu sehen, was eine Schnürung vermuten lässt. Sie blickt zum Kind SK15, von dem nur der Oberkörper in die Grube kam (beide in Bauchlage). Beim Becken der Frau ist der abgestellte Topf mit Bodenloch (Taf. 48/2) gut zu erkennen, links unten im Bild zeigt sich die obere Schädelhälfte von Frau SK13. Im Topf befindet sich ein Reibplattenteilstück (Taf. 48/3) (Grabungsdokumentation Stillfried, Landessammlung Niederösterreich, Bereich Ur- und Frühgeschichte, Fotonr. ST03603).

Darüber hinaus ist das unvollständige Skelett eines **Neugeborenen** aus dem mächtigen Brandschutt der Grube **V5001** zu nennen.[267] Seine Fundlage ist nicht dokumentiert. Aus der Tatsache, dass die Knochen keine Brandspuren zeigen, ist zu schließen, dass das tote Kind wahrscheinlich erst in der Grube dem Brandschutt angeschlossen wurde und es sich nicht in jenem abgebrannten Haus befand, aus welchem der Schutt stammen dürfte (siehe dazu Kap. 10.1.2 und 7.1). Für die Interpretation dieses Befundes ist die Feststellung wichtig, dass Kinder unter drei Jahren in Siedlungsbestattungen äußerst selten vertreten sind,[268] sodass dieser Skelettfund von den Verfassern nicht in einem solchen Zusammenhang gesehen wird.

Für die Eisenzeiten hat sich das Beerdigen von Kleinstkindern direkt im Haus oder im näheren Siedlungsbereich als eine reguläre Bestattungsform herausgestellt, wobei die vom üblichen Grabritus abweichende Bestattungsart auffällt.[269] Dieser Brauch zeigt sich auch in antiken Schriftquellen, wonach Kleinstkinder im Begräbnisritual nicht dem Feuer übergeben werden durften.[270] Es ist gut vorstellbar, dass dem vorliegenden (späturnenfelderzeitlichen) Skelettfund eines Neugeborenen aus V5001 ebenfalls eine solche Vorstellung zugrunde liegt.

267. Schicht 20012, siehe Kap. 4.2.2.

268. Wiesner 2009, Band II, 902–907, Liste 24. – Hellerschmid, Griebl in Vorbereitung.

269. Die ergrabenen Kleinstkinder wurden ausnahmslos unverbrannt beigesetzt, während auf den zeitgleichen Gräberfeldern Brandbestattung üblich war. In der Regel sind diese Kinder sorgfältig niedergelegt worden, meist in seitlicher Embryonalhaltung. Ihr Alter liegt allgemein unter einem Jahr, meist waren die Kinder sogar nur wenige Wochen oder Monate alt, Beilke-Voigt 2008, 43.

270. Nach Plinius Sec., Naturalis historia VII 15, 72, 1. Jh. n. Chr., „bevor ein Zahn entstanden ist“, weitere Beispiele siehe Beilke-Voigt 2008, 44.

Menschliche Einzelknochen in Siedlungsgruben

In zahlreichen weiteren Gruben fanden sich menschliche Einzelknochen, darunter besonders viele Schädel und seine Teilstücke wie (rechteckige) Kalottenbruchstücke und Unterkiefer(hälften). Darauf sind Manipulationen wie Schnitte und Brüche am kollagenhaltigen Knochen[271] festzustellen, wie sie allgemein an Skelettresten aus Siedlungsbestattungen immer wieder festzustellen sind.[272] Erklärungen lassen sich dafür schwer finden, anzudenken sind Aktivitäten im Rahmen von Totenpraktiken (siehe unten: Hypothese zu den Siedlungsbestattungen).

Deponierung von menschlichen Schädeln, großteils ohne Unterkiefer

Bei einer Schädeldeponierung handelt es sich um einen oder mehrere menschliche Schädel, die meist ohne Unterkiefer in Gruben oder sonstigen Befunden intentionell abgelegt wurden. Sie sind meistens von nur wenigen Funden begleitet, bevor man die Eintiefung rasch mit lehmig-humosem Material verfüllte. Konkret wurden auf der ebenen Sohle von Grube **V5000** am „Wagneracker" drei menschliche Schädel abgelegt, danach wurde die Grube rasch verfüllt. Die Auswertung[273] ergab, dass die Schädel von einem 9–10-jährigen Kind (FNr. St. 16029, Abb. 173), einem Jugendlichen (15 Jahre, FNr. St. 16033, Abb. 182) und einem älteren Mann (40–60 Jahre, FNr. St. 16032, Abb. 178) stammen. Nur beim Kind war der Unterkiefer noch vorhanden. Sie litten an zahlreichen abgeheilten und akuten Entzündungen, vermutlich als Folge von mangelhafter (und einseitiger?) Ernährung. Mit hoher Wahrscheinlichkeit lag bei den drei Individuen chronischer Vitamin-C-Mangel vor. Alle drei Schädel zeigen alte Bruchkanten an beiden Gelenksverbindungen zur Halswirbelsäule (Schädelkondylen), die am noch stark kollagenhaltigen Knochen entstanden sind. Solche Abrissfrakturen sprechen dafür, dass der Kopf bzw. Schädel vom Körper zu einem Zeitpunkt abgetrennt wurde, als er sich (zumindest) noch im Sehnenverband mit der Wirbelsäule befand. Dies kann vom Todeszeitpunkt an bis zu mehrere Monate und sogar Jahre später erfolgt sein, abhängig von den Lagerungsbedingungen.[274] Das urnenfelderzeitliche Hinterhauptbruchstück eines 3–6-jährigen Kindes (FNr. St. 16261 aus V5095, Abb. 203, 204) zeigt dieselben Ausrissbrüche an dem verbliebenen Teil der Schädelkondyle. Maria Marschler und Karin Wiltschke-Schrotta sprechen von einer sehr selten beschriebenen Manipulation. Die Schädelkondylen bilden nämlich zu Lebzeiten eine besonders feste Verbindung, die sich auf natürliche Weise erst sehr spät löst. Daraus ist zu schließen, dass die Köpfe mit Gewalt zu einem Zeitpunkt von den Halswirbeln gelöst wurden, als die Verwesung bereits fortgeschritten war.[275] Da keine Schnittspuren festzustellen sind, könnte mit bloßen Händen hantiert worden sein. Zusätzlich fanden sich perimortale Beschädigungen und Brüche am Unterkiefer (des Kindes FNr. St. 16029, Abb. 174) sowie an den Jochbeinen und Warzenfortsätzen aller drei Schädel aus V5000 (Abb. 180, 183, 185–187).[276] Der Unterkiefer des Kindes FNr. St. 16029 wurde offensichtlich gewaltsam gelöst, bevor der Kinderschädel samt Unterkiefer abgelegt wurde (Abb. 174, 177). Schnittspuren sind auch dort nicht nachzuweisen.

Die Gehirnschädel des Kindes (FNr. St. 16029) und des Mannes (FNr. St. 16032) aus V5000 weisen eine übereinstimmende Abweichung von der Norm auf, indem jeweils der linke Stirnhöcker deutlich flacher ausgebildet ist als der rechte. Ob es sich um eine vererbte Anomalie handelt, kann erst über aDNA-Untersuchungen abgeklärt werden.

Bereits bei der ersten Grabungskampagne von Felgenhauer (1969) wurde in der direkt am westlichen Abschnittswall befindlichen, beutelförmigen Grube V1133 ein Mädchenschädel ohne Unterkiefer mit vier rundlichen Öffnungen gefunden. Das Kind kam mit großer Wahrscheinlichkeit durch Einwirkung stumpfer Gewalt von oben zu Tode.[277] Ähnliche Verletzungen sind am Schädel

271. In Stillfried großteils von Einzelknochen: Wiltschke-Schrotta, Marschler in Vorbereitung, Katalog: Schnitte am Oberarmbruchstück eines Kindes aus V1044, einer undatierten Grube vom „Hügelfeld" (FNr. St. 4430), Schnitte am Schädel der Frau aus V601; Brüche: FNrn. St. 4570/V377, St. 4443/V445, St. 4772/V1047, St. 7673/V1138; undatierte Einzelknochen: St. 7088, St. 2126, St. 2204, St. 2154; Schädelbruchstücke von „Wagneracker" und „Küssleracker", siehe auch Kap. 4.2 und Abb. 172.

272. Z. B. Altdorf-Römerfeld, Grube 361: ein menschlicher Humerusschaft, Epiphysenfüge wurde abgeschlagen, Stapel 1999, 50, Dat. Bz D (Stapel 1999, 59). – Blučina-Cezavy: Salaš et al. 2012, 204, 207 und Abb. 36, 40 (Obj. K7/90): Linkes Schienbein von Skelett 10/90 mit Längsschnitten ohne Heilungsmerkmale; rechtes Wadenbein von Skelett 12/90 mit denselben Merkmalen (Dat. Ha A).

273. Siehe Kap. 4.2.1.

274. Siehe Kap. 4.2. und 4.3.3.

275. Andernfalls gelangt man nicht zu den Schädelkondylen, freundliche Auskunft von Maria Marschler und Karin Wiltschke-Schrotta.

276. FNr. St. 16029: beide Warzenfortsätze (processus mastoidei) abgebrochen; FNr. St. 16032 beide Warzenfortsätze nach innen gedrückt; FNr. St. 16033: Lochdefekte in den Warzenfortsätzen, die wahrscheinlich ebenso perimortal entstanden sind.

277. Die Ausbrüche bzw. Fehlstellen an der Schädelbasis sprechen für Schläge auf den Kopf in stehender Position des Opfers (sogenannte Ring- bzw. Stauchungsfrakturen), Griebl, Hellerschmid 2013, Abb. 3 – Teschler-Nicola, Irregeher, Prohaska 2016, 162, Fußnote 2. – Hellerschmid, Griebl in Vorbereitung.

eines 10–12-jährigen Individuums aus V841 festzustellen (SK5-2).[278]

Das Kalvarium eines Erwachsenen stammt aus der kegelstumpfförmigen Grube **V445** vom „Hügelfeld", das am Grubenboden zusammen mit einem Ferkelkadaver abgelegt worden ist. Es gehörte zu einem etwa 40-jährigen Mann.[279] Ein weiterer männlicher Schädel ohne Unterkiefer mit einer alten Fehlstelle am linken Jochbogen[280] wurde in der gräbchenartigen Verfärbung V2350 auf einem Pferdeknochen gebettet. Diese Niederlegung steht in direkter Verbindung mit der Siedlungsbestattung V1141 („Kirchhügel").[281]

Dass Schädeldeponierungen weit über die Anlage streuen, zeigt eine „mit Asche verfüllte Grube mit Schädelnest" im Osten der Hochfläche („**Hausbergäcker**"), die bei den von Eibner fortgeführten Grabungen im Jahr 1993 dokumentiert wurde. Der nach Ha B2–3 datierte Befund barg vier menschliche Kalvarien.[282]

Schädelbruchstücke, Unterkiefer(teile) und sonstige menschliche Einzelknochen

Auch die einzelnen menschlichen Knochen sind über die Grabungsflächen verteilt aufgefunden worden. Von der neu bearbeiteten Fläche „**Wagneracker**" wurden gleich drei Schädelbruchstücke und eine Unterkieferhälfte in jüngeren Verfärbungen gefunden, welche durch die Radiokarbondatierung der Urnenfelderzeit zuzuweisen sind[283] (Abb. 200–204). Demnach handelt es sich um Stücke, die bei späteren Erdbewegungen (v. a. im Mittelalter) aus ihren ursprünglichen Fundverbänden gerissen und verlagert wurden. Darüber hinaus sind ein grob rechteckiges Schädelteilstück vom „Küssleracker" ohne Fundverband (Abb. 206)[284] und ein weiteres aus V885 vom „Hügelfeld" im Zuge des aktuellen Projekts einer ^{14}C-Datierung unterzogen worden (Abb. 205).[285] Auch sie stammen aus der späten Urnenfelderzeit. Ihre Form ist großteils mehr oder weniger rechteckig, mit alten Bruchkanten. Das bedeutet, dass die Schädel/Köpfe noch am frischen Knochen zerbrochen wurden, wobei die Schädelnaht oftmals eine (natürliche) Kante bildet (besonders bei FNrn. St. 16259 und 16261).

Auf der Grundlage von ^{14}C-Daten können Knochen aus weiteren 18 Befunden vom „Hügelfeld" [286] und vom „Wagneracker" (V5005[287]) in die Urnenfelderzeit gestellt werden. Einen Überblick über die menschlichen Knochen von den neuen Grabungsflächen gibt Abb. 172.

Wiltschke-Schrotta und Marschler kommen auf eine Maximalanzahl von 56 Individuen, deren Überreste innerhalb der Wallanlage („Hügelfeld", „Kirchhügel", „Westwall") entdeckt wurden und die gesichert in die Urnenfelderzeit datieren.[288] Mittlerweile ist diese Zahl um weitere zehn Belege hauptsächlich von den neuen Flächen („Wagneracker" und „Küssleracker") auf 66 Individuen zu vergrößern.[289] Der Anteil der Kinder und Jugendlichen ist im Verhältnis zur Lebenszeitspanne (0–18 Jahre) deutlich höher als jener der Erwachsenen.[290] Dabei zeigt sich, dass die ältesten Vertreter höchstens „matures" Alter erreichten, also maximal 60 Jahre alt waren (kein seniles Individuum) und das jüngste Kind drei Jahre zählte. Offensichtlich waren Säuglinge bzw. Kinder unter drei Jahren genauso wie (ur)alte Personen keine Kandidaten für

278. Wiltschke-Schrotta, Marschler in Vorbereitung, Katalog.
279. Alter: etwa 40 Jahre (verschollen), Hellerschmid, Griebl in Vorbereitung.
280. Aus: Planbeschreibung „Kirchhügel" Plan 2/1976: „nach Aussage von Dr. Wolfgang Heinrich: alte Hiebverletzung"; auch Eibner 1980, 136.
281. Hellerschmid 2015.
282. In Quadrant H17 der „Hausbergäcker": Eibner 1993a, 545. – Eibner 1993b, 28. – Eibner 1994b, 799 (Dat. Ha B2–3), unbearbeitet.
283. FNrn. St. 16259, 16261 aus dem hoch-/spätmittelalterlichen Graben V5095; FNr. St. 16295 und Unterkiefer FNr. St. 16755 aus dem hoch-/spätmittelalterlichen Graben V5094(?), siehe auch Kap. 1.4.2.1 und 4.2.
284. FNr. St. 12206, „Küssleracker", Suchschnitt B, siehe Kap. 4.2.8.
285. FNr. St. 21474, siehe Kap. 4.2.7.
286. Wiltschke-Schrotta, Marschler in Vorbereitung, Tabelle.
287. Oberarmknochen FNr. St. 17038.5 (V5005), siehe Kap. 4.2.3.
288. Wiltschke-Schrotta, Marschler, in Vorbereitung.
289. Drei Schädel in V5000, fünf Schädelkalottenteile, ein Unterkiefer und ein Neugeborenenskelett von „Wagneracker", „Küssleracker" und „Hügelfeld". Ein weiterer Schädelkalottenteil und ein Unterkiefer weisen in die Hallstattzeit.
290. Bei den 28 Individuen aus den drei Befunden im Sehnenverband (V601, V841, V1141 zuzüglich des Mädchenschädels aus V1133 und der Schädeldeposition in V5000) überwiegt der Anteil der Kinder und Jugendlichen (0–18 Jahre) mit 17 Belegen gegenüber jenem der Erwachsenen mit 11 Nachweisen. Von den 17 Kindern sind neun der Altersstufe der 7–12-Jährigen (Infans II), vier Infans I (0–6 Jahre) und vier Jugendliche (13–18 Jahre) vertreten. Die Erwachsenen verteilen sich auf sieben adulte Individuen (19–40 Jahre) und vier mit maturem Alter (41–60 Jahre). Die sechs (Einzelknochen)Belege von den neuen Grabungsflächen kommen zweimal von 3–6-jährigen Kindern (Infans I, FNrn. St. 16259, 16261), einmal von einem 6–9-jährigen Kind (Infans II, FNr. St. 16295/WA); ein halber Unterkiefer von einem 15-jährigen Jugendlichen (FNr. St. 16755/WA) und zwei von Erwachsenen: eines 20–70-jährigen (FNr. St. 12206/KÜ, o. F.) sowie eines 20–40-jährigen Individuums (FNr. St. 21474/V885/HF). – Wiltschke-Schrotta, Marschler, in Vorbereitung, Tab. 4. – Hellerschmid, Griebl in Vorbereitung.

C187	„männlicher Schädel sowie kindlicher Unterkiefer“	„nördlich der Kirchhofmauer“ = im Nordwesten des „Kirchhügels“[a]
C188	„männlicher Schädel“	„am Walle oberhalb von Grub aus einer großen Grube“ = „Aberlucke“ in der Nordostecke der Höhensiedlung[b]
C189	„weiblicher Schädel kindlichen Typus“	
C190	„Schädel weiblichen Typus“[c]	
C191	„Schädel weiblichen Typus“ „scheint im Leben eingeschlagen worden zu sein“	
C192	„männlicher Schädel ohne Unterkiefer“	„gegenüber der Kirchhofmauer und dem Grabe II“ = hier ist vermutlich die Stelle nordwestlich der Friedhofsmauer an dem Hohlweg auf der Seite des „Hügelfelds“ gemeint.[d]
C193	„weiblicher Schädel“	
C194	„anscheinend linksseitig angebrannter männlicher Schädel“	
C195	„wahrscheinlich weiblicher kindlicher Schädel“	
C196	„gut erhaltener Schädel eines erwachsenen Mannes“	
C197	„kräftiger Schädel eines erwachsenen Mannes“	„im [südlichen] Walle, gegenüber vom Müllerschen Hause“ = der Südwall an der Südostecke des „Saubergs“.[e]
C198	„Schädel einer Greisin mit defekter Basis“	
C199	„Schädel“	„im Müllerschen Garten, Gräberfeld“[f]
C200	„Schädel“	„am Wege von der Kirche zur Martersäule“[g]
C201	„Schädel“	„im Garten des (…)“[h]
C206	„Schädel ohne Unterkiefer mit defekter Schädelkapsel“	–[i]
C207	„Schädelkapsel ohne Basis und linker Seitenwand, ohne Unterkiefer, mit alten Bruchflächen und Bißspuren von Hunden“	„oberhalb Grub am Pachtfeld der Ungrad, nächst dem römischen Kastelle wie die Grube III“ = „Aberlucke“ in der Nordostecke der Höhensiedlung[j] In einer „Wohngrube“, die „in den Wall eingeschnitten“ war (der genaue Zusammenhang zwischen den Schädelfunden und der Fundstelle ist nicht bekannt)
C208	„weiblicher Schädel ohne Unterkiefer“	
C209–C212	„vier weibliche Schädel ohne Unterkiefer“	
C213	„linke Schädelkapsel“	
C214	„Schädelkapsel ohne Basis und ohne linke Stirn“	
C215	„rechtsseitige Schädelkapsel ohne Basis“	
C216	„Schädelkapsel ohne Basis und Stirnbein“	
C217	„Hinterteil einer Schädelkapsel ohne Basis und Stirnbein“	
C223	„Schädel eines alten Mannes mit Unterkiefer und starkem Kinn“	
C239	„Stirnbein eines Jugendlichen“	„am Walle oberhalb von Grub aus einer großen Grube“ = „Aberlucke“[k]
Br. 1[l]	„männlicher adulter Schädel“	„am Ostwall in einer Wohngrube“

[a]) Stillfried II bei Schürer von Waldheim 1919.
[b]) Stillfried III bei Schürer von Waldheim 1919.
[c]) Nach Schürer von Waldheim 1919, 256 ist der Schädel „C190“ männlich.
[d]) Stillfried IV bei Schürer von Waldheim 1919.
[e]) In der Sammlung Much als „westlicher Walle“ bezeichnet. Laut Hahnel 1995, 180 kann es sich dabei jedoch nur um den Südwall gehandelt haben. – Stillfried V1,2 bei Schürer von Waldheim 1919. Gemäß ihr datieren die Schädel allerdings in die Frühbronzezeit.
[f]) In dem Gräberfeld kamen sonst nur Brandgräber zu Tage, Hahnel 1995, 180. – Stillfried VI bei Schürer von Waldheim 1919.
[g]) Stillfried VII bei Schürer von Waldheim 1919.
[h]) Der Name des Gartenbesitzers fehlt. Stillfried VIII bei Schürer von Waldheim 1919.
[i]) Stillfried XII bei Schürer von Waldheim 1919.
[j]) Stillfried XIII bei Schürer von Waldheim 1919.
[k]) Stillfried III bei Schürer von Waldheim 1919.
[l]) Von Böhmker gefunden.

Abb. 59: Tabellarische Auflistung der Altfunde von menschlichen Schädeln auf oder bei der Wallanlage von Stillfried, die vermutlich in die Urnenfelderzeit datieren. Die Nummerierungen entsprechen den Kennziffern der Sammlung Much (Informationen aus Schürer von Waldheim 1919. – Hahnel 1995, 180–183).

Siedlungsbestattungen, was sich gut mit den Ergebnissen aus den Nachbarregionen deckt.[291]

Im aktuellen Projekt[292] wurden ^{14}C-Datierungen für weitere zwei Schädelteile aus dem späthallstattzeitlichen Grubenhaus V5092 vom „Wagneracker" durchgeführt. Sie weisen in die ältere Eisenzeit („Hallstattplateau"; Abb. 198, 199).[293] Aus diesem Grubenhaus stammen weitere drei menschliche Schädelknochen,[294] worunter ein vollständiges Stirnbein (eines erwachsenen Individuums) herauszustreichen ist, das seitlich künstliche Eindrücke in den Orbitadächern aufweist (FNr. St. 16061). Der symmetrische, halbrunde Knochen könnte irgendwo befestigt gewesen sein (Abb. 194, 196, 197). Ein Fortbestehen der Tradition von einzelnen menschlichen Schädelteilen im Siedlungszusammenhang in der frühen Eisenzeit erscheint damit in Stillfried gegeben. Grundsätzlich sind menschliche Einzelfunde in hallstattzeitlichen Siedlungsbefunden nicht unbekannt.[295]

Bereits die frühen Ausgräber Stillfrieds nennen Funde von menschlichen Schädeln, bedauerlicherweise meist ohne genaue Lageangabe innerhalb der Höhensiedlung. So berichtet Rudolf Pöch 1918 von einem menschlichen Schädel, der von Much auf der Anlage zusammen mit einer Bronzefibel geborgen wurde.[296] Auch Franz nennt 1924 „Funde von einzelnen menschlichen Schädeln, die ohne die zugehörigen Skeletteile in Wohngruben bei der Kirche lagen".[297] Unter „Wohngruben" wurden im Regelfall die kegelstumpfförmigen Speichergruben verstanden.[298]

In der Tabelle (Abb. 59) werden die in der Sammlung Much angeführten Schädel aufgelistet, die auf der Anlage[299] gefunden wurden und die vermutlich in die Urnenfelderzeit datieren:[300]

In der Auflistung finden sich Anmerkungen, die wir von den befundeten urnenfelderzeitlichen Schädeln bereits gut kennen: Eingeschlagene Schädel (C191, C207), defekte Schädelbasis (C198), Tierverbiss (C207), Feuereinwirkung am Kopfbereich (C194) und fehlende Unterkiefer. Von einer Zuordnung großteils in die Urnenfelderzeit ist auszugehen, da keine sonstigen Hauptnutzungsphasen mit (gängigen) Siedlungsbestattungen auf der Anlage vertreten sind. Dabei kämen vor allem die frühe und mittlere Bronzezeit in Frage.

Bedenkt man die kleinen Flächen, die Anfang des 20. Jahrhunderts n. Chr. untersucht wurden, und die Häufigkeit der Nennungen von Schädelfunden, ist davon auszugehen, dass Schädel aus den Bodenverfärbungen innerhalb der Wallanlage von Stillfried keine Einzelerscheinungen sind. Vielmehr ist damit zu rechnen, dass Schädel und Schädelteile eine wichtige Rolle in der späturnenfelderzeitlichen Gesellschaft spielten. Da im Kopf die meisten Sinne sitzen und allein mit dem Gesicht die Persönlichkeit eines Menschen festzuschreiben ist, überrascht eine Bevorzugung der Schädelpartien nicht und ist auch durch alle Zeiten hindurch zu beobachten.[301]

Hypothese zu den Siedlungsbestattungen

Wir gehen davon aus, dass die Siedlungsbestattungen und die menschlichen Einzelknochen (großteils vom Schädel) auf ein und dieselbe Totenbehandlungspraxis zurückzuführen sind, bei der einem „Leichensammelplatz" eine Schlüsselrolle zukommt, denn die nachweisbaren Manipulationen[302] an den Leichen (großteils am Kopf/Schädel) sowie die Teilskelette in V841 sprechen für eine zumindest zweistufige Totenbehandlungspraxis. Dabei wurden die Verstorbenen nach einer ersten Verwesungsphase im Boden (am „Leichensammelplatz") wieder ausgegraben. Zu die-

291. Wiesner 2009, Band I, 158, Band II, 902–907, Liste 24 (Siedlungsbestattungen in Böhmen nach Altersstufen: unter 119 Fundorten 1 Neonatus).

292. Ressourcensicherung. Macht und Kult in Stillfried? (2015–2019, Leitung M. Lochner).

293. Ein rechteckiger Schädelkalottenteil FNr. St. 16115 und ein unvollständiger Unterkiefer FNr. St. 16076, Proben Labornr. Poz-99241 und Poz-99269 (März 2018), siehe Kap. 4.2.4.

294. Neben FNr. St. 16061 noch St. 16055 und 16060.

295. Z. B. Neugebauer, Preinfalk 1999, Verf. 58. – Preinfalk 2004, 15. – Müller-Scheessel 2013 (Das 1. Jahrtausend v. Chr./frühe Eisenzeit).

296. Pöch 1918, 51–52. – Dieser Schädel ist nach Hahnel 1995, 181 der gleiche wie der in der Sammlung Much unter der Nummer C197 angeführte.

297. Franz 1924, 5.

298. Z. B. Willvonseder 1931.

299. Nur ein Beispiel stammt vom späturnenfelderzeitlichen Brandgräberfeld von Stillfried an der March (C199).

300. Die Informationen stammen aus Hahnel 1995, 180–181. Die meisten werden auch bei der anthropologischen Auswertung von Schürer von Waldheim 1919 unter diesen Nummern genannt. Sie laufen dort unter der Datierung „Hallstattzeit" (die Stufen Reinecke Ha A und Ha B wurden zu dieser Zeit auch als „hallstättisch" bezeichnet).

301. Wieczorek, Rosendahl 2011. – Wieczorek, Rosendahl, Schlothauer 2012.

302. Perimortale Brüche und Schnitte an Unterkiefern, Schädelkalotten und sonstigen Knochen, ausgebrochene Gelenksflächen an der Schädelbasis usw., siehe Kap. 4.2. – Wiltschke-Schrotta, Marschler in Vorbereitung, Katalog.

sem Zeitpunkt fanden in einigen Fällen Eingriffe am noch frischen Knochen statt. Beispiele von temporärer Erstbestattung und späterem, endgültigen Umbetten der Knochen sind aus der Ethnologie bekannt.[303] Augenscheinliche Hinweise für Eingriffe dieser Art aus dem urnenfelderzeitlichen Stillfried sind die Abrissfrakturen an allen drei Schädeln aus V5000, eingeschlagene Schädel (in V841, SK5/2; V601) und Schnitte sowie Brüche an Einzelknochen. Daraufhin wurden die Leichen(teile) bzw. das, was noch übrig war, in bestimmten Gruben endgültig (rituell?) abgelegt und mit Erde abgedeckt. Die unterschiedlichen Vollständigkeitsgrade der Skelettlagen von V841 könnten sich aus unterschiedlichen Jahreszeiten, in denen diese Handlungsstränge vollzogen wurden, ergeben haben.

Die gemeinsame Erstlagerungsstelle („Leichensammelplatz") gründet sich in der Beobachtung, dass beispielsweise in der Verfüllschicht über den sieben vollständigen Skeletten in Grube V1141 (Sign. 09030) ein weiterer menschlicher Einzelknochen[304] entdeckt wurde. Dieses Verfüllmaterial könnte vom hypothetischen „Leichensammelplatz" stammen, von wo diese Einzelknochen unbeabsichtigt mit verlagert wurden. Damit wären auch die sieben vollständigen Skelette aus V1141 in die vorgeschlagene Totenbehandlung eingebunden.

Die große Anzahl menschlicher Schädel auf der Anlage von Stillfried lässt vermuten, dass eine Ver- bzw. Entsorgung der Schädel in Gruben vorgeschrieben war. Für die postkranialen Skelettpartien scheint es keine Regelungen gegeben zu haben, wie ihre oftmaligen Nachweise in jüngeren Gruben aufzeigen. Ob Schädel und Schädelteile rituell (im Rahmen eines [Ahnen]Kultes?) innerhalb von Gebäuden aufbewahrt wurden,[305] bevor man die Schädel (oft gruppenweise) in Gruben ablegte, lässt sich nicht sagen, da keine entsprechenden in-situ-Befunde vorliegen.

2.2.3.8 Tierniederlegungen von Stillfried an der March

Am großflächig ergrabenen „Hügelfeld" sind zahlreiche Überreste von Beerdigungsereignissen mit Tieren in Speichergruben nachgewiesen. Auch sie zeigen wie die Siedlungsbestattungen eine gewisse Häufung entlang des inneren Wallfußes (Abb. 55).[306] Kennzeichnend sind Einzel- und Mehrfachbelegungen von Wildtieren auf Plattformen in Sohlennähe, während die Haustiere meist einzeln vorgefunden wurden (z. B. Abb. 60, 349, 366). Es herrscht der Rothirsch vor, gefolgt von Hausschwein und Feldhase. Sehr bemerkenswert ist die Tatsache, dass die meisten abgelegten Wildtiere – darunter auch sehr alte Tiere – in Gefangenschaft gehalten und sogar gezüchtet wurden (Hirsch, Wolf, Feldhase, Fuchs).[307] Die Tierskelette waren oft verlagert, in mehreren Fällen fehlten ganze Körperteile (V15, V195, V245, V479, V949, V2044). Dies weist wie bei den menschlichen Überresten auf eine Erstlagerung an einem anderen Ort hin.[308] In Summe stehen 15 Niederlegungen mit ausschließlich Tierkadavern drei Befunden gegenüber, die eine Kombination von menschlichem Schädel und Tierkörper im Grubenbefund aufweisen. Diese Schädel waren zum Zeitpunkt ihrer endgültigen Einlagerung bereits weichteillos und großteils ohne Unterkiefer.[309]

Ein Gutteil der niedergelegten Tiere starb in jungen Jahren, darunter die meisten Haustiere (Hunde, Schweine, Rinderkalb, Bastardferkel, Wildschweinfrischling, Feldhasen, einige Rothirsche). Die Todesursache ist bis auf zwei Tiere unbekannt, dennoch konnte Erich Pucher in vielen Fällen den Todeszeitpunkt mit Herbst und Winter bestimmen,[310] als die männlichen Rothirsche im Vollbesitz ihres Geweihs standen. Eine Hirschkuh erlag ihren durch einen Unfall erlittenen Verletzungen (V994), eine weitere starb an einer Fehlgeburt (V1140, Abb. 366). Unter den Sonderfunden aus dem direkten Umfeld der zuletzt genannten Deposition ist ein Geweihanhänger in menschlicher Form hervorzuheben, der sich im Halsbereich des Tieres fand (Taf. 59/2).

303. Beispiel aus Südostasien: Kuhnt-Saptodewo, Rietz 2004. – Für diesen Hinweis danken wir Estella Weiss-Krejci. So diese Umbettungsvorgänge Teil eines mehrstufigen Begräbnisrituals sind, handelt es sich um sogenannte Sekundärbestattungen, Weiss-Krejci 2018, 19.

304. FNr. St. 9208, Sign. 09030 (linker Radius von männlichem (?) Jugendlichen).

305. Auch I. Heske, Vortrag vom 17. Mai 2018 in Wien.

306. Griebl, Hellerschmid 2013, 330 und Abb. 2. – Griebl, Hellerschmid 2015, 182 und Abb. 3. – Diese Sonderbefunde waren gemeinsam mit den Gruben mit menschlichen Überresten Themenstellung des vorangegangenen FWF-Projekts (P-22755-G19): Menschen- und Tierniederlegungen. Kult in Stillfried? (Leitung: I. Hellerschmid, Laufzeit: 2011–2015).

307. Pucher 1986. – Pucher 2017. – Pucher 2018. – Pucher in Vorbereitung.

308. Tierverbiss bildet sowohl bei den menschlichen als auch bei den tierischen Skelettverbänden aus den Gruben die Ausnahme, obwohl die Körper vielfach verlagert wurden und unvollständig sind. Daher dürften diese (Erstlagerungs)Plätze vor (kleinen und großen) Fleischfressern geschützt gewesen sein.

309. „Hügelfeld": V445 mit Schwein, Wallbereich: V1133 mit Hund (Fundlage nicht dokumentiert). Ein dritter menschlicher Schädel fand sich auf einem Pferdefußknochen (V2350, „Kirchhügel"), siehe Hellerschmid 2015.

310. Pucher in Vorbereitung, Tabelle.



Abb. 60: V628, „Hügelfeld“: Auf dem ebenen Abschluss des Deponierungshorizontes lag das Skelett eines in der Grube verstorbenen, alten Wolfes. Die Skelette einer ebenfalls sehr alten Wölfin sowie eines jüngeren Hirsches wurden in Teilverbänden verstreut vorgefunden (Grabungsdokumentation Stillfried, Landessammlung Niederösterreich, Bereich Ur- und Frühgeschichte, Fotonr. ST02704).

Besonders interessant und aussagekräftig ist die große Grube V628,[311] in der sich ein altes Wolfspaar und ein junger Hirsch am Deponierungshorizont befanden (Abb. 60). Beim männlichen Wolf handelt es sich um den einzigen Beleg eines Tieres, das sich noch lebend in einer der Gruben befand (Abb. 61). Er dürfte den Hirsch als Nahrung erhalten haben und danach in der Grube gestorben sein.[312] Im Zentrum der Grubensohle wurde eine mächtige Geweihstange auf einer Keramikunterlage abgelegt (Abb. 48).

Hypothese zu den Tierniederlegungen

Nachgewiesene Zuchterfolge bei Wildtieren sind ein Phänomen, das in Stillfried an der March kein Einzelfall ist, wobei nennenswerte Parallelen bisher fehlen.[313] Es gilt allerdings zu bedenken, dass die Knochenanalysen von Wildtieren in der Vergangenheit oft nicht auf diese Fragestellungen hin durchgeführt wurden. Der Aufwand, Wildtiere bis ins hohe Alter[314] durchzufüttern und sogar zu züchten, spricht dafür, dass diese Tiere eine große Bedeutung für Besitzer und Betreiber hatten. Als eine mögliche Erklärung wird vorgeschlagen, dass die (Wild)Tiere bei (religiösen) Festen und Prozessionen eingesetzt wurden, um die Dramatik des dargebotenen (mythischen?) Geschehens zu steigern.[315] Das Machtgehabe der am Zentralort Stillfried ansässigen

311. Dm. 3,5 m, rek. Tiefe 2,9 m, rek. Volumen 11,54 m³.

312. Vorher hat das Tier (mangels Nahrungsnachschub) in den Hirschknochen gebissen, Pucher 1986, 26–30. – Pucher in Vorbereitung. – Ähnliche Situation in V2648 mit vom Fuchs angebissenem Wildschweinfrischling(-knochen), Pucher 1986, 38–39. – Pucher 2017, 211–212 und Abb. 7.

313. Der Archäozoologe E. Pucher hat für mehrere Tiere (Rothirsch, Reh und Wolf) Nachweise auf erfolgreiche Züchtung an den Knochen feststellen können (Pucher 2017 und Pucher in Vorbereitung).

314. Altes Wolfspaar (V628, beide 10–12 Jahre), Hirschkuh (V195, mind. 16 Jahre), Fuchs (V2648, um 10 Jahre). Sie erreichten damit jeweils das Höchstalter ihrer Art.

315. Lang 2009, 40–41. – Ulin Agan 2009, 152–153. – Metzner-Nebelsick 2012, 165.

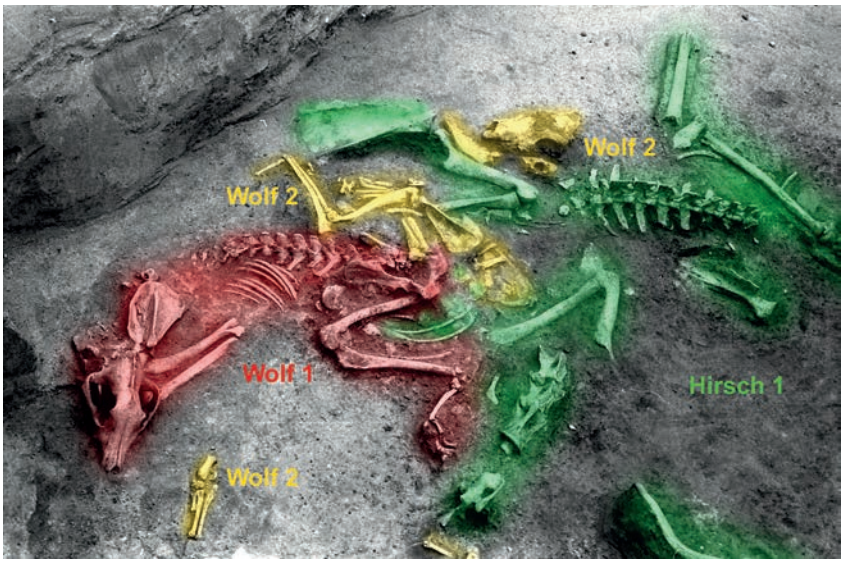


Abb. 61: V628, „Hügelfeld“: Das Detailfoto des Grabungsbefundes der Tierdeposition zeigt die Zugehörigkeit der Teilverbände des Hirsches und der Wölfin. Die Hirschteile (grün) lagen zuunterst, der Wolf in Todesstellung darüber (rot) und abschließend wurde die Wölfin eingebracht (gelb) (Grabungsdokumentation Stillfried, Landessammlung Niederösterreich, Bereich Ur- und Frühgeschichte, Fotonr. ST02704, bearbeitet von E. Pucher).

Führungsschicht könnte durchaus zu eigenwilligen Auswüchsen – wie eben einer Menagerie für besondere Anlässe – geführt haben.[316] Die Tiere mussten gefangen, gezähmt und angelernt werden. Möglicherweise handelte es sich um Tiere mit besonderen Körpermerkmalen wie Fellzeichnungen und/oder Wesenseigenschaften. Gut angelernte Tiere waren dann bis ins hohe Alter im Einsatz (Hirschkuh, Wölfe, Fuchs).[317] In der Folge könnte ihnen eine schlichte Verehrung zugekommen sein, die sich in einem Speiseverbot für Mensch und Tier ausdrückt.[318] Es könnte rituelle Bestattungsvorschriften für die betreffenden Tiere gegeben haben, die zu den vorliegenden Grubenbefunden führten.

Dass im Umfeld der Tiere einige bemerkenswerte Funde geborgen wurden, die jenen aus den menschlichen Siedlungsbestattungen ähnlich sind, unterstützt unsere kultische Deutung.

Bei den Tiersäuglingen und Jungtieren von Wild- und Haustieren (Ferkel, Hunde, Frischlinge, Feldhasen) ist am ehesten an Tieropfer zu denken. Die Wildschweinfrischlinge wären nämlich ansonsten erbeutet worden, um sie in den aufgelassenen Speichergruben zu vergraben, was absolut keinen Sinn ergibt.

2.2.3.9 Vielfältige Sonderfunde aus den Gruben mit Menschen- und Tierniederlegungen von Stillfried

Die **menschlichen Siedlungsbestattungen** von Stillfried an der March werden von **vielgestaltigen Funden** begleitet, wenn auch in bescheidener Anzahl. Gleichzeitig ist der Anteil an Funden, die sich als Siedlungsmüll zusammenfassen lassen, sehr niedrig. Unter den auffälligen Funden sind vor allem Teil- und Bruchstücke von Handwerkszubehör (Webgewichte, Mahlsteinplatten und sonstige Steinwerkzeuge, Utensilien der Metallverarbeitung, Rohstoffe und Geräte aus Geweih und Knochen usw.) zu nennen, ganz in der Art und Weise, wie sie auch aus den Gruben mit Tierniederlegungen und den sonstigen Gruben geborgen wurden. Ob diese Gegenstände gezielt einem bestimmten menschlichen Individuum an die Seite gelegt wurden oder ob die „Tuchfühlung“ unbeabsichtigt zustande kam, lässt sich oft nicht beurteilen.[319] Einige auffällige Fundverbände stehen in direktem Bezug zu einem Skelett und finden sich in dieser Art ausschließlich bei den Siedlungsbestattungen. So wurde beim Becken eines Jugendlichen (SK4 in V841, Skelettlage 3) ein Korb[320] mit unbekanntem Inhalt abgestellt (Abb. 62). Auffällig ist auch der Keramiktopf, der für die Bestattung zu einer Schale eingekürzt, mit einem Bodenloch versehen (Taf. 48/2) und beim Kopf der Frau SK13 in V841 niedergelegt wurde[321] (Abb. 58, Kap. 3.1.2.2, Gefäße mit Bodenloch). Daraus sind gezielte Aktivitäten im Rahmen eines (mehrstufigen?) Bestattungsrituals ableitbar.

316. Pucher 2017, 219–220.
317. Pucher 1986, 65.
318. Hellerschmid, Griebl in Vorbereitung (Kap. 2.3).
319. Auch Stapel 1999, 207–208.
320. Für diese Beurteilung danken wir Karina Grömer (Naturhistorisches Museum Wien).
321. Es ist damit zu rechnen, dass das gelochte Gefäß gefüllt war. Entsprechende Untersuchungen erbrachten dazu kein Ergebnis, Dobrezberger 2016, Probe 1, 77 und Abb. 92; 115 und Tab. 33. – Hellerschmid, Griebl in Vorbereitung.



Abb. 62: V841: Beim Becken eines Jugendlichen (SK4 in Skelettlage 3) wurde ein Korb mit unbekanntem Inhalt abgestellt, wie der Lehmabdruck zu erkennen gibt (Grabungsdokumentation Stillfried, Landessammlung Niederösterreich, Bereich Ur- und Frühgeschichte, Fotonr. ST29232).

Mit den **Tierniederlegungen** kamen Gegenstände in die Gruben, die sich dem oben beschriebenen Spektrum anschließen (Abb. 49, 223), ergänzt durch verkohltes Getreide (V479, V643, V1133) und der keramischen Sonderform der zungenförmigen Tonlappen, die gleich aus mehreren Gruben mit Tierdepositionen stammen (V31, V195, V643, V949, Kap. 3.1.3.2 und Kap. 7.2). Bei dem bereits erwähnten menschenförmigen Geweihanhänger aus V1140 handelt es sich um einen eindeutigen Kultgegenstand, den das Tier wahrscheinlich als Anhänger eines Halsbandes trug (Taf. 59/2). Er belegt die (naturwissenschaftlich) festgestellte menschliche Obhut, unter der dieses Tier stand.

2.2.3.10 Parallelen zwischen Stillfried und der Hünenburg bei Watenstedt (Niedersachsen)

Die großflächigen Ausgrabungen in der jungbronzezeitlichen Außensiedlung der Hünenburg[322] bei Watenstedt (Kr. Helmstedt, Niedersachsen)[323] erbrachten auffällige Parallelen zu Stillfried. Es handelt sich um mehrere Tierdepositionen, eine Siedlungsbestattung[324] und zahlreiche menschliche Einzelknochen[325] mit anthropogenen Manipulationsspuren.[326] Die Tierniederlegungen häufen sich in einem bestimmten Bereich der Außensiedlung,[327] wobei ausschließlich Haustiere vertreten sind (6 Rinder/-teile], 1 Schwein, 1 Pferd, 1 Hund). Einzelne junge, männliche Rinder wurden geschlachtet, enthäutet und zumindest teilweise entfleischt. Die Knochen oder Teile davon wurden unter viel Aufwand auf der Grubensohle abgelegt und rasch verfüllt.[328] Sie werden vor einem rituellen Hintergrund gesehen[329] (als mögliche Überreste von Kultmahlzeiten?). Von Stillfried ist ein vergleichbarer Befund zu nennen.[330]

322. Befestigter, spätbronzezeitlicher Zentralort (Herrschaftssitz) auf dem Heeseberg.

323. Heske 2016.

324. Sekundärbestattung eines etwa 50-jährigen Mannes von schlechtem Gesundheitszustand, Niederlegung im Zustand starker Verwesung, Gesichtsschädel wurde intentionell vom Hirnschädel abgetrennt und mit den beiden Unterkieferhälften in auffälliger Weise im Grab niedergelegt, Heske, Grefen-Peters 2013, 297 und Abb. 7. – Grefen-Peters 2016, 281–283 und Abb. 29–31.

325. 61 Fälle bis 2010, Heske, Grefen-Peters 2013, 293.

326. Schmauch- und Schnittspuren, Lochbruch, Heske, Grefen-Peters 2013, 293–297, bes. 295. – Grefen-Peters 2016.

327. Grabungsfläche 13 (aus Vortrag von I. Heske, 17. Mai 2018 in Wien).

328. Fläche 14. Grefen-Peters 2016, 296–304. – Aus Fläche 13 stammt eine weitere Rinderniederlegung ohne Extremitäten (aus Vortrag von I. Heske, 17. Mai 2018 in Wien).

329. Heske et al. 2010, 182. – Grefen-Peters 2016, 298.

330. Überreste eines verzehrten Pferdes in paarigen und klar erkennbaren Teilverbänden beim Herdbereich von Grubenhaus V601, Pucher in Vorbereitung. – Hellerschmid, Griebl in Vorbereitung.

Schwein,[331] Pferd[332] und Hund[333] kamen in Watenstedt hingegen vollständig (ohne Schlachtspuren) in die Gruben. Auch das korrespondiert mit den Stillfrieder Befunden, zeigen doch die (Teil)Skelette der Schweine und Hunde ebenfalls weder Tötungs- noch Verzehrhinweise.[334]

Bei den menschlichen Einzelknochen von Watenstedt handelt es sich wie in Stillfried großteils um Schädelreste aus Grubenverfüllungen, die über die ganze Fläche verteilt sind. Es überwiegen genauso Bruchstücke des Hirnschädels,[335] wobei auch einige annähernd rechteckige Stücke darunter sind.[336] Die Manipulationsspuren setzen sich aus Brüchen,[337] Schnitt-[338] und Schmauchspuren durch Hitzeeinwirkung[339] zusammen und entstanden ebenso rund um den Todeszeitpunkt.

Die wesentlichen Unterschiede zu Stillfried liegen darin, dass in Watenstedt ausschließlich Haustier(teile) und keine Wildtiere vorliegen und nur wenige unauffällige Funde mit den tierischen und dem einzigen menschlichen Skelett[340] vergesellschaftet sind.

2.2.4 Nachträgliche Eingriffe

Überschneidungen von Vorratsgruben mit jüngeren Befunden sind auf der Anlage häufig dokumentiert und ergeben das bekannte Bild eines mehrperiodisch genutzten Areals. Auffällig sind jedoch in mehreren Fällen Eingriffe, die direkt im Zentrum der verfüllten Vorratsgruben stattfanden (Schichtschlüssel β). Sie zeichnen sich meist gut in den Profilen und in den Plana ab (Abb. 63):

- V106: bis 80 cm über der Sohle (Abb. 250, 251)
- V171: bis 40 cm über der Sohle (Abb. 257, 258)
- V193: bis 42 cm über der Sohle (Abb. 261, 262)
- V621: bis 40 cm über der Sohle (Abb. 299)
- V667: bis 64 cm über der Sohle (Abb. 310)
- V704: bis 42 cm über der Sohle (Abb. 311–313)
- V949: bis 140 cm über der Sohle (Abb. 350)
- V992: bis 58 cm über der Sohle (Abb. 353–355)
- V2044: bis 72 cm über der Sohle (Abb. 375, 376)
- V2713: bis 47 cm über der Sohle (Abb. 380–382)
- V5004: bis 60 cm über der Sohle (Abb. 405, 406)

Es hat den Anschein, als ob hier gezielt in die ältere Grube gegraben wurde. Die meisten Eingriffe erreichten eine Tiefe, die in etwa dem oberen Teil des „Deponierungshorizontes" entspricht. In zwei Fällen fand dieser Eingriff in Gruben statt, in denen eine Niederlegung von Tieren nachgewiesen ist (V949: Hirsch, V2044: Hausschwein, Abb. 63/8–9; 375). Die Tierdeponierung wurde dadurch nicht beeinträchtigt, da diese jeweils deutlich tiefer lag. Es hat somit nicht den Anschein, als ob versucht worden wäre, die Niederlegungen auszugraben. In einer weiteren Grube, V897, ist eine wannenförmige Vertiefung (IF4007) zu erkennen, die zu einem Zeitpunkt angelegt wurde, als die Grube nur halb gefüllt war (Abb. 63/6; 347; 348). Anschließend wurde brandschuttartiges Material eingefüllt.

Leider gelang es in kaum einem Fall, die nachträglichen Eingriffe zu datieren. Somit können diese wenige Jahre oder auch mehrere Jahrzehnte/Jahrhunderte später stattgefunden haben. Eine Ausnahme ist V897, wo der Vorgang noch in der Urnenfelderzeit zu vermuten ist. In V2044 fand sich in dieser Zone römerzeitliche Keramik.[341] Die Absichten können vielfältig gewesen sein. Möglicherweise wurde fruchtbares, humoses Erdreich zur Verbesserung der Bodenqualität von Gärten/Äckern entnommen. Alternativ könnten erforderliche Eintiefungen in bereits vorhandene Verfärbungen gegraben worden sein, um den sterilen Löß an anderen Stellen nicht zu „verschmutzen", um ihn also für die Anlage neuer Speichergruben oder zur Lößgewinnung zu erhalten.

2.3 Räumliche Verteilung der Gruben im Gelände

2.3.1 Allgemeine Beobachtungen

Spätbronzezeitliche Speichergruben konnten bislang in allen größeren Untersuchungsflächen der Anlage beobachtet werden.

Ihre Streuung ist relativ gleichmäßig, wobei stellenweise kleinere Ansammlungen bestanden. Eine vergleichsweise etwas höhere Dichte zeigt sich am Wallinnenfuß des „Hügelfeldes". Die meisten Vorratsgruben berühren oder schneiden einander nicht. Eine Ausnahme bildet Grube

331. Im Körper des Schweines fand sich eine Lanzenspitze (aus Vortrag von I. Heske, 17. Mai 2018 in Wien).

332. Grefen-Peters 2016, 308–319 (Zug- oder Reitpferd).

333. Der Hund könnte an Blutvergiftung natürlich gestorben sein (aus Vortrag von I. Heske, 17. Mai 2018 in Wien).

334. Pucher 1986. – Pucher in Vorbereitung, Kap. 6.1.

335. Von Männern, Frauen und Kindern.

336. Auch überwiegend vom Scheitelbein. Unter 31 Bruchstücken des Gehirnschädels sind 20 Scheitelbein(os parietale)-Fragmente, Heske, Grefen-Peters 2013, 294. – Stillfried: Von den fünf urnenfelderzeitlichen Hirnschädelbruchstücken vom „Wagneracker" (FNrn. St. 12206, 16259, 16261, 16295, 21474) sind drei bzw. vier Stirnbeinteile, zwei davon von Kindern (FNr. St. 16259 Infans I, FNr. St. 16295 Infans II). – Siehe Kap. 4.2.

337. Grefen-Peters 2016, 256, Nr. 12 und Abb. 8.

338. Grefen-Peters 2016, 254, Nr. 8 und Abb. 6/c; Nr. 13 und Abb. 9.

339. Bsp. Grefen-Peters 2016, 253, Nr. 6 (Stirnbeinbruchstück); 260, Nr. 18 und Abb. 11.

340. Grefen-Peters 2016, 281–289.

341. In Schicht 10478, FNr. 1123, am Plan HF 77/1971 eingezeichnet.

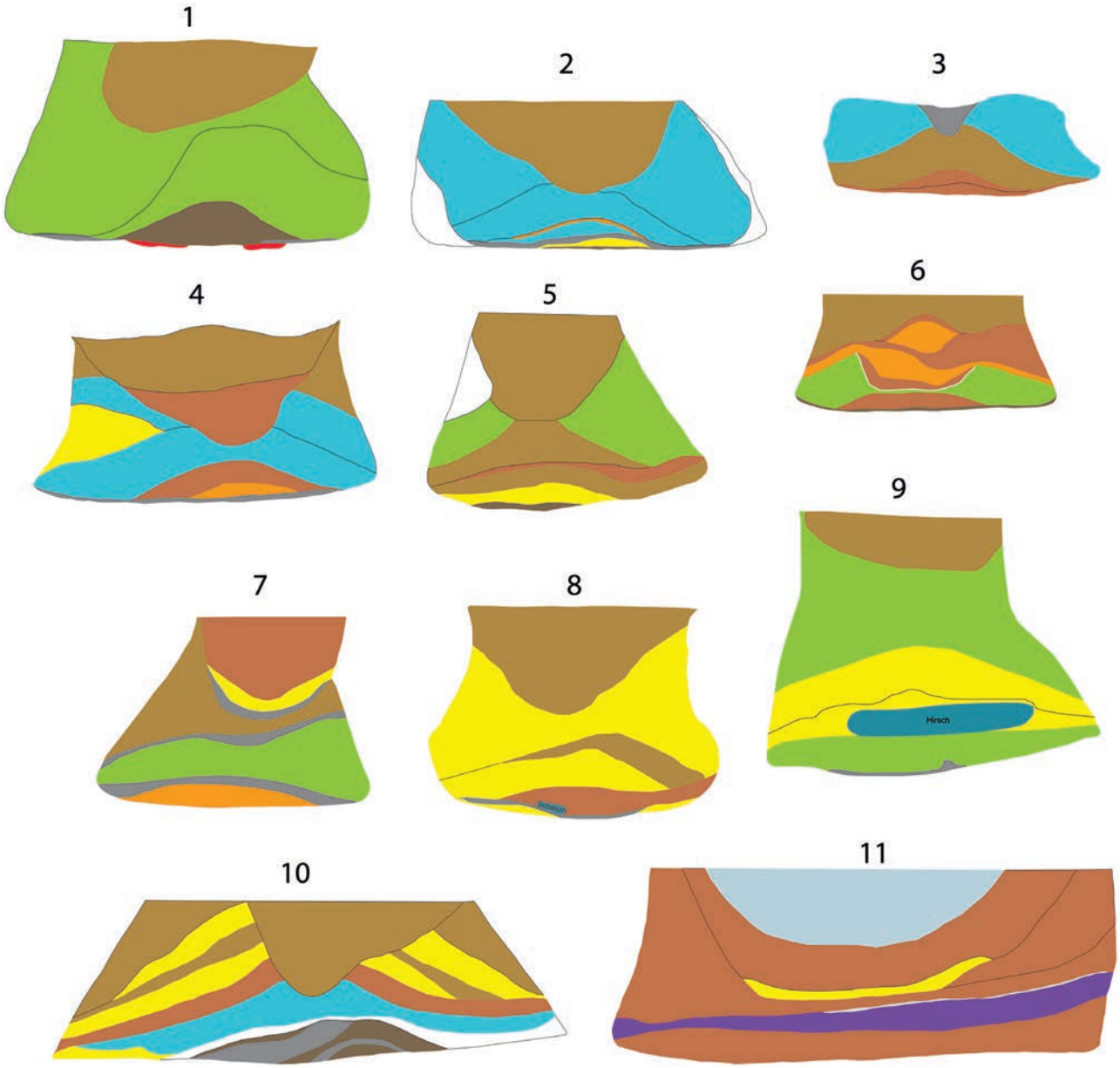


Abb. 63: Profile von Gruben mit zentralen, nachträglichen Eingriffen. – 1. V106. – 2. V171. – 3. V193. – 4. V621. –5. V667. – 6. V897. – 7. V992. – 8. V2044. – 9. V949. – 10. V2713. – 11. V704 (Maßstab 1:50).

V812, die Grube **V813** deutlich stört (Abb. 324, 325, 327).[342] Diese Tatsache macht eine Nutzung als Getreidespeicher für V812 unwahrscheinlich (Kap. 2.2.3.5[343]).

Häufig liegen die Gruben in Abständen von 1–2 m zueinander vor, was auf eine oberirdische Kennzeichnung schließen lässt. Um Getreide im Inneren einer Grube möglichst hermetisch von der Umwelt abzuschließen, sind sterile Lößwände von Vorteil. Störungen der Grube wirken sich hingegen negativ auf das Speichergebnis aus. Es ist daher verständlich, dass die spätbronzezeitlichen Bewohner Stillfrieds darauf achteten, ihre Gruben bei neuen Bodeneingriffen nicht anzugraben.

Die Verteilungen der Gruben hinsichtlich ihrer Form (Abb. 40), ihres Alters (Abb. 33), des Verfüllmaterials (Abb. 51) und der Funde (z. B. Gruben mit Zubehör

342. Plan HF 103/1987.

343. Unterkapitel: Dominanz Hell-Dunkel-Einfüllung und Schichtpakete aus feinen, unterschiedlichen Bändern.

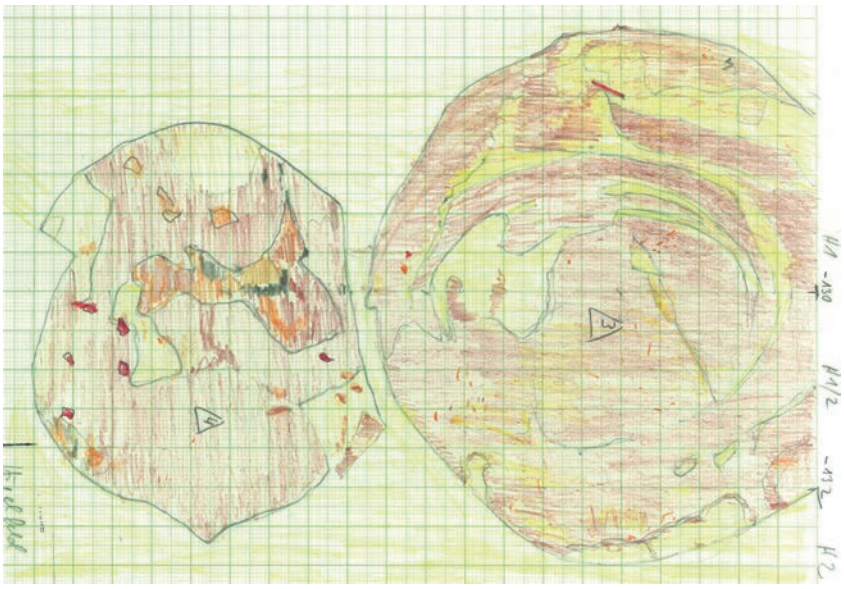


Abb. 64: Planum 4 mit den beiden Vorratsgruben V523 (rechts) und V526 (links; Zeichnung: O. Urban, Universität Wien, Plannr. HF 17/1980).

von Metallhandwerk, Abb. 118) werden in den jeweiligen Kapiteln behandelt.[344]

2.3.2 Grubenkonzentrationen

Dieses Unterkapitel befasst sich mit Gruben, die dicht beieinander angelegt wurden und zusätzliche Gemeinsamkeiten in Form oder Größe bzw. Volumen aufweisen. Auch Verfüllungen mit vergleichbarer Schichtabfolge und/oder ähnlichen Funden weisen auf eine Beziehung dieser Gruben zueinander hin. In manchen Fällen fanden sich sogar anpassende Bruchstücke in den entsprechenden, unterschiedlichen Objekten. Derartige Gruben wurden vermutlich von dem oder den Bewohnern derselben Wirtschaftseinheit angelegt und wieder verfüllt. Es ist auch gut vorstellbar, dass Mitglieder der auf der Anlage ansässigen Führungsschicht das Anlegen dieser Gruben in Auftrag gegeben haben, was von derselben Person (denselben Personen) ausgeführt wurde.

Auch über die zeitliche Nähe dieser angesprochenen Gruben können Aussagen getroffen werden.

2.3.2.1 Zwillingsgruben/Grubenpaare

Als Zwillingsgruben gelten Objekte, die so eng nebeneinander liegen, dass sie sich fast schneiden. Als Musterbeispiel können die **Gruben V523** und **V526** gelten. Sie befinden sich am westlichen Areal des „Hügelfeldes" nahe dem Wall und nähern sich einander im Sohlenbereich bis auf wenige Zentimeter an. Die nördliche Grube V523 wies mit ihrer im Planum kreisrunden Form mit maximalem Durchmesser von 265 cm und einem errechneten ursprünglichen Volumen von 5,79 m³ ein etwa doppelt so hohes Fassungsvermögen wie V526 auf. Die kleinere Grube war im unteren Bereich nicht kreisrund, sondern zog an der Stelle ein, an der sie auf V523 traf (Abb. 64, 65, 296). Schon die Ausgräber vermuteten, dass die Erbauer der Grube V526 Rücksicht auf V523 nahmen, um eine Überschneidung zu verhindern. Im Planum trennen die beiden Befunde lediglich 10 cm. Daraus kann geschlossen werden, dass V526 jünger ist als V523, auch wenn keine stratigrafische Überschneidung gegeben ist. Beide Gruben verbindet zudem die ähnliche Form mit nach außen gewölbter Sohle und gerundetem Sohle-Wand-Übergang (Formkategorie 4), die eine eher untypische Gestaltung in der Anlage ist. Auch die Füllung, die aus etwas Brandschutt auf der Sohle sowie im mittleren Bereich aus einander abwechselnden Schichten aus braunem Humus und gelbem Löß (Schichtschlüssel 14) besteht, stimmt annähernd vollständig überein. In beiden Gruben schließt humos-aschiges Material ab (Schichtschlüssel 17). Keramikfragmente aus dem oberen Drittel von V523 (FNrn. St. 5290, 5292) passen an Fundstücke aus dem oberen und mittleren Bereich von V526 (FNrn. St. 5320, 5328) an. Zusätzlich konnte festgestellt werden, dass Funde aus dem Grubensohlenbereich von V526 (FNr. St. 5347) an solche aus dem oberen Grubenbereich dieses Objektes (FNr. St. 5320) anpassen. Somit kann gefolgert werden, dass V526 schnell und in einem Zug verfüllt wurde, und zwar zur gleichen Zeit, wie zumindest der obere Bereich von V523. Folglich wurde die größere Grube V523 wohl von denselben Personen erbaut und genutzt, die später auch V526 anlegten, nutzten

344. Kap. 2.1.1, Kap. 1.4.3, Kap. 2.2.3.5 und Kap. 3.

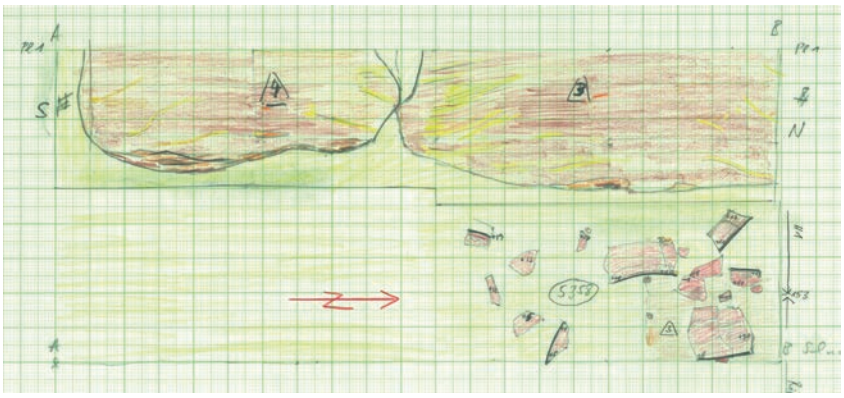


Abb. 65: Schnitt durch die beiden Vorratsgruben V523 (rechts) und V526 (links; Zeichnung: O. Urban, Universität Wien, Plannr. HF 20/1980).

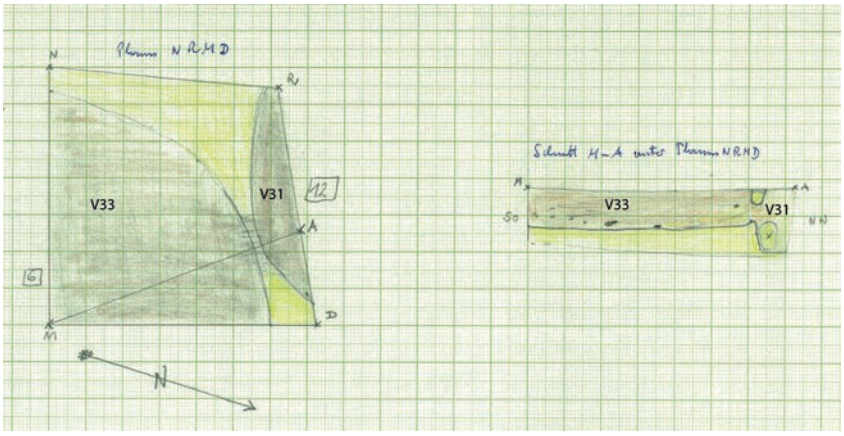


Abb. 66: Teilplanum und Schnitt durch die beiden Vorratsgruben V33 und V31 (Zeichnung: K. Kaus, Universität Wien, Plannr. HF 109/1971).

und zu einem späteren Zeitpunkt gemeinsam, auf ähnliche Weise verfüllten.

Eine ähnliche Situation ist bei den beiden Objekten **V5204 und V5205** im „Bügeleisen"-Schnitt erkennbar (Abb. 428). Hier zieht in ähnlicher Weise der Rand der Grube V5205 im unteren Bereich an der Stelle ein, an der sie an V5204 grenzt. Offenbar wollten die Erbauer auch in diesem Fall verhindern, in die bereits bestehende Grube zu graben.

Zwei Gruben, **V33 und V31**, die einen unvollständigen Wildschweinfrischling enthielt, wurden ebenfalls sehr nahe nebeneinander angelegt und berühren sich sogar. Im Profil ist erkennbar, dass man beim Anlegen von V33 wohl unbeabsichtigt in die ältere V31 gegraben hatte, da ein Lößbrocken, der ursprünglich die Wand von V31 bildete, in diese hineingebrochen war. Somit müsste V31 zu diesem Zeitpunkt leer gewesen sein, das heißt weder in Benutzung mit Getreide noch bereits endgültig mit Erde verfüllt. Um eine größere Störung zu verhindern, wichen die Erbauer auch in diesem Fall vom regelmäßig kegelstumpfförmigen Umriss ab und ließen die nördliche Wand etwas einziehen (Abb. 66).

Im unmittelbaren Umfeld von V523 und V526 zeugen zwei weitere Objekte vom paarigen Auftreten von Gruben: **V2713 und V715**. Beide weisen eine klassische Kegelstumpfform mit spitzem Sohle-Wand-Übergang auf. Die deutlich größere Grube V2713 mit 235 cm im Durchmesser und die lediglich 150 cm messende Grube V715 kommen sich bis auf 10–20 cm nahe.[345]

Auch die beiden Depositgruben **V2784 und V3784** nähern sich einander bis auf etwa 20 cm an[346] (Abb. 385). Miteinander gemein haben sie ebenso ihre steile Kegelstumpfform. Während in der etwas kleineren V3784 ein Feldhase auf einer plattformartig vorbereiteten Schicht abgelegt wurde, gelangten auf die Grubensohle von V2784 ein Arbeitssteinverband sowie ein Gefäßdepot. V2784 zeigte außerdem einen im Bereich der Sohle versteckten Bronzehort. Die zahlreichen Tierknochen von in Summe vier Säugetieren verteilen sich auf beide Gruben.[347] Die Datierung der Funde

345. Plan HF 33/1985.
346. Plan HF 64/1986.
347. Hellerschmid, Griebl in Vorbereitung.

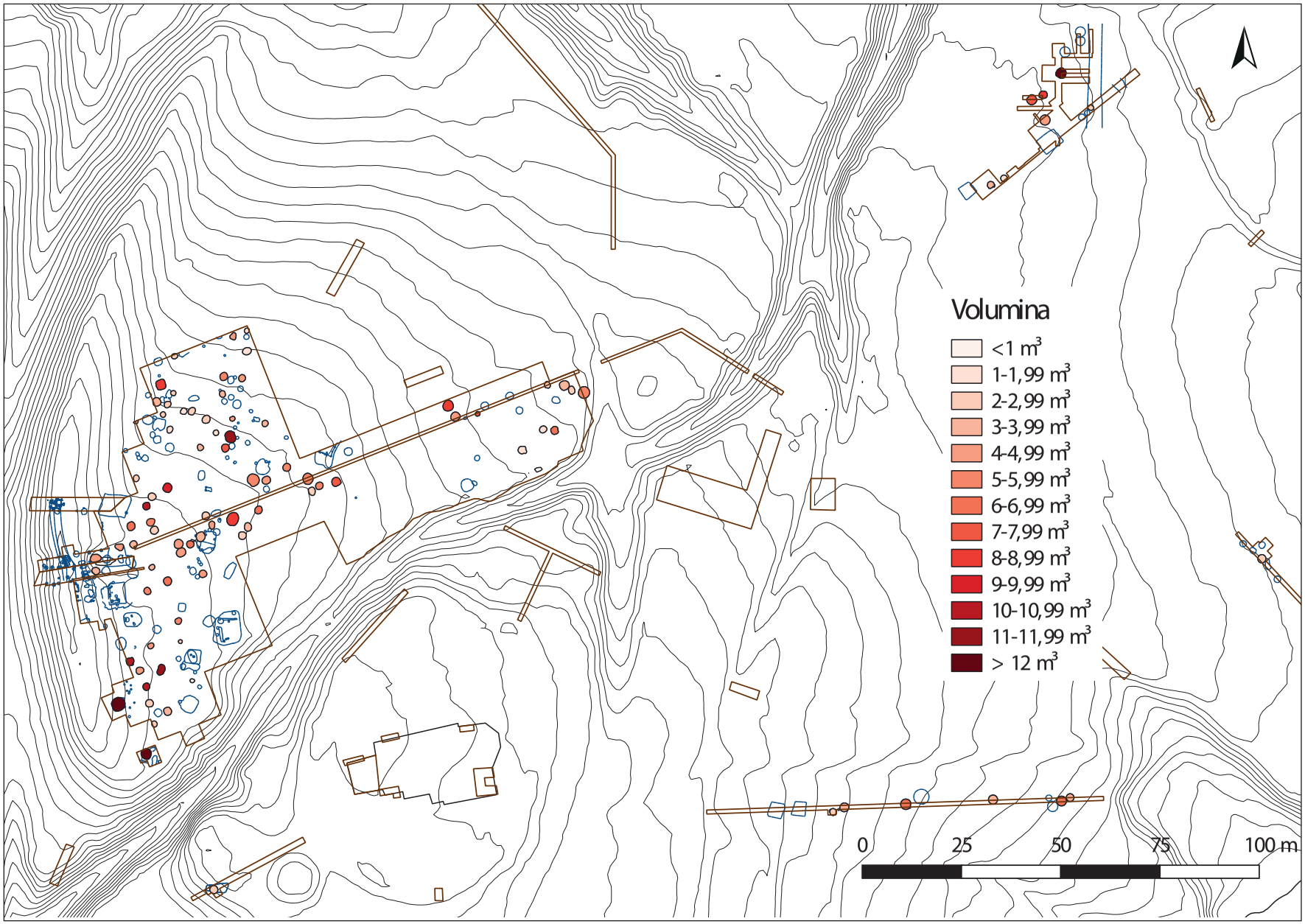


Abb. 67: Kartierung der Speichergruben nach ihrem berechneten Fassungsvermögen.

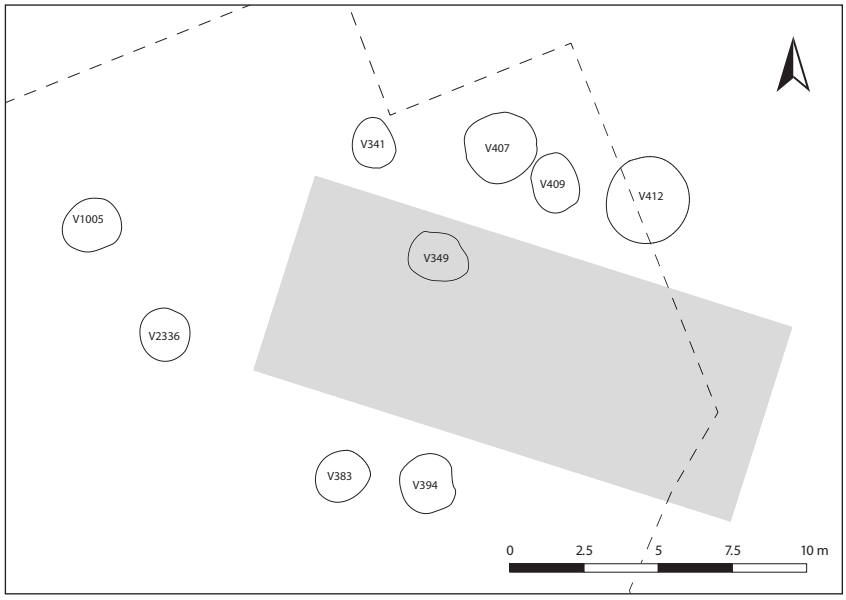


Abb. 68: Zu sehen ist der östliche Rand der Grabungsfläche „Hügelfeld“ mit den urnenfelderzeitlichen Objekten. Die Vorratsgruben V341, V407, V409, V412 sind in einer Linie angeordnet. Südlich davon liegen V383 und V394 in einer etwa parallelen Linie. Bei V2336 handelt es sich um eine durch jüngere Befunde stark gestörte Grube. Im freien Platz zwischen den Vorratsgruben ist ein mögliches Gebäude rekonstruiert, zu dem es allerdings keine sonstigen Hinweise gibt.

in die späte Stufe Ha B3 stimmt für beide Gruben gut überein (Sph. III/2). Daraus kann gefolgert werden, dass dieses Grubenpaar – wohl im Zuge eines Rituals – gleichzeitig und gemeinsam geschlossen wurde.

Ähnlich in ihrem tiefen, fast sackförmigen Umriss und ihrer Größe sind sich auch die benachbarten Gruben **V5005** und **V5006** auf dem „Wagneracker“. Die chronologische Zuordnung der Funde sowie ^{14}C-Datierungen von organischem Material stellen beide zudem in ein zeitnahes Verhältnis. Auch die Verfüllungen stimmen gut überein, bestimmt von humos-aschiger Einfüllung im unteren Bereich, der von schmalen, humosen bzw. lößigen Bändern unterbrochen wird. Darin befanden sich in beiden Gruben neben besonderen Funden wie bemalten Feuerbockfragmenten (Taf. 73/3; 74/1–3) auch bemerkenswert viele abgesägte Geweihabschnitte. Das analysierte Tierknochenspektrum zeigt zudem, dass aus dem unteren Bereich beider Gruben eine Vielfalt an Haus- und Wildtierknochen stammt, während im oberen, fundarmen Material nur wenige Tierknochen von ausschließlich Haustieren geborgen wurden. Auch hier kann somit davon ausgegangen werden, dass beide Objekte zur gleichen Zeit in Benutzung standen, um sie anschließend in ähnlicher Weise zu verfüllen. Endgültig verschlossen wurden beide Gruben, wie in den meisten Fällen, mit humos-lehmigem Material (Schichtschlüssel 9).

Relativ nahe zueinander wurden auch die in ihrer Form und Größe ähnlichen Gruben **V164 und V204** angelegt.[348] Obwohl ihre Datierung eine zeitliche Nähe suggeriert, können hinsichtlich ihrer sekundären Füllung keine Gemeinsamkeiten erschlossen werden.

Auch bei der Kartierung der Grubenformen (Abb. 40) und der Volumina (Abb. 67) sind mehrmals Zweiergruppen mit ähnlichen Werten erkennbar.

Eine Bestätigung der zeitlichen Nähe von Gruben liefern auch Fundstückanpassungen aus unterschiedlichen Verfärbungen. So konnte eine Keramikanpassung der etwa 6 m voneinander entfernten Gruben **V894** (FNr. St. 21493) und **V897** (FNr. St. 21388) festgestellt werden (beide Sph. II). Auch die Tondüsenfragmente aus V119 (FNr. St. 13998) und aus V198 (FNr. St. 2897, Abb. 36/3, 4) gehörten wohl zum selben Stück.[349] Diese beiden Befunde liegen immerhin 56 m(!) voneinander entfernt (beide Sph. III/1).

2.3.2.2 Größere Grubengruppen – Bezug zu Gebäuden?

Eine Gruppe ähnlicher Gruben liegt mit den Objekten V341, V383, V394, V407, V409 und V412 vor. Sie befindet sich im östlichen Randbereich der Grabungsfläche „Hügelfeld“ in einem Areal, in dem nur wenige sonstige, zeitgleiche Befunde entdeckt wurden (Quadranten F18, F20, G18–G20). Vier Gruben bilden dabei eine gerade Linie, wobei V407 und V409 einander fast berühren. Weniger als einen Meter kommen sich auch V409 und V412 nahe (Abb. 68). Zu dieser Linie bilden die beiden Gruben V383 und V394 in einem Abstand von etwa 12–15 m eine zweite, parallele Flucht. Die morphologische Gestalt der Gruben ist mit Ausnahme von V412 steil kegelstumpfförmig mit gerader oder leicht nach

348. Plan HF 8/1973.

349. Penz 2006, 356, 358 und Taf. 9.

außen gewölbter Sohle (Formgruppen 1 und 2, Abb. 35, 36). Das erdige Füllmaterial zeigt sich teilweise von Lößschichten unterbrochen. Brandschutt fehlt oder gelangte nur in geringen Mengen hinein. Außerdem beinhalten diese Gruben kaum Funde, die als gewöhnlicher Siedlungsmüll zu werten sind, wie Tierknochen, Hüttenlehm und Keramikscherben. Die in V407 und V409 auf der Grubensohle entdeckten Gefäße können dort abgestellt und danach zerbrochen, vergessen oder auch hineingeworfen worden sein. Beide Objekte weisen wir Siedlungsphase II zu. Von diesem Muster unterscheidet sich allein Grube V412. Sie wurde in mehreren Schritten mit unterschiedlichem, im unteren Bereich meist brandschuttartigem, Material verfüllt. Eine Keramikanpassung aus der unteren Keramiklage von V409 (FNr. St. 4433) stellt allerdings eine Verbindung zu V412 (FNr. St. 4482) her. Grube V341 ordnen wir in Phase III/1. Die wenigen aussagekräftigen Funde aus den weiteren, angesprochenen Gruben V383, V394 und V412 erlauben keine sichere Datierung derselben, weisen jedoch alle nach Ha B. Womöglich handelt es sich bei der vorgestellten Gruppe um Vorratsgruben, die nördlich und südlich entlang eines (nicht nachweisbaren) Gebäudes bzw. einer Wirtschaftseinheit angelegt wurden. Sie müssen nicht alle gleichzeitig in Benutzung gestanden sein. Die sich innerhalb des „freien" Zwischenraumes befindliche Grube V349 ist nur allgemein in die Urnenfelderzeit zu stellen. Sie könnte vor oder nach dem Bestehen der Innenbebauung angelegt worden sein. Eine Gleichzeitigkeit mit der Wirtschaftseinheit wäre genauso möglich.

Gruppierungen werden auch im Zuge einer Kartierung der Siedlungsphasenzuweisungen sichtbar (Abb. 33). Die datierenden Funde geben dabei jedoch nur den Zeitpunkt der Verfüllung an. Sie markieren demnach, wann eine Grube aufgegeben wurde. Dennoch können sie Hinweise auf den Benutzungszeitraum liefern, indem Gruppen von gleich datierenden Speichern ein nahe gelegenes Gehöft anzeigen könnten. Ein solches lag womöglich in der ersten Siedlungsphase bei der Dreiergruppe V156, V164, V204 (im Zentrum der Grabungsfläche „Hügelfeld"). Im dritten Siedlungsabschnitt ist im Westen des „Hügelfelds" eine Ansammlung mehrerer Speichergruben erkennbar (V1, V519, V523, V526, V1140). Auffällig ist eine lineare Anordnung von fünf Gruben der Siedlungsphase III/2 im Norden des „Hügelfelds" (V780, V812, V889, V2784, V3784). Diese Speicher könnten entlang eines NW–SO-orientierten Gebäudes angelegt gewesen sein. Räumlich anzuschließen wäre noch die Grubengruppe V777, V792 und V793 aus Siedlungsphase III/1 (V777, V792).

3. Funde

3.1 Keramikfunde

Ein Überblick zu den keramischen Gefäßformen und Verzierungen ist in das Kapitel 1.4.1 eingeflossen. In diesem Kapitel werden hauptsächlich jene keramischen Funde vorgestellt, die nicht in die Gruppe der herkömmlichen Gebrauchskeramik fallen.

Zunächst lenken wir das Augenmerk auf Beobachtungen im Tonmaterial.

3.1.1 Tonbeschaffenheit

Bei den urnenfelderzeitlichen Funden vom neu bearbeiteten Grabungsbereich „Wagneracker" ist uns die intensive Beigabe zerkleinerter Gefäßkeramikbruchstücke in den Ton aufgefallen. Diese **Magerung mit Keramikbruch**[350] lässt sich vor allem bei der Haushaltsware (Töpfe, Vorratsgefäße) beobachten (V5001, V5005, V5006; Abb. 69 und Taf. 24/5).[351] Auch sehr massiv geformte Gegenstände wie pyramidenstumpfförmige Webgewichte (Abb. 70 und Taf. 10/3) und Feuerböcke weisen diese Tonaufbereitung auf (Abb. 71 und Taf. 74/1). Die Funde aus dem in die Hallstattzeit gestellten Objekt V5004 vom „Wagneracker" zeigen keine Magerung mit Keramikbruch.[352] Da wir alle sonstigen untersuchten Gruben vom „Wagneracker" (mit keramikbruchgemagerter Ware) dem Siedlungsabschnitt II der internen Stillfried-Chronologie zuordnen, unterstützt diese Beobachtung die stark unterschiedliche chronologische Zuordnung von V5004.

Keramikbruchmagerung findet sich auch in Gruben vom „Hügelfeld", wie in Objekt V67 und V894, welche wir ebenfalls in die Siedlungsphase II datieren.[353] In Grube V981 lässt sich diese auffällige Tonaufbereitung ebenfalls feststellen.[354] Obwohl sich die Funde aus V981 nur allgemein nach Ha B stellen lassen, ergibt sich daraus ein Hinweis auf Siedlungsphase II (Abb. 72). Feine Abmagerung mit Keramikbruch – also mit sehr kleinen Keramikbröckchen – zeigt sich bei einer mittelfeinen Schale aus V981 (Taf. 3/7).

3.1.2 Keramische Sonderformen

3.1.2.1 Miniaturgefäße und andere Sonderformen

Miniaturgefäße

In 24 der 94 Gruben fand sich ein Miniaturgefäß oder ein Bruchstück davon (Abb. 433). Kleine Schalen können dabei

350. Sehr verbreitet ist dafür die Bezeichnung „Schamottmagerung". Da der Begriff „Schamott" allerdings im allgemeinen Sprachgebrauch feuerfeste Steine und Ausmauerungen bezeichnet, sprechen wir auch von „Magerung mit Keramikbruch". Für diesen Hinweis danken wir Roland Meingast und Hubert Feiglstorfer.

351. Weitere Beispiele von Vorratsgefäßen/Töpfen mit Keramikbruch in der Magerung: FNr. St. 17098.1 (Taf. 21/2); FNr. St. 17097.2, beide aus V5005.

352. Das große Vorratsgefäß FNr. St. 16907.3 (Taf. 19/1) zeigt beispielsweise fein geschlämmten Ton.

353. V67: Annähernd alle vorgestellten Gefäße weisen Keramikbruch bzw. Tonklümpchen im Ton auf, Hellerschmid, Griebl in Vorbereitung. V894: Große grobe Schüssel bzw. Topf (FNr. St. 21421.1) mit Keramikbruchmagerung.

354. Gefäß mit dieser Magerung aus V981: FNr. St. 22136.2 grober Topf mit feiner Keramikbruchmagerung.



Abb. 69: Magerung mit Keramikbruch ist bei Haushaltsware aus den Gruben vom „Wagneracker“ (Sph. II) besonders häufig zu beobachten. Das Bild zeigt die Innenseite eines Topfes aus V5006, dessen Tonmaterial Keramikplättchen von bis zu 1 cm Größe beigemengt wurden (FNr. St. 17035.1).

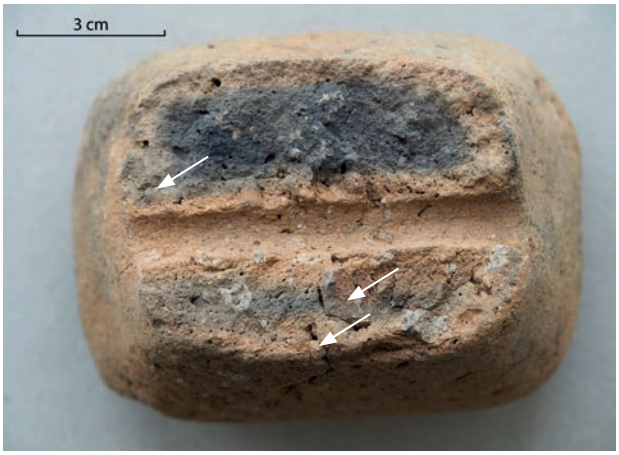


Abb. 70: Das große pyramidenstumpfförmige Webgewicht aus V5001 vom „Wagneracker“ zeigt im Bruch, dass es mit zerkleinerten Keramikstückchen gemagert wurde (Pfeile, FNr. St. 16740.1). Die angeschmolzene Bruchoberfläche und die gleichmäßig hellrote Außenhaut lassen vermuten, dass es in bereits gebrochenem Zustand ins Schadfeuer geriet.

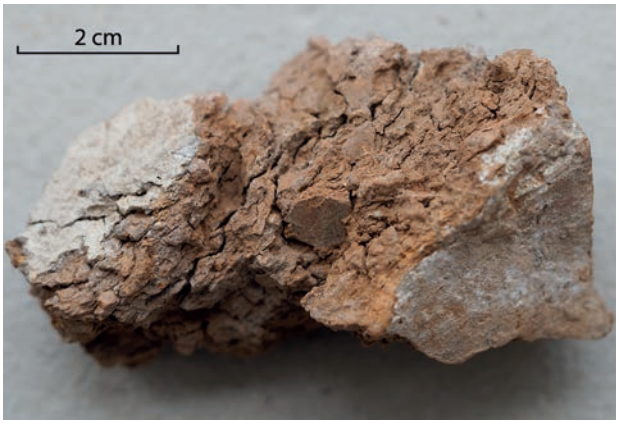


Abb. 71: Magerung mit Keramikbruch war am „Wagneracker“ (V5005) auch bei der Tonbereitung für Feuerböcke üblich, wie das Bruchstück FNr. St. 17097.5 vor Augen führt.



Abb. 72: Beispiel von Keramikbruchmagerung eines Vorratstopfes aus Grube V981 vom „Hügelfeld“ (Bildmitte). Diese Grube kann nur allgemein nach Ha B gestellt werden (FNr. St. 22136.1). Bei der Beschriftung „23781“ handelt es sich um die Stücknummer des Fundes.

durchaus als gängige Haushaltsware betrachtet werden, speziell wenn sie grob geformt sind wie das **Schälchen** aus V891, das Teil einer Keramiklage ist (Taf. 2/1; 47/5). Seine unterschiedliche Randhöhe könnte bei einer Nutzung als Schöpfgefäß durchaus beabsichtigt gewesen sein. Eine andere Funktion erfüllte das **Schüsselchen** aus V1212 (Taf. 56/7), das aufgrund seiner aufwändigen Verzierung[355] samt Grafitierung für einen besonderen Verwendungszweck spricht. Der gleiche Dekor findet sich auf der Tonrassel von Taf. 78/2 aus V5200.

Proportionalen Verkleinerungen großer, kennzeichnender Gefäßformen ist immer ein Sonderstatus einzuräumen, insbesondere wenn sie von herausragender Machart sind. Ein weiteres Beispiel dafür ist das feinkeramische und grafitierte **Miniaturkegelhalsgefäß**[356] aus dem Skelettbereich in V841 (Taf. 50/4), das als Beigabe einer menschlichen

355. Flächige, feine Ritzzier in Form eines mehrfachen Winkelbandes, auf Schulter und Hals waagrechte, umlaufende Linien.

356. Randdm. 9 cm, Bauchdm. 14,6 cm, H. 13 cm.

Bestattung in kultisch-rituellem Zusammenhang steht. Das hart gebrannte Gefäß blieb vollständig erhalten.

Beim sehr grob und asymmetrisch geformten Miniaturkegelhalsgefäß aus V5003 (Taf. 17/1; 71/1) ist dagegen durchaus an einen Gebrauchsgegenstand zu denken, auch weil sich der enge Hals in Verbindung mit dem kurzen, ausladenden Rand gut zum Verschließen eines (wertvollen) Inhalts eignet. Auf diese Weise könnte das Gefäß sogar am Gürtel mitgetragen worden sein. Das vollständig erhaltene und sekundär gebrannte Stück befand sich auf der Grubensohle, wobei ein zerbrochenes Kegelhalsgefäß aus der darüber liegenden Brandschicht ebenfalls sekundäre Brandspuren aufweist (Taf. 17/2; 71/2).

(Miniatur)Mehrfachgefäß?

Bei der Miniaturausführung einer Kegelhalsschüssel mit zwei Öffnungen am Gefäßbauch (Taf. 45/1) könnte es sich um ein ehemaliges Mehrfachgefäß (Miniatur-Dreifachschüssel) gehandelt haben. Das Stück aus Grube V662 zeigt ähnlich wie die Miniaturschüssel Taf. 56/7 eine flächig ausgeführte, aufwändige Ritzlinienverzierung aus strichgefüllten Dreiecken und weiteren Dekorzonen dieser Art. Möglicherweise wurde das vorhandene Stück absichtsvoll von einem Mehrfachgefäß abgetrennt. Bei den Mehrfachgefäßen handelt es sich um eine bemerkenswerte Fundgruppe unter den Grabbeigaben der älteren Hallstattzeit (Kalenderberggruppe),[357] deren früheste Vertreter sich bereits in älterurnenfelderzeitlichen Grabverbänden finden.[358] Einige wenige Nachweise sind auch aus jungurnenfelderzeitlichen Höhensiedlungen wie Thunau am Kamp und Brno-Obřany zu nennen.[359] Sie reihen sich unter die vielfältigen Trink-, Schöpf- und Sammelgefäße für Trankopfer. Die Anlässe heben sich vom Alltagsgeschehen deutlich ab und können im Persönlichen, Politischen oder Religiösen liegen. Sie bilden jenen Handlungsrahmen, den wir mit „kultisch" umschreiben.

Schüsselförmiges Aufsatzgefäß

Zwei hart gebrannte Teilstücke eines besonderen Miniaturgefäßes stammen aus V52 (Abb. 73, 74).[360] Es besteht aus einem kugeligen Körper mit auffallend hohem, trichterförmig ausladendem Rand. Dort, wo der Gefäßboden zu erwarten ist, geht die Wandung nach einem deutlichen Absatz senkrecht bzw. schwach ausladend weiter, bevor sie kurz danach abgebrochen ist. Der Durchmesser dieser unteren Öffnung beträgt etwa 5 cm. Es liegen demnach die Überreste eines **Aufsatzgefäßes** in Form einer Miniaturschüssel vor (Randdm. 7,5 cm, erh. H. 4,7 cm, Bauchdm. 7 cm). Der Körper ist mit einer winkelförmigen Rillenzier versehen, geglättet und poliert. Möglicherweise handelt es sich um die Reste eines sogenannten „Stiefelgefäßes", wie sie aus dem Gräberfeld von Budapest-Békásmegyer (Ungarn) gut bekannt sind (Abb. 75).[361] Diese setzen sich aus zwei Teilen zusammen, wobei der untere Abschnitt meist einen (rechten) Stiefel mit senkrechtem oder schrägem Schaft darstellt, dem eine Schüssel aufsitzt. Stiefel und Schüssel bilden einen gemeinsamen Gefäßkörper. Gesamthöhe und Schüsseldurchmesser belaufen sich großteils um 10 cm, es gibt aber auch doppelt so große Stücke.[362] Die Schüsseln sind mit und ohne Verzierung gestaltet und entsprechen den gängigen Formen dieser Zeit. Georg Kossack reihte diese Sonderformen zu den Gegenständen mit symbolischem Sinngehalt.[363] Da die Schuhspitzen in vielen Fällen durchbohrt sind, ist von Trankspendegefäßen (sogenannten Rhyta) auszugehen, die im Zuge der Bestattungsfeierlichkeiten in Verwendung gewesen sein könnten.[364] In Békásmegyer sind sie meist mit weiteren auffälligen Grabbeigaben vergesellschaftet und datieren von Ha A2 bis Ha B2–3.[365] Allgemein ist diese Sonderform innerhalb der mittel- und mittelosteuropäischen Spätbronzezeit recht weit verbreitet, mit einem Schwerpunkt im östlichen Urnenfelderkreis und in der Lausitzer Kultur.[366]

357. Z. B. Nebelsick 1994, 87, 109, Kalenderbergtassen-Doppel- und Dreifachgefäße (Dat. Ha C1 bzw. Ha C/Loretto Phasen IIIa und IIIb): Fundstelle 36a (Taf. 62; 47/75; 49/77; 57/92: drei Dreifachgefäße; 75/109; usw.). – Zur Kalenderberggruppe: Griebl 2004, 129–130. – Griebl 2012, 865–866.

358. Älterurnenfelderzeitliche Belege kommen aus den Brandgräberfeldern von Gemeinlebarn (VB Traismauer) und Großenzersdorf (VB Gänserndorf). Gemeinlebarn: Grab 4, Szombathy 1929, unverziert mit zwei senkrechten Warzen (Hörnchen) am verbindenden Steg in Höhe des Mundsaumes (H. 7,2 cm, Bauchdm. 16 cm). – Großenzersdorf: Hetzer, Willvonseder 1952, 70 und Abb. 8/4.

359. Thunau am Kamp: Kern 2001, 31 und Taf. 126/2 mit senkrechter Kannelur (Bauchdm. 8,8 cm, H.4 cm). – Stillfried an der March: FNr. St. 11248: unvollständiges, ritzverziertes Miniaturkegelhalsgefäß mit zwei Lochungen, ohne Fundverband. – Brno-Obřany: Adámek 1961, 185 und Taf. 117/5–6.

360. Hellerschmid 2006, Taf. 13/3.

361. Váczi 2010, 259–260. – Es finden sich 22 solcher Gefäße in 19 Gräbern (von insgesamt 324 urnenfelderzeitlichen Gräbern), Kalicz 2010, 290–292. – Kalicz-Schreiber 2010, 345 (Typentafel Typ IX).

362. Kalicz-Schreiber 2010, Grab 58, 124, III.

363. Kossack 1954, 31.

364. Kalicz 2010, 292.

365. Váczi 2010, 297–298.

366. Váczi 2010, 259–260.



Abb. 73: Rück- und Vorderseite des Aufsatzgefäßes aus V52 in Form einer Miniaturschüssel (FNr. St. 944).



Abb. 74: Unterseite des schüsselförmigen Aufsatzgefäßes aus V52. Dort, wo der Gefäßboden zu erwarten ist, geht die Wandung nach einem deutlichen Absatz senkrecht bis schwach ausladend weiter, bevor sie abgebrochen ist (FNr. St. 944).

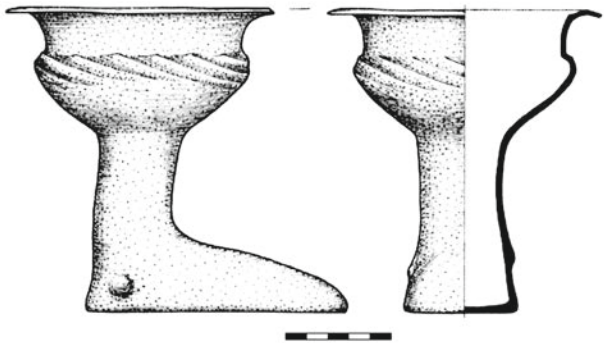


Abb. 75: Ein „Stiefelgefäß“ aus dem mittel- bis späturnenfelderzeitlichen Gräberfeld von Budapest-Békásmegyer (Grab 17). L. der „Sohle“: 13 cm (aus Kalicz-Schreiber 2010, Taf. 11/1).

Siebgefäß

Ein zu großen Teilen zusammengesetztes Siebgefäß mit abgebrochenem Henkel kommt aus V523 (Taf. 42/2), wo es gemeinsam mit weiteren zerscherbten Gefäßen und einem Schleifstein am Grubenboden gefunden wurde. Siebgefäße stellen im Siedlungsmaterial eine eher seltene Fundgattung dar.[367]

Wagenrad?

Bei dem Bruchstück einer kreisrunden Tonscheibe mit dickwandigem Zentrum aus Grube V445 könnte es sich um das Tonmodell eines hölzernen Scheibenrades gehandelt haben, wie sie bis in die späte Bronzezeit an von Rindern gezogenen, schweren Karren in Gebrauch waren[368] (Taf. 39/2, Dm. 8,7 cm). Es stammt zusammen mit einer Reihe anderer Sonderformen aus der Schicht über dem menschlichen Schädel (Schicht 00087). Wagenmodelle aus Keramik und Bronze stellen eine sehr seltene Fundgruppe in bronzezeitlichen Fundverbänden dar.[369] Die Räder der (Zeremonial)Wagenmodelle aus der späten Bronzezeit sind meist als Vierspeichenräder ausgeführt (in Bronze und Keramik).

Backplatte

Große Bruchstücke einer Backplatte (Taf. 57/1) wurden mit weiteren Sonderfunden aus dem Ofenkonvolut V1212 geborgen (z. B. Miniaturschüssel, Taf. 56/7). Das Fragment einer weiteren solchen Platte fand sich in Grube V1133, die auch einen Mädchenschädel enthielt, gemeinsam mit vielfältigem Keramikinventar.[370]

Gelochtes, plättchenförmiges Bruchstück mit zwei spitzen Enden

Das polierte und grafitierte Teilstück aus V704 (Taf. 45/3) zeigt am erhaltenen schmalen Ende eine V-förmige Einkerbung, welche die beiden seitlichen Enden spitz erscheinen lässt.[371] Da der Querschnitt des Plättchens zur Lochung hin zunimmt, könnte es sich um das Oberteil eines sehr schmalen, pyramidenstumpfförmigen Webgewichts gehandelt haben. Die aufwändige Oberflächenbehandlung und die außergewöhnliche Form deuten in den Kultbereich.

367. Lochner 1991, 292 (C).
368. Vosteen 2011, 69.
369. Vosteen 2011, Abb. 84.
370. Eibner 1976, Taf. 30/55.
371. Penz 2006, Taf. 20/1.

3.1.2.2 Halbierte Gefäße und sonstige Zurichtungen(?) von Keramikgefäßen

Längshalbierte Gefäße

Unter dem Fundmaterial fallen immer wieder Gegenstände auf, die wahrscheinlich absichtsvoll aus einer Keramikform herausgearbeitet wurden. So stammt aus dem Brandschutt Sign. 20501 von **V5400** die **Längshälfte eines Kegelhalsgefäßes**, welche großteils in einem Stück vorliegt (Taf. 31/1; 81/2, H. 29 cm, Bauchdm. 30,5 cm). Hier könnte eine stufenweise Zurichtung eines unbrauchbar gewordenen Gefäßes



Abb. 76: Die kannelierte Henkeltasse aus dem Brandschutt (Sign. 00387) in V871 liegt als längsgeteilte Hälfte vor. Sie könnte als Schöpfgerät verwendet worden sein (FNr. St. 21410).



Abb. 77: Die kannelierte Henkeltasse aus der Brandschuttschicht 00157 in V510 macht den Eindruck, absichtsvoll für eine sekundäre Verwendung (zum Schöpfen) längs halbiert worden zu sein (FNr. St. 5147).



Abb. 78: Die Henkeltasse aus der mächtigen Brandschuttschicht von V5001 (Sign. 20012) könnte als Schöpfwerkzeug zweitverwendet worden sein. Dafür sprechen auch die Abnützungsspuren am Bauch und am Mundsaum (FNr. St. 16715.1).

stattgefunden haben: Zuerst wurde der Boden absichtlich entfernt, wie sich aus den Bruchflächen erschließen lässt (Taf. 81/1). Das Gefäß könnte als Trichter Verwendung gefunden haben. Danach spaltete man das Gefäß und entfernte vermutlich ursprünglich vorhandene Griffleisten, wie die rundlichen Fehlstellen an der Außenseite der Bauchwölbung verraten (Taf. 81/2). Dieser „Torso" könnte als Schöpfbehelf oder beispielsweise auch zum Auffangen von Regenwasser gedient haben.

Des Weiteren finden sich gleich drei Beispiele **längsgeteilter kannelierter Henkeltassen**, jeweils aus den unteren Brandschuttschichten dreier Gruben: Das exakt halbierte Exemplar aus Grube **V871**,[372] dessen Henkel abgebrochen ist bzw. entfernt wurde, war mit mehreren Sonderformen vergesellschaftet. Es lässt sich ideal als Schöpfgerät einsetzen (Abb. 76). Ganz ähnlich zeigt sich die Situation bei der halbierten Henkeltasse aus **V510**,[373] welche ohne Henkel vorliegt (Abb. 77). Aus dieser Grube stammt auch die senkrecht halbierte Tonrassel (Taf. 38/2). Als dritter Beleg ist eine der sieben Henkeltassen aus dem Brandschutt 20012 von **V5001** zu nennen (Taf. 7/3). Die Bruchkanten der henkellosen Hälfte wirken alt gebrochen und lassen wiederum den Eindruck einer absichtlichen Zurichtung aufkommen. Obwohl der Boden über die Längsachse hinaus vorhanden ist, kann das Stück – wie der Versuch beweist – gut als Schöpfgerät eingesetzt werden (Abb. 78). Entsprechende Abnützungsspuren an der grafitierten Außenfläche am Bauchumbruch und am Mundsaum unterstützen diese Deutung.

Sonstige „Werkzeuge" aus Keramikgefäßen

Sehr auffällig und ungewöhnlich ist ein **D-förmiges Wandbruchstück**, das aus einem dickwandigen Groß- bzw. Vorratsgefäß herausgearbeitet wurde. Es ist 15 cm breit und etwa 13 cm hoch (Taf. 49/5) und lag bei Skelett Nr. 8[374] in **V841**. Entlang des halbrunden Umrisses sind Zurichtungsspuren deutlich erkennbar. Der obere, schräge Abschluss verläuft in natürlicher Bruchrichtung und zeigt dagegen kaum Pickmarken. Die unbeschädigte Sonderform wäre als Schöpfgefäß oder als eine Art Spatel nützlich, zeigt allerdings keine Benutzungsspuren.

Ein ähnliches Beispiel findet sich in dem schaufelartig zugerichteten Boden-/Wandbruchstück eines Gefäßes (Topfes?) aus **V5200** (Abb. 79). Entlang der Bruchkanten sind in diesem Fall sehr deutlich retuschenartige Zurichtungsspuren zu erkennen. Möglicherweise haben wir es auch bei dem schaufelförmigen **Randbruchstück einer großen Schüssel** aus **V894** mit einem Schöpfbehelf oder Ähnlichem zu tun (Taf. 2/5).

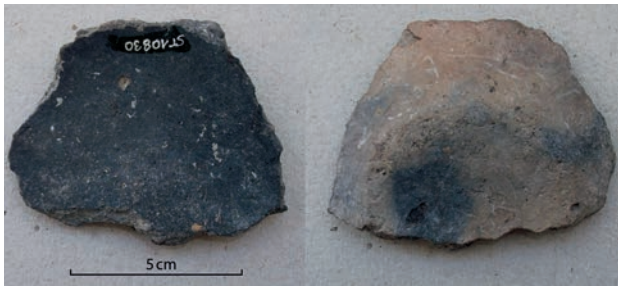


Abb. 79: Schaufelartig zugerichtetes Boden-/Wandbruchstück eines Gefäßes (Topfes?) aus V5200 mit retuschenartigen Zurichtungsspuren (FNr. St. 10830.5).

Gefäße mit Bodenloch

Beim Kopf der Frau SK13 aus der ersten Skelettlage in **V841** wurde ein sogenannter **Topf mit Bodenloch** aufrecht stehend abgestellt (Taf. 48/2 und Abb. 58). Dabei handelte es sich ursprünglich um ein großes Vorratsgefäß, das wahrscheinlich über längere Zeit auf einem Lößboden (Abb. 80 rechts)[375] stehend in Verwendung war. Nachträglich wurde dieses Gefäß mittels Pickelschlägen zu einer Schale eingekürzt und mit einem Bodenloch versehen (Abb. 80). Dass dies erst unmittelbar vor der Bestattung erfolgte, verrät ein Wandbruchstück, das aus der oberen Gefäßhälfte stammt und im direkten Umfeld entdeckt wurde.[376] Zum anderen zeigen die Bruch- bzw. Zurichtungsstellen keinerlei Abnutzungsspuren. Die Untersuchung der schwarzen, blasigen Überreste an der Gefäßinnenseite, die von der ursprünglichen Benutzung des Topfes herrühren dürften, erbrachte kein eindeutiges Ergebnis.[377] Im Gefäß befand sich das rechteckige Reibplattenteilstück von Taf. 48/3 (Abb. 58). Zu denken ist an rituelle Handlungen im Rahmen der Bestattung, bei der möglicherweise eine Flüssigkeitsspende[378] im Sinn eines Trankopfers an chthonische Gottheiten durchgeführt wurde.

372. Hellerschmid 2006, Taf. 114/13.
373. Hellerschmid 2006, Taf. 50/10.
374. Skelettlage 2 in Schicht 00361.
375. Ersichtlich auf den Makrofotos (Löß-/Lehmbeaufschlagung) samt (Getreide)Körnerabdrücken. Für die Erstellung der Fotoserie danken wir Michael Brandl.
376. FNr. St. 13285, Foto ST13354_080.
377. Dobrezberger 2016, 77, 84, 115, Proben 1 und 6, und Abb. 92; Tab. 33; Ergebnis: „pflanzliche und tierische Fette (Schweinefett), Verwendung als Kochtopf möglich".
378. Z. B. Bartelheim, Heyd 2001. – Homer, Ilias XXIII, 29–34.



Abb. 80: Beim Kopf der Frau SK13 aus V841 wurde ein zu einer Schale eingekürzter Topf mit Bodenloch aufrecht stehend abgestellt (FNr. St. 13354). Das Gefäß stand ursprünglich auf Lößboden.



Abb. 81: V1141: Bei den Bruchstücken eines dickwandigen Großgefäßes aus dem Umfeld der Bestatteten in V1141 („Kirchhügel") handelt es sich, ganz ähnlich wie in V841, um ein zur Schale eingekürztes Großgefäß (rot markierter Bereich). Sehr gut ist auch die vollständige Reibplatte (Unterlieger) beim Becken des Mannes (SK1) zu sehen (Grabungsdokumentation Stillfried, Landessammlung Niederösterreich, Bereich Ur- und Frühgeschichte, Fotonr. ST28382).



Abb. 82: Aufnahmen des dickwandigen, eingekürzten Großgefäßes aus dem Umfeld der Bestatteten in V1141 („Kirchhügel"), Museumsinstallation. Der Gefäßboden wurde sehr wahrscheinlich absichtsvoll entfernt (Foto: B. Biederer, OREA/ÖAW).

Eine ähnliche Situation mit eingekürztem Großgefäß samt Bodenloch zeichnet sich in der zweiten Massenbestattung von **V1141** ab: Die Bruchstücke eines dickwandigen Großgefäßes aus dem Umfeld der Bestatteten entpuppten sich ebenfalls als sekundär zugerichtete Schale (Abb. 81). Diesem Stück fehlt annähernd der gesamte Boden, was bereits am Grabungsfoto zu erkennen ist und sich in der Museumsinstallation bestätigt (Abb. 82). In diesem Fall war der Gefäßboden augenscheinlich absichtsvoll ziemlich vollständig entfernt worden. Die Bruchkanten wirken verrundet bzw. abgenützt.

Sogenannte „Spielsteine"

Scheibenförmige Scherben, die aus bereits gebrannten Wandbruchstücken und Böden herkömmlicher Keramikgefäße zugerichtet wurden, werden als „Spielsteine"



Abb. 83: „Spielsteine“ aus den kegelstumpfförmigen Gruben von Stillfried (späte Urnenfelderzeit). In mehreren Fällen handelt es sich um ehemalige Gefäßböden. Am Bild sind großteils die Innenflächen zu sehen.



Abb. 84: „Spielsteine“ aus den kegelstumpfförmigen Gruben von Stillfried (späte Urnenfelderzeit). Sie wurden aus Gefäßböden und Gefäßwandteilen gearbeitet. Das Foto zeigt großteils die Außenflächen.



Abb. 85: „Spielstein“ aus Grube V5203 vom „Bügeleisen“. Die Bruchkanten sind unregelmäßig und kaum verrundet (FNr. St. 10554.2).



Abb. 86: Perfekt zugerichteter und polierter „Spielstein“ aus Grubenhaus V591 vom „Hügelfeld“ (Sph. III/2; FNr. St. 11803).

bezeichnet (Abb. 83, 84). Sie erfreuten sich während der späten Bronzezeit und der Eisenzeiten in Siedlungsbefunden großer Beliebtheit,[379] während sie in Brandgräberfeldern kaum zu finden sind.[380] Die Stücke zeigen sehr unterschiedlich sorgfältige Macharten. So kommt ein Beleg mit kaum abgerundetem Rand aus Grube V5203 (Abb. 85), während ein bis zur Perfektion (silbertalerartig) zugerichtetes Exemplar aus dem späturnenfelderzeitlichen Grubenhaus V591 stammt (Abb. 83; 84 rechts oben; 86).

Einige Stücke stellen sich als komplette Standflächen ehemaliger Gefäße heraus, wie der sekundär gebrannte „Spielstein“ von V5000 (Taf. 5/1; 64/1, Dm. 5,5 cm). Dabei handelt es sich um den vollständigen Boden eines dünnwandigen Gefäßes (Schale?), der in unmittelbarer Nähe der menschlichen Schädel gefunden wurde (Abb. 391). Diese Vergesellschaftung in der ausgesprochen fundarmen Grube V5000 macht eine symbolische Bedeutung des Gegenstandes möglich bis wahrscheinlich. Zwei weitere Beispiele aus vollständigen Gefäßböden kommen aus V871 (beide FNr. St. 21410, siehe Abb. 83; 84 unten/Mitte).

Eine Seltenheit ist ein „Spielstein“ aus einem Siebgefäßboden (Taf. 22/1; 74/4 und Abb. 83, 84), der zusammen mit weiteren Sonderfunden (Taf. 22/2–3) im sohlennahen Grubenbereich von V5006 geborgen wurde. Es handelt sich um ein dickwandiges, hart gebranntes, rund-ovales Plättchen, bei dem ein zufälliges Brechen in diese Form eher auszuschließen ist.

Halbierte „Spielsteine“ (D-förmige Plättchen)

Ein wohl intentionell halbierter „Spielstein“ kommt aus der Grube mit dem Mädchenschädel V1133.[381] Das verhältnismäßig große Stück (Dm. 7,5 cm) stammt von einem Gefäßboden. Es ist außen- und innenseitig mit Pechauflagen unterschiedlicher Dicke versehen,[382] die als Birkenteer/Birke-Mischteer bestimmt werden konnten[383] (FNr. St. 164, Abb. 83; 84, links, zweites von oben). An der Außenseite hat sich möglicherweise eine geflochtene Matte oder Ähnliches abgedrückt. Ein vergleichbares Fundstück mit etwas ausgezacktem Rand stammt zusammen mit weiteren Sonderformen aus dem Brandschutt von V5400 (Sign. 20501). Dieses wurde aus einem Wandstück herausgearbeitet (FNr. St. 12049.6, Abb. 83, 84, links oben, und Taf. 31/4).

3.1.2.3 Sonstige halbierte Keramikgegenstände

Tonringhälften und halbe scheibenförmige Webgewichte

Der halbe, flache **Tonring** aus V156 (Taf. 37/5) mit beidseitiger Dellenzier[384] macht den Eindruck einer bewussten Durchtrennung, da sich Pickspuren bereits mit freiem Auge abzeichnen (Abb. 87). In der Detailaufnahme zeigt sich eine zahnartig gezackte Bruchlinie, die ein intentionelles Zerteilen dieses hart gebrannten Gegenstandes bekräftigt (Abb. 88). Gleichfalls bewusst halbiert wirkt auch der rundstabige Tonringteil von V898,[385] der ebenfalls sehr gut gebrannt ist, was ein zufälliges Brechen genau in der Mitte wenig wahrscheinlich macht.

379. Kern 2001, 33, 70. – Meffert 2002, 145 und Abb. 77/5; 79 (Rondelle). – Griebl 2004, 185. – Wendling 2009.

380. Ein aus einem Wandscherben zugerichteter „Spielstein“ stammt aus Grab 33 von Stillfried (Dm. 6,2–6,9 cm), Kaus 1984, 48 und Taf. 32/d. – Ein mögliches weiteres Exemplar mit Riefenzier: Strohschneider 1976, 45 und Taf. 16/3.

381. Eibner 1976. – Hellerschmid, Griebl in Vorbereitung.

382. Sauter, Jordis 1980, 151 (Probennr. 5), 159 und Taf. 57/1–2 (Ergebnis: Holzpech).

383. Schrattenecker 2015, 77, Probennr. 046, 047.

384. Penz 2006, Taf. 7/4.

385. Penz 2006, Taf. 26/7.



Abb. 87: Dieses verzierte Tonringteilstück aus V156 wurde möglicherweise absichtsvoll halbiert (FNr. St. 1863).



Abb. 88: Nahaufnahme der Bruchfläche des verzierten Tonrings aus V156. Die gezackte Bruchlinie deutet auf Pickspuren und spricht für eine intentionelle Trennung des gut gebrannten Gegenstandes (FNr. St. 1863).

Aus V156 und V994 kommen weitere, annähernd halbe Tonringe.[386] Der einzige verzierte Tonring aus dem Brandschutt von **V5400** (Taf. 33/1) ist hart gebrannt und liegt ebenfalls zur Hälfte vor. Die zwölf weiteren, gleichförmigen Tonringe daraus sind hingegen schwach gebrannt (Taf. 31/5–6; 32). Diese vielfach alt gebrochenen Teilstücke ließen sich zu ganzen Objekten sowie zu Halb-, Viertel- und Dreiviertel-Ringen zusammensetzen. Interessant ist die Beobachtung, dass die drei angeschlossenen, ringförmigen und hoch zerbrechlichen Getreideerzeugnisse (verkohlte Teigringlein; Taf. 33/2–4) in ebensolchen Teilstücken vorliegen (Halb-, Viertel- und Drittelteil, Kap. 3.8). Eine dahinterstehende Absicht ist zumindest nicht auszuschließen.

Ein exakt **halbiertes scheibenförmiges Webgewicht** stammt aus V514,[387] Gleiches gilt für ein weiteres Exemplar aus V523.[388] Beide Stücke kommen aus dem „Deponierungshorizont“[389] und werden von den Verfassern als absichtsvoll halbierte Objekte betrachtet.

Halbierte Tonrasseln

Bei dem kleinen, doppelkonischen Gegenstand aus V510 (Taf. 1/3; 38/2) handelt es sich sehr wahrscheinlich um eine **Rassel**, die längshalbiert wurde (H. 4,4 cm, Dm. 5 cm). Das grob geformte Stück ist hart gebrannt und wurde zusammen mit weiteren auffälligen Fundstücken (Reibplatte, Miniaturgefäße) im unteren Grubenbereich geborgen. Im Querschnitt erkennt man den technischen Aufbau aus zwei Halbkugeln, der die waagrechte Bruchlinie gut nachvollziehbar macht. Ganz anders sieht es bei der senkrechten Bruchfläche aus, die sich nur als absichtsvolle Längshalbierung des hart gebrannten Stücks deuten lässt. Die Frage, warum dieser kleine Gegenstand längsgeteilt wurde (und dabei oder erst später quer gebrochen ist), lässt sich nicht beantworten.

Bewusst waagrecht halbiert wurde hingegen jene Sonderform mit kugeligem Körper und langschmalem Griff (Taf. 78/2), bei der es sich ebenfalls um eine Rassel gehandelt haben dürfte. Sie wurde mit mehrfachem Winkelband flächig verziert, während Schulter und Hals von waagrechten Ritzlinien bedeckt sind. Diese Verzierungskombination findet sich auch auf der Miniaturschüssel von Taf. 56/7. Das Griffende wurde tierkopfförmig (Vogel?) gestaltet, was diese Sonderform unschwer in den nicht alltäglichen Funktionsbereich stellt. In seiner eingekürzten Form könnte das Stück sekundär als eine Art **Stempel** verwendet worden sein.

3.1.2.4 Sonstige Zurichtungen

Abgetrenntes Feuerbock-Endstück

Mögliche Pickspuren entlang der Bruchkante des massiven und gut gebrannten **Feuerbock-Endstücks** aus V198 (Taf. 37/4) mit Tierhörnern sind Hinweise darauf, dass dieses absichtsvoll vom vollständigen Feuerbock abgelöst wurde (Abb. 89). Der vorhandene Teil ergibt eine Pyramidenform, wie sie von der Gruppe der Webgewichte gut bekannt ist. Aus derselben Grube stammen auch mehrere Nachweise für Metallhandwerk (z. B. Taf. 36/3). Da es sich

386. Penz 2006, Taf. 7/2 (V156). – Hellerschmid, Griebl in Vorbereitung (V0994).
387. Penz 2006, Taf. 14/1.
388. Penz 2006, Taf. 14/3.
389. V514, Schicht 00173, V523, Schicht 00187.

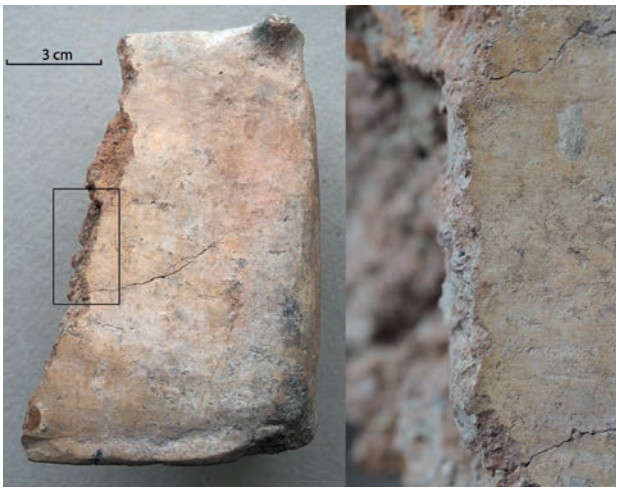


Abb. 89: Mögliche Pickspuren entlang der Bruchkante des gut gebrannten Feuerbock-Endstücks aus V198 deuten auf eine gewollte Durchtrennung hin (FNr. St. 4069).

bei allen diesen Funden um keinen gewöhnlichen Siedlungsmüll handelt, könnte eine symbolische Bedeutung in ihrem Vorhandensein stecken.

Stempel(?) aus feinkeramischem Deckel(?)
Eine weitere Sonderform ist ein etwas asymmetrisch aus einem polierten Keramikdeckel(?) herausgearbeiteter Gegenstand (Taf. 31/3; 81/3). Der einstige Deckelgriff fungiert nach wie vor als Greifvorrichtung, um das Stück vermutlich als eine Art Stempel einzusetzen. Die Sonderform stammt zusammen mit zahlreichen Tonringen aus dem fundreichen Brandschutt (Sign. 20501) von V5400.

3.1.3 Sonstige keramische Gegenstände/Bruchstücke

3.1.3.1 Feuerböcke – Mondidole

Feuerböcke sind bevorzugte Träger von Symbolen und annähernd ausschließlich als Bruchstücke vertreten. Konkret fanden sich Fragmente in den Verfüllungen von 13 Gruben, darunter fünf bzw. sechs Depositgruben bzw. Gruben mit auffälligem Inhalt (V628, V841, V1008, V1212, V2784, V5001). Sie stammen großteils aus dem „Deponierungshorizont“ entsprechend unserer Einteilung. In der Siedlungsbestattung V841 lag ein Feuerbockbruchstück im Umfeld der Skelette,[390] ein weiteres in der Verfüllung.[391] Das Exemplar aus V628 fand sich direkt beim Hirsch.[392] In V5005 sind gleich drei Fragmente gefunden worden, deren Schichtzuordnung allerdings unklar ist (Taf. 73/3; 74/1–2).



Abb. 90: Barrenförmiger Feuerbock vom „Bügeleisen“ mit Lochung und Tierhörnern (Rind?) am Abschluss. Das Stück weist starken Sekundärbrand auf (FNr. St. 10632, ohne Fundverband).

Die Entwicklung dieser Fundgruppe geht in der Urnenfelderzeit von einfachen Barrenformen ohne und mit Tierkopfenden bzw. Hörnern aus[393] (Taf. 35/3; 37/4 und Abb. 90, 91). Der Hals der Tierkopfenden wächst in der fortgeschrittenen Urnenfelderzeit auf- und einwärts, sodass sie Rinderhörnern[394] oder einem Sichelmond gleichen, woher der Name Mondidol für die hallstattzeitlichen Stücke rührt.[395]

Kennzeichnende Gestaltungselemente sind auch runde Durchlochungen[396] (Abb. 90, 91), Teildurchlochungen (Taf. 37/4[397]) und konzentrische, kreisförmige Vertiefungen an den Schauflächen (Taf. 22/2; 47/2; 74/3) sowie weiße

390. FNr. St. 13325, im Bereich von SK5/1 und SK10. – Hellerschmid, Griebl in Vorbereitung.
391. FNr. St. 13236, Sign. 00366, 00367. – Hellerschmid, Griebl in Vorbereitung.
392. FNr. St. 8838, Sign. 00229. – Hellerschmid, Griebl in Vorbereitung.
393. Nagy 1979, 70.
394. Stiere spielen in der bronzezeitlichen Bildersprache Mitteleuropas eine untergeordnete Rolle, sodass der kosmischen Deutung allgemein der Vorzug gegeben wird, auch Baumeister 2011c, 84.
395. Griebl 2004, 187.
396. V156: Penz 2006, Taf. 7/1. – Nagy 1979, 49 und Abb. 47; Taf. X.
397. Erkennbar bei Penz 2006, Taf. 8/9.



Abb. 91: Weiteres, barrenförmiges Feuerbock-Endstück mit Lochung und Tierhörnern am Abschluss (FNr. St. 2554, „Hügelfeld“, V259A).

Bemalung (Taf. 47/2; 73/3; 74/1, 3). Manche zeigen am Rücken eine mittige Längsrille (Taf. 22/2; 74/3).[398] Sie bestehen aus dichtem, oftmals mit Keramikbruch gemagertem, rötlichem, meist gut gebranntem Ton, was sie feuerbeständig macht und deutlich von den pyramidenstumpfförmigen Webgewichten und vom Hüttenlehm unterscheidet. Gut erkennbar ist die Beimengung von Keramiksplitt zum Beispiel bei Taf. 74/1 (V5005). Obwohl ein Einsatz als Alltagsgegenstand im Herdbereich (z. B. als Stützen für Holzspieße) vorstellbar ist, geht die Forschung aufgrund der symbolträchtigen Form und Verzierung sowie des oftmals weißen Anstrichs von einer kultischen Verwendung aus.[399] Während aus Siedlungen kaum in-situ-Fundsituationen mit Feuerböcken/Mondidolen überliefert sind,[400] zeigen Feuerböcke aus Gräbern diese Verbindung zum Herd klar auf,[401] indem sie auf tönernen Herdmodellen aufsitzen.[402] Auch die Nachweise aus den Gräbern sind oft gebrochen und unvollständig.[403] Das spricht für ein generelles, absichtsvolles Zerschlagen dieser massiven Fundstücke, nachdem sie ihre Aufgabe verloren hatten, was nur in einem kultischen Zusammenhang erklärbar ist.

3.1.3.2 Zungenförmige Tonlappen

Diese bemerkenswerte Fundgruppe lässt vermuten, dass es sich um Griffe oder Füße handelt, die von einem Keramikgegenstand weggebrochen sind (Abb. 92–94). Dabei ist das (schmälere) Ende, der „Fuß“, immer vollständig erhalten, während sich am gegenüberliegenden Ende die Bruchstelle befindet. Der Querschnitt ist meist länglich oval.

Die acht gesichert urnenfelderzeitlichen Stücke verteilen sich über sieben Gruben, darunter vier(!) Tierdepositgruben (V31, V195, V643, V949 [2 Frg.]).[404] Formmäßig lassen sie sich in zwei Gruppen unterteilen:

Als **Gruppe A** bezeichnen wir ovale, gewölbte Formen mit gerundetem, etwas verbreitertem Abschluss (V52: Taf. 35/4; V526: Taf. 42/3; V949: Abb. 92, 93[405]). Die Außen- und Innenflächen sind geglättet und vor allem an der etwas konvexen Außenfläche glänzend poliert. Im unteren Bereich – vorwiegend an der Außenfläche – sind schwarzbraune Farb- bzw. Bemalungsreste erkennbar, die nicht bis zur Bruchstelle reichen. Einzig FNr. St. 21746 aus V949 (Abb. 93 links unten) zeigt an der Innenseite eine muldenförmige Wölbung. Drei weitere zungenförmige Tonlappen, die dieser Gruppe zuzuordnen sind, stammen aus der Much´schen Sammlung ohne genaue Herkunftsangaben.[406] Auch sie zeigen die schwarzbraune Färbung in der unteren Hälfte.

---

398. Mit Delle auf beiden Frontflächen. – Nagy 1979, 38, 72–73 und Abb. 36, 37.

399. Als ein Ritualgegenstand im Herdbereich, dem Zentrum eines Hauses (für eine Art Herdkult). Im nördlichen und westlichen Verbreitungsbereich der Urnenfelder- und Hallstattzeit (im westböhmisch/ostbayerischen Raum und Bereich der Lausitzer Kultur) kommt den Feuerböcken und Mondidolen eine große Bedeutung als Grabbeigaben zu, Nebelsick 1996, 348 und Abb. 12, 16. – Matzerath 2009, 165: „Die Feuerböcke und Mondidole geben tiefe Einblicke in die geistige Kultur und sind deshalb als Fundgattung besonders wertvoll“. – Matzerath 2011.

400. Eine Ausnahme ist der Brandopferplatz im ausgedehnten urnenfelderzeitlichen Siedlungsbereich bei Knittlingen (Enzkreis, Baden-Württemberg, Dat. Ha A2–B3). In den Ascheschichten lagen u. a. auch zahlreiche unverbrannte Mondidolbruchstücke mit Sonnenmotiven und Tierkopfenden, Baumeister 1995. – Baumeister 2011b, 19.

401. Nebelsick 1996, 332 und Abb. 6, 8, 12. – Matzerath 2009.

402. Vor allem in Gräbern des westböhmisch/ostbayerischen Raumes und der Lausitzer Kultur, Matzerath 2009. – Nebelsick 1996, 348 und Abb. 12, 16. – Matzerath 2011.

403. Matzerath 2011, 107, 110.

404. V31: Vergesellschaftung mit der Tierniederlegung ist nicht gesichert; V195: aus dem Umfeld der Tierniederlegungen; V643: aus dem oberen Grubenbereich; V949: beide Vertreter aus dem nachträglichen Eingriff (β).

405. Erstes von links in der unteren Reihe (FNr. St. 21746).

406. Fundort: Wallanlage Stillfried, sie sind in der Schausammlung des Instituts für Urgeschichte und Historische Archäologie in Wien ausgestellt, inventarisiert und abgebildet im UNIDAM, wo sie unter „Henkelfragment“ mit den Inv.-Nr. 8280, 8281, 8282 laufen.



Abb. 92: Gruppenbild der zungenförmigen Tonlappen aus unterschiedlichen späturnenfelderzeitlichen Gruben von Stillfried, Schauseiten (obere Reihe v. links: FNrn. St. 11389/V643, St. 5337/V526, St. 2013/V195, St. 71/V31; untere Reihe v. links: FNrn. St. 21746/V949, -?-, St. 12943/V715).



Abb. 93: Gruppenbild der zungenförmigen Tonlappen aus unterschiedlichen späturnenfelderzeitlichen Gruben von Stillfried, Rückseiten (obere Reihe v. links: FNrn. St. 11389/V643, St. 5337/V526, St. 2013/V195, St. 71/V31; untere Reihe v. links: FNrn. St. 21746/V949, -?-, St. 12943/V715).



Abb. 94: Gruppenbild der zungenförmigen Tonlappen aus unterschiedlichen späturnenfelderzeitlichen Gruben von Stillfried, Seitenansichten.

Als **Gruppe B** werden jene Stücke zusammengefasst, die als Füße oder Griffe anzusprechen sind. Sie haben parallel verlaufende Seitenkanten, die zum Ende – zum Standfuß hin – meist schmäler werden. Diese Gruppe ist eher grob geformt, mit ovalem bis rund-ovalem Querschnitt, wiewohl ihre Oberflächen beidseitig geglättet wurden (V31: Taf. 35/5; V195: Taf. 38/3; V643: Taf. 44/1; V715: Taf. 46/2; V949: Taf. 3/4; 52/3). Bei zwei Stücken zeigt sich ein stumpfwinkeliger Knick im oberen Bereich des „Fußes" (Taf. 52/3;[407] 44/1).

Alle acht Vertreter lassen mit einer Ausnahme (Taf. 38/3) eine leichte Krümmung erkennen (Abb. 94). Das geklebte Stück aus V949 (Taf. 52/3) weist sogar eine annähernd rechtwinkelige Biegung am oberen Ende auf.

Die Deutung der Stücke aus **Gruppe A** ist vollkommen unklar. In ihnen Standfüße zu sehen, ist auszuschließen, da sie an der vermeintlichen Stand- bzw. Auflagefläche glänzend poliert sind und keine Abnützungsspuren zeigen (besonders Taf. 35/4; 42/3). Als Greif- bzw. Tragehilfen an Großgefäßen erscheinen sie zu schmal und zu lang, abgesehen davon, dass geglättete und polierte Grifflappen unüblich sind. Eine Deutung des gewölbten Stücks FNr. St. 21746 aus V949 (Abb. 93 links unten) als Tonlöffel ist auch auszuschließen, da die konkave Innenseite uneben ist.

Bei **Gruppe B** handelt es sich möglicherweise um Füße von Tonplatten oder Keramikgefäßen. Keramikfunde mit Füßchen sind in Brandgräbern der Urnenfelderzeit vereinzelt vertreten: Ein Tonteller mit vier nach außen gekrümmten Füßen (sogenannter „Füßchenteller") stammt aus Grab 1967 XI/40 aus Niederkaina (Sachsen). Diese Bestattung der Lausitzer Kultur datiert nach Ha B2–3[408] (Abb. 95).

Eine kleine „Füßchenschale" konnte zerscherbt und unvollständig aus der Leichenbrandschüttung von Grab 1049/1021 in Atting (Bayern) geborgen werden[409] (Abb. 96). Ihre drei Standbeine sind auffällig anthropomorph gestaltet und etwas nach außen gewölbt. Das Grab wird nach Bz D gestellt.[410]

407. Nicht am Gruppenfoto (Abb. 92, 93).

408. Puttkammer 2007b, 147, Katalog-Nr. 106.

409. Koch, Meixner 2005, 55 und Abb. 47.

410. Koch, Meixner 2005, 54.



Abb. 95: Tonteller mit vier konkav nach außen gekrümmten Füßen („Füßchenteller“) aus Grab 1967 XI/40 aus Niederkaina, Bautzen. Das Grab wird nach Ha B2–3 gestellt (aus Puttkammer 2007b, 147 und Katalog Nr. 106; Detail).



Abb. 96: Diese kleine „Füßchenschale“ stammt aus Brandgrab 1049/1021 des Gräberfeldes Atting in Bayern. Sie hat drei auffällig anthropomorph gestaltete Standbeine (aus Koch, Meixner 2005, 55 und Abb. 47).

Diese Fundgruppe gibt auch deshalb Rätsel auf, weil offensichtlich ausschließlich die abgebrochenen Teilstücke vorliegen. In keinem Fall zeigt sich eine Ansatz- oder Anschlussstelle, die Auskunft über den weiteren Verlauf dieser Stücke geben könnte. Möglicherweise sind die Bruchstücke bzw. Bruchstellen, von wo die zungenförmigen Tonlappen abgebrochen sind bzw. absichtsvoll entfernt wurden, bisher nicht als solche erkannt worden.

Ein gemeinsamer Nenner – zumindest der Gruppe B – könnte die Verbindung zum Feuer sein, da Gegenstände mit Füßen im Regelfall dafür gedacht sind, in die Flammen gestellt zu werden. Füßchenteller werden am häuslichen Herd als Warmhalteplatten oder Backplatten (für Fladenbrot) eingesetzt.[411] Gleiches gilt für Fußgefäße, die ins Feuer oder über die Glut gestellt werden.[412] Durch die Verwendung solcher Füßchenformen als Grabbeigaben (Atting und Niederkaina) deutet sich ein möglicher Einsatz bei Brandritualen oder Räucherungen an. Die zungenförmigen Tonlappen von Stillfried wurden – wie oben erwähnt – überwiegend in den großteils kultisch gedeuteten Fundverbänden mit Tierniederlegungen entdeckt. Dies unterstreicht die Vermutung, dass es sich um Vertreter einer außergewöhnlichen Fundgruppe handelt, die möglicherweise von Kultgegenständen abgebrochen wurden.

Der Vollständigkeit halber sei der längliche, zungenförmige Glättstein aus V891 erwähnt (Sandstein, Abb. 133). In seiner abgebrochenen Form hat er eine frappante Ähnlichkeit mit den zungenförmigen Tonlappen der Gruppe B.

3.1.3.3 Tonstange

Aus dem direkten Umfeld der bestatteten Hirschkuh[413] in Grube V1140 kamen einige Besonderheiten (sog. Kultanzeiger) zutage, darunter der menschenförmige Geweihanhänger (Taf. 59/2; Kap. 3.4.2) und eine vollständig erhaltene, rundstabige Tonstange (L. 7,6 cm, Dm. 0,9–1,1 cm; Taf. 58/3). Das grob geglättete Stück mit abgerundeten Enden zeigt schwache Schmauchflecken. Es handelt sich um ein Einzelstück mit Seltenheitswert, da es trotz seiner Zerbrechlichkeit vollständig vorliegt. Über Bedeutung und Funktion kann nur gemutmaßt werden. Schon allein wegen des ungewöhnlichen Materials ist an einen Kultgegenstand zu denken, da man im Alltag Holz für einen länglichen, rundstabigen Gegenstand verwenden würde. Dazu kommt die Vergesellschaftung mit einer Hirschbestattung. Möglicherweise diente der Gegenstand als Spule für einen besonderen Faden im Sinn einer Weihe- oder Opfergabe

411. Backplatten mit Füßen sind vor allem aus der Hallstattzeit bekannt: Burböck 1976, 30 und Abb. 22 („Tonuntersatz mit vier Lappenfüßen“, Urnenfelder- oder Hallstattzeit). – Griebl 2004, 184–185 und Abb. 78, 79.

412. Beispiele von Dreifußkochtöpfen des 5. und 4. Jahrtausends v. Chr., Schwall 2018, 194, 202 und Abb. 73.

413. Aus Schicht Sign. 10222 direkt über der Hirschkuh. Das Tier wuchs in Gefangenschaft auf und starb an den Folgen einer Fehlgeburt, Pucher 1986, 54–57. – Pucher 2017, 215 und Abb. 9. – Hellerschmid, Griebl in Vorbereitung.



Abb. 97: Lochtennenfragment aus V5001, Unterseite. Die unebene und erdige Unterseite macht deutlich, dass das Stück entweder aus einer sehr dickwandigen Tenne herausgebrochen ist oder auf einem wärmespeichernden Untergrund auflag (FNr. St. 16747.4).

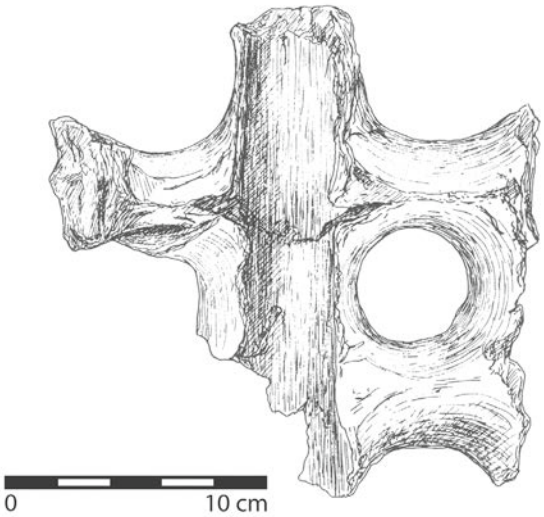


Abb. 98: Dieses Bruchstück einer gelochten Tenne fand sich bei mit Lehm ausgestrichenen Ofenresten innerhalb eines urgeschichtlichen Siedlungsareals in Sommerein. Die Begleitkeramik stellt den Befund in die ältere Urnenfelderzeit (aus Neugebauer o. J. (1980), 22 und Abb. 6/1).

(Kap. 7.2). Von der Stillfrieder Wallanlage stammt eine weitere Tonstange mit deutlich größerem, rundstabigem Durchmesser (erh. L. 4,9 cm, B. 2,7 cm). Sie ist abgebrochen und der Fundort nicht näher bekannt.[414]

Ein sogenanntes „Tonröllchen“ kann auch vom bronzezeitlichen Siedlungsplatz Altdorf-Römerfeld (Bayern) genannt werden[415] (Datierung: mittlere Urnenfelderzeit/ Ha A2). Die Funktion des Gegenstandes ist ebenfalls unklar.

3.1.4 Lehm und Ton

Bei der Beurteilung der vielfältigen (Hütten)Lehmfunde aus den Gruben unterstützten uns die Lehmbaufachleute Hubert Feiglstorfer (ÖAW) und Roland Meingast maßgeblich, wofür wir uns ganz herzlich bedanken. Die Beschäftigung mit spätbronzezeitlichem Hüttenlehm lenkte deren Blick von den historischen und ethnologischen Lehmbauweisen auf die urgeschichtlichen Bautechniken in unserem Raum.

Es finden sich anhand der Hüttenlehmfunde Hinweise darauf, dass es beim Hausbau in Stillfried neben (Pfosten-) Bauten mit lehmverstrichenen Flechtwerkwänden auch lehmverstrichene (Pfosten)Bauten gab, deren Wände (zumindest abschnittsweise) von waagrechten Rundhölzern gebildet wurden (Kap. 3.1.5.1). Auch diese wurden mit Lößlehm abgedichtet, wie Hüttenlehmstücke mit dreieckigem Profil verdeutlichen.

Die wesentlichste Ergänzung durch die Lehmfachleute erfuhren unsere Ausführungen zu den kugelförmigen Tonballen mit hohem spezifischem Gewicht (Kap. 3.1.4.2). Diese gebrannten Klumpen werden übereinstimmend als vorbereitetes Tonmaterial zum Zwecke einer zeitnahen, späteren Verwendung gedeutet, das unbeabsichtigt ins Feuer geriet. Dabei ist an die Errichtung von Backöfen, Schmiedeherden usw. zu denken. Die Lehmbauexperten wollen darüber hinaus insbesondere für den großen, kugelförmigen Tonballen (Taf. 66/3) eine Deutung als Baumaterial für eine massive Lehmmauer nicht gänzlich ausschließen. Damit wird eine dritte Bautechnik mit Lehm für das späturnenfelderzeitliche Stillfried hypothetisch zur Diskussion gestellt, die archäologisch allerdings nicht nachweisbar ist, wie im Folgenden erläutert wird.

3.1.4.1 Lochtenne

Die plattenartigen, schwach gebrannten Bruchstücke mit senkrechten Lochungen aus dem Brandschutt in V5001 (Taf. 11/2; 70/1; Sign. 20012) deuten wir als Lochtennenfragmente. Die Schauflächen und Durchbrüche zeigen glatte, gebrannte Originalflächen mit vegetabilen Einschlüssen, während die Unterseite uneben und erdig ist (Abb. 97). Die Stücke brachen möglicherweise aus einer mächtigen Tenne heraus. In unserem Raum ist in der Urnenfelderzeit bereits mit der Verwendung von Ofentennen zur Trennung von Feuerungs- und Brennraum (für Keramikbrand?) zu rechnen, wie ein mit Lehm ausgestrichener Ofen (Dm. 1,2 m)

414. Sogenannte „Tonrolle“, FNr. St. 8283, Sammlung des Instituts für Urgeschichte und Historische Archäologie Wien (Sammlung Much, UNIDAM).

415. Grube 16, Stapel 1999, 52, 276 und Taf. 23/B1 (erh. L. 4 cm, Dm. 1 cm); 60: Datierung.

aus Sommerein (Niederösterreich) belegt.[416] Dort fanden sich die Reste einer gelochten Tenne und Stücke der Ofenwand in einer 3 × 1,5 m großen Grube innerhalb eines urgeschichtlichen Siedlungsareals (Abb. 98). Die vergesellschaftete Keramik[417] ist von sehr einheitlichem, älterurnenfelderzeitlichem Gepräge (Bz D/Ha A), sodass Johannes-Wolfgang Neugebauer eine Deutung als Töpferofen in Erwägung zieht. Gustav Melzer vermutet dagegen einen Räucherofen.[418] Während die Stillfrieder Stücke Lochdurchmesser von 2,5–4 cm bei einer erhaltenen Plattenstärke von 7 cm aufweisen, hat die Sommereiner Tennenplatte eine Stärke von 4,8 cm und Lochbreiten von etwa 4,5 cm.[419] Ein weiteres Lochtennenbruchstück stammt aus der wannenförmigen Nachsackung über der verfüllten Grube V841 von Stillfried (Sign. 01374).[420] Dabei handelt es sich um eine hallstattzeitliche Auflagerung. Aus Ungarn ist ein in-situ-Befund eines Ofens mit Lochtenne bereits aus der mittleren Bronzezeit bekannt.[421]

3.1.4.2 Kugelförmige Tonballen von hohem spezifischem Gewicht

Aus dem Brandschutt Sign. 20012 in V5001 stammt ein **großer, runder, gebrannter Tonklumpen** mit auffallend hohem Gewicht (etwa 5 kg; Taf. 66/3). In Form und Größe ähnelt er einem Kinderkopf. Einige Fingereindrücke, wie sie beim Halten eines solchen (ungebrannten) Klumpens entstehen, sind gut erkennbar. Die stark rissige, weißliche Oberfläche gewährt Einblick in sein Inneres mit rechteckigen, dicht gefügten und rötlich gebrannten Keramikbröckchen. Die Bruchstelle und zugleich engste Stelle des Stückes (der „Hals") ist von erdig-brauner, bröckeliger Beschaffenheit. Der Gegenstand steckte ursprünglich wohl mit der Schmalseite voran im Boden und ist erst nach dem Brandgeschehen abgebrochen bzw. herausgelöst worden.

An die Seite sind ihm weitere Tonklumpenfragmente mit rissiger Oberfläche und großem Gewicht aus demselben Brandschutt zu stellen (beispielsweise Taf. 66/4). Ein anderes Stück hat einen plattgedrückten, ovalen Querschnitt mit ebener „Standfläche" (Taf. 11/5). Die aufeinander folgenden Fundnummern dieser Exemplare[422] lassen dabei eine ähnliche Fundlage vermuten. Alle weisen eine mehr oder weniger weißliche Oberflächenfärbung auf, die vom Brand bzw. dem Schadfeuer herrühren könnte. Auch stark mit Keramikbruch versetzter Ton[423] ist bei allen Stücken zu erkennen. Sehr wahrscheinlich handelt es sich bei diesen Klumpen um vorbereiteten Tonrohstoff in handlicher Ballenform, der sich durch ein Schadfeuer erhalten hat. Konkret könnte es sich aufgrund des dichten Keramikbröckchengehalts um Material gehandelt haben, das für feuerfeste Anlagen wie Backöfen, Schmiedeherde usw. vorgesehen war.[424]

Schwere Bruchstücke mit intensiven Feuerspuren kommen auch aus anderen Gruben,[425] wobei bei einem plattenförmigen Bruchstück an eine Ofenauskleidung zu denken ist.[426]

Besonders von Siedlungen der Lausitzer Kultur sind kugelige Lehm- oder Tonballen aus Brandschuttverbänden überliefert.[427] Vielfach werden sie als etwa menschenkopfgroß beschrieben mit Gewichten zwischen 2,5 und 12 kg. Neben kugeligen Stücken gibt es auch einige wenige Würfelformen. Sie zeigen Fingereindrücke und Holzabdrücke, sind schwach gebrannt und werden als Lehmvorräte eines/r Töpfers/in, auch konkret als vorbereitetes Material für (ungebrannte) pyramidenstumpfförmige Webgewichte, angesprochen. In die gleiche Richtung werden kugelige Tonklumpen vom Burgstallkogel bei Kleinklein (Steiermark) gedeutet.[428]

---

416. Neugebauer o. J. (1980), 22 und Abb. 6/1.

417. Neugebauer o. J. (1980), Abb. 6/2–8.

418. Melzer 1978a, Grube 3, 353. – Melzer o. J. (1980), 94 (Sommerein, Fundstelle 11).

419. Eine spätlatènezeitliche Ofentenne aus derselben Gemeinde (Sommerein) liegt auf hitzespeichernden Leithakalksteinen auf, mit denen sie direkt verbunden ist. Das führt zu einer großen Mächtigkeit der Platte von 10–12 cm, ursprüngliche Plattengröße 75 x 65 cm, Melzer 1978b, 385. – Melzer o. J. (1980), 87 (Sommerein, Fundstelle 5). – Neugebauer o. J. (1980), Abb. 15/2.

420. FNr. St. 13198, das Stück zeigt eine gleichbleibend starke, glasartige Auflage, Hellerschmid, Griebl in Vorbereitung.

421. Fundort: Százhalombatta-Földvár, Dm. etwa 80 cm, Koszider Horizont, Poroszlai 2003, 154, Fig. 18.

422. FNrn. St. 16739.2, 16744.4, 16745.2, 16747.3.

423. Diese Art der Magerung kann so zustande gekommen sein, dass ein alter, unbrauchbar gewordener Backofen wiederverwertet wurde, indem zerstoßene, gebrannte Ofenlehmbrocken als vorteilhafte Lehmmagerung dem Ton zugesetzt wurden. Für diese Hinweise danken wir R. Meingast und H. Feiglstorfer.

424. Wir danken C. Eibner für die wertvolle Diskussion zu diesem Thema. Eine Erstbegutachtung des keramikgemagerten Tonballenbruchstücks FNr. St. 16744.4 aus V5001 durch M. Mehofer (VIAS) erbrachte keinen Hinweis auf Metallverarbeitung. Wir danken Mathias Mehofer für diese Erstbeurteilung.

425. FNr. St. 10837.1 aus V5200 vom „Bügeleisen": Hart gebrannter, runder Tonklumpen, Maße 5 x 4 x 2,5 cm (Dicke), Gewicht 30 g.

426. FNr. St. 17049.3 aus V5005 vom „Wagneracker": Braun-schwarzes Bruchstück mit scharfen Bruchflächen und einer ebenen Schaufläche, Maße: 5 x 4 x 5 cm.

427. Bönisch 2005, 453–455 und Abb. 5, 6.

428. Schnitt VI (Nord) mit Webstuhlbefund (mit 107 pyramidenstumpfförmigen Webgewichten) und zwei kugeligen Tonklumpen (Dobiat 1990, Taf. 21/B10–11; max. Dm. 16–17 cm). Datierung des Befundes: Siedlungsphase 2 bzw. Phase 1 der Sulmtalnekropole (= spätester Abschnitt der späten Urnenfelderzeit), Smolnik 1996, 453. – Dobiat 1990, 63 und Tab. 4.



Abb. 99: Studenten mit sogenannten „Wuzeln", dem Baustoff für (ungebrannte) Lehmmauern, während des experimentellen Nachbaus einer solchen Mauer in Niedersulz (Niederösterreich) im Rahmen einer Lehrveranstaltung der Universität für Bodenkultur Wien (fachliche Leitung: R. Meingast/LOPAS GmbH, H. Feiglstorfer/ÖAW, F. Ottner/BOKU; Foto: R. Meingast, Fotonr. 1712a, Veröffentlichung mit freundlicher Genehmigung von R. Meingast).

Die Lehmbaufachleute Feiglstorfer und Meingast bringen eine andere Deutungsmöglichkeit ins Spiel, die sich vor allem auf das **kindskopfgroße Stück aus V5001** (Taf. 66/3) bezieht. Ihrer Meinung nach könnte es sich dabei theoretisch auch um Baumaterial zur Errichtung **einer massiven Lehmmauer** gehandelt haben, das in ein Schadfeuer geriet und so erhalten blieb. Solche sogenannten Wuzel sind auf Abb. 99 zu sehen.

Diese Hypothese würde auf eine weitere Hausbautechnik hinauslaufen, die im späturnenfelderzeitlichen Stillfried neben der Pfostenbauweise ausgeführt worden wäre.

Exkurs: Wuzelbautechnik für massive Lehmwände (Roland Meingast und Hubert Feiglstorfer)

Definition der Wuzelbautechnik:[429]

Ein Wuzel („Båtzn", „Wuzelblock") ist ein frei und ohne Verwendung eines Models geformter Bauteil, mit welchem eine Mauer im Hausbau errichtet wird. Dafür wird ein mittelschwerer Lehm, welcher auch schwach bindig sein kann, mit Stroh oder Spreu vermengt und per Hand zu mehr oder weniger homogenen, plastischen, brotlaibähnlichen Lehmklumpen geformt. Mit dem Mauerwerk direkt auf dem gewachsenen Boden beginnend, wird eine etwa 50–80 cm dicke Mauer errichtet. Dieses Lehmmauerwerk kann direkt in einem flachen Fundamentgraben auf dem gewachsenen Boden errichtet werden, indem die noch plastischen Wuzel, neben- und übereinander ohne Mörtel platziert, zu einer geschlossenen Verbindung gebracht werden. Einige übereinander geschichtete Wuzellagen ergeben einen Satz von etwa 60 cm Höhe. Vor dem Aufbringen des nächsten Satzes folgt eine angemessene Trocknungszeit. Dabei handelt es sich um eine Technik, die noch bis ins 19. Jahrhundert, beispielsweise im ostösterreichischen und mährischen Raum, vorrangig für ländlich-bäuerliche Bauten angewendet wurde.

Es gibt eine unbekannte Vielfalt an lokalen Wuzeltechniken, unterscheidbar in der Zusammensetzung des mineralischen Rohmaterials, der Art und Menge der beigefügten Magerungsmittel und der konkreten Vorgehensweise beim Mauerbau.[430]

Die Einwirkung von Brandereignissen auf solche starken Massivlehmmauern ist sehr gering, was bedeutet, dass kaum gebrannter Hüttenlehm entsteht.[431] Dies zeigt sich an einer rezenten, massiven Lehmmauer eines Gebäudes in Frauendorf an der Schmida (Niederösterreich), wo die Spuren eines Schadfeuers als dünne, rötliche Verziegelungsschicht an der Wandoberfläche erkennbar sind (Abb. 100, 101). Die Hauswand wurde nach dem Brand einfach mit einer frischen Schicht von Lehm-Häckselputz überzogen und gekalkt, weitere Instandsetzungsarbeiten waren nicht erforderlich. Nach Aufgabe eines solchen Bauwerks zerfließen die massigen Lehmmauern langsam, sofern es kein Steinfundament gibt. Vereinzelt wurden nämlich die flachen Grundfesten rezenter Wuzelmauern direkt aus homogenisiertem Aushublehm ohne Verwendung von Steinen ausgeführt, wovon auch in Stillfried auszugehen ist. Damit besteht keine Möglichkeit eines (archäologischen) Nachweises solcher Bauten.[432] Hinweise darauf könnte nur vorbereitetes Baumaterial (die Wuzeln) erbringen, das in ein Schadfeuer geriet, als gerade an einer solchen Mauer gebaut wurde. Gebrannte Wuzel sind

429. Meingast, Feiglstorfer 2018, 50.

430. Meingast, Feiglstorfer 2018, 29, Karte 1 zeigt Belege dieser Hausbauweisen im Raum Niederösterreich, Mähren, Burgenland, welche um 1800 errichtet wurden (Wuzeltechnik und sogenannte g'setzte oder g'satzte Mäuer = Lehm-Wellerbau).

431. Der Grund liegt in der hohen Wärmeleitfähigkeit der thermisch wirksamen Masse von 70–100 cm starken Lehmmauern. – auch Knoll 2018, 24, Abb. 7.

432. Auch thematisiert von Knoll 2018, 24.



Abb. 100: In Wuzelbautechnik errichteter neuzeitlicher Massivlehmbau aus Frauendorf an der Schmida. Spuren eines Schadfeuers sind als dünne, rötliche Verziegelungsschicht an der Wandoberfläche zu erkennen (Foto: R. Meingast, Fotonr. 2670, Veröffentlichung mit freundlicher Genehmigung von R. Meingast).



Abb. 101: Nahansicht der in Wuzelbautechnik errichteten, massiven Lehmmauer aus Frauendorf an der Schmida mit den Spuren eines Schadfeuers (Foto: R. Meingast, Fotonr. 2671, Veröffentlichung mit freundlicher Genehmigung von R. Meingast).

für Bauzwecke unbrauchbar und bilden bloß Bauschutt. Bereits ausgeführte Lehmmauer-Abschnitte wären dagegen kaum vom Feuer beschädigt worden und hätten anschließend problemlos fertig gebaut werden können. Spätestens bei Aufgabe der Siedlung wären sie spurlos verschwunden.

Wenn wir nun die Wuzel-Technik als dritte mögliche Hausbautechnik parallel zu den (mehr oder weniger nachgewiesenen) Holzbauarten[433] in einer ähnlichen Errichtungsperiode betrachten, könnten folgende Umstände für deren Verwendung sprechen:

- Im Fall, dass ein schnell zu errichtendes Objekt erforderlich war.
- Wenn möglichst viele Laienarbeiter eingesetzt werden sollten.
- Wenn brandsichere Gebäudeabschnitte errichtet werden sollten (Selch-, Dörrkammer usw.).
- Weil das direkt anstehende Löß-/Lößlehm-Material verwendet werden kann, was im Vergleich zu den beiden anderen genannten Bautechniken den geringsten Transportweg hat.

Fazit: Anhand eines kindskopfförmigen, durch Schadfeuer gebrannten Tonballens (Taf. 66/3) wird eine dritte Hausbautechnik in Form dicker Lehmmauern für das späturnenfelderzeitliche Stillfried zur Diskussion gestellt. Da im Falle eines Schadenfeuers bei solch dickwandigem, luftgetrocknetem Lehmmauerwerk allerdings kein Hüttenlehm entsteht und solche Bauten ohne Fundamentsteine auskommen, sind sie archäologisch nicht nachweisbar.

3.1.5 Lehmobjekte

3.1.5.1 Hüttenlehm

Hüttenlehm als Lehmbewurf auf Flechtwerkwänden und Bauholz

Sobald Hüttenlehm (Baulehm) im Brandschutt zu finden ist, muss es sich um die Reste einer abgebrannten Wand bzw. eines Hauses handeln. Der zunächst nur luftgetrocknete Lehmverputz wurde durch das Schadfeuer gehärtet und ist dadurch erhalten geblieben.[434] Als Ausgangsmasse

433. (Pfosten)Bauten mit Flechtwerkwänden, (Pfosten)Bauten mit Wand(teilen) aus waagrechten Rundhölzern, siehe Kap. 3.1.5.1.

434. Bönisch 2005, 449.



Abb. 102: Errichtung eines Pfostenbaus mit Flechtwerkwänden und Lehmbewurf im keltischen Freilichtmuseum von Schwarzenbach (Niederösterreich). Die Person im Vordergrund ist mit Lehmstampfen beschäftigt, während die beiden anderen den Lehmverputz auftragen (Eröffnung des Museums 2005; Foto: V. Reiter, Veröffentlichung mit freundlicher Genehmigung von V. Reiter).



Abb. 103: Abdruck eines Holzbrettes oder Holzbalkens im Hüttenlehm von Stillfried, V2784 (FNr. St. 20521).

für den Lehmbewurf wurde Lößlehm[435] gewählt, weil er weit verbreitet und leicht zu verarbeiten ist. Der (beigefügte) vegetabile Anteil im Lehmverputz (Spreu und Stroh) war das am leichtesten verfügbare Mittel zur Magerung und Armierung des Ausgangsmaterials.[436]

Der größte Anteil des aus Stillfried überlieferten Hüttenlehms kommt tatsächlich aus Brandschuttschichten, welche sich meist im unteren Grubenraum befinden. Allen voran sind hier etwa 100 kg aus der mächtigen Brandschicht 20012 von **V5001** („Wagneracker") zu nennen. Weitere 8 kg Hüttenlehm sind aus **V5003** (Sign. 20018) und 9 kg aus **V5400** (Sign. 20501, „Küssleracker") überliefert, jeweils in Grubensohlennähe eingebracht. Aus praktischen Hausabbrennversuchen ist bekannt, dass sich bei einem Schadfeuer erstaunlich wenig Hüttenlehm bildet, meistens weniger als 5 % vom Gesamtlehm. Hüttenlehm hatte sich vor allem in den Bereichen unter den Vordächern gebildet, wo die Hitzeentwicklung wohl am größten war.[437] Demgemäß ist die umfangreiche Hüttenlehmmenge speziell aus V5001 sehr erstaunlich. Sie könnte als ein Hinweis auf ein besonders

435. Durch physikalische und chemische Verwitterung kann Löß verändert werden, was Einfluss auf das Ausgangsmaterial haben kann. Man spricht dann von entkalktem Löß oder häufig auch von Lößlehm. Für diesen Hinweis danken wir Franz Ottner und Roland Meingast.

436. Freundliche Mitteilung von R. Meingast.

437. Freundliche Auskunft von W. Lobisser. – Lobisser 2006, 2.

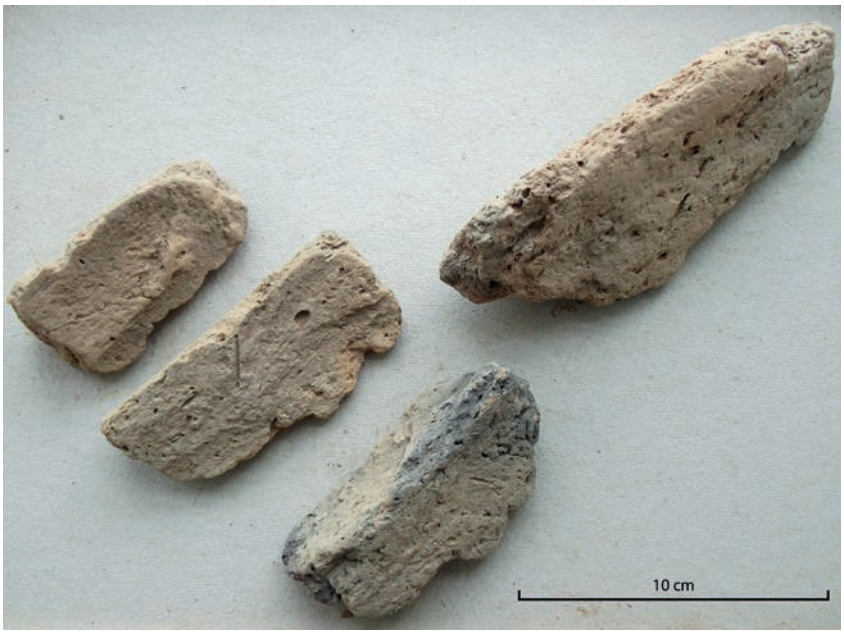


Abb. 104: Hüttenlehm mit im rechten Winkel zueinander stehenden Flächen aus V2784 vom „Hügelfeld". Die Stücke könnten Abschlusskanten von Lehmbewurf darstellen (von Fenster- oder Türöffnungen? FNr. St. 20521).

großes und sehr aufwändig verputztes bzw. ausgeschmücktes Haus gesehen werden, das abbrannte.

In den meisten Fällen zeigen die Hüttenlehmstücke Rutenabdrücke an der Rückseite (vom Wandinneren) und mehr oder weniger glatte Vorder- bzw. Schauflächen (Taf. 77/4; 80/2), wie sie typischerweise von **Pfostenbauten mit Flechtwerkwänden**[438] herrühren (Abb. 102). Farbaufträge und plastische Verzierungen sind mit Ausnahme einer Fingerrillung (Taf. 65/2 rechts) nicht zu beobachten.

Beispielhaft geben Fundposten aus V5400[439] einen Einblick in die Vielfalt des Baulehms am Standort Stillfried. Auffällig sind u. a. die **zylindrischen bis würfelförmigen Bruchstücke** mit eng liegenden Rutennegativen[440] (Taf. 81/4). Mehrfach finden sich auch **Abdrücke von Holzbalken bzw. Brettern** (Taf. 79/1–2; 65/3 und Abb. 103) und Rundhölzern[441] (Taf. 60/4 links unten; 65/3 rechts) im Baulehm. Diese Abdrücke könnten zum Teil von den senkrechten Wand- und Eckpfosten bzw. den waagrecht aufsitzenden Hölzern der Dachkonstruktion von Pfostenbauten (mit Flechtwerkwänden) herrühren.[442] Pfostengruben haben sich aufgrund späterer Geländeabtragungen (im Hoch- und Spätmittelalter) am Fundort Stillfried allerdings nicht erhalten. Besonders die zarten, **dünnen Hüttenlehmplättchen** aus V5202 (Taf. 79/1–2) lassen an eine leichte Deckenverkleidung aus lehmverschmierten Holzbrettern denken.[443]

Hüttenlehmreste mit mehr oder weniger rechtwinkelig zueinander stehenden Flächen könnten auf Wand- (oder Fenster-?)abschlüsse der Lehmauskleidung hinweisen (Taf. 60/4 rechts; 65/1 linkes Bild, rechts oben, und Abb. 104, 111).

Ein besonders **massives Hüttenlehmstück mit rechteckigem Querschnitt** (B. 9,5 cm) aus **V5001** hat sich in einer Länge von 21 cm erhalten (Taf. 11/6; 65/3). Es zeigt die Negative vielfältiger Holzbearbeitungsspuren auf engstem Raum. An der Flachseite finden sich längliche Abdrücke mit Paralleläderung in ungeordneter Lage (Taf. 65/3 Mitte). Dabei könnte es sich um Blattspreiten von Gräsern handeln, die möglicherweise in das Wandgerüst eingebracht wurden. Als mögliche Pflanzenarten kommen sowohl Süßgräser (*Poaceae*),[444] Riedgräser (*Cyperaceae*), Simsengewächse (*Juncaceae*) usw., aber auch Rohrkolbengewächse (*Typhaceae*) in Frage. Sie gehören alle zu der großen Pflanzengruppe der Gräserblütigen (*Poanae*).[445] Theoretisch könnten sich auch

438. Müller 1997. – Lindinger 2008.

439. FNrn. St. 12267.2 und 12267.4.

440. Schematische Abbildung eines solchen „Mittelstücks" bei Ďuriš 2011, Taf. 14/5.

441. Zur Kombination von Rundhölzern und Lehm siehe Ďuriš 2011, Taf. 16/6.

442. Ďuriš 2011, 106, 110, 112 und Abb. 14, 15, 20, 22.

443. Zur Rekonstruktion einer Hausdecke aus lehmverschmierten Holzbrettern siehe Ďuriš 2011, Tab. I–IX.

444. Dazu zählen neben vielen Wildgräsern auch die meisten Getreidearten (Aufbereitungsabfall/Druschreste, „Stroh").

445. Für diese detaillierten botanischen Ausführungen bedanken wir uns bei Michaela Popovtschak. Sie nennt noch weitere in Frage kommende Pflanzenarten.



Abb. 105: Hüttenlehmfunde mit dreieckigem Querschnitt sind aus unterschiedlichen Gruben belegt. Sie lassen auf verbaute Rundhölzer mit Durchmessern von nicht mehr als etwa 10 bis 12 cm schließen, die mit Hüttenlehm abgedichtet wurden (V5202, FNr. St. 10479.1).

längsgespaltene, kienspanartige Hölzer abgedrückt haben, die dem Baulehm beigefügt wurden.[446]

Besonders auffällig sind an diesem Stück die beiden auf einer Ebene befindlichen, kantigen Holzbalkenabdrücke, von denen einer spitz und der andere waagrecht abschließt (Taf. 65/3 links). Dazwischen befindet sich eine zapfenförmige Erhebung (von einer Holzausnehmung? Taf. 65/3 Mitte). Weiters findet sich ein Rundholzabdruck (Taf. 65/3 rechts). Der Durchmesser jenes Holzpfostens, der hier seinen Abdruck hinterlassen hat, lässt sich auf etwa 15 cm rekonstruieren. Dabei könnte es sich um einen senkrechten Abschluss- und/oder Eckpfosten gehandelt haben, der den Wandaufbau stützte. Zusammenfassend spricht dieses massive Baulehmbruchstück von Taf. 65/3 für ein mächtiges Gebäude, das auch aus rechteckigen Hölzern (Balken, Bretter) errichtet war, die anschließend großzügig mit Lehm verstrichen wurden.[447] Von welchem architektonischen Bereich dieses Stück konkret stammen könnte, lässt sich nicht sagen.[448]

Hüttenlehm als Lehmbewurf auf Rundholzfugen (Fugenverstrich von waagrechten(?) Rundhölzern)

Unter den Hüttenlehmposten stechen **Belege mit dreieckigem Querschnitt** heraus (V5202, Abb. 105). Sie stammen wie jene mit D-förmigem Profil[449] hauptsächlich aus den Brandschuttschichten von V5001 und V5400, sind jedoch auch vom „Bügeleisen" nachzuweisen[450] (Taf. 65/2; 66/1). Diese Funde lassen auf verbaute Rundhölzer schließen, die mit Hüttenlehm abgedichtet wurden. Unser Versuch, aus den gewölbten Negativen die Durchmesser der Rundhölzer zu ermitteln, erbrachte Werte von durchgängig nicht mehr als 11–12 cm. Demnach wurden dünne Stämme oder Äste für die Wandbildung verwendet. In einem Fall ist an der ebenen Schaufläche eine (Finger)Rillung quer zur Achsrichtung zu erkennen (Taf. 65/2 rechts). Das lässt auf eine waagrechte Balkenlage schließen, die senkrecht (an der Außen- oder Innenwand) abgestrichen bzw. verziert wurde. Bei einer senkrechten Rundholzausrichtung wäre nämlich davon auszugehen, dass in ebenfalls senkrechter Richtung händisch abgestrichen worden wäre. Ob die gesamte Wand mit Lehmbewurf versehen wurde, ist schwer zu entscheiden, aber durchaus möglich.[451]

Aufgrund der kleinen Durchmesser dieser Rundhölzer ist nicht an Blockbauweise[452] zu denken, sondern an Pfostenbauten, deren Wände (zumindest abschnittsweise) von waagrechten Rundhölzern (Riegelhölzern[453]) gebildet wurden. Deren Enden wurden am ehesten V-förmig oder auch rechteckig zugerichtet und in die senkrechten Nuten von stehenden Pfosten (Ständern) geschoben.[454] Auch diese Wandteile wurden mit Lößlehm abgedichtet, wie die vorliegenden Hüttenlehmstücke mit dreieckigem Profil verdeutlichen.

---

446. Für diesen alternativen Vorschlag danken wir Michaela Popovtschak.

447. Zur Kombination von Holz(brettern) und Lehm im urgeschichtlichen Hausbau siehe Ďuriš 2011, Taf. 9.

448. Für die Begutachtung dieses und anderer Hüttenlehmfundstücke danken wir Wolfgang Lobisser. – Siehe dazu auch Fragmente des organisch gemagerten Verputzes eines Pfostenbaus mit Flechtwerkwänden von Hohenmölsen (Sachsen-Anhalt, Späte Bronzezeit), Knoll 2018, 106 und Abb. 96; 389 und Liste 3.

449. Kap. 3.1.5.2.

450. V5400/St. 12136.2, 12115.2, 12117.5; V5202/St. 10479.1; V5203/St. 10543.1.

451. Freundliche Auskunft von W. Lobisser.

452. Blockbautechnik ist in Stillfried bei der Wallkonstruktion nachgewiesen (Holzkästen mit Erde verfüllt). – Barg 1987, 56–74. – Hellerschmid, Griebl in Druck.

453. Ein Teilstück eines solchen querliegenden Riegelholzes hat sich in der eisenzeitlichen Gewerbesiedlung am Dürrnberg (Oberösterreich) erhalten. Es zeigt einen halbkreisförmigen Umriss, was auf Holzknappheit hindeutet, Lobisser 2005, 76, 139 und Abb. 46 (L. 29 cm, B. 8,2 cm, D. 4,7 cm).

454. Für diesen wertvollen Hinweis danken wir Wolfgang Lobisser. – Lobisser 2005, 139, 143 und Abb. 76–78. Fragment eines solchen querliegenden Riegelholzes mit halbkreisförmigem Umriss: Lobisser 2005, 76 und Abb. 46 (L. 29 cm, B. 8,2 cm, D. 4,7 cm).



Abb. 106: Hüttenlehmstücke mit dreikantigem Querschnitt mit Längen von bis zu 50 cm blieben vom Fugenverstrich der (abgebrannten) Blockbauten aus dem jüngsten Abschnitt der Spätbronzezeit in der Niederlausitz (Deutschland) erhalten. Deutlich ist der Fingerverstrich in Parallelrichtung zu den liegenden (waagrechten) Rundhölzern erkennbar (aus Bönisch 2005, 462 und Abb. 9).

In der Niederlausitz (Brandenburg, Sachsen; Westpolen) treten ähnliche dreikantige Hüttenlehmstücke mit Rundholzabformungen als Fugenverstrich von Blockbauten aus dem jüngsten Abschnitt der Spätbronzezeit auf.[455] Die Siedlung Pritzen 42 (Brandenburg) erbrachte solche kennzeichnenden dreikantigen Lehmprismen mit bis zu 0,5 m(!) langen Stücken.[456] Deutlich ist daran der Fingerverstrich parallel zur Laufrichtung der Stämme zu sehen (Abb. 106).[457]

Die drei Bautechniken im Vergleich: (Pfosten)Bauten mit Flechtwerkwänden, (Pfosten)Bauten mit Wand(teilen) aus waagrechten Rundhölzern und Wuzelbautechnik für massive Lehmwände (Hubert Feiglstorfer)

Im Blickpunkt dieses Vergleichs steht die Herstellungsökonomie der drei Bautechniken:

Die **Wuzelbautechnik** ist unter den drei Bauarten jene, welche wahrscheinlich das wenigste Fachwissen abverlangt und damit durchwegs von Laien ausgeführt werden kann. Nur Wasser, Lehm und organisches Magerungsmaterial wie Dreschabfall oder andere pflanzliche Fasern sind erforderlich.

Die **Flechtwerktechnik** benötigt Fachwissen für das Setzen der Pfosten und Auflegen der Balken. Ein großer Teil der Arbeit, eben das Flechtwerk oder der Lehmbewurf, kann von Laien durchgeführt werden (Abb. 102).

Pfostenbauten mit Wand(teilen) aus waagrechten Rundhölzern:[458] Die die Wand bildenden Rundhölzer (Dm. um 12 cm) wurden am ehesten mit V-förmigen oder auch rechteckigen Enden versehen und in senkrechte Nuten der stehenden Pfosten geschoben. Diese Bauweise ist durch das Zurichten der Stämme und Äste mit Metallwerkzeugen mit einem erhöhten Herstellungsaufwand verbunden. Möglichst gerade Stämme und Äste müssen vorhanden sein, was einen erhöhten Transportaufwand bedeuten kann. Der Verbau erfordert unter den drei angeführten Techniken ein vergleichbar hohes Fachwissen im Holzbau.

3.1.5.2 Hüttenlehmartige Objekte in Schuhleistenform – Umrandungen/Einfassungen/Verzierungen?

Eine bemerkenswerte Fundgruppe sind längliche Fundgegenstände von hüttenlehmartiger Beschaffenheit. Starke vegetabile Magerung, wie sie für Hüttenlehm kennzeichnend wäre, ist allerdings nur in wenigen Fällen auszumachen (Taf. 12; 67; 82/2).

Die markantesten Beispiele stammen aus dem Brandschutt[459] der Grube **V5001** vom „Wagneracker", die an **Schuhleisten** (auch an solche von Schnabelschuhen) erinnern (Taf. 12–14; 66/2; 67–69). Weitere Objekte dieser Art kommen aus der Brandschicht[460] der Grube **V5400** vom „Küssleracker" (Taf. 81/5; 82/1; FNr. St. 12041.3).[461] Mit Längen von bis zu 31 cm, Breiten von bis zu 11,5 cm, Höhen um 8 cm und einem Gewicht zwischen 500 und 1500 g[462] liegen damit recht massive Teile vor.

Nach Rücksprache mit Fachleuten[463] ist auszuschließen, dass es sich um Schuhleisten handelt, da die Fundstücke

455. Lehm von Flechtwerkwänden hingegen vor allem in der älteren Lausitzer Kultur, Bönisch 2005, 449.

456. Von insgesamt 6 m(!) Fugenfüllung eines Blockbaus (aus der Herdstelle des Hausbefundes 60 geborgen), Bönisch 2005, 449 und Abb. 1; 462 und Abb. 8. – Bönisch 2007, 31 und Abb. 7.

457. Dies spricht dafür, dass nur diese Einbuchtungen in der Wand mit Lehm veschmiert wurden und nicht die gesamte Wand.

458. Siehe Kap. 3.1.5.1, Hüttenlehm als Lehmbewurf auf Rundholzfugen.

459. Sign. 20012.

460. Sign. 20501.

461. Bei den FNrn. St. 12041 und 12267 (Taf. 82/1) ist keine genaue Schichtzuordnung möglich.

462. FNr. St. 16371.2 aus V5001 (Taf. 69; 14/1) wiegt 1470 g.

463. Leopold Vondrus (Orthopädieschuhmacher) und Franz Schulz (Schuhmacher) aus dem Schuhmuseum in 1080 Wien, Florianigasse



Abb. 107: Entlang der hier zweimal abgebildeten rechten Seitenkante dieses schuhleistenförmigen Objekts aus V5001 (FNr. St. 16371.2) zieht sich eine Bruchlinie. Sie zeigt an, dass dieses (Architektur)Teil ursprünglich in einen flächigen Lehmbewurf eingebunden war. An seiner anderen (steilen) Seitenkante (hier nicht zu sehen) ist dagegen ein Abschluss zu vermuten. L. 31 cm, H. 7,5 cm, B. 11,5 cm. Das Gewicht dieses Teilstücks beträgt 1470 g!

keine anatomische Ähnlichkeit mit dem menschlichen Fuß haben.[464] Auch der schwache Brand und die (Holz)Abdrücke auf den Unterseiten (Taf. 68, 69) sprechen dagegen. Des Weiteren zeigen die Stücke eine schlickerartig verstrichene Oberfläche, welche an den Kanten Bruchstellen aufweist. Dies besagt, dass die Stücke nicht für sich standen, sondern in ein größeres (architektonisches?) Ganzes eingebunden waren.

Im Profil des vegetabil gemagerten Stücks von Taf. 12 und 67 zeigt sich ein flacher und ein steiler Schenkel. Entlang der rechten[465] – flacheren – Seitenkante zieht eine Bruchkante, wo das Stück offensichtlich aus seinem Zusammenhang herausgebrochen ist. Entlang der anderen, steileren Kante ist hingegen ein Abschluss zu vermuten. Gleiches ist am Stück von Taf. 14/1 und 69 zu beobachten, nämlich eine Bruchlinie entlang der flacher abfallenden – ebenfalls rechten – Seitenkante und ein Abschluss an der zweiten (steilen) Längskante (Abb. 107 und Taf. 69 Mitte). Beim dritten Stück zeichnen sich im Profil ebenso unterschiedlich geneigte Schenkel ab (Taf. 13, 68). In diesem Fall wirken allerdings beide Längskanten ausgebrochen.

Beim vegetabil gemagerten Exemplar von Taf. 67 sind sowohl die Ober- als auch die Unterseite („Sohle“) geglättet bzw. geschlickert worden. Bei den anderen beiden Stücken (Taf. 68, 69) zeigen die Oberseiten (Schauflächen) eine solche Behandlung, während die Unterseiten (Auflageflächen) grob belassen sind und kantige Abdrücke aufweisen (von Holzbalken/-brettern?).

Als Deutung werden offene **Einfassungen, Abschlüsse oder Verzierungen** von **baulichen Details der Lehmarchitektur eines Gebäudes** vorgeschlagen, die oberflächlich durch schlickerartigen Lehmbewurf verbunden sind. Aufgrund des großen Gewichts (bis zu 1,5 kg) erscheint eine waagrecht aufliegende Position dieser Stücke naheliegend, wiewohl dies nicht zwingend ist. Wir gehen davon aus, dass die Stücke ungebrannt in Verwendung standen und erst durch das Schadfeuer erhalten blieben (wie Hüttenlehm). So der Abdruck auf der Unterseite von Taf. 13 und 68 von einem entrindeten Holzblockbalken stammt, könnte hier das Bruchstück eines Gesimses vorliegen, das an einem witterungsgeschützten Ort (unter einem Dachvorsprung?) angebracht war.[466] Bei Taf. 14/1 und 69 ist ebenso an ein Gesimseteil[467] zu denken. Genauso wäre es möglich, dass das Teil als vorbereiteter Baustoff auf einem Holzbrett lag und, noch ehe es an die ihm zugedachte Lage gebracht werden konnte, ins Schadfeuer gelangte.

66 (betrieben vom Verein zur Förderung des Schuhmacherhandwerkes, Rudolf-Sallinger-Platz 1, 1030 Wien), Besuch vom 12.6.2018.

464. Es fehlt zum einen die Anhebung im Ristbereich, zum anderen weisen alle Stücke keinen hinteren (Fersen)Abschluss auf, zu urgeschichtlichen (hallstattzeitlichen) Schnabelschuhleisten siehe: Neugebauer 1980.

465. Bei den folgenden Beschreibungen befindet sich die („Schuh“-) Spitze jeweils vorne.

466. Für die freundliche Stellungnahme zu unseren Befunden danken wir den Lehmbaufachmännern Roland Meingast und Hubert Feiglstorfer.

467. Möglicherweise ist bei diesem Stück ein Aufbau aus länglichen Einzelteilen (kleinen Wuzeln) zu erkennen, die gegen eine Konstruktion gedrückt und geformt wurden, freundliche Auskunft von R. Meingast.



Abb. 108: Das flache, D-förmige Bruchstück aus V5400 lässt an der Unterseite möglicherweise Abdrücke einer Flechtwerkmatte erkennen (FNr. St. 12049.11).



Abb. 109: Dieses unvollständige Lehmobjekt mit D-förmigem Querschnitt verläuft an der Unterseite (oberes Bild) schwach gewölbt einziehend (FNr. St. 20521, V2784).

Ähnliche Bruchstücke mit zwei abgebrochenen Enden (ohne „Schuhspitze“) haben wir als **Objekte mit D-förmigem Querschnitt** zusammengefasst. Ihre Unterseiten („Sohlen“) sind ebenfalls meist eben, wobei sich am Beleg von Taf. 81/5 (Mitte) aus V5400 möglicherweise Flechtwerkabdrücke erhalten haben (Abb. 108).

Andere Beispiele **mit D-förmigem Querschnitt** zeigen eine **unebene Unterseite** (Taf. 66/2 links; 81/5 links und rechts; 82/1). Sie wirken aus dem Zusammenhang gerissen, was durch die beiden dunkel gefärbten Unterseiten von Taf. 81/5 noch unterstrichen wird. Meist zeigt sich eine schwache bis deutliche Krümmung (Taf. 66/2; 82/1). Es ist gut vorstellbar, dass diese Funde einst Bestandteil einer **geschlossenen (Herd?)Einfassung** waren, ähnlich wie sie von der zeitgleichen Wallanlage von Brno-Obřany nachgewiesen sind (Abb. 110). An diesem mit Stillfried gut vergleichbaren Fundplatz haben sich zahlreiche hügelförmig erhöhte Herdbefunde aus Lehm/Löß in den Grubenhäusern erhalten. Diese kegelstumpfförmigen Feuerstellen mit Durchmessern von bis zu 1,20 m zeigen Einfassungen mit gerundeten oder gekanteten Abschlüssen.[468] Eine u-förmig gewölbte Tonleiste, die möglicherweise Bestandteil von Lehmarchitektur war, liegt von Brno-Obřany ebenfalls vor.[469]

Das stark vegetabil gemagerte Bruchstück von Taf. 82/2 mit auffälliger Ausstreichung hat möglicherweise ursprünglich ein aufragendes (Holz)Bauelement mit seiner Auflagefläche (dem Boden?) verbunden.

Weitere Architekturbelege **mit D-förmigem Querschnitt** zeigen einen **nach innen gewölbten Verlauf der Standfläche** (Taf. 60/4 links und Abb. 109, beide aus V2784). Sie wurden offensichtlich auf eine gerundete Unterlage gesetzt, vermutlich auf einen (waagrechten?) Holzpfosten. Diese beiden Beispiele aus V2784 stammen wie die Stücke von V5001 und 5400 aus einer mächtigen Brand-

468. Z. B. Adámek 1961, 196, Obj. 74 und Abb. 70, 72, 73.

469. Stark gebogen mit D-förmigem Querschnitt, Adámek 1961, 197 und Taf. 16/3 (ohne Maßstab), Obj. 28.

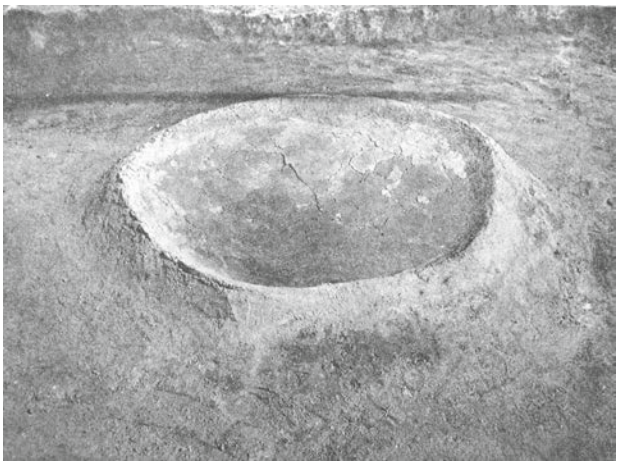


Abb. 110: Solche kegelstumpfförmig erhöhten Herdstellen haben sich in den Ha B-zeitlichen Grubenhäusern von Brno-Obřany erhalten. Den Abschluss bilden erhöhte Einfassungen mit spitzwinkeligem oder gerundetem Querschnitt (aus Adámek 1961, Abb. 73).

schuttschicht im unteren Grubenbereich.[470] Während über die Befunddeutung von V5001 und 5400 – ob profan oder kultisch – zu diskutieren ist, gehen wir bei V2784 aufgrund der Vielfalt der auffälligen Funde von einem kultisch-rituellen Hintergrund aus.[471]

Eine ganze Reihe länglicher Bruchstücke mit D-förmigem Querschnitt zeigte sich in Siedlungsgruben des heutigen Tschechiens und der Slowakei. Sie datieren großteils in die mittlere, aber auch in die späte Bronzezeit.[472] Von Levice-Géňa (Südwestslowakei) liegen aus Grube 9 eine große Zahl deutlich kleinerer, rippenartiger Bruchstücke vor (mittlere Bronzezeit bis ältere Urnenfelderzeit).[473] Gut ersichtlich ist in den meisten Fällen, dass diese Leisten nicht für sich allein standen, sondern in ein stuckartiges Gesamtkunstwerk eingebunden waren, ähnlich wie wir es für die Stillfrieder Stücke annehmen.[474] Aus der etwa 200 m entfernten, zeitgleichen Grube 11 von Levice-Géňa wurde beeindruckender, plastisch verzierter Hüttenlehm mit zipfelförmigen Abschlüssen und gerippten Rinderhornfortsätzen von deutlich größeren Ausmaßen geborgen. Sie werden als Giebelzier gedeutet, wobei die plattenartigen Stücke entweder mit der ganzen Rückseite oder nur zum Teil mit hölzernem Untergrund verbunden waren, wie Petra Kmeťová, Katarína Hladíková und Miloš Gregor ausführen.[475] Die Kernbereiche dieses aufwändigen, stuckartigen Dekors zeigen schwache Feuereinwirkung, was sehr wahrscheinlich absichtsvoll im Zuge der Herstellung geschah.[476] Anders bei den kleinen „Rippen" aus Grube 9. Diese waren Temperaturen von etwa 700 bis über 1000 Grad Celsius ausgesetzt und gelangten demnach eindeutig in ein Schadfeuer.

Auch alle weiteren Vergleichsfunde stammen aus Sekundärlagen (in Gruben). So wurden ganz ähnliche Funde wie in Levice-Géňa in mittelbronzezeitlichen Gruben von Maissau (Niederösterreich) zusammen mit beweglichen Kultgegenständen geborgen.[477] Am wahrscheinlichsten erscheint, dass dort das Inventar eines abgebrannten Kultgebäudes entsorgt wurde. Darunter finden sich auch einzelne, gerade bis schwach gebogene Wülste mit rechteckigen bis trapezförmigen Querschnitten, die eine gewisse Ähnlichkeit mit den Stillfrieder Stücken zeigen. Sie werden als ehemalige Tür- oder Fenstereinrahmungen gedeutet.[478] Entsprechende Hausrekonstruktionen mit Herdstelleneinfassungen geben eine Vorstellung vom einstigen Aussehen solcher Gebäude[479] (Abb. 111).

Weitere größenmäßig gut vergleichbare Objekte in Schuhleistenform kommen aus der spätneolithischen Siedlung in Balatonőszöd im heutigen Ungarn[480] (Abb. 112). Sie stammen aus einem Grubenverband unweit von Haus 38, der fast ausschließlich mit verbrannten, strohgemagerten Hüttenlehmfragmenten gefüllt war. Allein das Gesamtgewicht der Bruchstücke mit Abdrücken beträgt bereits 120 kg.[481] Darunter sind auch Stücke mit gewölbt einziehender Auflagefläche, ganz ähnlich den Stillfrieder Stücken von Taf. 60/4 (links) und Abb. 109. Sie werden als gesimsartiger Lehmbewurf an der Außenseite von Eckpfosten der Häuser rekonstruiert[482] (Abb. 113). Der Lehmbewurf besteht demnach aus zwei Lagen, einem inneren und einem äußeren Anwurf, der noch mit Fingern längsgeglättet wurde. Besonders diese äußere, abgerundete (Zier)Auflage ähnelt unseren

470. Sign. 00328.

471. Siehe auch Kap. 2.2.1.4 und Kap. 7.2. – Hellerschmid, Griebl in Vorbereitung.

472. Zusammengefasst von Knoll 2018, 318–319 und Abb. 318–319.

473. Kmeťová, Hladíková, Gregor 2010, 150 und Abb. 7, gerade und gekrümmte Stücke mit Breiten zwischen 2 und 3,5 cm, L. bis 8 cm, Höhen bis 3 cm.

474. Kmeťová, Hladíková, Gregor 2010, 148 und Abb. 6/1.

475. Kmeťová, Hladíková, Gregor 2010, 146, 148 und Abb. 5, 6; L. bis 25 cm, Höhen bis 8 cm.

476. Kmeťová, Hladíková, Gregor 2010, 160.

477. Stuckartige Wulstauflagen, (Rinder)hornartige Fortsätze sowie verzierter und bemalter Lehmverputz, Schmitsberger 2009, 485 und Abb. 48, Obj. 1227 und 1864.

478. Schmitsberger 2009, 486 und Abb. 48/4.

479. Teilweise mit stuckverzierten Hausfronten, Kmeťová, Hladíková, Gregor 2010, 152 und Abb. 8.

480. Horváth et al. 2007, 73 und Abb. 15/14 (Anwurffragmente mit Pfostenabdruck).

481. Horváth et al. 2007, 76.

482. Horváth et al. 2007, 73 und Abb. 17/11.

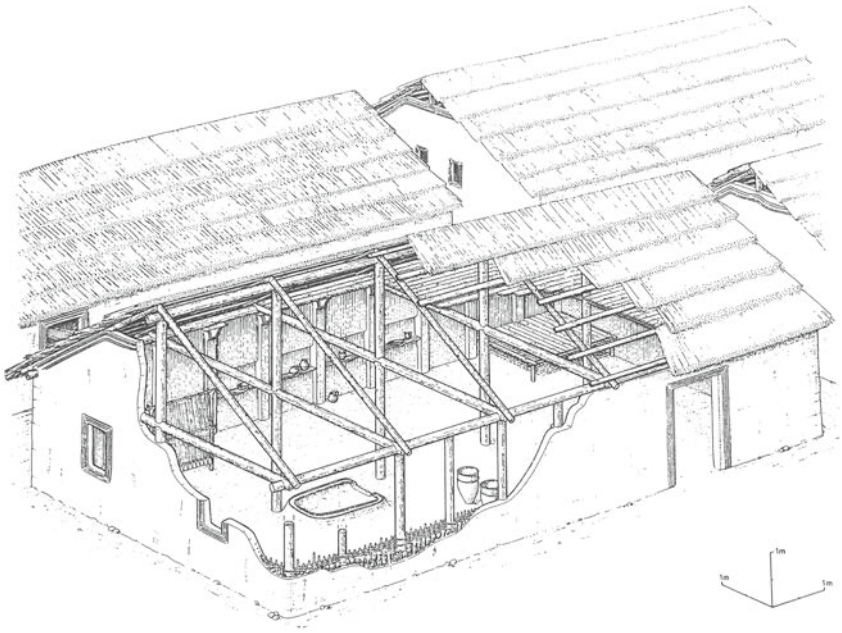


Abb. 111: Rekonstruktion eines bronzezeitlichen Hauses aus Mošorin-Feudvar (Serbien) mit lehmverputzten Flechtwerkwänden samt Herdstelleneinfassung (Dat. Bz B1–C1, aus Hänsel, Medović 1991, 77 und Abb. 11).

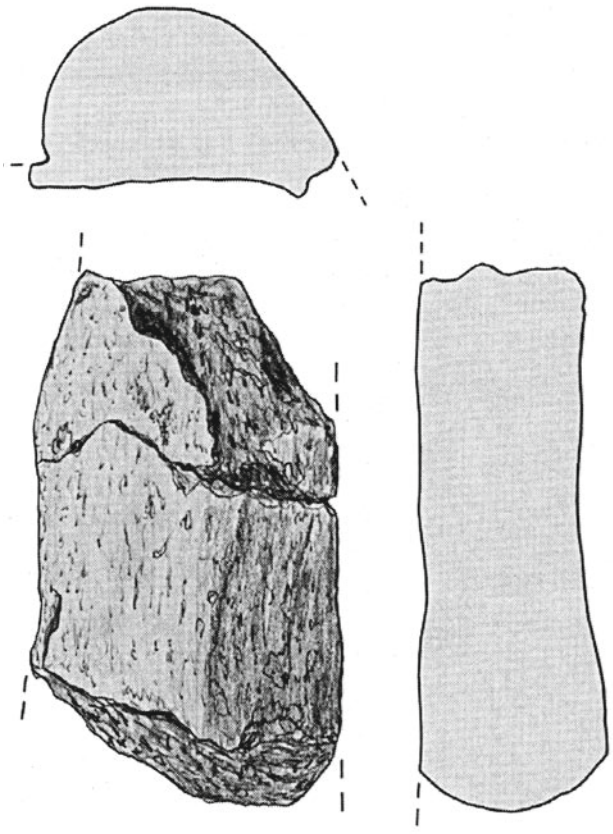


Abb. 112: Hüttenlehmbruchstück mit möglichem Pfostenabdruck an der flachen Unterseite aus der spätneolithischen Siedlung Balatonőszöd in Ungarn, L. 16 cm, B. 9 cm, St. 5 cm. Das Stück kommt form- und größenmäßig unseren Objekten in Schuhleistenform sehr nahe (aus Horváth et al. 2007, Abb. 15/14).

Funden mit gewölbt einziehender Standfläche (Taf. 60/4 links und Abb. 109). Das Anhaften des schweren Maueranwurfs wird so erklärt, dass er auf ungeschälten (senkrechten) Holzpfosten aufgebracht wurde, was den nötigen Halt gab. Der rekonstruierte Durchmesser des Längspfostens beträgt etwa 15 cm, was genau dem Abdruck am Stillfrieder Stück von Taf. 65/3 entspricht (Kap. 3.1.5.1 Hüttenlehm als Lehmbewurf auf Flechtwerkwänden und Bauholz).

3.1.5.3 Herdplatten

Intensiv orange-rötlich gebrannte Lehmplattenbruchstücke aus sehr einheitlichem Ausgangsmaterial (ohne erkennbarem Magerungsanteil) werden als Überreste der ebenerdigen Kochstellen gedeutet. Die unebenen Rückseiten zeigen an, dass sie direkt am Erdboden aufgelegen sind und in den Lehmestrich eingelassen wurden. Kennzeichnend ist ein weißer Anstrich auf ihren planen und glatten Oberflächen. So weisen von den sechs bzw. sieben neu aufgenommenen Herdplattenfragmenten drei bzw. vier weiße Bemalung(sreste) auf (Abb. 114). Bei Taf. 22/3 und 74/5 aus V5006 reichen diese Farbspuren belagartig über die Bruchkante in die Bruchfläche hinein, was auf eine alte Zerstückelung der Kochstelle hindeutet (Taf. 74/5 unten). Untersuchungen haben gezeigt, dass es sich bei den weißen Anstrichen großteils um Kalk handelt, dem eine desinfizierende Wirkung zugeschrieben wird.[483]

483. Knoll 2018, 239.

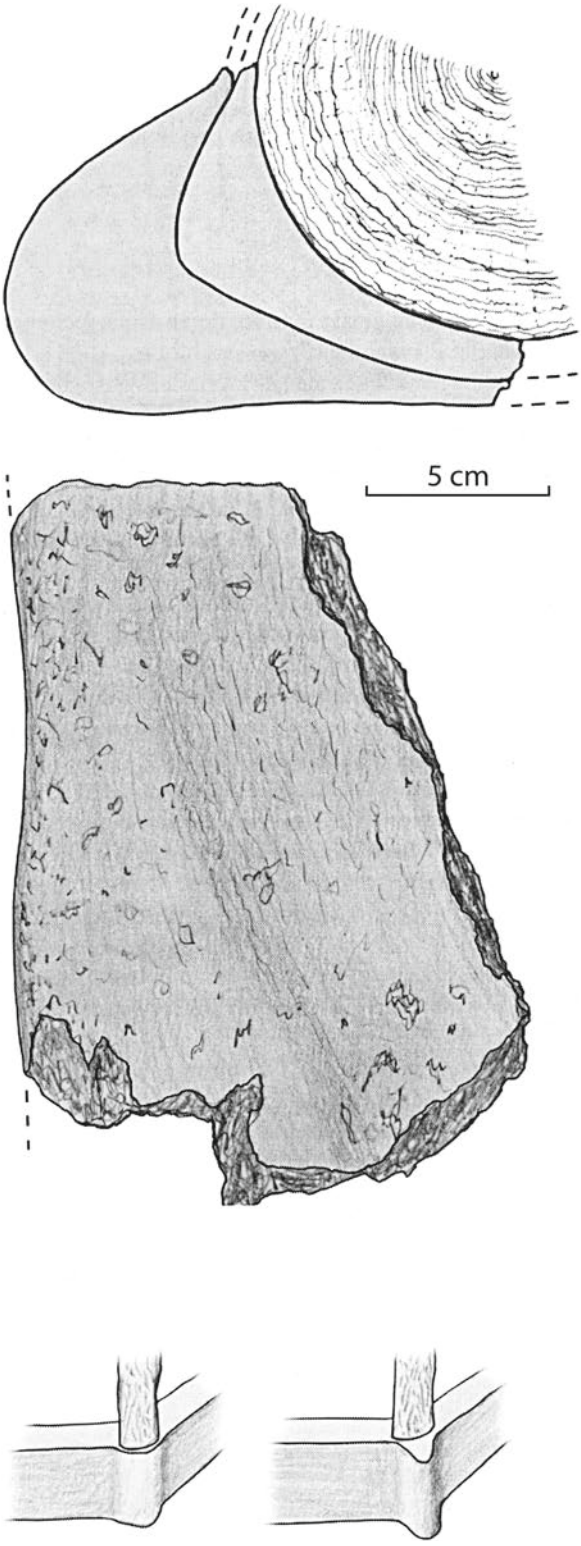


Abb. 113: Hüttenlehmfragment aus der spätneolithischen Siedlung Balatonőszöd in Ungarn, L. 18,5 cm, B. 15 cm, St. 8,5 cm. Solche Bruchstücke werden als gesimsartiger Anwurf der Eckpfosten der Häuser gedeutet, mit welchem diese betont bzw. herausgestrichen worden sein könnten. Sie ähneln unseren Objekten mit D-förmigem Querschnitt und konkaver Standfläche (aus Horváth et al. 2007, 73 und Abb. 17/11).



Abb. 114: Das Herdplattenbruchstück aus V5005 (FNr. St. 17054.4) zeigt auf der glatten Oberseite weiße Bemalung.



Abb. 115: Das stark abgerundete Herdplattenstück aus V5400 (FNr. St. 12049.13) weist an der Oberseite zwei bzw. drei flache, breite Riefen auf. Seine geringe Höhe und die glatte Rückseite sind ungewöhnlich. Das Stück geriet wahrscheinlich in ein Schadfeuer.

Das Stück von Taf. 74/5 zeigt auch eine Verzierung (oder Abgrenzung?) in Form zweier konzentrischer Riefen, welche wohl mit dem Finger in den noch weichen Ton gedrückt wurden. Auf der Rückseite zeichnet sich eine Kämmung ab, worin ein technisches Detail der Herstellung dieser Platte zu vermuten ist (Taf. 74/5 Mitte). Seichte Riefen finden sich auch am flachen Bruchstück FNr. St. 12049.13 (Abb. 115). Dieses stark verrundete Stück mit ungewöhnlich glatter Rückseite geriet möglicherweise in ein Schadfeuer.

Herdplatten mit konzentrischen, gerieften Einfassungen sind in urnenfelderzeitlichen Zusammenhängen in Originallage erhalten.[484] Aufwändiger Dekor (eingetiefte

484. Zusammengestellt von Knoll 2018, 328 und Abb. 329; 400 und Liste 10.



Abb. 116: Tondüse mit plastischer Verzierung in Aktion bei Versuchen des Forschungszentrums HiMAT. Gebogene Tondüsen eignen sich für „sekundäre“ metallurgische Vorgänge, wie der Weiterverarbeitung von Bronze (Foto: U. Töchterle 2010, Institut für Archäologien, FZ HiMAT, Universität Innsbruck, Fotonr. DSC_0335; Veröffentlichung mit freundlicher Genehmigung von U. Töchterle).



Abb. 117: Messergussform aus Sandstein (FNr. St. 4160, V417) vom „Hügelfeld“ sowie passendes Griffdornmesser (FNr. St. 6733) aus dem Brandgräberfeld von Stillfried, Grab 38 (Foto: F. Ostmann, OREA/ÖAW).

Spiralen, Winkel, Mäander) ist aus früheisenzeitlichen Siedlungen bekannt, wo sie wohl als Prunkherde bzw. Altarplatten in besonderer (kultischer) Verwendung standen.[485]

3.2 Metallhandwerk

3.2.1 Nachweise von Metallhandwerk

In zehn der insgesamt 94 untersuchten Gruben findet sich Zubehör des Metallhandwerks (Abb. 433, Spalte „Metallhandwerk“, und Abb. 118). Es belegt Metallverarbeitung am Fundplatz, was am Zentralort Stillfried grundsätzlich nicht weiter überrascht. Unter den zehn Belegen sind drei Gruben mit Tier- bzw. Menschendepositionen (V841, V479, V2784) vertreten, deren Anteil damit über dem Durchschnitt liegt.

Konkret haben sich zwei **Tondüsenbruchstücke** in den Gruben V119 und V198 gefunden. Es handelt sich jeweils um zwei größere Fragmente, die bereits 2006 von Penz vorgestellt wurden und vermutlich zum selben Stück gehören (Taf. 36/3–4).[486] Die beiden Gruben lagen 56 m(!) voneinander entfernt. In einem Fall liegt der Anschlussbereich zum Blasebalg mit erhaltenem Randabschluss vor (Taf. 36/3). Es handelte sich wohl um einen Lederbalg, der beim Loch und vermittels des Grifflappens unterhalb des Randes befestigt wurde. Das zweite Bruchstück (Mittelstück, Taf. 36/4) stammt vom unteren Düsenende, das sich nach vorne (zum Feuer hin) verschmälert. Dadurch wird der im Balg erzeugte Luftstrom nach vorne gepresst. Die im rechten Winkel gekrümmte Düse führt die Luft zur Ofenanlage oder in den Schmelztiegel (Abb. 116).[487] Wie Untersuchungen von Ulrike Töchterle et al. 2013 zeigen, sind gebogene Tondüsen mit „sekundären“ metallurgischen Prozessen wie der Weiterverarbeitung von Kupfer und Bronze mit Luftzufuhr von oben in Verbindung zu bringen.[488] Die Kerbleistenzier, die sowohl auf der nachgebauten Tondüse (Abb. 116) als auch auf den Stillfrieder Stücken angebracht wurde, spricht für eine sinnbildhafte Andeutung eines Pferdekopfes mit Mähne und Augen. Das Einziehen und Verdichten der Luft im Blasebalg erzeugt ein „Schnaufen“, worin ein „belebtes Objekt“ erkannt werden kann.[489] Ein weiteres vergleichbares Bruchstück einer Tondüse mit Kerbleistenzier konnte in Grube V5200 (Taf. 26/4; 78/1) vom „Bügeleisen“ geborgen werden.

Bei den kurzen, röhrenförmigen Fundstücken wie FNrn. St. 1022/V29, St. 4009/V198, St. 5291/V523 und St. 13236/V841[490] handelt es sich vermutlich um über Blasrohre betriebene Düsen, wie sie bereits seit der Frühbronzezeit in

485. Griebl 1997, 61 und Taf. 93/3–4, 11.

486. FNrn. St. 2897 und St. 13998: Penz 2006, 348 und Taf. 9.

487. Rekonstruktionsversuche: Ambs, Wischenbarth 1990, 270–271 und Abb. 11. – Fasnacht 1998, 238 und Abb. 107. – Töchterle et al. 2013.

488. Gerade Tondüsen kommen dagegen ausschließlich an Schmelzplätzen oder im unmittelbaren Umfeld der Kupferbergbaureviere vor. Auch Verweise auf ethnographische Quellen: Töchterle et al. 2013, 7.

489. Töchterle et al. 2013, 6.

490. Penz 2006, Taf. 1/6; 8/7; 14/2; 26/2.

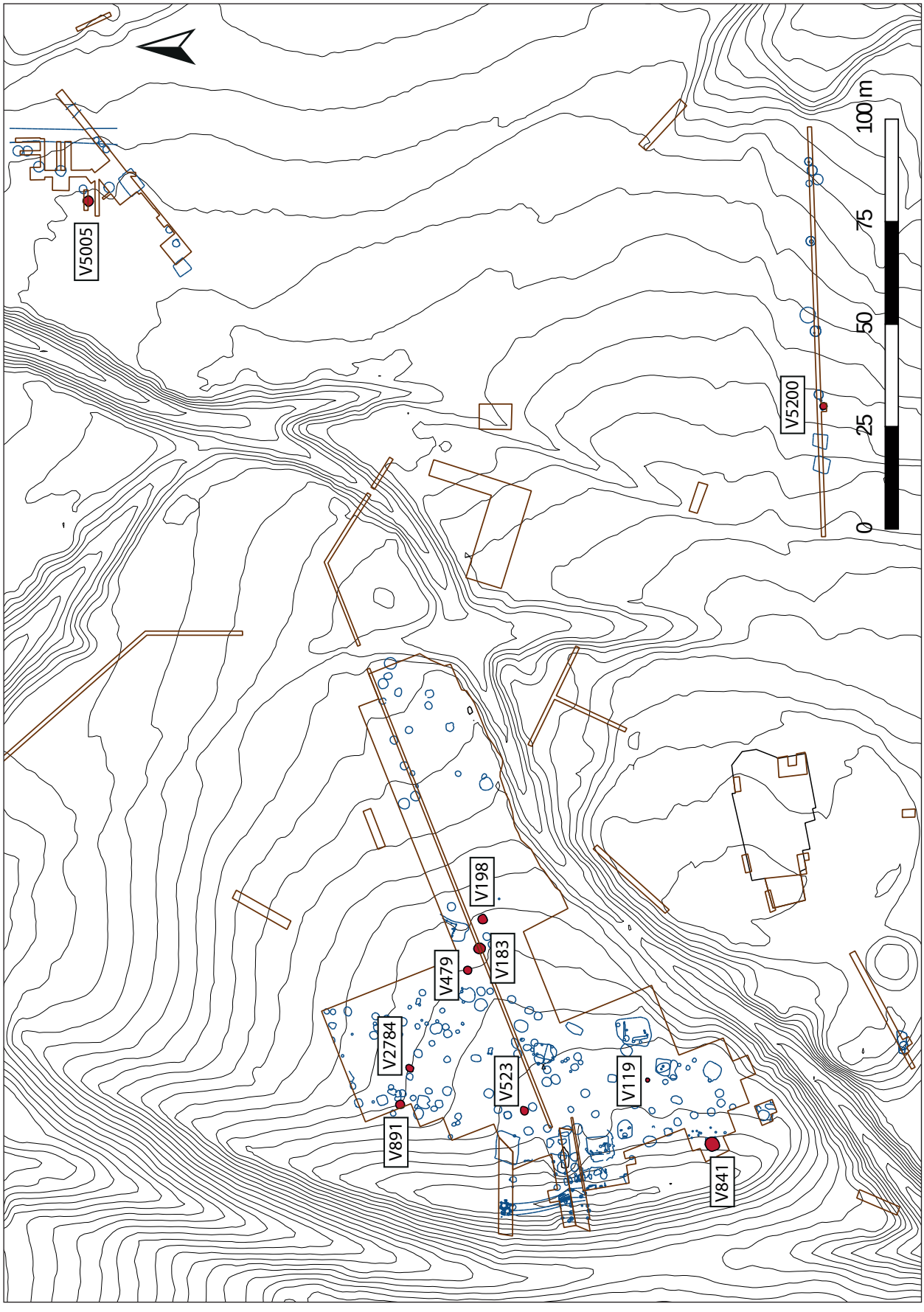


Abb. 118: Kartierung der Befunde, die Objekte des Metallhandwerks erbrachten.

Verwendung waren. Die größeren Tondüsen kamen dagegen erst seit der ausgehenden Frühbronzezeit bzw. beginnenden mittleren Bronzezeit im Zuge einer Entwicklung von leistungsfähigeren Blasebälgen zum Einsatz.[491]

Darüber hinaus zeugen **Gussformen** von der Metallverarbeitung vor Ort. Herausragend ist eine vollständig erhaltene, zweischalige Gussform aus Sandstein für eine Tüllenlanzenspitze aus dem späturnenfelderzeitlichen Grubenhaus V591.[492] Weitere Gussformbruchstücke aus Sandstein stammen aus dem Fundverband mit den 23 Skeletten von V841,[493] der Grube V891 (Taf. 2/3; 51/3) sowie aus V5005 vom „Wagneracker" (Gussform für ein Tüllenbeil, Taf. 21/6; 73/2). Auch aus einer mittelalterlichen Grube im Osten des „Hügelfelds" (V417) konnte eine urnenfelderzeitliche Messergussform geborgen werden. Ein vielleicht aus dieser Form gefertigtes, genau passendes Griffdornmesser wurde im Brandgräberfeld von Stillfried (Grab 38)[494] gefunden (Abb. 117).

Gusskerne aus Befunden am „Hügelfeld" sind sowohl aus (Quarz)Sandstein (2-mal) als auch aus Keramik (2-mal) bekannt. Ein Exemplar stammt jeweils aus den Gruben V29 und V198 sowie zwei Stücke aus V183.[495] Die langschmalen Kegel hatten die Aufgabe, beim Guss den Hohlraum für die Schäftung auszusparen (z. B. bei Lanzenspitzen oder Tüllenbeilen).[496] Waagrechte und schräge Ritzmarkungen sowie beidseitige, leichte Eindellungen des Randes dürften angezeigt haben, wie weit und in welcher Stellung der Kern in den Gussmodel zu stecken war (sog. Kernguss).[497]

Mehrere kleinere Bronzefragmente deuten auf Abfall hin, der beim Guss entstand.[498] Aus dem Bronzehort von V2784 stammen zudem zwei kleinere, fladenförmige **Gussklumpen** (Taf. 61), die Penz als Tiegelgussreste interpretiert.[499] In der gleichen Grube wurde zudem ein Verband von **Arbeitssteinen** gefunden, der möglicherweise zur Metallverarbeitung, wie zum Treiben von Blech oder Draht, verwendet wurde (Taf. 62; 63/1;[500] Kap. 3.5.3). Ein Reibplatten-Läufer (Taf. 50/3) aus Grube V841 könnte nach Michael Brandl und Maria M. Martinez als Amboss (Unterlagstein) in sekundärer Verwendung gestanden sein.[501] Diese Aufgabe könnte auch der säulenförmige Sandstein („Elefantenfuß") aus V479 erfüllt haben (Taf. 40/3–4).[502]

Alles in allem deuten die Stillfrieder Funde auf sekundäre metallurgische Prozesse, also auf die Weiterverarbeitung von Buntmetall zu Gegenständen. Mit Tondüsen und zugehörigen Blasbälgen erreichte man eine Beschleunigung des Schmelzvorganges. Sowohl der Schalenguss als auch der Kernguss können nachgewiesen werden. Weitere Werkzeuge wie Ambosse und Schlagsteine sprechen darüber hinaus für Treibarbeiten von Metallblech.

Funde, die auf Metallverarbeitung hinweisen, konnten sowohl auf der Grabungsstelle „Hügelfeld" als auch am „Wagneracker" und am „Bügeleisen" geborgen werden (Abb. 118). Konzentrationen, die auf ein Metallhandwerkareal hinweisen könnten, sind nicht feststellbar. Allerdings wurden in manchen Befunden gleich mehrere Zubehörnachweise für Metallverarbeitung gefunden (V183: zwei Gusskerne; V198: Tondüsenfragment, Gusskern; V841: Gussform, Gussabfälle, Tondüse; V2784: Verband aus vier Arbeitssteinen).

3.2.2 Bronzefunde

Fundgegenstände aus Bronze stammen aus 26 der 94 Gruben, welche sich relativ gleichmäßig über alle untersuchten Grabungsflächen verteilen. Auffällig ist der hohe Anteil an Gruben mit Tier- oder Menschenniederlegungen, was bereits bei den Nachweisen von Metallhandwerkszubehör zu beobachten war. In mehr als jeder zweiten dieser Gruben fanden sich Objekte aus Bronze (V67, V195, V445, V628, V643, V841, V1140, V1141, V2684, V2784, V5000, V5001). Bei den Menschenniederlegungen handelt es sich hauptsächlich um **Trachtgegenstände**, die meist in direkter Verbindung mit einem Körper/Skelett standen. Vorwiegend waren das Drahtspiralringe (Lockenringe?) im Kopfbereich, Fingerringe und kleine Ringlein von Bronzeketten (V1141: Spiralringe und Ringlein bei SK4 und SK5 sowie Spiralringe und Fingerring bei SK3[503]; V841: Ringlein unter dem Kopf von SK8[504] sowie über Skelettlage 2[505]) sowie in einem Fall eine Kette aus Bronzeringen mit einer Wolfskralle.[506] Im Verhältnis zur Anzahl

491. Töchterle et al. 2013, 4–6.
492. Penz 2006, Taf. 18/3.
493. Penz 2006, Taf. 25/4.
494. Grab 38, Kaus 1984, 159 und Taf. 37/38b.
495. Penz 2006, 349 und Taf. 1/7; 7/6–7; 8/8.
496. Wanzek 1989, 53. – Bildlich veranschaulicht bei Puttkammer 2007a, 66.
497. Mündliche Auskunft von M. Konrad.
498. Penz 2006, 348 und Taf. 25/6, 8.
499. Penz 2006, 351 und Taf. 22/3–4.
500. Brandl, Martinez in Vorbereitung, Analysenummern 1, 8–10.
501. Brandl, Martinez in Vorbereitung, Analysenr. 15.
502. Griebl, Hellerschmid 2015, Abb. 9. – Brandl, Martinez in Vorbereitung, Analysenr. 12.
503. Eibner 1980, Taf. 52/2–4.
504. Penz 2006, Taf. 25/3.
505. Penz 2006, Taf. 25/9.
506. In V1141 über der Skelettlage. – Eibner 1980, Taf. 52/1.

der menschlichen Körper ist die Zahl der Trachtbestandteile allerdings niedrig. Vor allem in **V841** konnten bis auf die wenigen Ringlein keine weiteren Schmuck- bzw. Trachtgegenstände geborgen werden. Die aktuellen Untersuchungen erbrachten allerdings grüne Flecken an einigen Schädeln dieser Massenbestattung,[507] woraus auf bronzenen Haar- bzw. Ohrschmuck geschlossen werden kann. Die Stücke dürften besonders dünn oder klein gewesen und zerfallen sein, da keines geborgen werden konnte. Zudem ist auf einem plattigen Gneis aus der Beckengegend von SK14 ein grüner, kupferhältiger Abdruck (Taf. 50/1) zu erkennen, der auf einen anhaftenden (vergangenen) Bronzegegenstand weist.[508] Auch auf Rinderknochen von V1141, die in einem Aschehügel unterhalb der Skelette lagen, sind deutliche, grünliche Abdrücke von angelagerten (vergangenen) Kupfer-/Bronzegegenständen sichtbar (Taf. 60/2). Sie wurden sehr wahrscheinlich absichtsvoll beigefügt.

Einen ganzen Satz an Gebrauchsgegenständen trug der Mann SK1 von V841 wahrscheinlich in einem (Leder?)Beutel am Gürtel, als er zu Tode kam. Erhalten haben sich das bronzene **Griffangelmesser** samt Schleifstein, drei bronzene **Angelhaken** und ein Bronzeringlein (Taf. 51/1).

In V5000 befand sich eine **bronzene Spitze**[509] unmittelbar neben dem abgelegten Schädel FNr. St. 16029 (Abb. 390, grüner Strich). Auch in den Gruben mit Tierniederlegungen kam zum Teil mehr als ein Bronzegegenstand zum Vorschein (V195: Bronzeringlein und Angelhaken[510]). In manchen Fällen ist auch hier ein Bezug zwischen den Metallobjekten und den Kadavern festzustellen. So lag in V628 ein Bronzeniet beim Hirschschädel (Taf. 42/5) und ein weiterer bei der auf der Sohle abgelegten Hirschgeweihstange. Besonders deutlich ist die Verbindung bei der Hirschkuh in V1140, die einen menschenförmigen Geweihanhänger mit einem Bronzering (Taf. 59/2) vermutlich an einer Schnur um den Hals trug. Ein weiterer Bronzering wurde in der Schicht darüber gefunden. Erwähnenswert ist außerdem ein bronzenes Griffangelmesser (Taf. 39/3), das aus einer fundreichen Schicht über dem menschlichen Schädel und den Ferkelkadavern in V445 stammt. Der **Bronzehort** in V2784[511] (2 Gussklumpen, 2 Tüllenbeile, 8 Armreifen, 1 Armring, 1 Spiralarmreif, 2 Harfenfibeln, 2 große und 2 kleine Brillenfibeln; Taf. 61) war unter der Grubensohle versteckt worden, wo er nur zufällig entdeckt wurde. Das lässt vermuten, dass auch am Zentralort Stillfried (viel) mehr Bronzemasse in den Boden gelangte, als gefunden wurde. Milan Salaš konnte für Mähren aufzeigen, dass meist deutlich mehr als zwei Depots je Höhenanlage bekannt geworden sind, welche nicht nur auf der Hochfläche, sondern auch an den Hängen gefunden wurden.[512]

In den restlichen Gruben mit Tierniederlegungen wurden hauptsächlich kleinere **Bronzeniete** und sonstige Bruchstücke entdeckt (z. B. Taf. 43/2). Aus V2784 stammt zudem ein vollständiger Unterlieger einer Reibplattengarnitur, der einen grünen Fleck an der Seite zeigt und so wiederum auf vergesellschaftete Bronzegegenstände weist (Abb. 130).

In Gruben ohne Depositionen fand sich meist höchstens ein Metallgegenstand. Es handelt sich dabei hauptsächlich um kleinere Gegenstände wie Knöpfchen (V1015, V2713), Ringe (V156, fünf bis sechs Ringlein) und Bruchstücke von Blechen (V106: Taf. 36/2; V656), Drähte (V26: längliches Bronzeobjekt: Taf. 35/2; V5204: Taf. 29/1, von einer Fibel?) oder sonstige Objekte (V704: sieben stabförmige Fragmente: Taf. 46/1; V777: Bronzefragment mit Nietkopf aus Eisen[513]; V812). Nadeln bzw. deren Fragmente konnten aus V813, V831[514], V5001 (Taf. 15/2) und V5400 (Taf. 33/7) geborgen werden. Aus dem urnenfelderzeitlichen Grubenhaus V29 stammt zudem eine ungewöhnlich lange Nähnadel mit spitzovalem Öhr.[515] Die einzige gefundene **Pfeilspitze** (Taf. 15/1; 70/5) lag in der mächtigen Brandschuttschicht (Sign. 20012) von V5001 (Abb. 395). Sie zeigt starke und unregelmäßige Korrosionserscheinungen, die auf Schadfeuer hinweisen. Damit könnte die Pfeilspitze Teil des abgebrannten Hausinventars gewesen sein. Zusammenfassend sind die Bronzefunde in Tracht- und Gebrauchsgegenstände zu unterteilen, die großteils wohl absichtsvoll in den Gruben abgelegt wurden, sowie sehr kleine, beschädigte Stücke und Abfallreste. Letztere gingen vermutlich verloren und gelangten auf diese Weise in die Speicher, da anzunehmen ist, dass der wertvolle Rohstoff im Normalfall erneut eingeschmolzen wurde. Die häufige Anwesenheit von Bronzenieten in Deponierungen ist allerdings auffällig. Diese waren vermutlich wesentlicher Bestandteil eines ansonsten organischen – vergangenen – Gegenstandes, der absichtsvoll mit eingebracht wurde.

507. SK8 (juvenil männlich?) zeigt eine Grünfärbung im Bereich des Ohres, SK10 (3–4-jähriges Kind) gleichfalls seitlich am Schädel, Wiltschke-Schrotta, Marschler in Vorbereitung.

508. Dobrezberger 2016, Probe 101. – Brandl, Martinez in Vorbereitung, Analysenr. 29.

509. Da der Fund nicht auffindbar ist, kann keine genauere Ansprache erfolgen.

510. Penz 2006, Taf. 8/1, 2.

511. Siehe Kap. 2.2.1.4.

512. Salaš 2012.

513. Penz 2006, Taf. 21/1, Zugehörigkeit zu V777 nicht gesichert.

514. Penz 2006, Taf. 24/6.

515. Penz 2006, Taf. 1/9.



Abb. 119: Ein beschädigtes und damit unbrauchbares pyramidenstumpfförmiges Webgewicht lag zwischen den beiden Kindern SK11 und SK12 in der untersten Skelettlage von V841 (FNr. St. 13343, Fundbereich durch Ellipse gekennzeichnet; Grabungsdokumentation Stillfried, Landessammlung Niederösterreich, Bereich Ur- und Frühgeschichte, Fotonr. ST03599).



Abb. 120: Sehr bemerkenswert sind die beiden übergroßen pyramidenstumpfförmigen Webgewichte, die am Boden der Massenbestattung in V1141 lagen. Der Kopf des in kauernder Lage abgelegten Mädchens SK7 lehnte daran an (Grabungsdokumentation Stillfried, Landessammlung Niederösterreich, Bereich Ur- und Frühgeschichte, Fotonr. ST01460).

3.3 Textilhandwerk

In etwa 30 % der 94 untersuchten Gruben fanden sich ein bis zwei Webgewichte bzw. meist Teilstücke davon. Die kennzeichnende Webgewichtform der Urnenfelderzeit ist der Pyramidenstumpf. Dazu kommen das deutlich kleinere scheibenförmige Gewicht und die Tonringe.

3.3.1 Pyramidenstumpfförmige und scheibenförmige Webgewichte und Tonringe

Im mächtigen Hausbrandschutt von V5001 (Sign. 20012, 20014) befanden sich gleich acht **pyramidenstumpfförmige Webgewichte** bzw. deren Bruchstücke. Jenes von Taf. 11/1 ist stark vegetabil gemagert und in zwei Teile gebrochen, während andere Bruchstücke eher sandig und sogar mit Keramikbruch gemagert sind (Taf. 10/3 und Abb. 70). Die angeschmolzene Bruchoberfläche des Letzeren verrät, dass es in bereits gebrochenem Zustand dem Hausbrand ausgesetzt war. Seine gleichmäßig hellrote Außenhaut weist auf oxidierenden Brand – im Zuge des Schadfeuers? – hin. In diesem Zusammenhang sei auf die mineralogisch-petrografische Analyse eines Stillfrieder Webgewichts hingewiesen, das aus Löß bzw. Lößlehm erzeugt und ungebrannt verwendet wurde.[516]

Pyramidenstumpfförmige Webgewichte spielen auch eine Rolle in den Siedlungsbestattungen: So lag ein beschädigtes Exemplar[517] zwischen den beiden Kindern von Skelettlage 1 in V841 (Taf. 49/4 und Abb. 119). Beim Kind SK10 fand sich ein weiteres solches Teilstück.[518] Besonders auffällig sind die beiden übergroßen (vollständigen?) Webgewichte an der Grubenwand von V1141, die den Kopf des 9-jährigen Mädchens SK7 stützten (Abb. 120). Sie waren so schwach gebrannt, dass sie nicht geborgen werden konnten. Ein sehr klobiges Gewicht mit großer Lochung stammt aus

516. Sauer 2006, 397.
517. FNr. St. 13343, Oberteil fehlt, erh. H. 20 cm.
518. FNr. St. 13326, Stücknr. 40012, ebenfalls mit fehlendem Oberteil.



Abb. 121: Dieses sehr plumpe Webgewicht mit großer Lochung stammt aus V891 (FNr. St. 21444.4).

V891 (Abb. 121). Es dürfte rasch aus einem Tonklumpen gefertigt worden sein.

Eine Sonderform, die möglicherweise von einem sehr schmalen pyramidenstumpfförmigen Webgewicht stammt, ist das gut geglättete und grafitierte, plättchenförmige Bruchstück von Taf. 45/3 mit V-förmiger Einkerbung am erhaltenen Abschluss.[519]

Die zweite kennzeichnende Gruppe sind die **Tonringe**. Aus dem Brandschutt von V5400 (Sign. 20501) ist ein Tonringsatz aus zwölf Tonringen desselben, unverzierten Typs geborgen worden (Abb. 122). Diese Tonringe liegen in allen möglichen Vollständigkeitsgraden vor (Kap. 10.1.4, V5400). Ihre Unterseiten sind eben, die Oberseiten schwach gerundet. Der Querschnitt ist quadratisch bis rechteckig mit gerundeten Kanten (Taf. 31/5–6; 32). Sie sind organisch gemagert, schwach bis mäßig gebrannt und liegen in zwei Größengruppen vor, die den scheibenförmigen Gewichten von Stillfried und Thunau entsprechen (siehe unten). Sieben der zwölf Tonringe aus V5400 zeigen rötliche Farbspuren durch Feuereinwirkung. Aus derselben Brandschuttschicht (Sign. 20501) stammen auch drei verkohlte Teigringlein aus Getreide[520] (Taf. 33/2–4; Kap. 3.8).

Von anderem, weißlichem Material und hart gebrannt zeigt sich der einzige **verzierte Tonring** aus V5400 (Taf. 33/1). Beim Dekor handelt es sich um seitliche, unregelmäßige Querrillen. Ähnliche Verzierung in Form von fein ausgeführten, umlaufenden Fingertupfeneindrücken gibt es aus den Depositgruben V445[521] (Taf. 39/1) und V628[522]. Ein Vergleichsstück kann von der Heidenstatt bei Limberg (Niederösterreich) genannt werden.[523]

Der halbe, flache Tonring aus V156 (Taf. 37/5) zeigt regelmäßig eingestochene Dellen auf beiden Schauflächen. Er wurde vermutlich absichtsvoll geteilt, da die gezackte Bruchlinie Hinweise auf Pickspuren gibt (Abb. 87, 88). Gleichfalls absichtsvoll halbiert wurde wahrscheinlich der rundstabige Tonring aus V898, von dem eine Hälfte vorliegt.[524] Beide genannten Stücke sind sehr hart gebrannt, was ein zufälliges Brechen genau in der Mitte wenig wahrscheinlich macht.

Scheibenförmige Webgewichte dienten wie die pyramidenstumpfförmigen Gewichte und die Tonringe zum Spannen der Kettfäden am senkrechten Webstuhl. Im Fundprotokoll und in älterer Literatur laufen sie oft unter der überholten Bezeichnung „Netzsenker". Typisch ist die verhältnismäßig kleine, exzentrische Lochung dieser Gegenstände von lanzettförmigem Querschnitt mit abgerundeten und oft verjüngten Enden (z. B. Taf. 37/3; 39/1; 47/3; 51/4). Sie sind meist gut gebrannt und von recht einheitlicher Größe mit Durchmessern von 8,5–10 cm. Daneben gibt es kleinere Stücke mit 5–7 cm (Taf. 47/3; 51/4).

Der in-situ-**Befund eines Gewichtswebstuhls** aus der späturnenfelderzeitlichen **Höhenanlage von Gars-Thunau** bestand aus 36 Webgewichten, wovon die allermeisten (33) scheibenförmig und die restlichen drei Tonringe sind.[525] Sie können in dieselben zwei Gewichts- und Größenklassen eingeteilt werden wie die Stillfrieder Stücke (8,5–10,5 cm und 6–7 cm im Durchmesser). Auch die drei Tonringe fügen sich da gut ein. Im Webstuhl-Nachbauversuch zeigte sich, dass nicht die Form (ring- oder scheibenförmig), sondern einzig das Gesamtgewicht der an den Kettfädenbündeln hängenden Objekte zählt (die Gewichtsreihen müssen gleich schwer sein).[526] Ingrid Schierer merkt an, dass beim Thunauer Webstuhl von luftgetrockneten Gewichten ausgegangen wird, welche erst durch das Schadfeuer gebrannt wurden.[527] Den entsprechenden Hinweis liefert die unterschiedliche

519. Penz 2006, Taf. 20/1.
520. Heiss et al. 2019.
521. Penz 2006, Taf. 11/2, Dm. 6,5 cm, Lochdm. 1 cm, H. 1,8 cm.
522. Penz 2006, Taf. 19/6, Dm. 6,2 cm, Lochdm. 1,7 cm, H. 1,6 cm.
523. Fragment, Tuzar 1998, Taf. 81/1, erh. H. 8 cm.
524. Penz 2006, Taf. 26/7.
525. Schierer 1987.
526. Schierer 1987, 50.
527. Schierer 1987, 65.



Abb. 122: Zwölf unverzierte Tonringe bzw. -bruchstücke und drei verkohlte, ringförmige Überreste von Getreideerzeugnissen stammen aus dem Brandschutt (Sign. 20501) der Grube V5400.

Färbung der Unter- und Oberseiten der Gewichte. Beim **Stillfrieder Tonringsatz** sind zwar keine regelmäßigen, systematischen Feuerveränderungen zu beobachten, jedoch rötliche Farbspuren über größere Flächen, die wir auf Schadfeuer zurückführen. Auch fällt der schwache Brand auf. Die Stillfrieder Gewichte könnten demnach leicht gebrannt oder tatsächlich ungebrannt im Einsatz gestanden sein, beides ist möglich. Das Schadfeuer verursachte in der Folge die Verfärbung, die Härtung(?) und wohl auch die Brüche. Tonringsätze haben auch eine Bedeutung in Gräbern, wo sie als Beigaben im späturnenfelderzeitlichen Gräberfeld von Budapest-Békásmegyer gefunden wurden.[528]

Im abgebrannten **späthallstattzeitlichen Hausinventar von Kučar in Slowenien** fanden sich in Herdnähe 33 Tonringe bzw. Tonringbruchstücke von ähnlicher Größe und Form (Dm. 9–11 cm).[529] Des Weiteren sind dort unter anderem 21 pyramidenstumpfförmige Webgewichte von unterschiedlicher Größe, tragbare Herde[530] und Backhauben gefunden worden.

3.3.2 Spinnwirtel

Tönerne **Spinnwirte**l aus urnenfelderzeitlichen Verbänden sind selten. Unter unseren Funden befindet sich nur ein Beleg von einfacher, konischer Form (Taf. 16/3).[531]

3.4 Geweih- und Knochenverarbeitung

Der Rothirsch spielte eine große Rolle im Leben der urnenfelderzeitlichen Bevölkerung. Zum einen lieferte er wertvolle Rohstoffe wie Fleisch, Fell und Geweih.[532] So ist im Siedlungsabfall von Stillfried der Anteil an Wildtieren im urnenfelderzeitlichen Tierknochenmaterial mit 21,5 % verhältnismäßig hoch, wobei dem Rothirsch die mit Abstand größte Bedeutung als Jagdwild zukam.[533] Zum anderen drückt sich sein Stellenwert in den zahlreichen Niederlegungen von Rothirschexemplaren in Stillfrieder Gruben aus.[534] Es konnte festgestellt werden, dass die abgelegten Hirsche vollkommen ungenutzt waren. Sie trugen noch ihr vollständiges Geweih ohne Hinweise auf ein Entfernen des Fells.[535] Neben mehr oder weniger ganzen Tieren wurden in der Sohlenmitte dreier Stillfrieder Gruben Hirschge-

528. Kalicz-Schreiber 2010, 65, 112, Grab 91 (Geschlecht des bestatteten Individuums fraglich); Taf. 45/5: Fünf Tonringe, davon drei vollständig übereinstimmend (Dm. etwa 7 cm); Grab 184a (Geschlecht fraglich); Taf. 80/14: 10 Ringe (Dm. 7,0–8,5 cm).

529. Dular, Ciglenečki, Dular 1995, 43 und Abb. 21; Taf. 37–43; grobkörnige Beschaffenheit.

530. Verzierte „Tischchen" mit gelochten Platten, Dular, Cigleneč ki, Dular 1995, Taf. 35, 36.

531. Penz 2006, 344.

532. Kunst 2021, 146.

533. Annähernd jeder zweite Wildtiereinzelknochen ist der Gattung Rothirsch zuzuordnen, Pucher 1982, 122, 144.

534. Pucher 2017. – Pucher 2018.

535. Kunst 2021, 157.

weihstangen – rituell – abgelegt: V628 (schädelechte Stange), V2648 (Geweihgabel) und V643 (verkohltes Saatgut am Grubenboden mit einem Feldhasen, Geweihspross und Bronzeniet).[536]

In den Grubenverfüllungen wurden neben **fertigen Erzeugnissen** aus Hirschgeweih (aus V519: Geweihhammer [Taf. 41/2] und Seitenstange von Pferdezaumzeug [Taf. 42/1][537], weitere Seitenstange aus V777[538]) auch **Halbfertigprodukte** (V5006: Taf. 22/5; 75/1) und lediglich **vorbereitete, meist gesägte Geweihstücke** bzw. Abfall (z. B. V1325: Taf. 54/2) gefunden.

Ein Verband von neun zum Teil großen Geweihabschnitten konnte aus der nur zu einem Viertel ergrabenen Grube **V5006** (Taf. 74/6; 75; 76; 77/1) geborgen werden. Weitere fünf Stücke stammen aus der unmittelbar benachbarten Grube **V5005** (Taf. 72/4, 6; 73/1 und Abb. 123). Sie wurden jeweils am Grubenboden aus großer Tiefe gehoben. Es handelt sich hauptsächlich um Geweihstangenabschnitte mit abgesägten Sprossen. In einem Fall ist ein schädelechtes Stück nachzuweisen (Abb. 123 und Taf. 24/3; 76/2). Bei allen anderen Stücken kann keine Aussage getroffen werden, ob es sich um Aufsammlungen von im Spätwinter abgeworfenen Geweihen handelt oder um Geweih von getöteten (verspeisten) bzw. natürlich verendeten Tieren. Die Größe und die mächtige Ausbildung der Geweihe deuten auf ein sehr hohes Alter der Tiere hin (Taf. 24/2; 76/1; von einem 14-Ender(?)). Bei diesen Geweihanhäufungen handelt es sich allem Anschein nach um Stücke, die zur Weiterverarbeitung vorbereitet worden sind. Möglicherweise waren die besseren Teile bereits abgetrennt worden, um sie sofort zu verarbeiten, während man die verbliebenen Reste für eine spätere Nutzung in den Gruben aufbewahrte. Der Rohstoff Geweih war in Stillfried offensichtlich in so großem Umfang vorhanden, dass Reste und Verschnitt großzügig weggelegt oder entsorgt werden konnten.

Um das Material für die leichtere Verarbeitung weich zu machen, wurden nachweislich verschiedene Methoden angewandt.[539] Unter anderem ließ man es in Wasser einweichen[540] oder man kochte die Teile für mehrere Minuten in Wasser.[541]

Im Vorfeld der Geweihverarbeitung wurden gewöhnlich – wie auch im Falle der Stillfrieder Stücke – größere Teile des Geweihs abgesägt.[542] Die Schnittflächen sind meist sehr sauber und präzise durchgeführt worden, wobei der Schnitt von mehreren Seiten her geführt wurde (z. B. Taf. 72/4; 76/1).[543] Ein Nachweis einer urnenfelderzeitlichen Sägeklinge aus Bronze konnte in der ungarischen Siedlung Gór-Kápolnadomb erbracht werden.[544] Neben abgesägten Teilen sind auch wenige abgehackte Enden zu beobachten (Taf. 73/1; 75/1). Auf der Oberfläche einiger Stücke sind sowohl **Schnitt- als auch Hackspuren** zu bemerken (Taf. 21/1; 23/4; 24/2–3; 73/1; 75/2; 76/1). Darüber hinaus sind weitere Arbeitsschritte erkennbar. So zeigt ein Stangenabschnitt (Taf. 23/3; 74/6) die Spuren einer Schälung mittels Messer. Dieser Vorgang dient der Vorbereitung für die Weiterverarbeitung. Aus römerzeitlichen Praktiken ist bekannt, dass sowohl Knochen als auch Geweihe mit einer Ziehklinge facettiert wurden.[545] Diese Rohlinge können anschließend mit einer Feile oder dem Schnitzmesser weiterverarbeitet werden.[546] Ein auf solche Weise behandeltes Exemplar stammt aus dem Geweihverband in Grube V5006 (Taf. 22/5; 75/1). Das beidseitig abgehackte und abgesägte(?) Stück, das vermutlich zu einem Zwischenstück für ein Doppelgerät gefertigt werden sollte, ist von Feilspuren übersät. Um den Werkstücken abschließend eine äußerlich ansprechende Oberfläche zu geben, wurden solche Bearbeitungsspuren häufig wegpoliert.[547] Als Poliermittel kamen verschiedene mineralische und organische Substanzen in Frage.[548] Abschließend konnte den Stücken durch das Einreiben mit Ölen oder Fetten ein Glanz verliehen werden.[549] Zu dieser Endbehandlung kam es beim Stück aus V5006 (Taf. 22/5; 75/1) offensichtlich nicht mehr, mutmaßlich ist es noch während der Herstellung beschädigt (und entsorgt) worden.[550]

Grundsätzlich ist Geweih gut lagerfähig, weil es einen verhältnismäßig hohen anorganischen Anteil besitzt.[551] Allerdings können keine plausiblen Gründe für eine Lagerung

536. Hellerschmid, Griebl in Vorbereitung.
537. Auch „Dreilochknebel" genannt: Penz 2006, 346 und Taf. 28/1 (V519).
538. Penz 2006, Taf. 21/2.
539. Über die Diskussion, ob und wie Geweih weich gemacht wurde, siehe zusammenfassend: MacGregor 1985, 63–65.
540. Stodiek 1993, 20. – Deschler-Erb 1998, 96.
541. Holodňák 1993, 210–211.
542. Deschler-Erb 1998, 96.
543. Für die fachliche Auskunft danken wir Wolfgang Lobisser.
544. Mit der Nennung weiterer Funde von Sägeklingen: Ilon 2015, 241–242 und Taf. 17/5.
545. Deschler-Erb 1998, 96–97 und Abb. 151, 153.
546. Deschler-Erb 1998, 97–98.
547. Deschler-Erb 1998, 102.
548. MacGregor 1985, 58.
549. Deschler-Erb 1998, 102.
550. Die linke Abschlusskante dürfte ausgebrochen sein.
551. Seine Eigenschaften sind am ehesten mit denjenigen von „feuchtem" Knochen vergleichbar, Deschler-Erb 1998, 96.



Abb. 123: Auswahl der großteils gesägten, aber auch abgehackten Geweihrohstoffe aus den Sohlenbereichen der benachbarten Gruben V5005 und V5006 vom „Wagneracker“ (Foto: F. Ostmann, OREA/ÖAW).



Abb. 124: Bei dem beidseitig abgesägten Rinderknochen aus der unteren Grubenverfüllung von V841 handelt es sich entweder um Rohstoff oder um Abfall der Knochenindustrie (FNr. St. 13322).

in großer Tiefe gefunden werden. Der einzige Beweggrund könnte gewesen sein, die Stücke feucht zu halten.

Neben der Geweihindustrie wurden auch Tierknochen zu Werkzeugen verarbeitet. Ein einfaches Knochengerät ist der vollständig erhaltene Knochenpfriem vom Sohlenbereich aus Grube V667 (Taf. 45/2) und ein weiterer aus V5203 (Taf. 28/8). Um Rohstoff oder Abfall der Knochenindustrie handelt es sich beim beidseitig abgesägten Rinderknochen aus der unteren Grubenverfüllung von V841 (Sign. 00362, Abb. 124).

Rohstoff Hornzapfen:
Aus dem Bereich der Skelettlagen von V841 (Sign. 00361–00364) kommen 59 Fundposten mit Tierknochen, die sich als Schlachtabfall zusammenfassen lassen, darunter auch zwei abgesägte Hornzapfenstücke vom Rind (Taf. 49/3).[552] Der Sägeschnitt am Hornzapfen von Taf. 49/3 ist glatt ausgeführt. Da sich Stirnzapfen aufgrund ihrer Porosität nicht zur Herstellung von Knochengeräten eignen, wollte man möglicherweise das darüber liegende Horn gewinnen und hat dafür den Zapfen gleich mit gesägt. Nach dem Schnitt musste das Stück eingeweicht werden, damit das Horn von selbst vom Zapfen abgeht.[553]

3.4.1 Vierspitzige Geweihgegenstände – Angelutensilien?

Vier gleichartig aus Geweih gefertigte Objekte stellten uns hinsichtlich der Deutung vor eine Herausforderung (Abb. 125). Jeweils eines stammt aus den beiden Gruben V813 (FNr. St. 21281, Taf. 47/1) und V1325 (FNr. St. 12962, Taf. 54/3). Von zwei weiteren ist als Fundort nur der Quadrant E18 im Osten des „Hügelfelds“ bekannt (FNrn. St. 4122 und 4110). Die beiden kleineren Gegenstände sind etwa 7 cm lang, die beiden großen 11,1 sowie 13,8 cm. Ihr Umriss erinnert an sanduhrförmige Schilder (mit Rinderhaut bespanntes Rahmengeflecht), die aus dem früheisenzeitlichen Griechenland (13./12. Jahrhundert v. Chr.) bekannt sind und vermutlich auch im spätbronzezeitlichen Europa in Verwendung waren.[554] Müller-Karpe verweist

552. Ein weiterer Rinderhornzapfen (FNr. St. 13353) kommt aus Sign. 00361 von V841 (bei SK9 bzw. SK10).
553. Freundliche Mitteilung von W. Lobisser.
554. Kaus 1991, 29.

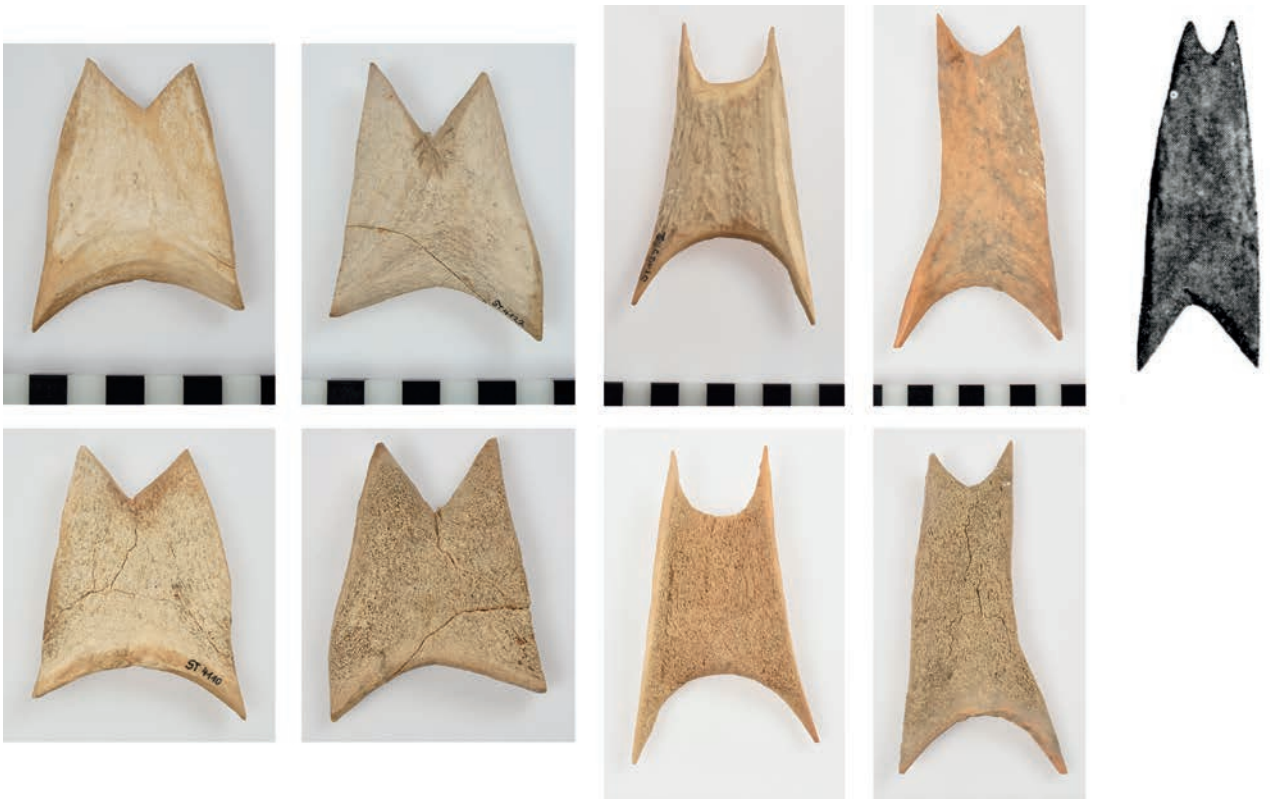


Abb. 125: Vierspitzige Geweihobjekte, die wir als Angelzubehör („Knebel“) deuten. Dargestellt ist jeweils die Vorder- und Rückseite (oben und unten). Von links: FNrn. St. 4110 und St. 4122 (ohne Fundverband), St. 12962 (V1325), St. 21281 (V813); Vergleichsstück aus Jaroměřice nad Rokytnou (Schwarzweißfoto, Podborský 1972, Taf. 4/3).

auf deren symbolischen Gehalt.[555] Funde von Bronzeamuletten in Form solcher Schilder sind aus urnenfelderzeitlichen Kontexten vor allem im Karpatenbecken bekannt.[556]

Bei der Deutung dieser Stücke gehen wir dennoch nicht von einem „Trachtzubehör“ im weitesten Sinne aus, sondern von Gebrauchsgegenständen mit einer speziellen Funktion. Dies liegt zum einen an der teils groben Verarbeitung der Stücke (in den Kerben sind Schnittspuren zu sehen), zum anderen auch an der Form. Im Gegensatz zu den „Amuletten“ besitzen alle Geweihgegenstände jeweils eine breitere Hälfte, die eine gewölbte Einbuchtung aufweist.[557] Die gegenüberliegende Seite ist schmäler, wobei die Zinkenenden jeweils sehr spitz gearbeitet sind, wodurch eine Verwendung als Trachtgegenstand unpraktisch erscheint. Aufgrund dieser Formgebung handelt es sich vermutlich auch nicht um Spulen für Garn. Ebenso sind die gegenständigen Spitzen ungeeignet, um damit Leder oder Ähnliches zu lochen.

Wir schlagen eine Deutung als sogenannte „Knebel“ vor (Abb. 126). Dieser wird bei einer bestimmten Angelmethode, dem sogenannten Querangeln, verwendet. Dafür wird ein Knochen oder Geweihstück beidseitig angespitzt und mittig an einer Leine befestigt. Dieser „Knebel“ kann von 3 bis über 10 cm lang sein. Als Köder können daran kleinere tote Fische aufgespießt werden. Beim Verschlucken stellt sich das Stäbchen quer und der Fisch kann an Land gezogen werden. Teilweise werden die „Knebel“ in der Mitte mit einer Kerbe versehen, um die Schnur sicher zu befestigen.[558] Diese Technik ist durch Funde bereits seit dem Jungpaläolithikum belegt.[559]

555. Müller-Karpe 1980, 22–26.

556. Kacsó 1995, 123. – Ein solches Stück war auch in einem Depot im Salzkammergut (Bad Aussee, Depot 1 Rabenwand) enthalten, Windholz-Konrad 2018, 37–38 und Taf. 12/38.

557. Wir vermuten, dass die Stücke aus jenem Stangenabschnitt hergestellt wurden, der im unteren Bereich den Übergang von der Stange zum Spross bildet. Das deutet sich vor allem bei dem Stück auf Taf. 47/1 an.

558. Torke 1993, 52–55.

559. Clark 1948, 46–48. – Cleyet-Merle 1990, 79, 84–87. – Torke 1993, 52.

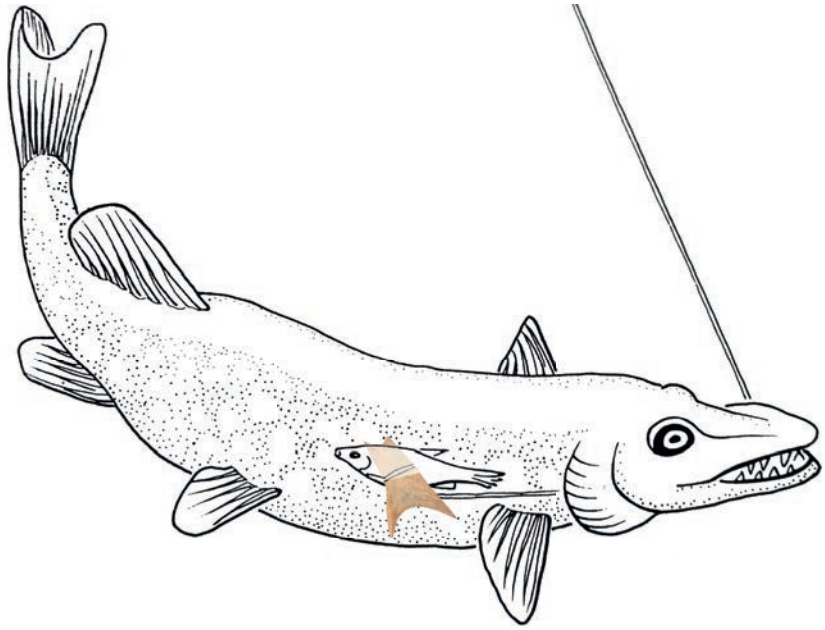


Abb. 126: Montage des Objekts aus V1325 als „Knebel“ an einem Köderfisch, der von einem Hecht verschluckt wurde (Abbildung nach Torke 1993, Abb. 4).

Im Unterschied zu den Stillfrieder Fundstücken besitzen diese Objekte an beiden Enden nur jeweils eine Spitze. Es sind allerdings auch Exemplare aus dem Magdalénien und aus dem 20. Jahrhundert n. Chr. bekannt (Skandinavien), die an einem Ende V-förmig auseinanderlaufen.[560] Nach Meinung der Autoren dieses Werks macht die Stillfrieder Form mit zwei Spitzen an jedem Ende ebenfalls Sinn für größere Fische wie dem Wels (*Silurus glanis*). Der „Haken“ mit der Schnur muss in diesem Fall am Köder angebunden werden. Da Welse ihre Beute hauptsächlich über den Geruchssinn erkennen und im Dunklen jagen, spielt die Sichtbarkeit des „Hakens“ keine große Rolle.[561] Die Gestaltung der Geweihgegenstände mit jeweils einer breiteren Seite bewirkt zudem, dass sich der „Haken“ leichter im Schlund des Tieres verspießt. Das verwendete stabile und gleichzeitig elastische Material Geweih bietet darüber hinaus den idealen Rohstoff.

Ein vergleichbares Stück wurde auf der Höhensiedlung Jaroměřice nad Rokytnou (Tschechien) entdeckt (Abb. 125 rechts).[562] Es wird dort als Spule zum Aufwickeln von Garn gedeutet.[563] Ein Exemplar mit zwei Spitzen auf einer Seite sowie einer Spitze auf der gegenüberliegenden Seite ist auch aus der benachbarten Anlage von Brno-Obřany bekannt.[564] Vom Oberleiserberg (Niederösterreich) stammt ebenfalls ein identisches Stück, das allerdings zur Hälfte gebrochen ist.[565]

Nachweise des Fischfangs in Stillfried sind auch durch die Angelutensilien belegt, die der in V841 aufgefundene Mann SK1 vermutlich in einem (Leder)Beutel bei sich trug. Es handelt sich um drei bronzene Angelhaken sowie ein bronzenes Griffangelmesser samt Hängeschleifstein und ein Bronzeringlein (Taf. 51/1). Ein weiterer bronzener Angelhaken wurde aus V195 geborgen.[566] Als Harpune kann die abgebrochene, 9,4 cm lange „Knochenspitze“ aus Hirschgeweih gedeutet werden, die 1931 in einer Vorratsgrube gefunden wurde.[567] Fischreste in Form von Knochen, Gräten und Schuppen sind darüber hinaus aus mehreren Befunden bekannt (V1, V234, V445, V519, V841, V5005, V5006).[568] Unter anderem konnte der Wels (*Silurus glanis*) nachgewiesen werden.[569]

3.4.2 Menschenförmiger Geweihanhänger

Unter den Sonderfunden aus dem direkten Umfeld der Tierdepositionen ist ein **Geweihanhänger mit anthropomorphem Umriss** hervorzuheben, der sich im Halsbereich der deponierten Hirschkuh in V1140 befand (Taf. 59/2,

560. Clark 1948, Abb. 2, 3.
561. Copp et al. 2009, 257–258.
562. Podborský 1972, Taf. 4/3.
563. Podborský 1972, 17.
564. Adámek 1961, Taf. 97/6.
565. Kunst 2021, 167, Abb. 06.27/1.
566. Penz 2006, Taf. 8/2.
567. Willvonseder 1931, 124 und Abb. 2/7.
568. Fischreste sind auch bei Kohler-Schneider 2001, 39 im Zuge der archäobotanischen Auswertung vermerkt. Auch bereits bei Altgrabungen wurden Fischreste registriert, Willvonseder 1931, 132.
569. FNr. St. 17096, V5005. Siehe Kap. 3.6.



Abb. 127: Der Randbereich des halbrunden, gelochten Knochenartefakts zeigt dort eine Beschädigung, wo die schützende Knochenoberfläche fehlt. Aufgenommen mit dem Digitalmikroskop VHX6000 der Firma Keyence Solutions, Belgien (FNr. St. 3960, V1139; Fotnr. VHX00059).



Abb. 128: Stark beschädigter Knochenwirtel aus dem späthallstattzeitlichen Grubenhaus V5092 vom „Wagneracker“ (Tierverbiss? FNr. St. 16039).

L. 2,5 cm, B. 1,4 cm, St. 0,2 cm). Das junge Tier, das in Gefangenschaft sein Leben fristete, trug diesen (symbolischen) Kultgegenstand sehr wahrscheinlich um seinen Hals. Es starb bei einer Fehlgeburt.[570]

In der Bronzezeit erscheint das Dreieck-Motiv erstmals in plastischer Form,[571] wobei es meist als gegossener Metallanhänger mit Ringöse kultische Gegenstände wie Kettengehänge und Kultwagen schmückt. Abwandlungen zur Schwalbenschwanzform ergeben sich durch die Verlängerung der beiden Eckpunkte. Werden noch waagrechte, seitliche Fortsätze ergänzt, zeichnet sich ein menschlicher Umriss ab,[572] wie er im vorliegenden Geweihanhänger[573] mit Bronzeringlein unschwer zu erkennen ist.

3.4.3 Knochenwirtel?

Der besondere Fund ist aus dem Gelenkskopf eines Oberschenkelknochens von Wildrind(?) (Auerochse)[574] hergestellt (Taf. 58/1, Dm. 4,6–4,9 cm, H. 1,7–1,8 cm). Er kommt aus dem oberen Grubenbereich von V1139. Seine schwach konische Lochung[575] wurde gebohrt und befindet sich etwas aus der Mitte. Dies macht die Benutzung als Spinnwirtel unwahrscheinlich.[576] Andererseits könnte der Gegenstand aus diesem Grund nicht in Verwendung gestanden sein.[577] Am Bohrgrat sind keine Abriebspuren festzustellen (Taf. 58/1 unten links und rechts). Solche punktuellen Vertiefungen wären zu erwarten, wenn der Gegenstand über längere Zeit an einem (Leder)Band (als Glücksbringer?) getragen worden wäre.

570. Pucher 1986, 54–57. – Pucher 2017, 215. – Pucher 2018, 82–83. – Hellerschmid, Griebl in Vorbereitung.
571. Krumm 2011, 44.
572. Kossack 1954, 41 und Taf. 15, 16. – Müller-Karpe 1980, Abb. 7/1–5 (zentraleuropäische Anhänger). – Krumm 2011, 44 und Abb. 44.
573. Der Gegenstand ist verschollen, nach Auskunft von G. K. Kunst ist von Geweih als Ausgangsmaterial auszugehen.
574. Zoologische Bestimmung durch E. Pucher.
575. Dm. 0,9 cm an der gewölbten Oberseite, Dm. 1,1 cm an der flachen Unterseite.
576. Freundliche Mitteilung K. Grömer.
577. Freundliche Mitteilung W. Lobisser.

Auf der Unterseite ist ein radialer Schnittgrat zu erkennen, der poliert wurde (Taf. 58/1, oben Mitte auf 2 Uhr). Außerdem zeigt sich der Randbereich des Fundstücks genau an jener Stelle durch Druckeinwirkung beschädigt, wo die Knochenoberfläche[578] fehlt (Abb. 127 und Taf. 58/1 am mittleren Bild [Rückseite] auf 12 Uhr; am linken Bild [Oberseite] auf 1 Uhr). Dies könnte ein Hinweis darauf sein, dass der Fundgegenstand in Verwendung stand, wobei er Druck ausgesetzt war.

Ein übereinstimmender Knochenwirtel, allerdings in schlechtem Erhaltungszustand, stammt aus dem späthallstattzeitlichen Grubenhaus V5092 vom „Wagneracker" (FNr. St. 16039; Abb. 128).

3.5 Steine

3.5.1 Reibplatten und ihre Teilstücke

In 26 der insgesamt 94 untersuchten Gruben befinden sich Reibplatten bzw. Teil- und Bruchstücke davon. Das ergibt mit annähernd 30 % einen überraschend hohen Anteil, da diese Steine (Granite, Pegmatite, Gneise) von weit her eingehandelt werden mussten, sehr wahrscheinlich aus dem etwa 100 km entfernten böhmischen Granit- und Gneishochland (sog. Böhmische Masse,[579] Abb. 433, Spalte „Reibplatten"). Aus diesem Grund stellten sie sicherlich einen gewissen Wert dar. Großteils handelt es sich um Unterlieger[580] und ihre Teilstücke, die ziemlich regelmäßig über die Gruben verstreut sind. Spannend ist allerdings die unterschiedliche Verteilung unter den Depositgruben: Während Reibplatten im Umfeld der Bestatteten in den beiden Massengräbern (V841[581] und V1141) auffallend stark vertreten sind, finden sich unter den 18 Gruben mit Tierdepositionen nur zwei Vertreter mit solchen Funden (V949, 2784), was klar unter dem Durchschnitt liegt. V5001 mit sechs Reibplattenbruchstücken liegt wiederum deutlich darüber. In dieser Grube (5001) wurde ebenfalls „besonderer" Inhalt geborgen, der hauptsächlich aus auffälligem Brandschutt, verkohltem Getreide und der Niederlegung eines Neugeborenen besteht (Kap. 10.1.2, V5001). Eine vollständige Einheit aus Unterlieger und Läufer hat sich nicht gefunden. Die Regel sind ein bis höchstens zwei Reibplattenbelege in einer Verfärbung, wobei diese häufig in markanten Zurichtungen und selten vollständig vorliegen.

Die Unterlieger wurden (möglicherweise für Zweitverwendungen) zu **rechteckigen bis quadratischen Teilstücken** verkleinert, wobei Granite und Gneise häufig von Natur aus in rechtwinkeligen Verläufen brechen.[582] Ein schönes Beispiel mit Sedimentresten und Gebrauchsglanz auf der Reibfläche stammt aus der Mehrfachbestattung in **V841** (Taf. 48/3).[583] Das Stück wurde absichtsvoll in diese rechteckige Form gebracht und im Topf mit Bodenloch bei dem Frauenskelett SK13 abgelegt (Abb. 58). Weitere Beispiele sind aus V106 (Taf. 36/1), V171 (Taf. 1/2; 37/2), V949 (Taf. 53/2), V5000 (Taf. 64/2) und V5400 (Taf. 34/2) zu nennen, wovon die meisten **Feuereinwirkung** zeigen.

Ein **D-förmiger Umriss** zeigt sich bei der **halbierten Reibplatte** aus V871 (Taf. 1/6; 51/2). Das Stück wurde wahrscheinlich für eine Sekundärverwendung in diese Form gebracht. Von einer Reibplatte aus V841 mit starker Feuereinwirkung liegt das gerundete Randstück eines mächtigen Unterliegers vor, dessen Seitenkanten zurechtgeschlagen wurden.[584] Ein größeres, jedoch viel flacheres Teilstück, ebenfalls mit starken Feuerspuren, stammt aus V5400 (Taf. 34/1; 83). Absichtsvoll geteilt dürfte auch das Exemplar aus V510 mit erhaltener Reibfläche und Originalseitenkanten sein (Taf. 1/4, L. 22 cm, Granit).

Als Parallele können vier geometrische Teilstücke eines unteren Mahlsteins (Unterliegers) genannt werden, die Gábor Ilon aus der mittelbronzezeitlichen Grube mit Pithosbestattung („Opfergrube") von Ménfőscanak in Nordwest-Ungarn vorlegte.[585]

Ein **vollständiger Unterlieger** befand sich beim Becken des Mannes (SK1) in V1141[586] (Abb. 81), der zweite bei der Dreiergruppe von SK2, 3, 4 (Abb. 369).[587] Beide wurden in liegender, aufrechter Lage vorgefunden und zeigen keine Brandeinwirkung. Anders die große, durch starke Feuereinwirkung zerborstene Reibplatte aus V5001 (Taf. 15/5; 70/4), die wir zum abgebrannten Hausinventar rechnen, das in diese Grube kam. Die Brüchigkeit solcher mächtiger Unterlieger (Granit) durch Brandeinwirkung lässt sich auch gut am gebrochenen Stück aus V5001 (Taf. 15/7 und Abb. 129) darlegen.

578. An der gewölbten Oberseite.

579. Brandl, Martinez in Vorbereitung.

580. Zur Unterscheidung zwischen Unterlieger und Läufer siehe schematische Darstellung bei Schwall 2018, 250 und Abb. 100.

581. Neun der insgesamt 13 Reibplattenfragmente kommen aus dem Bereich der Skelettlagen 1 und 2. – Hellerschmid, Griebl in Vorbereitung.

582. Freundliche Auskunft von M. Brandl.

583. Brandl, Martinez in Vorbereitung, Analysenr. 17 (FNr. St. 13354), keine Feuereinwirkung.

584. Brandl, Martinez in Vorbereitung, Analysenr. 14 (FNr. St. 13353).

585. Ilon 2014, 25 und Abb. 16 I/1–4, Sandstein (Rechteckformen und D-förmige Teilstücke).

586. Hellerschmid 2015, Abb. 14.

587. Breitinger 1980, Taf. 14. – Hellerschmid 2015, Abb. 12.



Abb. 129: Durch Feuereinwirkung ist dieser mächtige granitene Unterlieger aus V5001 brüchig geworden (FNr. St. 16383.1).

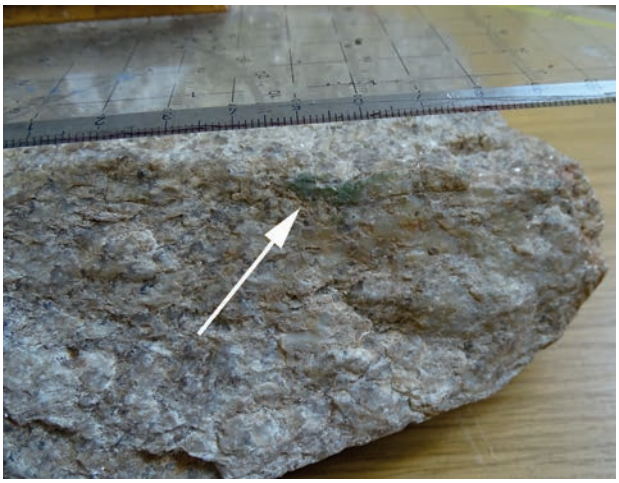


Abb. 130: An der Reibplatte (Unterlieger) aus V2784 findet sich seitlich ein grüner Fleck, der von einem anhaftenden Bronzegegenstand herrühren dürfte (siehe Pfeil; FNr. St. 20519).

Aus V949 stammt ein **vollständiger Läufer** aus dem direkten Umfeld des abgelegten Hirsches (Taf. 3/3; 53/3[588]). Ein weiterer, länglich-ovaler Läufer fand sich im Grubensohlenbereich von V662 (Taf. 44/3, L. 31 cm). Er besteht aus Sandstein und zeigt an einem Ende Feuereinwirkung.

Der **vollständige Unterlieger** aus dem „Deponierungshorizont" der Grube mit Bronzehort und Tierskeletten (V2784, Taf. 63/4) zeigt keine Feuerspuren, allerdings einen **grünen Fleck** an der Seite, was auf einen vergesellschafteten Bronzegegenstand hinweist (Abb. 130). Ein plattiger Gneis aus der Beckengegend von SK14 (Taf. 50/1, V841) weist ebenfalls einen grünen Abdruck auf, der sich als kupferhältig herausgestellt hat.[589] Dieser Fleck ist sehr ausgedehnt und liefert Hinweise auf einen entsprechend großen Bronzegegenstand, der dort auflag und die Zeit nicht überdauert hat.

Verwendungsmöglichkeiten für plattige Steine gab es in Stillfried genug. Nachgewiesen ist die Nachnutzung eines mächtigen Läufers als Ambossstein, indem dieser stark verkleinert wurde (Taf. 50/3, Pegmatit, V841). Möglicherweise war er in dieser Form bei der Metallbearbeitung im Einsatz.[590] Das Stück mit nach außen gewölbter Reibfläche zeigt Schmauchspuren und gebrannte (organische) Reste. Dies weist darauf hin, dass es abschließend noch stark dem Feuer ausgesetzt war, eventuell als Herdstein. Die heftige Feuereinwirkung vieler Stücke macht allgemein einen – letzten – Einsatz als Herdsteine auf den großen, ebenen Kochstellen der Häuser wahrscheinlich (um das Umfallen der Töpfe zu verhindern bzw. als Abstellflächen).[591] Endpunkte von Benutzungsketten sind durch Feuereinwirkung bröckelig gewordene Steinartefakte, wie die Reibplattenteilstücke Taf. 36/1 und 64/2. Beide dürften noch als Herd- oder Hitzestein in Verwendung gestanden sind. Viele Steine erreichten diesen Zustand allerdings nicht und finden sich trotzdem in den Grubenverfüllungen.

3.5.2 Plattige Sandsteine (Herd-/Ofensteine?)

Neben den Reibplatten (Granit) sind als auffällige Fundgruppe plattige, oft mehr oder weniger rechteckige bis quadratische Sandsteine zu nennen. Es handelt sich um zugerichtete Sandsteine und Sandsteinkonkretionen, deren Ober- und Unterseiten meist natürlichen Bruchlinien folgen. Als wahrscheinlicher Herkunftsbereich der Stillfrieder Sandsteine gelten die Sarmatschotter aus der Gegend östlich von Mistelbach.[592] Die meisten sind aufgrund starker Feuereinwirkung (durchgängig) rötlich gefärbt, wobei sich großteils eine Seite als die dem Feuer zugewandte Frontfläche herausstellt (z. B. Taf. 44/2; 49/1–2;[593] 6[594]; 57/3). Dort

588. L. 31 cm; B. 17 cm; H. 2,8–6,3 cm.

589. Dobrezberger 2016, Probe 101. – Brandl, Martinez in Vorbereitung, Analysenr. 29.

590. Brandl, Martinez in Vorbereitung, Analysenr. 15, Feuereinwirkung (FNr. St. 13325).

591. Auch E. Bönisch vermutet von den stark hitzebeanspruchten Steinen, dass sie von einer Herdstelle stammen könnten, Bönisch 2005, 449.

592. Brandl, Martinez in Vorbereitung.

593. Brandl, Martinez in Vorbereitung, Analysenr. 27.

594. Brandl, Martinez in Vorbereitung, Analysenr. 28.

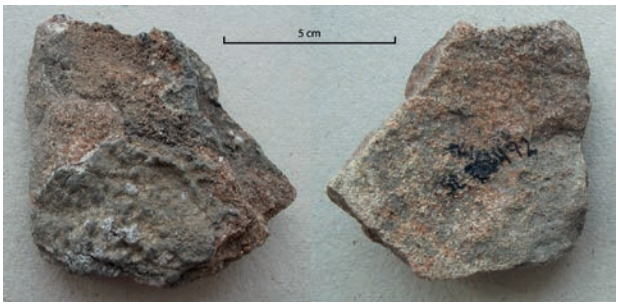


Abb. 131: Kleiner, plattiger Sandstein aus V2784 mit geschmolzenem Gestein und/oder Schlackenauflage auf der Vorderseite. Er dürfte als Wandstein in einem Ofen oder einer offenen Feuerstelle (Herd, Esse) sehr großer Hitze ausgesetzt gewesen sein; Vorder- und Rückansicht (FNr. St. 20492).

führte das einwirkende Feuer sogar in mehreren Fällen zu einer Aufschmelzung und Verglasung der Gesteinskomponenten, was für Temperaturen von über 800° C spricht (Taf. 49/2, 6).[595] Eine Verwendung als Wandsteine in Öfen oder offenen Feuerstellen (Herd, Esse) ist wahrscheinlich. Beispiele solcher rötlich-gebrannter Sandsteine mit geschmolzenem Gestein und/oder Schlackenauflagen stammen auch aus **V2784**, der Grube mit dem Arbeitssteindepot (FNr. St. 20492; Abb. 131). Der ganz ähnliche, weißlichgraue, körnige Belag von einem Beleg aus Grube **V662** ist sogar bis zu 3 bis 4 mm dick (Taf. 44/2). Er könnte Hinweise auf die Vorgänge im Herd/Ofen geben, wobei erste RFA-Untersuchungen allerdings keine Spuren von Metallverarbeitung erbrachten.[596] In Richtung Ofenstein weist auch die etwas konvex gewölbte Platte aus V1212 mit gut erkennbarem, dünnem Belag (Taf. 57/3). Zusammen mit weiteren stark erhitzten Steinen[597] wird sie dem Fundverband V1212 zugerechnet, der als Überrest eines Kuppelofens gedeutet wird.[598] Die Stücke könnten aus diesem Ofen stammen.

Ein bemerkenswerter Fund ist die dünne, rechteckige Platte aus feinkörnigem Sandstein mit abgerundeten Ecken und paralleler Bruchkante aus V994 (Taf. 53/4–5). Sie wurde direkt unterhalb der abgelegten Hirschkuh gefunden (Sign. 10232) und zeigt an allen Flächen eine deutliche Rotfärbung und einen Schmauchfleck. Das Stück ist wahrscheinlich von einer größeren Platte intentionell abgetrennt worden und stand als Reib- oder Schleifplatte in Verwendung, wie die abgerundete Bruch- bzw. Abtrennungskante verdeutlicht (Taf. 53/4, schmales Bild). Zum Schluss geriet sie ins Feuer.

595. Brandl, Martinez in Vorbereitung, Analysenr. 25–28.

596. Röntgenfluoreszenzanalyse (FNr. St. 8594, V662). Für diese Erstbeurteilung danken wir Mathias Mehofer, VIAS.

597. FNrn. St. 7642, 7657.

598. Hellerschmid, Griebl in Druck.

3.5.3 Arbeitssteine aus Sandstein und aus Sandstein- bzw. Quarzitgeröllen

Sog. Arbeitssteindepot aus V2784

Zusammen mit zahlreichen Keramikgefäßen (IF2347) wurden mehrere einander ähnliche Geröllsteine mit intensiven Benutzungsspuren (Klopf- und Pickspuren) auf der Grubensohle von **V2784** abgelegt. Die meisten Steine zeigen starke Feuereinwirkung. Es handelt sich um drei feinkörnige Sandsteingerölle (Taf. 62/1, 3–4)[599] und zwei feinkörnige Quarzitgerölle (Taf. 62/2; 63/2)[600]. Als **Mehrzweckgeräte** waren sie teils zum Klopfen, Stoßen, Schlagen und Glätten im Einsatz (Taf. 62/1–3). Von diesen drei Mehrzweckgeräten wurden zwei abschließend als Unterlagsteine verwendet (Taf. 62/2–3). Des Weiteren befinden sich noch ein **Glätt- und ein Klopfstein** darunter (Taf. 62/4; 63/2), wobei der Klopfstein zum Schluss noch als Hitzestein verwendet wurde (Taf. 63/2).[601] Ein Steinplattenfragment aus Gneis (Taf. 63/1) zeigt möglicherweise Pick- und Schlagspuren.[602] Klopfsteine mit Gebrauchsspuren dieser Art sind als Geräte für die Metallbearbeitung, im Speziellen zum Treiben von Metallblechen,[603] gut bekannt. Für eine gesicherte Zuordnung müssten allerdings eindeutige Hinweise wie Metallrückstände an der Arbeitsfläche vorhanden sein, was nicht der Fall ist.[604] Gute Vergleichsstücke finden sich in dem Steinverband, der Teil einer gut ausgestatteten Frauenbestattung aus Geitzendorf (Niederösterreich) ist (Datierung: Frühbronzezeit).[605] Neben bronzenen Trachtbestandteilen und Keramikgefäßen konnten fünf der insgesamt neun Steinobjekte als Arbeitssteine für Metallverarbeitung (Schmuckherstellung?) bestimmt werden.[606] Sie sind unseren Stücken sehr ähnlich, wobei das Stillfrieder Multifunktionsgerät Taf. 62/1 im sogenannten Hammerstein-Amboss[607] eine Entsprechung findet. Die Schlagsteine

599. Brandl, Martinez in Vorbereitung, Analysenrn. 1, 8, 9.

600. Brandl, Martinez in Vorbereitung, Analysenrn. 10, 11.

601. Brandl, Martinez in Vorbereitung, Analysenr. 11.

602. Brandl, Martinez in Vorbereitung, Analysenr. 6.

603. Lauermann, Pany-Kucera 2013, 103.

604. Brandl, Martinez in Vorbereitung. Solche Spuren könnten im Zuge der Fundbehandlung durch die Archäologen unabsichtlich weggewaschen worden sein.

605. Lauermann 2012. – Lauermann, Pany-Kucera 2013, 101–104 und Abb. 7 (Aunjetitz Kultur).

606. Es handelt sich um zwei Schlagsteine mit Pickspuren- bzw. Pickfeldern, einen Hammerstein, eine Kombination aus Hammerstein und Amboss sowie um ein Schleifsteinfragment (Quarzit, Hornsteinknolle und Diorit).

607. Lauermann, Pany-Kucera 2013, Abb. 7/7 (Material aus Diorit-Gabbro-Gruppe).



Abb. 132: Die Pickspuren ziehen sich am vollständigen Klopfstein aus V1325 über die gesamte Fläche. Solche Geräte kamen zum Schärfen der Reibsteine zum Einsatz (FNr. St. 13002).

von Geitzendorf[608] sind aufgabenmäßig wohl den beiden anderen Mehrzweckwerkzeugen (Taf. 62/2–3) an die Seite zu stellen. Auch befinden sich plattige Steine,[609] ähnlich Taf. 63/1, und einige unbearbeitete Steine mit Feuereinwirkung darunter.[610] Aufgrund der großen Ähnlichkeit der beiden Steinverbände ist eine Verwendung des Stillfrieder Ensembles in der Metallbearbeitung (zum Treiben von Blechen) sehr wahrscheinlich.

Vollständige **Klopfsteine** bzw. Multifunktionsgeräte dieser Art kommen auch aus V729 (Taf. 45/4), V894 (FNr. St. 21493) und V1141 (Taf. 60/1). Großteils handelt es sich um Quarzitgerölle. Die hellere Schlagfläche zeichnet sich bei dem vollständigen Exemplar aus V1325 sehr gut ab (Abb. 132). Solche Geräte kamen zum Schärfen der Reibflächen von Reibsteinen vermittels Picken bzw. Klopfen zum Einsatz.[611]



Abb. 133: Die zungenförmige Hälfte eines Glättsteins aus feinkörnigem Sandstein stammt aus V891, L. 8 cm (FNr. St. 21420).

Großer Ambossstein

In einer Brandschuttschicht des „Deponierungshorizontes" von V479 lag ein großer, zylindrischer Sandstein im Bereich der Tierniederlegungen (Taf. 40/3–4, H. 18,6 cm). Aufgrund von Pickspuren auf der schrägen Oberfläche/Arbeitsfläche diente er ursprünglich vermutlich als Ambossstein in der Metallbearbeitung.[612] Dort zeigen sich Sinterspuren[613] und am ganzen Stück starke Feuereinwirkung.

3.5.4 (Hänge)Schleifsteine

Die Kombination eines Hängeschleifsteins aus feinkörnigem Quarzsandstein und eines Bronzemessers wurde im Beckenbereich des Mannes SK1 aus V841 entdeckt (Taf. 51/1). Sie war Bestandteil eines Werkzeugtäschchens, das er zum Zeitpunkt seines Todes bei sich am Gürtel trug.[614]

Hängeschleifsteine und deren Bruchstücke (mit Durchlochung/Öse) aus feinkörnigem (Quarz)Sandstein sind im Stillfrieder Brandgräberfeld mehrfach vertreten.[615] Vladimír Podborský bezeichnet sie als kennzeichnende Fundgattung der Stufe Ha B3–C1, die zweifelsfrei zum Schleifen der Bronze- und Eisenmesser herangezogen wurde und eben oft gemeinsam mit diesen auftritt.[616]

Ein **länglicher, zungenförmiger Glättstein** kommt aus V891 (Abb. 133).

3.5.5 Silices, (neolithische) Steinbeile

Silices

Silex ist in der Urgeschichtsforschung der eingeführte Überbegriff für Artefakte und Bearbeitungsreste aus SiO_2-reichen Knollen (Hornstein, Feuerstein). Sie finden sich in

608. Lauermann, Pany-Kucera 2013, Abb. 7/1, 3 (Material Quarzit? Chalzedon?).
609. Lauermann, Pany-Kucera 2013, Abb. 7/6, 9.
610. Lauermann, Pany-Kucera 2013, Abb. 7/2, 4, 6, 8.
611. Für diese Mitteilung danken wir Oliver Schmitsberger. – auch Gronenborn 1995, Abb. 8.
612. Brandl, Martinez in Vorbereitung, Analysenr. 12.
613. Bisher nicht näher untersucht.
614. Hellerschmid, Griebl in Vorbereitung.
615. Insgesamt sieben Belege, vier aus bekanntem Grabzusammenhang: Strohschneider 1976, 61. – Kaus 1984, 36, 37. – Penz 2006, 347, 349.
616. Podborský 1970, 169–170.

den späturnenfelderzeitlichen Grubenverfüllungen in bescheidener Anzahl und sind auch in den zeitgleichen Gräbern vertreten, mitunter sogar in der Urne.[617]

Aus den hier untersuchten Siedlungsgruben sind zum einen jungpaläolithische Steingeräte (Taf. 42/4),[618] zum anderen auch undatierbare Silexgeräte[619] (Abb. 134) und Abfall[620] zu nennen. Bemerkenswerterweise wurde aus dem Aschenhügel unter den Skeletten von V1141 eine vollständige Gravette-Spitze zusammen mit Steinplatten und Rinderknochen (Schlachtabfall) geborgen.[621] In diesem Fall ist ein absichtsvolles Beifügen sehr wahrscheinlich. Der faustförmige rötliche Stein von Taf. 56/3 war vermutlich ob seiner ungewöhnlichen Form eingesammelt worden. Er kommt aus Grube V1138, die bereits mehrere auffällige Steine aufzuweisen hat (Rötel: Taf. 56/6; stalagtitähnlicher Sandstein: Taf. 56/4; glimmerhältige Steinplatte: Taf. 56/5). Von den neu bearbeiteten Grabungsflächen ist ein undatierbarer Silexabschlag mit starken Brandspuren aus V5001 (Taf. 15/4 und Abb. 135)[622] und ein verbrannter rötlicher Abschlag aus V5005 zu nennen. Letzterer wurde aus minderwertigem, mergeligem Hornstein gefertigt.[623]

Die Rolle der Silices in urnenfelderzeitlichen Fundzusammenhängen ist in unserem Raum noch wenig beachtet worden. An einem Fundplatz wie Stillfried, der im (Jung-) Paläolithikum[624] genutzt war, ist die Beurteilung besonders schwierig,[625] da immer mit älteren Zufallsfunden zu rechnen ist. Eine mittels Silexgeräten ausgeführte Knochen- und Geweihschnitzerei zeichnet sich allerdings in bronzezeitlichen Fundverbänden klar ab, was gut verständlich ist, da sich der ausgesprochen harte und scharfe Silex dafür



Abb. 134: Rückengestumpftes Silexgerät (Radiolarit?) aus Grube V52 (FNr. St. 907).

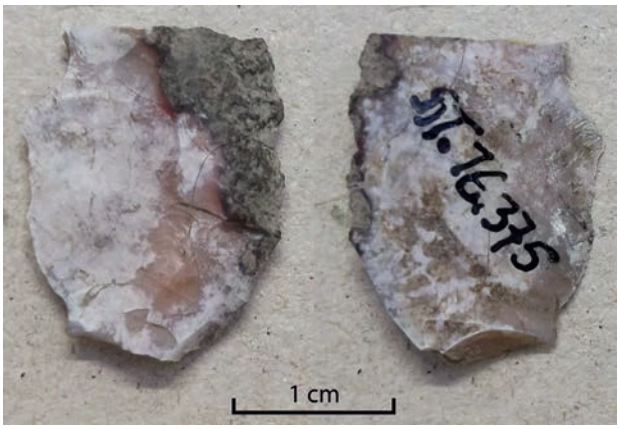


Abb. 135: Klingenbruchstück mit starken Brandspuren aus V5001 (FNr. St. 16375.1).

weit besser eignet als Bronzemesser.[626] Ein Beleg aus der Urnenfelderzeit kommt aus einer Grube in Pottenbrunn (Niederösterreich), in der eine große, stark abgenützte Silexklinge gemeinsam mit einem knöchernen Halbfertigprodukt gefunden wurde.[627] Für die großteils groben Silexabschläge aus den Gräbern von St. Andrä v. d. Hgt. schlägt Eibner aufgrund ihres meist minderwertigen Ausgangsmaterials (mergeliger Hornstein) eine Verwendung als Feuerzeug vor.[628] Ein weiteres Anwendungsfeld wären hölzerne Erntemesser mit eingesetzten Silexklingen. Aus Stillfried liegen zahlreiche Silexfunde vor, die als Bestandteile solcher Erntegerätschaften gedeutet werden können. Es ist gut möglich, dass im spätbronzezeitlichen Stillfried

617. Strohschneider 1976, Taf. 9/15. – Eibner 1974b (St. Andrä v. d. Hgt.): Zwei Silices in Grab 13, davon einer in der Urne, Taf. 12/g; 13/d, i; Radiolaritabschlag mit Feuereinwirkung in Urne von Grab 23: S. 66, 72–73 und Taf. 22d.

618. Weißer, gravettienzeitlicher Rückenstichel aus erratischem Feuerstein mit Patinaresten aus dem oberen Grubenbereich von V628 (Tierdeposition). Für diese Bestimmung danken wir Oliver Schmitsberger.

619. Rückengestumpftes Artefakt, Radiolarit? Für die Beurteilung danken wir Oliver Schmitsberger.

620. Aus V628 kommt ein verbrannter, rötlicher Abschlag, FNr. St. 8745.

621. Sign. 09020; NHM/PA-V1141, FNr. St. 5, mit steiler Rückenretusche. Für die Bestimmung danken wir Oliver Schmitsberger.

622. Dorsal ist noch teilweise die natürliche Oberfläche (Cortex) erhalten, gegenüberliegend die längsseitige, scharfe Schneidkante (Einsetzklinge?).

623. FNr. St. 17011.

624. Weiser 1978, Fundstelle I (Wallplateau). – Heinrich 1974.

625. Penz 2006, 349.

626. Für diesen Hinweis danken wir Oliver Schmitsberger, entsprechende Nachweise von Silexklinge mit Schäftungsglanz und Knochengeräten aus der mittelbronzezeitlichen Siedlung von Maissau, Schmitsberger 2009, 484 und Abb. 45/1–3.

627. Blesl 2002, 201, konkreter Befund nicht veröffentlicht. Für diesen Hinweis danken wir O. Schmitsberger.

628. Eibner 1974b, 72.

die rasch herstellbaren, „kosten"-günstigen, jedoch altertümlichen Erntegeräte mit Silexmesserchen neben der zeitgemäßen Bronzesichel in Verwendung standen.[629] Ein mögliches Beispiel findet sich in dem Klingenbruchstück auf Taf. 15/4 (und Abb. 135). Bei stark korrodierten Bronzeblechen kann es sich wiederum um Reste von Sichelklingen gehandelt haben.

In der spätbronzezeitlichen Siedlung von Ürschhausen-Horn in der Schweiz (Kanton Thurgau) lässt sich eine eigenständige Silexherstellungstechnologie nachweisen.[630] Unter den etwa 1000 Silices sind zahlreiche Messerklingen und Pfeilspitzen, die vor Ort hergestellt wurden. Für den Verbreitungsraum der Lausitzer Kultur ist Feuersteinabbau und die Nutzung von Feuersteingeräten (als Feuerschläger?) bis in die frühe Eisenzeit nachgewiesen.[631]

(Neolithische) Steinbeile

Auch geschliffene Steingeräte neolithischen Ursprungs sind aus urnenfelderzeitlichen Fundverbänden bekannt. So stammt ein vollständiges, jedoch beschädigtes, spätneolithisches Steinbeil aus der ersten Verfüllschicht über den Leichen in V841.[632] Eine entsprechende Situation mit einem jungsteinzeitlichen Steinbeil in einer spätbronzezeitlichen Siedlungsbestattung kommt aus dem ungarischen Ledence-Pusztataskony.[633] Zu erwähnen ist in diesem Zusammenhang auch das kleine Bruchstück eines Felssteingerätes, das sich direkt bei der älteren Frau in V1141 (SK5) fand.[634] Da auszuschließen ist, dass das Fundstück in direktem Zusammenhang mit der Todesursache steht,[635] kann es nur von außen in diese Lage „gerutscht" sein.

3.5.6 Sammelstücke(?) aus Sandstein und anderem Material

Als Sammelstück aufgrund **außergewöhnlicher Form** ist das große, stalagtitähnliche Sandsteinstück Taf. 56/4 aus V1138 zu betrachten. Der unbearbeitete, herausgebrochene Teil zeigt Verrundungen durch Wassereinwirkung.[636] Auch das **versteinerte Holz** (Taf. 46/3, V812) stellen wir hierher, das aus den Schotterbänken der March stammen dürfte. Als Sammelstück aufgrund **außergewöhnlicher Funktion** ist der **Rötelstein** aus V1138 (Taf. 56/6, L. 7 cm) und der rhomboide Brauneisenstein (Limonit) aus V812 (Taf. 46/4) zu nennen.[637] Beide wurden wahrscheinlich wegen ihrer färbenden Eigenschaften aufgesammelt und in die Siedlung gebracht.

3.6 Tierknochenbestimmung (Konstantina Saliari)[638]

Die aus den Gruben stammenden Tierknochen wurden zoologisch bestimmt (Abb. 136). Von den Befunden der Grabungsfläche „Bügeleisen" (V5200–V5205) konnten nur zwei Fundposten ausfindig gemacht und zur Analyse übergeben werden. Zusammenfassend ist festzuhalten, dass es sich beim vorliegenden Knochenmaterial um normalen Schlachtabfall handelt. Hund, Pferd und Wolf wurden von den Menschen verzehrt, wie es in dieser Zeitepoche üblich war. In einigen Fällen ist Tierverbiss an den Knochen nachzuweisen. Der Großteil der Geweihfunde ist im Museum Stillfried ausgestellt und wurde keiner genaueren Untersuchung unterzogen. Auf den Geweihstücken zeigen sich durchgängig Bearbeitungsspuren.

Vertretene Spezies:
BT: Hausrind, OA: Schaf, O/C: Schaf/Ziege, SD: Hausschwein, CF: Haushund, EC: Pferd, BP: Auerochse, CL: Wolf, CE: Hirsch, CC: Reh, SS: Wildschwein, CA: Biber, Mu: Muschel (Us: *Unio* sp. = Flussmuschel; Cv: *Cepaea vindobonensis* = Gerippte Bänderschnecke), Fi: Fische (Sg: *Silurus glanis* = Europäischer Wels), indet.: unbestimmbarer Knochen

Skelettelement:
Pf: Processus frontalia, Cv: Calvaria, Mx: Maxilla, Md: Mandibula, Vt: Vertebrae, Co: Costae, Sc: Scapula, Hu: Humerus, Ra: Radius, Ul: Ulna, Ca: Carpalia, Mc: Metacarpus, Pe: Pelvis, Fe: Femur, Ti: Tibia, Os mall.: Os malleolare, Fi: Fibula, Tl: Talus, Cc: Calcaneus, Mt: Metatarsus, Mp: Metapodia, Ph1: Phalanx 1.

F: Feuereinwirkung
B: Bearbeitungsspuren

629. Kohler-Schneider 2001, 187.
630. Nagy 1994.
631. Feuersteinabbau in Polen, Piotrowska 2000.
632. Sign. 00365, Penz 2006, Taf. 25/11.
633. Obj. 1-701, Király et al. 2013, 314.
634. Eibner 1980, Taf. 52/4.
635. Da ein Steinbeil beim Einschlagen auf einen menschlichen Körper nicht bricht. Für diese Mitteilung danken wir Michael Brandl.
636. Brandl, Martinez in Vorbereitung, Analysenr. 19 (L. ca. 24 cm).
637. Für die Bestimmung danken wir Michael Brandl.
638. Naturhistorisches Museum Wien.

	BT	OA	O/C	SD	CF	EC	BP	CL	CE	CC	SS	CA	Mu/Fi	indet.
V5000														
16005													Us	
16008	Sacrum, Mc, Cv		Zahn, Co						Mx					1×
16009			Mp, Vt										Us	5× (1×F)
16018	Ti, Hu, Os mall., Ph1		2× Hu, 3× Cv, Md, 4× Co, Ra, Ti	2× Co										13×
17049													Us	
V5001														
16242			Zahn, Co						Mx					1×
16316														1×
16327													Us	
16540														1× F
16542														1×
16616													Us	
V5003														
16526	Ra													1×
16531						Zahn								3× (2× F)
16592														3× F
16601						Md								
16609														19× F
16623				Vt										2× F
16655													11× Cv	
16668													Cv	
16677														1× F
16682													Cv	
V5004														
16859													Cv	
16884	Md, Zahn(F)					2× Md (F)								2× (1× F)
16899	Hu			Vt										3×
16900			Ra										8× Cv	1×
16907													9× Cv	3× (1× F)
V5005														
16848	Zahn, 3× Co													
16857	2× Vt, Hu	2× Cv		Mx, 3× Vt, 3× Co			Fossil							2×
16858			Cv											1×
16873				Cv, Vt, Hu, Zahn (F)										5×
16983	Vt		Ti											2× (1× F)
16984			Md											
17011													Cv	1×

Abb. 136 (Teil 1): Tabellarische Übersicht der bestimmten Tierknochen.

	BT	OA	O/C	SD	CF	EC	BP	CL	CE	CC	SS	CA	Mu/Fi	indet.
V5005														
17032			Cv, Vt, 2× Co, Ti		Ul (F)				Ge-weih (B)		Co			7× (1× F)
17038	Cv, Zahn, Md, 3× Sc, Hu, 3× Vt, 7× Co, 2× Fe, 2× Pe, Ti		Ra, 3× Vt, 3× Co	Sc, 2× Vt, Mp	Md				Vt, Cc, Co			Cv	Us	30× (6× F)
17065														1×
17092	Pf, Mc, Tl, Ra, Fe, 3× Co		5× Co, Sc, Fe, Pe[a]	Vt, Co	Ca				Md					10× F
17096	3× Cv, Vt, Co, Mc	Ra	Cv, Co, Sacrum	Ul, Co									Sg, Us	2×
17097		Tl	Zahn, Vg	Mx, Zahn, 2× Co					Ge-weih (B)					5×
17098	Pe			Vt					Vt					5×
17100				2× Cv, 2× Md, 6× Co, 5× Vt, Pe, Sc, Fi, Mt II, Mt III, Mt V,										3×
V5005+V5006 (Durchmischung)														
17059	Hu		Hu	Fi, Vt						Md				1×
V5006														
17016			Fe, Co											1×
17028														1×
17035	Tl			Zahn										1×
17048													2× Us	
17070	Cv			Md, Pe				Sc[b]	Ge-weih (B)					
V5201														
10562	Cv, Co, Fe			2× Md, 2× Co	Mc, Ph1									1×
V5205														
10570	Pf (F), Hu			13× Cv, Zahn					Cc					1×
V5400														
12049														1×
12115														1× F
12125			Co											
12136			2× Vt											
12274	Co (F)													5× F

[a]) Mit Gebissspuren (lochförmige Impressionsfraktur) von Karnivoren.
[b]) Sicher kein großer Hund und auch kein Bär.

Abb. 136 (Teil 2): Tabellarische Übersicht der bestimmten Tierknochen.

3.7 Organische Funde

3.7.1 Holz und Holzkohlen, Bastschnur

Im Rahmen der archäologischen Untersuchungen des westlichen Abschnittswalles von Stillfried wurde das für den Wallkern kennzeichnende Holzrahmenwerk (mit Erde gefüllte Holzkästen in Blockbautechnik) an mehreren Stellen freigelegt. Die besser erhaltenen Rundhölzer erwiesen sich als angekohlt, was offensichtlich im Zuge der Errichtung (und durchaus erfolgreich) zum Zwecke der besseren Haltbarkeit durchgeführt wurde. Eine größere Anzahl von Hölzern wurde einer Holzartenbestimmung unterzogen, wobei **Eiche** vor **Linde, Ulme, Hainbuche** und **Eberesche** vorlagen.[639] Kohler-Schneider hat mehrere Holzkohlen aus Siedlungsgruben und Öfen bestimmt und kommt zu einer übereinstimmenden Reihung: Eiche (5), Ulme (4), Linde (2), **Birke** (1), **Esche** (1), **Weide** (1).[640] Diese Bandbreite fügt sich gut in das rekonstruierte Mikroklima des Stillfrieder Raumes während der Urnenfelderzeit mit trockenen Eichenwäldern und/oder wärmeliebenden Eichen-Hainbuchen-Mischwäldern[641] (Kap. 1.1). Die drei Holzkohlenproben vom neu vorgelegten „Küssleracker" (V5400) gliedern sich ebenfalls gut ein: Das große, verkohlte Holzstück mit Hackspuren aus dem Brandschutt auf der Sohle (Sign. 20501) stellte sich als Eichenholz heraus (Taf. 33/5). Weitere Holzkohlen aus derselben Schicht (FNr. St. 12118.1) bzw. der Schicht darüber (Sign. 20502)[642] erwiesen sich als Linde (6), Eiche (5) und Ulme (1).[643] Auf der Sohle von V5400 wurde ein weiteres, großes, verkohltes Holzstück geborgen, dessen Holzart noch nicht bestimmt ist (Abb. 431 oben). Es dürfte sich um ein Brett gehandelt haben, wobei anhaftender gebrannter Lehm vermuten lässt, dass es (noch) in der Grube brannte (Taf. 82/3–4).

Ein bereits in den 1930er-Jahren untersuchter Fundverband aus einer späturnenfelderzeitlichen Speichergrube nördlich des „Hügelfeldes"[644] enthielt Holzkohlen von Eiche, Ulme und Esche[645] und schließt sich damit bestens den späteren Holzartenbestimmungen an.

In V5001 konnte unter den verkohlten Pflanzenresten ein etwa 1 cm langes **Schnurfragment** entdeckt werden, das vermutlich aus Baumbast gedreht wurde.[646]

3.7.2 Schlackenartiges Material

Die hier zu besprechenden Fundposten sind als unförmiges und meist blasig-schlackenartig aufgetriebenes Material zu beschreiben, das sehr zerbrechlich ist (Taf. 60/3; 71/5). Man gewinnt den Eindruck, als wäre ein willkürliches Gemenge aus verschiedensten (organischen?) Bestandteilen ins Feuer

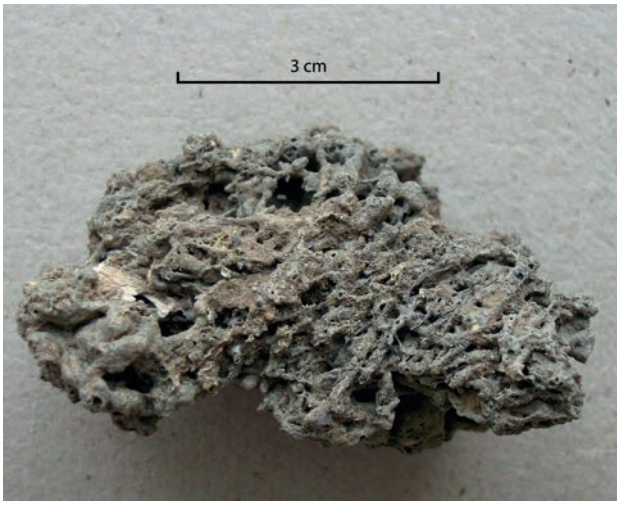


Abb. 137: Ein Beispiel der karbonatisch mineralisierten Gebilde aus V5003. In diesem Fall ist neben Faserbündeln und/oder Wurzeln auch ein großes Knochenstück eingeschlossen, das erkennbar ist (FNr. St. 16592.3).



Abb. 138: Schwarzes, formloses Material mit „faltiger" Außenfläche aus V5001. Darin zeigen sich große Ansammlungen verkohlter, „explodierter", bespelzter Hirsekörner sowie einige verkohlte Dinkelkörner (FNr. St. 16376.1).

639. Kies, Reithmayr, Schaudy 1986, 7–8, Tabelle (Eiche: 21 Nachweise, Linde: 14 N.; Ulme: 5 N., Hainbuche und Eberesche: je 1 N.). Die meisten dieser Proben kommen vom westlichen Abschnittswall.
640. Kohler-Schneider 2001, 44, 179 und Tab. 60.
641. Kohler-Schneider 2001, 25.
642. FNr. St. 12042.1.
643. Wir danken Andreas G. Heiss für die Holzkohlenbestimmung.
644. Willvonseder 1931.
645. Hofmann 1931, 136.
646. Kohler-Schneider 2001, 59.

geraten. Konkret handelt es sich bei dem beige-grünlichen Material aus V5003 (Taf. 71/5[647]) um karbonatisch mineralisierte Konkretionen, wie sie vom Löß bekannt sind, wenn auch sehr viel kleiner[648] (Abb. 137). Darin eingeschlossen sind Faserbündeln oder Wurzeln, am Beispiel von Abb. 137 ist ein großes Knochenstück erkennbar.

Direkt über der verkohlten Getreidelage aus dem untersten Grubenbereich[649] von V5001 stammt ein schwarzes, schlackiges Gebilde (Abb. 138), das von Andreas G. Heiss in einer ersten Beurteilung[650] als großteils formloses Material mit „faltiger" Außenfläche beschrieben wird. Darin eingeschlossen sind große Ansammlungen verkohlter, „explodierter", bespelzter Hirse- sowie einige verkohlte Dinkelkörner. Hirsekörner „rinnen" nämlich bei bestimmten Verkohlungsbedingungen aus und können dabei Zusammenballungen dieser Art bilden. Die Masse kann aber auch aus anderer Quelle stammen. Außen haften verkohltes Stroh und Holzkohlenstücke an, auch ein loser, verkohlter Wildapfel ist darunter. Zur Klärung beider Proben (aus V5003 und V5001) sind weitere Analysen nötig.[651]

Für die grünlich-graue, schlackenartige Substanz aus dem „Deponierungshorizont" von V2648 (Taf. 60/3) liegt noch keine Erstbeurteilung vor.

3.7.3 Bernsteinperle

In der Bronzezeit war das fossile Harz (auch) ein begehrter Schmuckstein und damit wertvolles Tausch- und Handelsgut, das von der Ostsee über die spätere Bernsteinstraße nach Süden vertrieben wurde. Der Zentralort Stillfried war ein wichtiger Handels- und Umschlagplatz an diesem Hauptverkehrsweg.[652]

Entsprechende Belege für die begehrte Tauschware sind in den urnenfelderzeitlichen Befunden von Stillfried allerdings rar. Es kann eine einzige Bernsteinperle genannt werden. Sie ist von rhombischer Form mit abgerundeten Kanten und starker Patina (Taf. 57/4) und stammt aus der oberen Verfüllung von Grube V1139 (Sign. 10053). Der Bereich oberhalb der Lochung fehlt.

3.7.4 Birkenpech

Teere[653] und Peche[654] sind seit dem Paläolithikum ein wichtiger Bestandteil der menschlichen Kultur und stehen als unverzichtbarer Werkstoff zum Abdichten, Kleben, Schäften usw. in Verwendung.[655] Gleichzeitig wurde von der Jungsteinzeit[656] an bis in die Neuzeit die entzündungshemmende Wirkung von Harzen und Pechen für medizinische Zwecke genutzt.[657] Die möglichen Herstellungsmethoden von Teer und Pech von der Urgeschichte bis ins Mittelalter werden von Andreas Kurzweil und Dieter Todtenhaupt vorgestellt.[658] Auch bei den Grabungen in Stillfried kam eine Vielzahl an urnenfelderzeitlichen Keramikgefäßbruchstücken mit dunklem Anstrich – zumeist im Hals-/Randbereich – zu Tage (z. B. Abb. 139). Sie stellten sich in den meisten Fällen als Birkenpech heraus.[659]

---

647. Aus dem unteren Grubenbereich Sign. 20018.

648. Für diese erste Stellungnahme danken wir Andreas G. Heiss.

649. Zwischen Sign. 20011 und 20012.

650. Für diese erste Stellungnahme danken wir Andreas G. Heiss.

651. Zitiert nach A. G. Heiss.

652. Gömöri 1999. – Kaus 1999, 88. – Tiefenbach 2008 (Kap. 2 Bronzezeit).

653. Teer ist ein „flüssiges bis halbfestes, tiefschwarzes oder braunes Produkt, das bei der trockenen Destillation von Steinkohle, Braunkohle, Holz, Torf und anderen fossilen Brennstoffen entsteht und in erster Linie aus Kohlenwasserstoff-Gemischen besteht.", Römpp 1999, 4416 (Stichwort „Teer").

654. „Pech" ist die Bezeichnung für zähflüssige bis feste, teerartige bzw. bituminöse, schmelzbare Rückstände, die bei der Destillation organischer Materie (Naturstoffe) oder von Stein- bzw. Braunkohlenteer zurückbleiben: Römpp 1998, 3151 (Stichwort „Pech"). – Unter Holzpech oder Holzteerpech versteht man den Destillationsrückstand des Holzteers. Man unterscheidet nach der Herkunft Laubholz- und Nadelholzpech: Römpp 1997, 1787 (Stichwort „Holzpech").

655. Als Klebstoff ist in erster Linie das feste und schmelzbare Kolophonium von Bedeutung. Dabei handelt es sich um Nadelholzharz, aus dem durch vorsichtiges Erhitzen die flüchtigen Monoterpene entfernt wurden. Durch weiteres Erhitzen des Kolophoniums oder harzreicher Nadelhölzer erhält man den Holzteer, aus dem durch Abdampfen der leichtflüchtigen Anteile das feste, schmelzbare Holzpech gewonnen wird. Neben dem diterpenoiden Nadelholzpech wurde seit vorgeschichtlicher Zeit auch aus Betulin und anderen, in der Birkenrinde enthaltenen Triterpenen das triterpenoide Birkenpech hergestellt. Zitiert aus Anheuser 2001.

656. Dworsky, Novak 2012. – Fuchs, Wahl 2013.

657. Pflanzliche Harze dienen biologisch dem Wundverschluss. Bei der Birke sind es die Betuline der Birkenrinde, die antientzündlich, juckreizlindernd und wundheilend wirken, Hess-Haberlandt 2007, 57–58: Grundsubstanz für Zugpflaster war Baumharz, Fichten- und besonders Lärchenpech.

658. Kurzweil, Todtenhaupt 1991. – Kurzweil, Todtenhaupt 1999.

659. Nachweis von Birkenpech auf solchen Stücken durch Untersuchungen von Sauter, Jordis, Hayek 1996, 78, 81, FNr. St. 7616 (V1138, Proben 1 und 2). – Sauter, Jordis 1980, 151, 159. In seltenen Fällen wird Rotbuchenteer genannt: Schrattenecker 2015, z. B. V52, FNr. St. 1158, Probe 018–021: Außenseite Birkenteer, Birke-Mischteer oder Rotbuchenteer. – Schrattenecker 2015, z. B. FNr.



Abb. 139: Keramikscherbe aus V949 mit an der Außenseite gut erhaltenem, schwarzem Pechanstrich. Die Pinselstriche sind gut zu erkennen (FNr. St. 21951).



Abb. 140: Grafitiertes Randbruchstück aus V110 mit Klebestelle, vermutlich aus Pech, Außenansicht (FNr. St. 1462).

Der Hals- und Randbereich des großen Vorratsgefäßes aus V523 (Abb. 222) war innen- und wohl auch außenseitig vermutlich zur Abdichtung mit Birkenpech ausgestrichen.[660]

Auch ein halbierter „Spielstein" aus V1133 (Dm. 7,5 cm), der Grube mit dem Mädchenschädel, war außen und innen mit Birkenpechauflagen unterschiedlicher Dicke versehen[661] (FNr. St. 164, Abb. 83, 84, zweites von oben links). An der Außenseite zeigt sich ein flechtmattenartiger Abdruck.

Viel seltener finden sich klumpige Füllungen zum Dichten von Bruch- und Fehlstellen an keramischen Gefäßen (Abb. 140).

Pech ist in Stillfried darüber hinaus als Rohstoff in Knollenform[662] nachgewiesen, aber auch als schwarzer, blasiger Rückstand an den Innenseiten zweier zerscherbter Großgefäße bzw. Kochtöpfe in V1138 (Taf. 55/1–2, 4). Die Gefäßteile lagen eng gepackt als sog. Scherbennester 10 bis 20 cm über der Grubensohle in einer aschigen Schicht (Sign. 10135) und sind im südöstlichen Bereich des Grubenplanums[663] gut zu erkennen (Abb. 361). Dazwischen befanden sich große Brocken derselben Masse vom ehemaligen Topfinhalt (Taf. 55/3). Dieser bedeutende Subbefund veranlasste die Ausgräber, die Verfärbung als „Opfergrube" zu benennen, da sie von verbrannten Speiseresten ausgingen. Außerdem befindet sich Grube V1138 im unmittelbaren Umfeld der Ofenreihe und weiteren auffälligen Gruben,[664]

St. 7620 (V1138, Probe P052): Birkenteer oder Birke-Mischteer; gleiches Ergebnis für Scherben mit dunklem Anstrich aus V52 (FNr. St. 944 und 1158, Proben P018–022).

660. Schrattenecker 2015, 71, Proben 039–042: FNr. St. 5343 außen- und innenseitig; FNr. St. 5358 außenseitig.

661. Sauter, Jordis 1980, 151, 159, Holzpech, und Taf. 57/1–2. – Von J. Schrattenecker als Birkenteer/Birke-Mischteer bestimmt, Schrattenecker 2015, 77, Probe 046 und 047.

662. Eine Rohmaterialknolle von Birkenpech fand sich in der späturnenfelderzeitlichen Grube V748 (Hügelfeld, Quadrant K2). Sie wog ca. 250 g, Sauter, Jordis, Hayek 1996, 78, 82 (normales Birkenpech).

663. Plan WW 17/1978.

664. Wie V1140 (Grube mit Hirschkuhniederlegung) und V1133 (Grube mit Mädchenschädel).

die zu einer kultischen Deutung ermunterten. Der beprobte Topfbelag und der Inhalt stellten sich überraschenderweise als überhitztes und damit unbrauchbares Birkenpech heraus.[665] Von dieser blasigen Masse fanden sich auch drei beachtliche Klumpen, wovon der größte 539 g(!) wog (Taf. 55/3; max. L. 16 cm, max. B. 13 cm). Auch bei diesem handelt es sich um überhitztes Birkenpech, das damit seine Dicht- und Klebeeigenschaften verloren hat.[666] In der oberen Grubenhälfte fanden sich die Überreste eines entsorgten Kuppelofens (V1212). Da es sich bei (Birken)Pech um wertvollen Rohstoff handelt, ist nicht davon auszugehen, dass so große Mengen durch Unachtsamkeit zerstört wurden. Als mögliches Deutungsszenario bietet sich an, dass zu dem Zeitpunkt, als der Klebstoff in den Töpfen – möglicherweise im Ofen V1212 – erwärmt wurde, die letzte große Zerstörungskatastrophe über den Zentralort hereinbrach (am Ende von Siedlungsphase III/2). Danach wurden die Töpfe samt dem unbrauchbar gewordenen Inhalt in Grube V1138 entsorgt und die Reste von Ofen V1212 noch hinterher geschoben.[667]

Elise Hofmann berichtet von schwarzem, krustigem Inhalt eines Gefäßbodens aus einem urnenfelderzeitlichen Siedlungsbefund nördlich des „Hügelfeldes". Dieser konnte ebenso als Baumharz bestimmt werden.[668]

3.7.5 Vogeleischalen

Aus dem „Deponierungshorizont" von Grube V519 stammen neben Rehkrickerl und kleinem Bronzefragment auch einige Eischalen,[669] die sehr wahrscheinlich von ein und demselben Vogelei stammen (Abb. 141). Die Schalenbruchstücke sprechen für ein größeres Ei, wohl eines Wasservogels (Enten- oder Gänsevogel?). Für diese Vogelarten bot das Augebiet der March einen idealen Lebensraum.[670]

3.7.6 Die nachgewiesenen Kultur- und Wildpflanzen

Das Spektrum der in Stillfried verwendeten Kulturpflanzen lässt sich dank archäobotanischer Untersuchungen verkohlter Pflanzenreste aus den spätbronzezeitlichen Grubenverfüllungen gut nachzeichnen.[671] Es entspricht



Abb. 141: Aus der fundreichen, brandschuttartigen Schicht 00181 aus Grube V519 kommen diese Eischalenbruchstücke eines größeren Vogels, wohl eines Wasservogels (Enten- oder Gänsevogel? FNr. St. 5363).

dem aktuellen Kenntnisstand des spätbronzezeitlichen Ackerbaus in Mitteleuropa, welcher von der großen Bedeutung der Rispenhirse, der Gerste und des Dinkels geprägt ist und einen beachtlichen Hülsenfrüchteanteil aufweist. Gleichzeitig sind in Stillfried auch südosteuropäische bzw. mediterrane Einflüsse[672] bemerkbar, die sich im Nachweis der Linsen-Wicke – einer wärmeliebenden Hülsenfrucht –, dem emmerähnlichen Spelzweizen (*Triticum timopheevi*)[673] und Kulturwein zu erkennen geben. Darin bestätigt sich die Rolle des Zentralortes Stillfried als Knotenpunkt und Magnet für die Aufnahme neuer Strömungen aus unterschiedlichen Richtungen.[674]

Die verkohlt erhaltenen Pflanzenreste belegen die Nutzung von Getreide, Hülsenfrüchten und Ölpflanzen.

665. Durch das Fehlen von Betulin, Sauter, Jordis, Hayek 1996, 78–79, 85, Proben FNrn. St. 7555 und 7669. – Sauter, Jordis, Hayek 1997.

666. Sauter, Jordis, Hayek 1996, 78–79, 85, Probe FNr. St. 7555.

667. Hellerschmid, Griebl in Druck.

668. Speichergrubeninhalt im Nordbereich der Anlage, Hofmann 1931, 136, Nachweis von Föhrenholz.

669. FNr. St. 5363.

670. Für diese Mitteilung danken wir Hans-Martin Berg (NHM, Vogelsammlung).

671. Kohler-Schneider 2001.

672. Kohler-Schneider 2001, 182.

673. „*New glume wheat*": Kohler-Schneider 2003. – Kohler-Schneider, Caneppele 2009. – Erst im Jahr 2020 konnte die Identität dieses rätselhaften Spelzweizens („*new glume wheat*") geklärt werden: „Molekulargenetische Untersuchungen an verkohltem Material haben ergeben, dass es sich dabei um *Triticum timopheevi* handelt, der heute nur mehr in West-Georgien vorkommt und den man fälschlicherweise für eine „failed crop" gehalten hat. Wie sich jetzt zeigt, war diese Art aber in der Prähistorie bis zum Ende der Eisenzeit quer durch Europa in Gebrauch. Die Stillfrieder Vorratsfunde gehören hier ebenfalls dazu!" (E-Mail von M. Kohler-Schneider am 23.11.2020).

674. Einflüsse auf die Keramik und die Ausbreitung der Siedlungsbestattungen sind auf nördliche Kontakte zurückzuführen (Kap. 1.4.1 und 2.2.3.7, Menschenniederlegungen in Siedlungsgruben [Siedlungsbestattungen]).

Getreide lieferte Kohlenhydrate, Hülsenfrüchte pflanzliches Eiweiß und Ölpflanzen essentielle Fettsäuren.[675] Ob diese Bestandteile in ausreichender Menge vorlagen oder ob es wiederholt zu Engpässen kam, ist nicht allgemein zu beantworten. Dass die Ernährungslage für Teile der Bevölkerung nicht gut war, zeigt sich allerdings an den menschlichen Knochen aus den Gruben.[676] Außerdem benötigt der menschliche Organismus weitere Vitamine und Spurenelemente, die mit den drei Hauptkomponenten nicht abgedeckt werden.[677] Anteilsmäßig sind die **groß- und kleinfrüchtigen Getreidearten**[678] wie folgt zu reihen: Rispenhirse, Dinkel, Einkorn, emmerähnlicher Spelzweizen (*Triticum timopheevi*), Gerste, Emmer, Kolbenhirse, Nacktweizen und Roggen.[679] Unter den **Hülsenfrüchten** war die Linse mit Abstand vorherrschend, der Leindotter unter den **Ölfrüchten**.[680] Die Funde von Rispenhirse, Kolbenhirse, Schlafmohn, Linse, Erbse, Linsen-Wicke und höchstwahrscheinlich auch der Saubohne werden als Sommerfrüchte (Anbau im Frühjahr) eingestuft.[681] Schwieriger ist eine Zuordnung bei den restlichen Getreidearten, deren Anbau sowohl als Sommer- als auch als Winterfrucht (Anbau im Herbst) möglich ist. Wesentliche Anhaltspunkte bietet dafür eine bestimmte Unkrautflora, die in einigen Getreideproben nachvollziehbar ist[682] und den spätbronzezeitlichen Ackerbau von Stillfried etwas veranschaulicht.

Verkohlte Pflanzenreste belegen die Anwesenheit in einer Fundstelle. Ob diese Arten in der Umgebung von deren Bewohnern auch angebaut wurden, bestätigen am verlässlichsten Pollenanalysen, da sie das Blühen dieser Feld- und Gartenfrüchte aufzeigen.[683]

Als Besonderheit für die späturnenfelderzeitliche Zeitstellung können zwei verkohlte **Kulturweinkerne** (*Vitis vinifera* ssp. *vinifera*) in Form von je einem Kern aus zwei Proben von **V5003** genannt werden.[684] Es handelt sich um den ältesten bzw. einen der ältesten Kulturweinfunde in Österreich. Ob Rückstände von eingeführtem Wein vorliegen und damit entsprechende Handelsbeziehungen in den Süden belegt sind oder ob wir es mit einem frühen Nachweis von Weinbau im pannonischen Raum zu tun haben, lässt sich nicht sagen.[685]

Wiederholt wurden auch verkohlte Speisereste entdeckt. Sie liegen als verbackene Klumpen aus sieben Stillfrieder Gruben vor und werden vor allem als verkohlte Brot- und Breireste angesprochen. Kohler-Schneider unterteilt sie in drei Gruppen:[686]

1. Speisebrei aus verschiedenen, zum Teil noch bestimmbaren Getreidezutaten, etwa das „Hirsotto“ (in V5001[687] und 5006).
2. Breireste aus schlecht oder gar nicht näher bestimmbaren Getreidearten (in V5003, V5005, V5006, V887).
3. Brotreste als gebackenes Material mit regelmäßigem Porengefüge (in V5003 und V949).

Ergänzen können wir diese Liste mittlerweile um

4. Kleine, unfermentierte und verbrannte Getreideerzeugnisse in Ringform aus V5400, die aus einem Mischteig von Weizen und Gerste hergestellt wurden.[688] Diese zerbrechlichen Fundstücke sind zusammen mit zwölf Tonringen (Webgewichten) in der Brandschutt-Humus-Schicht 20501 geborgen worden. Eine symbolische Niederlegung wird angedacht (Kap. 3.8).

Der Großteil der verkohlten Pflanzen- und Speisereste aus den Grubenverfüllungen wird als Abfall gedeutet.[689] In einigen Gruben war Getreide jedoch in großer Menge und hoher Funddichte enthalten, was zu anderen Deutungen veranlasste. So befand sich etwa am Grubenboden von **V5001** (Sign. 20011) eine dichte Lage verkohlten Getreides (Höhe

675. Kohler-Schneider 2001, 198.
676. Entzündungen, Stressanzeiger, traumatische Veränderungen (Kap. 4).
677. Für diese Information danken wir Michaela Popovtschak.
678. Zum kleinfrüchtigen Getreide zählen Rispenhirse und Kolbenhirse – alle anderen sind großfrüchtige Getreidearten.
679. Kohler-Schneider 2001, 107–108 und Tab. 52; Abb. 24/a unten.
680. Kohler-Schneider 2001, Abb. 24/b unten.
681. Kohler-Schneider 2001, 183.
682. Kohler-Schneider 2001, 183.
683. Pollenanalysen liegen von Stillfried nicht vor.
684. Kohler-Schneider 2001, 54 und Tab. 3, Probennahmen SP 3 und SP 4.
685. Kohler-Schneider 2001, 181, 147–153. – Wichtig ist in diesem Zusammenhang die Tatsache, dass an der March (bei Marchegg) [noch] heute die Wilde Weinrebe wächst, was gute Voraussetzungen für die Kultivierung dieser Pflanze bietet, Regner et al. 2004, Abb. 1. Unter den archäobotanischen Resten der spätbronzezeitlichen Siedlung von Pixendorf (Niederösterreich) liegen einige wenige Nachweise der Kultur-Weintraube vor. Diese Bestimmung wird derzeit einer Prüfung unterzogen, freundliche Mitteilung von J. Walter (Juli 2019).
686. Kohler-Schneider 2001, 153–154.
687. Aus der untersten eingelagerten Schicht Sign. 20011 und dem Übergang zur Brandschuttschicht (Übergang 20011 bis 20012).
688. Heiss et al. 2019.
689. Kohler-Schneider 2001, 40–41, Tab. 1, siehe Interpretationen am Ende der jeweiligen Grubenbefunde, z. B. V949: Kohler-Schneider 2001, 88.

der Schicht 8–10 cm), von der insgesamt 80 l Probenmaterial entnommen wurde[690] (Abb. 394). Die Stichproben daraus beschreiben eine Vorratsmischprobe, die sich hauptsächlich aus **Rispenhirse** und **Dinkel** zusammensetzt, jedoch auch beachtlich viele Wildpflanzenreste enthält.[691] Da neben Körnern ebenso Druschreste der vertretenen Spelzweizenarten vorliegen, schließt Kohler-Schneider auf Reste eines Getreidevorrats bzw. von Saatgut, da sowohl Nahrungsvorräte als auch Saatgut von Spelzweizen zwecks bestmöglicher Lagerfähigkeit (wahrscheinlich) bespelzt blieben.[692] Da die gesamte Grube mit Hausbrandschutt verfüllt war, könnten die Getreidevorräte im Zuge des großen, damit in Verbindung stehenden Schadfeuers vernichtet worden sein. Sie wurden als allererstes – noch vor den Brandresten – in die Grube verbracht (Kap. 10.1.2, V5001). Michaela Popovtschak hat im Zuge des aktuellen Projekts eine weitere Probe aus Sign. 20011 untersucht (Taf. 70/2). Das Ergebnis stimmt im Hauptanteil Dinkel (Körner und ein Druschrest/eine Ährchengabel) überein. Unterschiede zeigen sich im äußerst niedrigen Hirseanteil und auch darin, dass keine Wildpflanzen enthalten sind.[693] Eine weitere Probe aus der unmittelbar darüber befindlichen Brandschicht (Sign. 20012) bestand annähernd ausschließlich aus großteils noch bespelzten, verbackenen Rispenhirsekörnern (Taf. 70/3; Kap. 3.7.7).

Auf weiten Teilen des Grubenbodens von **V643** fand sich eine 2–4 cm mächtige Lage verkohlten Getreides, das sich als besonders gründlich von Ackerunkräutern gereinigtes Getreide herausstellte. Die Hauptbestandteile sind Körner und Druschreste von **emmerähnlichem Spelzweizen** (*Triticum timopheevi*) und **Einkorn**, wobei es sich bei Ersterem um eine erst jüngst bestimmte Weizenform handelt.[694] Der entscheidende Hinweis, dass es sich bei dem geschlossenen Fund um Saatgut gehandelt hat, geht aus dem Fehlen der Unkräuter hervor.[695] Innerhalb der Getreideschicht fanden sich ein Bronzeniet und ein abgesägter Hirschgeweihspross, beide ohne Feuereinwirkung. Darauf kam eine dünne, gebrannte Lehmschicht und südöstlich davon wurde ein unvollständiger Hase abgelegt. Mit mächtigen, humos-lehmigen Verfüllschichten verschloss man diesen auffälligen Befund letztendlich (Sign. 10228 und 00247). Für diesen Subbefund (Saatgut in Verbindung mit Tierkadaver und Sonderfunden) wird ein ritueller Bedeutungszusammenhang vorgeschlagen (Überrest eines Brandopfers/Fruchtbarkeitsrituals?).[696]

In einer Mulde unter der Grubensohle von **V479** wurde ein Ferkelkadaver abgelegt und teilweise verbrannt. Neben Holzkohleresten fanden sich auch verkohlte Getreidekörner sowie Drusch-[697] und Wildpflanzenreste, wobei Ackerbeikräuter – darunter sowohl Sommer- als auch Winterunkräuter – überwiegen.[698] Die Deutung des Befundes – ob kultisch oder profan – wurde bereits ausführlich diskutiert.[699] Eine weitere, verkohlte Vorratsmischprobe stammt aus dem Grubensohlenbereich von **V5003**, in der wiederum Rispenhirse und Spelzgerste dominieren.[700]

Zum Abschluss ist noch die beutelförmige Grube **V1133** vom Wallbereich zu nennen, die eine sehr große Menge an veraschten **Gerstenspelzen** enthielt. Dabei handelt es sich um auffallend reine Verbrennungsrückstände von etwa 40 kg(!) Gerstenkörnern bzw. 10–20 kg spelzenreichem Abfall.[701] Auch eine keramische Sonderform, eine sog. Deckeldose, war mit dieser besonderen Asche gefüllt.[702] Sehr spannend ist die Tatsache, dass es den Chemikern Fritz Sauter, Fritz Wurst und Ernst Hoke nicht gelungen ist, in Modellversuchen Aschematerial dieser Art herzustellen,[703] was die Besonderheit dieser Substanz unterstreicht. V1133 barg des Weiteren den Schädel eines Mädchens (ohne Unterkiefer) mit tödlichen Hiebverletzungen, das Skelett eines jungen Hundes und weitere keramische Sonderfunde.[704] Der Grubeninhalt wird als das entsorgte Inventar eines Kultplatzes gedeutet.[705]

690. FNrn. St. 16382, 16743, 16758; FNrn. aus dem Übergang von Sign. 20011 und 20012: FNrn. St. 16376–16378, Kohler-Schneider 2001, 57 (Grube A/3 1).

691. Kohler-Schneider 2001, 62 und Tab. 6, in Summe etwa 620 Wildpflanzennachweise, davon die Hälfte Hirsengewächse (*Paniceae*).

692. Kohler-Schneider 2001, 57, 188.

693. Für die archäobotanische Bestimmung danken wir Michaela Popovtschak.

694. Siehe Fußnote 673. Da es nicht ganz einfach ist, diese Weizenart nachzuweisen, könnte sie öfter vorliegen als bekannt, für diese Mitteilung danken wir Michaela Popovtschak – Kohler-Schneider 2001, 77–82 (V643: FNrn. St. 11392, 11399).

695. Und aus dem Hinweis, dass zu Nahrungszwecken bearbeitetes Spelzgetreide erst nach dem Entspelzen von unerwünschten Beimengungen befreit wird, was ebenfalls gegen Nahrungsvorrat spricht, Kohler-Schneider 2001, 188 mit Literaturverweis.

696. Hellerschmid, Griebl in Vorbereitung.

697. Druschreste von Einkorn, Dinkel, Emmer sowie Körner von Rispenhirse und Spelzgerste.

698. Alles in geringen Mengen (Probe FNr. St. 5209), Kohler-Schneider 2001, 85.

699. Griebl, Hellerschmid 2015, 187.

700. Kohler-Schneider 2001, 51, 54 und Tab. 3 (Grube A/0 18).

701. Da sich das Korn beim Veraschen vollkommen auflöst, muss diese Frage offenbleiben, Sauter, Wurst, Hoke 1976, 102, 107.

702. Eibner 1976, Taf. 26/6. – Griebl, Hellerschmid 2013, 331–332 und Abb. 3.

703. Sauter, Wurst, Hoke 1976, 108. – Sauter 1988, 171–173.

704. Koch- und Backzubehör: Backhaube, Backplatten, Webgeräte. – Eibner 1976.

705. Hellerschmid, Griebl in Vorbereitung.



Abb. 142: Grube V5001 am „Wagneracker“: Das Profil im Überblick und ein Detail (rechts oben) zur Fundsituation der „Getreidelage“ in Schicht 20011 am Grubenboden (Grabungsdokumentation Stillfried, Landessammlung Niederösterreich, Bereich Ur- und Frühgeschichte, Fotonrn. ST03865, 03869).

3.7.7 Nachtrag zur archäobotanischen Fundsituation in der urnenfelderzeitlichen Grube V5001: zwei Kleinproben verkohlter Pflanzenreste (Michaela Popovtschak)

Die urnenfelderzeitliche **Grube V5001 am „Wagneracker“** in Stillfried an der March wurde während der archäologischen Grabungskampagnen 1987 und 1988 freigelegt.[706] Am Grubengrund waren neben diversen Schuttabfällen und Hausmüll auch Verkohlungsspuren auffällig gewesen, die mit freiem Auge deutlich erkennbare Ansammlungen von Pflanzenresten aufwiesen (Abb. 142).

Aus diesem als Getreidelage bezeichnetem Bereich war eine Sedimentprobe von 80 l entnommen worden, die bereits archäobotanisch untersucht und ausgewertet wurde.[707] Bei einer kürzlich erfolgten Sichtung des archäologischen Depotmaterials[708] fanden sich nun noch zwei weitere, bisher unbearbeitete Kleinproben aus derselben Verfüllung. Beide Proben bestanden hauptsächlich aus verkohlten Pflanzenresten, die direkt handverlesen wurden. Es gibt keinen Vermerk, ob es sich dabei um Direktbergungen von in hoher Funddichte vorgefundenen Pflanzenresten oder um (Teile) bereits aufbereitete(r) Fraktionsrückstände handelt. Allerdings fehlen erdige und/oder aschige Anteile völlig und gleichzeitig liegen Sand- und Lehmreste vor, weshalb ein erfolgter Siebvorgang (nass oder trocken) angenommen wird. Die Pflanzenreste[709] sind größtenteils gut erhalten (Abb. 143).

Wie die seit längerem ausgewertete Sedimentprobe wurden auch die Kleinproben vom Grubengrund geborgen, sie sind jedoch zwei unterschiedlichen Schichten zugeordnet. Die **Probe FNr. St. 16382.1** wurde im Ostteil der Grube aus **Schicht 20011 (Getreidelage)** entnommen, die der Grubensohle unmittelbar auflag (Taf. 70/2). Sie umfasst eine Gesamtmenge von 1,73 g und besteht neben wenigen Holzkohlebruchstücken nur aus verkohlten Getreideresten. Nachgewiesen sind Körner verschiedener Weizenarten (Abb. 144), wobei an Fundzahl jene von Dinkel (*Triticum spelta*) überwiegen (Abb. 144/3). Von diesem Spelzweizen ist außerdem der einzige Druschrest, eine Ährchengabel (Abb. 144/4), erhalten. Weiters sind Körner von Einkorn (*Triticum monococcum*, Abb. 144/2), Emmer/Dinkel (*Triticum dicoccum/spelta*) und Nacktweizen (*Triticum aestivum* s.l./*durum/turgidum*, Abb. 144/1)[710] belegt. Darüber hinaus kommen auch Körner der Saat-Gerste (*Hordeum vulgare* s.l.) und insgesamt vier Hirsekörner vor, wovon drei Exemplare der Echt-Rispenhirse (*Panicum miliaceum*) zugeordnet werden konnten. Unter

706. Archäologische Angaben zu Grube V5001 und ihrer Lage in der Höhensiedlung siehe Kap. 10.1.2 und Abb. 14.

707. Siehe Kohler-Schneider 2001, 57–62, 153: Die Grube V5001 wird darin noch als Grube A3/1 bezeichnet. Ebenda, 57: „Nahe der Grubensohle befanden sich ein Band mit reichlich Holzkohle und eine dichte Lage verkohlten Getreides.“

708. Die Durchsicht erfolgte im Rahmen des FWF-Projekts 28005-G25 „Ressourcensicherung, Macht und Kult in Stillfried?“ (Projektleitung: M. Lochner, OREA – Institut für Orientalische und Europäische Archäologie, Österreichische Akademie der Wissenschaften). – Für das Interesse, die Möglichkeit und viele Hintergrundinformationen zur archäobotanischen Bearbeitung der Proben danke ich Monika Griebl und Benedikt Biederer.

709. Den Pflanzennamen ist bei erster Nennung in Klammer auch der wissenschaftliche Name beigefügt. Taxonomie und Nomenklatur/deutsche Pflanzennamen folgen Fischer, Adler, Oswald 2008, ausgenommen bei Emmer (*Triticum dicoccum*), die der in der archäobotanischen Literatur üblichen Bezeichnung entspricht.

710. Nacktweizen (*Triticum aestivum* s. l./*durum/turgidum*) bezeichnet eine Sammelgruppe aus den freidreschenden Weizenarten Saat-Weizen (*Triticum aestivum* s. l.), Hart-Weizen (*Triticum durum*) und Rau-Weizen (*Triticum turgidum*). Eine genaue Abgrenzung der einzelnen Arten ist nur bei Vorliegen charakteristischer Ährchen- bzw. Ährenteile möglich, die im archäobotanischen Fundgut seltener erhalten sind als ihre Körner.

Grabungsbereich und Grabungsjahr	**Wagneracker 1987**		**Wagneracker 1988**		
Probe-Fundnummer	**16382.1**		**16696.1**		
Befund	Schicht 20011: verkohlte Getreidelage am Grubenboden, unter Brandschicht 20012		Schicht 20012: große Brandschicht im unteren Grubenbereich		
Probenmenge gesamt	1,73 g		52 ml = 16,35 g		
Anteil Sand und Lehm	0,09 g		ca. 4 ml		
Holzkohlereste	0,3 ml = 0,074 g		–		
verkohlte Samen/Früchte und Druschreste	gesamt: 5,5 ml = 1,566 g		ausgelesen: 47 ml = 11,3 g		
KULTURPFLANZEN	Fundzahl	g	ml	g	
Hordeum vulgare s.l.	6	0,032	–		Saat-Gerste i.w.S.
Panicum miliaceum	3				Echt-Rispenhirse
einzelne Körner, oft bespelzt			14	3,011	
			(davon 2 ml gezählt: 473 Funde)		
verbackene Körner, bespelzt			ca. 15	3,047	
Körner- und Spelzenreste			18	5,16	
Panicoideae	1		–		Hirse unbestimmt
Triticum aestivum s.l./*durum/turgidum*	7	0,053	–		Nacktweizen
Triticum dicoccum/spelta	20	0,17	–		Emmer/Dinkel
Triticum monococcum	19	0,136	–		Einkorn
Triticum spelta	66	0,775	–		Dinkel
Triticum spelta, Ährchengabel	1		–		
Triticum sp.	13	0,144	–		ein Weizen
Cerealia indet.	16	0,2	–		Getreide unbestimmt
Cerealia indet., Scutella	3		–		
WILDPFLANZEN					
Digitaria sanguinalis	–	–	24 Funde		Blut-Fingerhirse
Σ	155				

Abkürzungen: g … Gramm; ml … Milliliter; sp. … species; indet. … indeterminata = unbestimmt; s.l. … sensu lato = im weiteren Sinn (i.w.S.).

Abb. 143: Verkohlte Pflanzenreste zweier Kleinproben aus der urnenfelderzeitlichen Grube V5001 vom „Wagneracker" (FNrn. St. 16382.1, 16696.1).

den nicht genauer bestimmbaren Getreideresten (Cerealia indet.) befinden sich mehrere Kornfragmente und drei einzelne Scutella.[711]

Dieses Getreidespektrum entspricht weitgehend den Ergebnissen der bereits bearbeiteten 80-l-Sedimentprobe.[712] Allerdings sind in Letzterer deutlich mehr Hirsekörner und insbesondere viele kleinsamige/-früchtige Wildpflanzen belegt, die in der Kleinprobe fehlen. Möglicherweise ist dieses Resultat der Verwendung eines Siebes größerer Maschenweite zuzuschreiben, wobei kleine Pflanzenreste abgetrennt wurden?

Die zweite Kleinprobe, **Probe FNr. St. 16696.1**, stammt aus der **Brandschicht 20012**, welche die Schicht 20011 überdeckt (Taf. 70/3). Sie umfasst 16,35 g und besteht – soweit beurteilbar – aus untereinander verbackenen und einzeln vorliegenden Körnern, Kornfragmenten und Spelzenresten von Hirse (Abb. 145).[713]

711. Das Scutellum (Plural Scutella) ist Teil des Getreidekorns. In Form eines Schildchens liegt es zwischen dem Nährgewebe des Getreidekorns und dem Keimling und dient bei der Keimung zur Aufnahme der Nährstoffe.

712. Die 80-l-Sedimentprobe enthielt 186 g = 521 ml verkohlte Pflanzenreste. In den ausgewerteten Stichproben (40 ml) fanden sich neben 1222 Resten von Kulturpflanzen auch 621 Reste von Wildpflanzen (40 ml und zusätzliches Fundgut einbezogen) sowie u. a. als Hirsotto („… aus entspelzter Rispenhirse, Gerste und Roggentrespe") interpretierte Breireste, siehe Kohler-Schneider 2001, 40–41 und Tab. 1; 57–62 und Tab. 5, 6.

713. Ein kleiner Anteil dieser stark verbackenen Hirsereste wurde von M. Kohler-Schneider (Universität für Bodenkultur) zur Altersbestimmung an W. Kirleis (Universität Kiel) übersandt, siehe Kap. 1.4.2. DFG-Projekt „Scales of Transformations: Human-Environmental Interaction in Prehistoric and Archaic Societies", Projektnr. 2901391021.



Abb. 144: Verkohlte Getreidereste aus der Grube V5001 in Stillfried an der March, Probe-FNr. St. 16382.1 aus Schicht 20011. Dargestellt sind je ein Korn in Vorder-, Rücken- und Seitenansicht von Nr. 1: Nacktweizen (*Triticum aestivum* s.l./*durum*/*turgidum*), Nr. 2: Einkorn (*Triticum monococcum*), Nr. 3: Dinkel (*Triticum spelta*) sowie Nr. 4: eine Ährchengabel von Dinkel. Beigefügte Messlatten = 1 mm. Rechts: Feldbestand von Dinkel (Zeichnungen und Foto: M. Popovtschak).

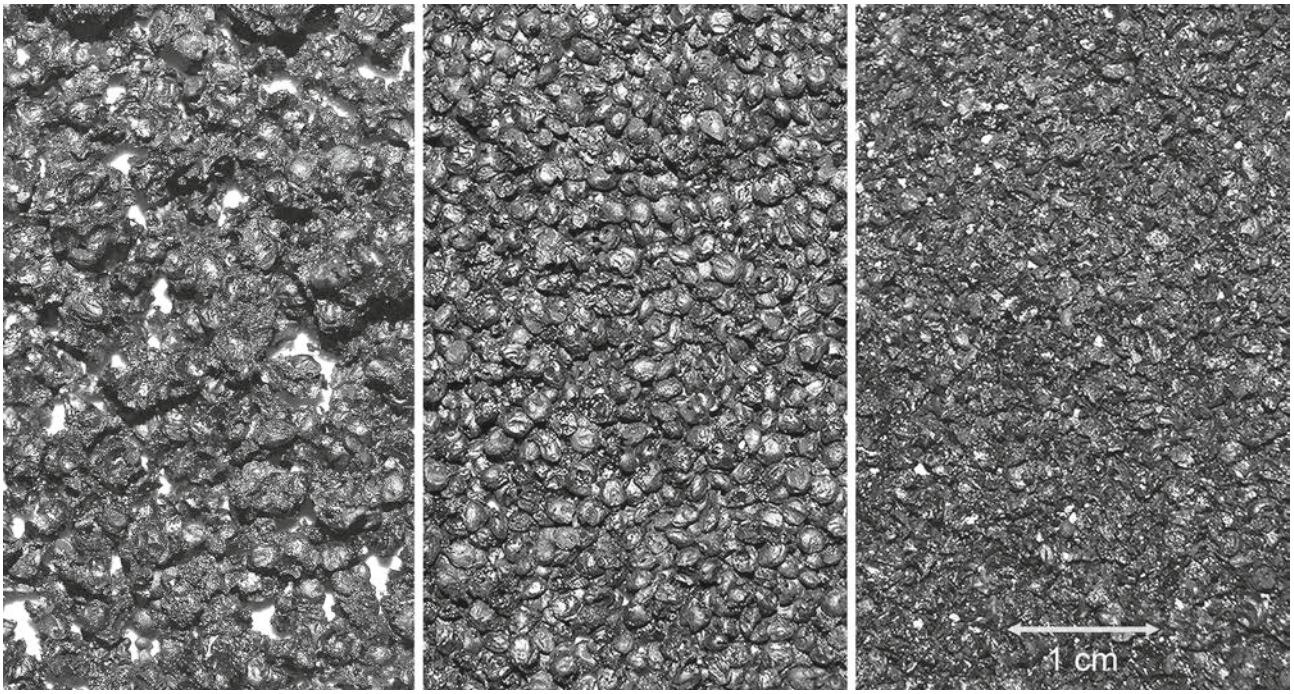


Abb. 145: Verkohlte Hirsereste aus der Grube V5001 in Stillfried an der March, Probe-FNr. St. 16696.1 aus Schicht 20012: verbackene „Hirseklümpchen“ (links), einzelne ganze Körner (Mitte) und fragmentierte Körner- und Spelzenreste (rechts; Fotos: M. Popovtschak).

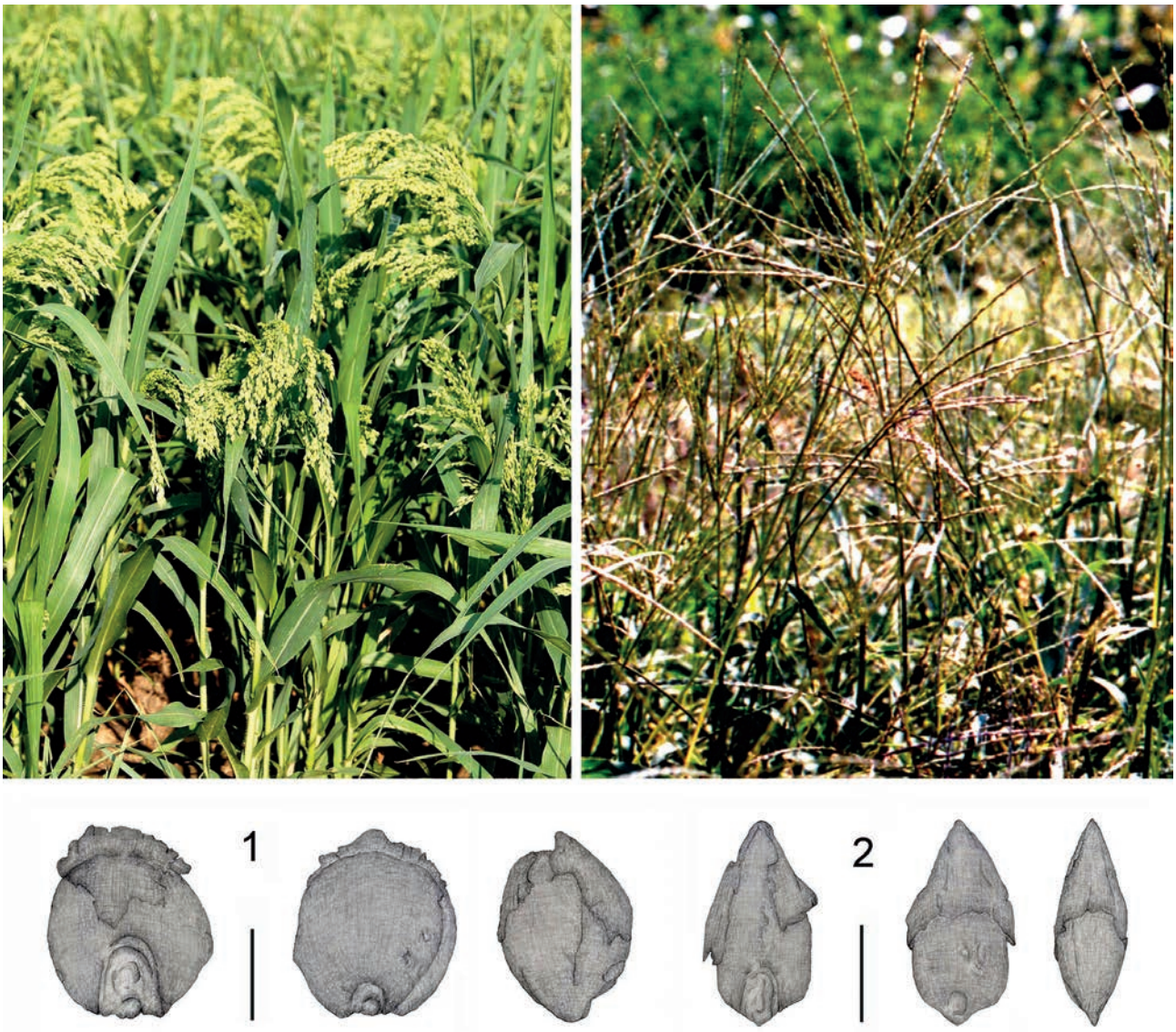


Abb. 146: Verkohlte Pflanzenreste aus der Grube V5001 in Stillfried an der March, Probe-FNr. St. 16696.1 aus Schicht 20012. Dargestellt sind je ein Korn in Vorder-, Rücken- und Seitenansicht von Nr. 1: Echt-Rispenhirse (*Panicum miliaceum*) und Nr. 2: Blut-Fingerhirse (*Digitaria sanguinalis*). Beigefügte Messlatten = 1 mm. Darüber die entsprechenden, fruchtenden Pflanzen (Zeichnungen und Fotos: M. Popovtschak).

Der fragile Erhaltungszustand und der sich kontinuierlich vergrößernde Fragmentierungsgrad der Fundstücke erinnert an einen ehemals kompakt geborgenen „Hirseklumpen", der – vielleicht bei einer reinigenden Aufbereitung – inzwischen zerbrach. Alle noch verbackenen Hirseklümpchen wurden belassen, weshalb nur ihre sichtbaren (äußeren) Anteile in die Bestimmungen einbezogen werden konnten. Dementsprechend handelt es sich bei dem Fund um (eine Handvoll) Körner der Kulturhirse Echt-Rispenhirse (Abb. 146/1). Sowohl an einzelnen Körnern als auch in den verbackenen Klümpchen sind meist Spelzen/Spelzenreste erhalten. Die Hirsekörner dürften somit vor der Feuer-/Hitzeeinwirkung in bespelzter Form vorgelegen sein. Hinsichtlich vieler, nun auch unbespelzt erhaltener Körner ist auf die einzeln belegten Spelzenreste zu verweisen, die sich wohl inzwischen abgelöst haben oder abgerieben wurden. Das Fehlen größerer Druschreste, wie Achsen/Stängel der Rispen und Blätter/Blattspreiten, erlaubt den Schluss, dass erste Aufbereitungsschritte am Hirseerntegut bereits erfolgt waren und das Hirsestroh von den noch bespelzten Hirsekörnern abgetrennt worden war.[714] Diese überwiegend gut

714. Anders etwa in Zug-Sumpf (Schweiz): „Neben unbespelzten Körnern und Spelzenresten kommen auch viele bespelzte Körner vor. Teile ganzer Rispen … können als Hinweis auf frisch eingelagertes Erntegut gedeutet werden.", Jacomet, Karg 1996, 236.

ausgeformten = reifen Körner stellen zusammen mit mehreren auffällig kleinen, als unreif gewerteten Körnern ein typisches Speichergut dar. Der Vorrat könnte beispielsweise bei einem Schadfeuer oder im Zuge einer Endnutzung (Entspelzung und Nahrungsbereitung) in ein Feuer geraten sein, verkohlte dabei und wurde anschließend in die „Abfallgrube“[715] entsorgt. Jedenfalls waren keine Hinweise auf einen bereits eingesetzten Keimungsbeginn oder Schädlingsbefall erfassbar. Auch Reste von Wildpflanzen/Ackerbeikräutern sind mit lediglich 24, ebenfalls größtenteils bespelzten Körnern der Blut-Fingerhirse (*Digitaria sanguinalis*, Abb. 146/2) nachgewiesen. Diese Wildhirse kommt heute auf Äckern, etwa in Hirsefeldern, in Gärten und auf trockenen Ruderalstellen vor.

Die Ergebnisse beider Proben lassen sich gut in das bereits bekannte Pflanzenspektrum der Grube V5001 einfügen. Zudem bestätigen vor allem die Funde von Dinkel und Echt-Rispenhirse zwei wichtige Getreidearten ihrer Zeit.[716] Bezüglich der Fundsituation kann weitgehend ausgeschlossen werden, dass die verkohlten Reste letzte Vorratsspuren der Primärnutzung dieser typischen Speichergrube sind. In den Gruben der Trockenbodensiedlung (Löß)[717] Stillfried an der March konnten keine Verziegelungen der Grubenränder festgestellt werden, die auf ein Ausbrennen oder eine Härtung der Randbereiche hinweisen.[718] Nach aktuellem Kenntnisstand ist folglich keine Verbindung zu einer Verkohlung ursprünglich darin aufbewahrter Vorratsreste vorgegeben. Die Pflanzenfunde der beiden Kleinproben aus zwei verschiedenen Schichten weisen die Ablagerungen am Grubengrund als unterschiedlich zusammengesetzt aus und zeigen eine zeitlich variierende Entstehung und Einbringung in diese nun sekundär genutzte Abfallgrube an.

715. Kohler-Schneider 2001, 59: Diskussion der typisch trapezförmigen Speichergrube und ihrer sekundären Nutzung als Abfallgrube.

716. Z. B. Stika, Heiss 2013a, 201–205.

717. In Trockenböden, die wiederholt trocken fallen und in denen dann Sauerstoff verfügbar ist, werden Pflanzenreste durch Kleinstlebewesen zersetzt. Sie überdauern nur, wenn sie in nicht mehr abbaubare Erhaltungsformen umgewandelt wurden, etwa wenn sie verkohlten. Genaueres siehe Jacomet, Kreuz 1999, 55–66. Zum Lößboden in Stillfried Kohler-Schneider 2001, 15: „… Löß … hohe Standfestigkeit … problemlose Anlage von Weinkellern und Vorratsgruben ohne weitere Auskleidung …“

718. Mündlicher Diskussionsbeitrag von C. Eibner im Rahmen der Expertengespräche des Projektes „Ressourcensicherung, Macht und Kult in Stillfried?“ (s. o.) am 16.05.2018 in Wien.

3.8 Drei verkohlte, ringförmige Teigobjekte als Fallstudie zur Analyse archäologischer Funde von Speiseresten (Andreas G. Heiss)[719]

Archäologische Funde zubereiteter Speisen enthalten als biogene Artefakte sowohl Informationen zu ihren Zutaten als auch zu den Techniken ihrer Zubereitung. Dadurch nehmen sie eine Schlüsselrolle in der Erforschung der materiellen Kultur der Ernährung ein, ihre Analyse birgt aber erhaltungsbedingt zahlreiche Herausforderungen. Standardisierte Methodensätze zu ihrer Entschlüsselung sind seit einigen Jahren in Entwicklung, jedoch noch nicht gänzlich etabliert. Die systematische Klassifizierung der untersuchten Objekte steckt noch gänzlich in den Kinderschuhen.

Der vorliegende Beitrag fasst zunächst einige grundlegende Überlegungen zur Bedeutung archäologischer Speisereste aus Sicht des Archäobotanikers zusammen. Am Beispiel dreier außergewöhnlicher Funde aus Stillfried an der March werden Ansätze zur systematischen Analyse, zur Modellierung von Handlungsabfolgen (*chaînes opératoires*) und zur Klassifizierung dieser Materialgruppe vorgeschlagen.

Bei den diskutierten Objekten handelt es sich um drei ursprünglich wohl ringförmige, verkohlte Gebilde aus organischem Material, die sich im Zuge der Untersuchung als getreidebasierte Lebensmittel herausstellten. Sie waren aus fein gemahlenem Mehl aus Gerste (*Hordeum vulgare*) und einer Weizenart (*Triticum* sp.) hergestellt worden. Der geringe Wassergehalt des Teiges führte beim Formen zur

719. Die Analysen der organischen Ringe wurden durch den Europäischen Forschungsrat im Projekt „PLANTCULT: Identifying the food cultures of ancient Europe“ im Rahmen des Forschungs- und Innovationsprogramms Horizon 2020 der Europäischen Union finanziert (Grant Agreement No. 682529, Consolidator Grant 2016-2021, PI S. M. Valamoti). Die Radiokarbondatierung von St 12050.4 (Beta-486379) wurde dankenswerterweise durch backaldrin – The Kornspitz Company finanziert. Großer Dank gilt Daniel Oberndorfer (ÖAW-ÖAI) für die kompetente konservatorische Begleitung der Untersuchungen sowie Robert Linke (Referat Naturwissenschaftliches Labor des Bundesdenkmalamtes) für die Durchführung und Interpretation der FTIR-Analysen. Großer Dank gebührt Niki Gail (ÖAW-ÖAI) für die Anfertigung der lichtoptischen und Rudolf Erlach (Institut für Kunst und Technologie, Universität für Angewandte Kunst Wien) für die Anfertigung der elektronenoptischen Aufnahmen. Für die wertvollen Diskussionen in der Methodenentwicklung gilt der größte Dank folgenden Kolleginnen und Kollegen im PLANTCULT-Projekt (in alphabetischer Reihenfolge): Ferran Antolín, Marian Berihuete Azorín, Elena Marinova, Hans-Peter Stika, Soultana Maria Valamoti. Der Autor bedankt sich außerdem herzlich bei Estella Weiss-Krejci (ÖAW-OREA), Véronique Zech-Matterne (MNHN Paris) und Ann-Marie Hansson (ehem. Stockholms Universitet) für die wertvollen und konstruktiven Diskussionen.

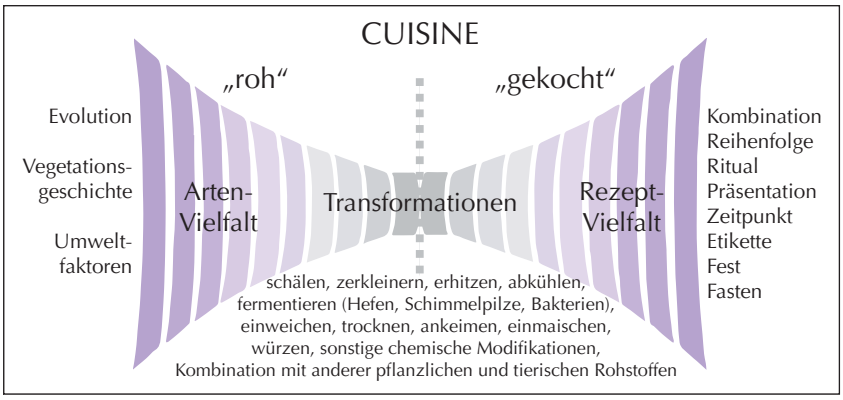


Abb. 147: Die Kochkunst (*cuisine*) als Raum der Möglichkeiten der Transformation von Lebensmitteln (Bild: Katz, Voigt 1986, verändert).

Ausbildung von Rissen. Es ist unklar, ob die Teigringe vor dem Verkohlen gebacken oder nur luftgetrocknet wurden.

Die mögliche Bedeutung der Funde für die Ablagerungsgeschichte der Grube wird vor dem Hintergrund des „merkwürdigen“ Fundzusammenhangs mit 14 teils nur fragmentarisch erhaltenen, ebenfalls ringförmigen Webstuhlgewichten und Teilen von Hausrat diskutiert.

3.8.1 Verarbeitete Lebensmittel in der Archäologie

Nahrung ist zunächst vor allem eine physiologische Notwendigkeit. Die gesellschaftliche Dimension von Nahrungsmitteln geht dabei jedoch weit über rein „objektive“ Merkmale wie etwa Verfügbarkeit, Zweckmäßigkeit und Lagerfähigkeit, Nährwert und sensorische Eigenschaften hinaus. Ihre ständig erforderliche Zufuhr zur Lebenserhaltung verschafft Nahrungsmitteln die Sonderstellung, dass sie trotz ihres Charakters als Verbrauchsgut und ihrer – im Idealfall – Alltäglichkeit dennoch als besonders bedeutungsvolle Stoffe wahrgenommen werden, sie sind „sowohl kognitiv herausragend als auch physisch allgegenwärtig“.[720]

Die Erforschung der Bedeutung von Ernährungsmustern für die Wertebildung, die gesellschaftliche Differenzierung oder die Zuweisung von Geschlechterrollen beschäftigt seit der Mitte des 19. Jahrhunderts Kulturphilosophie sowie soziale und historische Anthropologie.[721] Fragen nach dem gesellschaftlichen Stellenwert von Nahrung sind dementsprechend auch in der Archäologie von zentraler Bedeutung.[722]

Neben den eigentlichen Rohmaterialien kommt in diesen Betrachtungen stets auch den in der Speisenzubereitung durchlaufenen Handlungsabfolgen (*chaînes opératoires*) eine große Bedeutung zu. Wie das Weitergeben von Rezepten ist der transformative Akt der Zubereitung sehr stark von kulturellen Einflüssen geprägt. Er geht weit über die reine Auswahl der Zutaten[723] hinaus und ist für das Selbstverständnis von Einzelpersonen und Gruppen von größtem Belang. Dies scheint für von Nahrungsknappheit geprägte Gesellschaften[724] ebenso zuzutreffen wie für solche mit Nahrungsüberschuss.[725] Man mag hier Claude Lévi-Strauss folgen, der zur Kochkunst (*cuisine*) meint, sie sei, wie auch die Sprache, eine „wahrhaft universelle Form menschlicher Aktivität“,[726] oder auch Andrew Sherratt, der schlicht festhält: „Menschen essen keine Arten, sondern Speisen“.[727]

Die vorliegende Abhandlung soll neben dem Vorstellen der Analysen der Untersuchungsobjekte[728] aus Stillfried an der March auch einige weitergehende Betrachtungen betreffend Untersuchungsmethoden und Interpretation archäologischer Speisereste anreißen, wie sie in ähnlicher Form auch an anderer Stelle vorgelegt sind.[729]

3.8.1.1 Kulinarik: Transformation von Lebensmitteln

Unabhängig vom gewünschten Ergebnis wird die Lebensmittelverarbeitung von allgemeinen, „objektiven“ Zielen geprägt, wie etwa der Verbesserung von Bekömmlichkeit,

720. „Both cognitively prominent and physically ubiquitous“, Twiss 2012, 360.

721. Samuel 1996a. – Mintz, du Bois 2002. – Twiss 2012. – Csáky 2014. – Twiss 2015a. – Hastorf 2016, 219–308.

722. Hodder 1992. – Garnsey 1999. – Bescherer Metheny, Beaudry 2015. – Hastorf 2016. – Renfrew, Bahn 2016, 273–316.

723. Mintz, du Bois 2002. – Snyder 2009. – Buccini 2016. – Hastorf 2016, 219–308.

724. Meyer-Rochow 2009.

725. Zeller 2015.

726. „Une forme d’activité humaine véritablement universelle“, Lévi-Strauss 2004.

727. „People do not eat species, they eat meals“, Sherratt 1991.

728. Größtenteils aufbauend auf Heiss et al. 2019.

729. Heiss 2019. – Heiss, Gail 2019.

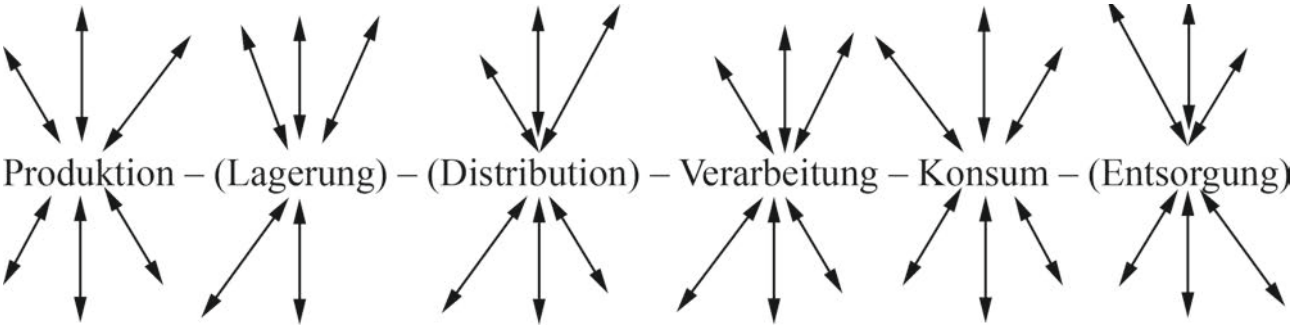


Abb. 148: Mensch-Objekt-Interaktionen entlang einer Handlungskette (*behavioural chain*) für Nahrungsmittel. Aktivitäten in Klammer sind fakultative und mobile Elemente, die an unterschiedlichen Stellen der Kette stattfinden können. Grundlage: Hodder 2011, 159 (Ergänzungen basierend auf Samuel 1996a. – Twiss 2012. – Hastorf 2016).

Nährwert, Haltbarkeit oder Geschmack. Innerhalb der so gesteckten Grenzen gibt es jedoch eine Vielzahl von Möglichkeiten, wie Bestandteile der Natur tatsächlich in den sozialen Raum einer Kultur eingebunden werden.[730] Dieser Möglichkeitsrahmen für die Umwandlung von Lebensmitteln lässt sich bestens mit dem Begriff der *cuisine* (Abb. 147) zusammenfassen, d. h. der Kochkunst oder Kulinarik. Anthony Buccini definiert Kulinarik als „die kulturelle Domäne, die vornehmlich mit dem Wissen und dem Verhalten befasst ist, das eine bestimmte kulturelle Gemeinschaft in Zubereitung und Konsum von Nahrung aufweist".[731]

3.8.1.2 Lebensmittel sind Artefakte

Archäologische Funde von Pflanzenteilen wie etwa Getreidekörner werden in der Archäologie gemeinhin als Ökofakte und damit als nicht-artefaktische Funde angesehen.[732] Eine entsprechende Begriffsklärung als „unveränderte biologische Reste einschließlich Pflanzen und Tiere, deren Ablagerung auf menschliche Aktivität zurückgeht" findet sich beispielsweise bei Christopher Morehart und Shanti Morell-Hart[733] und, daraus folgend, dass „Ökofakte nicht als Artefakte betrachtet werden, solange keine klaren Hinweise vorliegen, dass sie verändert wurden".[734]

Funde verarbeiteter Lebensmittel hingegen fallen als materielle Ergebnisse menschlichen Handelns und menschlicher Kreativität klar unter die gängigen Beschreibungen dessen, was als Artefakt zu betrachten ist.[735] Die Beschäftigung mit diesen Artefakten fand in theoretischen Überlegungen zur Archäologie jedoch eher selten Eingang. So diskutieren beispielsweise James Schiffer und Michael Skibo in ihren Arbeiten zur *behavioural archaeology* zwar die enge Verbindung zwischen Kochgefäßen und Lebensmittelverarbeitung, doch liegt ihr Blickpunkt fast ausschließlich auf der Keramik, nicht auf den Speisen selbst.[736] Ganz anders spielen Speisereste in Ian Hodders Überlegungen zumindest als potenziell interessante Untersuchungsobjekte eine Rolle (Abb. 148).[737] Ein auch in seinen theoretischen Betrachtungen umfassendes Werk zur Archäologie der Nahrungsmittel wurde letztens durch Christine Hastorf vorgelegt.[738]

3.8.1.3 Forschungspotenziale für die Archäobotanik

Die Analyse pflanzlicher Materialien zur Entschlüsselung früherer Essgewohnheiten steht vor der Herausforderung, dass die eigentlichen Lebensmittel über archäologische Pflanzenreste normalerweise nur schwer zu fassen sind: Archäobotanische Untersuchungen fußen zum allergrößten Teil entweder auf Funden der Ausgangsmaterialien, wie etwa von Getreidekörnern, oder auf den nicht essbaren Nebenprodukten ihrer Verarbeitung, beispielsweise von Druschresten.[739]

730. Sherratt 1991. – Dietler 1997. – Hayden 1997. – Palmer, van der Veen 2002. – Haaland 2007. – Hastorf 2016.

731. „The cultural domain which is principally concerned with the knowledge and behaviour of a given cultural community regarding the preparation and consumption of food", Buccini 2016, 12.

732. Jones 2005. – Renfrew, Bahn 2008.

733. „Unmodified biological remains, including plants and animals, whose deposition was the result of human activity", Morehart, Morell-Hart 2015.

734. „Ecofacts typically are not considered artefacts unless clear indications exist that they were modified", Morehart, Morell-Hart 2015.

735. Miller 1982. – Peacock 1991. – Balme 2007.

736. Skibo, Schiffer 2008, 37–52. – Schiffer et al. 2010, 99–100, 162.

737. Hodder 2011. – Hodder 2012, 40, 54–58.

738. Hastorf 2016.

739. Stevens 2003. – Capparelli, Valamoti, Wollstonecroft 2011. – Twiss 2015b.

Auch die Untersuchung des „Danach", d. h. die Analyse von Magen- und Darminhalten[740] oder von Fäkalienresten,[741] erlaubt zwar Aussagen über die Bandbreite der verzehrten Pflanzen, jedoch nicht über ihre Zubereitung. Es gilt also, sich den Resten der eigentlichen Lebensmittel methodisch zu nähern und zu versuchen, ihren Zutaten und Herstellungsweisen auf die Spur zu kommen.

Während jedoch die Datenlage zu ackerbaulicher Vielfalt und zum Spektrum von Rohmaterialien von Lebensmitteln in den letzten Jahrzehnten stark angewachsen ist,[742] blieben archäologische Speisezubereitungen mangels verfügbarer Daten lange Zeit unverstanden. Glücklicherweise hat die interdisziplinäre Erforschung von Speiseresten in letzter Zeit deutlich an Schwung gewonnen und es liegen zunehmend Arbeiten vor, die Zutaten und Produktionsweisen archäologischer Nahrungsmittelfunde schrittweise besser erfassbar machen.[743] Die daraus gewonnenen Erkenntnisse zu Zutaten und Herstellungsweise bieten Einblicke in Nährwert, sensorische Qualität oder den zur Herstellung der Speisen notwendigen Zeitaufwand und erleichtern auch die Einschätzung ihrer gesellschaftlichen Bedeutung.[744]

3.8.1.4 Erhaltungsmöglichkeiten

Egal ob am Ende Mus, fermentiertes Brot, eine Suppe oder etwas völlig Anderes[745] entsteht, ob frisch genossen werden soll oder für später vorbereitet: Die Herstellung verarbeiteter Lebensmittel ist immer ein absichtsvoller Prozess, der zumindest vorwiegend die Bekömmlichkeit des Ausgangsmaterials verbessern soll. Unverdauliche oder zähe Pflanzenteile[746] werden bestmöglich entfernt, beim Zerkleinern werden Zellwände mechanisch aufgebrochen, um den Zellinhalt der menschlichen Verdauung zugänglicher zu machen.[747] Fermentation und Kochen schließlich dienen der Verbesserung der Verdaulichkeit[748] und der Haltbarkeit,[749] nicht zuletzt wirken sie sich auch positiv auf Textur, Kau- und Geschmackserlebnis aus.[750]

Alle diese Kulturtechniken, die dem Menschen erlauben, eine Vielzahl ansonsten schwer oder gar nicht verdaulicher Nahrungsressourcen zu erschließen,[751] stehen den Erhaltungschancen und der Identifizierbarkeit der Bestandteile diametral entgegen: Mikroskopisch bestimmbare Bestandteile werden mit zunehmender Verarbeitung seltener und fragmentieren stärker,[752] die Widerstandsfähigkeit des Endprodukts gegenüber mikrobiellem Abbau verschlechtert sich massiv. Selbst unter den sonst so günstigen Erhaltungsbedingungen in wassergesättigten Sedimenten zerfallen Mehlerzeugnisse in kürzester Zeit.[753] Außerhalb von ariden Gebieten mit der Möglichkeit trockener Erhaltung[754] ist die Erforschung von Getreideerzeugnissen[755] somit auf verkohlte Reste beschränkt.[756]

Diese Erhaltungsform ist für die Bestimmbarkeit verarbeiteter pflanzlicher Gewebe zumindest nicht grundsätzlich problematisch, da nicht nur die zur Bestimmung notwendigen Zellwandstrukturen,[757] sondern auch Zellbestandteile wie etwa Stärkekörner verkohlt erhalten bleiben können.[758] Chemische Analysen hingegen werden durch die beim Verkohlen stattfindende Pyrolyse stark erschwert, da diese die Ausgangsmaterialien massiv verändert.[759] Die Ergebnisse entsprechender Studien an verkohlten Speiseresten sind demgemäß bislang auch eher vage.[760]

740. Rollo et al. 2002. – Oeggl et al. 2007. – Fahmy 2008.

741. Brombacher, Rehazek, Veszeli 2000. – Wiethold 2003. – Thanheiser 2011.

742. Siehe exemplarisch Zohary, Hopf, Weiss 2012. – Chevalier, Marinova, Peña-Chocarro 2014.

743. Heiss 2014. – Heiss et al. 2015. – Kubiak-Martens, Brinkkemper, Oudemans 2015. – González Carretero, Wollstonecroft, Fuller 2017. – Heiss et al. 2017. – Arranz-Otaegui et al. 2018. – Fairbairn et al. 2018. – Heiss et al. 2019. – Heiss, Gail 2019. – Valamoti et al. 2019.

744. Heiss et al. 2015. – Heiss et al. 2017. – Valamoti et al. 2017.

745. Heiss 2015. – Antolín et al. 2016. – Cappers 2018.

746. Etwa Spelzen, siehe Münzing 2004.

747. Heaton et al. 1988. – Waldron, Parker, Smith 2003.

748. Liener 1979. – Dreher et al. 1984. – Helou et al. 2016.

749. Stahl 1989. – Steinkraus 1996, 1–5. – Wandsnider 1997. – Bamforth 2005, XIV–XVI.

750. Maillard 1912. – De Kimpe, Keppens 1996. – Fogliano 2016. – Zhou, Ohata, Arihara 2016. – Gao et al. 2017.

751. Wollstonecroft 2011.

752. Kubiak-Martens, Brinkkemper, Oudemans 2015.

753. Samuel 2002.

754. Samuel 1994b.

755. Zur Definition eines Getreideerzeugnisses später. Es soll an dieser Stelle auch erläutert werden, warum die vorliegende Betrachtung archäologischer Lebensmittel vor allem jene auf Getreidebasis thematisiert. Dies gründet sich nicht nur auf der gut dokumentierten, großen Bedeutung von Getreiden als nahezu überall vorkommendes Grundnahrungsmittel in Europa, sondern auch darauf, dass die Methoden zur Bestimmung mikroskopisch kleiner Fragmente besonders für Getreide gut etabliert und standardisiert sind, beginnend mit Dickson 1987. – Körber-Grohne, Piening 1981. – Samuel 1993. – Hansson, Isaksson 1994. Eine aktuelle Übersicht der wichtigsten Kriterien findet sich beispielsweise bei Heiss et al. 2017.

756. Heiss et al. 2017. – Heiss et al.2019.

757. Dickson 1987. – Hansson, Isaksson 1994.

758. Valamoti et al. 2008. – Berihuete Azorín et al. 2019.

759. Greenwood 1967. – Montoya et al. 2016.

760. Oudemans, Boon 1991. – Hillman et al. 1993. – Lannoy et al. 2002. – McLaren, Evans 2002. – Martínez Straumann 2004. – Kubiak-Martens, Brinkkemper, Oudemans 2015.

Neben der Taphonomie spielen mit ziemlicher Sicherheit auch die Methoden der Fundbergung und -aufbereitung eine Schlüsselrolle in der Erhaltung verkohlter Lebensmittel: Die Mehrzahl aller Funde archäologischer „Brote" wurde direkt geborgen und nicht mittels Flotation gewonnen.[761] Ungeachtet des für die moderne Archäobotanik essenziellen Charakters der Flotationstechnik zur Gewinnung verkohlter Pflanzenreste birgt diese gerade für größere verkohlte Objekte enormes Zerstörungspotenzial.[762] Für bei der Grabung bereits als solche erkennbare Anhäufungen von verkohltem Pflanzenmaterial sollte deshalb stets auch – möglichst unter konservatorischer oder archäobotanischer Begleitung – die Möglichkeit einer direkten Beprobung in Erwägung gezogen werden.

3.8.1.5 Überlegungen zur Klassifizierung archäologischer Lebensmittel

Grundlegende Kategorisierungen

Wie an anderen Stellen bereits ausgeführt,[763] fehlt es in der Analyse archäologischer Nahrungsmittelreste noch weitgehend an einer konsistenten Terminologie. Die Verwendung grundlegender und klar definierter Fundmerkmale ist jedoch bereits vor einer eingehenden Untersuchung sehr hilfreich, ungeachtet der Möglichkeiten einer späteren, genaueren Typologisierung.[764]

Einige grundlegende Fachausdrücke sind bereits auf Englisch definiert worden,[765] ihre Entsprechungen sollen an dieser Stelle vorgeschlagen werden: Für organische archäologische Funde, die Hinweise auf offenbar verarbeitete, d. h. absichtsvoll zerkleinerte, Getreidekörner enthalten, werden die Begriffe „Getreideerzeugnis" und „Getreideprodukt" vorgeschlagen.[766]

Außerdem wird der Terminus „brotartiges Objekt" als allgemeine Kategorie für jedes archäologische Getreideerzeugnis vorgeschlagen, das Spuren einer vermutlich absichtlichen Formgebung aufweist.[767] Einen derart sperrigen Begriff zu empfehlen, fußt auf der Überlegung, dass die in der Vergangenheit häufig verwendete Bezeichnung eines – eben brotartigen – archäologischen Fundes als „Brot" schon allein abhängig von der Sozialisation des Lesers oder der Leserin eine immense Interpretationsbreite im Verständnis möglich macht, quasi vom Baguette bis hin zum Pumpernickel. Jede einzelne dieser möglichen Einteilungen impliziert darüber hinaus auch spezifische, jedoch vor einer Analyse keinesfalls begründete Annahmen sowohl über die Zutaten als auch die *chaînes opératoires* ihrer Verarbeitung. Ein noch nicht untersuchtes organisches Objekt als „Brot" zu kategorisieren, ist vor diesem Hintergrund deshalb nicht sinnvoller als dessen Zuweisung zu Einordnungen wie „Kuchen" oder „Keks".[768]

Das Modellieren von chaînes opératoires

Wie eingangs erwähnt, richtet sich die Verarbeitungsweise von Lebensmitteln sowohl nach ökologischen und physiologischen Erfordernissen als auch nach sozialen Konventionen. Folglich sind die einzelnen Prozesse in all ihrer Variationsbreite in die komplexen sozialen Muster und Traditionen der jeweiligen Gemeinschaft eingebettet. Das Ergebnis sind Produktionsketten, die manchmal einfach und linear ausfallen, sich aber auch in scheinbar simplen Erzeugnissen als äußerst vielschichtig herausstellen können.[769]

Ein weiteres Charakteristikum kulinarischer Praxis ist der Umstand, dass fast jedes Endprodukt wiederum Ausgangsprodukt eines neuen Lebensmittels werden kann. Am Beispiel von Brot im weitesten Sinne ausgeführt: Trockenes Brot kann wieder Bestandteil einer Suppe werden,[770] vermahlen und mit frischem Mehl vermischt ist es potenziell aber auch Zutat neuen Brotes.[771] Nicht gänzlich durchgebackenes Brot kann als Basis für die Herstellung von Bier dienen.[772] Verbrauchtes, d. h. beim Brauen bereits genutztes Malz wiederum lässt sich als Zutat für das Brotbacken verwenden.[773] In Anbetracht solcher Überlegungen und auch der großen Unsicherheiten und Lücken, die die Analyse archäologischer Lebensmittelfunde derzeit noch offen lässt,[774] bleibt nur der Schluss, dass das Modellieren von *chaînes opératoires* für archäologische Lebensmittel in jedem Fall unvollständig bleiben muss. Diese Unvollständigkeit sollte

761. Ausführlicher bei Heiss, Gail 2019. – Heiss et al. 2019.

762. Wagner 1988. – Heiss, Oberndorfer 2016. – Arranz-Otaegui 2017.

763. Heiss et al. 2015.– Antolín et al. 2016. – Heiss et al. 2017.

764. Adams, Adams 1991, 298.

765. Heiss et al. 2017. – Heiss et al. 2019.

766. Entsprechend den Begriffen „*cereal product*" und „*cereal preparation*", siehe FAO 1994. – vgl. Bundesministerium f. Gesundheit u. Frauen 2010–2017.

767. Entsprechend dem Begriff „*bread-like object*" bei Heiss et al. 2017. – Heiss et al. 2019.

768. Oder gar „Wähe" oder „Knusper-Energie-Fladenbrot", siehe Währen 1994. – Währen 2000.

769. Umfangreiche ethnographische Erhebungen mit daraus modellierten *chaînes opératoires* finden sich etwa bei Steinkraus 1996.

770. Staub 1868, 9.

771. Neufeld 1907. – Seibel 1987, 200–201.

772. Samuel 2000. – Zarnkow et al. 2006. – Rosenstock, Scheibner 2017.

773. Samuel 1996b. – Kteniodaki et al. 2015.

774. In jüngster Zeit ausführlich dargelegt etwa bei Heiss 2019, 29–38, 39–51. – Heiss, Gail 2019. – Heiss et al. 2019. – Valamoti et al. 2019.

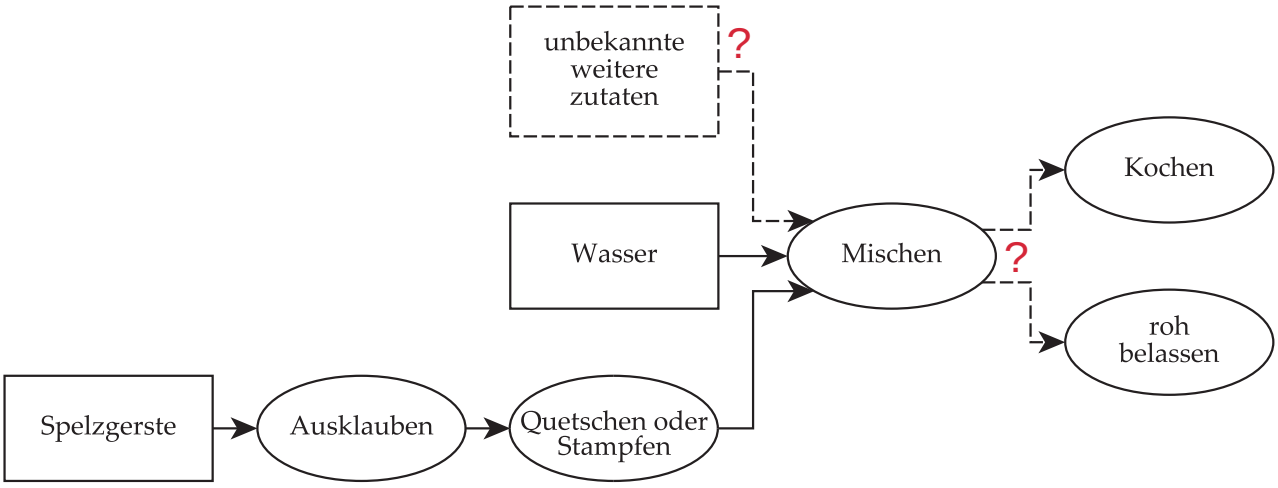


Abb. 149: Die erfolgten Handlungsschritte (*chaîne opératoire*) für den verkohlt erhaltenen Gerstenbrei aus dem kaiserzeitlichen Brandgrab 85/10 im Gräberfeld von Wederath-Belginum. Das Diagramm basiert auf den Erkenntnissen in Heiss, Gail 2019. Unsicherheiten bei Zutaten oder Prozessen sind durch strichlierte Linien sowie durch Fragezeichen markiert. So konnten etwa keine Informationen zu weiteren Zutaten außer Gerste und Wasser gewonnen werden. Ebenso wenig konnte entschieden werden, ob das Getreideerzeugnis vor dem Verkohlen gekocht wurde oder nicht.

jedoch unbedingt stets klar angesprochen und diskutiert werden, etwa in der Darstellung als kommentiertes Flussdiagramm (Abb. 149).

Perspektiven zur Klassifizierung

Will man kulinarische Typengliederungen für eine bestimmte Region oder Zeit erstellen, gilt es zunächst, möglichst umfassende Informationen über Kochrezepte zu sammeln. Durch Verallgemeinerung sowohl der Zutaten als auch ihrer *chaînes opératoires* lassen sich anschließend größere Kategorien von Speisen bilden – eine ausreichende Menge an Daten und hinreichend genaue Definitionen vorausgesetzt.[775] Diese Vorgangsweise ist der Einteilung archäologischer Funde aus Metall, Glas oder Keramik durchaus nicht unähnlich.[776]

Eine sinnvolle Typologisierung eines archäologischen Lebensmittelfundes sollte also grundsätzlich möglich sein, wenn die entsprechende Kategorie durch möglichst detaillierte Informationen zu 1) seiner Gestalt und Struktur, 2) seiner Zusammensetzung und 3) der Prozesskette seiner Herstellung bestimmt ist.[777] Zum aktuellen Forschungsstand erscheint dieses Ziel jedoch unerreichbar, denn mit den verfügbaren Methoden sind keine auch nur annähernd an den Detailgrad eines konkreten Kochrezeptes heranreichende Daten erfahrbar.[778] Die in Abschnitt 3.8.1.5 „Grundlegende Kategorisierungen" aufgezeigten Schwierigkeiten bleiben zum Teil unverändert auch nach einer Analyse bestehen.

Der Ansatz, Analogien zu modernen oder historischen Typen bzw. Kategorien herzustellen, wird seit Beginn der Erforschung archäologischer „Brotfunde" genutzt,[779] meist jedoch ohne Bezug zu Zutaten oder Herstellungsweise der Objekte. Solche Ansätze, die beispielsweise nur die äußere Gestalt eines Lebensmittelfundes als Grundlage für seine Zuteilung heranziehen,[780] sollten nach Möglichkeit vermieden werden.[781] Bis eine bessere Lösung greifbar wird, sei an dieser Stelle empfohlen, für herangezogene Analogien stets unmissverständlich auszuführen, in welchen der drei oben genannten Kriterien – d. h. 1) Gestalt und Struktur, 2) Zusammensetzung und 3) *chaîne opératoire* – der betreffende Fund mit der Vergleichskategorie übereinstimmt, in

775. González Turmo 2004, 768.
776. Hill, Evans 1972.
777. Vgl. Heiss 2019, 47.
778. Ergänzend zu den Unwägbarkeiten, die anhand des vorliegenden Materials vorgestellt werden, sei hier auch verwiesen auf Kubiak-Martens, Brinkkemper, Oudemans 2015. – Heiss et al. 2017. – Heiss et al. 2019. – Valamoti et al. 2019.
779. Exemplarisch sei auf O. Heers „Pfahlbau-Pumpernickel" verwiesen, s. Heer 1865, 9.
780. Beispielsweise ihre Bezeichnung als „Nudeln" rein aufgrund ihrer langgestreckten Form, Schmidt 1963. – Herbig 2016.
781. Auf die ganz spezielle Praxis im Opus M. Währens wurde schon an anderer Stelle eingegangen, siehe Heiss 2019, 26–27. – Heiss, Gail 2019, 74–75.

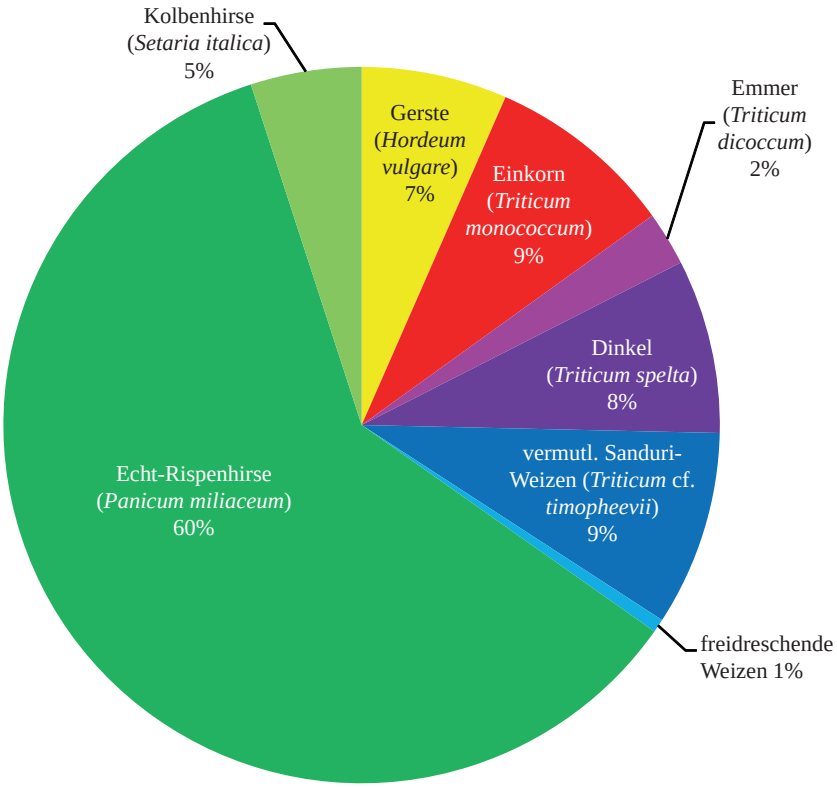


Abb. 150: Getreidespektrum aus dem spätbronzezeitlichen Stillfried. Die Originaldaten (Kohler-Schneider 2001) wurden vereinfacht, entsprechend der Vorgangsweise bei Stika, Heiss 2013b. – Stika, Heiss 2013a: Nur Körnerfunde mit genauer oder wahrscheinlicher (cf.) Artbestimmung sind inkludiert. Spreufunde wurden ebenso ausgeschlossen wie Körnerfunde, die nur auf Gattungsebene oder nur als Zwischengruppen bestimmt werden konnten. Freidreschende Weizen, die anhand der Körner nicht bis auf Artenniveau bestimmbar sind, werden als zu einer Art gehörig behandelt. Prozentwerte sind auf ganze Zahlen gerundet. N = 4.256.

	Hügelfeld			Wagneracker			
	V887	V888	V949	V5001	V5003	V5005	V5006
Brei	+	+	+	+	+	+	+
Brot	+	+	+	+	+	+	+
“Hirsotto”	–	–	–	+	–	–	+

Abb. 151: Bekannte Nachweise von Getreideerzeugnissen in spätbronzezeitlichen Grubenverfüllungen in Stillfried. Zuordnungen nach Kohler-Schneider 2001. Radiokarbondaten finden sich auf Abb. 152.

Grube	Labornr.	^{14}C-Alter	δ^{13}C (‰)	Kalibrierte Alter
V5400	Beta-486379	2780 ± 30 BP	-25,0	1004–844 cal BCE (95,4%)
*V5001	ETH-16498	2880 ± 50 BP	-22,0 ± 1,1	1210–926 cal BCE (95,4%)
*V5003	ETH-16497	2750 ± 50 BP	-25,3 ± 1,1	1005–811 cal BCE (95,4%)
*V5005	ETH-16499	2830 ± 50 BP	-22,1 ± 1,1	1126–844 cal BCE (95,4%)
*V5006	ETH-16500	2840 ± 50 BP	-22,9 ± 1,1	1131–893 cal BCE (91,1%)

Abb. 152: Radiokarbondaten (AMS) von Getreideerzeugnissen aus Stillfried an der March. Daten mit vorangestelltem * stammen aus Kohler-Schneider 2001. Die Nummerierung der Gruben wurde seit der Publikation von 2001 wie folgt verändert: V5001 = A3/1; V5003 = A/0 18; V5005 = Schnitt 7 Verfärbung 2; V5006 = Schnitt 7 Verfärbung 5. Alle Daten wurden mit OxCal 4 (Bronk Ramsey 2009) neu kalibriert, unter Nutzung der Kalibrierungskurve IntCal13 (Reimer et al. 2013).

welchen Aspekten er davon abweicht oder wo fehlende Informationen den Vergleich überhaupt erschweren bis verunmöglichen.

3.8.2 Die Stillfrieder Ringe

3.8.2.1 Forschungsstand zu Nahrungspflanzen und verarbeiteten Lebensmitteln aus der Siedlung

Die umfassende archäobotanische Bearbeitung des urnenfelderzeitlichen Stillfried an der March durch Marianne Kohler-Schneider hat eine Fülle von Wild- und Kulturpflanzen erbracht – vor allem aus den bereits erwähnten sekundär verfüllten Vorratsgruben, jedoch auch aus anderen Bezugsrahmen wie Öfen und Gefäßen.[782]

Ähnlich wie an weiteren spätbronzezeitlichen Siedlungen der Region[783] wird das Kulturpflanzenspektrum stark von Funden der Rispenhirse (*Panicum miliaceum*) beherrscht, auf die gut 60 % aller bestimmbaren Getreidekörner entfallen (Abb. 150).[784] Zu mehr oder weniger gleich großen Anteilen (7–9 %) folgen Spelzgerste (*Hordeum vulgare*), Einkorn (*Triticum monococcum*), Dinkel (*T. spelta*) und der „neue" Spelzweizen, der sehr wahrscheinlich dem modernen Sanduriweizen (*T.* cf. *timopheevii*) entspricht.[785] Kolbenhirse (*Setaria italica*), Emmer (*Triticum dicoccum*) und freidreschende Weizen (*T. aestivum*/*T. durum*/*T. turgidum*) finden sich nur in geringen Mengen.[786] Von den übrigen Kulturpflanzen sei hier nur exemplarisch auf die bemerkenswert frühen Funde des Kulturweins (*Vitis vinifera* ssp. *vinifera*) hingewiesen, die als Importe aus dem Mittelmeerraum interpretiert werden.[787]

Abgesehen von Samen und Früchten haben diese archäobotanischen Analysen jedoch auch zahlreiche Hinweise auf verschiedene verkohlte Getreideerzeugnisse ergeben (Abb. 151, 152): Breifragmente sind ebenso belegt wie Bruchstücke von (wohl gegangenem) Brot, welche eine deutliche Unterscheidung zwischen Krume und Kruste aufwiesen. Die dritte Kategorie verarbeiteter Lebensmittel wurde als eine breiartige Zubereitung aus grob zerkleinerten Körnern von Gerste, Rispenhirse und Roggentrespe (*Bromus secalinus*) gedeutet („Hirsotto") und war bereits Gegenstand experimenteller Ansätze zum Nachvollziehen von Herstellungsschritten und Geschmack.[788]

3.8.2.2 Zielsetzung der aktuellen Analysen

Die Struktur dreier verkohlter Bruchstücke von ursprünglich vermutlich ringförmigen organischen Objekten wurde systematisch untersucht, um zunächst die Hypothese zu überprüfen, dass es sich um Lebensmittel im weitesten Sinne handeln könnte. Bei Bestätigung sollten Hinweise auf die Zutaten und deren Verarbeitung gewonnen werden und diese Ergebnisse in Beziehung zu bisherigen Funden von Nahrungspflanzen und verarbeiteten Nahrungsmitteln von Stillfried an der March gestellt werden. Deutungsmöglichkeiten der Funde sollen vor dem Hintergrund des Fundzusammenhangs vorgeschlagen werden.

3.8.2.3 Der Fundkontext

Die in der vorliegenden Arbeit untersuchten Funde stammen aus der Sekundärverfüllung einer ehemaligen Getreidevorratsgrube der späten Urnenfelderzeit (V5400) aus dem östlichen Teil der Höhensiedlung („Küssleracker", Abb. 153). Es handelt sich um eine 1,55 m tiefe Grube, die sich zu ihrem Grund hin auf einen Durchmesser von 2 m erweitert. Mit einem Fassungsvermögen von ca. 2,8 m³ liegt sie im unteren Volumensbereich der Gruben in Stillfried (Abb. 44). Die Verfüllung (Abb. 154) enthielt Elemente eines abgebrannten Hauses, die von grobem Haushaltsgeschirr mit teils starken Brandspuren beherrscht werden.[789] Die typologische Zeitstellung der Keramik stimmt mit der Phase Ha B2 überein, datiert somit in den Zeitraum 960 bis 900 v. Chr.[790]

Aus dem Brandschutt wurden 14 Ringe aus Ton sowie drei Fragmente von Ringen aus verkohltem organischem Material geborgen, die als Teilstücke dreier einzelner Ringe gedeutet werden (Abb. 155). Einige Tonringe wurden in vollständigem Zustand gefunden, weitere können aus zwei oder drei Teilen komplett zusammengesetzt werden, während die restlichen Teile nur bruchstückhaft erhalten sind. Die Tonringe, die vermutlich als Webgewichte dienten, waren nur schwach gebrannt, wie entsprechende Gebrauchsspuren andeuten.[791] Ähnliche Tonringe sind in Stillfried aus den Gruben V5003 und V5004 dokumentiert. Die drei verkohlten organischen Ringe hingegen sind mit rekonstruierten Außendurchmessern von 3,6 bis 4,6 cm deutlich kleiner.

782. Schneider 1991. – Kohler-Schneider 1999. – Kohler-Schneider 2001, 106–109.

783. Stika, Heiss 2013a. – Stika, Heiss 2013b.

784. Siehe hierzu auch Kap. 3.7.6. Die Daten aus Michaela Popovtschaks Nachtrag (Abschnitt 3.7.7.) sind in die Abb. 150 noch nicht eingeflossen.

785. Jones, Valamoti, Charles 2000. – Kohler-Schneider 2003. – Kroll, Reed 2016, 88–95. – Czajkowska et al. 2020.

786. Zur archäobotanischen Untersuchung der Grube V5001 am „Wagneracker" siehe Kap. 3.7.7.

787. Kohler-Schneider 2001, 147–153.

788. Kohler-Schneider 2001. – Razavi 2013. – Popovtschak, Heiss, Stika 2021, 124–125.

789. Siehe Objektbeschreibung Kap. 10.1.4.

790. Sperber 2017.

791. Griebl et al. 2017.

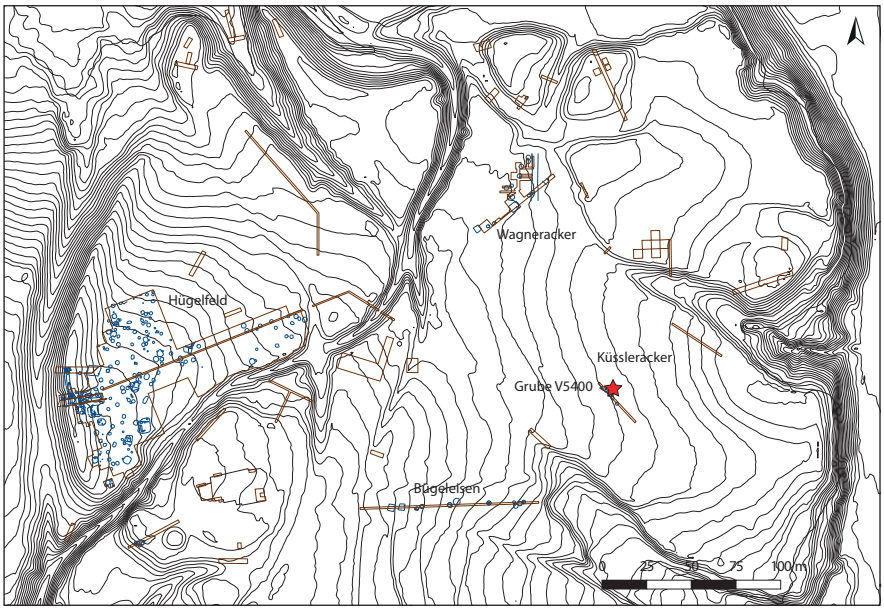


Abb. 153: Höhenschichtplan des nördlichen Bereichs der spätbronzezeitlichen Höhensiedlung und Lage der Grube V5400. Braune Rechtecke zeigen Grabungsschnitte an, blaue Linien weisen auf ergrabene bauliche Strukturen hin (Abbildung: B. Biederer, I. Hellerschmid, I. Petschko, OREA/ÖAW).

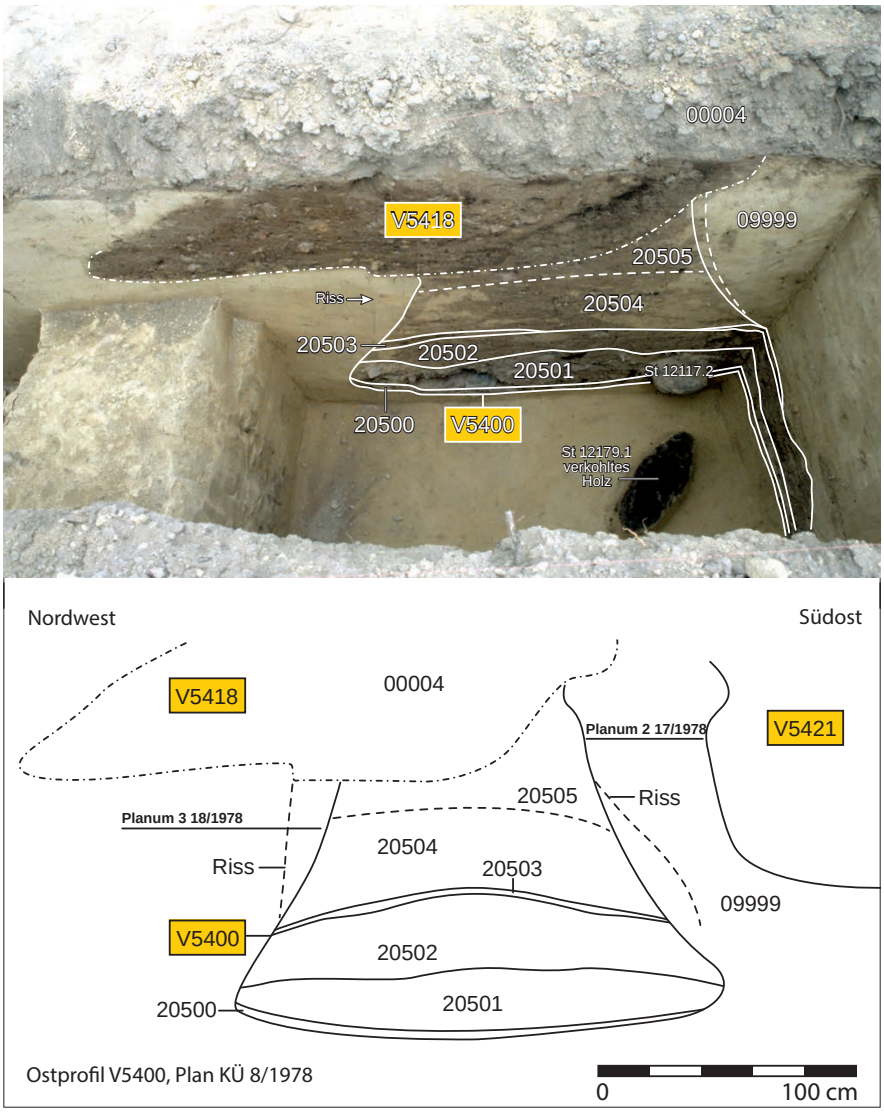


Abb. 154: Umgezeichnetes Profilfoto und Schnittplan der Grube V5400 am „Küssleracker“, Grabungskampagne 1978. Grau die basale Schicht mit dem Brandschutt, die auch die untersuchten Ringe enthielt (Sign. 20501). Im Vordergrund das verkohlte Holzbrett (FNr. St. 12179.1; Grabungsdokumentation Stillfried, Landessammlung Niederösterreich, Bereich Ur- und Frühgeschichte, Fotonr. ST01764).



Abb. 155: Die ringförmigen Objekte aus dem Brandschutt in Grube V5400. Zwölf der 14 Tonringe sind dargestellt (FNr. St 12044.1–9, 12116.1, 12266.1–2), ebenso die verkohlten organischen Ringe (FNr. St 12050.2–4), die im Mittelpunkt dieses Beitrags stehen. Einheit des Messbalkens: Zentimeter (Bild: B. Biederer, OREA/ÖAW).

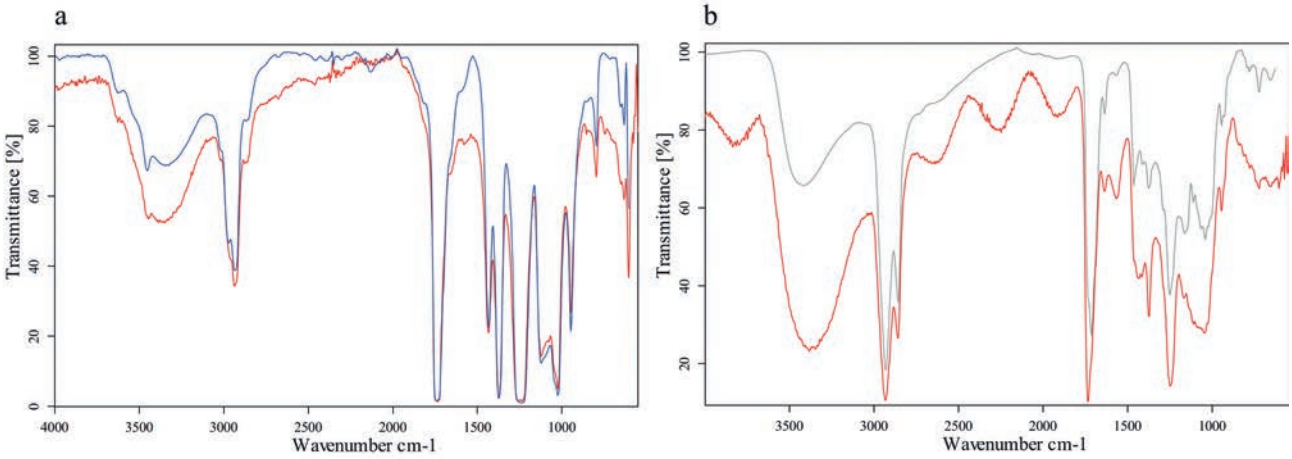


Abb. 156: FTIR-Spektren der Überzüge von FNr. St 12050.4. – a. PVAC. Rot: Probenkurve, Blau: Referenzmaterial. – b. Schellack. Rot: Probenkurve, Grau: Referenzmaterial (Bild: BDA/R. Linke).

Die weitere Fundzusammensetzung in Grube V5400 (Kap. 10.1.4) spricht deutlich gegen tertiären Abfall im Sinn einer allmählichen Anhäufung von Materialien, die letztendlich als Verfüllung in die Grube eingebracht wurde,[792] sondern deutet vielmehr auf ein einzelnes Ereignis hin. Folgt man nun Duncan Garrows Definitionen „seltsamer Ablagerungen“,[793] so fallen die meisten der sekundär verfüllten Gruben aus Stillfried darunter, entweder aufgrund a) außergewöhnlicher Fundensembles, b) ungewöhnlicher Erhaltungsformen, c) auffällig hoher Anzahl oder Kombination von Funden oder d) einer insgesamt „seltsamen“ oder unüblichen Fundlage innerhalb einer Fundsituation. Auch die in V5400 vorliegende ungewöhnliche Vergesellschaftung von Objekten ist wohl als solch ein *odd deposit*[794] anzusprechen. Die Möglichkeit einer absichtsvollen und sorgfältigen – d. h. rituellen – Deponierung des Grubeninhalts soll daher in der Arbeitshypothese Berücksichtigung finden (Kap. 10.1.4).

3.8.3 Material und Methoden

3.8.3.1 Vorarbeiten und konservatorische Überlegungen

Alle drei verkohlten organischen Ringe (FNr. St 12050.2–4) zeigen eine glänzende, teils milchig schimmernde Oberfläche, an der keinerlei mikroskopische Merkmale lesbar waren. Es war mit dem Aufbringen eines Konsolidierungsmittels unmittelbar nach der Fundbergung, d. h. in den 1970ern, zu rechnen. Die Analyse einer Probe des Überzugs von FNr. St 12050.4 mittels FTIR (Fourier-Transform Infrared Spectroscopy) ergab, dass dieses und wohl auch die anderen beiden Objekte mit Polyvinylacetat[795]

792. Fuller, Stevens, McClatchie 2014.
793. „*Odd deposits*“, siehe Garrow 2012.
794. Garrow 2012.
795. PVAC, wie es beispielsweise als Holzleim Verwendung findet.

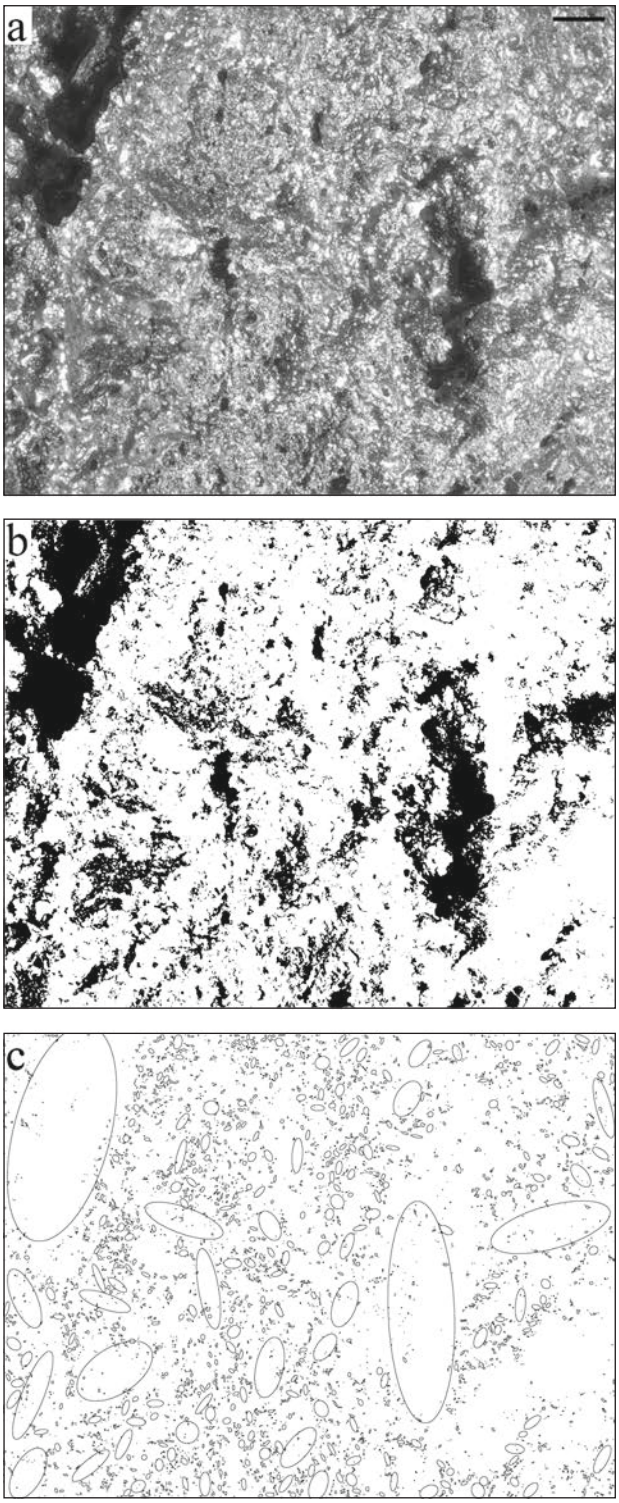


Abb. 157: Beispiel für die Bildverarbeitung in der Porengrößenmessung anhand einer Bruchfläche von FNr. St 12050.3 (10-fache Vergrößerung). – a. Ausgangsbild. – b. Schwarzweißbild nach Anwendung des Schwellenwerts (64 von 255). – c. Fit-Ellipse-Funktion. Länge des Messbalkens: 1 mm (Bild: A. G. Heiss, ÖAI/ÖAW).

und Schellack gefestigt worden waren (Abb. 156).[796] Da der Überzug allein durch Lösungsmittelbehandlung nicht ausreichend entfernbar, jedoch mit Wasser quellbar war, wurde die Entscheidung getroffen, die Beschichtung nach dem Aufbringen von mit Wasser getränkten Zellulosefasern händisch von einem Teil der Oberfläche von FNr. St 12050.4 zu entfernen. Diese zeigte eine ausreichende Festigkeit, um das erweichte Konsolidierungsmittel mit einem Satz feiner Metallwerkzeuge unter dem Stereomikroskop abzuheben. Die dabei abgelösten Fragmente des verkohlten Materials (2,8 mg) wurden für die Radiokarbondatierung[797] aufbewahrt. Aufgrund der beobachteten Veränderungen der Oberfläche durch die Entfernung des Härtungsmittels wurde beschlossen, dieses Verfahren und damit die eingehende Analyse auf FNr. St. 12050.4 zu beschränken.

Im Gegensatz zu Methoden, bei denen das Material chemisch aufgelöst wird,[798] wurde an den vorliegenden Funden der konservativere Ansatz der Betrachtung von Zellstrukturen und Materialeigenschaften an bereits vorhandenen Bruchflächen verfolgt.[799]

3.8.3.2 Bilddokumentation, Messungen und Komponentenbestimmungen

Die Bilddokumentation der Funde[800] sowie die lichtmikroskopischen Untersuchungen[801] wurden am ÖAI der ÖAW, die elektronenoptischen Aufnahmen der gereinigten Oberflächen des Rings FNr. St 12050.4 an der Universität für Angewandte Kunst durchgeführt.[802] Die ursprünglichen Durchmesser der verkohlten Ringe ließen sich mit der Software ImageJ[803] rekonstruieren, indem Ellipsen manuell an die Umrisse jedes Fragments angelegt wurden. ImageJ wurde auch zur Messung von Gewebsbruchstücken verwendet,

796. Details zur Analytik siehe Heiss et al. 2019. – Linke 2019a.
797. Durchgeführt durch BETA Analytic, Miami (Probe Nr. Beta-486379) nach vorheriger Lösemittelextraktion und Säure-Alkali-Säure-Behandlung.
798. Hansson, Isaksson 1994. – Martínez Straumann 2004. – Heiss 2008, 27–28.
799. Siehe hierzu Heiss et al. 2015. – Heiss et al. 2017. – Heiss et al. 2019.
800. Durch N. Gail. Kamera: Canon EOS 5DS R mit Objektiv Canon EF 100 mm/2,8 L Macro IS USM, Beleuchtungsgerät Broncolor Siros 400 WiFi/RFS 2.1.
801. Durch den Autor. Nutzung integrierter Lösungen von Olympus: SZX-10 Stereomikroskop mit bis zu 63-facher Vergrößerung sowie BX53M Auflichtmikroskop mit bis zu 500-facher Vergrößerung, Kamera UC909 und Software Stream Basic.
802. Am Institut für Kunst und Technologie durch R. Erlach. Quanta 250 FEG-environmental SEM im Niedrigvakuummodus und ohne vorherige Oberflächenbeschichtung, bei Beschleunigungsspannungen zwischen 5 und 15 kV.
803. Rasband 1997–2009.



Abb. 158: Fundzeichnungen der drei verkohlten Ringfragmente (Bild: B. Biederer, OREA/ÖAW, St. Tikatsch).



Abb. 159: Verkohlter Ring FNr. St 12050.4. – a. „Oberseite". – b. „Unterseite". – c. Innenansicht. – d. Außenansicht. Furchen sind durch Pfeil gekennzeichnet. Einheit des Messbalkens: Zentimeter (Bild: N. Gail, ÖAI/ÖAW).



Abb. 160: Verkohlter Ring FNr. St 12050.2. – a. „Oberseite". – b. „Unterseite". – c. Innenansicht. – d. Außenansicht. Helle Oberflächenüberzüge gehen auf das Konsolidierungsmittel zurück. Furchen sind durch Pfeile gekennzeichnet. Einheit des Messbalkens: Zentimeter (Bild: N. Gail, ÖAI/ÖAW).



Abb. 161: Verkohlter Ring FNr. St.12050.3. – a. „Oberseite". – b. „Unterseite". – c. Innenansicht. – d. Außenansicht. Helle Oberflächenüberzüge gehen auf das Konsolidierungsmittel zurück. Furchen sind durch Pfeil gekennzeichnet. Einheit des Messbalkens: Zentimeter (Bild: N. Gail, ÖAI/ÖAW).

	FNr. 12050.4 (Abb. 159)	FNr. 12050.2 (Abb. 160)	FNr. 12050.3 (Abb. 161)
Grundform	Torus (1/4)	Torus (1/2)	Torus (1/3)
Ringdicke [mm]	12,1–15,8	10,1–14,2	11,2–18,9
Außendurchmesser [mm]	26–36	31–33	27–36
Verhältnis max. Durchmesser zu max. Ringdicke	2,28 : 1	2,32 : 1	1,9 : 1
Gewicht [g]	1,37	2,45	3,01

Abb. 162: Formparameter der drei ringförmigen Objekte.

die in den Rasterelektronenmikroskopaufnahmen von FNr. St 12050.4 sowie in den lichtmikroskopischen Ansichten aller drei Ringe sichtbar sind.

Die Verteilung der Porengrößen wurde in lichtmikroskopischen Bildern aller drei Funde nach der von Heiss et al.[804] 2017 beschriebenen Methodik aufgenommen, die Porengrößen mit ImageJs *fit-ellipse*-Funktion an Schwarzweißfotos der Bruchflächen gemessen (Abb. 157). Offensichtliche Risse wurden von der Messung ausgeschlossen, Poren kleiner als 100 µm wurden nicht gemessen. Die in Histogrammen (100-µm-Schritte) dargestellten Ergebnisse sind nach modernen Entsprechungen von gemahlenem Getreide gruppiert:[805] Mehl und Dunst (Partikel kleiner als 300 µm) vs. Grieß (300 bis 1000 µm) vs. Schrot (größer als 1000 µm).

Die histologische Identifizierung von Getreidegeweben stützte sich auf bewährte anatomische Merkmale für die Bestimmung von Kleie und Spelzen aus der Lebensmitteldiagnostik,[806] die für die archäobotanische Verwendung angepasst wurden.[807]

3.8.4 Ergebnisse und grundlegende Interpretation

3.8.4.1 Formbeschreibung

Jeder der drei organischen Funde wird als Bruchstück ursprünglich ring- oder vielmehr torusförmiger Objekte gedeutet (Abb. 158–161), die Verbindungsstellen des Ringschlusses sind nicht erhalten.

Alle drei Ringe weisen vergleichbare Größe, Form und Proportion auf, ihre rekonstruierten Außendurchmesser

804. Heiss et al. 2017.

805. Seibel 2005. – Bundesministerium f. Gesundheit u. Frauen 2010–2017.

806. Winton, Winton 1932. – Metcalfe 1960. – Gassner, Hohmann, Deutschmann 1989. – Hahn, Michaelsen 1996.

807. Körber-Grohne, Piening 1980. – Dickson 1987. – Colledge 1988. – Gale, Cutler 2000.

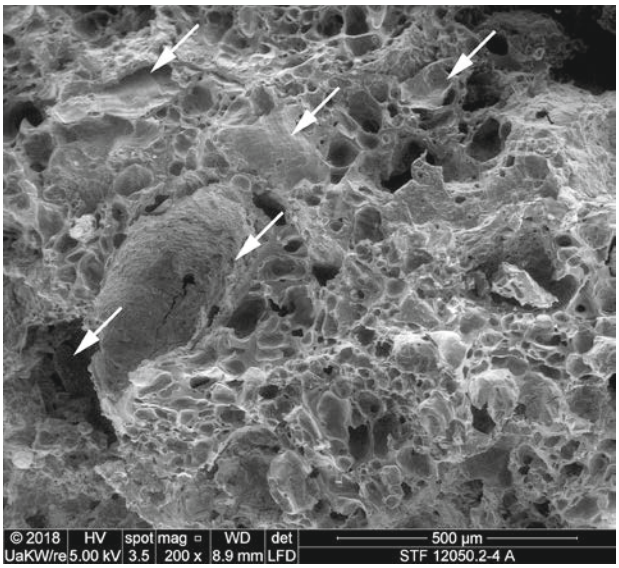


Abb. 163: Bruchfläche von FNr. St 12050.4 unter dem Rasterelektronenmikroskop. Pfeile weisen auf Kleiereste hin (Bild: Universität für Angewandte Kunst Wien/R. Erlach).

liegen im Bereich von 26 bis 36 mm (Abb. 162). Abgesehen von den sekundär aufgebrachten Überzügen waren alle Oberflächen glatt und unauffällig, ohne kenntliche Verzierungen oder Fingerabdrücke. An allen drei Funden konnten jedoch vereinzelte tiefe Furchen beobachtet werden (Abb. 159–161).

Bei Betrachtung mit bloßem Auge erschienen die unregelmäßigen Bruchflächen sehr dicht, ohne sichtbare Porung oder enthaltene Pflanzenteile, jedoch von den bereits erwähnten Furchen durchzogen. Bei geringer Vergrößerung (10-fach) waren bereits einige Kornfragmente zu erkennen; die drei Objekte konnten folglich als Getreideerzeugnisse bestimmt werden. Bei derselben Vergrößerung wurden nun auch die sehr klein ausgeprägten Poren sichtbar (Abb. 157/a). Diese waren regelmäßig verteilt, keiner der drei Ringe zeigte eine Unterscheidung zwischen Krume und Kruste.

3.8.4.2 Nachgewiesene Zutaten (FNr. St. 12050.4)

Unter stärkerer Vergrößerung (50- bis 500-fach) konnten am Rasterelektronenmikroskop zahlreiche Bruchstücke

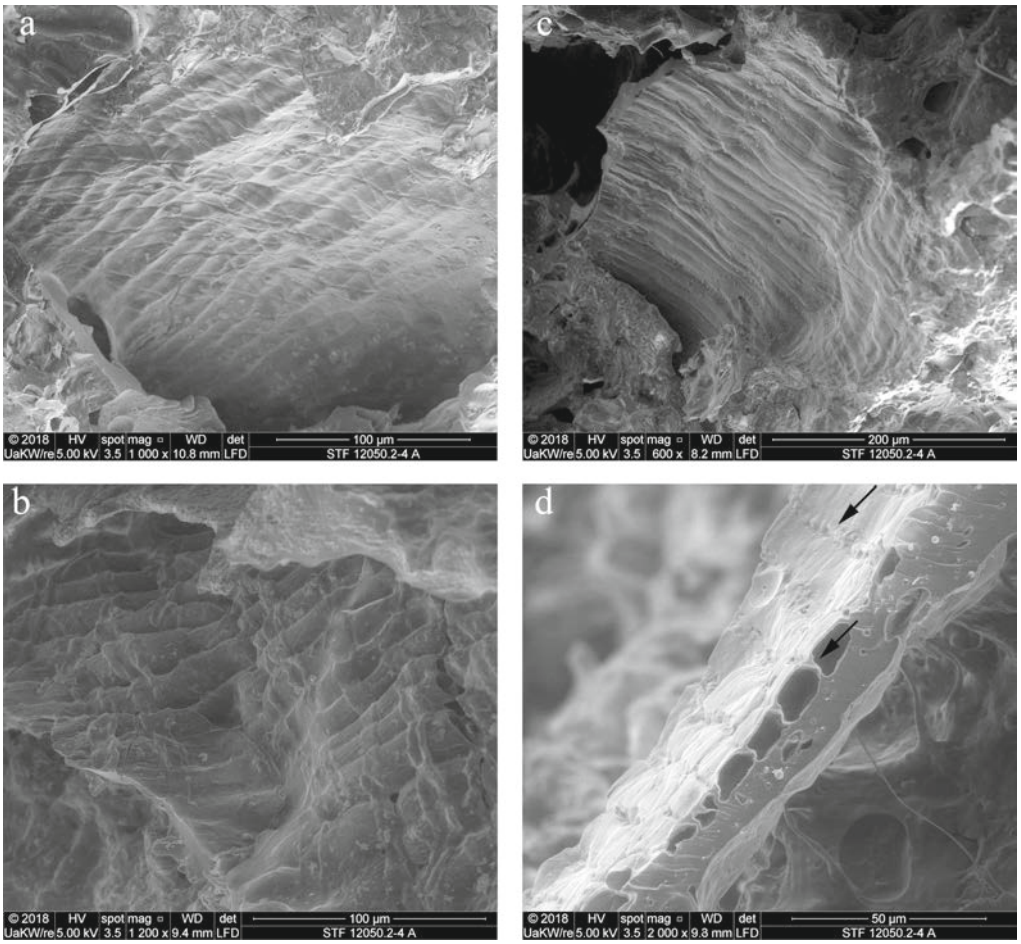


Abb. 164: Querzellen, a und b mit anhaftenden Schlauchzellen. – a–c. vermutlich die dünnwandigen Zellen des Gerstentyps (cf. *Hordeum vulgare*). – d. Querzellen von Weizen (*Triticum* sp.) im Querschnitt. Pfeile weisen auf die markant verdickten Zellwände hin (Bilder: Universität für Angewandte Kunst Wien/R. Erlach).

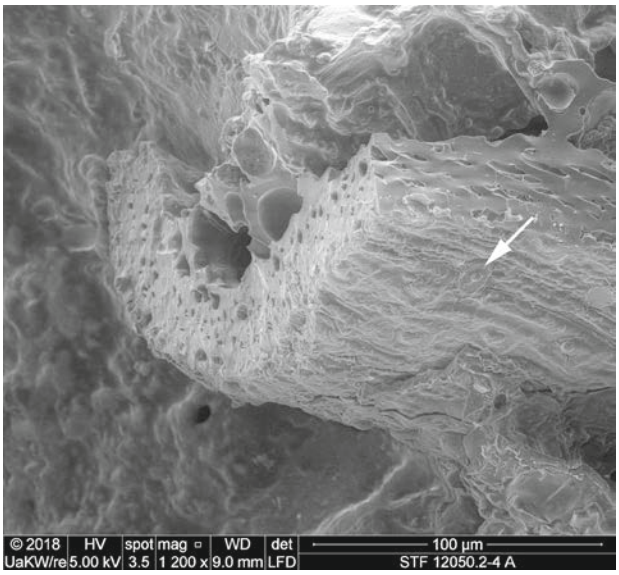
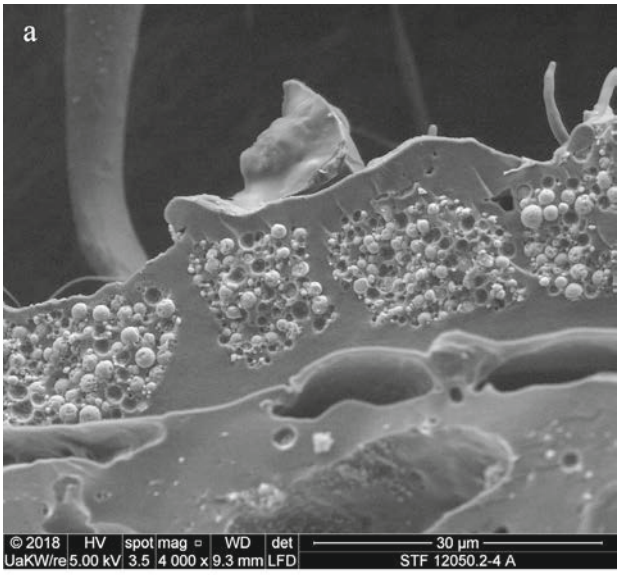


Abb. 165: Bruchstück einer Gerstenspelze (*Hordeum vulgare*; Bild: Universität für Angewandte Kunst Wien/R. Erlach).



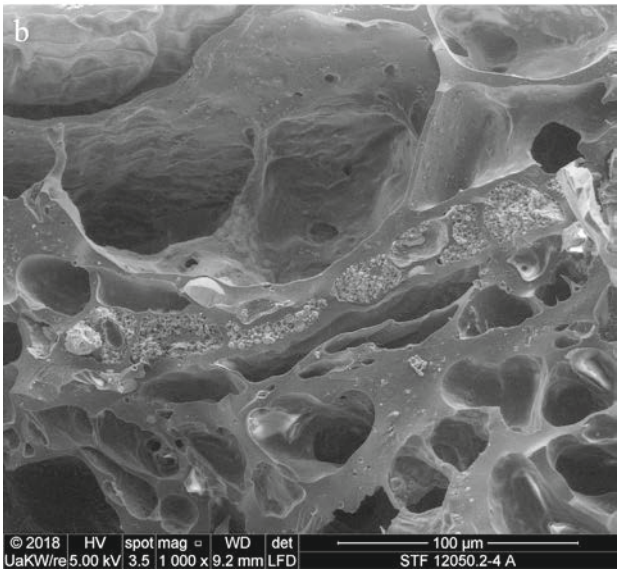


Abb. 166: Aleurongewebe mit gut erkennbaren Aleuronkörnern im Querschnitt. Die Einschichtigkeit weist darauf hin, dass es nicht von der Gerste stammt (Bild: Universität für Angewandte Kunst Wien/R. Erlach).

von Getreidekleie in der porösen Matrix der Probe beobachtet werden (Abb. 163). Querzellen, manchmal mit noch anhaftenden Schlauchzellen (Abb. 164), waren die vorherrschenden beobachteten Kleiebestandteile. Sie konnten zwar überwiegend nicht bis auf Gattungsniveau identifiziert werden, ähnelten jedoch zumindest stark den Querzellen der Gerste (Bestimmung als cf. *Hordeum vulgare*, Abb. 164/a–c). Ein einzelnes Bruchstück einer Hüllspelze der Gerste (*Hordeum vulgare*) konnte durch die charakteristischen, doppelten (sichelförmigen plus sphärischen) Kurzzellen identifiziert werden (Abb. 165). Spelzgerste kann somit als gesicherte Zutat des *bread-like object* gelten.

Ein einzelnes Fragment von Querzellgewebe war eindeutig als von einer Weizenart (*Triticum* sp., Abb. 164/d) stammend bestimmbar. In Anbetracht der großen Bedeutung der drei Spelzweizenarten Einkorn (*Triticum monococcum*), Dinkel (*T. spelta*) und vermutlich Sanduri („*new*" *glume wheat*, *Triticum* cf. *timopheevii*) im Getreidespektrum der Siedlung (Abb. 150)[808] ist es zumindest wahrscheinlich, dass eine dieser drei *Triticum*-Arten den zweiten Bestandteil des Fundes darstellt.

Alle beobachteten Bruchstücke von Aleurongewebe waren einschichtig (Abb. 166), sie stammen folglich nicht von der Gerste. Sie können durchaus von den zuvor genannten Weizenarten herrühren, rein von ihrer Anatomie her jedoch auch von fast jedem anderen Getreide. Dasselbe gilt theoretisch auch für die unsicher bestimmbaren Querzellenfelder (cf. *Hordeum vulgare*).

Aufgrund der grundsätzlichen Ähnlichkeit der Querzellen[809] zur Gerste und aufgrund ihres Vorherrschens im Getreidespektrum muss deshalb die Rispenhirse (*Panicum miliaceum*) als weitere Komponente zumindest angedacht werden. Als Gegenargument mag wiederum die Tatsache

808. Schneider 1991. – Kohler-Schneider 1999. – Kohler-Schneider 2001, 106–109.

809. Winton, Winton 1932.

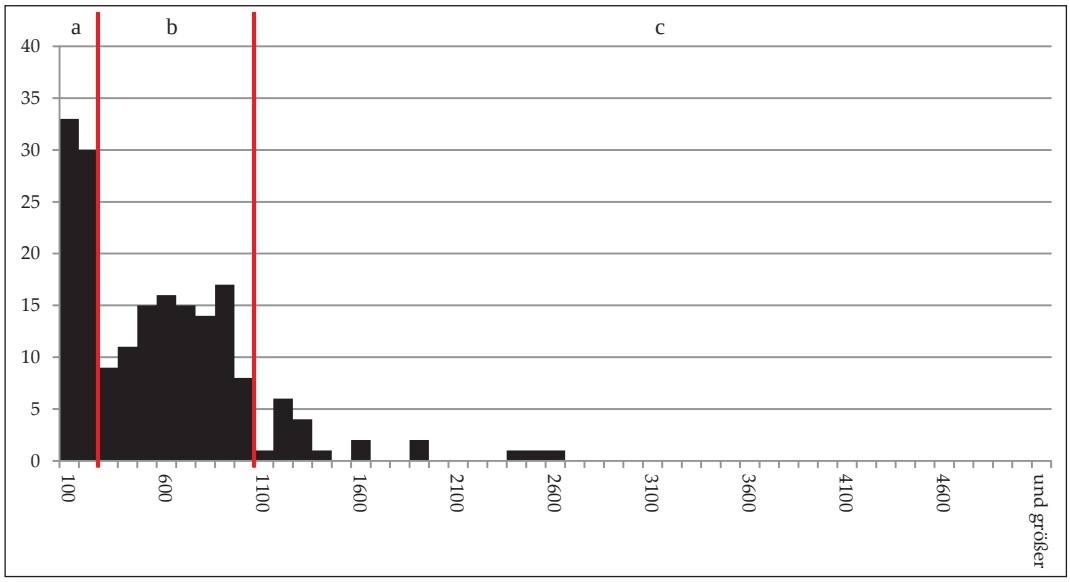


Abb. 167: Histogramm der im Lichtmikroskop (N = 122) und im Elektronenmikroskop (N = 65) gemessenen Partikelgrößen von Geweberesten in FNr. St 12050.4. X-Achse: Größenklassen in 100 µm-Schritten. Y-Achse: Fallzahlen. Gruppierungen entsprechend den modernen Kategorien von Mahlprodukten: – a. Mehl und Dunst (< 300 µm). – b. Fein- und Grobgrieß (300–1000 µm). – c. Schrot (> 1000 µm). Rohdaten veröffentlicht in Heiss et al. 2019.

dienen, dass Hirse kaum vollständig entspelzbar ist, wodurch in einem Hirseerzeugnis stets auch Reste ihrer charakteristischen Spelzen auftreten.[810] Dies ist auch aus archäologischen Funden bekannt,[811] ein derartiger Nachweis fehlt jedoch bislang für die ringförmigen Objekte aus Stillfried. Bis zum noch zu erbringenden Beleg etwaiger anderer Getreidearten muss somit Mehl aus Spelzgerste und einer (wahrscheinlich bespelzten) Weizenart in unbekanntem Mischungsverhältnis[812] als Basis des Objekts FNr. St 12050.4 gelten. Dies trifft vermutlich auch auf die beiden anderen verkohlten Ringe zu.

In Nachbarschaft zu einigen der oben erwähnten Kleiebestandteilen konnten auch verhältnismäßig unversehrte Portionen von Gewebe des Mehlkörpers gefunden werden. Die sphärischen Strukturen in einigen dieser Endospermzellen werden als unvollständig verkleisterte Stärkekörner gedeutet (Abb. 167).

Es konnten in der untersuchten Probe keine Hinweise auf zusätzliche pflanzliche Bestandteile, wie etwa (absichtlich zugesetzte) Gewürze oder (versehentlich mitverarbeitete) Unkräuter, gefunden werden. Flüssige oder lösliche Bestandteile sind mit den gewählten Methoden überhaupt nicht erfassbar, weshalb hierzu keine Aussage getroffen werden kann.

3.8.4.3 Spurensuche nach den Herstellungsprozessen

Mahlen und Sieben

Die Interpretation der Partikelgrößen von Getreidebestandteilen, die an FNr. St. 12050.4 gemessen wurden, kann beispielsweise durch Vergleich mit modernen Lebensmittelstandards vorgenommen werden:[813] So fallen 34 % der beobachteten Messwerte in die heutigen Kategorien Mehl und Dunst (Abb. 167), weitere 52 % entsprechen modernem Grieß. Die verbleibenden 14 % würden als Schrot klassifiziert, dennoch überschreitet auch das größte gemessene Partikel kaum 2,5 mm. Der Mahlgrad liegt durchaus im Bereich von modernem, industriell hergestelltem Vollkornbrot[814] und es ist davon auszugehen, dass große Sorgfalt in das Mahlen und Sieben des Mehls gelegt worden war,[815] das zur Herstellung dieses und wohl auch der beiden anderen Ringe verwendet wurde. Messdaten archäologischer brotartiger Objekte sind bislang generell noch rar, es bietet sich zumindest der Vergleich zu Fund 2907 aus der neolithischen Fundstelle Zürich Parkhaus Opéra (Schweiz) an.[816]

810. Lundström-Baudais et al. 2002.
811. Beispielsweise Kreuz, Boenke 2003. – Heiss 2010. – Heiss 2014. – Herbig 2016.
812. Heiss et al. 2017. – Heiss et al. 2019.
813. Seibel 2005. – Bundesministerium f. Gesundheit u. Frauen 2010–2017.
814. Campbell, Ross, Motoi 2008.
815. Arnold, Beck, Lüning 2005.
816. Heiss et al. 2017.

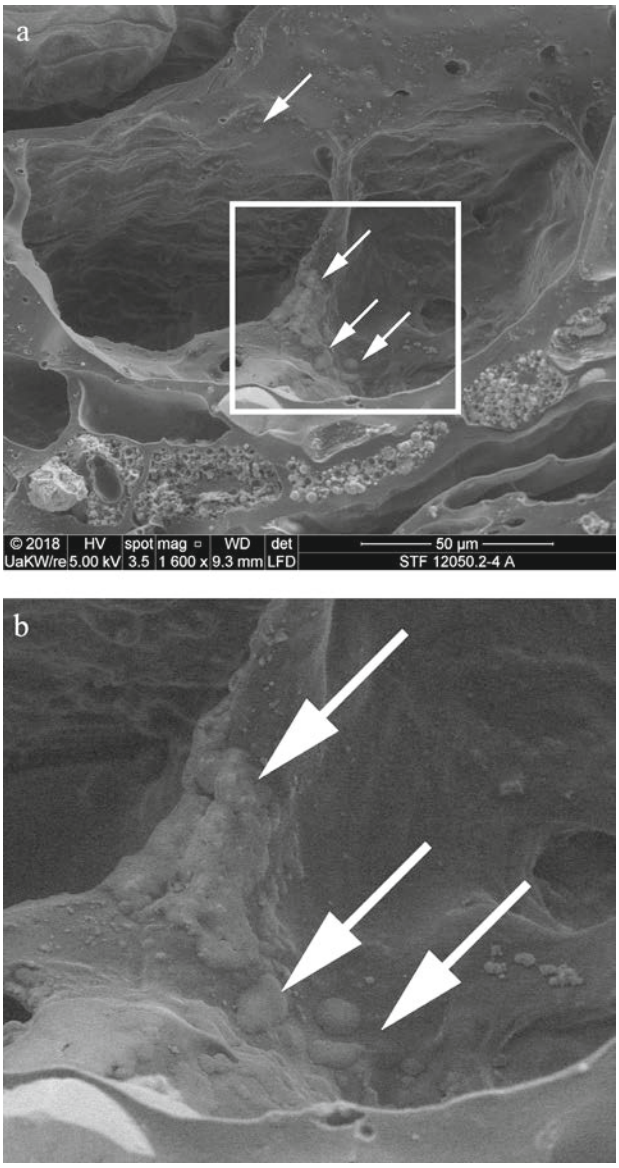


Abb. 168: Unvollständig verkleisterte Stärkekörner in Endospermzellen von FNr. St 12050.4. – a. Übersichtsbild und Lage in Relation zur Aleuronschicht. Pfeile weisen auf unvollständig verkleisterte Stärkekörner. Rechteck: Position von Abb. 168/b. – b. Vergrößerung aus Abb. 168/a (Bild: Universität für Angewandte Kunst Wien/R. Erlach).

Mischen, Kneten, Formen

Alle drei Ringe weisen deutliche und tiefreichende Furchen[817] auf. Die innenseitig längs verlaufenden (Abb. 159, 161) dürften im Zuge der Formgebung, d. h. beim Falten und Rollen des Teigs zu einem Zylinder, entstanden sein. Die übrigen Furchen könnten durch Reißen des Teiges erklärt werden, wie es bei Mischungen mit geringem Wassergehalt entweder schon beim Kneten oder beim anschließenden Trocknen sehr leicht geschieht.[818] In dieselbe Richtung, d. h. auf einen geringen Wassergehalt der verarbeiteten Teigmasse weisen auch die im Elektronenmikroskop beobachteten Strukturen, die als unvollständig verkleisterte Stärkekörner interpretiert werden (Abb. 168).[819] Experimentalarchäologische Studien konnten zeigen, dass der Grad der Verkleisterung von Stärkekörnern nicht nur in trocken erhaltenen archäologischen Überresten beobachtbar bleibt, sondern unter Umständen auch in verkohlten Materialien.[820]

Folglich scheint es sich beim untersuchten Material um eine Getreidezubereitung mit geringem Wassergehalt zu handeln, die vor dem Verkohlen vielleicht auch gar nicht erhitzt worden war.[821]

Fermentieren

Ein Blick auf moderne Getreideerzeugnisse zeigt deutlich, dass die Bandbreite zwischen den Extremen „unfermentiert“ und „locker aufgegangen“ sehr breit ist. Außerdem besteht bislang noch kein systematisierter Kriterienkatalog zur Beschreibung des Fermentationsgrades archäologischer Getreideerzeugnisse,[822] und auch die Deutung der Vermessungsdaten von Hohlräumen bzw. Poren erfordert einige Vorsicht, wie später noch kurz ausgeführt werden wird.

Bis eine Datenbank zur Verfügung steht, die einen statistischen Vergleich mit experimentellen Daten ermöglicht,[823] müssen wir uns auf Vergleiche mit anderen archäologischen Funden stützen, die mit einer übereinstimmenden Methodik untersucht wurden.[824]

Die an den drei Objekten beobachtete Größenverteilung der Poren ist von annähernd gleichen Anteilen (66–70 %) von Mikroporen[825] bestimmt. Der Anteil großer Poren mit

817. *Furrows* in Heiss et al. 2019.

818. Marchylo, Dexter 2001. – Saleem et al. 2005.

819. Eine vollständige Verkleisterung, d. h. Auflösung der Stärke, ist das Ergebnis der Erhitzung von in Wasser gequollenen Stärkekörnern auf mindestens 55–75° C, siehe etwa Lund, Lorenz 1984. – Samuel 1994a, 44–51. – Crowther 2012.

820. Vorausgesetzt, dass das Verkohlen in trockenem Zustand erfolgt, siehe Valamoti et al. 2008. – Berihuete-Azorín et al. 2019.

821. Wang et al. 1991.

822. Der Weg ist noch weit bis zu den oft postulierten, jedoch meist nicht näher erläuterten *well-defined morphological key features*, vgl. Pető et al. 2013.

823. Die Erstellung derartiger Kriterienkataloge ist eines der Forschungsziele des ERC PLANTCULT.

824. Aktuell mit den Daten aus Heiss, Kreuz 2007. – Heiss et al. 2015. – Heiss 2017. – Primavera et al. 2019.

825. Poren kleiner 200 µm, vgl. González Carretero, Wollstonecroft, Fuller 2017. – Heiss et al. 2019.

Durchmessern jenseits von 1 mm war auf den Bruchflächen aller drei Ringe mit um 2 % sehr gering (Abb. 169). Damit stimmen die drei Stillfrieder Getreideringe in ihrer Porenverteilung ziemlich exakt mit den als gänzlich unfermentiert gedeuteten Funden aus dem archaisch-hellenistischen Heiligtum vom Monte Papalucio in Apulien (Italien) überein, mit einem nahezu identen Mikroporenanteil von 66 bis 82 %.[826]

Dass sowohl bei den „Kuchen" aus Apulien als auch bei den Stillfrieder Ringen trotz des grundsätzlichen Vorhandenseins von Poren wohl tatsächlich von unfermentiertem Teig ausgegangen werden muss, gründet auf Versuchen zur Taphonomie archäologischer Getreidekörner und Getreideerzeugnisse.[827] Bei Verkohlungstemperaturen ab 300° C führt nämlich die Freisetzung von Pyrolysegas[828] gemeinsam mit Zerfallsvorgängen der sich teils auch verflüssigenden Kohlenhydrate[829] zur Bildung winziger, gasgefüllter Hohlräume in der Größenordnung von Mikroporen,[830] die im archäologischen Fund vermutlich nicht von solchen unterscheidbar sind, die durch vorherige Gärung entstanden sind. Das Auftreten solcher Mikroporen in verkohlten Getreideerzeugnissen könnte somit in der Tat ohne Aussagekraft zum Fermentationsgrad verkohlter archäologischer Lebensmittelreste sein.[831]

3.8.5 Schlussfolgerungen

3.8.5.1 Vergleichbare Funde

Die Datenlage zu archäologischen Funden ring- bzw. torusförmiger *bread-like objects* ist äußerst dünn: Fund 2285 aus der spätneolithischen Grabung Parkhaus Opéra am Zürichsee ist der bislang älteste dokumentierte Fund eines ringförmigen Getreideerzeugnisses, wie die Stillfrieder Ringe mit Gerste und einer Weizenart als Zutaten, jedoch aus grobem Grieß und Schrot hergestellt.[832] Für die nächstjüngeren Funde ringförmiger – *tarallini*-artiger – Gebäcke, die aus einem archaisch-hellenistischen Demeter- und Kore-Heiligtum in Apulien stammen, konnte beispielsweise Gerste

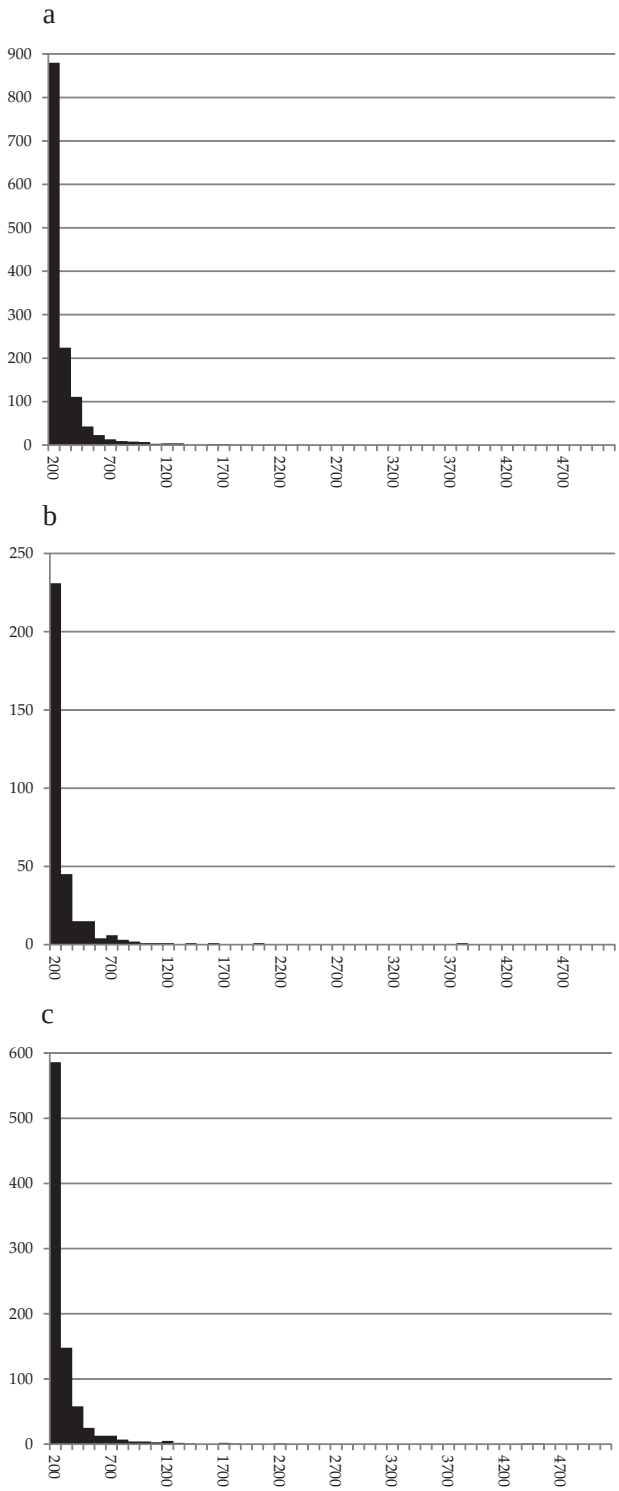


Abb. 169: Histogramm der gemessenen Porengrößen. – a. FNr. St 12050.4 (N = 1341). – b. FNr. St 12050.2 (N = 328). – c. FNr. St 12050.3 (N = 875). X-Achse: Größenklassen in 100 µm-Schritten. Y-Achse: Fallzahlen. Rohdaten veröffentlicht in Heiss et al. 2019.

826. Primavera et al. 2019.

827. Braadbaart et al. 2004. – Charles et al. 2015. – Berihuete-Azorín et al. 2019.

828. Greenwood 1967.

829. Montoya et al. 2016.

830. D. h. meist weniger als 200 µm durchmessend, siehe Charles et al. 2015. – Berihuete-Azorín et al. 2019.

831. Mit Ausnahme von Kontexten, für die Verkohlungstemperaturen deutlich unterhalb von 300° C als gesichert gelten können, wie etwa in Çatalhöyük, siehe González Carretero, Wollstonecroft, Fuller 2017.

832. Heiss et al. 2017.

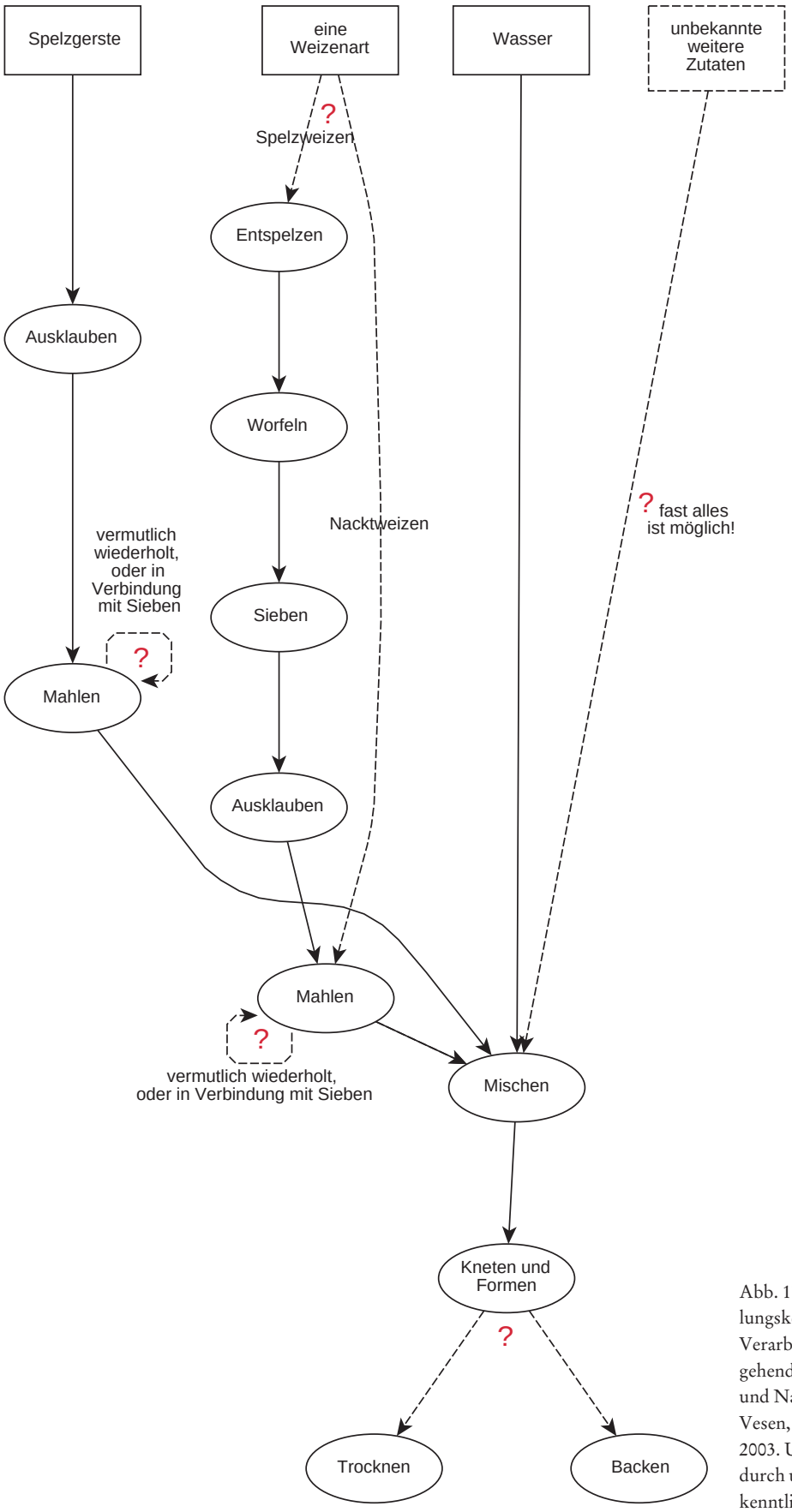


Abb. 170: Modell der *chaîne opératoire* (Handlungskette) für die Stillfrieder Ringlein. Die Verarbeitungsschritte der Getreide sind ausgehend von ihrer Lagerungsform, d. h. Gerste und Nacktweizen als Körner, Spelzweizen als Vesen, modelliert; vgl. hierzu auch Stevens 2003. Unsichere Zutaten und Prozesse sind durch unterbrochene Linien und Fragezeichen kenntlich gemacht, vgl. Heiss 2019.



Abb. 171: Apulische *tarallini* aus dem Supermarkt als Analogie zur Gestalt der urnenfelderzeitlichen Ringe aus Stillfried an der March. Die Pfeile deuten auf die Bruchlinien der gebackenen Knabberei. Einheit der Messbalken: Zentimeter (Bild: A. G. Heiss, ÖAI/ÖAW).

als Zutat ausgeschlossen werden.[833] Aus Schweden liegen für zahlreiche wikingerzeitliche Brandgräber Bearbeitungen ringförmiger brotartiger Objekte verschiedenster Zusammensetzung vor, von denen einige an Metalldrähten aufgefädelt vorgefunden worden waren.[834] Jenes Objekt hingegen, das aus einem latènezeitlichen Brandgrab in Wederath-Belginum[835] (Rheinland-Pfalz) stammt und als „Ringgebäck" oder „Keltenringli" einige Bekanntheit erlangt hat,[836] stellte sich leider kürzlich als aus Bienenwachs angefertigt heraus.[837]

Anstatt einer Typengliederung einige Analogien

Die zuvor aufgezählten Funde stellen für die Erarbeitung einer Typengliederung alles andere als eine ausreichende Datenbasis dar. Wie in Abschnitt 3.8.1.5 (Perspektiven zur Klassifizierung) vorgeschlagen, sollen stattdessen kritisch kommentierte Analogien zu modernen Belegen gesucht werden.

Während Spelzgerste (*Hordeum vulgare*) als Grundzutat gesichert ist, konnte beim nachgewiesenen Weizen (*Triticum* sp.) keine Artbestimmung vorgenommen werden, mit entsprechenden Konsequenzen für die zur Herstellung notwendigen Schritte (Abb. 170). Beide Getreide wurden sehr fein vermahlen, möglicherweise auch in Verbindung mit Siebvorgängen. Was außer Wasser dem Mehl beigefügt worden sein könnte, ließ sich nicht in Erfahrung bringen.[838] Es liegen Hinweise auf das Fehlen von Fermentation vor, sowie auf einen eher trockenen Teig, der vor dem Verkohlen entweder gebacken oder nur getrocknet worden war.

In ihrer *chaîne opératoire* ähneln die Stillfrieder Ringlein somit am ehesten modernen Teigwaren oder einer einfachen Variante von *tarhana/tarhonya/trahanas*.[839] In Größe, Gestalt und Struktur hingegen ähneln sie stark den heutigen apulischen *tarallini*[840] (Abb. 171). Für eine hypothetische Annäherung an Textur und Geschmack der urnenfelderzeitlichen Ringe vor ihrem Verkohlen könnten vielleicht tatsächlich diese *tarallini* – zumindest solche aus Weizen-Gersten-Mischmehl – die Ausgangsbasis für halbwegs valide Analogien bilden, freilich abzüglich mediterraner Zutaten wie Olivenöl. Da in den verkohlt erhaltenen Objekten etwaige flüssige oder lösliche Ingredienzien wie etwa Fette oder auch Salz methodenbedingt nicht nachgewiesen werden konnten,[841] muss eine sehr breite Spanne an vorstellbaren Texturen und Aromen offen bleiben.

Nachdem bereits das Stillfrieder „Hirsotto" erfolgreich Thema mehrerer experimentalarchäologischer Ansätze war,[842] finden sich künftig vielleicht auch für die neu beschriebenen Ringlein kreative Lösungen zur Annäherung an mögliche urnenfelderzeitliche Rezepturen.

3.8.5.2 Mögliche Bedeutung der Ringe

Von den bereits bekannten Resten von Getreideerzeugnissen aus Stillfried an der March (Abb. 151)[843] unterscheiden sich die drei Ringlein aus V5400 nicht nur in der Formgebung, sondern auch in ihrer Produktionskette deutlich.

833. Erstpublikation durch Ciaraldi 1997–1998. Neubearbeitung siehe Primavera et al. 2019.
834. Hansson 1996.
835. Abegg, Cordie-Hackenberg 1990.
836. Währen 1990. – Währen, Rudin 1990.
837. Heiss, Gail 2019. – Linke 2019b.
838. Dies kann auch auf methodische Gründe zurückzuführen sein, siehe Heiss 2019, 43–44.
839. Economidou 1975. – Steinkraus 1996, 302. – Valamoti 2011. – Heiss 2015. – Cappers 2018, 56–57.
840. Primavera et al. 2019.
841. Was in der öffentlichen Wahrnehmung der Untersuchungsergebnisse leider meist fälschlicherweise als „sie waren nicht enthalten" verstanden wurde, vgl. Bakalar 2019. – Tercatin 2019.
842. Kohler-Schneider 2001. – Razavi 2013. – Popovtschak, Heiss, Stika 2021, 124–125.
843. Kohler-Schneider 2001, 153–156.

Außerdem wurde zu ihrer Herstellung sowohl durch die feinere Mehlbereitung als auch durch das Formen ein deutlich größerer Aufwand betrieben als sonst aus Stillfried bekannt. Die Teigringe mögen deshalb von höherem Wert und besonderer Bedeutung gewesen sein.

Formbetrachtung

Kap. 3.8.5.1 hat gezeigt, dass die Vergleichsmöglichkeiten der Stillfrieder Ringe mit ähnlichen archäologischen Funden sehr beschränkt sind. Zieht man zusätzlich auch moderne Belege heran, findet man zunächst zahlreiche ringförmige Teiggebilde, die zumindest ursprünglich mit religiösen Festen verbunden sind. Ein geographischer Bogen mit einer Vielzahl an Belegen lässt sich schlagen, der von Süditalien[844] über Sardinien[845] bis zum Alpenraum[846] und über die Staaten Ex-Jugoslawiens[847] den Balkan hinunter über Rumänien und Moldawien[848] wieder bis nach Griechenland reicht.[849] Doch fast ebenso reich fällt die Bandbreite völlig „unverdächtiger" Teigringe aus, die ganz profan als Alltagsnahrung dienen, etwa in Süditalien,[850] Russland,[851] in Griechenland und der Türkei,[852] sowie heute beinahe weltweit in Gestalt des Bagels.[853]

Die genannten Gebäcke haben bis auf die grob ringförmige Gestalt kaum etwas gemeinsam, sie sind Resultate außerordentlich verschiedener Erzeugungsketten und spielen unterschiedlichste Rollen in den jeweiligen Gesellschaften. Ihr Vergleich zu den Stillfrieder Ringlein bringt somit keine verwertbaren Erkenntnisse zu deren möglicher Bedeutung.

Die Ringe im Kontext

Betrachtet man die Gestalt der verkohlten Teigringe hingegen vor dem Hintergrund des übrigen Fundspektrums aus der Grube, sticht die Ähnlichkeit zu den Tonringen ins Auge. Wie auch vergleichbare synchrone Funde aus der Region[854] werden diese Tonringe als Webstuhlgewichte interpretiert[855] (Verweis Kap. 3.3.1). Abrieb deutet auf deren tatsächliche Nutzung hin und weist sie als Teil des in der aufgelassenen Speichergrube regelhaft deponierten Hausrats aus. Die zweckgebundene Ringform der Gewichte wurde also möglicherweise bei der Herstellung der nicht notwendigerweise so zu formenden[856] Teiggebilde imitiert. Die Ringlein könnten somit speziell für den Anlass der „Bestattung" des Hauses in V5400 angefertigt worden sein, sie wären somit *a priori* vielleicht gar nicht zum Verzehr bestimmt gewesen[857] (Verweis Kap. 7.1 und Kap. 10.1.4, V5400, Kultische Deutung).

Für eine regelhafte Deponierung auch der Teigringe spricht indes ihre Erhaltung: Verkohltes Material ist außerordentlich spröde und würde, wenn schon nicht beim achtlosen Hineinwerfen in eine Grube, dann spätestens mit dem Daraufwerfen von Gebrauchskeramik und Hüttenlehm wohl zum Großteil bis zur Unkenntlichkeit zerbrechen, stellt man sich als Szenario die Entsorgung unliebsamen Abfalls vor.[858] Im Szenario einer regelhaften Deponierung ist sicherlich von deutlich größerer Sorgfalt auszugehen,[859] die sich begünstigend auf die Erhaltung der verkohlten Ringsegmente ausgewirkt hätte.

844. *Raffiuoli*, Di Giovine 2014. – Montanari 2017.
845. *Sa pertusitta*, Della-Casa 1984.
846. Kiachl und Beugel, Auerböck 2009. – Kuhn 2013.
847. *Kolač*, Stoynev 1994. – Pleterski 2015, 135.
848. *Colaci*, Cap-Bun 2014. – Cash 2013. – Mesnil, Popova 2002.
849. *Koulouria*, Galanidou-Balphousia 1999.
850. *Taralli* und *tarallini*, Primavera et al. 2019. – Primavera 2015.
851. *Sushki*, Anonymus 2009–2013.
852. Die bereits genannten griechischen *koulouria* sowie die türkischen *simit*, Roth 2012.
853. Balinska 2008.
854. Stapel 1999.
855. Schierer 1987. – Griebl et al. 2017.
856. Es gibt natürlich ringförmige Teiggebilde, deren Form einem ganz bestimmten Zweck dient, nämlich meist dem Aufhängen zur Sicherung vor Schädlingen, siehe etwa Hansson 1996.
857. Heiss et al. 2019.
858. Winiwarter 2003.
859. Weikart 2002. – Beilke-Voigt 2007.

4. Menschliche Überreste: Weitere Rätsel aus Gruben mit menschlichen Skelettresten aus Stillfried an der March – eine anthropologische Spurensuche

Maria Marschler, Karin Wiltschke-Schrotta

Die bei umfangreichen archäologischen Grabungen dokumentierten prähistorischen Gruben mit menschlichen Skelettresten aus der Wallanlage von Stillfried stehen schon seit langem im Fokus der interdisziplinären Interpretation dieser Funde.[860] Auch bei der vorliegenden Arbeit[861] handelt es sich um die detaillierte anthropologische Vorstellung menschlicher Überreste aus verschiedenen archäologischen Strukturen aus der späten Urnenfelderkultur, der Hallstattzeit und des Mittelalters. Sie stammen von den Grabungsflächen „Wagneracker", „Hügelfeld" und „Küssleracker" und datieren gemäß Radiokarbondatierung in die späte Urnenfelderkultur und in die Hallstattzeit. Neben der Sterbealters- und Geschlechtsdiagnose und paläopathologischen Analysen liegt das Hauptaugenmerk auf der Untersuchung etwaiger taphonomischer Veränderungen und Manipulationsspuren, was durch den außergewöhnlich guten Erhaltungszustand ermöglicht wird.

860. Schürer von Waldheim 1919. – Breitinger 1976. – Breitinger 1980. – Szilvássy, Kritscher, Hauser 1988. – Breitinger 1996. – Hellerschmid, Penz 2004. – Wiltschke-Schrotta 2006. – Griebl, Hellerschmid 2013. – Hellerschmid 2015. – Wiltschke-Schrotta, Marschler 2016. – Parson et al. 2018. – Retzmann et al. 2020.

861. Die beiden Autorinnen danken den Kolleginnen aus der Anthropologischen Abteilung, allen voran Andrea Stadlmayr und Margit Berner, für ihren fachlichen Input und die Literaturhinweise. Günther Karl Kunst und Herbert Böhm sei für ihre Einschätzungen bzgl. der Tierverbissspuren gedankt. Weiters ist Bernhard Weinzinger für die Probenentnahmen und Wolfgang Reichmann für die Fotos zu danken.

4.1 Material und Methoden

4.1.1 Material

Die hier vorgestellten menschlichen Skelettreste stammen aus diversen archäologischen Strukturen von den Grabungsflächen „Wagneracker", „Hügelfeld" und „Küssleracker" in Stillfried an der March, die bis jetzt großteils noch nicht wissenschaftlich untersucht wurden (siehe auch Abb. 172).

Grabungsfläche „Wagneracker"

Der Schädel FNr. St. 16029 und die beiden Calvarien FNr. St. 16032 und 16033 stammen aus der kegelstumpfförmigen Grube **V5000** vom „Wagneracker", auf deren Boden sie absichtsvoll deponiert wurden. Man fand sie eingebettet in Asche, Hüttenlehm und Keramik. Sowohl die Grube als auch die Knochen[862] datieren in die späte Urnenfelderzeit (Ha B2–3). Ebenfalls aus dieser Zeit stammt das Skelett eines Fötus bzw. Neugeborenen (FNrn. St. 16332 und 16352) aus der kegelstumpfförmigen Grube **V5001** vom „Wagneracker". Dieses wurde im unteren Hausbrandschutt, der sich in dieser Grube fand, deponiert. Eine weitere Grube aus der Urnenfelderzeit ist **V5005**. Im mittleren Grubenabschnitt dieser sehr großen Grube vom „Wagneracker" fand sich neben zahlreichen anderen Funden, wie z. B. verkohlten Getreide- und Wildpflanzenresten, Muschelschalen, Fischresten und Reibplattenfragmenten, ein menschlicher Humerusschaft (FNr. St. 17038), der ebenfalls in diese Zeit datiert.

862. ^{14}C datiert wurde ein Tierknochen aus dem unteren Grubenbereich.

Fund-nummer	Objekt (archäo-logische Datierung)	Fundsituation	Messdaten der ^{14}C-Datierung der Knochen	Erhaltung	Ge-schlecht	Sterbe-alter (Jahre)	Alters-klasse	alte Bruch-stellen (vor der Aus-grabung entstanden)	Mani-pulation Schädel-basis	Manipu-lation Ge-sichts-schädel	Tierver-biss	Brand-spuren, Metall-verfär-bungen	rezente Bruch-stellen (bei oder nach der Aus-grabung entstanden)	verheilte Schädel-ver-letzung (Lokali-sation)
16029	V5000 (UK)	Schädeldeponierung am Boden einer UK-Grube	2785 ± 30 BP* (Poz-111774)	Cranium	n. b.	9–10	Infans 2	+	+	+	–	–	+	–
16032	V5000 (UK)	Schädeldeponierung am Boden einer UK-Grube	2785 ± 30 BP* (Poz-111774)	Calvarium	männ-lich?	40–60	Matur	+	+	+	–	–	–	+ (Os parietale rechts und links)
16033	V5000 (UK)	Schädeldeponierung am Boden einer UK-Grube	2785 ± 30 BP* (Poz-111774)	Calvarium	n. b.	15 ± 36 Monate	Infans 2–Juve-nis	+	+	+	–	–	+	–
16332 & 16352	V5001 (UK)	im Brandschutt in einer UK-Speicher-grube deponiertes Neugeborenes	2800 ± 30 BP (Poz-111781)	unvollständi-ges Skelett	n. b.	36.–40. Schwan-ger-schafts-woche	Fetus/ Neo-natus	+	–	n. b.	–	–	+	–
17038	V5005 (UK)	Humerusschaft in der Verfüllung einer UK-Grube	2710 ± 30 BP (Poz-111780)	Humerus ohne Epi-physen	n. b.	14–X	Juve-nis–erwach-sen	+	n. v.	n. v.	+	–	–	n. v.
16055	V5092 (Ha)	menschliche Knochen in der Verfüllung eines hallstattzeitlichen Grubenhauses	Ha**	Calvarium ohne Gesichts-schädel	weib-lich	20–40	Adult	+	+	fraglich	fraglich	–	+	fraglich
16060	V5092 (Ha)	menschliche Knochen in der Verfüllung eines hallstattzeitlichen Grubenhauses	Ha**	Os occipita-le-Fragment	männ-lich?	20–60	Adult–Matur	+	n. v.	n. v.	–	–	–	–
16061 & 16115	V5092 (Ha)	menschliche Knochen in der Verfüllung eines hallstattzeitlichen Grubenhauses	16115: 2460 ± 35 BP (Poz-111782)	Os frontale (16061) und Fragment des rechten Os parietale (16115)	indiffe-rent	20–40	Adult	+	n. v.	+	–	–	fraglich	+ (Os frontale rechts)
16076	V5092 (Ha)	menschliche Knochen in der Verfüllung eines hallstattzeitlichen Grubenhauses	2505 ± 30 BP (Poz-99269)	Unterkiefer-fragment (rechts)	indiffe-rent	40–X	Matur–Senil	+	n. v.	fraglich	+	–	–	–

Fund-nummer	Objekt (archäo-logische Datierung)	Fundsituation	Messdaten der ^{14}C-Datierung der Knochen	Erhaltung	Ge-schlecht	Sterbe-alter (Jahre)	Alters-klasse	alte Bruch-stellen (vor der Aus-grabung entstanden)	Mani-pulation Schädel-basis	Manipu-lation Ge-sichts-schädel	Tierver-biss	Brand-spuren, Metall-verfär-bungen	rezente Bruch-stellen (bei oder nach der Aus-grabung entstanden)	verheilte Schädel-ver-letzung (Lokali-sation)
16295	V5094 (MA)	Knochen aus der UK in mittelalterlichem Graben (Sekundär-lage)	2910 ± 30 BP (Poz-111785)	Fragment Os frontale oder Os parietale	n. b.	6–9	Infans 2	–	n. v.	n. v.	–	–	+	–
16755	V5094 (MA)	Knochen aus der UK in mittelalterlichem Graben (Sekundär-lage)	2735 ± 30 BP (Poz-111786)	Unterkiefer-fragment (links)	n. b.	15 ± 36 Monate	Infans 2–Juve-nis	+	n. v.	fraglich	fraglich	–	–	–
16261 & 16259	V5095 (MA)	Knochen aus der UK in mittelalterlichem Graben (Sekundär-lage)	16261: 2740 ± 30 BP (Poz-111784), 16259: 2745 ± 30 BP (Poz-111333)	Os occipita-le-Fragment (16261) und Fragment des rechten Os parietale (16259)	n. b.	3–6	Infans 1b	+	frag-lich/n. v.	n. v.	–	–	+	–
21474	V885 (UK)	Knochen in einer UK-Grube	2785 ± 30 BP (Poz-111787)	Fragment des linken Os parietale	n. b.	20–40	Adult	+	n. v.	n. v.	–	–	–	–
12206	ohne Ver-färbungs-zusammen-hang	ohne Verfärbungs-zusammenhang (Kno-chen aus der UK)	2690 ± 30 BP (Poz-99268)	Fragment des rechten Os parietale	n. b.	erwach-sen	erwach-sen	+	n. v.	n. v.	–	–	–	–

Abb. 172: Überblick über die untersuchten Skelettreste aus Stillfried mit archäologischen Informationen und den wichtigsten Ergebnissen der anthropologischen Analysen. UK = Urnenfelderkultur. Ha = Hallstattzeit; MA = Mittelalter; * = Datierung eines Tierknochens aus dem unteren Grubenbereich; ** = Datierung bei anderen menschlichen Knochen aus diesem Objekt durchgeführt; + = Merkmal ausgeprägt; – = Merkmal nicht ausgeprägt; n. v. = Skelettelement nicht vorhanden; n. b. = Merkmal nicht beurteilbar.

Der im unteren Grubenabschnitt gefundene menschliche Knochen (FNr. St. 17097), der angeblich Schnittspuren aufweist, stand der Untersuchung nicht zur Verfügung.

Bei **V5092** handelt es sich um ein Grubenhaus vom „Wagneracker", das in die fortgeschrittene Hallstattzeit (Ha C2/D1) datiert. In dessen Verfüllung wurden fünf menschliche Knochen gefunden: Das Calvarium FNr. St. 16055, das Hinterhauptfragment FNr. St. 16060, das von einem Individuum stammende Stirnbein (FNr. St. 16061) und rechte Scheitelbeinfragment (FNr. St. 16115) sowie das rechte Unterkieferfragment FNr. St. 16076. Die ^{14}C-Datierungen der Knochen weisen ebenfalls in diese Zeit.

Des Weiteren wurden urnenfelderzeitliche Knochen in mittelalterlichen Gräben vom „Wagneracker" gefunden, eine Sekundärlage ist demnach evident. Aus dem Graben **V5094** stammt das Schädeldachfragment FNr. St. 16295 und das linke Unterkieferfragment FNr. St. 16755. Im Graben **V5095** wurden das rechte Scheitelbeinbruchstück FNr. St. 16259 und das Hinterhauptfragment FNr. St. 16261 gefunden.

Grabungsflächen „Hügelfeld" und „Küssleracker"

Bei **V885** handelt es sich wiederum um eine kegelstumpfförmige Grube aus der späten Urnenfelderzeit (Ha B 2–3), die am „Hügelfeld" entdeckt wurde. Aus ihr stammt das ebenfalls in diese Zeit datierende Bruchstück eines linken Scheitelbeines FNr. St. 21474. Am „Küssleracker" wurde ohne Verfärbungszusammenhang das rechte Scheitelbeinfragment FNr. St. 12206 gefunden. Gemäß ^{14}C-Datierung stammt es ebenfalls aus der Urnenfelderzeit.

4.1.2 Methoden

Im Zuge der anthropologischen Untersuchung wurden die Skelettreste makroskopisch und lupenmikroskopisch, nicht einsehbare Bereiche unter Zuhilfenahme eines Endoskops untersucht. Die Bezeichnung der Zähne folgt dem Zahnschema der Fédération Dentaire Internationale (FDI).

Die Geschlechtsdiagnose erfolgte nach den Empfehlungen von Ferembach, Schwidetzky, Stloukal.[863] Für die Sterbealtersbestimmung wurden folgende Merkmale herangezogen: Zahnentwicklung nach Ubelaker,[864] Epiphysenschluss nach Ferembach, Schwidetzky, Stloukal,[865] Metrik des fetalen Skeletts nach Fazekas und Kosa,[866] Diaphysenlängen der Langknochen nach Stloukal und Hanáková,[867] Zahnabrasion nach Miles,[868] Obliterationsgrad der endocranialen Schädelnähte nach Nemeskéri, Harsányi, Acsádi,[869] ectocranialer Nahtverschluss nach Rösing.[870] Die Altersklassen wurden gemäß Szilvássy[871] wie folgt definiert: Fetus/Neonatus X bis 3 Monate, Infans 1a 3,5 Monate bis 3 Jahre, Infans 1b 3,5–6,5 Jahre, Infans 2 7–13,5 Jahre, Juvenis 14–19,5 Jahre, Adult 20–39,5 Jahre, Matur 40–59,5 Jahre, Senil über 60 Jahre. Als „erwachsen" wurden jene Individuen bezeichnet, bei denen das Skelettwachstum vollständig abgeschlossen ist, ein genaueres Sterbealter jedoch nicht ermittelt werden konnte.

4.2 Ergebnisse

Eine Übersicht über die Ergebnisse der anthropologischen Untersuchungen ist in Abb. 172 zusammengefasst. Details finden sich hier im anschließenden Katalogteil.

4.2.1 Grabungsfläche „Wagneracker"

4.2.1.1 Grube V5000 (UK)

FNr. St. 16029

Archäologischer Kontext: Der Schädel fand sich gemeinsam mit den Calvarien FNrn. St. 16032 und 16033 deponiert in der in die späte Urnenfelderzeit datierenden Grube V5000 („Wagneracker" 1986).

Sterbealter: 9–10 Jahre (Infans 2).

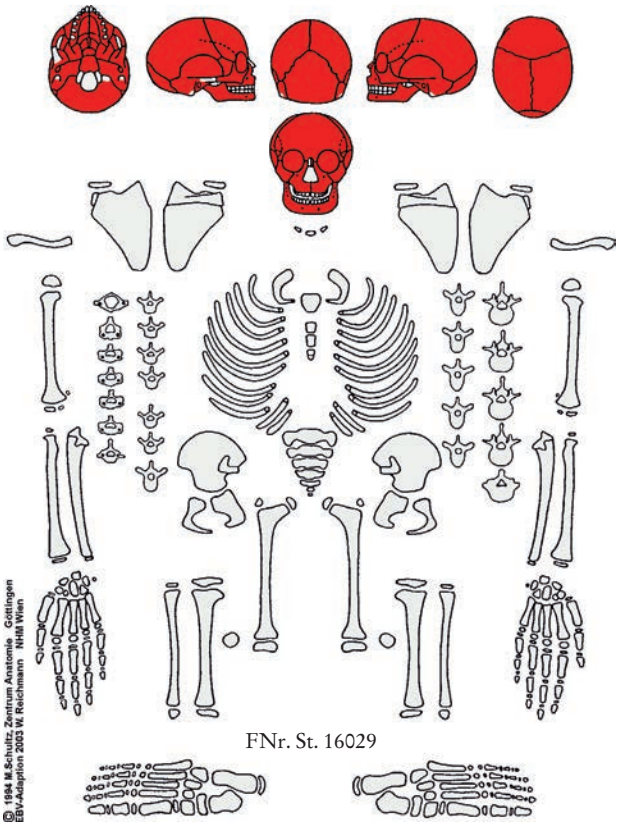
Geschlecht: nicht bestimmbar.

Erhaltung: Sehr gut und vollständig erhaltenes Cranium, es fehlen lediglich der rechte Processus zygomaticus und das rechte Nasenbein (Abb. 173). Die fragilen Teile des Os sphenoidale und Os ethmoidale sowie die obere Wand der rechten Orbita sind fragmentiert erhalten. Die Knochenoberflächen sind nicht erodiert.

Frische Bruchkanten finden sich am Ansatz des rechten Processus zygomaticus am Os temporale und entlang der Vorderkante des rechten Processus coronoideus der Mandibel. In der rechten Schädelseite sind zudem zahlreiche Sprünge erkennbar, die zu großen Teilen verklebt wurden, weswegen die Bruchkanten nur eingeschränkt einsehbar sind. Soweit beurteilbar, handelt es sich auch hier um frische Bruchkanten, sie sind also mit großer Wahrscheinlichkeit postmortal entstanden. Ob der Bruch im linken Os temporale, der oberhalb des Processus mastoideus von der Sutura parietomastoidea bis zur Sutura occipitomastoidea

863. Ferembach, Schwidetzky, Stloukal 1979.
864. Ubelaker 1978.
865. Ferembach, Schwidetzky, Stloukal 1979.
866. Fazekas, Kosa 1978.
867. Stloukal, Hanáková 1978.
868. Miles 1963.
869. Nemeskéri, Harsányi, Acsádi 1960.
870. Rösing 1977.
871. Szilvássy 1988.

verläuft, ebenfalls postmortal oder perimortal entstanden ist, lässt sich aufgrund der nicht ausreichend beurteilbaren Bruchkanten nicht genau feststellen. Alte Bruchkanten, die am noch stark kollagenhaltigen Knochen entstanden sind, finden sich am linken Processus coronoideus der Mandibel, an beiden Schädelkondylen und beidseits an der Spitze des Processus mastoideus (siehe unten).



FNr. St. 16029

Zahn- und Kieferbefund: Die Zähne des Wechselgebisses sind fast vollständig erhalten, nur die ersten Dauer-Incisivi des Oberkiefers und die Zahnanlage 28 sind postmortal verloren gegangen. Der linke zweite Dauer-Incisivus ist schaufelförmig ausgeprägt, beide ersten Dauer-Molaren des Oberkiefers weisen ein Tuberculum Carabelli auf.

Die Milchzähne sind altersentsprechend stark abradiert (Grad 4 bis 6), an drei Zähnen (Zahn 54, 83 und 85) hat sich bereits Sekundärdentin gebildet. Kariöse Defekte sind an allen vier Milchmolaren des Oberkiefers diagnostizierbar. An allen Dauer-Incisivi des Unterkiefers (Abb. 174) finden sich geringe Zahnsteinablagerungen. Transversale Schmelzhypoplasien (Grad 2), die auf physiologischen Stress im Kindesalter hinweisen, sind an den Zähnen 31, 32, 41, 42 und 17 ausgeprägt. An acht Milchzähnen (Zahn 53, 54, 55, 64, 75, 83, 84 und 85) und einem Dauerzahn (Zahn 32) sind intravitale Zahnschmelzabsplitterungen am Rand der Kaufläche diagnostizierbar.

Pathologien und Anomalien: Das Neurocranium ist asymmetrisch: Während der linke Stirnhöcker deutlich flacher ist als der rechte, und die linke Überaugengegend wie abgeflacht oder eingezogen wirkt, ist das Hinterhaupt auf der linken Seite viel stärker vorgewölbt als auf der rechten Seite. Die linke Schädelseite wirkt also wie leicht nach hinten verlagert. Dementsprechend ist auch die Kranznaht asymmetrisch – die linke Seite verläuft etwas weiter dorsal als die rechte. Des Weiteren fällt das Foramen magnum aufgrund seiner ungewöhnlichen Größe auf (L. ca. 4,4 cm, B. ca. 3,8 cm).

In beiden Seiten der Lambdanaht finden sich mehrere Nahtknochen. Ca. 1 cm über dem rechten Asterion ist eine ca. 3,5 cm lange Sutura mendosa ausgebildet, in die ebenfalls ein Nahtknochen eingelagert ist. Etwa 1,5 cm unterhalb des Asterion ist beidseits eine weitere Sutura mendosa mit jeweils ca. 1 cm Länge ausgeprägt. Außerdem ist eine Sutura supranasalis erkennbar.

Im Schädelinneren sind Zeichen von schwerwiegenden pathologischen Veränderungen diagnostizierbar, die von entzündlich-hämorrhagischen Prozessen im Schädelinneren – hervorgerufen durch z. B. Meningitis, Meningoenzephalitis und/oder Blutungen – zeugen. An zahlreichen Stellen sind weißliche, platten- bis bimssteinartige Knochenneubildungen sowie felderartige Gefäßimpressionen erkennbar. Vermehrt finden sich diese an der Lamina interna des Os frontale und Os occipitale am Boden der Impressiones digitatae sowie an der Schädelbasis. Auch die venösen Blutleiter sind von Entzündungen betroffen (Perisinusitis): Weißliche, feinporöse bis bimssteinartige Auflagerungen, an manchen Stellen mit darin eingetieften, felderartigen Gefäßimpressionen und Porositäten, finden sich im occipitalen Teil des Sulcus sinus sagittalis, Confluens sinuum, Sulcus sinus transversi (beidseits, aber links stärker ausgeprägt) und Sulcus sinus sigmoidei (beidseits, aber links stärker ausgeprägt). Die weißlichen, feinporösen Knochenneubildungen reichen bis in den äußeren Teil der Schädelbasis, wo sie die Wandungen des Foramen jugulare (beidseits) auskleiden. Auch der Meatus acusticus internus ist beidseits davon ausgekleidet, die Entzündung betraf also auch das Innenohr (Otitis interna). Vermutlich hat die Entzündung im Schädelinneren auf das Innenohr übergegriffen oder umgekehrt. Diese Krankheiten waren zum Todeszeitpunkt akut.

An der Schädelaußenseite sind an der Facies infratemporalis der Maxilla beidseits feinporöse Knochenneubildungen zu erkennen, die möglicherweise mit dem Zahndurchbruch bzw. der Zahnentwicklung der 2. und 3. Molaren des Oberkiefers in Verbindung stehen. Kleinflächige, plättchenartige Auflagerungen und verstärkte Porositäten sind außerdem im Bereich über dem linken Canalis mandibulae



Abb. 173: Normaufnahmen des Schädels FNr. St. 16029 aus Grube V5000 (Fotos: W. Reichmann, NHM Wien).



Abb. 174: Aufsicht auf den Unterkiefer von FNr. St. 16029 (Foto: W. Reichmann, NHM Wien).



Abb. 175: Schädelbasis von FNr. St. 16029 mit Defekten im Bereich der Schädelkondylen und Warzenfortsätze (Foto: W. Reichmann, NHM Wien).



Abb. 176: Detailaufnahme des linken Condylus occipitalis und Processus mastoideus von FNr. St. 16029 (Foto: W. Reichmann, NHM Wien).



Abb. 177: Detail des linken Processus coronoideus der Mandibula von FNr. St. 16029 mit altem Bruch (Foto: W. Reichmann, NHM Wien).

des Unterkiefers zu diagnostizieren. Es wäre auch denkbar, dass diese Knochenneubildungen am Ober- und Unterkiefer von einer chronischen Vitamin-C-Unterversorgung zeugen, weitere Hinweise, die diese Diagnose untermauern könnten, finden sich aber nicht.

Entzündlich-hämorrhagische Veränderungen sind auch an der Vorderseite der Maxilla zu diagnostizieren. Der Bereich zwischen dem Unterrand der Apertura piriformis und den beiden ersten Oberkiefer-Incisivi weist zahlreiche Porositäten und Gefäßimpressionen auf. Möglicherweise sind diese Zeichen einer chronischen Rhinitis.

Besonders auffallend sind die vermutlich perimortal entstandenen Brüche im Bereich der Schädelbasis (Abb. 175, 176). Beide Gelenksflächen der Schädelkondylen sind perimortal ausgebrochen, wodurch die darunterliegende Spongiosa freigelegt wurde. Am Hinterrand des linken

Condylus occipitalis ist noch ein kleiner Teil der Gelenksfläche ersichtlich, der nach innen gedrückt ist. Auf der rechten Seite beschränkt sich der Defekt ausschließlich auf den Condylus, links ist der Bruch über den Condylus hinaus nach lateral bis zur Sutura occipitomastoidea erweitert, wobei ausschließlich die Lamina externa abgetragen wurde. Die Bruchkanten weisen eine unregelmäßige Struktur auf, scharfe Gewalt kann demnach definitiv ausgeschlossen werden.

Weitere perimortale Defekte finden sich an den Spitzen der Processus mastoidei, die beide abgebrochen oder ausgerissen sind. Auch hier sind die Bruchkanten stark unregelmäßig, scharfe Gewalt kann demnach auch hier ausgeschlossen werden. An der medialen Seite des linken Processus mastoideus ist ein kleines Fragment der äußeren Wandung nach innen gedrückt. Zusätzlich ist an der dorsalen Seite ca. 2 mm oberhalb der Bruchkante ein perimortal entstandener, runder Eindruck mit rund 2 mm Durchmesser erkennbar (derartige Eindrücke finden sich am rechten Processus mastoideus nicht).

Darüber hinaus sind perimortale Bruchkanten auch im Bereich des Viscerocraniums erkennbar: Am linken Processus coronoideus der Mandibula, und zwar an dessen Vorderrand und Spitze (Abb. 177), zudem ist ein kleiner Bereich des rechten Processus frontalis (etwa im Ansatzbereich des Cartilago nasi lateralis) perimortal abgebrochen.

Verfärbungen: Hellbraune Verfärbungen an der rechten Schädelseite, wahrscheinlich lagerungsbedingt.

Brandspuren: Keine.

Geschlechtsbestimmung: Nicht bestimmbar.

Sterbealtersbestimmung: Zahnentwicklung: 9–10 Jahre.

Anmerkung: Unter den Schädelresten dieses Individuums finden sich ein wahrscheinlich tierisches Knochenfragment sowie ein sehr kleiner Röhrenknochen eines Tieres.

^{14}C-Datierung eines Tierknochens aus Fundposten 16008.3 aus dem unteren Grubenbereich (Sign. 20000 oben, 20004, 20005 unten): 2725 ± 30 BP [924 (95,4 %) 812 BC, Mw. 868 BC] (Poz-99232).

Messwiederholung: 2785 ± 30 BP [1007 (95,4 %) 845 BC, Mw. 926 BC] (Poz-111774).

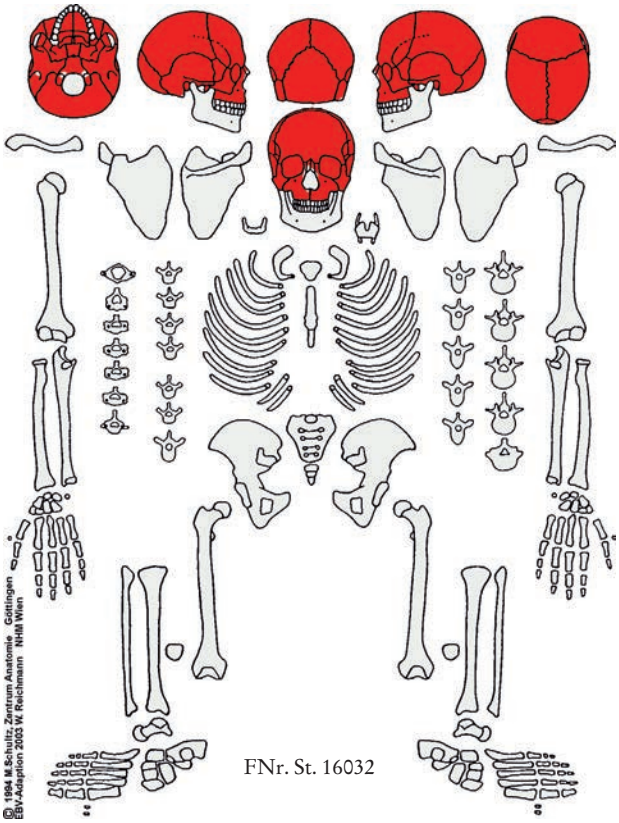
FNr. St. 16032

Archäologischer Kontext: Das Calvarium fand sich gemeinsam mit dem Schädel FNr. St. 16029 und dem Calvarium FNr. St. 16033 deponiert in der in die späte Urnenfelderzeit datierenden Grube V5000 („Wagneracker" 1986).

Sterbealter: 40–60 Jahre (Matur).

Geschlecht: männlich?

Erhaltung: Sehr gut und vollständig erhaltenes Calvarium (Abb. 178). Die Knochenoberflächen sind nicht erodiert. Im Bereich der Schädelbasis, des rechten Processus zygomaticus sowie an der Apertura piriformis und der Facies infratemporalis der Maxilla finden sich perimortale Brüche (siehe unten).



FNr. St. 16032

Zahn- und Kieferbefund: Der Oberkiefer ist vollständig erhalten, nur das rechte Ende des Alveolarkamms (der Großteil des Alveolarbereichs von Zahn 18 und dahinter) ist perimortal abgebrochen. Es sind sechs Zähne (11, 13, 14, 21, 22, 25) und ein Zahnwurzelrest des linken ersten Molaren (26) erhalten, drei Zähne gingen postmortal verloren (15, 23, 24). Sechs Alveolen – die Zahnpositionen 12, 16, 17, 18, 27 und 28 – sind verschlossen, was von intravitalem Zahnverlust zeugt. Auch bei den noch erhaltenen Zähnen zeigt sich die äußerst schlechte Zahngesundheit dieses Individuums. Drei Zähne (14, 22 und 26) weisen kariöse Lochdefekte auf, in fünf Alveolen (14, 15, 23, 24 und 26) sind periapikale Abszesse diagnostizierbar. An allen vier dahingehend beurteilbaren Zähnen finden sich leichte Zahnsteinablagerungen. Das Paradontium ist bereits atrophiert (Grad 2). Zudem zeigt der Alveolarkamm zahlreiche Porositäten, was sowohl mit der Alveolaratrophie (Paradontitis/Paradontose) als auch mit entzündlichen Veränderungen durch die vielen, teilweise nach buccal durchgebrochenen Wurzelspitzenabszesse in Verbindung steht. Auch am harten Gaumen sind verstärkte

Porositäten als Zeichen einer Entzündung (Stomatitis) diagnostizierbar.

Die Abrasion der erhaltenen Zähne ist sehr weit fortgeschritten (Grad 6 bis 9), was durch den intravitalen Zahnverlust der Molaren und die damit verbundene verstärkte Nutzung der verbleibenden Zähne bedingt ist. Übermäßig stark ist diese an den ersten Oberkiefer-Schneidezähnen, wo die gesamte Zahnkrone abradiert und die Pulpa mit Sekundärdentin ausgefüllt ist. Die unterschiedlichen Schlifffacetten (eine Querrinne in der Fissur sowie an Zahn 11 eine zusätzliche gerade Schlifffacette an der buccalen Seite) lassen an den Gebrauch dieser Zähne als „dritte Hand" denken. So auch beim linken zweiten Oberkiefer-Schneidezahn, bei dem sich in der Kaufläche ebenfalls eine Querrinne befindet. Dieser Zahn wurde jedoch so schnell abgekaut, dass sich Sekundärdentin nicht bilden konnte. Darüber hinaus sind die intravitalen Zahnschmelzabsplitterungen auffällig, die sich an allen erhaltenen Zähnen finden und besonders stark am rechten Caninus ausgeprägt sind – auch diese stehen aller Wahrscheinlichkeit nach mit der Nutzung der Zähne als „Werkzeug" in Verbindung. Zudem ist eine Stellungsanomalie zu beobachten: Zahn 22 ist stark nach außen rotiert.

Pathologien und Anomalien: Das Calvarium ist sehr schwer, was vermutlich in einer großen Schädeldicke durch das fortgeschrittene Alter begründet ist. Das Neurocranium ist asymmetrisch: Während der linke Stirnhöcker flacher ist als der rechte und die linke Überaugengegend etwas abgeflacht oder eingezogen wirkt, ist das Hinterhaupt auf der linken Seite viel stärker vorgewölbt als auf der rechten Seite. Die linke Schädelseite wirkt also wie leicht nach hinten verlagert.

In der linken Lambdanaht findet sich ein Schaltknochen. Außerdem ist eine Sutura supranasalis ausgeprägt, die teilweise verstrichen ist.

In beiden Orbitadächern sind sehr feine Porositäten und feine, verästelte Gefäßimpressionen zu beobachten (Cribra orbitalia). Im Schädelinneren weist die Oberfläche im Bereich des Confluens sinuum eine stark unregelmäßige, narbenartige Struktur auf. Möglicherweise stellen diese Strukturen Reste eines verheilten, entzündlichen Prozesses der venösen Blutleiter (Perisinusitis) dar.

Im Schädeldach sind an zwei Stellen Eindellungen in der Lamina externa zu erkennen, die lange und sehr gut verheilte Depressionsfrakturen darstellen. Eine der beiden liegt im rechten Os parietale unmittelbar hinter dem Nahtabschnitt C1 und ca. 1 cm lateral des Nahtabschnitts S1 und hat eine ovale Form (ca. 30 × 18 mm groß, Abb. 179a). Die andere befindet sich im linken Os parietale im hinteren Bereich des Tuber parietale, ungefähr 2 cm ventral des Nahtabschnitts L2 und rund 3,5 cm lateral des Nahtabschnitts S4 (Abb. 179b). Die Eindellung ist ebenfalls oval, aber mit 18 × 9 mm deutlich kleiner als jene auf der rechten Seite. Beide Frakturen betrafen nur die äußere Schädeltafel, die Lamina interna wurde nicht geschädigt. Es kann demnach davon ausgegangen werden, dass die Verletzungen nicht lebensbedrohlich waren.

Auffällig sind die perimortalen Defekte, die sich am Calvarium finden. An der Schädelbasis sind sie zum einen im Bereich der Schädelkondylen lokalisiert (Abb. 180, 181). Der ventromediale Bereich der Gelenksfläche des rechten Condylus occipitalis sowie der unmittelbar daran angrenzende Bereich der Lamina externa der Basis ossis occipitalis sind perimortal ausgebrochen, wodurch die darunterliegende Spongiosa freigelegt wurde. Ein ähnlicher, aber größerer Defekt findet sich am linken Condylus occipitalis, wo der gesamte ventrale Teil der Gelenksfläche des Condylus und die angrenzende Basis ossis occipitalis rund doppelt so groß ausgebrochen ist wie an der rechten Seite. Hier ist zudem ersichtlich, dass an mehreren Stellen die Lamina externa der Basis ossis occipitalis in die Spongiosa eingepresst ist. Auch lateral des linken Condylus occipitalis ist ein Teil der Knochenoberfläche in die Spongiosa eingedrückt.

Perimortale Defekte finden sich auch an den Processus mastoidei. An der medialen Seite des linken Processus mastoideus finden sich zwei runde Eindrücke mit rund 3 mm Durchmesser (Abb. 181a). Beim rechten Processus mastoideus ist einerseits die Spitze abgebrochen, andererseits finden sich an der medialen, dorsalen und lateralen Seite runde bis ovale Eindrücke (medial und dorsal: jeweils oval und ca. 5 × 3 mm groß, lateral: rund mit etwa 7 mm Durchmesser, Abb. 181b). Mit nur einer Ausnahme ist allen diesen Veränderungen an den Processus mastoidei gemein, dass Teile der äußeren Knochentafel nach innen gedrückt bzw. verlagert sind.

Im ventralen Teil der Schädelbasis sind perimortale Brüche im Bereich der Facies infratemporalis beider Maxillae zu diagnostizieren, wodurch die Kieferhöhlen eröffnet wurden. Zudem sind im rechten Os sphenoidale große Teile des Processus pterygoideus perimortal ausgebrochen.

Im Viscerocranium sind alte, wahrscheinlich perimortale Brüche rund um die Apertura piriformis – an beiden Ossa nasalia und der Insicura nasalis beider Maxillae (rechts stärker als links; Ansatzstelle der Cartilagines nasi laterales) sowie die Spina nasalis anterior (Ansatzstelle des Cartilago septi nasi) – erkennbar. Auch der rechte Processus zygomaticus ist an der Oberseite im Bereich der Sutura temporozygomatica perimortal ausgebrochen.

Ungewöhnlich sind auch die „Schlifffacetten" im Bereich der Schädelbasis. An der Spitze beider Processus mastoidei sowie an den am weitesten ventro-medial gelegenen Teilen der noch erhaltenen Gelenksflächen der Schädelkondylen sind sehr glatte, spiegelnde Areale erkennbar.



Abb. 178: Normaufnahmen des Calvariums FNr. St. 16032 aus Grube V5000 (Fotos: W. Reichmann, NHM Wien).



a. b.

Abb. 179: Verheilte Depressionsfrakturen bei FNr. St. 16032: a. im rechten Scheitelbein. – b. im linken Scheitelbein (Fotos: W. Reichmann, NHM Wien).



Abb. 180: Schädelbasis von FNr. St. 16032 mit Defekten im Bereich der Schädelkondylen und Warzenfortsätze (Foto: W. Reichmann, NHM Wien).



a. b.

Abb. 181: a. Detailaufnahme der Defekte des rechten Condylus occipitalis und Processus mastoideus von FNr. St. 16032. – b. Außenseite des rechten Processus mastoideus (Fotos: W. Reichmann, NHM Wien).

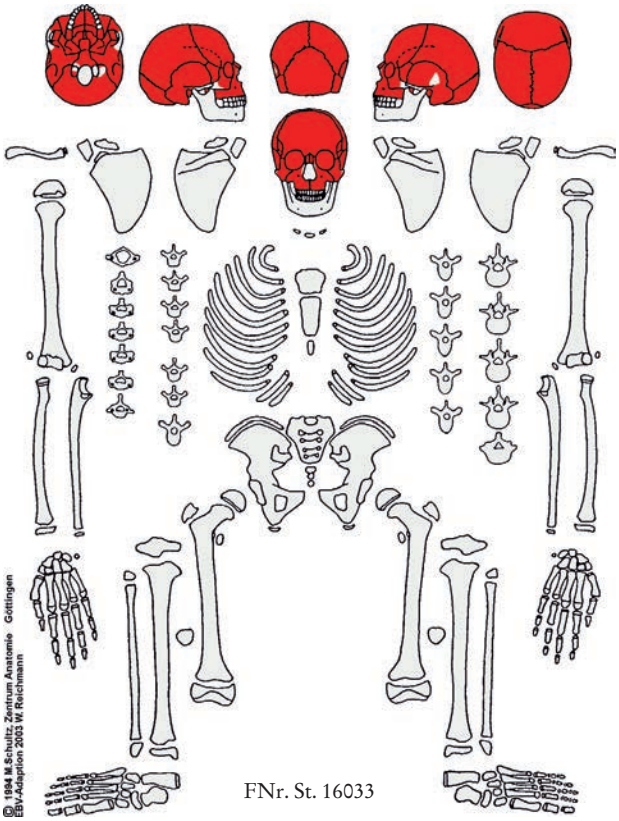
Verfärbungen: Im mittleren und rechten Schädeldach sind hellbraune Verfärbungen erkennbar, die vermutlich lagerungsbedingt sind.
Brandspuren: Keine.
Geschlechtsbestimmung: Glabella und Arcus superciliaris betont, leicht fliehende Stirn, abgerundeter Margo supraorbitalis, stark ausgeprägtes Muskelrelief am Planum nuchale, nur mäßig betonte Protuberantia occipitalis externa, niedriges Os zygomaticum und nur mäßig robuster Processus zygomaticus, mittelgroßer Processus mastoideus.
Sterbealtersbestimmung: Endocranialer Nahtverschluss: 35–51 Jahre, ectocranialer Nahtverschluss: 35–55 Jahre, intravitaler Zahnverlust aller Molaren des Oberkiefers, sehr weit fortgeschrittene Abrasion der verbliebenen Zähne des Oberkiefers.
^{14}C-Datierung eines Tierknochens aus Fundposten 16008.3 aus dem unteren Grubenbereich (Sign. 20000 oben, 20004, 20005 unten): 2725 ± 30 BP [924 (95,4 %) 812 BC, Mw. 868 BC] (Poz-99232).
Messwiederholung: 2785 ± 30 BP [1007 (95,4 %) 845 BC, Mw. 926 BC] (Poz-111774).

FNr. St. 16033
Archäologischer Kontext: Das Calvarium fand sich gemeinsam mit dem Schädel St. 16029 und dem Calvarium St. 16032 deponiert in der in die späte Urnenfelderzeit datierenden Grube V5000 („Wagneracker" 1986).
Sterbealter: 15 Jahre ± 36 Monate (Infans 2–Juvenis).
Geschlecht: nicht bestimmbar.
Erhaltung: Sehr gut und vollständig erhaltenes Calvarium (Abb. 182). Die Knochenoberflächen sind nicht erodiert.

In der linken Squama temporalis und im Os occipitale nahe des Foramen magnum sind frische Lochbrüche, in der rechten Squama temporalis frische Fissuren erkennbar, die allesamt klar postmortal entstanden sind. Jene Fissur in der rechten Squama temporalis, die zum cranialen Abschnitt der Sutura squamosa zieht, ist möglicherweise perimortal entstanden. Weitere perimortale Defekte sind an den Schädelkondylen, dem Processus zygomaticus beidseits, beiden Ossa zygomatica sowie entlang der Apertura piriformis diagnostizierbar (siehe unten). Die linke Sutura cornalis sowie die linke Sutura sphenosquamosa sind aufgesprengt.
Zahn- und Kieferbefund: Der Oberkiefer ist vollständig bezahnt erhalten. Die Kronen der dritten Molaren sind mineralisiert und liegen im Kiefer. Alle Zähne sind frei von Karies. An acht Zähnen sind geringe Zahnsteinablagerungen erkennbar. Zahn 11 und 22 weisen intravitale Zahnschmelzabsplitterungen auf. Transversale Schmelzhypoplasien sind an neun Zähnen diagnostizierbar und wurden durch schweren physiologischen Stress im Kindesalter hervorgerufen.

Der rechte erste Molar weist ein großes Tuberculum Carabelli auf. Im Bereich der Incisivi ist Zahnengstand zu diagnostizieren, weswegen die Zähne rotiert sind (12, 22: Außenrotation, 21: leichte Außenrotation, 11: paraxiale Fehlstellung/nach buccal verlagert).

Im Alveolarbereich fast aller Zähne sind feinporöse Knochenneubildungen und/oder verstärkte Porositäten feststellbar.



FNr. St. 16033

Pathologien und Anomalien: Rechtsseitig ist ein kleines Os epiptericum ausgebildet. In der Lambdanaht finden sich beidseits Nahtknochen, teils sind diese sehr klein. Die rechte Sutura squamosa ist nicht schuppig, sondern als verzahnte Schädelnaht ausgeprägt. An das rechte Foramen mastoideum schließt ein bis zu 4 mm breiter, 1,5 mm tiefer und rund 20 mm langer, weit U-förmig ausgebildeter Sulcus an.

Auch pathologische Veränderungen sind zu diagnostizieren. Die Lamina externa der Ossa parietalia und des Os occipitale weist äußerst feine Porositäten im Bereich um die Lambdanaht auf. In beiden Orbitadächern sind in einem großen Bereich fein- und grobporöse Abschnitte sowie fein verästelte Gefäßimpressionen erkennbar (Cribra orbitalia). Entzündliche Veränderungen finden sich am Porus und Meatus accusticus externus in Form von zahlreichen Porositäten – Zeichen einer Otitis externa.



Abb. 182: Normaufnahmen des Calvariums FNr. St. 16033 aus Grube V5000 (Fotos: W. Reichmann, NHM Wien).



Abb. 183: Schädelbasis von FNr. St. 16033 mit Defekten im Bereich der Schädelkondylen und Warzenfortsätze (Foto: W. Reichmann, NHM Wien).



Abb. 184: Detailaufnahme der Defekte am linken Processus mastoideus von FNr. St. 16033 (Foto: W. Reichmann, NHM Wien).



Abb. 185: Detailaufnahme der perimortalen Brüche im Bereich des rechten Jochbogens von FNr. St. 16033 (Foto: W. Reichmann, NHM Wien).



Abb. 186: Detailaufnahme der perimortalen Brüche im Bereich des linken Jochbogens von FNr. St. 16033 (Foto: W. Reichmann, NHM Wien).



Abb. 187: Detail des vermutlich perimortal entstandenen Eindrucks im linken Jochbein von FNr. St. 16033 (Foto: W. Reichmann, NHM Wien).

An der Facies infratemporalis der Maxilla sind beidseits feinporöse Knochenneubildungen zu erkennen, die möglicherweise mit dem Zahndurchbruch bzw. der Zahnentwicklung der 3. Molaren in Verbindung stehen. Auch könnten diese Knochenneubildungen auf chronischen Vitamin-C-Mangel zurückzuführen sein, da sich auch an anderen Stellen Hinweise darauf finden: Im Alveolarbereich fast aller Zähne sind feinporöse Knochenneubildungen und/oder verstärkte Porositäten feststellbar, an der Lamina externa der Ala major ossis sphenoidalis und der Fossa pterygoidea finden sich beidseits leicht verstärkte Porositäten, in den Orbitadächern finden sich ebenfalls großflächig Porositäten, sehr feine Porositäten auch am äußeren Schädeldach. Ein chronischer Vitamin-C-Mangel ist demzufolge sehr wahrscheinlich.

Wie bei den anderen beiden Schädeln aus der Grube V5000 finden sich auch hier sehr ähnliche perimortale Veränderungen (Abb. 183, 184). Die Gelenksflächen beider Schädelkondylen sind perimortal ausgebrochen. Auf der rechten Seite betrifft der Defekt die ventrale Hälfte der Gelenksfläche des Condylus occipitalis und ca. 5 mm des daran anschließenden Bereichs der Lamina externa der *Basis* ossis occipitalis. Auf der linken Seite ist der Defekt fast ident, nur ist hier die gesamte Gelenksfläche des Condylus occipitalis ausgebrochen. Die Bruchkanten sind sehr unregelmäßig und ausgefranst.

Ebenso feststellbar sind Lochdefekte in den Processus mastoidei. Am rechten Processus mastoideus ist an der Spitze sowie an der lateralen Seitenwand je ein runder Eindruck mit rund 2 mm Durchmesser erkennbar. Auf der linken Seite sind an der Spitze zwei kleinere, runde Eindrücke mit je ca. 1,5 mm Durchmesser, an der lateralen Wandung einer mit ca. 2 mm Durchmesser. Da die äußere Knochentafel der Warzenfortsätze sichtlich extrem dünnwandig – fast papierdünn – ist, ist der Entstehungszeitpunkt unklar.

Die auffallendsten perimortalen Defekte betreffen beide Jochbögen, die perimortal abgebrochen sind (Abb. 185–187). Sehr stark gezackte und ausgefranste Bruchkanten finden sich beidseits sowohl am Os zygomaticum, wo der gesamte Processus temporalis ausgebrochen ist, als auch am Os temporale, wo der Processus zygomaticus ca. 1 cm neben der Fossa mandibularis abgebrochen ist. Bei allen Bruchkanten ist die laterale und caudale Seite ausgefranst, gezackt und stark unregelmäßig, die innere (mediale) Seite hingegen relativ gerade und nicht gefranst. Am linken Os zygomaticum ist darüber hinaus entlang des caudalen Abschnitts der Sutura zygomaticomaxillaris ein ovaler, rund 6 × 2 mm großer Eindruck der Lamina externa erkennbar, der möglicherweise ebenso perimortal entstanden ist.

Im Viscerocranium sind weitere perimortale Bruchkanten um die Apertura piriformis diagnostizierbar, und zwar beidseits am Processus frontalis der Maxilla und sehr kleinräumig an den Nasenbeinen (Ansatzstellen der Cartilagines nasi laterales).

Über die perimortalen Defekte hinaus sind am Schädel noch mehrere Fissuren erkennbar. Teilweise sind sie aufgrund der weißlichen Bruchkanten eindeutig als postmortal zu diagnostizieren. Folgende Fissuren könnten allerdings auch perimortal entstanden sein: Fissur an der rechten Squama temporalis (der craniale Abschnitt, der zur Sutura squamosa zieht), durch das linke Orbitadach sowie am linken Os frontale und parietale (zieht durch und über die Mitte der Coronarnaht). Auffällig ist auch die Nahtsprengung der linken Sutura cornalis und Sutura sphenosquamosa. Möglicherweise ist diese ebenso bereits perimortal entstanden, vielleicht steht sie auch im Zusammenhang mit den oben genannten Fissuren.

Verfärbungen: Über den ganzen Schädel verteilte, kleinräumige hellbraune Verfärbungen, die vermutlich lagerungsbedingt sind.

Brandspuren: Keine.

Geschlechtsbestimmung: Nicht bestimmbar.

Sterbealtersbestimmung: Zahnentwicklung: 15 Jahre ± 36 Monate, Zahnabrasion: < 25 Jahre, Sphenobasilarfuge offen: < 18 Jahre.

^{14}C-Datierung eines Tierknochens aus Fundposten 16008.3 aus dem unteren Grubenbereich (Sign. 20000 oben, 20004, 20005 unten): 2725 ± 30 BP [924 (95,4 %) 812 BC, Mw. 868 BC] (Poz-99232).

Messwiederholung: 2785 ± 30 BP [1007 (95,4 %) 845 BC, Mw. 926 BC] (Poz-111774).

4.2.1.2 Grube V5001 (UK)

FNrn. St. 16332 und St. 16352

Archäologischer Kontext: Die Knochen eines Fetus/Neonatus wurden im Brandschutt in der kegelstumpfförmigen Speichergrube V5001 gefunden („Wagneracker" 1987). Es kann von einer Primärlage ausgegangen werden – sowohl die archäologische Datierung aufgrund des Fundmaterials als auch die ^{14}C-Datierung der Knochen weisen in die späte Urnenfelderkultur (Ha B2–3).

Sterbealter: 36.–40. Schwangerschaftswoche/10. Lunarmonat (Fetus/Neonatus).

Geschlecht: nicht bestimmbar.

Erhaltung: Unvollständiges Skelett eines Fetus bzw. Neugeborenen, das durch alle Körperregionen mit Ausnahme der unteren Extremität repräsentiert ist (Abb. 188). Durch passgenaue Stücke des rechten Scheitelbeins und der rechten Maxilla konnten die FNrn. St. 16332 und 16352 zu einem Skelett zusammengeordnet werden. Die Knochenoberflächen sind kaum erodiert.

Zahn- und Kieferbefund: Es sind keine Zahnanlagen erhalten.

Pathologien und Anomalien: Es konnten keine Pathologien oder Anomalien festgestellt werden.

Verfärbungen: Keine.

Brandspuren: Keine.

Geschlechtsbestimmung: Nicht bestimmbar, keine geschlechtsdiagnostischen Merkmale erhalten.

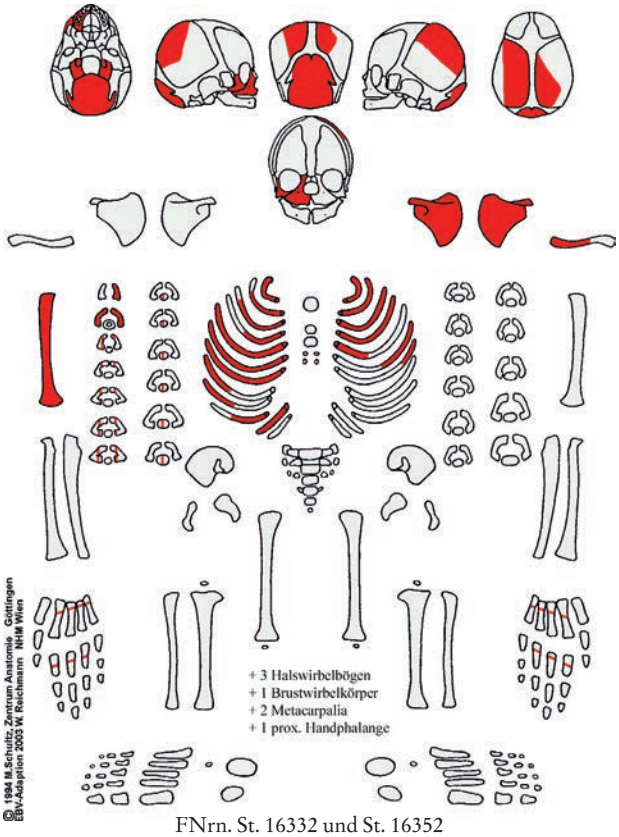
Sterbealtersbestimmung: Aufgrund der cranialen und postcranialen Knochenmaße ca. 36.–40. Schwangerschaftswoche bzw. 10. Lunarmonat.



a.

b.

Abb. 188: Skelettreste des Neugeborenen aus Grube V5001. – a. FNr. St. 16332. – b. FNr. St. 16352 (Fotos: W. Reichmann, NHM Wien).



FNrn. St. 16332 und St. 16352

Maße: Squama occipitalis: H. 52,8 mm; Pars lateralis ossis occipitalis: L. re 23,1 mm/li 23,2 mm, B. li 15,3 mm; Os zygomaticum re L. 25 mm, B. 21,6 mm; Scapula li: L. 30 mm, B. 25,5 mm, Spina L. 28,5 mm; Humerus re: L. ca. 58 mm (leicht erodiert), distale B. 13 mm; 1. Rippe: max. L. re 21,4 mm/li 21,8 mm.

^{14}C-Datierung von FNr. St. 16332: 2790 ± 30 BP [1011 (95,4 %) 846 BC, Mw. 928 BC] (Poz-99240).

Messwiederholung: 2800 ± 30 BP [1027 (95,4 %) 848 BC, Mw. 937 BC] (Poz-111781).

4.2.1.3 Grube V5005 (UK)

FNr. St. 17038

Archäologischer Kontext: Der Oberarm wurde in der urnenfelderzeitlichen Grube V5005 in Schicht 20042 gefunden („Wagneracker"). Er stammt gemäß ^{14}C-Datierung ebenfalls aus dieser Zeit.

Sterbealter: jugendlich–erwachsen.

Geschlecht: nicht bestimmbar.

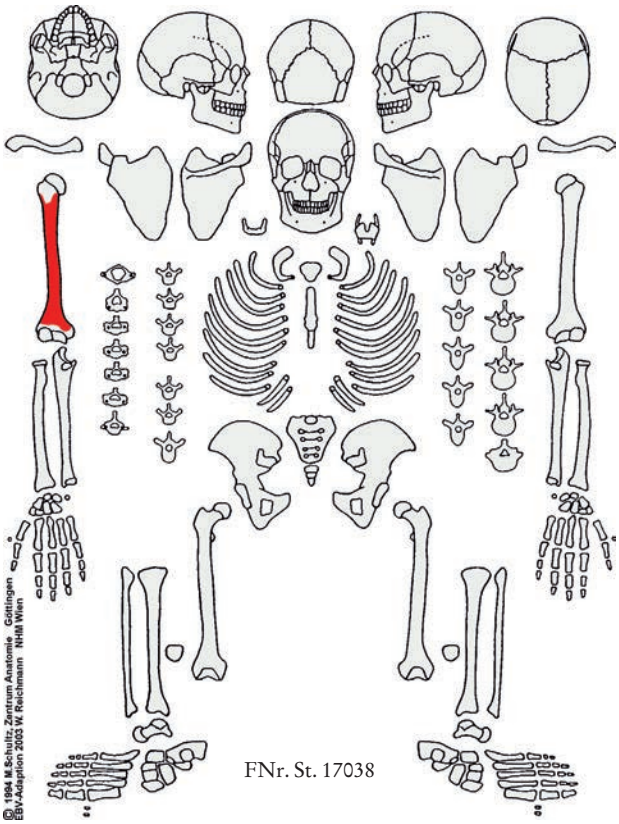
Körperhöhe: nicht bestimmbar.

Erhaltung: Graziler, rechter Humerusschaft ohne Epiphysen, die Knochenoberfläche ist nicht erodiert (Abb. 189). Am gesamten Knochen sind Tierverbissspuren erkennbar. Am proximalen Ende wurde eine Probe für die ^{14}C-Datierung entnommen.

Zahn- und Kieferbefund: Nicht vorhanden.



Abb. 189: Rechter Humerusschaft FNr. St. 17038 aus Grube V5005. – a. Ventralansicht. – b. Dorsalansicht (Fotos: W. Reichmann, NHM Wien).



Pathologien und Anomalien: Es sind keine pathologischen Veränderungen erkennbar.

Am gesamten Schaft – vermehrt aber im proximalen und distalen Diaphysendrittel – finden sich flache Furchen, die etwa rechtwinkelig zur Knochenlängsachse verlaufen. Diese Veränderungen stellen Kaumarken dar, die von Karnivoren verursacht wurden. Auch die Fragmentenden sind durch Tierverbiss stark verändert: Das proximale Schaftende weist drei V-förmige Brüche auf. Der Bruch am distalen Ende verläuft im rechten Winkel zur Knochenlängsachse und hat eine stark unregelmäßig gezackte, splittrige Struktur. Entlang des Randes finden sich mehrere Bissmarken, also runde bis ovale Eindrücke, an deren Boden die eingedrückte Kompakta erkennbar ist. All diese Veränderungen sind typisch für Karnivoren-Verbiss: Sowohl die Morphologie der Veränderungen (typische Biss- und Kaumarken) als auch deren Lokalisation (hauptsächlich am proximalen und distalen Ende) weisen darauf hin; vermutlich wurden sie durch Hundeartige verursacht.

Verfärbungen: Keine.

Brandspuren: Keine.

Geschlechtsbestimmung: Keine geschlechtsdiagnostischen Merkmale vorhanden.

Sterbealtersbestimmung: Fragmentlänge 25 cm, daher Sterbealter > 14 Jahre.

^{14}C-Datierung von FNr. St. 17038: 2805 ± 30 BP [1046 (95,4 %) 855 BC, Mw. 950 BC] (Poz-99239).

Messwiederholung: 2710 ± 30 BP [910 (95,4 %) 809 BC, Mw. 859 BC] (Poz-111780).

4.2.1.4 Grubenhaus V5092 (Ha)

FNr. St. 16055

Archäologischer Kontext: Das Calvarium stammt, wie auch die Schädelfragmente FNrn. St. 16060, 16061, 16115 und 16076, aus der Verfüllung des hallstattzeitlichen Grubenhauses V5092 („Wagneracker“ 1986). Wie im Plan

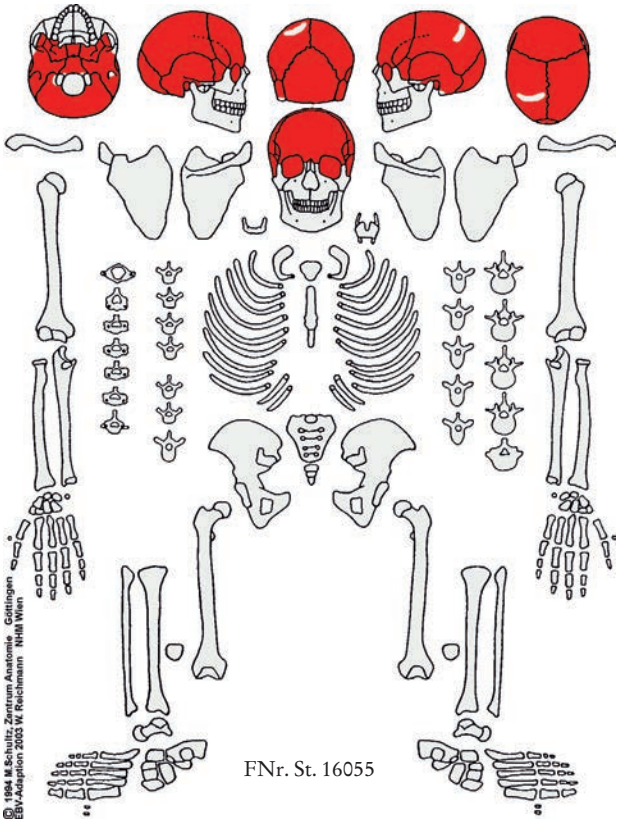
ersichtlich, lag das Calvarium mit dem Schädeldach nach oben in Planum 5. Eine ^{14}C-Datierung wurde zwar nicht durchgeführt, aber andere Knochen aus diesem Grubenhaus datieren in die Hallstattzeit.

Sterbealter: 20–40 Jahre.

Geschlecht: weiblich.

Erhaltung: Calvarium eines Erwachsenen (Abb. 190). Das Viscerocranium fehlt.

Im linken Tuber parietale befindet sich ein frischer Lochbruch. Der rechte Ala major ossis sphenoidalis weist mehrere vermutlich frische Brüche auf und wurde geklebt. Alte Brüche finden sich an den Schädelkondylen und entlang des linken Randes des Foramen magnum, am linken Processus mastoideus, am Processus zygomaticus beider Schläfenbeine, an den Nasenbeinen und möglicherweise auch im Bereich der rechten Concha sphenoidalis.



FNr. St. 16055

Zahn- und Kieferbefund: Nicht vorhanden.

Pathologien und Anomalien: In beiden Augenhöhlendächern sind Porositäten erkennbar (Cribra orbitalia), in einem sehr feinen Ausprägungsgrad auch in der Lamina externa rund um die Sagittal- und Lambdanaht. Der Sinus frontalis weist auf beiden Seiten eine narbig-wulstige Oberflächenstruktur auf, was von einer verheilten Entzündung der Stirnhöhlen zeugt (Sinusitis). Etwa in der Mitte der rechten Lambdanaht sind sowohl das Os parietale wie auch das Os occipitale in einem runden Bereich von rund 2,5 cm vorgewölbt (Abb. 191). Diese Verdickung stellt möglicherweise eine lokale, lang zurückliegende Verletzung dar. Beidseits an der Vorderseite der Fossa manibularis sind runde, kompakte Auflagerungen (Dm. ca. 6 mm) erkennbar, die von einer Arthrose des Kiefergelenks zeugen. Vermutlich auch in diesem Zusammenhang stehen die beidseits ausgeprägten, plattenartigen Knochenneubildungen an der zur Fossa mandibularis hinweisenden Seite des Os petrosum. Der Meatus accusticus externus ist auffallend weit (rechts: 15 × 10 mm, links: 13 × 9 mm).

Beide Schädelkondylen weisen perimortale Defekte auf (Abb. 192): Die Gelenksfläche des rechten Condylus occipitalis ist perimortal ausgebrochen, wodurch die darunterliegende Spongiosa freigelegt wurde; lediglich der am weitesten dorsal gelegene Teil der Gelenksfläche ist noch erhalten. Der Defekt ist über den Condylus hinaus nach lateral bis zur Sutura occipitomastoidea erweitert, wobei ausschließlich die Lamina externa abgetragen wurde. Der Defekt des linken Condylus occipitalis ist sehr ähnlich – auch hier ist die Gelenksfläche ausgebrochen – doch beschränkt sich hier der Defekt nicht nur auf die äußere Knochentafel, sondern ist der gesamte linke Rand des Foramen magnum abgebrochen, wodurch das Hinterhauptsloch auf der linken Seite etwas erweitert ist. Es sind auch zwei Fissuren erkennbar, wobei eine parallel zum linken Rand des Foramen magnum verläuft, die andere ca. 15 mm nach dorsal zieht und parallel zur Crista occipitalis externa verläuft. Die Bruchkanten weisen allesamt eine unregelmäßige Struktur auf, scharfe Gewalt kann demnach definitiv ausgeschlossen werden. Weitere alte, vermutlich perimortale Brüche finden sich am linken Processus mastoideus, der vollständig abgetragen wurde, sowie am Processus zygomaticus beider Schläfenbeine und an den Nasenbeinen. Vermutlich ebenfalls alt ist der Defekt an der rechten Concha sphenoidalis. Als Ursache für diese perimortalen Veränderungen kommen mehrere Möglichkeiten in Frage: Sie könnten „normale“ postmortale Defekte des relativ leicht zerbrechlichen Gesichtsschädels und der ebenso fragilen Schädelbasis repräsentieren, wie sie etwa im Zuge der Einbringung des Calvariums in die Verfüllung des Grubenhauses entstanden sein könnten. Des Weiteren kommt auch Karnivorenverbiss ebenso in Frage wie anthropogene Manipulation (siehe auch Diskussion).

Verfärbungen: Keine.

Brandspuren: Keine.

Geschlechtsbestimmung: Die Mehrzahl der geschlechtsdiagnostischen Merkmale am Calvarium sind deutlich weiblich ausgeprägt, darunter kaum betonter Arcus superciliaris, ausgeprägte Tubera frontalia und parietalia, steile



Abb. 190: Normaufnahmen des Calvariums FNr. St. 16055 aus dem Grubenhaus V5092 (Fotos: W. Reichmann, NHM Wien).



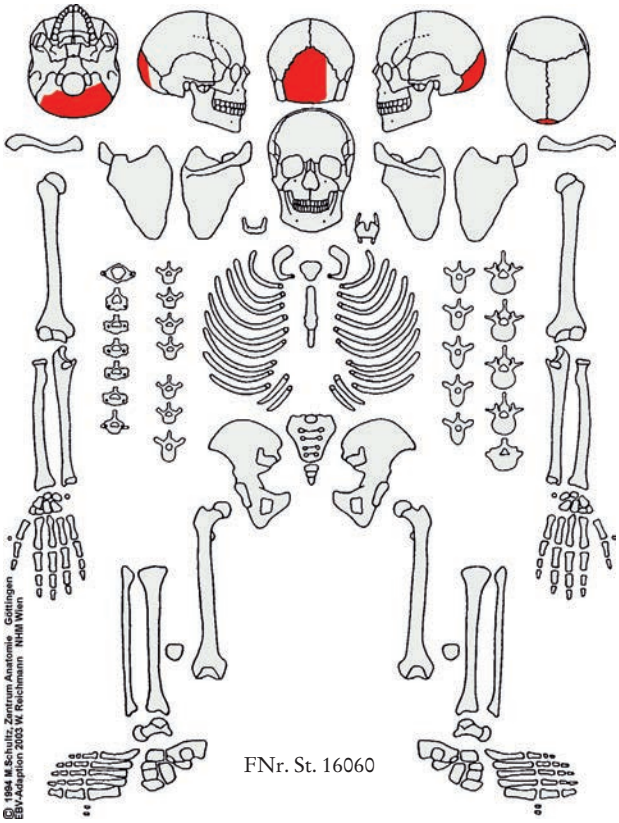
Abb. 191: Vorwölbung in der rechten Lambdanaht des Calvariums FNr. St. 16055 (Foto: W. Reichmann, NHM Wien).



Abb. 192: Schädelbasis von FNr. St. 16055 mit Defekten im Bereich der Schädelkondylen und Warzenfortsätze sowie Erweiterung des Hinterhauptlochs (Foto: W. Reichmann, NHM Wien).

Stirn, graziler Processus mastoideus, keine Protuberantia occipitalis externa.
Sterbealtersbestimmung: Alle Schädelnähte offen.
^{14}C-Datierung: Nicht durchgeführt, aber andere Knochen aus diesem Grubenhaus weisen in die Hallstattzeit.
Anmerkung: Ob der Unterkiefer FNr. St. 16076 zu diesem Calvarium gehört, ist unklar. Beide weisen eine sehr ähnliche Erhaltung und Färbung auf. Jedoch deuten die offenen Schädelnähte des Calvariums auf ein eher jüngeres, der fortgeschrittene intravitale Zahnverlust und die Altersveränderungen am Unterkiefer eher auf ein älteres Individuum. Völlig auszuschließen ist eine Zusammengehörigkeit aufgrund der hohen Variabilität des cranialen Nahtverschlusses jedoch nicht.

FNr. St. 16060
Archäologischer Kontext: Das Hinterhauptfragment stammt, wie auch das Calvarium 16055 und die Schädelfragmente FNrn. St. 16061, 16076 und 16115, aus der Verfüllung des hallstattzeitlichen Grubenhauses V5092 („Wagneracker“ 1986). Eine ^{14}C-Datierung dieses Knochens wurde zwar nicht durchgeführt, aber andere Knochen aus diesem Grubenhaus datieren ebenfalls in die Hallstattzeit.
Sterbealter: 20–60 Jahre (Adult–Matur).
Geschlecht: männlich?
Erhaltung: Hinterhauptfragment eines Erwachsenen (Abb. 193). Die rechte Seite fehlt etwa ab der Mitte der Lambdanaht. Auch die Pars basilaris und Partes laterales fehlen. Alle Bruchkanten sind alt und wahrscheinlich postmortal entstanden.



FNr. St. 16060

Zahn- und Kieferbefund: nicht vorhanden.
Pathologien und Anomalien: In der Lamina externa der Squama occipitalis finden sich zahlreiche Porositäten. Eine stark poröse Oberfläche hat auch der Bereich rund um das Foramen magnum. Die Linea nuchalis superior ist ca. 2 cm neben der Protuberantia occipitalis externa durch eine ca. 3 mm breite Rinne durchbrochen, der Bereich oberhalb weist eine kleine Eindellung (rund, Dm. ca. 4 mm) auf. Vermutlich handelt es sich hier um einen Gefäßeindruck.



Abb. 193: Hinterhauptfragment FNr. St. 16060 aus dem Grubenhaus V5092. – a. Außenansicht. – b. Innenansicht (Fotos: W. Reichmann, NHM Wien).

In der Lamina interna, insbesondere am Boden der Impressiones digitatae, sind zahlreiche, büschelförmige Gefäßimpressionen zu erkennen. An wenigen Stellen finden sich hier auch kleine, plättchenförmige Auflagerungen. Diese Veränderungen sind Zeichen eines entzündlich-hämorrhagischen Prozesses (z. B. Meningitis/Meningoenzephalitis). Auch im Confluens sinuum und im Sulcus sinus transversi beidseits sind büschelförmige Gefäßimpressionen festzustellen, die Entzündung betraf demnach auch die venösen Blutleiter (Perisinusitis).

Sämtliche Bruchkanten an diesem Schädelfragment sind alt, sie weisen die gleiche Färbung auf wie der restliche Knochen. Der Großteil der Bruchkanten ist relativ gerade, doch ist an wenigen Stellen die Lamina externa größer ausgebrochen als die Lamina interna oder umgekehrt. Vermutlich sind die Brüche eine gewisse Zeit nach dem Tod, als der Knochen noch stark kollagenhaltig war, entstanden.

Verfärbungen: Keine.

Brandspuren: Keine.

Geschlechtsbestimmung: Starke Protuberantia occipitalis externa, starke Muskelansätze am Planum nuchale.

Sterbealtersbestimmung: Lambdanaht endo- und ectocranial offen.

Anmerkung: Die Morphologie und Erhaltung des Hinterhauptfragmentes FNr. St. 16060 würde zu den Schädelbruchstücken FNrn. St. 16061 und 16115 passen. Da das Fragment jedoch nicht passgenau angefügt werden kann, wird auf eine Zuordnung verzichtet.

Eine Zugehörigkeit des Unterkieferfragments FNr. St. 16076 ist aufgrund der unterschiedlichen Robustizität eher unwahrscheinlich, aber nicht auszuschließen.

^{14}C-Datierung: Nicht durchgeführt, aber andere Knochen aus diesem Grubenhaus weisen in die Hallstattzeit.

FNrn. St. 16061 und St. 16115

Archäologischer Kontext: Das Stirnbein FNr. St. 16061 und das Scheitelbeinfragment FNr. St. 16115 stammen von einem Individuum und wurden gemeinsam mit dem Calvarium St. 16055 und den Schädelfragmenten FNrn. St. 16060 und 16076 in der Verfüllung des hallstattzeitlichen Grubenhauses V5092 gefunden („Wagneracker“ 1986). Die ^{14}C-Datierung des Scheitelbeinfragments FNr. St. 16115 weist ebenfalls in die Hallstattzeit.

Sterbealter: 20–40 Jahre (Adult).

Geschlecht: indifferent.

Erhaltung: Stirnbein (Os frontale) eines Erwachsenen mit beiden Nasenbeinen und dem Os ethmoidale (FNr. St. 16061, Abb. 194) sowie Fragment des rechten Os parietale (Scheitelbein, FNr. St. 16115, Abb. 198). Die Knochenoberflächen sind nicht erodiert.

Os frontale: Durch den linken Überaugenbogen verläuft ein (wieder verklebter) Bruch, der vermutlich postmortal entstanden ist. Die Bruchkanten in den Orbitadächern, im linken Margo sphenofrontalis und an den Nasenbeinen sind alt. In beiden Augenhöhlendächern sowie im rechten Margo sphenofrontalis finden sich alte Lochdefekte, die als



Abb. 194: Stirnbein FNr. St. 16061 aus dem Grubenhaus V5092. – a. Außenansicht. – b. Innenansicht (Fotos: W. Reichmann, NHM Wien).

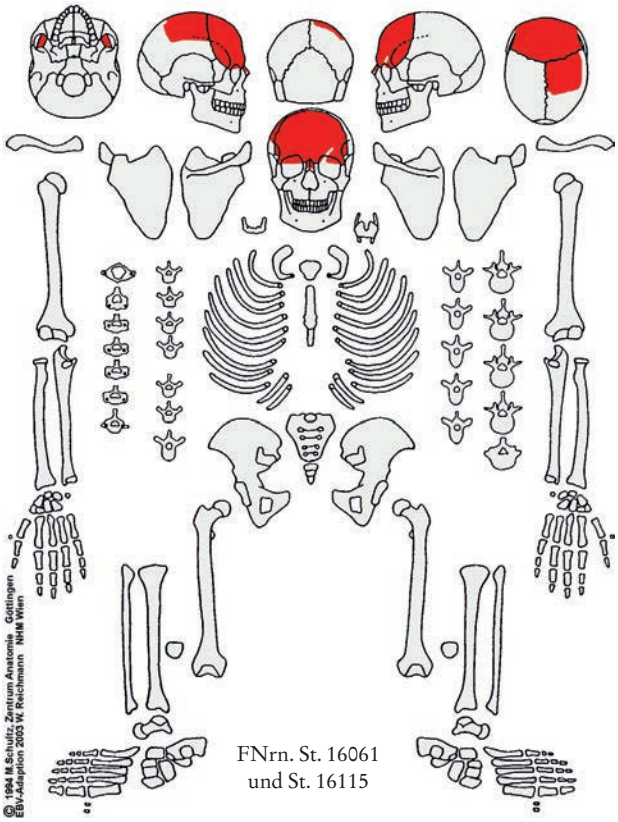
Manipulationsspuren zu deuten sind (siehe unten). Ob die rillenartigen Kratzspuren im rechten Überaugenbogen peri- oder postmortal sind, lässt sich nicht eindeutig feststellen.

Os parietale: Das rechte Scheitelbeinfragment mit Nahtabschnitten C1–C2 und S1–S2 hat eine Größe von ca. 9,2 × 8,8 cm. Im hintersten Abschnitt der Sagittalnaht wurde eine Knochenprobe für die ^{14}C-Datierung entnommen. Alle anderen Bruchkanten sind alt (siehe unten).

Zahn- und Kieferbefund: Nicht vorhanden.

Pathologien und Anomalien:

Os frontale (FNr. St. 16061): In der rechten Seite des Os frontale, knapp oberhalb der Linea temporalis und unmittelbar vor der Coronarnaht, ist eine annähernd ovale Eindellung (ca. 14 × 11 mm) zu erkennen, die eine sehr gut verheilte Depressionsfraktur darstellt (Abb. 195). In dessen Boden sind zahlreiche Porositäten erkennbar, die von einem entzündlichen Prozess im Zuge des Heilungsverlaufs zeugen. Von dieser Läsion ausgehend ziehen nach ventral zwei einander zugewandte, bogenförmige, ca. 6 mm breite Vertiefungen (craniale Vertiefung: 17 mm lang, caudale Vertiefung: 28 mm lang), die Lamina externa weist in diesem Bereich eine unregelmäßige, narbenartige Oberfläche auf. Vermutlich wurde auch in diesem Bereich die Lamina externa durch dieses stumpfe Trauma beeinträchtigt, wenngleich in weit geringerem Ausmaß. Insgesamt erstreckt sich das Frakturgeschehen also über einen Bereich von ca. 45 × 25 mm. Die Lamina interna weist keine Veränderungen auf, die Verletzung betraf also nur die äußere Knochentafel und war wahrscheinlich nicht lebensbedrohlich.



Im rechten Tuber frontale ist eine sehr flache, kompakte Knochenneubildung (oval, 6 × 3 mm) feststellbar. Hier handelt es sich entweder um den Rest eines verkalkten Hämatoms (möglicherweise im Zusammenhang mit dem Trauma) oder um einen gutartigen, knochenbildenden Tumor (Osteom).



Abb. 195: Verheilte Depressionsfraktur auf der rechten Seite des Stirnbeins FNr. St. 16061 (Foto: W. Reichmann, NHM Wien).



Abb. 196: Blick auf die Orbitadächer von FNr. St. 16061 mit symmetrisch angeordneten Eindrücken (Foto: W. Reichmann, NHM Wien).



Abb. 197: Rechter Margo sphenofrontalis des Stirnbeins FNr. St. 16061 mit rechteckigem Loch (Foto: W. Reichmann, NHM Wien).

Entlang des mittleren Abschnitts der Coronarnaht weist die Lamina externa zahlreiche feine Porositäten auf. An der Lamina interna sind im Bereich des Sulcus sinus sagittalis superioris sehr kleine, plättchenartige Auflagerungen und narbige Strukturen zu erkennen, die vermutlich von einem remodellierten, entzündlich-hämorrhagischen Prozess im Schädelinneren zeugen.

Besonders auffällig sind die drei alten Lochdefekte im Stirnbein, die vermutlich am bereits skelettierten Individuum zustande kamen. Symmetrisch sind die runden Eindrücke in den Orbitadächern angeordnet (Abb. 196). Sie sind jeweils im lateralen Drittel lokalisiert und weisen je einen Durchmesser von ca. 2,5 mm auf. Die Orbita wurde dadurch nicht vollständig durchstoßen, sondern es wurde lediglich die äußere Knochentafel rund 1,5 mm weit in die Spongiosa eingedrückt. Ein exakt rechteckiges Loch (2,8 × 1,9 mm) findet sich im rechten Margo sphenofrontalis, hier wurde der Knochen vollständig durchstoßen (Abb. 197). Dass die innere Knochentafel gerade, die äußere jedoch erweitert ausgebrochen ist, weist auf eine Stoßrichtung vom Schädelinneren nach außen hin. Da der linke Margo sphenofrontalis abgebrochen ist, lässt sich nicht feststellen, ob auch diese Läsion ursprünglich symmetrisch angeordnet war. Die Ränder des Loches wirken leicht abgerundet, was aber nicht als Heilungsspur interpretiert werden kann, sondern viel eher Zeichen einer Abnützung durch eine Befestigung, Aufhängung oder dergleichen ist. Diese Lochdefekte sind also als Manipulationsspuren im weitesten Sinne zu deuten.

Fragment des rechten **Os parietale** (FNr. St. 16115): In der Lamina externa sind entlang der Sagittalnaht zahlreiche Porositäten erkennbar. In der Lamina interna sind Foveolae granulares eingetieft.

Die Bruchkanten an diesem Scheitelbeinfragment sind alt, weisen die gleiche Färbung wie der restliche Knochen auf und verlaufen bogen- bzw. s-förmig (Abb. 198). Diese Morphologie weist auf einen Entstehungszeitpunkt um den Todeszeitpunkt oder eine gewisse Zeit danach, als der Knochen noch stark kollagenhaltig war, hin. Bei dem von der Coronarnaht ausgehenden, bogenförmig und annähernd entlang der Linea temporalis superior verlaufenden Bruch ist die Lamina interna etwas größer ausgebrochen als die Lamina externa. Der Verlauf der von der Stelle der ^{14}C-Probenentnahme an der Sagittalnaht ausgehenden Bruchkante ist leicht s-förmig. Bei der lateralen Hälfte ist die Lamina interna größer ausgebrochen, die mediale Hälfte des Bruches ist gerade, am Umschlagspunkt dieser beiden Bereiche ist in einem etwa 13 mm breiten Abschnitt die Lamina externa größer ausgesprengt.

Verfärbungen: Keine.

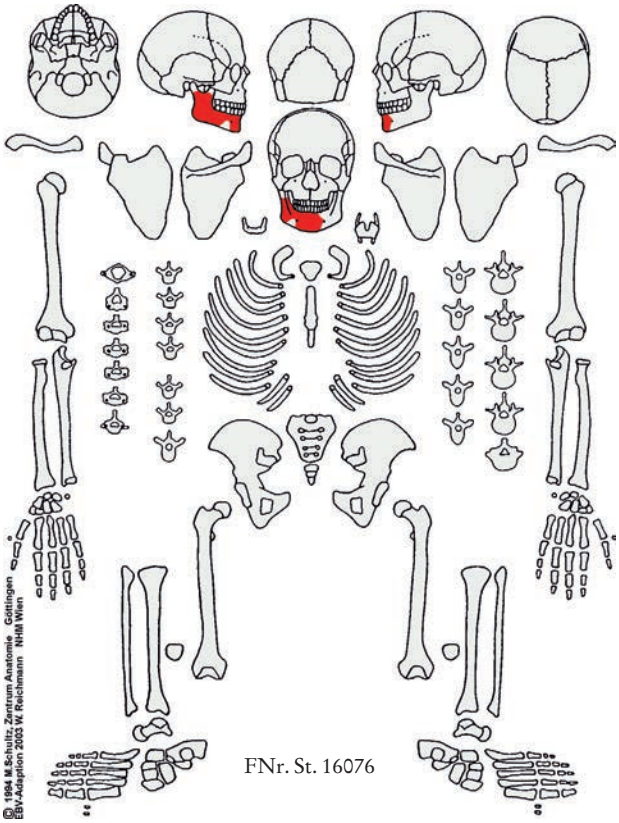


a. b.

Abb. 198: Rechtes Scheitelbeinfragment FNr. St. 16115 aus dem Grubenhaus V5092. – a. Außenansicht. – b. Innenansicht (Fotos: W. Reichmann, NHM Wien).

Brandspuren: Keine.
Geschlechtsbestimmung: Schwache Glabella, leicht betonter Arcus superciliaris, kaum betonte Tubera frontalia, eher flache Stirn, Margo supraorbitalis eher robust, aber kaum abgerundet.
Sterbealtersbestimmung: Alle erhaltenen Schädelnähte (gesamte Coronarnaht und Nahtabschnitte S1 und S2 der Sagittalnaht) endo- und ectocranial offen.
Anmerkung: Die Morphologie und Erhaltung des Hinterhauptfragmentes FNr. St. 16060 würde zu den Schädelbruchstücken FNrn. St. 16061 und 16115 passen. Da das Fragment jedoch nicht passgenau angefügt werden kann, wird auf eine Zuordnung verzichtet.
Eine Zugehörigkeit des Unterkieferfragments FNr. St. 16076 ist aufgrund der unterschiedlichen Robustizität eher unwahrscheinlich, aber nicht auszuschließen.
^{14}C-Datierung von FNr. St. 16115: 2480 ± 30 BP [774 (95,4 %) 434 BC, Mw. 604 BC] (Poz-99241).
Messwiederholung: 2460 ± 35 BP [759 (95,4 %) 416 BC, Mw. 588 BC] (Poz-111782).

FNr. St. 16076
Archäologischer Kontext: Das Unterkieferfragment wurde – wie auch das Calvarium FNr. St. 16055 und die Schädelfragmente FNrn. St. 16060, 16061 und 16115 – in dem hallstattzeitlichen Grubenhaus V5092 entdeckt („Wagneracker" 1986). Sowohl die archäologische Datierung als auch die ^{14}C-Datierung des Knochens weisen in die Hallstattzeit.
Sterbealter: 40–X Jahre.
Geschlecht: indifferent.
Erhaltung: Rechte Unterkieferhälfte eines Erwachsenen (Abb. 199). Es sind keine Zähne erhalten. Die Knochenoberflächen sind nicht erodiert. Aus dem Corpus mandibulae, etwas dorsal des rechten Foramen mandibulae, wurde eine Knochenprobe für die ^{14}C-Datierung entnommen. Alle anderen Bruchkanten sind alt, auch Spuren von Tierverbiss konnten diagnostiziert werden (siehe unten).
Zahn- und Kieferbefund: In dem Unterkieferfragment sind keine Zähne erhalten. Es ist sowohl postmortaler Verlust (Zähne 32, 33, 34, 41, 42, 43, 44) wie auch intravitaler Zahnverlust erkennbar. Während die Alveolen der Zähne 31, 36, 45 und 46 schon vollständig verschlossen sind, sind die Alveolen der Zähne 35, 47 und 48 gerade im Schließen, was auf einen Zahnverlust relativ kurze Zeit vor dem Tod des Individuums verweist. Vermutlich war Karies dafür verantwortlich, da in diesen drei Alveolen Zeichen von großräumigen Wurzelabszessen erkennbar sind. Auch in den Alveolen von zwei Zähnen (33 und 42), die sich ursprünglich noch in den Zahnfächern befanden, sind Wurzelspitzenabszesse zu diagnostizieren. Im Zusammenhang mit dieser schlechten Zahngesundheit stehen auch die krankhaften Prozesse im Alveolarkamm: Lingual der Alveole des rechten zweiten und dritten Molaren sind plattenartige Auflagerungen erkennbar, was zeigt, dass die Entzündung im Zahnwurzelbereich auch auf die angrenzende Beinhaut übergegriffen hat. Der Alveolarkamm im Vorderzahnbereich weist zahlreiche Porositäten auf – Zeichen einer Paradontitis.
Pathologien und Anomalien: Abgesehen von der schlechten Zahngesundheit (siehe oben) sind keine krankhaften Veränderungen oder Anomalien an dem Mandibulafragment feststellbar.



Alle an dem Fragment diagnostizierbaren Bruchkanten sind gleich gefärbt wie der übrige Knochen, es handelt sich demnach um durchwegs alte Brüche. Aufgrund der Morphologie der Brüche kann eine Entstehung um den Todeszeitpunkt oder eine gewisse Zeit danach, als der Knochen noch stark kollagenhaltig war, angenommen werden.

Im Ramus mandibulae sind die Brüche am Processus coronoideus sowie am Processus condylaris lokalisiert, die beide durch Tierverbiss vom übrigen Knochen abgebissen bzw. abgenagt wurden. Darauf verweisen einerseits die unregelmäßig gezackten, splittrigen Bruchkanten, entlang denen stellenweise die äußeren Knochentafeln zueinander zusammengedrückt sind. Andererseits sind rund um die Bruchstellen wie auch unterhalb (etwa im Bereich der Tuberositas pterygoidea) runde bis ovale Eindrücke erkennbar (Dm. ca. 3–8 mm), die aller Wahrscheinlichkeit nach Bissspuren von Karnivoren darstellen. Der Bruch im Kinnbereich ist ebenfalls alt. Anders als im Ramus mandibulae sind hier keine eindeutigen Tierverbissspuren erkennbar.

Verfärbungen: Keine.

Brandspuren: Keine.

Geschlechtsbestimmung: Insgesamt graziler Unterkiefer mit wenig ausgeprägten Protuberantien am Mentum, aber stark ausgeprägtem Muskelrelief am Angulus mandibulae mit starken Vorsprüngen und fast rechtwinkeligem Unterkieferwinkel.



Abb. 199: Rechtes Unterkieferfragment FNr. St. 16076 aus dem Grubenhaus V5092. – a. Außenansicht. – b. Innenansicht. – c. Aufsicht auf den Alveolarkamm (Fotos: W. Reichmann, NHM Wien).

Sterbealtersbestimmung: intravitaler Zahnverlust aller Molaren: > 40 Jahre.

Anmerkung: Eine mögliche Zughörigkeit dieses Unterkieferfragments zu den anderen Schädelresten aus dieser Grube ist unklar: Das Calvarium FNr. St. 16055 weist eine sehr ähnliche Erhaltung und Färbung auf. Jedoch deuten die offenen Schädelnähte des Calvariums auf ein eher jüngeres, der fortgeschrittene intravitale Zahnverlust und die Altersveränderungen am Unterkiefer eher auf ein älteres Individuum. Völlig auszuschließen ist eine Zusammengehörigkeit aufgrund der hohen Variabilität des cranialen Nahtverschlusses jedoch nicht.

Eine Zugehörigkeit des Unterkieferfragments zu den FNrn. St. 16060, 16061 und 16115 ist aufgrund der unterschiedlichen Robustizität eher unwahrscheinlich, aber nicht auszuschließen.

^{14}C-Datierung von FNr. St. 16076: 2505 ± 30 BP [787 (95,4 %) 540 BC, Mw. 664 BC] (Poz-99269).

4.2.1.5 Graben V5094 (MA)

FNr. St. 16295

Archäologischer Kontext: Das Schädelfragment stammt aus dem mittelalterlichen Graben V5094 („Wagneracker" 1987). Der Knochen selbst datiert gemäß ^{14}C in die Urnenfelderzeit (Sekundärlage).

Sterbealter: ca. 6–9 Jahre (Infans 2).

Geschlecht: nicht bestimmbar.

Erhaltung: Fünfeckiges Stirn- oder Scheitelbeinfragment eines Kindes, Größe ca. 3,8 × 3,8 cm (Abb. 200). Die Knochenoberflächen sind teilweise erodiert.

Die Bruchkanten sind relativ frisch. Entlang einer Bruchkante wurde eine Knochenprobe für die ^{14}C-Datierung entnommen.

Zahn- und Kieferbefund: nicht vorhanden.

Pathologien und Anomalien: Es konnten keine pathologischen Veränderungen diagnostiziert werden. Farbe und Morphologie der Bruchkanten – sie sind relativ hell und weisen eine stark unregelmäßige Struktur auf – deuten darauf hin, dass diese relativ frisch, also eindeutig postmortal entstanden sind.

Verfärbungen: Keine.

Brandspuren: Keine.

Geschlechtsbestimmung: Nicht bestimmbar, keine geschlechtsdiagnostischen Merkmale erhalten.

Sterbealtersbestimmung: Aufgrund der Schädeldicke: etwas dünner als 8–9-jähriges Kind aus Gars-Thunau (NHMW-Anthro-OSTE 24987), dickwandiger als 5–6-jähriges Kind aus Gars-Thunau (NHMW-Anthro-OSTE 24998).

Anmerkung: Aufgrund des unterschiedlichen Sterbealters ist eine Zusammengehörigkeit des Schädelfragmentes mit dem ebenfalls in diesem Graben gefundenen Unterkieferfragment FNr. St. 16755 auszuschließen.

^{14}C-Datierung von FNr. St. 16295: 2930 ± 30 BP [1220 (95,4 %) 1025 BC, Mw. 1123 BC] (Poz-99243).
Messwiederholung: 2910 ± 30 BP [1209 (95,4 %) 1011 BC, Mw. 1110 BC] (Poz-111785).

FNr. St. 16755

Archäologischer Kontext: Das Unterkieferfragment wurde in dem mittelalterlichen Graben V5094 gefunden („Wagneracker" 1988). Die ^{14}C-Datierung des Knochens weist in die späte Urnenfelderzeit, es ist demnach von einer Sekundärlage auszugehen.

Sterbealter: 15 Jahre ± 36 Monate (Infans 2–Juvenis).

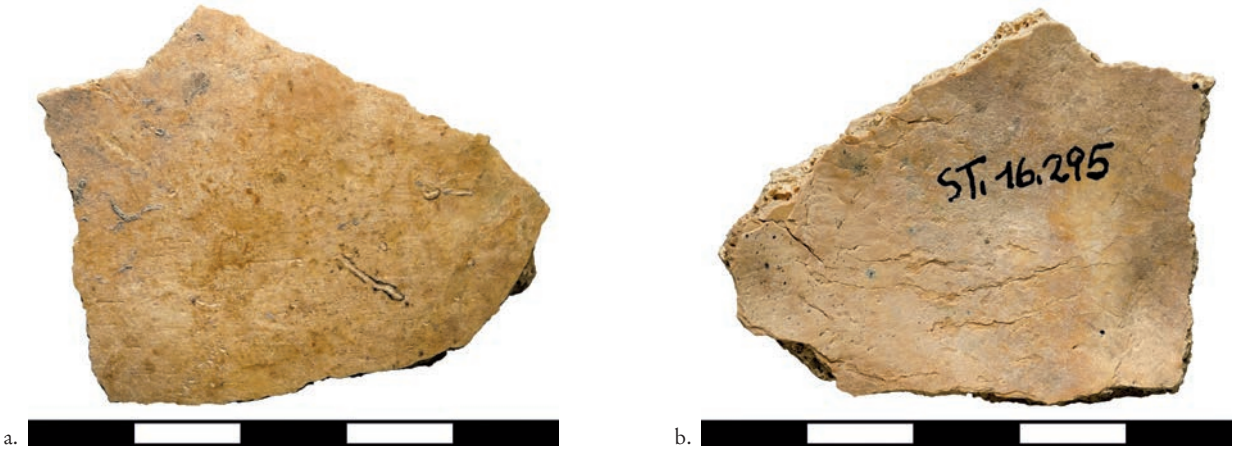
Geschlecht: nicht bestimmbar.

Erhaltung: Linkes Unterkieferfragment, ca. 7,3 × 3,4 cm groß (Abb. 201). Die Knochenoberfläche ist nicht erodiert, weist aber mehrere Trocknungsrisse auf. Der Processus coronoideus wurde für die ^{14}C-Datierung entnommen. Sowohl die ventrale als auch die dorsale Bruchkante sind alt (siehe unten).

Zahn- und Kieferbefund: In dem linken Mandibulafragment sind vier Zähne und die Zahnanlage des dritten Molaren, die noch vollständig im Kiefer liegt, erhalten. Der Eckzahn ist postmortal verloren gegangen.

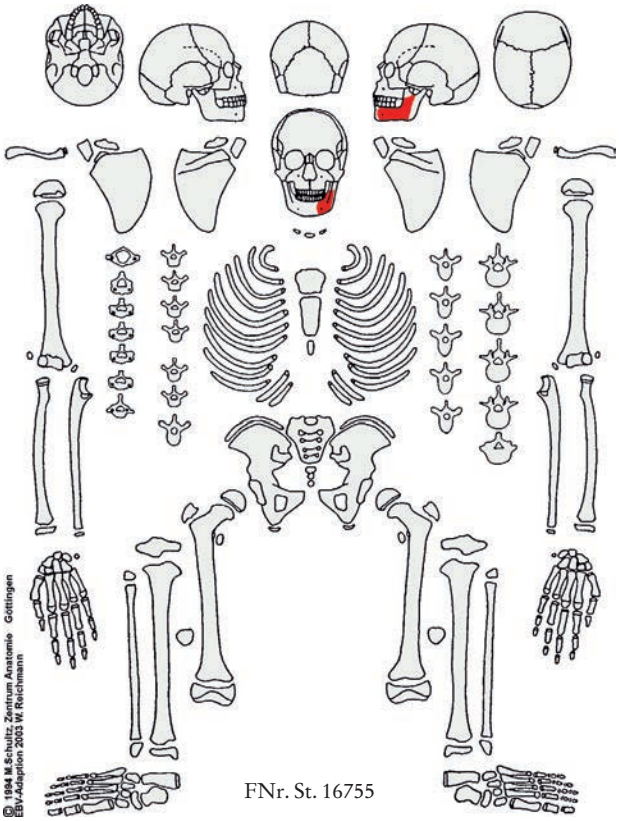
Die altersentsprechend nur wenig abradierten Zähne zeigen keine kariösen Veränderungen. An den Molaren konnten leichte Zahnsteinablagerungen diagnostiziert werden, hier ist auch – vermutlich zahnsteinbedingt – der Alveolarkamm bereits leicht atrophiert. Am ersten Prämolaren sind transversale Schmelzhypoplasien Grad 2 erkennbar, die auf physiologischen Stress im Kindesalter zurückzuführen sind.

Pathologien und Anomalien: Es sind keine pathologischen Veränderungen oder Anomalien feststellbar. Die Bruch-



a. b.

Abb. 200: Schädelfragment FNr. St. 16295 aus dem Graben V5094. – a. Außenansicht. – b. Innenansicht (Fotos: W. Reichmann, NHM Wien).



FNr. St. 16755

kanten an beiden Seiten des Unterkieferfragments haben die gleiche Farbe wie der restliche Knochen, sind also alt. Sie sind stark unregelmäßig und gezackt. Diese Morphologie lässt am ehesten an Tierverbiss denken, wenngleich die dafür typischen Bissmarken weitgehend fehlen. Lediglich an der Incisura mandibulae ist eine leichte Vertiefung erkennbar, die möglicherweise einen Zahnabdruck darstellt.

Verfärbungen: Keine.

Brandspuren: Keine.

Geschlechtsbestimmung: Nicht bestimmbar, keine geschlechtsdiagnostischen Merkmale erhalten.

Sterbealtersbestimmung: Zahnentwicklung: 15 Jahre ± 36 Monate, Zahnabrasion: < 25 Jahre.

Anmerkung: Aufgrund des unterschiedlichen Sterbealters ist eine Zusammengehörigkeit des Unterkieferfragments mit dem ebenfalls in diesem Graben gefundenen Schädelfragment FNr. St. 16295 auszuschließen. Die Zugehörigkeit zu dem in Grube V5000 gefundenen Calvarium FNr. St. 16033 mit dem gleichen Sterbealter ist unwahrscheinlich, da die Unterkieferzähne etwas stärker abradiert sind als die Zähne des Oberkiefers.

^{14}C-Datierung von FNr. St. 16755: 2725 ± 30 BP [924 (95,4 %) 812 BC, Mw. 868 BC] (Poz-99244).

Messwiederholung: 2735 ± 30 BP [968 (95,4 %) 814 BC, Mw. 891 BC] (Poz-111786).

4.2.1.6 Graben V5095 (MA)

FNrn. St. 16261 und St. 16259

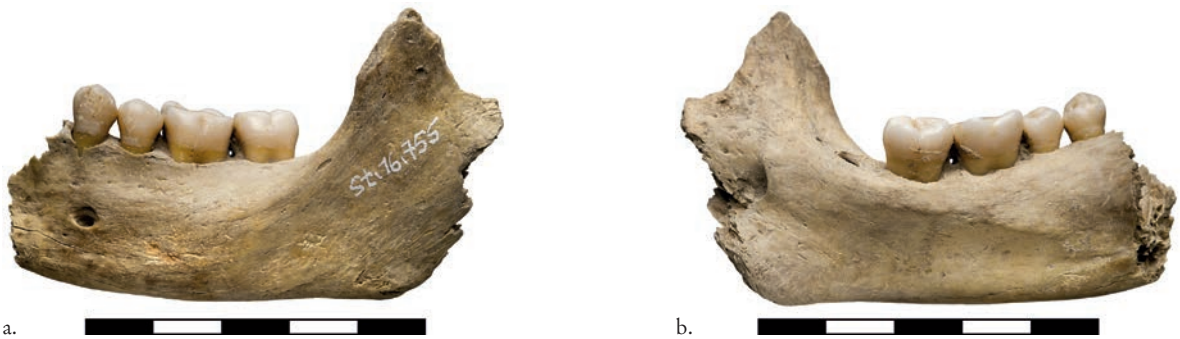
Archäologischer Kontext: Das Scheitelbeinfragment FNr. St. 16259 und die Hinterhauptfragmente FNr. St. 16261 wurden in dem mittelalterlichen Graben V5095 gefunden („Wagneracker" 1987). Die Knochen stammen mit an Sicherheit grenzender Wahrscheinlichkeit von einem Individuum und datieren gemäß ^{14}C in die Urnenfelderzeit (von Ha B2 bis Ha B3 früh), was eine Sekundärlage belegt.

Sterbealter: ca. 3–6 Jahre (Infans 1b).

Geschlecht: nicht bestimmbar.

Erhaltung: Die Schädelfragmente FNrn. St. 16259 und St. 16261 stammen von einem Individuum – sowohl die Färbung, Größe und Robustizität als auch die Radiokarbondatierung weisen darauf hin.

St. 16259: Fragment des rechten Scheitelbeines eines Kindes, ca. 10 × 7,1 cm groß (Abb. 202). Die Knochenoberflächen sind nicht erodiert. Entlang der Sagittalnaht (Nahtabschnitt S2) wurde eine Knochenprobe zur ^{14}C-Datierung entnommen. In diesem Bereich ist auch ein sehr kleines



a. b.

Abb. 201: Linkes Unterkieferfragment FNr. St. 16755 aus dem Graben V5094. – a. Außenansicht. – b. Innenansicht (Fotos: W. Reichmann, NHM Wien).



a. b.

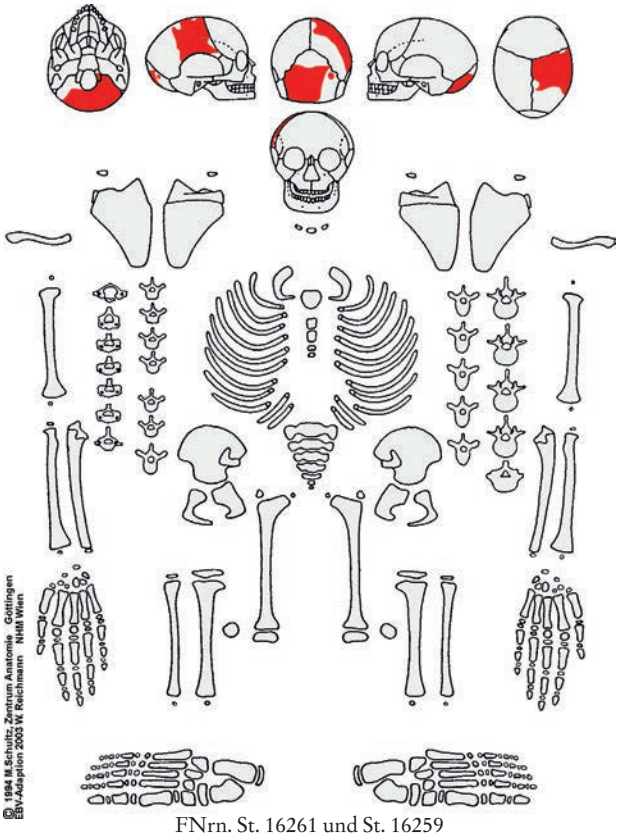
Abb. 202: Rechtes Scheitelbeinfragment FNr. St. 16259 aus dem Graben V5095. – a. Außenansicht. – b. Innenansicht (Fotos: W. Reichmann, NHM Wien).

Knochenfragment frisch abgebrochen, das nahtlos wieder angefügt werden kann. Neben diesen frischen Bruchkanten finden sich an allen Seiten (mit Ausnahme jener mit der Sagittalnaht) alte, vermutlich perimortal entstandene Bruchkanten (siehe unten).

St. 16261: Zwei Hinterhauptfragmente eines Kindes (Abb. 203). Das Größere ist 9,2 × 9,2 cm groß, das Kleinere misst lediglich 1,9 × 1 cm und ist wahrscheinlich frisch (womöglich im Zuge der ^{14}C-Beprobung) von dem größeren Fragment abgebrochen. Die Knochenoberflächen sind nicht erodiert. Die Bruchkante an der rechten Seite des großen Fragments ist weißlich gefärbt, also frisch. In diesem Bereich wurde auch eine Knochenprobe für die ^{14}C-Datierung entnommen. Alte, vermutlich perimortal entstandene Bruchkanten sind an der cranialen und caudalen Seite erkennbar (siehe unten).

Zahn- und Kieferbefund: nicht vorhanden.

Pathologien und Anomalien: FNr. **St. 16259**: Das Scheitelbeinfragment weist weder pathologische Veränderungen noch Anomalien auf. An der ventralen, caudalen und dorsalen Seite finden sich alte, vermutlich perimortal entstandene Bruchkanten, die rund um den Todeszeitpunkt oder eine gewisse Zeit danach, als der Knochen noch stark kollagenhaltig war, entstanden sind. Die Bruchkanten weisen die gleiche Färbung wie der restliche Knochen auf, haben eine relativ glatte Struktur und verlaufen leicht bogenförmig. Die meisten Bruchkanten sind relativ gerade, nur bei der ventralen und bei einem kleinen Abschnitt der dorsalen Bruchkante ist die Lamina externa deutlich größer ausgesprengt als die Lamina interna.



FNrn. St. 16261 und St. 16259

St. 16261: An der Schädelinnenseite des Hinterhauptfragments sind pathologische Veränderungen diagnostizierbar, die auf einen entzündlich-hämorrhagischen Prozess im Schädelinneren hinweisen: Der Confluens sinuum sowie der rechte und linke Sulcus sinus transversi sind großflächig von bimsstein- bis plattenartigen Knochenneu-



Abb. 203: Hinterhauptfragment FNr. St. 16261 aus dem Graben V5095. – a. Außenansicht. – b. Innenansicht mit Knochenneubildungen im Bereich der venösen Blutleiter als Zeichen eines entzündlich-hämorrhagischen Prozesses (Fotos: W. Reichmann, NHM Wien).



Abb. 204: a. Blick von ventral auf das Hinterhauptfragment FNr. St. 16261 mit Defekten im Bereich des linken Condylus occipitalis. – b. Detail der Defekte (Fotos: W. Reichmann, NHM Wien).

bildungen ausgekleidet, die Zeichen einer Entzündung der venösen Blutleiter (Perisinusitis) sind (Abb. 203/b). Derartige Knochenneubildungen finden sich kleinflächig auch etwas cranial der venösen Blutleiter, was darauf hindeutet, dass auch die Hirnhäute, eventuell auch das Gehirn, betroffen waren (Meningitis/Meningoenzephalitis).

Während die Bruchkanten auf der rechten Seite weißlich gefärbt, also frisch sind, weisen jene an der cranialen und caudalen Seite die gleiche Färbung wie der restliche Knochen auf – es handelt sich demnach um alte Brüche. Die Morphologie all dieser alten Bruchkanten deutet auf eine Entstehung um den Todeszeitpunkt oder eine gewisse Zeit danach, als der Knochen noch stark kollagenhaltig war, hin. An dem noch erhaltenen linken Condylus occipitalis sind die Gelenksfläche und die daran angrenzenden Bereiche der Lamina externa perimortal ausgebrochen, wodurch die Spongiosa sichtbar wird (Abb. 204). Neben diesen Veränderungen finden sich an der cranialen und caudalen Seite dieses Hinterhauptfragments bogenförmig verlaufende Bruchkanten, die insbesondere im Vergleich mit den frischen Bruchkanten eine relativ glatte Struktur aufweisen. Die Lamina interna ist bei der caudalen Bruchkante und bei der cranialen im Bereich um den Confluens sinuum größer ausgesprengt als die Lamina externa.

Verfärbungen: Keine.
Brandspuren: Keine.
Geschlechtsbestimmung: Nicht bestimmbar, keine geschlechtsdiagnostischen Merkmale erhalten.
Sterbealtersbestimmung: Aufgrund der Knochengröße: etwas kleiner als 5–6-jähriges Kind aus Gars-Thunau (NHMW-Anthro-OSTE 24998), etwas größer als 3–4-jähriges Kind aus Gars-Thunau (NHMW-Anthro-OSTE 24989).
^{14}C-Datierung von FNr. St. 16261: 2730 ± 30 BP [930 (95,4 %) 812 BC, Mw. 871 BC] (Poz-99242).
Messwiederholung St. 16261: 2740 ± 30 BP [971 (95,4 %) 816 BC, Mw. 894 BC] (Poz-111784).
^{14}C-Datierung von FNr. St. 16259: 2875 ± 30 BP [1189 (95,4 %) 936 BC, Mw. 1063 BC] (Poz-99245).
Messwiederholung St. 16259: 2745 ± 30 BP [974 (95,4 %) 819 BC, Mw. 897 BC] (Poz-111333).

4.2.2 Grabungsflächen „Hügelfeld“ und „Küssleracker“

4.2.2.1 Grube V885 (UK) – „Hügelfeld“

FNr. St. 21474

Archäologischer Kontext: Das Schädelfragment stammt aus der kegelstumpfförmigen Grube V885 (vormals V889, später V885 zugeordnet; „Hügelfeld“ 1988). Die archäologische Datierung anhand des Fundmaterials und die ^{14}C-Datierung des Knochens weisen in die späte Urnenfelderkultur.
Sterbealter: 20–40 Jahre (Adult).
Geschlecht: nicht bestimmbar.
Erhaltung: Dorsales Fragment des linken Scheitelbeins, Größe 10,6 × 8,5 cm (Abb. 205). Die Knochenoberflächen sind teilweise erodiert und von Sinter bedeckt. Am ventralsten Teil des Knochenbruchstücks wurde eine Knochenprobe zur ^{14}C-Datierung entnommen.

Neben diesem frischen Defekt finden sich eine quer durch das Fragment verlaufende Fissur und an allen Seiten alte Brüche, die wahrscheinlich zumindest teilweise perimortal entstanden sind (siehe unten).

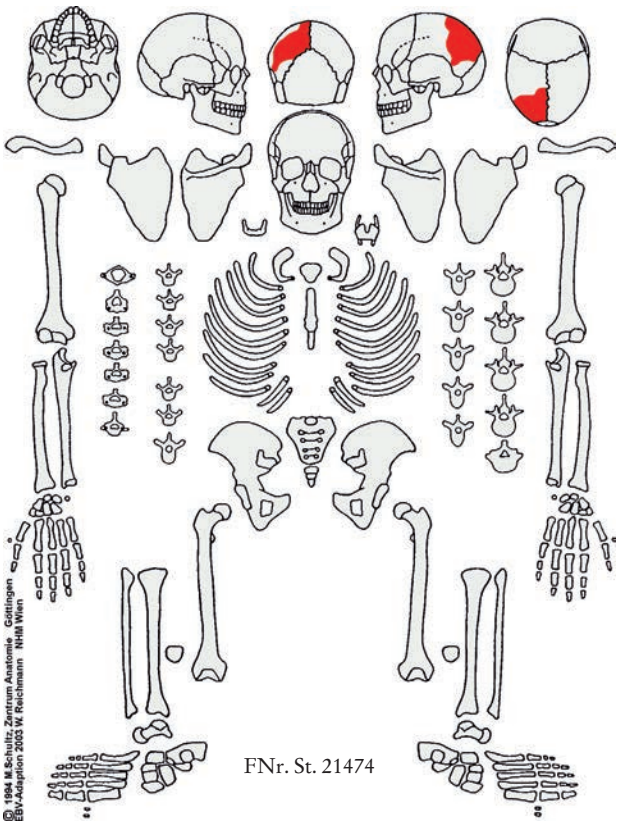




Abb. 205: Linkes Scheitelbeinfragment FNr. St. 21474 aus Grube V885: – a. Außenansicht. – b. Innenansicht (Fotos: W. Reichmann, NHM Wien).

Zahn- und Kieferbefund: nicht vorhanden.
Pathologien und Anomalien: In die Lambdanaht ist ein Nahtknochen eingelagert. In der Lamina interna finden sich Foveolae granulares. Entlang der Sutura lambdoidea ist die Lamina externa verstärkt porosiert. Das Schädelfragment ist mit 8 mm sehr dickwandig.

An allen Seiten des Knochenfragments sind alte Bruchkanten erkennbar, sie weisen die gleiche Färbung wie der restliche Knochen auf. Ein vermutlich etwas längere Zeit nach dem Tod entstandener Bruch verläuft von der Stelle der ^{14}C-Probenentnahme, die am ventralsten Teil der Sagittalnaht liegt, rund 6 cm nach unten. Darauf, dass der Knochen zum Zeitpunkt des Bruches nicht mehr sehr feucht und kollagenreich war, deuten die stark unregelmäßige Oberfläche der Bruchkante und deren ungewöhnlich kantiger und unregelmäßiger Verlauf. Zeitlich früher dürften sich die daran anschließende Bruchkante, die bis zum Margo squamosus verläuft, und auch jene an der dorsalen Seite des Knochenfragments ereignet haben. Beide weisen einen bogenförmigen Verlauf und eine relativ glatte Oberfläche auf, was auf eine Entstehung um den Todeszeitpunkt oder eine gewisse Zeit danach hindeutet, als der Knochen noch stark kollagenhaltig war. Bei beiden bögenförmigen Brüchen ist die Lamina interna etwas weiter ausgebrochen als die Knochenaußenseite. Die Fissur, die von der dorsalen Bruchkante Richtung Knochenmitte zieht, ist vermutlich ebenfalls im Zusammenhang mit diesem Bruchgeschehen zu sehen. Zusätzlich zu diesen verschiedenen Brüchen ist auch die Sagittalnaht am Übergang des Nahtabschnitts S2 zu S3 kleinräumig ausgebrochen; die Morphologie dieses Bruches erlaubt keine Aussagen über den Entstehungszeitpunkt (peri- oder postmortal).
Verfärbungen: Keine.
Brandspuren: Keine.
Geschlechtsbestimmung: Nicht bestimmbar, keine geschlechtsdiagnostischen Merkmale erhalten.
Sterbealtersbestimmung: Aufgrund der Schädeldicke erwachsen; alle beurteilbaren Schädelnähte endo- und ectocranial offen: < 35 Jahre.
^{14}C-Datierung von FNr. St. 21474: 2755 ± 30 BP [978 (95,4 %) 827 BC, Mw. 902 BC] (Poz-99246).
Messwiederholung: 2785 ± 30 BP [1007 (95,4 %) 845 BC, Mw. 926 BC] (Poz-111787).

4.2.2.2 Fund ohne Verfärbungszusammenhang – „Küssleracker"

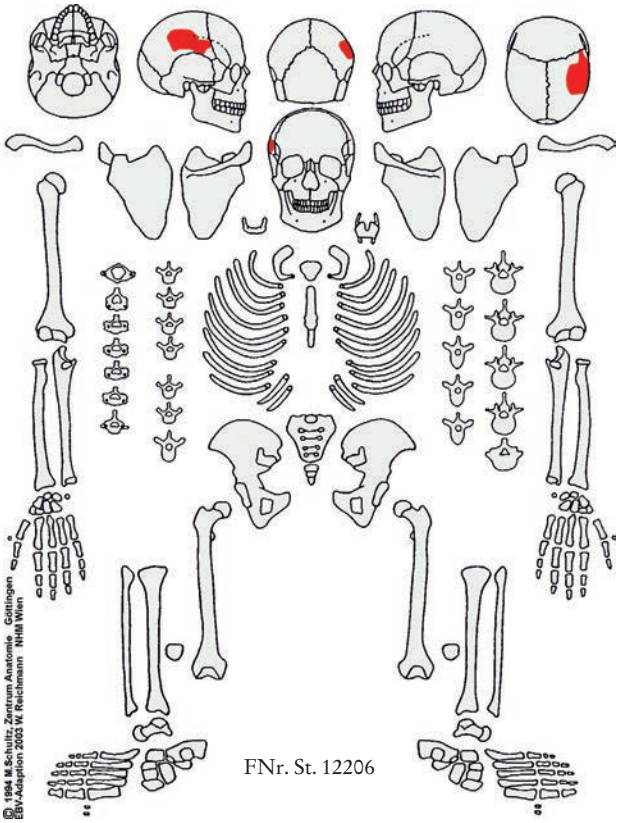
FNr. St. 12206
Archäologischer Kontext: Das Schädelfragment wurde ohne Verfärbungszusammenhang gefunden („Küssleracker" 1978). Es datiert gemäß ^{14}C in die späte Urnenfelderkultur.
Sterbealter: erwachsen.
Geschlecht: nicht bestimmbar.
Erhaltung: Ventrales Fragment des rechten Scheitelbeines, Größe 8,3 × 4,8 cm (Abb. 206). Im ventrocranialen Bereich wurde eine Knochenprobe zur ^{14}C-Datierung entnommen. Alle anderen Bruchkanten sind alt.
Zahn- und Kieferbefund: nicht vorhanden.
Pathologien und Anomalien: Es sind keine pathologischen Veränderungen feststellbar.

Alle Seiten dieses Scheitelbeinfragments weisen alte Bruchkanten auf. Sie sind gleich gefärbt wie der übrige Knochen und verlaufen bogenförmig. Der Großteil der Bruchkanten ist relativ gerade, doch ist an wenigen Stellen die Lamina externa größer ausgebrochen als die Lamina interna oder umgekehrt. Vermutlich kam der Bruch eine gewisse Zeit nach dem Tod des Individuums zustande, als der Knochen noch stark kollagenhaltig war.



a. b.

Abb. 206: Rechtes Scheitelbeinfragment FNr. St. 12206, Grabungsfläche Küssleracker, ohne Verfärbungszusammenhang: – a. Außenansicht. – b. Innenansicht (Fotos: W. Reichmann, NHM Wien).



FNr. St. 12206

Verfärbungen: Keine.
Brandspuren: Keine.
Geschlechtsbestimmung: Nicht bestimmbar, keine geschlechtsdiagnostischen Merkmale erhalten.
Sterbealtersbestimmung: Aufgrund der Knochendicke und der tiefen Gefäßimpressionen erwachsen. Ectocranialer Nahtschluss: < 70 Jahre (nur Nahtabschnitt C2 beurteilbar).
Anmerkung: Dieses Knochenfragment passt nicht zu dem Scheitelbeinfragment FNr. St. 16115.
^{14}C-Datierung von FNr. St. 12206: 2690 ± 30 BP [900 (95,4 %) 804 BC, Mw. 852 BC] (Poz-99268).

4.3 Diskussion

4.3.1 Erhaltung, Mindestindividuenzahl, Sterbealters- und Geschlechtsverteilung

Für die gegenständliche Analyse wurden menschliche Skelettreste (insgesamt 17 Fundnummern) aus verschiedenen Verfärbungen aus Stillfried an der March untersucht. Wie die ^{14}C-Datierungen zeigen, stammen sie sowohl aus der späten Urnenfelderkultur als auch aus der Hallstattzeit (ca. 2.900–2.500 BP). Gefunden wurden sie sowohl in zeitgleichen Gruben in ungestörter Fundlage (in dem Sinn, dass seit der urnenfelderzeitlichen Einbettung keine Störung auf sie einwirkte; urnenfelderzeitliche Gruben V5000, V5001, V5005, V885; hallstattzeitliches Grubenhaus V5092), als auch in jünger datierenden Strukturen aus gestörten Befunden (mittelalterliche Gräben V5094 und V5095). Ein Knochenfragment (FNr. St. 12206) wurde ohne Verfärbungszusammenhang gefunden. Hervorzuheben ist der außergewöhnlich gute Erhaltungszustand der Knochen – sie weisen keinerlei Erosionsspuren auf.

In drei Fällen konnten Knochen aus zwei verschiedenen Fundnummern zu einem Individuum zusammengeordnet werden. Dies war bei den Knochen eines Fetus/Neugeborenen aus Grube V5001 der Fall, wo passgenaue Stücke des rechten Scheitelbeins und der rechten Maxilla die Zusammengehörigkeit belegen. Des Weiteren konnten das im Grubenhaus V5092 aufgefundene Stirnbein (FNr. St. 16061) und das Scheitelbeinfragment (FNr. St. 16115) eines Erwachsenen zusammengefügt werden. In dieser Fundstelle fand sich auch ein Hinterhauptfragment (FNr. St. 16060), das aufgrund morphologischer Ähnlichkeiten (Schädeldicke, offene Schädelnähte, Porositäten in der Lamina externa) und des gleichen Erhaltungszustandes zu dem Stirn- und Scheitelbeinfragment passen könnte. Aufgrund fehlender Passstellen und der daraus resultierenden Unsicherheit muss aber auf eine Zusammenordnung verzichtet werden. Auch ist unklar, ob das Unterkieferfragment FNr. St. 16076 einem der anderen Schädelfragmente aus dieser Grube zuzuordnen ist, oder von einem weiteren Individuum stammt. Mit an Sicherheit grenzender Wahrscheinlichkeit können hingegen die beiden Schädelfragmente FNrn. St. 16261 und 16259 aus dem Graben V5095 zusammengeordnet werden, die beide von einem etwa 3–6-jährigen Kind stammen. Für eine Zusammenordnung sprechen nicht nur das gleiche Sterbealter und der gleiche Erhaltungszustand, sondern auch die ^{14}C-Datierungen beider Knochen, die ein fast identes Ergebnis lieferten.

Eine Vermischung der Knochen zwischen den verschiedenen archäologischen Strukturen kann aufgrund der unterschiedlichen ^{14}C-Datierungen und/oder Diskrepanzen im Sterbealter weitgehend ausgeschlossen werden. Einzig das Schädelfragment St. 12206 (ohne Verfärbungszusammenhang) zeigt mit dem Humerusschaft St. 17038 (V5005) Überlappungen in der ^{14}C-Datierung und im Sterbealter. Darüber hinaus gibt es, wie bereits erwähnt, Unsicherheiten in der Zusammenordnung einiger Knochenfragmente aus dem hallstattzeitlichen Grubenhaus V5092. Die hier gefundenen Knochen stammen von mindestens zwei, maximal vier Individuen. Somit ergibt sich eine Mindestindividuenzahl in dem bei dieser Untersuchung vorgestellten Knochenkonvolut von elf Individuen, die Maximalzahl beträgt 14 Individuen.

Mit Ausnahme des unvollständigen Skeletts eines Neugeborenen (FNrn. St. 16332 und 16352 aus V5001) und des Humerusschafts FNr. St. 17038 aus V5005 handelt es sich

durchwegs um vollständige Schädel (ein Schädel mit Unterkiefer und drei Calvarien) oder Schädelfragmente (acht Schädeldach- und zwei Unterkieferfragmente). Betrachtet man die Sterbealtersverteilung, zeigt sich, dass das Verhältnis von Subadulten zu Erwachsenen annähernd ausgewogen ist (siehe Abb. 172). Die sechs Subadulten streuen über alle Altersklassen (ein Fetus/Neonatus, ein 3–6-jähriges Kind, zwei Kinder der Altersklasse Infans 2 und zwei Kinder bzw. Jugendliche im Alter von 12–18 Jahren). Auch unter den Erwachsenen finden sich Vertreter aller Altersklassen, wobei hier der Schwerpunkt in der adulten und maturen Altersklasse liegt. Bezüglich des Geschlechts lässt sich feststellen, dass sich ein weibliches Individuum (FNr. St. 16055) und zwei tendenziell männliche Individuen (FNrn. St. 16032 und 16060) in dieser Gruppe finden. Bei den anderen Fundnummern ist die Geschlechtsbestimmung nicht oder nicht eindeutig möglich. Die Ergebnisse der Sterbealters- und Geschlechtsdiagnose zeigen, dass es keine Präferenz bezüglich Sterbealter oder Geschlecht bei der Deponierung der Skelettreste gab.

4.3.2 Paläopathologie

Ein weiterer Untersuchungsschwerpunkt liegt auf paläopathologischen Analysen. Die genauen Befunde sind im Katalogteil ersichtlich. Zusammengefasst lässt sich feststellen, dass an den Schädelresten unspezifische Stressindikatoren wie Porositäten im äußeren Schädeldach (FNrn. St. 16033, 16055, 16060, 16061 und 16115, 21474), Cribra orbitalia (FNrn. St. 16032, 16033, 16055) sowie transversale Schmelzhypoplasien an den Zähnen (FNrn. St. 16029, 16033, 16755) diagnostiziert werden konnten. Die genauen Ursachen für den zugrundeliegenden physischen Stress lassen sich nicht eruieren – sie sind viel eher in einem Zusammenspiel aus Faktoren wie Mangelernährung, schweren Infektionserkrankungen, parasitärer Belastung u. Ä. zu sehen. Wie die transversalen Schmelzhypoplasien zeigen, kam es zu derartigen Belastungen bereits im Kindesalter. Auch eindeutigere Zeichen von Mangelernährung konnten festgestellt werden: Der Schädel des ca. 15-jährigen Individuums FNr. St. 16033 aus V5000 zeigt Veränderungen, die typisch für chronischen Vitamin-C-Mangel sind. Ob die Knochenneubildungen im Kieferbereich des Kindes FNr. St. 16029 aus derselben Grube ebenfalls durch diesen Vitaminmangel oder durch den Zahndurchbruch hervorgerufen wurden, ist unklar.

Des Weiteren sind an den Stillfrieder Individuen Hinweise auf entzündliche Erkrankungen zu identifizieren. Zwei Individuen litten an chronischen Atemwegserkrankungen: Das Kind FNr. St. 16029 zeigt Zeichen einer chronischen Rhinitis, bei der Frau FNr. St. 16055 ist eine verheilte Entzündung der Stirnhöhlen (Sinusitis) festzustellen. Ebenfalls bei zwei Kindern (FNr. St. 16029 und 16261) wurden pathologische endocraniale Veränderungen in Form von Knochenneubildungen gefunden, die auf eine Entzündung und/oder Blutungen im Schädelinneren hindeuten (etwa aufgrund von Meningitis, Meningoenzephalitis, Perisinusitis). Da diese den aktiven Zustand dieser schwerwiegenden Erkrankungen repräsentieren, ist es möglich, dass sie auch im Zusammenhang mit der Todesursache stehen.

Traumatische Veränderungen in Form von verheilten Schädelverletzungen finden sich ausschließlich bei Erwachsenen. Das bezüglich des Geschlechts indifferente Individuum FNrn. St. 16061 und 16115 aus Grube V5092 weist eine Eindellung in der rechten Seite des Stirnbeins auf, das tendenziell männliche Individuum FNr. St. 16032 aus V5000 jeweils eine Eindellung im rechten und linken Scheitelbein. Bei beiden Individuen war nur die äußere Schädeltafel von der Fraktur betroffen, die Verletzungen waren also nicht lebensbedrohlich. Möglicherweise stellt auch die Vorwölbung bzw. Verdickung in der rechten hinteren Schädelseite der Frau FNr. St. 16055 aus V5092 den remodellierten Zustand einer lang zurückliegenden Verletzung dar.

Im Zahn- und Kieferbereich wurden Erkrankungen wie Karies, Wurzelspitzenabszesse, Zahnstein und Parodontitis diagnostiziert. Bei dem tendenziell männlichen Individuum FNr. St. 16032 deutet die ungewöhnliche Zahnabrasion auf eine Nutzung der Zähne als „dritte Hand“ hin.

4.3.3 Taphonomische Veränderungen und Manipulationsspuren

Von besonderem Interesse für die Interpretation der ungewöhnlichen Fundumstände der Stillfrieder Skelettreste sind taphonomische Veränderungen und Hinweise auf perimortale Veränderungen bzw. Manipulationsspuren. Generell lässt sich die Erhaltung als exzellent beschreiben. Bis auf sehr wenige postmortale Schädigungen, die vermutlich im Zuge der Ausgrabung entstanden sind, sind die Knochenoberflächen bei fast allen Knochen bzw. Knochenfragmenten völlig intakt. Dies zeugt von der hervorragenden Erhaltung im Stillfrieder Lößboden. Verfärbungen, wie sie etwa durch beigelegte Metallobjekte auftreten, finden sich an den hier untersuchten Skelettresten ebenso wenig wie Brandspuren. Auch gibt es keine Zeichen dafür, dass die Skelettreste längere Zeit an der Erdoberfläche lagen und der Witterung und Sonnenstrahlung ausgesetzt waren.

Was an einigen Knochen identifiziert werden konnte, sind Zeichen von **Tierverbiss**. Eindeutiger Karnivorenverbiss – wahrscheinlich durch Hundeartige wie z. B. Wolf, Hund oder Fuchs – in Form von splittrigen Bruchkanten,

Bissspuren und Kaumarken sind am Humerusschaft FNr. St. 17038 und am Unterkieferfragment FNr. St. 16076 zu diagnostizieren (Abb. 189, 199). Auch die unregelmäßigen, splittrigen Bruchkanten des Unterkieferfragments FNr. St. 16755 erinnern an Tierverbiss, wenngleich die für Karnivoren typischen Bissspuren hier fehlen (Abb. 201). Genauso könnten die Veränderungen am Calvarium FNr. St. 16055 – der fehlende Gesichtsschädel in Verbindung mit den Defekten an der Schädelbasis – durch Tierverbiss hervorgerufen worden sein (Abb. 190, 192). Zwar sind auch hier keine Biss- und Kaumarken diagnostizierbar, doch ähneln die Defekte sehr durch Streifenhyänen-Verbiss geschädigten Calvarien, wie sie etwa in Israel gefunden wurden.[872] Karnivorenverbiss ist demnach hier durchaus im Bereich des Möglichen. Auch menschliche Manipulation kann als Ursache für diese Veränderungen nicht gänzlich ausgeschlossen werden (siehe unten). Die Veränderungen könnten aber auch „normale" postmortale Defekte des relativ leicht zerbrechlichen Gesichtsschädels und der ebenso fragilen Schädelbasis repräsentieren, wie sie etwa im Zuge der (zufälligen?) Einbringung des Calvariums in die Verfüllung des Grubenhauses entstanden sein könnten. Eine derartige Erhaltung ist keinesfalls unüblich und wird beispielsweise bei Schädeln aus Karnern relativ häufig beobachtet.

Der Karnivorenverbiss zeigt, dass die Leichen eine wahrscheinlich relativ kurze Zeit an der Erdoberfläche gelegen haben oder sehr seicht (< 30 cm)[873] begraben wurden. Dafür sprechen die fehlenden Veränderungen durch Witterung und Sonneneinstrahlung, wie etwa Risse, Abschürfungen und Ausbleichen der Knochenoberfläche, wie sie üblicherweise nach ca. einem Jahr eintreten.[874] Dass es vermutlich relativ kurze Zeit nach dem Tod des Individuums dazu kam, zeigt auch die Lokalisation der Tierverbissspuren: Wie forensische Studien dokumentieren, beginnen Caniden wie etwa Wolf oder Hund üblicherweise im Gesicht und am Hals zu fressen, gehen dann zu Thorax und den oberen Extremitäten über, bevor sie sich über die unteren Extremitäten und schlussendlich auch den Stamm hermachen.[875] All diese hier vorliegenden Skelettreste stammen somit von den als erstes benagten Körperteilen. Diese werden manchmal weitab des restlichen Körpers aufgefunden, weil sie von Karnivoren verschleppt werden.[876] Beispielsweise liegt die Mandibel meist schon in einem sehr frühen Stadium skelettiert vor,[877] dementsprechend kann sie sich auch schon relativ früh vom Kopf lösen. In einem Fall wurde ein Unterkiefer sogar 400 m vom restlichen Körper entfernt gefunden, verschleppt durch einen Hund.[878] Ein ähnliches Szenario wäre auch für die Stillfrieder Funde denkbar. Die von Karnivoren verschleppten Knochen wurden anschließend offenbar von den Menschen im Zuge der Verfüllung der Gruben entsorgt.

Fast allen Skelettresten aus Stillfried ist gemein, dass sie **alte Brüche** aufweisen, die – wie die Morphologie und Färbung der Bruchkanten bzw. -flächen zeigt – am relativ frischen, kollagenreichen Knochen entstanden sind (einzige Ausnahme hiervon ist das Schädelfragment FNr. St. 16295 aus V5094, an dem nur neue Brüche diagnostizierbar sind). Bei all diesen Veränderungen sind makroskopisch keine Heilungsspuren erkennbar, weshalb von einer Entstehung um den Todeszeitpunkt oder eine gewisse Zeit darüber hinaus ausgegangen werden kann. Hinweise auf scharfe Gewalt, wie z. B. Schnitt- oder Hiebspuren, finden sich nicht.

Von den **Schädelfragmenten**, die in Stillfried gefunden wurden, weisen fast alle alte Bruchkanten auf, deren Morphologie darauf hinweist, dass der Knochen noch reich an Kollagen war, als er gebrochen ist. Die Form der Bruchstücke ist unterschiedlich, es ist demnach sehr unwahrscheinlich, dass diese auf eine spezielle Art und Weise willentlich zugerichtet wurden – viel eher scheinen sie mehr oder weniger zufällig zustande gekommen zu sein. Hier stellt sich die Frage, in welchem Zeitraum es zu derartigen Brüchen gekommen sein kann. Das Bodenmilieu in Stillfried ist für die Knochenerhaltung derart günstig, dass viele der hier vorliegenden Skelettreste selbst heute noch einen hohen Anteil an Kollagen zu haben scheinen. Dementsprechend ist es durchaus vorstellbar, dass es zu den Brüchen eine längere Zeit nach dem Tod des Individuums kam. So könnten Schädelfragmente aus der Urnenfelderkultur, die in mittelalterlichen Gräben (V5094 und V5095) gefunden wurden, zufällig durch den Anschnitt urnenfelderzeitlicher Gräber und Erdumlagerungen dorthin gelangt sein. Auch die Schädelfragmente aus zeitgleichen Gruben der späten Urnenfelderkultur bzw. aus der Verfüllung eines Grubenhauses der Hallstattzeit weisen keine Ähnlichkeiten bezüglich Lokalisation oder Form auf – eine mehr oder weniger

872. Horwitz, Smith 1988, 474–476, Fig. 3.
873. Rodriguez 1997, 459.
874. Blau 2017, 202–203.
875. Haglund, Reay, Swindler 1989, 601. – Willey, Snyder 1989, 897. – Young 2017, 214.
876. Haglund 1997, 369, 377.
877. Vgl. z. B. Haglund, Reay, Swindler 1989, 596. – Haglund 1997, 369.
878. Haglund, Reay, Swindler 1989, 603. – Haglund 1997, 377.

zufällige bzw. unbeabsichtigte Einbringung der Schädelreste bei der Verfüllung der Gruben ist also auch hier vorstellbar. Einzig an dem Stirnbeinfragment FNr. St. 16061, das im hallstattzeitlichen Grubenhaus V5092 gefunden wurde, finden sich Spuren, die allem Anschein nach von anthropogener Manipulation stammen (Abb. 196, 197). Hier sind in beiden Augenhöhlendächern vollkommen symmetrisch angeordnete, runde Eindrücke mit einem Durchmesser von ca. 2,5 mm erkennbar. Etwas seitlich davon findet sich in der rechten Seite im Bereich einer Schädelnaht ein kleines rechteckiges Loch in etwa derselben Größe (links ist die entsprechende Stelle abgebrochen). Die Morphologie der Bruchkanten dieses rechteckigen Defekts weist darauf hin, dass hier der Schädel von innen nach außen durchstoßen wurde. Es könnte sein, dass diese Veränderungen von einer Befestigung oder Aufhängung zeugen. Die Verrundungen im Bereich des rechteckigen Lochs wurden womöglich durch Abnützung (vielleicht durch eine Art Schnur oder dergleichen) verursacht. Bei dem im selben Grubenhaus gefundenen Calvarium FNr. St. 16055 finden sich ebenfalls mögliche Manipulationsspuren in Form eines erweiterten Hinterhauptslochs (Abb. 192). Obzwar dies – wie auch die anderen Defekte an der Schädelbasis und das fehlende Viscerocranium – reine Erosionsspuren darstellen oder mit Tierverbiss im Zusammenhang stehen könnte, wäre es auch im Bereich des Möglichen, dass die Erweiterung des Hinterhauptslochs durch eine Art Befestigung entstanden ist – beispielsweise durch Fixierung des Calvariums auf einem Stab oder ähnlichem. Eventuell kam dies auch zustande, als versucht wurde, etwas anderes innerhalb des Schädels zu platzieren – ein ausgebrochenes Foramen magnum wird etwa auch bei rezenten Trophäenschädeln beschrieben, in die eine Lichtquelle eingesetzt wurde.[879] Schädigungen im Schädelinneren, die womöglich durch Positionierung auf einem spitzen Stab oder einem anderen Gegenstand zustande gekommen sein könnten, finden sich weder bei diesem Calvarium noch bei den Schädeln aus Grube V5000.

Von besonderem Interesse sind die **drei Schädel (FNrn. St. 16029, 16032 und 16033)**, die in der urnenfelderzeitlichen **Grube V5000** gefunden wurden. Anders als bei den Schädelresten aus der Verfüllung diverser Strukturen kann hier aufgrund der Positionierung am Boden der Grube in gleicher Lage (mit dem Schädeldach nach oben) von einer absichtsvollen Deponierung ausgegangen werden (siehe auch Kap. 2.2.3.7, Deponierung von menschlichen Schädeln, großteils ohne Unterkiefer). Besonders markant sind die perimortalen Veränderungen. Dem hervorragenden Erhaltungszustand ist es geschuldet, dass selbst kleinste Modifikationen erkennbar und deutlich von Erosionsspuren abzugrenzen sind.

Speziell die gleichartigen, perimortalen Veränderungen an der Schädelbasis aller drei Schädel sind ungewöhnlich. Im Wesentlichen finden sie sich – wenngleich in etwas unterschiedlichem Ausmaß – an den Schädelkondylen und den Warzenfortsätzen (Abb. 173–187): Die Gelenksflächen der Schädelkondylen sind vollständig oder teilweise ausgebrochen, wodurch die darunterliegende Spongiosa freigelegt wurde. Am kleinräumigsten sind die Defekte bei Individuum FNr. St. 16032, was womöglich in der Robustizität und der dementsprechenden Widerstandsfähigkeit dieses auffallend schweren Calvariums begründet ist. In manchen Fällen dehnen sich diese Defekte auch auf die Bereiche um die Schädelkondylen herum aus. Auch an den Warzenfortsätzen sind perimortale Defekte feststellbar. Das Spektrum reicht hier von kleinräumigen Eindrücken bis hin zu großen Schädigungen, durch die die gesamte Spitze abgebrochen oder abgerissen ist. Darüber hinaus sind auch Defekte im vorderen Bereich der Schädelbasis erkennbar, die vor allem die sehr fragilen Bereiche der Keilbeine und des hinteren Abschnitts der Maxilla betreffen.

Auch hier stellt sich die Frage nach der Ursache dieser Defekte und deren Entstehungszeitpunkt. Als mögliche Ursache kommen im Wesentlichen drei Faktoren in Frage: Erosion, Tierverbiss oder menschliche Manipulationsspuren bzw. eine Kombination daraus. Dass ausschließlich erosive taphonomische Prozesse für die Veränderungen verantwortlich wären, ist sehr unwahrscheinlich. Sowohl die insgesamt hervorragende Erhaltung von selbst sehr fragilen Knochenarealen als auch die völlig intakte Knochenoberfläche sprechen dagegen. Eine weitere mögliche Erklärung ist Tierverbiss. Speziell die kleinen Eindrücke an den Warzenfortsätzen von FNr. St. 16029 und FNr. St. 16032 erinnern morphologisch an Bissspuren durch Karnivoren. Am rechten Mastoid von FNr. St. 16032 sind sogar an der Innen- und Außenseite Eindrücke erkennbar, die durchaus Biss und Gegenbiss darstellen könnten. Überdies ist es nicht auszuschließen, dass die Defekte an den Schädelkondylen ebenfalls durch Karnivorenverbiss zustande gekommen sind. Was jedoch für Tierverbiss ungewöhnlich ist, ist das Fehlen von den charakteristischen Einkerbungen und Furchen in den Bereichen rund um die Defekte und auch deren geringes Ausmaß – es ist nur schwer vorstellbar, dass ein Tier nur kurz symmetrisch in die Schädelbasis beißt und dann sofort wieder davon ablässt. Außerdem ist die Lokalisation für Kanivorenverbiss untypisch, da das Gesicht und der Hals üblicherweise die ersten Stellen sind, wo Caniden

879. Pokines 2018, 121–122 und Fig. 18.

wie Wolf oder Hund zu fressen beginnen.[880] Der Gesichtsschädel ist bei den hier vorliegenden drei Schädeln jedoch fast unversehrt – es finden sich hier nur geringgradige Veränderungen in Form von kleinräumigen Brüchen der fragilsten Knochenareale im Nasenbereich, bei FNr. St. 16033 sind zusätzlich die Jochbögen abgebrochen. Die bei Karnivorenverbiss zu erwartenden Defekte wären weitaus umfangreicher als die hier diagnostizierten Veränderungen. Tierverbiss ist demnach nicht eindeutig identifizierbar, aber keinesfalls gänzlich auszuschließen.

Die wahrscheinlichste Erklärung für die alten, perimortalen Defekte an den Schädeln sind anthropogene Manipulationsspuren, die im Zusammenhang mit der Sekundärbestattung, möglicherweise in Verbindung mit einer Art Totenritus, zu sehen sind. Vermutlich sind sie Zeugen der peri- bzw. postmortalen Manipulation bzw. Handhabung, beispielsweise im Zuge des Bergens und Aufstellens des Schädels, dessen Fixierung, Aufbewahrung, Deponierung in der Grube und so fort. Es ist sehr gut vorstellbar, dass die fragilen Knochenareale im Nasenbereich und der vorderen Schädelbasis dabei zu Schaden gekommen sind, und auch die Eindrücke in den Warzenfortsätzen könnten im Zuge dessen verursacht worden sein. Zudem zeugen die abgeschliffenen Bereiche der Schädelkondylen und Warzenfortsätze von FNr. St. 16032 davon: Derartige Veränderungen sind typisch für sogenannte *„shelf wear"*, also Abnützungen, die durch wiederholtes Hochnehmen und wieder Abstellen auf hartem Untergrund auftreten.[881]

Besonders auffallend sind die gleichartigen Veränderungen im Bereich der Schädelkondylen an allen drei Schädeln, die auf die gleiche oder zumindest eine sehr ähnliche Handhabung oder Vorgehensweise hindeuten. Derartige Defekte werden auch an einem Schädel aus der kupferzeitlichen Fundstelle Krems/Hundssteig (Niederösterreich; Jevišovice-Kultur) beschrieben und mit Skelettmanipulation in Verbindung gebracht.[882] Wie die oben beschriebenen Veränderungen an den Warzenfortsätzen, der vorderen Schädelbasis und im Gesichtsbereich könnten auch diese durch das Hantieren mit dem Schädel im Sinne einer Art *„shelf wear"* oder Ähnlichem zustande gekommen sein.[883] Es gibt aber auch eine weitere, eventuell zusätzlich zur Abnützung entstandene Möglichkeit: Morphologisch gleichen diese Brüche Condylusausrissfrakturen, wie sie in der medizinischen und forensischen Literatur beschrieben werden.[884] Derartige Frakturen sind Abscher- bzw. Avulsionsverletzungen, die durch erhöhte Zugkraft bei Hyperflexions- und Hyperextensionstraumata, rotatorischer Traktion, seitlicher Biegung und auch bei rotatorischer Kompression vorkommen,[885] und werden in der rezenten medizinischen Literatur z. B. als Folge von Verkehrsunfällen oder hochenergetischen Schlägen auf den Kopf oder Hals beschrieben; in vielen, aber nicht allen Fällen verlaufen sie tödlich.[886] Sie gelten als relativ selten – ungleich häufiger kommt es bei derartigen Krafteinwirkungen zum Abriss des Bandapparates ohne Knochenbeteiligung.[887] Die Stillfrieder Schädel betrachtend, wäre es vorstellbar, dass eine derartige oder ähnliche Krafteinwirkung wie bei den Condylusausrissfrakturen zu den hier vorliegenden Defekten geführt hat. Zwar ist rein theoretisch eine Entstehung direkt zum Todeszeitpunkt – also als todesursächliches Ereignis – möglich, da aber solche Frakturen selbst heute relativ selten beobachtet werden, ist es höchst unwahrscheinlich, dass ausgerechnet alle drei Individuen aus der Stillfrieder Gruppe sie aufweisen. Viel eher könnten diese Veränderungen auf eine Manipulation eine gewisse Zeit nach dem Tod des Individuums hindeuten. Da Abrissfrakturen der Condyli occipitales eine Reaktion auf eine Zugbelastung auf die Gelenkskapseln der atlantooccipitalen Gelenke und der dort ansetzenden Bänder (Lig. atlantooccipitale laterale, Ligg. alaria, Lig. apicis dentis, Membrana tectoria und Fasciculi longitudinales) darstellen, legt dies den Schluss nahe, dass – falls es sich hier tatsächlich um Condylusausrissfrakturen handelt – sich dieses Gelenk bei den Stillfrieder Individuen zumindest noch im Sehnenverband befand, als sich das Frakturgeschehen ereignete. Der Entstehungszeitraum reicht somit vom Todeszeitpunkt bis eine gewisse Zeit darüber hinaus – bis zu einem Zeitpunkt, als zwar der Großteil der Weichteile schon vergangen, dieses Gelenk aber noch im Sehnenverband war. Vielleicht hat man durch eine Dreh-, Kipp- und/oder Ziehbewegung den Atlas vom Kopf getrennt, wobei die Gelenke ausgerissen sind. An manchen Stellen ist die Lamina externa in die Bruch- bzw. Ausrissstellen eingedrückt, was möglicherweise als Spur einer Art Hebel zu deuten wäre. Verwunderlich bei dieser Theorie ist jedoch, dass an keinem der drei in Grube V5000 gefundenen

880. Haglund, Reay, Swindler 1989, 601. – Willey, Snyder 1989, 897. – Young 2017, 214.

881. Pokines 2018, 121–122.

882. Krenn-Leeb, Teschler-Nicola 2013, 21–23 und Abb. 9.

883. Pokines 2018, 121.

884. Z. B. Saternus 1987. – Jones, Knox, Sage 1990. – Noble, Smoker 1996. – Leone et al. 2000. – Kortmann et al. 2000.

885. Saternus 1987, 102. – Noble, Smoker 1996, 511. – Leone et al. 2000, 639. – Kortmann et al. 2000, 135.

886. Noble, Smoker 1996, 510. – Leone et al. 2000, 635–636.

887. Saternus 1987, 103.

Schädeln Schnitt-, Hieb- oder Schabspuren diagnostiziert werden konnten, wie sie bei derartigen Handlungen zu erwarten wären.

Ebenso auffallend wie die Defekte an der Schädelbasis sind auch jene an beiden Jochbögen des Individuums FNr. St. 16033 (Abb. 185, 186). Beide Jochbögen wurden im Zuge der Manipulation abgebrochen. Die dabei entstandenen Bruchkanten sind an der Außenseite stark unregelmäßig gezackt und wirken wie ausgefranst. Vielleicht kam dies ebenfalls durch den Ausriss der dort ansetzenden Muskeln und Bänder zustande (M. masseter und M. zygomaticus major, Lig. laterale der Gelenkskapsel des Temporomandibulargelenks). Spannt man diese Gedanken weiter, könnten die kleinräumigen Frakturen im Gesichtsbereich und an der vorderen Schädelbasis aller drei Individuen möglicherweise ebenso zu interpretieren sein. Diese finden sich rund um die Nasenöffnung im Ansatzbereich der Nasenknorpel (bei allen drei Schädeln aus der Grube V5000 im oberen Bereich an der Ansatzstelle der Cartilagines nasi laterales, bei FNr. St. 16032 auch an der Spina nasalis anterior als Ansatz des Cartilago septi nasi); womöglich stehen auch diese Brüche im Zusammenhang mit deren Entfernung. Legt man diese Gedanken auch auf die Warzenfortsätze um, könnten die großräumigen Defekte an deren Spitzen (bei FNr. St. 16029 und 16032) rein hypothetisch ebenso durch Ausriss der dort ansetzenden Muskeln (M. sternocleidomastoideus, M. splenius capitis, M. longissimus capitis, M. digastricus) hervorgerufen worden sein. In der medizinischen Literatur gibt es unseres Wissens nach kaum Hinweise auf Abrissfrakturen in diesem Bereich, lediglich zwei Fälle sind uns bekannt: In einem Fall hat eine Schussverletzung dazu geführt,[888] in einem anderen Fall kam eine derartige Verletzung beim Skalpieren des Schädels zustande.[889] Was eindeutig dagegen spricht, dass die Ausrisse der Warzenfortsätze im Zuge einer Entfernung der Kopfschwarte entstanden sind, ist jedwedes Fehlen von Schnittspuren, die für eine Skalpierung notwendig wären. Wie bereits erwähnt, betreffen die hier beschriebenen Veränderungen sehr fragile, dünnwandige Schädelteile, die sehr empfindlich auf Manipulationen aller Art reagieren – es scheint also weitaus wahrscheinlicher zu sein, dass diese Beschädigungen am (zumindest weitestgehend) skelettierten Schädel darstellen, die im Zusammenhang mit dem Hantieren und der Sekundärbestattung der Schädel in der Grube entstanden sind.

Für die Interpretation des Stillfrieder Befundes aus Grube V5000 ist die Klärung des Entstehungszeitpunkts der Manipulationsspuren von besonderer Bedeutung. Eine Entstehung unmittelbar zum Todeszeitpunkt oder kurz nach dem Tod der Individuen ist zwar höchst unwahrscheinlich, aber nicht völlig auszuschließen. Mit weitaus höherer Wahrscheinlichkeit sind die Manipulationsspuren eine gewisse Zeit nach dem Tod entstanden. Manche peri- bzw. postmortalen Veränderungen könnten möglicherweise durch einen Ausriss von Sehnen und Bändern hervorgerufen worden sein, was darauf hinwiese, dass sich die Skelette noch im Sehnenverband befanden. Sehnen und Bänder sind sehr widerstandsfähige Gewebe, die am längsten am Knochen haften bleiben – deutlich länger als Haut, Weichteilgewebe und Organe.[890] Forensische Studien zeigten, dass sich bei nicht begrabenen Körpern zwar der Kopf relativ früh von der Wirbelsäule löst,[891] der Atlas dabei oftmals aber am Schädel bleibt;[892] die Wirbelsäule ist auch jenes Skelettelement, das aufgrund des starken Bandapparats am längsten im Sehnenverband bleibt.[893] Generell ist es sehr schwierig, genaue Aussagen über die Skelettierungsdauer zu treffen, da diese von äußeren Umständen und Lagerungsbedingungen abhängig ist, wie beispielsweise Umgebungstemperatur, Feuchtigkeit, Zugang von Insekten und Raubtieren, Bekleidung, Körpergewicht und natürlich Eingrabung, Bodenmilieu und Grabtiefe.[894] Dementsprechend unterschiedlich sind auch die Angaben aus der forensischen Literatur, die – bei nicht begrabenen Körpern – von wenigen Tagen bis hin zu mehreren Jahren reichen.[895] Schätzungen zufolge dauert im gemäßigten Klima die Verwesung bis zum Sehnenverband an der Erdoberfläche 12–18 Monate, eine vollständige Skelettierung ca. 3 Jahre.[896] Ist der Körper ausreichend tief vergraben, verläuft die Verwesung wesentlich langsamer als an der Oberfläche.[897] Experimentelle Studien in Tennessee/USA haben gezeigt, dass ein in mindestens 1,2 m Tiefe vergrabener Körper rund 2–3 Jahre bis zur vollständigen Skelettierung braucht, bei seichten Bestattungen in rund 30 cm Tiefe hingegen nur 6 Monate bis zu einem Jahr (oder auch

888. Ramadier, Chaussé 1937. Zitiert in: Kotscher 1963, 42.

889. Schönbauer, Brunner 1920. Zitiert in: Gesellschaft der Ärzte 1938, 194.

890. Galloway 1997, 144–145. – Pinheiro 2006, 111.

891. Pinheiro 2006, 111.

892. Toots 1965, zitiert in Haglund, Reay, Swindler 1989, 588. – Untersuchung von Tierkadavern auch Hill 1979, 743.

893. Pinheiro 2006, 111.

894. Vgl. z. B. Iscan, Steyn 2013, 47–48. – Junkins, Carter 2017.

895. Pinheiro 2006, 111. – Iscan, Steyn 2013, 45–46.

896. Knight 1996 zitiert in Pinheiro 2006, 111.

897. Rodriguez 1997, 459. – Junkins, Carter 2017, 146–147.

mehr).[898] In der deutschsprachigen Literatur finden sich Angaben über die Skelettierungsdauer im Erdgrab von rund 3 bis 20 Jahren, in einigen Fällen sogar weit darüber hinaus.[899] Dementsprechend groß muss auch die Zeitspanne für die Stillfrieder Individuen gelegt werden: Die Manipulation kann (theoretisch) vom Todeszeitpunkt bis hin zu mehreren Jahren, vielleicht sogar Jahrzehnten nach dem Tod stattgefunden haben.

4.3.4 Schlussfolgerung

In Stillfried an der March wurden neben den Gruben mit mehr oder minder vollständigen menschlichen Skeletten aus der Urnenfelderkultur[900] noch weitere (prä-)historische Vertiefungen mit menschlichen Überresten entdeckt. So stammen aus den urnenfelderzeitlichen Gruben V885, V5000, V5001, V5005, dem hallstattzeitlichen Grubenhaus V5092 und den mittelalterlichen Gräben V5094 und V5095 weitere einzelne menschliche Knochenreste, die einer genauen anthropologischen Analyse unterzogen wurden. Die Skelettreste der mindestens elf und maximal 14 Individuen sind hervorragend erhalten und weisen kaum Erosionsspuren auf. Die Analyse des Sterbealters und des Geschlechts macht ersichtlich, dass es keine Präferenz diesbezüglich bei der Deponierung der Skelettreste gab. Betrachtet man taphonomische Veränderungen und Manipulationsspuren, zeigt sich, dass die Skelettreste weder Verfärbungen durch beiliegende Metallobjekte noch Brandspuren aufweisen. Auch finden sich keine Veränderungen durch Witterung und Sonneneinstrahlung, was zeigt, dass die Knochen nicht oder nur sehr kurze Zeit ungeschützt an der Erdoberfläche lagen. An zumindest zwei Knochenfragmenten (dem Humerusschaft FNr. St. 17038 aus V5005 und dem Unterkieferfragment FNr. St. 16076 aus V5092, möglicherweise auch FNr. St. 16055 aus V5092 und FNr. St. 16755 aus V5094) konnte Tierverbiss diagnostiziert werden, der zeigt, dass diese Leichen kurze Zeit an der Erdoberfläche lagen oder nur sehr seicht begraben wurden. Vermutlich wurden diese Skelettreste von Karnivoren wie z. B. Hunden, Wölfen oder Füchsen verschleppt und kurze Zeit später von den Menschen in der Verfüllung der Gruben entsorgt.

Auffallend ist, dass fast alle hier untersuchten Knochen alte Brüche aufweisen, die am relativ frischen, kollagenreichen Knochen entstanden sind. Hinweise auf scharfe Gewalt wie Schnitt- oder Hiebspuren finden sich nicht. Die isolierten Schädelfragmente weisen unterschiedliche Formen auf und stammen von unterschiedlichen Schädelregionen – es gibt demzufolge keine Hinweise darauf, dass sie willentlich zugerichtet wurden. Viel eher scheinen sie mehr oder weniger zufällig – möglicherweise durch den Anschnitt urnenfelderzeitlicher Gräber und Erdumlagerungen – in die Verfüllung der Gruben gekommen zu sein (dies gilt insbesondere für die urnenfelderzeitlichen Knochen aus den mittelalterlichen Gräben V5094 und V5095). Lediglich an dem im hallstattzeitlichen Grubenhaus V5095 gefundenen Stirnbein ließen sich mögliche anthropogene Manipulationsspuren feststellen, die auf eine Art Befestigung oder Aufhängung dieses Schädelfragments hindeuten könnten.

Während der Großteil der Knochen bzw. Knochenfragmente in den Verfüllschichten diverser Gruben und Gräben gefunden wurde, gibt es in den urnenfelderzeitlichen Gruben V5000 und V5001 Hinweise auf eine absichtsvolle Deponierung. Im unteren Hausbrandschutt, der sich in der Grube V5001 fand, wurde ein Neugeborenes deponiert. Ob es sich hier um eine reine „Entsorgung“ oder eine Hausbestattung – eventuell im Rahmen eines darüber hinausgehenden Ritus – handelt, ist unklar (Kap. 2.2.3.7, Menschenniederlegungen in Siedlungsgruben [Siedlungsbestattungen] und Kap. 10.1.2, V5001). Hinweise auf eine etwaige Todesursache oder auf Manipulationsspuren sind an dem Skelett nicht feststellbar. Anders bei Grube V5000, auf deren Boden – eingebettet in Asche, Hüttenlehm und Keramik – sich drei menschliche Schädel fanden. Ihre Lage macht eine rituelle Handlung sehr wahrscheinlich (Kap. 2.2.3.7, Hypothese zu den Siedlungsbestatttungen). An diesen drei Schädeln konnten perimortale Veränderungen festgestellt werden, die höchstwahrscheinlich als anthropogene Manipulationsspuren zu interpretieren sind, die möglicherweise im Zuge dieser Sekundärbestattung oder schon zuvor entstanden sind. Gleichartige Defekte finden sich an der Schädelbasis, vor allem an den Schädelkondylen und Warzenfortsätzen; kleinräumige Defekte sind auch im Gesichtsbereich und an der vorderen Schädelbasis zu diagnostizieren. Vermutlich kamen diese Defekte eine gewisse Zeit nach dem Tod des Individuums zustande und zeugen von der urnenfelderzeitlichen Manipulation bzw. Handhabung, beispielsweise im Zuge des Bergens und Aufstellens des Schädels, dessen Fixierung, Aufbewahrung, Deponierung in der Grube und so fort. Zusätzlich zu diesen Defekten zeugen abgeschliffene Bereiche an der Schädelbasis von FNr. St. 16032 von einer

898. Rodriguez, Bass 1983, 1985, zitiert in Rodriguez 1997, 460–461.

899. Siehe Zusammenstellung verschiedener Angaben aus der archäologischen und gerichtsmedizinischen Literatur in Kümmel 2009, 152 und Tab. 3.36.

900. Breitinger 1980. – Breitinger 1982. – Wiltschke-Schrotta 2006. – Wiltschke-Schrotta, Marschler in Vorbereitung.

„*shelf wear*“, also Abnützungen, die durch wiederholtes Hochnehmen und Abstellen auf hartem Untergrund auftreten. Über den Zeitpunkt, zu dem diese Defekte zustande kamen, können nur grobe Aussagen getroffen werden. Bei manchen Veränderungen – den defekten Schädelkondylen bei allen drei Individuen und den abgebrochenen Jochbögen bei FNr. St. 16033 – könnte es sich nicht nur um Beschädigungen vom Hantieren mit dem skelettierten Schädel handeln, sondern möglicherweise auch um Frakturen, die durch den Ausriss von Bändern und Muskeln entstanden sind, was darauf hinweisen würde, dass sich die Individuen zumindest noch im Sehnenverband befunden haben. Die Manipulation kann demnach (theoretisch) vom Todeszeitpunkt bis hin zu – abhängig von den Lagerungsbedingungen – mehreren Jahren, vielleicht sogar Jahrzehnten nach dem Tod stattgefunden haben. Ausgeschlossen werden kann jedenfalls, dass diese Veränderungen im Zuge der archäologischen Bergung zustande kamen.

Die hier vorgestellten Skelettreste aus Stillfried entpuppten sich einmal mehr als spannende anthropologische Befunde, die einen weiteren wichtigen Beitrag zum Verständnis des Umganges der urnenfelder- (und hallstatt) zeitlichen[901] Bevölkerung mit ihren Toten leisten. Obzwar einige ihrer Rätsel gelöst werden konnten – all ihre Geheimnisse wurden uns nicht preisgegeben. Sie lassen Raum für weitere Forschung.

901. Nachweise für eine Totenbehandlung, die neben der Siedlungsbestattung auch ein Manipulieren an (teil)verwesten Körpern einschloss, ist, wie auch in diesem Beitrag gezeigt wird, am urnenfelderzeitlichen Fundort Stillfried gut belegt. Hinweise auf ein Hantieren und Manipulieren mit (teil)verwesten Körpern im Stillfried der Hallstattzeit fanden sich in der Verfüllung des junghallstattzeitlichen Grubenhauses V5092 am „Wagneracker“. Daraus stammen jene fünf bzw. sechs Bruchstücke menschlicher Schädel (FNr. St. 16055, 16060, 16061, 16076, 16115, ein Knochen [FNr. St. 16075] ist nicht auffindbar), die in diesem Beitrag beschrieben werden. Zu dieser wichtigen Forschungsfrage sind allerdings weitere, eingehende Untersuchungen notwendig.

5. $^{87}Sr/^{86}Sr$ Analysen zur Untersuchung der Herkunft der deponierten menschlichen Individuen

Anna-Maria Kriechbaum, Anika Retzmann, Thomas Prohaska

5.1 Projektziel

Während der späten Urnenfelderzeit entsprachen eine Verbrennung der Toten und eine Bestattung in Urnenfeldern der Bestattungsnorm.

Bei den Grabungen von Felgenhauer[902] konnten in Stillfried an der March unter anderem einige Speichergruben mit menschlichen und/oder tierischen Skelettniederlegungen festgestellt werden. Im Zuge des FWF-Projektes „Ressourcensicherung, Macht und Kult in Stillfried?“ (P28005) wurde mit Hilfe von $^{87}Sr/^{86}Sr$ Analysen die Möglichkeit einer ortsfremden Herkunft einiger Skelettniederlegungen untersucht.

5.2 Material und Methoden

Zur Bestimmung einer möglichen ortsfremden Herkunft wurden Enamel (Zahnschmelz) und Dentin (Zahnbein) von elf menschlichen Individuen hinsichtlich ihres $^{87}Sr/^{86}Sr$ Verhältnisses untersucht (Abb. 207). Diese wurden mit rezenten Umweltproben (Wasser und Boden), welche im Umkreis von ca. 5 km in einer Tiefe von ungefähr 30 cm entnommen wurden (Abb. 210), sowie archäologischen Proben (Bodenproben und organische Proben, Abb. 209) verglichen. Im Fall der rezenten Bodenproben wurden nur brachliegende Felder zur Untersuchung ausgewählt.

Außerdem wurden Enamel und Dentin von Skelettniederlegungen nicht migrierender bzw. domestizierter Tiere und Muscheln untersucht (Abb. 208), um weitere Informationen zur lokalen $^{87}Sr/^{86}Sr$-Signatur zu erhalten.

5.2.1 Probenliste

Proben ID	Grube	Anmerkung	Signatur/Interface	Skelettnummer	Beprobter Zahn (nach FDI)
ST_T_9042	V0841	Kind Infans II, 8–9 J.	9042/2072	SK 2	14
ST_T_9043	V0841	Mann? Adult, 25–35 J.	9043/2073	SK 3	15
ST_T_9044	V0841	Kind Juvenis, 13–15 J.	9044/2074	SK 4	24
ST_T_9046	V0841	Kind Infans II, 10–12 J.	9046/2076	SK 5-2	14
ST_T_9049	V0841	Mann? Juvenis, 15–18 J.	9049/2079	SK 8	14
ST_T_9051	V0841	Kind Infans I, 3–4 J.	9051/2081	SK 10	64
ST_T_9052	V0841	Kind Infans II, 8–10 J.	9052/2082	SK 11	14
ST_T_9054	V0841	Frau? Matur, 40–60 J.	9054/2084	SK 13	14
ST_T_9023	V1141	Mann Adult, 30 J.	9023/2247	SK 1	14
ST_T_9026	V1141	Knabe Infans II, 8 J.	9026/2250	SK 4	73
ST_T_1377	V1133	Kind (12–13 J., Mädchen?), Schädel mit Hiebverletzungen (FNr. St. 122)	FNr. St. 1377, keine Interfacenummer		14

Abb. 207: Probenliste der menschlichen Zähne (Proben wurden vom NHM Wien bereitgestellt).

902. Felgenhauer 1996.

Proben ID	FNr. St.	Grube	Spezies	Zahn	Kommentar VIRIS Labor
ST_CE_7473	7473	V1140	Hirschkuh	isolierter Schneidezahn	domestiziert
ST_M_13289	13289	V0841	Muschel		
ST_CF_8855	8855	V0601	Haushund	oberer Backenzahn M2	
ST_21307	21307/ 20524/ 21319	V2784 und V3784	Reh	oberer Prämolar	
ST_CA_13162	13162	V0841	Biber		
ST_SS_13238	13238	V0841	Wildschwein	Hauer (?)	Unterkiefer
ST_M_13238a	13238	V0841	Muschel		graue Muschel
ST_M_13238b	13238	V0841	Muschel		beige Muschel
ST_M_13272	13272	V0841	Muschel		
ST_CF_13285	13285	V0841	Haushund	Eckzahn (?)	Oberkiefer/Unterkiefer, keine Kennzeichnung zur Unterscheidung
ST_CA_13286	13286	V0841	Biber		Schneidezahn
ST_M_13311	13311	V0841	Muschel		
ST_SD_13332	13332	V0841	Hausschwein		Zahn

Abb. 208: Probenliste der Tierzähne und Muscheln (Proben wurden vom NHM Wien bereitgestellt).

Proben ID	FNr. St.	Objekt	Fundart
ST_7649	7649	V1154	verkohltes Stroh, lange Stücke erhalten
ST_9864	9864	V1154	rötliche Holzbalkenreste, max. L. 10 cm
ST_S_13307	13307	V0841	Holzkohle und Erdprobe
ST_S_13289	13289	V0841	Erdbrocken dunkelbraun, ungebrannt

Abb. 209: Archäologische Umweltproben (Proben wurden von OREA/ÖAW bereitgestellt).

Proben ID	Probentyp	Probenort	lat. (°N)	lon. (°E)
ST_S_P18	Boden	braches Feld	48,38642	16,79686
ST_S_P2	Boden	braches Feld	48,40117	16,78802
ST_S_P1	Boden	braches Feld	48,41224	16,79142
ST_S_P3	Boden		48,40083	16,80449
ST_W_P19	Wasser	Wassergraben bei P4	48,38973	16,82354
ST_S_P4	Boden	braches Feld	48,38968	16,8235
ST_S_P20	Boden		48,39645	16,81791
ST_S_P5	Boden	braches Feld	48,40577	16,83062
ST_S_P6	Boden	Böschungswall (Botanik)	48,41362	16,8187
ST_S_P6b	Boden	Weinberg	48,41349	16,81878
ST_S_P7	Boden	Anstich am Weg (Weinberg darüber)	48,41338	16,8318
ST_S_P8	Boden	braches Feld	48,40728	16,83777
ST_W_P17_1	Wasser	March	48,40923	16,84986
ST_W_P17_2	Wasser	March	48,40923	16,84986
ST_S_P9	Boden	gepflügter Getreideacker	48,41646	16,84567
ST_S_P10	Boden	am Wäldchen (Botanik)	48,41925	16,84852
ST_W_P21_1	Wasser	Bach bei P10	48,41908	16,8472
ST_W_P21_2	Wasser	Bach bei P10	48,41908	16,8472
ST_W_P16_1	Wasser	Altarm/Totarm March bei Hufeisenteich	48,43177	16,84924
ST_W_P16_2	Wasser	Altarm/Totarm March bei Hufeisenteich	48,43177	16,84924
ST_S_P11	Boden	Knick	48,43006	16,833002
ST_S_P12	Boden	Knick	48,43296	16,81046
ST_S_P13	Boden	Knick	48,44107	16,8152
ST_S_P14	Boden	Knick	48,43982	16,82202
ST_W_P22_1	Wasser	Krüttelbach	48,44719	16,82752
ST_W_P22_2	Wasser	Krüttelbach	48,44719	16,82752
ST_S_P15	Boden	gepflügtes Feld	48,44614	16,84012
ST_S_P18	Boden	braches Feld	48,38642	16,79686

Abb. 210: Rezente Boden- und Wasserproben, entnommen am Fundort Stillfried und Umgebung am 12.10.2016.

5.2.2 Probenaufbereitung

5.2.2.1 Zahn- und Muschelproben

Alle beprobten Zähne wurden im VIRIS-Labor (Universität für Bodenkultur, Tulln) entsprechend etablierter Protokolle vor und nach jedem Reinigungs- und Beprobungsschritt fotodokumentiert (z. T. unter dem Mikroskop). Nach jedem Reinigungsschritt wurden die Zahnproben luftgetrocknet.

Die menschlichen Zahnproben wurden zunächst mechanisch mit *high-quality* (HQ)-Wasser geputzt und anschließend im Ultraschallbad gereinigt. In einem zweiten Schritt wurden die Zähne mit Isopropanol im Ultraschallbad aufgereinigt. Die menschlichen Zähne wurden gemeinsam mit einem Mitarbeiter des Naturhistorischen Museums Wien (Bernhard Weinzinger, Anthropologische Abteilung) mittels einer Säge (IsoMet) von der Zahnkrone zur Zahnwurzel halbiert. Die zu beprobende Zahnhälfte wurde anschließend im Ultraschallbad mit vorgereinigtem Wasser (HQ-Wasser) gereinigt. Die zu beprobende Oberfläche wurde mit einem Diamantbohrer (Dremel) vorgereinigt und abermals einer Reinigung im Ultraschallbad mit vorgereinigtem Wasser unterzogen. Bei der abschließenden Beprobung wurden zwischen 6,9 und 18,2 mg Enamel und Pulpadentin von derselben Zahnhälfte mit Hilfe des Diamantbohrers entnommen. Zwischen der Enamel- und Dentinbeprobung wurde eine erneute Reinigung der Zähne mit HQ-Wasser im Ultraschallbad durchgeführt.

Die Tierzähne und Muscheln wurden mechanisch mit HQ-Wasser geputzt und anschließend im Ultraschallbad gereinigt. Nach der Vorreinigung der zu beprobenden Oberfläche mit Hilfe des Diamantbohrers wurden die Zähne mit Isopropanol im Ultraschallbad aufgereinigt. In der abschließenden Beprobung wurden zwischen 7,0 und 13,1 mg Enamel und Dentin bzw. Muschelschale mit Hilfe des Diamantbohrers entnommen. Sofern möglich, wurde Pulpadentin oder Pulpa-nahes Dentin beprobt. Im Fall der Muscheln wurden kleinere, bereits vorhandene Fragmente zur Beprobung herangezogen. Alle folgenden Bearbeitungsschritte wurden wie oben für die Zähne beschrieben durchgeführt.

Die Zahn- und Muschelproben wurden nun in vorgereinigte PFA-(Perfluoro-alkoxy)-Gefäße eingewogen und mit 2 ml doppelt subgeboilter Salpetersäure (w = 65 %) und 1 ml Wasserstoffperoxid (w = 30 %) bei 150° C auf einer Heizplatte für 2,5 Stunden aufgeschlossen. Anschließend wurde die aufgeschlossene Lösung mit Salpetersäure (8 mol L-1) auf ca. 10 g aufgefüllt.

5.2.2.2 Umweltproben

Die Wasserproben wurden filtriert und anschließend zur Stabilisierung mit doppelt subgeboilter Salpetersäure (w = 65 %) auf 2 % angesäuert.

Die rezenten sowie archäologischen Bodenproben wurden getrocknet und anschließend gesiebt. Das bioverfügbare Strontium wurde im folgenden Schritt mittels 1 mol L^{-1} Ammoniumnitrat aus der < 2-mm-Fraktion extrahiert.

Die archäologischen Stroh- und Holzproben wurden eingewogen und mit 5 ml doppelt subgeboilter Salpetersäure (w = 65 %) und 1 ml Wasserstoffperoxid (w = 30 %) bei 600 W für ca. 2,5 Stunden (inkl. Abkühlphase) in der Mikrowelle aufgeschlossen.

5.2.3 Probenanalyse

Die Multi-Element-Analyse zur Bestimmung des Strontiumgehalts aller Proben erfolgte mittels induktiv gekoppelter Plasma Massenspektrometrie (ICP-MS, NexION 350D, Perkin Elmer) unter Verwendung einer 9-Punkt-Kalibrierung (Multi VI Standardlösung, Merck). Die Strontium-Isotopenverhältnisse wurden mittels Multikollektor-ICP-MS HR-MCICP-M (Nu Plasma, Nu Instruments) gemessen, unter Verwendung des Isotopen-zertifizierten Standard NIST SRM 987 zur Kalibrierung. Die Messungen erfolgten anhand validierter Messprotokolle.[903]

Vor der Messung der Strontium-Isotopenverhältnisse der Zahn-, Muschel-, Holz- und Strohproben fand eine manuelle Strontium/Matrix-Trennung mit Hilfe eines Strontium-spezifischen Ionentauscherharzes (Sr Spec, TrisKem International, Bruz, France) statt. Die Trennung erfolgte anhand validierter Trennprotokolle.[904]

Vor der Messung der Strontium-Isotopenverhältnisse der Boden- und Wasserproben fand eine automatisierte Strontium/Matrix-Trennung mit Hilfe eines prepFAST-MC™ (Elemental Scientific, Omaha, USA) unter Verwendung des DGA-Ionentauscherharzes (TrisKem International, Bruz, France) nach dem Protokoll von Retzmann et al.[905] statt.

5.2.4 Datenauswertung

Die Datenauswertungen sowie die Messunsicherheitsberechnungen aller analysierten Proben erfolgten nach etablierten Protokollen.[906]

Evaluierung der Isotopendaten der rezenten lokalen Umweltproben

Der rezente lokale Bodensignatur-Bereich wie auch der rezente lokale Wassersignatur-Bereich wurden aus dem Mittelwert plus und minus der zweifachen Standardabwei-

903. Prohaska et al. 2006. – Irrgeher et al. 2012.
904. Swoboda et al. 2008.
905. Retzmann et al. 2017.
906. Irrgeher et al. 2012. – Irrgeher et al. 2013. – Horsky, Irrgeher, Prohaska 2016.

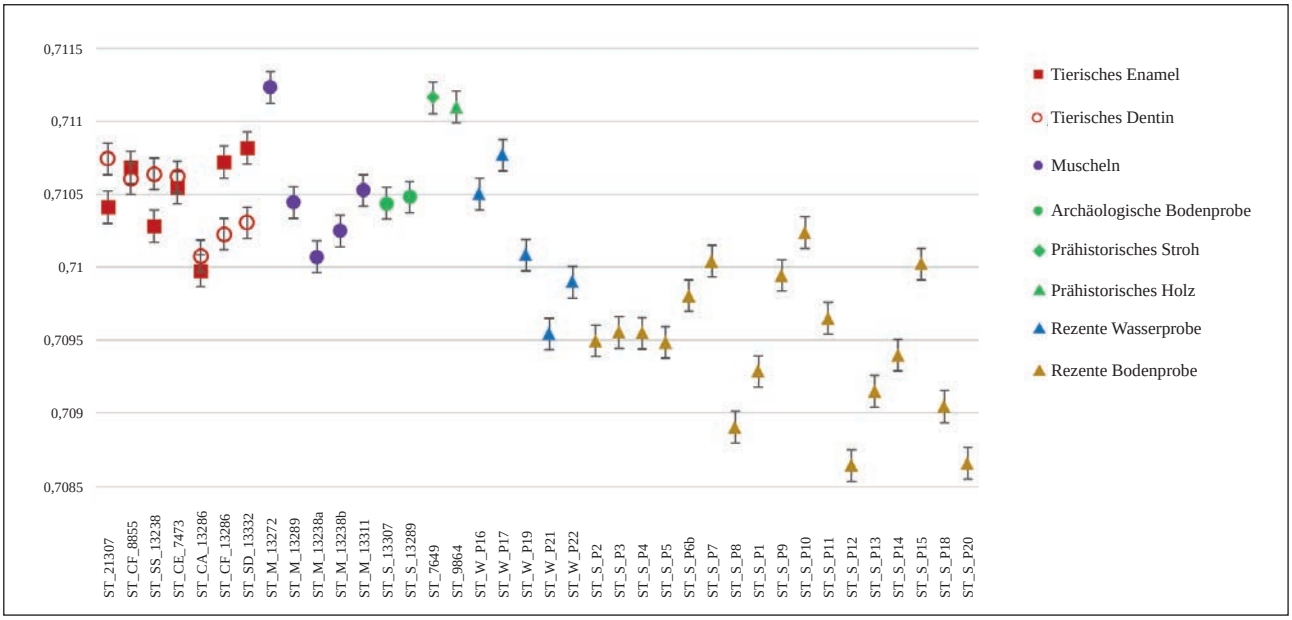


Abb. 211: $^{87}Sr/^{86}Sr$ Isotopie der Tierzähne, Muscheln, archäologischen Umweltproben sowie der rezenten Wasser- und Bodenproben (U, $k = 2$).

chung aller entsprechend analysierten Proben ermittelt. Die Bodenprobe ST_S_P6 wurde nicht in die Berechnung des lokalen Bodensignatur-Bereichs miteinbezogen, da sich die Isotopie signifikant von allen weiteren Bodenproben unterscheidet, die in der Umgebung geworben wurden. Die Ergebnisse legen die Vermutung nahe, dass bei der Beprobung sekundär deponiertes Material verwendet wurde.

Zur Validierung dieser Proxies für das lokale Isotopensignal wurden die archäologischen Tierproben den rezenten Umweltsignaturen gegenübergestellt.

Erstellung einer rezenten Isotopenlandkarte („Isoscape") (Abb. 212)
Die generierten Strontium-Isotopendaten der rezenten lokalen Boden- und Wasserproben wurden mittels der Software ArcGIS und auf Basis existierender geologischer Karten zu einer Isotopenkarte zusammengestellt.

Evaluierung der Strontium-Isotopenverhältnisse in den menschlichen Zahnproben/Beschreibung der Gruben
Es erfolgte ein Vergleich zwischen den einzelnen Isotopendaten von Enamel (Signatur der Kindheit) und Dentin (Signatur späterer Lebensjahre) innerhalb eines Individuums. Zur Bestimmung der Anteile an autochthonen (lokalen) und allochthonen (nicht-lokalen) Individuen innerhalb der beiden Gruben wurden die Isotopendaten der menschlichen Funde mit dem rezenten lokalen Bodensignatur-Bereich, dem rezenten lokalen Wassersignatur-Bereich sowie den archäologischen Tier- und Umweltproben (Boden, Holz und Stroh) verglichen.

5.3 Ergebnisse

Strontium-Isotopenverhältnisse der Umweltproben der Ausgrabungsstätte Stillfried sowie der Umgebung
Abb. 211 zeigt die Strontium-Isotopenverhältnisse aller im Bereich der Ausgrabungsstätte Stillfried und ihrer Umgebung analysierten rezenten Umweltproben sowie die archäologischen Tier- und Umweltproben. Die Isotopensignatur des Wassers und des bioverfügbaren Strontium in den Böden reflektiert die örtlichen Strontium-Isotopensignatur-Bereiche der Siedlung Stillfried. Wie Abb. 211 zu entnehmen ist, überlappen die Strontium-Isotopenverhältnisse aller beprobten Tierzähne und Muscheln innerhalb der Gesamtmessunsicherheiten mit den rezenten Boden- und Wassersignatur-Bereichen. Dies belegt, dass diese Umweltproben ein geeigneter Proxy für die Ermittlung der lokalen Strontium-Isotopensignatur von der Siedlung Stillfried darstellt. Nichtsdestotrotz unterscheiden sich die Werte von Enamel und Dentin innerhalb der tierischen Individuen FNrn. St. 13285 und St. 13332 signifikant voneinander. Im Fall der archäologischen Umweltproben überlappen die Strontium-Isotopenverhältnisse der Bodenproben FNrn. St. 13307 und St. 13289 innerhalb der Gesamtmessunsicherheit mit der Obergrenze der rezenten lokalen Bodensignatur. Die Strontium-Isotopenverhältnisse des Strohs (FNr. St. 7649) und des Holzes (FNr. St. 9864) überlappen innerhalb der Gesamtmessunsicherheit mit dem rezenten lokalen Wassersignatur-Bereich.

Die Daten sind den Tabellen Abb. 214–219 zu entnehmen.

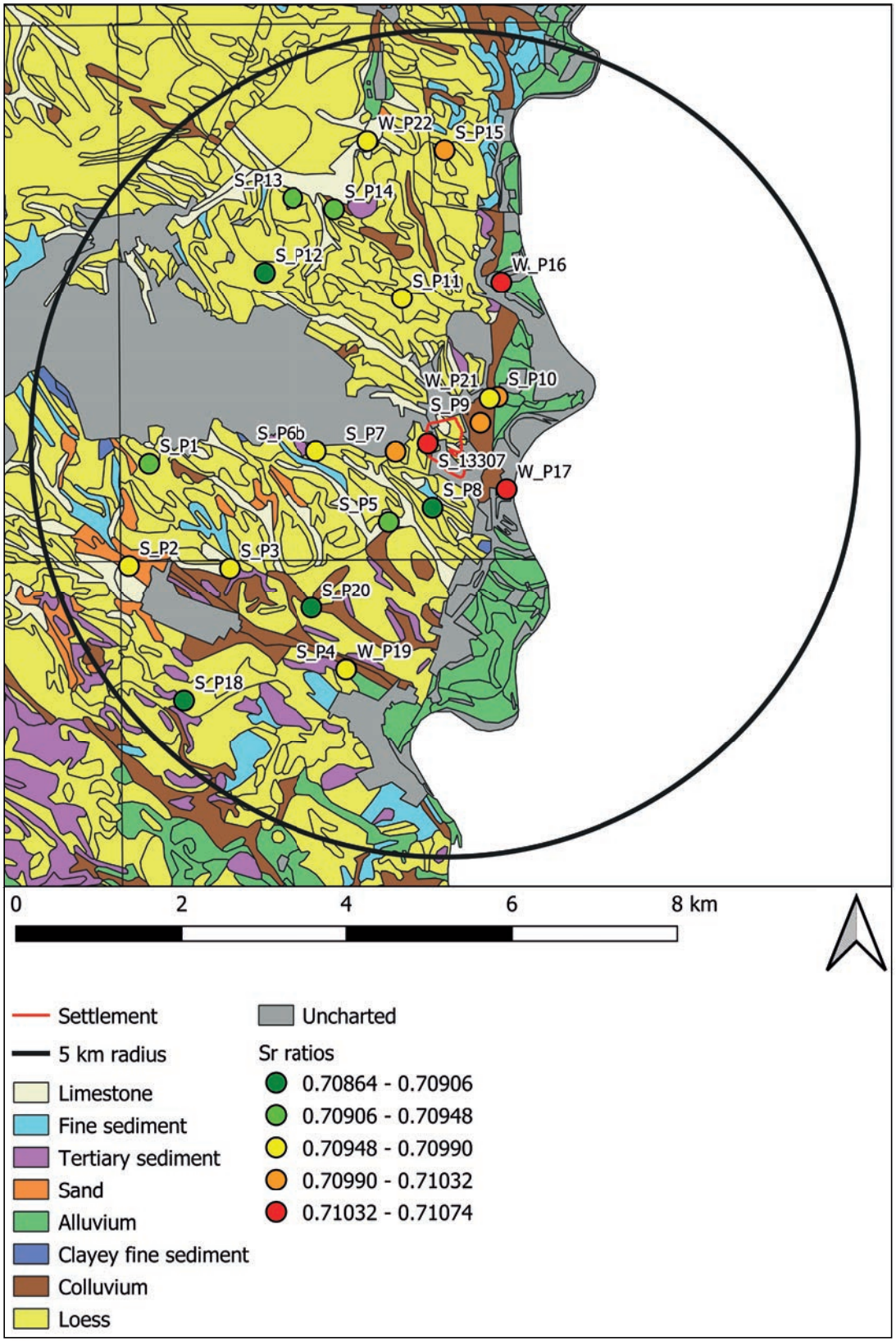


Abb. 212: Isotopenlandkarte der rezenten Boden- (S) und Wasserproben (W) mit Stillfried in der Mitte (rot umrahmt): *Limestone*/Kalk. – *Fine sediment*/Feines Sediment. – *Tertiary sediment*/Tertiärsediment. – *Alluvium*/Schwemmmaterial. – *Clayey fine sediment*/Toniges Feinmaterial. – *Colluvium*/Kolluvium (vorwiegend aus durch Anschwemmung umgelagertem Bodenmaterial entstanden). – *Loess*/Löß (erstellt von Felix Köstelbauer, siehe Retzmann et al. 2020, Abb. 11).

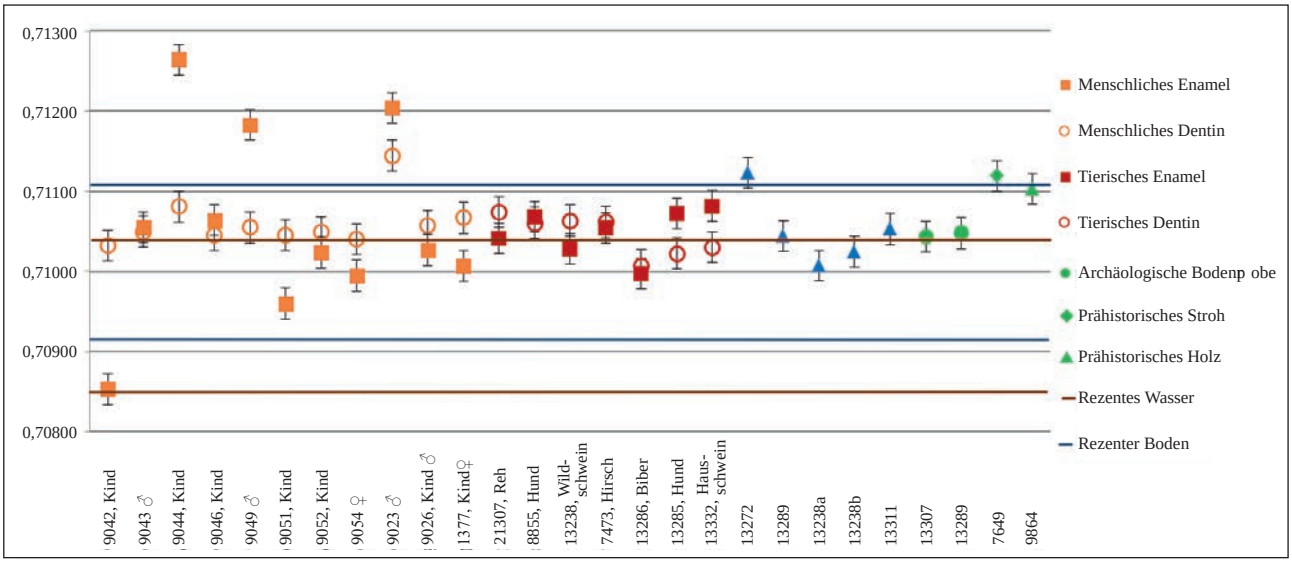


Abb. 213: Ergebnisse der Strontiumisotopie: blaue Linien repräsentieren den Bereich der lokalen Wasserisotopie; braune Linien repräsentieren den Bereich der lokalen Bodenisotopie (U, $k = 2$).

Isotopenlandkarte „Isoscape" Stillfried (Abb. 212)
Basierend auf den Strontium-Isotopenverhältnissen in den Boden- und Wasserproben aus der Umgebung der Ausgrabung Stillfried wurde – auf der Grundlage von Standardprotokollen – eine Isotopenlandkarte erstellt.

Unterschiede zwischen dem Bereich der Bodensignatur und jenem des Wassers ergeben sich aufgrund der in Abb. 212 ersichtlichen Verteilung der Isotopiewerte. Jene Proben, die im näheren Umkreis der Fundstelle genommen wurden, weisen höhere Strontium-Isotopenverhältnisse auf als jene, die weiter von der Fundstelle entfernt sind. Dies führt zu niedrigeren Werten im Bereich der Bodensignatur.

Die Daten sind den Tabellen Abb. 214–219 zu entnehmen.

Strontium-Isotopenverhältnisse der menschlichen Zahnproben aus Stillfried (Gruben V0841, V1141, V1133) und der rezenten Umweltproben sowie der archäologischen Tier- und Umweltproben
Abb. 213 zeigt die Strontium-Isotopenverhältnisse analysierter menschlicher und tierischer Zahnproben sowie archäologischer Muscheln und Umweltproben (Boden, Holz, Stroh) im Vergleich zu dem rezenten lokalen Boden- und Wassersignatur-Bereich.

Alle Strontium-Isotopenverhältnisse der menschlichen Dentinproben (mit Ausnahme von Ind. 9023) überlappen innerhalb der Gesamtmessunsicherheit mit den lokalen Umweltsignaturen. Diese Beobachtung deckt sich mit den als lokal angenommenen Tierzähnen und unterstützt daher das bestimmte autochthone Strontium-Isotopensignal.

Die Daten sind den Tabellen Abb. 214–219 zu entnehmen.

Einige der in Abb. 213 ersichtlichen menschlichen Individuen weisen Werte außerhalb der lokalen Bereiche auf. So zeigt Individuum 9023 sowohl im Zahnschmelz (Enamel) als auch im Zahnknochen (Dentin) von der Isotopie des Boden- und Wasserbereichs abweichende Werte.

Die $^{87}Sr/^{86}Sr$-Verhältnisse im Enamel der Individuen 9044 sowie 9049 liegen außerhalb der lokalen Bereiche. Die Strontium-Isotopie des Enamels von Individuum 9042 liegt an der Untergrenze des lokalen Bodenbereichs, im Bereich des Wassers liegt dieses Individuum nicht mehr. Außerdem ist die Strontium-Isotopie dieses Individuums auffallend niedriger als die Isotopie der übrigen untersuchten menschlichen Individuen.

Auffällige Unterschiede hinsichtlich der Strontium-Isotopie in Enamel und Dentin weisen auch die Individuen 9051, 9054 sowie 1377 auf. Diese befinden sich allerdings innerhalb des lokalen Wasserbereichs. Individuum 9043 weist fast vollkommen überlappende $^{87}Sr/^{86}Sr$-Verhältnisse in Enamel und Dentin auf.[907]

5.4 Ergebnisüberblick

- Die Strontiumwerte der rezenten Wasser- und bioverfügbaren Bodenproben reflektieren das lokale Signal der Siedlung.

907. Retzmann et al. 2020, bes. 74.

- Die Tier- und Muschelproben befinden sich innerhalb dieses Bereichs und zeigen, dass die rezenten Umweltproben ein guter Proxy für das lokale Signal sind.
- Die menschlichen Dentinproben (außer Individuum 9023) liegen innerhalb des lokalen Bereichs und korrespondieren mit den Tierproben. Dies unterstützt das bestimmte autochthone Signal.
- Im Fall der menschlichen Enamelproben zeigt sich eine signifikant ausgeprägte Variation:
  - Individuen 9044, 9049 und 9023 zeigen kein autochthones Signal im Enamel. Es handelt sich um Zugezogene. Alle weiteren Individuen sind höchst wahrscheinlich lokaler Herkunft.
  - Individuum 9042 weist im Vergleich zu allen anderen Proben ein signifikant niedrigeres $^{87}Sr/^{86}Sr$-Verhältnis auf.

Proben ID	$^{87}Sr/^{86}Sr$	*U(k=2)*	$U_{rel}(k=2)$	Sr mass. [µg/g]	*U (k=2)*	$U_{rel}(k=2)$
E_ST_T_ 9042	0,70853	0,00019	0,027 %	199	13	15 %
D_ST_T_9042	0,71032	0,00019	0,027 %	379	25	15 %
E_ST_T_9043	0,71055	0,00019	0,027 %	99	7	15 %
D_ST_T_ 9043	0,71050	0,00019	0,027 %	491	33	15 %
E_ST_T_ 9044	0,71264	0,00019	0,027 %	78	5	15 %
D_ST_T_ 9044	0,71081	0,00019	0,027 %	370	25	15 %
E_ST_T_ 9046	0,71064	0,00019	0,027 %	132	9	15 %
D_ST_T_ 9046	0,71046	0,00019	0,027 %	559	37	15 %
E_ST_T_ 9049	0,71183	0,00019	0,027 %	136	9	15 %
D_ST_T_ 9049	0,71055	0,00019	0,027 %	316	21	15 %
E_ST_T_ 9051	0,70960	0,00019	0,027 %	71	5	15 %
D_ST_T_ 9051	0,71045	0,00019	0,027 %	481	32	15 %
E_ST_T_ 9052	0,71024	0,00019	0,027 %	127	8	15 %
D_ST_T_ 9052	0,71049	0,00019	0,027 %	470	31	15 %
E_ST_T_ 9054	0,70995	0,00019	0,027 %	120	8	15 %
D_ST_T_ 9054	0,71040	0,00019	0,027 %	411	27	15 %
E_ST_T_ 9023	0,71204	0,00019	0,027 %	185	12	15 %
D_ST_T_ 9023	0,71144	0,00019	0,027 %	260	17	15 %
E_ST_T_ 9026	0,71027	0,00019	0,027 %	143	10	15 %
D_ST_T_ 9026	0,71057	0,00019	0,027 %	621	41	15 %
E_ST_T_1377	0,71007	0,00019	0,027 %	113	8	15 %
D_ST_T_1377	0,71067	0,00019	0,027 %	283	19	15 %

Abb. 214: $^{87}Sr/^{86}Sr$ Ergebnisse der menschlichen Zähne. D = Dentin; E = Enamel.

Proben ID	$^{87}Sr/^{86}Sr$	*U(k=2)*	$U_{rel}(k=2)$	Sr mass. [µg/g]	*U (k=2)*	$U_{rel}(k=2)$
E_ST_21307	0,71041	0,00027	0,038 %	233	16	15 %
D_ST_21307	0,71074	0,00027	0,038 %	1067	71	15 %
E_ST_CF_8855	0,71068	0,00027	0,038 %	529	35	15 %
D_ST_CF_8855	0,71061	0,00027	0,038 %	911	61	15 %
E_ST_SS_13238	0,71028	0,00027	0,038 %	272	18	15 %
D_ST_SS_13238	0,71064	0,00027	0,038 %	711	47	15 %
E_ST_CE_7473	0,71054	0,00027	0,038 %	254	17	15 %
D_ST_CE_7473	0,71062	0,00027	0,038 %	765	51	15 %
E_ST_CA_13286	0,70998	0,00036	0,051%	1511	101	15 %
D_ST_CA_13286	0,71008	0,00038	0,054%	862	57	15 %
E_ST_CF_13285	0,71072	0,00027	0,038 %	300	20	15 %
D_ST_CF_13285	0,71023	0,00027	0,038 %	626	42	15 %
E_ST_SD_13332	0,71082	0,00027	0,038 %	250	17	15 %
D_ST_SD_13332	0,71031	0,00027	0,038 %	578	39	15 %

Abb. 215: $^{87}Sr/^{86}Sr$ Ergebnisse der Tierzähne. D = Dentin; E = Enamel.

Proben ID	$^{87}Sr/^{86}Sr$	*U(k=2)*	$U_{rel}(k=2)$	Sr mass. [µg/g]	*U (k=2)*	$U_{rel}(k=2)$
ST_M_13272	0,71123	0,00024	0,034 %	521	35	15 %
ST_M_13289	0,71044	0,00024	0,034 %	306	20	15 %
ST_M_13238a	0,71007	0,00024	0,034 %	662	44	15 %
ST_M_13238b	0,71025	0,00024	0,034 %	379	25	15 %
ST_M_13311	0,71053	0,00024	0,034 %	376	25	15 %

Abb. 216: $^{87}Sr/^{86}Sr$ Ergebnisse der Muscheln.

Proben ID	Probenart	$^{87}Sr/^{86}Sr$	*U(k=2)*	$U_{rel}(k=2)$	Sr mass. [µg/g]	*U (k=2)*	$U_{rel}(k=2)$
ST_S_13307	Boden	0,71044	0,00017	0,024 %	11	1	15 %
ST_S_13289	Boden	0,71048	0,00017	0,024 %	4,1	0,3	15 %
ST_7649	Stroh	0,71116	0,00031	0,043 %	114	8	15 %
ST_9864	Holz	0,71110	0,00035	0,049 %	149	10	15 %

Abb. 217: $^{87}Sr/^{86}Sr$ Ergebnisse der archäologischen Umweltproben.

Proben ID	$^{87}Sr/^{86}Sr$	*U(k=2)*	$U_{rel}(k=2)$	Sr mass. [µg/g]	*U (k=2)*	$U_{rel}(k=2)$
ST_S_P1	0,70929	0,00034	0,048 %	5,43	0,36	15 %
ST_S_P2	0,70949	0,00029	0,041 %	2,57	0,17	15 %
ST_S_P3	0,70955	0,00029	0,041 %	1,91	0,13	15 %
ST_S_P4	0,70955	0,00029	0,041 %	5,92	0,39	15 %
ST_S_P5	0,70948	0,00029	0,041 %	3,79	0,25	15 %
ST_S_P6	0,71100	0,00036	0,051 %	7,81	0,52	15 %
ST_S_P6b	0,70980	0,00029	0,041 %	3,36	0,23	15 %
ST_S_P7	0,71004	0,00029	0,041 %	3,36	0,23	15 %
ST_S_P8	0,70890	0,00029	0,041 %	3,69	0,25	15 %
ST_S_P9	0,70994	0,00017	0,024 %	5,17	0,35	15 %
ST_S_P10	0,71024	0,00017	0,024 %	6,02	0,40	15 %
ST_S_P11	0,70965	0,00017	0,024 %	5,57	0,37	15 %
ST_S_P12	0,70864	0,00017	0,024 %	7,43	0,49	15 %
ST_S_P13	0,70915	0,00017	0,024 %	3,27	0,22	15 %
ST_S_P14	0,70940	0,00017	0,024 %	5,46	0,37	15 %
ST_S_P15	0,71002	0,00017	0,024 %	4,97	0,33	15 %
ST_S_P18	0,70905	0,00017	0,024 %	2,09	0,14	15 %
ST_S_P20	0,70866	0,00017	0,024 %	5,23	0,35	15 %

Abb. 218: $^{87}Sr/^{86}Sr$ Ergebnisse der rezenten Bodenproben.

Proben ID	$^{87}Sr/^{86}Sr$	*U(k=2)*	$U_{rel}(k=2)$	Sr mass. [µg/g]	*U (k=2)*	$U_{rel}(k=2)$
ST_W_P16	0,71050	0,00017	0,023 %	0,362	0,024	15 %
ST_W_P17	0,71077	0,00017	0,023 %	0,339	0,023	15 %
ST_W_P19	0,71008	0,00017	0,023 %	1,097	0,073	15 %
ST_W_P21	0,70954	0,00017	0,023 %	0,255	0,017	15 %
ST_W_P22	0,70990	0,00017	0,023 %	0,270	0,018	15 %

Abb. 219: $^{87}Sr/^{86}Sr$ Ergebnisse der rezenten Wasserproben.

6. Bevorratung in Gruben – eine Einführung

Wir gehen davon aus, dass die kegelstumpfförmigen Gruben auf der Anlage von Stillfried der Speicherung von Getreide dienten. Es gibt allerdings verschiedene Möglichkeiten, Gruben zur Bevorratung von Lebensmittel zu nutzen. Auch ist vorstellbar, dass Gruben sekundär eine anderweitige Nutzung erfuhren, z. B. wenn sie aufgrund einer Beschädigung nicht mehr als Getreidespeicher verwendet werden konnten. Im Folgenden wird ein Überblick über Speichermethoden in Gruben gegeben (Abb. 220).

Will man Lebensmittel möglichst lange genießbar aufbewahren, müssen die richtigen Verfahren angewandt werden, um ein Verderben zu verhindern. In allen frischen pflanzlichen oder tierischen Lebensmitteln laufen eine Vielzahl erwünschter und unerwünschter Prozesse ab. Meist sorgen Mikroorganismen dafür, dass eiweißhältige Lebensmittel faulen, zuckerhältige Stoffe gären und säuern, Fette ranzig werden und fast alle Lebensmittel zu schimmeln beginnen. Noch gefährlicher sind Inhaltsstoffe, die von menschlichen Sinnesorganen nicht erkannt werden, wie das Vorhandensein von Staphylokokken, Botulinus-Bazillen, Schimmelpilzgiften und abgebauten Eiweißbestandteilen, sogenannten Aminen, aus denen Bakterien Giftstoffe erzeugen können.[908]

Unterirdische Vorratshaltung bietet auf unterschiedliche Weise Bedingungen, die sich auf eine lange Aufbewahrung diverser Lebensmittel vorteilhaft auswirken. So ist es nicht erstaunlich, dass die meisten Kulturen der Erde Techniken entwickelten, Nahrungsmittel in Gruben zu bevorraten. Dabei nutzen sie die Vorteile einer kostengünstigen Speichermöglichkeit, die gleichzeitig die wertvollen Lebensmittel vor Überfällen schützen konnte. Dagegen waren im Wohnhaus oder in einem Speicherbau gelagerte Nahrungsmittel unterschiedlichen Bedrohungen unmittelbar ausgesetzt. Besonders die in vergangenen Zeiten ständig gegenwärtige Feuergefahr, die zum Existenzverlust einer Hausgemeinschaft führen konnte, war durch unterirdische Vorratshaltung gebannt.

Größe und Form einer Grube können Hinweise darauf geben, auf welche Art Vorräte darin gelagert wurden. In anderen Worten schafft die Grubengestalt spezielle Bedingungen, die es gestattet, darin bestimmte Lebensmittel aufzubewahren.

6.1 Erdkeller

Unterirdische Lagerräume innerhalb oder außerhalb von Gebäuden eignen sich für die Lagerung einer Vielzahl von Lebensmitteln. Sowohl im Winter als auch im Sommer bleiben die Temperaturen konstant niedrig bei wenigen Plusgraden. Eventuelle, leichte Schwankungen zwischen 2 und 10 °C wirken sich nicht nachteilig auf die Speicherqualität aus.[909] Vor allem für Wurzelgemüse, aber auch für Obst ist neben Dunkelheit eine hohe Luftfeuchtigkeit von 90 % wichtig.[910] Blatt- und Zwiebelgemüse reicht dagegen eine Luftfeuchte von 70 %.[911] Zu trockene Bedingungen führen zum Welken von Blattgemüse sowie Weichwerden und Schrumpeln von Obst und Wurzelgemüse. Erdkeller mit

908. Rust 1995, 20–21.

909. Bustorf-Hirsch 2009, 12.

910. Rust 1995, 39. – Bustorf-Hirsch 2009, 12. – Funke 2013, 295.

911. Funke 2013, 295.

Bedingungen	kühl, hohe Luftfeuchtigkeit, Luftzugang, frostfrei	kühl, geringe Feuchtigkeit, frostfrei	feucht, unter Luftabschluss, frostfrei	trocken, unter Luftabschluss, frostfrei
Speicherform	Erdkeller	Erdmiete	Gärgrube	Speichergrube
Lebensmittel	Obst, Gemüse	Wurzelgemüse, Obst	kohlenhydratreiche Lebensmittel	v. a. Getreide, aber auch Eicheln, Nüsse
Vorteile	einfache und kostengünstige Bauweise, Zugang jederzeit möglich	einfache und kostengünstige Bauweise, Zugang jederzeit möglich	lange Konservierung möglich, Zugang jederzeit möglich, Schutz vor Schädlingen	sehr lange Konservierung möglich, Schutz vor Schädlingen
Nachteile	Schädlinge können eindringen	Schädlinge können eindringen	vergleichsweise aufwändige Bauweise	keine Teilentnahme möglich

Abb. 220: Übersicht über die vier Arten der unterirdischen Vorratshaltung.

gestampften Lehmböden geben ständig Feuchtigkeit an die Luft im Inneren ab und eignen sich daher ideal zur Vorratshaltung.[912] Um Frostfreiheit zu garantieren, sollte der unterirdische Speicherraum eine gewisse Tiefe haben. Idealerweise liegt der Standort im Schatten, wobei eine Nordhanglage perfekt ist.[913] Der Keller darf jedoch nicht vollständig abgedichtet werden; ein Luftaustausch muss gewährleistet sein.[914] Da sich bestimmte Obst- und Gemüsesorten gegenseitig ungünstig beeinflussen – so geben etwa Äpfel und Birnen Reifegase ab, die anderes Obst und Gemüse schneller reifen lassen, indem sie ihren Stoffwechsel beschleunigen – sollten sie getrennt voneinander aufbewahrt werden.[915] Für tierische Produkte ist ein Erdkeller zu feucht.[916]

In der Archäologie können einige Befunde, hauptsächlich innerhalb von Häusern, als Erdkeller gedeutet werden. So befanden sich etwa in den eisenzeitlichen Siedlungen Ochtendung (Rheinland-Pfalz)[917] und Endingen (Baden-Württemberg)[918] in mehreren Grubenhäusern kleine Vertiefungen. Eine kellerartige Grube im Inneren eines jungbronzezeitlichen Hauses von Dolný Kubín-Medzihradné (Slowakei) enthielt Erbsen und Saubohnen, deren Lagerung in diesem Milieu möglich gewesen war.[919] Im Gegensatz zu Speichergruben, die eine hermetische Abdichtung erforderten und sich daher nach oben verjüngen, sind Erdkeller an keine spezielle Form gebunden. Dies erschwert eine Identifikation urgeschichtlicher Exemplare außerhalb von Gebäuden. Historische und ethnographische Quellen zeigen eine Vielfalt an morphologischen Ausprägungen und speziellen Anwendungsmöglichkeiten. In Jordanien etwa hängte man die Vorräte zum Schutz vor Nässe und Nagetieren mit einem Stock oder einer Platte in die Grube.[920] Der Ethnologe Ludvík Kunz berichtet, dass Getreidespeichergruben im neuzeitlichen Osteuropa, die aufgrund von Beschädigung des Grubenhalses nicht mehr hermetisch abgedichtet werden konnten, in Folge als Keller für Wurzelkulturen gedient haben. Erdkeller und Getreidegruben seien laut Kunz ohnehin ähnlich in Lage und Aufbau. Das Ausbrennen in Bulgarien zeugt davon, dass auch deren Behandlung vergleichbar mit Korngruben sein konnte.[921] Somit verschwimmen die Grenzen zwischen luftdicht verschlossenen Speichergruben für eine langfristige Lagerung und Erdkeller, in denen Lebensmittel über mehrere Wochen und Monate aufbewahrt werden konnten.

6.2 Erdmieten

Erdmieten sind vergleichsweise einfache Einrichtungen, um größere Mengen an Obst und Gemüse über den Winter zu bevorraten. Die Anforderungen an den Standort sind gering. Neben der Notwendigkeit, übermäßige Feuchtigkeit sowohl von oben als auch von unten abzuschirmen, ist ein Platz in Hausnähe und im Schatten von Vorteil. Da der Inhalt vor Frost geschützt werden muss, sollte die Miete (je nach Region) bestenfalls mindestens 80 cm tief gegraben werden. Die Wände können dabei mit Holzbrettern oder Steinen befestigt werden. Nach Feststampfen des Bodens wird Sand oder Kies zur Verbesserung der Wasserdurchlässigkeit eingestreut. Das Obst oder Gemüse wird in Lagen von Stroh oder Laub eingebracht. Auf die oberste Strohschicht folgt eine dicke Erdschicht, die mit etwas Sand vermischt sein sollte, um Durchnässung und Verklumpung zu verhindern. Für Entlüftung kann eine Handvoll Stroh sorgen, die aus der Erdabdeckung ragt. Dieser Aufbau ermöglicht auch bei strengem Frost eine leichte Erreichbarkeit des Lagergutes,

912. Bustorf-Hirsch 2009, 14.
913. Funke 2013, 298–299.
914. Bustorf-Hirsch 2009, 12–14. – Funke 2013, 300.
915. Bustorf-Hirsch 2009, 14, 21, 26. – Funke 2013, 295.
916. Rust 1995, 39.
917. Tischler 1951, 59–61.
918. Eckerle, Stoll 1940, 20.
919. Čaplovič 1975, 42–43.
920. Ayoub 1985, 163 und Abb. 5.
921. Kunz 2004, 143–147.

da die Erdschicht locker bleibt und nicht festfriert. Mit zusätzlichen Abdeckungen wie Holzbrettern kann das Eindringen von Regen und Schmelzwasser verhindert werden. Die eingelagerten Lebensmittel bleiben aufgrund gleichmäßiger Temperaturen und Feuchtigkeitsverhältnisse bis ins nächste Frühjahr frisch. Allerdings können Nagetiere Schäden anrichten. Für diese Art der Bevorratung eignet sich Wurzelgemüse, aber auch Kohl, Kraut und Obst. Die Lebensmittel sollten nicht gewaschen werden, da sie sonst schneller faulen. Außerdem hemmt eine dünne Erdschicht auf dem Wurzelgemüse die Verdunstung.[922]

Der archäologische Nachweis solcher Erdmieten ist aufgrund der meist nur geringen Eindringtiefe in den Boden schwer zu erbringen. Es gibt außerdem keine zwingend vorgegebene Grundform und abgesehen von der möglichen Verwendung von Sand und Steinen vergehen die Materialien schnell.

Historisch sind diese Erdmieten dagegen gut belegt. In der „Oeconomischen Encyclopädie" weiß Johann Georg Krünitz zu berichten, dass Möhren „in der Scheure mit Sand verpackt, oder mit Stroh in Fiemen gebracht, wie die Rüben, oder in die Erde gegraben [werden]. In letzterem Falle dürfen aber die Gruben nicht tief seyn, und müssen durch ein auf die Möhren gesetztes und aus der Erde herausstehendes Schof Stroh etwas Luft behalten, sonst faulen sie."[923]

6.3 Gärgruben

Die Durchführung von Milchsäuregärung zum Zweck der Konservierung ist vor allem in großen Steingut- oder Eichenholzbehältern bekannt. Aus der neueren Geschichte wird zudem von Gärgruben berichtet.[924] Die ablaufenden Vorgänge unterscheiden sich dabei nicht.

Milchsäuregärung ist eine der einfachsten und ältesten Methoden, Lebensmittel haltbar zu machen. Das Verfahren ist ohne besondere Hilfsmittel durchzuführen. Da die auf diese Weise haltbar gemachten Lebensmittel roh bleiben, büßen sie keine Vitamine, Enzyme und sonstigen wertvollen Inhaltstoffe ein. Indem Milchsäurebakterien die Tätigkeit von fäulniserregenden Bakterien verhindern, tragen sie zur Konservierung der Lebensmittel bei, die dann mehrere Monate genießbar bleiben. Auf diese Weise haltbar gemacht werden können alle kohlenhydratreichen Nahrungsmittel. Bis auf weiches Blattgemüse wie Spinat oder Salat eignen sich fast alle Gemüsesorten, aber auch andere Lebensmittel wie Pilze und Gewürzkräuter. Es ist auch möglich, sie in Mischungen einzulegen. Es empfiehlt sich, nur späte Herbstsorten zu verwenden, da Frühgemüse sehr schnell gärt, weich wird und nicht so lange haltbar bleibt. Zudem liefert der Sommer ein ausreichendes und vielfältiges Angebot an Frischkost, milchsaure Lebensmittel werden deshalb meist nicht benötigt.[925] Aus ethnographischen Quellen ist zudem bekannt, dass Fische in Gruben gesäuert wurden.[926]

Entsprechend der vor allem in Niederösterreich, dem Burgenland und der Südoststeiermark noch bis ins 20. Jahrhundert geläufigen Praxis wurden am Feld abgeschnittene Krautköpfe in einem großen Kessel für etwa zehn Minuten gekocht und anschließend einen halben Tag im Freien zum Auskühlen nebeneinander aufgelegt. Es folgte das Einlegen bzw. Eintreten des Krautes in die Krautgrube. Diese Grube wird als ein 60–85 cm breites, 2–2,5 m tiefes, zylindrisches Erdloch beschrieben, das mit Holzpfählen getäfelt und mit Stroh innen verkleidet war. Mit dem Strunk nach oben legte und trat man die Krautköpfe schichtweise ein, bis die Grube auf etwa 1 m unter dem Rand gefüllt war. Anschließend bedeckte man das Kraut mit Stroh, Stofflumpen und Brettern sowie obenauf mit Steinen. Nun wurde so viel Wasser hineingeschüttet, bis die Steine völlig bedeckt waren. Bis zu fünf Jahre lang konnte das Kraut auf diese Weise konserviert werden. Die Grube musste bei Entnahme nicht vollständig geleert werden, wie es bei Speichergruben mit Getreide der Fall ist. Nahm man Kraut heraus, wurden die Steine, Bretter und das Stroh entfernt, Schaum und Wasser abgeschöpft und abschließend das Kraut wieder bedeckt und Wasser nachgegossen. Zur Verarbeitung wurden den Krautköpfen die äußeren Blätter entfernt, ehe man sie klein schnitt und verzehrte. Um die Inhaltsstoffe und Vitamine nicht zu verlieren, empfiehlt es sich, das Kraut roh zu essen. Es gibt jedoch auch Rezepte, wonach es bis zu vier Stunden im Wasser gekocht werden sollte. Zur damaligen Zeit galt das auf diese Weise haltbar gemachte Kraut als eines der wichtigsten pflanzlichen Grundnahrungsmittel überhaupt.[927]

Dem Kenntnisstand der Autoren nach wurden derartige Gruben archäologisch bislang noch nicht als solche nachgewiesen. Dies kommt vermutlich auch daher, dass diese Art der Bevorratung heute kaum bekannt ist. Senkrechte

922. Bustorf-Hirsch 2009, 17. – Funke 2013, 300–301.

923. Krünitz 1803, 732.

924. Froihofer 2010, 187–190. – Vgl. auch Zinnow 1842, 55: das Gedicht „Der Krieg mit dem Winter" von Hans Sachs 1612: „Bald flöhnet man ein die gruben Kraut, bayrisch, gelb und weiße ruben". – Krauss 1888, 305.

925. Rust 1995, 161–164. – Teml 2003, 43–44. – Bustorf-Hirsch 2009, 52–63. – Funke 2013, 283–285.

926. Eichholtz 1960, 13.

927. Maier-Bruck 1981, 165–166, 383.

Vertiefungen werden üblicherweise als Zisternen oder Brunnen interpretiert. Überreste von Gärgruben können ähnliche Spuren im Boden hinterlassen.

Aus Schriftquellen sind Gärgruben mindestens seit der frühen Neuzeit bekannt.[928] Milchsäuregärung an sich ist anhand schriftlicher Belege noch früher nachzuweisen. So beschreibt der römische Gelehrte Plinius der Ältere, wie Kohl auf langen Seereisen haltbar gemacht werden könne. Nachdem man den Kohl abgeschnitten hat, solle man ihn in möglichst kurz vorher ausgetrocknete Ölkrüge stecken und diese luftdicht verschließen. Wenn man ihn mit Seegras und zerriebenem Natron versetzt, so viel drei Finger fassen können, komme er schneller zur „Reifung".[929]

Dass Blattgemüse und Früchte in Gruben einem Gärungsprozess unterzogen werden können, ist von vielen Kulturen der Welt unabhängig voneinander entwickelt und betrieben worden.[930] Vorstellbar ist, dass diese Technik durch Zufall entdeckt wurde. Wenn man krautartige Pflanzen auf einen Haufen wirft und fest zupresst, kann im Inneren ein Gärprozess ablaufen.[931] Bemerkt man dies und erkennt den Nährwert, ist es wohl nur ein kleiner Schritt, das Kraut in Gruben zu legen und diese abzudecken.

6.4 Speichergruben

Speichergruben werden genutzt, um vor allem Getreide über längere Zeit zu konservieren (Abb. 221). Um dieses Ziel zu erreichen, ist es notwendig, einen hermetisch abgedichteten Raum zu schaffen. Zwischen Speichergrube und Umwelt sollte kein Luftaustausch möglich sein. Entscheidend ist es, zu hohe Feuchtigkeit im Inneren der Grube zu vermeiden.[932] Neben archäologischen Befunden geben auch historische Schriftquellen aus Zentraleuropa, insbesondere Schriften über Länder Osteuropas wie aus Ungarn und der Slowakei, Informationen zur Anlage solcher Getreidespeichergruben und zu den Absichten der Erbauer. Noch zu Beginn des 20. Jahrhunderts wählten Menschen in einigen Regionen Europas diese Technik der Vorratshaltung. Da die Gruben allein durch menschliche Arbeitskraft und meist ohne Bauelemente wie statische Verstärkungen errichtet werden konnten, stellen sie eine vergleichsweise günstige Alternative zu oberirdischen Speichern dar.[933] Auch der Schutzfaktor erwies sich meist als ausschlaggebend. Neben der gebannten Feuergefahr konnten die wertvollen Grubeninhalte (das Getreide) sehr einfach vor Dieben oder plündernden Soldaten versteckt werden. Wollte man die Gruben zusätzlich tarnen, wurden Felder darüber bestellt oder mit Stroh und sogar Abfällen und Mist abgedeckt.[934] Eine trockene Atmosphäre bildet den Grundstock der Speicherung. Zusätzlich wirkt sich der während der Speicherung gebildete, erhöhte Kohlendioxidgehalt im Inneren der Grube vorteilhaft aus, wenn es darum geht, das Getreide vor Schädlingen wie Insekten zu schützen.[935] Anzumerken ist, dass die Geschwindigkeit der Anreicherung mit Kohlendioxid maßgeblich vom Feuchtigkeitsgehalt des Getreides abhängt. Ab einem Wert von 15 % Feuchtigkeit

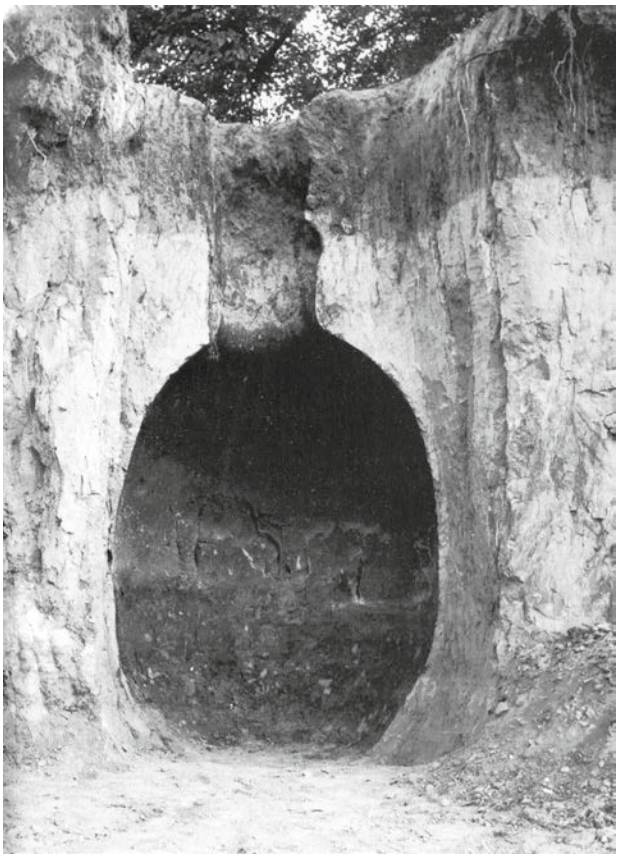


Abb. 221: Beim Straßenbau 1962 angeschnittene, neuzeitliche Vorratsgrube (IV/6) nahe der Ortschaft Kovalov (Slowakei). Gesamth. 3,8 m, größter Dm. 1,75 m, H. des Halses: 1,5 m, Dm. des Halses: 0,55 m, Fassungsvermögen: 36,6 hl (Kunz 2004, 51).

928. Z. B. Hans Sachs 1612 in Zinnow 1842, 55: „Bald flöhnet man ein die gruben Kraut, bayrisch, gelb und weiße ruben". – Vgl. auch Göth 1834, 254 über Grubenkraut in der Steiermark.

929. Plinius Sec., Naturalis historia 19.41. Als Kohlsorte nennt er „halmyridion" [Salzkohl], der nur in der Küstengegend gedeiht.

930. Hahn 1919, 29. – Eichholtz 1960, 10–15.

931. Eichholtz 1960, 9.

932. Mündliche Mitteilung M. Kohler-Schneider, M. Popovtschak, U. Baum. – Reynolds 1974, bes. 119.

933. Fenton 1983, 578. – Bartl 2004, 134.

934. Reynolds 1974, 123. – Kunz 2004, 84, 134.

935. Kunz 2004, 135.

würden die Zellatmung des Getreides und damit die Erzeugung von Kohlendioxid zwar exponentiell ansteigen, jedoch verringert sich bei einem zu hohen Feuchtigkeitsgehalt (ab 14 %) die Keimfähigkeit. Bei dem für die Lagerung optimalen Wert von 13 % Feuchtigkeit wird Kohlendioxid nur langsam gebildet.[936] Wie ein aktueller Versuch des Verfassers zeigt,[937] ist ein stark erhöhter Kohlendioxidgehalt für eine erfolgreiche Speicherung nicht nötig. Entscheidend ist, das Getreide möglichst gut vor Feuchtigkeit zu schützen. Das Speichergut kann bei unverändertem Zustand über Jahre konserviert werden.[938] Historische Quellen sprechen von mehreren Jahren und Jahrzehnten, über die das gespeicherte Gut essbar und genießbar bleibt.[939] Der römische Schriftsteller Varro weiß zu berichten, dass sich Weizen 50 Jahre, Hirse sogar 100 Jahre in Speichergruben halte.[940]

Es ist ersichtlich, dass Speichergruben im Laufe der Geschichte in zahlreichen Ortschaften sowohl innerhalb als auch außerhalb des Wohnareals angelegt wurden. In der Neuzeit positionierte man sie häufig einzeln vor oder in den Häusern, an der Straße oder gemeinschaftlich in der Mitte des Dorfes. Wenn sie am Dorfrand oder außerhalb gebaut wurden, stellte man häufig Wächter auf.[941] Auch in der Urgeschichte ist anhand vergleichbarer räumlicher Verteilungen von Speichergruben mit ähnlichen Beziehungen zu Wohngebäuden und Siedlungsbereichen zu rechnen[942] (Kap. 2.3.2.2). Die Wahl des Platzes hing dabei auch von den Umweltbedingungen ab. Bei hohem Grundwasserspiegel wurden erhöhte Lagen gewählt. Der Untergrund sollte dabei leicht zu graben und gleichzeitig kompakt sein. Da Löß diese Eigenschaften sehr gut erfüllt, wurde dieses Sediment bevorzugt.[943] Daher treten Speichergruben allgemein in Gegenden mit Lößböden häufiger auf als anderswo.[944] Die Standfestigkeit des Bodens war besonders wichtig, da sich die Gruben, um eine erfolgreiche Abdichtung zu gewährleisten, nach oben zu einem möglichst engen Grubenhals verjüngen sollten. Historische Quellen sprechen von einem Durchmesser, der „nicht größer als eine durchschnittliche Männerschulter“ sein sollte.[945] Der Grubenhals, der in einer österreichischen Quelle des 19. Jahrhunderts mit einer Tiefe von einem Klafter (ca. 1,9 m) angegeben wird,[946] ist bei den meisten prähistorischen Exemplaren aufgrund von Erosion meist nicht einmal mehr im Ansatz vorhanden. Der Speicherraum der Gruben reichte bei urgeschichtlichen Beispielen wie auch in Stillfried 1,5–2 m in die Tiefe. Vorratsgruben der Neuzeit waren zum Teil noch größer und tiefer dimensioniert.[947]

Aus historischen Quellen erfahren wir auch, wie Vorratsgruben nach Abschluss des Grabens behandelt wurden. Diesen zufolge wurde vorrangig mit Stroh ausgekleidet, welches mit Ringen und kleinen Haken aus Weidezweigen an der Grubenwand befestigt wurde.[948] Im Gegensatz dazu geben archäologische Befunde heute nur noch ansatzweise Hinweise auf entsprechende Vorgehensweisen. Verziegelte Wände deuten auf ein Ausbrennen der Gruben zum Zweck der Trocknung und Härtung hin.[949] In den sandigen Böden der Niederlausitz kann bei einigen spätbronzezeitlichen Exemplaren eine Auskleidung mittels Weidegeflecht aufgrund weißer Sandsäume am Grubenrand angenommen werden.[950] Wie der bereits genannte aktuelle Versuch des Verfassers zeigt, kann eine Strohauskleidung das Getreide am Randbereich vor der Auskeimung und dem Verschimmeln bewahren. Eine Speicherung ohne die stets postulierten Verluste[951] ist also möglich.

Auch bei der Abdichtung nach oben spielte Stroh eine wichtige Rolle. Die Verschlussmethoden unterscheiden sich. Die Abdichtung musste ein Eindringen von Feuchtigkeit sowie einen Gasaustausch verhindern. Aus der Neuzeit sind häufig Kombinationen aus zunächst Stroh und

936. Herrmann 1963, Abb. 133.

937. Das Experiment wurde 2018/2019 im Zuge der Dissertation von B. Biederer durchgeführt (Biederer 2022). – Vorberichte: Biederer 2019 und Biederer 2020.

938. Mündliche Mitteilung M. Kohler-Schneider. – Herrmann 1966, 288. – Reynolds 1974, bes. 119.

939. Schreber 1763, 270. – Anonymus 1772, 213. – Rozier 1784, 186–187. – Zelenin 1927, 55.

940. Varro, De re rustica I.57.2.

941. Polla 1959, 520. – Fenton 1983, 579. – Šumberová 1996, 62.

942. Für das Neolithikum: Šumberová 1996. – für die Spätbronzezeit: Biederer 2018. – Im Rahmen der Dissertation von B. Biederer erfolgte eine diachrone Untersuchung zu den Speichermethoden ausgehend vom Neolithikum bis zur Eisenzeit: Biederer 2022.

943. Kunz 2004, 55–56.

944. Rosenstock 1979, 186.

945. Kunz 2004, 91.

946. Anonymus 1772, 213. – Vgl. auch Kunz 2004, 91: Der Grubenhals konnte in der Höhe „so groß wie ein Mann“ sein und im Durchmesser „nicht größer als eine durchschnittliche Männerschulter“. Abbildungen historischer Exemplare deuten ebenfalls auf kleine Hälse hin, z. B. Polla 1959, Abb. 4.

947. Jäckel 1824, 73: Er nennt Gruben mit 4,74–5,69 m Tiefe.

948. Nižňanský 1958, bes. Abb. 9. – Polla 1959, bes. Abb. 4. – Kunz 2004, 99–101.

949. Beispiele finden sich auf der Bösenburg, Schmidt, Schultze-Motel, Kruse 1965, 31. – in Zauschwitz, Coblenz 1978, bes. 16–18. – in Quedlinburg, Raczkowska-Jones 2006, 140.

950. Bönisch 2000, 142–143. – Bönisch 2006, 313. – Uhl 2003, 57–58.

951. Z. B. Lüning 2005. 70–73. – Schade-Lindig 2012, 119.



Abb. 222: Oberteil des großen Vorratsgefäßes mit den FNrn. St. 5358 und 5343 aus V523. Die Außenseite ist schulterabwärts geraut. Innen, aber auch außen war der Hals- und Randbereich vermutlich zur Abdichtung mit Birkenteer ausgestrichen. Randdm. 64 cm.

anschließend Erde bzw. Lehm festzustellen.[952] Abschließend konnte der Verschluss entweder ebenerdig belassen werden, um damit jeglichen Hinweis auf das Vorhandensein einer Grube zu vertuschen,[953] oder man versuchte, mit kleinen Hügeln oder Dächern Regenwasser abzuleiten.[954]

Entschlossen sich die Besitzer zur Öffnung einer Grube, musste der gesamte Inhalt entnommen werden. Speichergruben können nicht wieder verschlossen werden, da mit der Öffnung die Atmosphäre im Inneren gestört wird. Auch Kohlendioxid wird nicht erneut gebildet.[955] Das entnommene Getreide musste folglich zwischengelagert werden, wofür sich große Vorratsgefäße eignen. Das Oberteil eines sehr großen Topfes mit einem Randdurchmesser von 64 cm und einem geschätzten ursprünglichen Bauchdurchmesser von 100 cm fand sich in V523. Bei einer angenommenen Gesamthöhe von 110–120 cm ergibt sich ein rekonstruiertes Volumen von 400–500 l (Abb. 222).[956] Ein vollständig zusammensetzbares Vorratsgefäß mit einem Fassungsraum von 200 l wurde aus V407 geborgen (Taf. 38/1).[957]

In kompakten Böden konnten die Gruben über viele Jahre wiederverwendet werden. Nahm die Grube keinen Schaden (z. B. durch Einbrechen des Grubenhalses), gab es aus wirtschaftlicher Sicht keinen Grund, sie aufzugeben. Wurden Gruben durch starke Regenfälle oder angestiegenes Grundwasser geflutet und das Getreide in verrottetem, stinkendem Zustand angetroffen, könnte dies eine abschreckende Wirkung zur Folge gehabt haben, worauf auf eine Wiederverwendung verzichtet wurde, auch wenn diese theoretisch möglich gewesen wäre.[958] Vorstellbar sind in derartigen Fällen auch rituelle Gründe, hervorgerufen durch unheimlich wirkende Farbveränderungen von Rot-, Braun- und Grüntönen des Inhalts durch Pilz- und Bakterienbefall.[959] Auch die bewusste Entscheidung, funktionsfähigen Speichergruben die Rolle als Konservierungsmedium für Lebensmittel zu entziehen und sie einem rituellen Zweck zu überführen, wird durch Tier- und Menschenniederlegungen sowie Deponierungen von wertvollen Gegenständen nahegelegt.[960]

Archäologisch sind Speichergruben bereits seit dem Epipaläolithikum im Nahen Osten bekannt.[961] Nach Mitteleuropa gelangte diese Technik mit der ersten ackerbaulichen Kultur im frühen Neolithikum[962] und blieb nahezu durchgängig bis zum Beginn des 20. Jahrhunderts n. Chr.[963] in Verwendung.[964] Gehäuft treten die Gruben in nicht zu feuchten Perioden auf. Das trockene und warme Klima am Ende der späten Bronzezeit führte so nicht nur zu einer zahlenmäßigen deutlichen Zunahme von Speichergruben, sondern erleichterte auch die Nahrungsmittelerzeugung und ermöglichte höhere Erträge.[965]

952. Anonymus 1772, 213. – Kriegler 1928, 123. – Kunz 2004, 108–110.
953. Schreber 1763, 270. – Kriegler 1928, 125.
954. von Csaplovics 1829, 13. – Zelenin 1927, 55. – Apáthy 1958, bes. Abb. 1, 15. – Kunz 2004, 113.
955. Anonymus 1772, 213–214. – von Csaplovics 1829, 13–14.
956. FNr. St. 5358. Eine Beschreibung dieses Gefäßes findet sich bei Objekt V523, siehe Kap. 10.1.1.
957. FNr. St. 4489. Die Maße finden sich auf Taf. 38.
958. Reynolds 1974, 128.
959. Reynolds 1979, 76.
960. Griebl, Hellerschmid 2013. – Griebl, Hellerschmid 2015. – Kubenz 2016.
961. Perrot 1957, 91–110. – Perrot 1960, 14–22.
962. Pavlů, Rulf, Zápotocká 1986.
963. Schmidt 1961.
964. Der Verfasser B. Biederer untersuchte im Zuge seiner Dissertationsarbeit Vorratshaltung und insbesondere Speichergruben ausgehend vom Neolithikum bis in die Eisenzeit, Biederer 2022.
965. Willerding 1977. – Kossack 1995. – Maise 1998, bes. 218–224.

7. Diskussion

7.1 Kommentar zum Brandschutt – „bestattete Häuser"?

In vier Fällen sind mächtige Brandschuttpakete in die Gruben gefüllt worden, die sich als Überreste von abgebrannten Häusern herausstellten (Gruben V5001, V5003, V5009, V5400). Diese Brandschuttlagen befanden sich jeweils im bodennahen Grubenbereich, wobei jene von V5400 stark mit lehmig-humosem Material versetzt war. In den Objekten V5001 und V5003 verteilte sich der Brandschutt auf zwei Ebenen. Keramikanpassungen in V5001 zeigen auf, dass es sich um Überreste desselben Schadfeuers handelt.[966] Im Zentrum der Sohle wurden in diesen beiden Gruben (V5001 und V5003) jeweils verkohlte Getreidevorräte, Speise- und Wildpflanzenreste aufgefunden. Darüber kam der bereits erkaltete Brandschutt. Abgesehen von verbranntem Hausrat unterschiedlichen Umfanges bargen sich darin auch einige **auffällige Funde**. Aus den Gruben V5001, V5003 und V5400 sind hier die länglichen, schuhleistenförmigen Architekturteile zu nennen.[967] Aus **V5001** sind des Weiteren eine Bronzepfeilspitze und das Skelett eines menschlichen Neugeborenen anzuführen.

Innerhalb der Brandschicht von **V5400** fanden sich wiederum drei kleine, verkohlte, ringförmige Getreide(teig)erzeugnisse[968] und zwölf Tonringe (Webgewichte). Außerdem wurden darin zwei absichtsvoll zugerichtete keramische Gegenstände[969] geborgen. Das gemeinsame Vorkommen von Ton- und Teigringen und der gute Erhaltungszustand der verkohlten Teigringe könnten für eine absichtsvolle Niederlegung sprechen. Diese vollzog sich am ehesten im Rahmen eines Rituals, als die Verfüllung im Gange war (Kap. 10.1.4).

Aus **V5003** sind an bemerkenswerten Funden ein vollständiges, sekundär gebranntes Miniaturgefäß und ein Tonring anzuführen (Taf. 71/1, 3).

Da sich jeweils nur ein Ausschnitt des zerstörten Hausrates in den Gruben befindet, ist zu fragen, ob es sich um eine zufällige oder um eine absichtsvolle Auswahl handelt. Aus den möglichen Antworten entwickelten wir jeweils eine profane und eine kultische Deutung dieser Grubenbefunde mit Brandschutt (Kap. 10.1), da all diese Einfüllungen theoretisch von einem rein praktischen Entsorgen von Hausbrandschutt herrühren könnten. Die teils ähnlichen „Verfüllungsmuster" und auffälligen Funde bzw. Fundverbände hätten sich ohne tiefere Absicht ergeben können (**profane Interpretation**). Bei der **kultischen Deutung** gehen wir davon aus, dass es sich um eine bewusste Auswahl handelt, die das Haus (als *pars pro toto*?) repräsentieren sollte (Geschirr, Werkzeug, Nahrung, Waffen, Hüttenlehm usw.). Die oben genannten Sonderformen wurden ebenfalls der Hausruine entnommen oder von anderem Ort herbeigeschafft, um in symbolhafter Weise dem Brandschutt beigefügt zu werden. Ziel dieser Handlungen könnte gewesen sein, das zerstörte Haus entsprechend geltender Ritualvorschriften seiner Aufgabe zu entheben – es gewissermaßen „sterben" zu lassen –, um damit die besten Voraussetzungen für einen Neubau zu schaffen. Begründet ist diese Deutung darin, dass die Art und Weise, wie urgeschichtliche Bauten errichtet, genutzt und letztendlich wieder ihres

966. Kap.2.2.3.5, Dominanz Brandschutt/Asche/Asche-Humus.
967. Kap. 3.1.5.2.
968. Siehe Kap. 3.8. – Heiss et al. 2019.
969. Ein senkrecht halbiertes Kegelhalsgefäß und ein „Stempel" (Taf. 81/1–3).

(ursprünglichen) Zwecks enthoben wurden, mit fest vorgeschriebenen Regeln und Handlungsschritten einherging. Diese Annahme wird gestützt von archäologischen Befunden wie Gründungs- bzw. Bauopfern (in Pfostengruben).[970] Dass der Leichnam des (gerade verstorbenen?) Neugeborenen darin abgelegt bzw. mit bestattet wurde, lässt sich hier schlüssig einbetten.

Auffallend ist, dass besonders die Großgefäße (Vorratsgefäße) in allen drei Gruben Sekundärbrand aufweisen, während das Tafelgeschirr meist weniger davon betroffen war. Dies zeigt sich bei den sieben **kannelierten Henkeltassen aus V5001** besonders gut (Abb. 18). Zwei weisen Sekundärbrand auf (Taf. 6/2–3), während bei den weiteren fünf Tassenteilen mit Ausnahme kleiner Risse keine diesbezüglichen Beschädigungen zu erkennen sind. Die Tatsache, dass sie vorwiegend aus dem oberen Bereich der Brandschicht geborgen wurden (Abb. 395), bringt uns zu der Hypothese, dass es sich um das beim rituellen Umtrunk benützte Geschirr gehandelt haben könnte, das im Anschluss zerbrochen und in Teilen auf den Brandschutt geworfen wurde.

Mögliche weitere Beispiele von Hausbrandschutt könnten in den Befunden von V43 und V897 vom „Hügelfeld" vorliegen. Die mächtige Brandschuttschicht 00181 im „Deponierungshorizont" von V519 stammt sehr wahrscheinlich von einem Kuppelofen. Auffällig ist die große Zahl an Sonderfunden innerhalb dieser Schicht. Möglicherweise erfuhr in diesem Fall der Ofen eine vergleichbare rituelle Auflassung wie wir eine solche für abgebrannte Häuser vorschlagen (Abb. 224).

Überlegungen dieser Art finden sich in Arbeiten zu unterschiedlichen urgeschichtlichen Räumen und Epochen: In spätbronzezeitlichen Siedlungen der Niederlausitz (**Lausitzer Kultur**) zeigt sich Hausbrandschutt, der am Ort des Brandgeschehens in die dort befindlichen Gruben (Vorratsgruben, Herdstellen, Web-, Keller- und Pfostengruben) eingefüllt wurde.[971] Der Brandschutt enthält wie in Stillfried Gegenstände aus dem gesamten Spektrum eines bronzezeitlichen Haussachgutes, also Ess- und Trinkgeschirr, Vorratsgefäße, Haushandwerkszubehör[972] und Nahrungshinweise (verkohltes Getreide, Tierknochen), aber auch Tracht- und Schmuckstücke[973] sowie Spiel- und/oder Kultgegenstände (Klappern, Tonscheiben). Überreste des abgebrannten Hauses selbst finden sich in Form von Lehmestrich, Hüttenlehm, Steinen, Holzkohle, Asche und Branderde. Ob eine Auswahl getroffen wurde oder ob es sich um den Gesamtbestand handelt, lässt sich nicht sagen.[974] Obwohl Feuereinwirkung oftmals erkennbar ist,[975] weist Eberhard Bönisch besonders auf die Fundgegenstände ohne (erkennbare) Brandspuren im Brandschutt hin, wie vollständige Reibplatten, intakte Gefäße und Bronzegegenstände (Ring, Nadel, Sichel). Bei diesen Gefäßen handelt es sich vor allem um die (kleineren) Trinkgefäße,[976] ganz ähnlich, wie es vor allem in V5001 von Stillfried zu beobachten ist. Nach Bönisch erwecken diese Fundsituationen den Eindruck, als ob die Gegenstände wie Opfer- oder Grabbeigaben mit vergraben wurden. Er wirft daher die Frage auf, ob es sich möglichweise gewissermaßen um „Begräbnisse von Wohnhäusern" handelt, wenn man den Ort verließ. Dies würde die Brandschuttgruben selbst zum Sinn und Zweck des Rituals machen.

Überlegungen zu „bestatteten Häusern" gibt es bereits für deutlich ältere Siedlungsverbände. So ging in der **Siedlung der Linearbandkeramik** von Hanau-Mittelbuchen (Hessen) die Beseitigung des Brandschutts offensichtlich mit Deponierungen einher: Schutt ein und desselben Hausbrandes wurde in drei Gruben eingefüllt (Gruben st182, 111, 639), worin sich auch ein Felssteindepot und ein vollständiges, ungewöhnlich verziertes Gefäß (Grube st182) befanden.[977] Die flächig eingeritzten Motive dieser feinkeramischen Flasche lassen einen besonderen – nicht alltäglichen – Zweck vermuten, wobei ein annähernd übereinstimmendes Gefäß aus Grube st256 stammt.[978] Beide Gruben (st182, st256) enthielten eine große Menge an Hüttenlehm.[979] Solche Deponierungen von Hausbrandschutt und besonderen Gegenständen könnten in Analogie zu Bestattungen am Gräberfeld erfolgt sein bzw. im umgekehrten Fall könnte es sich um eine rituelle Entsorgung handeln, wie Tim Kerig erläutert.[980]

Ähnliches findet sich in der **LBK-Siedlung von Buchbrunn** in Nordbayern, wo anhand einer auffälligen Grube ebenfalls die Idee einer symbolischen Hausbestattung auf-

970. Weikart 2002. – Beilke-Voigt 2007. – Trebsche 2008.

971. Bönisch 2005, 445–447.

972. Siebe, Webgewichte, Tonballen, Mahlsteine, Spinnwirtel, Pfrieme, Klopfsteine usw.

973. Bronzering, Bronze- und Knochennadeln, Tonperlen.

974. Bönisch 2005, 458.

975. Bönisch 2005, 448–449.

976. Bönisch 2005, 458.

977. Kerig 2008, 139–140.

978. Kerig 2008, 142, Taf. 11, 12, die Strichführung der Verzierung beider Gefäße lässt auch Naturalistisches in Form eines Rinderkopfes(?) erkennen. Kerig erwähnt, dass die nächste Entsprechung aus der fränkischen Jungfernhöhle stammt, Kunkel 1958, 58 und Taf. 7,2.

979. Über 11 kg in Grube st256.

980. In Siedlungsphase 2: Kerig 2008, 142.

geworfen wird.[981] Grube 799 befindet sich nämlich genau in der Mitte von Langhaus 15, ohne Wandbereiche des mehrräumigen Gebäudes zu stören. Die 0,34 m tief erhaltene Grube 799 (Dm. 2,5 m x 2,7 m) mit regelmäßigem Querschnitt enthielt auffällig viel Holzkohle. Im oberen Bereich wurden ein zentral abgestelltes Gefäß sowie eine zerbrochene Doppelhacke geborgen. Solche Hacken sind dem Bestattungsritus der Linearbandkeramiker entlehnt. Da sich das Abbrennen eines Hauses – ob absichtsvoll oder nicht – gut mit einem sinnbildlichen „Sterben" gleichsetzen lässt,[982] könnten hier einzelne Elemente aus dem Bestattungsritual auf eine sinnbildliche Haus-Bestattung übertragen worden sein, wie es Jessica Kuhn ausdrückt. Haus 15 kam innerhalb der Siedlung eine herausragende Stellung zu, was diese These einer besonderen Behandlung stützt.

7.2 Diskussion über Verfüllungsmuster und Funde in den Speichergruben

7.2.1 Einführung

Eine wesentliche Frage der Projektthemenstellung lautet, ob Auffälligkeiten in den sekundären Verfüllungen der ehemaligen Speichergruben von Stillfried festzustellen sind. So sich gewisse Muster abzeichneten, war zu klären, ob profane oder kultische Gründe hinter ähnlichen Einfüllvorgängen stehen könnten.

Die grundlegenden Entscheidungskriterien für diese Fragestellung sind die **Anzahl** der bemerkenswerten Funde (**Sonderfunde**), ob **Depositionen und/oder Subbefunde** vorliegen und wie diese Auffälligkeiten innerhalb der Gruben zueinander stehen. Zu den **Sonderformen im klassischen Sinn** zählt die Gruppe der zungenförmigen Tonlappen, die gewissermaßen ein Alleinstellungsmerkmal von Stillfried darstellen (Kap. 3.1.3.2). Ihre Vertreter stammen häufig aus Gruben mit Tierniederlegungen, was als Verfüllungsmuster zu werten ist. An Sonderform-Einzelstücken sind unter anderem der Seitenteil eines kleinen Aufsatzgefäßes von V52 (Abb. 73), der Knochenwirtel (Taf. 58/1, V1139), die Tonstange (Taf. 58/3, V1140) und der Geweihanhänger (Taf. 59/2, V1140) zu nennen (Kap. 3.1.2.1; 3.4.3; 3.1.3.3; 3.4.2).

Grundsätzlich gilt, dass je häufiger und regelhafter außergewöhnliche Funde (Sonderfunde) und profan kaum erklärbare Subbefunde innerhalb ein und derselben Grube vorkommen, die Wahrscheinlichkeit eines rituellen Hintergrundes des Gesamtbefundes steigt. Darin könnten sich unterschiedliche Handlungsschritte von Ritualen zu erkennen geben, die im Zuge des Grubenverschließens stattgefunden haben. Voraussetzung für unsere Definition von rituellen Vorgängen ist, dass dabei nicht greifbare (transzendentale) Kräfte eine Rolle spielten.

Exkurs: Ritual

Ein **Ritual** ist eine geregelte Handlung, die die geistige Ebene bewusst einschließt,[983] um auf der menschlichen Ebene eine Wirkung zu erzielen. Damit sollten Ordnungen aufrechterhalten oder wiederhergestellt werden, in die sich die Menschen eingebunden fühlten (die Gesellschaft, den Naturkreislauf sowie die geistige Welt bzw. die Götterwelt). Allgemein sollen Rituale die immer wiederkehrenden Kreisläufe von Entstehen, Sein und Vergehen bestmöglich unterstützen.[984]

Im Folgenden werden jene Beobachtungen, die auf annähernd alle oder zumindest auf einen Teil der untersuchten Gruben zutreffen, zusammengefasst. Ob damit bereits von „Verfüllungsmustern" gesprochen werden kann, ist abzuwägen. Kurz wird auch auf deren Deutung eingegangen.

7.2.2 Übereinstimmende Merkmale

7.2.2.1 Verfüllmuster

\+ Die letztendlichen Verfüllungen der allermeisten Gruben lassen sich in **drei Abschnitte** gliedern: Die **Grubensohle** als (mögliche) Ablagerungsfläche, gefolgt von meist waagrechten oder schüttkegelartigen Einfüllschichten im unteren Grubendrittel bzw. bis höchstens zur Grubenmitte, auf deren Oberkante oftmals Gegenstände und auch Tierkadaver abgelegt wurden („**Deponierungshorizont**"). Den Abschluss bildet die **obere Grubenverfüllung**, die meist aus fundarmem, einheitlich hellhumosem Material bestand (Schichtschlüssel 9, Kap. 2.2.3, Abb. 234–432). Da sich keine Einschlämmschichten zeigen, wurden folglich alle Gruben rasch bis oben hin aufgefüllt, was als Teil des Verfüllungsmusters zu werten ist.

Deutung: Mit diesem zügigen und vollständigen Verschließen der nicht mehr in Verwendung stehenden Gruben sollte wohl der Untergrund stabilisiert und Unfälle vermieden werden. Bei kultischer Interpretation steht möglicherweise der Schutz vor (frevelhaften) Störungen im Vordergrund.

981. Kuhn 2012, 76–77.

982. Kuhn verweist auf entsprechende Hypothesen in der Tellforschung, Kuhn 2012, 77.

983. Trachsel 2008, 1–2 (transzendente Wirkungsweise).

984. Brück 2011, 394, 398. – Verhoeven 2011, 120.

Grubenbefunde	Speiseverbot für Mensch u. Tier (Hypothese)	Sonderfunde und Subbefunde	Hell-Dunkel-Einfüllung	Brandschutt-Aschelage als Abschluss des Deponierungshorizontes	Asche-/Brandschutthäufchen mittig auf der Grubensohle
Tierdepositionen (in Letztnutzung der Grube)	V15, V31, V67, V195, V245, V445, V479, V628, V662?, V643, V949, V994, V1008?, V1140, V2044?, V2648, V2784, V3784	V15, V31, V67, V195, V445,V479, V628, V643, V662, V949, V994, V1008, V1140, V2648, V2784	V195?, V479, V628, V949, V994, V1008?, V2648	V31, V2784	V195, V662, V949
Ablegen menschlicher Leichen und Leichenteile (in Erstnutzung der Grube(?))		V841, V1141			V1141
Ablegen von entfleischten, menschlichen Schädeln (in Letztnutzung der Grube(?))		V445, V5000			

Abb. 223: Die Tabelle listet alle Gruben mit Tier- und Menschendepositionen auf. Meist liegen mehrschichtige Befundsituationen vor, worunter sich im Regelfall Fundgegenstände mit symbolischer Bedeutung (Sonderfunde) und einige Subbefunde finden. Sie lassen auf Rituale mit unterschiedlichen Handlungsschritten schließen. An auffälligen Füllschichten stellen sich die Hell-Dunkel-Einfüllungen und die unterschiedlichen Brandschutt- und Aschelagen heraus. Die meisten dieser Gruben dienten zuvor sehr wahrscheinlich als Getreidespeicher und erst in ihrer Letztnutzung für die Niederlegungen. Da die Merkmale einzeln für sich betrachtet werden, kommen Mehrfachnennungen vor.

+ Siebzehn aufgelassene Speichergruben wurden genutzt, um **Tierkadaver** auf einer meist waagrechten Unterlage (Plattform) im „Deponierungshorizont" abzulegen (Wild- und Haustiere wie Rothirsch, Hausschwein, Feldhase, Wildschwein, Haushund usw.; Abb. 55). Die Wildtiere stammen annähernd durchgängig aus Gefangenschaftshaltung. Die damit vergesellschafteten bemerkenswerten Fundgegenstände (Sonderfunde) unterstreichen den kultisch gedeuteten Hintergrund dieser Befunde[985] (Abb. 49, 223; Kap. 2.2.3.8).
+ Das Verfüllmaterial über den deponierten Tieren bestand in sechs bzw. sieben Fällen aus einer mächtigen Lage von abwechselnd eingebrachten Schichten von dunklem Humus und hellem Löß, der **Hell-Dunkel-Einfüllung** (Schichtschlüssel 14, beispielsweise Abb. 300, Kap. 2.2.3.5;[986] Abb. 52, 223). Wir vermuten darin eine absichtsvolle und regelhafte Vorgangsweise im Zusammenhang mit den auffälligen Niederlegungen (V195?, V479, V628, V949, V994, V1008?, V2648).
+ In einigen Fällen wurden **Menschen und Menschenteile im Sehnenverband** (V841, V1141, V5001) und **entfleischte Schädel bzw. Kalvarien** (Schädel ohne Unterkiefer) in den kegelstumpfförmigen Gruben abgelegt (V445, V5000; Abb. 55). In diesen Gruben sind vermehrt Ascheeinfüllungen und Nachweise von Brandgeschehen festzustellen.[987] Alle diese Befunde werden als kultisch betrachtet (Kap. 2.2.3.7, Menschenniederlegungen in Siedlungsgruben [Siedlungsbestattungen] und Deponierung von menschlichen Schädeln, großteils ohne Unterkiefer).
+ Es finden sich in allen drei Verfüllungstypen der Gruben[988] Sonderfunde und Subbefunde. Daher zeichnet sich kein direkter und unmittelbarer Zusammenhang zwischen dem Verfüllmaterial (Abb. 51), der Häufigkeit von Sonderfunden und einer kultischen Deutung ab (Abb. 52). Eine Ausnahme bildet die **Hell-Dunkel-Einfüllung** (Schichtschlüssel 14), die wir als Schichtabfolge einstufen, welche im Rahmen ritueller Vorgänge bewusst auf diese Weise eingebracht wurde. Diese auffällige Schichtung überlagert nämlich überdurchschnittlich oft Tierniederlegungen, zeigt sich aber auch in sonstigen Gruben, wo meist Sonderfunde und Subbefunde vorliegen (z. B. Keramikgefäßdeponierungen in V204, V409, V523; Kap. 2.2.3.2).

985. Dabei handelt es sich um das Thema des vorangegangenen FWF-Projekts, Hellerschmid, Griebl in Vorbereitung.

986. Unterkapitel: Dominanz Hell-Dunkel-Einfüllung und Schichtpakete aus feinen, unterschiedlichen Bändern.

987. Verziegelung der Lößoberflächen in V1141, mächtige Ascheschichten im Bereich der Leichenlagen von V841 und V1141 und der Schädel in V445 und V5000.

988. Siehe Kap. 2.2.3.5: Dominanz Brandschutt/Asche/Asche-Humus; Humus/Löß; Hell-Dunkel-Einfüllung und Schichtpakete aus feinen, unterschiedlichen Bändern.

+ **Reiner Brandschutt** kommt in vielen Gruben vor, meist jedoch nur als schmales Band. Besonders häufig zeigt sich eine **Brandschutt- oder Aschenlage als oberer Abschluss des „Deponierungshorizontes“**, bevor der verbliebene Hohlraum mit lehmig-humosem Material ausgefüllt wurde. Bemerkenswert ist die Beobachtung, dass sich in 23 Gruben[989] jeweils zwei Lagen von Brandschutt bzw. Asche zeigen, meist knapp hintereinander (eine sog. **„doppelte Abdeckung“**, z. B. Abb. 243). Zählt man die einfachen Asche- und Brandschutt-„Abdeckungen“ dazu, kommt man auf mindestens 39 Gruben, was deutlich mehr als einem Drittel aller Verfärbungen entspricht (Kap. 2.2.3.5, Dominanz Brandschutt/Asche/Asche-Humus).
  Deutung: Möglicherweise sollte mit diesem Brand- und Aschematerial eine bestimmte Wirkung erzielt werden. Zu denken wäre an eine rein praktische Hygienemaßnahme oder an eine (sinnbildliche) Versiegelung. Dies impliziert ein absichtsvolles Vorgehen im Zuge des letztendlichen Schließens der (ehemals) wertvollen Speichergruben mit nicht zwangsläufig kultischem Hintergrund.
+ In 28 Gruben findet sich **mittig auf der Grubensohle** ein **Häufchen von Asche, aschig-humosem Material oder Brandschutt**. Diese Materialien konnten nicht auf natürliche Weise ihren Weg in die Grube gefunden haben, im Gegensatz zu kleineren Löß- und Humusansammlungen, die von Grubenwand oder -hals stammen könnten (Kap. 2.2.3.2).
  Über die **Deutung** dieser Ansammlungen auf der Sohlenmitte entscheidet der Gesamtbefund der Grube. Wird dieser als „kultisch“ eingestuft, könnte es sich bei den Ascheneinfüllungen um Reste von Kultfeuern (Brandopfer?) gehandelt haben. Diese könnten außerhalb der Gruben im Rahmen der Rituale gebrannt haben, bevor ihre Überreste als stille „Zeugen“ absichtsvoll eingebracht worden sind. Beispiele solcher Gruben mit Brandschutt-/Aschehäufchen werden im Folgenden aufgelistet:

  Kultische Deutung von Gruben mit Asche-/Brandschutthäufchen im Sohlenzentrum (Abb. 223)
  V195: Brandschutt in der Grubenbodenmitte mit Bronzeringlein und Silex. Darüber zwei Tierdepositionen (Frischling, unvollständige alte Hirschkuh) und keramischer Sonderfund (zungenförmiger Tonlappen), Hell-Dunkel-Einfüllung?
  V949: Asche in Sohlenmitte, darüber Hell-Dunkel-Einfüllung, die waagrecht mit abgelegtem, unvollständigem Hirsch abschließt (Abb. 349). An Sonderfunden eine annähernd vollständige Reibplatte (Taf. 53/3), aus dem nachträglichen Eingriff (β) zwei zungenförmige Tonlappen (Taf. 3/4; 52/3; 92; 93).

  Mögliche kultische Deutung von Gruben mit Häufchen von Asche oder Brandschutt auf der Sohle (Abb. 224)
  V523: Auf bzw. seitlich der Brandschuttlage auf der Sohle zerbrochene Keramikgefäße einschließlich eines Siebgefäßes (Taf. 42/2 und Abb. 293), mächtige Hell-Dunkel-Einfüllung mit Webgewichtfragment (halbiert?) und vollständige Tondüse in der Verfüllschicht.
  V526: Über der Brandschuttlage keramische Sonderform (zungenförmiger Tonlappen, Taf. 42/3), darüber mächtige Hell-Dunkel-Einfüllung.
  V1325: Zentraler Aschekegel mit vollständigem Geweihgerät (Angelzubehör, Taf. 54/3), Webgewichthälfte und Klopfstein, darüber vollständige keramische Sonderform (Deckel von Miniatur-Hängegefäß).
  V43: Brandschutt in der Grubensohlenmitte (Abb. 242), großes Feuerbockteilstück (Taf. 35/3), doppelte Brandschuttabdeckung (Abb. 243).
  V510: Zentraler Brandschutt auf der Sohle, senkrecht halbierte Tonrassel (Taf. 1/3; 38/2), großes, mächtiges Reibplattenteilstück mit Feuereinwirkung (Taf. 1/4).

+ In zwei Gruben fanden sich **verkohlte Getreidelagen** jeweils auf der Sohle (V643, V5001, Abb. 49, Kap. 2.2.3.2). Der Subbefund von **V643** besteht aus verkohltem Getreidesaatgut, dem Kadaver eines unvollständigen jungen Feldhasen, einem Bronzeniet und einem Hirschgeweihspross (Taf. 43/2–3). Hinter dieser Verbindung von Jungtier und Saatgut (Brandopfer?) vermuten wir die Überreste eines Fruchtbarkeitsrituals. In **V5001** folgte der beträchtlichen Lage von verkohltem Getreide und Wildpflanzen eine mächtige Hausbrandschuttschicht.
+ Einige Male sind große **Brandschuttmengen** in die Gruben gefüllt worden, wo sie meist den „Deponierungshorizont“ bestimmen (V519, V897 [Abb. 347], V2784, V5000, V5001 [Abb. 53], V5003 [Abb. 398–400], V5009 [Abb. 414, 415]).[990] In drei Fällen bedecken sie die in Sohlennähe abgelegten Depositionen: Drei menschliche Schädel in V5000 (Abb. 390, 391), die Getreideschicht in V5001 (Abb. 394) und das Keramikgefäß- und Arbeits-

989. V1, V31, V43, V52, V234, V412, V510, V519, V780, V793, V813, V885, V894, V897, V981, V992, V1015, V1325, V2779, V5001, V5003, V5204 und V5205.

990. Kap. 2.2.3.5, Dominanz Brandschutt/Asche/Asche-Humus.

steinensemble in V2784 (Abb. 49). Die Befunde von V5000 und V2784 deuten wir als Überreste von (mehrschichtigen) Ritualen.

+ In den Brandschuttschichten von V5001, V5003 und V5400 fand sich jeweils frisch gebrochenes und feuerbeeinträchtigtes Hausinventar neben einigen Sonderfunden. Diese Verbände ermutigen uns zu der **Hypothese**, dass abgebrannte Bauwerke (Häuser) in den Gruben **rituell bestattet** wurden, indem ein auszugsweiser Teilbestand des zerstörten Hausrates in den Gruben abgelegt wurde (Kap. 7.1). Mögliche weitere Beispiele von bestatteten baulichen Einrichtungen sind die Befunde von V43, V519 und V897 vom „Hügelfeld". Dabei stammt die mächtige Brandschuttschicht in V519 mit zahlreichen Sonderfunden von einem Kuppelofen. In diesem Fall könnte mit dem Ofen ähnlich verfahren worden sein wie mit den abgebrannten Häusern (Abb. 224).
+ In vielen Gruben sind mächtige Schichtpakete zu beobachten, die sich durch eine regelmäßige Abfolge unterschiedlicher Materialien in **sehr feiner Bänderung** auszeichnen **(Schichtschlüssel 15 und 16**). Diese befinden sich ebenfalls fast ausschließlich im „Deponierungshorizont" und erwecken den Eindruck, als seien sie innerhalb eines (größeren) Zeitraumes aus regelhaften, kleineren Einschüttungen entstanden (Abb. 52).
  Deutung: Diese Gruben könnten in ihrer Letztfunktion als Aufnahmebehältnisse für Handwerksabfall gedient haben, der bei häufig und regelhaft durchgeführten Tätigkeiten außerhalb der Grube angefallen ist. Zwischenzeitlich waren diese Objekte wahrscheinlich abgedeckt (Kap. 2.2.3.5[991]). Ein hoher Aschenanteil spricht für Arbeitsabläufe, die mit Feuer zu tun hatten. Aschengruben in Erstnutzung begründen wir mit der Nähe zur Ofenreihe am Wallinnenfuß (V1138, V1139, Abb. 13, 229). In zwei Fällen liegen Funde vor, die auf metallverarbeitende Betriebe weisen (Tondüsenfragmente in V198 und V5200; Taf. 36/3; 78/1 und Abb. 118). Die Stücke könnten sinnbildhaft beim Auflassen der Grube bzw. des Handwerkbetriebes eingebracht worden sein (Abb. 54).
+ Die allerwenigsten Gruben wurden durchgängig und vollständig mit demselben Material verfüllt. Sogar in der hellhumosen Grube V18 befanden sich in der Sohlenmitte gebrannte Hüttenlehmbrocken und Holzkohle.
+ Einige Male können waagrechte Plattformen beobachtet werden, ohne dass darauf Gegenstände dokumentiert wurden (z. B. V412, V656, V780). Auch waagrecht abgeflachte Schüttkegel sind vorhanden (z. B. V634). Hierbei könnte es sich um Gruben handeln, die für eine Deponierung vorbereitet wurden, welche jedoch nicht vollzogen wurde. Alternativ sind Niederlegungen vorstellbar, die keine sichtbaren Spuren hinterlassen haben bzw. nicht nachgewiesen werden konnten (z. B. Pflanzen, Flüssigkeiten).

7.2.2.2 Funde

+ Der Großteil der Funde befand sich im unteren Grubendrittel bzw. im mittleren Grubenbereich (dem „Deponierungshorizont").
+ Der Anteil an gewöhnlichem Siedlungsmüll in den Gruben ist niedrig, während gleichzeitig die Zahl der **Sonderfunde** hoch ist.
  Es ist gut vorstellbar, dass die meisten Sonderfunde für profane oder sakrale Zwecke in Verwendung standen, bevor sie in die Gruben gelangten. So kann das erwähnte, senkrecht halbierte und gelochte Kegelhalsgefäß (Taf. 81/1–2) als Trichter und danach als Schöpfbehelf eingesetzt gewesen sein; die quadratischen Reibplattenteilstücke als Unterlagssteine („Amboss") in der Metallverarbeitung und danach aufgrund der Feuerspuren noch als Herdsteine (Taf. 1/2; 34/2; 36/1; 37/2; 48/3; 53/2?; 64/2). Einige Sonderfunde sind vollständig und funktionstüchtig in die Gruben gekommen (Tonringe: Taf. 43/1; 63/3; 72/2; Knochenpfriem: Taf. 80/1), bei anderen ließe der Materialwert eine Wiederverwertung erwarten, wie Bronzegegenstände oder Reibplatten aus Granit, da Letztere eingehandelt werden mussten (z. B: Taf. 1/4; 1/6 und 51/2; 3/3 und 53/3; 4/4 und 63/4; Kap. 3.5.1 und Abb. 49, 52, 224).
  Deutung/Hypothese: Die im Verhältnis zum gewöhnlichen Siedlungsmüll zahlreich vertretenen **Sonderfunde** sind absichtsvoll und mit symbolhafter Bedeutung in die Gruben eingebracht worden. Halbe bzw. halbierte und unvollständige Gegenstände, aber auch vollständige Teile aus einer Werkzeug- oder Zubehörgarnitur (wie z. B. Tonringe/Webgewichte) zeigen auf sinnbildhafte Weise das Ende bzw. das Auflassen einer baulichen Einrichtung, wie z. B. einer Speichergrube, an. Dahinter könnten allgemein gültige Regeln oder dem individuellen Aberglauben geschuldete Handlungen stecken. Die Gruben mit Tier- und Menschenniederlegungen schließen sich hier gut an, da auch daraus Sonderfunde geborgen wurden (Abb. 223).

Exkurs: Symbol

Symbole sind Zeichen, die zwischen der gegenwärtigen Gesellschaft und wesentlichen Ereignissen aus der mythischen

991. Unterkapitel: Dominanz Hell-Dunkel-Einfüllung und Schichtpakete aus feinen, unterschiedlichen Bändern.

Grubenbefunde	Sonderfunde u. Subbefunde als symbolische Einbringungen(?)	Hell-Dunkel-Einfüllung	Brandschutt-Aschelage als Abschluss des DH	Asche-/Brandschutthäufchen mittig auf Grubensohle
mit Sonderfunden u. Subbefunden als symbolische Einbringungen(?)	V1, V43, V106?, V510, V519, V523, V526, V667, V729, V897, V992?, V1325	V106?, V523, V526, V667?, V729?, V897?, V992?	V1, V43, V519, V992, V1325	V43, V510, V523, V526, V992, V1325
Brandschutt als „bestattetes „Haus“? (im Deponierungshorizont)	V43?, V897?, V5001[a], V5003, V5400		V5001, V5003	
Brandschutt als „bestatteter Ofen“? (im Deponierungshorizont)	V519		V519	

[a]) Mit menschlichem Neugeborenen.

Abb. 224: Gruben mit Sonderfunden, auffälligen Subbefunden und Verfüllungen, die ein absichtsvolles Vorgehen im Zuge der Grubenverfüllung möglich erscheinen lassen: Sonderfunde als symbolische Einbringungen(?); Hell-Dunkel-Einfüllung, Brandschutt- und Aschelagen als Hinweise auf geregelte Verfüllungsvorgänge(?). Mächtige Brandschuttschichten (im Deponierungshorizont) lassen hypothetisch an bewusste Handlungsschritte denken, die ein sinnbildliches „Bestatten“ einer baulichen Einrichtung (eines Hauses oder Ofens) zum Ziel hatten. Da die Merkmale einzeln für sich betrachtet werden, kommen Mehrfachnennungen vor.

Vergangenheit vermitteln.[992] Ihre Bedeutung liegt demnach im Lebendighalten von Werten und Geschehnissen, die der Gesellschaft ihren Sinn verleihen. Für die praktische Umsetzung sind Riten notwendig, welche die Religion und deren Glaubensinhalte begreifbar machen. Sinnbilder finden sich auf Gegenständen aller Art, wo sie als Glücksbringer und Heilszeichen eingesetzt werden. Obwohl sie grundsätzlich in allen Bereichen der menschlichen Kultur vorkommen, werden sie von archäologischer Seite meist in einen religiösen Zusammenhang gestellt, da nicht mit einer klaren Trennung zwischen dem Alltäglichen und dem Heiligen zu rechnen ist. Zur Sinndeutung steht wie bei den materiellen Hinterlassenschaften nur der Zusammenhang zur Verfügung, in welchem das Zeichen angetroffen wird.

7.3 Stillfrieds Position in Mitteleuropa

7.3.1 Zeitgleiche befestigte Zentren mit ähnlicher Befundlage

Die Höhensiedlung Stillfried hatte ohne Frage eine wichtige Stellung innerhalb der Region inne und war Teil eines überregionalen Netzwerkes der spätbronzezeitlichen Gesellschaft Mitteleuropas. Mehrere zeitgleiche, oft befestigte Höhensiedlungen sind im weiteren Umfeld Stillfrieds nachweisbar. Davon umfangreich erforscht sind die Anlagen Oberleiserberg und Thunau am Kamp.[993] Die Entfernungen zwischen den drei Zentralorten lagen bei einem bis zwei Tagesmärschen (Stillfried – Oberleiserberg: ca. 40 km Luftlinie, Oberleiserberg – Thunau: ca. 53 km Luftlinie, Thunau – Stillfried ca. 90 km Luftlinie).

Die meisten Parallelen mit Stillfried weist die etwa 90 km nördlich gelegene Höhensiedlung **Brno-Obřany** auf (Abb. 225). Das etwa 20 ha[994] große Lößplateau erhebt sich mit 100 m hohen Steilhängen über den Fluss Svitava, der die Anlage im Norden, Osten und Süden umfließt. Gegen Nordwesten fällt das Gelände flacher ab. Abschnittsweise wurde die Hochfläche vor allem im Norden und Nordwesten durch Befestigungsanlagen gesichert, deren Bau ins 10. und 9. Jahrhundert v. Chr. fällt. Neben dem Fluss konnte die Wasserversorgung auf der Anlage durch Quellen am West- und Osthang gewährleistet werden. Ein Brandgräberfeld mit mindestens 200 Gräbern lag knapp außerhalb der befestigten Siedlungsfläche. Die archäologischen Untersuchungen umfassen in erster Linie Altgrabungen, die bereits in den 1870er Jahren begannen und vor allem in der ersten Hälfte des 20. Jahrhunderts stattfanden. Über diese Arbeiten veröffentlichte František Adámek 1961 die bislang größte Monographie. Auf dem Plateau konnten dabei zwölf Grubenhäuser dokumentiert werden, in die manchmal Vorratsgruben eingetieft waren. In Objekt LXXIII, einem als Wirtschaftsbau gedeuteten Gebäude, wurden sogar acht Vorratsgruben entdeckt. In einer weiteren „Wohnhütte“ (LXXII) lag in einer Speichergrube das Skelett eines Mädchens auf einer „mit Asche gesättigten Sandschichte von 18–20 cm […], die nach unten zu in eine Schichte feiner grauer Asche überging“. Der Schädel lag höher als der Rumpf, getrennt durch eine 17–20 cm starke, festgestampfte Schicht aus Lehm und Sand.[995] Auch

992. Minta-Tworzowska 2000, 53. – Beilke-Voigt 2015, 11–13.

993. Hellerschmid, Kern, Lochner 2010.

994. Adámek 1961, 185: 42 ha. Damit zählt er offenbar Gebiete außerhalb des Plateaus hinzu. – Čižmář 2004, 95: 19,7 ha. Dabei bezieht er sich auf das umwehrte Plateau.

995. Adámek 1961, 189–190, 214 und Abb. 61, 62.

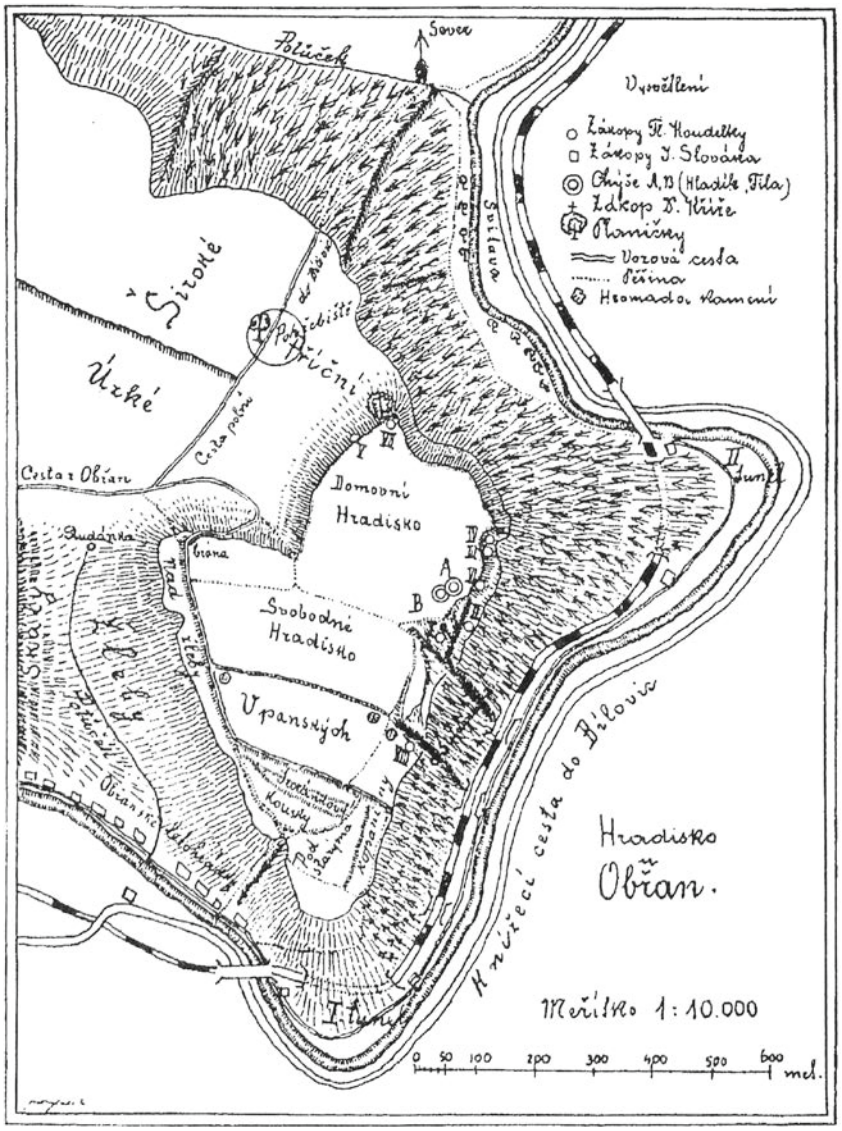


Abb. 225: Befestigte Höhensiedlung Brno-Obřany: Im Norden der Anlage die Trasse „Domovní", die als Wirtschaftsareal mit Speichergruben gedeutet wird. Der südliche Teil wird als Wohnareal interpretiert. Die Nekropole lag im Nordwesten, außerhalb der Befestigungsanlage (Pohřebiště; mit Kreis markiert; Adámek 1961, Abb. 35 nach F. Koudelky nach Vorgaben von J. Hladík.)

außerhalb der Häuser waren mehrere Speichergruben vorhanden. Diese lagen vor allem auf der Nordtrasse „Domovní", seltener im Zentrum und im südlichen Siedlungsbereich. Adámek schloss daher auf eine funktionale Einteilung der Siedlungsfläche. Im Süden befand sich demnach ein dichter bebautes Wohnareal und im Norden ein Wirtschaftsbereich, in dem auch Vorräte gelagert wurden.[996] Die veröffentlichten Vorratsgruben besaßen Bodendurchmesser von bis zu 260 cm bzw. rekonstruierte Volumina bis 7 m³ (Grube G).[997] Damit erreichen sie zwar nicht die extremen Größen weniger Exemplare in Stillfried, die Fassungsvermögen sind dennoch sehr hoch, verglichen mit zeitgleichen Objekten anderer Siedlungen.

Etwa 270 km nordwestlich von Stillfried, im „Böhmischen Paradies", liegt eine weitere spätbronzezeitliche Höhensiedlung, die gewisse Parallelen zur Stillfrieder Anlage aufweist: **Mužský** (Tschechien; Abb. 226). Am Mittellauf der Iser gelegen, besaß sie ebenfalls eine strategisch günstige Position. Mit 15 ha ist das in zwei Plattformen gegliederte Plateau etwas kleiner als Stillfried. Im Westen, Norden und Süden fallen Sandsteinfelsen steil ab, eine Befestigung war dort nicht nötig. An der sanft abfallenden Ostseite wird ein Wall vermutet. Die Oberfläche bildet auch hier eine mächtige Lößschicht. Vor allem Anfang der 1940er- und in den 1950er-Jahren fanden Ausgrabungen auf der Hochfläche

996. Adámek 1961, bes. 197–198.

997. Adámek 1961, 71: Objekt LXXIII-G: Bdm. 260 cm, rek. erh. ob. Dm. 175 cm, erh. T. 160 cm, rek. H. 250 cm. Daraus ergeben sich ein erhaltenes Volumen von 6,02 m³ sowie ein rekonstruiertes Volumen von 7 m³.

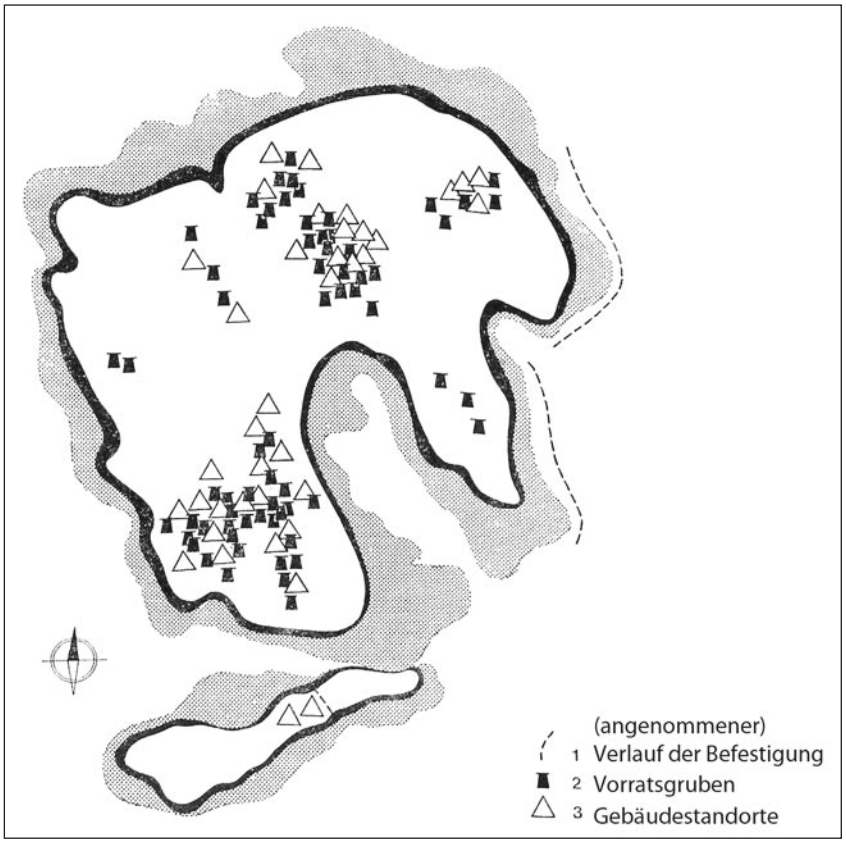


Abb. 226: Plateau der Höhensiedlung Mužský mit spätbronzezeitlichen Befunden. Es handelt sich wie in Stillfried zum Großteil um Vorratsgruben (modifiziert nach Pleslová-Štiková 1981, Abb. 19).

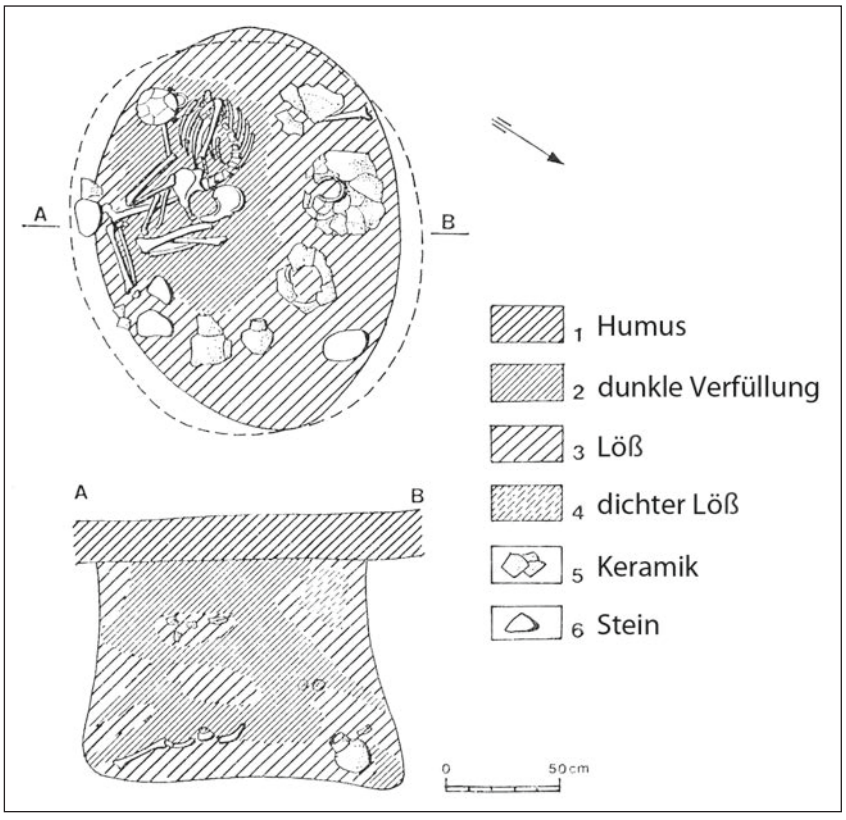


Abb. 227: Kegelstumpfförmige Grube der Höhensiedlung Mužský mit Niederlegung eines menschlichen Körpers auf einer Plattform aus Löß (modifiziert nach Pleslová-Štiková 1981, Abb. 14).

unter der Leitung von Jan Filip statt. Hauptsächlich wurden dabei schmale (2 m) und teils über 100 m lange Suchschnitte durch das Gelände gezogen. An manchen Stellen folgten auch flächige Abdeckungen. Insgesamt betrug die Untersuchungsfläche etwa 0,5 ha. Aus der späten Bronzezeit konnten wie in Stillfried vor allem kegelstumpfförmige Vorratsgruben aufgedeckt werden. Laut Plan dokumentierten die Ausgräber 66 Exemplare, die auf dem gesamten Plateau verteilt waren. Bis auf zwei zweiräumige Pfostenbauten und ein Grubenhaus deuten lediglich zahlreiche Pfostenlöcher, die zu keinen Grundrissen gefügt werden konnten, auf eine stellenweise dichte Bebauung hin. Offenbar gab es keine räumliche Trennung der Häuser und Vorratsgruben, das heißt kein separates Speicherareal. Die veröffentlichten Speichergruben sind mit etwa 150 cm Bodendurchmesser kleiner als die meisten der Stillfrieder Belege. Eine der Vorratsgruben (Obj. 22) barg ein menschliches Skelett, das auf einer Plattform einige Zentimeter oberhalb der Sohle lag (Abb. 227). In weiteren Siedlungsobjekten wurden einzelne menschliche Knochen gefunden. Auch dies ist ein gemeinsames Merkmal mit Stillfried. Der Anlage wird „eine gewisse Funktion als Verwaltungszentrum für das dichtbesiedelte, ungeschützte Hinterland“ zugeschrieben. Die zahlreichen Speichergruben deuten nach der Interpretation von Emilie Pleslová-Štiková von 1981 darauf hin, dass die Höhensiedlung „vielleicht eine Art ‚landwirtschaftliche Vorratskammer‘“ war.[998]

Analogien können in einigen Punkten auch bei der befestigten Siedlung der **Hünenburg bei Watenstedt** gefunden werden. Hier ist in den letzten Jahren vor allem das Umfeld südlich der Befestigung durch großflächige Prospektionen und in kleinerem Umfang auch durch Ausgrabungen untersucht worden. Es konnte eine ausgedehnte Besiedlung („Hünenburg-Außensiedlung“) mit zahlreichen kegelstumpfförmigen Gruben erforscht werden. Eine Vielzahl an gleichartigen Pfosten deutet auf eine enge Bebauung hin. Die teilweise dicht an dicht liegenden Speichergruben erreichen mit Durchmessern von 120–180 cm nicht die Ausmaße der durchschnittlichen Stillfrieder Befunde, einige sind jedoch ebenfalls mit kultisch-religiösen Praktiken in Verbindung zu bringen (Kap. 2.2.3.10). Dazu zählen Niederlegungen von Bronzen und vollständigen Gefäßen sowie Haustieren (vollständig oder in Teilen). Ebenfalls konnten eine menschliche Sonderbestattung sowie menschliche Skelettfragmente in den Siedlungsgruben verteilt über die ganze Grabungsfläche dokumentiert werden. Unter den Fragmenten überwiegen Schädelbruchstücke (Teile vom Hirnschädel), die vergleichbar mit den Stillfrieder Belegen oft gerade Bruchkanten und eine rechteckige – auch zugerichtete – Form aufweisen.[999] Ebenso deutet sich an, dass wie in Stillfried möglicherweise ausgewählte Siedlungsbereiche als „Deponierungszentrum“ genutzt worden sind, da sich die meisten Niederlegungen von Tieren in Grabungsfläche 13 befanden.[1000]

7.3.2 Besiedlung im Umfeld von Stillfried und Brno-Obřany

Im Umfeld der befestigten Wallanlage von Stillfried weisen zahlreiche Lesefunde sowie Grabungen auf eine umfangreiche Besiedlung hin. Hinweise auf eine Siedlungstätigkeit am Fuß der Anlage fanden sich bei der Ausgrabung des späturnenfelderzeitlichen Gräberfeldes „In der Gans“ von 1975 bis 1979. Dort konnte am randlichen Grabungsbereich eine kegelstumpfförmige Grube (Grube F) dokumentiert werden. Die Grube stört ein älteres Grab. Die Bearbeiterin des Gräberfeldes, Margarete Kaus, deutete sie als typische Siedlungsgrube, die dort vermutlich nach Aufgabe dieses Friedhofteils genutzt wurde. Aus der Verfüllung konnten nur wenig Keramik sowie zwei Tonringe geborgen werden. Mit einem Bodendurchmesser von 180 cm erreicht Grube F eine Größe vergleichbar mit den kleinsten Vorratsgruben auf der Höhensiedlung.[1001]

Nur 700 m südlich der Wallanlage befindet sich eine weitere, natürlich geschützte Anhöhe (Flur „Auhagen“). Altfunde zeugen von einer mehrperiodischen Nutzung, unter anderem auch in der Urnenfelderzeit.[1002] Aus der 2 km südlich gelegenen Ortschaft Mannersdorf an der March (Niederösterreich) liegen ebenfalls zahlreiche Funde vor. Dort konnte Mitte der 1990er-Jahre am rechten Marchufer ein ausgedehntes Siedlungsgebiet durch Rettungsgrabungen teilweise erschlossen werden. Die archäologischen Objekte datieren vom Mittelneolithikum bis ins Frühmittelalter. Dokumentiert wurden auch spätbronzezeitliche Gruben, wovon eine vier Ferkelskelette (Ha A) enthielt.[1003] Bauarbeiten führten im Jahr 2018 zu weiteren Rettungsgrabungen an dieser Siedlungsstelle, die weitere Ha-A-zeitliche Speichergruben freilegten.[1004] Auch Fundstücke der

998. Pleslová-Štiková 1981, 177–189.

999. Heske 2016.

1000. Vortrag I. Heske am Workshop “Storage and Consumption/ Speicherung und Ernährung” in Wien, Institut für Orientalische und Europäische Archäologie, am 17.05.2018.

1001. Kaus 1984, 13–14, 146–149 und Taf. 33.

1002. Eibner 1974a, 36–37.

1003. Kern 1996. – Kern 1998. – Kern 1999.

1004. Antl, Kern 2018–2019. – Baumgart 2020a. – Baumgart 2020b.

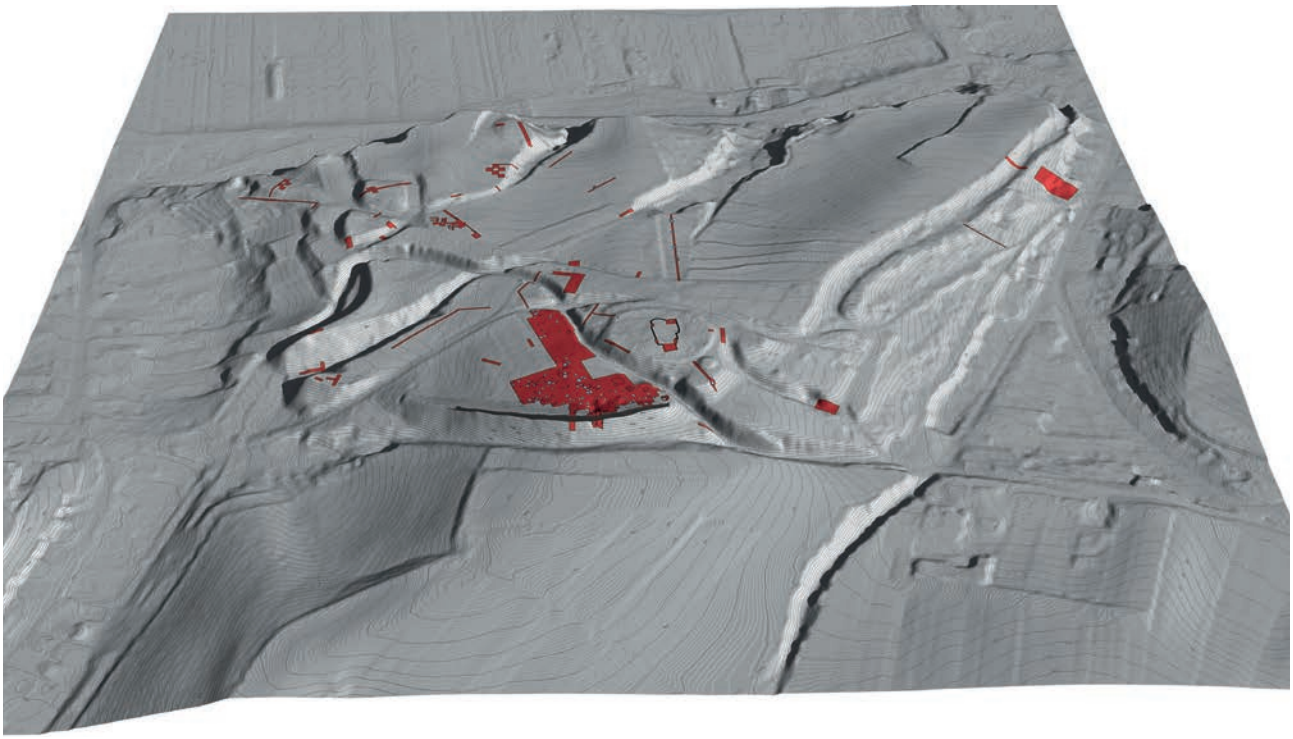


Abb. 228: Dreidimensionale Ansicht der befestigten Höhensiedlung von Stillfried (Ansicht von Westen). Grabungsflächen sind rot, Speichergruben blau markiert (erstellt durch 7reasons Medien GmbH, Wien, M. Klein).

späten Urnenfelderzeit (Ha B) sind aus Mannersdorf bekannt.[1005] An Altfunden sind noch ein älterurnenfelderzeitliches Brucherzdepot mit Schwertresten und zwei Lanzenspitzen zu nennen.[1006]

Gräber der mittleren Urnenfelderzeit (Ha A2–B1) konnten 1,5 km nördlich von Stillfried in der Marchniederung „Alter Mühlgraben" in Grub (Niederösterreich) geborgen werden.[1007]

Rund 45 km nordöstlich befindet sich im slowakischen Senica eine Flachlandsiedlung der späten Bronzezeit (Ha B1 bis Ha B2–3).[1008] Die sechs untersuchten Vorratsgruben weisen deutlich kleinere errechnete Fassungsvermögen von ca. 0,5–1,5 m³ auf. Lediglich Grube 21 erreicht mit 260 cm Bodendurchmesser ein ursprüngliches Volumen von etwa 3 m³.[1009] Ebenfalls eine Besiedlung während der späten Bronzezeit konnte in Lozorno-Široké (Slowakei), etwa 15 km südöstlich von Stillfried, festgestellt werden. Von 1999 bis 2009 untersuchten dort mehrere slowakische Forschungseinrichtungen eine Fläche von 22 ha und dokumentierten Speichergruben mit errechneten Fassungsräumen von 1,5–2,5 m³.[1010]

Auch im Umfeld der Stillfried in vielerlei Hinsicht ähnlichen Anlage von Brno-Obřany gibt es einige Hinweise auf spätbronzezeitliche Besiedlung. Im etwa 10 km südlich gelegenen Modřice (Tschechien; ältere Urnenfelderzeit) maßen die Vorratsgruben nur 1–1,5 m im Durchmesser.[1011] In Lovčičky (Tschechien; Ha A), ca. 20 km südöstlich von Brno-Obřany, wurden sogar 275 Vorratsgruben entdeckt und ergraben. Ihre Bodendurchmesser liegen laut Říhovský zwischen 0,9 und 3,6 m, im Durchschnitt jedoch bei nur 1,4–1,6 m.[1012] Von den abgebildeten Speichern erreichen die meisten nur kleinere Volumina um 1 m³, die größte durch eine Abbildung überprüfbare Grube (Grube 194) kommt mit einem Bodendurchmesser von 235 cm auf ein errechnetes Fassungsvermögen von immerhin 4,26 m³.[1013]

1005. Eibner 1974a, 34.
1006. Eibner 1974a, 34. Datierung: Bz D.
1007. Neugebauer-Maresch 1978.
1008. Vávra, Bača 2016
1009. Grube 21: Bdm. 260 cm, rek. ob. Dm. 50 cm, erh. T. 142 cm.
1010. Bartík, Elschek, Varsik 2013, 72.
1011. Parma 2012.
1012. Říhovský 1982, 27.
1013. Říhovský 1982, Abb. 12/15: Bdm. 235 cm, erh. ob. Dm. 160 cm, erh. T. 110 cm, rek. T. 200 cm.

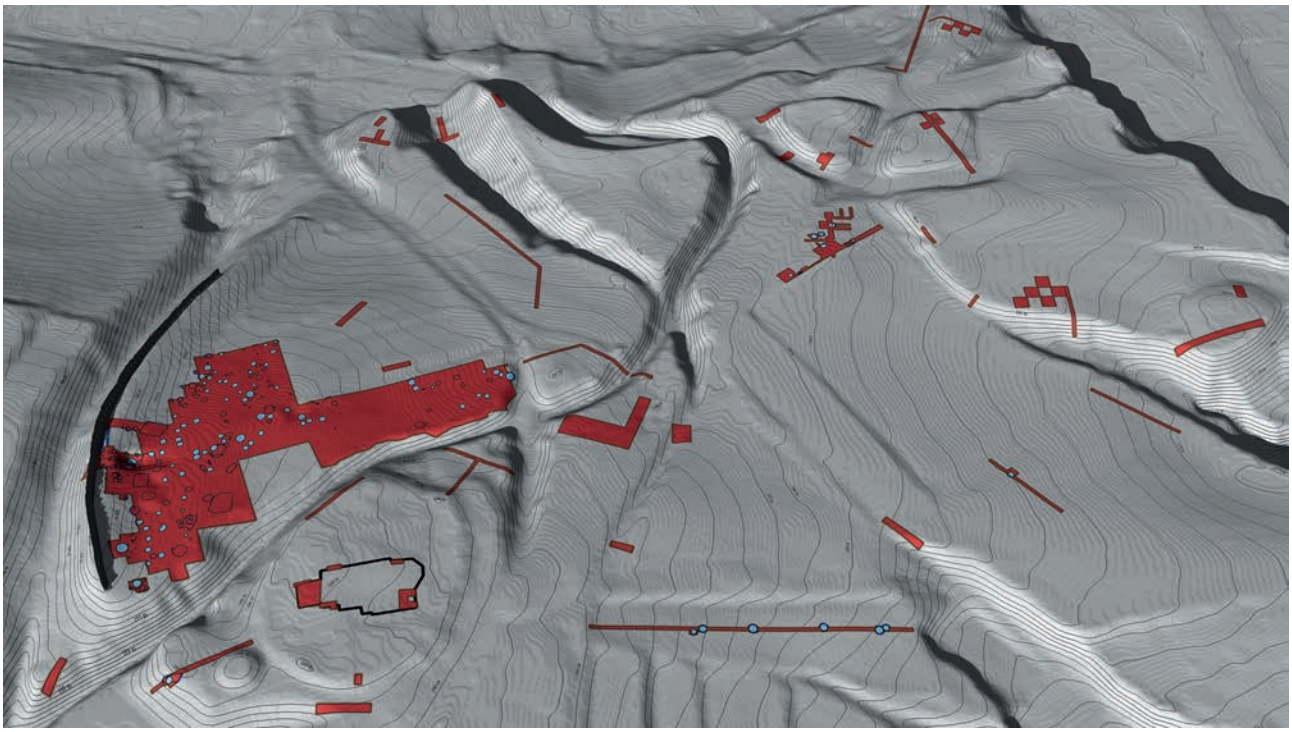


Abb. 229: Nähere Ansicht der Wallanlage von Süden. Linker Hand (im Westen) befindet sich der rekonstruierte, westliche Abschnittswall mit vorgelagertem Graben. Grabungsflächen sind rot, Speichergruben blau markiert (erstellt durch 7reasons Medien GmbH, Wien, M. Klein).

Es kann festgehalten werden, dass in der Umgebung der beiden Zentralsiedlungen Stillfried und Brno-Obřany vermutlich zeitgleiche Ansiedlungen bestanden haben, die selbstständig die Speicherung von Nahrungsmitteln betrieben. Die Zentralorte dienten demnach nicht der (vollständigen) Versorgung der Bevölkerung ihrer Einflussgebiete. Allerdings deutet sich an, dass die Speicher in den Flachlandsiedlungen kleiner als jene auf den Höhensiedlungen waren.

7.4 Stillfrieds Position im Siedlungsgefüge – Diskussion zur Speicherpraxis

Es ist schwer vorstellbar, dass es sich bei der ansehnlichen Getreidemenge, die aus einer der übergroßen Gruben von Stillfried zu heben war, um Überschüsse einer einzelnen Wirtschaftseinheit handelte. Inwieweit diese Überlegung Auswirkungen auf die Bedeutung und Aufgabenstellung des Zentralortes Stillfried (Abb. 228, 229) hat, soll hier erläutert werden. Die archäologischen Hinweise erlauben es, unterschiedliche, vor allem aus ethnologischen Untersuchungen bekannte Nahrungsverteilungssysteme auf eine Anwendbarkeit auf die Situation in Stillfried zu prüfen (Abb. 230). Im Folgenden werden unterschiedliche Modelle der Vorratshaltung vorgestellt, die Übertragbarkeit diskutiert und eine alternative Deutung für Stillfried vorgestellt.

7.4.1 Häusliche/domestikale Vorratshaltung

Ziel der domestikalen Vorratshaltung ist die Versorgung des individuellen Haushalts mit Gütern, die für das Überleben der eigenen Familie/Kleinstgruppe benötigt werden. Können in ertragreichen Jahren Überschüsse erwirtschaftet werden, besteht die Möglichkeit, diese in den Tausch oder Handel einfließen zu lassen. Die regelmäßige Versorgung des Marktes ist jedoch nicht das vorrangige Ziel dieser Strategie. Die Güter der Wirtschaftseinheiten werden individuell erzeugt und auf dem eigenen Grundstück gelagert. Die Aufbewahrung kann sowohl in Einheiten innerhalb des Wohnhauses, in eigenständigen Speichereinrichtungen am Hof oder auch außerhalb der Ansiedelung auf dem Feld erfolgen. Zum Teil werden Speicher diskret verborgen, wodurch die Erträge eher versteckt und nicht ausgestellt werden.[1014]

Im archäologischen Zusammenhang kann häusliche Bevorratung dann angenommen werden, wenn sich Speichereinrichtungen innerhalb von zeitgleichen Hausgrundrissen bzw. im direkten Umfeld derselben befinden. Bevorratung auf dem Feld ist dagegen nicht fassbar. Auf der Wallanlage Stillfried sind kaum Spuren ehemaliger Wohn-

1014. Sigaut 1979. – Bartl 2004, 92–93, 155–160.

gebäude feststellbar. Dies erschwert eine Aussage darüber, in welcher Beziehung die gefundenen Speichergruben zu den anzunehmenden Wohnbereichen standen. Wir vermuten auf den festgestellten Freiflächen innerhalb der ergrabenen Bereiche zeitgleiche Pfostenbauten (Kap. 2.3.2.2), deren Pfostengruben aufgrund mehrmaliger Geländeveränderungen in Mittelalter und Neuzeit gekappt wurden. Kleinere Häufungen von Gruben, die in Form, Größe oder auch in der Art ihrer Verfüllung ähnlich sind, können dafür sprechen, dass diese Speicher von der gleichen Wirtschaftseinheit auf dem jeweiligen eigenen Grundstück angelegt wurden. Als Beispiel kann die Grubenkonzentration V341, V383, V394, V407, V409 und V412 im Osten des „Hügelfeldes" mit einem möglichen Hausstandort genannt werden (Kap. 2.3.2.2). Da die Verteilung der Vorratsgruben, wie unsere Auswertungen zeigen, nicht auf das „Hügelfeld" beschränkt ist, sondern diese in allen untersuchten Flächen des Plateaus vorkommen, besteht die Möglichkeit, an mehreren Stellen Wirtschaftsbereiche zu rekonstruieren.

7.4.2 Kommunale und zentrale Vorratshaltung

Bei **kommunaler Vorratshaltung** werden die erwirtschafteten Vorräte an einem gemeinsam genutzten Ort gespeichert. Die Erträge oder Teile davon können in ein Wiederverteilungssystem einfließen und von einer lokalen Führungsschicht verwaltet werden. Davon wird in erster Linie die eigene Bevölkerung versorgt, größere Überschüsse können auch zu anderen Zwecken verwendet werden.[1015] Als Beispiel kann die sumerische Wirtschaftsweise des 3. Jahrtausends v. Chr. im südlichen Mesopotamien dienen. Dort war die Vorratshaltung in großen Magazinen vereint, um die Güter später wieder zu verteilen.[1016]

Eine gesteigerte Stufe stellt eine **zentrale Vorratshaltung** dar, bei der Güter entweder individuell oder gemeinschaftlich durch Menschen erwirtschaftet werden, die in einer Produktionsverpflichtung einer Führungsschicht stehen. Eine Verwaltung sorgt dafür, dass die Erträge zentral verwahrt und erst später in Form von Rationen wieder an die Erzeuger verteilt werden. Überschüsse dienen anderen Zwecken, wie beispielsweise dem Kult oder Handel.[1017]

Entgegen der Deutung, die bronzezeitliche Palastwirtschaft Kretas fungierte als Umverteilungssystem, bei dem die Güter an Angehörige aller sozialer Schichten verteilt wurden, nimmt Kostis S. Christakis an, dass der gespeicherte Reichtum nur den Bedürfnissen der herrschenden Elite diente. Neben der eigenen Versorgung und jener der Gäste sollten die Güter auch für zeremonielle Festivitäten vorliegen, um die politische und soziale Macht der Führungsschicht auszudrücken und deren Status zu bekräftigen.[1018]

Als archäologischer Hinweis auf eine herrschende Personengruppe in Stillfried kann die starke Befestigung der Anlage selbst dienen. Der festungsartige Ausbau des Plateaus schützte nicht nur die Fläche und die verwalteten Güter, sondern war auch Ausdruck von politischer Macht und sozialem Ansehen einer herausragenden Gruppe. Hierauf deuten auch symbolträchtige Bronzefunde wie das pontisch-kaukasische Pferdezaumzeug,[1019] die von Immo Heske als „schichtspezifische Bronzen" bezeichnet werden.[1020] Daneben spricht die sekundäre Nutzung vieler Gruben für Tierniederlegungen und Verfüllungsmuster für festgeschriebene religiöse oder profane Regeln, die von einer gesetzgebenden Autorität vorgegeben wurden. Auch die teilweise sehr großen Volumina der Speichergruben könnten ein Hinweis darauf sein, dass es sich um Erträge von mehreren Erzeugern handelt. Die Gruben fassten möglicherweise Naturalienabgaben der bäuerlich wirtschaftenden Bevölkerungsschicht an die ansässige Führungsschicht, die im Gegenzug Schutz gewährte.

Gegen einen ausschließlich zentralen Verwaltungsapparat spricht die Vielfalt an Grubenformen und Grubengrößen sowie deren Verteilung in scheinbar locker getrennten Gruppen (Abb. 33, 40, 67). Bei einer ausschließlich von behördlicher Instanz geregelten Vorratshaltung würde man einheitlichere Speichereinrichtungen an einem gemeinsamen Platz erwarten.

7.4.3 Gemeinschaftliche Vorratshaltung auf individueller Basis

Von einer einzelnen Wirtschaftseinheit erzeugte Erträge können auch kollektiv gelagert werden, wobei die Verwaltung auf individueller Basis erfolgt. Die Speicheranlagen werden in diesen Fällen gemeinschaftlich erbaut, verwaltet und gesichert. Hierfür sind keine übergeordneten Verwaltungsgefüge und staatlichen Einrichtungen notwendig.[1021]

Eine Analogie zur gemeinschaftlichen Speicherung auf individueller Basis findet sich in den historischen Speicher-

1015. Bartl 2004, 93.

1016. Deimel 1931. – Falkenstein 1954. – Falkenstein 1974. – Huot 1989. – Huot 1991, 176. – Bartl 2004, 528–531. – Pfälzner 2008, 163.

1017. Bartl 2004, 93, 143–144, 156–160. – Pfälzner 2008, bes. 163.

1018. Christakis 2011. – Christakis 2014.

1019. Kaus 1984, 23–28. – Kaus 1988.

1020. Heske 2010, 286.

1021. Bartl 2004, 93, 145–149, 156, 159. – Pfälzner 2008.

burgen in Bergregionen des nordafrikanischen Raumes. Dies sind massive, mehrstöckige Gebäude, die in befestigten oder unbefestigten Siedlungen errichtet wurden. Das Innere besteht aus systematisch oder unsystematisch angelegten Kammern, von denen jede Familie mehrere besitzt, um darin unterschiedliche Nahrungsmittel zu bevorraten. Obwohl die Speicherburgen selbst Eigentum der jeweiligen Stämme sind, obliegen die Speicherabteile dem Privatbesitz der einzelnen Familien. Die Nutzer sind jedoch verpflichtet, die Kammern instand zu halten. Eine männliche Person bewacht permanent die Speicherburg und erhält dafür eine Entschädigung von jeder Einheit. Ein Typ dieser Speicherburgen, die sogenannten *agadir*, steht außerdem eng mit der geistigen Welt in Verbindung, was durch nahegelegene Sakralbauten deutlich wird. Sie gelten sogar als heilige Orte, wobei heute nicht geklärt ist, ob dies erst in islamischer Zeit entstand oder bereits auf ältere Formen zurückgeht.[1022]

Die Bevölkerungsgruppen, die diese Speicherburgen nutzten, zeichnen sich durch eine Lebensweise aus, die nicht den Gemeinschaften der spätbronzezeitlichen Urnenfelderkultur entspricht.[1023] Ihre Lösung, einen kollektiven Speicher anzulegen, ist aber auch für andere prähistorische Kulturräume Mitteleuropas denkbar, da eine gemeinsam organisierte und kontrollierte Vorgehensweise wirtschaftlicher bei der Errichtung und wirksamer bei der Bewachung ist und darüber hinaus die Sozialbeziehungen der Gruppe festigt. Die gemeinsame Bewachung verstärkt den Schutz der Güter, welche jedoch im persönlichen Eigentum verbleiben.[1024]

Hinweise auf eine derartige Handlungsform in Stillfried finden sich in den sehr unterschiedlichen Grubenformen und -größen (Abb. 40, 67). Ebenso deuten Konzentrationen ähnlicher Speichergruben auf individuelle Eigentumsverhältnisse oder auf Besitz von Kleingruppen wie Dorfgemeinschaften. Hier können sich Eigentumsrechte von räumlich begrenzten Flächen innerhalb der Anlage widerspiegeln.

Die stark befestigte Anlage könnte auch außerhalb der Wallanlage liegende, jedoch zugehörige Wirtschaftseinheiten dazu bewogen haben, diesen geschützten Platz für die Speicherung ihrer wertvollen Erträge, oder zumindest für einen Teil davon, zu nutzen. Die Schichtmuster in den Gruben sprechen für Handlungsschritte, die kultischen bzw. profanen Regeln und Vorschriften folgten und offenbar auf der Anlage eingehalten werden mussten. Die sekundäre Verwendung der Gruben für die Niederlegung von Tierkörpern lässt an darüber hinausgehende Vorgänge denken, die von höchster Hand gesteuert wurden.

7.4.4 Alternative Interpretation: Stillfried als Handelszentrum

Als andere Deutungsmöglichkeit werden die überdurchschnittlich großen Gruben mit Handel in Verbindung gebracht. Dabei kaufen Händler Getreide von Erzeugern aus der Umgebung von Stillfried. Die Böden im Umkreis von Stillfried eignen sich zum Großteil sehr gut zur Nutzung als Ackerland.[1025] Voraussetzung für diese These ist allerdings eine Überschusswirtschaft der ansässigen Bauern. Unter „Überschuss" wird jene Erntemenge verstanden, die über den Eigenbedarf hinaus (für zwei Jahre gerechnet) erwirtschaftet werden konnte. Nur diesen Teil konnten die Erzeuger an Handelstreibende verkaufen. Die Händler wiederum nutzten die Wallanlage von Stillfried für die Lagerung sowie möglicherweise auch als Verkaufsplattform. Das Getreide konnte dabei in sehr großen Gruben gelagert werden. Dies geschah in unmittelbarer Nähe des Ansitzes der herrschenden Gruppe/Familie am höchsten Punkt der Anlage, die am Handel durch Abgaben beteiligt war. Im Gegenzug erhielten Händler einen sicheren Lagerplatz sowie eine prominente Verkaufsfläche. Die Speicherung des Korns ergibt Sinn, wenn Preisspekulation betrieben wurde. Vorratsgruben eignen sich zur verlustarmen Aufbewahrung über mehrere Jahre. In Zeiten ertragreicher Ernten und niedriger Preise konnten die Händler die Gruben füllen und in mageren Phasen, Monate oder Jahre später, zu deutlich höheren Preisen verkaufen. Die sehr großen Mengen, die bei Öffnung der Gruben anfielen, waren dann leicht zu veräußern. Diese Vorgehensweise lässt sich in historischen Schriften des Öfteren erkennen.[1026] Der Reisende Charles Yriarte berichtet 1877 über seinen Aufenthalt in der italienischen Stadt Foggia: Auf der großen Piazza delle Fosse befänden sich „mehr als tausend Getreidegruben" ,[1027] die mit Nummern markiert waren. Diese stellen

1022. Jacques-Meunié 1944. – Jacques-Meunié 1949. – Suter 1964. – Bartl 2004, 145–149.

1023. Die Bevölkerung lebt nomadisch, halbsesshaft oder sesshaft, wobei Letztere mit Sommer- und Winterwohnsitzen zwei unterschiedliche Regionen besiedeln.

1024. Bartl 2004, 159–160.

1025. Kohler-Schneider 2001, 16–19. Sie führte eine Umfeldanalyse in einem 5-km-Radius um Stillfried durch.

1026. Schlier 1825, 40–49, 83–90. – Müller 1828, 3481–3489. – Panzer 1830, 5–6.

1027. Yriarte 1877, 274 „Une des portes de la ville donne sur une vaste place (piano delle Croce ou piazza delle Fosse), sous le sol de laquelle s'ouvrent plus de mille fosses ou puits à grains, en forme de

	häuslich/domestikal	kommunal/zentral	gemeinschaftlich auf individueller Basis	Handelszentrum
starke Befestigung		X	X	X
Verteilung auf ganzer Anlage	X			
Zwischenräume (Platz für Gebäude)	X			
kleinere Konzentrationen ähnlicher Gruben, Grubenpaare	X		X	X
kein einheitliches Schema der Formen/ Größen	X		X	X
sehr große Speichergruben		X		X
Hinweise auf Regeln/Kult		X	X	

Abb. 230: Tabellarische Übersicht der möglichen Formen von Vorratshaltung. In der linken Spalte sind die in Stillfried feststellbaren Fakten angeführt. Wurde keine Markierung gesetzt, bedeutet das nicht zwingend einen Kontrapunkt.

öffentlichen Reichtum dar, wobei die einzelnen Gruben Privateigentum waren und vermietet werden konnten. Der Handel fand direkt auf dem Platz statt und war seit 1725 streng geregelt.[1028]

Inwieweit eine solche Situation auf das spätbronzezeitliche Stillfried übertragen werden kann, muss offen bleiben. Sehr große Gruben, eine strategisch günstige Lage und nachweisbare Handelskontakte bieten Argumente für diese These. Die March eignet sich als Transportweg sowohl nach Süden, wo man nach etwa 30 km auf die Donau trifft, als auch nach Norden ins heutige Mähren. Abnehmer des Getreides könnten Gruppen gewesen sein, die keinen oder nur wenig Ackerbau betrieben und im Gegenzug ihrerseits Erzeugnisse, etwa von der Weidewirtschaft oder des Bergbaus, gaben.

7.4.5 Resümee

Vorstellbar für die Höhenanlage von Stillfried ist eine Mischform aus mehreren Funktionen. Möglicherweise errichteten verschiedene Gruppen (Wirtschaftseinheiten, Familien, Dorfgemeinschaften, sonstige soziale Gruppen) in bestimmten Bereichen der Anlage Vorratsgruben. Überdurchschnittlich große Gruben können dabei von Mitgliedern höherer Gesellschaftsschichten oder der Elite selbst am höchsten Bereich der Höhensiedlung und damit am nächsten zum Herrschaftssitz angelegt worden sein. Die großen Mengen an Getreide kamen mutmaßlich durch Abgaben von Teilen der Erträge der bäuerlich wirtschaftenden Bevölkerungsschicht zustande, die im Gegenzug Schutz erhielten. Vorstellbar sind zudem spezialisierte Händler, die Stillfrieds Position für ihr Gewerbe nutzen konnten und Gewinnanteile an die Führungsschicht abgeben mussten.

cuves, dont l'ouverture est au niveau du sol, se recouvre d'un plancher et, sur ce plancher, d'une couche de terre".

1028. Yriarte 1877, 274–275.

8. Zusammenfassung / Summary

Zusammenfassung

In der vorliegenden Veröffentlichung werden die kegelstumpfförmigen Gruben der Wallanlage von Stillfried an der March einer vergleichenden Betrachtung unterzogen. Diese stützt sich auf 94 Gruben, die im Rahmen der systematischen Ausgrabungen von Felgenhauer (Universität Wien) zwischen 1969 und 1989 zutage kamen (Kap. 1.3).

Die Studie wurde im Rahmen eines vom FWF (Fonds zur Förderung der wissenschaftlichen Forschung) finanzierten Projekts (P 28005-G25) durchgeführt, das am Institut für Orientalische und Europäische Archäologie (OREA) der Österreichischen Akademie der Wissenschaften angesiedelt war, wo es auch zusätzliche finanzielle Unterstützung erfuhr.

Grundlagen unserer Forschungen bildeten die veröffentlichte Dissertation von Hellerschmid zu den urnenfelderzeitlichen Objekten von der Hauptgrabungsfläche „Hügelfeld" sowie die Erkenntnisse aus dem FWF-Projekt zu den Tier- und Menschendepositionen[1029] (Abb. 9). Um Aussagen zur räumlichen Verteilung innerhalb der Wallanlage treffen zu können, haben wir Gruben von den bisher unbearbeiteten Grabungsflächen „Wagneracker", „Bügeleisen" und „Küssleracker" in die Studie einbezogen.

Es hat sich gezeigt, dass annähernd alle Vertreter dieser kennzeichnenden Befundgruppe der späten Urnenfelderzeit (Stufen Ha B1–Ha B3) zuzuweisen sind, obwohl die Hochfläche in nachfolgenden Epochen auch noch intensiv genutzt wurde. Diese Zeitspanne entspricht den vier Siedlungsphasen der internen Stillfried-Chronologie nach Hellerschmid (Sph. I, II, III/1, III/2; Kap. 1.4.1; Abb. 29, 33). In ihrer Erstnutzung deuten wir die Gruben als unterirdische Speicher für Getreide, die wichtigsten Feldfrüchte zu jener Zeit. Im stabilen Löß konnten sie über viele Jahre immer wieder aufs Neue mit Korn gefüllt und entleert werden.

Die Verteilung der Gruben lässt annehmen, dass die ersten Speicher hauptsächlich nahe am vermuteten Ansitz der herrschenden Elite (dem „Kirchhügel") angelegt wurden (im Südteil des „Hügelfeldes", Kap. 1.4.3; Abb. 33). Nach den aktuellen Erkenntnissen erreichte die Siedlungstätigkeit in den Abschnitten II und III/1 ihren Höchststand, woraus auf eine Hochblüte des Zentralortes im späten 10. und frühen 9. Jahrhundert v. Chr. geschlossen werden kann (Ha B2 und Ha B3 früh). Alle feinchronologisch aussagekräftigen Gruben der neuen Grabungsflächen („Wagneracker" und „Küssleracker") weisen wir Siedlungsphase II zu.

Im letzten urnenfelderzeitlichen Siedlungsabschnitt (III/2) verringert sich die Zahl der Gruben, wobei nun fast ausschließlich der Nordteil des „Hügelfelds" mit Vorratsgruben belegt wurde.

In der nachfolgenden Hallstattzeit sind Vorratsgruben kaum vertreten. Die Getreidespeicherung erfolgte offensichtlich oberirdisch, was mit den bekanntermaßen feuchteren Klimabedingungen zu erklären ist.

Die Gruben zeigen eine große Vielfalt in Form und Größe auf (zwischen 2 und 12 m³, Kap. 2.1.1 und 2.1.2), die für einen Gestaltungsfreiraum ihrer Erbauer und gegen feste Regelungen spricht (Kap. 7.4). Deutlich gerundete Formen (Formgruppen 2 bis 5; Abb. 34) erklären wir als die Folge von Reinigungs- und Instandhaltungsarbeiten. Diese Objekte waren demgemäß über mehrere Speichersaisonen

1029. Hellerschmid, Griebl in Vorbereitung.

in Verwendung. Gruben mit spitzwinkeligem Sohle-Wandübergang und waagrechtem Boden (Formgruppe 1) standen dagegen deutlich kürzer in Betrieb, ehe sie aufgelassen und verfüllt wurden.

Nach dieser Schlussfolgerung dienten die meisten Gruben mit Tierniederlegungen zuvor über lange Zeit als Speicher.

Vorliegende Vergleichsstudie erfasst die Gruben in ihrer Gesamtheit. Dazu zählen Spuren von der Erstnutzung wie Wandverputz oder Abdrücke von Steigbäumen (Kap. 2.1.1.2 und 2.2.1) genauso wie das abschließende Verfüllungsgeschehen (Kap. 2.2.3) und eventuelle spätere Eingriffe (Kap. 2.2.4). Wir entwickelten eine einheitliche Darstellungsweise aus schematischen Profilzeichnungen, einer Matrix der Schichtnummern und neu gestalteten Bildzeichen für die Funde (Kap. 10.1; Abb. 47, 231).

In den Verfüllungen der aufgelassenen Speicher sind für Stillfried allgemeingültige Beobachtungen festzustellen, die wir als Verfüllungsmuster bezeichnen. So wurden alle Gruben nach ihrer Auflassung rasch verfüllt. Die Einfüllschichten lassen sich bei annähernd allen Gruben in drei Abschnitte gliedern, wobei der Großteil der Funde im unteren Grubenteil vorzufinden war (Sohle und „Deponierungshorizont“). Im oberen Grubenbereich ist fast durchgängig braun-lehmige, fundarme Erde eingefüllt worden (Schichtschlüssel 9, Abb. 47). Mit diesem raschen und vollständigen Verschließen der nicht mehr in Verwendung stehenden Gruben sollten vermutlich Unfälle vermieden werden. Bei kultischem Hintergrund kommt wohl Schutz vor (frevelhaften) Störungen dazu.

Zweiundzwanzig Gruben wurden genutzt, um Tierkadaver oder menschliche Überreste auf Plattformen abzulegen (Tier- und Menschendepositionen): In 17 Gruben – ausschließlich vom „Hügelfeld“ – befanden sich Wild- und Haustiere wie Rothirsch, Hausschwein, Feldhase, Wildschwein und Haushund. In den fünf restlichen Verfärbungen, welche sich über alle Grabungsflächen verteilen, zeigten sich Skelett(teil)e bzw. menschliche Schädel (Kap. 2.2.3.7 und 2.2.3.8; Abb. 49, 55, 223). Zahlreiche Sonderfunde aus deren Umfeld unterstreichen den kultischen Hintergrund dieser Befunde.

Die Zahl des gewöhnlichen Siedlungsmülls ist in allen Gruben allgemein niedrig, während der Anteil an auffälligen Funden (Sonderfunden) im Verhältnis dazu oft hoch ist. Bei Letzteren handelt es sich zu einem Gutteil um Bruchstücke von Handwerkszubehör, kultisch konnotierte Funde wie üppig verzierte keramische Miniatur(sonder)gefäße, Feuerbockfragmente und bemerkenswerte Einzelstücke (Kap. 2.2.3.3). Besonders hervorzuheben sind eine Reihe von absichtsvoll zugerichteten Gegenständen wie senkrecht halbierte Keramikgefäße und rechteckige Reibplattenteilstücke (Kap. 3.1.2.2 und 3.5.1). Einige Funde liegen auch vollständig und funktionstüchtig vor. Alle Beispiele könnten profanen oder auch kultischen Zwecken im Siedlungsbereich gedient haben, bevor sie in die Gruben gelangten (Kap. 7.2.2.2; Abb. 52). Unsere Hypothese lautet, dass viele Sonderfunde absichtsvoll eingebracht wurden, um das Nutzungsende dieser bedeutenden Speichereinrichtungen symbolhaft anzuzeigen.

Je häufiger und regelhafter außergewöhnliche Funde (Sonderfunde) und profan kaum erklärbare Fundsituationen (Subbefunde) innerhalb ein und derselben Grube vorkommen, desto größer ist die Wahrscheinlichkeit, dass ein ritueller Hintergrund des Gesamtbefundes vorliegt. Voraussetzung für unsere Definition von rituellen Vorgängen ist, dass dabei nicht greifbare (transzendentale) Kräfte eingebunden waren (Kap. 7.2.1). In vielgestaltigen Befundsituationen könn(t)en sich Handlungsschritte von mehrstufigen Kultvorgängen zu erkennen geben. Ein gutes Beispiel dafür ist Grube V2784 mit dem einzigen bisher bekannten Bronzehortbeleg von Stillfried, die darüber hinaus Keramikgefäße, Arbeitssteine und Tierskelette barg. Eine kultische Deutung schlagen wir auch für Objekt V643 vor, wo eine verkohlte Getreidelage als Saatgut bestimmt werden konnte. Dieses wurde gemeinsam mit einem unvollständigen Feldhasen, einem Geweihstück und einem Bronzeniet am Grubenboden abgelegt.

An weiteren Deponierungen fanden sich vor allem Keramikgefäße bzw. dicht gedrängt liegende Gefäßbruchstücke. Ob es sich dabei um nicht mehr gehobene (Vorrats) Gefäße aus einer Nachnutzung der Grube oder um absichtsvolle Niederlegungen von Opfergaben (Trank- oder Speiseopfer) gehandelt haben könnte, musste von Fall zu Fall entschieden werden (Kap. 2.2.3.2).

Aus vier Gruben kam Schutt abgebrannter Häuser zu Tage, der teilweise genauso mit auffälligen Funden vergesellschaftet war. Wir haben ein profanes und ein kultisches Erklärungsmodell entworfen. Für die kultische Deutung ziehen wir in Erwägung, darin Hinweise auf „rituell bestattete“ Häuser zu sehen (Kap. 7.1).

Einige kegelstumpfförmige Gruben wurden aufgrund ihrer überdurchschnittlichen Größe (V841) und/oder ihrer Nähe zu Befestigungswall und Ofenreihe vermutlich nicht für Getreidelagerung errichtet (Abb. 13, 55). So gehen wir bei den Gruben V841 und V1141 davon aus, dass von Anbeginn geplant war, darin menschliche Körper zu bestatten (Kap. 2.2.3.7), andere kegelstumpfförmige Eintiefungen sollten als Aschengruben dienen (Kap. 2.2.3.5, Schichtpakete aus feinen, unterschiedlichen Bändern; Abb. 54).

Für Aussagen zu Bedeutung und Stellung der Wallanlage im Hinblick auf die Speicher haben wir verschiedene Modelle von Nahrungsverteilungssystemen auf Anwendbarkeit für den Fundort Stillfried geprüft. Wir schlagen eine Mischform aus individueller und zentraler Vorratshaltung vor, begründet auf der einen Seite in der Unterschiedlichkeit von Form, Größe und der räumlichen Verteilung der Gruben, die eine von straffer Hand organisierte Speicherung allein unwahrscheinlich macht (Kap. 7.4.4). Die Gruben wurden wohl von einzelnen Wirtschaftseinheiten, Familien, Dorfgemeinschaften oder sonstigen Gruppen angelegt und verwendet. Auf der anderen Seite sprechen die sekundäre Nutzung vieler Gruben für Tierniederlegungen und die Verfüllungsmuster für Regeln, die von einer gesetzgebenden Instanz vorgegeben wurden.

Jene Gruben mit sehr großen Fassungsräumen beinhalteten vermutlich Erträge von mehreren Erzeugern, welche am ehesten als Abgaben der bäuerlich wirtschaftenden Bevölkerung an die ansässige Elite erklärbar sind. Im Gegenzug wurde Schutz gewährt. Auch Getreidehandel ist vorstellbar.

In den Ansiedlungen im Umfeld des Zentralortes Stillfried (Ha A, Ha B) lässt sich eigenständige Nahrungsmittelbevorratung nachweisen – allerdings in kleineren Vorratsgruben –, die dem Eigenbedarf dienten (Kap. 7.3.2). Die gespeicherten Getreidemengen auf der Wallanlage zeigen vermutlich eine Verbindung zwischen dem Zentralort und seinem Umfeld auf, die schwer zu erfassen ist.

Zahlreiche Funde – anorganische wie organische – waren aufgrund ihres ausgezeichneten Erhaltungszustandes speziell für naturwissenschaftliche Fachrichtungen von großer Bedeutung. So wurden wesentliche Neuerkenntnisse aus den zeitgenössischen, serienmäßigen Eingriffen an den menschlichen Schädeln gewonnen, die am wahrscheinlichsten als anthropogene Manipulationsspuren zu deuten sind (Kap. 4.3.3). Ein Fortbestehen solcher Totenbehandlungssitten, die ein Hantieren mit (teil)verwesten Körpern einschlossen, deutet sich in Stillfried bis in die Hallstattzeit an (junghallstattzeitliches Grubenhaus V5092 vom „Wagneracker“, Kap. 4.2.1.4).

Drei kleine, verkohlte, ringförmige Objekte aus Grube V5400 waren wiederum aus archäobotanischer und kulturanthropologischer Sicht von großem Interesse. Sie konnten als feucht geformte Getreideerzeugnisse aus fein gemahlenem Gersten- und Weizenmehl bestimmt werden (Kap. 3.8). Die Tragweite dieses bemerkenswerten Ergebnisses zeigt sich in der Tatsache, dass bereits von Kohler-Schneider drei Getreide-Zubereitungsarten vom urnenfelderzeitlichen Stillfried nachgewiesen werden konnten (Brei, Brot, breiähnliches Gericht/„Hirsotto“). Nun ist eine vierte Verarbeitungstechnik von Nahrungsmitteln hinzuzufügen.

Unsere systematische Herangehensweise hat aufgrund der großen Aussagekraft der gut erhaltenen Grubenbefunde zu vielen Ergebnissen geführt. Diese bereichern die Diskussion zu aktuellen Fragen der Vorratshaltung in der Urzeit und sind bereits zum Ausgangspunkt weiterer Forschungen der Autoren zu dieser Thematik geworden.[1030]

Summary

In the current publication, the bell-shaped pits of the Late Bronze Age hillfort at Stillfried/March are subjected to a comparative analysis. This is based on 94 pits that came to light during the systematic excavations under the direction of Fritz Felgenhauer (University of Vienna) that took place from 1969 to 1989 (Chap. 1.3). The study was carried out within the framework of Project P 28005-G25 which was funded by the FWF (Austrian Science Fund), and hosted as well as financially supported by the Institute for Oriental and European Archaeology (OREA) of the Austrian Academy of Sciences.

The basis of our research was Irmtraud Hellerschmid's published dissertation on the Urnfield period features from the main excavation area called "Hügelfeld" and the results achieved in a FWF-project dealing with the animal and human depositions in Stillfried, located in the area of "Hügelfeld", in the adjacent western rampart and in the part of the site called the "Kirchhügel" (V1141,[1031] Fig. 9). In order to be able to make statements about the spatial distribution at the hillfort, we included pits from the previously unprocessed excavation areas of "Wagneracker", "Bügeleisen" and "Küssleracker" in the study.

It has been attested that almost all the pits of this characteristic group of features can be assigned to the Late Urnfield period (Ha B1–Ha B3), although the plateau was also used intensively in subsequent epochs. This time span corresponds to the four settlement phases of the internal Stillfried chronology according to Hellerschmid (Phases I, II, III/1, III/2, Chap. 1.4.1; Figs. 29, 33). We interpret the pits as underground storage facilities for grain, the most important field crop at that time. In the stable loess environment they could be filled with grain and emptied again and again over a period of many years.

1030. Biederer 2018. – Biederer 2019. – Biederer 2020. – Biederer 2022.

1031. 2011–2015, project leader: I. Hellerschmid. – Hellerschmid, Griebl in Vorbereitung.

The distribution of the features suggests that the first storage pits were built mainly near the presumed residence of the ruling elite in the southern part of the "Hügelfeld" (the so-called "Kirchhügel", Chap. 1.4.3; Fig. 33). According to current knowledge, the settlement activities reached their peak in the phases II and III/1, from which it can be concluded that this site was most successful in the late 10th and early 9th century BC (Ha B2 and early Ha B3). All the pits of the new excavation areas "Wagneracker" and "Küssleracker" which have detailed chronological information are assigned to the settlement phase II.

In the last settlement phase of the Urnfield period (III/2), the number of pits reduced. Storage pits for this period were almost exclusively discovered in the northern part of the "Hügelfeld".

In the subsequent Hallstatt period, which is relatively weakly documented at Stillfried, storage pits are hardly represented. Grain storage apparently took place above ground, which can be explained by the more humid climatic circumstances at that time.

The pits show a great variety in shape and size (between 2 and 12 m^3, Chaps. 2.1.1–2.1.2), which points to the absence of strict guidance when it came to the creation of storage places (Chap. 7.4).

We interpret clearly rounded shapes (shape groups nos. 2–5, Fig. 34) to be the result of cleaning and maintenance work. Accordingly, these objects were in use for several storage seasons. On the other hand, pits with acute-angled bottom/wall-transitions and a horizontal floor (shape group no. 1) were in use for a significantly shorter period of time before they were filled with earth material. Based on this observation, we can state that most of the pits with animal depositions had previously served for storage for a long period of time.

The current book is a comparative and comprehensive study of the pits in their entirety. This includes traces of their initial use, such as plastered walls or imprints left behind from ladders made from tree trunks (Chaps. 2.1.1.2; 2.2.1), as well as the final backfilling process (Chap. 2.2.3) and any subsequent intervention (Chap. 2.2.4). We developed a uniform method of representation from schematic profile drawings, a matrix of the layer numbers and newly designed icons for the finds (Chap. 10.1; Figs. 47, 231).

In the backfilling of the abandoned storage facilities, there are general observations that we call backfill patterns. All the pits were quickly filled in after they were closed. In almost all the pits, the infill can be divided into three sections, in which the majority of the finds came from the lower part of the pit (the bottom and the so-called "deposit horizon"). In the upper part of the pit, brown-loamy soil with only a few finds was used almost entirely as an infill (layer type no. 9, Fig. 47). With this rapid and complete closure of the pits that were no longer in use, it was probable that accidents would be avoided by doing so. In the case of a cultic background, protection against disturbances is an additional reason.

Twenty-two pits were used to deposit animal carcasses or human remains on platforms (animal and human deposits): 17 pits – exclusively from the "Hügelfeld" – were used to deposit wild and domestic animals such as red deer, domestic pigs, hare, wild boar and domestic dogs. In the five remaining pits, which are distributed over all the excavation areas, human skeletons (or parts of them) or skulls were found (Chaps. 2.2.3.7–2.2.3.8; Figs. 49, 55, 223). Numerous special finds within the context of the depositions underline a cultic background for these features.

The amount of ordinary settlement waste is generally low in all the pits, while the proportion of conspicuous finds (so-called special finds) is often high in relation to this. The latter are largely fragments of handicraft accessories, finds with cultic connotations such as lavishly decorated, ceramic miniature vessels, firedog fragments and remarkable unique items (Chap. 2.2.3.3). Of particular note is a number of items that had been deliberately trimmed, such as ceramic vessels cut in half vertically and rectangular sections of grinding stones (Chaps. 3.1.2.2; 3.5.1). Some finds are also complete and functional. All objects could have served profane or cultic purposes in the settlement before they went into the pits (Chap. 7.2.2.2; Fig. 52).

Our hypothesis is that many special finds were intentionally brought in to symbolize the end of use of these important storage facilities. The more frequently and regularly that exceptional finds (special finds) and smaller features (*Subbefund* in German) with no obvious mundane background occur within one pit, the much more likely that the whole feature has a ritual background. The prerequisite for our definition of a ritual process is that intangible (transcendental) forces were involved (Chap. 7.2.1). Multiple situations provide evidence for multi-stage cult ceremonies. A good example is pit V2784 with Stillfried's only known evidence of a bronze hoard, which also contained ceramic vessels, stone tools and animal skeletons. We equally suggest a cultic interpretation for object V643, where a charred grain layer could be identified as seed. It was placed at the bottom of the pit together with an incomplete hare, a piece of antler and a bronze rivet.

There were also other deposits such as ceramic vessels and closely packed fragments of vessels. Whether these were storage jars from a subsequent use of the pit or offerings (drink or food) that had been deliberately placed there had to be decided case by case (Chap. 2.2.3.2).

Rubble from houses that had been burned was uncovered in four pits. Some of this rubble was also associated with remarkable finds. We have designed a profane and a cultic explanatory model. For the cultic interpretation, we look at "ritual burials" of certain houses (Chap. 7.1).

Some of the bell-shaped pits were probably not built for grain storage due to their above-average size (V841) and/or their proximity to the fortification wall and to the line of ovens (Figs. 13, 55). We assume that it was originally planned to bury human bodies in pits V841 and V1141 (Chap. 2.2.3.7). Other bell-shaped pits could have served as ash pits (Chap. 2.2.3.5 *Schichtpakete aus feinen, unterschiedlichen Bändern*; Fig. 54).

For statements on the importance and position of the hillfort with regard to the storage facilities, we checked various models of food distribution systems for applicability to the Stillfried site. We argue for a mixed form of individual and central storage. Based on the differences in shape, size and spatial distribution of the pits it is less likely that the storage was strictly organized (Chap. 7.4.4). The pits were probably created and used by individual economic units, families, village communities or other groups. On the other hand, the secondary use of many pits for animal depositions and the backfill patterns speak in favour of rules that have been laid down by a legislative authority.

Those pits with very large capacities presumably contained the harvest from several producers, which could probably be explained as taxes on the farming population by the resident elite. In return, protection would be granted. Grain trade is also a conceivable explanation.

In the settlements near Stillfried (Ha A, Ha B) there is evidence of independent food supplies – albeit in smaller storage pits – that were used for personal need (Chap. 7.3.2). The grain quantities stored in the hillfort probably indicate a connection between the surrounding settlements and the "central site" of Stillfried, which is, however, difficult to understand at the moment.

Numerous finds, inorganic as well as organic, were, due to their excellent state of preservation, of great importance, especially for scientific disciplines. In this way, essential new information was gained from contemporary interventions on human skulls, which are most likely to be interpreted as traces of anthropogenic manipulation (Chap. 4.3.3). In addition, there are signs that this tradition of treating the dead, which includes manipulations of (partially) decayed bodies, continued into the Hallstatt period (pit house of the late Hallstatt period V5092 from "Wagneracker", Chap. 4.2.1.4).

Three small, charred, ring-shaped objects from pit V5400 were of great interest from an archaeobotanical and a cultural anthropological point of view. These could be determined as grain products made of finely ground flour from barley (*Hordeum vulgare*) and a type of wheat (*Triticum* sp.), which were formed in moist conditions (Chap. 3.8). The significance of this remarkable result is shown by the fact that Marianne Kohler-Schneider has already been able to detect three types of grain preparation from the Urnfield period in Stillfried so far (porridge, bread, porridge-like dish/so-called "*Hirsotto*"). A fourth food processing technique is now to be added.

Our systematic approach has led to many results due to the excellent informative value of the well-preserved storage pits. These enrich the discussion on current questions of storage methods in prehistoric times and have already become the starting point for further research by the authors on this topic.[1032]

1032. Biederer 2018. – Biederer 2019. – Biederer 2020. – Biederer 2022.

9. Literatur

Abegg, Cordie-Hackenberg 1990

A. Abegg, R. Cordie-Hackenberg, Die keltischen Brandgräber und römischen Aschengruben mit Brot- und Gebäckresten von Wederath-Belginum, Trierer Zeitschrift 53, 1990, 225–240.

Adámek 1961

F. Adámek, Pravěké hradisko u Obran. Monografické Práce Moravského Muzea v Brně, Brno 1961.

Adams, Adams 1991

W. Y. Adams, E. W. Adams, Archaeological typology and practical reality: a dialectical approach to artifact classification and sorting. Cambridge – New York – Port Chester – Melbourne – Sydney 1991.

Ambs, Wischenbarth 1990

R. Ambs, P. Wischenbarth, Metallverarbeitung in einer spätbronzezeitlichen Höhensiedlung bei Bellenberg (Schwaben), Bayerische Vorgeschichtsblätter 55, 1990, 257–298.

Anheuser 2001

K. Anheuser, Historische Klebstoffe und ihre Identifizierungsmöglichkeit: Terpene, Arbeitsblätter für Restauratoren 2001, 247–264.

Anonymus 1772

Anonymus, Von den in Ungarn gebräuchlichen Korngruben. In: D. Tersztyánszky (Hrsg.), Allergnädigst privilegirte Anzeigen aus sämmtlich kaiserlich-königlichen Erbländern: Zweyter Jahrgang. Wien 1772, 212–215.

Anonymus 2009–2013

Anonymus, Gebäck. https://web.archive.org/web/20181206041413/http://de.russia.edu.ru/russia/cuisine/pie/ (letzter Zugriff 17.06.2022).

Antl 1986

W. Antl, Grabung 1983: Hügelfeld. Beitrag in: F. Felgenhauer, Arbeitsbericht Stillfried: 1983, 1984, 1985, Forschungen in Stillfried 7, 1986, 118–120.

Antl 2002

W. Antl, KG Stillfried, MG Angern an der March, VB Gänserndorf, Fundberichte aus Österreich 40/2001, 2002, 687–688.

Antl 2012a

W. Antl, Bericht über die Baubeobachtung im Süden der urnenfelderzeitlichen Wallanlage von Stillfried, Gde. Angern/March, P.B.Gänserndorf, NÖ im April 2011. Parz. 1306/1 Maßnahmennr.: 06023.11.01, Fundberichte aus Österreich 50/2011, 2012, D1004–D1006.

Antl 2012b

W. Antl, Berichte zu archäologischen Maßnahmen, Fundberichte aus Österreich 50/2011, 2012, 239 (Tabelle).

Antl 2013a

W. Antl, KG Stillfried, MG Angern an der March, VB Gänserndorf, Pfarrkirche Hl. Georg, Fundberichte aus Österreich 51/2012, 2013, 229–231.

Antl 2013b

W. Antl, Berichte zu archäologischen Maßnahmen, Fundberichte aus Österreich 51/2012, 2013, 182 (Tabelle).

Antl, Kern 2018–2019

W. Antl, A. Kern, Die neue Ausgrabung an dem knapp über der Hochwassermarke liegenden Siedlungsplatz in Mannersdorf an der March, Archäologie Österreichs 29–30, 2018–2019, 16–19.

Antl-Weiser 1982

W. Antl-Weiser, Grabung 1982: Hügelfeld-Querlappen. Beitrag in: F. Felgenhauer, Arbeitsbericht Stillfried: 1981, 1982, Forschungen in Stillfried 5, 1982, 124–126.

Antl-Weiser 1988a
W. Antl-Weiser, Grabung 1986: Westwall. Beitrag in: F. Felgenhauer, Arbeitsbericht Stillfried: 1986, 1987, Forschungen in Stillfried 8, 1988, 282–283.

Antl-Weiser 1988b
W. Antl-Weiser, Grabung 1986: Wagner-Acker. Beitrag in: F. Felgenhauer, Arbeitsbericht Stillfried: 1986, 1987, Forschungen in Stillfried 8, 1988, 283–284.

Antl-Weiser 1988c
W. Antl-Weiser, Grabung 1987: Wagner-Acker. Beitrag in: F. Felgenhauer, Arbeitsbericht Stillfried: 1986, 1987, Forschungen in Stillfried 8, 1988, 287–288.

Antl-Weiser 1996a
W. Antl-Weiser, Grabung 1988: Wagner-Acker. Beitrag in: F. Felgenhauer, Arbeitsbericht Stillfried: 1988, 1989, Forschungen in Stillfried 9–10/1990–1992, 1996, 168–170.

Antl-Weiser 1996b
W. Antl-Weiser, Grabung 1989: Wagner-Acker. Beitrag in: F. Felgenhauer, Arbeitsbericht Stillfried: 1988, 1989, Forschungen in Stillfried 9–10/1990–1992, 1996, 174–176.

Antolín et al. 2016
F. Antolín, N. Alonso, I. Martínez, M. Berihuete Azorin, C. Brombacher, D. Chondrou, F. Ertuğ, J. J. García-Granero, L. González-Carretero, C. Hamon, A. G. Heiss, S. Jacomet, Y. Naranjo-Mayor, R. Perego, H. Procopiou, B. L. Steiner, S. M. Valamoti, D. Wojtczak, M. M. Wollstonecroft, Grütze, Bulgur, Mehl und Griess, Jahrbuch Archäologie Schweiz 99, 2016, 143–151.

Apáthy 1958
S. Apáthy, Spôsob uskladňovania hospodárskych plodín v severnom Šariši / Aufbewahrungsarten von landwirtschaftlichen Erzeugnissen im oberscharischen Gebiete, Slovenský Národopis 4, 1958, 347–380.

Arnold, Beck, Lüning 2005
P. Arnold, C. Beck, J. Lüning, Körner zu Mehl: Mahlen auf steinernen Schiebemühlen. In: J. Lüning (Hrsg.), Die Bandkeramiker: Erste Steinzeitbauern in Deutschland. Bilder einer Ausstellung beim Hessentag in Heppenheim/Bergstraße im Juni 2004. Rahden/Westfalen 2005, 99–109.

Arranz-Otaegui 2017
A. Arranz-Otaegui, Evaluating the impact of water flotation and the state of the wood in archaeological wood charcoal remains: implications for the reconstruction of past vegetation and identification of firewood gathering strategies at Tell Qarassa North (south Syria), Quaternary International 457, 2017, 60–73. doi: 10.1016/j.quaint.2016.06.030.

Arranz-Otaegui et al. 2018
A. Arranz-Otaegui, L. González Carretero, M. N. Ramsey, D. Q. Fuller, T. Richter, Archaeobotanical evidence reveals the origins of bread 14,400 years ago in northeastern Jordan, Proceedings of the National Academy of Sciences 115/31, 2018, 7925–7930.

Artner 1986
G. Artner, Grabung 1985: Hügelfeld. Beitrag in: F. Felgenhauer, Arbeitsbericht Stillfried: 1983, 1984, 1985, Forschungen in Stillfried 7, 1986, 117–132.

Artner 1988
G. Artner, Grabung 1986: Hügelfeld. Beitrag in: F. Felgenhauer, Arbeitsbericht Stillfried: 1986, 1987, Forschungen in Stillfried 8, 1988, 283.

Artner 1990
G. Artner, Die späturnenfelder-, hallstattzeitliche Siedlung von Stillfried a. d. March: Ergebnisse der Ausgrabung des Jahres 1972. Unveröffentlichte Diplomarbeit, Universität Wien 1990.

Artner 1996
G. Artner, Grabung 1989: Hügelfeld. Beitrag in: F. Felgenhauer, Arbeitsbericht Stillfried: 1988, 1989, Forschungen in Stillfried 9–10/1990–1992, 1996, 173–174.

Aspöck 2013
E. Aspöck, Über die Variabilität von Totenpraktiken. Oder: Probleme einer dichotomen Auffassung von Toten- bzw. Bestattungsbrauchtum. In: Müller-Scheessel 2013, 25–38.

Auerböck 2009
C. F. Auerböck, Ausseer Fasching: Eine ethnologische Betrachtung. Unveröffentlichte Dissertation, Universität Wien 2009.

Ayoub 1985
A. Ayoub, Les moyens de conservation des produits agricoles dans le nord-ouest de la Jordanie actuelle. In: M. Gast, F. Sigaut, C. Beutler (Hrsg.), Les techniques de conservation des grains à long terme. Leur rôle dans la dynamique des systèmes de cultures et des sociétés III/1, Paris 1985, 155–169.

Bakalar 2019
N. Bakalar, In the Bronze Age, bagels were tiny, The New York Times, 13.6.2019.

Balinska 2008
M. Balinska, The Bagel: The Surprising History of a Modest Bread. New Haven – London 2008.

Balme 2007
J. Balme, Artifacts: overview. In: D. M. Pearsall (Hrsg.), Encyclopedia of Archaeology. London 2007, 508–517.

Bamforth 2005
C. W. Bamforth, Food, Fermentation and Micro-organisms. Oxford 2005.
Barg 1987
F. Barg, Der Westwall der Wehranlage Stillfried a. d. March, NÖ. Unveröffentlichte Dissertation, Universität Wien 1987.
Bartelheim, Heyd 2001
M. Bartelheim, V. Heyd, Cult after burial: patterns of postfuneral treatment in the Bronze and Iron Ages of central Europe. In: P. F. Biehl, F. Bertemes, H. Meller (Hrsg.), The Archaeology of Cult and Religion. Archaeolingua 13, Budapest 2001, 261–276.
Bartík, Elschek, Varsik 2013
J. Bartík, K. Elschek, V. Varsik, Praveké sídlisko v Lozorne-Širokých Dieloch (Západné Slovensko): výskumy v rokoch 1999–2009 / Die urgeschichtliche Siedlung in Lozorno-Široké diely (Westslowakei): Grabungen in den Jahren 1999–2009. Zborník Slovenského Národného Múzea Archeológia Supplementum 7, Bratislava 2013.
Bartl 2004
K. Bartl, Vorratshaltung. Die spätepipaläolithische und frühneolithische Entwicklung im westlichen Vorderasien: Voraussetzungen, typologische Varianz und sozio-ökonomische Implikationen im Zeitraum zwischen 12,000 und 7,600 BP. Studies in Early Near Eastern Production, Subsistence and Environment 10, Berlin 2004.
Baumeister 1995
R. Baumeister, Außergewöhnliche Funde der Urnenfelderzeit aus Knittlingen, Enzkreis: Bemerkungen zu Kult und Kultgerät der Spätbronzezeit, Fundberichte aus Baden-Württemberg 20, 1995, 377–422.
Baumeister 2011a
R. Baumeister (Hrsg.), Glaubenssachen: Kult und Kunst der Bronzezeit. Begleitband zur Sonderausstellung vom 15. Mai bis 1. November 2011. Bad Buchau 2011.
Baumeister 2011b
R. Baumeister, Dörfer ohne Altäre. In: Baumeister 2011a, 18–21.
Baumeister 2011c
R. Baumeister, Die Sonne im Mond: Feuerböcke und Mondidole. In: Baumeister 2011a, 83–86.
Baumgart 2020a
S. Baumgart, KG Mannersdorf an der March, MG Angern an der March, Fundberichte aus Österreich 57/2018, 2020, 201.
Baumgart 2020b
S. Baumgart, Bericht zur archäologischen Maßnahme 06011.18.01 Mannersdorf an der March, MG Angern an der March, von Mai bis November 2018. Parz. 305–312/1, Fundberichte aus Österreich 57/2018. 2020, D2083–D2107.
Beilke-Voigt 2007
I. Beilke-Voigt, Das „Opfer" im archäologischen Befund: Studien zu den sog. Bauopfern, kultischen Niederlegungen und Bestattungen in ur- und frühgeschichtlichen Siedlungen Norddeutschlands und Dänemarks. Berliner Archäologische Forschungen 4, Rahden/Westfalen 2007.
Beilke-Voigt 2008
I. Beilke-Voigt, Zum rituellen Umgang mit verstorbenen Kleinstkindern im eisenzeitlichen Bestattungsbrauch. In: Eggl et al. 2008, 37–47.
Beilke-Voigt 2015
I. Beilke-Voigt, Archäologie, Ritual und Symbol: Ein Beitrag zu Ritualräumen und Befunden mit Ritualcharakter. Mitteilungen der Anthropologischen Gesellschaft in Wien 145, Wien 2015, 1–40.
Berihuete-Azorín et al. 2019
M. Berihuete-Azorín, H.-P. Stika, A. Bourliva, L. Papadopoulou, S.-M. Valamoti, "Fresh from the oven": experiments on *Triticum spelta* and a protocol for carbonising specimens for archaeobotanical comparison collections, Journal of Archaeological Science: Reports 26, 2019, 101865.
Bescherer Metheny, Beaudry 2015
K. Bescherer Metheny, M. C. Beaudry (Hrsg.), Archaeology of Food: An Encyclopedia. Lanham – Boulder – London – New York 2015.
Biederer 2018
B. Biederer, Verteilungsmuster spätbronzezeitlicher Speichergruben in Mitteleuropa, Archaeologia Austriaca 102, 2018, 169–199.
Biederer 2019
B. Biederer, Experimenteller Nachbau von Speichergruben, Experimentelle Archäologie in Europa 18, 2019, 21–34.
Biederer 2020
B. Biederer, Wer sich eine Grube gräbt …: Vorratsspeicherung im Versuch. In: F. Pieler, J. Maurer (Hrsg.), Beiträge zum Tag der Niederösterreichischen Landesarchäologie 2020. Asparn an der Zaya 2020, 33–39.
Biederer 2022
B. Biederer, Herausforderung Vorratshaltung: Essentielle Strategien im urgeschichtlichen Europa vom Neolithikum bis in die Eisenzeit. Universitätsforschungen zur Prähistorischen Archäologie 368 (Bonn 2022).
Blau 2017
S. Blau, The effects of weathering on bone preservation. In: E. M. J. Schotsmans, N. Márquez-Grant, S. L.

Forbes (Hrsg.), Taphonomy of Human Remains: Forensic Analysis of the Dead and the Depositional Environment. Chichester, West Sussex – Hoboken, New Jersey 2017, 201–211.

Blesl 2002

C. Blesl, SG St. Pölten, KG Pottenbrunn, Fundberichte aus Österreich, 40/2001, 2002, 200–204.

Boehmker 1917

R. Boehmker, Exkursionsführer für Stillfried an der March. Wien – Leipzig 1917.

Boehmker 1924

R. Boehmker, Vom mittelalterlichen Stillfried: Geschichte der Veste und Kirche in Stillfried a. d. March. Wien 1924.

Boehmker, Willvonseder 1934

R. Boehmker, K. Willvonseder, Stillfried a. d. March, Fundberichte aus Österreich 1/1930–1934, 1934, 120.

Bönisch 2000

E. Bönisch, Grießen 1: Ausgrabungen im Niederlausitzer Braunkohlerevier 1999, Arbeitsberichte zur Bodendenkmalpflege in Brandenburg 4, 2000, 142–143.

Bönisch 2005

E. Bönisch, Begrabene Häuser? Brandschutt mit bronzezeitlichem Hausinventar. In: B. Horejs, R. Jung, E. Kaiser, B. Teržan (Hrsg.), Interpretationsraum Bronzezeit. Bernhard Hänsel von seinen Schülern gewidmet. Universitätsforschungen zur Prähistorischen Archäologie 121, Bonn 2005, 445–462.

Bönisch 2006

E. Bönisch, Bronzezeitliche Speicherplätze in der Niederlausitz. In: W.-R. Teegen, R. Cordie, O. Dörrer, S. Rieckhoff, H. Steuer (Hrsg.), Studien zur Lebenswelt der Eisenzeit. Festschrift für Rosemarie Müller. Ergänzungsbände zum Reallexikon der germanischen Altertumskunde 53, Berlin 2006, 305–332.

Bönisch 2007

E. Bönisch, Bronzezeitliche Siedlungen in der Niederlausitz. In: Koch 2007, 27–35.

Bouzek, Koutecký, Neustupný 1966

J. Bouzek, D. Koutecký, E. Neustupný, The Knovíz settlement of North-West Bohemia. Fontes Archaeologici Pragenses 10, Prag 1966.

Braadbaart et al. 2004

F. Braadbaart, J. van der Horst, J. J. Boon, P. F. van Bergen, Laboratory simulations of the transformation of emmer wheat as a result of heating, Archaeometry 77, 2004, 957–973.

Brandl, Martinez in Vorbereitung

M. Brandl, M. M. Martinez, Untersuchungen ausgewählter urnenfelderzeitlicher Steingeräte von Stillfried an der March. In: Hellerschmid, Griebl in Vorbereitung.

Breitinger 1976

E. Breitinger, Das Kalvarium unter dem späturnenfelderzeitlichen Wall von Stillfried an der March, Forschungen in Stillfried 2, 1976, 86–100.

Breitinger 1980

E. Breitinger, Skelette aus einer späturnenfelderzeitlichen Speichergrube in der Wallburg von Stillfried an der March, NÖ, Forschungen in Stillfried 4, 1980, 46–106.

Breitinger 1982

E. Breitinger, Die Sieben aus der Speichergrube. Veröffentlichungen des Museums für Ur- und Frühgeschichte Stillfried 2, Stillfried 1982.

Breitinger 1996

E. Breitinger, Infertilität als gesellschaftspsychologisches Problem in der Urnenfelderzeit, Forschungen in Stillfried 9–10/1990–1992, 1996, 41–73.

Brombacher, Rehazek, Veszeli 2000

C. Brombacher, A. Rehazek, M. Veszeli, „Entscheidend ist, was hinten herauskommt …“: Archäobiologische Untersuchungen von Latrinenfüllungen am Beispiel der Städte Basel und Schaffhausen, Mitteilungen der Arbeitsgemeinschaft für Archäologie des Mittelalters und der Neuzeit 11, 2000, 36–39.

Bronk Ramsey 2009

C. Bronk Ramsey, Bayesian analysis of radiocarbon dates, Radiocarbon 51/1, 2009, 337–360.

Brück 2011

J. Brück, Fire, earth, water: an elemental cosmography of the European Bronze Age. In: T. Insoll (Hrsg.), The Oxford Handbook of the Archaeology of Ritual & Religion. Oxford 2011, 387–404.

Buccini 2016

A. F. Buccini, Defining ‘cuisine’: communication, culinary grammar, and the typology of cuisine. In: M. McWilliams (Hrsg.), Food & Communication. Proceedings of the Oxford Symposium on Food and Cookery 2015. London 2016, 105–121.

Bundesministerium f. Gesundheit u. Frauen 2010–2017

Bundesministerium für Gesundheit und Frauen, Mahl- und Schälprodukte: Österreichisches Lebensmittelbuch / Codex Alimentarius Austriacus. Wien 2010–2017.

Burböck 1976

O. Burböck, Archäologische Untersuchungen auf dem Heiligen Berg bei Bärnbach, BH Voitsberg, Schid von Steier – Kleine Schriften 17, 1976, 7–30.

Bustorf-Hirsch 2009

M. Bustorf-Hirsch, Einlegen, Einkochen, Trocknen: Haltbar machen mit natürlichen Konservierungsmethoden. München 2009.

Campbell, Ross, Motoi 2008
G. M. Campbell, M. Ross, L. Motoi, Bran in bread: effects of particle size and level of wheat and oat bran on mixing, proving and baking. In: G. M. Campbell, M. G. Scanlon, D. L. Pyle (Hrsg.), Bubbles in Food 2: Novelty, Health, and Luxury. St. Paul 2008, 337–354.
Cap-Bun 2014
M. Cap-Bun, The Romanian carnival of death and the merry cemetery of Săpânţa. In: M.-J. Blanco, R. Vidal (Hrsg.), The Power of Death: Contemporary Reflections on Death in Western Society. New York 2014, 169–182.
Čaplovič 1975
J. Čaplovič, Sídlisko lužickej kultúry v Dolnom Kubíne-Medzihradnom / Siedlung der Lausitzer Kultur in Dolný Kubín-Medzihradné, Archeologický Výskum na Slovensku v Roku 1974, 1975, 42–43.
Capparelli, Valamoti, Wollstonecroft 2011
A. Capparelli, S. M. Valamoti, M. M. Wollstonecroft, After the harvest: investigating the role of food processing in past human societies, Archaeological and Anthropological Sciences 3/1, 2011, 1–5.
Cappers 2018
R. T. J. Cappers, Digital Atlas of Traditional Food Made from Cereals and Milk. Groningen Archaeological Studies 33, Groningen 2018.
Cash 2013
J. R. Cash, Charity or Remembrance? Practices of Pomană in Rural Moldova. Max Planck Institute for Social Anthropology Working Papers 144, Halle 2013.
Charles et al. 2015
M. P. Charles, E. S. Forster, M. Wallace, G. E. M. Jones, "Nor ever lightning char thy grain": establishing archaeologically relevant charring conditions and their effect on glume wheat grain morphology, Science and Technology of Archaeological Research 1/1, 2015, 1–6. doi: 10.1179/2054892315Y.0000000008.
Chevalier, Marinova, Peña-Chocarro 2014
A. Chevalier, E. Marinova, L. Peña-Chocarro (Hrsg.), Plants and People: Choices and Diversity through Time. Early Agricultural Remnants and Technical Heritage (EARTH): 8,000 Years of Resilience and Innovation 1, Oxford 2014.
Christakis 2011
K. S. Christakis, Redistribution and political economies in Bronze Age Crete, American Journal of Archaeology 115, 2011, 1–9.
Christakis 2014
K. S. Christakis, Communal storage in Bronze Age Crete: re-assessing testimonies, Κρητικά Χρονικά 34, 2014, 201–218.
Ciaraldi 1997–1998
M. Ciaraldi, Food offerings at the Archaic/Hellenistic sanctuary of Demeter and Persephone at Monte Papalucio (Oria, Apulia, southern Italy), Accordia Research Papers 7, 1997–1998, 75–91.
Čižmář 2004
M. Čižmář, Enzyklopedie Hradišt na Moravě a ve Slezsku. Prag 2004.
Clark 1948
J. G. D. Clark, The development of fishing in prehistoric Europe, The Antiquaries Journal 28, 1948, 45–85.
Cleyet-Merle 1990
J.-J. Cleyet-Merle, La préhistoire de la pêche. Paris 1990.
Coblenz 1978
W. Coblenz, Neue bronzezeitliche Siedlungsgruben mit Brandspuren aus Zauschwitz, Kr. Borna, Ausgrabungen und Funde 23, 1978, 13–26.
Colledge 1988
S. Colledge, Scanning electron studies of the cell patterns of the pericarp layers of some wild wheats and ryes: methods and problems. In: S. L. Olsen (Hrsg.), Scanning Electron Microscopy in Archaeology. British Archaeological Reports International Series 452, Oxford 1988, 225–236.
Conrad, Conrad, Strobel 2014
M. Conrad, S. Conrad, M. Strobel, Funde und Befunde des Mittelneolithikums bei Schweta und Schlagwitz: Die Grabungen an der S31 bei Mügeln, SWX-02, SWQ-11. Ausgrabungen in Sachsen 4, Arbeits- und Forschungsberichte zur sächsischen Bodendenkmalpflege Beiheft 27, Dresden 2014, 97–102.
Copp et al. 2009
G. H. Copp, J. R. Britton, J. Cucherousset, E. García-Berthou, R. Kirk, E. Peeler, S. Stakėnas, Voracious invader or benign feline? A review of the environmental biology of European catfish *Silurus glanis* in its native and introduced ranges, Fish and Fisheries 10, 2009, 252–282.
Crowther 2012
A. Crowther, The differential survival of native starch during cooking and implications for archaeological analyses: a review, Archaeological and Anthropological Sciences 4/3, 2012, 221–235.
Csáky 2014
M. Csáky, Speisen und Essen aus kulturwissenschaftlicher Perspektive. In: M. Csáky, G.-C. Lack (Hrsg.), Kulinarik und Kultur: Speisen als kulturelle Codes in Zentraleuropa. Wien – Köln – Weimar 2014, 9–36.
Czajkowska et al. 2020
B. I. Czajkowska, A. Bogaard, M. Charles, G. E. M. Jones, M. Kohler-Schneider, A. Mueller-Bieniek, T. A. Brown, Ancient DNA typing indicates that the

"new" glume wheat of early Eurasian agriculture is a cultivated member of the *Triticum timopheevii* group, Journal of Archaeological Science 123, 2020, 1–9. doi: 10.1016/j.jas.2020.105258.

Deimel 1931

P. A. Deimel, Sumerische Tempelwirtschaft zur Zeit Urukaginas und seiner Vorgänger, Analecta Orientalia 2, 1931, 79–113.

De Kimpe, Keppens 1996

N. De Kimpe, M. Keppens, Novel syntheses of the major flavor components of bread and cooked rice, Journal of Agricultural and Food Chemistry 44/6, 1996, 1515–1519.

Della-Casa 1984

N. Della-Casa, Sardinian ceremonial breads, Folklore 95/1, 1984, 30–37.

Deschler-Erb 1998

S. Deschler-Erb, Römische Beinartefakte aus Augusta Raurica: Rohmaterial, Technologie, Typologie und Chronologie. Forschungen in Augst 27/1, Augst 1998.

Dickson 1987

C. Dickson, The identification of cereals from ancient bran fragments, Circaea 4/2, 1987, 95–102.

Dietler 1997

M. Dietler, Feasts and commensal politics in the political economy: food, power and status in prehistoric Europe. In: P. Wiessner, W. Schiefenhövel (Hrsg.), Food and the Status Quest: An Interdisciplinary Perspective. Oxford 1997, 87–125.

Di Giovine 2014

M. A. Di Giovine, The everyday as extraordinary: revitalization, religion, and the elevation of cucina casareccia to heritage cuisine in Pietrelcina, Italy. In: R. L. Brulotte, M. A. Di Giovine (Hrsg.), Edible Identities: Food as Cultural Heritage. Heritage, Culture and Identity, Farnham 2014, 77–92.

Dobiat 1990

C. Dobiat, Der Burgstallkogel bei Kleinklein I: Die Ausgrabungen der Jahre 1982 und 1984. Marburger Studien zur Vor- und Frühgeschichte 13, Marburg 1990.

Dobrezberger 2016

K. Dobrezberger, Chemische Untersuchungen von Keramikscherben, Asche- und Steinproben aus Stillfried/March. Unveröffentlichte Diplomarbeit, Technische Universität Wien 2016.

Dreher et al. 1984

M. L. Dreher, C. J. Dreher, J. W. Berry, S. E. Fleming, Starch digestibility of foods: a nutritional perspective, Critical Reviews in Food Science and Nutrition 20/1, 1984, 47–71.

Dular, Ciglenečki, Dular 1995

J. Dular, S. Ciglenečki. A. Dular, Kučar: Železnodobno naselje in zgodnjekrščanski stavbni kompleks na Kučarju pri Podzemelju / Eisenzeitliche Siedlung und frühchristlicher Gebäudekomplex auf dem Kučar bei Podzemelj. Opera Instituti Archaeologici Sloveniae 1, Ljubljana 1995.

Ďuriš 2011

J. Ďuriš, Rekonštrukcia eneolitického domu z chynorian, Slovenská Archeológia 59, 2011, 89–147.

Dworsky, Novak 2012

C. Dworsky, H. Novak, Archäologische Überlebensstrategie. Das UNESCO-Welterbe Prähistorische Pfahlbauten um die Alpen: Entstehungsgeschichte, Forschungsaufgaben und Fragen der Nachhaltigkeit, Archäologie Österreichs 23/2, 2012, 2–13.

Eckerle, Stoll 1940

A. Eckerle, H. Stoll, Endingen (Emmendingen), Badische Fundberichte 16, 1940, 20.

Economidou 1975

P. L. Economidou, Studies on Greek Trahanas: A Wheat-fermented Milk Food. Unveröffentlichte Diplomarbeit, Cornell University 1975.

Eggl et al. 2008

C. Eggl, P. Trebsche, I. Balzer, J. Fries-Knoblach, J. K. Koch, H. Nortmann, J. Wiethold (Hrsg.), Ritus und Religion in der Eisenzeit. Beiträge zur Sitzung der AG Eisenzeit während der Jahrestagung des Mittel- und Ostdeutschen Verbandes der Altertumsforschung e. V. in Halle an der Saale 2007. Beiträge zur Ur- und Frühgeschichte Mitteleuropas 49, Langenweissbach 2008.

Eibner A. 1974

A. Eibner, Zum Befund einer hallstattzeitlichen Webgrube aus Stillfried, Forschungen in Stillfried 1, 1974, 76–84.

Eibner 1974a

C. Eibner, Topographie der Fundstellen im Raum Stillfried, NÖ, Forschungen in Stillfried 1, 1974, 32–52.

Eibner 1974b

C. Eibner, Das späturnenfelderzeitliche Gräberfeld von St. Andrä v. d. Hgt. p. B. Tulln, NÖ. Archaeologia Austriaca Beiheft 12, Wien 1974.

Eibner 1976

C. Eibner, Eine späturnenfelderzeitliche Grube unter den Aufschüttungen des Westwalles von Stillfried: Zum Befund einer Schädeldeposition, Forschungen in Stillfried 2, 1976, 70–85.

Eibner 1978a

C. Eibner, Grabung 1976: Hügelfeld. Beitrag in: F. Felgenhauer, Arbeitsbericht Stillfried: 1972–1976, Forschungen in Stillfried 3, 1978, 103.

Eibner 1978b
C. Eibner, Grabung 1976: Kirchhügel. Beitrag in: F. Felgenhauer, Arbeitsbericht Stillfried: 1972–1976, Forschungen in Stillfried 3, 1978, 104–105.
Eibner 1980
C. Eibner, Die Mehrfachbestattung aus einer Grube unter dem urnenfelderzeitlichen Wall in Stillfried an der March, NÖ, Forschungen in Stillfried 4, 1980, 107–142.
Eibner 1988
C. Eibner, Die Mehrfachbestattung aus Stillfried an der March aus archäologischer Sicht. In: Felgenhauer et al. 1988, 77–86.
Eibner 1993a
C. Eibner, KG Stillfried, MG Angern an der March, VB Gänserndorf, Fundberichte aus Österreich 31/1992, 1993, 544–545.
Eibner 1993b
C. Eibner, Ausgrabung Stillfried 1993, Archäologie Österreichs 4/2, 1993, 27–29.
Eibner 1994a
C. Eibner, Chronologische Fragen der urnenfelderzeitlichen Wehranlage von Stillfried an der March, Zalai Múseum 5, 1994, 211–218.
Eibner 1994b
C. Eibner, KG Stillfried, MG Angern an der March, VB Gänserndorf, Fundberichte aus Österreich 32/1993, 1994, 799.
Eibner 1995
C. Eibner, KG Stillfried, MG Angern an der March, VB Gänserndorf, Fundberichte aus Österreich 33/1994, 1995, 520–522.
Eibner 2001a
C. Eibner, Zur chronologischen Einordnung der botanischen Makroreste aus der Wallanlage von Stillfried an der March. In: Kohler-Schneider 2001, 225–226.
Eibner 2001b
C. Eibner, KG Stillfried, MG Angern an der March, VB Gänserndorf, Fundberichte aus Österreich 39/2000, 2001, 727–728.
Eibner 2002
C. Eibner, KG Stillfried, MG Angern an der March, VB Gänserndorf, Fundberichte aus Österreich 40/2001, 2002, 704.
Eibner 2003
C. Eibner, KG Stillfried, MG Angern an der March, VB Gänserndorf, Fundberichte aus Österreich 41/2002, 2003, 720.
Eibner 2004
C. Eibner, KG Stillfried, MG Angern an der March, VB Gänserndorf, Fundberichte aus Österreich 42/2003, 2004, 773.
Eichholtz 1960
F. Eichholtz, Silage und ähnliche Gärerzeugnisse. Die Wissenschaft 96, Braunschweig 1960.
Fahmy 2008
A. Fahmy, Analysis of mummies' gut contents from predynastic Hierakonpolis, Egypt (3750–3300 BC). In: B. Midant-Reynes, Y. Tristant, J. Rowland, S. Hendrickx (Hrsg.), Egypt at its Origins 2. Proceedings of the International Conference "Origin of the State. Predynastic and Early Dynastic Egypt", Toulouse (France), 5th–8th September 2005. Orientalia Lovaniensia Analecta 172, Leuven 2008, 419–426.
Fairbairn et al. 2018
A. S. Fairbairn, N. J. Wright, M. Weeden, G. Barjamovic, K. Matsumura, R. Rasch, Ceremonial plant consumption at Middle Bronze Age Büklükale, Kırıkkale Province, central Turkey, Vegetation History and Archaeobotany 28/3, 2018, 327–346.
Falkenstein 1954
A. Falkenstein, La cité-temple Sumérienne, Cahiers de l'Histoire Mondiale 1, 1954, 784–814.
Falkenstein 1974
A. Falkenstein, The Sumerian Temple City. Sources and Monographs: Monographs in History, Ancient Near East 1/1, Los Angeles 1974.
FAO 1994
Food and Agriculture Organization of the United Nations, Definition and Classification of Commodities (Draft): Cereals and Cereal Products. Rom 1994.
Fasnacht 1998
W. Fasnacht, Bronzetechnologie. In: S. Hochuli, U. Niffeler, V. Rychner (Hrsg.), Die Schweiz vom Paläolithikum bis zum frühen Mittelalter III. Basel 1998, 232–241.
Fazekas, Kosa 1978
I. G. Fazekas, F. Kosa, Forensic Fetal Osteology. Budapest 1978.
Felber 1979
H. Felber, VRI-584 Stillfried, NÖ, Radiocarbon 21/1, 1979, 118.
Felgenhauer 1974
F. Felgenhauer, Geschichte der prähistorisch-archäologischen Erforschung von Stillfried, Forschungen in Stillfried 1, 1974, 7–31.
Felgenhauer 1988
F. Felgenhauer, Ein Bronzedepotfund der späten Urnenfelderzeit aus einer Siedlungsgrube in Stillfried. In: Felgenhauer et al. 1988, 105–109.
Felgenhauer 1996
F. Felgenhauer, Stillfried: Lebensraum des Menschen seit 30.000 Jahren. Archäologischer Fundplatz von inter-

nationaler Bedeutung. Objekt interdisziplinärer Forschung von bedeutendem Rang. Ergebnisse der Ausgrabung und Forschungen 1969–1989, Forschungen in Stillfried 9–10/1990–1992, 1996, 9–29.

Felgenhauer et al. 1988

F. Felgenhauer, J. Szilvássy, H. Kritscher, G. Hauser (Hrsg.), Stillfried: Archäologie – Anthropologie. Veröffentlichungen des Museums für Ur- und Frühgeschichte Stillfried Sonderband 3, Stillfried 1988.

Fenton 1983

A. Fenton, Grain storage in pits: experiment and fact. In: A. O'Connor, D. V. Clarke (Hrsg.), From the Stone Age to the "Forty-Five". Edinburgh 1983, 567–588.

Ferembach, Schwidetzky, Stloukal 1979

D. Ferembach, I. Schwidetzky, M. Stloukal, Empfehlungen für die Alters- und Geschlechtsdiagnose am Skelett, Homo 30, 1979, 1–32.

Fischer, Adler, Oswald 2008

M. A. Fischer, W. Adler, K. Oswald, Exkursionsflora für Österreich, Liechtenstein und Südtirol. Linz 2008.

Fogliano 2016

V. Fogliano, The long story of the Maillard reaction: the beginning of the second century, Food & Function 7/6, 2016, 2496–2497.

Franz 1924

L. Franz, Stillfried an der March: Eine vorgeschichtliche Fundstätte. Heimatkundliche Wanderungen 6, Wien 1924.

Froihofer 2010

W. Froihofer, „Grubenkraut" und die Verwendung samenfester regionaler Krautsorten. In: R. M. Wallner (Hrsg.), Wie viele Arten braucht der Mensch? Eine Spurensuche. Wien – Köln – Weimar 2010, 187–190.

Fuchs, Wahl 2013

C. Fuchs, J. Wahl, Kaugummi oder Werkstoff? Birkenpechstücke aus der Pfahlbausiedlung Hornstaad-Hörnle am Bodensee, Denkmalpflege in Baden-Württemberg 4, 2013, 240–245.

Fuller, Stevens, McClatchie 2014

D. Q. Fuller, C. Stevens, M. McClatchie, Routine activities, tertiary refuse, and labor organization: social inferences from everyday archaeobotany. In: M. Madella, C. Lancelotti, M. Savard (Hrsg.), Ancient Plants and People: Contemporary Trends in Archaeobotany. Tucson 2014, 174–217.

Funke 2013

W. Funke, Selbstversorgung. Unabhängig, nachhaltig und gesund leben: Aussaat – Anbau – Konservierung – Vorratshaltung. Berlin – München 2013.

Gager 1988

H. Gager, Transformation der lokalen Koordinatensysteme im Grabungsgebiet Stillfried in das Landeskoordinatensystem und Ergänzung der vorhandenen topographischen Grundlagen (Profile und Schichtenplan). Unveröffentlichte Diplomarbeit, Technische Universität Wien 1988.

Galanidou-Balphousia 1999

E. Γαλανιδου-Μπαλφουσια, Ποντιακή λαογραφία: οι 4 εποχές και οι μήνες τους. Athen 1999.

Gale, Cutler 2000

R. Gale, D. F. Cutler, Plants in Archaeology. Otley – Kew 2000.

Galloway 1997

A. Galloway, The process of decomposition: a model from the Arizona-Sonoran desert. In: Haglund, Sorg 1997, 139–150.

Gao et al. 2017

J. Gao, J. J.-X. Ong, J. Henry, W. Zhou, Physical breakdown of bread and its impact on texture perception: a dynamic perspective, Food Quality and Preference 60, 2017, 96–104.

Garnsey 1999

P. D. A. Garnsey, Food and Society in Classical Antiquity. Cambridge 1999.

Garrow 2012

D. Garrow, Odd deposits and average practice: a critical history of the concept of structured deposition, Archaeological Dialogues 19/2, 2012, 85–115.

Gassner, Hohmann, Deutschmann 1989

G. Gassner, B. Hohmann, F. Deutschmann, Mikroskopische Untersuchung pflanzlicher Lebensmittel. Stuttgart 1989.

Gesellschaft der Ärzte 1938

Gesellschaft der Ärzte (Hrsg.), Geschichte der Gesellschaft der Ärzte in Wien 1837–1937. Wien 1938.

Gömöri 1999

J. Gömöri, Landscapes and Monuments along the Amber Road / Landschaft und Denkmäler entlang der Bernsteinstraße. Sopron 1999.

González Carretero, Wollstonecroft, Fuller 2017

L. González Carretero, M. Wollstonecroft, D. Q. Fuller, A methodological approach to the study of archaeological cereal meals: a case study at Çatalhöyük East (Turkey), Vegetation History and Archaeobotany 26/4, 2017, 415–432.

González Turmo 2004

I. González Turmo, A methodology for analysing recipe books, Social Science Information 43/4, 2004, 753–773.

Göth 1834
G. Göth, Beschreibung des landwirthschaftlichen Zustandes der Filiale Brandhof im Brucker Kreise, Verhandlungen und Aufsätze Neue Folge 6, 1834, 203–283.
Greenwood 1967
C. T. Greenwood, The thermal degradation of starch. In: M. L. Wolfrom, R. S. Tipson (Hrsg.), Advances in Carbohydrate Chemistry 22. New York – London 1967, 483–515.
Grefen-Peters 2016
S. Grefen-Peters, Kataloge der anthropologischen Analysen der menschlichen Skelettreste und archäozoologischen Analysen ausgewählter Tierdeponierungen. In: I. Heske, Die Hünenburg-Außensiedlung bei Watenstedt, Ldkr. Helmstedt: Funde und Befunde der Ausgrabungen 2005 bis 2010. Hünenburg-Forschungen 2, Göttinger Schriften zur Vor- und Frühgeschichte 34, Neumünster – Hamburg 2016, 249–324.
Griebl 1997
M. Griebl, Siedlungsobjekte der Hallstattkultur aus Horn (Niederösterreich): Notbergungen auf dem Gelände der Ziegelei Thalhammer und den benachbarten Flächen in den Jahren 1888/89 bis 1976. Mitteilungen der Prähistorischen Kommission 31, Wien 1997.
Griebl 2004
M. Griebl, Die Siedlung der Hallstattkultur von Göttlesbrunn, Niederösterreich: Rettungsgrabungen im Zuge des Ostautobahnbaus (A4) im Jahre 1989. Mitteilungen der Prähistorischen Kommission 54, Wien 2004.
Griebl 2012
M. Griebl, Kalenderberggruppe. In: S. Sievers, O. H. Urban, P. C. Ramsl (Hrsg.), Lexikon zur keltischen Archäologie (A–K). Mitteilungen der Prähistorischen Kommission 73, Wien 2012, 865–866.
Griebl, Hellerschmid 2013
M. Griebl, I. Hellerschmid, Menschenknochen und Menschenniederlegungen in Siedlungsgruben der befestigten Höhensiedlung von Stillfried an der March, Niederösterreich: Gängige Praxis der Totenbehandlung in der jüngeren Urnenfelderkultur? In: Müller-Scheessel 2013, 327–346.
Griebl, Hellerschmid 2015
M. Griebl, I. Hellerschmid, Arbeitsgrube und Kultgrube? Verfärbung V0479 der späturnenfelderzeitlichen Wallanlage von Stillfried, Niederösterreich, Archaeologia Austriaca 99, 2015, 179–201.
Griebl et al. 2017
M. Griebl, B. Biederer, T. Jachs, I. Petschko, Aktuelle Forschungen zu den Speichergruben auf der späturnenfelderzeitlichen Wallanlage von Stillfried an der March. In: F. Pieler, P. Trebsche (Hrsg.), Beiträge zum Tag der Niederösterreichischen Landesarchäologie 2017. Festschrift für Ernst Lauermann. Katalog des Niederösterreichischen Landesmuseums Neue Folge 541, Asparn an der Zaya 2017, 195–206.
Gronenborn 1995
D. Gronenborn, Ethnoarchäologische Untersuchungen zur rezenten Herstellung und Nutzung von Mahlsteinen in Nordost-Nigeria: Experimentelle Archäologie. Bilanz 1994. Symposium in Duisburg August 1993. Archäologische Mitteilungen aus Nordwestdeutschland Beiheft 8, Oldenburg 1995, 45–55.
Haaland 2007
R. Haaland, Porridge and pot, bread and oven: food ways and symbolism in Africa and the Near East from the Neolithic to the Present, Cambridge Archaeological Journal 17/2, 2007, 165–182.
Haglund 1997
W. D. Haglund, Dogs and coyotes: postmortem involvement with human remains. In: Haglund, Sorg 1997, 367–381.
Haglund, Reay, Swindler 1989
W. D. Haglund, D. T. Reay, D. R. Swindler, Canid scavenging/disarticulation sequence of human remains in the Pacific Northwest, Journal of Forensic Sciences 34/3, 1989, 587–606.
Haglund, Sorg 1997
W. D. Haglund, M. H. Sorg (Hrsg.), Forensic Taphonomy: The Postmortem Fate of Human Remains. Boca Raton – New York – London – Tokyo 1997.
Hahn 1919
E. Hahn, Von der Hacke zum Pflug: Garten und Feld, Bauern und Hirten in unserer Wirtschaft und Geschichte. 2. Auflage, Paderborn 1919.
Hahn, Michaelsen 1996
H. Hahn, I. Michaelsen, Mikroskopische Diagnostik pflanzlicher Nahrungs-, Genuß- und Futtermittel, einschließlich Gewürze. Berlin – Heidelberg – New York 1996.
Hahnel 1995
B. Hahnel, Leichenzerstückelung, Kannibalismus, Amulett? Die Stellung eines Unterkiefers aus der Sicht seiner artifiziellen Defekte und in Bezug auf urnenfelderzeitliche Skelettreste, Fundberichte aus Österreich 33/1994, 1995, 169–187.
Hanöffner, Richter 2014
S. Hanöffner, T. Richter, Tote im Getreidesilo: Ungewöhnliche Bestattung zweier frühlatènezeitlicher Männer in Weng, Das archäologische Jahr in Bayern 2013, 2014, 84–86.

Hänsel, Medović 1991
B. Hänsel, P. Medović, Vorbericht über die jugoslawisch-deutschen Ausgrabungen in der Siedlung von Feudvar bei Mošorin (Gem. Titel, Vojvodina) von 1986–1990: Bronzezeit – Vorrömische Eisenzeit, Bericht der Römisch-Germanischen Kommission 72, 1991, 45–204.
Hansson 1996
A.-M. Hansson, Bread in Birka and on Björkö, Laborativ Arkeologi 9, 1996, 61–78.
Hansson, Isaksson 1994
A.-M. Hansson, S. Isaksson, Analyses of charred organic remains, Laborativ Arkeologi 7, 1994, 21–29.
Hartl 1971–1972
J. Hartl, Eponyme Fundstelle Knovíz. Fontes Archaeologici Pragenses 15, Prag 1971–1972.
Hastorf 2016
C. A. Hastorf, The Social Archaeology of Food: Thinking about Eating from Prehistory to the Present. Cambridge 2016.
Hayden 1997
B. Hayden, Feasting in prehistoric and traditional societies. In: P. Wiessner, W. Schiefenhövel (Hrsg.), Food and the Status Quest: An Interdisciplinary Perspective. Oxford 1997, 127–148.
Heaton et al. 1988
K. W. Heaton, S. N. Marcus, P. M. Emmett, C. H. Bolton, Particle size of wheat, maize, and oat test meals: effects on plasma glucose and insulin responses and on the rate of starch digestion in vitro, The American Journal of Clinical Nutrition 47/4, 1988, 675–682.
Heer 1865
O. Heer, Die Pflanzen der Pfahlbauten, Neujahrsblätter der Naturforschenden Gesellschaft in Zürich 1866, 1865, 1–54.
Heiling-Schmoll 1987
I. Heiling-Schmoll, Tier- und Menschendepositionen der urnenfelder-/hallstattzeitlichen Siedlungsanlage von Stillfried an der March. Unveröffentlichte Dissertation, Universität Wien 1987.
Heinrich 1974
W. Heinrich, Paläolithische Funde von Stillfried an der March, Forschungen in Stillfried 1, 1974, 53–60.
Heiss 2008
A. G. Heiss, Weizen, Linsen, Opferbrote: Archäobotanische Analysen bronze- und eisenzeitlicher Brandopferplätze im mittleren Alpenraum. Saarbrücken 2008.
Heiss 2010
A. G. Heiss, Speisen, Holz und Räucherwerk: Die verkohlten Pflanzenreste aus dem jüngereisenzeitlichen Heiligtum von Ulten, St. Walburg, im Vergleich mit weiteren alpinen Brandopferplätzen. In: H. Steiner (Hrsg.), Alpine Brandopferplätze: Archäologische und naturwissenschaftliche Untersuchungen / Roghi votivi alpini: archeologia e scienze naturali. Forschungen zur Denkmalpflege in Südtirol / Beni Culturali in Alto Adige: Studi e Ricerche 5, Trento 2010, 781–815.
Heiss 2014
A. G. Heiss, Ceremonial foodstuffs from prehistoric burnt-offering places in the Alpine region. In: A. Chevalier, E. Marinova, L. Peña-Chocarro (Hrsg.), Plants and People: Choices and Diversity through Time. Early Agricultural Remnants and Technical Heritage (EARTH): 8,000 Years of Resilience and Innovation 1, Oxford 2014, 343–353.
Heiss 2015
A. G. Heiss, Bread. In: K. Bescherer Metheny, M. C. Beaudry (Hrsg.), Archaeology of Food: An Encyclopedia. Lanham – Boulder – London – New York 2015, 70–75.
Heiss 2019
A. G. Heiss, Fifty Shapes of Grain: New Archaeobotanical Approaches towards Charred Finds of Processed Cereal-based Foods: I. Rahmenschrift and Original Papers. Unveröffentlichte Habilitationsschrift, Universität für Bodenkultur Wien 2019.
Heiss, Gail 2019
A. G. Heiss, N. Gail, Brot oder nicht Brot – keine einfache Frage: Methodische Überlegungen zu verkohlten archäologischen Speiseresten und die Neubearbeitung von Funden aus dem gallo-römischen Gräberfeld von Wederath-Belginum. In: R. Cordie, N. Hasslinger, J. Wiethold (Hrsg.), Was aßen Kelten und Römer? Umwelt, Landwirtschaft und Ernährung westlich des Rheins. Schriften des Archäologiepark Belginum 17, Morbach 2019, 73–88.
Heiss, Kreuz 2007
A. G. Heiss, A. Kreuz, Brot für die Salinenarbeiter – das Keltenbrot von Bad Nauheim aus archäobotanischer Sicht: Untersuchung zur latènezeitlichen Ernährung in Bad Nauheim, Wetteraukreis, hessenArchäologie 2006, 2007, 70–73.
Heiss, Oberndorfer 2016
A. G. Heiss, D. Oberndorfer, Bridging the gap? Analytical and conservational approaches to the charred wood assemblage from a Late Antique (7th–9th c. CE) residence in Ephesus. In: L. Zhang, G. Krist (Hrsg.), 2nd International Conference "Archaeology and Conservation along the Silk Road". Nanjing 21.05.2016. Conference Program, Nanjing 2016, 28–29.

Heiss et al. 2015
A. G. Heiss, N. Pouget, J. Wiethold, A. Delor-Ahü, I. Le Goff, Tissue-based analysis of a charred flat bread (galette) from a Roman cemetery at Saint-Memmie (Dép. Marne, Champagne-Ardenne, north-eastern France), Journal of Archaeological Science 55, 2015, 71–82.

Heiss et al. 2017
A. G. Heiss, F. Antolín, N. Bleicher, C. Harb, S. Jacomet, M. Kühn, E. Marinova, H.-P. Stika, S. M. Valamoti, State of the (t)art: analytical approaches in the investigation of components and production traits of archaeological bread-like objects, applied to two finds from the Neolithic lakeshore settlement Parkhaus Opéra (Zürich, Switzerland), PLoS ONE 12/8, 2017, e0182401. doi: 10.1371/journal.pone.0182401.

Heiss et al. 2019
A. G. Heiss, F. Antolín, M. Berihuete-Azorín, B. Biederer, R. Erlach, N. Gail, M. Griebl, R. Linke, M. Lochner, E. Marinova, D. Oberndorfer, H. Stika, S. M. Valamoti, The hoard of the rings? "Odd" annular bread-like objects as a case study for cereal-product diversity at the Late Bronze Age hillfort site of Stillfried (Lower Austria), PLoS ONE 14/6, 2019, e0216907. doi: 10.1371/journal.pone.0216907.

Hellerschmid 2006
I. Hellerschmid, Die urnenfelder-/hallstattzeitliche Wallanlage von Stillfried an der March: Ergebnisse der Ausgrabungen 1969–1989 unter besonderer Berücksichtigung des Kulturwandels an der Epochengrenze Urnenfelder-/Hallstattkultur. Mitteilungen der Prähistorischen Kommission 63, Wien 2006.

Hellerschmid 2015
I. Hellerschmid, Mord oder Opferung? Die Niederlegung der „Sieben" in Grube V1141 am Kirchhügel von Stillfried, Archaeologia Austriaca 99, 2015, 203–231.

Hellerschmid-Artner 1997
I. Hellerschmid-Artner, Die späturnenfelderzeitliche-hallstattzeitliche Siedlung von Stillfried an der March, NÖ. Ergebnisse der Ausgrabung des Jahres 1973: Die urnenfelderzeitlichen Funde und Befunde. Unveröffentlichte Diplomarbeit, Universität Wien 1997.

Hellerschmid, Kern, Lochner 2010
I. Hellerschmid, D. Kern, M. Lochner, Oberleiserberg – Stillfried – Thunau: Drei Höhensiedlungen der mitteldonauländischen Urnenfelderkultur im Vergleich. In: B. Gediga, W. Piotrowski (Hrsg.), Rola głównych centrów kulturowych w kształtowaniu oblicza kulturowego Europy Środkowej we wczesnych okresach epoki żelaza / Rolle der wichtigen Kulturzentren in der Gestaltung des Kulturbildes Mitteleuropas in den frühen Perioden der Eisenzeit. Symposium Biskupin 23.–25. 06. 2008, Archäologisches Museum in Biskupin. Biskupiner Archäologische Arbeiten 8, Polnische Akademie der Wissenschaften Abteilung Breslau, Arbeiten der Archäologischen Kommission 18, Biskupin – Breslau 2010, 283–297.

Hellerschmid, Penz 2004
I. Hellerschmid, M. Penz, Die befestigte Siedlung Stillfried a. d. March am Übergang von der Bronze- zur Eisenzeit. In: Popelnicová pole a doba halštatská. Příspěvky z VIII. konference, České Budějovice 22.–24.09.2004. Archeologické Výzkumy v Jižních Čechách Supplementum 1, České Budějovice 2004, 167–180.

Hellerschmid, Griebl in Druck
I. Hellerschmid, M. Griebl, Die urnenfelderzeitliche Wallbefestigung von Stillfried an der March: Von der ebenerdigen Palisadenumgrenzung bis zur mächtigen Wallbewehrung. Mitteilungen der Prähistorischen Kommission, in Druck.

Hellerschmid, Griebl in Vorbereitung
I. Hellerschmid, M. Griebl, Die späturnenfelderzeitlichen Tier- und Menschenniederlegungen von Stillfried an der March. Mit Beiträgen von P. Aigner, A. Bauer, M. Brandl, M. Marschler, M. M. Martinez, E. Pucher, K. Saliari und K. Wiltschke-Schrotta. Mitteilungen der Prähistorischen Kommission, in Vorbereitung.

Helou et al. 2016
C. Helou, P. Gadonna-Widehem, N. Robert, G. Branlard, J. Thebault, S. Librere, S. Jacquot, J. Mardon, A. Piquet-Pissaloux, S. Chapron, A. Chatillon, C. Niquet-Léridon, F. J. Tessier, The impact of raw materials and baking conditions on Maillard reaction products, thiamine, folate, phytic acid and minerals in white bread, Food & Function 7/6, 2016, 2498–2507.

Herbig 2016
C. Herbig, Dem Feuer getrotzt. Nudeln, Brot und Hirsebrei: Archäobotanische und archäologische Untersuchungen zu den pflanzlichen Speisen vom vorgeschichtlichen Gräberfeld Niederkaina, Ausgrabungen in Sachsen 5, 2016, 519–532.

Herrmann 1963
J. Herrmann, Lehrbuch der Vorratspflege: Haltbarmachen, Frischhalten und Lagern von Lebens- und Futtermitteln. Berlin 1963.

Heske 2010
I. Heske, Herrschaftssitz oder Elitenort? Zum Nachweis einer jungbronzezeitlichen Außensiedlung an der Hünenburg bei Watenstedt, Kr. Helmstedt, und ihre Be-

deutung im überregionalen Vergleich. In: B. Horejs, T. L. Kienlin (Hrsg.), Siedlung und Handwerk: Studien zu sozialen Kontexten in der Bronzezeit. Beiträge zu den Sitzungen der Arbeitsgemeinschaft Bronzezeit 2007 und 2008. Universitätsforschungen zur Prähistorischen Archäologie 194, Bonn 2010, 285–300.

Heske 2016

I. Heske, Die Hünenburg-Außensiedlung bei Watenstedt, Ldkr. Helmstedt: Funde und Befunde der Ausgrabungen 2005 bis 2010. Hünenburg-Forschungen 2, Göttinger Schriften zur Vor- und Frühgeschichte 34, Neumünster – Hamburg 2016.

Heske, Grefen-Peters 2013

I. Heske, S. Grefen-Peters, Rückkehr in die Bestattungsgemeinschaft: „Zerrupfte" Bestattungen der Bronze- und frühen Eisenzeit am Nordharz. In: Müller-Scheessel 2013, 289–304.

Heske et al. 2010

I. Heske, S. Grefen-Peters, M. Posselt, J. Wiethold, Die jungbronzezeitliche Außensiedlung der „Hünenburg" bei Watenstedt, Ldkr. Helmstedt: Vorbericht über die Ausgrabungen 2005–2007, Prähistorische Zeitschrift 85, 2010, 159–190.

Hess-Haberlandt 2007

G. Hess-Haberlandt, Medizingeschichtliches aus dem Kitzbüheler Raum: Von der mittelalterlichen Badstube zum modernen Gesundheitswesen, Innsbruck – Wien – Bozen 2007.

Hetzer, Willvonseder 1952

K. Hetzer, K. Willvonseder, Das Urnenfeld von Groß-Enzersdorf (Wien, 22. Bezirk), Archaeologia Austriaca 9, 1952, 52–76.

Hill 1979

A. Hill, Butchery and natural disarticulation: an investigatory technique, American Antiquity 44/4, 1979, 739–744.

Hill, Evans 1972

J. N. Hill, R. K. Evans, A model for classification and typology. In: D. L. Clarke (Hrsg.), Models in Archaeology. London 1972, 231–271.

Hillman et al. 1993

G. C. Hillman, S. Wales, F. McLaren, J. G. Evans, A. Butler, Identifying problematic remains of ancient food plants: a comparison of the role of chemical, histological and morphological criteria, World Archaeology 25/1, 1993, 94–121.

Hodder 1992

I. Hodder, Theory and Practice in Archaeology. London – New York 1992.

Hodder 2011

I. Hodder, Human-thing entanglement: towards an integrated archaeological perspective, Journal of the Royal Anthropological Institute 17, 2011, 154–177.

Hodder 2012

I. Hodder, Entangled: An Archaeology of the Relationships between Humans and Things. Chichester 2012.

Hofmann 1931

E. Hofmann, Pflanzenreste aus einer Wohngrube in Stillfried. Beitrag in: K. Willvonseder, Eine Wohngrube in Stillfried a. d. March (Niederösterreich), Wiener Prähistorische Zeitschrift 18, 1931, 135–137.

Holodňák 1993

P. Holodňák, Textil- und Ledererzeugung: Knochen- und Geweihverarbeitung. In: J. Waldhauser und Arbeitsgruppe (Hrsg.), Die hallstatt- und latènezeitliche Siedlung mit Gräberfeld bei Radovesice in Böhmen, Archeologický Výzkum v Severních Čechách 21, 1993, 207–211.

Homer, Ilias

Homer, Ilias, hrsg. von P. von der Mühll. Aus dem Griechischen von J. H. Voss. Zürich 1980.

Horsky, Irrgeher, Prohaska 2016

M. Horsky, J. Irrgeher, T. Prohaska, Evaluation strategies and uncertainty calculation of isotope amount ratios measured by MC ICP-MS on the example of Sr, Analytical and Bioanalytical Chemistry 408, 2016, 351–367.

Horváth et al. 2007

T. Horváth, K. Gherdán, K. Herbich, Z. Vasáros, Häuser der Badener Kultur am Fundort Balatonőszöd-Temetői dűlő: Archäologische Untersuchungen, Acta Archaeologica Academiae Scientiarum Hungaricae 58, 2007, 43–105.

Horwitz, Smith 1988

L. K. Horwitz, P. Smith, The effects of striped hyaena activity on human remains, Journal of Archaeological Science 15, 1988, 471–481.

Hrala 1987

J. Hrala, Die Knovíz-Kultur: Kurze Übersicht. In: E. Plesl (Hrsg.), Die Urnenfelderkulturen Mitteleuropas. Symposium Liblice, 21.–25.10.1985. Prag 1987, 189–193.

Huot 1989

J. L. Huot, 'Ubaidian village of lower Mesopotamia: permanence and evolution from 'Ubaid 0 to 'Ubaid 4 as seen from Tell el'Oueili. In: E. F. Hendrickson, I. Thuesen (Hrsg.), Upon this Foundation: The 'Ubaid Reconsidered. Carsten Niebuhr Institut of Ancient Near Eastern Studies 10, Kopenhagen 1989, 19–42.

Huot 1991

J. L. Huot, Die Besiedlung von Niedermesopotamien. In: C. Flon (Hrsg.), Der große Bildatlas der Archäologie. München 1991, 176–177.

Ilon 2014
G. Ilon, Opfergrube der Hügelgräberkultur in der Gemarkung von Ménfocsanak, Acta Archaeologica Academiae Scientiarum Hungaricae 65, 2014, 5–42.
Ilon 2015
G. Ilon, Zeitstellung der Urnenfelderkultur (1350/1300–750/700 BC) in West-Transdanubien: Ein Versuch mittels Typochronologie und Radiokarbondaten. In: S. Berecki (Hrsg.), Bronze Age Chronology in the Carpathian Basin. Proceedings of the International Colloquium from Târgu Mureş, 2.–4. October 2014. Târgu Mureş 2015, 223–297.
Irrgeher et al. 2012
J. Irrgeher, M. Teschler-Nicola, K. Leutgeb, C. Weiss, D. Kern, T. Prohaska, Migration and mobility in the latest Neolithic of the Traisen valley, Lower Austria: Sr isotope analysis. In: E. Kaiser, J. Burger, W. Schier (Hrsg.), Population Dynamics in Prehistory and Early History. New Approaches by Using Stable Isotopes and Genetics 5, Berlin – Boston 2012, 213–226.
Irrgeher et al. 2013
J. Irrgeher, T. Prohaska, R. E. Sturgeon, Z. Mester, L. Yang, Determination of strontium isotope amount ratios in biological tissues using MC-ICPMS, Analytical Methods 5, 2013, 1687.
Iscan, Steyn 2013
M. Y. Iscan, M. Steyn, The Human Skeleton in Forensic Medicine. 3. Auflage, Springfield, Illinois 2013.
Jäckel 1824
J. Jäckel, Zimentirungs Lexikon für alle Handels- und Gewerbsleute, welche nach Maß und Gewicht kaufen und verkaufen, mit Beziehung auf die in Österreich erflossenen Zimentierungsvorschriften. Wien 1824.
Jacomet, Karg 1996
S. Jacomet, S. Karg, Ackerbau und Umwelt der Seeufersiedlungen von Zug-Sumpf im Rahmen der mitteleuropäischen Spätbronzezeit: Ergebnisse archäobotanischer Untersuchungen. In: Kantonales Museum für Urgeschichte Zug (Hrsg.), Die spätbronzezeitlichen Ufersiedlungen von Zug-Sumpf 1: Die Dorfgeschichte. Zug 1996, 198–303 und 365–368.
Jacomet, Kreuz 1999
S. Jacomet, A. Kreuz, Archäobotanik: Aufgaben, Methoden und Ergebnisse vegetations- und agrargeschichtlicher Forschung. Stuttgart 1999.
Jacques-Meunié 1944
D. Jacques-Meunié, Les greniers collectifs au Maroc, Journal de la Société des Africanistes 14, 1944, 1–16.
Jacques-Meunié 1949
D. Jacques-Meunié, Greniers collectifs, Hespéris 36, 1949, 97–137.
Jäger, Ložek 1978
K.-D. Jäger, V. Ložek, Umweltbedingungen und Landesausbau während der Urnenfelderbronzezeit in Mitteleuropa. In: W. Coblenz, H. Coblenz (Hrsg.), Mitteleuropäische Bronzezeit: Beiträge zur Archäologie und Geschichte. Berlin 1978, 211–229.
Jones 2005
M. Jones, Environmental archaeology. In: C. Renfrew, P. Bahn (Hrsg.), Archaeology: The Key Concepts. Routledge Key Guides, London – New York 2005, 63–67.
Jones, Knox, Sage 1990
D. N. Jones, A. M. Knox, M. R. Sage, Traumatic avulsion fracture of the occipital condyles and clivus with associated unilateral atlantooccipital distraction, American Journal of Neuroradiology 11, 1990, 1181–1183.
Jones, Valamoti, Charles 2000
G. E. M. Jones, S. M. Valamoti, M. P. Charles, Early crop diversity: a "new" glume wheat from northern Greece, Vegetation History and Archaeobotany 9, 2000, 133–146.
Junkins, Carter 2017
E. N. Junkins, D. O. Carter, Relationships between human remains, graves and the depositional environment. In: E. M. J. Schotsmans, N. Márquez-Grant, S. L. Forbes (Hrsg.), Taphonomy of Human Remains: Forensic Analysis of the Dead and the Depositional Environment. Chichester, West Sussex – Hoboken, New Jersey 2017, 145–154.
Kacsó 1995
C. Kacsó, Der Hortfund von Arpăşel, Kr. Bihor, Prähistorische Archäologie in Südosteuropa 10, 1995, 81–130.
Kalicz 2010
N. Kalicz, Die Bestattungssitten. In: Kalicz-Schreiber 2010, 280–295.
Kalicz-Schreiber 2010
R. Kalicz-Schreiber, Ein Gräberfeld der Spätbronzezeit von Budapest-Békásmegyer. Budapest 2010.
Katz, Voigt 1986
S. H. Katz, M. M. Voigt, Bread and beer: the early use of cereals in the human diet, Expedition 28/2, 1986, 23–35.
Kaus o. J.
M. Kaus, Keramiktypentafeln von Stillfried. Unveröffentlichtes Manuskript, Wien o. J.
Kaus 1984
M. Kaus, Das Gräberfeld der jüngeren Urnenfelderzeit von Stillfried an der March: Ergebnisse der Ausgrabung 1975–1977, Forschungen in Stillfried 6, 1984, 1–208.
Kaus 1988
M. Kaus, Das sogenannte Stillfrieder Depot mit Pferdegeschirrbronzen. In: Felgenhauer et al. 1988, 111–112.

Kaus 1991
M. Kaus, Das frühurnenfelderzeitliche Steinkistengrab von Sommerein-Stockäcker, Archäologie Österreichs 2/1, 1991, 27–30.
Kaus 1999
K. Kaus, Die Bernsteinstraße im Burgenland. In: J. Gömöri (Hrsg.), Landscapes and Monuments along the Amber Road / Landschaft und Denkmäler entlang der Bernsteinstraße. Sopron 1999, 88–93.
Keller 1939
J. Keller, Die Alb-Hegau-Keramik der älteren Eisenzeit. Tübinger Forschungen zur Archäologie und Kunstgeschichte 18, Reutlingen 1939.
Kerig 2008
T. Kerig, Hanau-Mittelbuchen. Siedlung und Erdwerk der bandkeramischen Kultur: Materialvorlage – Chronologie – Versuch einer handlungstheoretischen Interpretation. Universitätsforschungen zur Prähistorischen Archäologie 156, Bonn 2008.
Kern 1996
A. Kern, KG Mannersdorf, MG Angern an der March, VB Gänserndorf, Fundberichte aus Österreich 34/1995, 1996, 645.
Kern 1998
A. Kern, KG Mannersdorf, MG Angern an der March, VB Gänserndorf, Fundberichte aus Österreich 36/1997, 1998, 781.
Kern 1999
A. Kern, KG Mannersdorf, MG Angern an der March, VB Gänserndorf, Fundberichte aus Österreich 37/1998, 1999, 715.
Kern 2001
D. Kern, Thunau am Kamp. Eine befestigte Höhensiedlung (Grabung 1965–1990): Urnenfelderzeitliche Siedlungsfunde der unteren Holzwiese. Mitteilungen der Prähistorischen Kommission 41, Wien 2001.
Kies, Reithmayr, Schaudy 1986
A. Kies, P. Reithmayr, R. Schaudy, Strahlenchemische Konservierung und Auswertung von Holz aus der Wallanlage von Stillfried, Forschungen in Stillfried 7, 1986, 5–18.
Király et al. 2013
Á. Király, K. Sebök, Z. K. Zoffmann, G. Kovács, Early Iron Age "mass graves" in the middle Tisza region: investigation and interpretation. In: Müller-Scheessel 2013, 307–326.
Klemm 1992
S. Klemm, Die Malleiten bei Bad Fischau, NÖ. Monographie zu den Grab- und Siedlungsfunden der urgeschichtlichen Höhensiedlung: Ein Beitrag zur Kenntnis der Keramik der Urnenfelder- und der Hallstattzeit im Ostalpenraum. Unveröffentlichte Dissertation, Universität Wien 1992.
Kmeťová, Hladíková, Gregor 2010
P. Kmeťová, K. Hladíková, M. Gregor, Plasticky zdobená mazanica z Levíc-Géne. In: V. Furmánek (Hrsg.), Popolnicové polia a doba Halštatská. Zborník referátov z X. medzinárodnej konferencie „Popolnicové polia a doba halštatská", Košice, 16.–19. september 2008. Nitra 2010, 139–160.
Knight 1996
B. Knight, Forensic Pathology. 2. Auflage, London 1996.
Knoll 2018
F. Knoll, Rot, Schwarz, Weiß: Die Wandmalerei in Mitteldeutschland während der späten Bronze-/frühen Eisenzeit (1200–450 v. Chr.) im europäischen Kontext. Veröffentlichungen des Landesamtes für Denkmalpflege und Archäologie Sachsen-Anhalt, Landesmuseum für Vorgeschichte Halle 78, Halle an der Saale 2018.
Koch 2007
F. Koch (Hrsg.), Bronzezeit: Die Lausitz vor 3000 Jahren. Begleitband zur Ausstellung vom 18. Januar bis 2. September 2007, Museum der Westlausitz Kamenz. Kamenz 2007.
Koch, Meixner 2005
H. Koch, G. Meixner, Atting „Aufeld": Eine Großsiedlung der Urnenfelderzeit mit hölzernen Brunnen, Lkr. Straubing-Boging, Niederbayern, Das archäologische Jahr in Bayern 2004, 2005, 49–56.
Kohler-Schneider 1999
M. Kohler-Schneider, Zur Rekonstruktion des spätbronzezeitlichen Ackerbaus in Stillfried, NÖ, Archäologie Österreichs 10/2, 1999, 64–77.
Kohler-Schneider 2001
M. Kohler-Schneider, Verkohlte Kultur- und Wildpflanzenreste aus Stillfried an der March als Spiegel spätbronzezeitlicher Landwirtschaft im Weinviertel, Niederösterreich. Mitteilungen der Prähistorischen Kommission 37, Wien 2001.
Kohler-Schneider 2003
M. Kohler-Schneider, Contents of a storage pit from Late Bronze Age Stillfried, Austria: another record of the "new" glume wheat, Vegetation History and Archaeobotany 12, 2003, 105–111.
Kohler-Schneider, Caneppele 2009
M. Kohler-Schneider, A. Caneppele, Late Neolithic agriculture in eastern Austria: archaeobotanical results from sites of the Baden and Jevišovice cultures (3600–2800 B.C.), Vegetation History and Archaeobotany 18, 2009, 61–74.

Körber-Grohne, Piening 1980
U. Körber-Grohne, U. Piening, Microstructure of the surfaces of carbonized and non-carbonized grains of cereals as observed in scanning electron and light microscopes as an additional aid in determining prehistoric findings, Flora 170, 1980, 189–228.

Körber-Grohne, Piening 1981
U. Körber-Grohne, U. Piening, Die Feinstruktur der Oberflächen verkohlter und unverkohlter Getreidekörner, beobachtet im Rasterelektronen- und Lichtmikroskop als zusätzliches Hilfsmittel, Zeitschrift für Archäologie 15, 1981, 65–72.

Kortmann et al. 2000
H.-R. Kortmann, C. Eggers, M. Schofer, P.-M. Hax, Diagnostik und Therapie der Verletzungen der oberen Halswirbelsäule, Trauma und Berufskrankheit 3, 2000, 134–147.

Kossack 1954
G. Kossack, Studien zum Symbolgut der Urnenfelder- und Hallstattzeit Mitteleuropas. Römisch-Germanische Forschungen 20, Berlin 1954.

Kossack 1995
G. Kossack, Mitteleuropa zwischen dem 13. und 8. Jahrhundert v. Chr. Geb.: Geschichte, Stand und Probleme der Urnenfelderforschung. In: Beiträge zur Urnenfelderzeit nördlich und südlich der Alpen: Ergebnisse eines Kolloquiums. Monographien des Römisch-Germanischen Zentralmuseums 35, Bonn 1995, 1–64.

Kotscher 1963
E. Kotscher, Die Röntgendiagnostik von Schädeltraumen. In: L. Diethelm, F. Strnad (Hrsg.), Röntgendiagnostik des Schädels II. Berlin – Göttingen – Heidelberg 1963, 1–64.

Krauss 1888
F. Krauss, Die nordöstliche Steiermark: Eine Wanderung durch vergessene Lande. Graz 1888.

Krenn-Leeb, Teschler-Nicola 2013
A. Krenn-Leeb, M. Teschler-Nicola, Gewalt ≠ Gewalt. Konfliktlösung – Rituelle Gewalt – Soziale Differenzierung: Kontextanalyse an Fallbeispielen aus Neolithikum, Kupfer- und Bronzezeit, Archäologie Österreichs 24/1, 2013, 19–27.

Kreuz, Boenke 2003
A. Kreuz, N. Boenke, Hirsebrei, Feigen und …: Landwirtschaft, Umwelt und Ernährung im Bad Nauheimer Raum. In: B. Kuli (Hrsg.), Sole und Salz schreiben Geschichte. Mainz 2003, 249–255.

Kriegler 1928
K. Kriegler, Funde aus dem Waagtal, Sudeta 5, 1928, 123–137.

Kroll, Reed 2016
H. Kroll, K. Reed, Feudvar III: Die Archäobotanik. Würzburger Studien zur Vor- und Frühgeschichtlichen Archäologie 11, Würzburg 2016.

Krumm 2011
C. Krumm, Unter dem Zeichen des Anch. In: Baumeister 2011a, 44–51.

Krünitz 1803
J. G. Krünitz, Oeconomische Encyclopädie, oder allgemeines System der Staats- Stadt- Haus- und Landwirthschaft, und der Kunst-Geschichte, in alphabetischer Ordnung: Band 92: von Mistbeller – Mohur. Berlin 1803.

Ktenioudaki et al. 2015
A. Ktenioudaki, L. Alvarez-Jubete, T. J. Smyth, K. Kilcawley, D. K. Rai, E. Gallagher, Application of bioprocessing techniques (sourdough fermentation and technological aids) for brewer's spent grain breads, Food Research International 73, 2015, 107–116.

Kubenz 2016
T. Kubenz, Gruben unterm G(r)as: Neue Siedlungsfunde aus Welbsleben, Lkr. Mansfeld-Südharz, Archäologie in Sachsen-Anhalt 8, 2016, 111–122.

Kubiak-Martens, Brinkkemper, Oudemans 2015
L. Kubiak-Martens, O. Brinkkemper, T. F. M. Oudemans, What's for dinner? Processed food in the coastal area of the northern Netherlands in the Late Neolithic, Vegetation History and Archaeobotany 24/1, 2015, 47–62.

Kuhn 2012
J. Kuhn, Buchbrunn: Eine Siedlung der Linearbandkeramik in Nordbayern. Berliner Archäologische Forschungen 10, Rahden/Westfalen 2012.

Kuhn 2013
E. Kuhn, Tirolerknödel in Brasilien: Weitergabe und Veränderung von kulinarischem Wissen bei Tiroler Migranten und Migrantinnen in Brasilien. Unveröffentlichte Dissertation, Universität Wien 2013.

Kuhnt-Saptodewo, Rietz 2004
S. Kuhnt-Saptodewo, H. Rietz, Helbigs Beobachtungen zu den Ritualen der Dayak und der heutige Stand der Forschung. In: W. Rutz, A. Sibeth (Hrsg.), Karl Helbig. Wissenschaftler und Schiffsheizer: Sein Lebenswerk aus heutiger Sicht. Rückblick zum 100. Geburtstag. Hildesheim 2004, 178–197.

Kümmel 2009
C. Kümmel, Ur- und frühgeschichtlicher Grabraub: Archäologische Interpretation und kulturanthropologische Erklärung. Tübinger Schriften zur Ur- und Frühgeschichtlichen Archäologie 9, Münster 2009.

Kuna, Němcová 2012
M. Kuna, N. Němcová, Výpověď sídlištního odpadu: Nálezy z pozdní doby bronzové v Roztokách a otázky depoziční analýzy archeologického kontextu / The Evidence of Settlement Discard: Finds from the Final Bronze Age at Roztoky and the Depositional Analysis of Archaeological Context. Prag 2012.

Kunkel 1958
O. Kunkel, Die Jungfernhöhle: Eine neolithische Kultstätte in Oberfranken. In: Römisch-Germanische Kommission des Deutschen Archäologischen Institutes (Hrsg.), Neue Ausgrabungen in Deutschland. Berlin 1958, 54–67.

Kunst 2021
G. K. Kunst, Zur Tier-Mensch-Beziehung. In: M. Lochner (Hrsg.), Brandbestattung und Bronzemetallurgie: Die Urnenfelderkultur in Niederösterreich (1300–800 v. Chr.). Archäologie Niederösterreichs, Wien 2021, 140–171.

Kunz 2004
L. Kunz, Obilní jámy: konzervace obilí na dlouhý čas v historické zóně eurosibiřského a mediteránního rolnictví / Grain Pits: Long-time Preservation of Grain in Historical Zone of Euro-Serbian and Mediterranean Peasantry. Rolnictví na Východní Moravě od Baroka do II, Světové Války 1, Rožnov pod Radhoštěm 2004.

Kurzweil, Todtenhaupt 1991
A. Kurzweil, D. Todtenhaupt, Technologie der Holzteergewinnung, Acta Praehistorica et Archaeologica 23, 1991, 63–91.

Kurzweil, Todtenhaupt 1999
A. Kurzweil, D. Todtenhaupt, Teergrube oder Teermeiler? In: E. Jerem, I. Poroszlai (Hrsg.), Archaeology of the Bronze and Iron Age: Experimental Archaeology, Environmental Archaeology, Archaeological Parks. Proceedings of the International Archaeological Conference, Százhalombatta, 3–7 October 1996. Budapest 1999, 415–424.

Lang 2009
B. Lang, Der Tempel: Ritual und Kult als Lebensmacht in biblischer Zeit. In: M. Neuhauser (Hrsg.), Religion und Rituale. Akademie Völker und Kulturen 2009, Münster 2009, 13–49.

Langenecker 1986
U. Langenecker, Webgrube der Hallstattkultur aus Stillfried a. d. March, VB Angern/March, NÖ. Unveröffentlichte Diplomarbeit, Universität Wien 1986.

Lannoy et al. 2002
S. Lannoy, P. Marinval, A. Buleon, H. Chiron, P. Mejanelle, S. Pin, J. Rech, A. Tchapla, Étude de « pains/galettes » archéologiques français. In: K. Fechner, M. Mesnil (Hrsg.), Pain, fours et foyers des temps passés: archéologie et traditions boulangères des peuples agriculteurs d'Europe et du Proche Orient. Civilisations 49/1–2, Brüssel 2002, 119–160.

Lauermann 2012
E. Lauermann, Das Grab einer Metallverarbeiterin aus dem Aunjetitzer Gräberfeld von Geitzendorf, Niederösterreich: Muss die Rolle der Frau in der frühen Bronzezeit neu überdacht werden? Archäologie Österreichs 23/1, 2012, 27–29.

Lauermann, Pany-Kucera 2013
E. Lauermann, D. Pany-Kucera, Grab 3 aus dem Aunjetitzer Gräberfeld von Geitzendorf: Der erste Nachweis einer Metallverarbeiterin in der Frühbronzezeit Niederösterreichs, Slovenská Archaeólogia 61/1, 2013, 93–104.

Lauermann, Rammer 2013
E. Lauermann, E. Rammer, Metallhortfunde Niederösterreichs: Mit besonderer Berücksichtigung der zwei Depotfunde aus Enzersdorf im Thale. Universitätsforschungen zur Prähistorischen Archäologie 226, Bonn 2013.

Leone et al. 2000
A. Leone, A. Cerase, C. Colosimo, L. Lauro, A. Puca, P. Marano, Occipital condylar fractures: a review, Radiology 216, 2000, 635–644.

Lévi-Strauss 2004
C. Lévi-Strauss, Le triangle culinaire (1965), Food and History 2/1, 2004, 7–20.

Liener 1979
I. E. Liener, The nutritional significance of plant protease inhibitors, Proceedings of the Nutrition Society 38/1, 1979, 109–113.

Lindinger 2008
V. Lindinger, Urnenfelderzeitliche Siedlungen in Wien: Untersuchungen zum Siedlungswesen der älteren Urnenfelderzeit in Ostösterreich. Saarbrücken 2008.

Linke 2019a
R. Linke, Laboratory Report BDA-00061.sb/0001-ARSENAL/2019: Materialanalyse archäologischer Altfunde von 1978 aus Stillfried (Laborberichte 135/19–136/19). Wien 2019.

Linke 2019b
R. Linke, Laboratory Report BDA-00061.sb/0002-ARSENAL/2019: Materialanalyse archäologischer Altfunde der Grabung Belginum 1980 und 1984 (Laborberichte 133/19–134/19). Wien 2019.

Lobisser 2005
W. Lobisser, Die eisenzeitlichen Bauhölzer der Gewerbesiedlung im Ramsautal am Dürrnberg bei Hallein. Dürrnberg-Forschungen 4, Rahden/Westfalen 2005.

Lobisser 2006
W. Lobisser, Lehrveranstaltung Experimentelle Archäologie 2006. https://is.muni.cz/el/phil/jaro2007/AEA_15/3192694/lobisser-Holzbearbeitung-2006.pdf (letzter Zugriff 13.06.2022).
Lochner 1991
M. Lochner, Studien zur Urnenfelderkultur im Waldviertel, Niederösterreich. Mitteilungen der Prähistorischen Kommission 25, Wien 1991.
Lochner 2013
M. Lochner, Bestattungssitten auf Gräberfeldern der mitteldonauländischen Urnenfelderkultur. In: M. Lochner, F. Ruppenstein (Hrsg.), Brandbestattungen von der mittleren Donau bis zur Ägäis zwischen 1300 und 750 v. Chr. Akten des internationalen Symposiums an der Österreichischen Akademie der Wissenschaften in Wien, 11.–12. Februar 2010 / Cremation Burials in the Region between the Middle Danube and the Aegean, 1300–750 BC. Proceedings of the International Symposium held at the Austrian Academy of Sciences at Vienna, February 11th–12th, 2010. Mitteilungen der Prähistorischen Kommission 77, Veröffentlichungen der Mykenischen Kommission 32, Wien 2013, 11–31.
Lochner in Vorbereitung
M. Lochner, Thunau am Kamp: Eine befestigte Höhensiedlung der Urnenfelderkultur (Grabung 1965–1990). Wien, in Vorbereitung.
Löcker 2012
K. Löcker, Archäologisch-geophysikalische Prospektion Stillfried 2011–2012. Unveröffentlichter Endbericht, Wien 2012.
Loré 1993
F. Loré, Die Reisensburg: Eine vor- und frühgeschichtliche Befestigungsanlage über der Donau, Das archäologische Jahr in Bayern 1992, 1993, 58–60.
Lund, Lorenz 1984
D. Lund, K. J. Lorenz, Influence of time, temperature, moisture, ingredients, and processing conditions on starch gelatinization, CRC Critical Reviews in Food Science and Nutrition 20/4, 1984, 249–273.
Lundström-Baudais et al. 2002
K. Lundström-Baudais, A.-M. Rachoud-Schneider, D. Baudais, B. Poissonnier, Le broyage dans la chaîne de transformation du millet (*Panicum miliaceum*): outils, gestes et écofacts. In: H. Procopiou, R. Treuil (Hrsg.), Moudre et broyer: l'interprétation fonctionnelle de l'outillage de mouture et de broyage dans la préhistoire et l'antiquité. Paris 2002, 181–209.
Lüning 2005
J. Lüning, Für die Ernte Feuersteinsicheln und raffinierte Erdkeller. In: J. Lüning (Hrsg.), Die Bandkeramiker: Erste Steinzeitbauern in Deutschland. Bilder einer Ausstellung beim Hessentag in Heppenheim/Bergstraße im Juni 2004. Rahden/Westfalen 2005, 63–75.
MacGregor 1985
A. MacGregor, Bone, Antler, Ivory and Horn: The Technology of Skeletal Materials since the Roman Period. London 1985.
Maier-Bruck 1981
F. Maier-Bruck, Vom Essen auf dem Lande: Das große Buch der österreichischen Bauernküche und Hausmannskost. Wien 1981.
Maillard 1912
L.-C. Maillard, Action des acides aminés sur les sucres: formation des mélanoïdines par voie méthodique, Comptes Rendus Hebdomadaires des Séances de l'Académie des Sciences 154, 1912, 66–68.
Maise 1998
C. Maise, Archäoklimatologie: Vom Einfluss nacheiszeitlicher Klimavariabilität in der Ur- und Frühgeschichte, Jahrbuch der Schweizerischen Gesellschaft für Ur- und Frühgeschichte 81, 1998, 197–235.
Marchylo, Dexter 2001
B. A. Marchylo, J. E. Dexter, Pasta production. In: G. Owens (Hrsg.), Cereals Processing Technology. Cambridge 2001, 109–130.
Martínez Straumann 2004
S. Martínez Straumann, Makro- und mikroskopische Untersuchungen von Speisekrusten aus Keramikgefässen. In: S. Jacomet, U. Leuzinger, J. Schibler (Hrsg.), Die jungsteinzeitliche Seeufersiedlung Arbon, Bleiche 3: Umwelt und Wirtschaft. Archäologie im Thurgau 12, Frauenfeld 2004, 277–283.
Matzerath 2009
S. Matzerath, Feuerböcke und Mondidole aus Gräbern: Ein Beitrag zum Symbolgut der späten Bronze- und frühen Eisenzeit Mitteleuropas. Unveröffentlichte Magisterarbeit, Universität Köln 2009.
Matzerath 2011
S. Matzerath, Feuerbock und Mondidol in der späten Urnenfelderzeit: Zur kulturgeschichtlichen Bedeutung eines Symbolträgers und seinen frühesten Belegen in der Beigabensitte. In: K. Schmotz (Hrsg.), Vorträge des 29. Niederbayerischen Archäologentages. Deggendorf 2011, 95–138.
McLaren, Evans 2002
F. McLaren, J. G. Evans, The chemical identification of ancient British bread flours: encountering and overco-

ming some of the obstacles. In: K. Fechner, M. Mesnil (Hrsg.), Pain, fours et foyers des temps passés: archéologie et traditions boulangères des peuples agriculteurs d'Europe et du Proche Orient. Civilisations 49/1–2, Brüssel 2002, 169–182.

Meffert 2002

J. Meffert, Die Ortenburg in Bautzen: Der archäologische Forschungsstand und die Ausgrabungen von 1999 bis 2001, Arbeits- und Forschungsberichte zur Sächsischen Bodendenkmalpflege 44, 2002, 75–178.

Meingast, Feiglstorfer 2018

R. Meingast, H. Feiglstorfer, Earth building history in eastern Austria. In: H. Feiglstorfer (Hrsg.), Earth Construction & Tradition 2. Wien 2018, 21–83.

Melzer 1978a

G. Melzer, Sommerein, Gem. Sommerein, BH Bruck an der Leitha, Fundberichte aus Österreich 16/1977, 1978, 353.

Melzer 1978b

G. Melzer, Sommerein, Gem. Sommerein, BH Bruck an der Leitha, Fundberichte aus Österreich 16/1977, 1978, 384–385.

Melzer o. J. (1980)

G. Melzer, Verzeichnis der archäologischen Fundstellen in Au am Leithaberge, Hof am Leithaberge, Mannersdorf am Leithagebirge und Sommerein. In: Kultur- und Museumsverein Mannersdorf am Leithagebirge (Hrsg.), Museum Mannersdorf am Leithagebirge und Umgebung: Katalog Teil 1. Ur- und Frühgeschichte. Mannersdorf am Leithagebirge o. J., 55–99.

Menghin 1917

O. Menghin, In Stillfried an der March, Niederösterreichische Volks- und Vereinszeitung, 20. Oktober 1917, 7–8.

Menghin 1919

O. Menghin, Grabungen in Stillfried an der March, Jahreshefte des Österreichischen Archäologischen Instituts in Wien 19–20, Beiblatt, 1919, 68–105.

Menghin 1928

O. Menghin, Urgeschichte der Ostalpenländer. In: H. Leitmeier (Hrsg.), Die österreichischen Alpen: Eine zusammenfassende Darstellung. Wien 1928, 176–210.

Mesnil, Popova 2002

M. Mesnil, A. Popova, L'offrande céréalière dans les rituels funéraires du sud-est européen. In: K. Fechner, M. Mesnil (Hrsg.), Pain, fours et foyers des temps passés: archéologie et traditions boulangères des peuples agriculteurs d'Europe et du Proche Orient. Civilisations 49/1–2, Brüssel 2002, 101–117.

Metcalfe 1960

C. R. Metcalfe, Anatomy of the Monocotyledons I: Gramineae. Oxford 1960.

Metzner-Nebelsick 2003

C. Metzner-Nebelsick, Ritual und Herrschaft: Zur Struktur von spätbronzezeitlichen Metallgefäßdepots zwischen Nord- und Südosteuropa. In: C. Metzner-Nebelsick (Hrsg.), Rituale in der Vorgeschichte, Antike und Gegenwart: Studien zur Vorderasiatischen, Prähistorischen und Klassischen Archäologe, Ägyptologie, Alten Geschichte, Theologie und Religionswissenschaft. Internationale Archäologie: Arbeitsgemeinschaft, Symposium, Tagung, Kongress 4, Rahden/Westfalen 2003, 99–117.

Metzner-Nebelsick 2012

C. Metzner-Nebelsick, Das Opfer: Betrachtungen aus archäologischer Sicht. In: A. Lang, P. Marinković (Hrsg.), Bios – Cultus – (Im)mortalitas: Zu Religion und Kultur. Von den biologischen Grundlagen bis zu Jenseitsvorstellungen. Beiträge der interdisziplinären Kolloquien vom 10.–11. März 2006 und 24.–25. Juli 2009 in der Ludwig-Maximilians-Universität München. Internationale Archäologie: Arbeitsgemeinschaft, Symposium, Tagung, Kongress 16, Rahden/Westfalen 2012, 157–179.

Meyer-Rochow 2009

V. B. Meyer-Rochow, Food taboos: their origins and purposes, Journal of Ethnobiology and Ethnomedicine 5/1, 2009, 18.

Miles 1963

A. E. W. Miles, The dentition in the assessment of individual age in skeletal material, in: D. R. Brothwell (Hrsg.), Dental Anthropology. Oxford 1963, 191–200.

Miller 1982

D. Miller, Artefacts as products of human categorisation processes. In: I. Hodder (Hrsg.), Symbolic and Structural Archaeology. New Directions in Archaeology, Cambridge 1982, 17–25.

Minta-Tworzowska 2000

D. Minta-Tworzowska, Symbole i symbolika z perspektywy badań archeologicznych / Symbole und Symbolik aus der Perspektive archäologischer Forschungen. In: B. Gediga, D. Piotrowska (Hrsg.), Kultura symboliczna kregu pól popielnicowych epoki brazu i Wczesnej epoki zeleza w europie Srodkowej / Die symbolische Kultur des Urnenfelderkreises in der Bronze- und frühen Eisenzeit Mitteleuropas. Arbeiten der Archäologischen Kommission 13, Warschau – Breslau – Biskupin 2000, 45–54.

Mintz, du Bois 2002
S. W. Mintz, C. M. du Bois, The anthropology of food and eating, Annual Review of Anthropology 31, 2002, 99–119.
Montanari 2017
M. Montanari, La fame e l'abbondanza. Storia dell'alimentazione in Europa. Rom 2017.
Montoya et al. 2016
J. Montoya, B. Pecha, F. C. Janna, M. Garcia-Perez, Micro-explosion of liquid intermediates during the fast pyrolysis of sucrose and organosolv lignin, Journal of Analytical and Applied Pyrolysis 122, 2016, 106–121.
Morehart, Morell-Hart 2015
C. T. Morehart, S. Morell-Hart, Beyond the ecofact: toward a social paleoethnobotany in Mesoamerica, Journal of Archaeological Method and Theory 22/2, 2015, 483–511.
Much 1875
M. Much, Germanische Wohnsitze und Baudenkmäler in Niederösterreich: Ergebnisse der archäologischen Untersuchungen im Jahre 1874, Blätter des Vereins für Landeskunde für Niederösterreich 9, 1875, 94–106, 165–179, 252–271.
Müller 1828
E. G. Müller, Aufbewahrung des Getreides in unterirdischen Gruben, Silos genannt, Allgemeiner Anzeiger der Deutschen: Der öffentlichen Unterhaltung über gemeinnützige Gegenstände aller Art gewidmet, Allgemeines Intelligenz-Blatt zum Behuf der Justiz, der Polizey und der bürgerlichen Gewerbe 76/2, 1828, 3481–3489.
Müller 1997
U. Müller, Die Gebäude der späten Bronze- und der Urnenfelderzeit im erweiterten Mitteleuropa. In: H. Beck, H. Steuer (Hrsg.), Haus und Hof in ur- und frühgeschichtlicher Zeit. Bericht über zwei Kolloquien für die Altertumskunde Mittel- und Nordeuropas vom 24. bis 26. Mai 1990 und 20. bis 22. November 1991. Göttingen 1997, 162–192.
Müller-Karpe 1952
H. Müller-Karpe, Das Urnenfeld von Kelheim. Materialhefte zur bayerischen Vorgeschichte des bayerischen Landesamts für Denkmalpflege 1, Kallmünz 1952.
Müller-Karpe 1959
H. Müller-Karpe, Beiträge zur Chronologie der Urnenfelderzeit nördlich und südlich der Alpen. Römisch-Germanische Forschungen 22, Berlin 1959.
Müller-Karpe 1974
H. Müller-Karpe, Zur Definition und Benennung chronologischer Stufen der Kupferzeit, Bronzezeit und älteren Eisenzeit, Jahresbericht des Instituts für Vorgeschichte der Universität Frankfurt am Main 1974, 7–18.
Müller-Karpe 1980
H. Müller-Karpe, Bronzezeitliche Heilszeichen, Jahresbericht des Instituts für Vorgeschichte der Universität Frankfurt am Main 1980, 9–28.
Müller-Scheessel 2013
N. Müller-Scheessel (Hrsg.), „Irreguläre" Bestattungen in der Urgeschichte: Norm, Ritual, Strafe …? Akten der Internationalen Tagung in Frankfurt a. M. vom 3. bis 5. Februar 2012. Kolloquien zur Vor- und Frühgeschichte 19, Bonn 2013.
Münzing 2004
K. Münzing, Risiken und Nebenwirkungen bei „Braunhirse": Eine Stellungnahme der Bundesforschungsanstalt für Ernährung und Lebensmittel, Detmold, Ernährung im Fokus 2004/12, 2004, 336–339.
Nagy 1979
L. Nagy, A tüzikuta és holdidol kérdeje magyarországi leletek alapján / Zur Feuerbock- und Mondidolfrage aufgrund der ungarländischen Funde, Á Vesprem Megyei Muzeumok Közlemenyei 14, 1979, 19–73.
Nagy 1994
G. Nagy, Siedlungsgeräte aus der spätestbronzezeitlichen Siedlung von Ürschhausen-Horn, Archäologie der Schweiz 17, 1994, 105–110.
Nebelsick 1994
L. Nebelsick, Das ältereisenzeitliche Gräberfeld von Loretto im Burgenland: Ein Beitrag zum Wandel der Bestattungssitten und des Beigabenspektrums während der Urnenfelder- und Hallstattzeit am Nordostalpenrand. Unveröffentlichte Dissertation, Universität Berlin 1994.
Nebelsick 1996
L. Nebelsick, Herd im Grab? Zur Deutung der Kalenderberg-verzierten Ware am Nordostalpenrand In: E. Jerem, A. Lippert (Hrsg.), Die Osthallstattkultur. Akten des Internationalen Symposiums, Sopron (10.–14. Mai 1994). Archaeolingua 7, Budapest 1996, 327–367.
Nebelsick 1997
L. Nebelsick, Die Kalenderberggruppe der Hallstattzeit am Nordostalpenrand. In: L. Nebelsick, A. Eibner, E. Lauermann, J.-W. Neugebauer (Hrsg.), Hallstattkultur im Osten Österreichs. Wissenschaftliche Schriftenreihe Niederösterreich 106–109, St. Pölten – Wien 1997, 9–128.
Nemeskéri, Harsányi, Acsádi 1960
J. Nemeskéri, L. Harsányi, G. Acsádi, Methoden zur Diagnose des Lebensalters von Skelettfunden, Anthropologischer Anzeiger 24, 1960, 70–95.

Neufeld 1907
C. A. Neufeld, Der Nahrungsmittelchemiker als Sachverständiger: Anleitung zur Begutachtung der Nahrungsmittel, Genußmittel und Gebrauchsgegenstände nach den gesetzlichen Bestimmungen. Berlin 1907.
Neugebauer o. J. (1980)
J.-W. Neugebauer, Die Urgeschichte von Mannersdorf a. Lgb. und Umgebung. In: Kultur- und Museumsverein Mannersdorf am Leithagebirge (Hrsg.), Museum Mannersdorf am Leithagebirge und Umgebung: Katalog Teil 1. Ur- und Frühgeschichte. Mannersdorf am Leithagebirge o. J., 11–35.
Neugebauer 1980
J.-W. Neugebauer, Tönerne Leisten für Schnabelschuhe der Hallstatt-Kultur aus Sommerein, NÖ, Archäologisches Korrespondenzblatt 100, 1980, 331–336.
Neugebauer, Preinfalk 1999
J.-W. Neugebauer, F. Preinfalk, KG Hafnerbach, MG Hafnerbach, VB St. Pölten, Fundberichte aus Österreich 37/1998, 1999, 18–19.
Neugebauer-Maresch 1978
C. Neugebauer-Maresch, Die ur- und frühgeschichtliche Fundstelle „Alter Mühlgraben“ beim Haspelberg, Grub a. d. March, NÖ: Unter besonderer Berücksichtigung des urnenfelderzeitlichen Gräberfeldes, Forschungen in Stillfried 3, Veröffentlichungen der Österreichischen Arbeitsgemeinschaft für Ur- und Frühgeschichte 10, 1978, 21–50.
Niklaus 1992
T. R. Niklaus, Programm CalibETH zur Altersbestimmung, Radiocarbon 34/3, 1992, 483–492.
Nižňanský 1958
J. R. Nižňanský, Brestowianske žatvy a mlatby v minulosti, Slovenský Národopis 6, 1958, 238–278.
Noble, Smoker 1996
E. R. Noble, W. R. K. Smoker, The forgotten condyle: the appearance, morphology, and classification of occipital condyle fractures, American Journal of Neuroradiology 17, 1996, 507–513.
Nortmann 2001
H. Nortmann, Das schwarze Loch: Der eisenzeitliche Silo von Menningen im archäologischen Experiment, Funde und Ausgrabungen im Bezirk Trier 33, 2001, 33–40.
Oeggl et al. 2007
K. Oeggl, W. Kofler, A. Schmidl, J. H. Dickson, E. Egarter-Vigl, O. Gaber, The reconstruction of the last itinerary of “Ötzi”, the Neolithic Iceman, by pollen analyses from sequentially sampled gut extracts, Quaternary Science Reviews 26, 2007, 853–861.
Oudemans, Boon 1991
T. F. M. Oudemans, J. J. Boon, Molecular archaeology: analysis of charred (food) remains from prehistoric pottery by pyrolysis-gas chromatography/mass spectrometry, Journal of Analytical and Applied Pyrolysis 20, 1991, 197–227.
Palmer, van der Veen 2002
C. Palmer, M. van der Veen, Archaeobotany and the social context of food, Acta Palaeobotanica 42/2, 2002, 195–202.
Panzer 1830
F. Panzer, Über die Aufbewahrung des Getreides in Silos: Der königl. philosophisch-medizinischen Gesellschaft zu Würzburg zur Feyer ihrer Stiftung am 25ten August 1830 gewidmet. Würzburg 1830.
Pare 1998
C. Pare, Beiträge zum Übergang von der Bronze- zur Eisenzeit in Mitteleuropa 1: Grundzüge der Chronologie im östlichen Mitteleuropa (11.–8. Jh. v. Chr.), Jahrbuch des Römisch-Germanischen Zentralmuseums Mainz 45/1, 1998, 293–433.
Parma 2012
D. Parma, Příspěvek k topografii osídlení katastru Modřic v době bronzové II, Pravěk Nová Řada 20, 2012, 157–230.
Parson et al. 2018
W. Parson, M. Eduardoff, C. Xavier, B. Bertoglio, M. Teschler-Nicola, Resolving the matrilineal relationship of seven Late Bronze Age individuals from Stillfried, Austria, Forensic Science International: Genetics 36, 2018, 148–151.
Pavlů, Rulf, Zápotocká 1986
I. Pavlů, J. Rulf, M. Zápotocká, Theses on the Neolithic site of Bylany, Památky Archeologické 77/2, 1986, 288–412.
Peacock 1991
E. Peacock, Distinguishing between artifacts and geofacts: a test case from eastern England, Journal of Field Archaeology 18/3, 1991, 345–361.
Penz 2006
M. Penz, Die Kleinfunde aus Stillfried a. d. March, NÖ: Hügelfeldgrabungen 1969–1989. In: Hellerschmid 2006, 343–394.
Perrot 1957
J. Perrot, Le mésolithique de Palestine et les récentes découvertes a Eynan (Ain Mallaha),
Antiquity and Survival 2, 1957, 91–110.
Perrot 1960
J. Perrot, Excavations at ‘Aynan (‘Ein Mallaha): preliminary report on the 1959 season, Israel Exploration Journal 10, 1960, 14–22.

Pető et al. 2013
Á. Pető, F. Gyulai, D. Pópity, Á. Kenéz, Macro- and micro-archaeobotanical study of a vessel content from a Late Neolithic structured deposition from southeastern Hungary, Journal of Archaeological Science 40/1, 2013, 58–71.

Pfälzner 2008
P. Pfälzner, Redistributive, kommunale und häusliche Vorratshaltung am Unteren Ḫābūr im 3. Jtsd. v. Chr. In: H. Kühne (Hrsg.), Umwelt und Subsistenz der assyrischen Stadt Dūr-Katlimmu am Unteren Ḫābūr. Berichte der Ausgrabung von Tall Šēḫ Ḥamad/Dūr-Katlimmu 8, Wiesbaden 2008, 163–179.

Pinheiro 2006
J. Pinheiro, Decay process of a cadaver. In: A. Schmitt, E. Cunha, J. Pinheiro (Hrsg.), Forensic Anthropology and Medicine: Complementary Sciences from Recovery to Cause of Death. Totowa, New Jersey 2006.

Piotrowska 2000
D. Piotrowska, Krzemienie w grobach z pól popielnicowych: przypadek czy rytual? / Feuersteine in Urnengräbern: Zufall oder Ritual? In: B. Gediga, D. Piotrowska (Hrsg.), Kultura symboliczna kregu pól popielnicowych epoki brazu i Wczesnej epoki zeleza w europie ‘Srodkowej / Die symbolische Kultur des Urnenfelderkreises in der Bronze- und frühen Eisenzeit Mitteleuropas. Polnische Akademie der Wissenschaften, Abteilung Breslau, Arbeiten der Archäologischen Kommission 13, Warschau – Breslau – Biskupin 2000, 293–330.

Pleslová-Štiková 1981
E. Pleslová-Štiková, Mužský u Mnichova Hradiště: pravěká skalní pevnost. Prag 1981.

Pleterski 2015
A. Pleterski, Brot ist Lebensquelle: Nichts darf übrig bleiben. In: H. Kenzler, H. Losert (Hrsg.), Die Rekonstruktion mittelalterlicher Lebenswelten. Ein Kolloquium zum 60. Geburtstag von Ingolf Ericsson. Bamberger Kolloquien zur Archäologie des Mittelalters und der Neuzeit 2, Pressath 2015, 123–142.

Plinius Sec., Naturalis historia
Plinius Sec., Naturalis historia. Die Naturgeschichte des Caius Plinius Secundus 1, hrsg. von L. Möller, ins Dt. übers. und mit Anm. vers. von G. C. Wittstein. Wiesbaden 2007.

Pöch 1918
R. Pöch, Ein bronzezeitlicher Schädel aus Stillfried in Niederösterreich. In: III. Anthropologischer Teil, Beitrag in: Anleitungen zu Ausgrabungen in Höhlen, Beiblatt zu den Mitteilungen der Zentral-Kommission für Denkmalpflege 16/1, 1918, 51–52.

Podborský 1970
V. Podborský, Mähren in der Spätbronzezeit und an der Schwelle der Eisenzeit. Opera Universitatis Purkynianae Brunensis Facultas Philosophica 142, Brünn 1970.

Podborský 1972
V. Podborský, Jihomoravská halštatská sídliště II / Südmährische Siedlungen der Hallstattzeit II. Sborník Prací Filozofické Fakulty Brněnské University E17, Brünn 1972, 5–54.

Podborský 1996
V. Podborský, Postavení Obřanského hradiska v době popelnicových polí ve středoevropském region / Die Stellung des Burgwalles Brno-Obřany in der Urnenfelderzeit in der mitteldanubischen Region, Pravěk. Nová Řada 4, 1996, 205–232.

Pokines 2018
J. T. Pokines, Differential diagnosis of the taphonomic histories of common types of forensic osseous remains, Journal of Forensic Identification 68/1, 2018, 87–145.

Polla 1959
B. Polla, Stredoveké obilné jamy v Budmericiach, Slovenský Národopis 7, 1959, 517–559.

Popovtschak, Heiss, Stika 2021
M. Popovtschak, A. G. Heiss, H.-P. Stika, Pflanzennutzung. In: M. Lochner (Hrsg.), Brandbestattung und Bronzemetallurgie: Die Urnenfelderkultur in Niederösterreich (1300–800 v. Chr.). Archäologie Niederösterreichs, Wien 2021, 110–139.

Poroszlai 2003
I. Poroszlai, Fortified centres along the Danube. In: Z. Visy (Hrsg.), Hungarian Archeology at the Turn of the Millennium. Budapest 2003, 151–155.

Preinfalk 2004
F. Preinfalk, KG Hafnerbach, MG Hafnerbach, VB St. Pölten, Fundberichte aus Österreich 42/2003, 2004, 15–17.

Primavera 2015
M. Primavera, Pani, focacce e taralli: le più antiche evidenze archeologiche nel Salento antico, L’Idomeneo 20, 2015, 41–54.

Primavera et al. 2019
M. Primavera, A. G. Heiss, S. M. Valamoti, G. Quarta, M. Masieri, G. Fiorentino, Inside sacrificial cakes: plant components and production processes of food offerings at the Demeter and Persephone sanctuary of Monte Papalucio (Oria, southern Italy), Archaeological and Anthropological Sciences 11/4, 2019, 1273–1287.

Prohaska et al. 2006
T. Prohaska, M. Teschler-Nicola, P. Galler, A. Přichystal, G. Stingeder, M. Jelenc, U. Klötzli, Non-

destructive determination of $^{87}Sr/^{86}Sr$ isotope ratios in Early Upper Paleolithic human teeth from the Mladeč caves: preliminary results. In: M. Teschler-Nicola (Hrsg.), Early Modern Humans at the Moravian Gate: The Mladeč Caves and their Remains. Wien 2006, 505–514.

Pucher 1982
E. Pucher, Tierknochenfunde aus Stillfried an der March (Niederösterreich). Unveröffentlichte Dissertation, Universität Wien 1982.

Pucher 1986
E. Pucher, Untersuchungen an Skeletten aus der urnenfelderzeitlichen Wehranlage von Stillfried an der March (Niederösterreich), Forschungen in Stillfried 7, 1986, 23–116.

Pucher 2017
E. Pucher, 40 Jahre im Banne des urzeitlichen Tiergartens von Stillfried. In: F. Pieler, P. Trebsche (Hrsg.), Beiträge zum Tag der Niederösterreichischen Landesarchäologie 2017. Festschrift für Ernst Lauermann. Katalog des Niederösterreichischen Landesmuseums Neue Folge 541, Asparn an der Zaya 2017, 207–221.

Pucher 2018
E. Pucher, Krumme Hirsche und zahnlose Wölfe: Bronzezeitliche Wildtierhaltung in Stillfried, Beiträge zur Archäozoologie und prähistorischen Anthropologie 11, 2018, 71–91.

Pucher in Vorbereitung
E. Pucher, Eine prähistorische Menagerie: Neue archäozoologische Befunde zu den vorgeschichtlichen Tierskeletten von Stillfried an der March (Niederösterreich). In: Hellerschmid, Griebl in Vorbereitung.

Puttkammer 2007a
T. Puttkammer, Bronzezeitliche Gussverfahren. In: Koch 2007, 59–67.

Puttkammer 2007b
T. Puttkammer, Katalog zur Ausstellung. In: Koch 2007, 107–172.

Raczkowska-Jones 2006
M. Raczkowska-Jones, Eisenzeitliche Siedlungsbefunde. In: H. Meller (Hrsg.), Archäologie XXL: Archäologie an der B 6n im Landkreis Quedlinburg. Archäologie in Sachsen-Anhalt Sonderband 4, Halle an der Saale 2006, 139–141.

Ramadier, Chaussé 1937
J.-A. Ramadier, R. Chaussé, Traumatismes de l'oreille: fractures du rocher, coups de feu de l'oreille, commotions labyrinthiques, expertises en otologie, Paris 1937.

Rasband 1997–2009
W. S. Rasband, ImageJ. Bethesda 1997–2009.

Razavi 2013
P. Razavi, Das Rezept im Bild: Bronzezeit-Risotto, Biorama 23, 2013, 72–73.

Regner et al. 2004
F. Regner, R. Hack, H. Gangl, G. Leitner, K. Mandl, W. Tiefenbrunner, Genetic variability and incidence of systemic diseases in wild vines (*vitis vinifera* ssp. *silvestris*) along the Danube, Vitis 43/2, 2004, 123–130.

Reimer et al. 2013
P. J. Reimer, E. Bard, A. Bayliss, J. W. Beck, P. G. Blackwell, C. Bronk Ramsey, C. E. Buck, H. Cheng, R. L. Edwards, M. Friedrich, P. M. Grootes, T. P. Guilderson, H. Haflidason, I. Hajdas, C. Hatté, T. J. Heaton, D. L. Hoffmann, A. G. Hogg, K. A. Hughen, K. F. Kaiser, B. Kromer, S. W. Manning, M. Niu, R. W. Reimer, D. A. Richards, E. M. Scott, J. R. Southon, R. A. Staff, C. S. M. Turney, J. van der Plicht, IntCal13 and marine13 radiocarbon age calibration curves 0–50,000 years calBP, Radiocarbon 55/4, 2013, 1869–1887.

Renfrew, Bahn 2008
C. Renfrew, P. Bahn, What was the environment? Environmental archaeology. In: C. Renfrew, P. Bahn (Hrsg.), Archaeology: Theories, Methods, and Practice. 5. Auflage, London 2008, 231–274.

Renfrew, Bahn 2016
C. Renfrew, P. Bahn (Hrsg.), Archaeology: Theories, Methods, and Practice. 7. Auflage, London 2016.

Retzmann et al. 2017
A. Retzmann, T. Zimmermann, D. Pröfrock, T. Prohaska, J. Irrgeher, A fully automated simultaneous single-stage separation of Sr, Pb, and Nd using DGA resin for the isotopic analysis of marine sediments, Analytical and Bioanalytical Chemistry 409, 2017, 5463–5480.

Retzmann et al. 2020
A. Retzmann, A.-M. Kriechbaum, M. Griebl, K. Wiltschke-Schrotta, M. Teschler-Nicola, J. Irrgeher, T. Prohaska, Sr isotope analysis of human remains from Stillfried/March: reappraising diagenetic changes, Archaeologia Austriaca 104, 2020, 53–87.

Reynolds 1974
P. J. Reynolds, Experimental Iron Age storage pits: an interim report, The Prehistoric Society 40, 1974, 118–131.

Reynolds 1979
P. J. Reynolds, Iron-Age Farm: The Butser Experiment. London 1979.

Reynolds 1988
P. J. Reynolds, Pit technology in the Iron Age, British Archaeology Magazine 10, 1988, 24–26.

Říhovský 1958
J. Říhovský, Žárový hrob z Velatic I a jeho postavení ve vývoji velatické kultury / Das Brandgrab I von Velatice und seine Position in der Entwicklung der Velaticer Kultur, Památky Archeologické 49/1, 1958, 67–118.
Říhovský 1982
J. Říhovský, Lovčičky: Jungbronzezeitliche Siedlung in Mähren. Materialien zur allgemeinen und vergleichenden Archäologie 15, München 1982.
Rodriguez 1997
W. C. Rodriguez, Decomposition of buried and submerged bodies. In: Haglund, Sorg 1997, 459–467.
Rodriguez, Bass 1983
W. C. Rodriguez, W. M. Bass, Insect activity and its relationship to decay rates of human cadavers in east Tennessee, Journal of Forensic Sciences 23, 1983, 423–432.
Rodriguez, Bass 1985
W. C. Rodriguez, W. M. Bass, Decomposition of buried bodies and methods that may aid in their location, Journal of Forensic Sciences 30, 1985, 836–852.
Rollo et al. 2002
F. Rollo, M. Ubaldi, L. Ermini, I. Marota, Ötzi's last meals: DNA analysis of the intestinal content of the Neolithic glacier mummy from the Alps, Proceedings of the National Academy of Sciences of the United States of America 99/20, 2002, 12594–12599.
Römpp 1997
H. Römpp, Chemie-Lexikon: 3. Band (H–L). Stuttgart 1997.
Römpp 1998
H. Römpp, Chemie-Lexikon: 4. Band (M–Pk). Stuttgart 1998.
Römpp 1999
H. Römpp, Chemie-Lexikon: 6. Band (T–Z). Stuttgart 1999.
Rosenstock 1979
D. Rosenstock, Die Siedlungsstellen in Geismar und ihre Besiedlung im oberen Leinetal seit der jüngeren vorrömischen Eisenzeit, Neue Ausgrabungen und Forschungen in Niedersachsen 13, 1979, 157–311.
Rosenstock, Scheibner 2017
E. Rosenstock, A. Scheibner, Fermentierter Brei und vergorenes Malz: Bier in der Vorgeschichte Südwestasiens und Europas, Mitteilungen der Anthropologischen Gesellschaft in Wien 147, 2017, 31–62.
Rösing 1977
F. W. Rösing, Methoden der Aussagemöglichkeiten der anthropologischen Leichenbrandbearbeitung, Archäologie und Naturwissenschaften 1, 1977, 53–80.
Roth 2012
A. Roth, Simit: Turkey's national bread, Gastronomica 12/4, 2012, 31–36.
Rozier 1784
J.-B. F. Rozier, Cours complet d'agriculture: théorique, pratique, économique, et de médecine rurale et vétérinaire, suivi d'une méthode pour étudier l'agriculture par principes. Dictionnaire Universel d'Agriculture 5, Paris 1784.
Rust 1995
H. Rust, Praktische Vorratshaltung zu Hause: Gefrieren, Haltbarmachen, Lagern. München 1995.
Salaš 2012
M. Salaš, Mikro- und makroräumliche Zusammenhänge der urnenfelderzeitlichen Hortfunde auf Höhenanlagen in Mähren. In: S. Hansen, D. Neumann, T. Vachta (Hrsg.), Hort und Raum: Aktuelle Forschungen zu bronzezeitlichen Deponierungen in Mitteleuropa. Berlin – Boston 2012, 199–209.
Salaš et al. 2012
M. Salaš, M. Dočkalova, L. Horáčková, I. Jarošová, J. Nedbalová, M. Nývltová- Fišáková, J. Petřík, M. Roblíčková, L. Vargová, Mladobronzová kumulace lidských skeletů na Cezavách u Blučiny (okr. Brno-venkov) a její environmentální kontext / Die jungbronzezeitliche Kumulation menschlicher Skelette auf der Anhöhe Cezavy bei Blučina (Landkr. Brno-venkov) im Kontext der Landschaftsgeschichte, Památky Archeologické 103, 2012, 173–231.
Saleem et al. 2005
Q. Saleem, R. D. Wildman, J. M. Huntley, M. B. Whitworth, Material properties of semi-sweet biscuits for finite element modelling of biscuit cracking, Journal of Food Engineering 68/1, 2005, 19–32.
Samuel 1993
D. Samuel, Ancient Egyptian cereal processing: beyond the artistic record, Cambridge Archaeological Journal 3, 1993, 276–283.
Samuel 1994a
D. Samuel, An Archaeological Study of Baking and Bread in New Kingdom Egypt. Unveröffentlichte Dissertation, Cambridge University 1994.
Samuel 1994b
D. Samuel, A new look at bread and beer, Egyptian Archaeology 4, 1994, 9–11.
Samuel 1996a
D. Samuel, Approaches to the archaeology of food, Petits Propos Culinaires 54, 1996, 12–21.
Samuel 1996b
D. Samuel, Investigation of ancient Egyptian baking and brewing methods by correlative microscopy, Science 273, 1996, 488–490.

Samuel 2000
D. Samuel, Brewing and baking. In: P. T. Nicholson, I. Shaw (Hrsg.), Ancient Egyptian Materials and Technology. Cambridge 2000, 537–576.
Samuel 2002
D. Samuel, Bread in archaeology. In: M. Mesnil, K. Fechner (Hrsg.), Pain, fours et foyers des temps passés: archéologie et traditions boulangères des peuples agriculteurs d'Europe et du Proche Orient / Bread, ovens and hearths of the past: archaeology and baking traditions of agriculture civilisations in Europe and the Near East, Civilisations 49/1–2, 2002, 27–36.
Saternus 1987
K.-S. Saternus, Bruchformen des condylus occipitalis, Zeitschrift für Rechtsmedizin 99, 1987, 95–108.
Sauer 2006
R. Sauer, Ergebnisse mineralogisch-petrographischer Analysen an ausgewählten Keramikproben und einigen Rohstoffvergleichsproben aus Stillfried. In: Hellerschmid 2006, 395–413.
Sauter 1988
F. Sauter, Chemie im Dienst der Archäologie: Ergebnisse chemischer Untersuchungen. In: Felgenhauer et al. 1988, 167–182.
Sauter, Jordis 1980
F. Sauter, U. Jordis, Neue chemische Untersuchungen zur Frage der „Harzüberzüge" auf prähistorischer Keramik: Unter botanischer Mitarbeit von Friedrich Wurst, Forschungen in Stillfried 4, 1980, 147–161.
Sauter, Jordis, Hayek 1996
F. Sauter, E. Hayek, U. Jordis, Chemische Untersuchungen eines eigenartigen organischen Materials aus einer späturnenfelderzeitlichen Opfergrube in Stillfried an der March, NÖ, Forschungen in Stillfried 9–10/1990–1992, 1996, 75–88.
Sauter, Jordis, Hayek 1997
F. Sauter, U. Jordis, E. Hayek, Eine Untersuchungsmethode für prähistorische Holzpeche zur Bestimmung der verwendeten Baumart. In: W. Brzeziński, W. Piotrowski (Hrsg.), Proceedings of the First International Symposium on Wood Tar and Pitch, State Archaeological Museum in Warsaw (July 1st–4th 1993). Warschau 1997, 213–216.
Sauter, Wurst, Hoke 1976
F. Sauter, F. Wurst, E. Hoke, Inhaltsuntersuchung einer späturnenfelderzeitlichen Deckeldose aus Stillfried, Forschungen in Stillfried 2, 1976, 101–109.
Schade-Lindig 2012
S. Schade-Lindig, Stichwort „Silogruben". In: E. Schallmayer (Hrsg.), Quer durch Hessen: Archäologie entlang der Ferngasleitung 83. Jahrbuch für Archäologie und Paläontologie in Hessen Sonderband 1, Stuttgart 2012, 119.
Schierer 1987
I. Schierer, Ein Webstuhlbefund aus Gars-Thunau: Rekonstruktionsversuch und Funktionsanalyse, Archaeologia Austriaca 71, 1987, 29–87.
Schiffer et al. 2010
M. B. Schiffer, K. L. Hollenback, J. M. Skibo, W. H. Walker (Hrsg.), Behavioral Archaeology: Principles and Practice. London – Oakville 2010.
Schlier 1825
J. A. Schlier, Ueber unterirdische Getraid-Magazine verbunden mit Assecuranz- und Credit-Anstalten: Oder Wie kann der verderblichen Wohlfeilheit und der drückenden Theurung der verschiedenen Produkte und Lebensmittel, zugleich auch dem verderblichen Mangel an Geld und Credit für jetzt und allezeit am sichersten abgeholfen werden. Würzburg 1825.
Schmidt 1961
L. Schmidt, Traidgruben im nördlichen Burgenland: Aus der Arbeit am Atlas der burgenländischen Volkskunde, Burgenländische Heimatblätter 23, 1961, 142–148.
Schmidt 1963
E. Schmidt, Verkohlte Nahrungsreste vom Schafberg Niederkaina/Nadelwitz, Kreis Bautzen, Ausgrabungen und Funde 8/2, 1963, 86–89.
Schmidt, Schultze-Motel, Kruse 1965
B. Schmidt, J. Schultze-Motel, J. Kruse, Früheisenzeitliche Vorratsgrube auf der Bösenburg, K. Eisleben, Ausgrabungen und Funde 10, 1965, 29–31.
Schmitsberger 2009
O. Schmitsberger, Ausgrabungen auf der Trasse der Ortsumfahrung Maissau 2008/Fläche „1-Süd": Befunde vom Altneolithikum bis zum Frühmittelalter. Mit einem Beitrag von H. Böhm, Fundberichte aus Österreich 47/2008, 2009, 438–499.
Schneider 1991
M. Schneider, Charred plant remains from Late Bronze Age Stillfried (Austria). In: E. Hajnalová (Hrsg.), Palaeoethnobotany and Archaeology. International Workgroup for Palaeoethnobotany, 8th Symposium, Nitra-Nové Vozokany (1989). Acta Interdisciplinaria Archaeologica 7, Nitra 1991, 295–297.
Schönbauer, Brunner 1920
L. Schönbauer, H. Brunner, Über einen seltenen Fall von Abriß des Processus mastoideus, Archiv für Klinische Chirurgie 114/2, 1920, 514.
Schrattenecker 2015
J. Schrattenecker, Pyrolyse-Gaschromatographie/Massenspektrometrie zur Identifizierung von Pechen aus historischen Keramikfunden: Ausgeführt am Institut für

Verfahrenstechnik und Technischen Biowissenschaften der Technischen Universität Wien. Unveröffentlichte Diplomarbeit, Technische Universität Wien 2015.

Schreber 1763

D. G. Schreber, Sammlung verschiedener Schriften, welche in die öconomischen, Policey- und cameral-, auch andere verwandte Wissenschaften einschlagen: Zehnter Theil. Halle 1763.

Schürer von Waldheim 1919

H. Schürer von Waldheim, Vorgeschichtliche menschliche Funde aus Stillfried, Mitteilungen der Anthropologischen Gesellschaft in Wien 48, 1919, 247–263.

Schwall 2018

C. Schwall, Çukuriçi Höyük 2: Das 5. und 4. Jahrtausend v. Chr. in Westanatolien und der Ostägäis. Oriental and European Archaeology 7, Wien 2018.

Seibel 1987

W. Seibel, Verwendung von Brotmehl und Bröseln bei der Backwarenherstellung, Getreide, Mehl und Brot 41, 1987, 39–42.

Seibel 2005

W. Seibel (Hrsg.), Warenkunde Getreide: Inhaltsstoffe, Analytik, Reinigung, Trocknung, Lagerung, Vermarktung, Verarbeitung. Bergen an der Dumme 2005.

Sherratt 1991

A. G. Sherratt, Palaeoethnobotany: from crops to cuisine. In: F. Queiroga, A. P. Dinis (Hrsg.), Paleoecologia e arqueologia II. Trabalhos dedicados a A. R. Pinto da Silva. Vila Nova de Famalicão 1991, 221–236.

Sigaut 1979

F. Sigaut, La redécouverte des silos à grains en Europe occidentale, 1708–1880. In: M. Gast, F. Sigaut (Hrsg.), Les techniques de conservation des grains à long terme: leur rôle dans la dynamique des systèmes de cultures et des sociétés 1. Paris 1979, 15–40.

Skibo, Schiffer 2008

J. M. Skibo, M. B. Schiffer, People and Things: A Behavioral Approach to Material Culture. New York 2008.

Smolnik 1996

R. Smolnik, Die Lebenden und die Toten: Das Verhältnis der Siedlung auf dem Burgstallkogel bei Kleinklein zu den Gräbern der Sulmtalnekropole, dargestellt anhand der Keramikentwicklung. In: E. Jerem, A. Lippert (Hrsg.), Die Osthallstattkultur. Akten des internationalen Symposiums, Sopron, 10.–14. Mai 1994. Archaeolingua 7, Budapest 1996, 445–454.

Snyder 2009

S. Snyder, Ethnographies of taste: cooking, cuisine and cultural literacy, Journal of Agricultural and Environmental Ethics 22/3, 2009, 273–283.

Sperber 2017

L. Sperber, Studien zur spätbronzezeitlichen Chronologie im westlichen Mitteleuropa und in Westeuropa. Monographien des Römisch-Germanischen Zentralmuseums 136, Mainz 2017.

Stahl 1989

A. B. Stahl, Plant-food processing: implications for dietary quality. In: D. R. Harris, G. C. Hillman (Hrsg.), Foraging and Farming: The Evolution of Plant Exploitation. London – Boston – Sydney – Wellington 1989, 171–197.

Stapel 1999

A. Stapel, Bronzezeitliche Deponierungen im Siedlungsbereich: Altdorf-Römerfeld und Altheim, Landkreis Landshut. Tübinger Schriften zur Ur- und Frühgeschichtlichen Archäologie 3, Tübingen 1999.

Staub 1868

F. Staub, Das Brot im Spiegel schweizerdeutscher Volkssprache und Sitte. Leipzig 1868.

Stegmann-Rajtár 1992

S. Stegmann-Rajtár, Spätbronze- und früheisenzeitliche Fundgruppen des mittleren Donaugebietes, Berichte der Römisch-Germanischen Kommission 73, 1992, 5–179.

Steinkraus 1996

K. H. Steinkraus, Indigenous Fermented Foods: Food Science and Technology. New York – Basel – Hong Kong 1996.

Stevens 2003

C. J. Stevens, An investigation of agricultural consumption and production models for prehistoric and Roman Britain, Environmental Archaeology 8/1, 2003, 61–76.

Stiglitz 1978

H. Stiglitz, Vorläufiger Bericht über die Untersuchungen im Bereich der Hügel C und D der Wehranlage von Stillfried, Forschungen in Stillfried 3, 1978, 51–52.

Stika, Heiss 2013a

H.-P. Stika, A. G. Heiss, Bronzezeitliche Landwirtschaft in Europa: Der Versuch einer Gesamtdarstellung des Forschungsstandes. In: K.-H. Willroth (Hrsg.), Studien zur nordeuropäischen Bronzezeit 1: Siedlungen in der älteren Bronzezeit. Beiträge zur Siedlungsarchäologie und Paläoökologie des zweiten vorchristlichen Jahrtausends in Südskandinavien, Norddeutschland und den Niederlanden, Workshop vom 7. bis 9. April 2011 in Sankelmark. Neumünster 2013, 189–222.

Stika, Heiss 2013b

H.-P. Stika, A. G. Heiss, Plant cultivation in the Bronze Age. In: H. Fokkens, A. Harding (Hrsg.), The Oxford Handbook of the European Bronze Age. Oxford Handbooks in Archaeology, Oxford 2013, 348–369.

Stloukal, Hanáková 1978
M. Stloukal, H. Hanáková, Die Länge der Längsknochen altslawischer Bevölkerungen: Unter besonderer Berücksichtigung von Wachstumsfragen, Homo 29, 1978, 53–69.
Stodiek 1993
U. Stodiek, Herstellung und Gebrauch jungpaläolithischer Geweihgeräte, Archäologie in Deutschland 1993/1, 1993, 20–23.
Stoynev 1994
A. Стойнев (Hrsg.), Българска народна митология: Енциклопедичен речник / Bulgarian Folk Mythology: Encyclopedic Dictionary. Sofia 1994.
Strohschneider 1976
M. Strohschneider, Das späturnenfelderzeitliche Gräberfeld von Stillfried, Forschungen in Stillfried 2, 1976, 31–69.
Strohschneider, Vahlkampf 1980
M. Strohschneider, G. Vahlkampf, Ein Dolchgriffbruchstück vom Typ Golovjatino-Leibnitz aus dem Much'schen Gräberfeld von Stillfried an der March, NÖ, Forschungen in Stillfried 4, 1980, 143–146.
Šumberová 1996
R. Šumberová, Neolithic underground storage features / Neolitické podzemní zásobní objekty, Památky Archeologické 87/1, 1996, 61–103.
Suter 1964
K. Suter, Die Wohnhöhlen und Speicherburgen des tripolitanisch-tunesischen Berglandes, Zeitschrift für Ethnologie 89/2, 1964, 216–275.
Swoboda et al. 2008
S. Swoboda, M. Brunner, S. F. Boulyga, P. Galler, M. Horacek, T. Prohaska, Identification of Marchfeld asparagus using Sr isotope ratio measurements by MC-ICP-MS, Analytical and Bioanalytical chemistry 390, 2008, 487–494.
Szilvássy 1988
J. Szilvássy, Altersdiagnose am Skelett. In: R. Knussmann (Hrsg.), Anthropologie. Handbuch der vergleichenden Biologie des Menschen I: Wesen und Methoden der Anthropologie 1. Stuttgart – New York 1988, 421–443.
Szilvássy, Kritscher, Hauser 1988
J. Szilvássy, H. Kritscher, G. Hauser, Eine urnenfelderzeitliche Mehrfachbestattung in Stillfried an der March, NÖ. In: Felgenhauer et al. 1988, 9–76.
Szombathy 1929
J. Szombathy, Prähistorische Flachgräber bei Gemeinlebarn in Niederösterreich. Römisch-Germanische Forschungen 3, Berlin 1929.
Teml 2003
J. Teml, Vorratswirtschaft und Vorratshaltung des privaten Haushaltes im Alltag und in Krisenzeiten. Unveröffentlichte Diplomarbeit, Universität Wien 2003.
Tercatin 2019
R. Tercatin, Did Austrians invent bagels 3,000 years ago? The Jerusalem Post, 14.06.2019.
Teschler-Nicola, Irrgeher, Prohaska 2016
M. Teschler-Nicola, J. Irrgeher, T. Prohaska, Wohnsitz und Genealogie der sieben Menschen aus der späturnenfelderzeitlichen Vorratsgrube V1141 von Stillfried an der March: Eine archäometrische Ergänzung anlässlich eines „Schauplatzwechsels", Mitteilungen der Anthropologischen Gesellschaft in Wien 146, 2016, 159–168.
Thanheiser 2011
U. Thanheiser, Verdaut und hinterlassen: Was uns Latrinen über die Ernährung erzählen. In: R. Risy (Hrsg.), Da steh i drauf! St. Pölten Domplatz 2010: Eine archäologische Zwischenbilanz. St. Pölten 2011, 105–111.
Tiefenbach 2008
J. Tiefenbach (Hrsg.), Die Bernsteinstraße: Evolution einer Handelsroute. Wissenschaftliche Arbeiten aus dem Burgenland 123, Eisenstadt 2008.
Tischler 1951
F. Tischler, Eine Siedlung der Hunsrück-Eifel-Kultur von Ochtendung, Kreis Mayen, Bonner Jahrbücher 151, 1951, 52–82.
Töchterle et al. 2013
U. Töchterle, G. Goldenberg, P. Schneider, P. Tropper, Spätbronzezeitliche Verhüttungsdüsen aus dem Bergbaurevier Mauken im Unterinntal, Nordtirol: Typologie, mineralogisch-petrographische Zusammensetzung und experimentelle Rekonstruktionsversuche, Der Anschnitt 65, 2013, 2–19.
Točík 1981
A. Točík, Nitriansky Hrádok-Zámeček: Bronzezeitliche befestigte Ansiedlung der Mad'arovce Kultur. Nitra 1981.
Toots 1965
H. Toots, Sequence of disarticulation in mammalian skeletons, University of Wyoming Contributions in Geology 4/1, 1965, 37–39.
Torke 1993
W. Torke, Die Fischerei am prähistorischen Federsee, Archäologisches Korrespondenzblatt 23, 1993, 49–66.
Trachsel 2008
M. Trachsel, Rituale in der prähistorischen Archäologie: Definition – Identifikation – Interpretation. In: Eggl et al. 2008, 1–5.

Trebsche 2008
P. Trebsche, Rituale beim Hausbau während der Spätbronze- und Eisenzeit: Zur Aussagekraft und Interpretation von Deponierungen in Pfostenlöchern. In: Eggl et al. 2008, 67–78.
Tuzar 1998
J. Tuzar, Die ur- und frühgeschichtliche Besiedlung der Heidenstatt bei Limberg, NÖ. Unveröffentlichte Dissertation, Universität Wien 1998.
Twiss 2012
K. C. Twiss, The archaeology of food and social diversity, Journal of Archaeological Research 20/4, 2012, 357–395.
Twiss 2015a
K. C. Twiss, Food and identity. In: K. Bescherer Metheny, M. C. Beaudry (Hrsg.), Archaeology of Food: An Encyclopedia. Lanham – Boulder – London – New York 2015, 189–191.
Twiss 2015b
K. C. Twiss, Methodological and definitional issues in the archaeology of food. In: S. Kerner, C. Chou, M. Warmind (Hrsg.), Commensality: From Everyday Food to Feast. London – New Delhi – New York – Sydney 2015, 89–98.
Ubelaker 1978
D. H. Ubelaker, Human Skeletal Remains: Excavation, Analysis, Interpretation. Chicago 1978.
Uhl 2003
U. Uhl, Spare in der Zeit …: Das bronzezeitliche Speicherareal von Heinersbrück 45, Landkreis Spree-Neisse, Archäologie in Berlin und Brandenburg 2002, 2003, 56–58.
Ulin Agan 2009
P. Ulin Agan, Das Ritualverständnis in den Stammesreligionen Ost-Indonesiens. In: M. Neuhauser (Hrsg.), Religion und Rituale. Akademie Völker und Kulturen 2009, Münster 2009, 145–175.
Váczi 2010
G. Váczi, Keramik. In: Kalicz-Schreiber 2010, 244–264.
Valamoti 2011
S. M. Valamoti, Ground cereal food preparations from Greece: the prehistory and modern survival of traditional Mediterranean ‘fast foods’, Archaeological and Anthropological Sciences 3/1, 2011, 19–39.
Valamoti et al. 2008
S. M. Valamoti, D. Samuel, M. Bayram, E. Marinova, Prehistoric cereal foods from Greece and Bulgaria: investigation of starch microstructure in experimental and archaeological charred remains, Vegetation History and Archaeobotany 17: Supplement 1, 2008, 265–276.
Valamoti et al. 2017
S. M. Valamoti, S. Jacomet, H.-P. Stika, A. G. Heiss, The PLANTCULT project: identifying the plant food cultures of ancient Europe, Antiquity 91/358, 2017, e9. doi: 10.15184/aqy.2017.130.
Valamoti et al. 2019
S. M. Valamoti, E. Marinova, A. G. Heiss, I. Hristova, C. Petridou, T. Popova, S. Michou, L. Papadopoulou, P. Chrysostomou, P. Darcque, D. Grammenos, S. Iliev, S. Kotsos, C. Koukouli-Chrysanthaki, K. Leshtakov, D. Malamidou, N. Merousis, V. Nikolov, A. Papanthimou, L. Stefani, K. Panayotova, H. Popov, Z. Tsirtsoni, K. Nikov, T. Kanceva Ruseva, Prehistoric cereal foods of southeastern Europe: an archaeobotanical exploration, Journal of Archaeological Science 104, 2019, 97–113.
Varro, De re rustica
M. T. Varro, De re rustica. Über die Landwirtschaft, hrsg., eingeleitet u. übersetzt von D. Flach. Darmstadt 2006.
Vávra, Bača 2016
M. Vávra, M. Bača, Osídlenie z neskorej doby bronzovej v Senici, poloha Sedlička, Musaica Archaeologica 2, 2016, 55–126.
Verhoeven 2011
M. Verhoeven, The many dimensions of ritual. In: T. Insoll (Hrsg.), The Oxford Handbook of the Archaeology of Ritual & Religion. Oxford 2011, 115–132.
von Csaplovics 1829
J. von Csaplovics, Gemälde von Ungarn II. Pest 1829.
von Osten 1980
S. von Osten, Grabung 1978: Küssler-Acker. Beitrag in: F. Felgenhauer (Hrsg.), Arbeitsbericht Stillfried 1977, 1978, 1979, 1980, Forschungen in Stillfried 4, 1980, 181–182.
Vosteen 2011
M. Vosteen, Mit den Göttern reisen: Bronzezeitliche Wagen und Räder. In: Baumeister 2011a, 68–71.
Wagner 1988
G. E. Wagner, Comparability among recovery techniques. In: C. A. Hastorf, V. S. Popper (Hrsg.), Current Paleoethnobotany: Analytical Methods and Cultural Interpretations of Archaeological Plant Remains. Prehistoric Archaeology and Ecology, Chicago – London 1988, 17–35.
Wagner et al. 2012
T. Wagner, M. Schrickel, A. Mehner, U. Petersen, Hektargroße jungbronzezeitliche Siedlungen. In: H. Meller (Hrsg.), Haldensleben, VOR seiner ZEIT: Archäologische Ausgrabungen 2008–2012. Archäologie in Sachsen-Anhalt Sonderband 17, Halle an der Saale 2012, 70–87.

Währen 1990
M. Währen, Brot und Gebäck in keltischen Brandgräbern und römischen Aschengruben: Identifizierung von Brot- und Gebäckfunden aus dem Gräberfeld von Wederath-Belginum, Trierer Zeitschrift 53, 1990, 195–224.
Währen 1994
M. Währen, Haushaltskonserven der Jungsteinzeit: Mit Neuidentifizierungen, Helvetia Archaeologica 99, 1994, 90–115.
Währen 2000
M. Währen, Die Urgeschichte des Brotes und Gebäcks in der Schweiz und Deutschland. In: H. Eiselen (Hrsg.), Max Währen. Gesammelte Aufsätze zur Brot- und Gebäckkunde und -geschichte: 1940–1999. Ulm 2000, 69–80.
Währen, Rudin 1990
M. Währen, P. M. Rudin, Brot und Gebäck aus dem keltisch-römischen Gräberfeld von Wederath-Belginum: Neue Ergebnisse und Rekonstruktion des Gebäcks, Funde und Ausgrabungen im Bezirk Trier 22, 1990, 13–22.
Waldron, Parker, Smith 2003
K. W. Waldron, M. L. Parker, A. C. Smith, Plant cell walls and food quality, Comprehensive Reviews in Food Science and Food Safety 2/4, 2003, 128–146.
Wandsnider 1997
L. Wandsnider, The roasted and the boiled: food composition and heat treatment with special emphasis on pit-hearth cooking, Journal of Anthropological Archaeology 16/1, 1997, 1–48.
Wang et al. 1991
S. S. Wang, W. C. Chiang, B. Zhao, X. Zheng, I.-H. Kim, Experimental analysis and computer simulation of starch-water interactions during phase transition, Food Science 56/1, 1991, 121–124.
Wanzek 1989
B. Wanzek, Die Gußmodel für Tüllenbeile im südöstlichen Europa. Universitätsforschungen zur prähistorischen Archäologie 2, Bonn 1989.
Weikart 2002
S. Weikart, Griechische Bauopferrituale: Intention und Konvention von rituellen Handlungen im griechischen Bauwesen. Berlin 2002.
Weiser 1978
W. Weiser, Die paläolithischen Funde aus Stillfried 1879–1977, Forschungen in Stillfried 3, 1978, 5–14.
Weiser 1980
W. Weiser, Grabung 1978: Westwall. Beitrag in: F. Felgenhauer, Arbeitsbericht Stillfried 1977, 1978, 1979, 1980, Forschungen in Stillfried 4, 1980, 180–181.
Weiss-Krejci 2018
E. Weiss-Krejci, Der Funeralzyklus und seine archäologischen Manifestationen. In: H. Wendling, M. Augstein, J. Fries-Knoblach, K. Ludwig, R. Schumann, C. Tappert, P. Trebsche, J. Wiethold (Hrsg.), Übergangswelten – Todesriten: Forschungen zur Bestattungskultur der europäischen Eisenzeit. Beiträge zur internationalen Tagung der AG Eisenzeit in Hallein 2015 und zur Sitzung der AG Eisenzeit während des 8. Deutschen Archäologiekongresses in Berlin 2014. Langenweißbach 2018, 17–31.
Wendling 2009
H. Wendling, Zur Funktion latènezeitlicher Scherbenrundel. In: R. Karl, J. Leskovar (Hrsg.), Interpretierte Eisenzeiten: Fallstudien, Methoden, Theorie. Tagungsbeiträge der 3. Linzer Gespräche zur interpretierten Eisenzeitarchäologie. Studien zur Kulturgeschichte von Oberösterreich 22, Linz 2009, 277–294.
Wewerka 2001
B. Wewerka, Thunau am Kamp: Eine befestigte Höhensiedlung (Grabung 1965–1990): Urnenfelderzeitliche Siedlungsfunde der oberen Holzwiese. Mitteilungen der Prähistorischen Kommission 38, Wien 2001.
Wieczorek, Rosendahl 2011
A. Wieczorek, W. Rosendahl (Hrsg.), Schädelkult: Kopf und Schädel in der Kulturgeschichte des Menschen. Begleitband zur Sonderausstellung „Schädelkult: Kopf und Schädel in der Kulturgeschichte des Menschen“ in den Reiss-Engelhorn-Museen. Publikation der Reiss-Engelhorn-Museen 41, Mannheim 2011.
Wieczorek, Rosendahl, Schlothauer 2012
A.Wieczorek, W. Rosendahl, A. Schlothauer, Der Kult um Kopf und Schädel: Interdisziplinäre Betrachtungen zu einem Menschheitsthema. Mannheimer Geschichtsblätter Sonderveröffentlichungen 5, Mannheim 2012.
Wiesner 2009
N. Wiesner, Grabbau und Bestattungssitten während der Urnenfelderzeit im südlichen Mitteleuropa: Ein Beitrag zur Entwicklung der Grabsitten in der späten Bronzezeit. Internationale Archäologie 110, Rahden/Westfalen 2009.
Wiethold 2003
J. Wiethold, Kohl, Kümmel und Kornblume: Pflanzenreste des 18. Jahrhunderts aus einer Ziegellatrine vom Neuen Markt 14 in der Hansestadt Stralsund. In: H. Fries, J. Wiethold (Hrsg.), Bemerkenswertes aus der Stralsunder Altstadt: Die Grabung Apollonienmarkt 6 und ihre Ergebnisse. Archäologische Berichte aus Mecklenburg-Vorpommern 10, Waren 2003, 297–309.

Willerding 1977
U. Willerding, Über Klima-Entwicklung und Vegetationsverhältnisse im Zeitraum Eisenzeit bis Mittelalter. In: H. Jankuhn, R. Schützeichel, F. Schwind (Hrsg.), Das Dorf der Eisenzeit und des frühen Mittelalters: Siedlungsform, wirtschaftliche Funktion, soziale Struktur. Berichte über die Kolloquien der Kommission für die Altertumskunde Mittel- und Nordeuropas in den Jahren 1973 und 1974. Abhandlungen der Akademie der Wissenschaften in Göttingen, Philologisch-Historische Klasse 3/101, Göttingen 1977, 357–405.
Willerding 1998
U. Willerding, Getreidespeicherung. In: J. Hoops (Hrsg.), Reallexikon der germanischen Altertumskunde 1/12. 2. Auflage, Berlin – New York 1998, 11–30.
Willey, Snyder 1989
P. Willey, L. M. Snyder, Canid modification of human remains: implications for time-since-death estimations, Journal of Forensic Sciences 34, 1989, 894–901.
Willvonseder 1931
K. Willvonseder, Eine Wohngrube in Stillfried a. d. March (Niederösterreich), Wiener Prähistorische Zeitschrift 18, 1931, 121–134.
Wiltschke-Schrotta 2006
K. Wiltschke-Schrotta, Stillfried, Grube V841 (1985/86): Eine anthropologische, detektivische Herausforderung. In: Hellerschmid 2006, 414–416.
Wiltschke-Schrotta, Marschler in Vorbereitung
K. Wiltschke-Schrotta, M. Marschler, Die menschlichen Überreste aus den Gruben von Stillfried an der March/NÖ. In: Hellerschmid, Griebl in Vorbereitung.
Windholz-Konrad 2018
M. Windholz-Konrad, Urnenfelderzeitliche Mehrstückhorte aus dem Salzkammergut zwischen Ödensee und Hallstättersee. Österreichische Denkmaltopographie 2, Wien 2018.
Winiwarter 2003
V. Winiwarter, Eine kurze Geschichte des Abfalls, Wissenschaft & Umwelt Interdisziplinär 5, 2003, 5–14.
Winton, Winton 1932
A. L. Winton, K. B. Winton, The Structure and Composition of Foods I: Cereals, Starch, Oil Seeds, Nuts, Oils, Forage Plants. New York 1932.
Wollstonecroft 2011
M. M. Wollstonecroft, Investigating the role of food processing in human evolution: a niche construction approach, Archaeological and Anthropological Sciences 3/1, 2011, 141–150.
Young 2017
A. Young, The effects of terrestrial mammalian scavenging and avian scavenging on the body. In: E. M. J. Schotsmans, N. Márquez-Grant, S. L. Forbes (Hrsg.), Taphonomy of Human Remains: Forensic Analysis of the Dead and the Depositional Environment. Chichester, West Sussex – Hoboken, New Jersey 2017, 212–234.
Yriarte 1877
C. Yriarte, De Ravenne à Otrante. In: É. Charton (Hrsg.), Le tour du monde 34/2, 1877, 209–288.
Zarnkow et al. 2006
M. Zarnkow, E. Spieleder, W. Back, B. Sacher, A. Otto, B. Einwag, Interdisziplinäre Untersuchungen zum altorientalischen Bierbrauen in der Siedlung von Tall Bazi/Nordsyrien vor rund 3200 Jahren, TG Technikgeschichte 73/1, 2006, 3–26.
Zelenin 1927
D. Zelenin, Russische (Ostslavische) Volkskunde. Berlin 1927.
Zeller 2015
B. Zeller, Totem and taboo in the grocery store: quasi-religious foodways in North America, Scripta Instituti Donneriani Aboensis 26, 2015, 11–31.
Zhou, Ohata, Arihara 2016
L. Zhou, M. Ohata, K. Arihara, Effects of odor generated from the glycine/glucose Maillard reaction on human mood and brainwaves, Food & Function 7/6, 2016, 2574–2581.
Zinnow 1842
F. Zinnow, Sammlung von deutschen Gedichten für höhere Schulen mit einem kurzen Abriß der deutschen Literaturgeschichte. Berlin 1842.
Zohary, Hopf, Weiss 2012
D. Zohary, M. Hopf, E. Weiss (Hrsg.), Domestication of Plants in the Old World. The Origin of Cultivated Plants in West Asia, Europe and the Mediterranean Basin. Oxford 2012.
Zürn 1957
H. Zürn, Zur Chronologie der Alb-Salem Keramik, Germania 35, 1957, 224–229.

10. Katalog

Als Ausgangsbasis für unsere Vergleichsstudie diente die Veröffentlichung der späturnenfelderzeitlichen Befunde der Hauptgrabungsfläche „Hügelfeld“ von Hellerschmid.[1033] Die Beschreibung dieser von Hellerschmid bereits vorgestellten Objekte konnte daher im Kapitel 10.1.1 sehr knapp ausfallen.[1034] Sieben weitere Gruben vom „Hügelfeld“ wurden von uns erstmalig vorgestellt und sind dort entsprechend umfassender behandelt.[1035]

Gruben mit vorwiegend Menschen- oder Tierdepositionen in der Letztverfüllung waren Forschungsthema eines vorangegangenen FWF-Projekts, dessen noch unveröffentlichte Ergebnisse in vorliegende Arbeit einfließen konnten.[1036] Sie stammen vom „Hügelfeld“, dem anschließenden westlichen Abschnittswall und vom „Kirchhügel“ (Abb. 9).

Bei den kegelstumpfförmigen Gruben der Grabungsflächen „Wagneracker“, „Küssleracker“ und „Bügeleisen“ handelt es sich wiederum um Erstvorlagen.[1037] In Summe ergibt sich daraus eine Gesamtanzahl von 94 in die Untersuchung aufgenommenen Objekten.

10.1 Grubenbeschreibungen

Zu einigen Tabellen der systematisch angelegten Vorlage der Grubenobjekte werden hier Anmerkungen vorangestellt:

Tabelle „Dokumentationsniveaus/Plana“
Die absoluten Höhenangaben von Messfixpunkten und Dokumentationsniveaus liegen nicht in allen Fällen vor. Einige Male konnten wir mittels Höhenschichtplan und den Höhenwerten der Quadranten durch Hubert Gager[1038] einen Annäherungswert angeben.

Tabelle „Größe und Fassungsvermögen“
In dieser Tabelle wurden die Grubenmaße, wie Durchmesser und erhaltene Tiefe, angegeben. Zusätzlich werden rekonstruierte Maße gebracht, die Näherungswerte der nach oben projizierten Grube(n) sind. Nähere Ausführungen zu den Grubengrößen und den Volumenberechnungen finden sich im Kapitel 2.1.2.1 Volumina.

1033. Hellerschmid 2006.
1034. Es handelt sich um folgende 51 Gruben des „Hügelfeldes“: V1, V18, V26, V33, V43, V52, V106, V119, V156, V164, V171, V193, V198, V204, V234, V341, V383, V394, V407, V409, V412, V510, V514, V519, V523, V526, V603, V621, V634, V656, V662, V667, V704, V715, V729, V777, V780, V792, V793, V813, V831, V834, V868, V871, V885, V889, V1015, V1325, V2027, V2713 und V2779.
1035. V812, V819, V891, V894, V897, V981, V992.
1036. Es handelt sich um folgende 22 Gruben: V15, V31, V67, V183, V195, V245, V445, V479, V628, V643, V841, V949, V994, V1008, V1138, V1139, V1140, V1141, V2044, V2648, V2784, V3784. – Die Ergebnisse werden in gesonderten Monographien veröffentlicht, Hellerschmid, Griebl in Druck. – Hellerschmid, Griebl in Vorbereitung.
1037. V5000, V5001, V5003, V5004, V5005, V5006, V5009, V5200, V5201, V5202, V5203, V5204, V5205, V5400.
1038. Gager 1988.

Tabelle „Schichtabfolge“
Die Tabelle „Schichtabfolge“ bringt einen Überblick über das Schichtmaterial, die relative Verortung innerhalb der Grube (ob auf der Sohle, im „Deponierungshorizont“ oder aus dem oberen Grubenbereich) und die Mächtigkeit der Schichten. In der Spalte „besondere Funde“ werden bemerkenswerte Einzelfunde angeführt. Bei den – bereits veröffentlichten – Gruben[1039] sind davon in fetter Schrift diejenigen festgehalten, für die wir in den idealisierten Profildarstellungen der Gruben Bildzeichen vergeben haben (Abb. 231, 234–432). Für selbige Gruben findet sich auch der Schichtschlüssel in dieser Liste. Erläuterungen zum Schichtschlüssel bringen wir im Kapitel 2.2.3 Sekundäre Füllung.

Tabelle „Schichtbeschreibung (Sign.)“
In der Tabelle „ Schichtbeschreibung (Sign.)“ finden sich eine detaillierte Schichtbeschreibung und die Schichtschlüsselangabe, die wir für die jeweilige Schicht vergeben haben (Abb. 47). Diese Tabelle liegt nur dann vor, wenn es sich um eine Erstvorlage des Grubenbefundes handelt. Erläuterungen zum Schichtschlüssel finden sich – wie erwähnt – im Kapitel 2.2.3. Die Spalte „auf Plan“ gibt die Grabungsplannummern an, auf welchen die jeweilige Schicht zu erkennen ist. In der Spalte „besondere Funde“ sind die auffälligen Funde gelistet. Wiederum sind in fetter Schrift diejenigen festgehalten, für die wir in den idealisierten Profildarstellungen Piktogramme verwendet haben (Abb. 231, 234–432). Auch unterschiedliche Fundmaterialansammlungen sind dort mit Bildzeichen festgehalten. Stammen aus einer Schicht zwei oder mehrere gleichartige Fundgegenstände (z. B. zwei pyramidenstumpfförmige Webgewichte oder zwei unterschiedliche Miniaturgefäße), wird dafür nur ein Piktogramm verwendet. Liegen in einer Schicht zwei unterschiedliche Fundgegenstände derselben Fundgattung vor (z. B. ein keramisches Miniaturgefäß und ein vollständiger Keramiktopf), haben wir dafür zwei gleiche Bildzeichen vergeben: 

Abschließende katalogmäßige Auflistung der Funde („Fundkatalog“, bei Erstvorlage der Grubenbefunde)
Die Funde stehen im Eigentum des Landes Niederösterreich, wobei der Hauptteil im Depot in Hainburg lagert (Kulturfabrik). Eine größere Anzahl an Grabungsfunden befindet sich im Museum in Stillfried, wo auch Teile davon ausgestellt sind.

In *kursiver Schrift* sind jene Fundmaterialgruppen in oftmals abgekürzter Weise angeführt, die laut Grabungsfundprotokoll vorhanden sind. Unternummern (z. B. 16203.1) zu den Fundnummern haben wir bei all jenen Funden vergeben, die von uns erstmalig aufgenommen wurden.[1040] Mit „Horn“ wurden Geweihfunde angesprochen.

„Auf Plan“ bedeutet, dass der betreffende Fund auf dem angeführten Grabungsplan zu sehen ist (zeichnerisch und/oder mit Fundnummer versehen).

Die Angabe „KiNr.“ (Kistennummer) bezieht sich auf den Verwahrort im Depot in Hainburg. Die Tier- und Menschenknochen sind im Naturhistorischen Museum untergebracht. Der größte Teil der verkohlten Pflanzenreste befindet sich an der Universität für Bodenkultur in Wien.

Schematische Darstellungen der Grubenbefunde, Befundfotos, Grabungspläne (Abb. 234–432)
Die schematischen, farbigen Profildarstellungen jeder Grube sind ein idealisiertes Bild des Befundes. Auch die darin wiedergegebenen Schichtverläufe sind so zu verstehen, da wir bei Störungen die betreffenden Schichten bis zur gegenüberliegenden Grubenwand weitergezogen haben. Wurde eine Grube auf der Grabung nur in ihrem Randbereich erfasst, belassen wir die schematische Darstellung in dieser tatsächlich dokumentierten Ausdehnung. Bei sehr komplexen Befunden wie V841 und V1141 stoßen wir allerdings an die Grenzen einer solchen vereinfachten Darstellungsweise. Das untere Profil gibt die Schichten entsprechend dem Schichtschlüssel wieder (siehe Abb. 47), während in der oberen Darstellung der Befund in die drei Abschnitte Grubensohle, Deponierungshorizont und obere Grubenverfüllung gegliedert ist. Rechter Hand wird die Schichtabfolge mit den Schichtnummern und den vergebenen Piktogrammen als Harris-Matrix gezeigt, wiederum in die drei Verfüllungsebenen unterschieden.

Aus den skizzenhaften Zeichnungen, die zuunterst an die Farbprofile schließen, wird ersichtlich, wie und bis in welche Höhe die Grube auf der Grabung erfasst wurde. Des Weiteren ist daraus abzulesen, anhand welcher Grabungspläne der idealisierte Längsschnitt erstellt wurde. Diese Skizzen liegen alle im selben Maßstab vor, was einen Vergleich der Grubenausmaße gewährleistet.

Die Fotonummern der Grabungsbefunde mit den vorangestellten Buchstaben „ST“ sowie die Grabungspläne entstammen der Grabungsdokumentation Stillfried der Niederösterreichischen Landesssammlung für Ur- und Frühgeschichte.

1039. Hellerschmid 2006.

1040. Mit der Unternummer 100 haben wir Bruchstücke bezeichnet, die an eine andere Fundnummer anpassen und dort lagern.

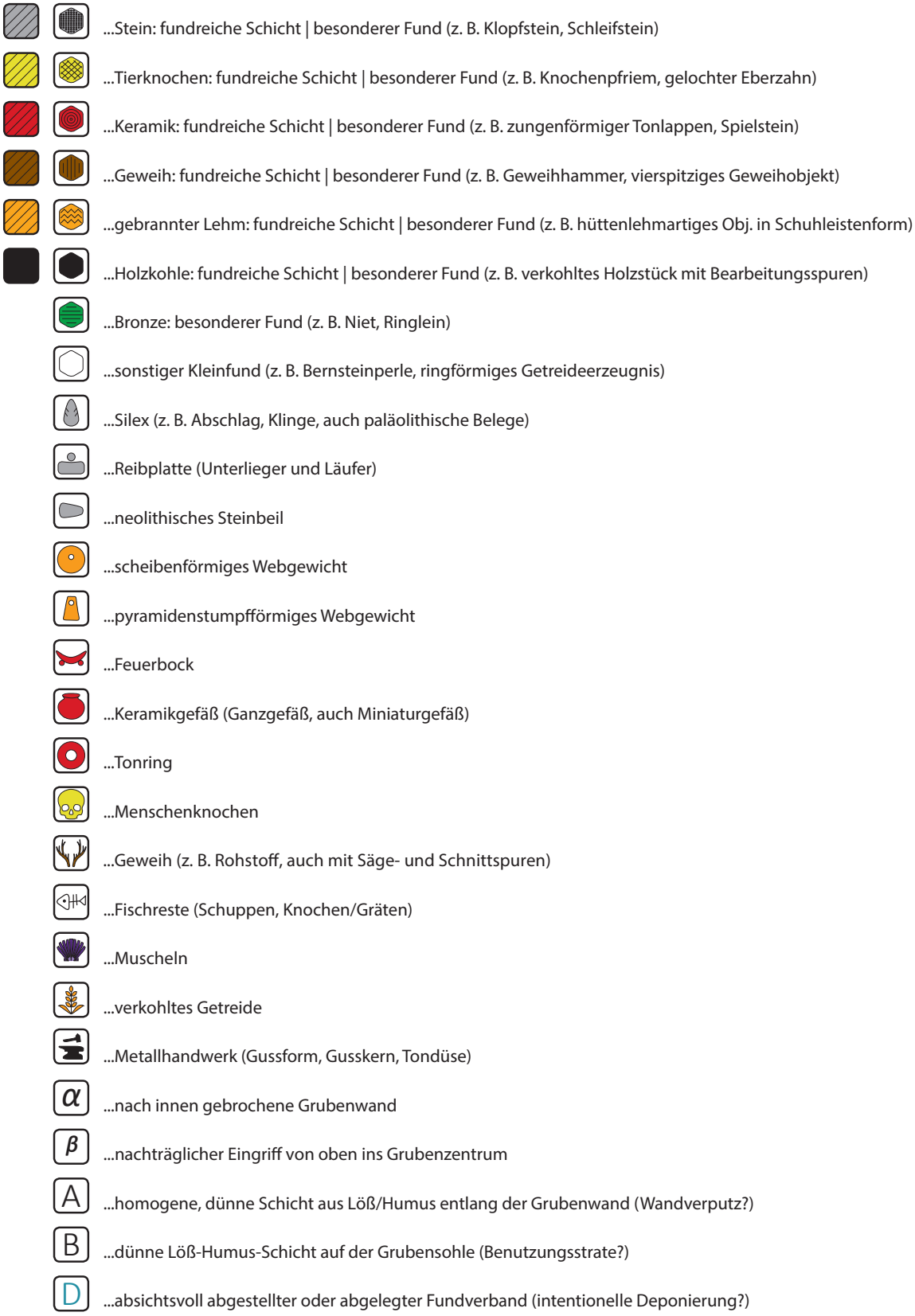


Abb. 231: Piktogrammliste. Die Tabelle zeigt die auf den schematischen Darstellungen der Grubenbefunde (Abb. 234–432) verwendeten Piktogramme. Diese von uns entwickelten Bildzeichen zeigen besondere Funde und bestimmte Fundansammlungen in den Schichten an (z. B. fundreiche Schicht, Stein, Keramik usw. Bildzeichen entworfen und erstellt von T. Jachs).

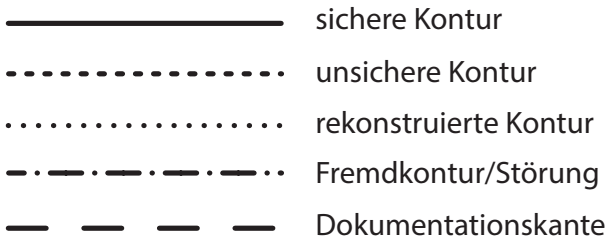


Abb. 232: Legende zu den verwendeten Linienarten bei den technischen Zeichnungen.

Adm.	Außendurchmesser (bei Tonringen)
ausl.	ausladend
B.	Breite
BC	Before Christ (vor Christus)
Bdm.	Bodendurchmesser
BE	Grabungsfläche „Bügeleisen“
BP	Before Present (vor heute)
BoS	Bodenbruchstück
BS	Bruchstück
Bst.	Bodenstärke
Bz	Bronzezeit
(D)	Bodendurchmesser der Grube
(d)	kleinster erhaltener Durchmesser der Grube
DH	Deponierungshorizont
Dm.	Durchmesser
DOKN	Dokumentationsniveau (Planum)
erh.	erhalten(e/er)
FBZ	Frühbronzezeit
FNr.	Fundnummer
Frg.	Fragment/e
G	Getreidefund verkohlt
graf.	grafitiert
GS	Grubensohle
H.	Höhe
H	Holzfund verkohlt
Ha	Hallstattkultur
(h)	maximal erhaltene Grubentiefe
HF	Grabungsfläche „Hügelfeld“
HK	Holzkohle
HL	Hüttenlehm
HOK	Humusoberkante
HUK	Humusunterkante
Idm.	innerer Durchmesser (bei Lochungen)
IF	Interface: Oberfläche einer Schicht oder Umrisslinie eines in sich abgegrenzten Objekts innerhalb einer archäologischen Verfärbung
KÜ	Grabungsfläche „Küssleracker“
k. A.	keine Angabe (möglich)
Ker	Keramik(bruchstücke)
KHG	Kegelhalsgefäß
KiNr.	Kistennummer (Depot Hainburg/Kulturfabrik)
Kn	Knochen

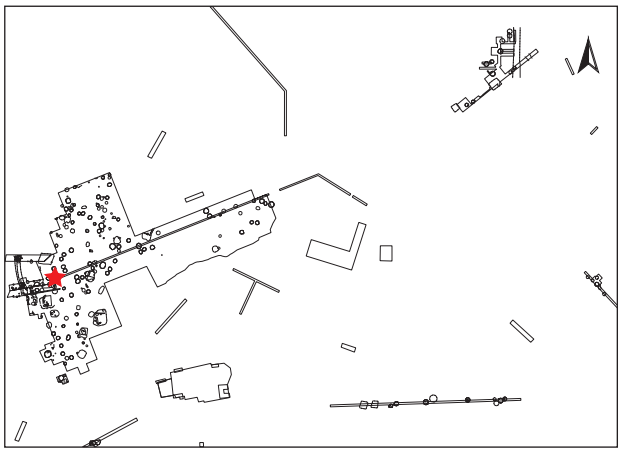
L.	Länge
l	Liter
LT	Latènezeit
MA	Mittelalter
MBZ	Mittelbronzezeit
Mw.	Mittelwert (der kalibrierten ^{14}C-Datierungen)
OGU	obere Grubeneinfüllung, untere Verfüllschicht
OGV	obere Grubeneinfüllung, endgültige/obere Verfüllung
o. D.	ohne Datierung
o. F.	ohne Fundverband (keine Objektzuordnung möglich)
o. J.	ohne Jahresangabe
p. N.	primäre Nutzung (der Grube)
Rdm.	Randdurchmesser
Reibpl.	Reibplatte
rek.	rekonstruiert(e/r)
RKZ	Römische Kaiserzeit
RS	Randbruchstück
RWBS	Rand-, Wand-, Bodenbruchstücke
RWS	Rand-, Wandbruchstücke
S	Schlämmprobe
sek. gebr.	sekundär gebrannt
SMA	Spätmittelalter
St.	steht für „Stillfried“, wurde allen Fundnummern der Grabung von F. Felgenhauer vorangestellt (FNr. St.)
St.	Stärke (Dicke) des Fundes
Stknr.	Stücknummer (für einzelne Funde, von I. Hellerschmid vergeben)
T.	Tiefe
u.	und
UGS	unter der Grubensohle
UK	Urnenfelderkultur
V	(archäologische) Verfärbung
w.	wenig
WA	Grabungsfläche „Wagneracker“
WBS	Wand-Boden-Bruchstück
(pyr.) WG	(pyramidenstumpfförmiges) Webgewicht
WS	Wandbruchstück
Wst.	Wandstärke
WW	Grabungsfläche „westlicher Abschnittswall“
Zie	(römischer) Ziegel

Abb. 233: Liste der im Text verwendeten Abkürzungen.

10.1.1 Grabungsflächen „Hügelfeld“, westlicher Abschnittswall und „Kirchhügel“

Objekt V1 – Kegelstumpfförmige Grube

Lage	Hügelfeld Quadrant H1-1989, Riegel H0/H1 und H1/G1, Hügelfeld-Suchschnitt Lfm. 0–1
alte Objektnr.	Verf. 1a, 4, 6A, 10, 13
Literatur	Pucher 1982. – Barg 1987, Grube 4, Abb. 1/1–4. – Kohler-Schneider 2001, 103–105. – Hellerschmid 2006.
Interfaces	
Signaturen (Schichtnrn.)	00001, 00002, 10466–10472



Dokumentationsniveaus/Plana

Plannr.	Planum	alte Verf.	Lage/Quadrant	vertikale Einmessung		
				Ausgangspunkt	relative Tiefe	absolute Höhe in müA
WW 51/1971	Planum 3	13	G1	NW-Ecke	-100 cm	198,60
WW 61/1978	Planum 1	10	W-Wall	Lfm. 2	-133 cm	?
WW 6/1978	Planum 1	10	W-Wall	Lfm. 2	-133 cm	?
HF 91/1989	Planum 3	6A	H1-1989	SW H1	-86 cm	198,39
HF 91/1989	Planum 4	6A	H1-1989	SW H1	-110 cm	198,15

Profile/Schnitte

Plannr.	alte Verf.	Hauptprofil		Schnitt	
		Orientierung	Lage/Quadrant	Bezeichnung	unter DOKN
HF 2/1970	1a	Nordprofil	Hügelfeld-Suchschnitt		HOK
HF 2/1970	1a	Westprofil	Hügelfeld-Suchschnitt		HOK
HF 61/1971	13	Westprofil	G1 (+ alter Hügelfeld-Suchschnitt)		HOK
HF 62/1971	13	Nordprofil	G1 (+ alter Hügelfeld-Suchschnitt)		HOK
WW 10/1978	4	Nordprofil	Westwall		HOK
WW 21/1978	10	Südprofil	Westwall		Planum 1(?)
HF 96/1989	6A	Zwischenprofil	H1-1989	JK	Planum 3
HF 122/1989	6A	Westprofil	H1-1989		HOK

Stratigraphie V1

Im Norden wird Objekt V1 durch einen mittelalterlichen Graben (V918) bis 1,3 m unter der SW-Ecke von H1-1989 gestört.[1041] Der obere gestörte Grubenbereich erscheint gekappt (Abb. 234). Darüber lagert grauer Humus. Über einer weiteren Kappung liegt rezentes Erdmaterial.

Grubenform

Wandverlauf	Sohlenverlauf	Übergang Sohle – Wand	primäre Nutzungsspuren
nach außen gewölbte, konische bis steilkonische Wand	waagrechte Grubensohle	eckig-scharfkantig bis leicht gerundet	

1041. Grabungsplan HF 122/1989.

Größe und Fassungsvermögen V1

min. Dm. (d): Bereich Sign. 0002	159 cm
max. Dm. (D): Grubensohle	218 cm
max. erh. Grubentiefe (h)	75 cm
max. rek. Grubentiefe	180 cm
erh. rek. Fassungsraum der Grube	2,11 m³
rek. Fassungsraum der Grube	3,09 m³
archäolog. Datierung	Ha B3
Zuordnung zu Siedlungsphase	III/1

Schichtabfolge V1

Lage in der Grube	Sign.	Schicht-schlüssel	Beschreibung	Kurzbeschreibung	besondere Funde	Höhe ab Sohle in cm
direkt auf der Grubensohle	00001	17	graues, humos-aschiges Material, im Zentrum leicht angehäuft	Asche mit wenig Humus vermischt, fundreich (Keramik-scherben)	**vollständiges Miniaturkegelhalsgefäß**[1042] (St. 22035); **RS eines Zylinderhalsgefäßes**[1043] (St. 22076; Abb. 17); Frg. von Omphalosschale[1044] (St. 7467); **Fischreste**	0–13
„Deponierungshorizont“						
	10466	1	schwarzes, aschiges Material, stark mit Holzkohle durchsetzt	Asche, fundarm		4–14
	10467	13	weißes, aschiges Material	weiße Asche, fundarm		5–17
	10468	9	braun-humoses Material, mit Löß-brocken durchsetzt	Humus mit Löß-brocken, eher fundarm(?)		5–32
	10469	9	braun-humoses Material mit zahlreichen Keramikscherben	Humus, fundreich(?)		8–29
unebene Oberkante, keine Deponierung	10470	13	weißes, aschiges Material	weiße Asche, eher fundarm(?)		12–32
oberer Grubenbereich						
	10471	9	braun-humoses Material	Humus, eher fundarm(?)	**scheibenförm. Webgewichtfrg.** (St. 135.1; Taf. 1/1)	17–ca. 80
	10472	1	schwarze, aschige Schicht, mit Holzkohle durchsetzt	Asche, fundarm(?)		32–ca. 85
	00002	9	braun-humoses Material	Humus, eher fundarm(?)		ab 24

1042. Mit Inhalt (FNr. des Inhalts: St. 22036), Randbereich fehlt, Bauchdm. etwa 7 cm, Kohler-Schneider 2001, 105 und Abb. 23/a. Untersuchungsergebnis des Inhalts: Kein originaler Gefäßinhalt. Die wenigen verkohlten Pflanzenreste stammen aus dem umgebenden Grubenfüllmaterial, das sich vermutlich aus unterschiedlichen Abfällen zusammensetzt. Es werden auch Knochen- und Fischreste genannt.

1043. Rdm. 18 cm, Wst. 0,6–0,8 cm, erh. H. 7,5 cm, markante fünfeckige Form, möglicherweise sekundär als Schaber oder Spatel genutzt? (Hainburg Kiste 10/19034).

1044. Laut Inventarliste, nicht auffindbar.

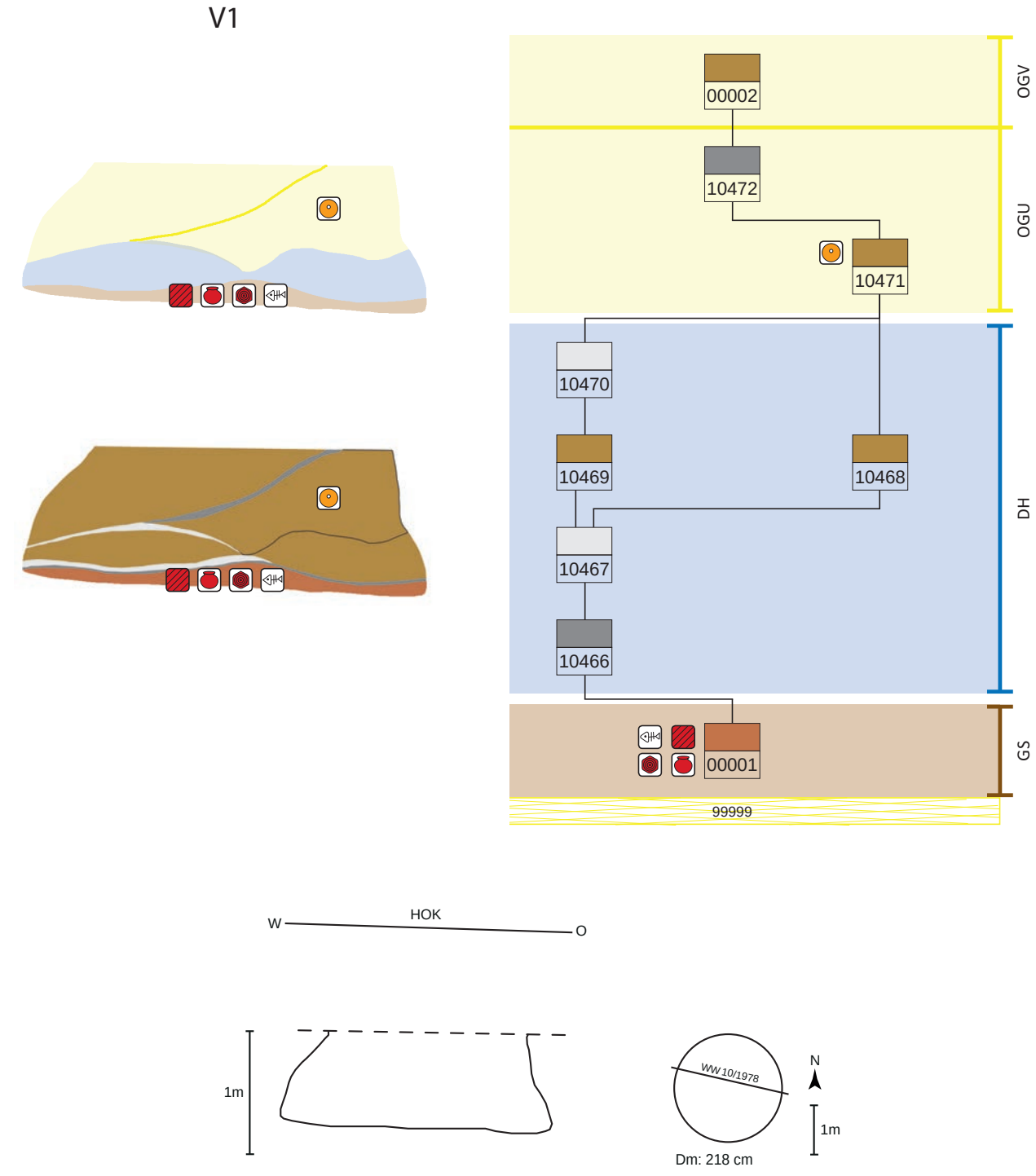
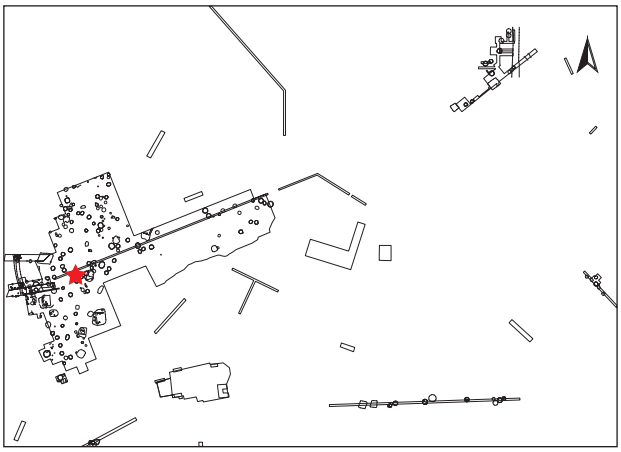


Abb. 234: V1, schematische Darstellung, Schnitt und Lage des Schnittes im Planum.

Objekt V15 – Kegelstumpfförmige Grube mit Deposition eines Hirsches und eines Feldhasen

Lage	Hügelfeld Quadrant G2, Riegel G2/G3
alte Objektnr.	Verf. 4, 5
Literatur	Pucher 1986, 57–58. – Heiling-Schmoll 1987, 5–10. – Hellerschmid 2006. – Pucher in Vorbereitung. – Hellerschmid, Griebl in Vorbereitung.
Interfaces	1284, 1285
Signaturen (Schichtnrn.)	00005–00008, 00010–00012, 10214



Dokumentationsniveaus/Plana

Plannr.	Planum	alte Verf.	Lage/Quadrant	vertikale Einmessung		
				Ausgangspunkt	relative Tiefe	absolute Höhe in müA
HF 156/1971 (Skizze)	Planum 2	4	G2/G3	NW F3	-145 cm	197,78
HF 63/1971	Planum 3	5	G2	NW G2	-93 cm	198,26

Profile/Schnitte

Plannr.	alte Verf.	Hauptprofil		Schnitt	
		Orientierung	Lage/Quadrant	Bezeichnung	unter DOKN
HF 158/1971 (Abb. 235)	5	Ostprofil	G2		HOK
HF 119/1971	5	Zwischenprofil	G2	EF	Planum 3
HF 123/1971	5	Zwischenprofil	G2	CD	Planum 3

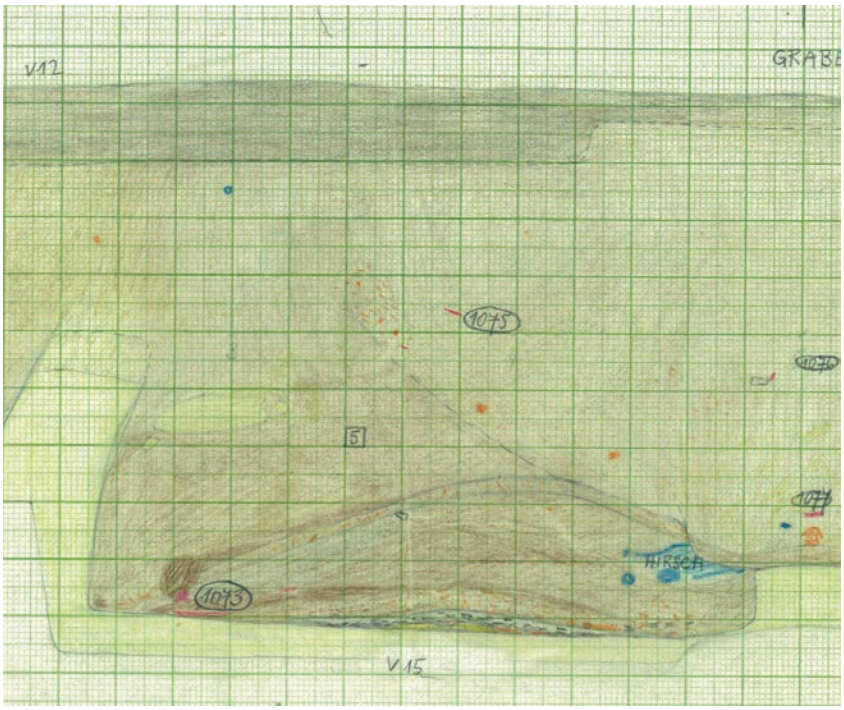


Abb. 235: V15: Ausschnitt aus dem Ostprofil von Quadrant G2 mit V15. Gut zu erkennen ist die Tierniederlegung im südlichen Wandbereich der Grube („Hirsch“) sowie die mächtige Störung durch den mittelalterlichen Graben V2 darüber (Zeichnung: M. Strohschneider, Universität Wien, Plannr. HF 158/1971).

Stratigraphie V15

Objekt V15 wird durch den mittelalterlichen Graben V2 im Süden bis annähernd 20 cm über der Sohle gestört (Abb. 235, 236).

Grubenform

Wandverlauf	Sohlenverlauf	Übergang Sohle – Wand	primäre Nutzungsspuren
sehr steilkonische, schwach nach außen gewölbte Wand	annähernd waagrecht	schwach gerundet	

Größe und Fassungsvermögen V15

min. Dm. (d): Bereich Sign. 00012	ca. 190 cm
max. Dm. (D): Grubensohle	240 cm
max. erh. Grubentiefe (h)	100 cm
max. rek. Grubentiefe	ca. 190 cm
erh. rek. Fassungsraum der Grube	3,65 m³
rek. Fassungsraum der Grube	4,85 m³
archäolog. Datierung	Ha B2
Zuordnung zu Siedlungsphase	II

Schichtabfolge V15

Lage in der Grube	Sign.	Schicht-schlüssel	Beschreibung	Kurzbeschreibung	besondere Funde	Höhe ab Sohle in cm
direkt auf der Grubensohle	00005	3	schwache zentrale Löß-/Lehmanhäufung	dünne, mittige Lößschicht		0–2
„Deponierungs-horizont“						
	00006	1	Asche mit Holzkohle	Aschelage über dem Lößhäufchen		2–7
	00007	2	humos mit Hütten-lehmstücken und Holzkohle	Brandschutt		7–15
rek. waagrechte Oberkante	10214	9	humos	humos		0–17
Tierdeposition	IF1285	D	Deposition von juvenilem Hirsch	**verlagertes Teilskelett eines juvenilen männlichen Hirsches**[1045]		17–30
Tierdeposition	IF1284	D	Deposition von Feldhasen	**vollständiger Feldhase**[1046]		
	00008	9	humos	humos, fundreich		17–47
	00010	17	humos mit gebranntem Lehm	dünne, abschließende Humusschicht mit Brandresten		47–53
oberer Grubenbereich						
	00011	9	humos mit lehmigen Einschlüssen	humos-lößige Füllung		0–90
	00012	9	humos-lehmig	humos-lehmige Verfüllung		58–100
			ohne genaue Schicht-zuordnung	**pyramidenstumpfförm. Webgewichtfrg.** (St. 1202)		
				viel Keramik: 3 unvollständige Vorratstöpfe, Schalen und 1 kannelierte Henkeltasse		

1045. FNr. St 1002, 1044, 1045, 1201. – Pucher 1986, 57–58.

1046. Lage des Tieres nicht dokumentiert (FNr. St. 1215), Angabe nach Heiling-Schmoll 1987 (Teil I), 7.

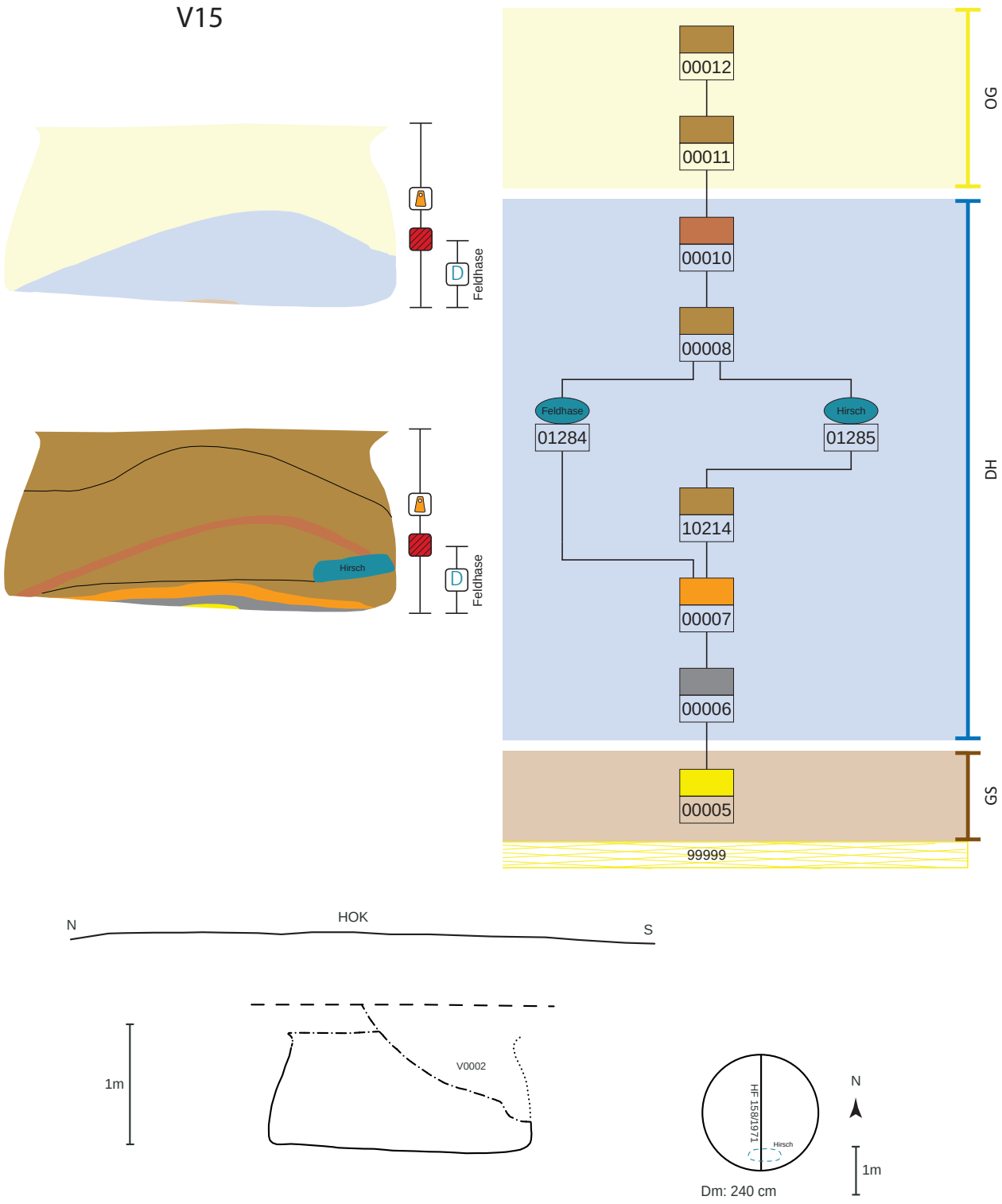
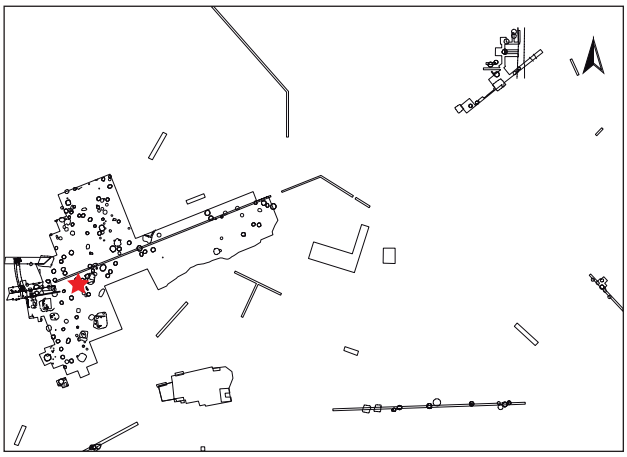


Abb. 236: V15, schematische Darstellung, Schnitt und Lage des Schnittes im Planum.

Objekt V18 – Kegelstumpfförmige Grube

Lage	Hügelfeld Quadrant G2, Riegel F2/G2, F3/G3, Riegelkreuz G2/G3/F2/F3
alte Objektnr.	Verf. 4, 5
Literatur	Hellerschmid 2006.
Interfaces	04002, 04003
Signaturen (Schichtnrn.)	00015, 00016



Profile/Schnitte

Plannr.	alte Verf.	Hauptprofil		Schnitt	
		Orientierung	Lage/Quadrant	Bezeichnung	unter DOKN
HF 78/1971 (Abb. 41/7)	5	Südprofil	G2		HOK
HF 158/1971	5	Ostprofil	G2		HOK
HF 183/1971	4	Ostprofil	F2/G2		HOK

Stratigraphie V18

Im Westen wird Objekt V18 und der (mittelalterliche) Graben V2 durch eine annähernd rechteckige (neuzeitliche?) Grube (V16) bis 1,2 m unter der SO-Ecke von G2 gestört. Der obere Grubenbereich ist zur Gänze durch den Graben (V2) gekappt (Abb. 237). Über einer weiteren Kappung lagert rezenter Humus.

Grubenform

Wandverlauf	Sohlenverlauf	Übergang Sohle – Wand	primäre Nutzungsspuren
konischer Wandverlauf	waagrechte Grubensohle	eckig-scharfkantig	Abdrücke von Steigbaum(?)

Größe und Fassungsvermögen V18

min. Dm. (d): Bereich Sign. 00016	210 cm
max. Dm. (D). Grubensohle	275 cm
max. erh. Grubentiefe (h)	65 cm
max. rek. Grubentiefe (unter HUK)	145 cm
erh. rek. Fassungsraum der Grube	4,57 m³
rek. Fassungsraum der Grube	4,90 m³
archäolog. Datierung	Ha B

Schichtabfolge V18

Lage in der Grube	Sign.	Schicht-schlüssel	Beschreibung	Kurzbeschreibung	besondere Funde	Höhe ab Sohle in cm
unter der Grubensohle						
primäre Nutzungs-spuren?	04002, 04003	9	zwei kleine, rechteckige Vertiefungen im Osten der Grubensohle, mit grauem Löß verfüllt – Abdrücke von Steig-baum?	Abdrücke von Steig-baum?		-10–0
direkt auf der Grubensohle						
zentrale Einfüllung auf Sohle	00015	2	gebrannte Hüttenlehm-brocken und Holzkohle	Brandschutt, fundarm		0–10
oberer Grubenbereich	00016	9	dunkelbraune, speckig-humose Schicht mit Lößeinsprenkelungen	Humus, fundarm		ab 0

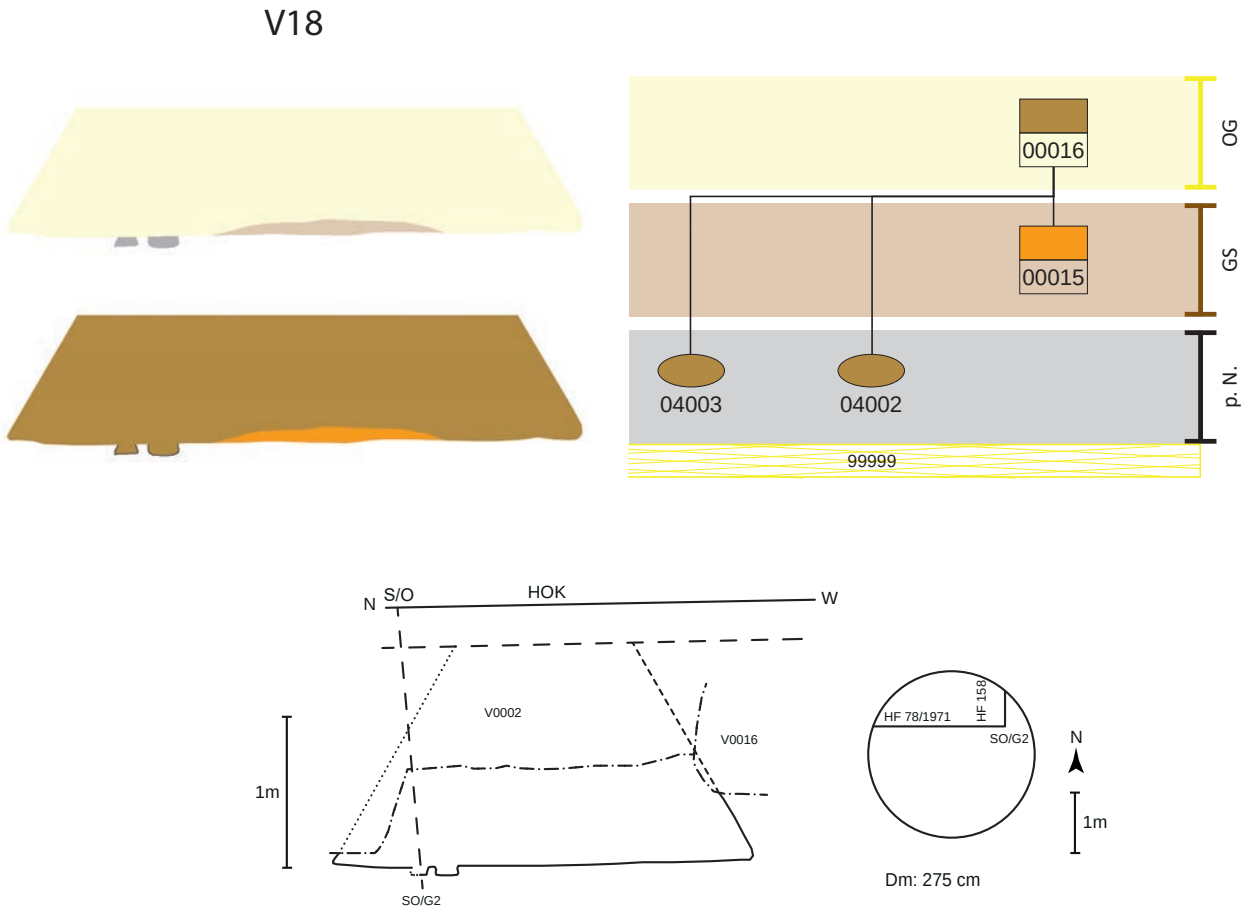
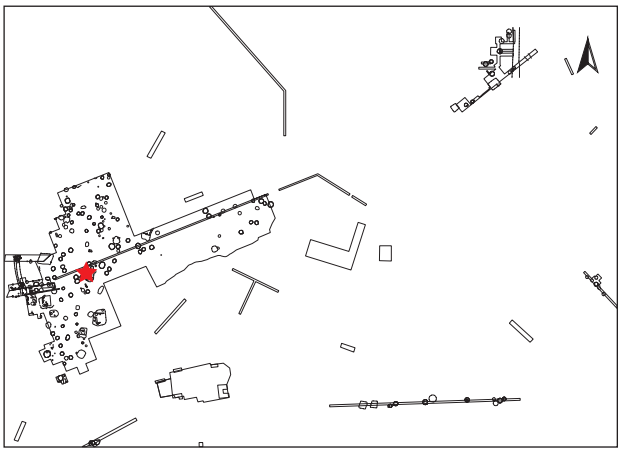


Abb. 237: V18, schematische Darstellung, Schnitt und Lage des Schnittes im Planum.

Objekt V26 – Kegelstumpfförmige Grube

Lage	Hügelfeld Quadranten G3, G4, Riegel G3/G4
alte Objektnr.	Verf. 1a, 7, 10
Literatur	Pucher 1982. – Hellerschmid 2006. – Penz 2006.
Interfaces	
Signaturen (Schichtnrn.)	00019–00020, 10473–10474



Dokumentationsniveaus/Plana

Plannr.	Planum	alte Verf.	Lage/Quadrant	Vertikale Einmessung		
				Ausgangspunkt	relative Tiefe	absolute Höhe in müA
HF 65/1971	Planum 2	7	G3	NW G3	-661 cm	198,36
HF 136/1971	Teilplanum 3	o. Nr.	G3	NW G3	-142 cm	197,60
HF 148/1971	Teilplanum	10	G4	NW G4	-106 cm	197,83
HF 178/1971	Planum 3	1a	G3/G4	NW G4	-80 cm	198,09

Profile/Schnitte

Plannr.	alte Verf.	Hauptprofil		Schnitt	
		Orientierung	Lage/Quadrant	Bezeichnung	unter DOKN
HF 107/1971	7	Zwischenprofil OP	G3	OP	Planum 2
HF 127/1971	1a	Ostprofil	G3		HOK
HF 138/1971	7	Zwischenprofil QO	G3	QO	Planum 2
HF 173/1971	10	Westprofil	G4		HOK
HF 185/1971	1a	Südprofil	G4/G3		HOK

Stratigraphie V26

Das Objekt V26 wird durch das Ha B-zeitliche Grubenhaus (V29, Sph. III/2) bis 80 cm unter der SO-Ecke von G3 gestört. Beide Objekte werden durch einen (mittelalterlichen) Graben (V12) geschnitten (Abb. 238). Über einem Kappungshorizont lagert rezenter Humus.

Grubenform

Wandverlauf	Sohlenverlauf	Übergang Sohle – Wand	primäre Nutzungsspuren
steilkonischer Wandverlauf	waagrechte Grubensohle	gerundet, Sohlenrand etwas gehoben	

Größe und Fassungsvermögen V26

min. Dm. (d): Bereich Sign. 0020	220 cm
max. Dm. (D). Grubensohle	240 cm
max. erh. Grubentiefe (h)	150 cm
max. rek. Grubentiefe	210 cm
erh. rek. Fassungsraum der Grube	3,42 m³
rek. Fassungsraum der Grube	3,96 m³
archäolog. Datierung	Ha B2
Zuordnung zu Siedlungsphase	II

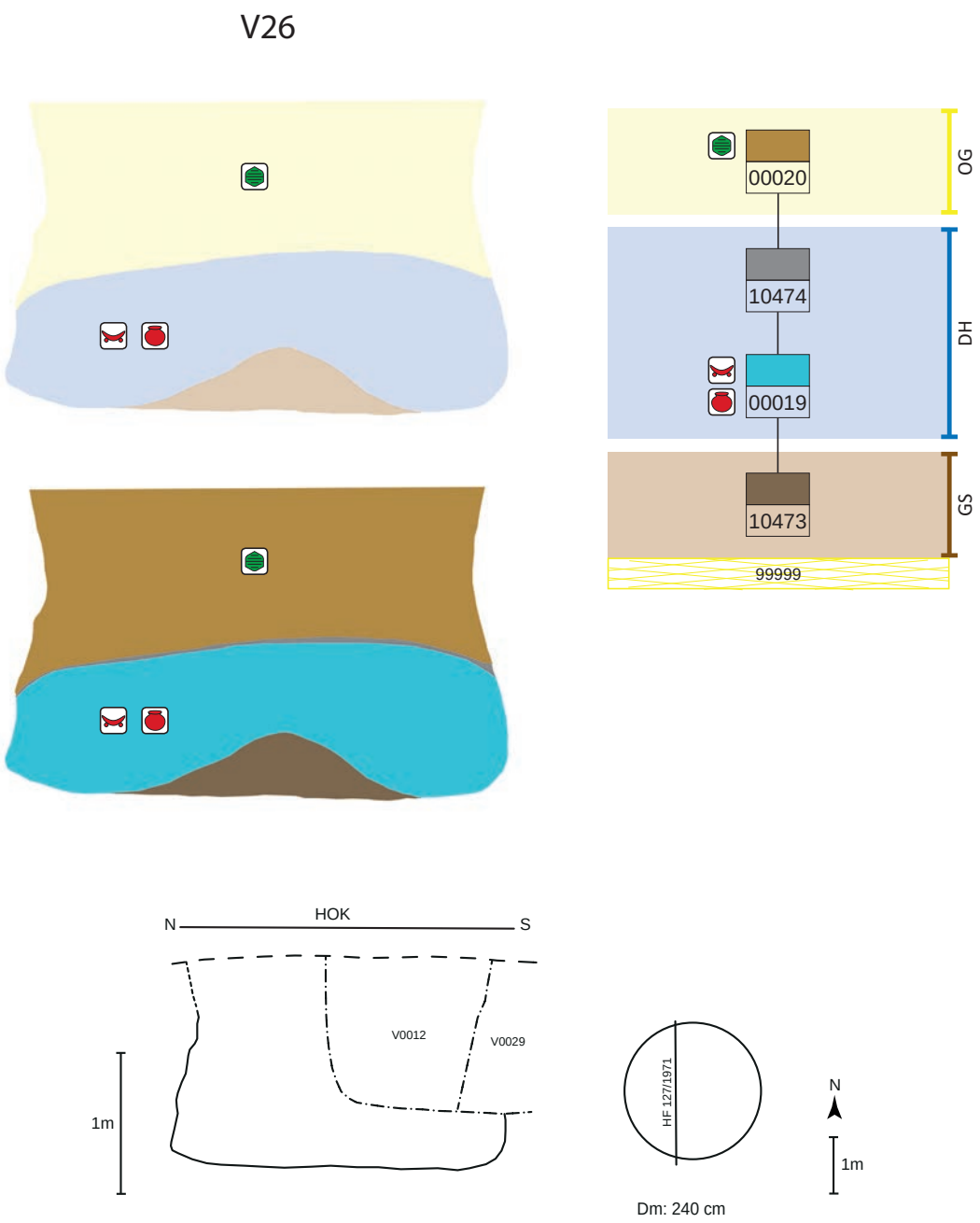


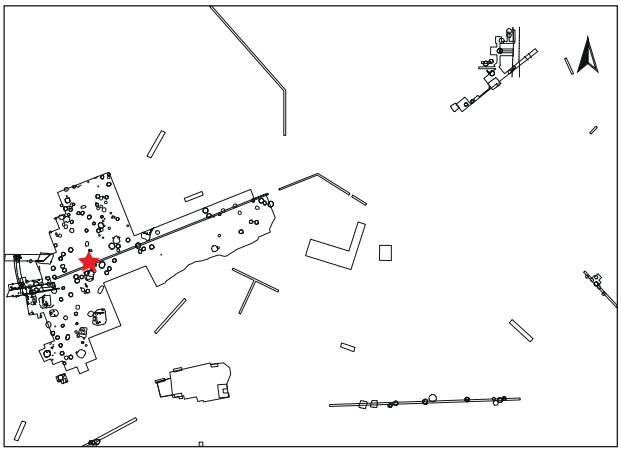
Abb. 238: V26, schematische Darstellung, Schnitt und Lage des Schnittes im Planum.

Schichtabfolge V26

Lage in der Grube	Sign.	Schicht-schlüssel	Beschreibung	Kurzbeschreibung	besondere Funde	Höhe ab Sohle in cm
direkt auf der Grubensohle	10473	4	braun-humoser Schüttkegel	Humus, fundarm		0–29
„Deponierungs-horizont“						
	00019	15	Humus-Löß-Asche-Gemisch mit Keramik, schüttkegelartige Einfüllschichten	Humus-Löß-Asche, eher fundreich	**Feuerbockfrg.**[1047] (St. 1206); **zerbrochener, vollständiger Vorratstopf** (St. 1206; Taf. 35/1)	0–72
unebene Oberkante, keine Deponierung	10474	1	graues Ascheband	Asche fundarm		50–73
oberer Grubenbereich	00020	9	lehmig-humos (bröselig), mit wenigen Holzkohle- und Hüttenlehmeinschlüssen und Keramik	Humusgemisch, fundarm	**längliches Bronzeobjekt** (St. 978; Taf. 35/2)[1048]	51–150

Objekt V31 – Kegelstumpfförmige Grube mit Wildschweinfrischling und „kleinem Tier im Verband“

Lage	Hügelfeld-Suchschnitt Lfm. 19–21, Quadranten G4, H4, Riegel G4/H4, H3/H4
alte Objektnr.	Verf. 3, 3a, 4, 12
Literatur	Hellerschmid 2006. – Pucher in Vorbereitung. – Hellerschmid, Griebl in Vorbereitung.
Interfaces	1272, 1286
Signaturen (Schichtnrn.)	00031, 00036–00040, 00048, 00051–00053



Dokumentationsniveaus/Plana

Plannr.	Planum	alte Verf.	Lage/Quadrant	vertikale Einmessung		
				Ausgangspunkt	relative Tiefe	absolute Höhe in müA
HF 121/1971	Planum 2	12	G4	NW G4	-65 cm	198,24
HF 109/1971 (Abb. 66)	Detailplanum NMRD	12	G4	NW G4	-130 cm	197,59
HF 11/1979	Planum 1	3	H4	SW H4	-70 cm	198,01
HF 14/1979	Planum 2	3	H4	SW H4	-140 cm	197,31

1047. Penz 2006, FNr. St. 1206, Taf. 1/1.

1048. Penz 2006, FNr. St. 978, Taf. 1/2.

Profile/Schnitte

Plannr.	alte Verf.	Hauptprofil		Schnitt	
		Orientierung	Lage	Bezeichnung	unter DOKN
HF 4/1970 (Abb. 239)	4	Nordprofil	Hügelfeld-Suchschnitt, Lfm. 19–21		HOK
HF 17/1970	4	Südprofil	Hügelfeld-Suchschnitt, Lfm. 19–21		HOK
HF 15/1979	3a	Westprofil	H4		HOK

Stratigraphie V31

Objekt V31 wird durch das römerzeitliche Objekt V30 im oberen Bereich gestört (Abb. 239, 240).

Grubenform

Wandverlauf	Sohlenverlauf	Übergang Sohle – Wand	primäre Nutzungsspuren
senkrechte, zylindrische Wand mit unterschiedlich schräg verlaufender Schulter	annähernd waagrecht	im Westen kantig, im Osten gerundet	

Größe und Fassungsvermögen V31

min. Dm. (d): Bereich Sign. 00053	ca. 110 cm
max. Dm. (D): Sign. 00040	220 cm
max. erh. Grubentiefe (h)	120 cm
max. rek. Grubentiefe	ca. 180 cm
erh. rek. Fassungsraum der Grube	2,66 m³
rek. Fassungsraum der Grube	2,98 m³
archäolog. Datierung	Ha B3
Zuordnung zu Siedlungsphase	III/2



Abb. 239: V31: Nordprofil des „Hügelfeld"-Suchschnitts (1/1970) mit V31 bei Lfm. 19 bis 21. Die Grubensohle ist nicht sichtbar. Im Zentrum unter dem Stein sind die herausstehenden Knochen des „kleinen Tieres im Verband" zu erkennen. Sie liegen auf der waagrechten Oberkante der grauen Schicht 00038 (Grabungsdokumentation Stillfried, Landessammlung Niederösterreich, Bereich Ur- und Frühgeschichte, Fotonr. ST00088).

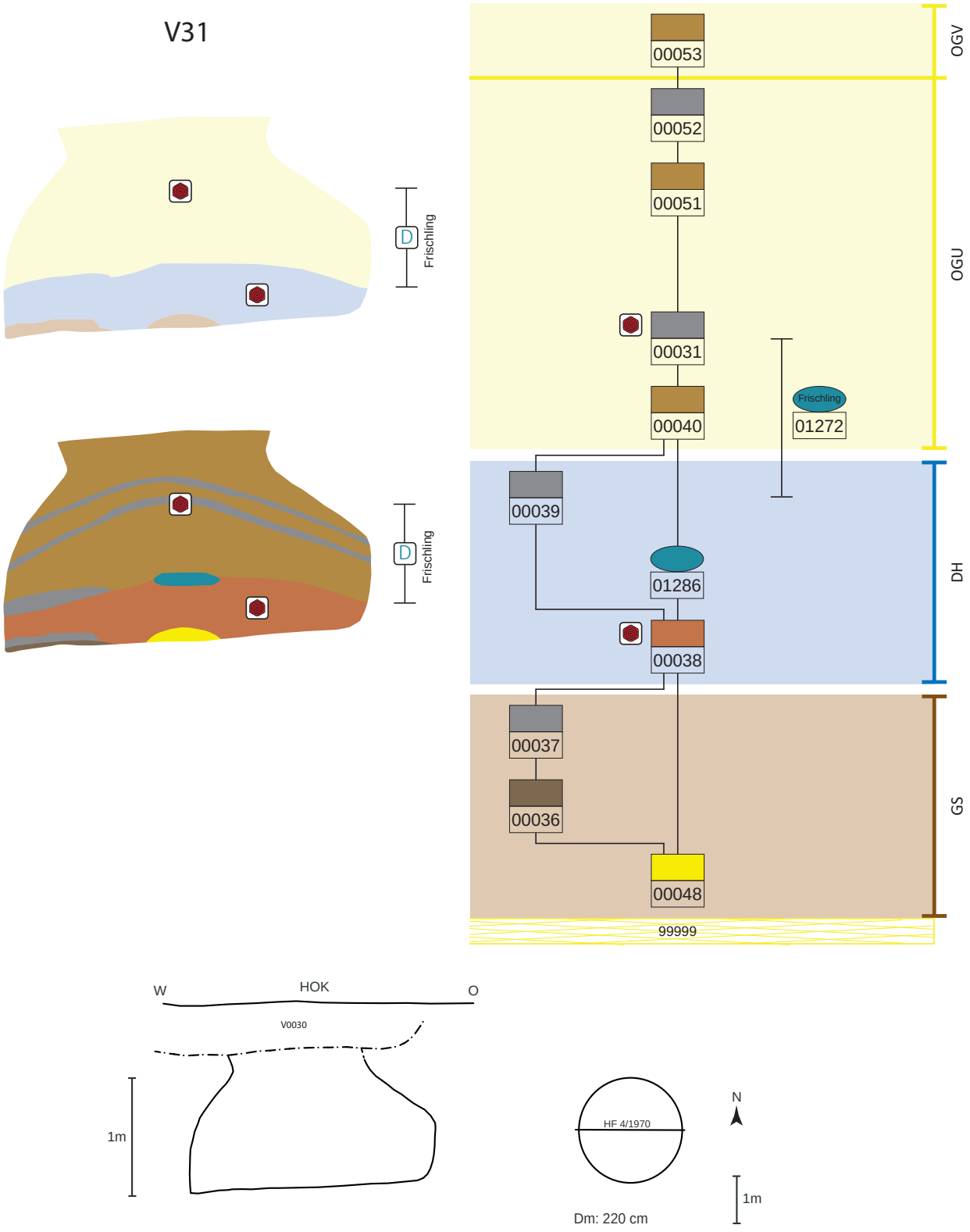


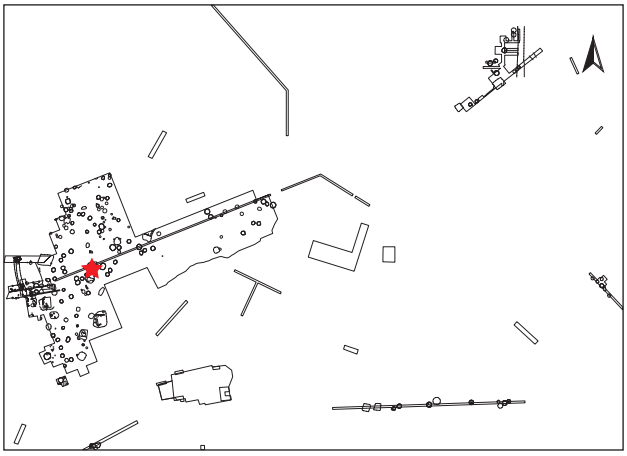
Abb. 240: V31, schematische Darstellung, Schnitt und Lage des Schnittes im Planum.

Schichtabfolge V31

Lage in der Grube	Sign.	Schicht-schlüssel	Beschreibung	Kurzbeschreibung	besondere Funde	Höhe ab Sohle in cm
direkt auf der Grubensohle						
	00048	3	zentrale Löß-/Lehm-anhäufung	mittige Lößschicht		0–5
	00036	4	randliche, dünne Humussschicht	randliche Humus-schicht		0–3
	00037	1	humos-aschig	aschige Auflagerung auf Sign. 00036		3–6
„Deponierungs-horizont“						
annähernd waagrechte Oberkante	00038	17	mit Holzkohleflittern und gebranntem Lehm durchsetzter Humus	Aschelage über dem Lößhäufchen, fundreich	**Frg. von Backteller** (St. 5136)	0–38
Tierdeposition	IF1286	D	kleines Tier im Skelett-verband	**kleines, abgelegtes Tier,**[1049] **Tierart unbestimmt, verschollen**		38
	00039	1	humos-aschig	aschige Auflagerung auf Sign. 00038 am westl. Grubenrand		20–30
oberer Grubenbereich						
	00040	9	lehmig, humos verflockt	humos-lößige Füllung, fundreich		20–78
Tierdeposition?	IF1272	D	Teilskelett von Wild-schweinfrischling	**unvollständiger Wildschweinfrischling**[1050]		58–100
	00031	1	Ascheband	aschig	**zungenförm. Tonlap-pen** (St. 71; Taf. 35/5–6 u. Abb. 92–94)	40–82
	00051	9	humos-lehmig	humos-lehmig		45–90
	00052	1	Ascheband	aschig		70–85
	00053	9	humos	humos, fundreich		60–120

Objekt V33 – Kegelstumpfförmige Grube

Lage	Hügelfeld Quadrant G4
alte Objektnr.	Verf. 6
Literatur	Hellerschmid 2006.
Interfaces	
Signaturen (Schichtnrn.)	00049, 00050, 00533, 00534



1049. FNr. St. 378.

1050. Bei der Grabung nicht dokumentiert, FNr. St. 5128. – Pucher in Vorbereitung, Kap. 2.1.5.5.

Dokumentationsniveaus/Plana

Plannr.	Planum	alte Verf.	Lage/Quadrant	vertikale Einmessung		
				Ausgangspunkt	relative Tiefe	absolute Höhe in müA
HF 54/1971	Planum 1	6	G4	NW-G4	-50 cm	198,39
HF 109/1971 (Abb. 66)	Planum 3	6	G4	NW-G4	-130 cm	197,59
HF 121/1971	Planum 2	6	G4	NW-G4	-65 cm	198,24

Profile/Schnitte

Plannr.	alte Verf.	Hauptprofil		Schnitt	
		Orientierung	Lage/Quadrant	Bezeichnung	unter DOKN
HF 109/1971 (Abb. 66)	6	Zwischenprofil	G4	MA	Planum 3
HF 120/1971	6	Zwischenprofil	G4	CMD	Planum 2
HF 139/1971	6	Zwischenprofil	G4	MN	Planum 2

Stratigraphie V33

Objekt V33 streift an der Unterkante das etwas tiefere Objekt V31 (Grube mit Hunde- und Wildschweinfrischling-Teildeposition) beinahe (Abb. 66). Seinerseits wird es im Südwesten durch eine beutelförmige Grube (V36) bis in eine Tiefe von 1,2 m unter der NW-Ecke von G4 geschnitten (Abb. 241).

Grubenform

Wandverlauf	Sohlenverlauf	Übergang Sohle – Wand	primäre Nutzungsspuren	Auffälligkeiten
steilkonischer Wandverlauf	waagrechte Grubensohle	spitz bis leicht gerundet		nahe an älterer Grube errichtet (V31)

Größe und Fassungsvermögen V33

min. Dm. (d): Bereich Sign. 00050	150 cm
max. Dm. (D): Grubensohle	250 cm
max. erh. Grubentiefe (h)	130 cm
max. rek. Grubentiefe	245 cm
erh. rek. Fassungsraum der Grube	4,16 m³
rek. Fassungsraum der Grube	4,97 m³
archäolog. Datierung	Ha B3
Zuordnung zu Siedlungsphase	III/2

Schichtabfolge V33

Lage in der Grube	Sign.	Schicht-schlüssel	Beschreibung	Kurzbeschreibung	besondere Funde	Höhe ab Sohle in cm
direkt auf der Grubensohle	00534	1	Anlagerungen von Holzkohlestückchen und -flitter	Asche, fundarm		0–8
„Deponierungs-horizont“						
	00049	17	dunkelgrau-aschig, stark mit Holzkohle-stückchen und -flitter durchsetzt	Humus-Brandschutt-Gemisch, eher fundreich?		0–25
keine Deponierung, relativ waagrechte Oberkante	00050	17	braun-humos bis rotbraun-lehmig, fest (Brandschutt), teils stark mit Löß versetzt	Humus-Brandschutt-Gemisch, eher fundreich?		20–98
oberer Grubenbereich	00533	9	dunkel-grau-braune Erde, mit Keramik und Knochen durchsetzt	Humus, fundreich		ab 96

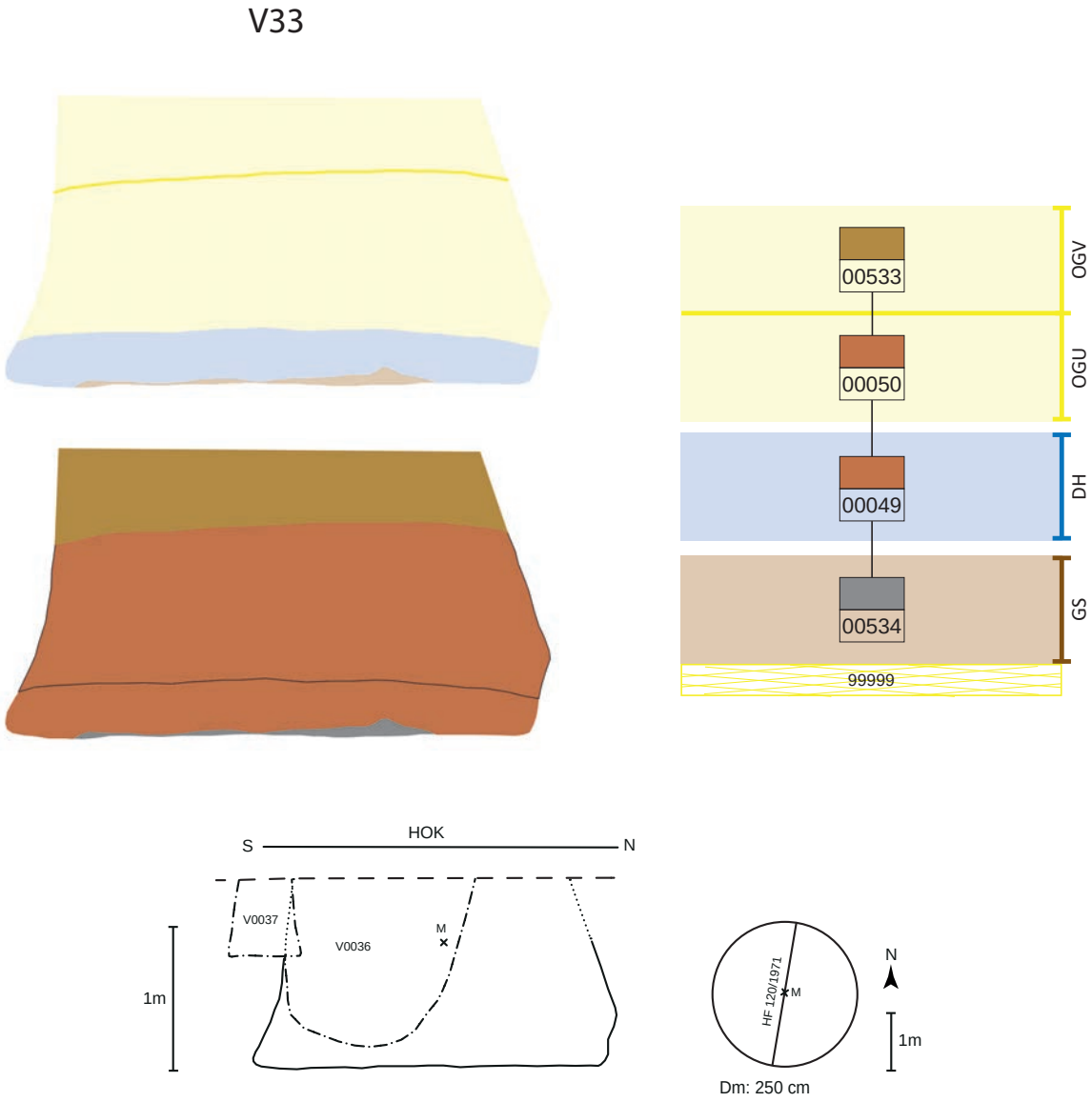
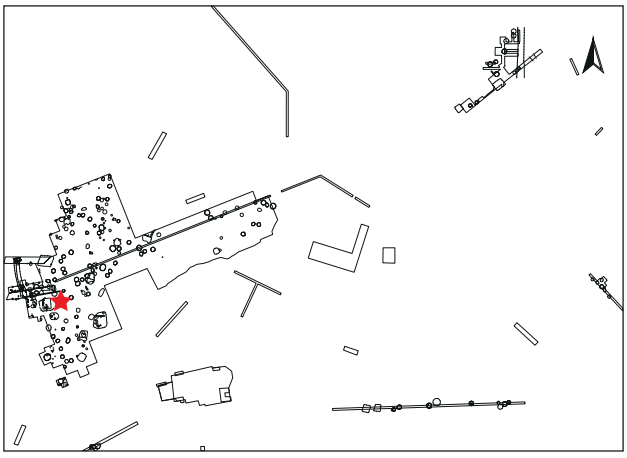


Abb. 241: V33, schematische Darstellung, Schnitt und Lage des Schnittes im Planum.

Objekt V43 – Kegelstumpfförmige Grube

Lage	Hügelfeld Quadranten E1, F0, F1, DE0, Riegel E1/F1, F0/F1, DE0/E1, DE0/F0
alte Objektnr.	Verf. 1A, 1b, 2
Literatur	Hellerschmid 2006. – Penz 2006.
Interfaces	
Signaturen (Schichtnrn.)	00032, 00042, 00043, 0046, 00337, 09035–09040



Dokumentationsniveaus/Plana

Plannr.	Planum	alte Verf.	Lage/Quadrant	vertikale Einmessung		
				Ausgangspunkt	relative Tiefe	absolute Höhe in müA
HF 18/1984	Planum 2	1A	DE0	NO DE0	-118 cm	198,68
HF 19/1984	Planum 3	1A	DE0	NO DE0	-140 cm	198,46
HF 22/1984	Planum 4	1A	DE0	NO DE0	-172 cm	198,14
HF 28/1984	Planum 5	1b	DE0	NO DE0	-184 cm	198,02
HF 31/1984	Planum 6	1b	DE0	NO DE0	-210 cm	197,76
HF 53/1984	Planum 1	1b	DE0/E1	NO DE0	-75 cm	199,16
HF 57/1984	Planum 2	1b	DE0/E1	NO DE0	-183 cm	198,03
HF 66/1984	Planum 1	1b	DE0/F0	NO DE0	-160 cm	198,26

Profile/Schnitte

Plannr.	alte Verf.	Hauptprofil		Schnitt	
		Orientierung	Lage/Quadrant	Bezeichnung	unter DOKN
HF 162/1971	2	Südprofil	F0		HOK
HF 164/1971	2	Ostprofil	F0		HOK
HF 184/1971	2	Südprofil	F0/F1		HOK
HF-W25/1981	o. Nr.	Nordprofil	E0		HOK
HF-W39/1981	o. Nr.	Ostprofil	E0		HOK
HF 33/1984	1b	Zwischenprofil	DE0	AB	Planum 6
HF 36/1984	1b	Ostprofil	DE0		HOK
HF 37/1984 (Abb. 242)	1b	Nordprofil	DE0		HOK
HF 61/1984 (Abb. 243)	1b	Nordprofil	DE0/E1		HOK
HF 61a/1984	1b	Ostprofil	DE0/E1		HOK
HF 61aa/1984	1b	Ostprofil	DE0/F0/E1/F1		HOK

Stratigraphie V43

Das Objekt V43 wird großflächig durch einen (mittelalterlichen) Keller (V41) bis in eine Tiefe von etwa 2,2 m unter der NO-Ecke von DE0 geschnitten (Abb. 244).

Grubenform

Wandverlauf	Sohlenverlauf	Übergang Sohle – Wand	primäre Nutzungsspuren
konische, teils nach innen, teils nach außen gewölbte Wand	relativ waagrechte Grubensohle, teils etwas unregelmäßig und leicht nach außen gewölbt	eckig bis leicht gerundet	

Größe und Fassungsvermögen V43

min. Dm. (d): Bereich Sign. 00032	120 cm
max. Dm. (D). Grubensohle	300 cm
max. erh. Grubentiefe (h)	150 cm
max. rek. Grubentiefe	250 cm
erh. rek. Fassungsraum der Grube	5,50 m³
rek. Fassungsraum der Grube	5,76 m³
archäolog. Datierung	Ha B3
Zuordnung zu Siedlungsphase	III/1



Abb. 242: V43: Nordprofil von Quadrant DE0 mit V43 (Grabungsdokumentation Stillfried, Landessammlung Niederösterreich, Bereich Ur- und Frühgeschichte, Fotonr. ST03214).



Abb. 243: V43: Nordprofil von Quadrant DE0, Riegel DE0/E1 und Quadrant E1. Zu sehen ist der untere Grubenbereich von V43 (Grabungsdokumentation Stillfried, Landessammlung Niederösterreich, Bereich Ur- und Frühgeschichte, Fotonr. ST03228).

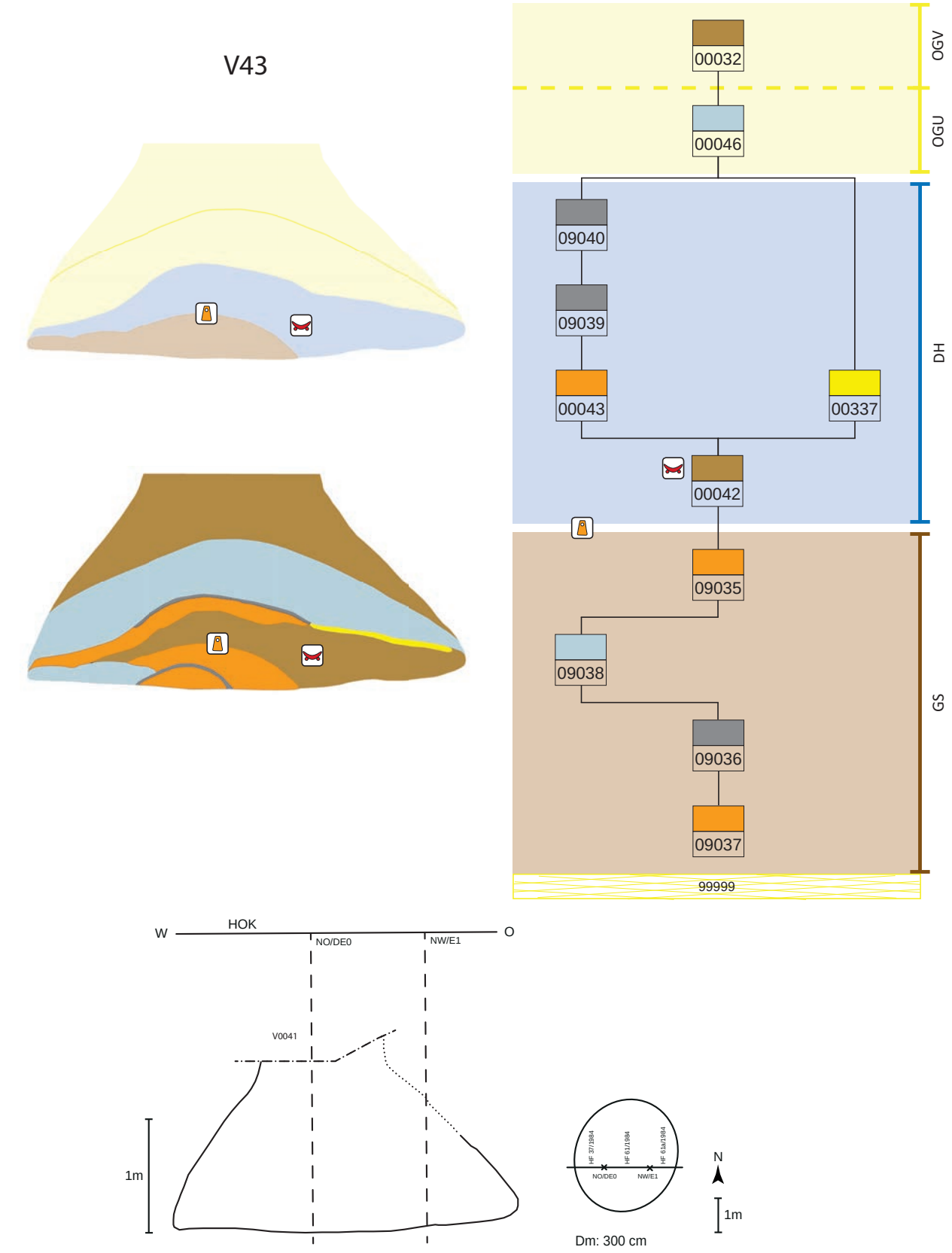


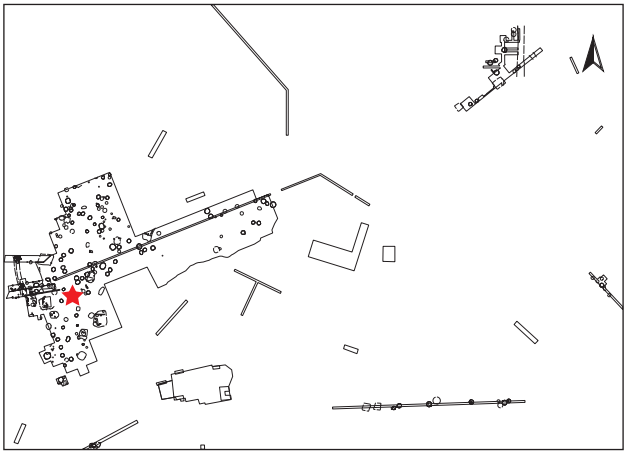
Abb. 244: V43, schematische Darstellung, Schnitt und Lage des Schnittes im Planum.

Schichtabfolge V43

Lage in der Grube	Sign.	Schicht-schlüssel	Beschreibung	Kurzbeschreibung	besondere Funde	Höhe ab Sohle in cm
direkt auf der Grubensohle						
	09037	2	verbrannter Hütten-lehm und Löß	Brandschutt, fundarm(?)		0–15
	09036	1	schmales Ascheband	Asche, fundarm(?)		0–16
	09038	11	im Westen Lage aus Asche und Löß, ca. 8 cm mächtig	Asche-Löß-Gemisch, eher fundarm(?)		0–16
	09035	2	verbrannter Hütten-lehm	Brandschutt, fundarm(?)		0–30
	09035 oder 00042				**pyramidenstumpf-förm. Webgewichtfrg.** (St. 12497)	
„Deponierungs-horizont“						
	00042	9	Mischung von Asche mit Löß und Humus-einschlüssen	v. a. Löß mit wenig Humus und Asche, fundreich	**Feuerbockteilstück** (St. 1235; Taf. 35/3)[1051]; Feuerbockfrg. (St. 12500[1052])	0–54
	00337	3	dünnes Lößband	Löß		30–50
	00043	2	verziegelte, verbrannte Lehmschicht	Brandschutt, fundarm(?)		10–60
	09039	1	Band aus Asche mit Holzkohle	Asche, fundarm(?)		43–64
unebene Oberkante, keine Deponierung	09040	1	Band aus Asche und viel Holzkohle	Asche, fundarm(?)		42–60
oberer Grubenbereich						
	00046	11	mächtige Ascheschicht	Asche-Löß-Gemisch, fundreich		40–100
	00032	9	lockere, humose Ein-füllung			ab 90

Objekt V52 – Kegelstumpfförmige Grube

Lage	Hügelfeld Quadrant F1, Riegel E1/F1, F1/F2
alte Objektnr.	Verf. 5
Literatur	Hellerschmid 2006.
Interfaces	
Signaturen (Schichtnrn.)	00064–00068, 10282–10287



1051. Penz 2006, Taf. 2/1; siehe auch Skizze von Befundsituation auf Plan HF 184/1971.

1052. Laut Inventarliste, nicht auffindbar.

Dokumentationsniveaus/Plana

Plannr.	Planum	alte Verf.	Lage/Quadrant	vertikale Einmessung		
				Ausgangspunkt	relative Tiefe	absolute Höhe in müA
HF 68/1971	Planum 2	5	F1	SO F1	-66 cm	198,91
HF 80/1971	Planum 3	5	F1	SO F1	-90 cm	198,67
HF 144/1971	Planum 2	5	F1/F2	NW F1	-107 cm	198,61
HF 170/1971	Planum 1	5	F1/F2	NW F2	-50 cm	198,93

Profile/Schnitte

Plannr.	alte Verf.	Hauptprofil		Schnitt	
		Orientierung	Lage/Quadrant	Bezeichnung	unter DOKN
HF 79/1971	5	Zwischenprofil	F1	AB	Planum 3
HF 79/1971	5	Zwischenprofil	F1	BC	Planum 3
HF 102/1971 (Abb. 246)	5	Ostprofil	F1		HOK
HF 102/1971 (Abb. 245, 246)	5	Südprofil	F1		HOK

Stratigraphie V52

Das Objekt V52 wurde bis in eine Tiefe von 1,1 m unter der SO-Ecke von F1 durch ein wannenförmiges Objekt (V51) gekappt (Abb. 245, 247). Dieses durchschneidet den grauen Humus. Es wird seinerseits an der Oberkante gekappt. Darüber lagert rezenter Humus.



Abb. 245: V52: Ausschnitt des Südprofils des Quadranten F1 und des Riegels F1/F2 mit V52 (Grabungsdokumentation Stillfried, Landessammlung Niederösterreich, Bereich Ur- und Frühgeschichte, Fotonr. ST00293).



Abb. 246: V52: Ost- und Südprofil des Quadranten F1 mit V52 (Grabungsdokumentation Stillfried, Landessammlung Niederösterreich, Bereich Ur- und Frühgeschichte, Fotonr. ST00250).

Grubenform

Wandverlauf	Sohlenverlauf	Übergang Sohle – Wand	primäre Nutzungsspuren
flachkonischer bis konischer Wandverlauf	waagrechte Grubensohle	eckig bis gerundet	Wandverputz? (Sign. 10286)

Größe und Fassungsvermögen V52

min. Dm. (d): Bereich Sign. 00068	ca. 220 cm
max. Dm. (D): Grubensohle	ca. 320 cm
max. erh. Grubentiefe (h) (rek. unter HUK)	180 cm
max. rek. Grubentiefe	215 cm
min. erh. Dm. (rek. unter HUK)	100 cm
erh. rek. Fassungsraum der Grube	6,80 m³
rek. Fassungsraum der Grube	6,96 m³
archäolog. Datierung	Ha B2
Zuordnung zu Siedlungsphase	II

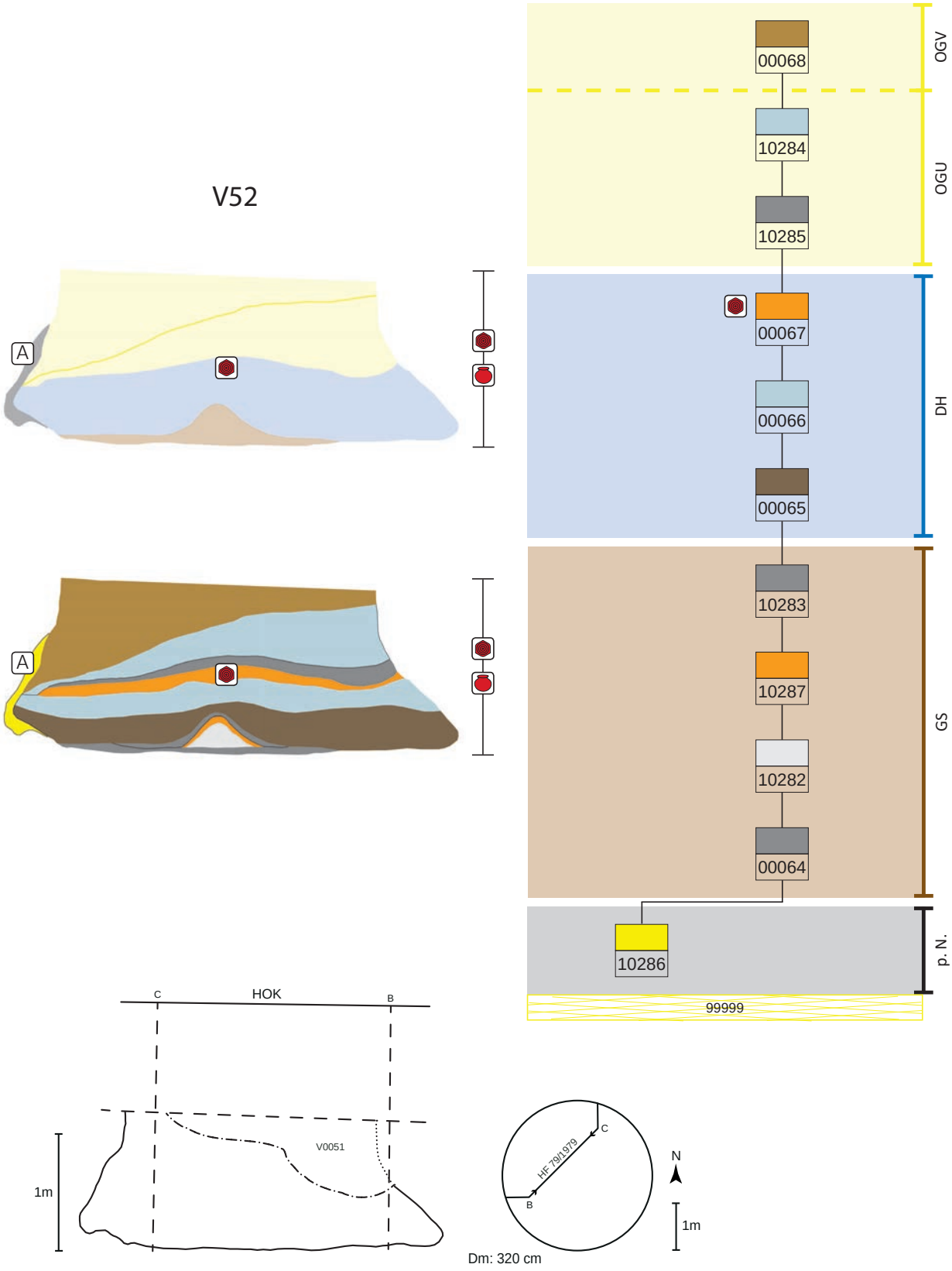


Abb. 247: V52, schematische Darstellung, Schnitt und Lage des Schnittes im Planum.

Schichtabfolge V52

Lage in der Grube	Sign.	Schicht-schlüssel	Beschreibung	Kurzbeschreibung	besondere Funde	Höhe ab Sohle in cm
primäre Nutzungs-spuren	10286	3 A	helles, gelbes, lehmiges Material	Löß-Lehm, Wandver-putz (?)		
direkt auf der Grubensohle						
	00064	1	Asche mit Holzkohle	Asche, fundarm		0–28
	10282	13	Schüttkegel aus weißer Asche	Asche fundarm		
	10287	2	rot-verziegeltes Band	Brandschutt		
	10283	1	helle Ascheschicht mit Holzkohle und Knochen	Asche, eher fundreich(?)		
„Deponierungs-horizont“						
	00065	4	humose Verfüllung	Humus, fundarm		0–60
	00066	11	lößhältige Verfüllung, stark mit Asche, Hüt-tenlehm und Keramik durchsetzt	Löß-Brandschutt-Gemisch		
unebene Oberkante, keine Deponierung	00067	2	Band aus verziegeltem Lehm und Asche	Brandschutt, fundarm	**zungenförm. Ton-lappen**[1053] (St. 1161; Taf. 35/4)	
oberer Grubenbereich						
	10285	1	Bänder aus Asche und Löß	Asche, Löß-Asche, eher fundarm		ab 35
	10284	11	mächtige Löß-Lehm-Asche-Schicht	Löß-Lehm-Asche-Schicht, fundreich		
	00068	9	locker-humose Ver-füllung			
			keine Schichtzuord-nung möglich		**verziertes Aufsatz-gefäß?**[1054] (St. 944; Abb. 73, 74); **Miniaturschüssel**[1055] (St. 944)	

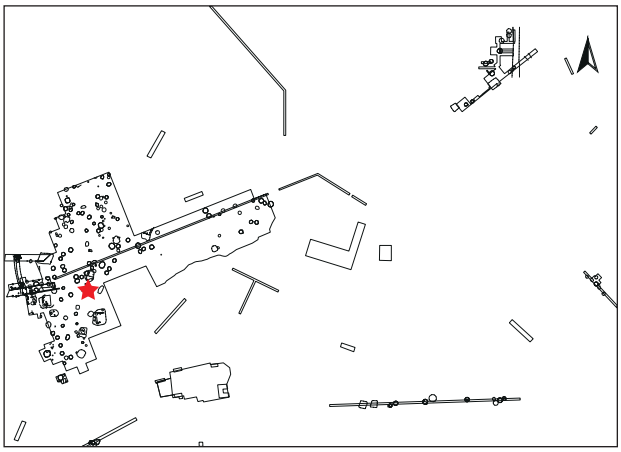
1053. Hellerschmid 2006, Taf. 13/1.

1054. Hellerschmid 2006, Taf. 13/3.

1055. Hellerschmid 2006, Taf. 13/5.

Objekt V67 – Kegelstumpfförmige Grube mit Hausschwein und vollständigen Gefäßen

Lage	Hügelfeld Quadranten E3, F3, Profilriegel E3/F3
alte Objektnr.	Verf. 4, 7
Literatur	Pucher 1986, 42–44. – Heiling-Schmoll 1987, 78–85. – Hellerschmid 2006. – Hellerschmid, Griebl in Vorbereitung. – Pucher in Vorbereitung.
Interfaces	1094, 1288
Signaturen (Schichtnrn.)	00440–00443



Dokumentationsniveaus/Plana

Plannr.	Planum	alte Verf.	Lage/Quadrant	vertikale Einmessung		
				Ausgangspunkt	relative Tiefe	absolute Höhe in müA
HF 8/1972	über Planum 1	4	E3	NW E3	-62 cm	199,05
HF 97/1972	Planum 1	4	E3/F3	NW E3	-40 cm	199,27
HF 9/1972	Planum 1	4	E3	NW E3	-70 cm	198,97
HF 100/1972	Planum 2	4	E3/F3	NW E3	-80 cm	198,87
HF 50/1972	Planum 2	4	E3	NW E3	-120 cm	198,47

Profile/Schnitte

Plannr.	alte Verf.	Hauptprofil		Schnitt	
		Orientierung	Lage/Quadrant	Bezeichnung	unter DOKN
HF 63/1972 (Abb. 248)	4	Nordprofil	E3		HOK
HF 101/1971	7	Südprofil	F3		HOK
HF 51/1972	4	Zwischenprofil	E3	OP	Planum 2
HF 51/1972	4	Zwischenprofil	E3	QR	Planum 2

Stratigraphie V67

Das Objekt V67 wird im Westen durch die urzeitliche Grube V2088 gestört (Abb. 248, 249).

Grubenform

Wandverlauf	Sohlenverlauf	Übergang Sohle – Wand	primäre Nutzungsspuren
konisch	waagrecht	gerundet	Mulde unter der Grubensohle, Zweck unklar

Größe und Fassungsvermögen V67

min. Dm. (d): Bereich Sign. 00443	170 cm
max. Dm. (D): Sign. 00441	250 cm
max. erh. Grubentiefe (h)	90 cm
max. rek. Grubentiefe	ca. 180 cm
erh. rek. Fassungsraum der Grube	3,15 m³
rek. Fassungsraum der Grube	4,09 m³
archäolog. Datierung	Ha B2
Zuordnung zu Siedlungsphase	II

Schichtabfolge V67

Lage in der Grube	Sign.	Schicht-schlüssel	Beschreibung	Kurzbeschreibung	besondere Funde	Höhe ab Sohle in cm
unter der Grubensohle	00440	3	etwas dezentral angelegte Mulde, mit Löß gefüllt	seichte Mulde unter der Grubensohle		-15–0
direkt auf der Grubensohle						
annähernd waagrechte Oberkante	00441	3	Lößeinfüllung	Lößschicht		0–25
„Deponierungs-horizont“						
Tierdeposition	IF1288	D	Deponierung eines jungen, männlichen Hausschweines[1056]	**Schweinedeponierung am östlichen Grubenrand**		10–20
Deponierung (gemischt)	IF1094	D	Anhäufung großer Keramikscherben von sechs (Groß)Gefäßen[1057] und weiterer Gegenstände	Ablegen unterschiedlicher Gegenstände auf der Deponierungsebene, darunter die Scherben von 2 Vorratsgefäßen, 4 Töpfen und 2 Schalen	**Ganzgefäße** (Töpfe, St. 1636, 1460); **Rehkrickerl** (St. 1636); **pyramidenstumpfförm. Webgewicht** (St. 1636, 1642); **Bronzereste** (St. 1458); **Polierstein** (St. 1460)	
	00442	2	abdeckender Brandschutt	Brandschutt, fundreich		8–40
oberer Grubenbereich						
	00443	9	Löß-Humus-Gemisch	humos-lößige Füllung		18–80

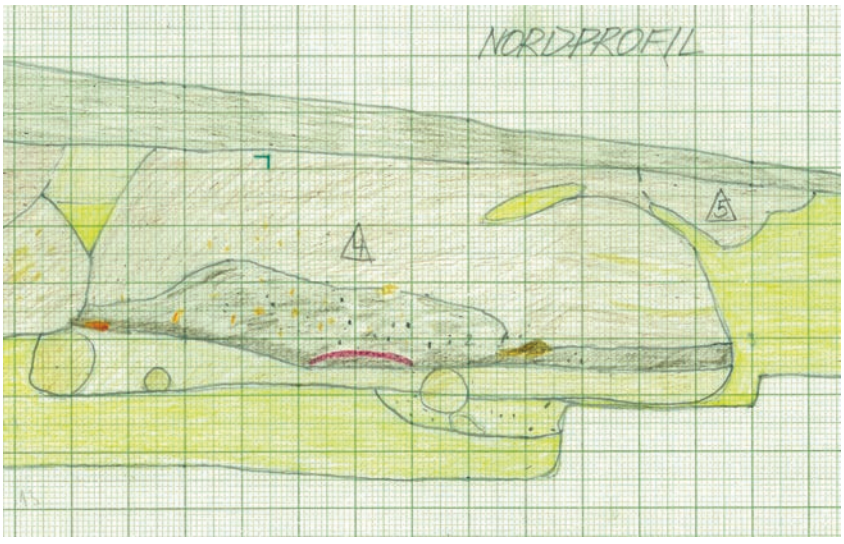


Abb. 248: V67 im Nordprofil von Quadrant E3. An der Oberkante von Schicht 00441 (= Deponierungshorizont) ist im Zentrum eine große Scherbe der Keramiklage IF1094 gut zu erkennen (in roter Farbe; Zeichnung: G. Fuchs, Universität Wien, Plannr. HF 63/1972).

1056. FNr. St. 1460. – Pucher 1986, 42, 43.

1057. Ein Topf konnte vollständig zusammengesetzt werden, Hellerschmid 2006 (Keramik, Beschreibung).

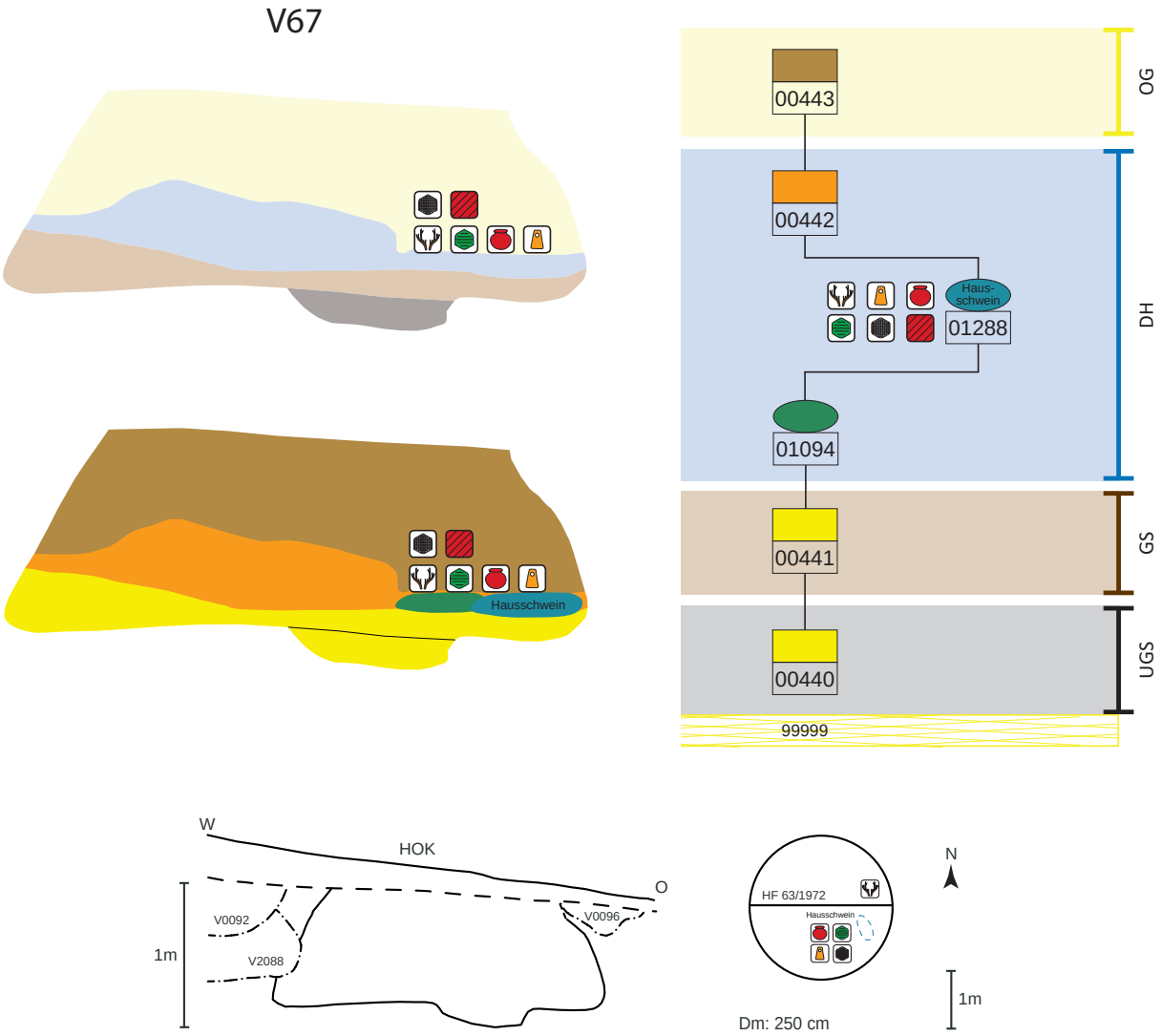
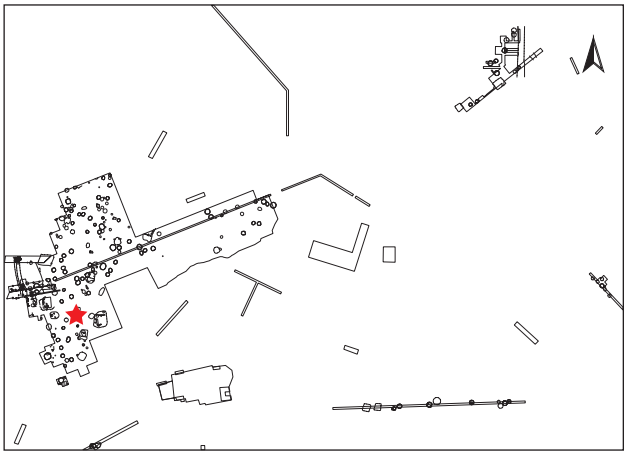


Abb. 249: V67, schematische Darstellung, Schnitt und Lage des Schnittes im Planum.

Objekt V106 – Kegelstumpfförmige Grube

Lage	Hügelfeld Quadrant D1
alte Objektnr.	Verf. 3, 3b
Literatur	Hellerschmid-Artner 1997, 37 und Taf. 5. – Hellerschmid 2006.
Interfaces	
Signaturen (Schichtnrn.)	00444–00446, 10204–10207, 10360



Dokumentationsniveaus/Plana

Plannr.	Planum	alte Verf.	Lage/Quadrant	vertikale Einmessung		
				Ausgangspunkt	relative Tiefe	absolute Höhe in müA
HF 1/1972	Planum 1	3b	D1	NW D1	-40 cm	199,45
HF 14/1972	Planum 2	3	D1	SO D1	-61 cm	199,24
HF 21/1972	Planum 3	3	D1	SO D1	-195 cm	197,90

Profile/Schnitte

Plannr.	alte Verf.	Hauptprofil		Schnitt	
		Orientierung	Lage/Quadrant	Bezeichnung	unter DOKN
HF 87/1972 (Abb. 250)	3	Zwischenprofil	D1	AB	HOK

Stratigraphie V106

Im Osten wird das Objekt durch eine pfostengrubenartige Vertiefung (V107) bis in eine Tiefe von etwa 1,1 m unter der NW-Ecke von Quadrant D1 angeschnitten (Abb. 251). In unbekannter Zeit wurde von Westen kommend bis in eine Tiefe von 125 cm unter der NW-Ecke von D1 in das Objekt eingegraben (bis ca. 80 cm über der Sohle, Sign. 10360; Abb. 250, 251).

Grubenform

Wandverlauf	Sohlenverlauf	Übergang Sohle – Wand	primäre Nutzungsspuren	Auffälligkeiten
steilkonischer Wandverlauf, teils nach außen gewölbte Wand	leicht nach außen gewölbte Grubensohle	gerundet	verkohlte Überreste der Einfüllung(?) (Sign. 10206, 10207); zwei Eintiefungen in die Grubensohle mit gebranntem Lehm (Sign. 00444, 00445)	zentrale Störung innerhalb des Objekts (Zeitpunkt unklar, Sign. 10360)



Abb. 250: V106: Zwischenprofil AB in Quadrant D1 (Grabungsdokumentation Stillfried, Landessammlung Niederösterreich, Bereich Ur- und Frühgeschichte, Fotonr. ST29580).

Größe und Fassungsvermögen V106

min. Dm. (d): Bereich Sign. 446	140 cm
max. Dm. (D): Bereich Sign. 10204 und 0446, knapp über Grubensohle	258 cm
max. erh. Grubentiefe (h)	160 cm
max. rek. Grubentiefe	210 cm
min. rek. Dm. (bei HUK)	120 cm
erh. rek. Fassungsraum der Grube	4,69 m³
rek. Fassungsraum der Grube	5,00 m³
archäolog. Datierung	Ha A2/B1, B1
Zuordnung zu Siedlungsphase	I

Schichtabfolge V106

Lage in der Grube	Sign.	Schicht-schlüssel	Beschreibung	Kurzbeschreibung	besondere Funde	Höhe ab Sohle in cm
unter der Grubensohle						
primäre Nutzungs-spuren?	0444	5	rot-braun gebrannter Lehm	gebrannte Lehmplatte		-3–0
primäre Nutzungs-spuren?	0445	5	rot-braun gebrannter Lehm	gebrannte Lehmplatte		-3–0
direkt auf der Grubensohle						
	10206	1	schmales schwarzes Band	Reste ehemaligen organischen Materials, fundarm		0–4
	10207	1	schmales schwarzes Band	Reste ehemaligen organischen Materials, fundarm		0–4
„Deponierungs-horizont“						
	10205	4	Kegel aus humosem Material	Humus, fundarm		0–32
abschließend kleine Plattform; keine Deponierung	10204	14	mehrere abwechselnde Bänder aus humosem Material und Asche	Humus, Asche, eher fundarm		4–84
oberer Grubenbereich						
	00446	14	mehrere Bänder humosen Materials und Löß	Humus, Löß, eher fundarm	**Bronzeblechaufsatz** (St. 1392; Taf. 36/2)	4–140
			Funde ohne genaue Schichtzuordnung:	**Miniaturgefäß**[1058] (St. 1590); **Reibplattenfrg.** (St. 1604; Taf. 36/1)		
zentraler nachträglicher Eingriff (β)	10360 β	9	einheitliches, braun-humoses Material	Humus, fundarm		bis ca. 80 über Sohle

1058. Hellerschmid 2006, Taf. 17/3.

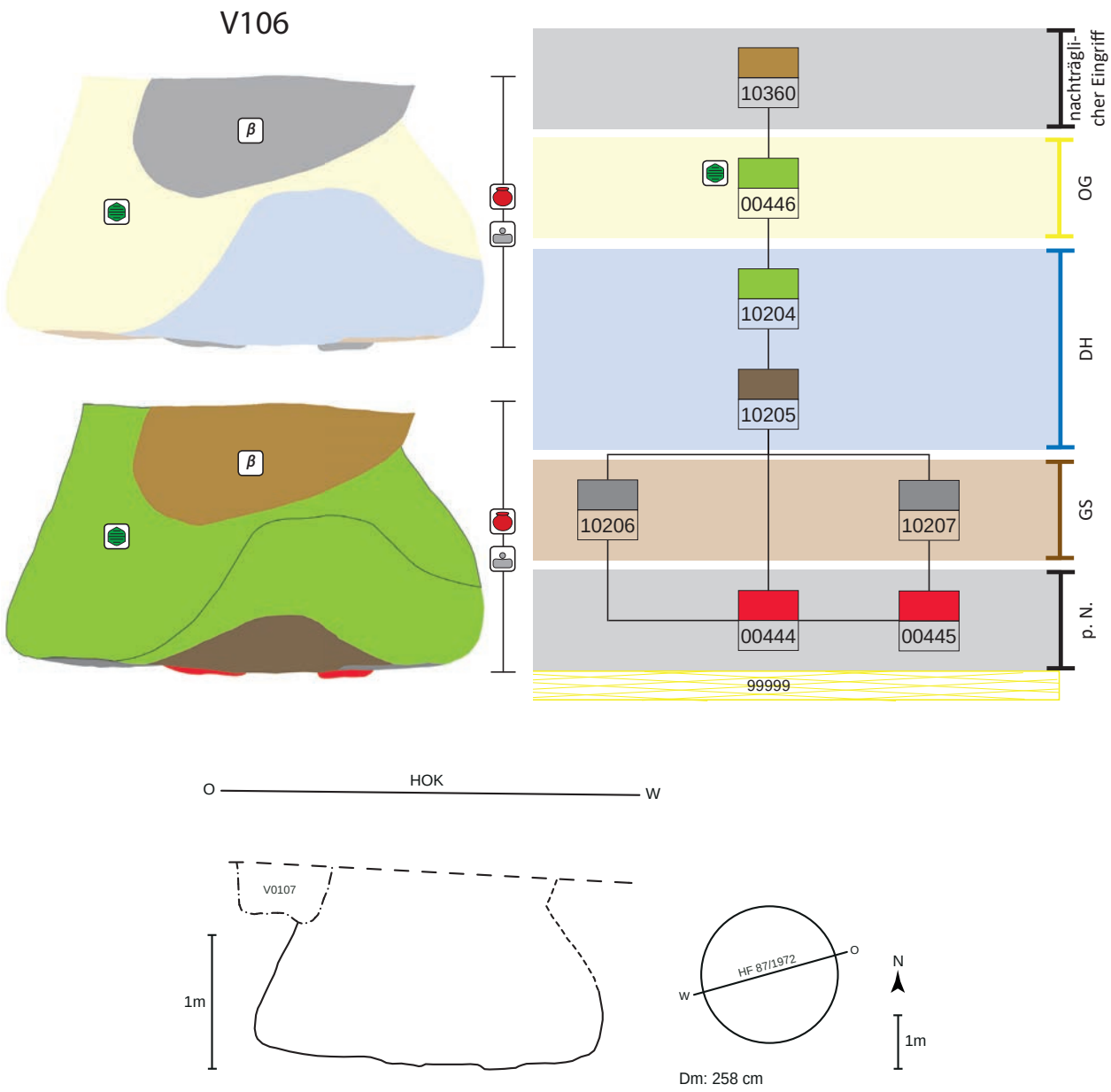
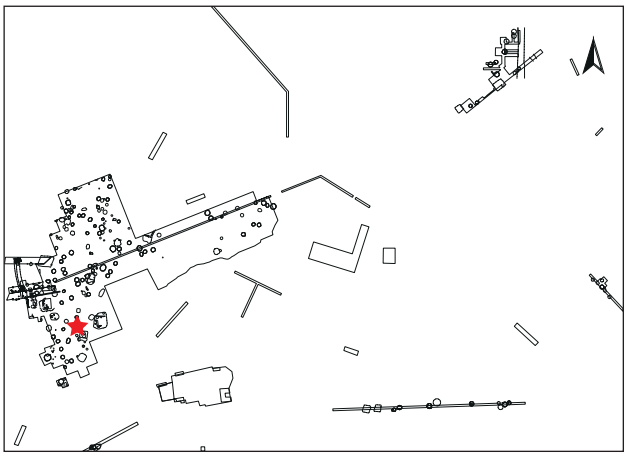


Abb. 251: V106, schematische Darstellung, Schnitt und Lage des Schnittes im Planum.

Objekt V119 – Kegelstumpfförmige Grube

Lage	Hügelfeld Quadrant C1
alte Objektnr.	Verf. 2
Literatur	Artner 1990, 44–45 und Taf. 8. – Hellerschmid 2006. – Penz 2006.
Interfaces	
Signaturen (Schichtnrn.)	00447–00453, 10288–10291



Dokumentationsniveaus/Plana

Plannr.	Planum	alte Verf.	Lage/Quadrant	vertikale Einmessung		
				Ausgangspunkt	relative Tiefe	absolute Höhe in müA
HF 52/1971	Planum 2	2	C1	NW C1	-40 cm	199,20

Profile/Schnitte

Jahrgang	alte Verf.	Hauptprofil		Schnitt	
		Orientierung	Lage/Quadrant	Bezeichnung	unter DOKN
HF 71/1971 (Abb. 252)	2	Zwischenprofil	C1	EW	Planum 2
HF 72/1971	2	Zwischenprofil	C1	NS	Planum 2

Stratigraphie V119

Objekt 119 erscheint ungestört (Abb. 252, 253).

Grubenform

Wandverlauf	Sohlenverlauf	Übergang Sohle – Wand	primäre Nutzungsspuren	Auffälligkeiten
im unteren Bereich auslaufend, dann teils senkrecht; darüber flachkonischer Wandverlauf	waagrechte bis leicht nach außen gewölbte Grubensohle	gerundet	eventuell verrottete Überreste der letzten Einfüllung? (Sign. 00447)	erhöhte Stufe in der Sohle im Westen (ca. 20 cm hoch)

Größe und Fassungsvermögen V119

min. Dm. (d): Bereich Sign. 453	ca. 100 cm
max. Dm. (D). Bereich Sign. 450	ca. 220 cm
max. erh. Grubentiefe (h)	105 cm
max. rek. Grubentiefe	135 cm
erh. rek. Fassungsraum der Grube	2,21 m³
rek. Fassungsraum der Grube	2,35 m³
archäolog. Datierung	Ha B3
Zuordnung zu Siedlungsphase	III/1

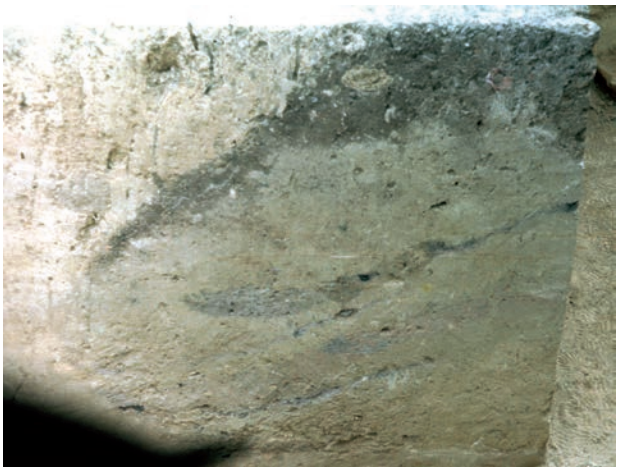


Abb. 252: Osthälfte von V119 im Zwischenprofil EW in Quadrant C1 (Grabungsdokumentation Stillfried, Landessammlung Niederösterreich, Bereich Ur- und Frühgeschichte, Fotonr. ST00163).

Schichtabfolge V119

Lage in der Grube	Sign.	Schicht-schlüssel	Beschreibung	Kurzbeschreibung	besondere Funde	Höhe ab Sohle in cm
direkt auf der Grubensohle	00447	4	schmales Band aus dunklem, organischem Material	verrottete Überreste der letzten Einfüllung(?), fundarm		0–3
„Deponierungs-horizont“?						
	00448	3	Lößschicht	Löß, fundarm		0–36
	10288	1	schmales Ascheband mit Holzkohle	Asche, fundarm		0–37
	10289	3	Lößschicht	Löß, fundarm		0–47
	00449	2	rötlich-graue, lehmig-aschige Schicht mit Holzkohleflittern	Brandschutt, eher fundarm		0–51
	00450	3	Lößschicht	Löß, fundarm		0–61
	10290	1	schmales Ascheband mit Holzkohle	Asche, eher fundarm		0–62
	10291	3	Lößschicht	Löß, fundarm		0–67
unebene Oberkante, keine Deponierung	00451	17	humos-aschige Schicht mit Hüttenlehm und viel Holzkohle sowie Keramik	Humus-Brandschutt, fundreich	**pyramidenstumpfförm. Webgewichtfrg.**[1059] (St. 746); **Feuerbockfrg.**[1060] (St. 749); **verziertes Tondüsenfrg.**[1061] (St. 749; Taf. 36/4)	0–70
oberer Grubenbereich						
	0452	3	feste Lößschicht mit Holzkohle und Keramik	Löß, fundreich		24–90
	0453	9	humose Einfüllung mit Lößbrocken und Hüttenlehm	Humus-Lößbrocken-Hüttenlehm-Gemisch, eher fundarm(?)		26–106

1059. Penz 2006, Taf. 2/3.

1060. Im Museum Stillfried.

1061. Penz 2006, Taf. 9/2, wahrscheinlich zu Tondüsenmundstück aus V198 gehörend (siehe ebendort).

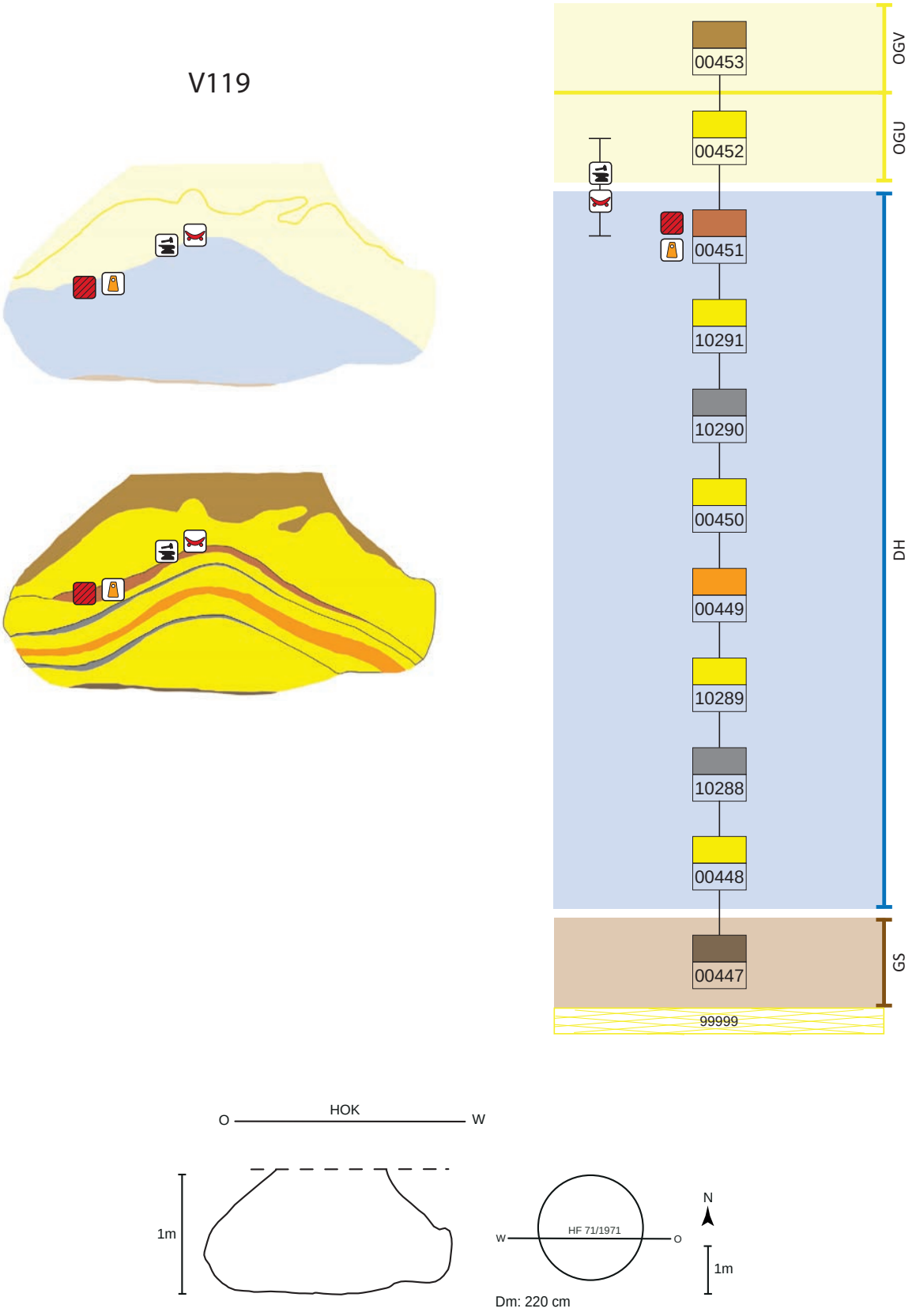
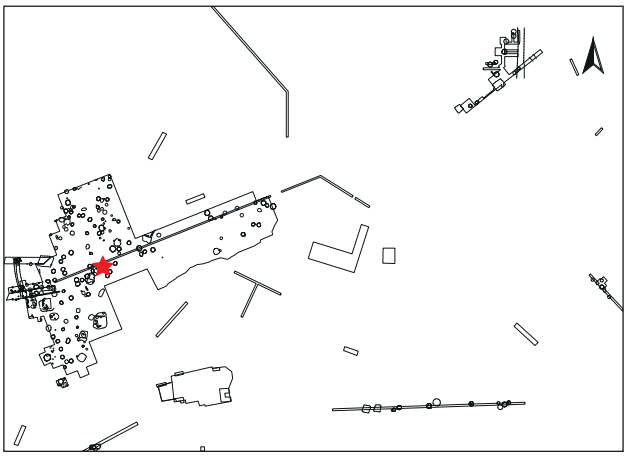


Abb. 253: V119, schematische Darstellung, Schnitt und Lage des Schnittes im Planum.

Objekt V156 – Siedlungsgrube

Lage	Hügelfeld Quadrant G5
alte Objektnr.	Verf. 6, 6A
Literatur	Hellerschmid-Artner 1997. – Hellerschmid 2006.
Interfaces	
Signaturen (Schichtnrn.)	00483–00485; 10292–10294



Dokumentationsniveaus/Plana

Plannr.	Planum	alte Verf.	Lage/Quadrant	vertikale Einmessung		
				Ausgangspunkt	relative Tiefe	absolute Höhe in müA
HF 2/1973	Planum 1	6	G5	NW G5	-45 cm	198,24
HF 3/1973 (Abb. 254)	Planum 2	6	G5	NW G5	-75 cm	197,94
HF 29/1973 (Abb. 254)	Planum 3	6	G5	NW G5	-125 cm	197,44
HF 47/1973	Planum 4	6A	G5	NW G5	-155 cm	197,14

Profile/Schnitte

Plannr.	alte Verf.	Hauptprofil		Schnitt	
		Orientierung	Lage/Quadrant	Bezeichnung	unter DOKN
HF 16/1973	6	Zwischenprofil	G5	AB	Planum 1
HF 17/1973	6	Zwischenprofil	G5	CD	Planum 1
HF 17/1973	6	Zwischenprofil	G5	EF	Planum 1
HF 31/1973 (Abb. 254)	6	Zwischenprofile	G5	GAH und AB	Planum 3

Stratigraphie V156

Im Westen und Süden wird Objekt V156 durch grubenförmige Objekte (V157, V159) gestört.[1062]

Grubenform

Wandverlauf	Sohlenverlauf	Übergang Sohle – Wand	primäre Nutzungsspuren
annähernd senkrechte Wand, leicht ausladend	waagrechte Grubensohle	gerundet	

1062. Grabungsplan HF 29/1973.



Abb. 254: V156: Quadrant G5 mit Planum 2 und 3 und den Zwischenprofilen (Grabungsdokumentation Stillfried, Landessammlung Niederösterreich, Bereich Ur- und Frühgeschichte, Fotonr. ST00486).

Größe und Fassungsvermögen V156

max. Dm.: Bereich Sign. 484	ca. 370 cm
Dm. (D): Grubensohle	ca. 330 cm
max. erh. Grubentiefe (h)	85 cm
max. erh. Grubentiefe unter HOK	118 cm
erh. rek. Fassungsraum der Grube	8,18 m³
archäolog. Datierung	Ha A2/B1, B1
Zuordnung zu Siedlungsphase	I

Schichtabfolge V156

Lage in der Grube	Sign.	Schicht-schlüssel	Beschreibung	Kurzbeschreibung	besondere Funde	Höhe ab Sohle in cm
direkt auf der Grubensohle						
	10292	1	grau-aschige Schicht mit Holzkohleflittern	Asche, fundarm		0–38
	10293	2	verziegelter Lehm	Brandschutt, fundarm		0–30
„Deponierungs-horizont“						
	00483	1	Schicht aus hellgrauer Asche mit Holzkohle	Asche, fundreich	**Feuerbockfrg.** (St. 1930)[1063]; **halbes Tonringfrg.**[1064](St. 1856); **pyramidenstumpfförm. Webgewichtfrg.** (St. 1887)	2–26
keine Deponierung	10294	1	Schicht aus schwarzer Asche	Asche, fundarm(?)		12–16

1063. Penz 2006, Taf. 7/1.
1064. Penz 2006, Taf. 7/2.

Lage in der Grube	Sign.	Schicht-schlüssel	Beschreibung	Kurzbeschreibung	besondere Funde	Höhe ab Sohle in cm
oberer Grubenbereich						
	00484	9	überwiegend humoses Material, unterbrochen durch zwei Asche-schichten	Humus, fundreich	**2 pyramiden-stumpfförm. Webge-wichtfrg.**[1065](St. 1863); **halber, verzierter Tonring** (St. 1863;[1066] Taf. 37/5 u. Abb. 87, 88); **5–6 Bronzeringe**[1067] (St. 1862)	12–oben
	0485	3	Lößeinfüllung	Löß, fundleer		ab 32

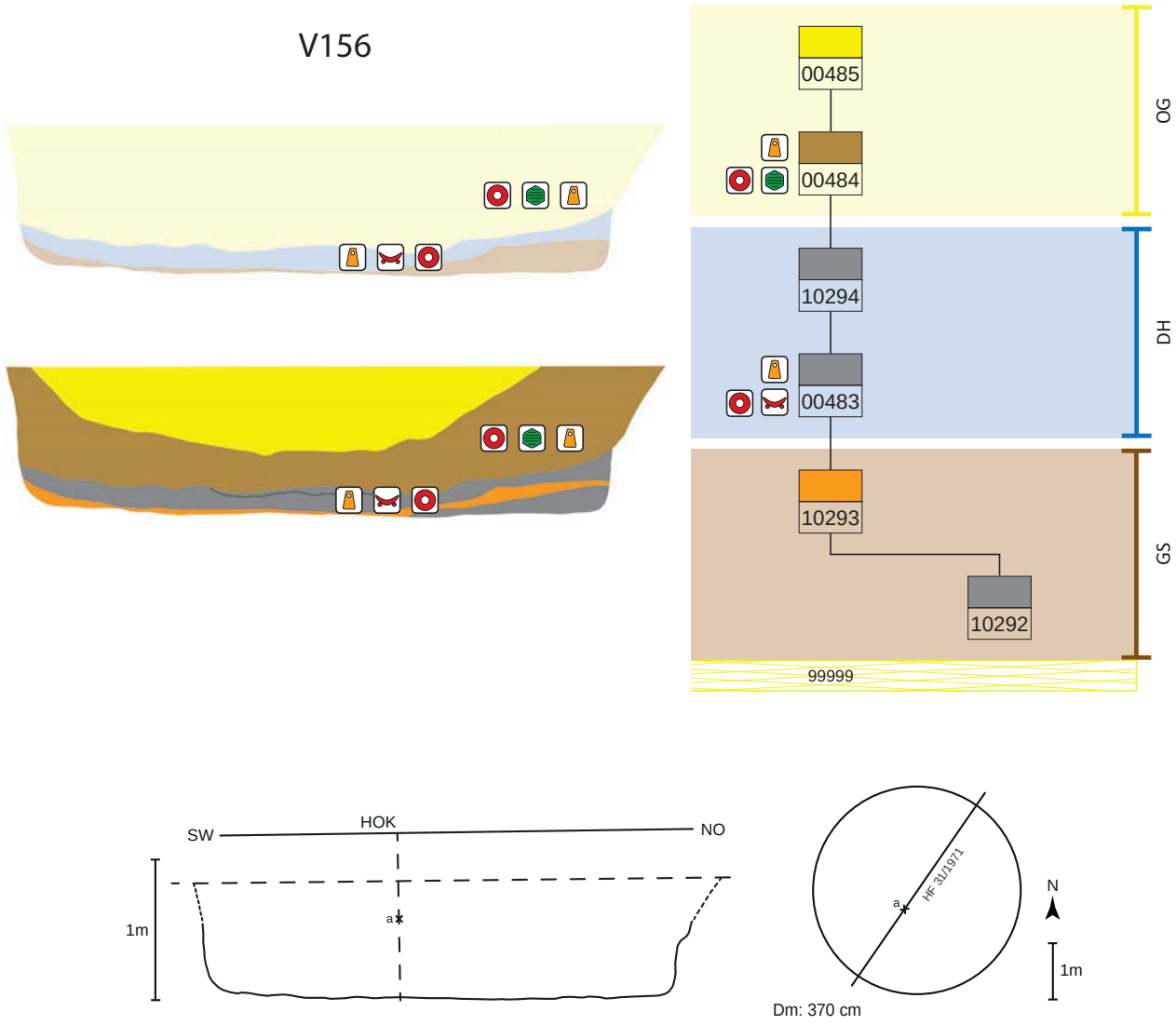
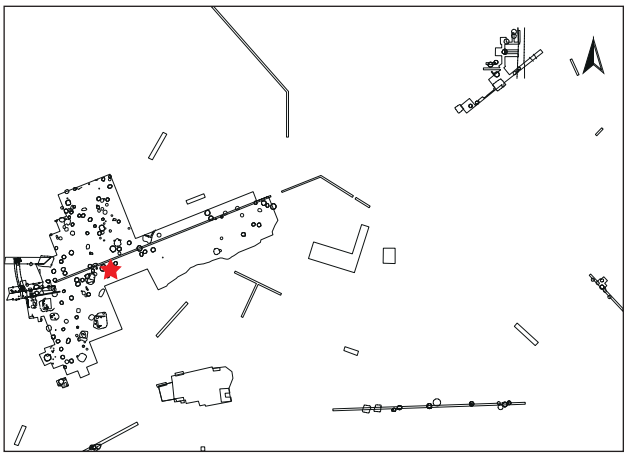


Abb. 255: V156, schematische Darstellung, Schnitt und Lage des Schnittes im Planum.

1065. Penz 2006, Taf. 6/3; 7/3.
1066. Penz 2006, Taf. 7/4.
1067. Laut Inventarliste, nicht auffindbar.

Objekt V164 – Kegelstumpfförmige Grube

Lage	Hügelfeld Quadranten F5, G5, Riegel F5/F6, F5/G5, G5/G6, Riegelkreuz F5/F6/G5/G6
alte Objektnr.	Verf. 4, 7, 11
Literatur	Hellerschmid-Artner 1997. – Hellerschmid 2006. – Penz 2006.
Interfaces	
Signaturen (Schichtnrn.)	00486, 10295–10297



Dokumentationsniveaus/Plana

Plannr.	Planum	alte Verf.	Lage/Quadrant	vertikale Einmessung		
				Ausgangspunkt	relative Tiefe	absolute Höhe in müA
HF 3/1973	Planum 2	7	G5	NW G5	-65 cm	198,04
HF 8/1973	Planum 1	4	F5	NW F5	-110 cm	197,67
HF 29/1973	Planum 3	11	G5	NW G5	-95 cm	197,74
HF 64/1973	Planum 1	11	G5/G6	NW G5/6	-82 cm	197,53
HF 68/1973	Planum 1	11	F5/G5	NW F5	-80 cm	197,97

Profile/Schnitte

Plannr.	alte Verf.	Hauptprofil		Schnitt	
		Orientierung	Lage/Quadrant	Bezeichnung	unter DOKN
HF 10/1973	7	Zwischenprofil	G5	WO	Planum 2
HF 48/1973	7	Südprofil	G5		HOK
HF 48/1973	7	Ostprofil	G5		HOK
HF 51/1973	4	Ostprofil	F5		HOK
HF 71/1973	4	Nordprofil	F5		HOK
HF 78/1973	4	Profilriegel-Ost	F5/G6		HOK
HF 78/1973	4	Profilriegel-Süd	F5/F6		HOK

Stratigraphie V164

Objekt V164 erscheint im oberen Bereich gekappt. Darüber lagert rezenter Humus (Abb. 256).

Grubenform

Wandverlauf	Sohlenverlauf	Übergang Sohle – Wand	primäre Nutzungsspuren
steilkonischer Wandverlauf	waagrechte Grubensohle	gerundet	

Größe und Fassungsvermögen V164

min. Dm. (d): Bereich Sign. 486	190 cm
max. Dm. (D): Grubensohle	215 cm
max. erh. Grubentiefe (h)	80 cm
max. rek. Grubentiefe	180 cm
erh. rek. Fassungsraum der Grube	2,58 m³
rek. Fassungsraum der Grube	3,73 m³
archäolog. Datierung	Ha A2/B1, B1
Zuordnung zu Siedlungsphase	I

Schichtabfolge V164

Lage in der Grube	Sign.	Schicht-schlüssel	Beschreibung	Kurzbeschreibung	besondere Funde	Höhe ab Sohle in cm
direkt auf der Grubensohle	10297	9	humose, unterschiedlich mächtige Einfüllung	Humus-Löß-Gemisch, fundarm(?)		0–70
„Deponierungs-horizont“						
	10296	2	feste, inhomogene Verfüllung mit vielen Hüttenlehmstücken und Holzkohleflittern	Brandschutt, fundreich	**Silexkratzer**[1068] (St. 1780)	0–22
keine waagrechte Oberkante, keine Deponierung	10295	1	schmale, dunkle Ascheschicht mit Hüttenlehmstücken und Holzkohleflittern	Brandschutt, fundreich	**Tonring** (St. 2014)[1069]	5–24
oberer Grubenbereich						
	00486	17	lockere, hellgraue Einfüllung aus Asche mit Hüttenlehmstückchen und Holzkohleflittern	Brandschutt, fundreich		6–80
			Funde ohne genaue Schichtzuordnung	**Reibplattenfrg.**[1070] (St. 2019); **pyramidenstumpfförm. Webgewicht** (Unterteil; St. 2035)		

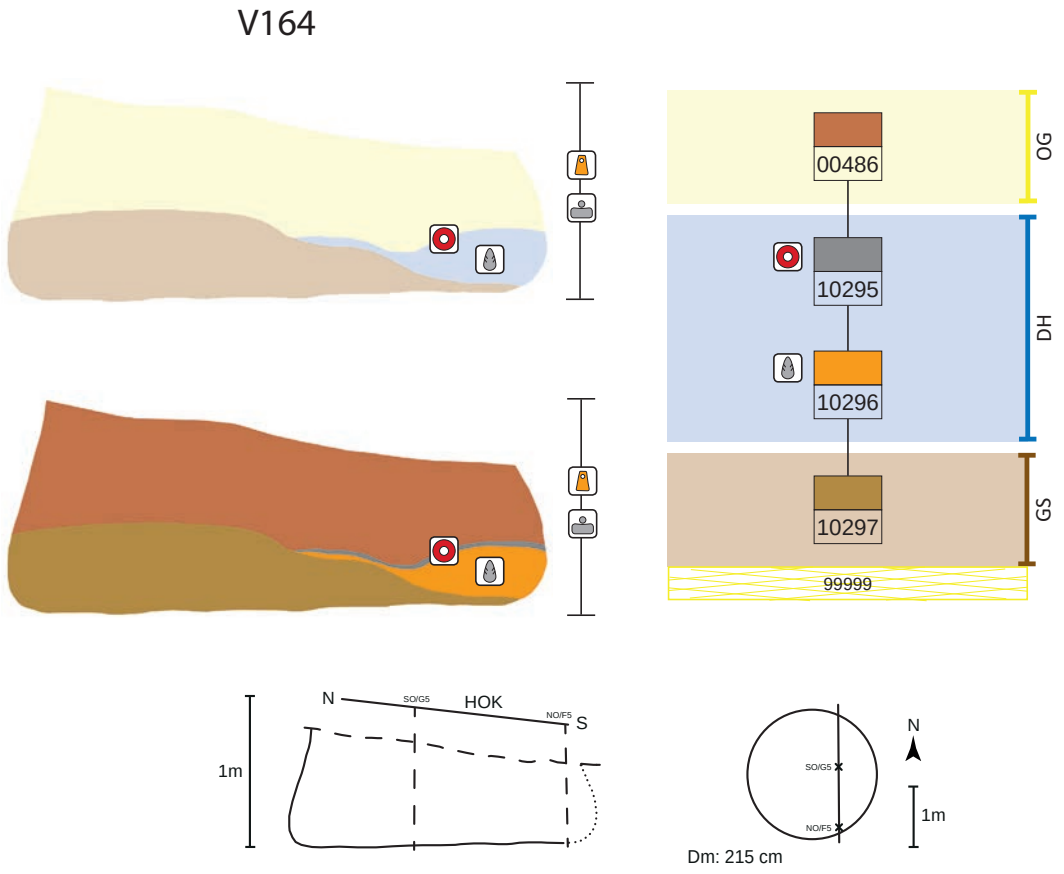
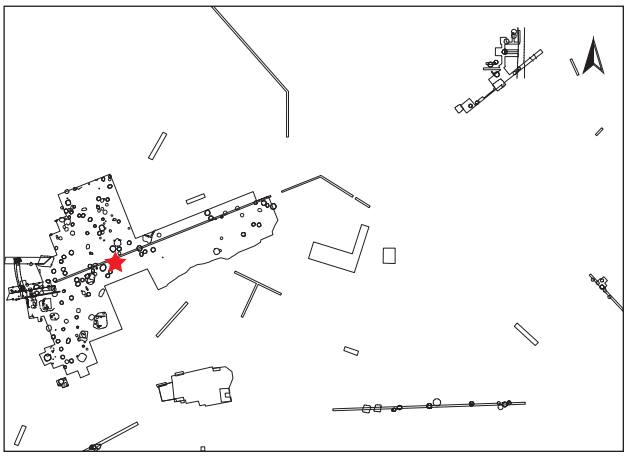


Abb. 256: V164, schematische Darstellung, Schnitt und Lage des Schnittes im Planum.

1068. Laut Inventarliste, nicht auffindbar.
1069. Penz 2006, Taf. 7/5.
1070. Laut Inventarliste, nicht auffindbar.

Objekt V171 – Kegelstumpfförmige Grube

Lage	Hügelfeld Quadrant G6
alte Objektnr.	Verf. 4
Literatur	Hellerschmid-Artner 1997. – Hellerschmid 2006.
Interfaces	
Signaturen (Schichtnrn.)	00487–00489, 10298–10303, 10483



Dokumentationsniveaus/Plana

Plannr.	Planum	alte Verf.	Lage/Quadrant	vertikale Einmessung		
				Ausgangspunkt	relative Tiefe	absolute Höhe in müA
HF 7/1973	Planum 1	4	G6	G6	-55 cm	197,80
HF 15/1973	Planum 2	4	G6	G6	-82 cm	197,53

Profile/Schnitte

Plannr.	alte Verf.	Hauptprofil		Schnitt	
		Orientierung	Lage/Quadrant	Bezeichnung	unter DOKN
HF 26/1973 (Abb. 257)	4	Zwischenprofil	G6	AB	Planum 2

Stratigraphie V171

Objekt V171 erscheint bis in eine Tiefe von 1 m unter der Humusoberkante durch eine unscharf begrenzte, beutelförmige Grube (Sign. 10483) gestört (Abb. 257, 258).

Grubenform

Wandverlauf	Sohlenverlauf	Übergang Sohle – Wand	primäre Nutzungsspuren	Auffälligkeiten
konische bis steilkonische Wand	waagrechte Grubensohle	spitz bis gerundet	Wandverputz? (Sign. 10298); im Südwesteck angereichertes Humus-Löß-Gemisch, Überrest von Nutzungsabschnitt? (Sign. 10299) Humus im Zentrum der Grubensohle, von letzter Einfüllung? (Sign. 10300)	zentrale Störung innerhalb des Objekts (Zeitpunkt unklar, Sign. 10483)

Größe und Fassungsvermögen V171

min. Dm. (d): Bereich Sign. 0489	ca. 185 cm
max. Dm. (D): Grubensohle	ca. 270–300 cm (leicht oval) Durchschnitt 285 cm
max. erh. Grubentiefe (h)	105 cm
max. rek. Grubentiefe	225 cm
erh. rek. Fassungsraum der Grube	4,62 m³
rek. Fassungsraum der Grube	6,06 m³
archäolog. Datierung	Ha B2–3
Zuordnung zu Siedlungsphase	II

Schichtabfolge V171

Lage in der Grube	Sign.	Schicht-schlüssel	Beschreibung	Kurzbeschreibung	besondere Funde	Höhe ab Sohle in cm
primäre Nutzungs-spuren?	10298	A 9	senkrecht verlaufende braune Schicht	Wandverputz?		0–100
	10299	9	gelb-braunes Humus-Löß-Gemisch	evtl. vor der Einfüllung zusammengeräumter Haufen, fundarm		0–60
direkt auf der Grubensohle						
	10300	4	schmale, humose Einfüllung auf der Sohle im Grubenzentrum	Humus, evtl. Rest ursprünglicher Nutzung, fundarm		0–2
	00487	3	Löß als kleiner Kegel eingefüllt	fast reiner Löß, fundarm		0–8
„Deponierungs-horizont“						
	10301	1	schmale Ascheschicht mit viel Holzkohle	Brandschutt, fundreich(?)	**zerscherbte Vorrats-gefäße** (St. 1840, 1855, 1871, 2001;[1071] Taf. 37/1)	0–11
	10302	15	feine Schichtung Asche, Löß; viele große Keramikfragmente	Brandschutt, fundreich		4–20
	10303	2	dünnes rötliches Band	Brandschutt, fundarm		6–22
Schüttkegel, keine Deponierung, bereits von Störung (β) betroffen	00488	15	feine Schichtung Asche, Löß (wie 10302), einige große Keramikfragmente	Brandschutt, fundreich	**zerscherbte Vorrats-gefäße** (St. 1840, 1855, 1871, 2001)	2–46
oberer Grubenbereich						
	00489	15	feine Schichtung aus Löß und Humus	Löß, Humus, eher fundarm(?)		ab 2
			Funde ohne genaue Schichtzuordnung	**Webgewichtfrg.** (St. 1855); **Reibplattenteilstück**[1072] (Granit, St. 2001, Feuereinwirkung; Taf. 1/2; 37/2)		
zentraler nachträglicher Eingriff (β)	10483 β	9	braunes, lehmig-humoses Material	Humus, fundarm		bis 40 über Sohle



Abb. 257: V171: Zwischenprofil AB in Quadrant G6 (Grabungsdokumentation Stillfried, Landessammlung Niederösterreich, Bereich Ur- und Frühgeschichte, Fotonr. ST27778).

1071. Hellerschmid 2006, Taf. 33–35.

1072. Maße: 10,5 × 11 cm; H. 3–3,7 cm. Mit den gerade verlaufenden Kanten wirkt das Stück absichtsvoll in diese quadratische Form gebracht.

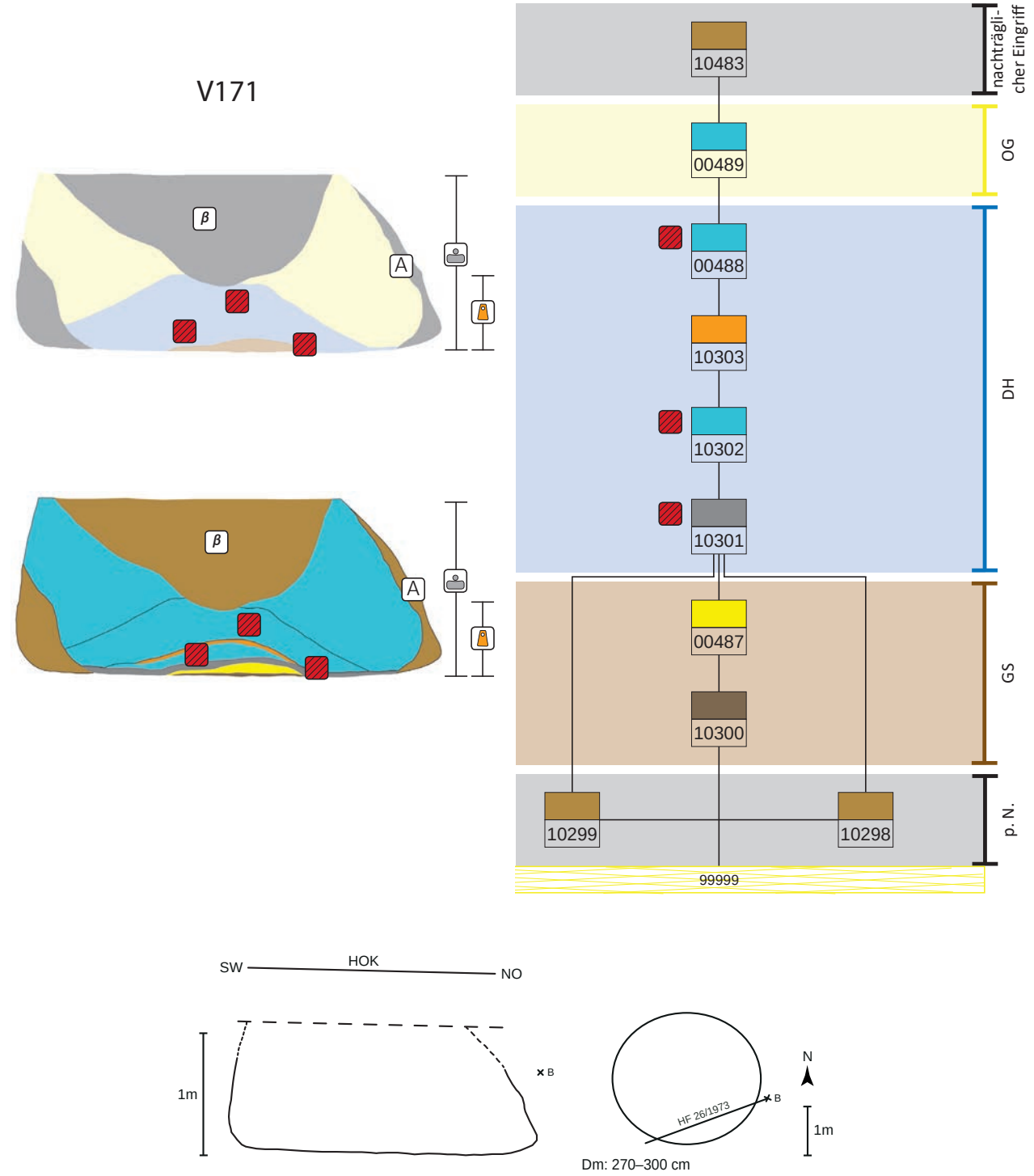
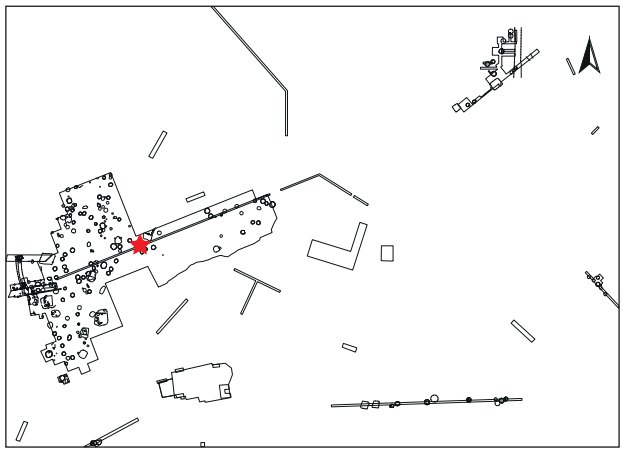


Abb. 258: V171, schematische Darstellung, Schnitt und Lage des Schnittes im Planum.

Objekt V183 – Kegelstumpfförmige Grube mit Anhäufung von Keramikgefäßen und Gusskernen auf der Sohle

Lage	Hügelfeld Quadranten G8, G9, H8, Riegel G8/G9, Hügelfeld-Suchschnitt Lfm. 46–49
alte Objektnr.	Verf. 1, 3, 4d
Literatur	Hellerschmid 2006. – Penz 2006. – Hellerschmid, Griebl in Vorbereitung.
Interfaces	2346
Signaturen (Schichtnrn.)	00476, 00494, 00495



Dokumentationsniveaus/Plana

Plannr.	Planum	alte Verf.	Lage/Quadrant	vertikale Einmessung		
				Ausgangspunkt	relative Tiefe	absolute Höhe in müA
HF 11/1973	Planum 1	3	G8	NW G8	-62 cm	197,23
HF 13/1973	Planum 1	1	G8/G9, G9	?	-45 cm	?
HF 13/1978	Planum 2	1	H8	SO H8	-43 cm	197,15
HF 15/1978	Planum 3	4d	H8	SO H8	-114 cm	196,44
HF 6/1970 (Abb. 259)	Planum 4	o. Nr.	Hügelfeld-Suchschnitt	SO H8	-180 cm	195,78

Profile/Schnitte

Plannr.	alte Verf.	Hauptprofil		Schnitt	
		Orientierung	Lage/Quadrant	Bezeichnung	unter DOKN
HF 19/1973	1	Westprofil	G9	AB	HOK
HF 69/1973	3	Ostprofil	G8		HOK
HF 12/1970	o. Nr.	Nordprofil	Hügelfeld-Suchschnitt, Lfm. 46–49	OP	Planum 2
HF 22/1970	o. Nr.	Südprofil	Hügelfeld-Suchschnitt		HOK
HF 12/1978	4d	Ostprofil	H8	QR	Planum 2

Stratigraphie V183

Das Objekt V183 wird im Osten durch Grube V191 gestört (Abb. 260).

Grubenform

Wandverlauf	Sohlenverlauf	Übergang Sohle – Wand	primäre Nutzungsspuren	Auffälligkeiten
senkrecht ausbauchende Wand, schwache Schulterausbildung; senkrechter Wandverlauf im oberen Bereich (verstürzt?)	waagrecht	mehr oder weniger gerundet		Nachsacken der östlichen Grubenwand in verfülltem Zustand (α)



Abb. 259: V183: Blick in den „Hügelfeld“-Suchschnitt (1/1970) mit der Keramikanhäufung auf der Grubensohle am Südprofil (Grabungsdokumentation Stillfried, Landessammlung Niederösterreich, Bereich Ur- und Frühgeschichte, Fotonr. ST00555).

Größe und Fassungsvermögen V183

min. Dm. (d): Bereich Sign. 00495 oben	150 cm
max. Dm. (D): Sign. 00495 unten	240 cm
max. erh. Grubentiefe (h)	150 cm
max. rek. Grubentiefe	ca. 220 cm
erh. rek. Fassungsraum der Grube	4,56 m³
rek. Fassungsraum der Grube	5,16 m³
archäolog. Datierung	Ha A2/B1, B1
Zuordnung zu Siedlungsphase	I

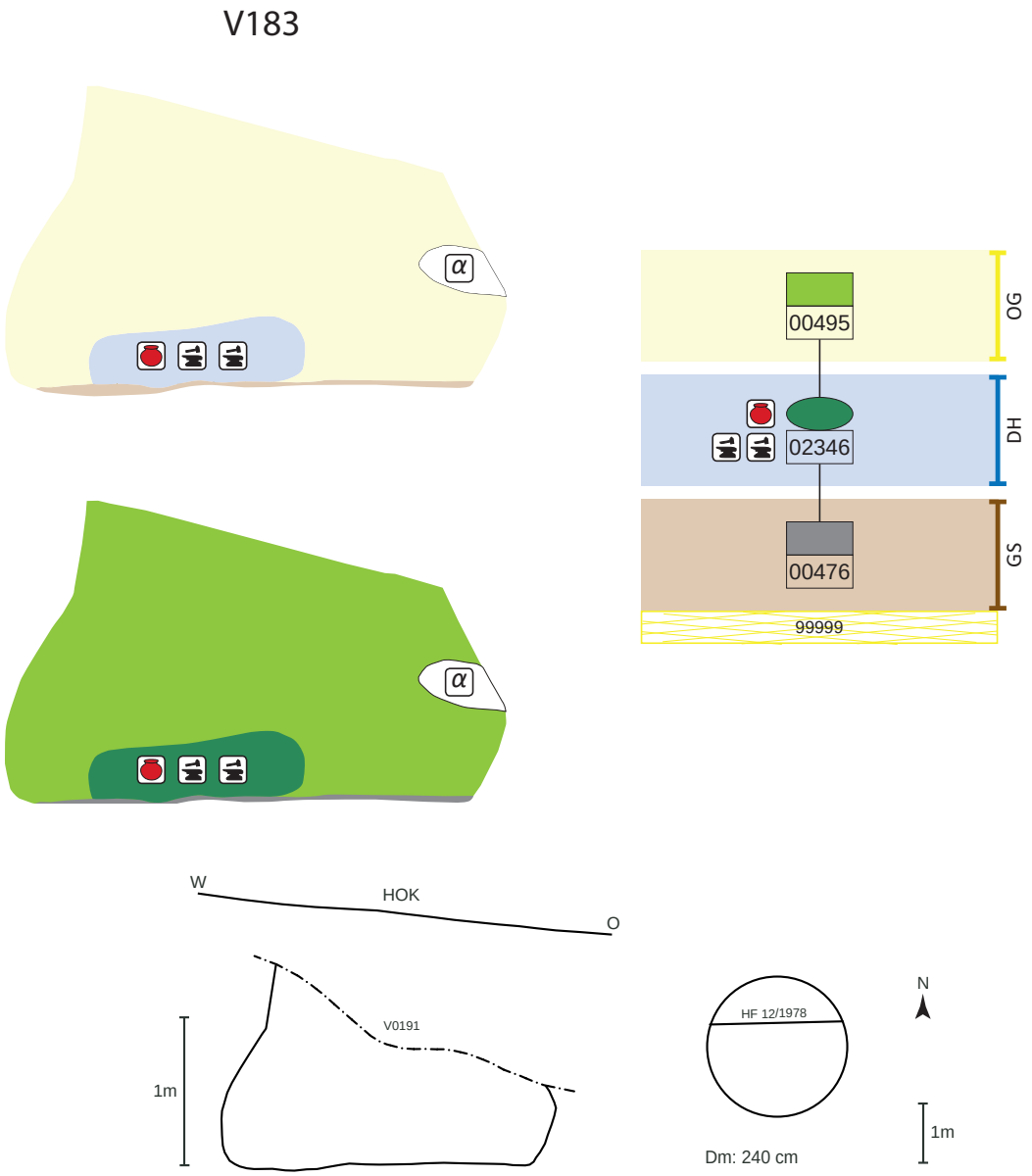


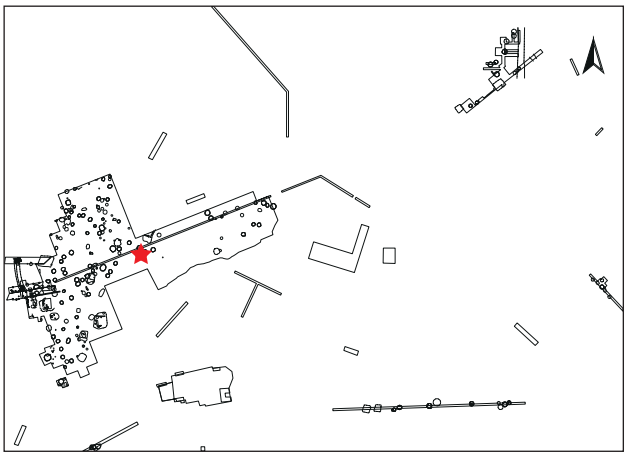
Abb. 260: V183, schematische Darstellung, Schnitt und Lage des Schnittes im Planum.

Schichtabfolge V183

Lage in der Grube	Sign.	Schicht-schlüssel	Beschreibung	Kurzbeschreibung	besondere Funde	Höhe ab Sohle in cm
direkt auf der Grubensohle						
waagrechte Oberkante	00476	1	dünne Holzkohlelage	dünne Holzkohle-schicht		0–3
„Deponierungs-horizont“						
Deposition (gemischt)	IF2346 Sign. 00494	D	dichte Anhäufung von drei Keramikgefäßen und zwei Gusskernen[1073] de-zentral am Grubenboden (wegen zwei angeblichen, verschollenen Leichen-brandstückchen kam die Idee eines möglichen frühen Brandgrabes auf[1074])	drei zerscherbte Keramikgefäße auf engstem Raum, dar-unter ein vollständig zusammensetzbares Zylinderhalsgefäß[1075] (Abb. 259)	**zerscherbtes Zylinder-halsgefäß** (St. 86, 211, 212); **Gusskern aus Quarz-sandstein** (St. 1800)[1076]; **Gusskern aus Keramik** (St. 1809)[1077]	10–20
oberer Grubenbereich	00495	14	abwechselnd humose und lehmige Schichten	Hell-Dunkel-Einfüllung, fundreich		5–130
verstürzte Wandteile (α)		α	Nachsacken der Gruben-wand	reiner Löß von der Grubenwand		

Objekt V193 – Kegelstumpfförmige Grube

Lage	Hügelfeld Quadrant G8, Riegel G8/G9
alte Objektnr.	Verf. 7A
Literatur	Hellerschmid-Artner 1997. – Hellerschmid 2006
Interfaces	
Signaturen (Schichtnrn.)	00496, 10304–10306, 10484



Dokumentationsniveaus/Plana

Plannr.	Planum	alte Verf.	Lage/Quadrant	vertikale Einmessung		
				Ausgangspunkt	relative Tiefe	absolute Höhe in müA
HF 22/1973	Zwischenplanum 1	7A (?)	G9	NW G9	-45 cm	197,02
HF 23/1973	Zwischenplanum 2	7A (?)	G9	NW G9	-61 cm	196,86
HF 62/1973	Planum 2	7A	G8	NW G8	-77 cm	197,08
HF 67/1973	Planum 1	7A	G8/G9	NW G9	-25 cm	197,22

1073. Gusskerne sind notwendige Hilfsmittel beim Gießen von Tüllen, siehe Kap. 3.2 und Penz 2006, 349, Taf. 7/6–7.

1074. Hellerschmid 2006, 27.

1075. Dat. Ha A2/B1, siehe Hellerschmid 2006, 165, Grundform 5/Topf 1/Typ F, Form mit zylindrischer Halsgestaltung.

1076. Penz 2006, Taf. 7/6.

1077. Penz 2006, Taf. 7/7.

Profile/Schnitte

Plannr.	alte Verf.	Hauptprofil		Schnitt	
		Orientierung	Lage/Quadrant	Bezeichnung	unter DOKN
HF 57/1973	7A	Westprofil	G9		HOK
HF 69/1973 (Abb. 261)	7A	Ostprofil	G8		HOK

Stratigraphie V193

Objekt V193 wurde im oberen Bereich gekappt. Von diesem Niveau aus ist eine kleine, beutelförmige Grube (Sign. 10484) in die Verfüllung eingetieft. Danach dürfte grauer Humus aufgeschüttet worden sein. Von dieser Oberfläche aus wurde ein (römerzeitlicher) Ofen (V187) eingetieft, welcher wiederum gekappt erscheint (Abb. 261, 262). Darüber lagert rezenter Humus. Im südlichen Bereich der Grubensohle dürfte ein mächtiger Tierbau stören.

Grubenform

Wandverlauf	Sohlenverlauf	Übergang Sohle – Wand	primäre Nutzungsspuren	Auffälligkeiten
konischer bis steilkonischer, teils ausbauchender, teils einziehender Wandverlauf	relativ waagrechte Grubensohle	eckig-scharfkantig		zentrale Störung innerhalb des Objekts (Zeitpunkt unklar, Sign. 10484)

Größe und Fassungsvermögen V193

min. Dm. (d): Bereich Sign. 10306	140 cm
min. erh. rek. Dm. (HUK)	130 cm
max. Dm. (D): Grubensohle	190 cm
max. erh. Grubentiefe	72 cm
max. erh. rek. Grubentiefe (HUK)	90 cm
max. rek. Grubentiefe	150 cm
erh. rek. Fassungsraum der Grube	1,55 m³
erh. rek. Fassungsraum der Grube (HUK) d = 130 cm, h = 90 cm	1,83 m³
max. rek. Fassungsraum der Grube	2,23 m³
archäolog. Datierung	Ha B

Schichtabfolge V193

Lage in der Grube	Sign.	Schicht-schlüssel	Beschreibung	Kurzbeschreibung	besondere Funde	Höhe ab Sohle in cm
direkt auf der Grubensohle						
	10304	17	braun-humose Schicht mit vielen und großen Holzkohlestückchen als kleiner Schüttkegel	Brandschutt, fundarm		0–8
	10305	17	gleich wie 10304, aber mit weniger Holzkohle	Brandschutt, fundarm		2–18
„Deponierungs-horizont“						
keine waagrechte Oberkante, keine Deponierung/Störung in diesem Bereich	00496	9	lehmig-humoser Schüttkegel mit wenigen Lößbändern, unsichere Abgrenzung nach oben und gestört	Lehm-Humus, fundarm		2–50
oberer Grubenbereich	10306	15	humose Verfüllung mit Lößbändern, wenige Keramikbruchstücke	Humus, Löß, fundarm	**Silex** (St. 2027)	20–72
zentraler nachträglicher Eingriff (β)	10484 β	1	dunkle, aschige Verfüllung	Asche, fundarm		bis 42 über Sohle



Abb. 261: V193: Ostprofil von Quadrant G8 mit V193 (Grabungsdokumentation Stillfried, Landessammlung Niederösterreich, Bereich Ur- und Frühgeschichte, Fotonr. ST00530).

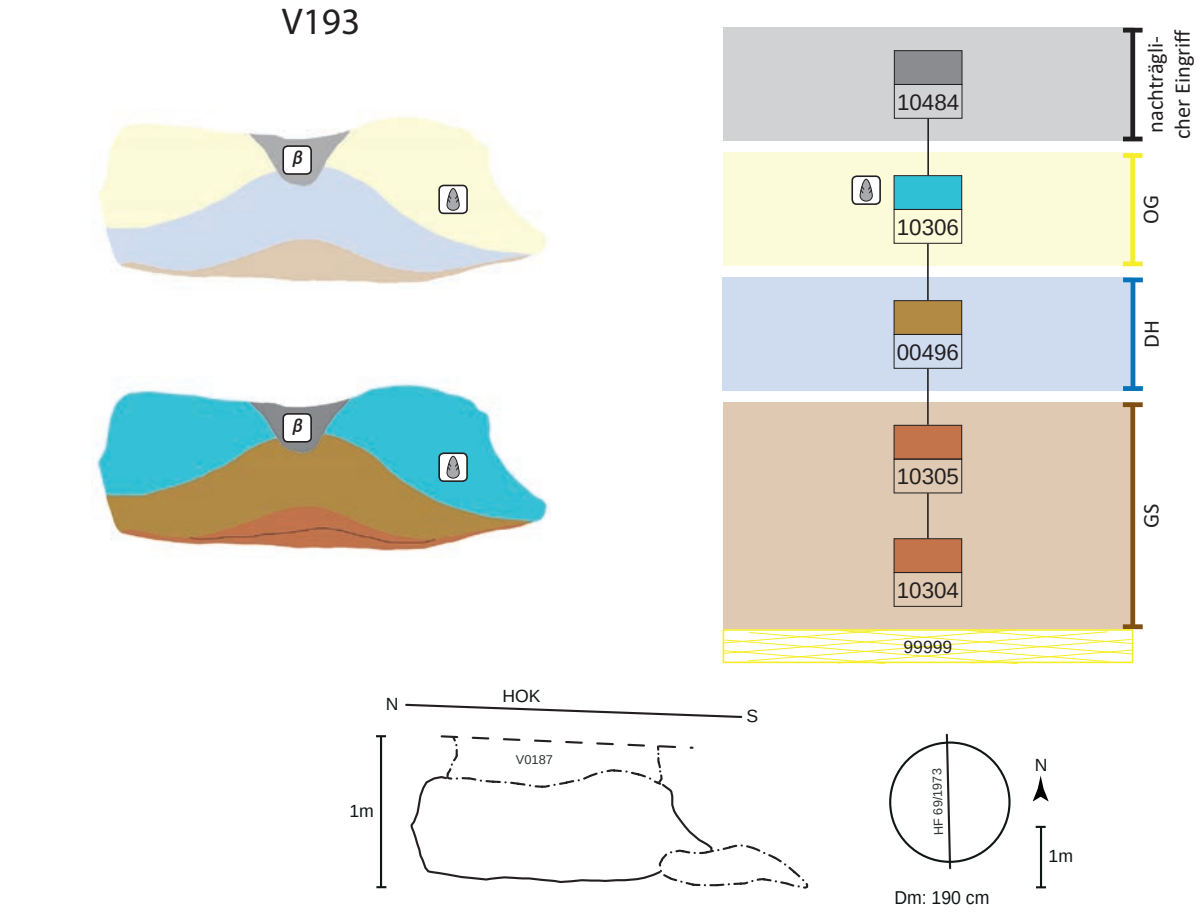
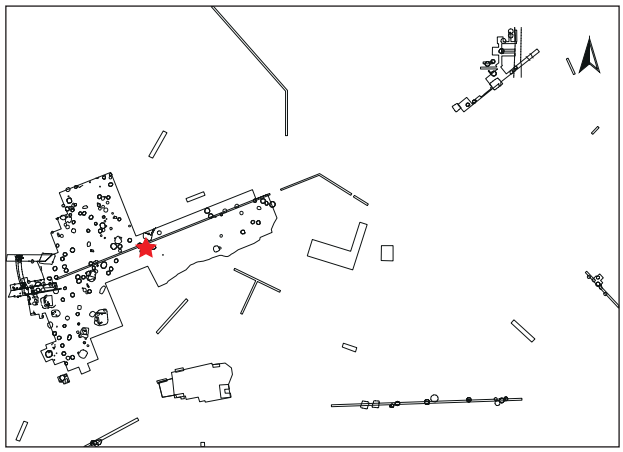


Abb. 262: V193, schematische Darstellung, Schnitt und Lage des Schnittes im Planum.

Objekt V195 – Kegelstumpfförmige Grube mit Wildschweinfrischling, alter Hirschkuh und Feldhase

Lage	Hügelfeld Quadrant G9
alte Objektnr.	Verf. 4
Literatur	Pucher 1986, 39–40, 45–46, 50–54. – Heiling-Schmoll 1987, 24–31. – Hellerschmid 2006. – Penz 2006. – Pucher 2017, 213–215, Abb. 8. – Hellerschmid, Griebl in Vorbereitung. – Pucher in Vorbereitung.
Interfaces	1289, 1290, 1319
Signaturen (Schichtnrn.)	00498–00500, 10218, 10219, 00236, 00238, 10251



Dokumentationsniveaus/Plana

Plannr.	Planum	alte Verf.	Lage/Quadrant	vertikale Einmessung		
				Ausgangspunkt	relative Tiefe	absolute Höhe in müA
HF 22/1973	Zwischenplanum 1	4	G9	NW G9	-45 cm	197,02
HF 23/1973	Zwischenplanum 2	4	G9	NW G9	-61 cm	196,86
HF 24/1973	Planum 1	4	G9	NW G9	-83 cm	196,64
HF 55/1973	Planum 2	4	G9	NW G9	-145 cm	196,02
HF 73/1974	Planum 3	4	G9	NW G9	-156/158–185 cm	195,87/195,89–195,62

Profile/Schnitte

Plannr.	alte Verf.	Hauptprofil		Schnitt	
		Orientierung	Lage/Quadrant	Bezeichnung	unter DOKN
HF 32/1973	4	Zwischenprofil	G9	AB	Zwischenplanum 1
HF 46/1973 (Abb. 263)	4	Zwischenprofil	G9	AB	Zwischenplanum 2

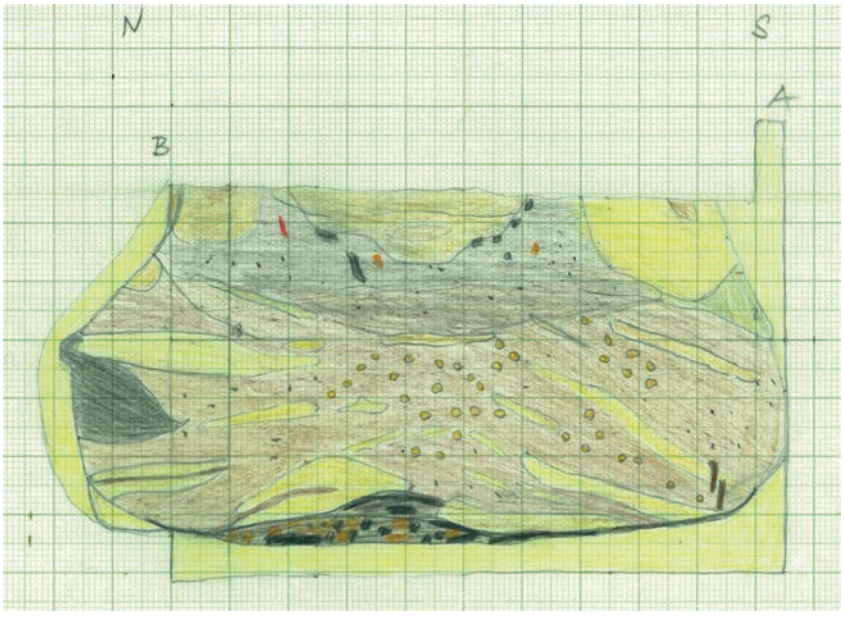


Abb. 263: V195: Schnitt durch das Objekt, Blick gegen Osten (Zeichnung: D. Schaffernicht, Universität Wien, Plannr. HF 46/1973).

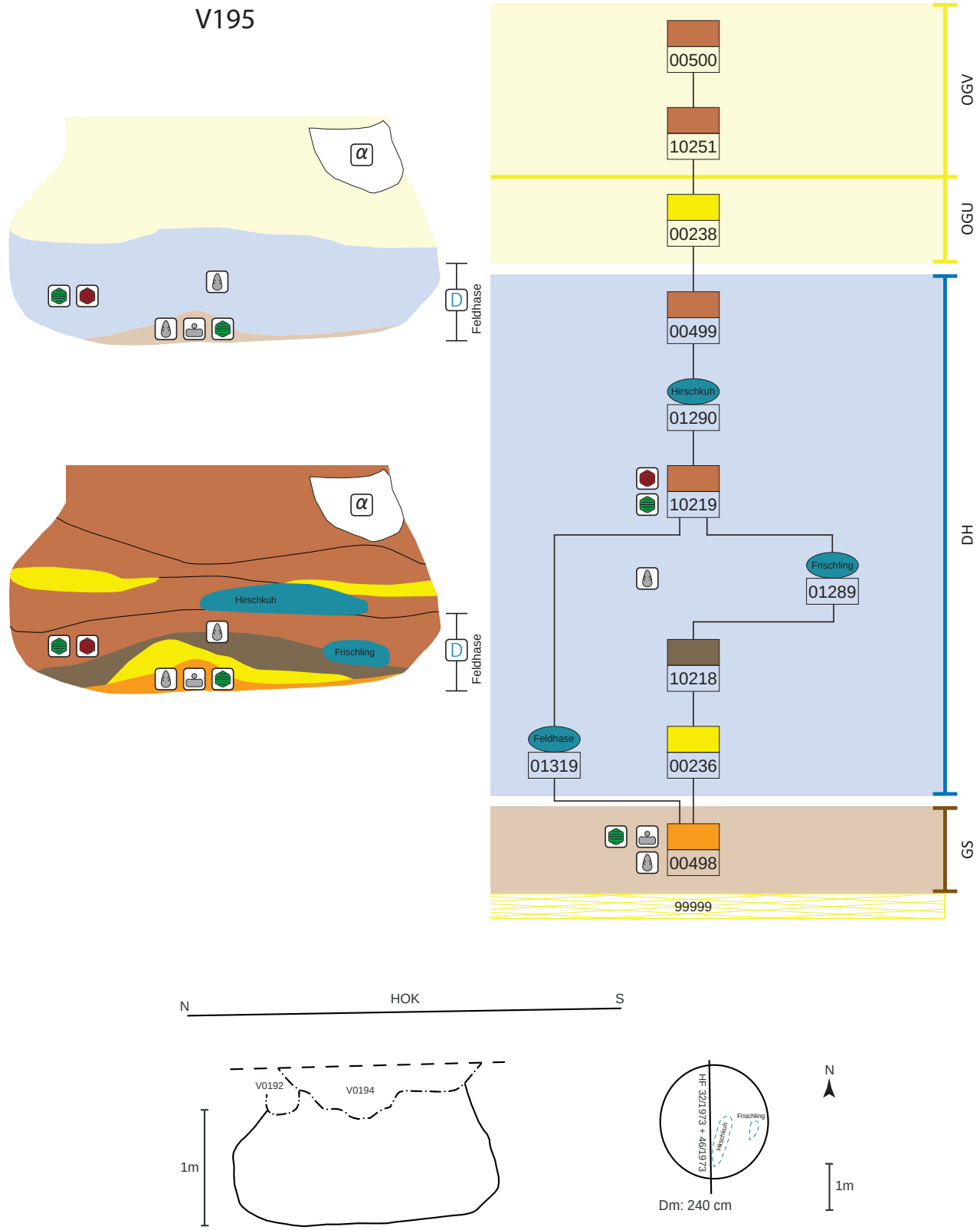


Abb. 264: V195, schematische Darstellung, Schnitt und Lage des Schnittes im Planum.

Stratigraphie V195

Objekt V195 wird durch den römerzeitlichen Graben V192 und das mittelalterliche Objekt V194 gestört (Abb. 264).

Grubenform

Wandverlauf	Sohlenverlauf	Übergang Sohle – Wand	primäre Nutzungsspuren	Auffälligkeiten
annähernd senkrechte Wand, im Norden konischer Schultereinzug, im Süden steilkonischer Wandverlauf	waagrecht	gerundet, im Norden hochgezogen		Versturz der Grubenwand im Süden (α)

Größe und Fassungsvermögen V195

min. Dm. (d): Bereich Sign. 00500	160 cm
max. Dm. (D): Bereich Sign. 10219	240 cm
max. erh. Grubentiefe (h)	140 cm
max. rek. Grubentiefe	ca. 210 cm
erh. rek. Fassungsraum der Grube	4,45 m³
rek. Fassungsraum der Grube	5,11 m³
archäolog. Datierung	Ha B3
Zuordnung zu Siedlungsphase	III/1

Schichtabfolge V195

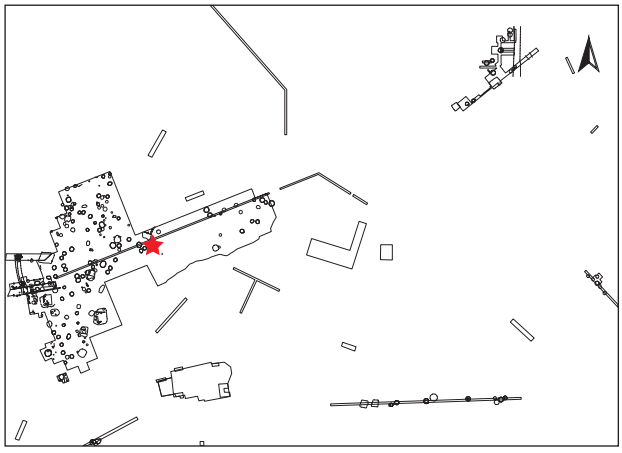
Lage in der Grube	Sign.	Schichtschlüssel	Beschreibung	Kurzbeschreibung	besondere Funde	Höhe ab Sohle in cm
direkt auf der Grubensohle	00498	2	zentrale Anhäufung von humosem Brandschutt mit Holzkohle	humoser Brandschutt im Zentrum der Grubensohle	**Bronzeringlein**[1078] (St. 2579); **Silex** (St. 2580); **2 Reibstein(frg.)** (St. 2579)	0–18
„Deponierungshorizont“						
	00236	3	sekundär verlagerter, reiner Löß	Lößschicht		4–28
mit ungefähr waagrechter Oberkante	10218	4	braun-humos	humos, fundreich	**Silex** (St. 1955)[1079]	10–32
Tierdeposition	IF1289	D	annähernd vollständiger Wildschweinfrischling[1080]	**abgelegter Frischling**		15–25
Tierdeposition	IF1319	D	unvollständiger Feldhase, Befundlage nicht genau bekannt[1081]	**adulter(?) Feldhase, unvollständig**		10–40
mit waagrechter Oberkante	10219	17	braun-humos mit gebrannten Lehmbröckchen	humos mit gebranntem Lehm, fundreich	**zungenförm. Tongriff** (St. 2013; Taf. 38/3 u. Abb. 92–94); **bronzener Angelhaken?** (St. 1973)[1082]	10–44
Tierdeposition	IF1290	D	Niederlegung des unvollständigen Kadavers einer sehr alten Hirschkuh	**unvollständiger Kadaver einer in Gefangenschaft gehaltenen, sehr alten Hirschkuh**[1083]		40–60
	00499	17	humoser Brandschutt mit gebrannten Lehmbrocken und Lehmeinschlüssen	Abdeckung mit humosem Brandschutt		40–64

1078. Penz 2006, Taf. 8/1.
1079. Penz 2006,Taf. 8/3, aus dem Schichtbereich Sign. 10218, 10219.
1080. FNr. St. 2575. – Pucher 1986, 45–46.
1081. FNr. St. 1955 usw., aus dem Schichtbereich Sign. 10218, 10219. – Pucher 1986, 39–40.
1082. Penz 2006, Taf. 8/2.
1083. FNr. St. 2574 usw. – Pucher 1986, 50–54. – Pucher 2017, 213–215.

Lage in der Grube	Sign.	Schicht-schlüssel	Beschreibung	Kurzbeschreibung	besondere Funde	Höhe ab Sohle in cm
oberer Grubenbereich						
	00238	3	Lagen von reinem Löß			60–70
	10251	17	dunkelbraune, aschig-humose Füllschicht	aschig-humos		65–90
	00500	17	wie Sign. 10251	fundreich		70–110
verstürzte Wandteile (α)		α	eingebrochener Grubenwandbereich bei verfüllter Grube	reiner Löß von der Grubenwand		70–110

Objekt V198 – Siedlungsgrube mit gestufter Sohle

Lage	Hügelfeld Quadranten G9, G10, Riegel G9/G10
alte Objektnr.	Verf. 2, 10
Literatur	Hellerschmid-Artner 1997. – Hellerschmid 2006. – Penz 2006.
Interfaces	
Signaturen (Schichtnrn.)	00501–00503



Dokumentationsniveaus/Plana

Plannr.	Planum	alte Verf.	Lage/Quadrant	vertikale Einmessung		
				Ausgangspunkt	relative Tiefe	absolute Höhe in müA
HF 24/1973	Planum 1	10	G9	NW G9	-83 cm	196,64
HF 28/1975	Schrägplanum	2	G10	NW G10	-38 cm	196,32
HF 35/1975	Zwischenplanum 1	2	G10	NW G10	-48 cm	196,22
HF 35/1975	Zwischenplanum 2	2	G10	NW G10	-71 cm	195,99
HF 54 /1975	Planum 1	2	G9/G10	NW G10	-34 cm	196,36
HF 73/1975	Planum 2	2	G9/G10	SW G10	-54 cm	195,92

Profile/Schnitte

Plannr.	alte Verf.	Hauptprofil		Schnitt	
		Orientierung	Lage/Quadrant	Bezeichnung	unter DOKN
HF 52/1975 (Abb. 265)	2	Westprofil	G10		HOK
HF 57/1973	10	Ostprofil	G9		HOK

Stratigraphie V198

Objekt V198 ist im oberen Bereich durch eine unregelmäßig verlaufende Vertiefung (V209) bis 0,6 m unter der NW-Ecke von G10 flächig gestört. Im nördlich gelegenen Randbereich schneidet eine zylinderförmige Grube (V208) bis zur Unterkante von Objekt V198 ein (Abb. 265). Der obere Grubenbereich wirkt gekappt. Darüber lagert rezenter Humus.

Grubenform

Wandverlauf	Sohlenverlauf	Übergang Sohle – Wand	primäre Nutzungsspuren	Auffälligkeiten
teils senkrechte, teils sich nach oben erweiternde, teils steilkonisch zulaufende Wände	waagrechte bis leicht nach außen gewölbte Grubensohle	gerundet		gestufte Grubensohle (Stufe im Süden, ca. 40 cm hoch)

Größe und Fassungsvermögen V198

min. Dm. (d): Bereich Sign. 0501 (Sohle)	ca. 210 cm
max. Dm. (D): oben Sign. 0503	220–245 cm im Durchschnitt 232 cm
max. erh. Grubentiefe (h)	140 cm
max. rek. Grubentiefe (unter HOK)	160 cm
erh. rek. Fassungsraum der Grube	5,37 m³
archäolog. Datierung	Ha B2–3
Zuordnung zu Siedlungsphase	III/1

Schichtabfolge V198

Lage in der Grube	Sign.	Schicht-schlüssel	Beschreibung	Kurzbeschreibung	besondere Funde	Höhe ab Sohle in cm
direkt auf der Grubensohle						
	00501	17	kleiner Schüttkegel, Gemisch aus hellem Löß, Humus und viel Holzkohle	Löß-Brandschutt-Gemisch, fundreich	**2 scheibenförm. Webgewichte**[1084] (St. 4066, 4068)	0–12
			Fundzuordnung zu 00501 oder 00502	**tönerner Gusskern**[1085] (St. 1986); **pyramidenstumpfförm. Webgewichtfrg.** (St. 2945); **Schleifstein** (St. 1986); **zylindrisches Tonobjekt, Tondüse**[1086] (St. 4009)		
„Deponierungs-horizont“						
annähernd waagrechte Oberkante (v. a. im Osten), keine Deponierung	00502	16	mehrere Schichten aus Asche mit viel Holzkohle, Löß und Humus, im Osten waagrecht abschließend	Brandschutt, Humus, Löß, fundreich	**scheibenförm. Webgewicht**[1087] (St. 1977; Taf. 37/3); **Feuerbockfrg.** (St. 4071); **Miniaturtopf**[1088] (St. 1976)	6–80
			Fundzuordnung zu 00502 oder 00503	**Tonringfrg.** [1089] (St. 4060)		
oberer Grubenbereich						
	00503	4	humose Einfüllung mit teils großen Lößbrocken	Humus, eher fundarm	**verzierte Tondüse**[1090] (St. 2897; Taf. 36/3)	65–140
			Fund ohne genaue Schichtzuordnung	**Feuerbockfrg. (auffälliges Teilstück)**[1091] (St. 4069; Taf. 37/4 u. Abb. 89)		

1084. Penz 2006, Taf. 8/4–5.

1085. Penz 2006, Taf. 8/8.

1086. Tondüse für das Metallhandwerk?, Penz 2006, 348 und Taf. 8/7.

1087. Verbleib: Museum Stillfried.

1088. Hellerschmid 2006, Taf. 38/2.

1089. Penz 2006, Taf. 8/6.

1090. Penz 2006, Taf. 9/1; wahrscheinlich zu Tondüsenbruchstück aus V119 gehörend (siehe Taf. 36/4).

1091. Penz 2006, Taf. 8/9. Mögliche Pickspuren entlang der Bruchkante sind Hinweise darauf, dass das Fundstück absichtsvoll von einem massiven und gut gebrannten Feuerbock abgetrennt wurde.



Abb. 265: V198: Westprofil von Quadrant G10 mit V198. In diesem Schnitt wird die Grube in der Nordhälfte (rechter Hand) von der hoch- bis spätmittelalterlichen Verfärbung V208 massiv gestört (Grabungsdokumentation Stillfried, Landessammlung Niederösterreich, Bereich Ur- und Frühgeschichte, Fotonr. ST01136).

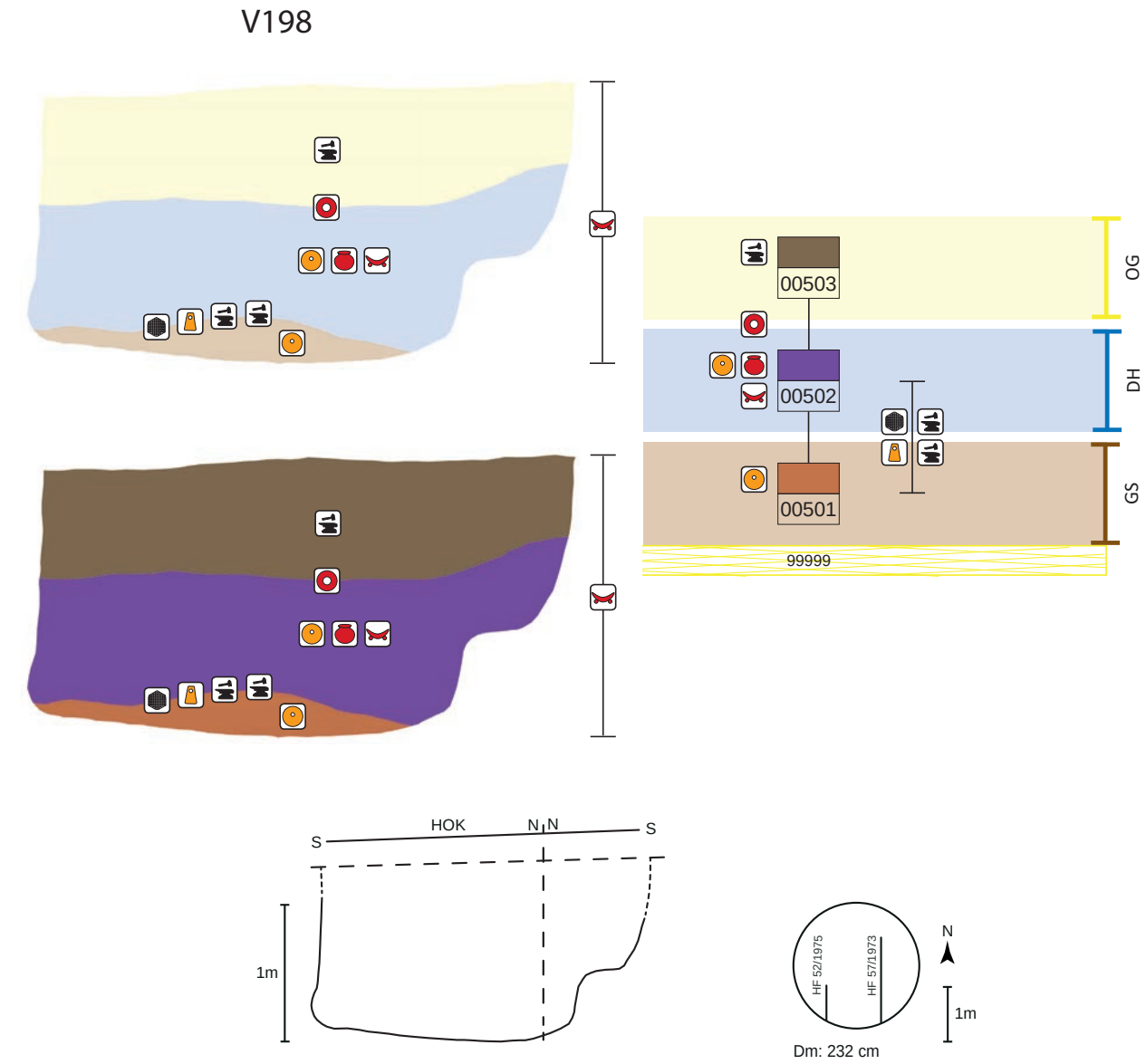
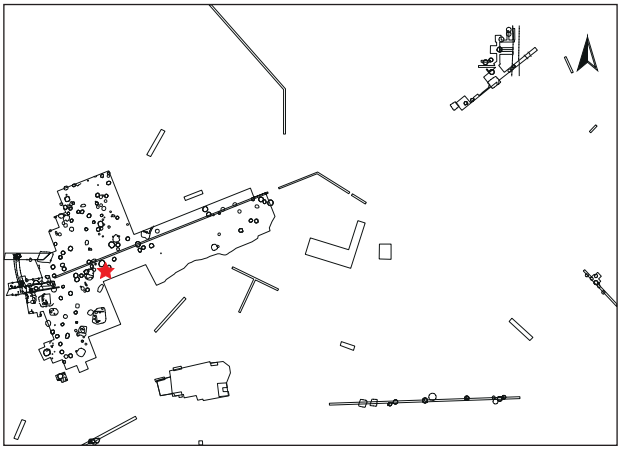


Abb. 266: V198, schematische Darstellung, Schnitt und Lage des Schnittes im Planum.

Objekt V204 – Kegelstumpfförmige Grube mit Keramikdeposition(?)

Lage	Hügelfeld Quadrant F5, Riegel F5/G5
alte Objektnr.	Verf. 2, 3
Literatur	Hellerschmid-Artner 1997. – Hellerschmid 2006. – Penz 2006.
Interfaces	4004
Signaturen (Schichtnrn.)	00432, 00433, 10307–10309



Dokumentationsniveaus/Plana

Plannr.	Planum	alte Verf.	Lage/Quadrant	vertikale Einmessung		
				Ausgangspunkt	relative Tiefe	absolute Höhe in müA
HF 4/1973	Zwischenplanum 1	3	F5	NW F5	-75 cm	198,02
HF 8/1973 (Abb. 267, 268)	Planum 1	2	F5	NW F5	-110 cm	197,67
HF 68/1973	Planum 1	2	F5/G5	NW F5	-50 cm	198,27

Profile/Schnitte

Plannr.	alte Verf.	Hauptprofil		Schnitt	
		Orientierung	Lage/Quadrant	Bezeichnung	unter DOKN
HF 12/1973	2	Zwischenprofil	F5	Nordwestprofil	Zwischenplanum 1
HF 25/1973	2	Zwischenprofil	F5	AB	Planum 1
HF 71/1973	2	Nordprofil	F5		HOK

Stratigraphie V204

Objekt V204 erscheint im oberen Grubenbereich gekappt (Abb. 269). Darüber lagert rezenter Humus.



Abb. 267: V204: Quadrant F5 mit V204 und den abgestellten Vorratsgefäßen (Grabungsdokumentation Stillfried, Landessammlung Niederösterreich, Bereich Ur- und Frühgeschichte, Fotonr. ST00483).

Grubenform

Wandverlauf	Sohlenverlauf	Übergang Sohle – Wand	primäre Nutzungsspuren
steilkonische Wand	waagrechte Grubensohle	leicht gerundet	

Größe und Fassungsvermögen V204

min. Dm. (d): Bereich Sign. 10309	ca. 180 cm
max. Dm. (D): Grubensohle	ca. 200 cm
max. erh. Grubentiefe (h)	ca. 45 cm
max. rek. Grubentiefe	ca. 140 cm
erh. rek. Fassungsraum der Grube	1,27 m³
rek. Fassungsraum der Grube	2,42 m³
archäolog. Datierung	Ha A2/B1, B1
Zuordnung zu Siedlungsphase	I

Schichtabfolge V204

Lage in der Grube	Sign.	Schicht-schlüssel	Beschreibung	Kurzbeschreibung	besondere Funde	Höhe ab Sohle in cm
direkt auf der Grubensohle	10307	17	schmale, dunkle Einfüllungen (unsicher)	Brandschutt		0–10
„Deponierungs-horizont“						
keine waagrechte Oberkante/Schüttkegel	0432	14	Schüttkegel aus humosem Material, Löß und Hüttenlehmstückchen (feine Schichten), abgeschlossen von großen Lößbrocken	Humus, Brandschutt, Lößbrocken		0–32
	10308	2	Band aus verbranntem Lehm	Brandschutt, fundarm		0–20
Deponierung?	IF4004	D	zwei abgestellte Vorratsgefäße im Südwesten der Grube, evtl. auch im Nordosten, mit großen Gefäßbruchstücken und Tierknochen	Keramik, Knochen, fundreich	**Vorratsgefäße; kannelierte Henkeltasse**[1092] (St. 2000)	
oberer Grubenbereich						
	10309	9	humose Verfüllung, teils mit Löß	Humus, fundarm		ab 0
			Fund ohne genaue Schichtzuordnung	**RS einer Miniaturschale**[1093] (St. 1860); **2 vollständige Tonringe**[1094] (St. 1754, 1753)		

1092. Zeichnung: Hellerschmid 2006, Taf. 40/2–5; 41/1.

1093. Zeichnung: Hellerschmid 2006, Taf. 39/2.

1094. Zeichnung: Penz 2006, Taf. 10/1–2.

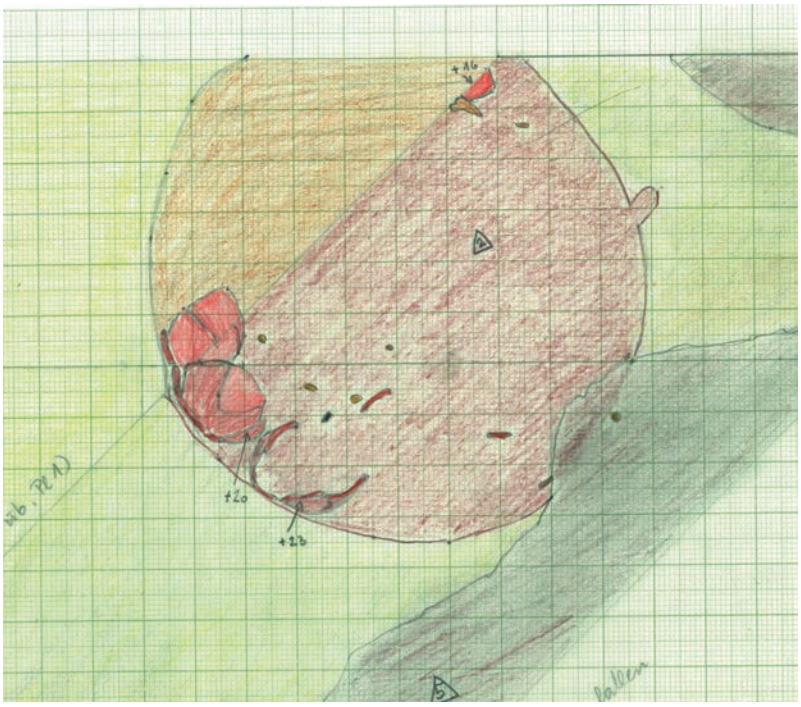


Abb. 268: V204: Ausschnitt der Zeichnung von Planum 1 von Quadrant F5 mit V204 (Zeichnung: L. Streinz, Universität Wien, Plannr. HF 8/1973).

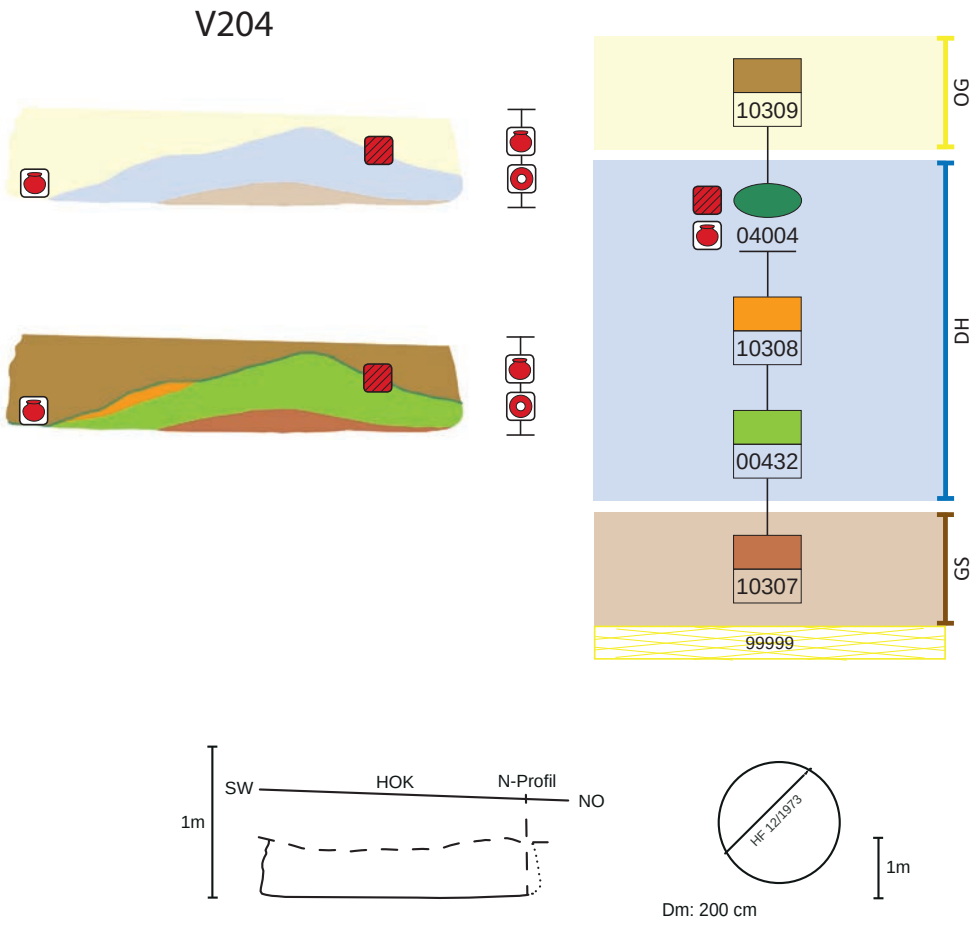
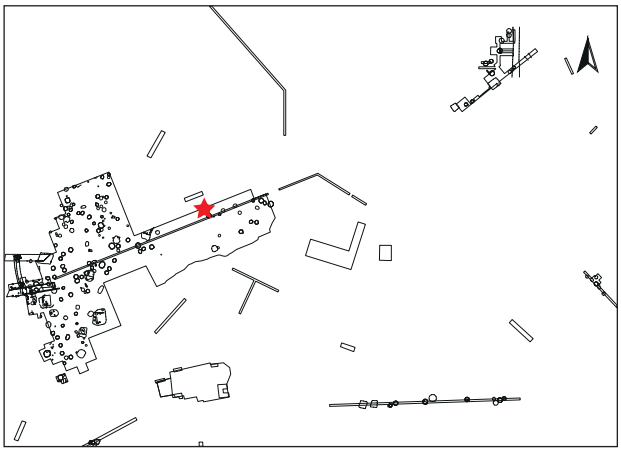


Abb. 269: V204, schematische Darstellung, Schnitt und Lage des Schnittes im Planum.

Objekt V234 – Kegelstumpfförmige Grube

Lage	Hügelfeld Quadrant H15
alte Objektnr.	Verf. 3
Literatur	Hellerschmid 2006. – Penz 2006.
Interfaces	
Signaturen (Schichtnrn.)	00504, 10310–10314



Dokumentationsniveaus/Plana

Plannr.	Planum	alte Verf.	Lage/Quadrant	vertikale Einmessung		
				Ausgangspunkt	relative Tiefe	absolute Höhe in müA
HF 35/1974	Planum 1	3	H15	NW H15	ca. -80 cm	191,91
HF 3/1975	Planum 2	3	H15	NW H15	-100 cm	191,71
HF 14/1975	Planum 3	3	H15	NW H15	-120 cm	191,51

Profile/Schnitte

Plannr.	alte Verf.	Hauptprofil		Schnitt	
		Orientierung	Lage/Quadrant	Bezeichnung	unter DOKN
HF 10/1975	3	Zwischenprofil	H15	AB	Planum 2
HF 10/1975	3	Zwischenprofil	H15	DC	Planum 2
HF 18/1975 (Abb. 270)	3	Zwischenprofil	H15	BA	Planum 3

Stratigraphie V234

Objekt V234 wird im Südwestbereich durch V238 gestört (Abb. 271).

Grubenform

Wandverlauf	Sohlenverlauf	Übergang Sohle – Wand	primäre Nutzungsspuren
steilkonischer Wandverlauf	waagrechte Grubensohle	eckig-scharfkantig	

Größe und Fassungsvermögen V234

min. Dm. (d): Bereich Sign. 10314	ca. 250 cm
max. Dm. (D): Grubensohle	270 cm
max. erh. Grubentiefe (h)	ca. 106 cm
max. rek. Grubentiefe	ca. 230 cm
erh. rek. Fassungsraum der Grube	5,63 m³
rek. Fassungsraum der Grube	8,15 m³
archäolog. Datierung	Ha B2–3
Zuordnung zu Siedlungsphase	II



Abb. 270: V234: Zwischenprofil BA in Quadrant H15 (Grabungsdokumentation Stillfried, Landessammlung Niederösterreich, Bereich Ur- und Frühgeschichte, Fotonr. ST01071).

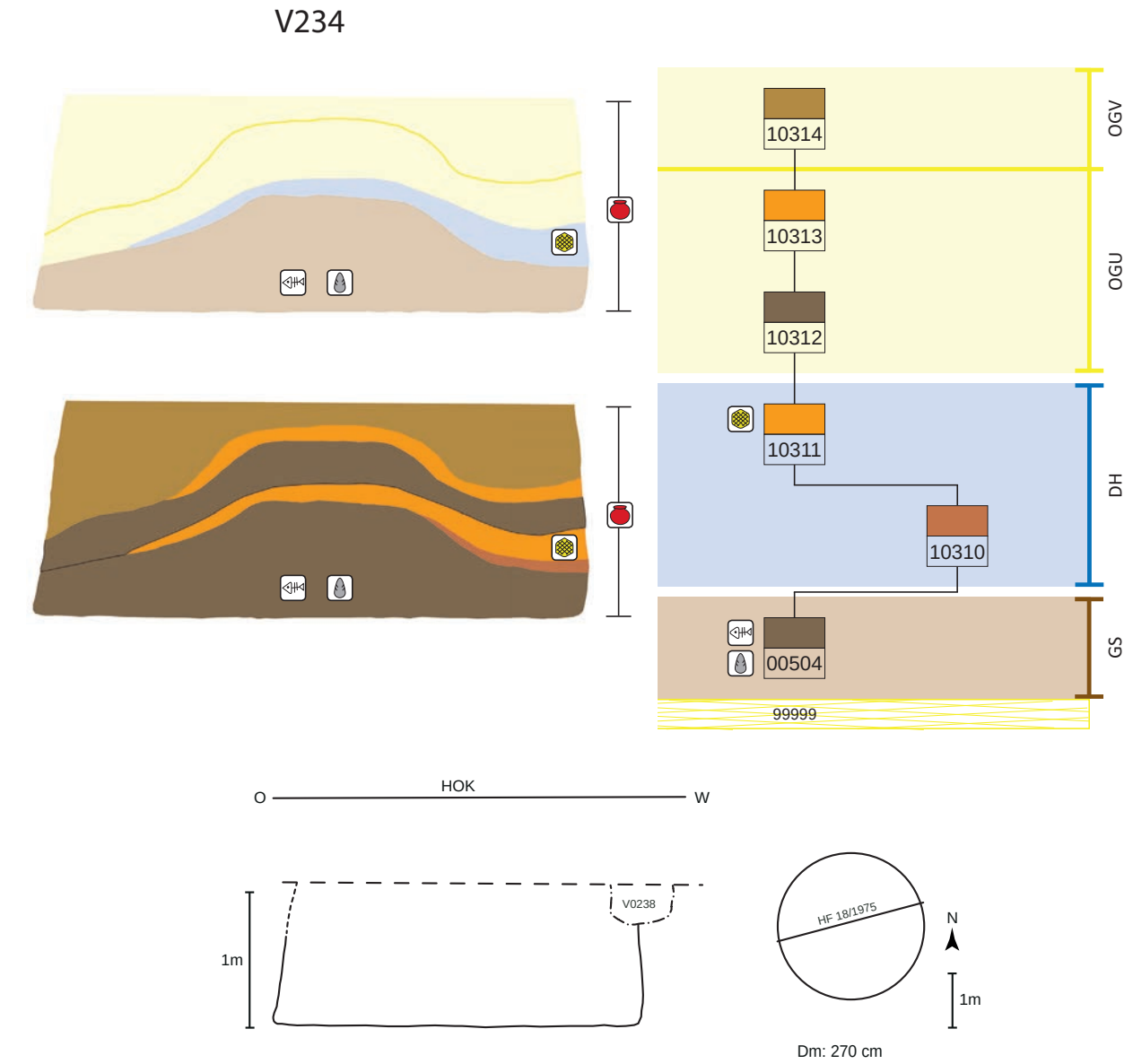


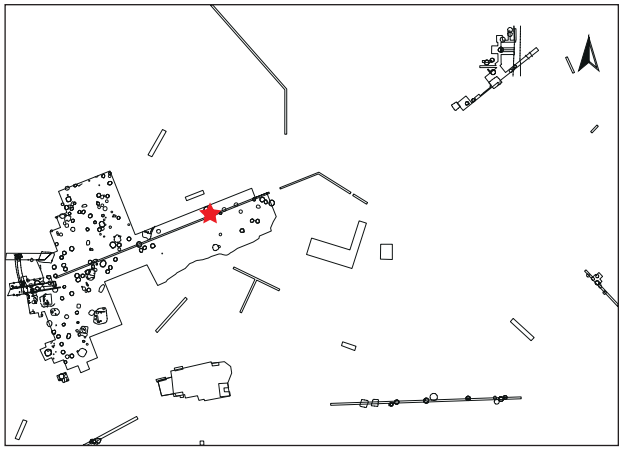
Abb. 271: V234, schematische Darstellung, Schnitt und Lage des Schnittes im Planum.

Schichtabfolge V234

Lage in der Grube	Sign.	Schicht-schlüssel	Beschreibung	Kurzbeschreibung	besondere Funde	Höhe ab Sohle in cm
direkt auf der Grubensohle	00504	4	zentraler Schüttkegel aus humosem Material, Oberkante etwas abgeflacht	Humus, fundarm	**Silexabschlag**[1095] (St. 2833); **Fischknochen** (St. 2852)	0–57
„Deponierungshorizont“						
	10310	17	Ascheschicht mit Hüttenlehmbröckchen (im Westen)	Brandschutt, eher fundarm(?)		22–52
Zentralbereich waagrecht, keine Deponierung	10311	2	Band aus verziegeltem Lehm/Hüttenlehm	Brandschutt, eher fundarm(?)	**beschnitzter Eberzahn**[1096] (St. 2828)	28–64
oberer Grubenbereich						
	10312	4	humose Verfüllung	Humus, fundarm		20–?
	10313	2	Band aus Gemisch von verziegeltem Lehm/ Hüttenlehm und Humus	Brandschutt-Humus-Gemisch, eher fundarm(?)		57–?
	10314	9	Gemisch aus Löß und Humus	Löß-Humus-Gemisch, eher fundarm(?)		37–106
			Fund ohne genaue Schichtzuordnung	**RS einer Miniaturschale**[1097] (St. 2967)		

Objekt V245 – Kegelstumpfförmige Grube mit geweihtragendem Hirschschädel und Teilskelett von weiterem Hirsch

Lage	Hügelfeld Quadrant H15, Riegel H15/ G15, Hügelfeld-Suchschnitt Lfm. 87,50–88,60
alte Objektnr.	Verf. 2, 17
Literatur	Pucher 1986, 57. – Heiling-Schmoll 1987, 59–61 (als Grube 254). – Hellerschmid 2006. – Hellerschmid, Griebl in Vorbereitung. – Pucher in Vorbereitung.
Interfaces	1291
Signaturen (Schichtnrn.)	00505–00508; 005010; 00512, 00513, 00515, 00520



Dokumentationsniveaus/Plana

Plannr.	Planum	alte Verf.	Lage/Quadrant	vertikale Einmessung		
				Ausgangspunkt	relative Tiefe	absolute Höhe in müA
HF 35/1974	Planum 1[1098]	17	H15	NW H15	-120 cm	191,51
HF 3/1975	Planum 2	17	H15	NW H15	-100 cm	191,71
HF 14/1975	Planum 3	17	H15	NW H15	-70 cm	191,51

1095. Penz 2006, Taf. 10/6.
1096. Penz 2006, Taf. 10/5.
1097. Hellerschmid 2006, Taf. 41/2.
1098. Planum 1 (Plan HF 35/1974) liegt tiefer als Planum 2 (Plan HF 3/1975), Messfehler aus 1974?

Profile/Schnitte

Plannr.	alte Verf.	Hauptprofil		Schnitt	
		Orientierung	Lage/Quadrant	Bezeichnung	unter DOKN
HF 31/1970 (Abb. 272)	2	Nordprofil	Hügelfeld-Suchschnitt, Lfm. 86–89		HOK
HF 10/1975	17	Zwischenprofil	H15	JH	Planum 1
HF 18/1975	17	Zwischenprofil	H15	EC DF	Planum 3
HF 30/1975	17	Südprofil	H15		HOK

Stratigraphie V245

Objekt V245 wird durch drei jüngere Pfostengruben gestört (V246, V247 und V248).[1099]

Grubenform

Wandverlauf	Sohlenverlauf	Übergang Sohle – Wand	primäre Nutzungsspuren	Auffälligkeiten
annähernd senkrecht, schwach gebaucht	annähernd waagrecht	gerundet, im Osten schwach ansteigend		Versturz der Grubenwand im Westen (α) (Abb. 272, 273)

Größe und Fassungsvermögen V245

min. Dm. (d): Bereich Sign. 00508	210 cm
max. Dm. (D): Sign. 00506	230 cm
max. erh. Grubentiefe (h)	80 cm
max. rek. Grubentiefe	ca. 180 cm
erh. rek. Fassungsraum der Grube	3,04 m³
rek. Fassungsraum der Grube	4,53 m³
archäolog. Datierung	Ha B

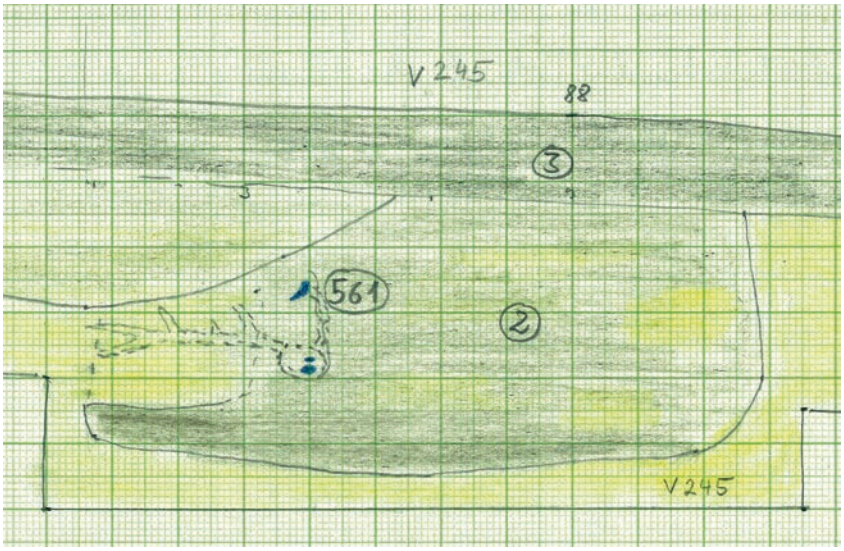


Abb. 272: V245: „Hügelfeld"-Suchschnitt (1/1970), Nordprofil bei Lfm. 86,30 bis 89 mit V245. Gut erkennbar ist die Geweihstange am Deponierungshorizont (Zeichnung: K. Kaus, Universität Wien, Plannr. HF 31/1970).

1099. Grabungspläne HF 3, 14/1975.

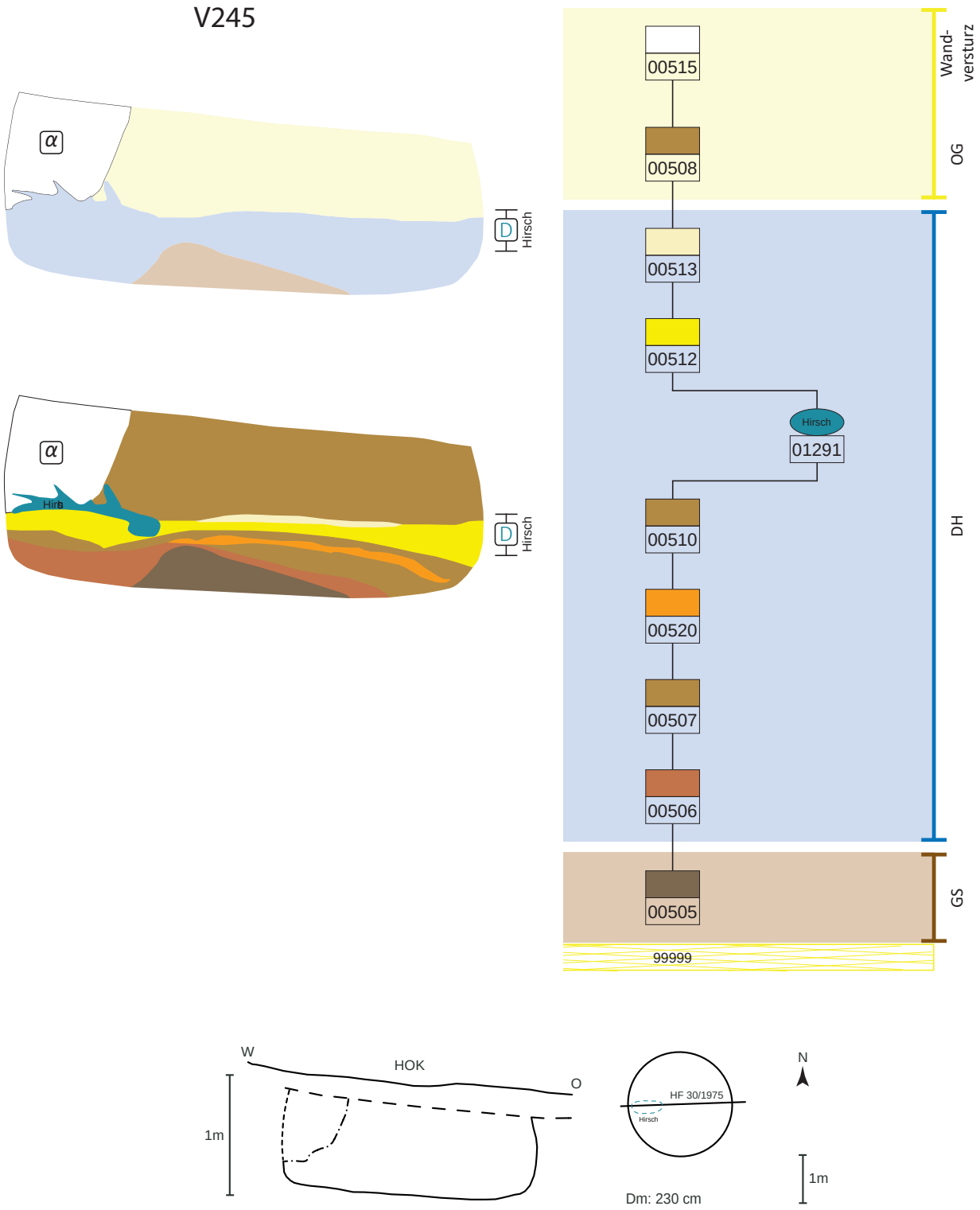


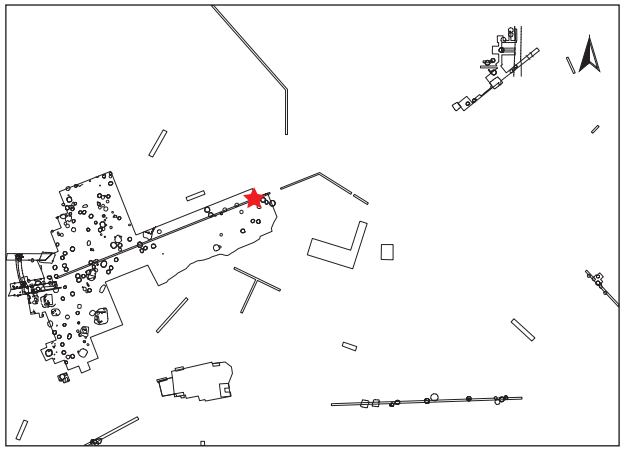
Abb. 273: V245, schematische Darstellung, Schnitt und Lage des Schnittes im Planum. Die Geweihstange wurde von Plannr. HF 31/1970 in dieses idealisierte Profil eingeblendet.

Schichtabfolge V245

Lage in der Grube	Sign.	Schicht-schlüssel	Beschreibung	Kurzbeschreibung	besondere Funde	Höhe ab Sohle in cm
direkt auf der Grubensohle	00505	4	humos, schwach aschig, zentraler Schüttkegel	zentraler Schüttkegel aus Humus mit Asche		0–20
„Deponierungs-horizont“						
	00506	17	aschig-humos mit Hüttenlehmbröckchen	aschig, humos		0–22
	00507	9	humose Überlagerung	humos		0–25
	00520	2	lehmige, gebrannte Schicht	dünne, gebrannte Löß-/Lehmschicht		20–25
mit waagrechter Oberkante	00510	9	humose Schicht	humose Schicht		15–25
Tierdeposition	IF1291	D	Deponierung eines Hirschkopfes mit Geweihteilen[1100]	**Schädel von volladultem, männlichem Hirsch mit Geweihteilen** (Achtender; Abb. 272)		23–35
Tierdeposition	IF1292	D	Deponierung des Teilkadavers eines männlichen Hirsches[1101]	**Teilskelett eines subadulten männlichen Hirsches**		23–35
mit waagrechter Oberkante	00512	3	Lößüberdeckung	abdeckende Lößschicht		18–38
	00513	12	humos-fettige, zentrale Schicht	humos-fettiges, zentrales, dünnes Band		38–40
oberer Grubenbereich	00508	9	humose Verfüllung	humose Verfüllung, fundreich		40–78
verstürzte Wandteile (α)	00515	α	eingebrochener Grubenwandbereich bei verfüllter Grube	reiner Löß von der Grubenwand		40–78

Objekt V341 – Kegelstumpfförmige Grube

Lage	Hügelfeld Quadrant G19, Hügelfeld-Suchschnitt Lfm. 111–113
alte Objektnr.	Verf. 2, 21
Literatur	Pucher 1982. – Hellerschmid 2006. – Penz 2006.
Interfaces	
Signaturen (Schichtnrn.)	00521, 10315–10319



1100. FNr. St. 561. Die Rosenstöcke zeigen ringförmige Eindrücke, post- bis perimortal entstanden, Pucher 1986, 57. – Pucher in Vorbereitung.

1101. Samt Hirnschädel mit schädelechtem Geweihansatz, Pucher 1986, 57. – FNrn. St. 561, 563, 565, Unsicherheiten bzw. Verwirrungen in der Nummerierung und Lage, siehe Pucher in Vorbereitung.

Dokumentationsniveaus/Plana

Plannr.	Planum	alte Verf.	Lage/Quadrant	vertikale Einmessung		
				Ausgangspunkt	relative Tiefe	absolute Höhe in müA
HF 7/1974	Planum 2	21	G19	NW G19	-110 cm	190,02
HF 19/1974	Planum 3	21	G19	NW G19	-130 cm	189,82

Profile/Schnitte

Plannr.	alte Verf.	Hauptprofil		Schnitt	
		Orientierung	Lage/Quadrant	Bezeichnung	unter DOKN
HF 36/1970	o. Nr.	Hügelfeld-Suchschnitt	Nordprofil, Lfm. 105–112,80		HOK
HF 38/1970	2	Hügelfeld-Suchschnitt	Südprofil, Lfm. 112,80–121,05		HOK
HF 39/1970	2	Hügelfeld-Suchschnitt	Südprofil, Lfm. 112,80–105		HOK
HF 23/1974	21	Zwischenprofil	G19	FE	Planum 3

Stratigraphie V341

Objekt V341 wird flächig bis auf eine Tiefe von 0,9 m unter der NO-Ecke von G19 durch eine muldenförmige Grube (V298) gestört.[1102] Über einem Kappungshorizont liegt rezenter Humus (Abb. 274).

Grubenform

Wandverlauf	Sohlenverlauf	Übergang Sohle – Wand	primäre Nutzungsspuren	Auffälligkeiten
steilkonischer Wandverlauf	waagrechte Grubensohle		Wandverputz? (Sign. 10315)	eingebrochener Grubenwandbereich in oberer Grubenhälfte bei verfüllter Grube (α)

Größe und Fassungsvermögen V341

min. Dm. (d): Bereich Sign. 10319	ca. 120 cm
max. Dm. (D): Grubensohle	ca. 180 cm
max. erh. Grubentiefe (h)	124 cm
max. rek. Grubentiefe	205 cm
erh. rek. Fassungsraum der Grube	2,22 m³
rek. Fassungsraum der Grube	2,71 m³
archäolog. Datierung	Ha B3
Zuordnung zu Siedlungsphase	III/1

1102. Grabungsplan HF 36/1970.

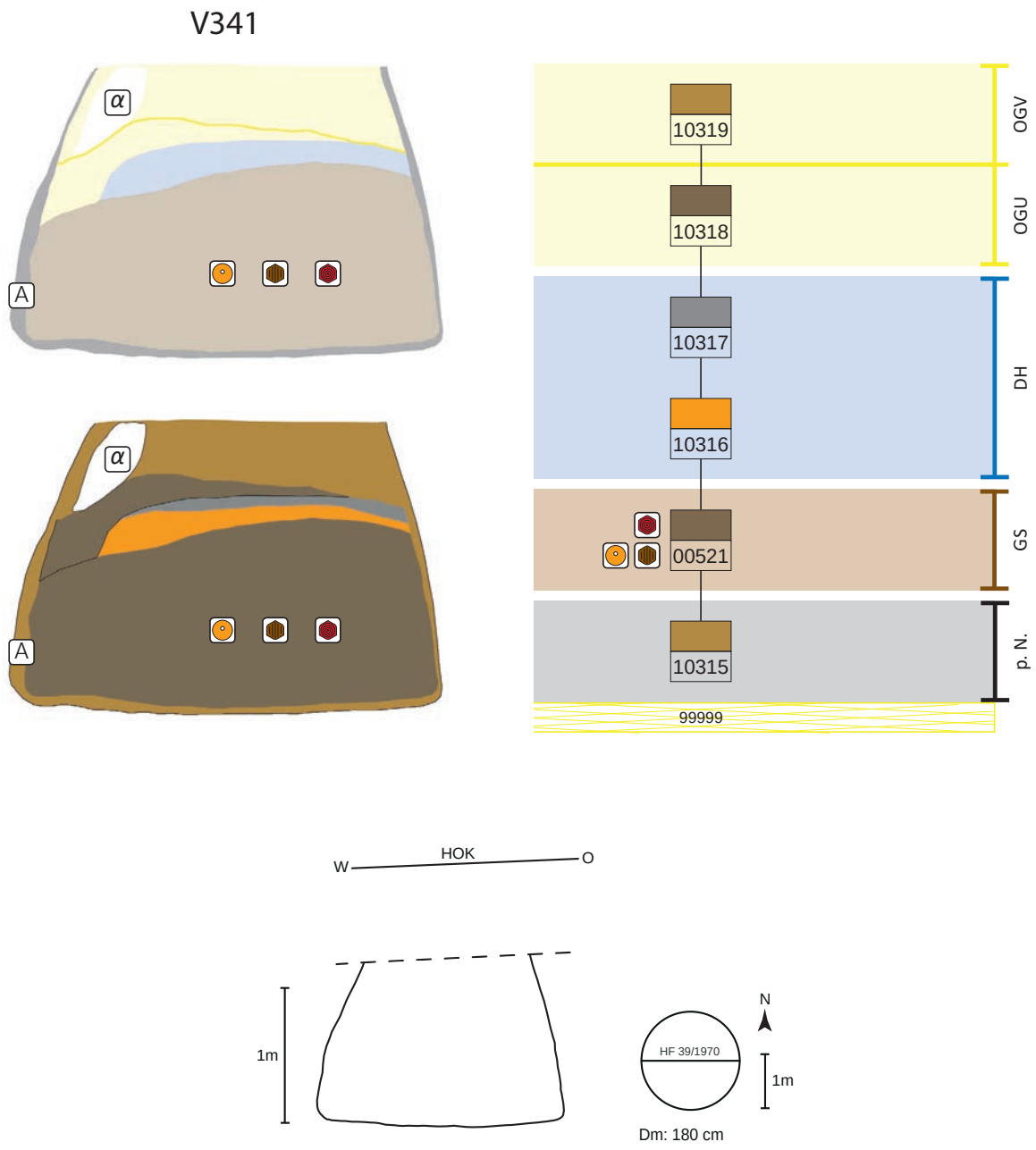


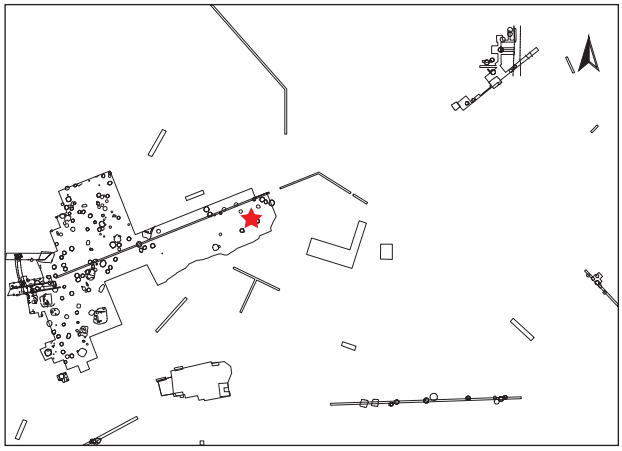
Abb. 274: V341, schematische Darstellung, Schnitt und Lage des Schnittes im Planum.

Schichtabfolge V341

Lage in der Grube	Sign.	Schicht-schlüssel	Beschreibung	Kurzbeschreibung	besondere Funde	Höhe ab Sohle in cm
primäre Nutzungs-spuren?	10315	A 9	Löß-Lehm-Gemisch an der Grubenwand und Sohle verschmiert, meist um 10 cm stark	Wandverputz?		0–4
direkt auf der Grubensohle	00521	4	mächtige, dunkel-humose Verfüllung mit Holzkohlestückchen	Humus, eher fundarm	**scheibenförm. Webgewichtfrg.**[1103] (St. 2340); **Tonscheibenfrg.** (St. 2348)[1104]; **bearbeitetes Geweih-stück** (St. 2344); Biber-Unterkiefer (St. 2440)	4–82
„Deponierungs-horizont“						
	10316	2	verbrannter Lehm mit Keramik	Brandschutt, eher fundarm		62–88
annähernd waagrechte Oberkante, keine Deponierung	10317	1	hellgraue Asche	Brandschutt, fundarm		78–92
oberer Grubenbereich						
	10318	4	dunklere, humose Verfüllung	Humus, fundarm		54–98
	10319	9	helleres Gemisch aus Löß und Humus	Humus, fundarm		85–124
verstürzte Wandteile (α)		α	eingebrochener Grubenwandbereich bei verfüllter Grube	reiner Löß von der Grubenwand		80–120

Objekt V383 – Kegelstumpfförmige Grube

Lage	Hügelfeld Quadrant F18, Riegel F18/F19
alte Objektnr.	Verf. 4, 5, 6
Literatur	Hellerschmid 2006.
Interfaces	
Signaturen (Schichtnrn.)	00523, 10320–10321



1103. Penz 2006, Taf. 10/3.

1104. Penz 2006, Taf. 10/4.

Dokumentationsniveaus/Plana

Plannr.	Planum	alte Verf.	Lage/Quadrant	vertikale Einmessung		
				Ausgangspunkt	relative Tiefe	absolute Höhe in müA
HF 15/1974	Planum 2	5	F18	NW F18	-58 cm	190,72
HF 24/1974	Planum 3	5	F18	NW F18	-96 cm	190,34
HF 98/1974	Planum 1	4	F18–F19	NW F19	-40 cm	190,46

Profile/Schnitte

Plannr.	alte Verf.	Hauptprofil		Schnitt	
		Orientierung	Lage/Quadrant	Bezeichnung	unter DOKN
HF 27/1974	5	Zwischenprofil	F18	AB	Planum 2
HF 41/1974 (Abb. 275)	6	Ostprofil	F18		HOK

Stratigraphie V383

Objekt V383 wird im Nordosten durch Objekt V2258 gestört (Abb. 276). Der obere Grubenbereich erscheint gekappt. Darüber lagert grauer Humus. Über einem weiteren Kappungshorizont liegt rezenter Humus.

Grubenform

Wandverlauf	Sohlenverlauf	Übergang Sohle – Wand	primäre Nutzungsspuren
steilkonischer Wandverlauf	waagrechte bis leicht nach außen gewölbte Grubensohle	eckig	

Größe und Fassungsvermögen V383

min. Dm. (d): Bereich Sign. 0523	122 cm
max. Dm. (D): Grubensohle	164 cm
max. erh. Grubentiefe (h)	68 cm
max. rek. Grubentiefe	165 cm
erh. rek. Fassungsraum der Grube	1,10 m³
rek. Fassungsraum der Grube	1,62 m³
archäolog. Datierung	Ha B

Schichtabfolge V383

Lage in der Grube	Sign.	Schicht-schlüssel	Beschreibung	Kurzbeschreibung	besondere Funde	Höhe ab Sohle in cm
direkt auf der Grubensohle	10320	9	lehmig-humose Verfüllung, mit Lößbröckchen durchsetzt	Lehm-Humus, fundarm		0–14
„Deponierungs-horizont“						
keine waagrechte Oberkante, keine Deponierung	10321	9	flacher, lehmig-humoser Schüttkegel (unsichere Abgrenzung)	Lehm-Humus, fundarm		12–26
oberer Grubenbereich	00523	9	homogene, lehmig-humose Verfüllung	Lehm-Humus, fundarm		12–68



Abb. 275: V383: Ostprofil von Quadrant F18 mit V383 (Grabungsdokumentation Stillfried, Landessammlung Niederösterreich, Bereich Ur- und Frühgeschichte, Fotonr. ST28005).

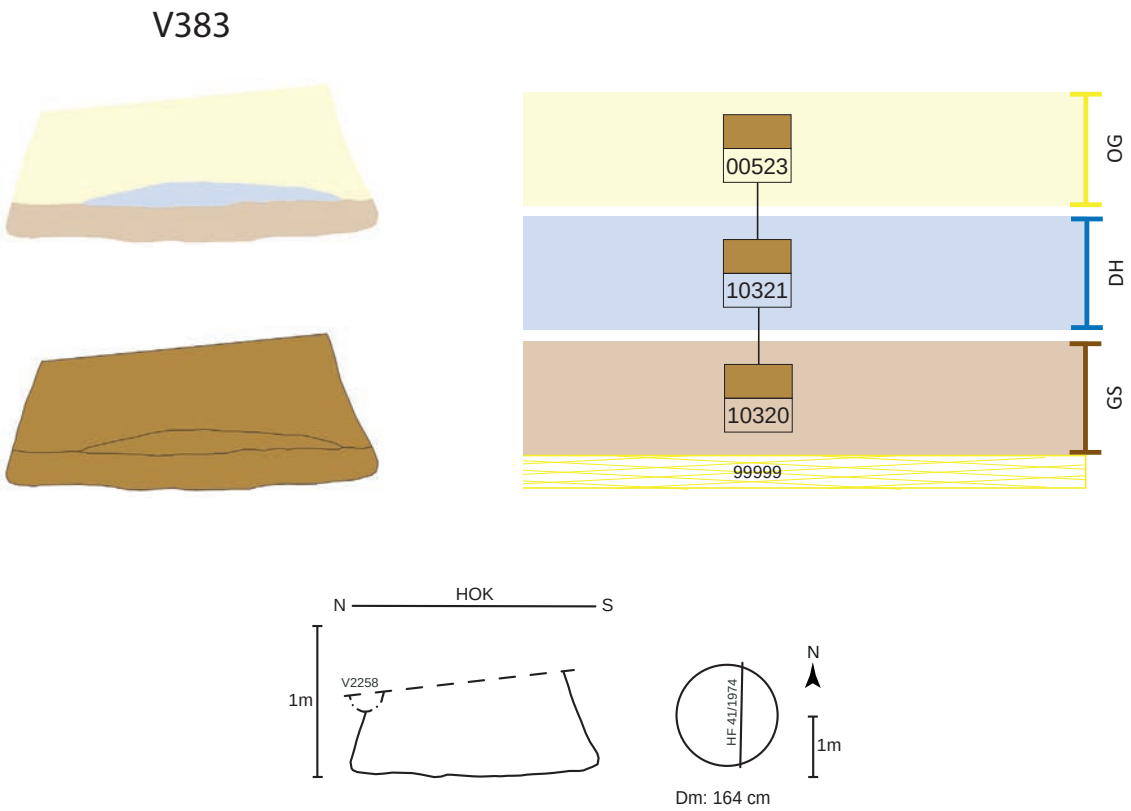
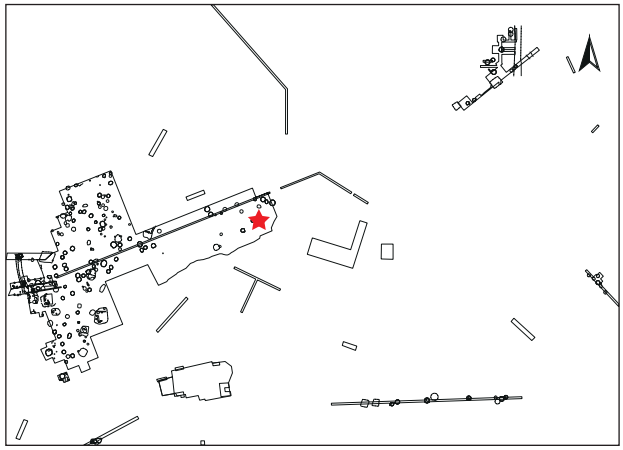


Abb. 276: V383, schematische Darstellung, Schnitt und Lage des Schnittes im Planum.

Objekt V394 – Kegelstumpfförmige Grube

Lage	Hügelfeld Quadranten E19, F19, Riegel E19/F19
alte Objektnr.	Verf. 11
Literatur	Hellerschmid 2006.
Interfaces	
Signaturen (Schichtnrn.)	00524–00526, 10322, 10323



Dokumentationsniveaus/Plana

Plannr.	Planum	alte Verf.	Lage/Quadrant	vertikale Einmessung		
				Ausgangspunkt	relative Tiefe	absolute Höhe in müA
HF 3/1974	Planum 1	11	F19	NW F19	-60 cm	190,25
HF 22/1974	Planum 2	11	F19	NW F19	-72 cm	190,13

Profile/Schnitte

Plannr.	alte Verf.	Hauptprofil		Schnitt	
		Orientierung	Lage/Quadrant	Bezeichnung	unter DOKN
HF 10/1974	11	Zwischenprofil	F19	EF	Planum 1–2
HF 81/1974	11	Zwischenprofile	F19	DC, ML, KH	Planum 2
HF 93/1974	11	Südprofil	F19		HOK

Stratigraphie V394

Objekt V394 wird durch eine pfostengrubenartige Vertiefung (V2255) durchschnitten (Abb. 277). Eine ebensolche Vertiefung (V2256) stört bis in eine Tiefe von 0,8 m unter der SW-Ecke von F19. Im Norden schneidet eine muldenförmige Grube (V2157) bis an die Unterkante ein.[1105] Der obere Grubenbereich erscheint gekappt. Darüber lagert grauer Humus. Über einer weiteren Kappung liegt rezenter Humus.

Grubenform

Wandverlauf	Sohlenverlauf	Übergang Sohle – Wand	primäre Nutzungsspuren
steilkonischer Wandverlauf	nach außen gewölbte Grubensohle	teils eckig, teils gerundet	

Größe und Fassungsvermögen V394

min. Dm. (d): Bereich Sign. 526	242 cm
max. Dm. (D): Grubensohle	263 cm
max. erh. Grubentiefe (h)	78 cm
max. erh. rek. Grubentiefe (HUK)	110 cm
max. rek. Grubentiefe	230 cm
erh. rek. Fassungsraum der Grube	5,05 m³
rek. Fassungsraum der Grube	6,99 m³
archäolog. Datierung	Ha B

1105. Grabungsplan HF 3/1974.

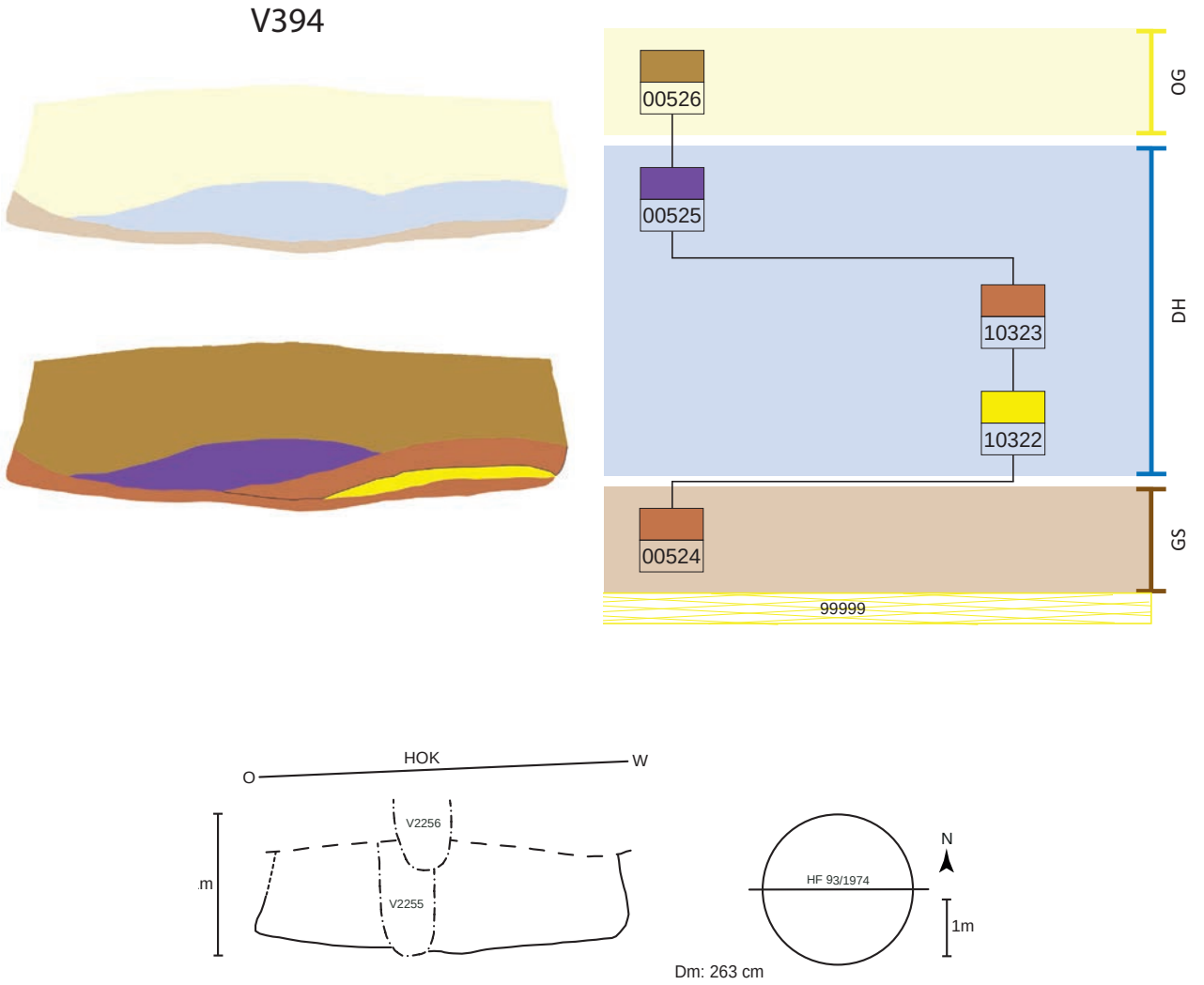


Abb. 277: V394, schematische Darstellung, Schnitt und Lage des Schnittes im Planum.

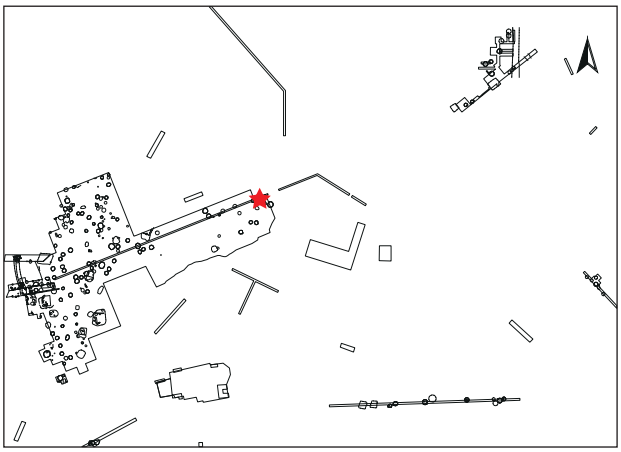
Schichtabfolge V394

Lage in der Grube	Sign.	Schicht-schlüssel	Beschreibung	Kurzbeschreibung	besondere Funde	Höhe ab Sohle in cm
direkt auf der Grubensohle	00524	17	dünne (ca. 5 cm) Humus-Asche-Schicht mit Holzkohle, gleichmäßig auf der Sohle	Humus-Brandschutt-Gemisch, fundarm(?)		0–12
„Deponierungshorizont“						
	10322	3	Lößschicht als flacher Schüttkegel im Westen	Löß, fundarm		6–20
	10323	17	grau-braune Humus-Asche-Schicht mit Holzkohle als flacher Schüttkegel im Westen	Humus-Brandschutt-Gemisch, eher fundarm(?)		6–36
keine waagrechte Oberkante, keine Deponierung, Störung in diesem Bereich	00525	16	zentraler Schüttkegel aus Schichten von Humus, Löß und Asche	Humus, Löß, Asche, eher fundarm(?)	auf der Oberkante 2 große Tierknochen[1106] (St. 2681?)	6–34
oberer Grubenbereich	00526	9	helle, inhomogene Verfüllung aus Löß, mit Humus vermischt	Humus-Löß-Gemisch, fundarm		ab 8

1106. Laut Planbeschreibung HF 22/1974: eine Scapula und eine Tibia. – Siehe auch Plan HF 93/1974 sowie Foto ST110208_28006 (dort links im Hintergrund).

Objekt V407 – Kegelstumpfförmige Grube mit (deponierten?) Vorratsgefäßen

Lage	Hügelfeld Quadrant G20, Hügelfeld-Suchschnitt Lfm. 114–117
alte Objektnr.	Verf. 1, 1D, 2, 2A
Literatur	Eibner 1978a. – Pucher 1982. – Hellerschmid 2006.
Interfaces	4008
Signaturen (Schichtnrn.)	00074, 10324–10328



Dokumentationsniveaus/Plana

Plannr.	Planum	alte Verf.	Lage/Quadrant	vertikale Einmessung		
				Ausgangspunkt	relative Tiefe	absolute Höhe in müA
HF 5/1976	Planum 1	1D	G20	NW G20	-110 cm	189,47
HF 41/1976	Planum 3	1D	G20	NW G20	-180 cm	188,77

Profile/Schnitte

Plannr.	alte Verf.	Hauptprofil		Schnitt	
		Orientierung	Lage/Quadrant	Bezeichnung	unter DOKN
HF 38/1970	2	Südprofil	Hügelfeld-Suchschnitt		HOK
HF 14/1976	2A	Zwischenprofil	G20	CD	Planum 1
HF 19a/1976	1	Zwischenprofil	G20	ABJ	Planum 1
HF 36/1976	1D	Zwischenprofil	G20	KL	Planum 1
HF 45/1976	1D	Nordprofil zu Suchschnitt	G20		HOK

Stratigraphie V407

Im Südosten wird Objekt V407 von einer unregelmäßigen (mittelalterlichen) Grube (V408) bis 2 m unter der NW-Ecke von G20 geschnitten.[1107] Der obere Bereich erscheint gekappt. Darüber lagert rezenter Humus (Abb. 278).

Grubenform

Wandverlauf	Sohlenverlauf	Übergang Sohle – Wand	primäre Nutzungsspuren	Auffälligkeiten
steilkonische Wand	waagrechte Grubensohle	eckig bis leicht gerundet		eingebrochener Grubenwandbereich in oberer Grubenhälfte bei verfüllter Grube (α); seitliche Risse

1107. Grabungsplan HF 19a/1976.

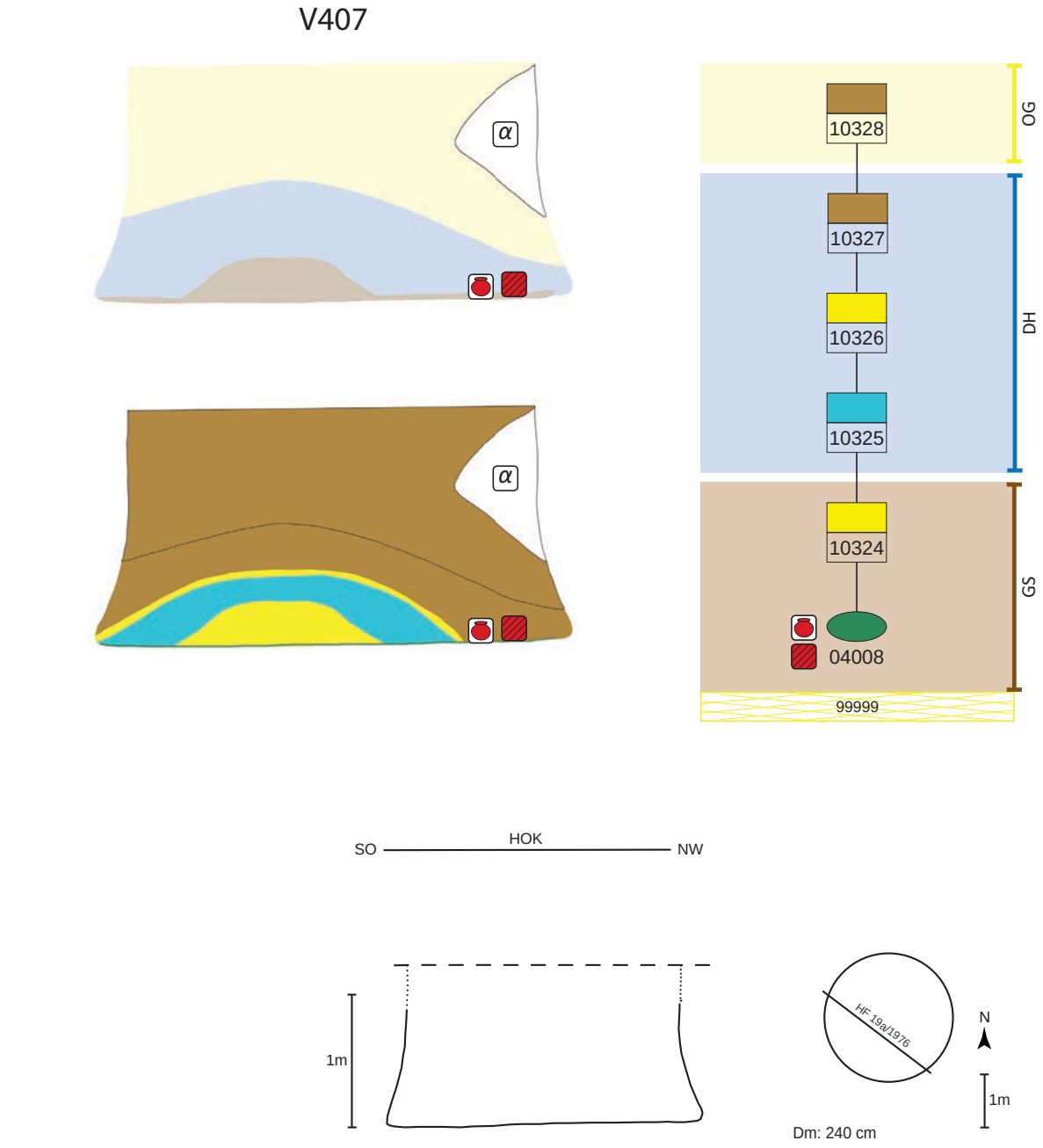


Abb. 278: V407, schematische Darstellung, Schnitt und Lage des Schnittes im Planum.

Größe und Fassungsvermögen V407[1108]

min. Dm. (d): Bereich Sign. 10328	205 cm
min. erh. rek. Dm	130 cm
max. Dm. (D): Grubensohle	240 cm
max. erh. Grubentiefe (h)	120 cm
max. rek. Grubentiefe	165 cm
erh. rek. Fassungsraum der Grube	3,31 m³
rek. Fassungsraum der Grube	3,50 m³
archäolog. Datierung	Ha B2–3
Zuordnung zu Siedlungsphase	II

Schichtabfolge V407

Lage in der Grube	Sign.	Schicht-schlüssel	Beschreibung	Kurzbeschreibung	besondere Funde	Höhe ab Sohle in cm
direkt auf der Grubensohle						
Keramiklage, Deponierung?	IF4008 Sign. 00074	D	deponierte,[1109] vergessene oder weggeworfene, ganze Gefäße (Abb. 279, links oben im Hintergrund)	Vorratsgefäße, Schalen, feinkeramische, verzierte Schüssel (unvollständig)[1110]	**Ganzgefäße** (St. 4462, 4489, 4495; Taf. 38/1)[1111]	0
	10324	3	zentraler Schüttkegel aus hellem Löß	Löß, fundarm(?)		0–22
„Deponierungs-horizont“						
	10325	15	mehrere Schichten aus Humus, Löß, Asche	Humus, Löß, Asche, eher fundarm(?)		0–35
	10326	3	Lößbrocken	Löß		0–38
keine waagrechte Oberkante, keine Deponierung	10327	9	wohl mehrere Schichten von humoser Verfüllung mit wenig Löß	hauptsächlich Humus mit wenig Löß vermischt, eher fundarm(?)		0–60
oberer Grubenbereich	10328	9	humose Verfüllung, teils mit Lößbrocken	Humus mit Lößbrocken		ab 15
verstürzte Wandteile (α)		α	eingebrochener Grubenwandbereich bei verfüllter Grube	reiner Löß von der Grubenwand		70–120

1108. Trotz verstürzter Wände gehen wir von einer kegelstumpfförmigen Grube aus.

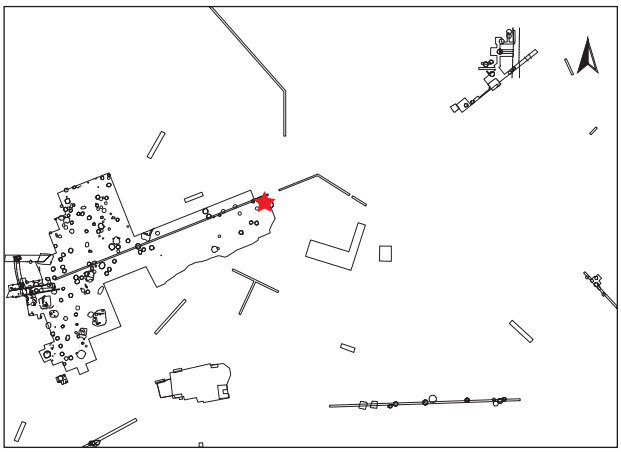
1109. Eibner 1978a, 103.

1110. Hellerschmid 2006, Taf. 42/2–8; 43/1.

1111. Verbleib: Museum Stillfried.

Objekt V409 – Kegelstumpfförmige Grube mit (deponierten?) Vorratsgefäßen

Lage	Hügelfeld Quadrant G20
alte Objektnr.	Verf. 7
Literatur	Eibner 1978a. – Hellerschmid 2006.
Interfaces	4009
Signaturen (Schichtnrn.)	00075–00077



Dokumentationsniveaus/Plana

Plannr.	Planum	alte Verf.	Lage/Quadrant	vertikale Einmessung		
				Ausgangspunkt	relative Tiefe	absolute Höhe in müA
HF 41/1976 (Abb. 279)	Planum 3	7	G20	NW G20	-180 cm	188,77

Profile/Schnitte

Plannr.	alte Verf.	Hauptprofil		Schnitt	
		Orientierung	Lage/Quadrant	Bezeichnung	unter DOKN
HF 19a/1976	7	Zwischenprofil	G20	JBA	Planum 1
HF 47/1976 (Abb. 279)	7	Zwischenprofil	G20	GRST	Planum 1

Stratigraphie V409

Objekt 409 ist durch eine unregelmäßige, mittelalterliche Grube (V408) stark gestört (Abb. 280).

Grubenform

Wandverlauf	Sohlenverlauf	Übergang Sohle – Wand	primäre Nutzungsspuren
steilkonische Wand	waagrechte Grubensohle	eckig-scharfkantig	

Größe und Fassungsvermögen V409

min. Dm. (d): Bereich Sign. 0077	125 cm[1112]
max. Dm. (D): Grubensohle	170 cm
max. erh. Grubentiefe (h)	80 cm
max. rek. Grubentiefe (unter HOK)	180 cm
erh. rek. Fassungsraum der Grube	1,38 m³
rek. Fassungsraum der Grube	2,01 m³
archäolog. Datierung	Ha B2–3
Zuordnung zu Siedlungsphase	II

1112. Geschätzt – nicht erhalten!



Abb. 279: V407, V409: Planum 3 und Schnitt ST in Quadrant G20: V409 rechts vorne mit den Gefäßen am Grubenboden, V407 links hinten (Grabungsdokumentation Stillfried, Landessammlung Niederösterreich, Bereich Ur- und Frühgeschichte, Fotonr. ST28079).

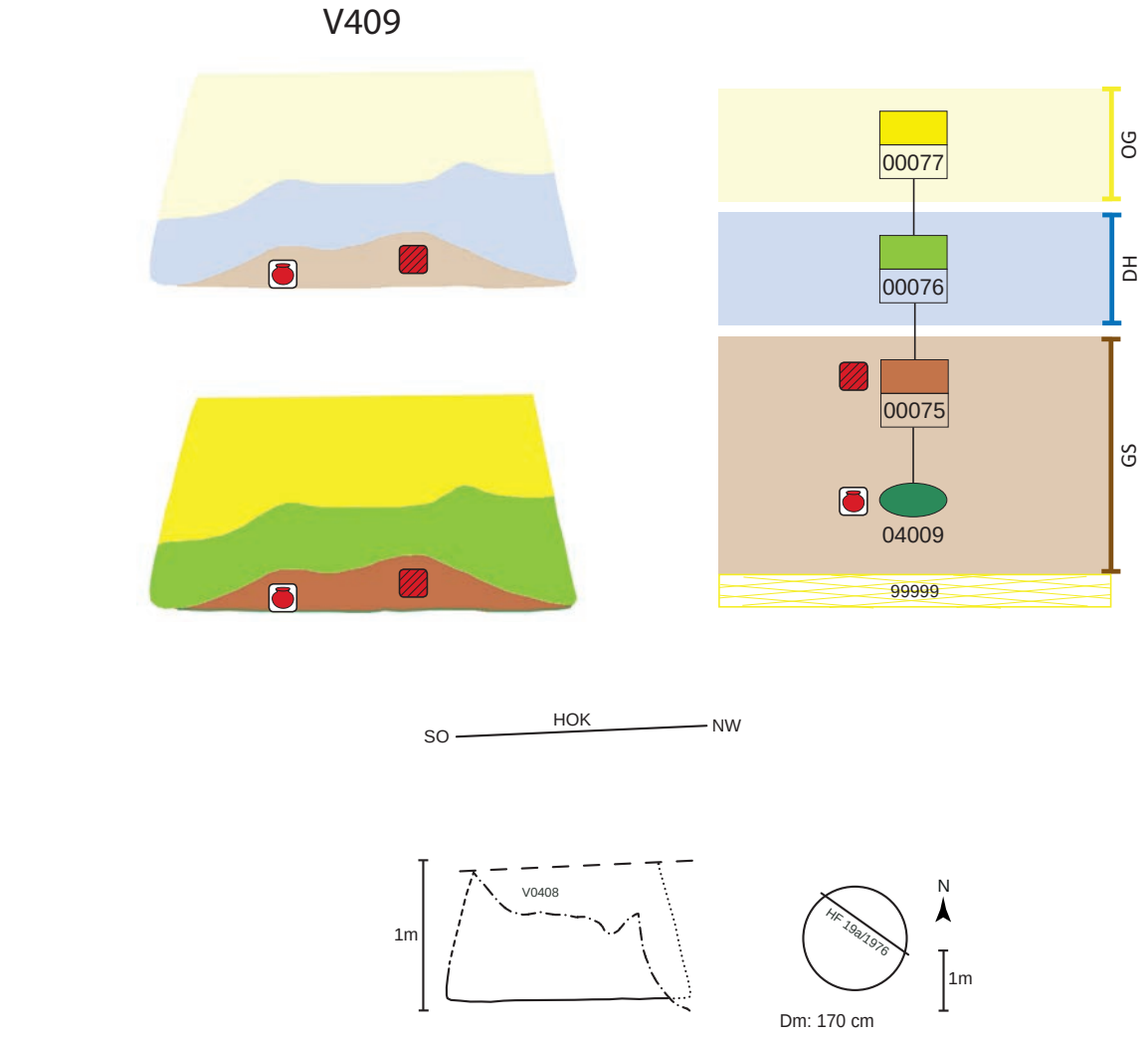


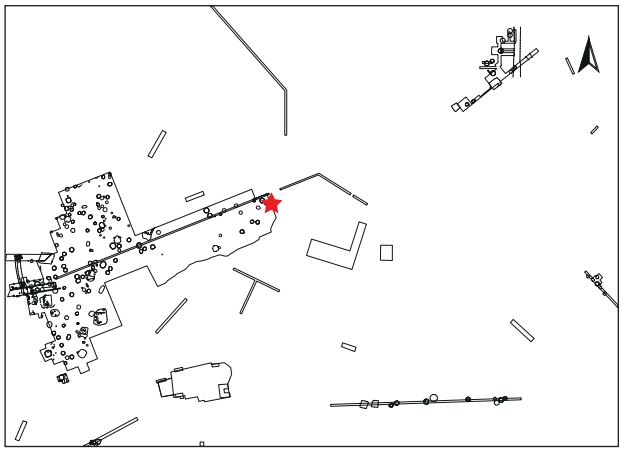
Abb. 280: V409, schematische Darstellung, Schnitt und Lage des Schnittes im Planum.

Schichtabfolge V409

Lage in der Grube	Sign.	Schicht-schlüssel	Beschreibung	Kurzbeschreibung	besondere Funde	Höhe ab Sohle in cm
direkt auf der Grubensohle						
Keramiklage, Deponierung?	IF4009	D	deponierte,[1113] vergessene oder weggeworfene, ganze Gefäße		**2 Vorratsgefäße**[1114] (St. 4412, 4433)	0
	00075	17	braun-humoses/ schwarz-aschiges Material mit zahlreichen Gefäßbruchstücken	Humus-Brandschutt-Gemisch mit Keramik, fundreich	Schale[1115] (St. 4442)	0–20
„Deponierungs-horizont“						
unebene Oberkante, keine Deponierung	00076	14	mehrere Schichten braun-humosen und gelb-lehmigen Materials	Humus- und Löß-schichten, eher fundarm(?)		0–50
oberer Grubenbereich	00077	3	helles, gelb-lehmiges Material	Löß, fundarm		ab 25

Objekt V412 – Kegelstumpfförmige Grube

Lage	Hügelfeld Quadranten G20, F20, Riegel G20/G21, G20/F20
alte Objektnr.	Verf. 6A
Literatur	Hellerschmid-Artner 1997. – Hellerschmid 2006. – Penz 2006.
Interfaces	
Signaturen (Schichtnrn.)	00078, 00079, 00081, 10329–10332



Dokumentationsniveaus/Plana

Plannr.	Planum	alte Verf.	Lage/Quadrant	vertikale Einmessung		
				Ausgangspunkt	relative Tiefe	absolute Höhe in müA
HF 5/1976	Planum 1	6A	G20	SO G20	-100	189,45
HF 41/1976	Planum 3	6A	G20	NW G20	-180	188,77

Profile/Schnitte

Plannr.	alte Verf.	Hauptprofil		Schnitt	
		Orientierung	Lage/Quadrant	Bezeichnung	unter DOKN
HF 17/1976	6A	Zwischenprofil	G20	GTH	Planum 1
HF 33/1976	6A	Ostprofil	G20		HOK
HF 45/1976	6A	Südprofil	G20		HOK
HF 71/1976	6A	Profilriegel	G20/F20		HOK

1113. Eibner 1978a, 103.

1114. Hellerschmid 2006, Taf. 43/2–3.

1115. Verbleib: Museum Asparn/Zaya.

Stratigraphie V412

Grube V412 wird im Norden von Grube V411 gestört (Abb. 281). Der ganze Bereich erscheint im oberen Grubenbereich gekappt. Darüber lagert grauer Humus. Über einem weiteren Kappungshorizont liegt rezenter Humus.

Grubenform

Wandverlauf	Sohlenverlauf	Übergang Sohle – Wand	primäre Nutzungsspuren	Auffälligkeiten
konische bis flachkonische Wand	leicht nach außen gewölbte Grubensohle	eckig-scharfkantig	(verkohlte) Überreste der Einfüllung (Sign. 00078)	eingebrochener Grubenwandbereich in westlicher, oberer Grubenhälfte bei verfüllter Grube (α)

Größe und Fassungsvermögen V412

min. Dm. (d): Bereich Sign. 0081	ca. 140 cm
max. Dm. (D): Grubensohle	315 cm
max. erh. Grubentiefe (h)	111 cm
max. rek. Grubentiefe	165 cm
erh. rek. Fassungsraum der Grube	3,59 m³
rek. Fassungsraum der Grube	5,07 m³
archäolog. Datierung	Ha B

Schichtabfolge V412

Lage in der Grube	Sign.	Schichtschlüssel	Beschreibung	Kurzbeschreibung	besondere Funde	Höhe ab Sohle in cm
direkt auf der Grubensohle	00078	1	dünne, grau-braune Schicht, gleichmäßig auf der Sohle	primäre organische Reste(?), fundarm		0–4
„Deponierungshorizont“						
	10329	15	mehrere, etwa waagrechte Schichten aus verziegeltem Lehm und Asche	Brandschutt, eher fundreich		3–19
	10330	1	dünnes Ascheband	Asche		4–22
	00079	15	mehrere, etwa waagrechte Schichten aus verziegeltem Lehm und Asche	Brandschutt, eher fundreich	**bearbeitetes Hirschgeweih**[1116] (Hackspuren, Halbfertigprodukt, St. 4266)	6–56
	10331	2	im zentralen Bereich verziegelter Lehm	Brandschutt, fundarm(?)		50–61
annähernd waagrechte Oberkante, keine Deponierung	10332	1	abschließende Ascheschicht	Asche, fundarm(?)		40–68
oberer Grubenbereich						
	00081	9	humose Verfüllung, mit wenig Brandschutt vermischt	Humus, wenige, kleine Funde		40–111
		α	eingebrochener Grubenwandbereich[1117]			

1116. Penz 2006, Taf. 11/1.

1117. Siehe Plan HF 45/1976.

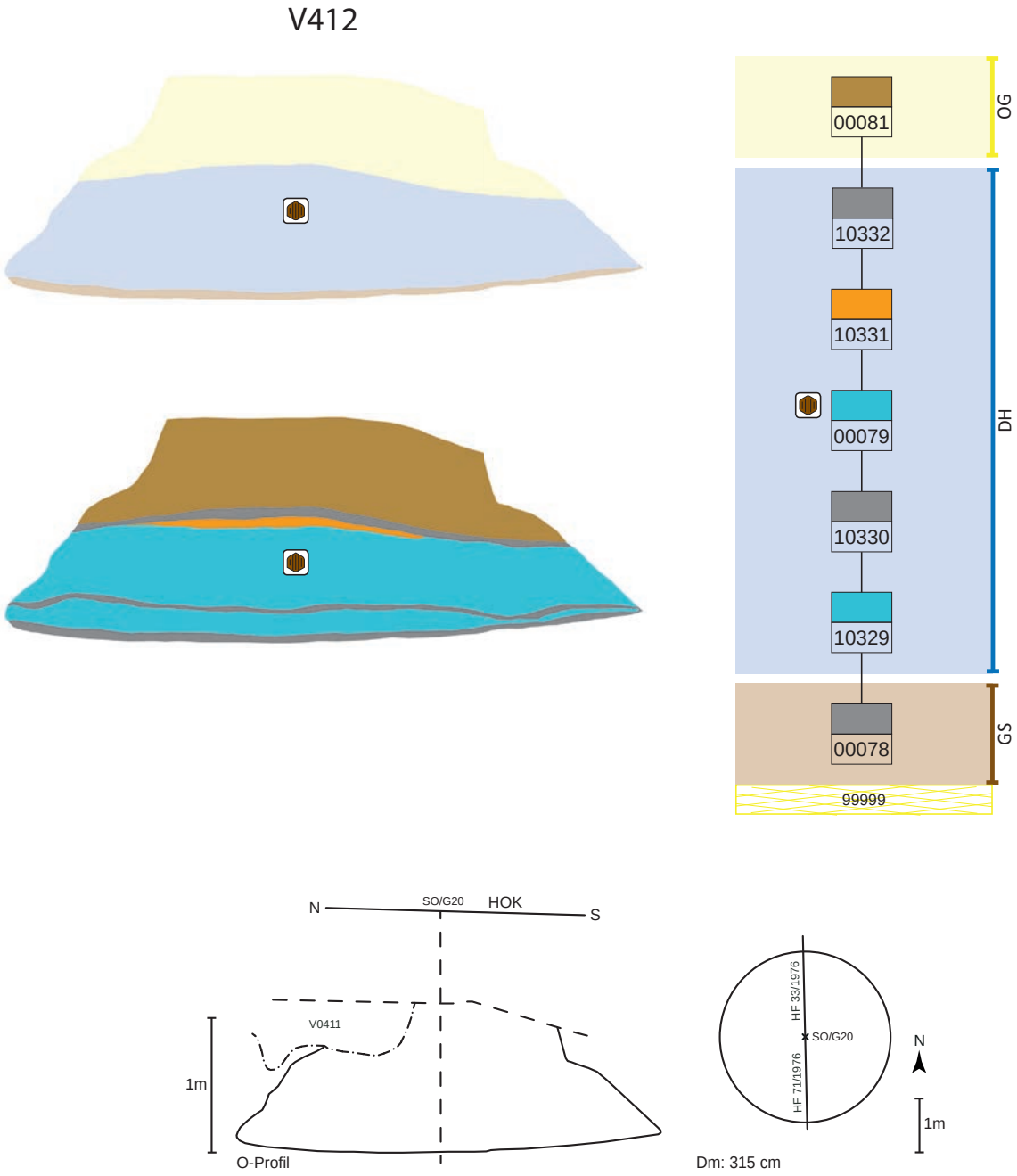
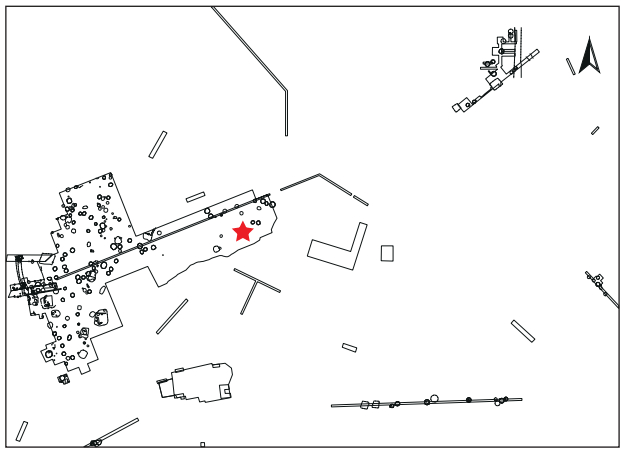


Abb. 281: V412, schematische Darstellung, Schnitt und Lage des Schnittes im Planum.

Objekt V445 – Kegelstumpfförmige Grube mit menschlichem Schädel und Ferkel

Lage	Hügelfeld Quadrant E17
alte Objektnr.	Verf. 1b
Literatur	Eibner 1978a. – Pucher 1986, 46–47. – Heiling-Schmoll 1987, 86–97. – Kohler-Schneider 2001, 86. – Hellerschmid 2006. – Penz 2006. – Pucher 2017, 213. – Pucher in Vorbereitung. – Hellerschmid, Griebl in Vorbereitung.
Interfaces	1315/1314, 1316, 3842
Signaturen (Schichtnrn.)	00084–00087, 00091, 00092



Dokumentationsniveaus/Plana

Plannr.	Planum	alte Verf.	Lage/Quadrant	vertikale Einmessung		
				Ausgangspunkt	relative Tiefe	absolute Höhe in müA
HF 9/1976	Planum 1	1b	E17	NW E17	-75 cm	191,14
HF 42/1976	Planum 2	1b	E17	NW E17	-94 cm	190,95
HF 58/1976 (Abb. 283)	Planum 3	1b	E17	NO E17	-84 cm	190,74
HF 63/1976	Planum 4	1b	E17	NW[1118] E17	-110 cm	190,79
HF 66/1976	Planum 5	1b	E17	NO[1119] E17	-110 cm	190,48

Profile/Schnitte

Plannr.	alte Verf.	Hauptprofil		Schnitt	
		Orientierung	Lage	Bezeichnung	unter DOKN
HF 58/1976 (Abb. 282)	1b	Nordprofil	E17		HOK
HF 39/1976	1b	Zwischenprofil	E17	E‘C	Planum 1

Stratigraphie V445

Grube V445 ist durch einen mächtigen, waagrecht verlaufenden, mittelalterlichen Kappungshorizont weitgehend abgetragen worden. Mittig unter der Sohle befindet sich die Mulde/Pfostengrube V446 (Sign. 00091, 00092), die wahrscheinlich in ursächlicher Verbindung zu V445 steht (Abb. 284).

Grubenform

Wandverlauf	Sohlenverlauf	Übergang Sohle – Wand	primäre Nutzungsspuren	Auffälligkeiten
steilkonisch	waagrecht	gerundet		zentral unter der Grubensohle Mulde V446 von unbekanntem Umriss[1120] mit Pfostensetzung(?), zeitliche Abfolge zwischen V445 und V446 und damit auch die ehem. Funktion von V446 unklar

1118. Am Plan steht als Bezugspunkt NO-Eck von Quadrant E17, diese Angabe wäre jedoch zu tief.

1119. Am Plan steht als Bezugspunkt NW-Eck von Quadrant E17, diese Angabe wäre jedoch zu hoch.

1120. Es liegt weder ein Profilschnitt durch diese „Mulde“ vor, noch gibt es einen Profilschnitt, der V445 in Verbindung mit V446 zeigt.

Größe und Fassungsvermögen V445

min. Dm. (d): Bereich Sign. 00085	110 cm
max. Dm. (D): Sign. 00084	190 cm
max. erh. Grubentiefe (h)	90 cm
max. rek. Grubentiefe	ca. 150 cm
erh. rek. Fassungsraum der Grube	1,63 m³
rek. Fassungsraum der Grube	1,95 m³
archäolog. Datierung	Ha B3
^{14}C-Datierung	Poz-59955[1121]: 2705 ± 30 BP [909 (95,4 %) 807 BC, Mw. 858 BC]
Zuordnung zu Siedlungsphase	III/1

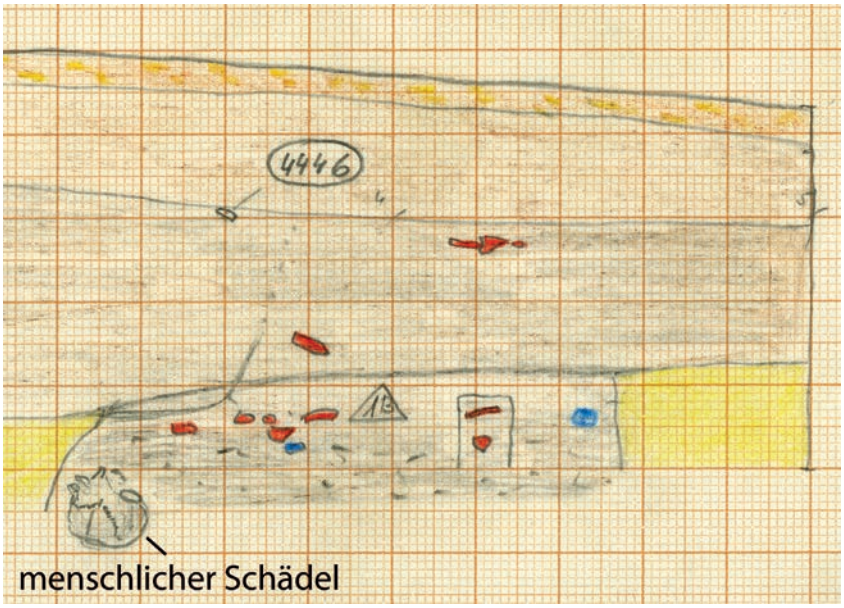


Abb. 282: V445: Das Bild zeigt V445 im Nordprofil von Quadrant E17 mit dem menschlichen Schädel und der mächtigen mittelalterlichen Abtragung. Die Grubengrenze zur Sohle hin ist nicht deutlich zu erkennen (Zeichnung: D. Felgenhauer, Universität Wien, Plannr. HF 58/1976).

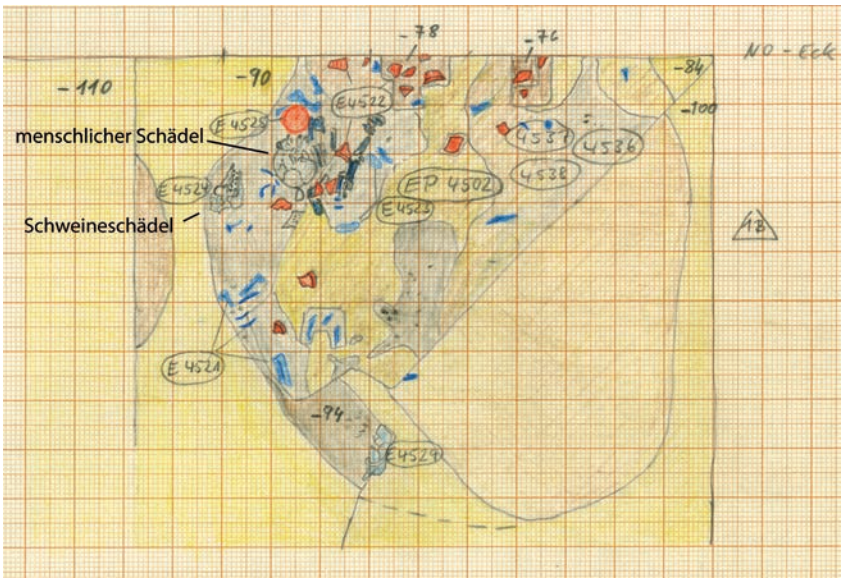


Abb. 283: V445: Planum 3 in Quadrant E17 von V445. Zu sehen ist der menschliche Schädel und Teile des Schweinekadavers mit FNrn. St. 4524 (Schädel), 4521, 4537(?) (Knochen sind blau gefärbt; Zeichnung: D. Felgenhauer, Universität Wien, Plannr. HF 58/1976).

1121. Probe FNr. St. 4443 (menschlicher Unterkiefer).

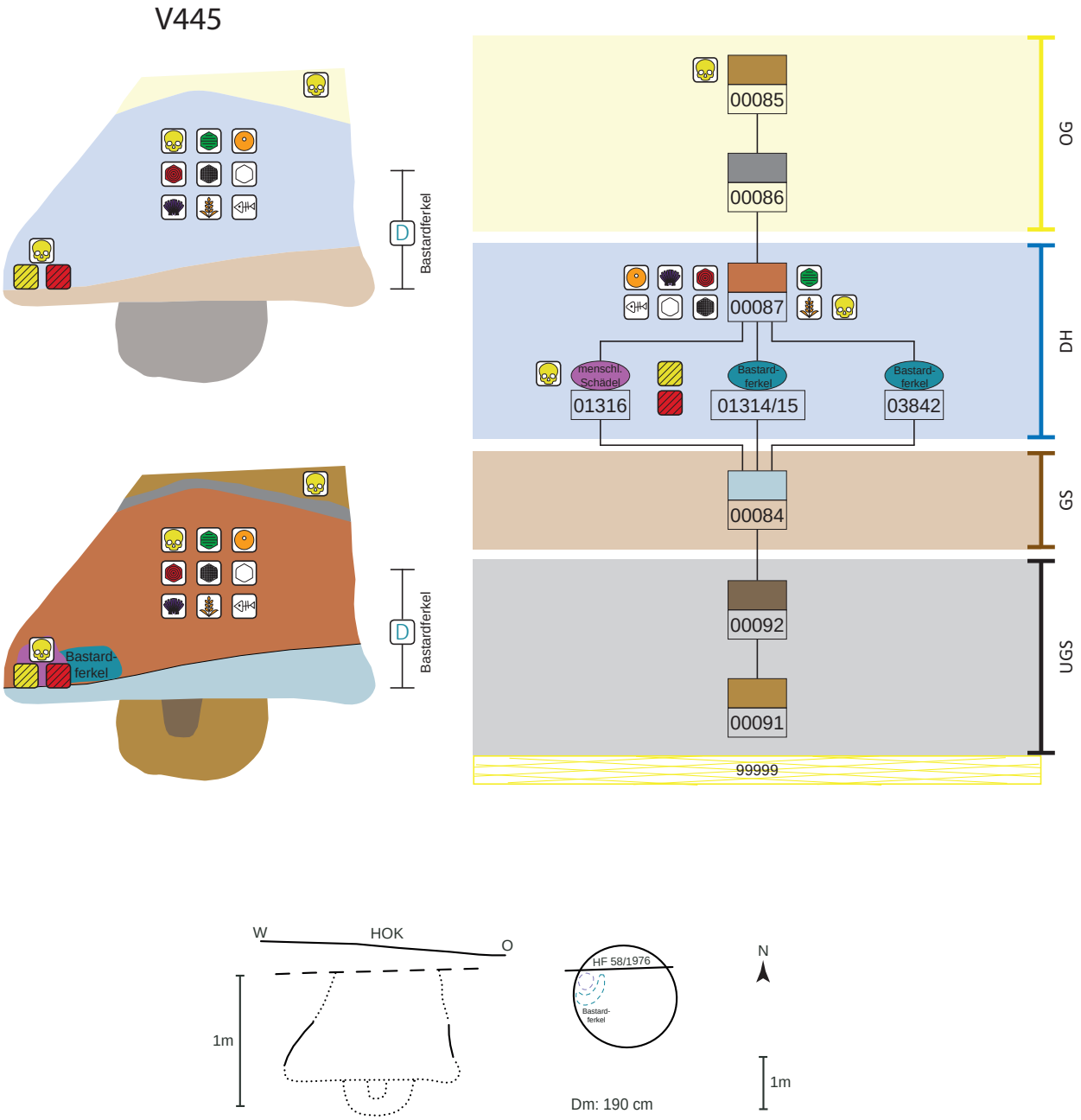


Abb. 284: V445, schematische Darstellung, Schnitt und Lage des Schnittes im Planum.

Schichtabfolge V445

Lage in der Grube	Sign.	Schicht-schlüssel	Beschreibung	Kurzbeschreibung	besondere Funde	Höhe ab Sohle in cm
unter der Grubensohle						
(V446)	00091	9	zentrale Mulde, mit Humus verfüllt	mittige Mulde unter der Grubensohle		-?–0
(V446)	00092	4	dunkelhumose Verfüllung mittig in V446	Pfostengrube? im Zentrum von V446		-?–0
direkt auf der Grubensohle						
Oberkante waagrecht? war kaum auszumachen	00084	11	stark lößhältig mit Asche und Lehmbröckchen	stark lößhältig		0–20
„Deponierungshorizont“						
Deponierung eines menschlichen Schädels	IF1316	D	männlicher Schädel ohne Unterkiefer (Alter etwa 40 J.),[1122] in Seitenlage abgelegt	**Niederlegung eines entfleischten, menschlichen Schädels ohne Unterkiefer** (vorgefundene Lage: Hinterhauptsloch nach oben gerichtet)		10–25
Tierdeposition	IF1315/ 1314	D	Deponierung eines vollständigen (Bastard) Ferkels[1123], unmittelbar östlich des menschlichen Schädels abgelegt, mit Knochen eines zwillingsgleichen, weiteren Ferkels	**Ferkelskelett östlich des menschlichen Schädels.** Die Überzähligkeit einzelner kleiner Elemente deutet auf einige wenige Reste eines zweiten, fast zwillingsgleichen Schweines [IF1314] hin (Substituierung einzelner Skelettabschnitte mit Hilfe von Teilen des zweiten Tieres?)		10–20
Tierdeposition?	IF3842	D	unvollständiges Skelett eines (Bastard)Ferkels	**unvollständiger Ferkelkadaver,** genaue Fundlage unbekannt[1124]		10–20
	00087	17	fundreicher Brandschutt mit vielen Keramikbruchstücken und Tierknochen, auch einem Bärenknochen, Muschel- und Fischresten, verkohltem Getreide	(Haus)Brandschutt	**verziertes scheibenförm., Webgewicht** (St. 4260; Taf. 39/1); **Tonmodellfrg. eines Scheibenrades**[1125] (Dm. 9 cm; Dicke 1–2 cm, St. 4437; Taf. 39/2); **bronzenes Griffangelmesser** (St. 4366; Taf. 39/3); **menschliche Unterkieferhälfte** (adult, männlich?, St. 4443);[1126] **Flussmuschelschalen** (St. 4173, 4523); **1 gelochte Flussmuschelschale** (St. 4173); **verkohltes Getreide und verkohlte Wildpflanzen**[1127] (St. 4502); **Arbeitsstein**[1128] (Quarzitgeröll mit Pickspuren, St. 4439); **Fischreste** (St. 4559)	10–75

1122. Ohne Fundnummer, nicht auffindbar.

1123. Alter: 8–10 Wochen, FNrn. St. 4524, 4521, 4537. Es handelt sich mit hoher Wahrscheinlichkeit um eine Kreuzung von Haus- und Wildschwein (beim männl. Tier wird es sich um die Wildform gehandelt haben), Pucher 1986, 46–47. – Pucher in Vorbereitung, Tabelle.

1124. Alter: 8–10 Wochen, FNrn. St. 4431, 4437, Pucher 1986, 47. – Pucher in Vorbereitung (Kap. 2.1.4.5).

1125. Penz 2006, Taf. 11/3.

1126. Die Bruchkante am Kinn ist am kollagenhaltigen Knochen entstanden, siehe Hellerschmid, Griebl in Vorbereitung (Beitrag von Wiltschke-Schrotta, Marschler). – Ein weiterer menschlicher Knochen (Brustwirbel, juvenil, FNr. St. 4172) stammt aus der obersten (erhaltenen) Schicht 00085, die bereits durch ein jüngeres Objekt (V0437) gestört war.

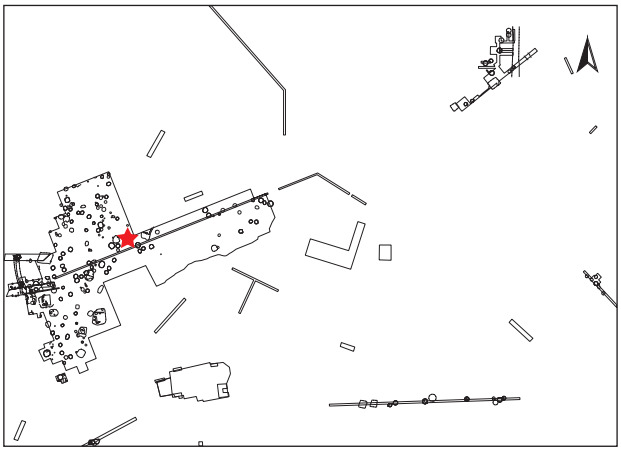
1127. Kohler-Schneider 2001, 86.

1128. Penz 2006, Taf. 11/4.

Lage in der Grube	Sign.	Schicht-schlüssel	Beschreibung	Kurzbeschreibung	besondere Funde	Höhe ab Sohle in cm
oberer Grubenbereich						
	00086	1	dunkel-graubraun, aschig, humos	aschig-humos		70–80
	00085	9	Löß-Humus-Gemisch	humos-lößige Füllung	**menschlicher Wirbelknochen, juvenil** (St. 4172)	75–85

Objekt V479 – Kegelstumpfförmige Grube mit Ferkel und zwei Feldhasen

Lage	Hügelfeld Quadranten H7, H8, Riegel H7/H8
alte Objektnr.	Verf. 1, 3
Literatur	Pucher 1986, 45. – Heiling-Schmoll 1987, 62–71. – Kohler-Schneider 2001, 84–75, 179. – Hellerschmid 2006. – Penz 2006. – Griebl, Hellerschmid 2015. – Hellerschmid, Griebl in Vorbereitung. – Pucher in Vorbereitung.
Interfaces	1310–1312, 2479
Signaturen (Schichtnrn.)	00093–00095, 00105, 10475, 10476



Dokumentationsniveaus/Plana

Plannr.	Planum	alte Verf.	Lage/Quadrant	vertikale Einmessung		
				Ausgangspunkt	relative Tiefe	absolute Höhe in müA
HF 7/1978	Planum 1	3	H8	NW H8	-70 cm	196,97
HF 13/1978	Planum 2	3	H8	NW H8	-95 cm	196,72
HF 15/1978	Planum 3	3	H8	NW H8	-135 cm	196,32
HF 16/1978	Planum 4	3	H8	NW H8	-190 cm	195,77
HF 1/1979	Planum 1	1	H7	NW H7	-58 cm	197, 32
HF 4/1979	Riegelplanum 1a (Nordteil)	o. Nr.	H7/H8	NW H8	-128 cm	196,39
HF 20/1979 (Abb. 285)	Riegelplanum 2	o. Nr.	H7/H8	NW H8	-215 cm	195,52
HF 20/1979	Riegelplanum 3	o. Nr.	H7/H8	NW H8	-220 cm	195,47
HF 21/1979 (Abb. 41/4)	Riegelplanum 4	o. Nr.	H7/H8	NW H8	-230 cm	195,37

Profile/Schnitte

Plannr.	alte Verf.	Hauptprofil		Schnitt	
		Orientierung	Lage/Quadrant	Bezeichnung	unter DOKN
HF 22/1978	3	Westprofil	H8		HOK

Stratigraphie V479

Grube V479 wird in ihrem nördlichen Bereich großflächig von Objekt V518 gestört (Abb. 286).

Grubenform

Wandverlauf	Sohlenverlauf	Übergang Sohle – Wand	primäre Nutzungsspuren	Auffälligkeiten
senkrecht bis senkrecht ausladend, Schulterknick, im Süden ist senkrechter, geschwungen einziehender oberer Wandverlauf erhalten	waagrecht	gerundet		zentral unter der Grubensohle seichte Vertiefung von unregelmäßig rechteckiger Form mit waagrechter Sohle; als Feuerstelle angelegt? und genutzt

Größe und Fassungsvermögen V479

min. Dm. (d): Bereich Sign. 00105	130 cm
max. Dm. (D): Sign. 00095	230 cm
max. erh. Grubentiefe (h)	200 cm
max. rek. Grubentiefe	ca. 260 cm
erh. rek. Fassungsraum der Grube	5,22 m³
rek. Fassungsraum der Grube	5,63 m³
archäolog. Datierung	Ha B3
Zuordnung zu Siedlungsphase	III/2



Abb. 285: V479: Blick auf Planum 2 des Riegelplanums der Quadranten H7/H8 mit V479. Der am westlichen Grubenrand abgelegte Feldhase (ohne Kopf , IF1310) ist gut zu erkennen. Das abwechselnd eingefüllte Humus- und Lößmaterial der Schicht 00095 zeichnet sich ringförmig ab (Grabungsdokumentation Stillfried, Landessammlung Niederösterreich, Bereich Ur- und Frühgeschichte, Fotonr. ST02093).

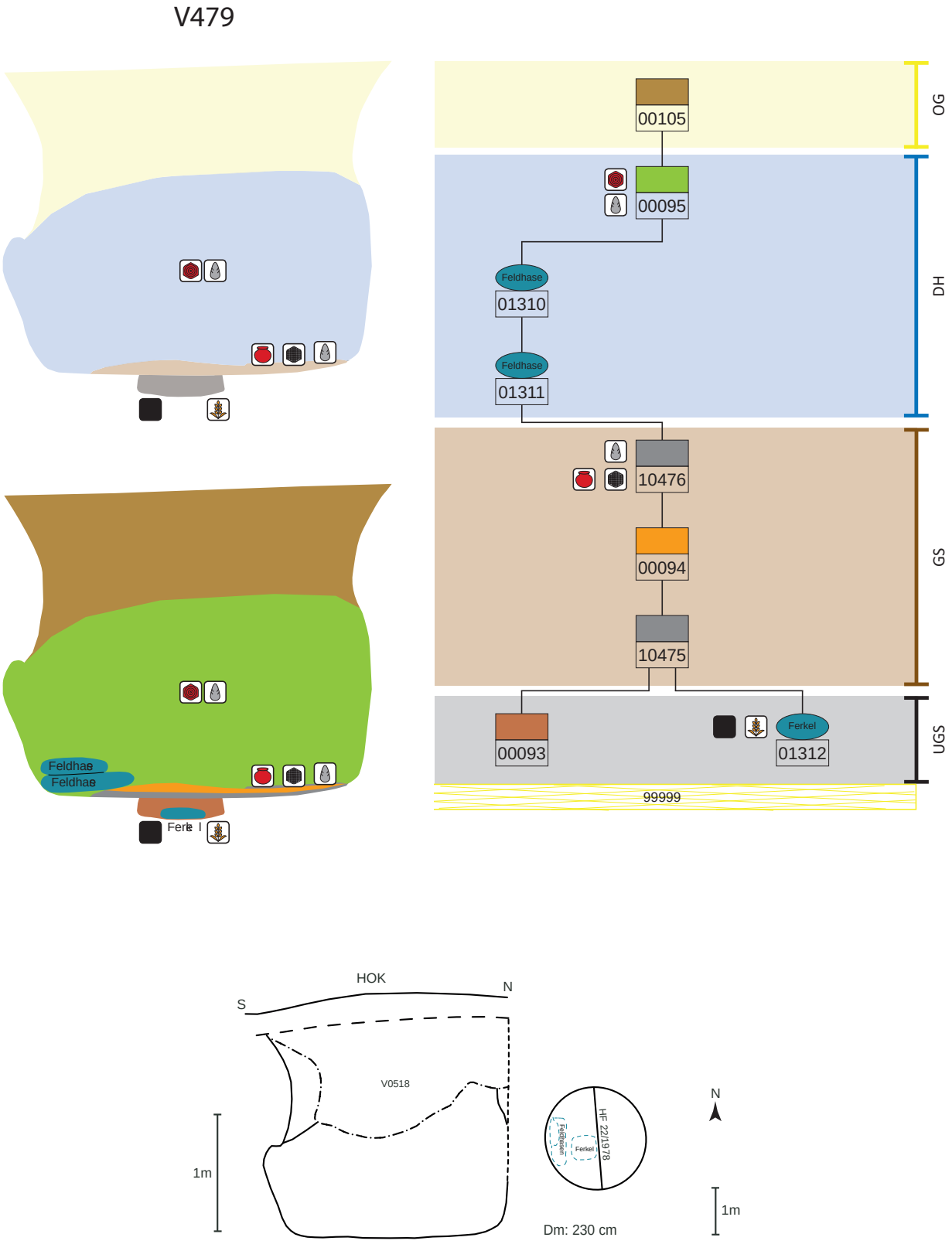


Abb. 286: V479, schematische Darstellung, Schnitt und Lage des Schnittes im Planum.

Schichtabfolge V479

Lage in der Grube	Sign.	Schicht-schlüssel	Beschreibung	Kurzbeschreibung	besondere Funde	Höhe ab Sohle in cm
unter der Grubensohle						
Tierdeposition	IF1312	D	in zentraler Mulde (IF2479) knapp unter der Grubensohle wurde unvollständiges Ferkel[1129] abgelegt und verbrannt, Brandspuren auf Schädel und Extremitäten; beim Schwein befindliche verkohlte Pflanzenteile (Getreidekörner, Drusch usw.)	in der Mulde knapp unter der Grubensohle wurde Ferkel abgelegt und mit (Eichen) Holz[1130] verbrannt; im Bereich des Ferkels verkohlte Getreidekörner, Drusch- und Wildpflanzenreste	**Hausschweinferkel** (St. 5208); **verkohlte Kultur- und Wildpflanzen**[1131] (St. 5209)	-15–0
	00093	17	humose Abdeckung des Brandgeschehens	Abdeckung der Feuerstelle (Holzkohle, Asche, gebrannter Löß) mit Humus (Taf. 40/2)		-15–0
direkt auf der Grubensohle						
Holzrost für weiteres Brandgeschehen?	10475	1	dünne Holzkohleschicht	Holzkohlelage		0–3
	00094	2	rot gebrannte Lehm-/Lößschicht	verziegelte Lehm-/Lößplatte		3–6
waagrechte Oberkante	10476	1	dünne Holzkohleschicht	Holzkohlelage, verkohlte Holzstämme		6–10
„Deponierungs-horizont“						
Tierdeposition	IF1311	D	abgelegter Feldhase (adult oder älter),[1132] Knochen sind stark verlagert	**Niederlegung eines Feldhasen am westlichen Grubenrand**		5–15
			dünne Lößüberlagerung des Hasen			
Tierdeposition	IF1310	D	Feldhase (juvenil),[1133] ohne Kopf abgelegt, Knochen im Verband	**Niederlegung eines Feldhasen ohne Kopf am westlichen Grubenrand** (Abb. 285)		15–20
abgelegte Gegenstände			im Zentrum wurden die Scherben eines großen Kegelhalsgefäßes, ein Arbeitsstein („Amboss“) aus Sandstein, ein weiterer Sandstein[1134], ein Silex und Tierknochen abgelegt	zerscherbtes Großgefäß, Arbeitsstein(e) und Silex in Grubenmitte abgelegt	**großes Kegelhalsgefäß** (St. 4949, 4994, 5205, 5187;[1135] Taf. 40/1); **Silex** (St. 5192); **zylindrischer Sandstein mit Gebrauchsspuren und Feuereinwirkung**[1136] (Ambossstein, St. 5193; Taf. 40/3–4)	10–15
	00095	14	abwechselnd eingebrachte Humus- und Lößschichten	Hell-Dunkel-Einfüllung	**scheibenförm. Tonspule**[1137] (St. 4941); **Silex** (St. 5187)	15–110
oberer Grubenbereich	00105	9	Löß-Humus-Gemisch	Diese oberste Verfüllschicht ist im südlichen Wandbereich der Grube erhalten.		110–180

1129. FNr. St. 5208, Alter: fünf Monate, Pucher 1986, 45.

1130. Bestimmung der Holzkohle: Kohler-Schneider 2001, 179.

1131. Kohler-Schneider 2001, 85.

1132. FNr. St. 5195 usw., Pucher 1986, 40.

1133. FNr. St. 5191, Pucher 1986, 40.

1134. FNr. St. 5205, verschollen.

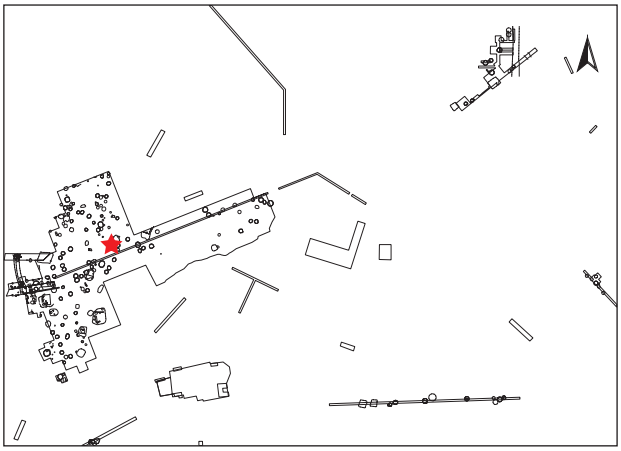
1135. Die anpassende Scherbe mit FNr. St. 5187 kommt aus der Verfüllschicht 00095!

1136. Griebl, Hellerschmid 2015, Abb. 9.

1137. Penz 2006, Taf. 11/5 (dort irrtümlich Obj. 486 zugewiesen – Gegenstand derzeit nicht auffindbar).

Objekt V510 – Kegelstumpfförmige Grube

Lage	Hügelfeld Quadrant H6, Riegel H6/I6
alte Objektnr.	Verf. 1, 1c, 1d
Literatur	Hellerschmid 2006. – Penz 2006.
Interfaces	
Signaturen (Schichtnrn.)	00157, 00158, 10333–10339



Dokumentationsniveaus/Plana

Plannr.	Planum	alte Verf.	Lage/Quadrant	vertikale Einmessung		
				Ausgangspunkt	relative Tiefe	absolute Höhe in müA
HF 7/1979	Planum 1	1	H6	NW H6	-66 cm	197,56
HF 9/1979	Planum 2	1c, 1d	H6	NW H6	-104 cm	197,18
HF 13/1979	Planum 3	1c, 1d	H6	NW H6	-124 cm	196,98

Profile/Schnitte

Plannr.	alte Verf.	Hauptprofil		Schnitt	
		Orientierung	Lage	Bezeichnung	unter DOKN
HF 9/1979	1c	Zwischenprofil	H6	AB	Planum 2
HF 13/1979	1c, 1d	Zwischenprofil	H6	AB	Planum 3
HF 18/1979 (Abb. 287)	1c, 1d	Nordprofil	H6		HOK

Stratigraphie V510

Der obere Bereich des Objektes 510 wird großflächig durch ein wannenförmiges Objekt (V508) bis in eine Tiefe von etwa 1 m unter der NO-Ecke von H6 gestört (Abb. 287). Der obere Grubenbereich erscheint gekappt (Abb. 288). Darüber lagert grauer Humus. Über einem weiteren Kappungshorizont liegt rezentes Erdmaterial.

Grubenform

Wandverlauf	Sohlenverlauf	Übergang Sohle – Wand	primäre Nutzungsspuren
konischer Wandverlauf, im oberen Bereich verstürzt	nach außen gewölbte Grubensohle	eckig-scharfkantig	Überreste der primären Einfüllung(?) (Sign. 10333)

Größe und Fassungsvermögen V510

min. Dm. (d): Bereich Sign. 10338, ca. 60 cm über Sohle	ca. 240 cm
max. Dm. (D): Grubensohle	280 cm
max. erh. Grubentiefe (h)	104 cm
max. rek. Grubentiefe	220 cm
min. erh. rek. Dm.	194 cm
erh. rek. Fassungsraum der Grube	4,63 m³
rek. Fassungsraum der Grube	5,46 m³
archäolog. Datierung	Ha B2–3
Zuordnung zu Siedlungsphase	II



Abb. 287: V510: Nordprofil von Quadrant H6 mit V510 (Grabungsdokumentation Stillfried, Landessammlung Niederösterreich, Bereich Ur- und Frühgeschichte, Fotonr. ST02068).

Schichtabfolge V510

Lage in der Grube	Sign.	Schicht-schlüssel	Beschreibung	Kurzbeschreibung	besondere Funde	Höhe ab Sohle in cm
direkt auf der Grubensohle						
primäre Nutzungsspuren?	10333	4	humoses Material in der Westhälfte und Anhäufung am Ostrand der Grube	zusammengeräumte Reste primärer Verfüllung?		0–20
	00157	2	gebrannter Lehm zentral bis westlich auf Sohle	Brandschutt, fundreich	**2 RS von Miniaturtöpfchen**[1138] (St. 5147, 5151); halbierte Henkeltasse[1139] (St. 5147; Abb. 19, 77); **halbe Tonrassel**[1140] (St. 5151; Taf. 1/3; 38/2); **Reibplattenteilstück**[1141] (St. 5112; Taf. 1/4); **pyramidenstumpfförm. Webgewichtfrg.**[1142] (St. 5110)	0–8
	10334	9	braun-humose Schicht	Humus, eher fundarm?		0–10
	10335	1	zwei Ascheschichten unterbrochen durch dünne, humose Schicht	Brandschutt, teils Funde?		0–20
„Deponierungshorizont“						
	10336	9	braun-humose Schicht	Humus, eher fundarm?		0–40
	00158	9	braun-humose Schicht	Humus, eher fundarm?		0–54?
keine waagrechte Oberkante, keine Deponierung	10337	1	Ascheband, das nach oben zieht	Asche, eher fundarm?		0–60?
oberer Grubenbereich						
	10338	17	braun-humose, mit Hüttenlehm durchsetzte Schicht	Humus-Brandschutt-Gemisch, eher fundarm?		0–70?
	10339	9	hellere, braun-humose Schicht, mit Löß vermischt	Humus-Löß-Gemisch, eher fundarm		ab 30

1138. Hellerschmid 2006, Taf. 51/9–10.

1139. Hellerschmid 2006, Taf. 50/10.

1140. Längshalbiert (absichtsvoll?), Hellerschmid 2006, Taf. 50/9.

1141. Teilstück mit Originalreibfläche und Original-Seitenkanten, Granit, Feuereinwirkung (Maße: erh. L. 14 cm, B. 17 cm, H. 11,5 cm).

1142. Penz 2006, Taf. 13/1.

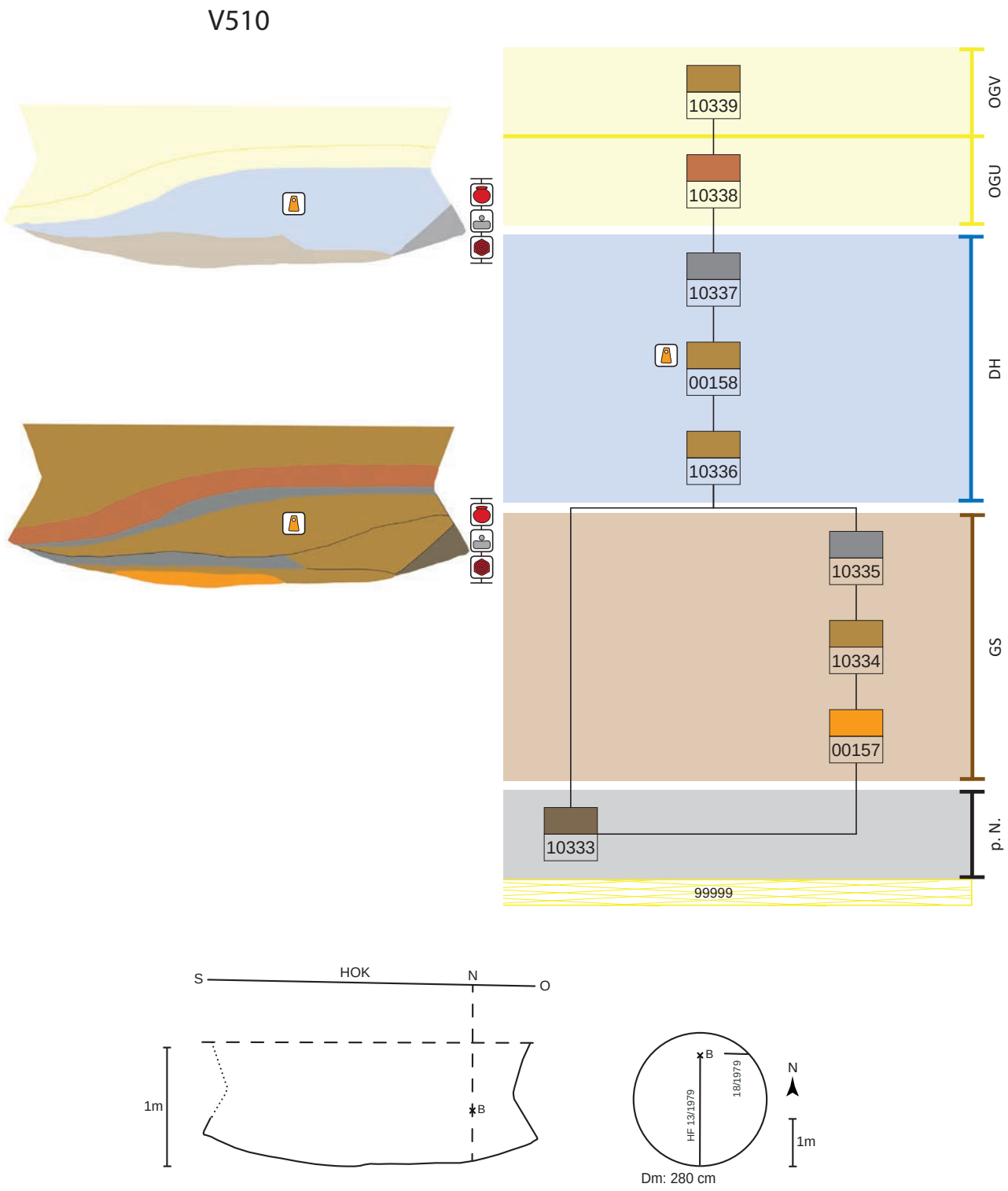
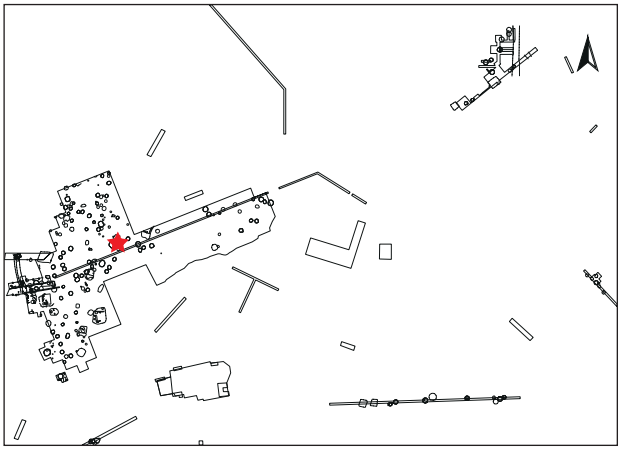


Abb. 288: V510, schematische Darstellung, Schnitt und Lage des Schnittes im Planum.

Objekt V514 – Kegelstumpfförmige Grube

Lage	Hügelfeld Quadranten H6, H7, Riegel H6/H7
alte Objektnr.	Verf. 2, 4
Literatur	Hellerschmid 2006. – Penz 2006.
Signaturen (Schichtnrn.)	00171, 00173, 00174, 00176, 10340



Dokumentationsniveaus/Plana

Plannr.	Planum	alte Verf.	Lage/Quadrant	vertikale Einmessung		
				Ausgangspunkt	relative Tiefe	absolute Höhe in müA
HF 1/1979	Planum 1	4	H7	NW H7	-58 cm	197,32
HF 3/1979	Planum 2	4	H7	NW H7	ca. -104 cm	196,86
HF 7/1979	Planum 1	2	H6	NW H6	-66 cm	197,56
HF 9/1979	Planum 2	2	H6	NW H6	-104 cm	197,18
HF 13/1979	Planum 3	2	H6	NW H6	-124 cm	196,98
HF 19/1979	Planum 1	2	H6/H7	NO H6	-62 cm	197,34

Profile/Schnitte

Plannr.	alte Verf.	Hauptprofil		Schnitt	
		Orientierung	Lage/Quadrant	Bezeichnung	unter DOKN
HF 2/1979	4	Zwischenprofil	H7	JDHG	Planum 1
HF 10/1979 (Abb. 289)	4	Westprofil	H7		HOK
HF 17/1979	2	Ostprofil	H6		HOK

Stratigraphie V514

Im Osten wird Objekt V514 durch Objekt V515 (hoch- bis spätmittelalterliche Grube) gestört.[1143] Der obere Grubenbereich erscheint gekappt. Darüber lagert grauer Humus. Über einem weiteren Kappungshorizont liegt rezentes Erdmaterial (Abb. 290).

Grubenform

Wandverlauf	Sohlenverlauf	Übergang Sohle – Wand	primäre Nutzungsspuren
flachkonischer bis konischer Wandverlauf	unebener Verlauf	teils eckig-scharfkantig, teils gerundet	

1143. Grabungspläne HF 1, 3/1979.

Größe und Fassungsvermögen V514

min. Dm. (d): Bereich Sign. 0174	178 cm
max. Dm. (D): Grubensohle	284 cm
max. erh. Grubentiefe (h)	92 cm
max. rek. Grubentiefe (unter HOK)	124 cm
erh. rek. Fassungsraum der Grube	3,92 m³
rek. Fassungsraum der Grube	4,79 m³
archäolog. Datierung	Ha B

Schichtabfolge V514

Lage in der Grube	Sign.	Schicht-schlüssel	Beschreibung	Kurzbeschreibung	besondere Funde	Höhe ab Sohle in cm
direkt auf der Grubensohle						
	10340	1	grau-aschig, mit Holzkohleflittern	Asche, eher fundarm(?)	**gebrannte Tierphalange (Spielknochen?**[1144] St. 5074); **halbes scheibenförm. Webgewicht**[1145] (St. 5149); **pyramidenstumpfförm. Webgewichtfrg.** (St. 5061)	0–8
	00171	4	dunkelbraun-humoses Material	Humus, eher fundarm(?)		0–12
„Deponierungshorizont“						
	00173	15	mehrere Schichten v. a. Humus, Löß, weniger Asche	Humus, Löß, Asche, fundreich		2–50
keine waagrechte Oberkante, im Westen und Norden relativ flach-geschwungener Abschluss, keine Deponierung	00176	1	Ascheband	Asche, eher fundreich(?)		8–56
oberer Grubenbereich	00174	9	relativ homogene, humose Verfüllung	Humus mit wenig Löß gemischt, fundarm	**vollständiger Tonring**[1146] (St. 5132)	10–98



Abb. 289: V514: Westprofil von Quadrant H7 mit V514 (Grabungsdokumentation Stillfried, Landessammlung Niederösterreich, Bereich Ur- und Frühgeschichte, Fotonr. ST02009).

1144. Laut Inventarliste: Verbleib: Museum Stillfried.

1145. Penz 2006, Taf. 14/1.

1146. Penz 2006, Taf. 14/2.

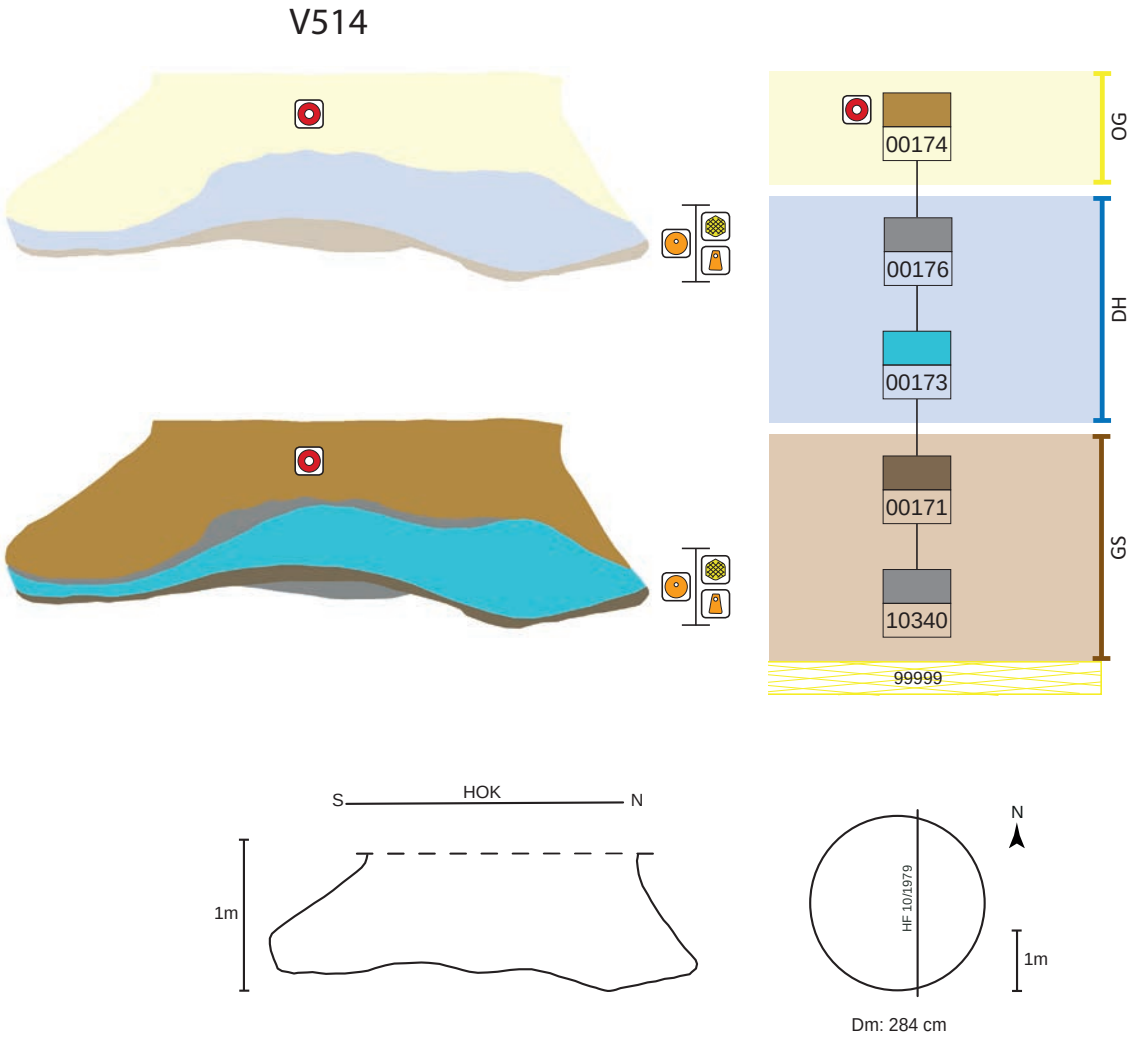
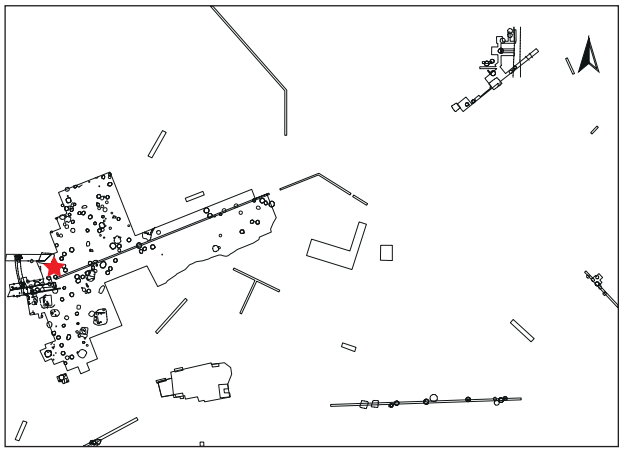


Abb. 290: V514, schematische Darstellung, Schnitt und Lage des Schnittes im Planum.

Objekt V519 – Kegelstumpfförmige Grube mit den Resten eines (Kuppel-)Ofens

Lage	Hügelfeld Quadrant H1/1980, H1/1989, I1, Riegel H1/I1
alte Objektnr.	Verf. 2, 8, 9
Literatur	Hellerschmid 2006.
Interfaces	
Signaturen (Schichtnrn.)	00178–00184, 09033, 09034



Dokumentationsniveaus/Plana

Plannr.	Planum	alte Verf.	Lage/Quadrant	vertikale Einmessung		
				Ausgangspunkt	relative Tiefe	absolute Höhe in müA
HF 4/1980	Planum 1	2	H1	NW H1	-100 cm	198,41
HF 10/1980	Planum 3	2	H1	NW H1	-127 cm	198,14
HF 17/1980 (Abb. 291)	Planum 4	2	H1	NW H1	-187 cm	197,54
HF 33/1980 (Abb. 291)	Planum 1	2	H1/I1	NW H1	-160 cm	197,81
HF 33/1980	Planum 2	2	H1/I1	NW H1	-180 cm	197,61
HF 91/1989	Planum 3	8	H1 (1989)	NW H1	-139 cm	198,02
HF 112/1989	Planum 5	9	H1 (1989)	SW H1 (1989)	-130 cm	198,11

Profile/Schnitte

Plannr.	alte Verf.	Hauptprofil		Schnitt	
		Orientierung	Lage/Quadrant	Bezeichnung	unter DOKN
HF 7/1980	2	Nordprofil	H1		HOK
HF 21/1980	2	Nordprofil	H1		HOK
HF 21/1980	2	Westprofil	H1		HOK
HF 34/1980	2	Westprofil	H1/I1		HOK
HF 117/1989	9	Zwischenprofile	H1 (1989)	UV, ST	Planum 5
HF 117/1989	8	Zwischenprofil	H1 (1989)	OP	Planum 3
HF 122/1989	8	Nordprofil	H1 (1989)		HOK

Stratigraphie V519

Der obere Bereich von Grube V519 ist gekappt (Abb. 292). Darüber lagert grauer Humus. Über einem weiteren Kappungshorizont liegt rezentes Erdmaterial (Sign. 00004). Im westlichen Bereich wird die Grube vom mittelalterlichen Objekt V764 gestört.[1147]

Grubenform

Wandverlauf	Sohlenverlauf	Übergang Sohle – Wand	primäre Nutzungsspuren	Auffälligkeiten
im unteren Bereich steilkonisch mit nach außen gewölbter Wand, darüber konische „Schulter“	waagrecht bis leicht gewölbt ausladend	gerundet, Sohlenrand etwas gehoben		eingebrochener Grubenwandbereich in oberer Grubenhälfte bei verfüllter Grube (Plan HF 4/1980)

Größe und Fassungsvermögen V519

min. Dm. (d): Bereich Sign. 00184	ca. 160 cm
max. Dm. (D): Grubensohle	265 cm (O–W) 295 cm (N–S) Durchschnitt 280 cm
max. erh. Grubentiefe (h)	160 cm
max. rek. Grubentiefe	230 cm
erh. rek. Fassungsraum der Grube	6,23 m³
rek. Fassungsraum der Grube	6,89 m³
archäolog. Datierung	Ha B3
Zuordnung zu Siedlungsphase	III/1

1147. Grabungsplan HF 117/1989.

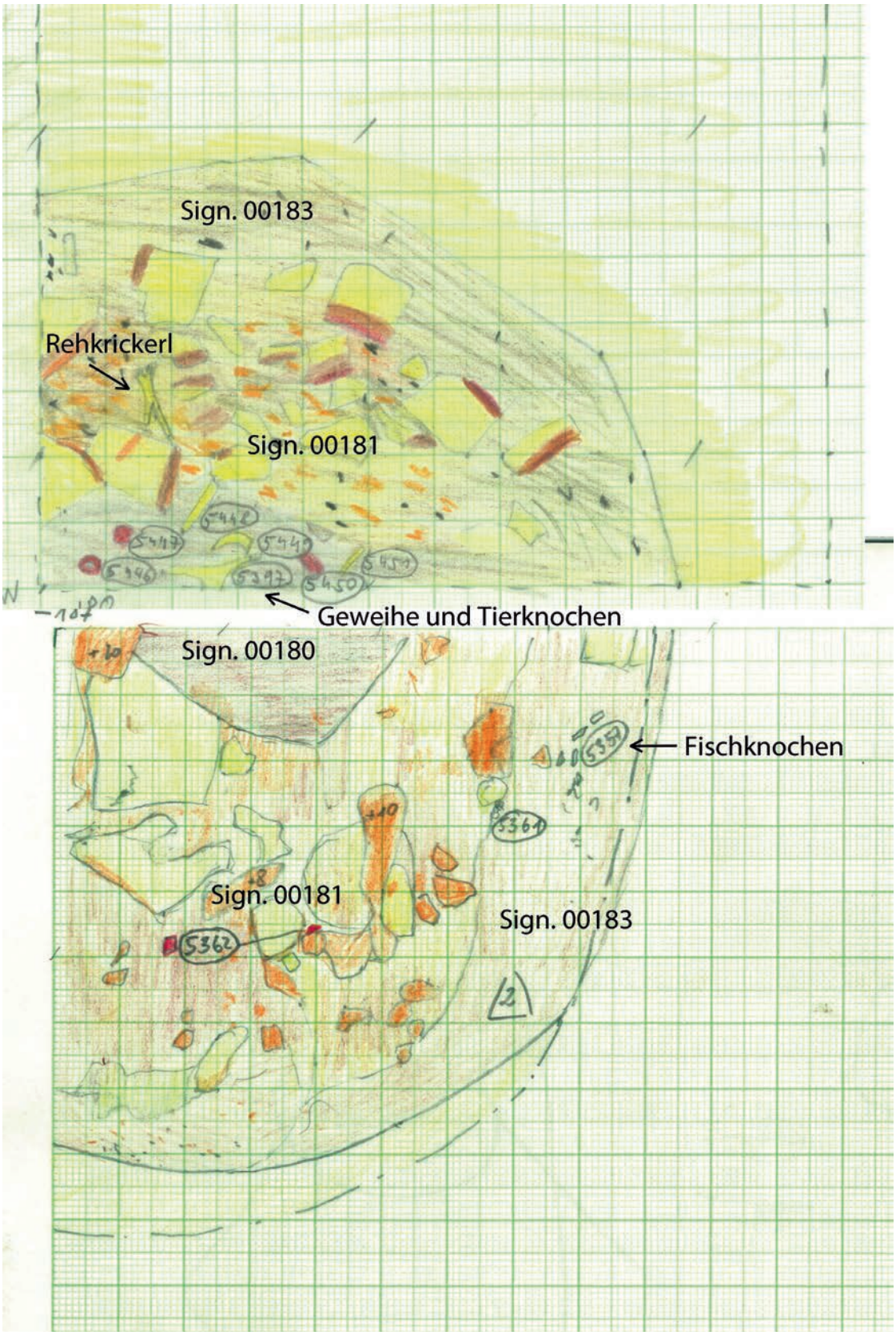


Abb. 291: V519: Planumszeichnungen von V519 etwa auf gleicher Höhe. Unten: Planum 4 von Quadrant H1 (Zeichnung: O. Urban, Universität Wien, Plannr. HF 17/1980). Oben: Planum 1 von Riegel H1/I1 (Zeichnung: W. Weiser, Universität Wien, Plannr. HF 33/1980).

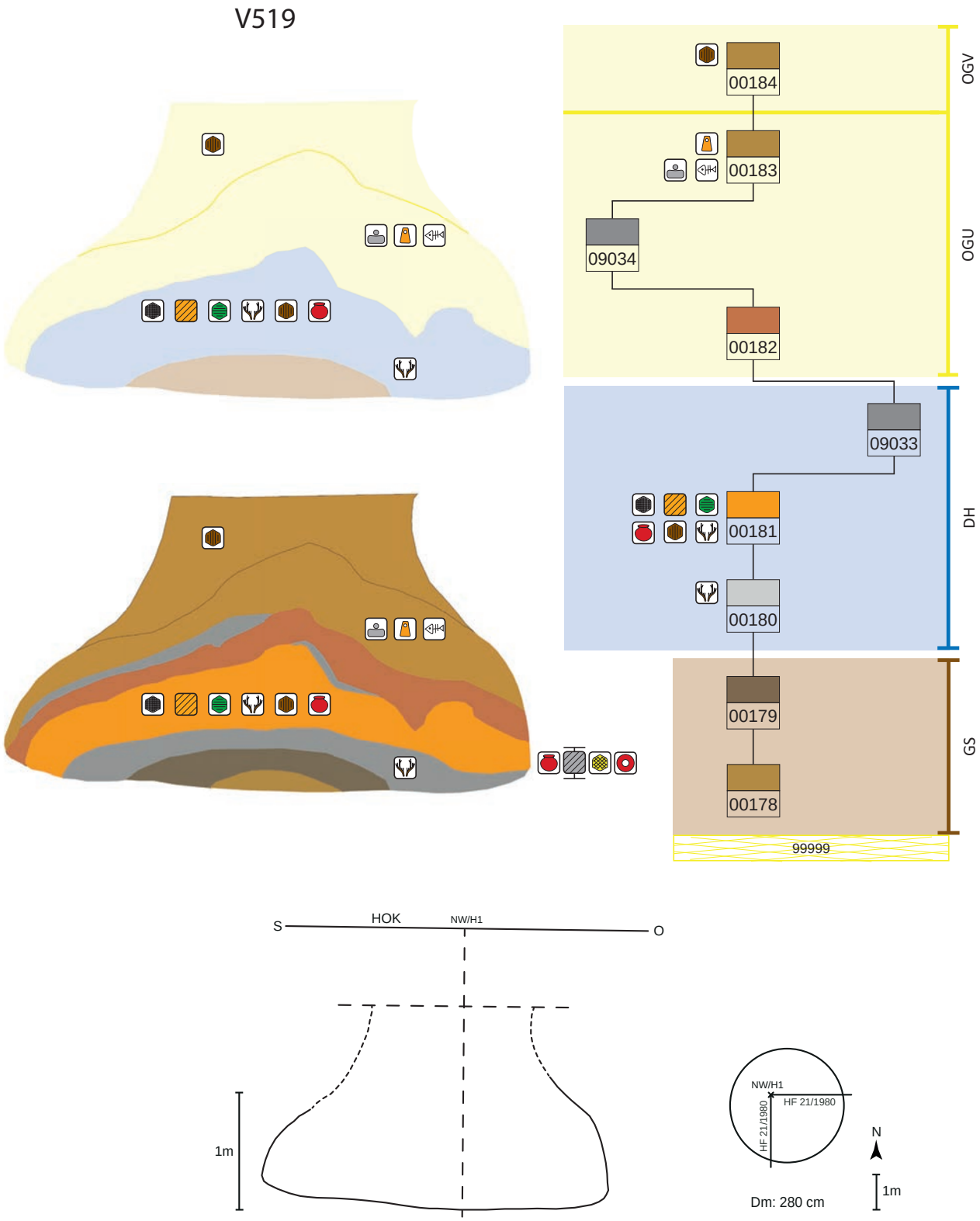


Abb. 292: V519, schematische Darstellung, Schnitt und Lage des Schnittes im Planum.

Schichtabfolge V519

Lage in der Grube	Sign.	Schicht-schlüssel	Beschreibung	Kurzbeschreibung	besondere Funde	Höhe ab Sohle in cm
direkt auf der Grubensohle						
	00178	9	zentraler Schüttkegel aus humosem Material mit Löß	Humus-Löß-Gemisch, eher fundarm		0–22
	00179	4	mehrere Bänder aus humosem Material	Humus, eher fundarm(?)	**Knochenperle**[1148] (St. 5457); **RS einer Miniaturschale**[1149] (St. 5458); **schwach gebrannter Tonring** (St. 5446);[1150] **beidseitig abgesägtes Hirschgeweihstück** (St. 22075; Taf. 41/1); Hornzapfen[1151] (St. 5449)	0–32
„Deponierungshorizont“						
	00180	1	lockere Verfüllung aus Asche, viele Steine (vor allem Bruchsteine, Gerölle)	Asche, fundreich sowohl in der Schicht als uch auf der Oberfläche		0–40
unebene Oberkante, wohl keine Deponierung	00181	2	rot-lehmige Schicht mit zahlreichen verziegelten Hüttenlehm-/Löß-brocken (Reste eines Kuppelofens),[1152] Steine (vor allem Bruchsteine, Gerölle)	Brandschutt, Reste eines Kuppelofens, sehr fundreich!	**kleines Bronzefrg.** (St. 5433); **Trensenseitenstange aus Geweih** (St. 22159; Taf. 42/1); **Rehkrickerl**[1153] (St. ?); **RS einer Miniaturschale**[1154] (St. 5368); **Klopfstein** (St. 5368); Herdplattenfrg.[1155] (St. 5364, 5368, 5441); Ei-Schalen (St. 5363;[1156] Abb. 141)	0–85
	09033	1	dünne Ascheschicht	Asche, fundarm		

1148. Derzeit nicht auffindbar.

1149. Hellerschmid 2006, Taf. 52/3.

1150. Verbleib?

1151. Siehe Planbeschreibung HF 33/1980: „Am Südrand dieser Grube bzw. in der Nähe des Profils von H1 befindet sich das Bruchstück eines Hirschgeweihes, ein Stirnzapfen, einige Knochen, ein ungebrannter Tonring [St. 5446], Keramik [Sign. 00180 oder 00179], etwas weiter dann nach Norden ein Rehkrickerl [Sign. 00181], und außerdem sehr viel Holzkohle, sonstige verziegelte Brocken.“

1152. Reste eines zerstörten (Kuppel)Ofens (FNrn. St. 5353, 5364, 5441, 5459). Es handelt sich um vielfach rechteckig gebrochene, scharfkantige Bruchstücke einer ehemals gerundeten Form, in der an der Innenseite Feuer gewirkt haben, also naheliegenderweise eine Ofenkuppel.

1153. Siehe Planbeschreibung HF 33/1980 sowie Abb. 291.

1154. Hellerschmid 2006, Taf. 52/4.

1155. Dabei könnte es sich um die Ofenplatte gehandelt haben.

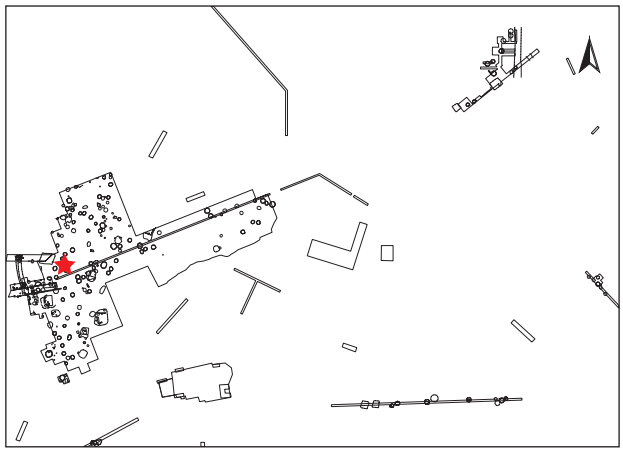
1156. Die Bruchstücke sprechen für ein größeres Ei, wohl von einem Wasservogel (Enten- oder Gänsevogel?), für diese Mitteilung danken wir Hans-Martin Berg (NHM, Vogelsammlung).

Lage in der Grube	Sign.	Schicht-schlüssel	Beschreibung	Kurzbeschreibung	besondere Funde	Höhe ab Sohle in cm
oberer Grubenbereich						
	00182	17	Mischung Humus, Asche, Löß	Humus-Asche-Löß-Gemisch, fundarm		5–100
	09034	1	schmales Ascheband im Süden	Asche, fundarm		10–100
	00183	9	humose Verfüllung, teils mit großen Lößbrocken	Humus, Lößbrocken, eher fundreich(?)	**Fischknochen, -schuppen, Krebse, Muscheln, Schnecken**[1157] (St. 5342, 5357, 5361, 5370, 5445, 5452); **Webgewichtfrg.** (St. 5432); **Steinplatte**[1158] (St. 5439); Herdplattenfrg. (St. 5435)	14–140
	00184	9	humose, lehmig-fettige Verfüllung	Humus, fundarm	**Geweihhammer**[1159] (St. 5230; Taf. 41/2)	ab 100

Zusammenpassende Fundstücke stammen sowohl aus dem oberen Bereich (Planum 1 bis 3, Sign. 00183 oder 00184 unterer Bereich) und aus dem unteren Abschnitt (direkt aus dem Brandschutt Sign. 00181). Das bedeutet, dass die Grube schnell und in einem Zug aufgefüllt wurde.

Objekt V523 – Kegelstumpfförmige Grube mit Keramiklage auf der Sohle

Lage	Hügelfeld Quadranten H1, H2, Riegel H1/H2
alte Objektnr.	Verf. 3, 7
Literatur	Hellerschmid 2006. – Penz 2006.
Interfaces	
Signaturen (Schichtnrn.)	00186, 00187, 00189, 10341, 10342



1157. Siehe auch Planbeschreibungen HF 17/1980 von Planum 4 von H1: „Im nordöstlichen Teil wurden Reste von einem Fisch gefunden (Fundnummer 5361). Weitere Fischreste wurden im gesamten Planum beim Abbau beobachtet. […] In der Grube selbst befinden sich zahlreiche Scherben, Fischknochen, Muscheln, Schnecken, sowie auch Fischschuppen."; Planbeschreibung HF 33/1980 von Planum 1 der Norderweiterung in Riegel H1/I1: „Besonders auffällig sind die Reste von Fischskeletten, außerdem Schnecken und Muscheln".

1158. Datierung fraglich, da der Fund in seiner gleichmäßigen Stärke und rechteckigen Form einer Steinfliese nahekommt (L. 18,5 cm, B. 14 cm, St. 1,6–1,9 cm, schwache Feuereinwirkung).

1159. Verbleib: Museum Stillfried.

Dokumentationsniveaus/Plana

Plannr.	Planum	alte Verf.	Lage/Quadrant	vertikale Einmessung		
				Ausgangspunkt	relative Tiefe	absolute Höhe in müA
HF 3/1980	Planum 2	7	H2	NW H2	-74 cm	198,19
HF 4/1980	Planum 1	3	H1, H1/H2	NO H1	-70 cm	198,31
HF 5/1980	Planum 3	7	H2	NW H2	-88 cm	198,05
HF 17/1980 (Abb. 64, 295, 296)	Planum 4	3	H1, H1/H2	NO H1	-130 cm	197,71
HF 20/1980 (Abb. 293)	Planum 5	3	H1/H2	NW H1	-153 cm	197,48

Profile/Schnitte

Plannr.	alte Verf.	Hauptprofil		Schnitt	
		Orientierung	Lage/Quadrant	Bezeichnung	unter DOKN
HF 3/1980	7	Zwischenprofil	H2	AB	Planum 2
HF 7/1980	3	Ostprofil	H1		HOK
HF 8/1980	7	Westprofil	H2		HOK
HF 20/1980 (Abb. 65, 293)	3	Westprofil	H1/H2	AB	Planum 1
HF 21/1980	3	Nordprofil	H1/H2		HOK

Stratigraphie V523

Objekt V523 erscheint im oberen Grubenbereich gekappt, darüber liegt rezenter Humus (Abb. 294).

Grubenform

Wandverlauf	Sohlenverlauf	Übergang Sohle – Wand	primäre Nutzungsspuren
steilkonischer, unregelmäßiger Wandverlauf (beutelförmig)	nach außen gewölbte Grubensohle	gerundet, Sohlenrand etwas gehoben	

Größe und Fassungsvermögen V523

min. Dm. (d): Bereich Sign. 0189	ca. 205 cm
max. Dm. (D): Grubensohle	ca. 265 cm
max. erh. Grubentiefe (h)	100 cm
max. rek. Grubentiefe	200 cm
erh. rek. Fassungsraum der Grube	4,36 m³
rek. Fassungsraum der Grube	5,79 m³
archäolog. Datierung	Ha B3
Zuordnung zu Siedlungsphase	III/1

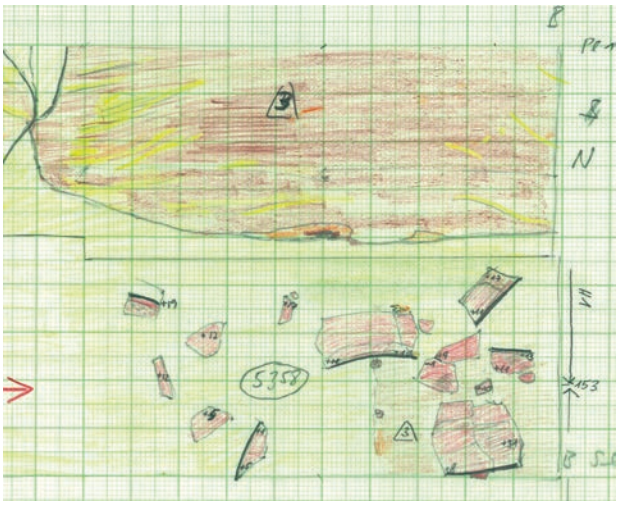


Abb. 293: V523: Zeichnung des Westprofils von V523 (alte Verf. 3 östlich daran anschließend) und des untersten Planums (Planum 5) mit Scherbenstreuung von V523 (Sign. 00186; (Zeichnung: O. Urban, Universität Wien, Plannr. HF 20/1980).

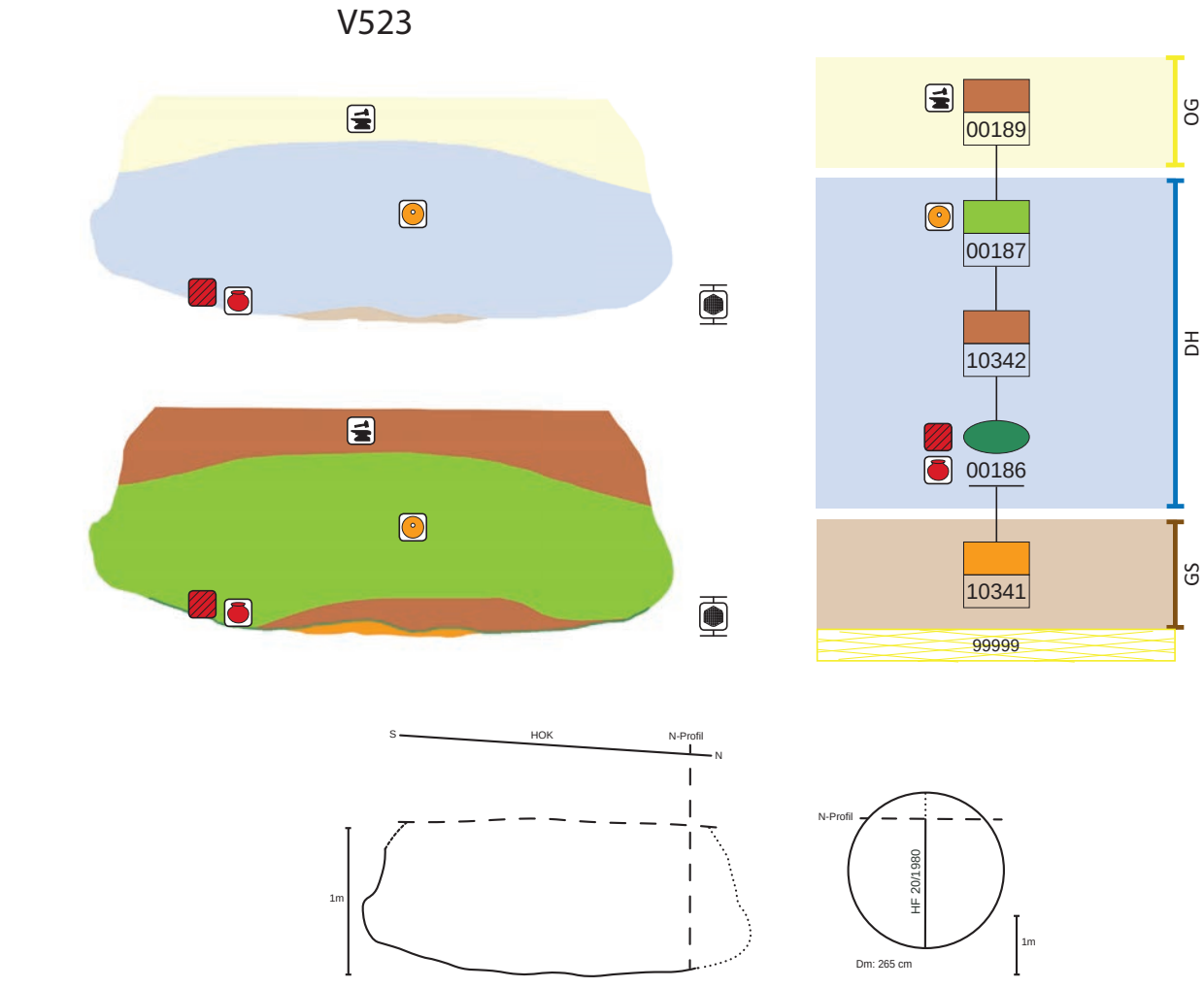


Abb. 294: V523, schematische Darstellung, Schnitt und Lage des Schnittes im Planum.

Schichtabfolge V523

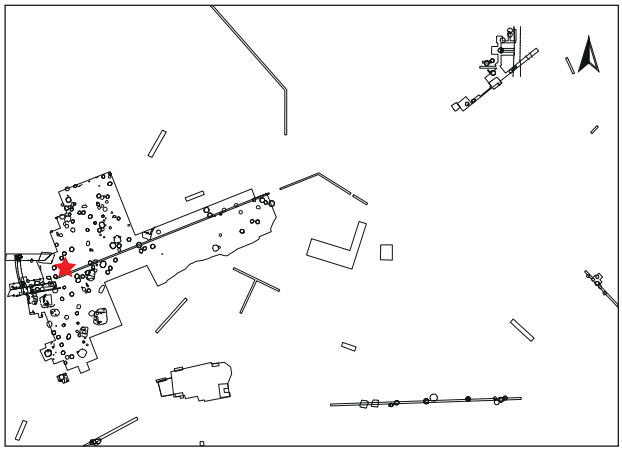
Lage in der Grube	Sign.	Schicht-schlüssel	Beschreibung	Kurzbeschreibung	besondere Funde	Höhe ab Sohle in cm
direkt auf der Grubensohle						
	10341	2	rot-lehmig mit Hüttenlehm, Holzkohle	Brandschutt, fundreich	**zerbrochene Keramikgefäße, u. a. Oberteil von großem Vorratsgefäß**[1160] (St. 5358, 5343; Abb. 222); **fast vollständiges Vorratsgefäß**[1161]**; zerbrochenes Siebgefäß** (St. 5355, 5358, 5359; Taf. 42/2); **Schleifstein?**[1162] (St. 5355)	0–6
Keramikhorizont	00186	D	zerbrochene Keramikgefäße (Abb. 293)	Keramik, fundreich		0–6
	10342	17	grau-aschig mit Hüttenlehmbröckchen und Holzkohleflittern	Asche-Humus-Gemisch, fundreich		0–18
„Deponierungshorizont“						
keine waagrechte Oberkante, keine Deponierung	00187	14	mehrere (mind. sieben) Schichten, abwechselnd Humus und Lößstraten (Abb. 295, 296)	Humus, Löß, eher fundarm	**scheibenförm. Webgewichtfrg./-hälfte**[1163] (St. 5321)	0–80
oberer Grubenbereich	00189	17	braun-humose Verfüllung, teils mit Keramik, Hüttenlehm und Aschestreuung	Humus mit Brandschutt, eher fundreich	**vollständige, kleine Tondüse** (St. 5291)[1164]	ab 64

Beschreibung des Vorratsgefäßes FNrn. St. 5358, 5343 (Abb. 222):

Erhalten ist etwa die Hälfte des Gefäßoberteils. Der Randdurchmesser beträgt 64 cm, der geschätzte ursprüngliche Bauchdurchmesser lag etwa bei 100 cm. Das Gefäß war im Verhältnis zu seiner Größe mit 0,7 cm äußerst dünnwandig. Die Person, die es herstellte, musste umfangreiche Kenntnisse in der Fertigung solcher Großgefäße gehabt haben. Eine ungefähre Rekonstruktion des Objekts lässt auf ein Fassungsvermögen von 400–500 l schließen.[1165] An der Innenseite zeigen sich deutliche Nachweise eines flächigen Pechanstrichs, auch an der Außenseite lässt sich eine solche Oberflächenbehandlung erkennen. Entsprechende Untersuchungen konnten dieses Abdichtmaterial als Birkenteer oder Birke-Mischteer bestimmen.[1166]

Objekt V526 – Kegelstumpfförmige Grube mit zerbrochener Keramik und Brandschutt auf der Sohle

Lage	Hügelfeld Quadranten H1, H2, Riegel H1/H2
alte Objektnr.	Verf. 4, 4a, 12
Literatur	Hellerschmid 2006.
Interfaces	
Signaturen (Schichtnrn.)	00190–00192, 10343



1160. Hellerschmid 2006, Taf. 55/1.

1161. Hellerschmid 2006, Taf. 54/6.

1162. Penz 2006, Taf. 14/4: Karbonatischer Sandstein mit Bearbeitungsspuren. Am oberen Ende seitliche Einschnürungen, am unteren Ende schräge Fläche mit Reib- bzw. Schleifspuren. L. 5,4 cm.

1163. Penz 2006, Taf. 14/3.

1164. Penz 2006, Taf. 14/6.

1165. Die erhaltene Höhe liegt bei 32 cm. Als Gesamthöhe wurde ein Wert von um 110–120 cm angenommen.

1166. Schrattenecker 2015, 71, Proben 039–042: FNr. St. 5343 außen- und innenseitig; FNr. St. 5358 außenseitig.

Dokumentationsniveaus/Plana

Plannr.	Planum	alte Verf.	Lage/Quadrant	vertikale Einmessung		
				Ausgangspunkt	relative Tiefe	absolute Höhe in müA
HF 3/1980	Planum 2	12	H2	NW H2	-74 cm	198,19
HF 4/1980	Planum 1	4	H1, H1/H2	NO H1	-70 cm	198,31
HF 5/1980	Planum 3	12	H2	NW H2	-88 cm	198,05
HF 10/1980	Planum 3	4	H1	NW H1	-127 cm	198,14
HF 17/1980 (Abb. 64, 295, 296)	Planum 4	4	H1, H1/H2	NO H1	-130 cm	197,71
HF 20/1980	Planum 5	4a	H1	SO H1	-150 cm (eher -140 cm)	ca. 197,61

Profile/Schnitte

Plannr.	alte Verf.	Hauptprofil		Schnitt	
		Orientierung	Lage/Quadrant	Bezeichnung	unter DOKN
HF 7/1980	4	Ostprofil	H1		HOK
HF 8/1980	12	Westprofil	H2		HOK
HF 20/1980 (Abb. 65)	4	Westprofil	H1/H2	AB	Planum 1

Stratigraphie V526

V526 weicht im Norden der ebenfalls späturnenfelderzeitlichen, kegelstumpfförmigen Speichergrube V523 aus (Abb. 295, 296). Im Osten wird Objekt V526 durch einen (mittelalterlichen) Graben (V12) bis in eine Tiefe von 70 cm unter der NO-Ecke von H1 gestört (Abb. 297). Das Objekt erscheint gekappt. Darüber lagert rezenter Humus.

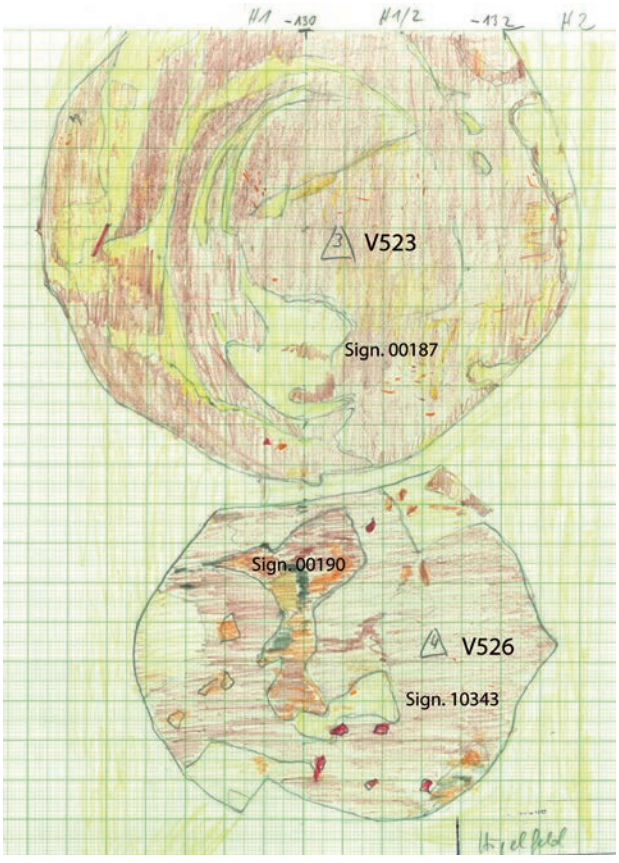


Abb. 295: V523, V526: Zeichnung von Planum 4 von Quadrant H1 und Riegel H1/H2 mit V523 (oben) und V526 (unten; Zeichnung: O. Urban, Universität Wien, Plannr. HF 17/1980).

Grubenform

Wandverlauf	Sohlenverlauf	Übergang Sohle – Wand	primäre Nutzungsspuren	Auffälligkeiten
steilkonischer Wandverlauf (beutelförmig)	unregelmäßige, nach außen gewölbte Grubensohle	gerundet		nahe an älterer Grube errichtet (V523)

Größe und Fassungsvermögen V526

min. Dm. (d): Bereich Sign. 00192	ca. 150 cm
max. Dm. (D): Bereich Sign. 00191	185 cm
max. erh. Grubentiefe (h)	104 cm
max. rek. Grubentiefe (unter HOK)	150 cm
erh. rek. Fassungsraum der Grube	2,30 m³
rek. Fassungsraum der Grube (d = 110 cm)	2,78 m³
archäolog. Datierung	Ha B3
Zuordnung zu Siedlungsphase	III/1

Schichtabfolge V526

Lage in der Grube	Sign.	Schichtschlüssel	Beschreibung	Kurzbeschreibung	besondere Funde	Höhe ab Sohle in cm
direkt auf der Grubensohle	00190	2	rötlich-lehmige Verfüllung mit viel Hüttenlehm, Holzkohle und Keramik (Abb. 295, 296)	Brandschutt, fundreich		0–12
„Deponierungshorizont“						
	10343	9	inhomogene, dunkelbraun-humose Verfüllung (Abb. 295, 296)	Humus, weniger Funde als in 00190	**zungenförm. Tonlappen** (St. 5337;[1167] Taf. 42/3 u. Abb. 92–94)	2–14
keine waagrechte Oberkante, keine Deponierung	00191	14	abwechselnde Verfüllung aus humosem Material und Löß, auf der Oberfläche vermehrt kleinere Hüttenlehmbröckchen	Humus, Löß, teils Funde		7–62
oberer Grubenbereich	00192	17	dunkelbraunes, lehmig-speckiges Material mit viel Hüttenlehm, Holzkohle und Keramik	Humus-Brandschutt-Gemisch, eher fundreich		42–104

Funde[1168] aus der unteren Brandschicht (Sign. 00190) passen an Funde[1169] aus dem oberen Drittel (Sign. 00191, 00192) der Grube an. Funde[1170] aus dem oberen Drittel von V523 (Sign. 00189) passen an Funde[1171] aus dem oberen Drittel von V526 an (Sign. 00191, 00192).

1167. Hellerschmid 2006, Taf. 55/5.
1168. FNr. St. 5347.
1169. FNrn. St. 5320, 5328.
1170. FNrn. St. 5290, 5292.
1171. FNrn. St. 5320, 5328.



Abb. 296: V523, V526: Planum 4 von Quadrant H1 mit V526 (links) und V523 (rechts; Grabungsdokumentation Stillfried, Landessammlung Niederösterreich, Bereich Ur- und Frühgeschichte, Fotonr. ST02287).

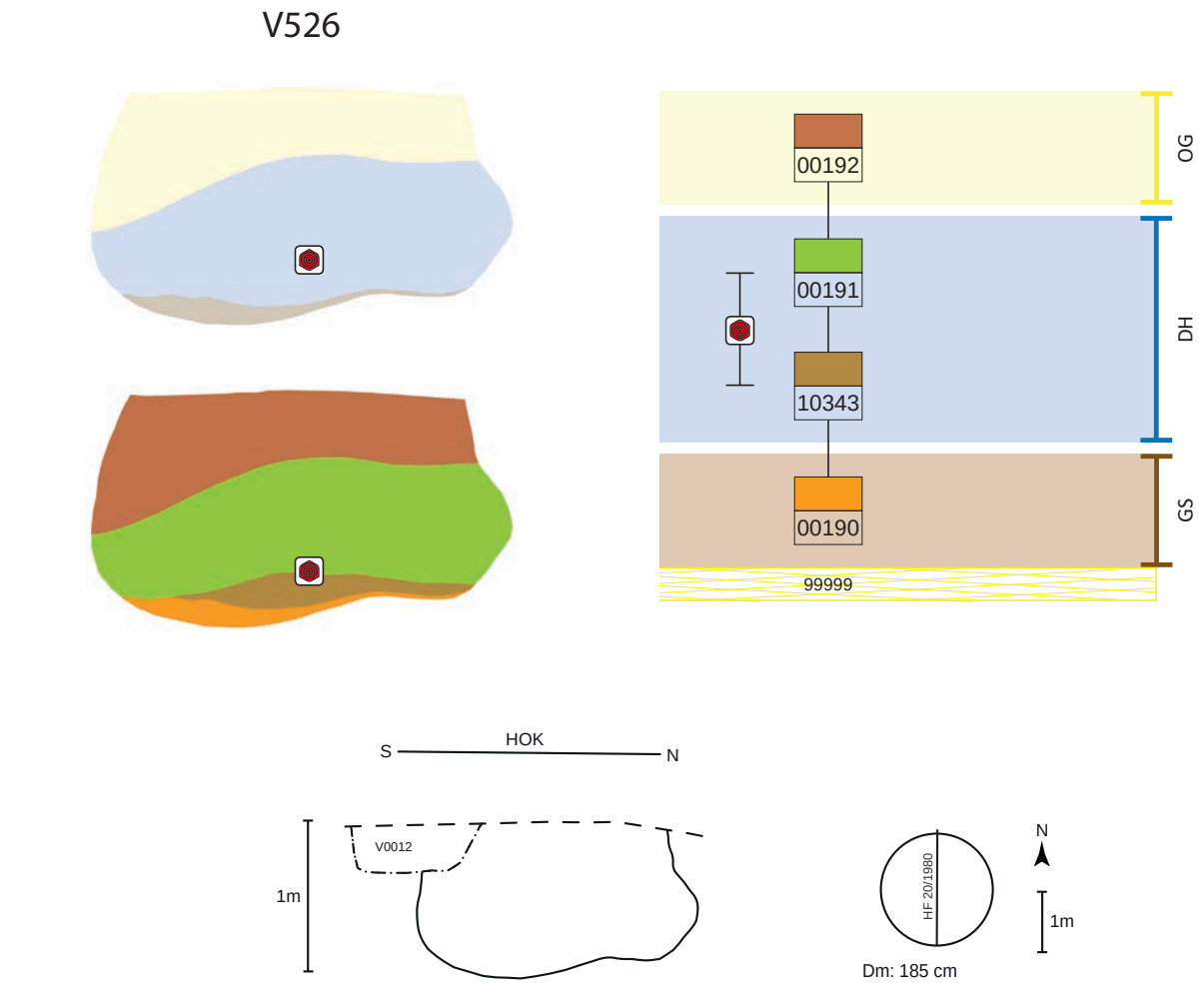
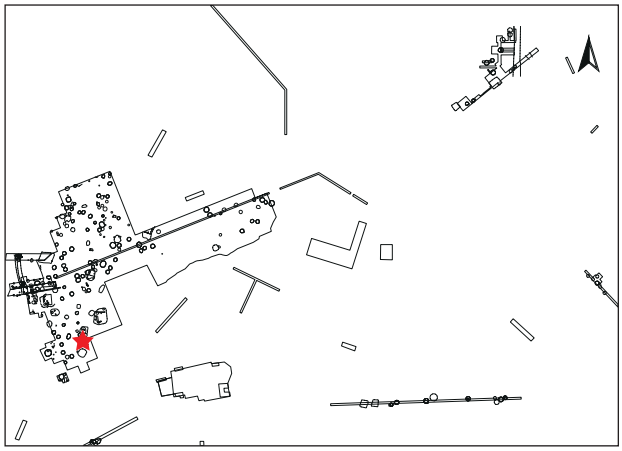


Abb. 297: V526, schematische Darstellung, Schnitt und Lage des Schnittes im Planum.

Objekt V603 – Kegelstumpfförmige Grube

Lage	Hügelfeld Quadrant A1, Riegel A1/B1
alte Objektnr.	Verf. 5, 6
Literatur	Hellerschmid 2006.
Interfaces	
Signaturen (Schichtnrn.)	00615



Dokumentationsniveaus/Plana

Plannr.	Planum	alte Verf.	Lage/Quadrant	vertikale Einmessung		
				Ausgangspunkt	relative Tiefe	absolute Höhe in müA
HF 4/1981	Planum 1	6	A1	NW A1	-100 cm	198,11
HF 5/1981	Planum 2	5	A1	NW A1	-125 cm	197,86

Profile/Schnitte

Plannr.	alte Verf.	Hauptprofil		Schnitt	
		Orientierung	Lage/Quadrant	Bezeichnung	unter DOKN
HF 11/1981	5	Nordprofil	A1		HOK

Stratigraphie V603

Objekt V603 ist ungestört. Der obere Bereich wurde gekappt (Abb. 298). Darüber lagert grauer Humus. Über einem weiteren Kappungshorizont liegt rezentes Erdmaterial.

Grubenform

Wandverlauf	Grubensohlenform	Übergang Sohle – Wand	primäre Nutzungsspuren
steilkonische Wand	waagrechte Grubensohle, leicht von Osten nach Westen abfallend	gerundet	

Größe und Fassungsvermögen V603

min. Dm. (d): Bereich Sign. 00615	ca. 75 cm
max. Dm. (D): Grubensohle	ca. 115 cm
max. erh. Grubentiefe (h)	78 cm
max. rek. Grubentiefe	120 cm
erh. rek. Fassungsraum der Grube	0,56 m³
rek. Fassungsraum der Grube	0,69 m³
archäolog. Datierung	Ha B

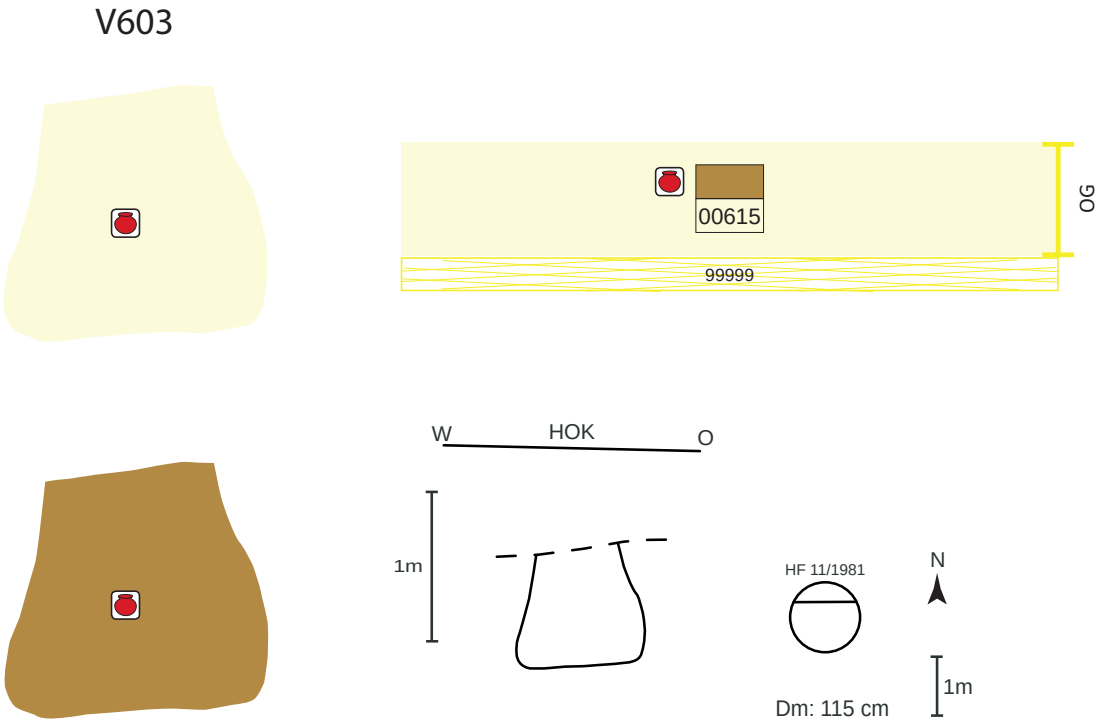


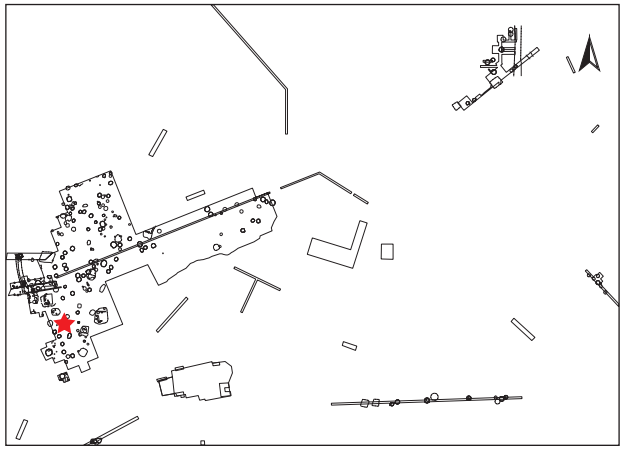
Abb. 298: V603, schematische Darstellung, Schnitt und Lage des Schnittes im Planum.

Schichtabfolge V603

Lage in der Grube	Sign.	Schicht-schlüssel	Beschreibung	Kurzbeschreibung	besondere Funde	Höhe ab Sohle in cm
	00615	9	lockere, hellbraun-humose Verfüllung	Humus, fundarm	**Miniaturgefäß** (St. 8094)[1172]	

Objekt V621 – Kegelstumpfförmige Grube mit zerbrochener Keramik auf der Sohle

Lage	Hügelfeld Quadrant C0, Riegel C0/C-1, C0/D0
alte Objektnr.	Verf. 1
Literatur	Hellerschmid 2006.
Interfaces	
Signaturen (Schichtnrn.)	00219–00221, 00224, 10344–10348



1172. Hellerschmid 2006, Taf. 67/5: Kalottenförmiges Schälchen.

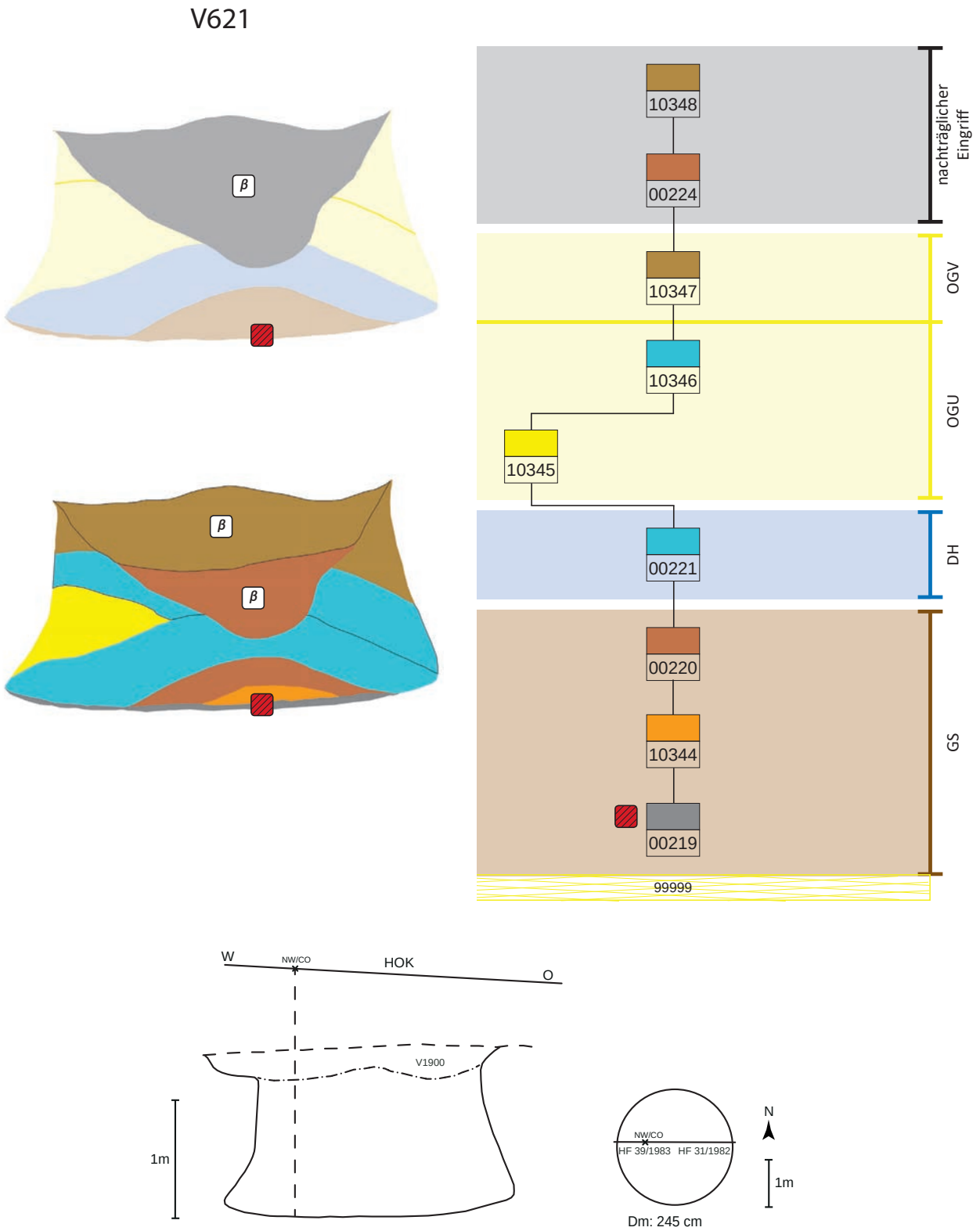


Abb. 299: V621, schematische Darstellung, Schnitt und Lage des Schnittes im Planum.

Dokumentationsniveaus/Plana

Plannr.	Planum	alte Verf.	Lage/Quadrant	vertikale Einmessung		
				Ausgangspunkt	relative Tiefe	absolute Höhe in müA
HF 8/1982	Planum 1	1	C0	NW C0	-88 cm	199,16
HF 16/1982	Planum 2	1	C0	NW C0	-110 cm	198,94
HF 56/1982	Planum 1	o. Nr.	C0/D0	NW C0	-95 cm	199,09

Profile/Schnitte

Plannr.	alte Verf.	Hauptprofil		Schnitt	
		Orientierung	Lage/Quadrant	Bezeichnung	unter DOKN
HF 11/1982	1	Zwischenprofil	C0	EF	Planum 1
HF 27/1982	1	Westprofil	C0, C0/C-1		HOK
HF 31/1982	1	Nordprofil	C0		HOK
HF 39/1983	o. Nr.	Nordprofil	C-1/C0		HOK

Stratigraphie V621

Im oberen Grubenbereich von V621 fand zu einem unbekannten Zeitpunkt ein Eingriff (Sign. 00224, 10348) statt (bis 40 cm über der Grubensohle). Die Verfüllung dieser Störung wird ihrerseits zu unbekannter Zeit durch eine Grube (V1900) gekappt (Abb. 299). Darüber lagert grauer Humus. Über einem weiteren Kappungshorizont liegt rezentes Erdmaterial.

Grubenform

Wandverlauf	Gruben-sohlenform	Übergang Sohle – Wand	primäre Nutzungsspuren	Auffälligkeiten
konische bis steilkonische Wand	leicht nach außen gewölbte Grubensohle	eckig-scharfkantig		zentrale Störung innerhalb des Objekts (Zeitpunkt unklar, Sign. 00224, 10348)

Größe und Fassungsvermögen V621

min. Dm. (d): Bereich Sign. 10347	188 cm
max. Dm. (D): Grubensohle	245 cm
max. erh. Grubentiefe (h)	145 cm
max. rek. Grubentiefe	190 cm
min. erh. Dm. (d) rekonstruiert	120 cm
erh. rek. Fassungsraum der Grube	3,94 m³
rek. Fassungsraum der Grube	4,21 m³
archäolog. Datierung	Ha B3
Zuordnung zu Siedlungsphase	III/1

Schichtabfolge V621

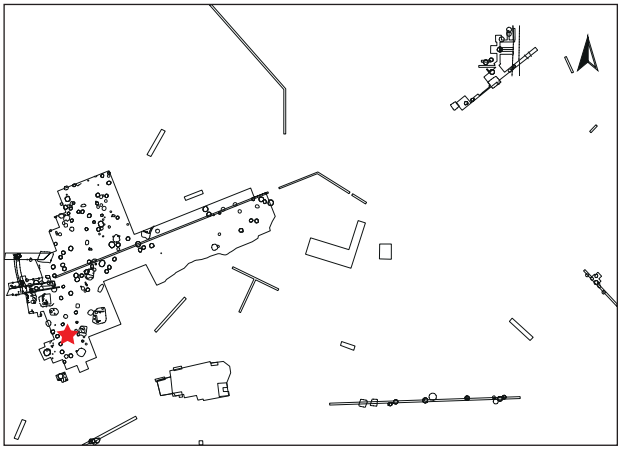
Lage in der Grube	Sign.	Schicht-schlüssel	Beschreibung	Kurzbeschreibung	besondere Funde	Höhe ab Sohle in cm
direkt auf der Grubensohle						
	00219	1	grau-schwarzes, aschiges Band mit Holzkohle, Hüttenlehm und teils dichter Keramiklage	Asche, fundreich	**zerscherbte RS von Keramik, auch von Großgefäßen**[1173]	0–5
	10344	2	rot-lehmiger, zentraler Schüttkegel	Brandschutt, fundreich(?)		4–13
	00220	17	braun-humoses Material, mit Hüttenlehm durchsetzt	Humus-Brandschutt-Gemisch, fundreich		4–30

1173. Hellerschmid 2006, Taf. 67/11–12; Taf. 68/1–6.

Lage in der Grube	Sign.	Schicht-schlüssel	Beschreibung	Kurzbeschreibung	besondere Funde	Höhe ab Sohle in cm
„Deponierungs-horizont“						
keine waagrechte Oberkante, Störung in diesem Bereich, keine Deponierung	0221	15	mehrere Schichten braun-humosen Materials, Löß, Asche	Humus, Löß, Asche, eher fundarm		0–55
oberer Grubenbereich						
	10345	3	Lößschicht	Löß, fundarm		10–70
	10346	15	mehrere dünne Schichten rötlich-lehmigen Materials, Humus und Löß	Brandschutt, Löß, Humus, fundarm(?)		5–90
	10347	9	braun-humose Verfüllung mit Lößbrocken	Humus mit Lößbrocken, fundarm(?)		50–115
zentraler nachträglicher Eingriff (β)						bis 40 über Sohle
	00224 β	17	locker-humose Verfüllung mit viel Holzkohle und Hüttenlehm	Brandschutt, eher fundarm		40–80
	10348 β	9	locker-humose Verfüllung (weniger Holzkohle und Hüttenlehm)	Humus-Brandschutt-Gemisch, fundarm		80–125

Objekt V628 – Sehr große, kegelstumpfförmige Grube mit Wölfin und Hirsch sowie einem in der Grube verstorbenen Wolf (in zwei Etappen errichtet?)

Lage	Hügelfeld Quadrant B0, Riegel B-1/B0
alte Objektnr.	Verf. 6
Literatur	Antl-Weiser 1982, 125. – Pucher 1986, 26–32, 48–50. – Heiling-Schmoll 1987, 32–52. – Urban 2000, 202. – Kohler-Schneider 2001, 83. – Hellerschmid 2006. – Penz 2006, Taf. 19/6–9. – Pucher 2017, 210–211; Abb. 9, 65–66. – Hellerschmid, Griebl in Vorbereitung. – Pucher in Vorbereitung.
Interfaces	1297–1301
Signaturen (Schichtnrn.)	00225–00230, 00234, 10252–10254



Dokumentationsniveaus/Plana

Plannr.	Planum	alte Verf.	Lage/Quadrant	vertikale Einmessung		
				Ausgangspunkt	relative Tiefe	absolute Höhe in müA
HF 6/1982	Planum 1	6	B0	NW B0	-96 cm	198,88
HF 14/1982	Planum 2	6	B0	NW B0	-110 cm	198,74
HF 24/1982	Planum 3	6	B0	NW B0	-134 cm	198,50
HF 38/1982	Planum 4	6	B0	NW B0	-160 cm	198,24
HF 53/1982 (Abb. 300)	Planum 5	6	B0	NW B0	-232 cm	197,52
HF 58/1982	Planum 6	6	B0	NW B0	-255 cm	197,29
HF 58/1982_ Beiblatt 3	Planum 7	6	B0	NW B0	-290 cm	196,94

Profile/Schnitte

Plannr.	alte Verf.	Hauptprofil		Schnitt	
		Orientierung	Lage/Quadrant	Bezeichnung	unter DOKN
HF 46/1982	6	Zwischenprofil	B0	AB	Planum 4
HF 48/1982 (Abb. 41/6; 300)	6	Westprofil	B0		
HF 51/1982	6	Nordprofil	B0		

Stratigraphie V628

Grube V628 wird im Norden durch das mittelalterliche Objekt V626 gestört (Abb. 300–301).

Grubenform

Wandverlauf	Sohlenverlauf	Übergang Sohle – Wand	primäre Nutzungsspuren	Auffälligkeiten
steilkonische bis senkrechte Wand, darüber starke Ausbauchung bzw. Vergrößerung des Durchmessers/zweite, höhere Grubensohle(?), konischer Wandverlauf mit Schultereinzug, danach annähernd senkrecht auslaufend	waagrecht	gerundet; im ausgebauchten Bereich (zweiter, höherer Sohlenbereich?): hochgezogen und nur sehr schwach gerundet		Erweiterung im Wandverlauf – weitere Grubensohle? (Abb. 300, 301)

Größe und Fassungsvermögen V628

min. Dm. (d): Bereich Sign. 00234	130 cm
max. Dm. (D): Ausbauchung, Sign. 10252	350 cm
max. erh. Grubentiefe (h)	230 cm
max. rek. Grubentiefe	290 cm
erh. rek. Fassungsraum der Grube	11,13 m³
rek. Fassungsraum der Grube	11,54 m³
archäolog. Datierung	Ha B2–3
Zuordnung zu Siedlungsphase	II



Abb. 300: V628: Planum 5 von Grube V628 im Quadrant B0 mit der Hell-Dunkel-Einfüllung (Sign. 00230), Blick Richtung NW-Ecke des Quadranten. Gut zu erkennen ist im Westprofil (linker Hand) knapp über dem Planum der nach oben erweiterte Wandverlauf sowie die jüngere, zentrale Störung, Grube V626 (Grabungsdokumentation Stillfried, Landessammlung Niederösterreich, Bereich Ur- und Frühgeschichte, Fotonr. ST02885).

Schichtabfolge V628

Lage in der Grube	Sign.	Schicht-schlüssel	Beschreibung	Kurzbeschreibung	besondere Funde	Höhe ab Sohle in cm
direkt auf der Grubensohle						
Keramiklage	IF1297	D 8	kleinflächige, zentrale Keramiklage unter der abgelegten, schädelechten Hirschgeweihstange	**Lage aus Keramikscherben** als Unterlage für Geweihstange		0–3
Hirschgeweihdeposition	IF1298	D	auf der Keramiklage abgelegte, schädelechte Hirschgeweihstange	**schädelechte Hirschgeweihstange** auf Keramiklage (Abb. 48) **Bronzeniet** (St. 8844)		3–7
waagrechte Oberkante	00225	9	humos mit Lehmbrocken	humose Abdeckung der Sohle		0–10
„Deponierungshorizont“						
waagrechte Oberkante	00226	3	Lößschicht	Löß		10–25
waagrechte Oberkante	00227	9	humos-lehmig	fundarm	**Tonring** (St. 8729)	25–30
waagrechte Oberkante	00228	3	Lößschicht	Löß		20–50
in der Grube verendetes Tier	IF1301		alter, in Gefangenschaft gehaltener Wolf[1174]	**in der Grube verstorbener Wolf (in Gefangenschaft gehalten)**		
in die Grube geworfener Kadaver	IF1299		in die Grube geworfener Hirschkadaver[1175] als Wolfsfutter	**Hirschkadaver als Wolfsnahrung**		
in die Grube geworfener Kadaver	IF1300		in die Grube geworfener, halbzerfallener Kadaver einer alten, in Gefangenschaft gehaltenen Wölfin[1176]	**halbverweste Wölfin wurde in Grube auf Wolf und Hirsch geworfen** (Abb. 60, 61)		
	00229	9	humos, lehmig, verbrannter Quarzit, Hüttenlehm, fundreich	humos, lehmig, eingeschlämmt?	**Tonring** (St. 8712); **Feuerbockfrg.** (St. 8838); **Bronzeniet** (St. 8668; Taf. 42/5); **verkohlte Getreidekörner** (St. 8687); **Sandstein** (St. 8817)	45–70
oberer Grubenbereich						
annähernd waagrechte Oberkante	00230	14	abwechselnd dunkelhumose Einfüllung und Löß (Abb. 300)	Hell-Dunkel-Einfüllung	**verzierter Tonring** (St. 8617; Taf. 43/1); **scheibenförm. Webgewichtfrg.** (St. 8618)	65–95
Erweiterung im Wandverlauf – ursprüngliche/vorgetäuschte Grubensohle?	10252	3	mächtige Lößlage	starke Lößlage		80–110
	10253	9	humose, mächtige Materiallage	mächtige Humuseinfüllung		90–170
	10254	3	mächtige Lößlage	Lößeinfüllung		100–170
			Schichtzuordnung unsicher (10253 oder 10254)		**weißes Silexgerät, paläolithisch** (St. 8402; Taf. 42/4)	
	00234	9	Humuseinfüllung im Flaschenhals	Humuseinfüllung im Flaschenhals		170–200

1174. FNr. St. 8789 usw. – Pucher 1986, 26–30. – Pucher 2017, 210–211. – Pucher in Vorbereitung.

1175. FNr. St. 8632 usw. – Pucher 1986, 48–50. – Pucher 2017, 210–211. – Pucher in Vorbereitung.

1176. FNr. St. 8814 usw. – Pucher 1986, 30–34. – Pucher 2017, 210–211. – Pucher in Vorbereitung.

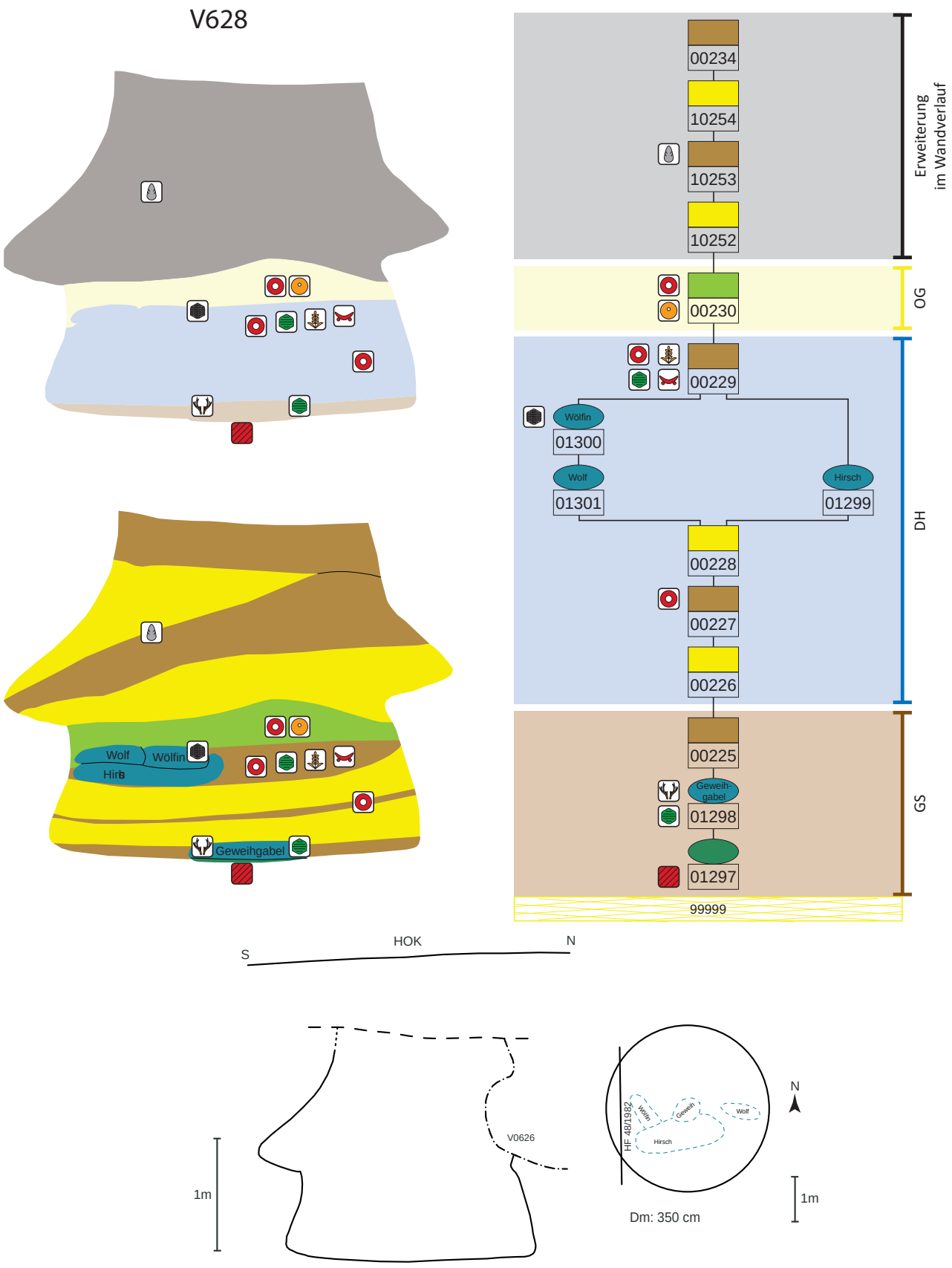
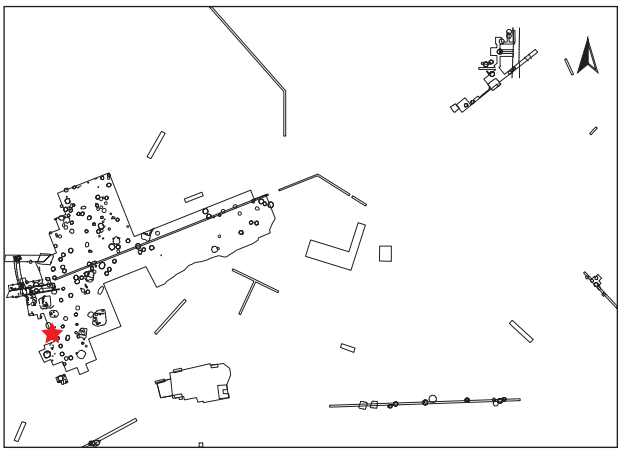


Abb. 301: V628, schematische Darstellung, Schnitt und Lage des Schnittes im Planum.

Objekt V634 – Kegelstumpfförmige Grube

Lage	Hügelfeld Quadrant C-1, Riegel C-1/C-2
alte Objektnr.	Verf. 2
Literatur	Hellerschmid 2006.
Interfaces	
Signaturen (Schichtnrn.)	00240–00243, 10349, 10350



Dokumentationsniveaus/Plana

Plannr.	Planum	alte Verf.	Lage/Quadrant	vertikale Einmessung		
				Ausgangspunkt	relative Tiefe	absolute Höhe in müA
HF 18/1983	Planum 1	2	C-1	NW C-1	-117 cm	199,09
HF 26/1983	Planum 2	2	C-1	NW C-1	-158 cm	198,68
HF 31/1983	Zwischenplanum 3	2	C-1	NW C-1	-252 cm	197,74

Profile/Schnitte

Plannr.	alte Verf.	Hauptprofil		Schnitt	
		Orientierung	Lage/Quadrant	Bezeichnung	unter DOKN
HF 23/1983	2	Zwischenprofil	C-1	ABC	Planum 1
HF 37/1983	2	Westprofil	C-1		HOK

Stratigraphie V634

Objekt V634 wird im Osten durch eine (mittelalterliche) Grube (V636) bis in eine Tiefe von 2,2 m unter der NW-Ecke von C-1 geschnitten (Abb. 302). Der obere Grubenbereich wirkt gekappt. Darüber lagert rezenter Humus.

Grubenform

Wandverlauf	Sohlenverlauf	Übergang Sohle – Wand	primäre Nutzungsspuren
steilkonische Wand	unregelmäßige Grubensohle	gerundet, Sohlenrand etwas gehoben	

Größe und Fassungsvermögen V634 (ovale Grubenform)

min. Dm. (d): Sign. 00243 (oval)	ca. 160 cm – ca. 200 cm
max. Dm. (D): Grubensohle (oval)	ca. 275 cm – ca. 330 cm
max. erh. Grubentiefe (h)	185 cm
max. rek. Grubentiefe	310 cm
erh. rek. Fassungsraum der Grube	8,65 m³
rek. Fassungsraum der Grube	10,09 m³
archäolog. Datierung	Ha B

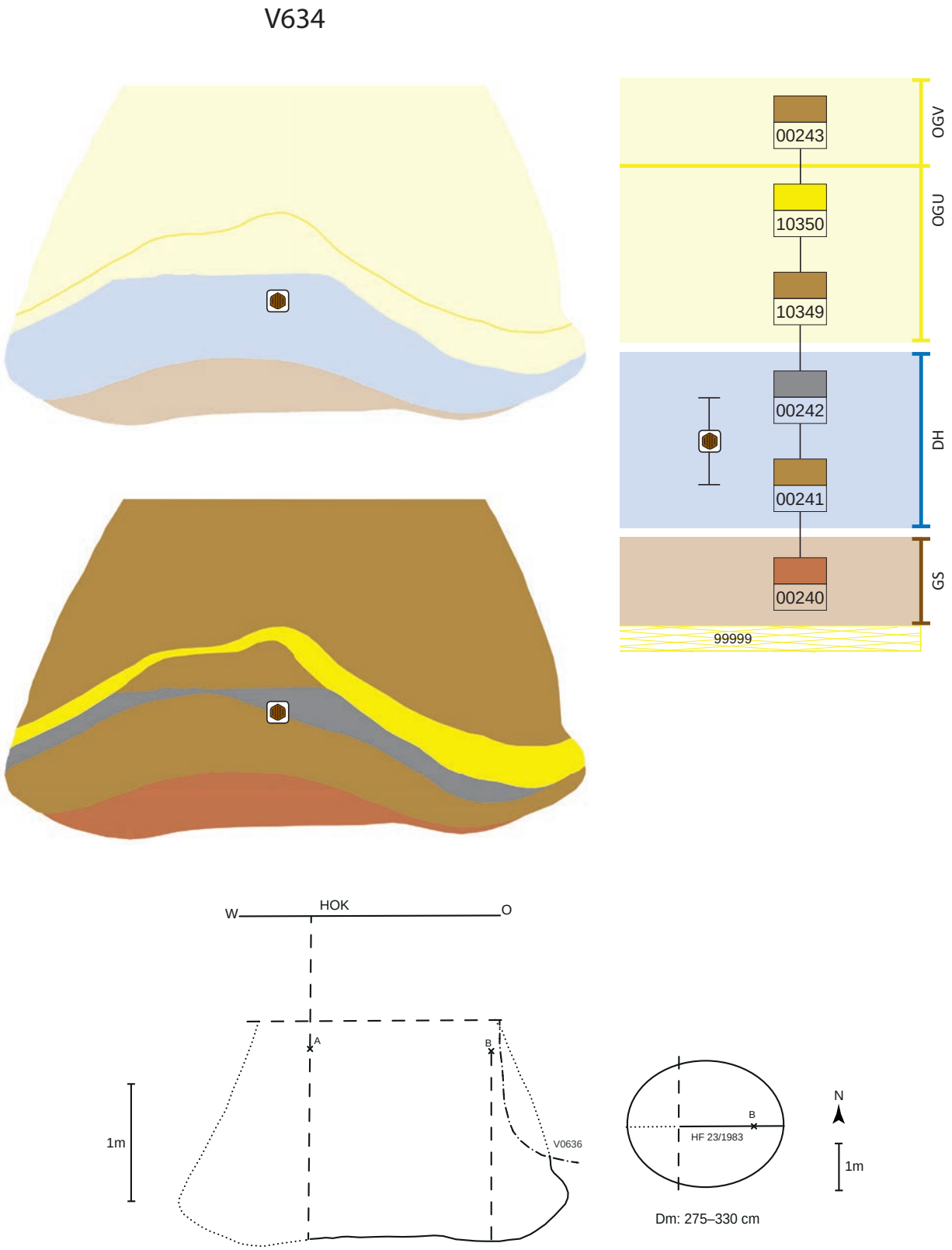


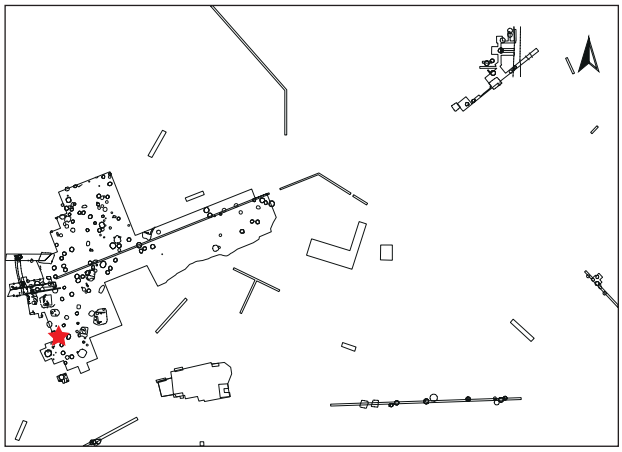
Abb. 302: V634, schematische Darstellung, Schnitt und Lage des Schnittes im Planum.

Schichtabfolge V634

Lage in der Grube	Sign.	Schicht-schlüssel	Beschreibung	Kurzbeschreibung	besondere Funde	Höhe ab Sohle in cm
direkt auf der Grubensohle	00240	17	braun-humoser bis grau-aschiger Schüttkegel mit vielen Holzkohleflittern	Humus-Asche-Gemisch, fundreich		0–32
„Deponierungshorizont“						
	00241	9	braun-humoses Material, locker mit Funden durchsetzt	Humus, eher fundreich	**bearbeitetes Geweih** (St. 11113)	0–80
Zentralbereich waagrecht, keine Deponierung	00242	1	dunkelgraue, aschige Schicht mit vielen Holzkohleflittern; bildet Plateau von mind. 70 cm	Asche, eher fundarm		18–84
oberer Grubenbereich						
	10349	9	braun-humoser Schüttkegel auf der Plattform	Humus, eher fundarm		84–110
	10350	3	Lößschicht	Löß, fundarm		26–118
	00243	9	braun-humose Verfüllung mit großen Löß- und Hüttenlehmbrocken	Humus mit Lößbrocken, fundreich		ab 52

Objekt V643 – Kegelstumpfförmige Grube mit einem Feldhasen, Saatgut und Geweihspross

Lage	Hügelfeld Quadrant C-1, Riegel B-1/C-1
alte Objektnr.	Verf. 1
Literatur	Heiling-Schmoll 1987, 72–77. – Kohler-Schneider 2001, 77–82. – Hellerschmid 2006. – Penz 2006. – Hellerschmid, Griebl in Vorbereitung. – Pucher in Vorbereitung.
Interfaces	1305
Signaturen (Schichtnrn.)	00244, 00245, 00247, 10228



Dokumentationsniveaus/Plana

Plannr.	Planum	alte Verf.	Lage/Quadrant	vertikale Einmessung		
				Ausgangspunkt	relative Tiefe	absolute Höhe in müA
HF 26/1983	Planum 2	1	C-1	SW C-1	-140 cm	198,86
HF 47/1983	Planum 2	1	B-1/C-1	SW C-1	-163 cm	198,63
HF 50/1983	Planum 3	1	B-1/C-1	SW C-1	-270 cm	197,56

Profile/Schnitte

Plannr.	alte Verf.	Hauptprofil		Schnitt	
		Orientierung	Lage/Quadrant	Bezeichnung	unter DOKN
HF 36/1983 (Abb. 303)	1	Südprofil	C-1		HOK

Stratigraphie V643

Objekt V643 ist durch kein anderes Objekt gestört und wird lediglich von einem mittelalterlichen Aufschüttungshorizont überlagert (Abb. 303, 304).

Grubenform

Wandverlauf	Sohlenverlauf	Übergang Sohle – Wand	primäre Nutzungsspuren
senkrechte bis steilkonische Wand	waagrecht	schwach angehoben und stark gerundet	

Größe und Fassungsvermögen V643

min. Dm. (d): Bereich Sign. 00245	205 cm
max. Dm. (D): Sign. 10228	250 cm
max. erh. Grubentiefe (h)	180 cm
max. rek. Grubentiefe	ca. 210 cm
erh. rek. Fassungsraum der Grube	4,7 m³
rek. Fassungsraum der Grube	4,85 m³
archäolog. Datierung	Ha B3
^{14}C-Datierung	ETH-16496[1177]: 2785 ± 50 BP [1031 (100 %) 819 BC, Mw. 925 BC]
Zuordnung zu Siedlungsphase	II

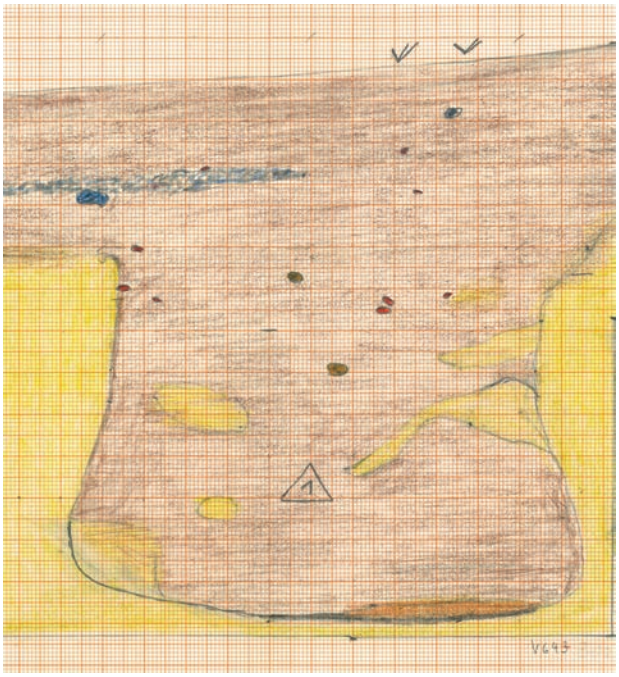


Abb. 303: V643: Südprofil von Quadrant C-1 mit V643. Gut ersichtlich sind die beiden dünnen Schichten auf der Sohle (verkohlte Getreidelage Sign. 00244 und rot gebrannte Lößschicht Sign. 00245; Zeichnung: I. Artner, Universität Wien, Plannr. HF 36/1983).

1177. Probe von verkohltem Getreide, FNr. St. 11399, Kohler-Schneider 2001, 37, 77. Anmerkung: Für diese Messung wurde ein anderes Kalibrationsprogramm verwendet (Niklaus et al. 1992), weswegen sich die kalibrierten Daten von unseren Angaben auf Abb. 30 unterscheiden.

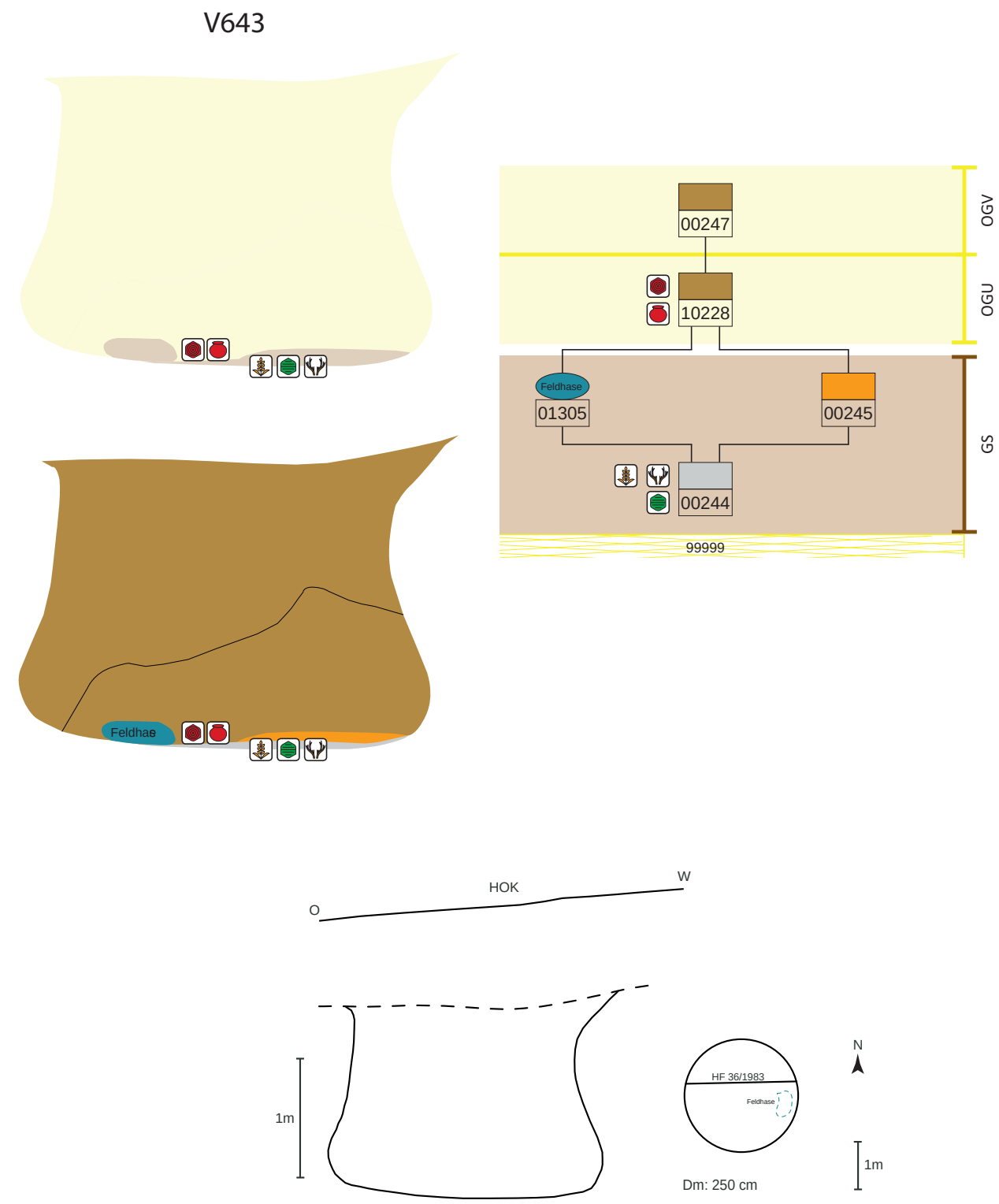


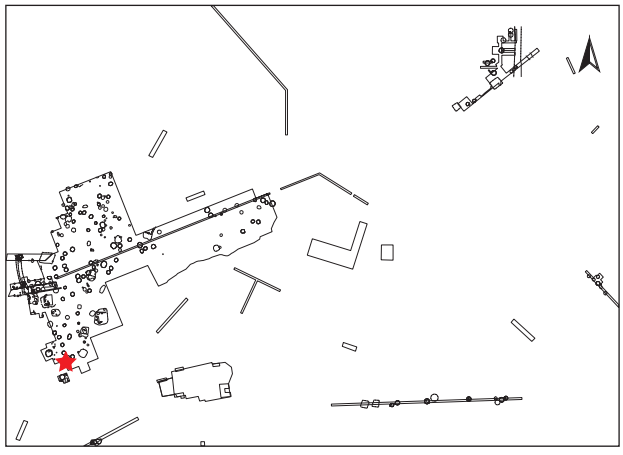
Abb. 304: V643, schematische Darstellung, Schnitt und Lage des Schnittes im Planum.

Schichtabfolge V643

Lage in der Grube	Sign.	Schicht-schlüssel	Beschreibung	Kurzbeschreibung	besondere Funde	Höhe ab Sohle in cm
direkt auf der Grubensohle						
	00244	7	reines, verkohltes Getreide aus vorwiegend zwei Getreidesorten[1178]	Lage verkohlten Saatgutes	**verkohltes Saatgut**[1179] (St. 11392, 11399); **Bronzeniet** (St. 11392; Taf. 43/2); **abgesägter Hirschgeweihspross** (St. 11399; Taf. 43/3)	0–6
	00245	2	rot gebrannte Lehm-/Lößschicht auf der Getreideschicht	verziegelte Lehm-/Lößschicht		6–10
Tierdeposition	IF1305	D	östlich des Saatgutes wurde ein unvollständiger, juveniler Feldhase[1180] abgelegt	**unvollständiger, junger Feldhase**		0–10
oberer Grubenbereich						
	10228	9	humos, locker (braun) mit Keramikstücken, Tierknochen, Hüttenlehm, Holzkohle	humos, fundreich	**grafitierte Schüssel** (Vorbild: Schlesische Schüssel der Lausitzer Kultur, St. 11176; Taf. 1/5); **zungenförm. Tonlappen** (St. 11389; Taf. 44/1 u. Abb. 92–94)	0–90
	00247	9	humos mit Lehmbrocken	humos, fundreich		0–180

Objekt V656 – Kegelstumpfförmige Grube mit möglicher höher gelegener, zweiter Grubensohle

Lage	Hügelfeld Quadrant -A-1, Riegel -A-1/-A-2
alte Objektnr.	Verf. 4
Literatur	Hellerschmid 2006.
Interfaces	
Signaturen (Schichtnrn.)	00256–00259, 10351, 10352



1178. IF1303: Emmerähnlicher Spelzweizen (*Triticum timopheevi*) und Einkorn (Korn und Drusch), Kohler-Schneider 2001, 77, 79, 81 (FNr. St. 11392, 11399).

1179. Kohler-Schneider 2001, 77.

1180. FNr. St. 11395, Pucher in Vorbereitung (Kap. 2.1.5.2).

Dokumentationsniveaus/Plana

Plannr.	Planum	alte Verf.	Lage/Quadrant	vertikale Einmessung		
				Ausgangspunkt	relative Tiefe	absolute Höhe in müA
HF 8/1983	Planum 1	4	-A-1	NW -A-1	-119 cm	198,43
HF 27/1983	Planum 2	4	-A-1	NW -A-1	-130 cm	198,12

Profile/Schnitte

Plannr.	alte Verf.	Hauptprofil		Schnitt	
		Orientierung	Lage/Quadrant	Bezeichnung	unter DOKN
HF 22/1983	4	Zwischenprofil	-A-1	FGE	Planum 1
HF 22/1983	4	Zwischenprofil	-A-1	DGC	Planum 1
HF 33/1983	4	Nordprofil	-A-1		HOK
HF 45/1983	4	Westprofil	-A-1		HOK

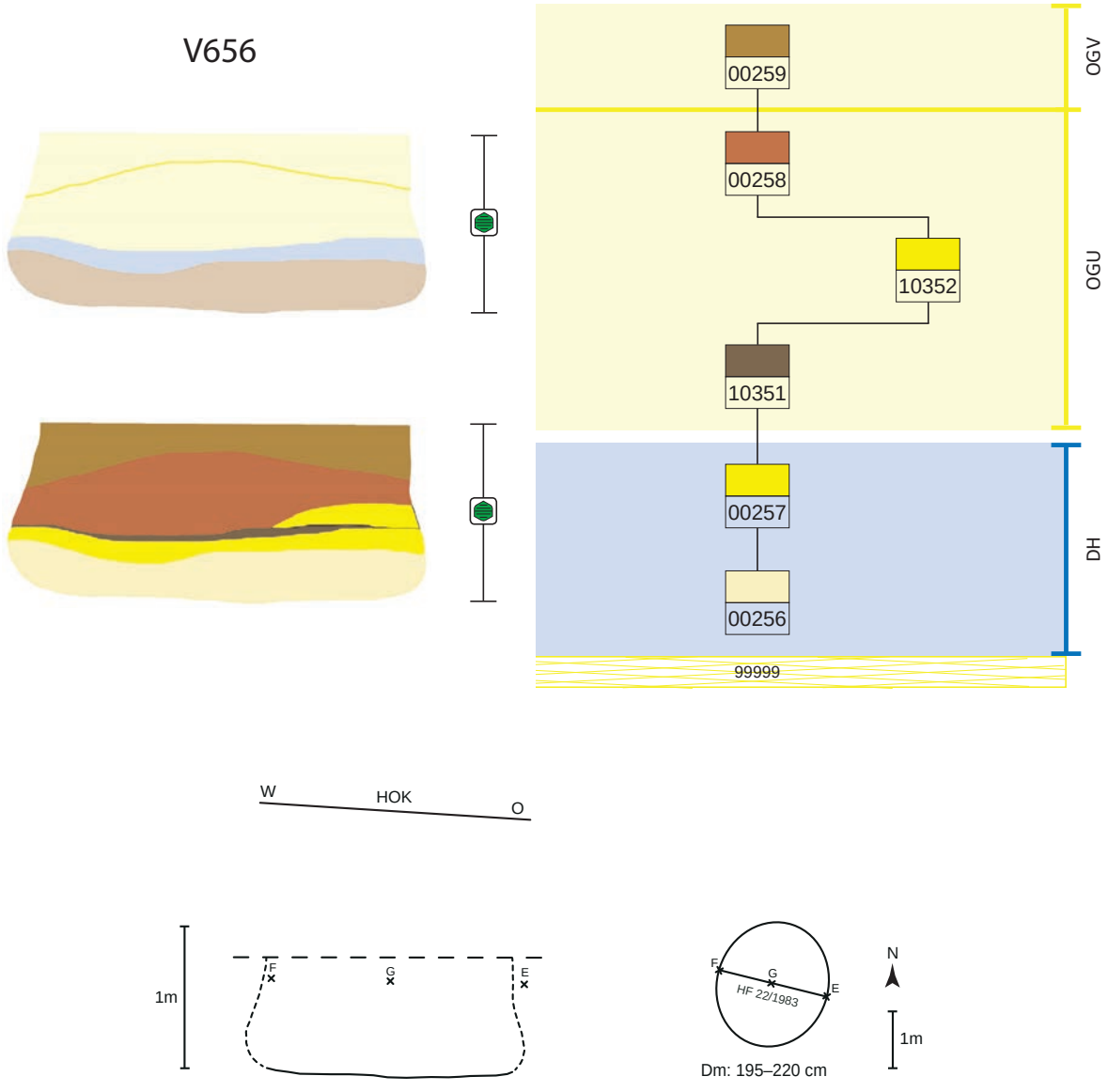


Abb. 305: V656, schematische Darstellung, Schnitt und Lage des Schnittes im Planum.

Stratigraphie V656

Objekt V656 ist ungestört. Der obere Grubenbereich erscheint gekappt (Abb. 305). Darüber lagert grauer Humus. Über einem weiteren Kappungshorizont liegt rezentes Erdmaterial.

Grubenform

Wandverlauf	Sohlenverlauf	Übergang Sohle – Wand	primäre Nutzungsspuren
steilkonische Wand	waagrechte Grubensohle	gerundet	Überreste einer zweiten, höher gelegenen jüngeren Grubensohle(?) (Oberkante Sign. 00257) mit möglichen Rückständen des neuerlichen Speicherguts (Sign. 10351).

Größe und Fassungsvermögen V656

min. Dm. (d): Bereich Sign. 00259	173–185 cm
max. Dm. (D): Grubensohle	195–220 cm
max. erh. Grubentiefe (h)	84 cm
max. rek. Grubentiefe (unter HOK)	198 cm
min. rek. erh. Dm. (d)	150 cm
erh. rek. Fassungsraum der Grube	2,13 m³
rek. Fassungsraum der Grube	2,85 m³
archäolog. Datierung	Ha B2–3
Zuordnung zu Siedlungsphase	II

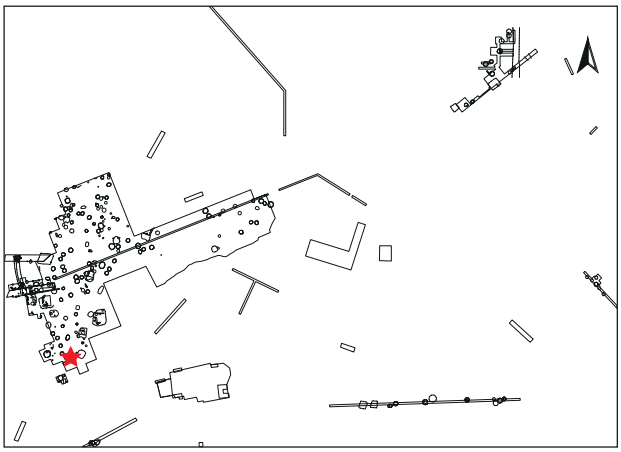
Schichtabfolge V656

Lage in der Grube	Sign.	Schicht-schlüssel	Beschreibung	Kurzbeschreibung	besondere Funde	Höhe ab Sohle in cm
„Deponierungs-horizont“						
	00256	12	fest zusammengepresster, brauner Humus, relativ gleichmäßig auf der Sohle verteilt	Humus, fundarm		0–23
waagrechte Oberkante, keine Deponierung	00257	3	Löß, relativ gleichmäßig verteilt	Löß, fundleer		15–35
zweite, höher gelegene Grubensohle(?)						
oberer Grubenbereich						
Überreste einer erneuten Nutzung als Speichergrube(?)	10351	4	dunkelbraun-humos	Humus, teils Funde		26–34
	10352	3	Lößaufschüttung an der NO-Wand der Grube	Löß, fundarm		34–44
	00258	17	dunkelbraun-humose Schicht(en), teils mit sehr viel Hüttenlehm	Humus, Brandschutt, fundreich		20–70?
	00259	9	Humus mit Löß vermischt	Humus		ab 45
			keiner Schicht zuzuordnen		**Bronzeblech**[1181] (St. 11146)	

1181. Dünnes Plättchen, Bruchstück, erh. L. 3 cm, erh. B. 2,2 cm.

Objekt V662 – Kegelstumpfförmige Grube mit Keramiklage und Kleintierskelett auf der Grubensohle

Lage	Quadranten -A-1, A-1, A0, Riegel -A-1/A-1, A-1/A0, A0/-A0, Riegelkreuz -A-1/A-1/A0/-A0
alte Objektnr.	Verf. 1, 2, 2a, 3, 8, 8a, 18
Literatur	Antl 1986, 119. – Hellerschmid 2006.
Interfaces	4004, 4006
Signaturen (Schichtnrn.)	00261, 00262, 10354–10359



Dokumentationsniveaus/Plana

Plannr.	Planum	alte Verf.	Lage/Quadrant	vertikale Einmessung		
				Ausgangspunkt	relative Tiefe	absolute Höhe
HF 6/1981	Planum 2	2	A0	SW -A0	-93 cm	198,34
HF 15/1982	Planum 3	8a	A-1	SO -A-1	-95 cm	198,42
HF 41/1983	Planum 1	18	Riegel -A-1/-A0	NW -A-1	-155 cm	198,07
HF 46/1983	Planum 1	18	Riegelkreuz u. Riegel A-1/-A-1	SO A-1	-170 cm	197,67
HF 46/1983 (Abb. 308)	Planum 2	18	Riegelkreuz, siehe oben	SO A-1	-180 cm	197,57



Abb. 306: V662: SO-Ecke mit Ostprofil von Quadrant A-1 mit V662. Darüber ist die mittelalterliche Störung (V600) zu sehen (Grabungsdokumentation Stillfried, Landessammlung Niederösterreich, Bereich Ur- und Frühgeschichte, Fotonr. ST02572).



Abb. 307: V662: SO-Ecke mit Südprofil von Quadrant A-1 mit V662 (Grabungsdokumentation Stillfried, Landessammlung Niederösterreich, Bereich Ur- und Frühgeschichte, Fotonr. ST28826).

Profile/Schnitte

Plannr.	alte Verf.	Hauptprofil		Schnitt	
		Orientierung	Lage/Quadrant	Bezeichnung	unter DOKN
HF 8/1981	2a	Westprofil	A0		HOK
HF 17/1981	2a	Südprofil	A0		HOK
HF 23/1982 (Abb. 306)	8a	Ostprofil	A-1		HOK
HF 34/1982 (Abb. 307)	8	Südprofil	A-1		HOK
HF 42/1982	o. Nr.	Profilriegel	A-1/A0		HOK
HF 33/1983	18	Nordprofil	-A-1		HOK

Stratigraphie V662

Objekt V662 wird durch eine (mittelalterliche) Grube (V600) großflächig bis auf eine Tiefe von 2 m unter HOK gestört (Abb. 309). Über einem Kappungshorizont liegt rezenter Humus.

Grubenform

Wandverlauf	Gruben-sohlenform	Übergang Sohle – Wand	primäre Nutzungsspuren
steilkonische Wand, im Osten unregelmäßig	waagrechte Grubensohle	eckig-scharfkantig, im Osten etwas gehoben	

Größe und Fassungsvermögen V662

min. Dm. (d): Bereich Sign. 10359	ca. 140 cm
min. rek. erh. Dm. (d) (HUK)	ca. 100 cm
max. Dm. (D): Grubensohle	246 cm
max. erh. Grubentiefe (h)	100 cm
max. rek. erh. Grubentiefe (HUK)	ca. 140 cm
max. rek. Grubentiefe	190 cm
erh. rek. Fassungsraum der Grube (bis HUK)	3,48 m³
rek. Fassungsraum der Grube	3,74 m³
archäolog. Datierung	Ha B2–3
Zuordnung zu Siedlungsphase	II

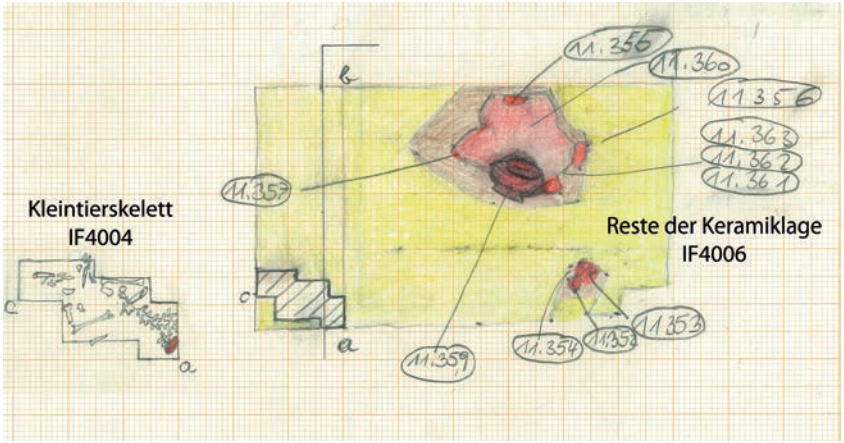


Abb. 308: V662: Zeichnung des untersten Planums (Planum 2) im Riegelkreuz mit den Resten der Keramiklage und dem Kleintierskelett von V662 (Zeichnung: U. Langenecker, Universität Wien, Plannr. HF 46/1983, Maßstab 1:20; Detail Kleintierskelett: Maßstab 1:10).

Schichtabfolge V662

Lage in der Grube	Sign.	Schicht-schlüssel	Beschreibung	Kurzbeschreibung	besondere Funde	Höhe ab Sohle in cm
direkt auf der Grubensohle						
	IF4006	D?	Keramiklage, dezentral im südlichen Teil der Grube auf der Sohle (Abb. 308)	dichte Keramiklage		0–8
			Zuordnung zur Keramiklage IF4006 ist nicht gesichert, da die Fundtiefe dieses keramischen Sonderfundes nicht exakt vermerkt ist	**vollständiger Teil eines Drillingsgefäßes** (St. 11248; Taf. 45/1)		
	IF4004	D?	Tierskelett, dezentral am südlichsten Rand auf der Sohle liegend[1182] (Abb. 308)	**Kleintierskelett** Es könnte sich auch um ein hinein gefallenes und in der Grube verendetes Tier gehandelt haben.		0
	00261	1	dunkel-grau-braunes, humos-aschiges Band auf der Sohle	Asche(?), eher fundarm	**vollständige Reibplatte (Läufer)**[1183] (St. 8485; Taf. 44/3); **Muscheln** (St. 8605); **Sandsteine mit Belag** (St. 8594; Taf. 44/2)	0–5
	10354	3	gelber Schüttkegel aus Löß (evtl. mit wenig Humus vermischt)	Löß, fundarm		5–15
	10355	17	dunkelbraun-humos bis aschig	Humus-Asche, eher fundarm (?)		5–48
„Deponierungs-horizont“						
keine waagrechte Oberkante, keine Deponierung	00262	15	mächtige Schicht aus mehreren dünnen Bändern aus Löß und Humus	Löß-Humus, eher fundreich		0–ca. 98
oberer Grubenbereich						
	10356	3	gelbe Lößeinfüllung	Löß-Humus-Gemisch, eher fundarm		30–ca. 100
	10357	9	braun-humose Einfüllung	Humus, fundarm		56–ca. 106
	10358	3	gelbe Lößeinfüllung	Löß, fundarm		65–ca. 115
	10359	9	braun-humose Einfüllung	Humus, fundarm		ab 86

Die Funde St. 8605 (aus Sign. 00262 oder 10355) und St. 11360 (aus der Keramiklage unter der Sohle) passen zusammen. FNr. St. 8605 liegt ca. 40–50 cm höher. Deutung: Schicht 10355 (vielleicht auch 00262) ist zeitnah zur Keramiklage eingebracht worden.

1182. Antl 1986, 119: „Skelettreste eines, vielleicht auch mehrerer kleiner Tiere“. Siehe auch Planbeschreibung HF 46/1983: „Skelett eines Tieres vermutlich, das bis jetzt noch nicht eindeutig bestimmt werden konnte. Dieses Skelett ist ca. 15 cm breit und 20 cm lang. Es befindet sich ebenfalls noch in Verfärbung 18 [V662] und ca. im selben Niveau wie die Scherbenlage [IF4006]. Unterhalb des Skeletts befindet sich noch ein Scherben.“

1183. An der Spitze Feuereinwirkung und Beschädigung (L. 32 cm, max. Br. 10 cm, St. 6,5 cm).

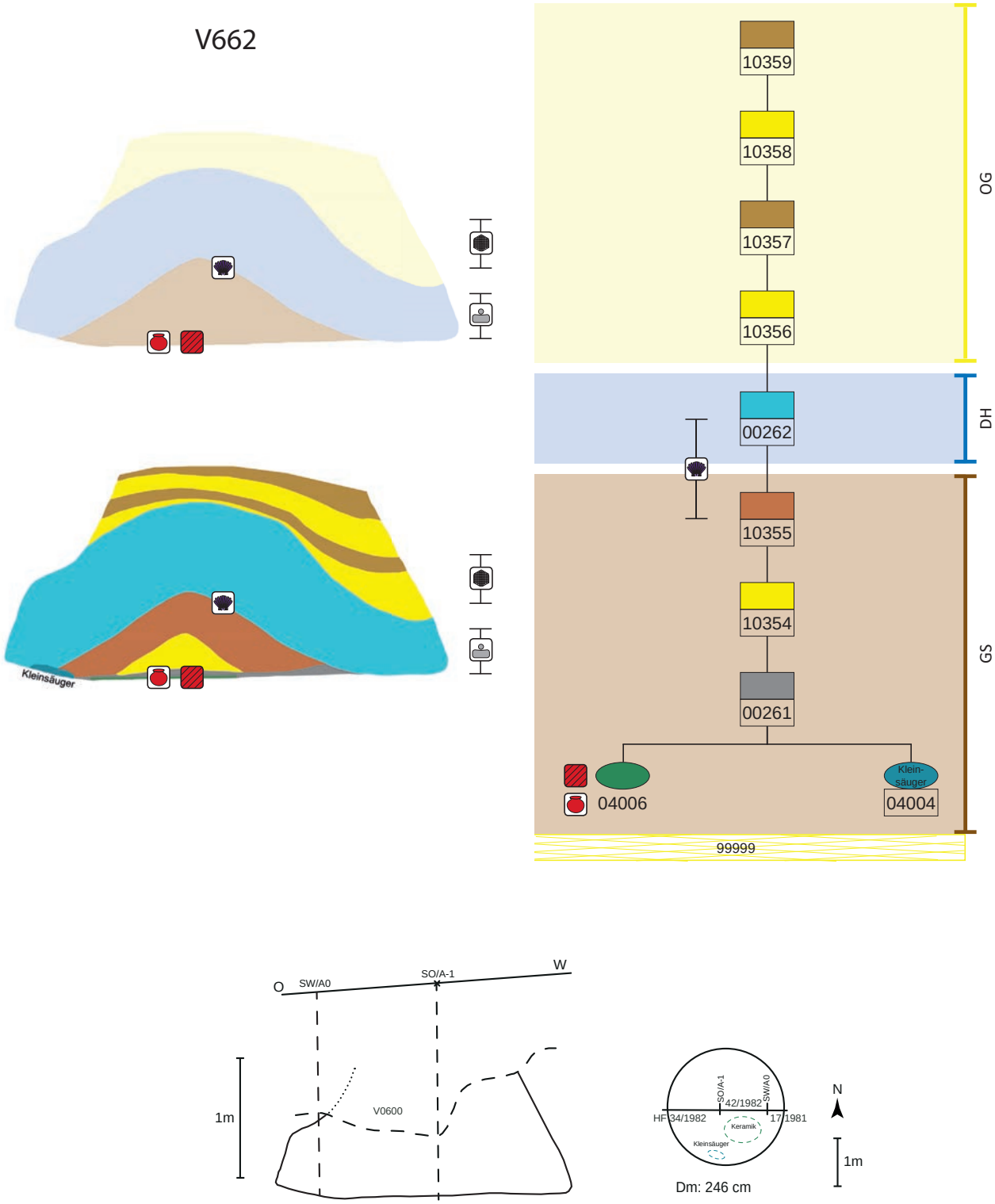
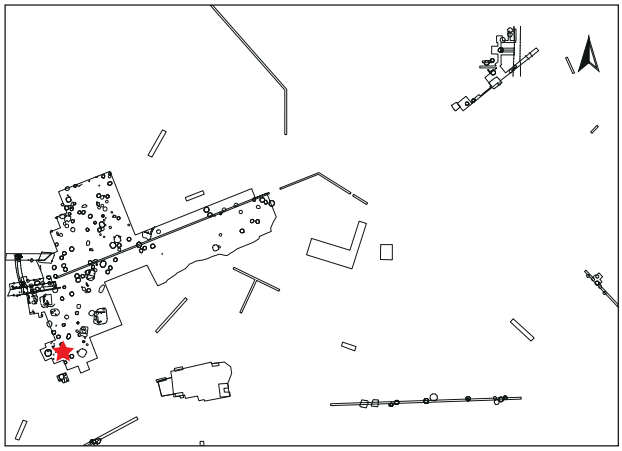


Abb. 309: V662, schematische Darstellung, Schnitt und Lage des Schnittes im Planum.

Objekt V667 – Kegelstumpfförmige Grube

Lage	Hügelfeld Quadrant A-1
alte Objektnr.	Verf. 5
Literatur	Hellerschmid 2006.
Interfaces	
Signaturen (Schichtnrn.)	00264–00266, 10361–10364



Dokumentationsniveaus/Plana

Plannr.	Planum	alte Verf.	Lage/Quadrant	vertikale Einmessung		
				Ausgangspunkt	relative Tiefe	absolute Höhe in müA
HF 3/1982	Planum 1	5	A-1	NW A-1	-92 cm	199,06
HF 7/1982	Planum 2	5	A-1	NW A-1	-108 cm	198,90
HF 15/1982	Planum 3	5	A-1	NW A-1	-136 cm	198,62

Profile/Schnitte

Plannr.	alte Verf.	Hauptprofil		Schnitt	
		Orientierung	Lage/Quadrant	Bezeichnung	unter DOKN
HF 4/1982	5	Zwischenprofil	NW A-1	bb'a	Planum 1
HF 4/1982	5	Zwischenprofil	NW A-1	cb'a	Planum 1

Stratigraphie V667

Objekt V667 erscheint ungestört (Abb. 310).

Grubenform

Wandverlauf	Sohlenverlauf	Übergang Sohle – Wand	primäre Nutzungsspuren	Auffälligkeiten
konische bis steilkonische Wand	nach außen gewölbte Grubensohle	eckig bis leicht gerundet, Sohlenrand etwas gehoben	(verkohlte) Überreste der Einfüllung(?) (Sign. 00264)	eingebrochener Grubenwandbereich in oberer Grubenhälfte bei verfüllter Grube (α); zentrale Störung innerhalb des Objekts (Zeitpunkt unklar, Sign. 10364)

Größe und Fassungsvermögen V667 (ovale Grundform)

min. Dm. (d): Bereich Sign. 00266/10364	95–80 cm
max. Dm. (D): Grubensohle	190–225 cm
max. erh. Grubentiefe (h)	144 cm
max. rek. Grubentiefe	165 cm
erh. rek. Fassungsraum der Grube	2,62 m³
rek. Fassungsraum der Grube	2,70 m³
archäolog. Datierung	Ha A2/B1
Zuordnung zu Siedlungsphase	I

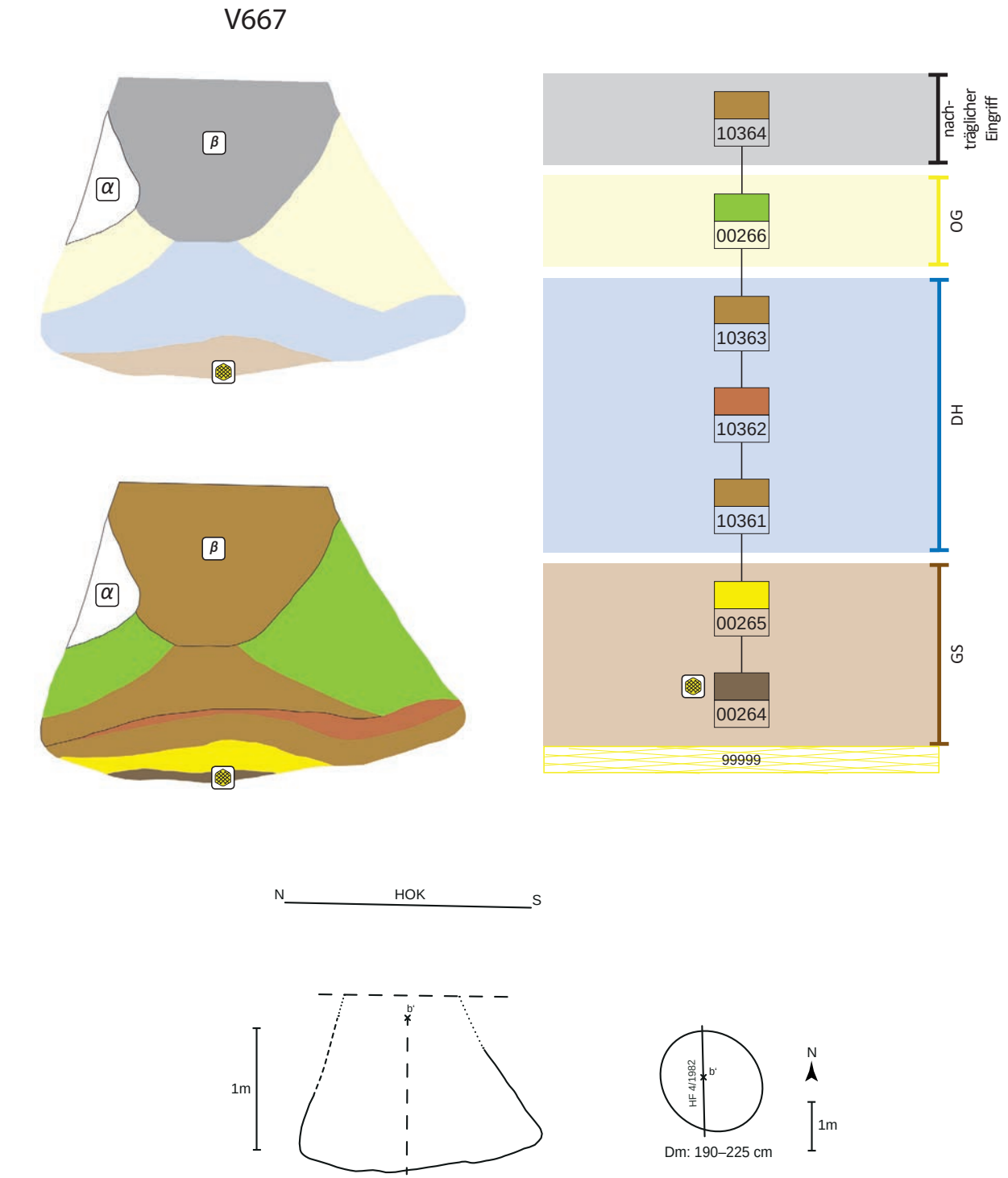


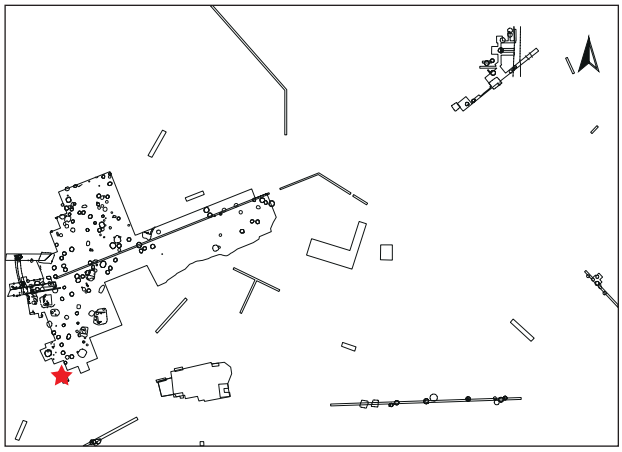
Abb. 310: V667, schematische Darstellung, Schnitt und Lage des Schnittes im Planum.

Schichtabfolge V667

Lage in der Grube	Sign.	Schicht-schlüssel	Beschreibung	Kurzbeschreibung	besondere Funde	Höhe ab Sohle in cm
direkt auf der Grubensohle						
	00264	4	braun-humose Einfüllung im nördlichen (tiefsten) Teil der Grube	Humus, eher fundarm	**Knochenpfriem** (St. 8427; Taf. 45/2)	0–5
	00265	3	gelb-lehmige Einfüllung von Löß	Löß, fundarm		0–19
„Deponierungs-horizont“						
	10361	9	braun-humose Verfüllung	Humus, teils Funde(?)		0–32
	10362	17	stark mit Holzkohle durchsetztes Material	Humus-Brandschutt-Gemisch, teils Funde(?)		11–34
annähernd waagrechte Oberkante, keine Deponierung	10363	9	braun-humoser Schüttkegel (evtl. mehrere Schichten)	Humus, eher fundarm(?)		20–64
oberer Grubenbereich						
	00266	14	mehrere Schichten, abwechselnd Humus und Löß	Humus-Löß, teils Funde(?)		20–94 (erh.)
zentraler nachträglicher Eingriff (β)						
	10364	9 β	dunkelbraun-humoses Material	Humus, fundarm(?)		bis 64 über Sohle
verstürzte Wandteile (α)		α	eingebrochener Wandbereich bei verfüllter Grube	reiner Löß von der Grubenwand		60–120

Objekt V704 – Sehr große kegelstumpfförmige Grube

Lage	Hügelfeld Quadrant -B-2
alte Objektnr.	Verf. 1
Literatur	Hellerschmid 2006. – Penz 2006.
Interfaces	
Signaturen (Schichtnrn.)	00276–00278, 00280, 10365–10368



Dokumentationsniveaus/Plana

Plannr.	Planum	alte Verf.	Lage/Quadrant	vertikale Einmessung		
				Ausgangspunkt	relative Tiefe	absolute Höhe in müA
HF 2/1984	Planum 2	1	-B-2	NW -B-2	-180 cm	198,19
HF 6/1984	Planum 3	1	-B-2	NW -B-2	-195 cm	198,04
HF 13/1984 (Abb. 312)	Planum 4	1	-B-2	NW -B-2	-225 cm	197,74
HF 29/1984	Planum 5-Teil	1	-B-2	NW -B-2	-260 cm	197,39
HF 48/1984	Planum 5-Teil	1	-B-2	SW -B-2	-240 cm	197,47

Profile/Schnitte

Plannr.	alte Verf.	Hauptprofil		Schnitt	
		Orientierung	Lage/Quadrant	Bezeichnung	unter DOKN
HF 4/1984	1	Zwischenprofile	-B-2	AE, ED, CF, FEB, GF	Planum 2
HF 8/1984	1	Zwischenprofile	-B-2	BJ, DHJA, EGH, CH	Planum 3
HF 21/1984	1	Zwischenprofil	-B-2	EC	Planum 4
HF 23/1984 (Abb. 311)	1	Zwischenprofil	-B-2	DB	Planum 4
HF 27/1984	1	Zwischenprofil	-B-2	EC	Planum 4
HF 40/1984	1	Nordprofil	-B-2		HOK
HF 42/1984 (Abb. 41/3)	1	Zwischenprofil	-B-2	EA	Planum 4



Abb. 311: V704: Zwischenprofil DB in Quadrant -B-2 unter Planum 4 (Grabungsdokumentation Stillfried, Landessammlung Niederösterreich, Bereich Ur- und Frühgeschichte, Fotonr. ST03246).

Stratigraphie V704

Das Objekt V704 wird im Norden durch ein beutelförmig eingetieftes Objekt (V701) bis in eine Tiefe von 2,4 m unter der NW-Ecke von -B-2 gestört.[1184]

Grubenform

Wandverlauf	Sohlenverlauf	Übergang Sohle – Wand	primäre Nutzungsspuren	Auffälligkeiten
steilkonische bis annähernd senkrechte Wand, unregelmäßiger Verlauf	waagrechte Grubensohle, stellenweise uneben	spitz bis leicht gerundet	Abdrücke von Steigbaum(?) (Abb. 41/3)	Stufe auf der Grubensohle, ca. 20 cm hoch (Plan HF 27/1984); zentrale Störung innerhalb des Objekts (Zeitpunkt unklar, Sign. 00280, 10366–10368, Abb. 313)

Größe und Fassungsvermögen V704

min. Dm. (d): Bereich Sign. 00278	ca. 326 cm
max. Dm. (D): Grubensohle	347 cm
max. erh. Grubentiefe (h)	meist 140 cm max. 157 cm
max. rek. Grubentiefe (unter HOK)	320 cm 337 cm (mit Vertiefung)
erh. rek. Fassungsraum der Grube	12,45 m³ (ohne Vertiefung)
archäolog. Datierung	Ha B3
Zuordnung zu Siedlungsphase	III/2



Abb. 312: V704: Planum 4 von Quadrant -B-2 mit V704. In der Mitte des Befundes ist der nachträgliche Eingriff zu sehen (helle Verfüllung Sign. 00280 sowie rechts daneben dunkleres Material Sign. 10368) (Grabungsdokumentation Stillfried, Landessammlung Niederösterreich, Bereich Ur- und Frühgeschichte, Fotonr. ST03223).

1184. Grabungsplan HF 40/1984.

Schichtabfolge V704

Lage in der Grube	Sign.	Schicht-schlüssel	Beschreibung	Kurzbeschreibung	besondere Funde	Höhe ab Sohle in cm
direkt auf der Grubensohle	00276	17	grau-aschiges Material, mit vielen kleinen Holzkohleflittern durchsetzt	Asche, einige Funde	**pyramidenstumpfförm. Webgewichtfrg.** (St. 11867)	0–33
„Deponierungshorizont“						
	00277	16	mehrere Schichten rot-lehmig gebrannt – abwechselnd mit Asche und Löß	Brandschutt, Asche, Löß, fundreich		18–54
annähernd waagrechte Oberkante, keine Deponierung	10365	13	weiße, dünne Aschelage	Asche		36–55
oberer Grubenbereich						
	00278	17	grau-braune Verfüllung	Humus-Asche-Gemisch, fundreich	**2 bearbeitete Knochen** (St. 11709, 11712); **7 stabförm. Bronzefrg.** (St. 11755; Taf. 46/1)	30–140 (erh.)
			Funde ohne genaue Schichtzuordnung (Sign. 00276–00278)	**2 pyramidenstumpfförm. Webgewichtfrg.** (St. 11862); **Klopfstein** (St. 11862); **poliertes Tonobjekt mit Lochung und zwei spitzen Enden**[1185] (St. 11843; Taf. 45/3); **bearbeiteter Knochen** (St. 11878)		
zentraler nachträglicher Eingriff (β)						bis 42 über Sohle
	10366	17 β	rot-braun, lehmig, mehrere Schichten (Abb. 312, 313)	Brandschutt-Humus-Gemisch, eher fundarm		50–140
	10367	3 β	gelb-lehmig	Löß, fundarm		42–66
	10368	17 β	hellgrau-braunes, aschiges Material (Abb. 312, 313)	Asche-Humus-Gemisch, eher fundarm		50–140
	00280	11 β	helles, gelbes Material, gering gemischt mit Asche und Humus (Abb. 311–313)	Löß-Humus-Asche-Gemisch, eher fundarm		80–140

1185. Penz 2006, Taf. 20/1, hart gebrannt, Oberfläche poliert und grafitiert.

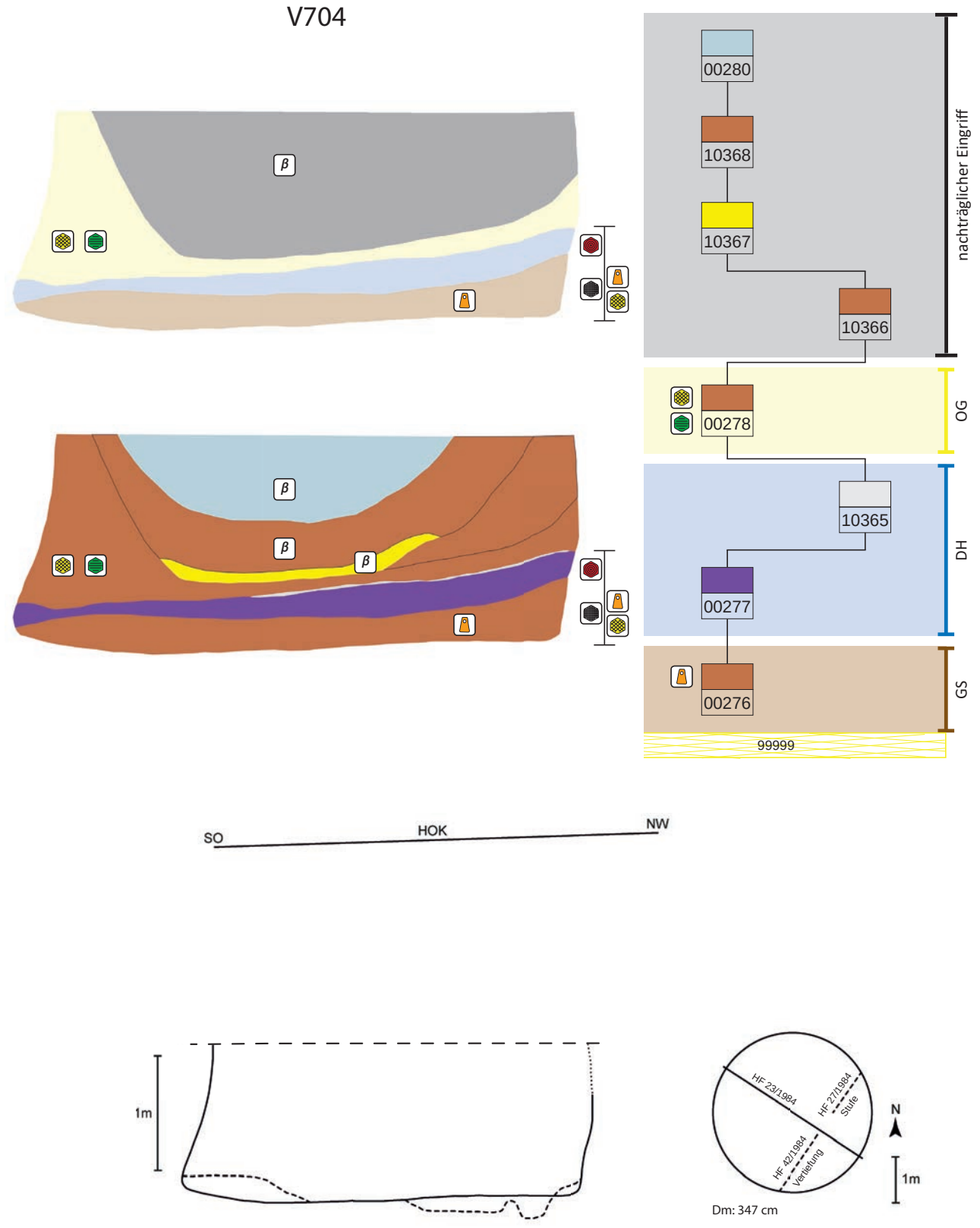
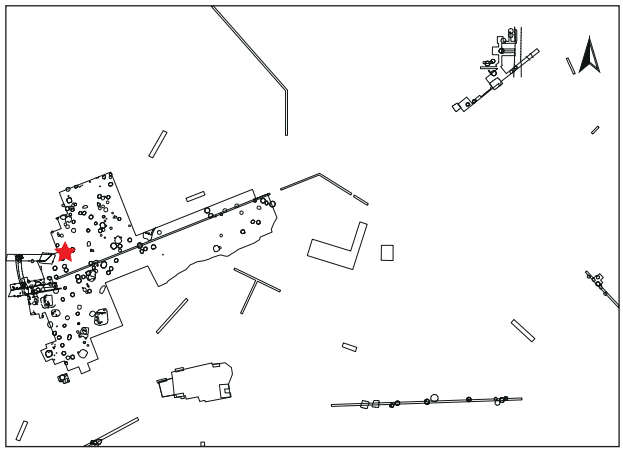


Abb. 313: V704, schematische Darstellung, Schnitt und Lage des Schnittes im Planum.

Objekt V715 – Kegelstumpfförmige Grube

Lage	Hügelfeld Quadrant I2
alte Objektnr.	Verf. 3
Literatur	Hellerschmid 2006.
Interfaces	
Signaturen (Schichtnrn.)	00619, 10480



Dokumentationsniveaus/Plana

Plannr.	Planum	alte Verf.	Lage/Quadrant	vertikale Einmessung		
				Ausgangspunkt	relative Tiefe	absolute Höhe in müA
HF 3/1985	Planum 1	3	I2	SO I2	-42 cm	197,84
HF 33/1985	Planum 2	3	I2	SO I2	-76 cm	197,50
HF 64/1985	Teilplanum 3	3	I2	SO I2	ca. -96 cm	197,30
HF 71/1985	Teilplanum 3	3	I2	SO I2	ca. -96 cm	197,30

Profile/Schnitte

Plannr.	alte Verf.	Hauptprofil		Schnitt	
		Orientierung	Lage/Quadrant	Bezeichnung	unter DOKN
HF 11/1985	3	Zwischenprofil	I2	KEL	Planum 1
HF 71/1985	3	Zwischenprofil	I2	JDF	Planum 2
HF 73/1985 (Abb. 314)	3	Zwischenprofil	I2	EDH	Planum 2

Stratigraphie V715

Das Objekt V715 erscheint ungestört.

Grubenform

Wandverlauf	Sohlenverlauf	Übergang Sohle – Wand	primäre Nutzungsspuren	Auffälligkeiten
steilkonische bis konische Wand	waagrechte Grubensohle	eckig bis leicht gerundet	(verkohlte) Überreste der Einfüllung(?) (Sign. 10480)	muldenförmige Eintiefung in der Grubensohle; nahe an älterer Grube errichtet (V713)

Größe und Fassungsvermögen V715

min. Dm. (d): Bereich Sign. 00619	150 cm
max. Dm. (D): Grubensohle	200 cm
max. erh. Grubentiefe (h)	78 cm
max. rek. Grubentiefe (unter HOK)	140 cm
erh. rek. Fassungsraum der Grube	1,89 m³
rek. Fassungsraum der Grube	2,42 m³
archäolog. Datierung	Ha B3
Zuordnung zu Siedlungsphase	III/2

Schichtabfolge V715

Lage in der Grube	Sign.	Schicht-schlüssel	Beschreibung	Kurzbeschreibung	besondere Funde	Höhe ab Sohle in cm
direkt auf der Grubensohle						
primäre Nutzungs-spuren	10480	4	dunkelbraun-humoses Material	verkohlte Überreste der Einfüllung(?), fundarm		0–2
„Deponierungs-horizont“						
keine Deponierung	00619	17	braun-graues, aschiges Material mit Hüttenlehm und Holzkohle	Humus-Asche-Brand-schutt-Gemisch, fundreich	**zungenförm. Tonlappen** (St. 12943; Taf. 46/2 u. Abb. 92–94); **pyramidenstumpfförm. Webgewichtfrg.** (St. 12943)	ab 0



Abb. 314: V715: Zwischenprofil EDH in Quadrant I2 (Grabungs-dokumentation Stillfried, Landessammlung Niederösterreich, Bereich Ur- und Frühgeschichte, Fotonr. ST29063).

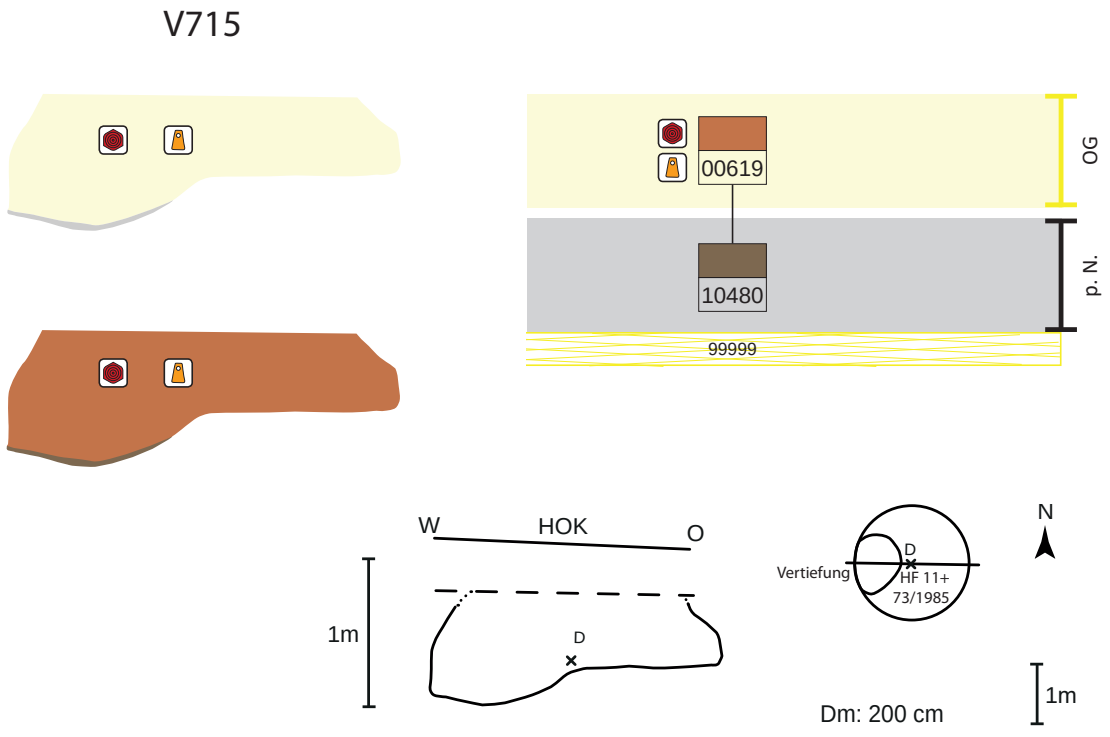
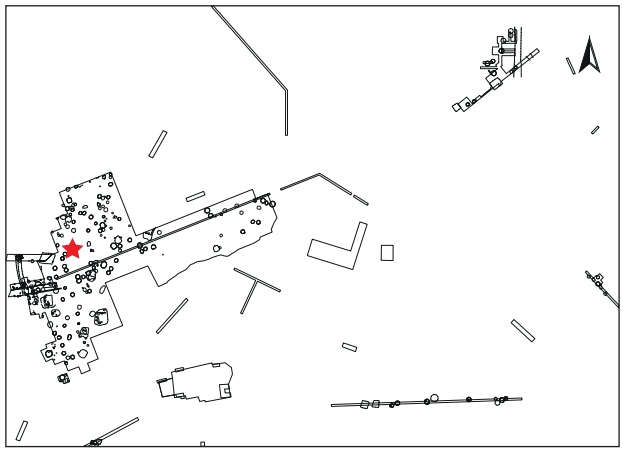


Abb. 315: V715, schematische Darstellung, Schnitt und Lage des Schnittes im Planum.

Objekt V729 – Kegelstumpfförmige Grube

Lage	Hügelfeld Quadrant I3, Riegel I3/J3
alte Objektnr.	Verf. 7
Literatur	Hellerschmid 2006.
Interfaces	
Signaturen (Schichtnrn.)	00282–00283, 10380–10385



Dokumentationsniveaus/Plana

Plannr.	Planum	alte Verf.	Lage/Quadrant	vertikale Einmessung		
				Ausgangspunkt	relative Tiefe	absolute Höhe in müA
HF 23/1985	Planum 2	7	I3	SO I3	-55 cm	197,61
HF 96/1985	Planum 3	7	I3	NW I3	-93 cm	197,11
HF 108/1985	Planum 4	7	I3	NW I3	-118 cm	196,86
HF 113/1985	Planum 5	7	I3	NW I3	-142 cm	196,62
HF 147/1985 (Abb. 316)	Planum 6	7	I3	NW I3	-163–179 cm	196,41–196,25
HF 149/1985	Planum 7	7	I3	NW I3	-196–208 cm	196,08–195,96

Profile/Schnitte

Plannr.	alte Verf.	Hauptprofil		Schnitt	
		Orientierung	Lage/Quadrant	Bezeichnung	unter DOKN
HF 25/1985	7	Nordprofil	I3		HOK
HF 116/1985	7	Zwischenprofil	I3	AB	Planum 4
HF 124/1985	7	Nordprofil und Verlängerung	I3, I2/I3		Planum 3
HF 140/1985	7	Zwischenprofil	I3, I2/I3	1–5–?	Planum 3
HF 145/1985 (Abb. 317)	7	Zwischenprofile	I3	MO, QO	Planum 5
HF 146/1985	7	Zwischenprofile	I3	OK, OS	Planum 5

Stratigraphie V729

Objekt V729 wird im Südwesten durch einen (römerzeitlichen) Ofen (V730) bis in eine Tiefe von etwa 2,9 m unter PP3 gestört. Auch eine (römerzeitliche) Grube (V722) dürfte einschneiden.[1186]

Grubenform

Wandverlauf	Sohlenverlauf	Übergang Sohle – Wand	primäre Nutzungsspuren
steilkonische Wand	waagrechte Grubensohle	leicht gerundet	

1186. Grabungsplan HF 96/1985.

Größe und Fassungsvermögen V729

min. Dm. (d): Bereich Sign. 10385	192 cm
max. Dm. (D): Grubensohle	300 cm
max. erh. Grubentiefe (h)	180 cm
max. rek. Grubentiefe (unter HOK)	225 cm
erh. rek. Fassungsraum der Grube	8,69 m³
rek. Fassungsraum der Grube	9,59 m³
archäolog. Datierung	Ha B2–3
Zuordnung zu Siedlungsphase	II

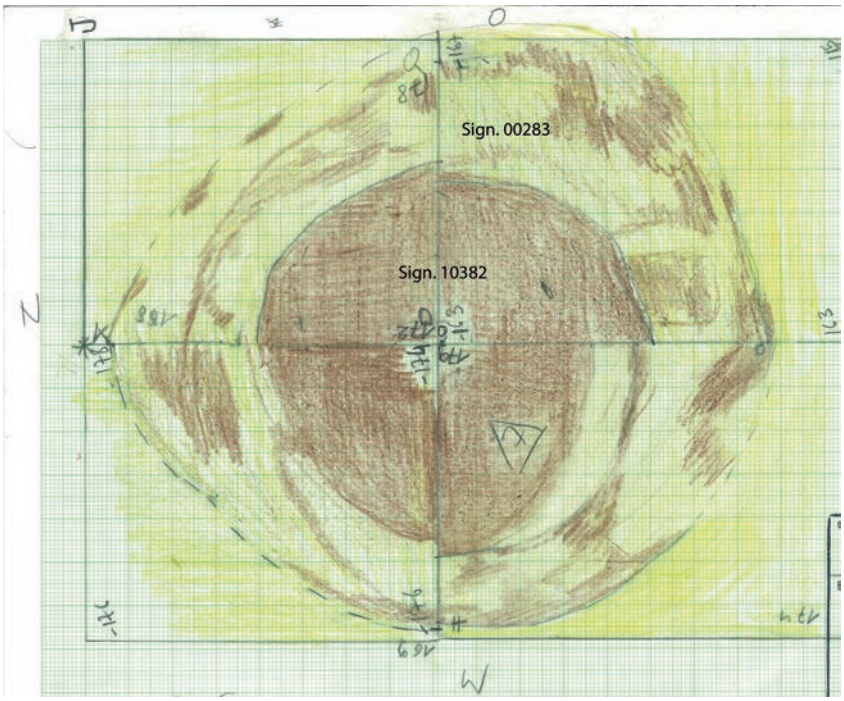


Abb. 316: V729: Planum 6 von Quadrant I3 mit V729. Die Einfüllung aus Löß- und Humuslagen (Hell-Dunkel-Einfüllung) im äußeren Bereich ist gut zu erkennen (Zeichnung: A. Mikosz, Universität Wien, Plannr. HF 147/1985).

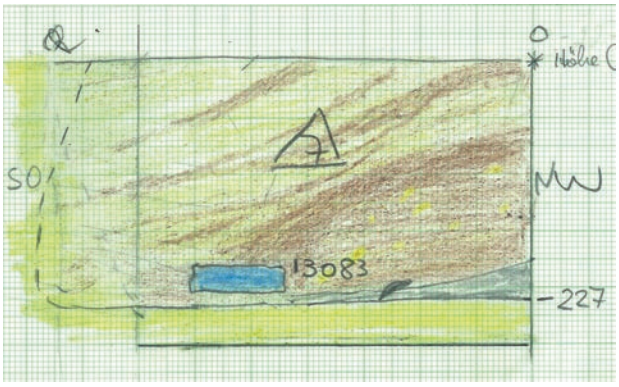


Abb. 317: V729: Zwischenprofil durch V729 mit Reibplatte FNr. St. 13083 in Schicht 10382 (Zeichnung: A. Mikosz, Universität Wien, Plannr. HF 145/1985).

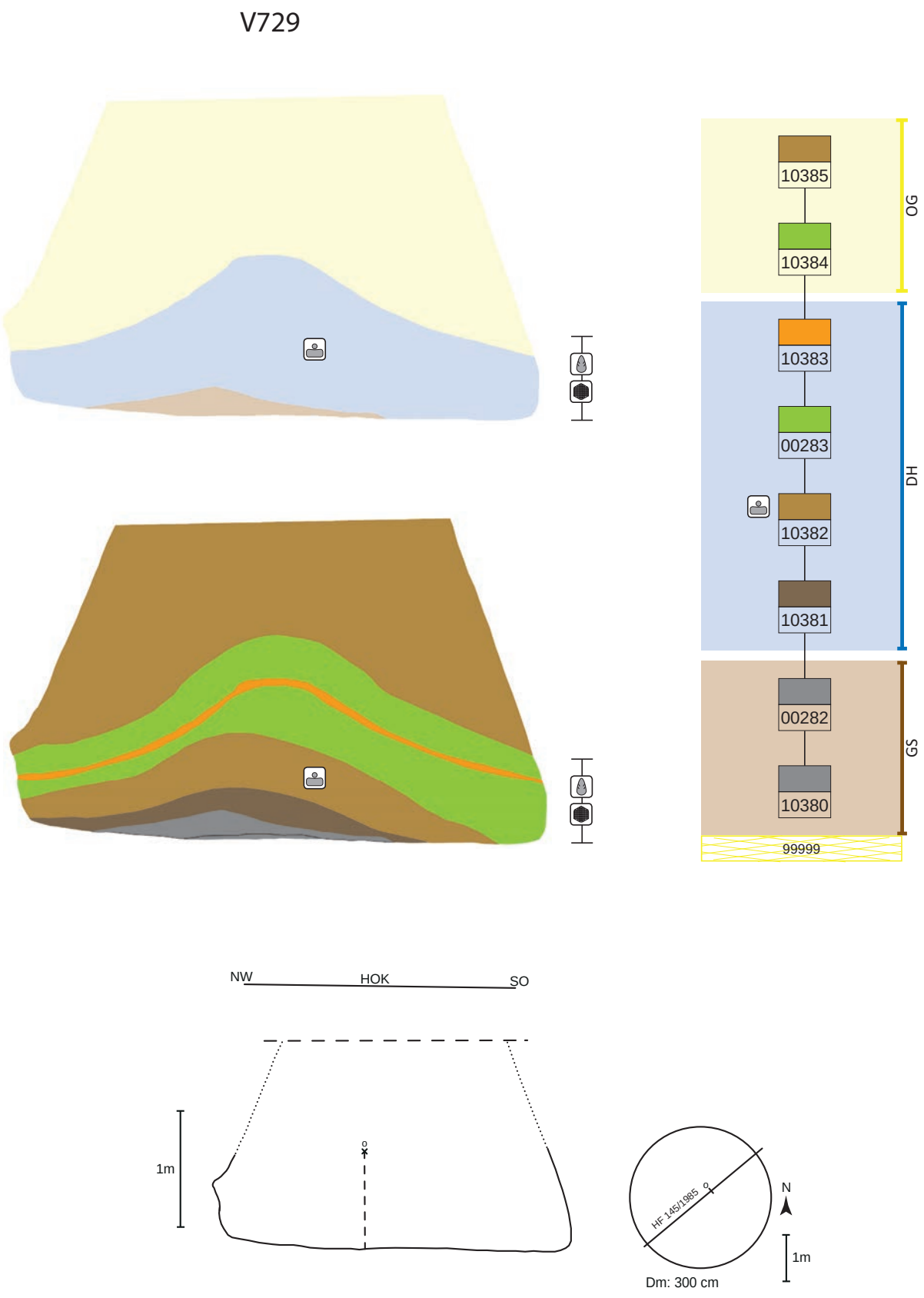


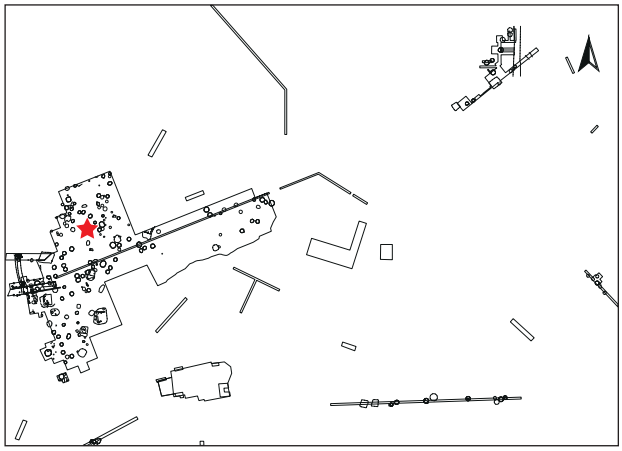
Abb. 318: V729, schematische Darstellung, Schnitt und Lage des Schnittes im Planum.

Schichtabfolge V729

Lage in der Grube	Sign.	Schicht-schlüssel	Beschreibung	Kurzbeschreibung	besondere Funde	Höhe ab Sohle in cm
direkt auf der Grubensohle						
	10380	1	dunkelgraue Ascheschicht, stark mit Holzkohle durchsetzt	Asche mit viel HK, fundarm		0–3
	00282	1	Schüttkegel aus grauer Asche mit Holzkohleflittern	Asche, fundarm(?)		0–16
„Deponierungs-horizont“						
	10381	4	dunkelbraun-humose Einfüllung	Humus, fundarm	**Reibplattenfrg.** (St. 13083; Abb. 317) **Silexklinge** (St. 13069) **Klopfstein**[1187] (St. 13082; Taf. 45/4)	0–28
	10382	9	braun-humose Einfüllung mit Löß durchsetzt (Abb. 316)	Humus-Löß-Gemisch, fundarm(?)		0–60
	00283	14	mehrere Schichten Humus und Löß (Abb. 316)	Humus-Löß abwechselnd, fundarm(?)		0–88
keine waagrechte Oberkante, keine Deponierung	10383	2	rot-braun verbranntes Material mit Hüttenlehmstücken und grauer Asche	Brandschutt, eher fundarm(?)		24–92
oberer Grubenbereich						
	10384	14	mehrere Schichten Humus und Löß	Humus-Löß abwechselnd, fundarm(?)		28–115(?)
	10385	9	Gemisch aus braunem Humus und hellen Lößbrocken, teils stark mit kleinen Hüttenlehm-brocken durchsetzt (mehrere Schichten?)	Humus-Löß-Gemisch, teils Brandschutt, fundarm		ab 40

Objekt V777 – Kegelstumpfförmige Grube

Lage	Hügelfeld Quadrant J5, Riegel J5/K5
alte Objektnr.	Verf. 4b
Literatur	Hellerschmid 2006. – Penz 2006.
Interfaces	
Signaturen (Schichtnrn.)	00316–00318, 10386–10388



Dokumentationsniveaus/Plana

Plannr.	Planum	alte Verf.	Lage/Quadrant	vertikale Einmessung		
				Ausgangspunkt	relative Tiefe	absolute Höhe in müA
HF 27/1986	Planum 2	4b	J5	NW J5	-52 cm	196,86
HF 40/1986	Planum 3	4b	J5	NW J5	-105 cm	196,33
HF 58/1986	Planum 1	4b	J5/K5		?	?
HF 67/1986	Planum 1	4b	J5/K5	SO I5 (?)	-83 cm	196,79

1187. Ockerfarbenes Flussgeröll mit Schlagkappe, L. 13 cm, B. 6,5 cm, St. 6 cm.

Profile/Schnitte

Plannr.	alte Verf.	Hauptprofil		Schnitt	
		Orientierung	Lage/Quadrant	Bezeichnung	unter DOKN
HF 49/1986	4b	Nordprofil	J5		HOK

Stratigraphie V777

Objekt V777 erscheint ungestört. Der obere Grubenbereich wirkt gekappt. Darüber liegt rezenter Humus (Abb. 319).

Grubenform

Wandverlauf	Sohlenverlauf	Übergang Sohle – Wand	primäre Nutzungsspuren
steilkonische Wand	waagrechte Grubensohle	leicht gerundet	

Größe und Fassungsvermögen V777

min. Dm. (d): Bereich Sign. 00318	134 cm
max. Dm. (D): Grubensohle	ca. 175 cm
max. erh. Grubentiefe (h)	148 cm
max. rek. Grubentiefe (unter HOK)	175 cm
erh. rek. Fassungsraum der Grube	2,79 m³
rek. Fassungsraum der Grube	3,23 m³
archäolog. Datierung	Ha B3
Zuordnung zu Siedlungsphase	III/1

Schichtabfolge V777

Lage in der Grube	Sign.	Schicht-schlüssel	Beschreibung	Kurzbeschreibung	besondere Funde	Höhe ab Sohle in cm
direkt auf der Grubensohle	10386	1	grau-schwarzer, flacher Schüttkegel	Asche	**pyramidenstumpf-förm. Webgewichtfrg.** (St. 20415)	0–2
„Deponierungs-horizont“						
	10387	2	rot-lehmige Einfüllung mit Holzkohle- und Hüttenlehmstückchen	Brandschutt, fundreich		0–15
	10388	1	dunkel-grau-schwarze, aschige Einfüllung	Asche		2–20
annähernd waagrechte Oberkante, keine Deponierung	00316	15	mehrere Schichten von grau-aschigem Material, teils mit Löß vermischt, Holzkohle- und Hüttenlehmstückchen	Brandschutt, fundreich		5–30
oberer Grubenbereich						
	00317	9	braun-humose Einfüllung mit vereinzelten, kleinen Lößbröckchen	Humus, eher fundarm		18–100
	00318	9	hellbraun-humose Einfüllung mit Lößbrocken	Humus-Löß-Gemisch, eher fundarm	**Trensenseitenstange aus Geweihspross**[1188] (St. 20394); **Bronzefrg. (Beschlag?) mit Nietkopf aus Eisen**[1189] (St. 20460)	ab 68

1188. Penz 2006, Taf. 21/2.

1189. Penz 2006, Taf. 21/1. Länglich-schmales, leicht gebogenes Bronzefragment; ein Ende alt gebrochen; das andere Ende quer verbreitert mit festsitzendem, großem Nietkopf aus Eisen; L. 13,8 cm, B. 2,7 cm, Stärke 0,2–0,4 cm; Zugehörigkeit zu V777 fraglich.

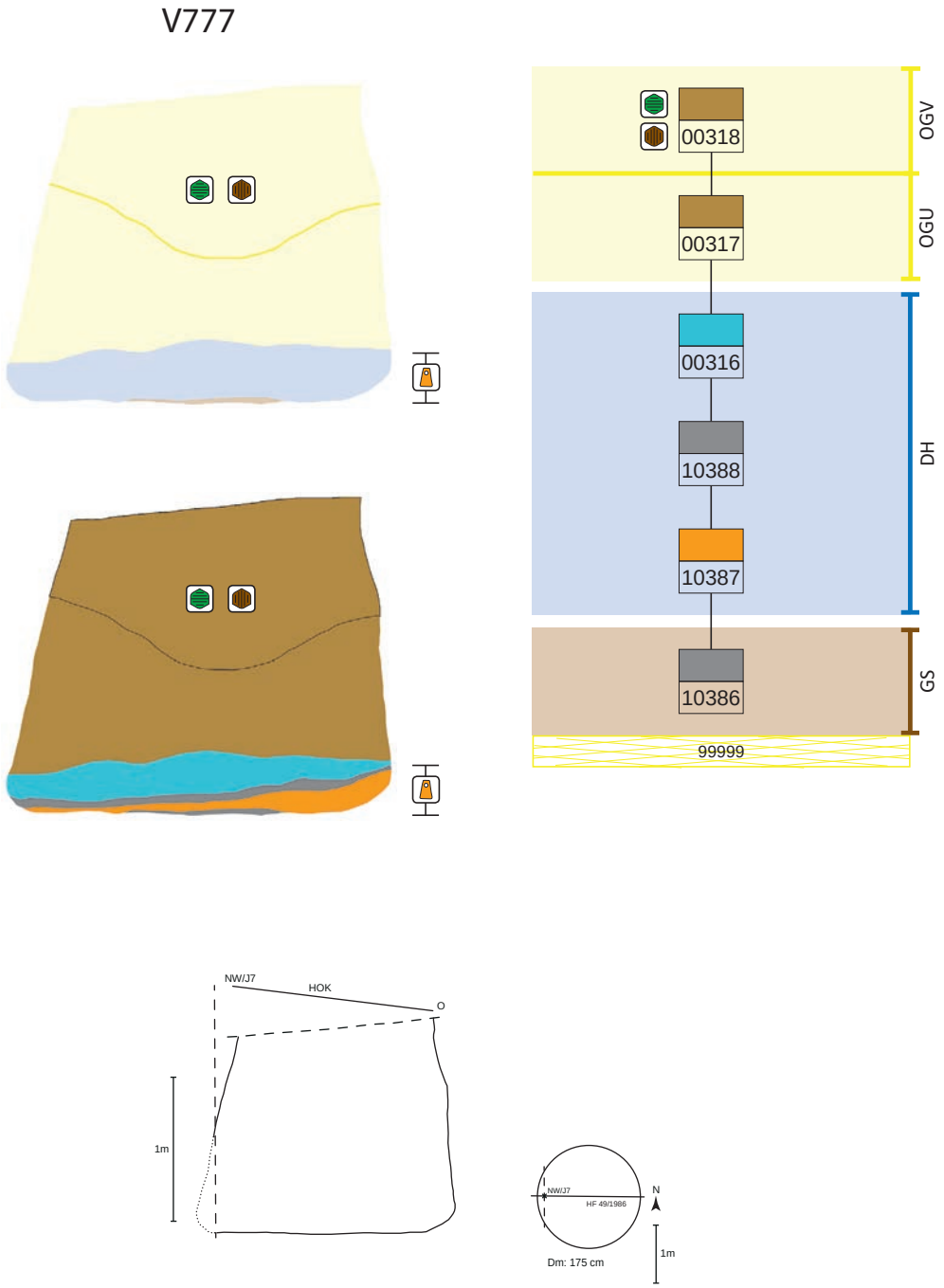
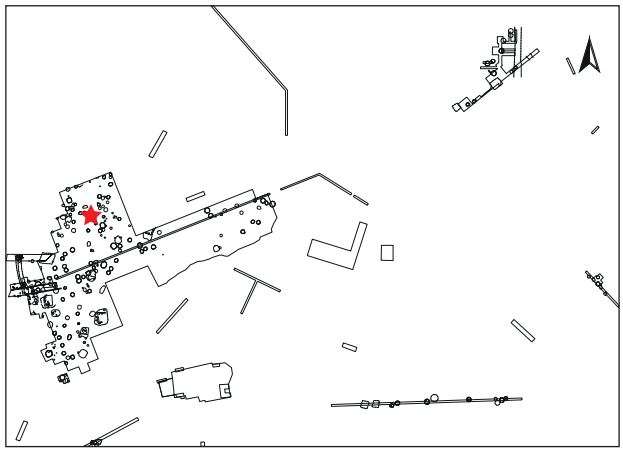


Abb. 319: V777, schematische Darstellung, Schnitt und Lage des Schnittes im Planum.

Objekt V780 – Kegelstumpfförmige Grube

Lage	Hügelfeld Quadrant K5, Riegel K5/L5
alte Objektnr.	Verf. 3a
Literatur	Hellerschmid 2006.
Interfaces	
Signaturen (Schichtnrn.)	00326, 00327, 10389–10391



Dokumentationsniveaus/Plana

Plannr.	Planum	alte Verf.	Lage/Quadrant	vertikale Einmessung		
				Ausgangspunkt	relative Tiefe	absolute Höhe in müA
HF 16/1986	Planum 2	3a	K5	NO K5	-16 cm	196,33
HF 16/1986	Planum 3	3a	K5	NO K5	-71 cm	195,78
HF 16/1986	Planum 4	3a	K5	NO K5	-109 cm	195,40
HF 58/1986	Planum 1	3a	K5/L5		k. A.	?



Abb. 320: V780: NO-Ecke von Quadrant K5 mit V780 (Grabungsdokumentation Stillfried, Landessammlung Niederösterreich, Bereich Ur- und Frühgeschichte, Fotonr. ST29166).

Profile/Schnitte

Plannr.	alte Verf.	Hauptprofil		Schnitt	
		Orientierung	Lage/Quadrant	Bezeichnung	unter DOKN
HF 25/1986 (Abb. 320)	3a	Ostprofil	K5		HOK
HF 26/1986 (Abb. 320)	3a	Nordprofil	K5		HOK

Stratigraphie V780

Objekt V780 erscheint ungestört, der obere Grubenbereich wirkt gekappt. Darüber liegt rezenter Humus (Abb. 321).

Grubenform

Wandverlauf	Sohlenverlauf	Übergang Sohle – Wand	primäre Nutzungsspuren
konische bis steilkonische Wand (stempelförmig)	leicht nach außen gewölbte Grubensohle	gerundet	

Größe und Fassungsvermögen V780

min. Dm. (d): Bereich Sign. 00327	ca. 140 cm
max. Dm. (D): Grubensohle	ca. 190 cm
max. erh. Grubentiefe (h)	130 cm
max. rek. Grubentiefe	160 cm
min. rek. erh. Dm. (d)	110 cm
erh. rek. Fassungsraum der Grube	2,35 m³
rek. Fassungsraum der Grube	2,57 m³
archäolog. Datierung	Ha B3
Zuordnung zu Siedlungsphase	III/2

Schichtabfolge V780

Lage in der Grube	Sign.	Schicht-schlüssel	Beschreibung	Kurzbeschreibung	besondere Funde	Höhe ab Sohle in cm
direkt auf der Grubensohle	10389	17	graubraune Einfüllung, mit Hüttenlehmbröckchen durchsetzt	Brandschutt-Humus-Gemisch, eher fundarm(?)		0–12
„Deponierungs-horizont“						
	10390	13	hellgraue, aschige Einfüllung mit Keramikfragmenten	Asche, fundreich		0–17
	00326	13	grau-aschige Einfüllung mit Holzkohleflittern	Asche, eher fundarm(?)		6–39
annähernd waagrechte Oberkante, keine Deponierung	10391	1	dunkel-grau-schwarze, aschige Einfüllung mit zahlreichen Holzkohle- und Hüttenlehmbröckchen	Brandschutt, eher fundreich(?)		12–49
oberer Grubenbereich	00327	17	braun-humose Einfüllung, mit Lößbrocken und teils sehr vielen Hüttenlehmbröckchen durchsetzt	Humus-Löß-Gemisch, fundarm		ab 37

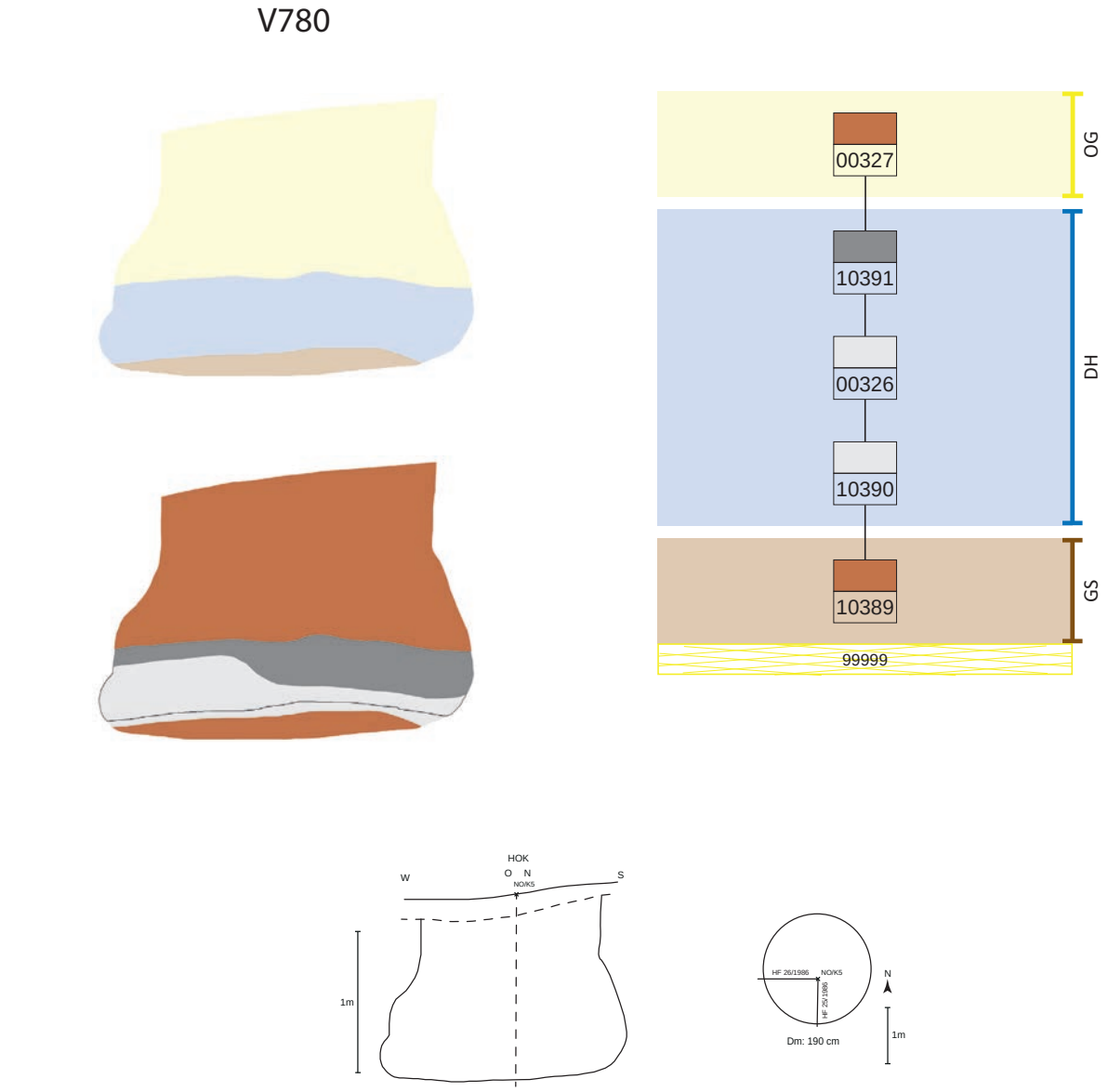
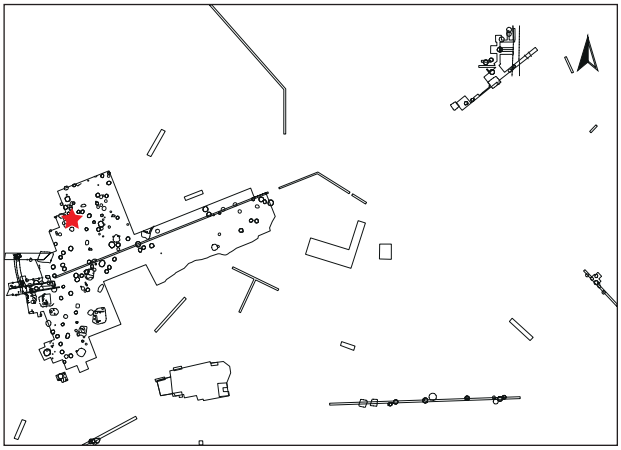


Abb. 321: V780, schematische Darstellung, Schnitt und Lage des Schnittes im Planum.

Objekt V792 – Beutelförmige Grube

Lage	Hügelfeld Quadranten K4, L4, Riegel K4/L4
alte Objektnr.	Verf. 1, 5, 5b
Literatur	Hellerschmid 2006.
Interfaces	
Signaturen (Schichtnrn.)	00331, 00332, 10481, 10482



Dokumentationsniveaus/Plana

Plannr.	Planum	alte Verf.	Lage/Quadrant	vertikale Einmessung		
				Ausgangspunkt	relative Tiefe	absolute Höhe in müA
HF 23/1986	Planum 1	5	L4	SW L4	-19 cm	197,00
HF 37/1986	Planum 2	5b	L4	SW L4	-52 cm	196,67
HF 1/1987	Planum 2	5b	L4	SW L4	-52 cm	196,97
HF 122/1987	Planum 1	5B	L4/K4	SW L4	-53 cm	196,96

Profile/Schnitte

Plannr.	alte Verf.	Hauptprofil		Schnitt	
		Orientierung	Lage/Quadrant	Bezeichnung	unter DOKN
HF 162/1985	1	Nordprofil	K4		HOK
HF 12/1987	5B	Zwischenprofil	L4	GC	Planum 2
HF 21/1987	5B	Südprofil	L4		HOK

Stratigraphie V792

Objekt V792 erscheint ungestört (Abb. 322).

Grubenform

Wandverlauf	Sohlenverlauf	Übergang Sohle – Wand	primäre Nutzungsspuren
nach oben trichterförmig erweiterte Wand	nach außen gewölbte Grubensohle	gerundet	

Größe und Fassungsvermögen V792

max. Dm. (D): Sign. 00332	175 cm
max. erh. Grubentiefe (h)	70 cm
max. rek. Grubentiefe (unter HOK)	95 cm
erh. rek. Fassungsraum der Grube[1190]	1,40 m³
archäolog. Datierung	Ha B3
Zuordnung Siedlungsphase	III/1

1190. Das Volumen wurde in diesem Fall mit der Formel $V=2/3 \cdot \pi \cdot r^3$ berechnet (Formel für Halbkugel).

Schichtabfolge V792

Lage in der Grube	Sign.	Schicht-schlüssel	Beschreibung	Kurzbeschreibung	besondere Funde	Höhe ab Sohle in cm
direkt auf der Grubensohle	00331	1	schwarze Asche	Asche, fundreich		0–14
„Deponierungs-horizont“						
	10481	9	gelb-lehmiges Material	Löß, Lehm, fundarm		2–25
unebene Oberkante, keine Deponierung	10482	2	verziegelter Brand-schutt	Brandschutt, fundarm		21–35
oberer Grubenbereich	00332	9	braunes, humos-lehmi-ges Material	Humus, Lehm, fundarm		ab 20

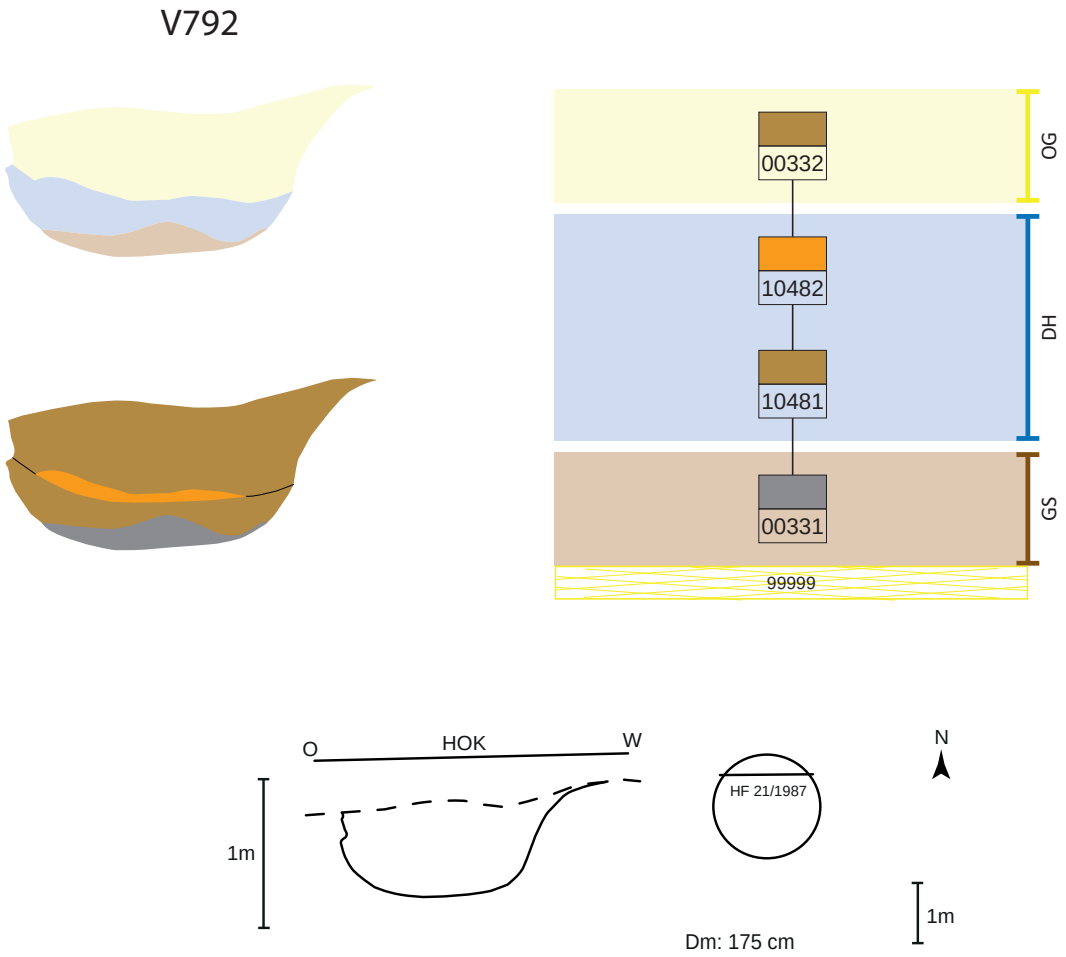
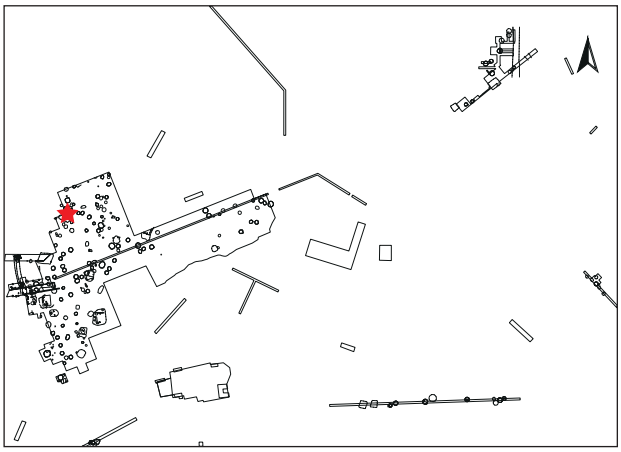


Abb. 322: V792, schematische Darstellung, Schnitt und Lage des Schnittes im Planum.

Objekt V793 – Kegelstumpfförmige Grube

Lage	Hügelfeld Quadrant L4
alte Objektnr.	Verf. 2
Literatur	Hellerschmid 2006.
Interfaces	
Signaturen (Schichtnrn.)	00638–00640, 10392, 10393



Dokumentationsniveaus/Plana

Plannr.	Planum	alte Verf.	Lage/Quadrant	vertikale Einmessung		
				Ausgangspunkt	relative Tiefe	absolute Höhe in müA
HF 23/1986	Planum 1	2	L4	SW L4	-21 cm	196,98
HF 37/1986	Planum 2	2	L4	SW L4	-52 cm	196,67
HF 1/1987	Planum 2	2	L4	SW L4	-52 cm	196,67
HF 7/1987	Planum 3	2	L4	SW L4(?)	-90 cm	196,29 (?)

Profile/Schnitte

Plannr.	alte Verf.	Hauptprofil		Schnitt	
		Orientierung	Lage/Quadrant	Bezeichnung	unter DOKN
HF 33/1986	2	Zwischenprofil	L4	EF	Planum 1
HF 12/1987	2	Zwischenprofil	L4	BHA	Planum 2
HF 12/1987	2	Zwischenprofil	L4	HJ	Planum 2

Stratigraphie V793

Das Objekt V793 wird im Osten etwa 20 cm unter Planum 1 kleinflächig durch eine Pfostengrube unbestimmten Alters (V2389) geschnitten (Abb. 323).

Grubenform

Wandverlauf	Sohlenverlauf	Übergang Sohle – Wand	primäre Nutzungsspuren
steilkonische, leicht nach außen gewölbte Wand	waagrechte Grubensohle	gerundet	

Größe und Fassungsvermögen V793

min. Dm. (d): Bereich Sign. 00640	ca. 165 cm
max. Dm. (D): Grubensohle	178 cm
max. erh. Grubentiefe (h)	ca. 70 cm
max. rek. Grubentiefe	170 cm
erh. rek. Fassungsraum der Grube	1,62 m³
rek. Fassungsraum der Grube	2,61 m³
archäolog. Datierung	Ha B

Schichtabfolge V793

Lage in der Grube	Sign.	Schicht-schlüssel	Beschreibung	Kurzbeschreibung	besondere Funde	Höhe ab Sohle in cm
direkt auf der Grubensohle	00638	4	dunkelbraun-humoser Schüttkegel	Humus, fundarm		0–6
„Deponierungs-horizont“						
	10392	1	dunkel-grau-schwarze, aschige Einfüllung	Asche, fundarm		0–10
	10393	4	dunkelbraun-humose Einfüllung	Humus, fundarm		0–12
annähernd waagrechte Oberkante, keine Deponierung	00639	1	dunkel-grau-schwarze, aschige Einfüllung	Asche, fundarm		0–16
oberer Grubenbereich	00640	17	braun-graue, aschig-humose Verfüllung mit teils Lößbrocken und Hüttenlehmbröckchen	Humus-Brandschutt-Gemisch, fundarm		ab 7

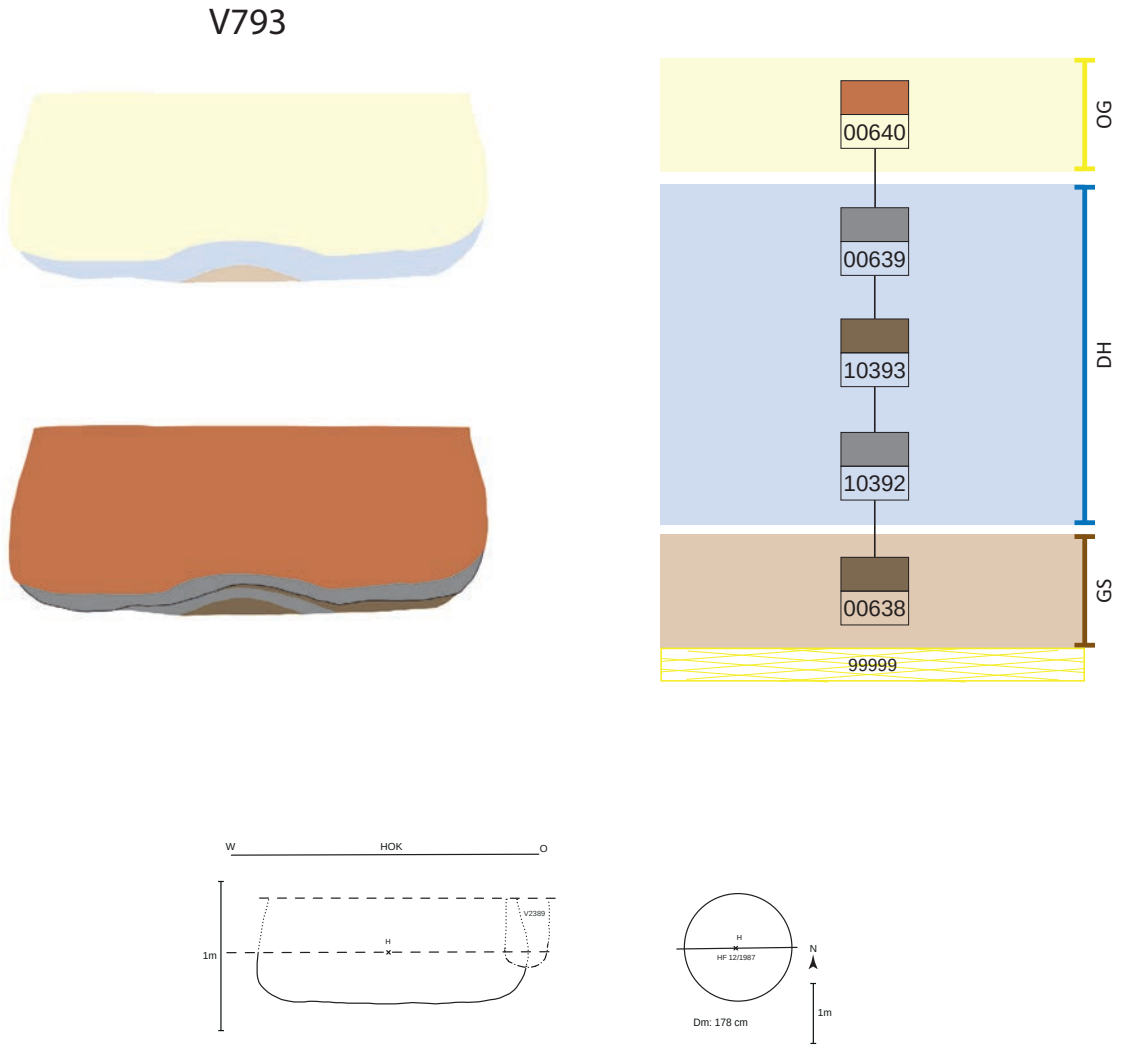
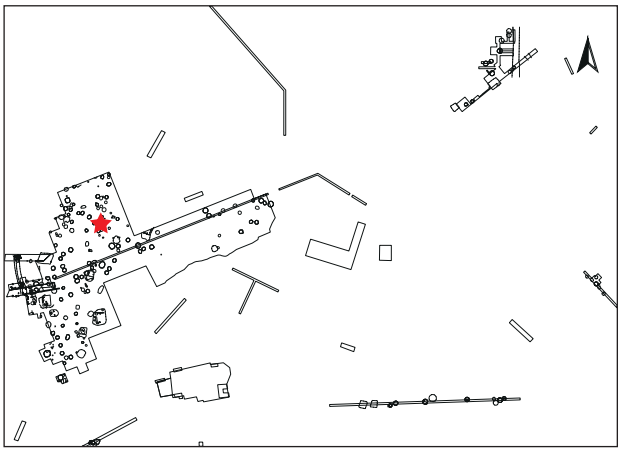


Abb. 323: V793, schematische Darstellung, Schnitt und Lage des Schnittes im Planum.

Objekt V812 – Große, kegelstumpfförmige Grube

Lage	Hügelfeld Quadranten J6, K6, Riegel J6/K6
alte Objektnr.	Verf. 2
Literatur	
Interfaces	
Signaturen (Schichtnrn.)	10405–10416



Dokumentationsniveaus/Plana

Plannr.	Planum	alte Verf.	Lage/Quadrant	vertikale Einmessung		
				Ausgangspunkt	relative Tiefe	absolute Höhe in müA
HF 59/1987	Planum 2	2	J6	SW J6	-72 cm	197,02
HF 71/1987	Planum 2	2	K6	SW K6	-71 cm	ca. 196,70
HF 76/1987 (Abb. 325)	Planum 3	2	J6	NW J6	-73 cm	196,67
HF 103/1987	Planum 4	2	J6	NW J6	-118 cm	196,22

Profile/Schnitte

Plannr.	alte Verf.	Hauptprofil		Schnitt	
		Orientierung	Lage/Quadrant	Bezeichnung	unter DOKN
HF 69/1987	2	Zwischenprofile	J6	EF, AB	Planum 2
HF 70/1987	2	Zwischenprofile	J6	JI, KL	Planum 2
HF 86/1987	2	Nordprofil	J6		HOK
HF 106/1987 (Abb. 324, 327)	2	Zwischenprofil	J6	ABCD	Planum 3
HF 107/1987	2	Zwischenprofil	J6	EB	Planum 3

Stratigraphie V812

Objekt V812 wird im Osten durch die Pfostengrube V811 sowie im Westen randlich durch einen römischen Ofen gestört.[1191] V812 ihrerseits schneidet die ältere (Speicher)Grube V813 (Abb. 324–327).

Grubenform

Wandverlauf	Sohlenverlauf	Übergang Sohle – Wand	primäre Nutzungsspuren	Auffälligkeiten
im unteren Bereich ausladend, darüber konisch einziehend; unregelmäßiger Wandverlauf	waagrechte, stellenweise unebene Grubensohle	gerundet	gelb-lehmiges Material auf der Grubensohle als Überrest der letzten Nutzung(?) (Sign. 10406)	nahe an älterer Grube V813 errichtet – schneidet V813; ringförmig umlaufende Vertiefung in der Grubensohle; gebrannte Lehmplatte(?) mittig unter der Sohle (von Erstnutzung?) (Sign. 10405); zentrale Störung innerhalb des Objekts (Zeitpunkt unklar, Sign. 10413–10415)

1191. Grabungsplan HF 59/1987.

Größe und Fassungsvermögen V812

min. Dm. (d): Bereich Sign. 10412	ca. 240 cm (ohne Versturztrichter)
max. Dm. (D): Grubensohle	auf Grubensohle ca. 300 cm Maximum 336 cm (ca. 60 cm über Sohle)
max. erh. Grubentiefe (h)	137 cm
max. rek. Grubentiefe	250 cm
erh. rek. Fassungsraum der Grube	9,00 m³
rek. Fassungsraum der Grube	11,13 m³
archäolog. Datierung	Ha B3
Zuordnung zu Siedlungsphase	III/2



Abb. 324: V812, V813: Zwischenprofil ABCD in Quadrant J6 mit V812 (rechts). Sehr auffällig und gut erkennbar ist die spätere Störung (Einbringung von Brandschutt?) rechts im Bild (Sign. 10413–10415). Links unten ist die kegelstumpfförmige Grube V813 zu sehen, die von V812 geschnitten wird (Grabungsdokumentation Stillfried, Landessammlung Niederösterreich, Bereich Ur- und Frühgeschichte, Fotonr. ST03821).

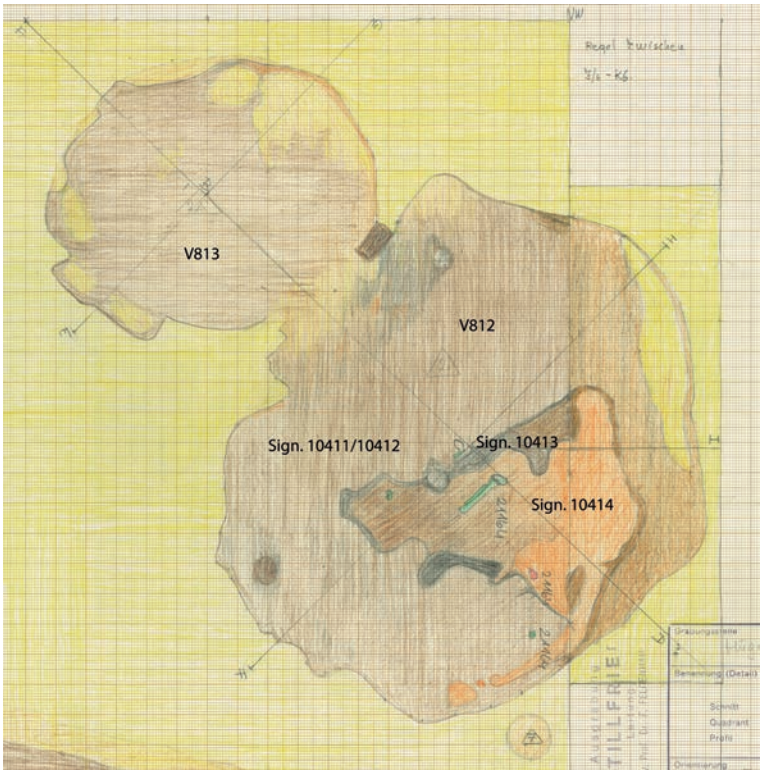


Abb. 325: V812, V813: Zeichnung von Planum 3 von Quadrant J6 sowie dem Riegel J6/K6 mit V812 (rechts) und V813 (links). Gut zu erkennen ist die Störung in V812 (Sign. 10413, 10414) (Zeichnung: E. Hanny, Universität Wien, Plannr. HF 76/1987).

Beschreibung V812

Form im Planum annähernd kreisförmig erhalten, mit einem maximalen Durchmesser von 336 cm etwa 60 cm über der Sohle. Die Sohle verläuft waagrecht und fällt leicht nach Nordosten ab. Im Randbereich, das heißt am Übergang zur Wand, verläuft kreisförmig eine seichte, maximal 10 cm tiefe Vertiefung, sodass im Zentrum ein runder, etwa 160 cm breiter Sockel stehen bleibt. Der Übergang vom Sockel zur Vertiefung wird durch einen leicht erhöhten Ring begrenzt. Im Zentrum ist möglicherweise eine ca. 20 cm große und 3 cm starke Platte aus verbranntem Lehm vorhanden (Sign. 10405). In der Vertiefung im Südwesten befindet sich ein kleiner, hellhumoser, lößhältiger Haufen (Sign. 10406). Ebenfalls eher im Süden wurde dunkelhumoses Material darüber eingebracht (Sign. 10407). Es folgt eine Schicht aus hellen und dunklen Bändern (Löß und Humus, Sign. 10408), gefolgt von zwei mächtigeren Schichten bestehend aus brandschutthältigem, hellem Material, Löß und dunklem Humus (Sign. 10409 und 10410), wobei die obere Lage (Sign. 10410) einen deutlich höheren Humusanteil zeigt. Letztere bildet an ihrem oberen Abschluss eine leicht nach Süden abfallende, ca. 70 × 100 m große Plattform. Darüber wurde verhältnismäßig einheitliches, humoses Material eingefüllt (Sign. 10411, 10412). Im Profil zeigt sich im Nordosten von V812 sehr deutlich eine spätere Störung (Abb. 324, 326). Sehr auffällig ist deren unklarer Umriss, der den Eindruck erweckt, als sei hier noch heißer Brandschutt eingefüllt worden. In der Draufsicht stellt sich dieser Fremdkörper als annähernd dreieckige Eintiefung heraus, welche mit dunkel-aschigem (Sign. 10413) sowie rotem Brandschutt-Material (Sign. 10414) verfüllt wurde (Abb. 325). Darüber bilden mehrere dünne Bänder aus Humus und Brandschutt (Sign. 10415) einen Setzungstrichter, der mit einheitlichem, humosem Material (Sign. 10416) gefüllt ist.

Schichtabfolge V812

Lage in der Grube	Sign.	Beschreibung	Kurzbeschreibung	besondere Funde	Höhe ab Sohle in cm
unter der Grubensohle					
primäre Nutzungsspuren?	10405	rot-gebrannter Lehm	gebrannte Lehmplatte?		-3–0
auf der Grubensohle					
primäre Nutzungsspuren?	10406	gelb-lehmiges Material	„zusammengekehrter Haufen“, Löß? fundarm		0–5
Einfüllung	10407	dunkelbraun-humoses Material	Humus, fundarm		0–14
„Deponierungshorizont“					
	10408	abwechselnd dunkelhumoses und hellhumoses Material	dunkler und heller Humus (insgesamt eher dunkel), eher fundarm(?)	kleines Bronzefrg.	0–22
	10409	Abfolge von feinen, hellhumosen und rötlichen Brandschuttschichten	heller Humus und Brandschutt		2–39
waagrechter Zentralbereich, keine Deponierung	10410	abwechselnd hellbraunhumoses Material und feine Brandschuttschichten sowie Löß	Humus-Löß-Brandschutt, eher fundarm(?)	2 besondere Steine (Sammelstücke?): Limonit (Brauneisenerz) und versteinertes Holz	3–38
oberer Grubenbereich					
	10411	einheitlicher brauner Humus	Humus, eher fundarm(?)		19–80
	10412	relativ einheitlicher, brauner Humus	Humus, eher fundarm(?)		55–oben
(de)zentraler nachträglicher Eingriff (β)					
	10413 β	schwarz-aschiges Material	Asche		46–112
	10414 β	rot-gebrannter Lehm	Brandschutt, eher fundarm(?)	2 pyramidenstumpfförm. Webgewichtfrg.	54–118
	10415 β	braun-schwarzes Humus-Brandschutt-Gemisch	Humus-Brandschutt-Gemisch, eher fundarm(?)		86–oben
endgültige Auffüllung der Grube	10416 β	dunkelbraun-humoses Material	verfüllter Setzungstrichter, Humus, eher fundarm		112–oben

Schichtbeschreibung (Sign.) V812

Sign.	Schicht-schlüssel	Beschreibung	auf Plan	zugeordnete Fundnummern	besondere Funde
10405	5	rot-braun gebrannter Lehm, ca. 20 cm breit; ca. 3 cm tief in Sohle eingetieft	Abb. 324		
10406	3	am südwestlichen Grubenrand auf der Sohle der seitlichen Vertiefung ein kleines, gelb-braunes, lehmiges Häufchen; ca. 5 cm hoch, 30 cm breit (Abb. 324)	HF 106/1987		
10407	4	schwarz-humoses Material, leicht angehäuft, nur in der Westhälfte; max. 22 cm mächtig (Abb. 324)	HF 106, 107/1987		
10408	14	vier Schichten abwechselnd heller Löß und schwarzer Humus; jeweils etwa 5 cm mächtig, gesamt max. 19 cm (evtl. gehört 10407 auch dazu, Abb. 324)	HF 106, 107/1987	21269	**kleines Bronzefrg.** (St. 21269)
10409	16	Abfolge von feinen, hellhumosen und rötlichen Brandschuttschichten; max. 20 cm mächtig (Abb. 324)	HF 106, 107/1987		
		Bereich Sign. 10410 (ganz unten randlich), 10409 (ganz unten randlich), 10408, 10407, 10406, 10405		21251	
10410	16	abwechselnd braun-humose und rötliche Brandschutt- und Ascheschichten sowie heller Löß; max. 30 cm mächtig; bildet an der höchsten Stelle im südlichen Bereich der Grube eine ca. 70 × 100 cm große, leicht nach Süden abfallende Plattform	HF 103, 106, 107/1987		
		Bereich Sign. 10411 (ganz unten), 10410, 10409, 10408, 10407 (ganz oben)		21248	
		Bereich Sign. 10411 (ganz unten), 10410, 10409		21243, 21280	**versteinertes Holz** (St. 21243; Taf. 46/3); **rhombischer Limonit** (Brauneisenerz, St. 21280; Taf. 46/4)
10411	9	einheitliches, braun-humoses Material (Abb. 324, 325)	HF 103, 106, 107/1987		
		Sign. 10412 und 10411		21270	
10412	9	relativ einheitliches, braun-humoses Material mit wenig lehmigen Anteilen (Abb. 324, 325)	HF 59, 70, 76, 86, 106, 107/1987	21122	
10413	1	im Nordosten der Grube eine spätere Nachgrabung mit schwarzer, aschiger Brandschutteinfüllung (Abb. 324, 325)	HF 76, 70, 86, 103, 106, 107/1987		
		Bereich Sign. 10414 (ganz unten), 10413 (ganz unten), 10412 (unten), 10411, 10410, 10409 (oben)		21234	
		Bereich Sign. 10414, 10413, 10412, 10411, 10410		21230	
		Bereich Sign. 10412, 10413, 10414		21143	
10414	2	rot-verziegelter Brandschutt; ca. 50 cm mächtig (Abb. 324, 325)	HF 70, 76, 86, 103, 106, 107/1987	21220, 21126(?), 21164	**2 pyramidenstumpfförm. Webgewichtfrg.** (St. 21220)
10415	17	Brandschutt-Humus-Gemisch, bestehend aus mehreren Schichten, teils mit Holzkohle; ca. 10–20 cm mächtig; wannenförmig	HF 59, 70, 86/1987		
		Bereich Sign. 10416, 10415, 10414, 10413, 10412		21202	
		Bereich Sign. 10416, 10415, 10412		20875 21079, 21087	
10416	9	einheitlich braun-humoses Material	HF 59, 86/1987		

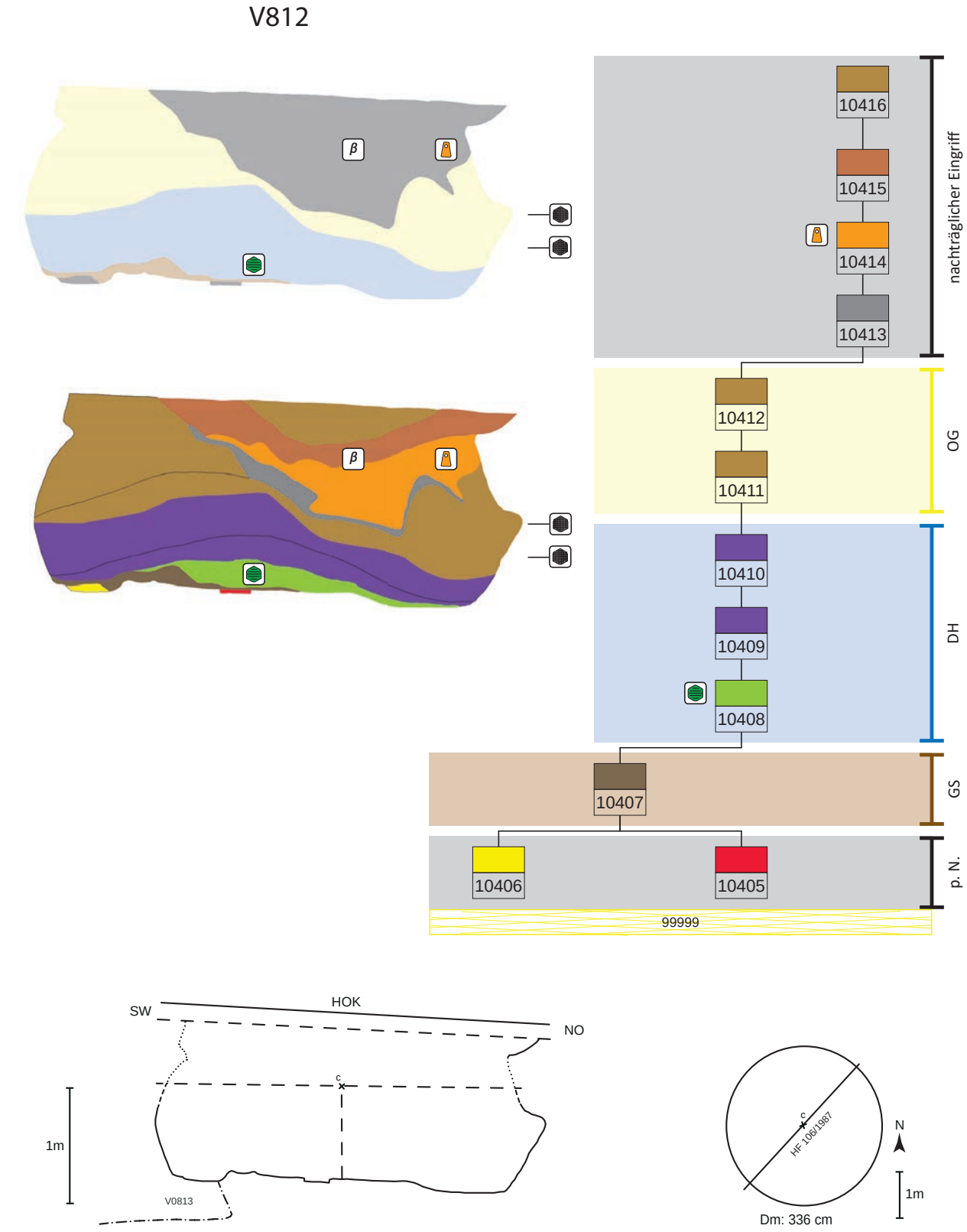


Abb. 326: V812, schematische Darstellung, Schnitt und Lage des Schnittes im Planum.

Funde V812

Die Grube enthielt Keramikfragmente unterschiedlicher Qualität, welche teilweise starken Sekundärbrand zeigen. Mehrere dickwandige Scherben, unter anderem mit Fingerstrichrauung, stammen von großen Vorratsgefäßen. Im unteren Grubenbereich befand sich ein kleines Bronzefragment (FNr. St. 21269) und zwei mögliche steinerne Sammelstücke: Ein zylindrisches Stück versteinerten Holzes (FNr. St. 21243, Taf. 46/3) und ein kleiner, rhombischer Limonit (Brauneisenerz) von natürlicher Formgebung (FNr. St. 21280, Taf. 46/4). Des Weiteren konnten in der oberen Grubenverfüllung zwei Bruchstücke pyramidenstumpfförmiger Webgewichte (FNr. St. 21220) festgestellt werden.

Archäologische Datierung

Die Keramik lässt sich nur allgemein in die späte Urnenfelderzeit stellen, aufgrund der stratigrafischen Situation – V812 schneidet V813 – wird eine Zuordnung zu Siedlungsphase III/2 vorgeschlagen.

Befundinterpretation

Da die große Grube V812 über einen größeren Bereich in die ältere Grube V813 einschneidet, war vermutlich keine Nutzung als Getreidespeicher vorgesehen, sondern eine Verwendung als Aschengrube. Vor der Verfüllung wurde am Grubenboden möglicherweise einmal oder mehrmals Feuer entfacht (Lehmplatte, Sign. 10405). In die bereits verfüllte Grube wurde erneut gegraben und noch heißer Brandschutt eingefüllt.

Fundkatalog V812

21079
J6; 0–30 cm unter Planum 2
Bereich Sign. 10416, 10415, 10412
Kn, Stein, Zie, HL
- 10 WS, jüngere/späte BZ
- 1 kl. BS von Terra Sigillata, Reliefzier, RKZ
- 5 Steine, Leithakalk
KiNr.: 1/17040, 1/17075, 1/17085, 2/17064, 3/17072, 8/17076

21087
J6; 0–20 cm unter Planum 1
Bereich Sign. 10416, 10415, 10412
Ker
KiNr.: 9/17000

21220
J6; auf Plan HF 86/1987
Sign. 10414
Kn, Zie, HL
- 3 WS, UK
- 2 WG-Frg., Seitenbruchstücke, davon 1 schlecht gebr.
- 1 HL-Herdplattenfrg.
- 1 Zie
- 1 Kn
- HK
- Mollusken (Schnecken)
KiNr.: 1/17043, 1/17071, 2/17007, 8/17003, 9/17000, 12/17001

21122
J6; auf Plan HF 70/1987
Sign. 10412
Kn
- Kn mit krankhaften Wucherungen

21126
K6; Planum 2; auf Plan HF 71/1987
Sign. 10414(?)
Ker
- 1 grober WS, UK?
KiNr.: 1/17043

21143
J6; 72 cm unter NW-Ecke (Höhe Planum 3) beim Putzen
Bereich Sign. 10412, 10413, 10414
Ker, Kn, HL
- 1 grober WS, sek. gebr., UK?
- mehrere WS u. 1 RS, UK?
KiNr.: 1/17042

21164
J6; Planum 3; auf Plan HF 76/1987
Sign. 10414
Ker, Kn
- 1 WS von gr. Gefäß (Vorratsgefäß), UK?
- 1 WS, seifig
KiNr.: 1/17042

21202
J6/K6; 0–70 cm unter NW-Ecke/J6 (etwa bis Planum 3)
Bereich Sign. 10416, 10415, 10414, 10413, 10412
Ker, Kn, Stein, Mollusken, HL
- mehrere KerBS, UK, u. a. RS von KHG, RS von Töpfen; Bandhenkel, sek. gebr.
- Mollusken
KiNr.: 1/17043, 1/17070, 1/17077, 1/17085, 2/17064, 8/17078

21230
J6; 0–25 cm unter Planum 3
Bereich Sign. 10414, 10413, 10412, 10411, 10410
Ker, Kn, Stein, HL
- mehrere WS, UK (WS von Topf mit Fingerstrichrauung)
KiNr.: 1/17042, 2/17079

21234
J6; 22–45 cm unter Planum 3 (bis ca. Planum 4)
Bereich Sign. 10414 (ganz unten), 10413 (ganz unten), 10412 (unten), 10411, 10410, 10409 (oben)
Ker, Kn, Stein, Mollusken, HK
- mehrere WS, BoS, RS von Gefäßen unterschiedl. Qualität, UK; u. a. Fingerstrichrauung, RS von Topf mit grober, schräger Fingerstrichrauung, 1 WS durchgeglüht (sek. gebr.), SchulterBS von KHG mit waagr. Rillen
- Mollusken
KiNr.: 1/17043, 1/17077, 1/17078, 1/17079, 1/17085

21243
J6; 50 cm unter Planum 3
Bereich Sign. 10411 (ganz unten), 10410, 10409
- versteinertes Holz, L. 7,5 cm, B. 4,5 cm, H. 3 cm (Taf. 46/3)
KiNr.: 10/17013

21248
J6; 45–65 cm unter Planum 3 (bis ca. 15 cm über Sohle)
Bereich Sign. 10411 (ganz unten), 10410, 10409, 10408, 10407 (ganz oben)
Ker, Kn, Stein, HL
- RS von sehr gr. Topf mit Fingertupfenleiste auf Schulter; Bandhenkel, stark sek. gebr.; mehrere weitere KerBS, UK
KiNr.: 1/17043

21251
J6; 65–103 cm unter Planum 3 (Grube ist nur etwa bis 80 cm unter Planum 3 tief)
Bereich Sign. 10410 (ganz unten randlich), 10409 (ganz unten randlich), 10408, 10407, 10406, 10405
Ker, Kn, Mollusken, Zie
- 4 BS, UK, 1 Frg. von feiner, graf. Schale, SchulterBS von Topf mit Fingertupfenleiste
- Schnecke
KiNr.: 1/17043

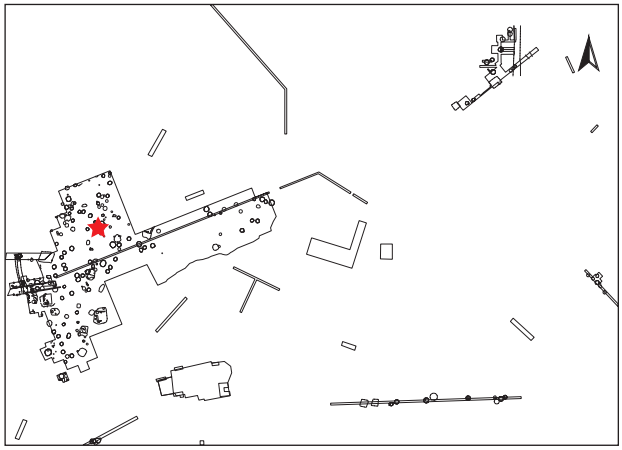
21269
J6; Schnitt CF; auf Plan HF 107/1987
Sign. 10408
Bronze
- kl. Bronzefrg., rechteckig, 0,6 × 0,8 cm
KiNr.: 10/17013

21270
J6; Schnitt ABCD; auf Plan HF 106/1987
Sign. 10412 und 10411
Kn

21280
J6; 10 cm unter Planum 4
Bereich Sign. 10411 (ganz unten), 10410, 10409
Stein
- rhomboider Limonit[1192] (Brauneisenerz), dunkelbraun-schwarz, keine Bearbeitungsspuren, Form natürlich entstanden; L. 5 cm, B. 2,5 cm, H. 1,6 cm (Taf. 46/4)
KiNr.: 3/17014

Objekt V813 – Kegelstumpfförmige Grube

Lage	Hügelfeld Quadrant J6
alte Objektnr.	Verf. 2a
Literatur	Hellerschmid 2006. – Penz 2006.
Interfaces	
Signaturen (Schichtnrn.)	01330–01333, 10402–10404



Dokumentationsniveaus/Plana

Plannr.	Planum	alte Verf.	Lage/Quadrant	vertikale Einmessung		
				Ausgangspunkt	relative Tiefe	absolute Höhe in müA
HF 59/1987	Planum 2	2a	J6	SW J6	-72 cm	197,02
HF 76/1987 (Abb. 325)	Planum 3	2a	J6	NW J6	-73 cm	196,67
HF 103/1987	Planum 4	2a	J6	NW J6	-118 cm	196,22

Profile/Schnitte

Plannr.	alte Verf.	Hauptprofil		Schnitt	
		Orientierung	Lage/Quadrant	Bezeichnung	unter DOKN
HF 70/1987	2a	Zwischenprofile	J6	GKH, KL	Planum 2
HF 78/1987	2a	Westprofil	J6		HOK
HF 106/1987 (Abb. 324, 327)	2a	Zwischenprofil	J6	ABCD	Planum 3
HF 107/1987	2a	Zwischenprofil	J6	EB	Planum 3
HF 109/1987	2a	Zwischenprofil	J6	BG	Planum 3

1192. Bestimmung M. Brandl.

Stratigraphie V813

Objekt V813 ist im Nordosten bis etwa 1,7 m unter dem Fixpunkt PP2 durch die Grube V812 gestört (Abb. 324–327).

Grubenform

Wandverlauf	Sohlenverlauf	Übergang Sohle – Wand	primäre Nutzungsspuren
konische Wand	waagrechte Grubensohle	eckig-scharfkantig	

Größe und Fassungsvermögen V813

min. Dm. (d): Bereich Sign. 01333	224 cm
max. Dm. (D): Grubensohle	306–317 cm
max. erh. Grubentiefe (h)	158 cm
max. rek. Grubentiefe (unter Abschub!)	240 cm
min. rek. erh. Dm. (d) (HUK)	140 cm
erh. rek. Fassungsraum der Grube	6,70 m³
rek. Fassungsraum der Grube (d = 95 cm)	7,24 m³
archäolog. Datierung	Ha B3
Zuordnung zu Siedlungsphase	III/1



Abb. 327: V812, V813: Zwischenprofil BC in Quadrant J6 mit V813 (links). Sehr gut zu erkennen ist die punktuell einschneidende (störende) Grube V812 (rechts) (Grabungsdokumentation Stillfried, Landessammlung Niederösterreich, Bereich Ur- und Frühgeschichte, Fotonr. ST47780001).

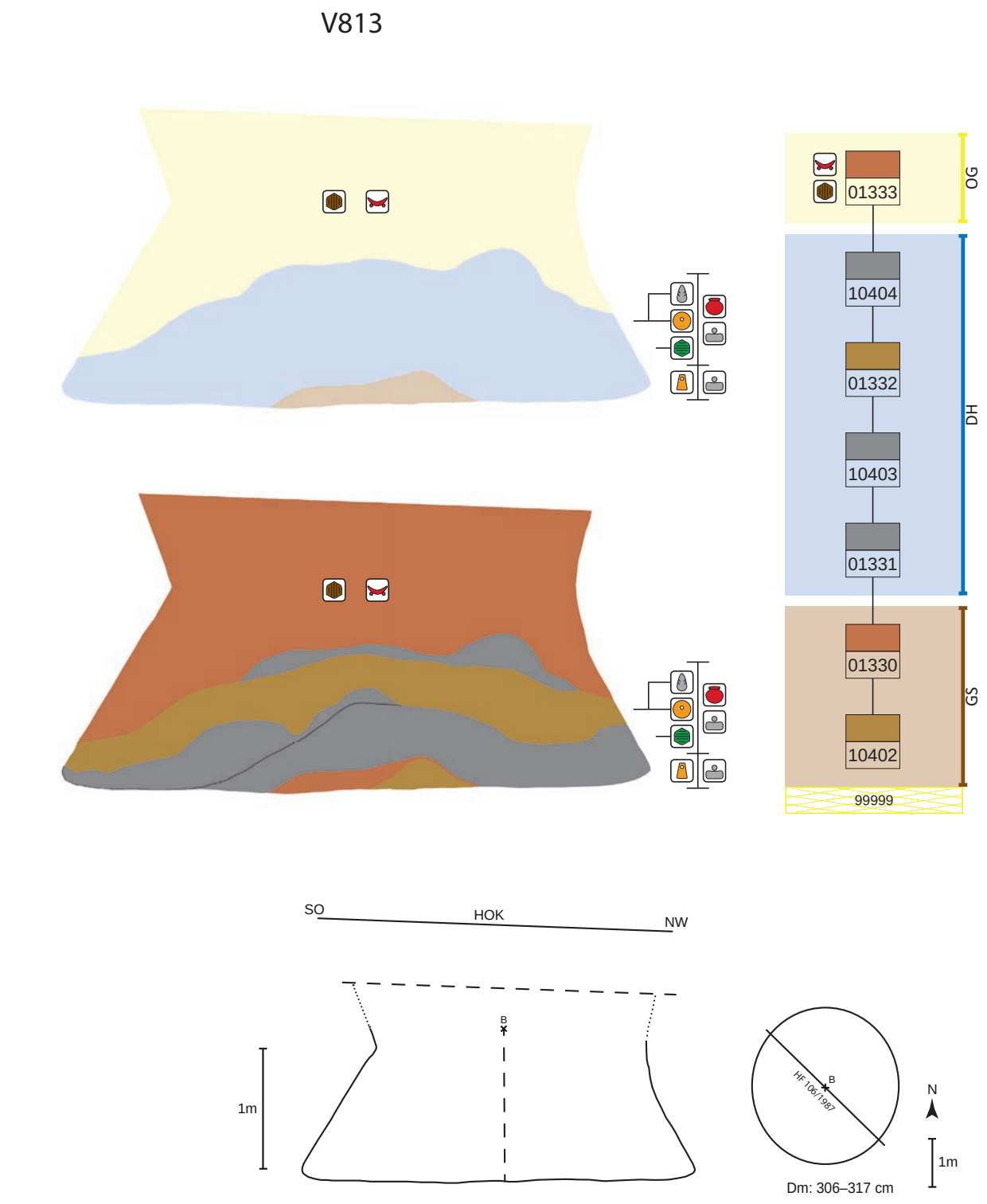


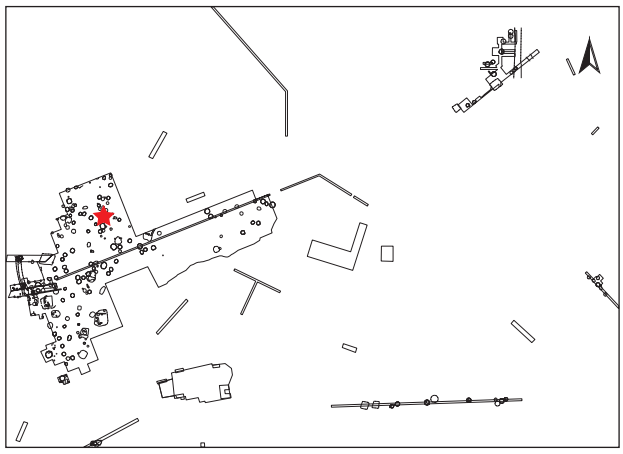
Abb. 328: V813, schematische Darstellung, Schnitt und Lage des Schnittes im Planum.

Schichtabfolge V813

Lage in der Grube	Sign.	Schicht-schlüssel	Beschreibung	Kurzbeschreibung	besondere Funde	Höhe ab Sohle in cm
direkt auf der Grubensohle						
	10402	9	hellbraun-humoser Schüttkegel (vielleicht zwei), dezentral – leicht nach Norden verschoben	Humus-Löß-Gemisch, eher fundarm(?)	**Webgewichtfrg.** (St. 21255); Herdplattenfrg. (St. 21255); **Reibplattenfrg.** (St. 21255); **Bronzenadelschaft**[1193] (St. 21290); **scheibenförm. Webgewicht**[1194] (St. 21293; Taf. 47/3); **Silexabschlag**[1195] (St. 21294); **Miniaturtöpfchen**[1196] (St. 21250); **Miniaturkegelhalsgefäß**[1197] (St. 21250); **Reibplattenfrg.** (St. 21250); **vierspitziges Geweihgerät**[1198] (St. 21281; Taf. 47/1 u. Abb. 125); **Feuerbockfrg.** (St. 21237; Taf. 47/2)	0–16
	01330	17	dunkelbraune, humosaschige Einfüllung	Humus-Asche-Gemisch, eher fundarm(?)		0–18
„Deponierungshorizont“						
	01331	1	mehrere Schichten von grau-aschigem Material und dünnen, humosen Bändern, stark mit Holzkohle durchsetzt	Asche, eher fundreich(?)		0–47
	10403	1	grau-aschiges Material, mit Holzkohle durchsetzt	Asche, eher fundreich(?)		0–55
	01332	9	hellbraunes, humoslehmiges Material	Löß mit wenig Humus, eher fundarm(?)		8–75
unebene Oberkante, keine Deponierung	10404	1	grau-aschiges Material, stark mit Holzkohle durchsetzt	Asche		53–85
oberer Grubenbereich	01333	17	mehrere Schichten von meist braun-humosem Material, teils stark mit Holzkohle durchsetzt, teils große Lößbrocken, teils stark aschig	Humus-Asche-Gemisch, Humus-Löß-gemisch, eher fundreich(?)		ab 14

Objekt V819 – Kegelstumpfförmige Grube

Lage	Hügelfeld Quadrant K6, Riegel K6/K7
alte Objektnr.	Verf. 10, 10b
Literatur	
Interfaces	
Signaturen (Schichtnrn.)	00645–00647, 10429, 10430



1193. Verbleib unbekannt.
1194. Penz 2006, Taf. 24/3.
1195. Penz 2006, Taf. 24/2.
1196. Hellerschmid 2006, Taf. 94/8.
1197. Hellerschmid 2006, Taf. 94/2.
1198. Penz 2006, Taf. 24/1. Verbleib: Museum Stillfried.

Dokumentationsniveaus/Plana

Plannr.	Planum	alte Verf.	Lage/Quadrant	vertikale Einmessung		
				Ausgangspunkt	relative Tiefe	absolute Höhe in müA
HF 17/1987	Planum 1	10	K6	SW K6	-45 cm	197,09
HF 46/1987	Planum 1	10	K6/K7	SW K7	-39 cm	196,89
HF 71/1987	Planum 2	10	K6+K6/K7	SW K6	-110 cm	196,44
HF 85/1987	Planum 3	19	K6+K6/K7	SW K6	-135 cm	196,19

Profile/Schnitte

Plannr.	alte Verf.	Hauptprofil		Schnitt	
		Orientierung	Lage/Quadrant	Bezeichnung	unter DOKN
HF 35/1987	10	Ostprofil	K6		Abschub
HF 60/1987	10b	Zwischenprofil	K6	IJ	Planum 1
HF 60/1987	10b	Zwischenprofil	K6	PI	Planum 1
HF 88/1987	10	Zwischenprofile	K6+K6/K7	CE, ED, BE, EA	Planum 2

Stratigraphie V819

Objekt V819 wird im Norden durch die (mittelalterliche) Grube V1028 bis in eine Tiefe von 40 cm unter SW von Quadrant K6 gestört (Abb. 329).[1199]

Grubenform

Wandverlauf	Sohlenverlauf	Übergang Sohle – Wand	primäre Nutzungsspuren
steilkonische Wand	nach außen gewölbte Grubensohle	gerundet, Sohlenrand etwas gehoben	

Größe und Fassungsvermögen V819

min. Dm. (d): Bereich Sign. 10430	ca. 175 cm
max. Dm. (D): Grubensohle	250 cm
max. erh. Grubentiefe (h)	134 cm
max. rek. Grubentiefe (unter Abschub)	140 cm
min. erh. rek. Dm. (d)	130 cm
erh. rek. Fassungsraum der Grube	3,92 m³
rek. Fassungsraum der Grube	4,30 m³
archäolog. Datierung	Ha B

Beschreibung V819

Form im Planum annähernd kreisförmig erhalten, mit einem Durchmesser von maximal 250 cm. Die Grube ist wohl trapezförmig in den liegenden Löß (Sign. 09999) eingetieft und erreicht mit nach außen gewölbter Unterkante ihre maximale Tiefe in 162 cm unter SW/K6. Auf der Sohle lagert ein grau-aschiger, flacher Schüttkegel (Sign. 00645), darauf schüttkegelartig eingefülltes, humos-aschiges Material (Sign. 00646) mit einer abschließenden Ascheschicht (Sign. 10429). Es folgt hellbraun-humoses Material mit Lößbrocken sowie im obersten Bereich eine dunkle, humos-aschige Schicht (Sign. 10430).

1199. Grabungspläne 17 und 60/1987.

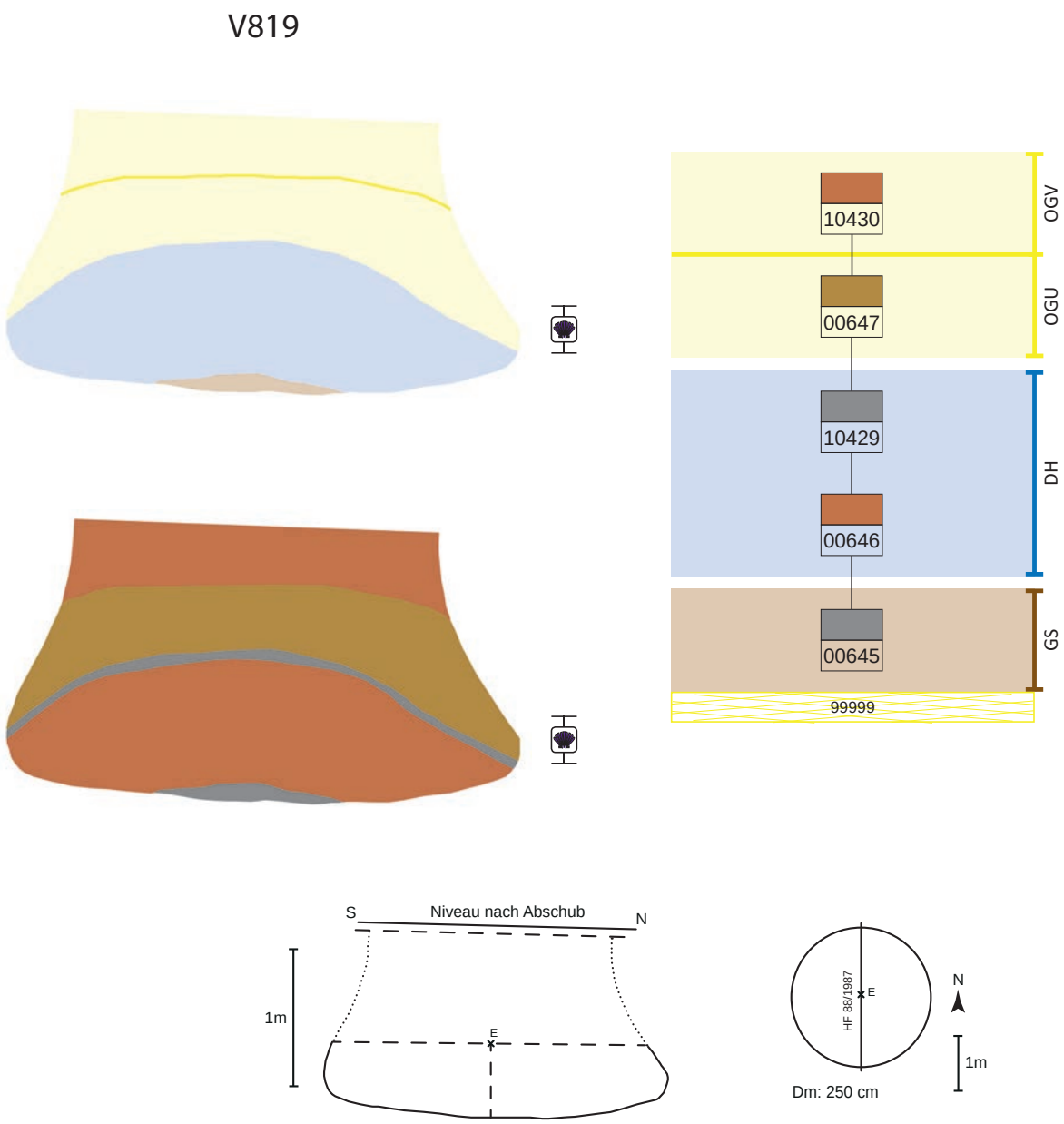


Abb. 329: V819, schematische Darstellung, Schnitt und Lage des Schnittes im Planum.

Schichtabfolge V819

Lage in der Grube	Sign.	Beschreibung	Kurzbeschreibung	besondere Funde	Höhe ab Sohle in cm
direkt auf der Grubensohle	00645	grau-aschiger, flacher Schüttkegel	Asche, fundarm		0–7
„Deponierungshorizont“	00646	wahrscheinlich mehrere Schichten von braun-humosem bis grau-aschigem Material	Humus-Asche, eher fundarm	Flussmuschel	0–68
unebene Oberkante(?), keine Deponierung	10429	dunkel-grau-schwarzes, aschiges Material, mit Holzkohle durchsetzt	Asche (Brandschutt?), eher fundarm		20–73
oberer Grubenbereich					
	00647	hellbraunes Humus-Löß-Gemisch mit Lößbrocken	Humus-Löß-Gemisch, eher fundarm		25–ca. 100
	10430	dunkelbraunes, humoses Material mit kleinen Hüttenlehmbrocken	Humus, Brandschutt, eher fundarm		ab ca. 90

Schichtbeschreibung (Sign.) V819

Sign.	Schicht-schlüssel	Beschreibung	auf Plan	zugeordnete Fundnummern	besondere Funde
00645	1	grau-aschiger, flacher Schüttkegel; ca. 6–7 cm hoch	HF 88/1987		
		Bereich Sign. 0646 bis 0645		21186	
00646	17	dunkelbraun-humoses bis aschiges Material; vielleicht mehrere Schichten; ca. 60 cm mächtig (Schätzung!)	HF 71, 85, 88/1987		
10429	1	dunkel-grau-schwarzes, aschiges Material mit Holzkohle durchsetzt; ca. 2–4 cm mächtig (Schätzung!)	HF 71, 85, 88/1987		
		Bereich Sign. 0647 bis 0646		21166	**Flussmuschel** (St. 21166)
00647	9	hellbraunes Humus-Löß-Gemisch mit Lößbrocken	HF 60, 71, 85, 88/1987		
		Bereich Sign. 10430 und 0646		21057, 21063	
10430	17	dunkelbraunes, humoses Material, mit kleinen Hüttenlehmbrocken durchsetzt	HF 17, 35, 46/1987	20808, 20809	

Funde V819

Die Grube beinhaltete trotz ihrer Größe kaum Funde. Nur wenige, unspezifische Wandscherben (gesamt < 600 g), Hüttenlehm und Steine konnten geborgen werden.

Archäologische Datierung

Die Funde erlauben keine genaue Datierung und werden nur allgemein in die späte Urnenfelderzeit eingeordnet.

Befundinterpretation

Kegelstumpfförmige Speichergrube, die sekundär relativ zügig mit fundarmem, humos-aschigem Material verfüllt wurde.

Fundkatalog V819

20808
K6; Planum 1; auf Plan HF 17/1987
Alte Verf. 10
Sign. 10430
Ker
- 1 WS
KiNr.: 1/17030

20809
K6; Planum 1; auf Plan HF 17/1987
Alte Verf. 10
Sign. 10430
Ker, HL
- 1 WS
- 1 HL
KiNr.: 1/17030

21057
K6; Planum 1–2; 0–42 cm unter Planum 1
Alte Verf. 10
Sign. 10430, 00646, Störung V1028
Ker, Kn
- 1 grober WS, UK
- Tierkn
KiNr.: 1/17030

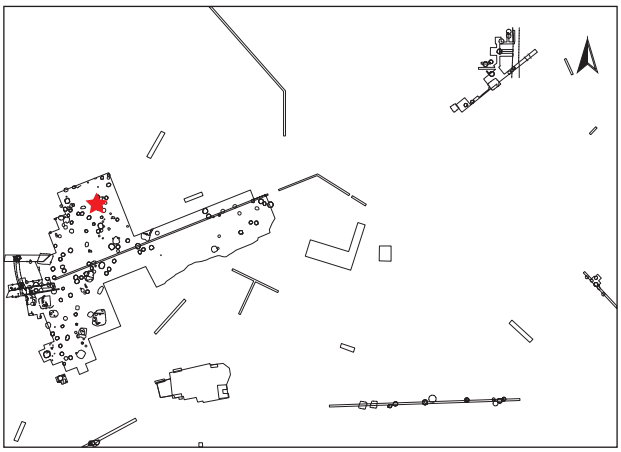
21063
K6; Planum 1–2; 0–46 cm unter Planum 1
Alte Verf. 10
Sign. 10430 bis 00646, Störung V1028
Ker, Kn, Stein, HL
- WS von grobem, gr. Topf, UK, weitere WS
- 1 kl. Hornstein, verbrannt
KiNr.: 1/17012, 2/17006, 3/17014

21166
K6/K7; Planum 2–3; 0–26 cm unter Planum 2
Alte Verf. 10
Sign. 00647 bis 00646
Ker, Kn, Stein, Mollusken
- 1 RS von grobem Gefäß (außen Rauung), 2 feinere WS, davon 1 poliert
- Schnecke und Muschel
- 1 Kn
KiNr.: 1/17030, 1/17072

21186
K6/K7; Planum 2–3; 26–53 cm unter Planum 2
Alte Verf. 10
Sign. 0646 bis 0645
Ker, Kn, Mollusken, HL
- gewölbtes WS mit senkr. Riefen, MBZ(?); mehrere WS, auch von feiner Qualität
- Schnecken
KiNr.: 1/17030

Objekt V831 – Kegelstumpfförmige Grube

Lage	Hügelfeld Quadrant L6, Riegel L6/L7
alte Objektnr.	Verf. 9
Literatur	Hellerschmid 2006. – Penz 2006.
Interfaces	
Signaturen (Schichtnrn.)	00345, 00347, 10479



Dokumentationsniveaus/Plana

Plannr.	Planum	alte Verf.	Lage/Quadrant	vertikale Einmessung		
				Ausgangspunkt	relative Tiefe	absolute Höhe in müA
HF 73/1987	Teilplanum 3	9	L6, L6/L7	NO L6	-47 cm	196,05
HF 82/1987	Teilplanum 4	9	L6, L6/L7	NO L6	-67 cm	195,85

Profile/Schnitte

Plannr.	alte Verf.	Hauptprofil		Schnitt	
		Orientierung	Lage/Quadrant	Bezeichnung	unter DOKN
HF 113/1987	9	Zwischenprofil	L6, L6/L7	ZXY	Planum 2
HF 113/1987	9	Zwischenprofil	L6	GXT	Planum 2

Stratigraphie V831

Objekt V831 erscheint unterhalb des Abschubs aus dem Jahr 1987 ungestört (Abb. 330).

Grubenform

Wandverlauf	Sohlenverlauf	Übergang Sohle – Wand	primäre Nutzungsspuren	Auffälligkeiten
steilkonische Wand	waagrechte Grubensohle	gerundet		eingebrochener Grubenwandbereich in oberer Grubenhälfte bei verfüllter Grube (α)

Größe und Fassungsvermögen V831

min. Dm. (d): Bereich Sign. 00347	120 cm
max. Dm. (D): Sign. 345	180 cm
max. erh. Grubentiefe (h)	ca. 130 cm
max. rek. Grubentiefe (unter Abschub)	140 cm
erh. rek. Fassungsraum der Grube	2,33 m³
rek. Fassungsraum der Grube	3,41 m³
archäolog. Datierung	Ha B3
Zuordnung zu Siedlungsphase	III/1

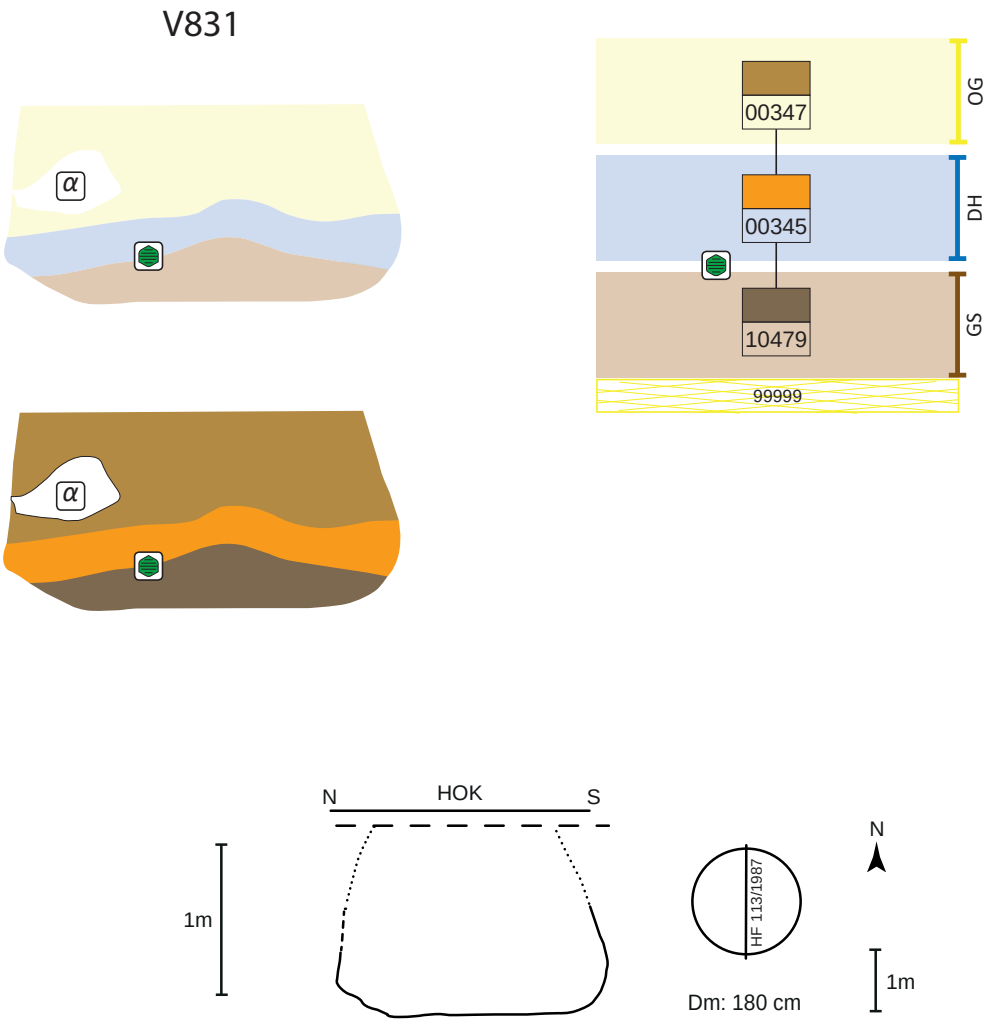


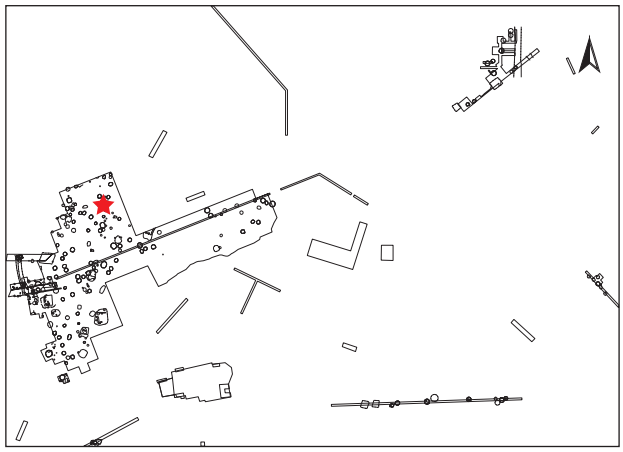
Abb. 330: V831, schematische Darstellung, Schnitt und Lage des Schnittes im Planum.

Schichtabfolge V831

Lage in der Grube	Sign.	Schicht-schlüssel	Beschreibung	Kurzbeschreibung	besondere Funde	Höhe ab Sohle in cm
direkt auf der Grubensohle	10479	4	dunkelbraun-humoser Schüttkegel	Humus, fundarm	**Bronzenadel** (St. 21288)[1200]	0–30
„Deponierungs-horizont“						
unebene Oberkante(?), keine Deponierung	00345	2	dunkel-braun-schwarz, mit Holzkohle und Hüttenlehm	Brandschutt, eher fundarm		10–46
oberer Grubenbereich	00347	9	hellbraunes Humus-Löß-Gemisch mit Lößbrocken	Humus-Löß-Gemisch, eher fundarm		ab 30
verstürzte Wandteile (α)		α	eingebrochener Grubenwandbereich bei verfüllter Grube	reiner Löß von der Grubenwand		43–72

Objekt V834 – Grube mit Keramiklage

Lage	Hügelfeld Quadrant L7
alte Objektnr.	Verf. 4
Literatur	Hellerschmid 2006. – Penz 2006.
Interfaces	4008
Signaturen (Schichtnrn.)	00351, 10485–10489



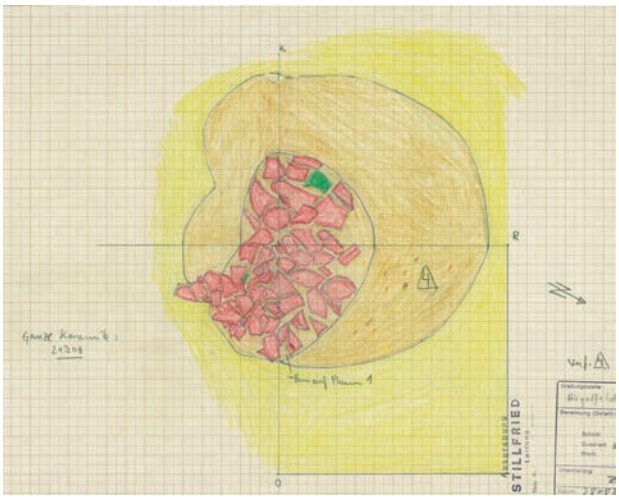


Abb. 331: V834: Planum 2 von Quadrant L7 mit V834. Zu sehen ist die Keramiklage (IF4008). Die zwei grünen Objekte sind Steine (Zeichnung: P. Ramseder, Universität Wien, Plannr. HF 119/1987).

1200. Penz 2006, Taf. 24/6.

Dokumentationsniveaus/Plana

Plannr.	Planum	alte Verf.	Lage/Quadrant	vertikale Einmessung		
				Ausgangspunkt	relative Tiefe	absolute Höhe in müA
HF 28/1987	Planum 1	4	L7	SW L7	-48 cm	196,25
HF 119/1987 (Abb. 331)	Planum 2	4	L7	SW L7	-78 cm	195,95
HF 123/1987	Planum 3	4	L7	SW L7	-116 cm	195,57
HF 13/1988	Planum 3	4	L7	NO L7	-22 cm	195,57(?)

Profile/Schnitte

Plannr.	alte Verf.	Hauptprofil		Schnitt	
		Orientierung	Lage/Quadrant	Bezeichnung	unter DOKN
HF 116/1987	4	Zwischenprofil	L7	KLO	Planum 1
HF 116/1987	4	Zwischenprofil	L7	LR	Planum 1
HF 116/1987	4	Zwischenprofil	L7	LM	Planum 1

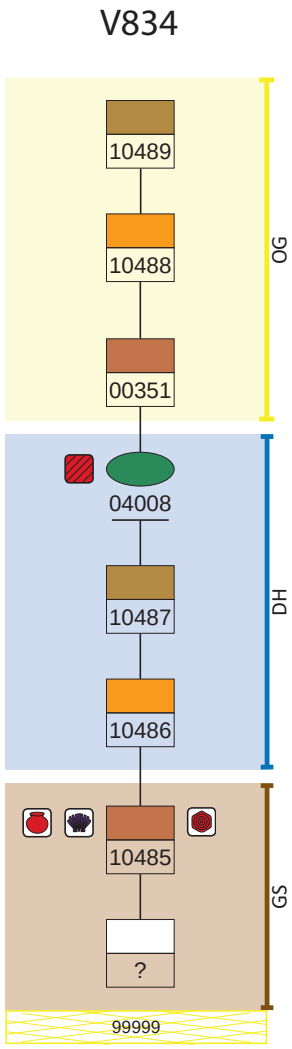


Abb. 332: V834, schematische Darstellung der Schichten. Aufgrund unzureichender Dokumentation der Grube unterhalb der Keramiklage wird auf eine Darstellung des Profils verzichtet.

Stratigraphie V834

Objekt V834 wird im Süden vom hallstattzeitlichen Objekt V828 durchschnitten.[1201] Der obere Grubenbereich wurde bis 2,21 m unter Fixpunkt PP2 abgeschoben.

Grubenform

Wandverlauf	Sohlenverlauf	Übergang Sohle – Wand	primäre Nutzungsspuren
nicht rekonstruierbar (wohl steil bis senkrecht)	nicht dokumentiert	nicht dokumentiert	

Größe und Fassungsvermögen V834

min. Dm. (d): Bereich Sign. 00348	ca. 125–130 cm
max. Dm. (D): Grubensohle	?
max. erh. Grubentiefe (h)	ca. 140–150 cm
max. rek. Grubentiefe (unter Abschub!)	ca. 190–200 cm
erh, rek. Fassungsraum der Grube	?
archäolog. Datierung	Ha B3
Zuordnung zu Siedlungsphase	III/2

Schichtabfolge V834

Lage in der Grube	Sign.	Schicht-schlüssel	Beschreibung	Kurzbeschreibung	besondere Funde	Höhe ab Sohle in cm
direkt auf der Grubensohle?	10485	17	inhomogenes Material, rot-braun, lehmig, humos, aschig, sehr viel Gefäßkeramik (großteils zerbrochen und unvollständig)	Brandschutt, fundreich (viel Gefäßkeramik und sonstige Funde, alle ohne Anzeichen von Sekundärbrand)	**Tonscheibenfrg.**[1202] (St. 21395); RS von **Miniaturkegelhalsgefäß**[1203] (St. 1395); Siebgefäßfrg. (St. 21315); **Muschel** (St. 21395)	ca. 0(?)–130
„Deponierungshorizont“						
	10486	2	rot-braun, lehmig, mit vielen Hüttenlehmbrocken	Brandschutt, eher fundarm(?)		ca. 115–140
	10487	9	graues, lehmig-schmieriges Material	Lehm, fundarm		ca. 118–140
Deponierung	IF4008	8	Scherbenlage (Abb. 331)		ganze Formenpalette keramischer Gefäße (Schalen, Tassen, Töpfe, Vorratsgefäße; zerscherbt)[1204]; 2 Steine (Abb. 331)	ca. 125–130
oberer Grubenbereich						
	00351	17	grau-braunes, lehmiges bis aschiges, schmieriges Material	Lehm-Asche-Humus-Gemisch, fundarm		ca. 128–140
	10488	2	rot-braunes, lehmiges Material mit Hüttenlehmbrocken und Holzkohlestückchen	Brandschutt, fundreich		ca. 133–140
	10489	9	braun-graues, humoses bis lehmiges Material	Humus-Gemisch, eher fundarm		ca. 135–140

1201. Grabungsplan HF 28/1987.

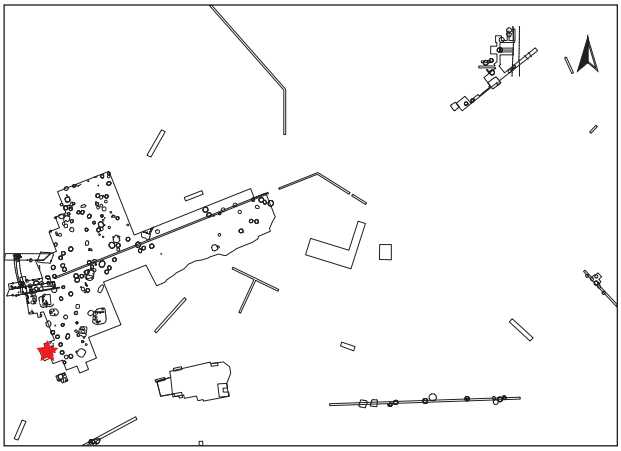
1202. Penz 2006, Taf. 24/5. Dort bei Objekt 831 gelistet.

1203. Hellerschmid 2006, Taf. 100/4; weitere Keramikgefäße siehe ebendort Taf. 100, 101, 102/1.

1204. Ließen sich teilweise vollständig zusammensetzen: FNrn. St. 20877, 20878, 20879, 21297, 21298, 21308. – Hellerschmid 2006, Taf. 102/3.

Objekt V841 – Sehr große, kegelstumpfförmige Grube mit den Niederlegungen von insgesamt 23 Leichen(teilen)

Lage	Hügelfeld Quadranten A-2, B-2, AB-3
alte Objektnr.	Verf. 3, 3a, 6, 6a, 13, 13a, 14, 15
Literatur	Antl-Weiser 1988a. – Hellerschmid 2006, 56–61 und Abb. 4; Taf. 84/1–4 (Befunde), 104–113 (Funde). – Penz 2006, 364–365 und Taf. 25; 26/1–6. – Wiltschke-Schrotta 2006, 414–416. – Griebl, Hellerschmid 2013, 334–340 und Abb. 6–12. – Brandl, Martinez in Vorbereitung, Analysenr. 5, 13–18, 20–29. – Hellerschmid, Griebl in Vorbereitung. – Wiltschke-Schrotta, Marschler in Vorbereitung.
Interfaces	2071–2086 (Skelette 1–15)
Signaturen (Schichtnrn.)	00360–00364; 09041–09056 (Skelette 1–15)



Dokumentationsniveaus/Plana

Plannr.	Planum	alte Verf.	Lage/Quadrant	vertikale Einmessung		
				Ausgangspunkt	relative Tiefe	absolute Höhe müA
HF-WW14/1986	Planum 7	14	AB-3	PP3 (199,99 müA)	-192–203 cm	198,07–197,96
HF-WW 15/1986	Planum 8	14	AB-3	PP3	-223–231 cm	197,76–197,68
HF-WW 16/1986	Planum 9	14	AB-3	PP3	-238–268 cm	197,61–197,31
HF-WW 17/1986	Planum 10	14	AB-3	PP3	-260–290 cm	197,39–196,93
HF 129_1/1985	Planum 3	3	A-2	PP3	-123 cm	198,76
HF 129_2/1985	Planum 4	3	A-2	PP3	-147 cm	198,52
HF 129_3/1985	Planum 5	3	A-2	PP3	-171 cm	198,28
HF 180/1985	Planum 8	6a	B-2	PP3	-220 cm	197,79
HF 182/1985	Riegelplanum	o. Nr.	A-2/B-2	PP3	-325–347 cm	198,15–197,83

Profile/Schnitte

Plannr.	alte Verf.	Hauptprofil		Schnitt	
		Orientierung	Lage/Quadrant	Bezeichnung	unter DOKN
HF-WW 11/1986	13, 14	AB-3	AB-3	DE	Planum 1
HF-WW 12/1986	13, 13a	AB-3	AB-3	F´G´	Planum 1
HF 164/1985 (Abb. 334)	3	A-2	Westprofil (Nordhälfte)		HOK
HF 164/1985	3	A-2	Südprofil		HOK
HF 174/1985	6a	B-2	Westprofil		HOK
HF 177/1985 (Abb. 335)	6a	B-2	Südprofil		HOK

Stratigraphie V841

Objekt V841 wird in vier Abschnitte untergliedert, welche eine chronologische Abfolge der Grubenverfüllung umschreiben (IF 1841, 2841, 3841, 4841).[1205] Beim IF 1841 handelt es sich um die ursprüngliche Grubenfüllung mit den menschlichen Überresten (Schichten 00360–00364) im untersten Grubenbereich (Abb. 57, 333).

IF 2841 umschreibt die sekundär durch den Wandversturz entstandenen, senkrecht eingebrochenen Lößwände mit dem verfüllten Versturzbereich Sign. 01376 (Abb. 334, 335). Als IF 3841 wird der verfüllte einstige Hohlraum der Grube bezeichnet. Abgeschlossen werden diese Einfüllschichten zuoberst durch die verhärtete Schicht Sign. 01373 (IF 4841), die den frühhallstattzeitlichen Begehungshorizont darstellt (Abb. 335).

1205. Hellerschmid 2013, 335, Abb. 7. – Hellerschmid, Griebl in Vorbereitung.

Grubenform

Wandverlauf	Grubensohlenform	Übergang Sohle – Wand	primäre Nutzungsspuren
konisch, im oberen Bereich nicht erhalten	waagrecht	gerundet	

Größe und Fassungsvermögen V841

min. erh. Dm. (d): Bereich IF3841	270 cm
min. rek. Dm. (d): Bereich IF3841	245 cm
max. Dm. (D): Bereich Sign. 00360	380 cm
max. erh. Grubentiefe (h)	300 cm
max. rek. Grubentiefe	ca. 370 cm
erh. rek. Fassungsraum der Grube	17,22 m³
rek. Fassungsraum der Grube	21,49 m³
archäolog. Datierung	Ha B3
^{14}C-Datierungen	Poz-59980[1206]: 2735 ± 30 BP [970 (95,4 %) 814 BC, Mw. 892 BC] Poz-59981[1207]: 2770 ± 30 BP [998 (95,4 %) 838 BC, Mw. 918 BC]
Zuordnung zu Siedlungsphase	III/1



Abb. 333: V841: Überblicksfoto zu den menschlichen Skeletten, Skelettteilen und verbrannten menschlichen Überresten: Blick gegen Westen zu SK4 an der westlichen Grubenwand in gestreckter Lage (Grabungsdokumentation Stillfried, Landessammlung Niederösterreich, Bereich Ur- und Frühgeschichte, Fotonr. ST03579).

1206. Probe: SK1 (IF 2071/Sign. 09041), FNr. St. 13150.
1207. Probe: SK12 (IF 2083/Sign. 09053), FNr. St. 13150.



Abb. 334: V841: Westprofil von Quadrant A-2 (Nordteil, Plannr. HF 164/1985), oberer Bereich von V841: Der seitliche Versturzbereich Sign. 1376 von IF2841 ist zwischen dem sterilen Löß (links) und dem Verfüllungstrichter IF3841 gut zu erkennen. Der rötlich verbrannte Löß darüber stammt vom hallstattzeitlichen Ofen V860 (Grabungsdokumentation Stillfried, Landessammlung Niederösterreich, Bereich Ur- und Frühgeschichte, Fotonr. ST03412).



Abb. 335: V841: Südprofil von Quadrant B-2 (Westbereich, Plannr. HF 177/1985). Zu sehen ist der obere Bereich von V841 im rechten Quadranteneck. V841 ist in ihren Teilbereichen gut zu erkennen: der Verfüllungstrichter IF3841 sowie der äußere Versturzbereich Sign. 01376 (IF2841). Letzterer zieht sich bis zur Humusoberkante hinauf. Die jüngeren, darüber liegenden Schichten des IF4841, Sign. 01373 (dunkler Begehungshorizont) und die lehmige Überdeckung (Sign. 01374), sind ebenfalls zu sehen (Grabungsdokumentation Stillfried, Landessammlung Niederösterreich, Bereich Ur- und Frühgeschichte, Fotonr. ST03424).

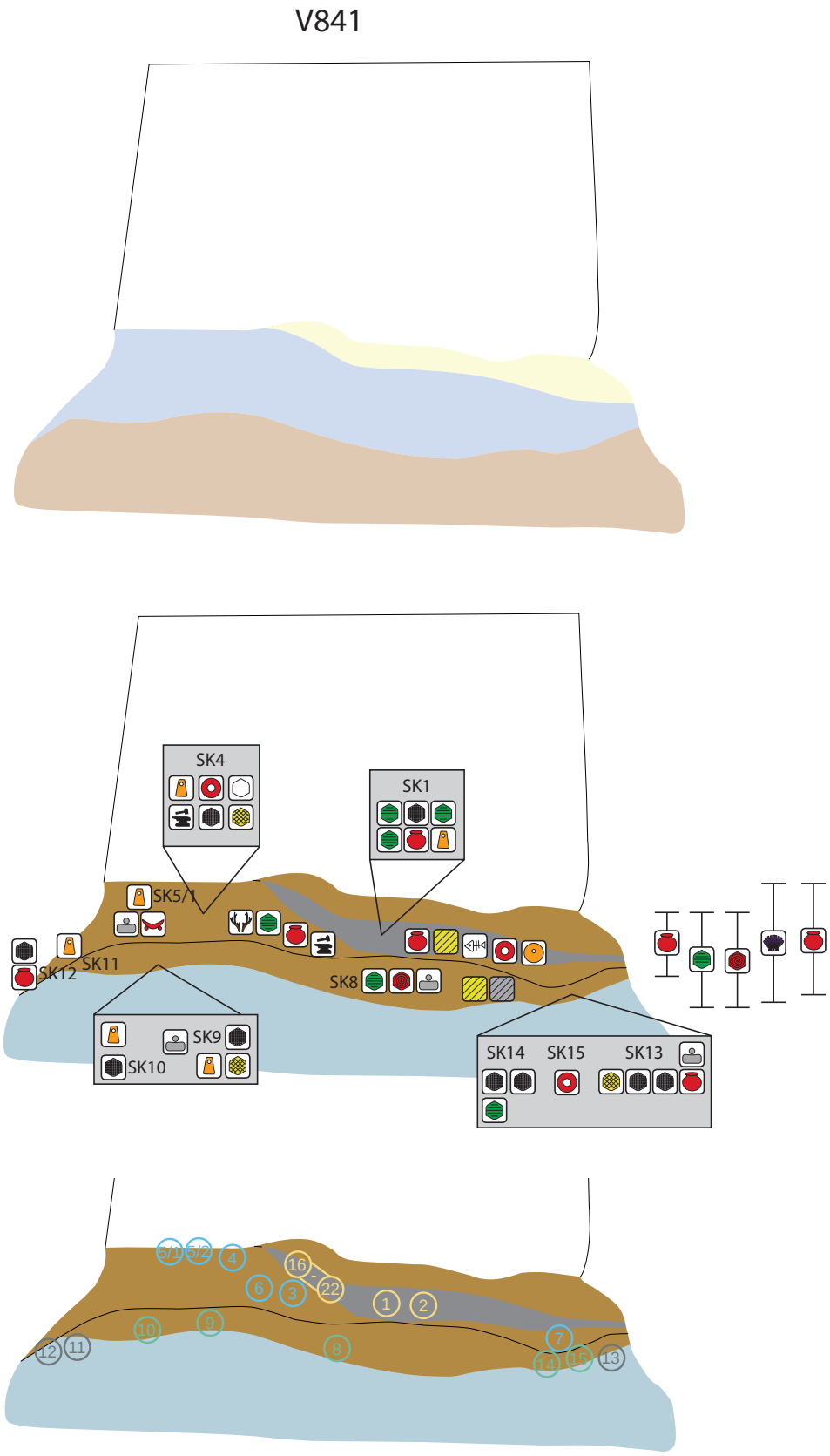


Abb. 336 (Teil 1): V841, schematische Darstellung der Skelettlagen und der Fundgegenstände.

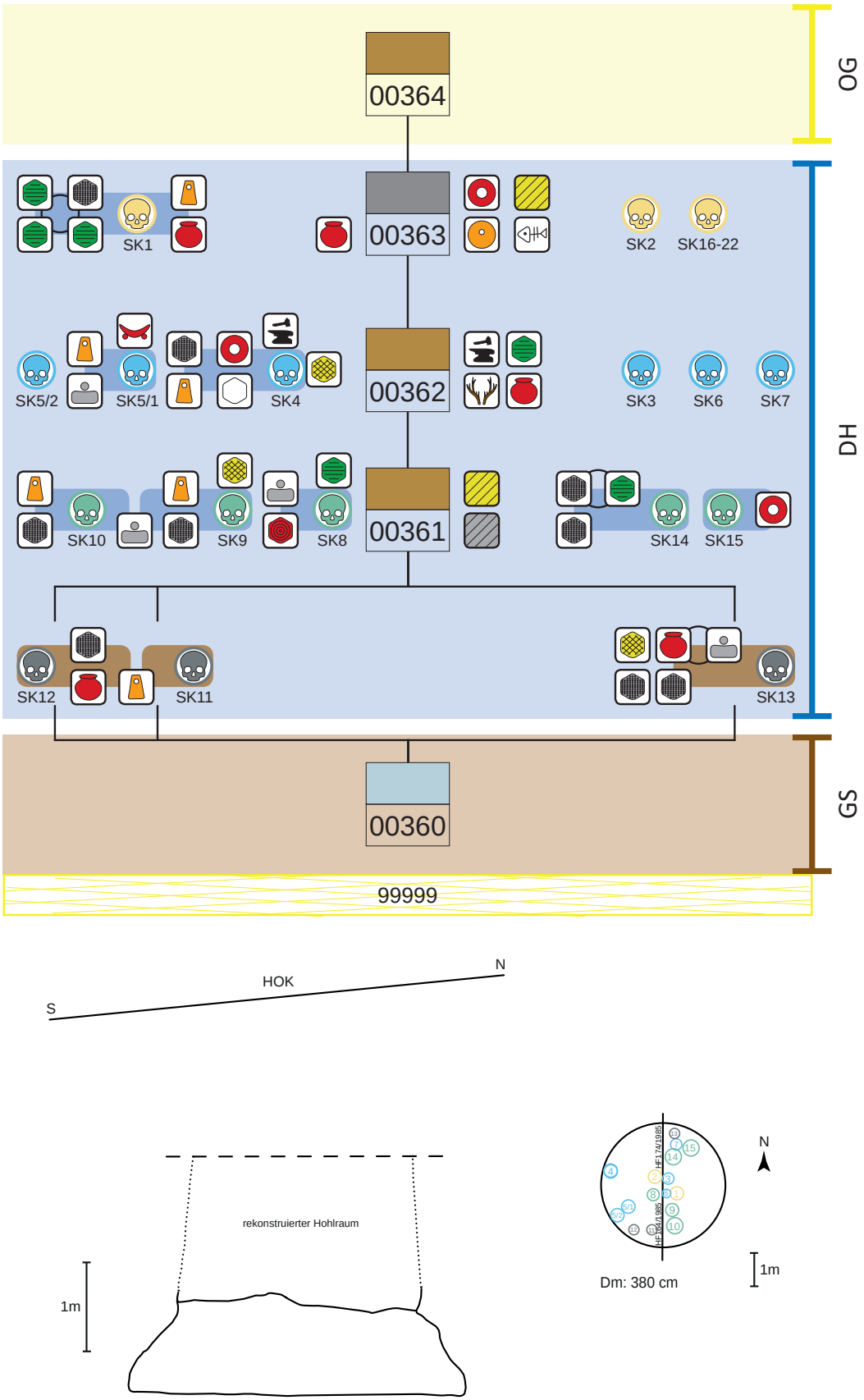


Abb. 336 (Teil 2): V841, Matrix der Schichteinfüllungen; Schnitt und Lage des Schnittes im Planum.

Schichtabfolge V841

Lage in der Grube	Sign.	Schicht-schlüssel	Beschreibung	Kurzbeschreibung	besondere Funde	Höhe ab Sohle in cm
direkt auf der Grubensohle						
unregelmäßig waagrechte Oberkante	00360	11	humos, lehmig, aschig, einige Keramikscherben, Tierknochen, Flussmuscheln, plattige Steine, Holzkohle	gemischtes Material mit hohem Lößanteil, Asche und Funden		0–60
„Deponierungshorizont“						
Skelettlage 1: Deposition von drei vollständigen Leichen an der Grubenwand, Blick zueinander	SK11–SK13 (IF2082–2084/ Sign. 09052–09054)	D	Frau SK13 (30–40 J.) in Bauchlage an der nördlichen Grubenwand, Blick in Grubenmitte zu den beiden Kindern SK11 und SK12 (8–10 J.) an der südlichen Grubenwand in schwach gehockter Haltung, Blick ebenfalls zur Grubenmitte (Abb. 119)	Skelettlage 1: zuunterst werden drei vollständige Leichen am Grubenrand mit Beigaben abgelegt (eine Frau, zwei Kinder)	**3 vollständige, menschliche Skelette** (SK11–13); **doppelkonisches Großgefäß**[1208] (Taf. 48/1); **„Topf mit Bodenloch“**,[1209] (Taf. 48/2 u. Abb. 80), darin **Reibplattenteilstück**[1210] (Taf. 48/3); **unvollständiges, pyramidenstumpfförm. Webgewicht**[1211] (Taf. 49/4); **2 plattenförm. Sandsteine mit starker Feuereinwirkung**[1212] (Taf. 49/1–2); **abgesägtes Hornzapfenteilstück** (St. 13331; Taf. 49/3); **Geröllknollenfrg.**[1213]	45–55
annähernd waagrechte Oberkante	00361	9	unregelmäßig humos und lehmig, auch aschig unter und um Skelettlage 2; viele Tierknochen (Schlachtabfall) und sonstige Steine	Überdeckung von Skelettlage 1; Oberkante bildet Auflagefläche für Skelettlage 2		35–65

1208. FNrn. St. 13320, 13322, 13345, 13349, 13350. Die Bruchstücke sind über Sign. 00361 und 00362 verteilt, jeweils dicht im Umfeld von Leichen abgelegt.

1209. FNr. St. 13354, anpassend St. 13285, das Gefäß wurde aus einem Vorratstopf eingekürzt und war mit einer schwarzen, zähflüssigen Substanz gefüllt. – Hellerschmid 2006, Taf. 104/8.

1210. FNr. St. 13354, Granit, rechteckiges, intentionell gebrochenes Teilstück mit Sedimentresten auf der Reibfläche, Brandl, Martinez in Vorbereitung, Analysenr. 17.

1211. FNr. St: 13343, zwischen den beiden Kindern SK11 und SK12 gelegen.

1212. Über dem Kopf von SK12 (FNr. St. 13346) und über den Knien von SK13 (FNr. St. 13331), Brandl, Martinez in Vorbereitung, Analysenr. 27/FNr. St. 13346.

1213. FNr. St. 13350, im Beckenbereich von SK13.

Lage in der Grube	Sign.	Schicht-schlüssel	Beschreibung	Kurzbeschreibung	besondere Funde	Höhe ab Sohle in cm
Skelettlage 2: Deposition von vier Leichen und einem Leichenteil, Kopf jeweils im Süden, Blick großteils nach Osten	SK8–SK10, SK14, SK15 (IF2079–2081, 2085, 2086/ Sign. 09049–09051, 09055, 09056)	D	zwei Kinder (SK9, infans II; SK10, infans I mit Mikrocephalus), ein Jugendlicher (männlich? SK8, 15–18 J.); eine adulte Frau (20–25 J.); Oberkörper eines Kindes (SK15, 3–4 J.)	Skelettlage 2: Unter den fünf abgelegten Individuen ist bereits eines unvollständig (SK15; Abb. 58)	**5 menschliche Skelette** (SK8–10, 14, 15); **spatelartig/D-förm. zugerichtetes WS**[1214] (Taf. 49/5); **2 pyramidenstumpfförm. Webgewichtfrg.**[1215]; **Tonringfrg.**[1216]; **kleines Bronzeringlein**[1217]; **Reibplattenfrg.**[1218]; **Sandsteinplatten mit starker Feuereinwirkung**[1219] (Taf. 49/6); **Gneis mit Kupferabdruck**[1220] (Taf. 50/1); **abgesägtes Hornzapfenteilstück** (St. 13353)	50
annähernd waagrechte Oberkante	00362	9	lehmig-humos, auch Asche, darauf/darin Skelettlage 3, fundreich	Überdeckung von Skelettlage 2; Oberkante bildet Auflagefläche für Skelettlage 3	**Gusskuchenfrg.**[1221] (Taf. 50/2); **Bronzeringlein**[1222]	52–105
Skelettlage 3: zwei Leichen an Grubenwand, geworfene Leichenteile von vier Individuen	SK3, SK4, SK5/1, SK5/2, SK6, SK7 (IF2073–2078/Sign. 09043–09048)	D	vollständiges, juveniles weibliches Individuum SK7 (15–19 J.), gefesselt in Bauchlage an nördlicher Grubenwand; juveniles Individuum (SK4, 13–15 J.) ohne Unterschenkel an westlicher Grubenwand; schädelloser Rumpf von Frau SK6 (25–30 J.); eingeschüttete Körperteile von Frau SK5/1 (20–25 J., Becken, Oberschenkel); Mann SK3 (25–35 J., Kopf und Rippen) und Kinderschädel mit perimortalen Hiebspuren (SK5/2, 10–12 J.)	Sechs Individuen wurden in unterschiedlichen Haltungen u. Vollständigkeitsgraden in die Grube eingebracht, die vollständigen Leichen wurden gelegt, die unvollständigen eher geworfen. Die Knochen aller sechs Individuen zeigen Tierfraßspuren.	**menschliche Skelett(teile) von 6 Individuen** (SK3, 4, 5/1, 5/2, 6, 7); **pyramidenstumpfförm. Webgewicht**[1223]; **halber Tonring**[1224]; **Feuerbockfrg.**;[1225] **Korb aus organischem Material**[1226]; **Gussformfrg. aus Sandstein**[1227]; **Reibplatte/Läufer mit Feuereinwirkung**[1228] (Taf. 50/3); **Sandsteinplatte**[1229]; **abgesägter Hirschgeweihspross**[1230]; **abgesägter Rinderknochen**[1231] (Abb. 124)	

1214. FNr. St. 13332, Bereich SK8. – Eine weitere D-förmige Scherbenscheibe (FNr. St. 13252) stammt aus Schicht 00364, Penz 2006, Taf. 25/12.
1215. FNr. St. 13326 (Unterteil) bei SK10 (ein zweites, FNr. St. 13328, verschollen); FNr. St. 13327 bei SK9 (verschollen).
1216. FNr. St. 13355 (bei SK15), Penz 2006, Taf. 25/2.
1217. FNr. St. 13333 (unter Kopf von SK8), Penz 2006, Taf. 25/3.
1218. FNr. St. 13353 (unter SK9 und SK10); FNr. 13334 (unter Knie von SK8, verschollen).
1219. FNr. St. 13328 (über SK10); FNr. St. 13324 (bei SK9); FNr. St. 13285 (Beckenbereich von SK14), Brandl, Martinez in Vorbereitung, Analysenr. 28.
1220. FNr. St. 13285 (Beckenbereich von SK14), Brandl, Martinez in Vorbereitung, Analysenr. 29.
1221. FNr. St. 13282, Penz 2006, Taf. 25/6.
1222. FNr. St. 13268, Penz 2006, Taf. 25/9.
1223. FNr. St. 13313 (bei SK5/1, verschollen); FNr. St. 13278 (großes Webgewicht, östlich von SK4, verschollen).
1224. FNr. St. 13292 (nördlich von SK4), verschollen.
1225. FNr. St. 13325 (südöstlich von SK5/1), Penz 2006, Taf. 25/1.
1226. FNr. St. 13291, durch Abdrücke im Lehm erhalten (im Beckenbereich westlich von SK4), darin Pflanzen, Dobrezberger 2016, Probe Nr. 128.
1227. FNr. St. 13294 (Brustkorbbereich von SK4), Penz 2006, Taf. 25/4.
1228. FNr. St. 13325 (südöstlich von SK5/1), Läufer, Pegmatit, Feuereinwirkung, Brandl, Martinez in Vorbereitung, Analysenr. 15.
1229. FNr. St. 13277 (nördlich von SK4).
1230. FNr. St. 13281 (östlich von SK4).
1231. FNr. St. 13322 (bei den Beinen von SK4).

Lage in der Grube	Sign.	Schicht-schlüssel	Beschreibung	Kurzbeschreibung	besondere Funde	Höhe ab Sohle in cm
annähernd waagrechte Oberkante	00363	1	mächtige, lockere Ascheschicht mit Holzkohle, darin eingesunken Skelettlage 4	Überdeckung von Skelettlage 3: In der Nordhälfte der Grube dicke Ascheschicht mit vielen Tierknochen (Schlachtabfall) und Fischresten	**halbe Schale** (St. 13159); **Miniaturkegelhalsgefäß** (St. 13143; Taf. 50/4); **Henkeltasse** (St. 13263, 13286; Taf. 50/5); **Tonring**[1232]; **scheibenförm. Webgewicht**[1233]	65–110
Skelettlage 4: zwei hineingeworfene Leichen und verbrannte menschliche Überreste	SK1, SK2 (IF2071, 2072/ Sign. 09041, 09042) und kalzinierte menschliche Knochenreste von mind. sieben Individuen (SK16–22)	D	auf/in die Aschelage Sign. 00363 wurden die Leichen eines Mannes (SK1, 40–60 J.) und eines Kindes (SK2, 8–9 J.) sowie weißlich kalzinierte, menschliche Knochen von mind. sieben Individuen (SK16–22) eingebracht	In die noch heiße(?) Ascheschicht Sign. 00363 wurden zwei Leichen (SK1, 2) gestürzt/geworfen, deren Knochen durch Hitzeeinwirkung verfärbt sind, sowie verbrannte menschliche Überreste. Der Mann SK1 trug einen Allzweck(leder)beutel am Gürtel (mit Messergarnitur, Angelhaken usw.).	**2 menschliche Skelette** (SK1, SK2); **pyramidenstumpfförm. Webgewicht**[1234]; Zubehörbeutel von SK1: **1 bronzenes Griffangelmesser samt Hängeschleifstein**[1235], **3 bronzene Angelhaken und 1 Bronzeringlein**[1236] (Taf. 51/1)	
oberer Grubenbereich (erste/unterste Schicht)	00364	9	lehmig bis humos, Tierknochen (Schlachtabfall), Keramik	Abdeckung der menschlichen Überreste durch lehmig-humoses Material, fundreich		70–110

1232. FNr. St. 13159, Penz 2006, Taf. 25/5.

1233. FNr. St. 13286, Penz 2006, Taf. 25/10, beschädigt.

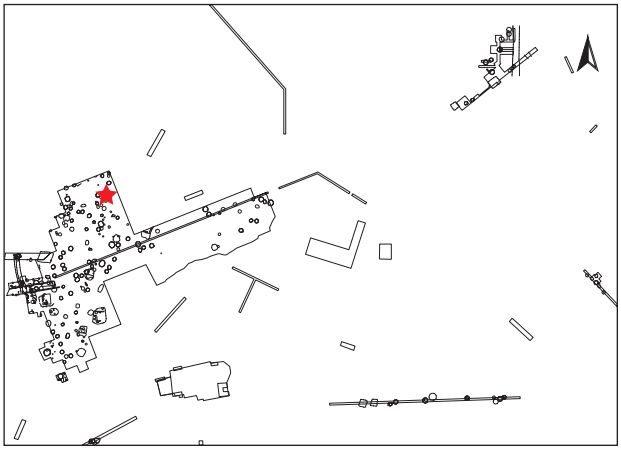
1234. FNr. St. 13280 (westlich des Fußes von SK1, verschollen).

1235. FNr. St. 13146, befand sich im Zubehörbeutel von SK1, zusammen mit gelochtem Schleifstein (Quarzsandstein), FNr. St. 13148, Penz 2006, Taf. 26/1, 6.

1236. Angelhaken: FNr. St. 13147; Ringlein FNr. St. 13149, Penz 2006, Taf. 26/3–5.

Objekt V868 – Kegelstumpfförmige Grube

Lage	Hügelfeld Quadrant L7, Riegel L7/L8, L7/K7, L8/K8
alte Objektnr.	Verf. 3, 10
Literatur	Hellerschmid 2006.
Interfaces	
Signaturen (Schichtnrn.)	00380–00384, 10417, 10418



Dokumentationsniveaus/Plana

Plannr.	Planum	alte Verf.	Lage/Quadrant	vertikale Einmessung		
				Ausgangspunkt	relative Tiefe	absolute Höhe in müA
HF 13/1988	Planum 3	3	L7	NO L7	-22 cm	195,85

Profile/Schnitte

Plannr.	alte Verf.	Hauptprofil		Schnitt	
		Orientierung	Lage/Quadrant	Bezeichnung	unter DOKN
HF 19/1988	3	Zwischenprofil	L7	IJ	Planum 3
HF 22/1988	3	Zwischenprofil	L7	LK	Planum 3
HF 40/1988	3	Nordprofil	L7		Abschub 1988
HF 40/1988	3	Ostprofil	L7		Abschub 1988
HF 98/1989	10	Riegelprofil	L7/L8		Abschub 1989

Stratigraphie V868

Objekt V868 wird im westlichen Bereich durch V866 gestört (Abb. 337). Über einem Kappungshorizont liegt rezenter Humus.

Grubenform

Wandverlauf	Sohlenverlauf	Übergang Sohle – Wand	primäre Nutzungsspuren	Auffälligkeiten
unregelmäßig konische bis steilkonische Wand	leicht nach außen gewölbte Grubensohle	eckig-scharfkantig bis gerundet		eingebrochener Grubenwandbereich in oberer Grubenhälfte bei verfüllter Grube (α)

Größe und Fassungsvermögen V868

min. Dm. (d): Bereich Sign. 00384	ca. 185 cm (ohne Versturztrichter)
max. Dm. (D): Grubensohle	ca. 260 cm
max. erh. Grubentiefe (h)	115 cm
max. rek. Grubentiefe (unter Abschub!)	138 cm
min. rek. erh. Dm. (d) (HUK)	155 cm
erh. rek. Fassungsraum der Grube	3,97 m³
rek. Fassungsraum der Grube (d = ca. 160 cm)	4,64 m³
archäolog. Datierung	Ha B2–3
Zuordnung zu Siedlungsphase	II

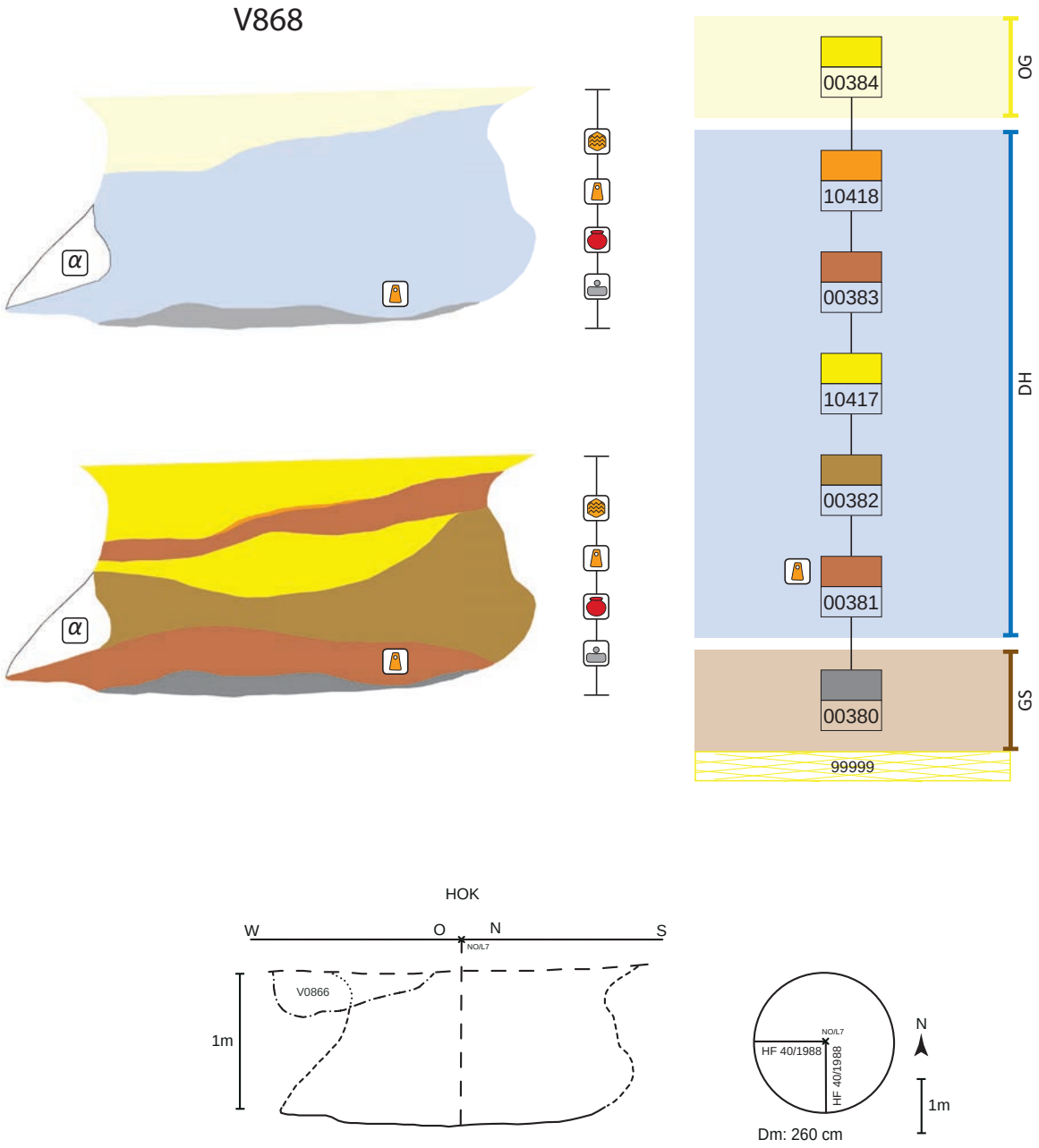


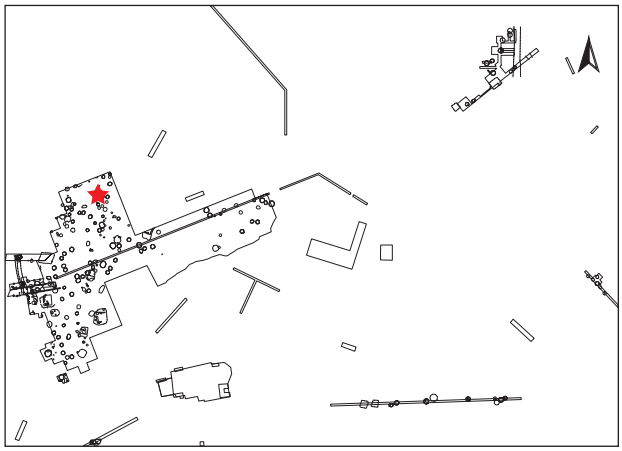
Abb. 337: V868, schematische Darstellung, Schnitt und Lage des Schnittes im Planum.

Schichtabfolge V868

Lage in der Grube	Sign.	Schicht-schlüssel	Beschreibung	Kurzbeschreibung	besondere Funde	Höhe ab Sohle in cm
direkt auf der Grubensohle	00380	1	grau-aschiges Material, mit Holzkohle durchsetzt	Asche, fundarm(?)	**pyramidenstumpfförm. Webgewichtfrg.** (St. 21433) **Miniaturschälchen**[1237] (St. 21378); **pyramidenstumpfförm. Webgewichtfrg.** (St. 21394); **fladenförm. Lehmobjekt** (St. 21394; Taf. 47/4); **Reibplattenfrg. aus Granit**[1238] (St. 21378)	0–12
„Deponierungshorizont“						
	00381	17	braun-humoses Material, mit Keramik und Hüttenlehm durchsetzt, viel sekundär gebrannte Keramik	Humus-Brandschutt-Gemisch, eher fundreich		0–34
	00382	9	inhomogene, hellbraun-gelbe Einfüllung	Humus-Löß-Gemisch, eher fundarm(?)		15–90
	10417	3	helle, gelbe Einfüllung	fast reiner Löß, fundarm(?)		49–85
	00383	17	dunkelbraun-humose Einfüllung mit Hüttenlehm	Humus-Brandschutt-Gemisch, eher fundarm(?)		65–110
unebene Oberkante, keine Deponierung	10418	2	rot-braunes, lehmiges Material mit Hüttenlehm, Holzkohle und sekundär gebrannter Keramik	Brandschutt, fundreich		78–95
oberer Grubenbereich	00384	3	helles, gelb-braunes Material	Löß mit sehr wenig Humus vermischt, fundarm		ab 76
verstürzte Wandteile (α)		α	eingebrochener Grubenwandteil bei verfüllter Grube	reiner Löß von der Grubenwand		0–78

Objekt V871 – Kegelstumpfförmige Grube

Lage	Hügelfeld Quadrant M7, Riegel M7/L7, M6/M7
alte Objektnr.	Verf. 1
Literatur	Hellerschmid 2006.
Interfaces	
Signaturen (Schichtnrn.)	00387–00389, 10419–10422



1237. Hellerschmid 2006, Taf. 113/4.

1238. Mit Feuereinwirkung.

Dokumentationsniveaus/Plana

Plannr.	Planum	alte Verf.	Lage/Quadrant	vertikale Einmessung		
				Ausgangspunkt	relative Tiefe	absolute Höhe in müA
HF 18/1988 (Abb. 338)	Planum 1	1	M7	SO M7	-80 cm	?

Profile/Schnitte

Plannr.	alte Verf.	Hauptprofil		Schnitt	
		Orientierung	Lage/Quadrant	Bezeichnung	unter DOKN
HF 33/1988	1	Zwischenprofil	M7	BA	Planum 1
HF 43/1988	1	Südprofil	M7		Abschub
HF 46/1988	1	Westprofil	M7		Abschub

Stratigraphie V871

Das Objekt V871 wird randlich durch eine (mittelalterliche) Grube (V870) geschnitten (Abb. 339). Der obere Grubenbereich erscheint gekappt. Darüber lagert rezenter Humus.

Grubenform

Wandverlauf	Sohlenverlauf	Übergang Sohle – Wand	primäre Nutzungsspuren
steilkonische Wand	leicht nach außen gewölbte Grubensohle	eckig bis leicht gerundet	

Größe und Fassungsvermögen V871

min. Dm. (d): Bereich Sign. 10422	ca. 185 cm
max. Dm. (D): Grubensohle	ca. 232 cm
max. erh. Grubentiefe (h)	115 cm
max. rek. Grubentiefe	220 cm
erh. rek. Fassungsraum der Grube	3,94 m³
rek. Fassungsraum der Grube	5,11 m³
archäolog. Datierung	Ha B3
Zuordnung zu Siedlungsphase	III/1

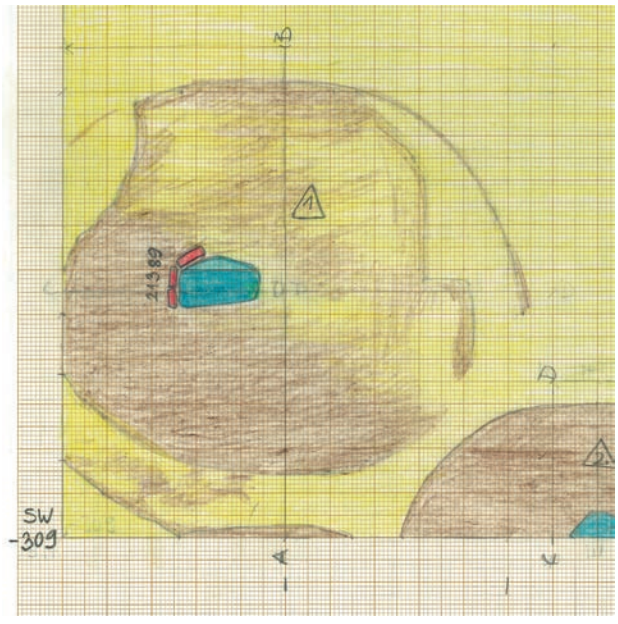


Abb. 338: V871: Planum 1 von Quadrant M7 mit V871. In der Mitte der Grube ist die Reibplatte FNr. St. 21389 (blau; Taf. 1/6; 51/2) sowie (sekundär gebrannte) Keramik eingezeichnet (Zeichnung: E. Hanny, Universität Wien, Plannr. HF 18/1988).

Schichtabfolge V871

Lage in der Grube	Sign.	Schicht-schlüssel	Beschreibung	Kurzbeschreibung	besondere Funde	Höhe ab Sohle in cm
direkt auf der Grubensohle						
	10419	1	dunkel-braun-schwarzer, flacher Schüttkegel, stark mit Holzkohle und Hüttenlehm durchsetzt	Brandschutt, fundreich		0–4
	00387	17	braun-humoses Material, mit Keramik und wenig Holzkohle und Hüttenlehm durchsetzt	Brandschutt-Humus-Gemisch(?), fundreich	**viel sekundär gebrannte Keramik** (St. 21410, 21421; Abb. 19, 76)	0–8
	00388	9	braun-humoser Schüttkegel	Humus, fundarm(?)		4–19
„Deponierungshorizont“						
	00389	9	braun-humoses Material, mit Löß vermischt, mehrere Schichten, teils mit Keramik	Humus-Löß, fundreich	**Miniaturkegelhalsgefäß**[1239] (St. 21411); **viel sekundär gebrannte Keramik**	0–37
unebene Oberkante, keine Deponierung	10420	17	braun-humoses Material, mit Holzkohle, Hüttenlehm und Keramik durchsetzt	Brandschutt, fundreich		16–40
oberer Grubenbereich						
	10421	9	hellbraune, humoslehmige Einfüllung, mehrere Schichten	Löß-Humus-Gemisch, eher fundarm (?)		18–mind. 60
	10422	9	braun-humose Einfüllung, mit Keramik durchsetzt	Humus, fundreich	**halbe Reibplatte**[1240], **Granit, (feuerbeeinflusst)** (St. 21389; Taf. 1/6; 51/2 u. Abb. 338)	ab 46
			Zuordnung zu Sign. 10421 bis 10422	**2 scheibenförm. Webgewichte** (St. 21371)		
			keine genaue Schichtzuordnung möglich	**2 „Spielsteine“ aus BoS** (St. 21410; Abb. 83, 84); weitere Brandkeramik (St. 21410), darunter halbe, kannelierte Henkeltasse, als Schöpfgerät zweitverwendet?		

1239. Hellerschmid 2006, Taf. 114/7.

1240. Unterlieger, mit Originalseitenkanten; Maße: erh. L. 21 cm, B. 30,5 cm, H. 7,7–9 cm.

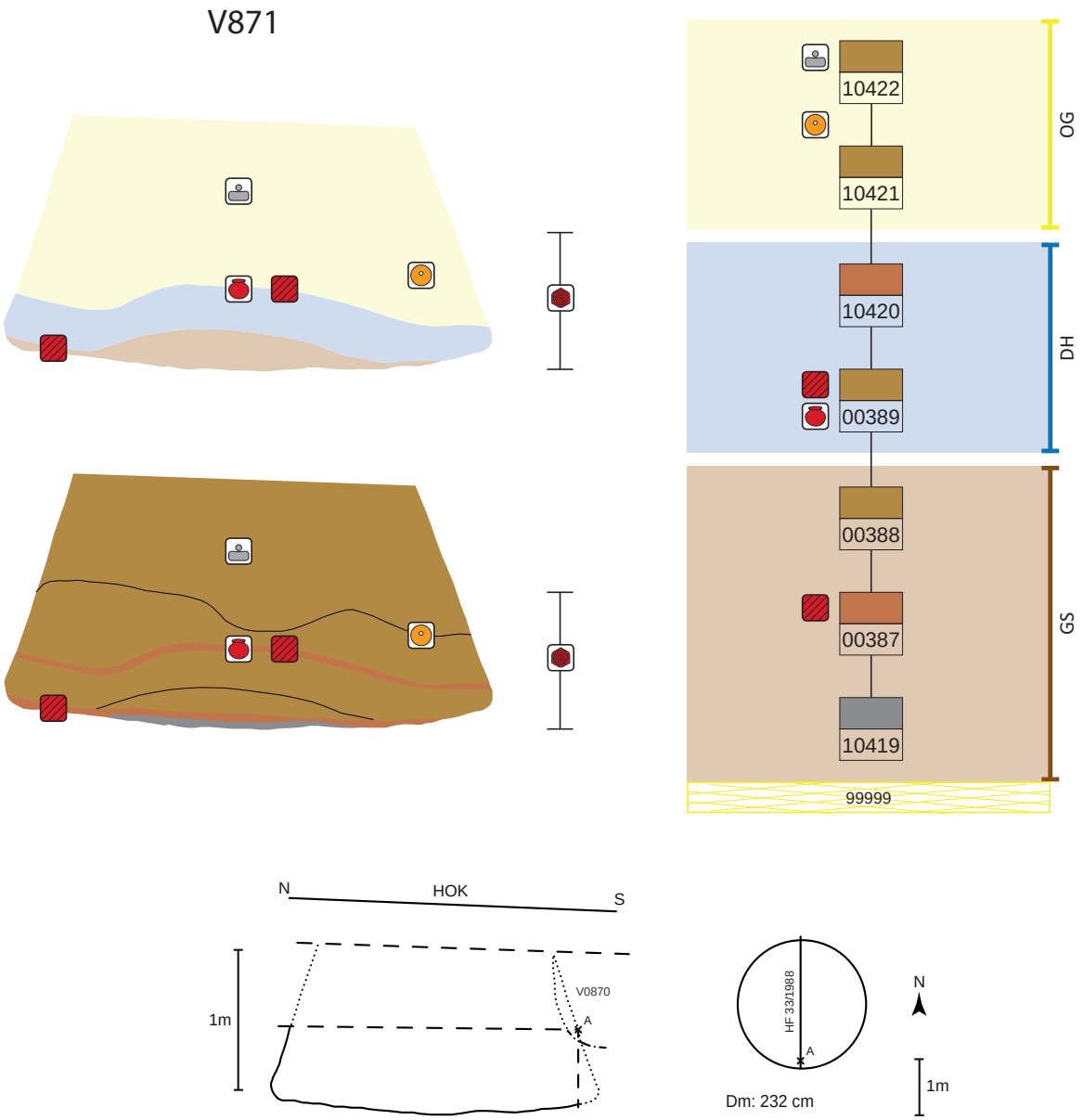
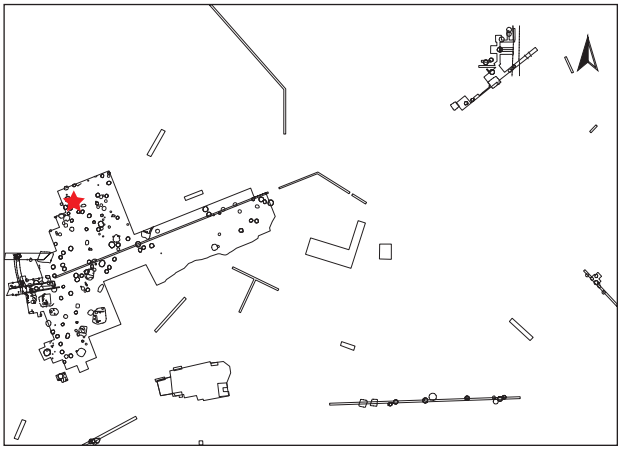


Abb. 339: V871, schematische Darstellung, Schnitt und Lage des Schnittes im Planum.

Objekt V885 – Kegelstumpfförmige Grube

Lage	Hügelfeld Quadrant M5, Riegel M4/M5
alte Objektnr.	Verf. 1
Literatur	Kohler-Schneider 2001, 95–96[1241]. – Hellerschmid 2006. – Penz 2006.
Interfaces	
Signaturen (Schichtnrn.)	00392–00394, 00396, 00397, 10423–10427



Dokumentationsniveaus/Plana

Plannr.	Planum	alte Verf.	Lage/Quadrant	vertikale Einmessung		
				Ausgangspunkt	relative Tiefe	absolute Höhe in müA
HF 1/1988	Planum 1	1	M5	SW M5	-100 cm	196,35
HF 14/1988	Planum 2	1	M4/M5	SO M4	-85 cm	196,58

Profile/Schnitte

Plannr.	alte Verf.	Hauptprofil		Schnitt	
		Orientierung	Lage/Quadrant	Bezeichnung	unter DOKN
HF 5/1988 (Abb. 341)	1	Zwischenprofil	M5	CD	Planum 1
HF 9/1988 (Abb. 340)	1	Westprofil	M5		Abschub
HF 51/1988	1	Zwischenprofil	M4	KL	Planum 2
HF 52/1988	1	Zwischenprofil	M4/M5	OLGF	Planum 2
HF 53/1988	1	Zwischenprofil	M4/M5	PL	Planum 2



Abb. 340: V885: Westprofil von Quadrant M5 mit V885 (Grabungsdokumentation Stillfried, Landessammlung Niederösterreich, Bereich Ur- und Frühgeschichte, Fotonr. ST00135).

1241. Es wurde „aus der Mitte der Grube nahe der Sohle“ eine botanische Probe entnommen (FNr. St. 21465). Die Untersuchung lieferte wenige schlecht erhaltene, verkohlte Getreidekörner (*Cerealia* indet.) und Ackerunkräuter.

Stratigraphie V885

Objekt V885 wird im Westen durch ein unregelmäßig grubenförmiges Objekt (V888) bis in eine Tiefe von etwa 1 m unter der SO-Ecke von M4 geschnitten.[1242] Der obere Bereich erscheint gekappt (Abb. 342). Darüber lagert grauer Humus. Über einer weiteren Kappung liegt rezenter Humus.

Grubenform

Wandverlauf	Sohlenverlauf	Übergang Sohle – Wand	primäre Nutzungsspuren
konische bis flachkonische Wand, Ansatz des Flaschenhalses erhalten	flache bis leicht nach außen gewölbte Sohle	eckig bis leicht gerundet	(verkohlte) Überreste der letzten Einfüllung als Speichergrube(?) (Sign. 10423)

Größe und Fassungsvermögen V885

min. Dm. (d): Bereich Sign. 00397	ca. 130 cm
max. Dm. (D): Grubensohle	235 cm
max. erh. Grubentiefe (h)	95 cm
max. rek. Grubentiefe	150 cm
erh. rek. Fassungsraum der Grube	2,55 m³
rek. Fassungsraum der Grube	2,92 m³
archäolog. Datierung	Ha B3
^{14}C-Datierung	Poz-99246:[1243] 2755 ± 30 BP [978 (95,4 %) 827 BC, Mw. 902 BC] Poz-111787[1244]: 2785 ± 30 BP [1007 (95,4 %) 845 BC, Mw. 926 BC]
Zuordnung zu Siedlungsphase	III/1



Abb. 341: V885: Zwischenprofil CD in Quadrant M5 durch V885 (Grabungsdokumentation Stillfried, Landessammlung Niederösterreich, Bereich Ur- und Frühgeschichte, Fotonr. ST00142).

1242. Grabungsplan HF 53/1988.
1243. Probe: menschliches Schädeldachfragment (FNr. St. 21474).
1244. Messwiederholung von Messung Poz-99246.

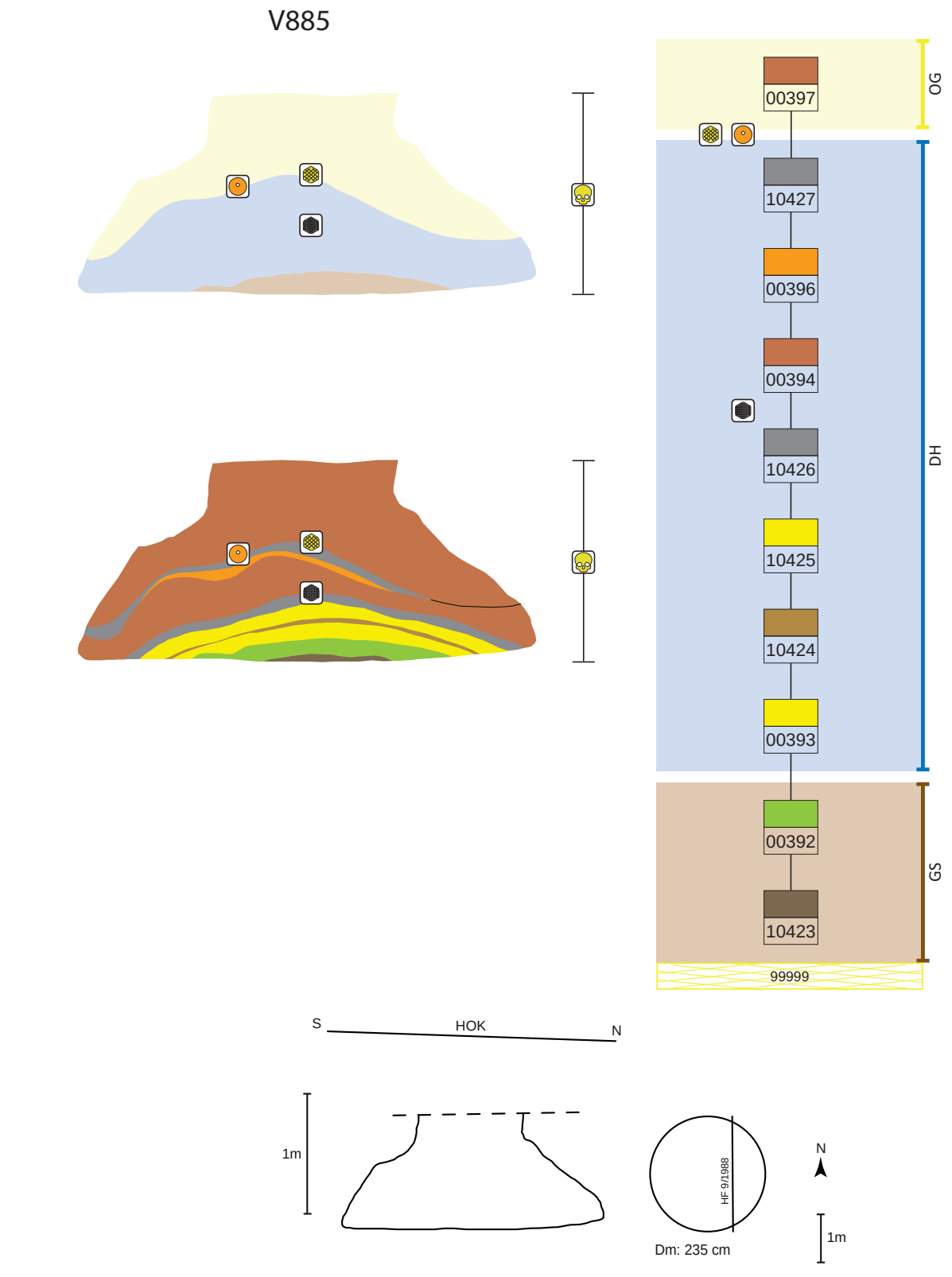


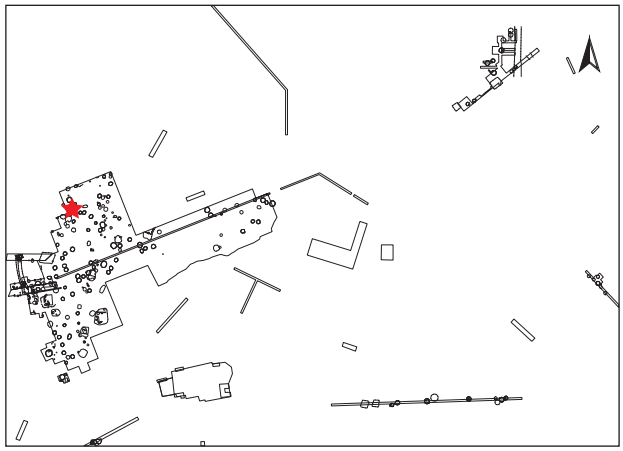
Abb. 342: V885, schematische Darstellung, Schnitt und Lage des Schnittes im Planum.

Schichtabfolge V885

Lage in der Grube	Sign.	Schicht-schlüssel	Beschreibung	Kurzbeschreibung	besondere Funde	Höhe ab Sohle in cm
direkt auf der Grubensohle						
Überreste der letzten Einfüllung?	10423	1	dunkelbraun-humoser, flacher Schüttkegel	Humus, fundarm(?)		0–6
	00392	14	vier Schichten abwechselnd braun-humosen und gelb-lehmigen Materials	Humus und Löß, fundarm(?)		0–14
„Deponierungs-horizont“						
	00393	3	gelb-lehmiges Material	Löß, fundarm(?)		0–22
	10424	9	braun-humoses Material	Humus, fundarm(?)		0–26
	10425	9	gelb-lehmiges Material	Löß, fundarm(?)		0–34
	10426	1	grau-aschiges Material mit Holzkohleflittern	Asche	**Glättstein** (St. 21473)	0–37
	00394	17	inhomogenes, braun-humoses bis grau-aschiges Material mit Lößbrocken	Humus-Asche-Löß-Gemisch, eher fundreich(?)		0–48
	00396	2	rot-braunes, lehmiges Material mit Hüttenlehmbrocken	Brandschutt, fundreich		10–51
unebene Oberkante, keine Deponierung	10427	1	grau-aschiges Material mit Holzkohleflittern	Asche	**Knochenpfriem** (St. 21472); **scheibenförm. Webgewicht**[1245] (St. 21477)	28–58
oberer Grubenbereich						
	00397	17	inhomogenes, braun-humoses bis grau-aschiges Material, mit Hüttenlehm, Holzkohle, Lößbrocken und Steinen durchsetzt	Humus-Asche-Löß-Gemisch, fundreich		ab 14
			keine genaue Zuordnung möglich	**menschliches Schädeldachfrg.**[1246] (St. 21474; Kap. 4.2.2.1, Abb. 205)		

Objekt V889 – Kegelstumpfförmige Grube

Lage	Hügelfeld Quadrant M4, Riegel L4/M4
alte Objektnr.	Verf. 1, 9
Literatur	Hellerschmid 2006.
Interfaces	
Signaturen (Schichtnrn.)	00399–00402, 10428



1245. Penz 2006, Taf. 24/7.

1246. Unregelmäßige Form, Maße: 11 × 10 cm, ^{14}C datiert.

Dokumentationsniveaus/Plana

Plannr.	Planum	alte Verf.	Lage/Quadrant	vertikale Einmessung		
				Ausgangspunkt	relative Tiefe	absolute Höhe in müA
HF 2/1988	Planum 1	1	M4	SO M4	-55 cm	196,88
HF 14/1988	Planum 2	9	M4	SO M4	-85 cm	196,58

Profile/Schnitte

Plannr.	alte Verf.	Hauptprofil		Schnitt	
		Orientierung	Lage/Quadrant	Bezeichnung	unter DOKN
HF 8/1988	1	Zwischenprofil	M4	CD	Planum 1
HF 53/1988	9	Zwischenprofil	M4	FN	Planum 2
HF 59/1988	9	Südprofil	M4		HOK

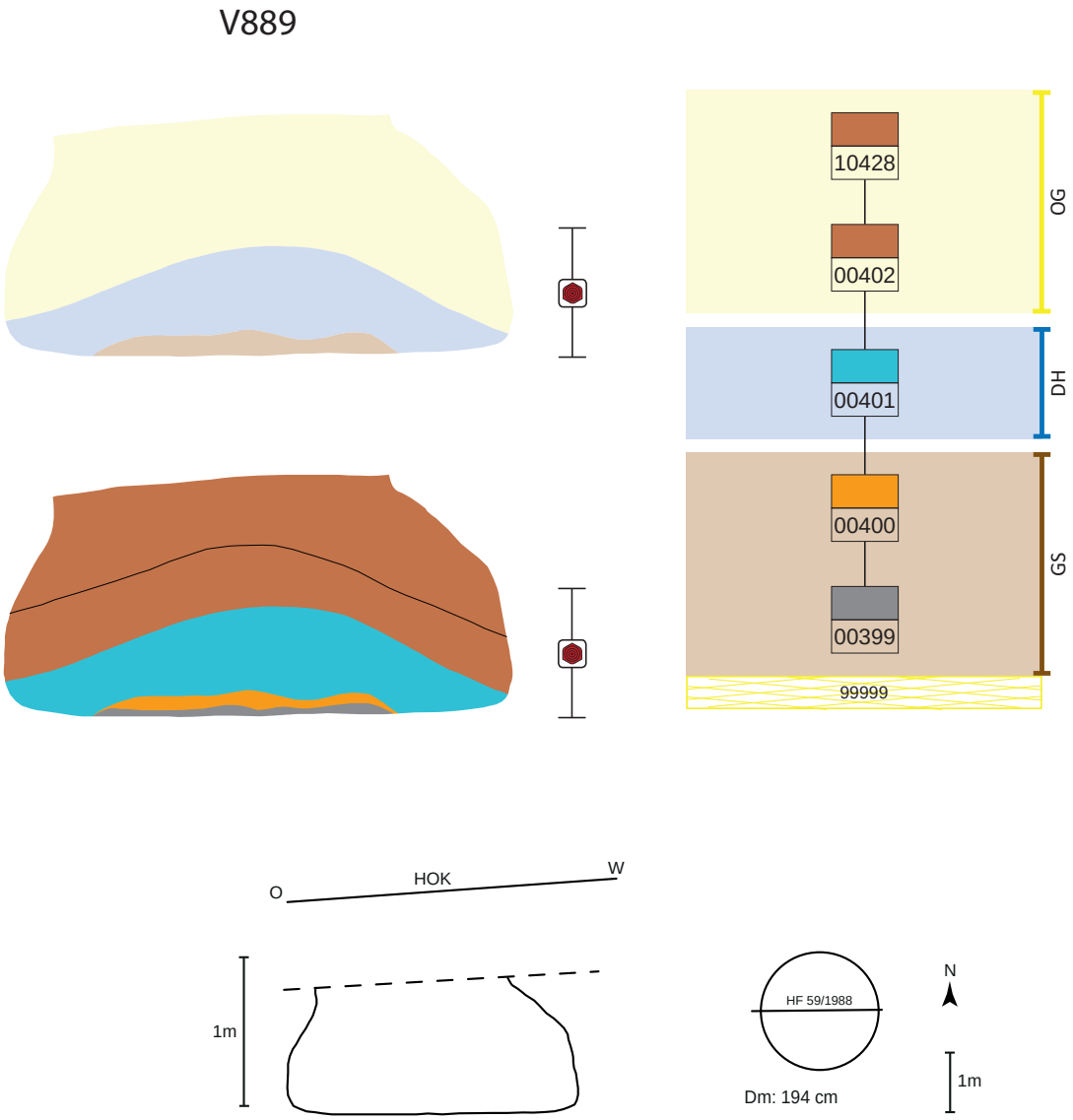


Abb. 343: V889, schematische Darstellung, Schnitt und Lage des Schnittes im Planum.

Stratigraphie V889

Grube V889 wird im Norden durch ein grubenförmiges Objekt (V887) bis in eine Tiefe von 211 cm unter Fixpunkt PP2 geschnitten.[1247] Der obere Bereich erscheint gekappt (Abb. 343). Darüber lagert rezenter Humus.

Grubenform

Wandverlauf	Sohlenverlauf	Übergang Sohle – Wand	primäre Nutzungsspuren
steilkonische bis konische, im unteren Bereich nach außen gewölbte Wand	waagrechte Grubensohle	gerundet	

Größe und Fassungsvermögen V889

min. Dm. (d): Bereich Sign. 10428	128 cm
max. Dm. (D): Grubensohle	194 cm
max. erh. Grubentiefe (h)	92 cm
max. rek. Grubentiefe	150 cm
erh. rek. Fassungsraum der Grube	1,90 m³
rek. Fassungsraum der Grube	2,62 m³
archäolog. Datierung	Ha B

Schichtabfolge V889

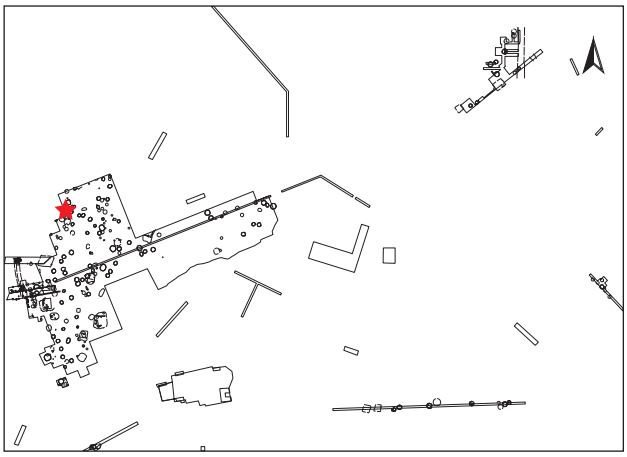
Lage in der Grube	Sign.	Schicht-schlüssel	Beschreibung	Kurzbeschreibung	besondere Funde	Höhe ab Sohle in cm
direkt auf der Grubensohle						
	00399	1	schwarz-aschiger, flacher Schüttkegel, mit Holzkohle durchsetzt	Brandschutt, fundarm		0–4
	00400	2	rot-braunes, lehmiges Material mit zahlreichen Hüttenlehmbrocken und Holzkohleflittern, vereinzelte Keramik	Brandschutt, eher fundarm(?)		0–14
„Deponierungs-horizont“						
unebene Oberkante, keine Deponierung	00401	15	mehrere Schichten braun-humosen, hellbraun-lehmigen Materials, evtl. auch Ascheschichten	Humus und Löß-Humus, eher fundarm(?)	**Frg. von Backteller**[1248] (St. 21469)	0–32
oberer Grubenbereich						
	00402	17	dunkelbraunes, humos-(aschiges?) Material	Humus, eher fundarm(?)		8–66
	10428	17	braun-humoses Material, mit Hüttenlehm-stückchen und Keramik durchsetzt	Humus, eher fundarm(?)		ab 30

1247. Grabungsplan HF 14/1988.

1248. Hellerschmid 2006, Taf. 117/7. Randbruchstück mit Fingertupfeneindrücken auf der Schaufläche.

Objekt V891 – Kegelstumpfförmige Grube mit Keramiklage

Lage	Hügelfeld Quadrant M4, Riegel M3/M4
alte Objektnr.	Verf. 6
Literatur	
Interfaces	
Signaturen (Schichtnrn.)	00403–00406, 10438–10442



Dokumentationsniveaus/Plana

Plannr.	Planum	alte Verf.	Lage/Quadrant	vertikale Einmessung		
				Ausgangspunkt	relative Tiefe	absolute Höhe in müA
HF 14/1988	Planum 2	6	M4	SO M4	-85 cm	196,58
HF 23/1988 (Abb. 344)	Planum 3	6	M4	SO M4	-120 cm	196,23

Profile/Schnitte

Plannr.	alte Verf.	Hauptprofil		Schnitt	
		Orientierung	Lage	Bezeichnung	unter DOKN
HF 29/1988	6	Zwischenprofile	M4	BA, AD	Planum 2
HF 36/1988	6	Zwischenprofil	M4	EBAH	Planum 2
HF 51/1988	6	Zwischenprofil	M4	AJ	Planum 2
HF 70/1988	6	Westprofil	M4		Abschub

Stratigraphie V891

Objekt V891 wird im Nordosten wahrscheinlich durch einen Ofen bis in eine Tiefe von 90 cm unter SO von Quadrant M4 gestört. Über einem Kappungshorizont liegt rezenter Humus (Abb. 345).

Grubenform

Wandverlauf	Sohlenverlauf	Übergang Sohle – Wand	primäre Nutzungsspuren
steilkonischer Wandverlauf	waagrechte bis leicht nach außen gewölbte Grubensohle	gerundet	

Größe und Fassungsvermögen V891

min. Dm. (d): Bereich Sign. 10442	165 cm
max. Dm. (D): Grubensohle	213–220 cm
max. erh. Grubentiefe (h)	100 cm
max. rek. Grubentiefe (unter HOK)	165 cm
erh. rek. Fassungsraum der Grube	2,88 m³
rek. Fassungsraum der Grube	3,71 m³
archäolog. Datierung	Ha B1?
Zuordnung zu Siedlungsphase	I?

Beschreibung V891

Form im Planum annähernd kreisförmig erhalten, mit einem maximalen Durchmesser von 213–220 cm. Das Objekt wurde wohl trapezförmig in den liegenden Löß eingetieft, wobei die dokumentierten Wandverläufe nahezu senkrecht bzw. schwach einziehend erscheinen. Die Grubensohle ist waagrecht bis leicht ausladend. Die Grube wurde zuerst mit hellem, humosem bis lößigem (Sign. 00403) sowie aschigerem Material (Sign. 00404) verfüllt. Anschließend folgt eine dunkelgrau-schwarze Brandschuttschicht (Sign. 10439) sowie hellhumoses Material (Sign. 10440). Darauf befand sich im zentralen Bereich eine Keramiklage mit einem Ausmaß von etwa 80 × 140 cm, die unter anderem aus einem Topf und einer Schale (Schöpfgefäß?) bestand (Sign. 00406, Abb. 344 und Taf. 2/1; 47/5; FNr. 21403.1). Der obere Grubenbereich wurde mit braun-humosem Material (Sign. 00405) und einer mächtigen Lößschicht (Sign. 10441) verfüllt. Zuoberst lagert braun-humoses Material (Sign. 10442).

Schichtabfolge V891

Lage in der Grube	Sign.	Beschreibung	Kurzbeschreibung	besondere Funde	Höhe ab Sohle in cm
direkt auf der Grubensohle					
	00403	hell-braun-gelber, flacher Schüttkegel	Löß-Humus-Gemisch, fundarm(?)		0–22
	00404	hell-grau-braunes, aschiges Material	Humus-Asche-Gemisch, eher fundreich(?)	Muscheln	0–30
„Deponierungshorizont“					
	10438	gelbes Material an der Ostkante	Löß, fundarm(?)		6–30
	10439	dunkel-grau-schwarzes, aschiges Material mit zahlreichen Holzkohlestückchen	Brandschutt		3–30
annähernd waagrechte Oberkante	10440	hellbraun-humoses, mit Lößbröckchen durchsetztes Material	Humus-Löß-Gemisch, eher fundarm(?)		10–35
Keramiklage; Deponierung(?)	00406	Keramiklage		fast ganzer Topf; Schale (Schöpfgefäß)	32–41
oberer Grubenbereich					
	00405	mehrere Schichten meist braun-humosen Materials; teils dünnere, helle Lößbänder dazwischen	Humus mit Funden		35–ca. 70
	10441	helles Lößmaterial	fast reiner Löß		40–ca. 90
	10442	braun-humoses Material	Humus		ab ca. 80
		keine genaue Schichtzuordnung möglich (Sign. 10441 bis 00403)	Glättstein; Gussform		

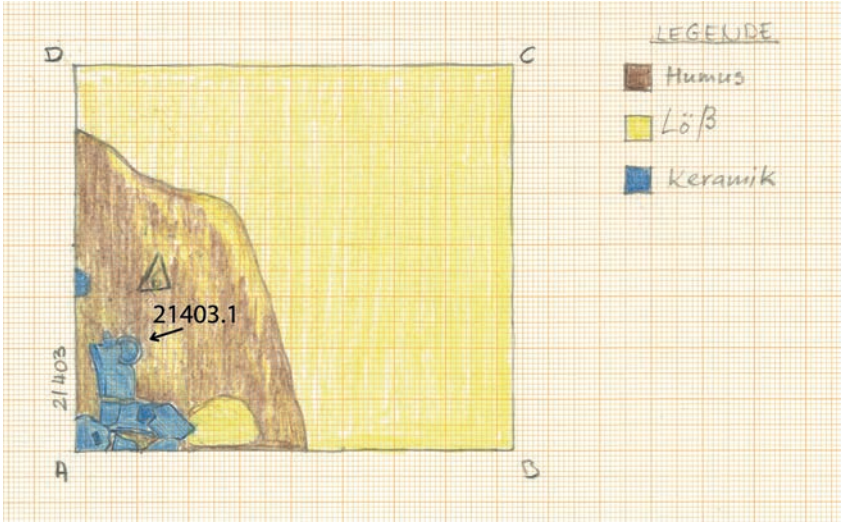


Abb. 344: V891: Zeichnung von Planum 3 in Quadrant M4 mit V891. Zu sehen ist ein Teil der Keramiklage mit der kleinen Schale FNr. St. 21403.1 (Taf. 2/1; 47/5) und zerscherbtem Topf (Taf. 2/2) (Zeichnung: E. Hanny, Universität Wien, Plannr. HF 23/1988).

Schichtbeschreibung (Sign.) V891

Sign.	Schicht-schlüssel	Beschreibung	auf Plan	zugeordnete Fundnummern	besondere Funde
00403	9	hellbraunes, mit Löß vermischtes, humoses Material; Schüttkegel ca. 15 cm hoch	HF 29, 36, 51/1988		
00404	17	hell-grau-braunes, aschiges Material; etwas heller als Sign. 00403; darin Muschelschalen und Hüttenlehm, 2–11 cm mächtig	HF 29, 36, 51/1988		**Muscheln** (siehe Plan HF 36/1988)
10438	3	helle, gelbe Einfüllung an der Ostwand der Grube; ca. 10 cm mächtig	HF 29, 36, 51/1988		
10439	1	dunkel-grau-schwarze, aschige Schicht mit zahlreichen Holzkohlestückchen; 4–20 cm mächtig	HF 23, 29, 36, 51, 70/1988		
10440	9	hellbraun-humoses, mit Lößbröckchen durchsetztes Material; Abgrenzung teils unsicher; ca. 5–15 cm mächtig	HF 23, 29, 36, 51, 70/1988		
00406	D?	Keramiklage mit zerbrochenen Gefäßen (St. 21403), im zentralen Bereich der Grube (Abb. 344)	HF 23, 29, 36, 51/1988	21403	**kleine Schale** (St 21403.1; Taf. 2/1; 47/5); zahlreiche Keramikfrg., u. a. **großteils zusammensetzbarer Topf** (St. 21144.1; Taf. 2/2)
00405	15	mehrere Schichten meist braun-humosen Materials; teils dünnere, helle Lößbänder dazwischen; ca. 25–30 cm mächtig (dokumentierte Bereiche)	HF 14, 29, 36, 51, 70/1988		
		Sign. 10441 bis 00403 (die untersten 57 cm der Grube)		21396, 21420, 21444	**länglicher, zungenförm. Glättstein** (St. 21420; Abb. 133); **Gussformfrg.** (St. 21444.3; Taf. 2/3; 51/3); **Webgewicht** (Abb. 121)
10441	3	helle, gelbe Einfüllung (fast reiner Löß); vereinzelt dünne, braun-humose Bänder; 20–35 cm mächtig	HF 14, 29, 36, 70/1988		
		Sign. 10442, 10441 (evt. noch 00405) (ab 57 cm über der Sohle nach oben)		21340	
10442	9	braun-humoses Material	HF 70/1988		

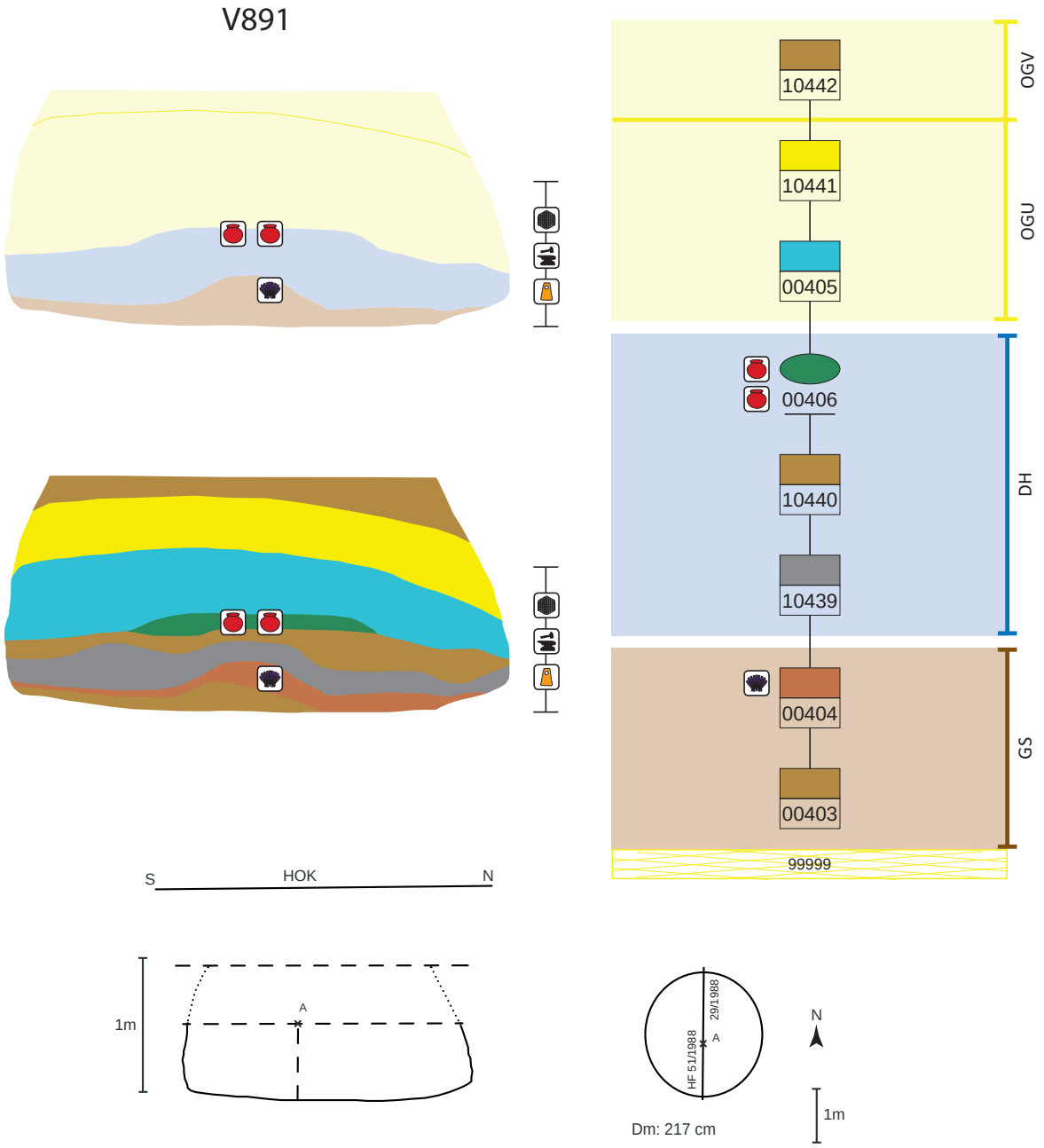


Abb. 345: V891, schematische Darstellung, Schnitt und Lage des Schnittes im Planum.

Funde V891

Unter den Funden befinden sich eine kleine, annähernd vollständige Schale (Taf. 2/1; 47/5) sowie ein fast komplett zusammensetzbarer Topf mit doppelkonischer Grundform und schwach s-förmig ausladendem Rand (Taf. 2/2). Allein der Topf war sekundär Feuer ausgesetzt. Auffällig an diesem ist der sehr grob belassene Gefäßunterteil, dessen derbe Furchung möglicherweise als Rudiment der radial verzierten Unterteile der Doppelkoni zu verstehen ist. Der meist scharfe Bauchknick dieser typischen Gefäßform der frühen und älteren Urnenfelderzeit ist am Gefäßunterteil oft mit umlaufenden, senkrechten (strahlenförmigen) Ritzlinien oder Fingerstrichrauung versehen.[1249] Ein „Zwillingsgefäß" mit annähernd vollkommen übereinstimmenden Maßen kommt aus Grab 6B des Brandgräberfeldes von St. Andrä v. d. Hgt.[1250], das aufgrund seines Metallinventars nach Ha B1 gestellt wird.[1251] Die radiale Furchung am Stück aus St. Andrä wird von Eibner als pastoser, senkrechter Schlickauftrag beschrieben. Die Schale (Taf. 2/1) ist dünnwandig und grob geformt, mit auffällig unterschiedlicher Randhöhe. Sie könnte von vornherein als Schöpfgerät gedacht gewesen sein. Des Weiteren fanden sich Fragmente von einer Tasse (FNr. St. 21340), Töpfen und einer niederen Einzugsrandschale mit Doppelknubbe (Taf. 2/4).

Neben einem länglichen Stein – Glätt- oder Schleifstein (Abb. 133) – ist ein kleines Gussformfragment aus Sandstein (Taf. 2/3) erwähnenswert.

Archäologische Datierung

Aufgrund des doppelkonischen Topfes wird eine Zuordnung in den frühesten belegten Siedlungsabschnitt (Sph. I) vorgeschlagen.

Befundinterpretation

Es handelt sich um eine ehemalige Speichergrube, die sekundär mit Humus und Brandschutt gefüllt wurde. Die etwa 30–40 cm über der Grubensohle befindliche Keramiklage, aus der die unverbrannte kleine Schale und der verbrannte zusammensetzbare Topf stammen, scheint absichtsvoll auf einer waagrechten Plattform zustande gekommen zu sein. Es kann sich um eine Garnitur von Vorratsgefäß und Schöpfgerät handeln. Die anschließend eingebrachten feinen Materialeinfüllungen könnten ebenfalls auf bewusst gewählte Handlungsschritte zur endgültigen Schließung hindeuten, wodurch – neben einer profanen – auch eine kultische Deutung in Frage kommt.

Fundkatalog V891

21340
Planum 1–2; 77 cm unter SO-Ecke
Sign. 10442, 10441 (evtl. noch 00405)
Ker, Kn, Stein, Mollusken, HL
- SchulterBS von graf. Tasse mit senkr. u. waagr. Rillen
- KerBS
- HL mit Abdrücken
- Mollusken (Schnecke)
KiNr.: 1/18034, 2/18017

21396
Unter Planum 2
Alte Verf. 6
Sign. 10441–00403
Ker, Kn, Stein, Mollusken, HL
- w. KerBS
- 1 HL, entsorgt
- gr. Steine (Leithakalk) bis 20 cm, gesamt ca. 1 kg
- Mollusken
KiNr.: 1/18073, 1/18096, 2/18088, 3/18091

21403
Über Planum 2 (3?); Detailplanum ABCD; auf Plan HF 23/1988
Alte Verf. 6
Sign. 00406
Ker, Kn, HL
.1 kl. Schale, zu großen Teilen erh., eine Seite höher, Funktion evtl. Schöpfgefäß (Taf. 2/1; 47/5)
- Topf
- Stein (Leithakalk)
- 1 HL mit Abdrücken
KiNr.: 1/18045, 2/18017, 3/18004

21420
Ausschnitt ABCD; unter Planum 2
Alte Verf. 6
Sign. 10441 bis 00403
Ker, Kn, Stein, Mollusken, HL
- länglicher Stein (Schleifstein?), L. 8 cm (Abb. 133)
- gr. Topf mit senkr. Leiste am Unterteil
- HL mit Abdrücken
- Mollusken
KiNr.: 1/18040, 2/18017, 3/18004

21444
M4; unter Planum 2
Alte Verf. 6
Sign. 10441 bis 00403
Ker, Kn, Stein, Mollusken, HL
.1 großteils zusammensetzbarer Topf mit kegelförm. Hals, sek. gebr. (Sign. 00406; Taf. 2/2)
.2 Einzugsrandschale: Seitenteil mit Doppelknubbe (Taf. 2/4)
- KerBS
.3 Gussformfrg. mit bogenförm. Rippen, Sandstein (Taf. 2/3; 51/3)
.4 grobes WG mit gr. Lochung, vollständig (Abb. 121)
- HL mit Abdrücken
- 2 Mollusken
KiNr.: 1/18067, 2/18017, 10/18003

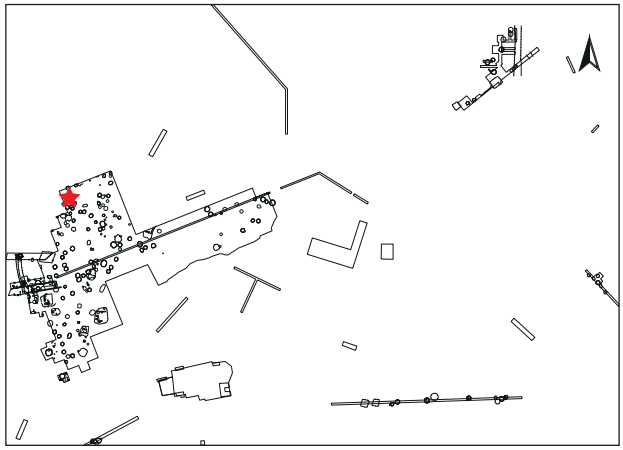
1249. Lochner 1991, 266, 298, Doppelkonus Typ a.

1250. Eibner 1974b, 172 und Taf. 6/j.

1251. Sperber 2017, 166.

Objekt V894 – Kegelstumpfförmige Grube

Lage	Hügelfeld Quadranten M4, N4, Riegel M4/N4
alte Objektnr.	Verf. 2, 3
Literatur	Penz 2006.
Interfaces	
Signaturen (Schichtnrn.)	00429, 10443–10451



Dokumentationsniveaus/Plana

Plannr.	Planum	alte Verf.	Lage/Quadrant	vertikale Einmessung		
				Ausgangspunkt	relative Tiefe	absolute Höhe in müA
HF 6/1988	Planum 1	2	N4	SO N4 (unter Abschub)	-20 cm	?
HF 14/1988	Planum 2	3	M4	SO M4	-85 cm	196,58
HF 44/1988	Planum 2	2	N4	NO N4	-46 cm	?

Profile/Schnitte

Plannr.	alte Verf.	Hauptprofil		Schnitt	
		Orientierung	Lage/Quadrant	Bezeichnung	unter DOKN
HF 25/1988	2	Zwischenprofil	N4	AB	Planum 2
HF 47/1988	3	Zwischenprofil	M4	XY	Planum 1
HF 55/1988	2	Südprofil	N4		Abschub
HF 63/1988	3	Nordprofil	M4		Abschub

Stratigraphie V894

Objekt V894 erscheint ungestört, der obere Grubenbereich wirkt gekappt (Abb. 346). Darüber liegt rezenter Humus.

Grubenform

Wandverlauf	Sohlenverlauf	Übergang Sohle – Wand	primäre Nutzungsspuren
steilkonische Wand	schwach schräg, dem Geländeverlauf folgend (nach Westen ansteigend), Sohle liegt in westlicher Hälfte etwas tiefer als im östlichen Bereich	gerundet	

Größe und Fassungsvermögen V894

min. Dm. (d): Bereich Sign. 10451/00429	263 cm
max. Dm. (D): Grubensohle	280 cm
max. erh. Grubentiefe (h)	90 cm
max. rek. Grubentiefe	230 cm
erh. rek. Fassungsraum der Grube	5,18 m³
rek. Fassungsraum der Grube	8,29 m³
archäolog. Datierung	Ha B2–3
Zuordnung zu Siedlungsphase	II

Beschreibung V894

Form im Planum annähernd kreisförmig bis oval, mit einem maximalen Durchmesser von 280 cm. Die Grube ist in den liegenden Löß (Sign. 09999) eingetieft und erreicht mit einer annähernd waagrechten bis schwach nach außen gewölbten Unterkante ihre maximale Tiefe (196,22 cm) 148 cm unter dem NO-Eck von M4. Im unteren Bereich wurde sie mit annähernd waagrechten Schichten aus beginnend Löß (Sign. 10443), Asche (Sign. 10444) und humosem Material (Sign. 10445) verfüllt. Es folgen eine aschige Strate (Sign. 10446), Löß (Sign. 10447), Humus (Sign. 10448), Brandschutt (Sign. 10449) und Löß (Sign. 10450). Der obere Grubenbereich beinhaltete hellbraunes Humus-Löß-Gemisch (Sign. 00429) sowie braun-humoses Material (Sign. 10451).

Schichtabfolge V894

Lage in der Grube	Sign.	Beschreibung	Kurzbeschreibung	besondere Funde	Höhe ab Sohle in cm
direkt auf der Grubensohle					
	10443	helles, gelbes Material, relativ gleichmäßig auf der Sohle	Löß(?), fundarm		0–3
	10444	dunkles, schwarz-aschiges Material mit Holzkohleflittern	Asche, fundarm(?)		1–6
„Deponierungshorizont“					
	10445	braun-humoses Material	Humus, fundarm(?)		3–27
	10446	dunkles, rot-schwarzes, aschiges Material mit Holzkohleflittern und Hüttenlehmbrocken	Brandschutt, fundarm(?)		11–28
	10447	helles, gelb-lehmiges Material	Löß, fundarm(?)		16–26
	10448	braun-humoses Material	Humus, fundarm	„Spielstein“(?)	15–46
	10449	dunkles, rot-schwarzes, aschiges Material mit Holzkohleflittern und Hüttenlehmbrocken	Brandschutt, fundreich(?)		24–54
annähernd waagrechte Oberkante, keine Deponierung	10450	helles, gelb-lehmiges Material	Löß, fundarm(?)	scheibenförm. Webgewicht	29–58
oberer Grubenbereich					
	00429	hellbraun-humoses, inhomogenes, mit Löß durchmischtes Material	Humus-Löß-(Asche?)-Gemisch, fundarm(?)		21–85
	10451	braun-humoses Material	Humus, fundarm(?)		31–85
		keine genaue Schichtzuweisung möglich	pyramidenstumpfförm. Webgewichtfrg., Herdplattenfrg., Miniaturkegelhalsgefäß, Miniaturschale, Klopfstein		

Schichtbeschreibung (Sign.) V894

Sign.	Schicht-schlüssel	Beschreibung	auf Plan	zugeordnete Fundnummern	besondere Funde
10443	3	helle, weiße oder gelbe Schicht auf der Sohle (helle Asche oder Löß); v. a. im Süden sichtbar, 1–4 cm mächtig	HF 25, 47, 63/1988		
10444	1	schwarze, aschige Schicht mit Holzkohleflittern, 2–4 cm mächtig	HF 25, 44(?), 47, 55, 63/1988		
10445	9	braun-humoses Material (nach Norden abfallend); 4–22 cm mächtig	HF 25, 47, 55, 63/1988		
10446	2	rot-schwarze, aschige Schicht mit Holzkohleflittern und Hüttenlehmbrocken; 2–6 cm mächtig	HF 25, 47, 63/1988	21332(?)	
10447	3	helle, gelb-lehmige Schicht; ca. 2 cm mächtig	HF 47, 63/1988		
10448	9	braun-humoses Material; 3–33 cm mächtig	HF 25, 47, 55, 63/1988	21407 (Teil)	**„Spielstein“**(?) aus WS (St. 21407; Abb. 83, 84)
10449	2	rot-schwarze, aschige Schicht mit Holzkohleflittern und Hüttenlehmbrocken; 2–7 cm mächtig	HF 25, 47, 55, 63/1988	21407 (Teil)	
10450	3	helle, gelb-lehmige Schicht; 2–8 cm mächtig	HF 47, 63/1988		
		im Bereich Sign. 00429 ganz unten bis 10449 – evtl. auf 10450 aufliegend (am äußersten Südwestrand der Grube!)		21449	**scheibenförm. Webgewicht**[1252] (St. 21449; Taf. 51/4)
		Sign. 00429 bis 10444		21432, 21450	**pyramidenstumpfförm. Webgewichtfrg.** (St. 21450); Herdplattenfrg. (St. 21450); teils sekundär gebrannte Keramik
00429	9	hellbraun-humoses, inhomogenes, mit Löß durchmischtes Material; 10–50 cm mächtig	HF 6, 14(?), 25, 47, 55, 63/1988	21407 (Teil)	
		10451 oder 00429		21497	
10451	9	braun-humoses Material	HF 6, 55/1988		
		keine genaue Schichtzuordnung möglich		21387, 21388,21493	**RS von Miniaturkegelhalsgefäß** (St. 21388; Taf. 3/2); **Miniaturschale** (St. 21388); sekundär gebrannte Keramik; **Klopfstein**[1253] (St. 21493)

1252. Penz 2006, Taf. 27/2.

1253. Weißer Quarz, mit Schlagkappe, Maße: 8 × 6 cm, H. 6 cm.

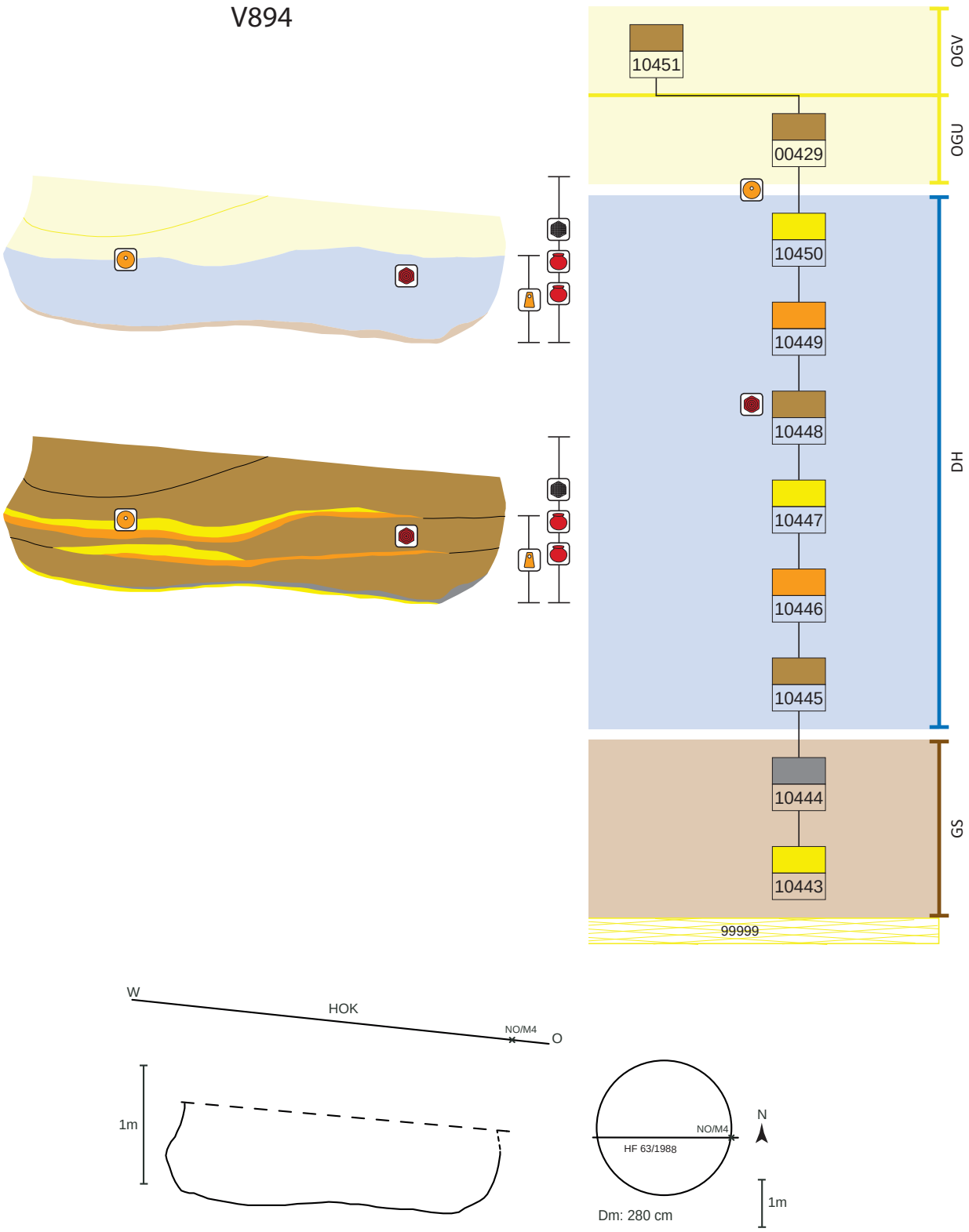


Abb. 346: V894, schematische Darstellung, Schnitt und Lage des Schnittes im Planum.

Funde V894

Unter den Funden befindet sich die Randpartie einer sehr großen Schüssel, die wohl als Vorratsgefäß anzusprechen ist (Taf. 2/5). Des Weiteren stammen aus der Grube auch Bruchstücke von Töpfen mit Fingertupfenleiste sowie feinkeramische Schalen und Tassen mit Grafitierung, Rillen-, Riefen-, Dellen- und Rollrädchenverzierung. Vor allem die Grobkeramik weist sekundäre Brandspuren auf. Ein Miniaturkegelhalsgefäß mit Ritzzier, dessen oberer Teil in Fragmenten erhalten ist (Taf. 3/2), blieb dagegen genauso vom Schadfeuer verschont wie andere, mittelfeine Scherben, z. B. die einer hohen Schüssel (Taf. 3/1 und Abb. 21). Bei dieser Schüssel mit drei bis vier waagrechten Rillen am Schulter-Halsumbruch und einem annähernd senkrechten Hals, der vor allem im unteren Bereich stellenweise schwach ausbeult (Kröpfung?), handelt es sich um ein Importstück aus der nordwestböhmischen Knovízer Kultur (Phase Štítary).[1254] Das Gefäß wirkt stark versintert und weist im Gegensatz zum sonstigen Keramikbruch-gemagerten Material aus dieser Grube starke Steinchenmagerung aus scharf gebrochenen, weißen Kieselsteinchen auf (Abb. 22). Parallelen finden sich auf der böhmischen Fundstelle Radonice in Nordwestböhmen (Tschechien).[1255]

Eine kleine, unregelmäßig und derb aus einem grobkeramischen Wandscherben herausgearbeitete Scheibe könnte als „Spielstein" angesprochen werden (FNr. St. 21407; Abb. 83, 84). Auch ein vollständiges, scheibenförmiges Webgewicht (Taf. 51/4) ist unter den Funden.

Die aufgefundenen Steine weisen häufig Brandspuren auf. Ein Klopfstein aus weißem Quarz (FNr. St. 21493) zeigt dagegen keine deutliche Feuereinwirkung.

Archäologische Datierung

Die Funde deuten auf eine Datierung nach Ha B2–3 hin.

Befundinterpretation

Es handelt sich um eine ehemalige Speichergrube, die sekundär mit Humus und Brandschutt gefüllt wurde.

Fundkatalog V894

21332
N4; Planum 1; 117 cm unter Südprofil; 190 cm von Osten, 30 cm von Süden
„Dunklere Verfärbung"
Alte Verf. 2
Sign. 10449(?) oder 10446(?)
Ker, Kn

21387
N4; unter Planum 1
Alte Verf. 2
Bereich Sign. 10451 (letzter Rest) bis 10443
Ker, Kn, Hl
- KerBS, UK/Ha, 1 sek. gebr.
KiNr.: 1/18066, 1/18071, 2/18092

21388
N4; unter Planum 1
Alte Verf. 2
Bereich Sign. 10451 (letzter Rest) bis 10443
Ker, Kn
.1 Miniatur-KHG mit Ritzzier (Taf. 3/2)
- Miniaturschale
- WS von gr. Topf mit Fingertupfen auf Schulter, sek. gebr.
- feiner WS mit Rillen
- KerBS
KiNr.: 1/18066, 1/18085

21407
N4; unter Planum 1; Profil AB; auf Plan H25/1988
Alte Verf. 2
Sign. 00429 (ganz unten), 10449, 10448
Ker
- grober „Spielstein"? (Abb. 83, 84)
- KerBS, sek. gebr., UK
KiNr.: 1/18066

21432
M4; unter Planum 2; Osthälfte
Alte Verf. 3
Sign. 00429 bis 10444
Ker, Kn, Stein, Mollusken, HL
.1 sehr gr. Schüssel mit Schulterabsatz, Randpartie (Rdm. 48, Vorratsgefäß; Taf. 2/5)
- SchulterBS von Tasse mit waagr., tiefen Rillen
- KerBS, u. a. von gr. Töpfen, sek. gebr.
Anpassende Fundummern: 21430 (V887), 21493
KiNr.: 1/18059, 1/18066, 1/18071, 1/18095, 2/18092

21449
M4; 20 cm unter Planum 2; 75 cm vom Nordprofil, 243 cm vom Westprofil
Alte Verf. 3
Im Bereich Sign. 00429 ganz unten bis 10449 – evtl. auf 10450 aufliegend (am äußersten SW-Rand der Grube!)
gebr. Lehm
- vollständiges scheibenförm. WG[1256] (Taf. 51/4)
KiNr.: 10/18003

21450
M4; unter Planum 2; Westhälfte
Alte Verf. 3
Sign. 00429 bis 10443
Ker, Kn, Stein
- SchulterBS von graf. Schüsseln/Tassen mit Riefen, Dellen, Rollrädchen
- BS von Topf
- Boden von feiner, graf. Schale/Schüssel
- Frg. von pyr. WG (?)
- Herdplattenfrg.
- Tierkn
Anpassende Fundummer: 21493
KiNr.: 1/18068, 1/18071, 2/18088, 3/18075, 8/18001

1254. Knovízer Kultur: Stufen 1–6 (Bz D–Ha B1) und Štítary Phasen 1–4 (spätes Ha B1–frühes Ha C1). Datierungstabelle: Bouzek, Koutecký, Neustupný 1966, 112. – V. a. Kuna, Němcová 2012, 44 und Tab. 4. – Siehe auch Kap. 1.4.1.

1255. Bouzek, Koutecký, Neustupný 1966, 14, Grube 10/58, und Taf. X/4: Dat. Ha B2 (Late Period II = Štítary II).

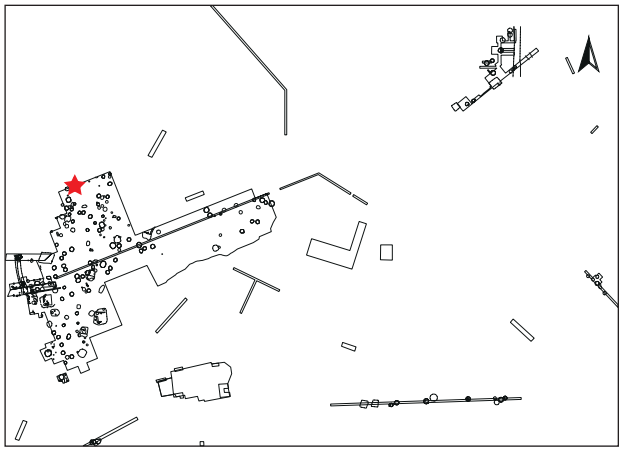
1256. Penz 2006, Taf. 27/2.

21493
M4/N4; Planum 0–2
Alte Verf. 3, 2
Keine genaue Sign. möglich
Ker, Kn, Stein, Mollusken, HL
.1 Seitenteil von hoher Schüssel (Taf. 3/1 u. Abb. 21, 22)
- BS von Vorratsgefäß
- 3 BS fein, mit waagr. Kammstrich
- Miniaturschale
- Turbanrandschale
- KerBS (1300 g), grob/fein, Ösen, Henkel
- 1 Klopfstein (weiße Quarzknolle), 8 × 6 × 6 cm
- 1 Stein, feuerverfärbt
- Mollusken
Anpassende Fundnummern: 21388 (V897), 21450, 21398, 21432
KiNr.: 1/18067, 1/18071, 1/18085, 2/18006, 3/18025

21497
M4/N4; Planum 0–2; 80 cm unter HOK; 140 cm vom Ostprofil, 20 cm vom Nordprofil
Alte Verf. 3, 2
Sign. 10451 oder 00429
Kn
- Mollusken

Objekt V897 – Kegelstumpfförmige Grube

Lage	Hügelfeld Quadrant N5
alte Objektnr.	Verf. 1
Literatur	Hellerschmid 2006.
Interfaces	IF4007
Signaturen (Schichtnrn.)	00408, 00409, 10431–10437



Dokumentationsniveaus/Plana

Plannr.	Planum	alte Verf.	Lage/Quadrant	vertikale Einmessung		
				Ausgangspunkt	relative Tiefe	absolute Höhe in müA
HF 11/1988	Planum 1	1	N5	SO N5	-58 cm	?
HF 15/1988	Planum 2	1[1257]	N5	–	? (etwa 20 cm über der Sohle)	?

Profile/Schnitte

Plannr.	alte Verf.	Hauptprofil		Schnitt	
		Orientierung	Lage/Quadrant	Bezeichnung	unter DOKN
HF 17/1988 (Abb. 347)	1	Zwischenprofil	N5	BA	Planum 1
HF 20/1988	1	Nordprofil	N5		Abschub

Stratigraphie V897

Objekt V897 erscheint ungestört. Der obere Bereich wirkt gekappt, darüber lagert rezenter Humus (Abb. 348).

Grubenform

Wandverlauf	Sohlenverlauf	Übergang Sohle – Wand	primäre Nutzungsspuren
steilkonische Wand	waagrechte Grubensohle	eckig-scharfkantig bis leicht gerundet, Sohlenrand etwas gehoben	(verkohlte oder verrottete) Überreste der Einfüllung(?) bzw. Trethorizont (Sign. 10437)

1257. Als Verf. 2 eingezeichnet, als 1 beschrieben.

Größe und Fassungsvermögen V897

min. Dm. (d): Bereich Sign. 00409	140 cm (N–S) 150 cm (O–W)
max. Dm. (D): Grubensohle	180–190 cm
max. erh. Grubentiefe (h)	80 cm
max. rek. Grubentiefe	150 cm
min. rek. erh. Dm. (d) (HUK)	130 cm
erh. rek. Fassungsraum der Grube	1,57 m³
rek. Fassungsraum der Grube	2,04 m³
archäolog. Datierung	Ha B2–3
Zuordnung zu Siedlungsphase	II

Beschreibung V897

Form im Planum annähernd kreisförmig mit einem Durchmesser von 1,5 m. Die Grube ist trapezförmig in den liegenden Löß (Sign. 09999) eingetieft und erreicht mit schwach von Westen nach Osten fallender Unterkante eine maximale Tiefe von 1,5 m unter der NO-Ecke von N5. Der Durchmesser an der Sohle beträgt etwa 1,8 m. Ein dünnes, dunkelbraunes Band befindet sich zuunterst gleichmäßig auf der Sohle verteilt (Sign. 10437). Darauf folgt zentral ein Schüttkegel aus einem Humus-Brandschutt-Gemisch (Sign. 10431) sowie abwechselnd braun-humose und gelbe Bänder aus Löß (Sign. 00408). Diese werden in ihrem Zentrum durch eine wannenförmige Eintiefung nachträglich gestört (IF4007; Abb. 347). Die Grube muss zu diesem Zeitpunkt bereits etwa 40 cm hoch verfüllt gewesen sein. In diese Vertiefung wurden braun-humoses, leicht mit Asche durchmischtes Material (Sign. 10436) und rot-verziegelter Brandschutt (Sign. 10432) eingefüllt. Es folgen erneut Schichten mit braun-humosem Material (Sign. 10433 und 10435), die mittig rot-verziegelten Brandschutt umschließen (Sign. 10434). Zuoberst wurde helleres, braun-humoses Material eingebracht (Sign. 00409). Darin befand sich im südlichen Grubenbereich ein Geweihhammer (Taf. 52/1).

Schichtabfolge V897

Lage in der Grube	Sign.	Beschreibung	Kurzbeschreibung	besondere Funde	Höhe ab Sohle in cm
direkt auf der Grubensohle					
primäre Nutzungsspuren?	10437	dunkelbraun-humoses Material	Reste der ursprünglichen Einfüllung und/oder Trethorizont		0–2
	10431	flacher Schüttkegel aus rot-braunem, aschigem Material, mit Hüttenlehm und Holzkohle durchsetzt	Brandschutt, fundreich, sekundär gebrannte Keramik		2–12
„Deponierungshorizont“					
	00408	mehrere Schichten braun-humosen und gelb-lehmigen Materials	Humus und Lößschichten, eher fundarm(?)		2–58
wannenförmige Eintiefung	IF4007				
Einfüllschicht in IF4007	10436	braun-humoses bis leicht grau-aschiges Material	Humus-Asche-Gemisch, eher fundarm		15–40
	10432	rot-braunes, lehmiges bis aschiges Material, stark mit Hüttenlehm durchsetzt	Brandschutt, eher fundreich(?)		18–47
	10433	braun-humoses bis leicht grau-aschiges Material	Humus-Asche-Gemisch, eher fundarm		20–60
	10434	rot-braunes, lehmiges bis aschiges Material, stark mit Hüttenlehm durchsetzt	Brandschutt, eher fundarm(?)		40–63
unebene Oberkante, keine Deponierung	10435	braun-humoses bis leicht grau-aschiges Material	Humus-Asche-Gemisch, eher fundarm		48–67
oberer Grubenbereich	00409	hellbraun-humoses Material, mit Hüttenlehm durchsetzt	Humus, eher fundarm(?)	Geweihhammer	ab 30

Schichtbeschreibung (Sign.) V897

Sign.	Schicht-schlüssel	Beschreibung	auf Plan	zugeordnete Fundnummern	besondere Funde
10437	4	dunkelbraun-humoses Material, ca. 2 cm mächtig, gleichmäßig über der Sohle verteilt	HF 17, 20/1988		
10431	17	rot-brauner, aschiger, flacher Schüttkegel, mit Hüttenlehm und Holzkohle durchsetzt, 12 cm hoch	HF 17, 20/1988		
00408	14	mehrere Schichten (> 6) braun-humosen und gelb-lehmigen Materials, max. ca. 30 cm mächtig; Abgrenzung unsicher	HF 15, 17, 20/1988		
		Bereich Sign. 10431, 408, 10432		21379, 21380(?)	
IF04007		zentrale, wannenförmige Eintiefung im unteren Bereich der Grube bei zuvor etwa 40 cm hoch verfüllter Grube	HF 17/1988		
10436	17	braun-humoses bis leicht grau-aschiges Material, max. 9 cm mächtig	HF 15, 17, 20/1988		
10432	2	rot-braunes, lehmiges bis leicht grau-aschiges Material, stark mit Hüttenlehm durchsetzt, meist um 6 cm, max. 20 cm mächtig	HF 15, 17, 20/1988		
10433	17	braun-humoses bis leicht grau-aschiges Material; 2–22 cm mächtig	HF 17, 20/1988		
10434	2	rot-braunes, lehmiges Material, stark mit Hüttenlehm durchsetzt; ca. 22 cm mächtig	HF 17, 20/1988	21401	
10435	17	braun-humoses bis leicht grau-aschiges Material; ca. 4 cm mächtig	HF 17, 20/1988		
00409	9	hellbraun-humoses Material, teils mit Hüttenlehm durchsetzt	HF 11, 17, 20/1988	21339(?), 21341(?)	**Geweihhammer** (St. 21341; Taf. 52/1)

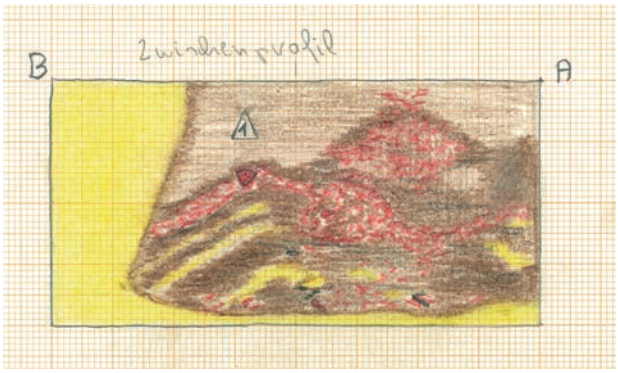


Abb. 347: V897: Zwischenprofil BA von Grube V897 in Quadrant N5. Die Nordwand der Grube ist nicht erreicht worden (siehe Abb. 348, Zeichnung: M. Frelih, Universität Wien, Plannr. HF 17/1988).

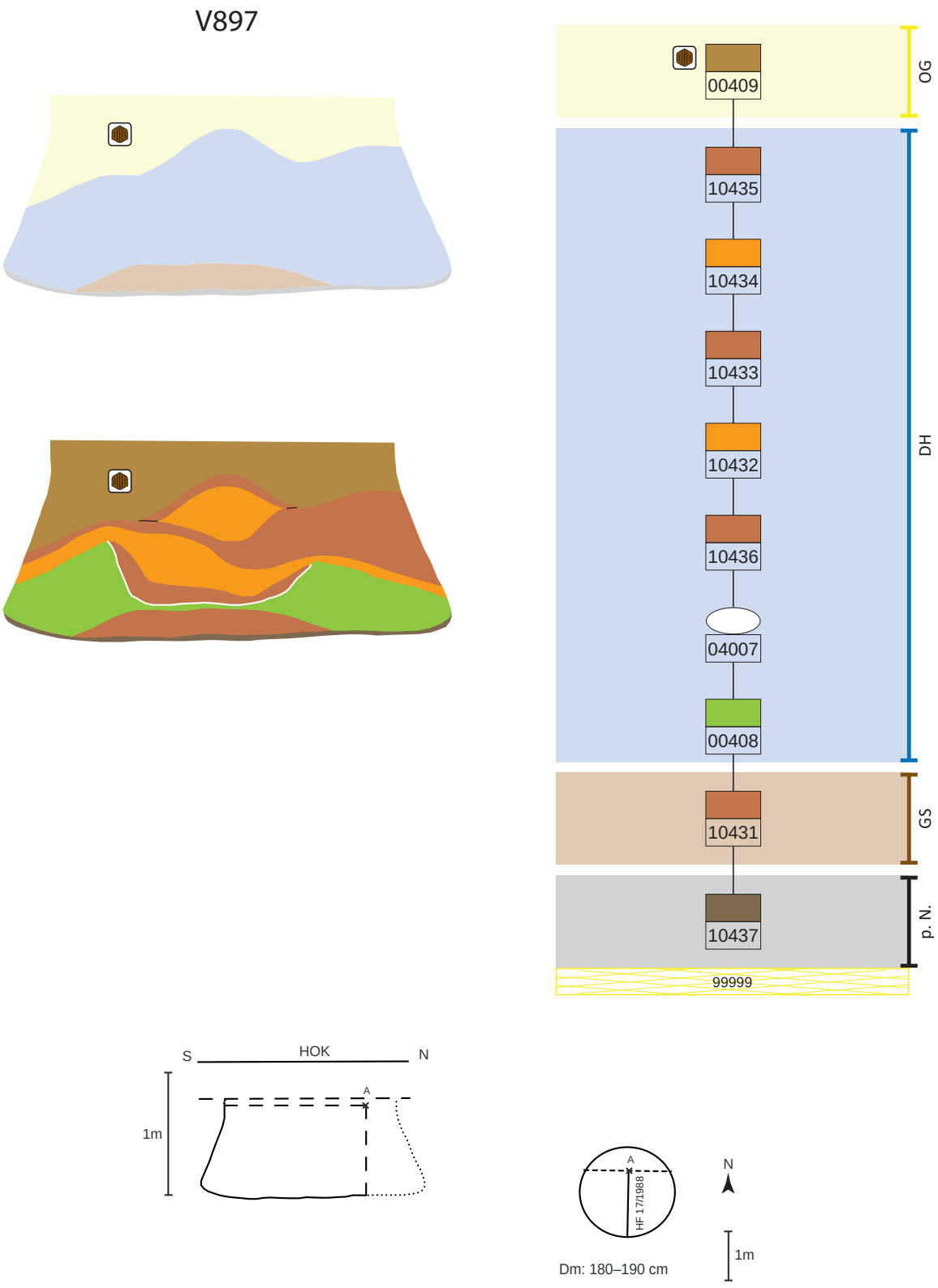


Abb. 348: V897, schematische Darstellung, Schnitt und Lage des Schnittes im Planum.

Funde V897

Unter den keramischen Funden sind viele Bruchstücke von Großgefäßen mit Sekundärbrand, aber auch eine unvollständige, sekundär gebrannte Schale ist in diesem Verband (FNr. St. 21379). Chronologisch aussagekräftig ist das Randstück einer großen Henkeltasse mit randständigem Bandhenkel (FNr. St. 21401), das allgemein nach Ha B2–3 gestellt werden kann. Herausragender Fund ist ein vollständiger Geweihhammer (Taf. 52/1).

Datierung

Obwohl sich die Grube in unmittelbarer Nähe eines hallstattzeitlichen Grubenhauses (V898) befindet, lässt sich V897 anhand seiner Keramik der späturnenfelderzeitlichen Zeitstufe zuordnen, der im Grunde alle kegelstumpfförmigen Speichergruben von Stillfried angehören. Aufgrund von Keramikanpassungen zu Bruchstücken aus V894 wird eine Zuordnung zu Siedlungsphase II vorgeschlagen.

Befundinterpretation

Es handelt sich um eine ehemalige Speichergrube, die sekundär mit Humus und Brandschutt gefüllt wurde. Nachdem die Grube etwa 40 cm hoch verfüllt war, wurde aus unbekanntem Grund erneut Material entnommen. Möglicherweise wurde Humus als Pflanzerde gewonnen. Anschließend wurde die Grube vollständig mit Brandschutt und Erde verschlossen. Diese Vorgänge fanden innerhalb kurzer Zeit statt.

Fundkatalog V897

21339
N5; Planum 1; 20 cm unter SO-Ecke; beim Putzen
o. F.
Teile möglich zu Sign. 00409
Ker, Kn, Stein, HL
- HL
- kl. Säckchen voller kl. KerBS, UK
KiNr.: 1/18040

21341
N5; Planum 1–2; 15 bis 20 cm unter NO-Ecke; 180 cm von Osten, 100 cm von Norden (südlicher Bereich der Grube V897)
o. F.
Wenn Planum 1–2 (15–20 cm unter Planum 1), dann Sign. 00409; wenn 15–20 cm unter NO-Ecke, dann Sign. 00409 oder im Humus darüber
Kn, Horn
- Geweihhammer (Taf. 52/1)
KiNr.: 10/18003

21362
N5; Profil AB(?)
Alte Verf. 1
Keine genaue Sign. möglich
Ker, Fe, HL
- grober WS von gr. Gefäß, UK?
- HL mit Abdrücken
- Eisenfrg. (Granatsplitter)
KiNr.: 1/18045, 1/18072, 2/18023

21379
N5; unter Planum 2
Alte Verf. 1
Bereich Sign. 10431, 00408, 10432
Ker, Kn, Stein, HL
- gr. Schale mit einziehendem Rand, unvollständig, restauriert, sek. gebr., UK/Ha; sehr gr. WS (Bauchteil) von Vorratstopf und weitere WS, alle sek. gebr., UK/Ha
- viel HL mit Abdrücken
- Stein
KiNr.: 1/18069, 1/18072, 2/18022, 2/18023, 3/18004

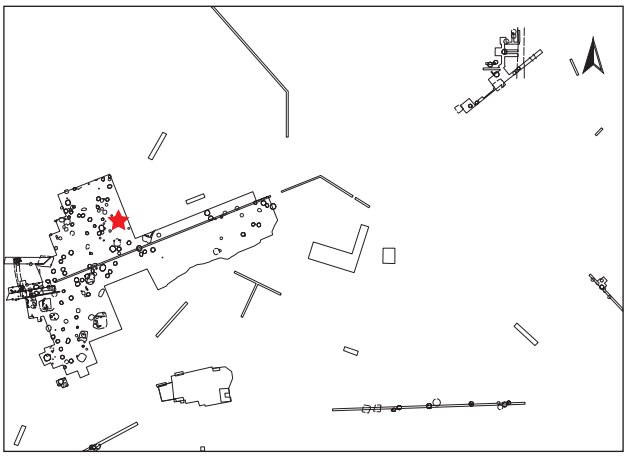
21380
N5; unter Planum 2
Alte Verf. 2[1258]
Teile möglich zu V897
Bereich Sign. 10431, 00408, 10432
HL
- HL mit Abdrücken

21401
N5; Nordprofil; auf Plan H20/1988
Alte Verf. 1
Etwa Sign. 10434
Ker
- RS von gr. Henkeltasse mit randständigem Bandhenkel, Ha B
KiNr.: 1/18045

1258. Die Nummer „2“ bezieht sich auf zwei verschiedene Objekte mit derselben Nummer.

Objekt V949 – Kegelstumpfförmige Grube mit Deposition eines jungen, unvollständigen Hirsches

Lage	Hügelfeld Quadrant J8, Riegel J7/J8, J8/K8
alte Objektnr.	Verf. 5
Literatur	Artner 1996, 173. – Kohler-Schneider 2001, 87–90. – Hellerschmid, Griebl in Vorbereitung. – Pucher in Vorbereitung.
Interfaces	1281
Signaturen (Schichtnrn.)	00375, 00438, 00439, 00470, 00474, 10206



Dokumentationsniveaus/Plana

Plannr.	Planum	alte Verf.	Lage/Quadrant	vertikale Einmessung		
				Ausgangspunkt	relative Tiefe	absolute Höhe in müA
HF 57/1989	Planum 3	5	J8	NW J8	-62 cm	195,88
HF 71/1989	Teilplanum 4	5	J8	NW J8	-105 cm	195,45
HF 88/1989	Teilplanum 5	5	J8	NW J8	-174 cm	194,76
HF 100/1989 (Abb. 349)	Teilplanum 6	5	J8	NW J8	-196 cm	194,54

Profile/Schnitte

Plannr.	alte Verf.	Hauptprofil		Schnitt	
		Orientierung	Lage/Quadrant	Bezeichnung	unter DOKN
HF 120/1989 (Abb. 349)	5	Westprofil	J8		HOK
HF 63/1989	5	Zwischenprofil	J8	XY	Planum 3
HF 78/1989	5	Zwischenprofil	J8	AD	Teilplanum 4

Stratigraphie V949

Das Objekt V949 ist weitgehend erhalten und wird nur im oberen Bereich vom rezenten Humus überlagert (Abb. 350).

Grubenform

Wandverlauf	Sohlenverlauf	Übergang Sohle – Wand	primäre Nutzungsspuren	Auffälligkeiten
unregelmäßiger Wandverlauf (im Norden konisch, im Süden annähernd senkrecht). Schulterknick mit breitem senkrechtem Flaschenhals	schwach nach außen gewölbt	gekantet (N) bis mehr gerundet (S), im Norden hochgezogen		nachträglicher Eingriff in die Grubenverfüllung? (Zeitpunkt unklar, Sign. 00375, β)

Größe und Fassungsvermögen V949

min. Dm. (d): Bereich Sign. 00474, 00375	150 cm
max. Dm. (D): Bereich Sign. 00439	235 cm
max. erh. Grubentiefe (h)	190 cm
max. rek. Grubentiefe	ca. 210 cm
erh. rek. Fassungsraum der Grube	3,81 m³
rek. Fassungsraum der Grube	3,87 m³
archäolog. Datierung	Ha A2/Ha B1
Zuordnung zu Siedlungsphase	I

Schichtabfolge V949

Lage in der Grube	Sign.	Schicht-schlüssel	Beschreibung	Kurzbeschreibung	besondere Funde	Höhe ab Sohle in cm
direkt auf der Grubensohle	00438	1	Asche und Holzkohle-band	Ascheband		0–3
„Deponierungs-horizont“						
waagrechte Oberkante	00439	14	lehmig und humos	Hell-Dunkel-Einfüllung		3–30
Tierdeposition	IF1281	D	Deposition eines jungen, unvollständigen Hirsches	**abgelegter Hirschkadaver**[1259] (Abb. 349)		25–45
	10206	3	lehmiges, stark lößhälti-ges Material, einge-schlämmt? fundreich	lehmig, hart, Ein-schlämmung?	**verkohlte Getreide- und sonstige Pflanzenreste**[1260] (St. 22064); **Reibplatte (Läufer)**[1261] (St. 21955; Taf. 3/3; 53/3); BS von Gefäß mit senk-rechten Riefenbündeln (St. 22013; Taf. 53/1)	30–60
oberer Grubenbereich						
	00470	3	lehmig, schwach humos, fest	mäßig fundreich	RS von Zylinderhals-gefäß? mit waagrechtem Rand (St. 21951; Abb. 16)	30–90
	00474	14	lehmig-lößig und dunkel-humos	Hell-Dunkel-Einfüllung (Abb. 349)		50–160
nachträglicher Eingriff (β)	00375 β	9	locker humos	fundreich	**grober, zungenförm. Tonlappen/Fuß** (St. 21889; Taf. 3/4; 52/3); **zungenförm. Tonlappen** (St. 21746; Abb. 92, 93); **Reibplattenteilstück** (Granit, St. 21746; Taf. 53/2)	140–180



Abb. 349: V949: Westprofil von Quadrant J8 mit V949, die Hell-Dunkel-Einfüllung (Sign. 00474) ist gut zu erkennen; im Vordergrund Planum 6 mit der Hirschniederlegung (Grabungsdokumentation Stillfried, Landessammlung Niederösterreich, Bereich Ur- und Frühgeschichte, Fotonr. ST29294).

1259. FNrn. St. 21997, 21746, 21951 . – Pucher in Vorbereitung (Kap. 2.1.5.6).

1260. Kohler-Schneider 2001, 87–90.

1261. Maße: L. 32 cm, erh. B. 17,8 cm, H. 2,8–6,2 cm. Das Stück weist annähernd durchgängig die Originalseitenkanten auf, dürfte also in dieser Form verwendet worden sein.

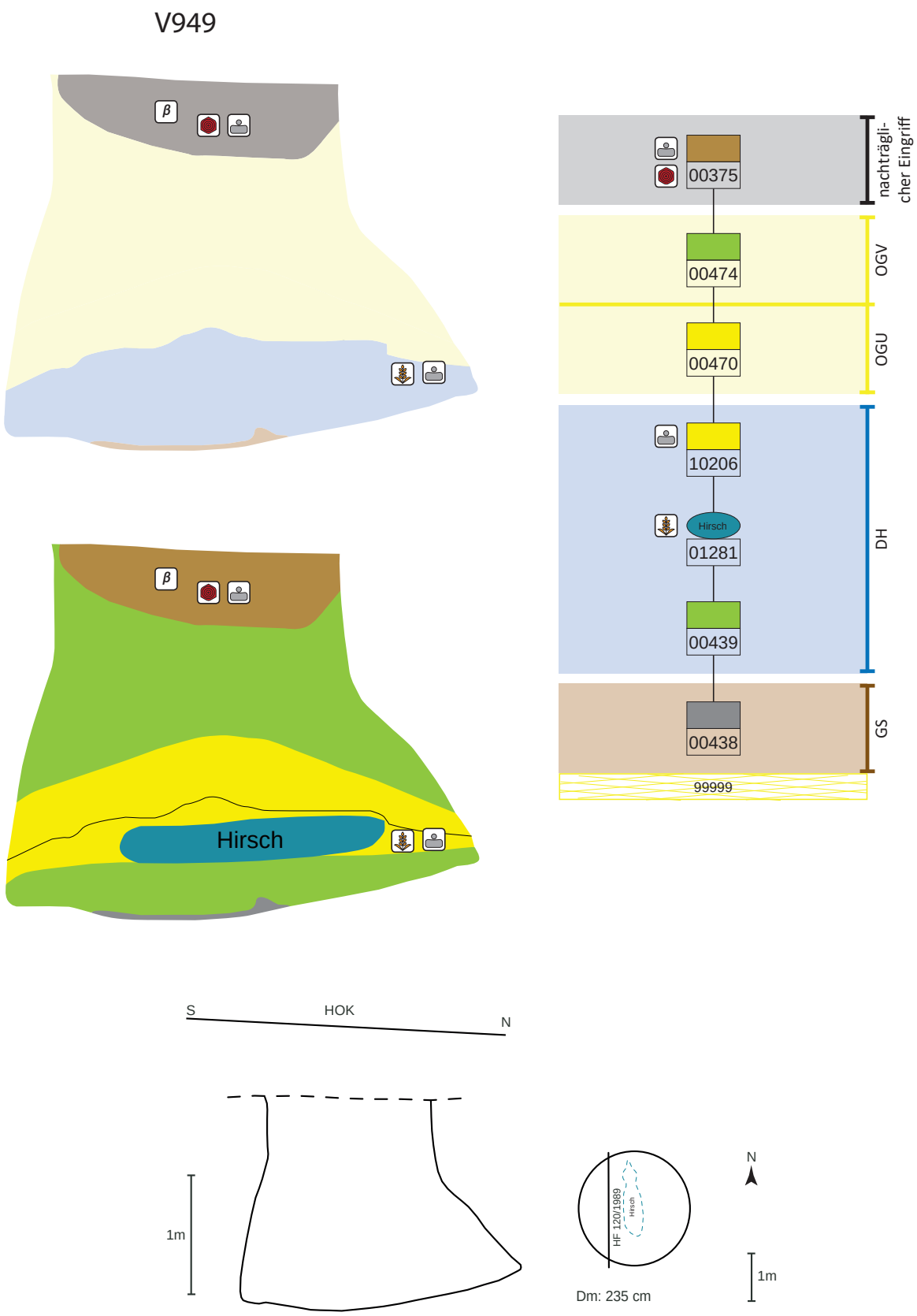
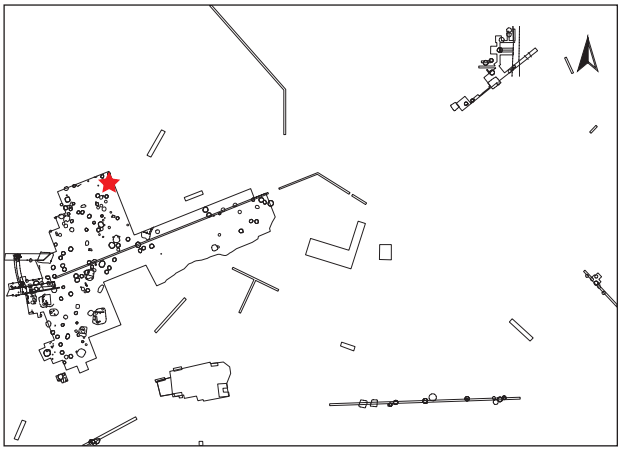


Abb. 350: V949, schematische Darstellung, Schnitt und Lage des Schnittes im Planum.

Objekt V981 – Kegelstumpfförmige Grube

Lage	Hügelfeld Quadrant M8, Riegel M8/N8
alte Objektnr.	Verf. 2, 72
Literatur	Penz 2006.
Interfaces	
Signaturen (Schichtnrn.)	08004–08008, 10452–10457



Dokumentationsniveaus/Plana

Plannr.	Planum	alte Verf.	Lage/Quadrant	vertikale Einmessung		
				Ausgangspunkt	relative Tiefe	absolute Höhe in müA
HF 64/1989	Planum 3	7	M8	SO M8	-65 cm	?
HF 84/1989	Planum 4	7	M8	NO M8	-72 cm	?
HF 130/1989	Planum 1	2	M8/N8	NO M8	-34 cm	?
HF 130/1989	Planum 2	2	M8/N8	NO M8	-55 cm	?
HF 130/1989	Planum 3	2	M8/N8	NO M8	-79 cm	?

Profile/Schnitte

Plannr.	alte Verf.	Hauptprofil		Schnitt	
		Orientierung	Lage/Quadrant	Bezeichnung	unter DOKN
HF 75/1989	7	Zwischenprofil	M8	LK	Planum 2(?)
HF 108/1989 (Abb. 351)	7	Nordprofil	M8		Abschub

Stratigraphie V981

Das Objekt V981 wird im Norden durch einen Ofen unbekannter Zeitstellung geschnitten, ansonsten ist es ungestört (Abb. 351).[1262]

Grubenform

Wandverlauf	Sohlenverlauf	Übergang Sohle – Wand	primäre Nutzungsspuren
steilkonische bis annähernd senkrechte Wand	waagrechte Grubensohle	gerundet	(verkohlte/verrottete) Überreste der letzten Einfüllung(?) (Sign. 10452)

Größe und Fassungsvermögen V981

min. Dm. (d): Bereich Sign. 08008	120 cm
max. Dm. (D): Grubensohle	158 cm
max. erh. Grubentiefe (h)	122 cm
max. rek. Grubentiefe	170 cm
min. rek. erh. Dm. (d) (HUK)	100 cm
erh. rek. Fassungsraum der Grube	1,62 m³
rek. Fassungsraum der Grube	1,84 m³
archäolog. Datierung	Ha B
Zuordnung zu Siedlungsphase	II?[1263]

1262. V982, Grabungsplan HF 130/1989.

1263. Hinweis aufgrund von Schamottmagerung. Verweis Kap. 3.1.1.

Beschreibung V981

Form im Planum annähernd halbkreisförmig erhalten, mit einem maximalen Durchmesser von 158 cm. Die Seitenkanten verlaufen unregelmäßig von steilkonisch bis annähernd senkrecht. Die Unterkante ist annähernd waagrecht. Im Sohlenbereich ist die Grube mit waagrecht verlaufenden, dunklen, aschig-humosen Schichten (Sign. 10453 und 10454) verfüllt. Nach hellbraun-humoser Einfüllung (Sign. 08005) folgt Brandschuttmaterial (Sign. 10455 bis 08006). Der obere Grubenbereich wurde mit braun-humosem Material verfüllt (Sign. 08007, 08008).

Schichtabfolge V981

Lage in der Grube	Sign.	Beschreibung	Kurzbeschreibung	besondere Funde	Höhe ab Sohle in cm
direkt auf der Grubensohle					
primäre Nutzungsspuren?	10452	dunkel-grau-schwarzes Material	Reste der ursprünglichen Einfüllung? fundarm(?)	Miniaturschale, Klopf- und Reibsteinfrg., Geweihspross Messergriff aus Geweih	0–4
	10453	grau-braunes, humos-aschiges Material	Humus-Asche-Gemisch, fundreich(?)		2–12
	10454	dunkel-grau-schwarzes, aschiges Material	Asche, fundarm(?)		8–15
	08004	grau-braunes, humos-aschiges Material	Humus-Asche-Gemisch, fundreich(?)		9–37
„Deponierungshorizont“					
	08005	hell-braun-gelbes Humus-Löß-Gemisch	Humus-Löß-Gemisch, fundarm	Reibplattenfrg.	10–60
	10455	dunkelbraunes, aschig-humoses Material, mit Holzkohleflittern durchsetzt	Brandschutt-Humus-Gemisch, fundreich		37–62
	10456	rot-braunes, lehmiges Material, stark mit Hüttenlehm durchsetzt	Brandschutt, fundreich		42–82
unebene Oberkante, keine Deponierung	08006	dunkelbraunes, aschig-humoses Material, mit Holzkohleflittern durchsetzt	Brandschutt-Humus-Gemisch, fundreich		50–80
oberer Grubenbereich					
	08007	braun-humoses Material	Humus, fundarm	Reibplattenfrg., Klopfstein	58–92
	10457	dunkelbraun-humoses Material, mit Holzkohleflittern durchflockt	Humus mit Holzkohle, fundarm		82–100
	08008	grau-braunes, humoses Material	Humus, fundarm(?)		87–120



Abb. 351: V981: Nordprofil von Quadrant M8 mit V981 (Grabungsdokumentation Stillfried, Landessammlung Niederösterreich, Bereich Ur- und Frühgeschichte, Fotonr. ST29299).

Schichtbeschreibung (Sign.) V981

Sign.	Schicht-schlüssel	Beschreibung	auf Plan	zugeordnete Fundnummern	besondere Funde
10452	4	dunkel-grau-schwarzes Material, gleichmäßig auf der Sohle der Grube verteilt; ca. 2–4 cm mächtig	HF 75, 108/1989		
		unterer Grubenbereich – genaue Schichtzuweisung unsicher[1264]		21978, 21979, 22012, 22021, 22022	**Miniaturschale** (St. 22012.1); **Reib- bzw. Klopfsteinfrg.** (St. 21979.1; Taf. 3/5); **Geweihspross** (St. 22021; Taf. 52/2)
		Sign. 10452 bis 08004		22071	
10453	17	grau-braunes, aschig-humoses Material; 5–10 cm mächtig	HF 75, 108/1989		
10454	1	dunkel-grau-schwarzes, aschiges Material, ca. 2–4 cm mächtig	HF 75, 108/1989		
08004	17	grau-braunes, aschig-humoses Material; im zentralen Bereich als Schüttkegel und im Osten angehäuft; max. 25 cm mächtig	HF 108/1989	22003, 22034 (Holzkohle)	**Messergriff aus Geweih**[1265] (St. 22003)
		Sign. 08004 (ganz oben) oder 08005		21921, 22040(?)	
		Sign. 08004 bis 10456		22055, 22136	
08005	9	hell-braun-gelbes Humus-Löß-Gemisch, v. a. im Westen der Grube mächtig; 4–50 cm stark	HF 75, 84, 108, 130/1989	22050	**Reibplattenfrg.** (St. 22050)
		Sign. 08005 bis 10456		21940, 22043	
10455	1	dunkel-braunes, aschig-humoses Material, mit Holzkohleflittern durchsetzt; ca. 4–5 cm mächtig	HF 84, 108, 130/1989		
		Sign. 10455 bis 10456		22133, 22134, 22135	
		Sign. 10455 bis 08007		22137	
10456	2	rot-braunes, lehmiges Material, stark mit Hüttenlehm durchsetzt; 5–30 cm mächtig	HF 84, 108, 130/1989		
		Sign. 10456 bis 08006		21897, 21898	
08006	1	dunkelbraunes, aschig-humoses Material, mit Holzkohleflittern durchsetzt; 4–10 cm mächtig	HF 75, 108, 130/1989		
		Sign. 08006 bis 08007		21863, 22139	
08007	9	braun-humoses Material; 8–30 cm mächtig	HF 64, 75, 108, 130/1989	21848, 21855, 21963	**kleines Reibplattenfrg.** (St. 21855); **Klopfstein** (St. 21963)
10457	4	dunkelbraun-humoses Material, mit Holzkohleflittern durchflockt, 5–8 cm mächtig	HF 64, 75, 108, 130/1989		
08008	9	grau-braunes, humoses Material	HF 64, 108/1989	21768	

1264. Mit „60–64 cm unter Planum 4“ angegeben – Grube reicht jedoch nur 53 cm unter Planum 4!

1265. Unteres Ende verstärkt durch Knochen- oder Geweihteile in der Spongiosa, Penz 2006, Taf. 28/2 und Abb. 1.

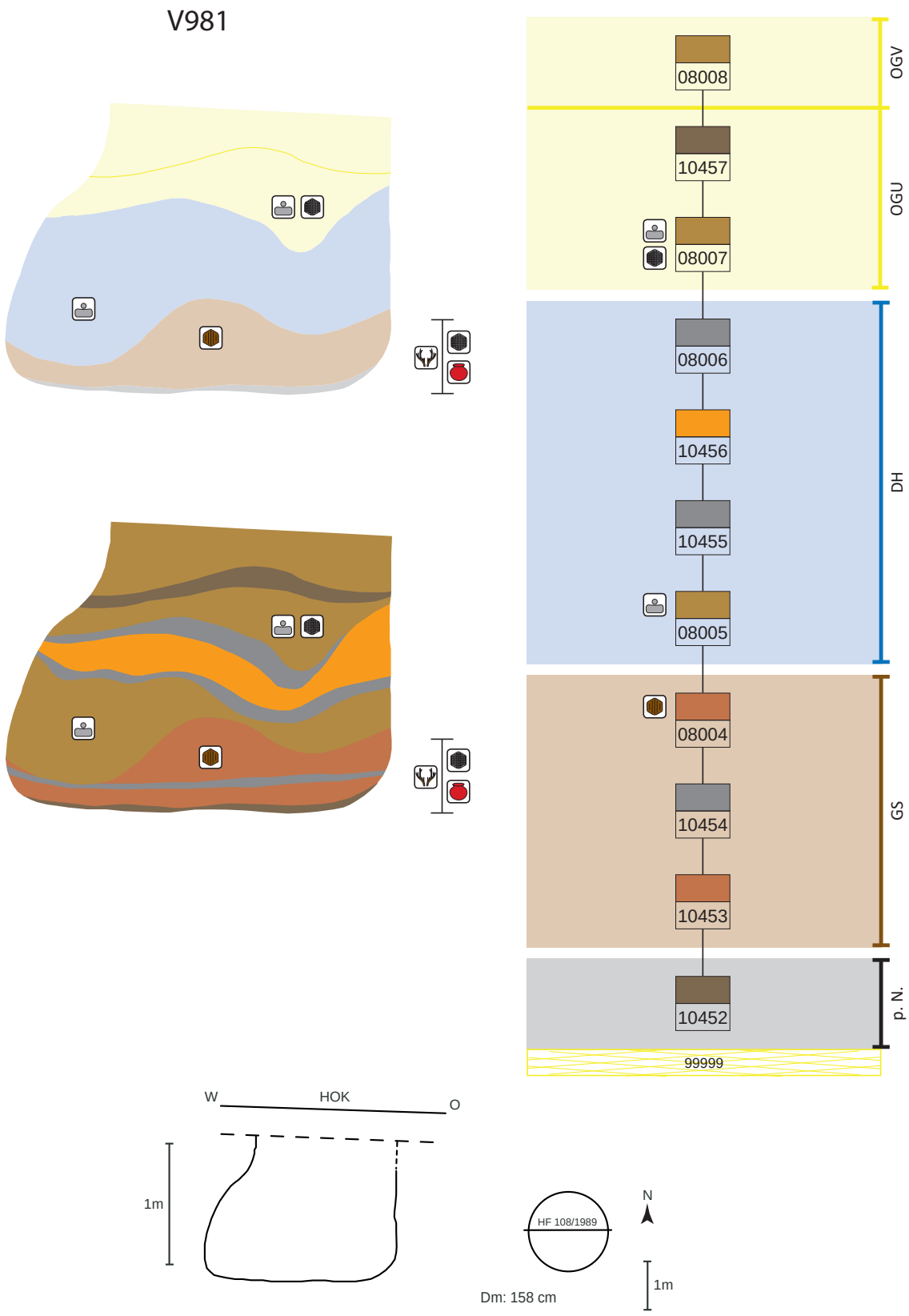


Abb. 352: V981, schematische Darstellung, Schnitt und Lage des Schnittes im Planum.

Funde V981

Ein Großteil der Keramikfunde stammt von ehemaligen Vorratsgefäßen (z. B. Taf. 4/1). Die meisten Gefäße weisen eine auffällige Magerung mit Keramikbruch auf und wurden sekundär gebrannt, so auch eine zu zwei Drittel zusammensetzbare Schale (Taf. 3/7). Einem Vorratstopf sind besonders viele Bruchstücke zuzuordnen (FNrn. St. 22134, 22133, 22136). Auffällig bei diesem Stück sind schwarze Verfärbungen bzw. Auflagen, die von Speiseresten stammen könnten. Ein weiteres sekundär gebranntes Vorratsgefäß mit Keramikbruchmagerung trägt eine verzierte Leiste auf der Schulter (Taf. 3/6 und Abb. 72). Neben Exemplaren mit Knubben (z. B. FNr. St. 22136) sind vier Scherben eines groben Gefäßes mit feinem Kammstrich auffällig (FNr. St. 21940). Eine hohe Tasse mit Henkelansatz (FNr. St. 21921) macht einen älteren Eindruck und entstammt womöglich der Früh- oder Mittelbronzezeit.

Neben Keramik und Hüttenlehm zeigen sich verhältnismäßig viele, sehr unterschiedliche Steine (FNrn. St. 21855, 21963, 21979). Einige weisen Brandspuren auf, wie das Bruchstück eines granitenen Reibsteines (FNr. St. 21855). Ein weiteres Fragment mit Benutzungsspuren stammt von einem großen grauen Flussgeröllstein. Es wurde möglicherweise als Klopf- oder Schleifstein genutzt, bevor es durch Gewalteinwirkung zerbrach (Taf. 3/5).

Aus der Grube kommen auch ein Geweihspross mit Bearbeitungsspuren (Taf. 53/2) sowie als herausragender Fund ein polierter Messergriff aus Geweih (FNr. St. 22003[1266]).

Archäologische Datierung

Die Funde erlauben nur eine ungefähre Datierung nach Ha B. Die intensive Keramikbruchmagerung der Grobware gibt einen Hinweis auf einen Datierungsansatz in Siedlungsphase II (siehe Kap. 3.1.1).

Befundinterpretation

Es handelt sich um eine ehemalige Speichergrube, die sekundär in mehreren Schritten mit humosem Material und Brandschutt verfüllt wurde.

Fundkatalog V981

21768
M8; 10 cm unter Planum 1(?)
Alte Verf. 7
Sign. 08008 (auch Teile aus V975 möglich)
Ker
KiNr.: 1/19081

21845
M8; 20 cm unter Planum 2 (Planum 2 ist 24 cm unter NO-Ecke, 6 cm über Planum 3); Nordteil
Alte Verf. 7
Sign. 08007
Ker, Kn, Stein
KiNr.: 1/19062, 2/19057, 3/19062, 8/19050

21855
M8; 18 cm unter Planum 2; Nordteil
Alte Verf. 7
Sign. 08007
Ker, Kn, Stein, Mollusken, HL, HK
- 22 KerBS, u. a. Einzugsrandschale
- 1 HL
- Reibplattenfrg.? Granit, verbrannt, 6 × 5 × 3 cm
- HK
KiNr.: 1/19080, 2/19057, 3/19058, 3/19078, 9/19003

21863
M8; 22 cm unter Planum 2; Südteil
Alte Verf. 7
Sign. 08006 bis 08007
Ker, Kn, HL
- 8 KerBS
- HL
- Stein
KiNr.: 1/19056, 1/19080, 2/19057, 3/19058

21897
M8; 32 cm unter Planum 3
Alte Verf. 7
Sign. 10456 bis 08006
Ker, Kn, HL
- 7 KerBS, grob
- w. HL
- Tierkn
KiNr.: 1/19081, 2/19024

21898
M8; 36 cm unter Planum 3
Alte Verf. 7
Sign. 10456 bis 08006
Ker, Kn, Stein
- KerBS
- Tierkn
KiNr.: 1/19103, 3/19105, 7/19102

21921
M8; 60 cm unter Planum 3
Alte Verf. 7
Sign. 08004 (ganz oben) oder 08005
Ker, Kn, Stein, HL
- hohe Tasse, Seitenteil mit Henkelansatz, F/MBZ?
- 20 KerBS, u. a. 1 WS von KHG, graf., späte BZ
- Tierkn
KiNr.: 1/19086

21940
M8; 46 cm unter Planum 3; Westteil
Alte Verf. 7
Sign. 08005 bis 10456
Ker, Kn, Stein, HL
- 4 grobe Topfunterteile mit feinem Kammstrich
- 9 KerBS
- HL
- Tierkn
KiNr.: 1/19068, 2/19008, 3/19015, 7/19021

21963
M8; 20 cm unter Planum 2; NW-Teil
Alte Verf. 7
Sign. 08007
Ker, Kn, Stein, Zie, Mollusken, HL
- 8 KerBS
- Klopfsteinfrg.
- 12 Steine, rötlich (Feuereinwirkung)
- Tierkn
KiNr.: 1/19091, 3/19096, 7/19021, 8/19097

1266. Penz 2006, Taf. 28/2.

21978
M8; 60 cm unter Planum 4 (Grubensohle nur 53 cm unter Planum 4!)
Nordteil
Sign. 08004-10452
Ker, Kn, Stein, HK
- KerBS
- Tierkn
KiNr.: 1/19103

21979
M8; 62 cm unter Planum 4; Ostteil
Alte Verf. 7
Sign. 08004-10452
Ker, Kn, Stein, Mollusken, HL
- WS von gr., graf. Schale
- KerBS (50 mittelfein, 1 grob, sek. gebr.)
.1 Reib- bzw. Klopfsteinfrg., Sandstein, Quarzit, 6 × 6 cm (Taf. 3/5)
- Tierkn
- Mollusken
KiNr.: 1/19068, 2/19057, 3/19058

22003
M8; 34 cm unter Planum 4; Ostteil; 53 cm vom Nordprofil, 160 cm vom Ostprofil
Alte Verf. 7
Sign. 08004
Horn
- Messergriff aus Geweih, poliert, am unteren Ende mehrere (8?) kl. Knochen- oder Geweihspitzen in der Spongiosa zur Verstärkung versenkt, L. 9 cm, B. 1,8 cm, Dm. 1,2 cm[1267]
KiNr.: 10/15103

22012
M8; 64 cm unter Planum 4; Westteil
Alte Verf. 7
Sign. 08004-10452
Ker, Kn, Stein, HL
.1 Miniaturschale
- Tierkn
Anpassende Fundnummer: 22136
KiNr.: 1/19068

22021
M8; 60 cm unter Planum 4; 204 cm von Osten, 0–5 cm von Norden
Alte Verf. 7
Sign. 08004-10452
Horn
- Geweihspross mit Schnittspuren, L. 16 cm, Dm. 2,5 cm (Taf. 52/2)
KiNr.: 10/19093

22022
M8; 60 cm unter Planum 4
Alte Verf. 7
Sign. 08004-10452
Ker, Kn, Stein
- 5 KerBS
- 1 rechteckiger Stein, 9 × 4,5 cm, St. 2,1 cm, mit Rinne
- Tierkn
KiNr.: 1/19065, 2/19057, 3/19015

22034
M8; 15–20 cm unter Planum 4
Alte Verf. 7
Sign. 08004
HK
- HK
KiNr.: 9/19003

22040
M8; 24 cm unter Planum 5 (4? kein Planum 5!)
Alte Verf. 7
Sign. 8004 bis 8005 – möglich auch Zuweisung zu V0972!
Kn
- Tierkn

22043
M8; 45 cm unter Planum 2
Alte Verf. 7
Sign. 08005 bis 10456
Ker, Kn, Stein, Mollusken
- KerBS
- Steine
- Schnecken
- Tierkn
KiNr.: 1/19017, 3/19014

22050
M8; 45 cm unter Planum 2; 230–240 cm von Osten, 0–10 cm von Süden (Norden?)
Alte Verf. 7
Sign. 08005 (oberer Bereich), am Westrand der Grube
Stein
- Reibplattenfrg.

22055
M8; 45–75 cm unter Planum 2
Alte Verf. 7
Sign. 08004 bis 10456
Ker, Kn, Stein, Mollusken, HL
- 1 SchulterBS mit Eindrücken
- HL
- 3 Steine, Kalkstein
- Mollusken
- Tierkn
KiNr.: 1/19069, 3/19049

22071
M8; 75–120 cm unter Planum 2 (Sohle bei 95 cm unter Planum 2!)
Alte Verf. 7
Sign. 10452 bis 08004
Ker, Kn
- KerBS
- Tierkn
KiNr.: 1/19064

22133
N8/M8; Planum 3; auf Plan HF130/1989
Alte Verf. 2
Sign. 10455 bis 10456
Ker
- w. KerBS
Anpassende Fundnummern: 22134, 22136
KiNr.: 1/19089

1267. Penz 2006, Taf. 28/2 und Abb. 1.

22134
N8/M8; Planum 3; auf Plan HF130/1989
Alte Verf. 2
Sign. 10455 bis 10456
Ker, Kn, HL
- Reste von sehr gr. Vorratsgefäß (ca. 30 RWBS), Wst. 1,4 cm, max. erh. H. 25 cm, schwarze, belagartige Auflagen randlich an einigen Scherben (innen, außen u. Bruch), evtl. Speisereste?, dort auch dunklere Verfärbung der Scherben, evtl. leicht sek. gebr., waagr. Griffleiste
Anpassende Fundnummern: 22133, 23136
- HL
- Tierkn
KiNr.: 1/19098; 2/19006

22135
N8/M8; Planum 3; auf Plan HF130/1989
Alte Verf. 2
Sign. 10455 bis 10456
Ker
.1 Schale, zerscherbt, sek. gebr. (Taf. 3/7)
KiNr.: 1/19068

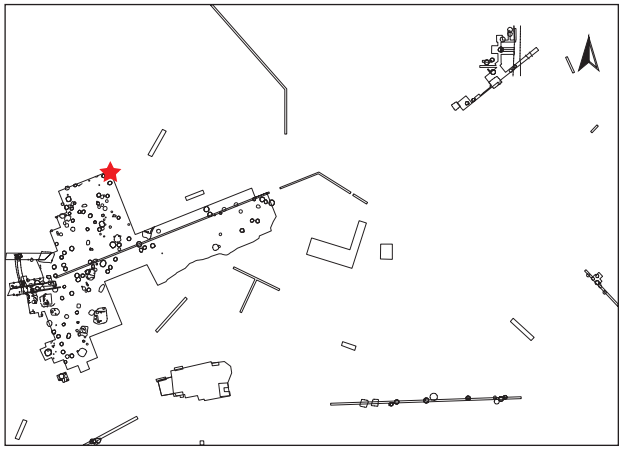
22136
N8/M8; 0–30 cm unter Planum 3
Alte Verf. 2
Sign. 08004 bis 10456
Ker, Kn, HL
.1 RS von Vorratsgefäß, auf Schulter waagr. Leiste mit 4 Knubben (Taf. 3/6 u. Abb. 72)
.2 RS von Vorratsgefäß (Taf. 4/1)
- zerscherbte Einzugsrandschale
- 2 WS von Topf mit Knubbe
- KerBS (1000 g)
- 1 HL mit Abdrücken, 1 kaum gebr. Stück
- 3 Kieselschiefer, dunkel, Quarzit, Knolle
- Tierkn
Anpassende Fundnummern: 22134, 22133
KiNr.: 1/19089, 1/19098, 2/19006, 3/19052

22137
N8/M8; Planum 2–3
Alte Verf. 2
Sign. 10455 bis 08007
Ker, Kn, HL
- 5 WS (1 mit schwarzem Belag innen)
- HL-Brocken
- Tierkn
KiNr.: 1/19068, 2/19008

22139
N8/M8; 70 cm unter HOK
Alte Verf. 2
Sign. 08006 bis 08007
Kn, HL
- HL
- Tierkn
KiNr.: 1/19069

Objekt V992 – Kegelstumpfförmige Grube

Lage	Hügelfeld Quadrant N8, Riegel N8/N9, N8/O8 (nicht gegraben)
alte Objektnr.	Verf. 8
Literatur	
Interfaces	
Signaturen (Schichtnrn.)	08009–08011, 10458–10462



Dokumentationsniveaus/Plana

Plannr.	Planum	alte Verf.	Lage/Quadrant	vertikale Einmessung		
				Ausgangspunkt	relative Tiefe	absolute Höhe in müA
HF 60/1989	Planum 2	8, 8b(?)	N8	NW N8	-68 cm	?
HF 74/1989 (Abb. 353, 354)	Planum 3	8	N8	NW N8	-90 cm	?
HF 118/1989	Planum 4	8	N8	SO(NO?) N8	-130 cm	?

Profile/Schnitte

Plannr.	alte Verf.	Hauptprofil		Schnitt	
		Orientierung	Lage/Quadrant	Bezeichnung	unter DOKN
HF 51/1989	8	Zwischenprofil	N8	CD	Planum 1 und 2
HF 93/1989	8	Zwischenprofil	N8	CD	Planum 3
HF 99/1989	8	Zwischenprofil	N8	II-I	Planum 3
HF 133/1989	8	Nordprofil	N8		Abschub
HF 134/1989	8	Westprofil	N8		Abschub

Stratigraphie V992

Das Objekt V992 wird bis in eine Tiefe von 50 cm unter NO/N8 von einer römerzeitlichen Grube (V991) sowie im Nordwesten durch den römerzeitlichen Ofen V989 gestört.[1268] Eine Pfostengrube (V990) unbekannten Alters stört zudem im südwestlichen Bereich das Objekt V992 (Abb. 354). Die Situation zwischen V992 und der ebenfalls UK-/Ha-datierenden Grube V987 ist nicht zweifelsfrei zu klären, da der Überschneidungsbereich beider Gruben im Profil nur unklar dokumentiert wurde. Aufgrund des Planumfotos (Abb. 353) kann angenommen werden, dass Grube V992 Grube V987 schneidet und somit jünger anzusetzen ist.

Grubenform

Wandverlauf	Sohlenverlauf	Übergang Sohle – Wand	primäre Nutzungsspuren	Auffälligkeiten
konische bis steilkonische Wand	leicht nach außen gewölbte Grubensohle	leicht gerundet, Sohlenrand teilweise etwas gehoben		zentrale Störung innerhalb des Objekts (Zeitpunkt unklar, Sign. 10460–10462, β)



Abb. 353: V992: Planum 3 von Quadrant N8 mit V992 im Vordergrund, Blickrichtung Süden. Gut zu erkennen ist der spätere Eingriff ins Zentrum dieser Grube mit der Lößschicht Sign. 10461 und dem dunklen Mittelpunkt (Sign. 10462) (Grabungsdokumentation Stillfried, Landessammlung Niederösterreich, Bereich Ur- und Frühgeschichte, Fotonr. ST29283).

1268. Grabungsplan HF 60/1989.

Größe und Fassungsvermögen V992

min. Dm. (d): Bereich Sign. 08011	70 cm
max. Dm. (D): Grubensohle	192 cm
max. erh. Grubentiefe (h)	128 cm
max. rek. Grubentiefe	145 cm
erh. rek. Fassungsraum der Grube	1,85 m³
rek. Fassungsraum der Grube	1,90 m³
archäolog. Datierung	Ha B

Beschreibung V992

Form im Planum annähernd kreisförmig erhalten. Die Grube erscheint trapezförmig in den liegenden Löß eingetieft, mit einer maximalen Tiefe von 145 cm unter NO/N8. An der Grubensohle zeigen sich asche- bzw. brandschutthältige Schichten (Sign. 10458, 10459), gefolgt von einer Hell-Dunkel-Einfüllung mit Einfüllrichtung von Südwesten (gegen Nordosten abfallend, Sign. 08009). Darüber befindet sich eine Ascheschicht (Sign. 08010) sowie heller Löß, der mit Humus vermischt wurde (Sign. 08011). Ein dunkles Humus-Aschebband (Sign. 10460) trennt die helle, aus fast reinem Löß bestehende obere Grubenverfüllung (Sign. 10461) ab. Im zentralen Bereich ist eine wannenförmige Eintiefung bis 58 cm über der Grubensohle zu erkennen. Sie ist zuunterst mit schwarzem, aschigem Material (Sign. 10460), Löß (Sign. 10461) sowie Brandschutt (Sign. 10462) verfüllt (Abb. 353, 354).

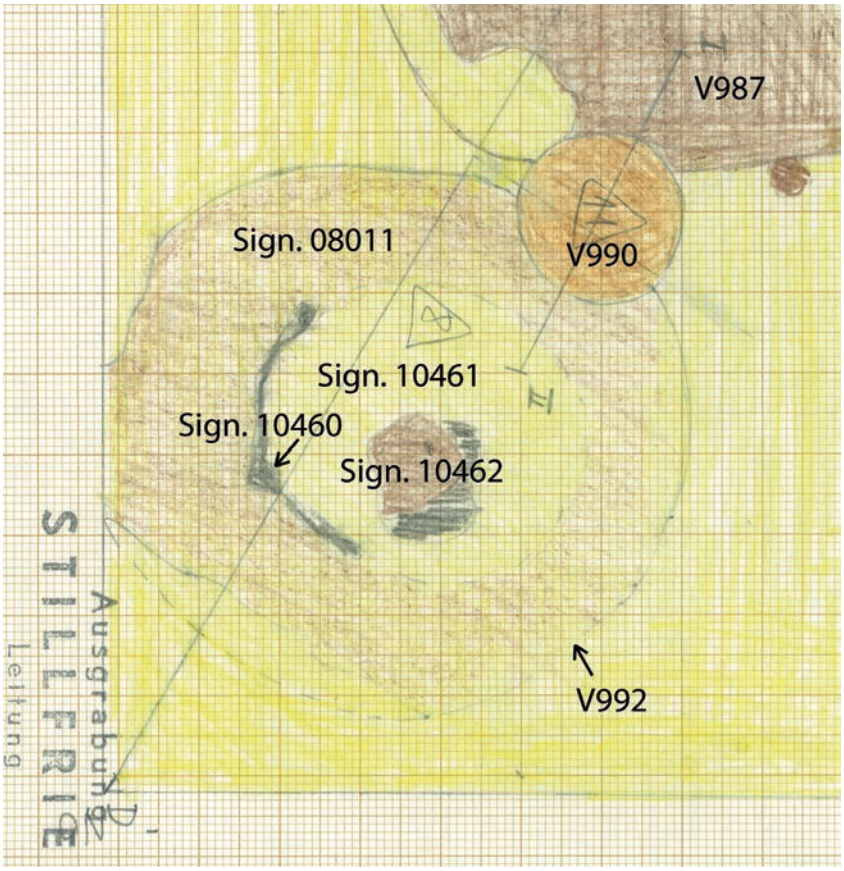


Abb. 354: V992: Zeichnung von Planum 3 von Quadrant N8 mit V992 und dem zentralen späteren Eingriff, Blickrichtung Süden (Zeichnung: E. Hanny, Universität Wien, Plannr. HF 74/1989).

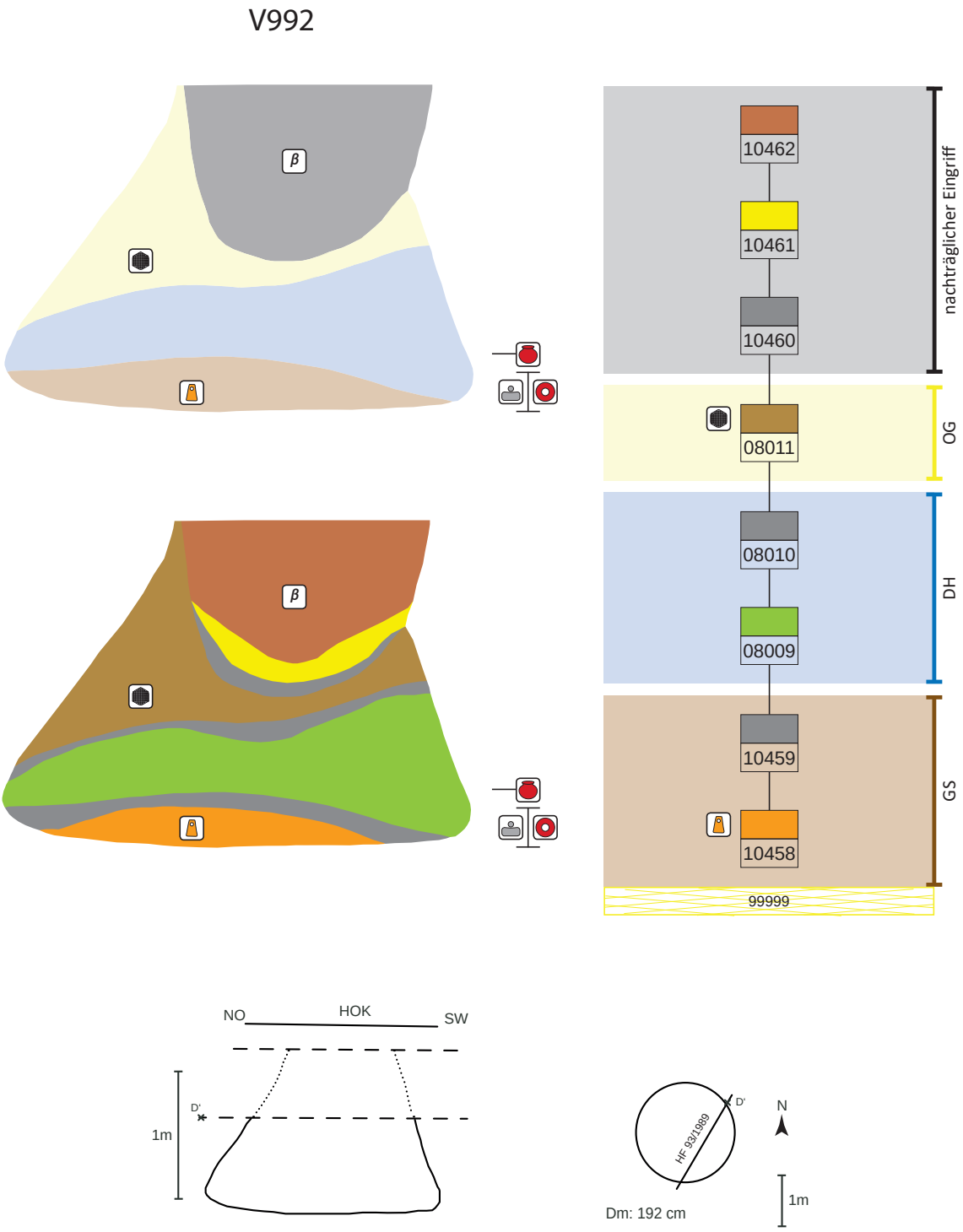


Abb. 355: V992, schematische Darstellung, Schnitt und Lage des Schnittes im Planum.

Schichtabfolge V992

Lage in der Grube	Sign.	Beschreibung	Kurzbeschreibung	besondere Funde	Höhe ab Sohle in cm
direkt auf der Grubensohle					
	10458	Brandschutt mit Hüttenlehmbrocken und Holzkohlestücken	Brandschutt, fundreich	Webgewichte, Tonring, Reibplatte, Miniaturgefäß	0–15
	10459	graue Asche	Asche		0–21
„Deponierungshorizont“					
	08009	mehrere Schichten abwechselnd braun-humoses und gelb-lehmiges Material	Humus und Löß abwechselnd, fundreich		0–58
unebene Oberkante, keine Deponierung	08010	grau-aschiges Material mit Holzkohleflittern	Asche		15–62
oberer Grubenbereich	08011	helle, gelb-braune, lehmige Verfüllung, teils kleine, humose Einschlüsse	Löß mit wenig Humus vermischt, eher fundarm		ab 20
zentraler nachträglicher Eingriff (β)					
	10460 β	schwarzes, aschiges Material, mit Holzkohle durchsetzt	Asche		bis 58 über Sohle
	10461 β	helles, gelbes, lehmiges Material	Löß, fundarm		bis 64 über Sohle
	10462 β	rot-braunes, lehmiges Material, mit Holzkohle durchsetzt	Brandschutt, fundarm		bis 72 über Sohle

Schichtbeschreibung (Sign.) V992

Sign.	Schichtschlüssel	Beschreibung	auf Plan	zugeordnete Fundnummern	besondere Funde
10458	2	rot-brauner Brandschutt mit Hüttenlehmbrocken und Holzkohlestücken als zentraler Schüttkegel; ca. 15 cm hoch	HF 93/1989	22083	**pyramidenstumpfförm. Webgewichtfrg.** (St. 22083)
10459	1	grau-aschiges Material; unsichere Schicht; ca. 4–8 cm mächtig	HF 93/1989		
		Sign. 08009 bis 10458, RS von Gebrauchskeramik, Hüttenlehm		21995, 22016, 22123, 22152(?)	**Miniaturgefäß** (St. 21995)[1269]; **Reibplattenfrg.** (St. 22123.1); **Tonringfrg.** (St. 22152; Taf. 4/2)
08009	14	mehrere Schichten (mind. acht) von abwechselnd braun-humosem und gelb-lehmigem Material, teils mit Holzkohle durchsetzt; nach Norden und Westen abfallend (am SO-Rand am mächtigsten); max. 30 cm mächtig	HF 93, 133, 134/1989		
08010	1	grau-aschiges Material, mit Holzkohle durchsetzt, 2–9 cm mächtig	HF 93, 133, 134/1989		
08011	9	helle, gelb-braune, lehmige Verfüllung, teils kleine, humose Einschlüsse; ca. 60 cm erhalten (Abb. 354)	HF 74, 93, 134/1989	21900, 21901(?)	**Steinplatte** (St. 21901)
10460	1	schwarzes, aschiges Material, mit Holzkohle durchsetzt; ca. 5 cm mächtig (Abb. 354)	HF 74, 93, 99/1989		
10461	3	helles, gelbes, lehmiges Material; ca. 8 cm mächtig (Abb. 353, 354)	HF 74, 93, 99/1989		
10462	17	rot-braunes, lehmiges Material, mit Holzkohle durchsetzt (Abb. 353, 354)	HF 74, 93/1989		

1269. Nicht auffindbar.

Funde V992

Das Miniaturgefäß (FNr. St. 21995) konnte nicht mehr aufgefunden werden und entzieht sich somit einer Auswertung. Die übrigen Keramikfunde gehören zu unspezifischen, fragmentierten Töpfen, Schalen und Tassen. Einige Stücke weisen sekundäre Brandspuren auf.

Neben einem Bruchstück eines pyramidenstumpfförmigen Webgewichts (FNr. St. 22083) stammt auch ein Tonringbruchstück (Taf. 4/2) aus der Grube.

Viele Steine weisen ebenso Brandspuren auf, dazu zählt auch ein Reibsteinfragment mit original erhaltener Seitenkante, Ober- und Unterseite (FNr. St. 22123.1, St./H. 6,5 cm).[1270]

Archäologische Datierung

Die wenigen auffindbaren Fundnummern erlauben keine genauere Datierung als Ha B.

Befundinterpretation

Bei Objekt V992 handelt es sich um eine ehemalige Speichergrube. Nach Aufgabe der Grube wurde sie mit unterschiedlichem Material verfüllt.

Fundkatalog V992

21900
N8; 24 cm unter Planum 2
Alte Verf. 8
Sign. 08011
Ker, Kn, HL
- KerBS
- HL, entsorgt
- HK
- Tierkn
KiNr.: 1/19099, 9/19003

21901
N8; 45 cm unter NO-Ecke; Schnitt CD; auf Plan HF 51 und HF 60/1989
Alte Verf. 8
Sign. 08011
Stein
- plattiger Sandstein, 24 × 18 × 6 cm, Feuereinwirkung
KiNr.: 3/19055

21995
N8; 57 cm unter Planum 3; Nordteil
Alte Verf. 8
Sign. 08009 bis 10458
Ker, Kn, Mollusken, HL
- Miniaturgefäß
- 3 RS
- Tierkn

22016
N8; 57 cm unter Planum 3; Südostteil
Alte Verf. 8
Sign. 08009 bis 10458
Ker, Kn, Stein, Mollusken, HL
- Ker-BS (1000 g), sek. gebr.
- HL mit tiefen Rutenabdrücken
- HK (bis 1,5 cm)
- mehrere kl. Kiesel
- Tierkn
KiNr.: 1/19099, 2/19008, 3/19038, 9/19003

22083
N8; 20 cm unter Planum 4
Alte Verf. 8
Sign. 10458
Ker, Kn, HL, gebr. Lehm, HK
- Schale
- pyr. WG-Frg., 8 cm
- HL mit Abdrücken
- Tierkn
KiNr.: 2/19006, 12/19007

22123
N8; 0–20 cm unter Planum 4; östlich des Zwischenprofils DC
Alte Verf. 8
Sign. 08009 bis 10458
Ker, Kn, Stein, HL
- Reibplattenfrg., Granit, mit erh. Seitenkante, L. 12 cm, B. 5 cm, St. 6,5 cm
- mergelart. Stein mit Feuerspuren auf Auflagefl.
- Steine mit Feuereinwirkung
- HL mit Abdrücken
- HK
- Tierkn
KiNr.: 2/19005, 3/19052, 9/19003

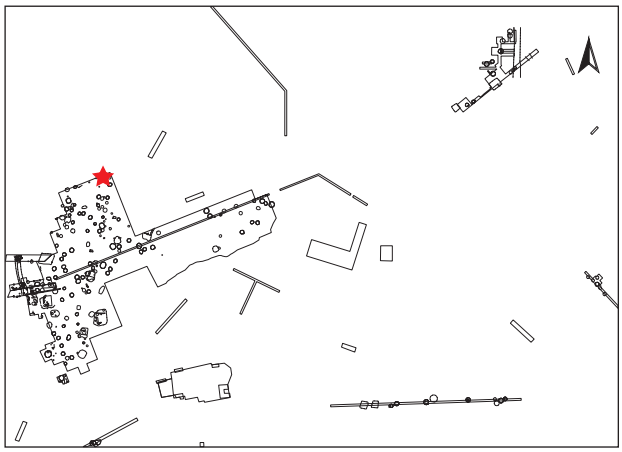
22148
N8; 10 cm unter Planum 4; 235 cm von Norden, 100 cm von Osten
Alte Verf. 8, 9
Wahrscheinlich in V987!
Bronze
- Bronzenadel

22152
N8; 0–20 cm unter Planum 4, östlich von Schnitt DC
Alte Verf. 8, 9
Sign. 08009 bis 10458 (Möglichkeit der Mischung mit V987)
Ker, Kn, Mollusken, HL
- KerBS (250 g)
.1 Tonringfrg., erh. L. 5,6 cm, B. 2,95 cm, St. 2 cm (Taf. 4/2)
- HL mit Abdrücken
- Tierkn
KiNr.: 1/19083, 2/19005, 3/19042, 12/19007

1270. Zuordnung zu V992 fraglich (aufgrund der Steinzurichtungsart, die bereits für späteisenzeitliches Handwerk spricht).

Objekt V994 – Kegelstumpfförmige Grube mit Deposition einer verendeten jungen Hirschkuh

Lage	Hügelfeld Quadrant N8
alte Objektnr.	Verf. 10
Literatur	Artner 1996, 174. – Pucher 2017, 216. – Hellerschmid, Griebl in Vorbereitung. – Pucher in Vorbereitung.
Interfaces	1309
Signaturen (Schichtnrn.)	10230–10232, 10236, 10238–10240, 10477



Dokumentationsniveaus/Plana

Plannr.	Planum	alte Verf.	Lage/Quadrant	vertikale Einmessung		
				Ausgangspunkt	relative Tiefe	absolute Höhe in müA
HF 74/1989	Planum 3	10	N8	NW N8	-89 cm	194,61
HF 118/1989	Planum 4	10	N8	NW N8	-152 cm	193,98
HF 128/1989	Planum 5–1	10	N8	NW N8	-185 cm	193,65
HF 129/1989	Planum 5-2	10	N8	NW N8	-185 cm	193,65

Profile/Schnitte

Plannr.	alte Verf.	Hauptprofil		Schnitt	
		Orientierung	Lage/Quadrant	Bezeichnung	unter DOKN
HF 90/1989	10	Zwischenprofil	N8	NB	Planum 3
HF 93/1989	10	Zwischenprofil	N8	N´B´	Planum 4
HF 131/1989 (Abb. 356)	10	Westprofil	N8		HOK

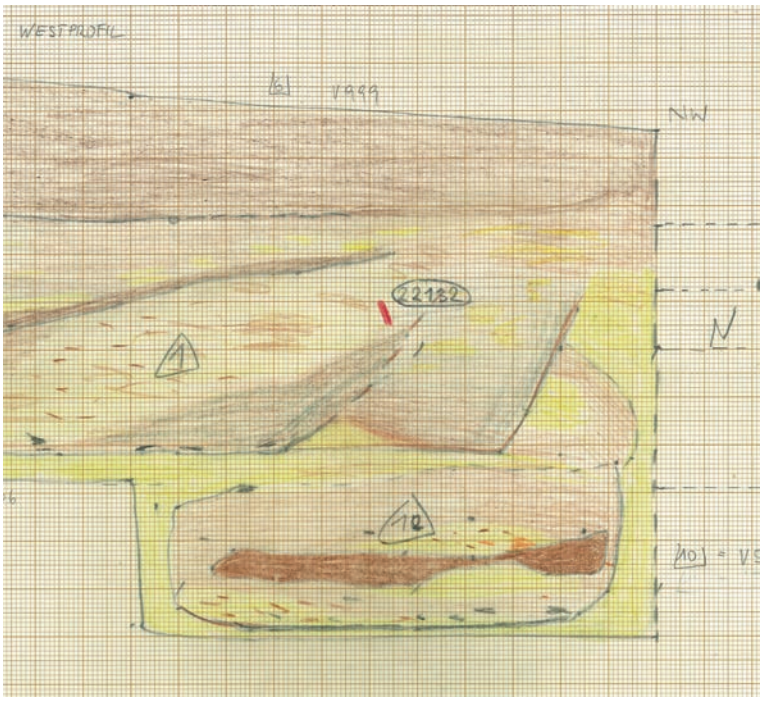


Abb. 356: V994: Ausschnitt des Westprofils von Quadrant N8 mit V994 (alte Verfärbungsnr. 10). Gut auszumachen ist die Lößschicht Sign. 10239 in der oberen Grubenhälfte, die den unteren Grubenbereich von der seitlich erweiterten oberen Grubenhälfte trennt (Zeichnung: W. Antl, Universität Wien, Plannr. HF 131/1989).

Stratigraphie V994

Grube V994 wird durch das mittelalterliche Objekt V997 bis in eine Tiefe von 140 cm/HOK gestört (Abb. 356, 357).

Grubenform

Wandverlauf	Sohlenverlauf	Übergang Sohle – Wand	primäre Nutzungsspuren	Auffälligkeiten
senkrechte Wand, darüber seitliche Ausbauchung und konisch einziehende Wand	waagrecht	regelmäßig gerundet		Erweiterung im Wandverlauf – weitere Grubensohle?

Größe und Fassungsvermögen V994

min. Dm. (d): Bereich Sign. 10240	ca. 125 cm
max. Dm. (D): Bereich Sign. 10236	230 cm
max. erh. Grubentiefe (h)	170 cm
max. rek. Grubentiefe	ca. 210 cm
erh. rek. Fassungsraum der Grube	4,33 m³
rek. Fassungsraum der Grube	4,59 m³
archäolog. Datierung	Ha B3
Zuordnung zu Siedlungsphase	III/I

Schichtabfolge V994

Lage in der Grube	Sign.	Schichtschlüssel	Beschreibung	Kurzbeschreibung	besondere Funde	Höhe ab Sohle in cm
direkt auf der Grubensohle						
	10230	1	schwarze, dünne Ascheschicht	Ascheband	**halber Tonring** (St. 22117)[1271]; **halbierte Sandsteinplatte (Schleifplatte) mit Feuerspuren**[1272] (St. 22117; Taf. 53/4, 5)	0–5
	10231	9	punktueller humoser Schüttkegel mit gebranntem Lehm	humoser Schüttkegel		5–20
„Deponierungshorizont“						
waagrechte Oberkante	10232	9	humos mit Holzkohlebröckchen	humos, fundreich		5–25
Tierdeposition	IF1309	D	Deposition einer jungen Hirschkuh[1273], einer Verletzung erlegen	**abgelegter Kadaver einer Hirschkuh**		25–45
	10477	1	Aschehäufchen im Bereich des Brustbeines des Tieres	Aschehäufchen		25–30
	10236	9	humoses, lehmiges Material	humos, lehmig, eingeschlämmt?		30–45
oberer Grubenbereich						
waagrechte Oberkante	10238	14	lehmig-humos	Hell-Dunkel-Einfüllung, fundreich	**zerborstene (Kalk)Steinplatte** (St. 22001;[1274] Taf. 54/1)	45–65
Erweiterung im Wandverlauf – zweite, vorgetäuschte Grubensohle?	10239	3	lehmig-lößig	reine Lößeinfüllung		60–75
	10240	14	humos, locker (dunkelbraun), mit Löß und Asche-einschlüssen	Hell-Dunkel-Einfüllung, fundarm		75–120

1271. Hellerschmid, Griebl in Vorbereitung.

1272. Es handelt sich um eine alte Abtrennung, da die senkrechte Bruchkante versintert ist, abgerundete Kanten aufweist und sich nicht von der Steinoberfläche unterscheidet. Das Plattenteilstück ist seinerseits noch in zwei ungleiche Hälften zerbrochen, die unterschiedlichen Lagerungsbedingungen ausgesetzt waren.

1273. FNrn. St. 22081, 22090 usw. – Pucher in Vorbereitung (Kap. 2.1.5.7).

1274. B. 18 cm; mineralogische Bestimmung steht aus.

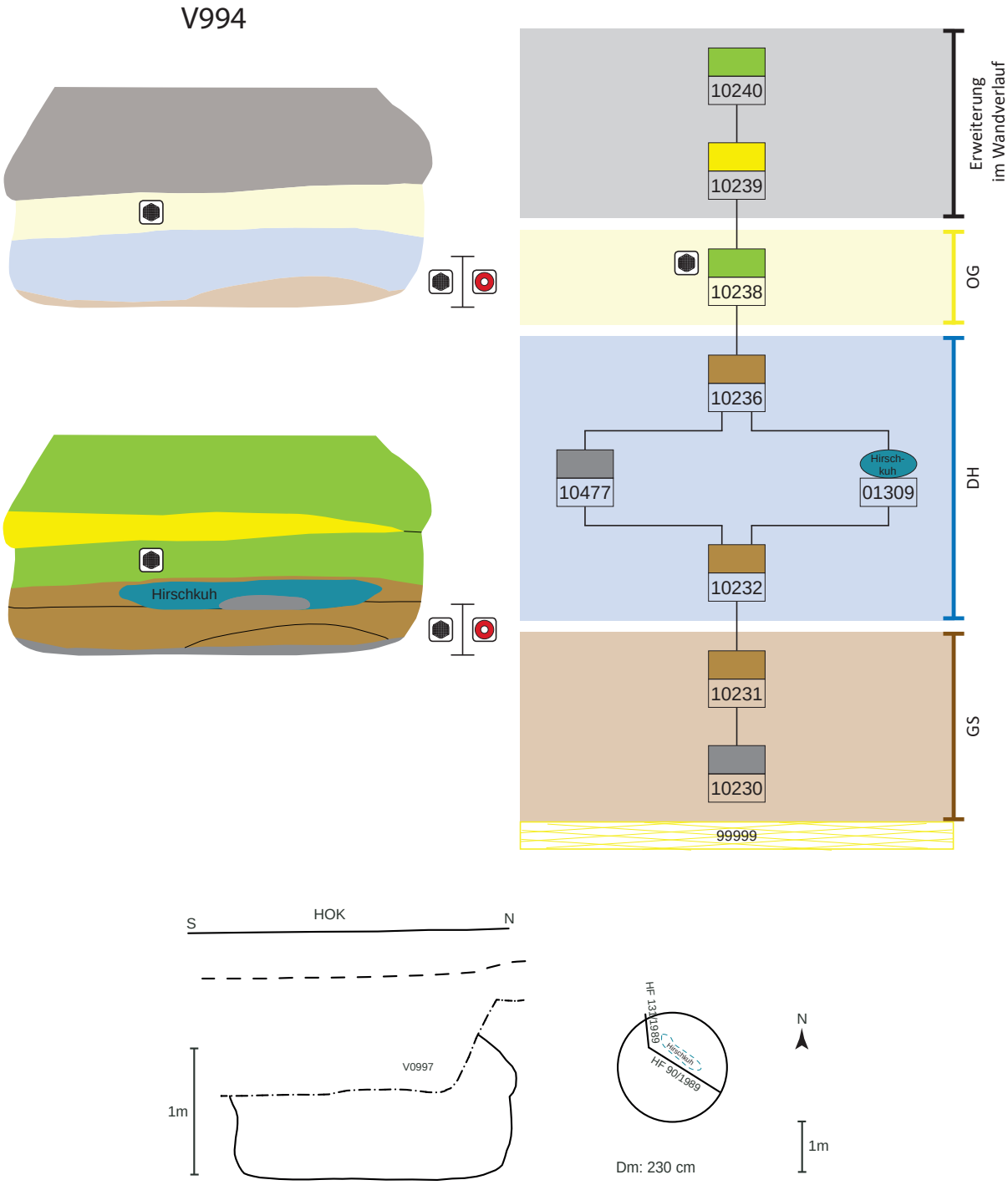
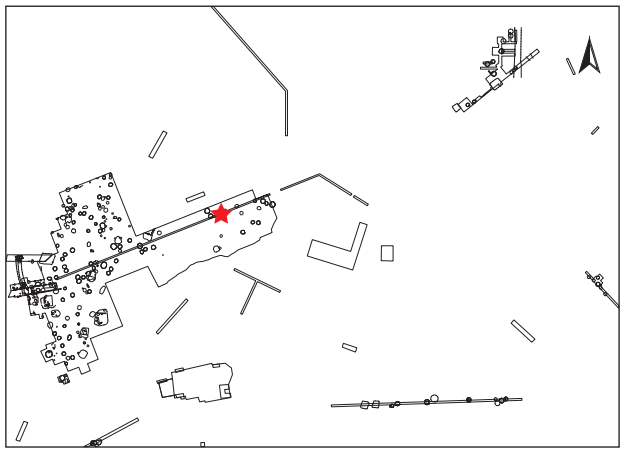


Abb. 357: V994, schematische Darstellung, Schnitt und Lage des Schnittes im Planum.

Objekt V1008 – Kegelstumpfförmige Grube mit Haushund

Lage	Hügelfeld-Suchschnitt Lfm. 93–94; Quadrant G16
alte Objektnr.	o. Nr.
Literatur	Pucher 1986, 34–35. – Hellerschmid, Griebl in Vorbereitung.
Interfaces	2337
Signaturen (Schichtnrn.)	00528, 00532



Profile/Schnitte

Plannr.	alte Verf.	Hauptprofil		Schnitt	
		Orientierung	Lage	Bezeichnung	unter DOKN
HF 41/1970	o. Nr.	Südprofil	Hügelfeld-Suchschnitt		HOK

Stratigraphie V1008

Das Objekt V1008 wird durch die große mittelalterliche Entnahmegrube V259 geschnitten (Abb. 358).

Grubenform

Wandverlauf	Sohlenverlauf	Übergang Sohle – Wand	primäre Nutzungsspuren
konisch	waagrecht	schwach gerundet	

Größe und Fassungsvermögen V1008

min. Dm. (d): Bereich Sign. 00532	145 cm
max. rek. Dm. (D): Sign. 00528	300 cm
max. erh. Grubentiefe (h)	190 cm
max. rek. Grubentiefe	210 cm
erh. rek. Fassungsraum der Grube	7,68 m³
rek. Fassungsraum der Grube	7,84 m³
archäolog. Datierung	Ha C?[1275]
Zuordnung zu Siedlungsphase	IV

1275. Vor allem aufgrund des Bruchstücks einer rot engobierten (Kragenrand)Schüssel (FNr. St. 617), welche die ältere Hallstattzeit charakterisiert, Stegmann-Rajtár 1992, 73. Das Schüsselbruchstück hat dieselbe Fundnummer wie das Hundeskelett. – Hellerschmid, Griebl in Vorbereitung.

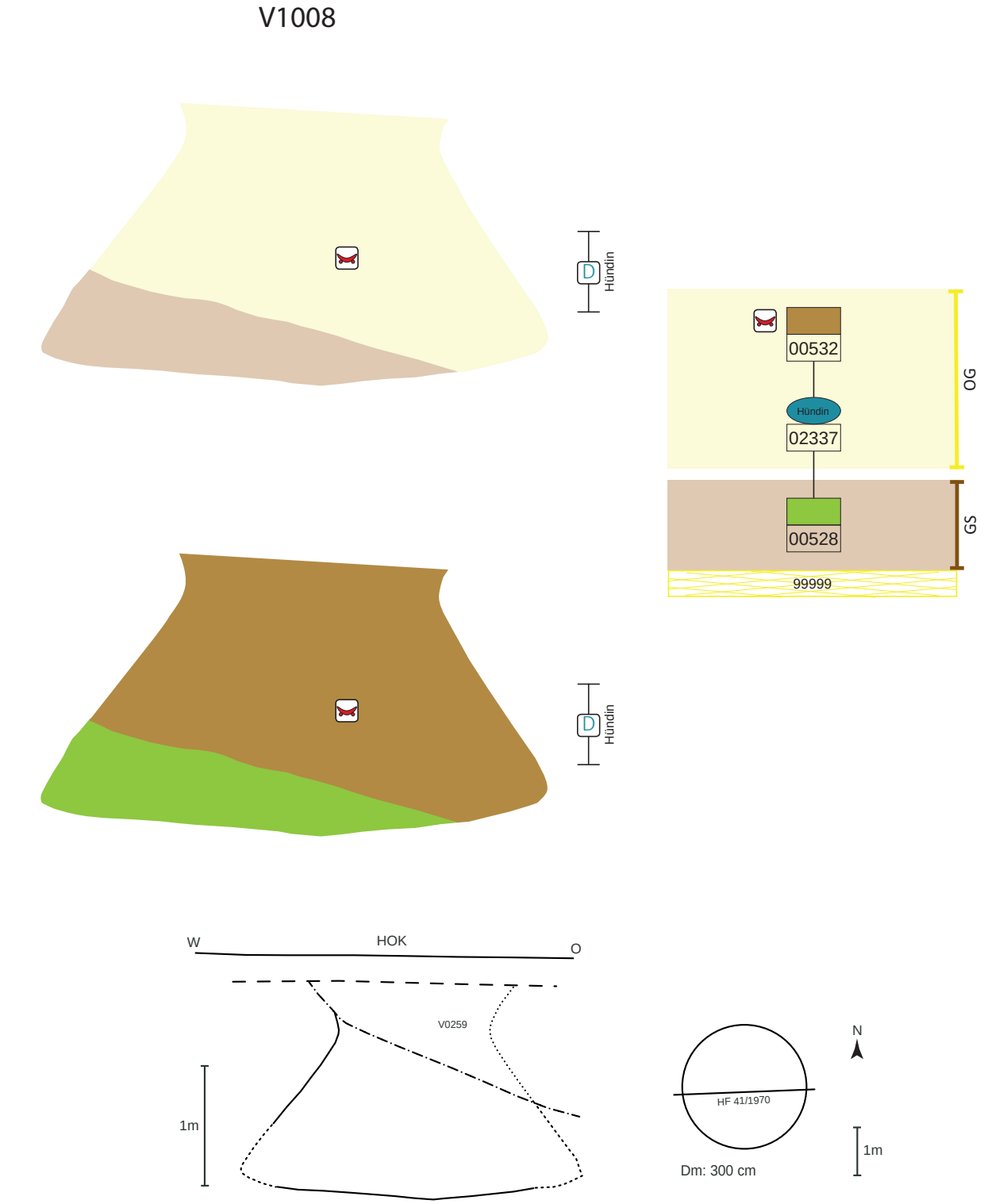


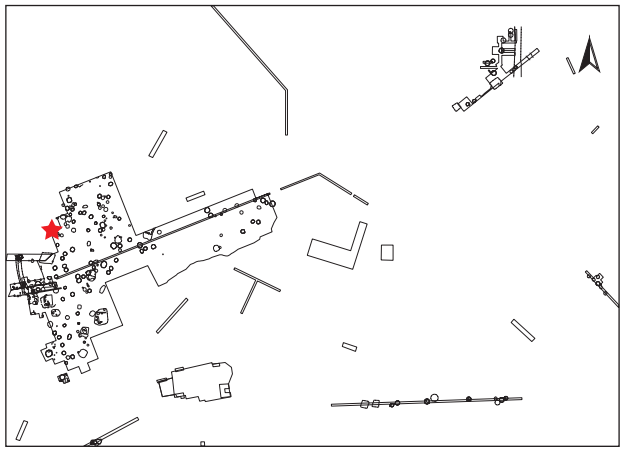
Abb. 358: V1008, schematische Darstellung, Schnitt und Lage des Schnittes im Planum.

Schichtabfolge V1008

Lage in der Grube	Sign.	Schicht-schlüssel	Beschreibung	Kurzbeschreibung	besondere Funde	Höhe ab Sohle in cm
direkt auf der Grubensohle	00528	14	humos-aschige Einfüllung, unterbrochen durch große Lößkeile	Hell-Dunkel-Einfüllung		0–55
„Deponierungs-horizont“						
Tierdeposition	IF2337	D	Deponierung(?) einer älteren Hündin (8–10 J.)[1276] mit asymmetrischen Gebiss-abnützungen und verheilten Verletzungen am postkranialen Skelett; Parallelerscheinungen mit den Wolfs- und Fuchsskeletten[1277]	**unvollständiger Hundekadaver, Fundsituation unbekannt**; SchulterBS einer rot engobierten (Kragenrand) Schüssel (St. 617; Abb. 27)		
oberer Grubenbereich	00532	9	humose, fundreiche Einfüllung: Keramikbruchstücke, Tierknochen, Hüttenlehm	humos, fundreich, darunter RS von feinkeramischer Schale mit Grafitstreifenmalerei[1278]	**Feuerbockfrg.** mit Feuereinwirkung (St. 617)	0–190

Objekt V1015 – Kegelstumpfförmige Grube

Lage	Hügelfeld Quadrant L3, Riegel L2/3, L3/M3
alte Objektnr.	Verf. 3
Literatur	Hellerschmid 2006. – Penz 2006.[1279]
Interfaces	
Signaturen (Schichtnrn.)	09010–09012, 10394–10397



Dokumentationsniveaus/Plana

Plannr.	Planum	alte Verf.	Lage/Quadrant	vertikale Einmessung		
				Ausgangspunkt	relative Tiefe	absolute Höhe in müA
HF 31/1986	Planum 2	3	L3	NW L3	-119 cm	196,24
HF 18/1987	Planum 3	3	L3	NW L3	-130 cm	196,13
HF 26/1987	Planum 4	3	L3	NW L3	-160 cm	195,83
HF 30/1987	Planum 5	3	L3	NW L3	-184 cm	195,59

Profile/Schnitte

Plannr.	alte Verf.	Hauptprofil		Schnitt	
		Orientierung	Lage/Quadrant	Bezeichnung	unter DOKN
HF 34/1987	3	Westprofil	L3		Abschub
HF 44/1987	3	Nordprofil	L3		Abschub

1276. FNr. St. 617. – Pucher 1986, 34.

1277. Pucher 1986, 34.

1278. Hellerschmid, Griebl in Vorbereitung, V1008, Abb. 3 (FNr. St. 565).

1279. Bei Hellerschmid 2006 und Penz 2006 hat die Grube die Nummer V788A.

Stratigraphie V1015

Grube V1015 wird bis etwa 1 m unter der NW-Ecke von Quadrant L3 durch ein (mittelalterliches) Objekt (V788) gekappt (Abb. 359). Über einem weiteren Kappungshorizont liegt rezenter Humus.

Grubenform

Wandverlauf	Sohlenverlauf	Übergang Sohle – Wand	primäre Nutzungsspuren
im unteren Bereich steilkonisch, darüber konische Wand (stempelförmig)	waagrechte Grubensohle	gerundet	(verkohlte) Überreste der Einfüllung(?) (Sign. 10394)

Größe und Fassungsvermögen V1015

min. Dm. (d): Bereich Sign. 09012	ca. 125 cm
max. Dm. (D): Grubensohle (ca. 30 cm oberhalb)	ca. 180 cm
max. erh. Grubentiefe (h)	84 cm
max. rek. Grubentiefe	180 cm
rek. Fassungsraum der Grube	2,07 m³
archäolog. Datierung	Ha B2–3
Zuordnung zu Siedlungsphase	II–III/1

Schichtabfolge V1015

Lage in der Grube	Sign.	Schicht-schlüssel	Beschreibung	Kurzbeschreibung	besondere Funde	Höhe ab Sohle in cm
direkt auf der Grubensohle						
primäre Nutzungs-spuren	10394	1	dünnes Band aus dunkelgrauem, humos-aschigem Material	Reste der ursprünglichen Nutzung, fundarm(?)		0–2
Einfüllung	10395	3	gelb-lehmiger Schüttkegel, mit Hüttenlehm und Asche durchsetzt	hauptsächlich Löß mit sehr wenig Brandschutt vermischt, fundarm		2–20
„Deponierungs-horizont“						
	09010	2	rot-braunes bis dunkelgraues, aschiges Material, mit Holzkohle und Hüttenlehm durchsetzt	Brandschutt, teils Funde(?)	**Perlmuttringlein**[1280] (St. 20865); **Bronzeknöpfchen**[1281] (St. 20867); **Knochenkamm**[1282] (St. 20817)	2–31
	09011	1	grau-aschiges Material, mit Holzkohle durchsetzt	Asche, teils Funde(?)		18–65
waagrechter Zentral-bereich, keine Deponierung	10396	2	rot-braunes, lehmiges Material, stark mit Hüttenlehm und Holzkohle durchsetzt	Brandschutt, teils Funde(?)		
oberer Grubenbereich						
	10397	1	grau-aschiges Material, mit Holzkohle durchsetzt	Asche		35(?)–85
	09012	17	uneinheitliches, braun-humoses Material, mit Hüttenlehmbröckchen und Lößbrocken durchsetzt	Humus-Löß-Brandschutt-Gemisch, fundarm(?)		ab 8

1280. Penz 2006, Taf. 21/4. Dm. 0,8 cm.

1281. Nicht auffindbar.

1282. Nicht auffindbar.

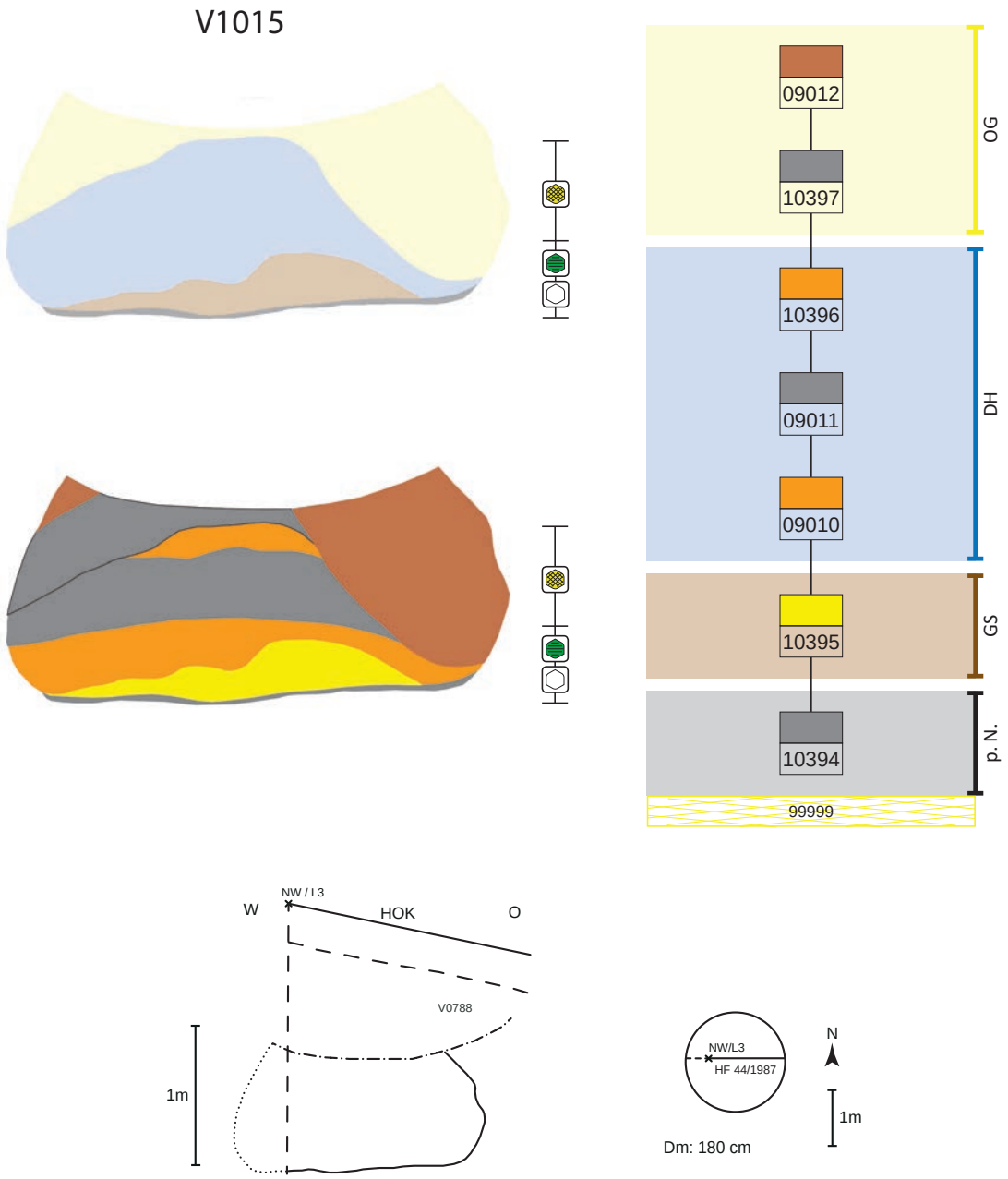
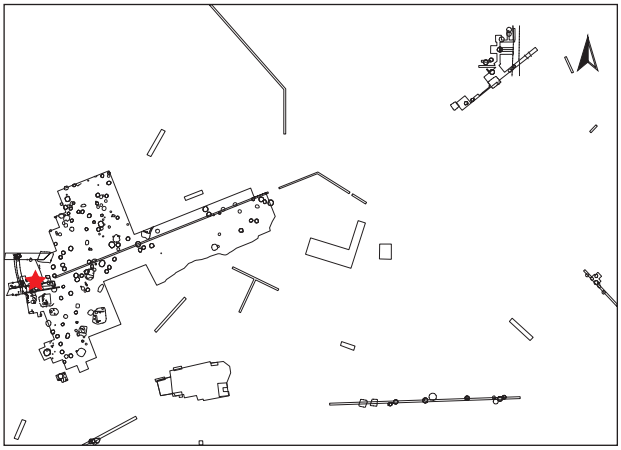


Abb. 359: V1015, schematische Darstellung, Schnitt und Lage des Schnittes im Planum.

Objekt V1138/V1212 – Kegelstumpfförmige (Aschen)Grube mit verstürztem Kuppelofen V1212 und Nachweis von in Töpfen überhitztem Birkenpech

Lage	westlicher Abschnittswall zwischen Nordprofil-Schnitt II/1974 und Nordprofil-Schnitt IIa/1978, Lfm. 7,2–10
alte Objektnr.	Verf. 3
Literatur	Weiser 1980. – Barg 1987, 89–90 (Grube 7, „Opfergrube"). – Felgenhauer 1996, 15. – Sauter, Jordis, Hayek 1996. – Hellerschmid 2006. – Penz 2006. – Brandl, Martinez in Vorbereitung. – Hellerschmid, Griebl in Druck.
Interfaces	
Signaturen (Schichtnrn.)	00296–00301, 10130–10132, 10134, 10135, 10245–10247, 10249



Dokumentationsniveaus/Plana

Plannr.	Planum	alte Verf.	Lage/Quadrant	vertikale Einmessung		
				Ausgangspunkt	relative Tiefe	absolute Höhe in müA
WW 8/1978	Planum 1	3	Nordprofil-schnitt IIa	Nordprofil-Schnitt IIa/1978	-225 cm	?
WW 13/1978	Planum 2	3	Nordprofil-schnitt IIa	Nordprofil-Schnitt IIa/1978	-311 cm	?
WW 17/1978 (Abb. 361)	Planum 3	3	Nordprofil-schnitt IIa	Nordprofil-Schnitt IIa/1978	-350 cm	?

Profile/Schnitte

Plannr.	alte Verf.	Hauptprofil		Schnitt	
		Orientierung	Lage/Quadrant	Bezeichnung	unter DOKN
WW 13/1978 (Abb. 361)	3	Zwischenprofil (Nordprofil)	Nordprofilschnitt IIa	AB	Planum 1
WW 18/1978 (Abb. 361)	3	Zwischenprofil (Nordprofil)	Nordprofilschnitt IIa		Planum 2
WW 13/1978 (Abb. 360)	3	Zwischenprofil (Südprofil)	Nordprofilschnitt IIa	CDF	Planum 1
WW 18/1978 (Abb. 360)	3	Zwischenprofil (Südprofil)	Nordprofilschnitt IIa		Planum 2

Stratigraphie/Interpretation V1138/V1212

Die kegelstumpfförmige Grube V1138 wurde östlich der Ofenreihe[1283] am inneren Wallfuß angelegt (Abb. 13). Sie lässt sich in einen unteren, ungestörten Bereich und einen oberen, stark veränderten Abschnitt gliedern. Die schüttkegelartigen Einfüllungen aus waagrechten Ascheschichten im Sohlenbereich (Sig. 10245–10247, 10135) sprechen dafür, dass V1138 als Aschengrube für die westlich angrenzende Ofenreihe (konkret für V1212) verwendet wurde. Eine diesbezügliche Nutzung über die Siedlungsphasen III/1 und III/2 hinweg erscheint möglich und vorstellbar.

Im Zuge einer gewaltigen Feuerzerstörung, die das Ende der Wallanlage bedeutete, brachen die Grubenwände von V1138 ein und der vernichtete Kuppelofen V1212 wurde in die halbverfüllte Grube V1138 verfrachtet bzw. geschoben (Abb. 360, 361).

In der feinen Aschenlage Sign. 10135 fanden sich die Überreste von zwei großen, zerbrochenen (Koch)Töpfen, die mit (überhitztem) Birkenpech gefüllt waren (Abb. 361 und Taf. 55/1–2, 4). Sie könnten vom letzten Ofenbetrieb stammen und zu allererst in Grube V1138 entsorgt worden sein. Die darüber befindliche, ebenfalls aschereiche Schicht 10134 wird bereits mit den Aufräumarbeiten nach dieser Zerstörung in Verbindung gebracht (am Ende von Siedlungsphase III/2 bzw. am Beginn von Siedlungsphase IV), bevor der ganze Ofenkörper folgte.

1283. Die Ofenreihe wird aus den schlüssellochförmigen Öfen V1143–1145, V1172 und V1220 sowie den runden Kuppelöfen V1212 und V1217 gebildet. Letztere werden in Siedlungsphase III gestellt, wobei V1212 schlussendlich in V1138 entsorgt wurde. Die schlüssellochförmigen Öfen werden Siedlungsphase II zugewiesen, also zeitgleich mit dem ersten Wallkörper. – Hellerschmid, Griebl in Druck.



Abb. 360: V1138/V1212: Südprofil. Das Foto zeigt den bemerkenswerten Doppelbefund V1138/V1212. Er wird bestimmt durch die teilverfüllte, kegelstumpfförmige Grube V1138, die wahrscheinlich als Aschengrube diente (untere Hälfte). Wohl im Zuge der endgültigen Zerstörung der Wallanlage durch Brand brachen die Wände ein, die dann gemeinsam mit den Überresten des (Kuppel)Ofens V1212 die Grube vollständig ausfüllten (Grabungsdokumentation Stillfried, Landessammlung Niederösterreich, Bereich Ur- und Frühgeschichte, Fotonr. ST01894).



Abb. 361: V1138/V1212: Nordprofil und Planum 3. Die Scherbenansammlung der zerbrochenen Kochtöpfe in Grubensohlennähe ist im Vordergrund rechts gut zu erkennen. In den Töpfen wurde Birkenpech erhitzt, was diesen Klebstoff unbrauchbar machte (Grabungsdokumentation Stillfried, Landessammlung Niederösterreich, Bereich Ur- und Frühgeschichte, Fotonr. ST01888).

Grubenform

Wandverlauf	Sohlenverlauf	Übergang Sohle – Wand	primäre Nutzungsspuren	Auffälligkeiten
konischer bis steilkonischer Wandverlauf	annähernd waagrecht	gerundet		massive Zerstörung der oberen Grubenwände

Größe und Fassungsvermögen V1138

min. Dm. (d): Bereich Sign. 10134	120 cm
max. Dm. (D): Sign. 10135	250 cm
max. erh. Grubentiefe (h)	150 cm
max. rek. Grubentiefe	220 cm
erh. rek. Fassungsraum der Grube	4,19 m³
rek. Fassungsraum der Grube	4,61 m³
archäolog. Datierung des Grubeninhalts (Verwendung als Aschengrube)	Ha B3 früh
^{14}C-Datierung	Poz-59965[1284]: 2760 ± 30 BP [994 (95,4 %) 831 BC, Mw. 913 BC]
Zuordnung zu Siedlungsphase (V1138)	III/1–III/2
Zeitpunkt der endgültigen Verfüllung mit Ofen V1212	Ende von III/2[1285]

1284. Probe FNr.St. 7673, menschliche Knochen aus Übergangsbereich V1138/V1212.

1285. Durch die räumliche Nähe dieser Grube zur Ofenreihe am Wallinnenfuß gehen wir von einer Funktion als Arbeits- bzw. Aschengrube aus (keine Getreidespeichergrube). Das letztendliche Hineinschieben/Entsorgen der Ofenreste V1212 in V1138 wird mit Aufräumarbeiten nach der Brandzerstörung des letzten Wallbaues am Ende der Siedlungsphase III/2 in Zusammenhang gebracht, Hellerschmid, Griebl in Druck.

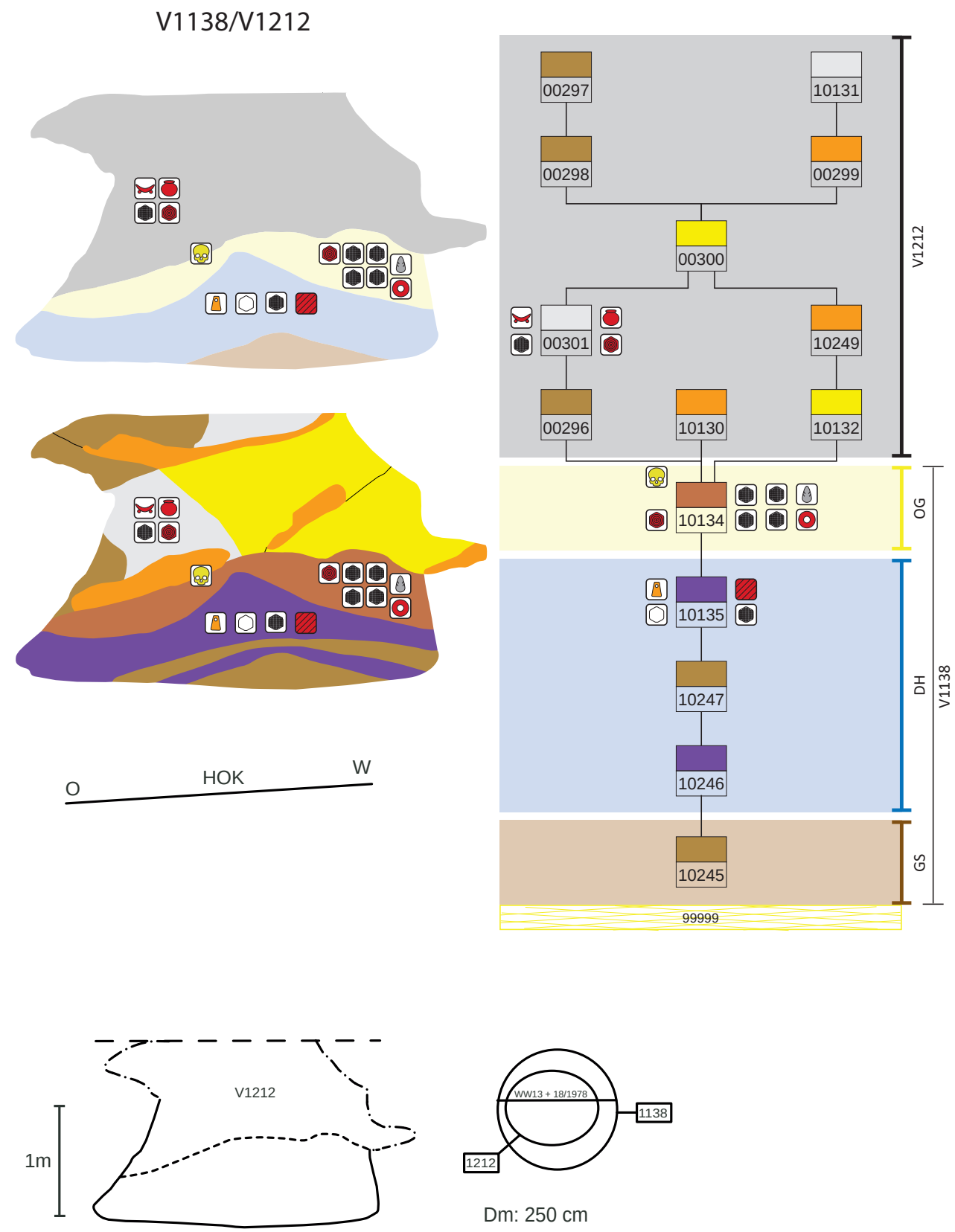


Abb. 362: V1138/V1212, schematische Darstellung, Schnitt und Lage des Schnittes im Planum.

Schichtabfolge V1138/V1212

Lage in der Grube	Sign.	Schicht-schlüssel	Beschreibung	Kurzbeschreibung	besondere Funde	Höhe ab Sohle in cm
direkt auf der Grubensohle						
V1138	10245	9	lehmig mit Holzkohle-flittern	zentrale Einschüttung		0–20
„Deponierungs-horizont“						
V1138	10246	16	Ascheband	Aschelage auf Sign. 10245		0–25
V1138 schüttkegelartige Oberkante	10247	9	lehmig, mit Holz-kohleflittern (wie Sign. 10245)	lehmig-lößige Schicht auf Sign. 10246		0–30
V1138 schüttkegelartige Oberkante	10135	16	mächtige, gebänderte Lage aus feinen weißlichen Ascheschichten, Holzkohlebändern und hellen Humusbändern bzw. -einschlüssen; darin zerbrochene Vorratstöpfe, Tierknochen, Steine	alles überlagernde, mit Humus und Holzkohle gebänderte Asche-schicht; im östlichen Wandbereich Anhäufung von zerbrochenen Kochtöpfen, die mit Birkenteer gefüllt waren (Abb. 361 rechts), fundreich	**zerscherbte, große Kochtöpfe, die mit überhitztem Birkenpech gefüllt waren**[1286] (Taf. 55/1–2, 4); **pyramidenstumpfförm. Webgewichtfrg.** (St. 7671; Taf. 56/1); **plattiger Sandstein** (St. 7662)	0–65
oberer Grubenbereich						
V1138 schwach schüttkegelartige Oberkante	10134	17	humose Einfüllung mit Holzkohlebändern und Asche, abschließendes, mächtiges Holzkohleband, Keramikbruchstücke, Tierknochen, Mollusken, Hüttenlehm, Steine	humose Schicht mit Holzkohle und abschließendem, mächtigen Holzkohleband, fundreich	**Tonringfrg.** (St. 7637; Taf. 55/5); **Frg. von scheibenförm. Gegenstand** (St. 7642; Taf. 56/2); **Silex** (St. 7642; Taf. 56/3); **Schleifsteinfrg.** (St. 7642); **Sandsteinsonderform**[1287] (kegelförm., St. 7642; Taf. 56/4); **plattenförm. Stein** (St. 7637; Taf. 56/5); **Rötelstein** (St. 7639; Taf. 56/6)	30–78
V1138/V1212 Übergangsbereich					**menschliche Knochen** (St. 7672, 7673)[1288]	

1286. FNrn. St. 7616, 7617, 7620, 7662, 7669 (siehe Plan WW 17, 18/1978), anpassend bzw. dazugehörend: FNrn. St. 7555, 7558, 7637, 7639. Proben von den schwarzen, innenseitig anklebenden Resten konnten als thermisch verändertes Birkenpech bestimmt werden, wodurch Birkenpech seinen charakteristischen thermoplastischen Charakter verliert (fehlendes Betulin), der für die Eignung als (prähistorischer) Klebstoff wesentlich ist: Sauter, Jordis, Hayek 1996, 76, 78, 79, 85 und Abb. 3 (beprobte FNrn. St. 7555, 7669, jeweils auf Keramik aufliegender, schwärzlicher Inhalt).

1287. Brandl, Martinez in Vorbereitung, Analysenr. 19 (evtl. intentionell von einer größeren Formation abgebrochen?).

1288. Sehr gut erhaltene Bein- bzw. Fußknochen eines 9–12-jährigen Kindes, Wiltschke-Schrotta, Marschler in Vorbereitung, Katalog V1138.

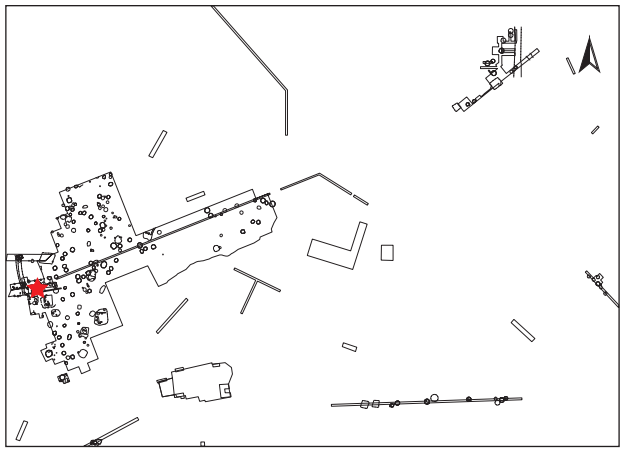
Lage in der Grube	Sign.	Schicht-schlüssel	Beschreibung	Kurzbeschreibung	besondere Funde	Höhe ab Sohle in cm
Zerstörung/Erweiterung der Grubenwände im Westen						
V1212	**der vernichtete Kuppelofen V1212 wird in die halbverfüllte Grube V1138 gestürzt** (Abb. 360–362)					
V1212	10130	2	rötlich verziegelte Ofenwand/Kuppelteile	Teile lagern sich auch im westlichsten, erweiterten Bereich ab		40–78
	10132	3	verstürzter Grubenwandbereich aus Lößbrocken und primärem Humus	hereingebrochener, umgebender Boden		65–120
	00296	9	humos-lößige Füllung, inhomogen	randliche, flockige Einfüllung		40–85
V1212	00301	13	feine weißliche Asche, dazwischen auch heller Humus, Keramik, Schlacke		**verzierte Miniaturschüssel** (St. 7558; Taf. 56/7); **Pechknolle**[1289] (St. 7555; Taf. 55/3); **Backplatte** (St. 7537, 7561; Taf. 57/1); **Feuerbockfrg.** (St. 7561; Taf. 57/2); **Steinplatte**[1290] **mit starker Hitzeeinwirkung** (St. 7657; Taf. 57/3)	70–120
V1212	10249	2	Ofenplatte: Schichtpakete aus gebranntem Lehm und Kieselsteinen			80–150
	00300	3	sterile, hereingebrochene Grubenwand (Löß, primärer Humus)	ähnlich der darunterliegenden Abfolge Sign. 10130 und 10132, folgt dem Ofenteil (Sign. 10249) ein Wandversturz		75–155
	00298	9	einheitlicher, heller Humus (primärer Humus?)			110–140
V1212	00299	2	Ofenplatte: Schichtpaket aus gebranntem Lehm und Kieselsteinen	weiterer Teil der verstürzten Ofenplatte		125–140
V1212	10131	13	Ascheband			135–160
	00297	9	heller Humus, inhomogen			155–175

1289. Pechknolle FNr. St. 7555 ist eine von drei Knollen dieser Art, die dem weiter unten in der Grube aufgefundenen Verband mit zerscherbten Kochtöpfen samt Birkenpechinhalt zugerechnet werden, siehe Sign. 10135/V1138, und genauso durch Hitze zerstört sind, siehe Sauter, Jordis, Hayek 1996, 78–79.

1290. Schwach gewölbt, Konglomerat, rötlich gefärbt.

Objekt V1139 – Kegelstumpfförmige Grube (Aschengrube?) im Nahbereich der schlüssellochförmigen Öfen

Lage	Westlicher Abschnittswall zwischen Südprofil II/1974 und Nordprofil II/1974, Lfm. 8,30–10,20 am Südprofil II/1974
alte Objektnr.	o. Nr.
Literatur	Barg 1987, 91 (Grube 8). – Hellerschmid, Griebl in Druck.
Interfaces	
Signaturen (Schichtnrn.)	10048–10053



Dokumentationsniveaus/Plana

Plannr.	Planum	alte Verf.	Lage/Quadrant	vertikale Einmessung		
				Ausgangspunkt	relative Tiefe	absolute Höhe in müA
WW 105/1974	Planum 2	o. Nr.	Südprofil II	Lfm. 8	-190 cm	?
WW 87/1975 (Abb. 363)	Planum 2	o. Nr.	Südprofil II	Lfm. 8,13	-210 cm	?

Profile/Schnitte

Plannr.	alte Verf.	Hauptprofil		Schnitt	
		Orientierung	Lage/Quadrant	Bezeichnung	unter DOKN
WW 106/1974	o. Nr.	Zwischenprofil	Südprofil II	JK	über Planum 2
WW 107/1974	o. Nr.	Zwischenprofil	Südprofil II	TV	Planum 2
WW 88/1975 (Abb. 363, 364)	o. Nr.	Zwischenprofil	Südprofil II	FG	Planum 2
WW 89/1975	o. Nr.	Zwischenprofil	Südprofil II	HI	Planum 2

Stratigraphie/Interpretation V1139

Die mächtige Ascheschicht Sign. 10051 in der Grubenmitte macht es sehr wahrscheinlich, dass diese Grube zumindest in der Schlussphase als Aschengrube für die westlich angrenzende Ofenreihe (Abb. 363 siehe auch Abb. 13)[1291] genutzt wurde (Abb. 364). Die Grube wird vom Brandschuttverband V1265 überlagert, der das Ende der späturnenfelderzeitlichen Besiedlung anzeigt (Ende von Siedlungsphase III/2).[1292]

Grubenform

Wandverlauf	Sohlenverlauf	Übergang Sohle – Wand	primäre Nutzungsspuren
steilkonisch	waagrecht	schwach gerundet	

1291. Die Öfen der Ofenreihe (schlüssellochförmige Öfen V1143–1145, V1172 und V1220 und die beiden diese flankierenden, runden Kuppelöfen V1212, V1217, siehe auch V1138) werden zumindest teilweise (kuppelförmige Öfen) als zeitgleich mit V1139 (und V1138) betrachtet.

1292. Sign. 10025, Plan WW 105/1974, sehr wahrscheinlich sind auch die beiden stark mit Holzkohle versehenen Brandschuttschichten Sign. 10052 und 10053 innerhalb von V1139 Teil des Brandschuttkomplexes V1265. – Hellerschmid, Griebl in Druck.

Größe und Fassungsvermögen V1139

min. Dm. (d): Bereich Sign. 10053	150 cm
max. Dm. (D): Sign. 10048	220 cm
max. erh. Grubentiefe (h)	90 cm
max. rek. Grubentiefe	170 cm
erh. rek. Fassungsraum der Grube	2,44 m³
rek. Fassungsraum der Grube	3,12 m³
archäolog. Datierung des Grubeninhaltes	Ha B
Zeitpunkt der Verfüllung	Ende von Ha B3
Zuordnung zu Siedlungsphase (Grubenschließung)	Ende von III/2



Abb. 363: V1139: Linker Hand (im Osten Richtung Siedlungsfläche) ist die kegelstumpfförmige Grube V1139 zu sehen; Blick zum Südprofil des westlichen Abschnittswalls (SP II/1974). Rechter Hand (westlich, Richtung Wall) sind zwei (ältere?) schlüssellochförmige Öfen aus der Ofenreihe gut zu erkennen (V1144 und V1143) (Grabungsdokumentation Stillfried, Landessammlung Niederösterreich, Bereich Ur- und Frühgeschichte, Fotonr. ST01091a).

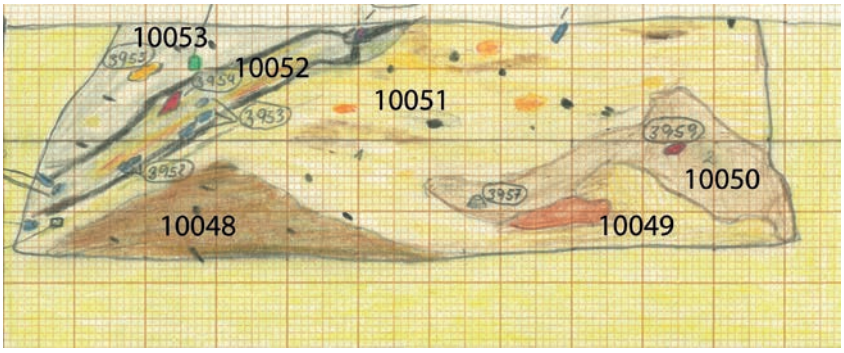


Abb. 364: V1139: Südprofil durch das unterste Grubendrittel von V1139 (Zeichnung S. Huber, Universität Wien, Plannr. WW 88/1975).

Schichtabfolge V1139

Lage in der Grube	Sign.	Schicht-schlüssel	Beschreibung	Kurzbeschreibung	besondere Funde	Höhe ab Sohle in cm
direkt auf der Grubensohle	10048	9	humoser Schüttkegel	humose, dezentrale Einschüttung im Osten (Abb. 364)		0–20
„Deponierungs-horizont“						
	10049	3	verlagerter Löß	dezentrale Lößein-schüttung im Westen (Abb. 364)		5–22
	10050	17	einheitlicher Humus mit wenigen Funden (Abb. 364)			0–42
oberer Grubenbereich						
	10051	11	mächtige lehmig-lößige Schicht mit weißlicher Asche, Holzkohle, rötlichem Brandschutt, Tierknochen und stark verbrannten Scherben	mächtige lehmig-lößige Schicht mit Brandresten (Abb. 364)		0–80
	10052	1	Brandschuttband mit flankierenden Holz-kohlebändern	vollständig überlagern-des Brandschuttband (Abb. 364)		8–90
	10053	16	Humus-Holzkohle-Asche-Löß-Gemisch (Abb. 364)		**Bernsteinperle** (St. 3948; Taf. 57/4)	22–90
	10051–10053		Schichtzuordnung nicht gesichert		**Miniaturschale** (St. 3529)[1293]; **pyramidenstumpf-förm. Webgewichtfrg.** (St. 3960); **Reibplattenfrg.** (St. 3961, 3962; Taf. 57/5); **halbkugeliger, gelochter Gegenstand aus Tierknochen**[1294] (Knochenwirtel? St. 3960; Taf. 58/1 u. Abb. 127)	
	10054	13	feine Asche		menschlicher Knochen (St. 3515)[1295]	

1293. Barg 1987, 145 und Abb. 2/1 (Grube 8).

1294. Gearbeitet aus Gelenkskopf von Oberschenkelknochen von Wildrind? (Auerochse), Lochung ist gebohrt. Bestimmung durch E. Pucher. Zur Funktion: Die dezentrale, konische Bohrung macht die Benutzung als Spinnwirtel unwahrscheinlich (freundliche Mitteilung K. Grömer), allerdings könnte der Gegenstand aus diesem Grund nicht in Verwendung gestanden sein (freundliche Mitteilung W. Lobisser).

1295. Nicht auffindbar.

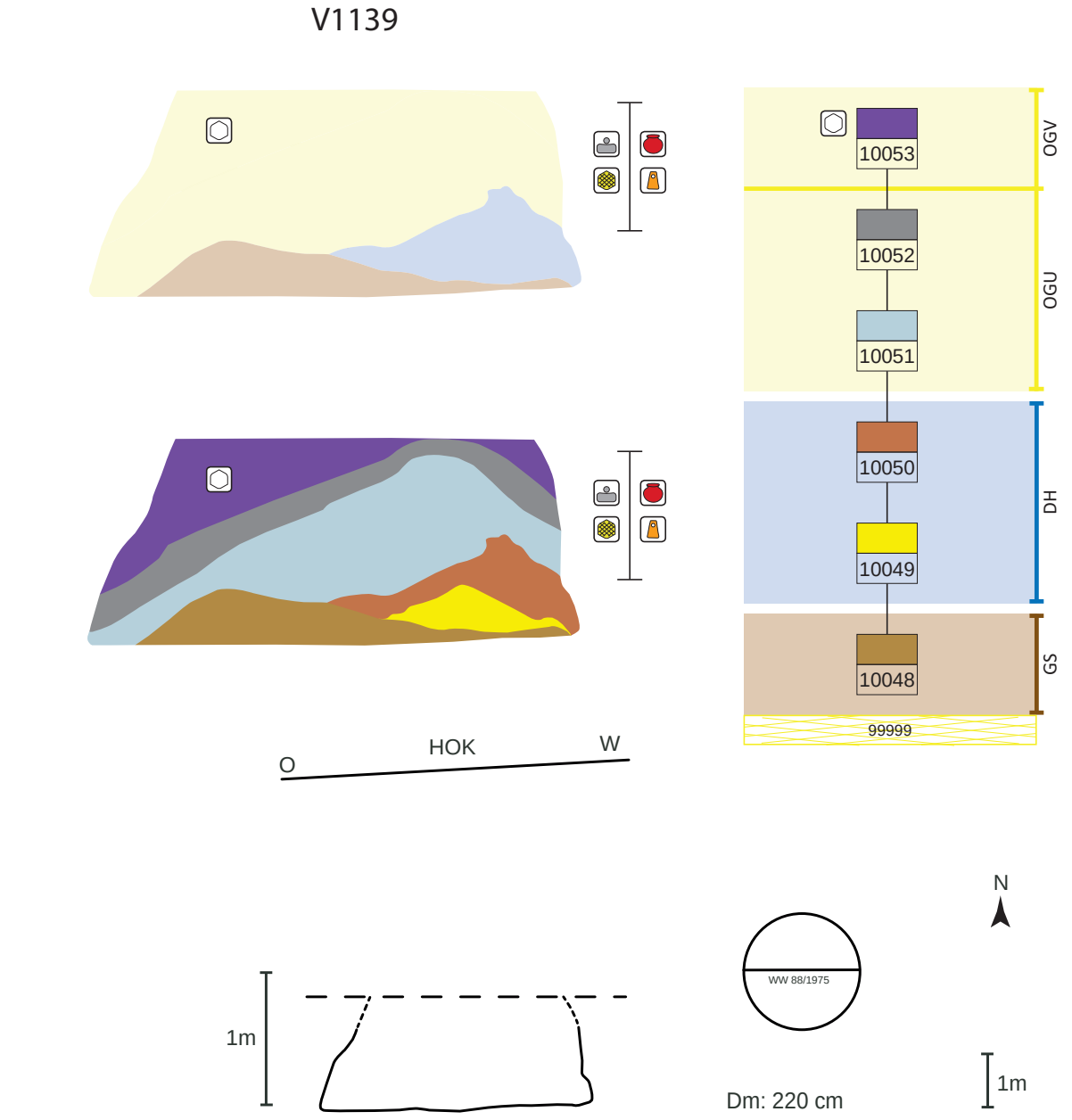
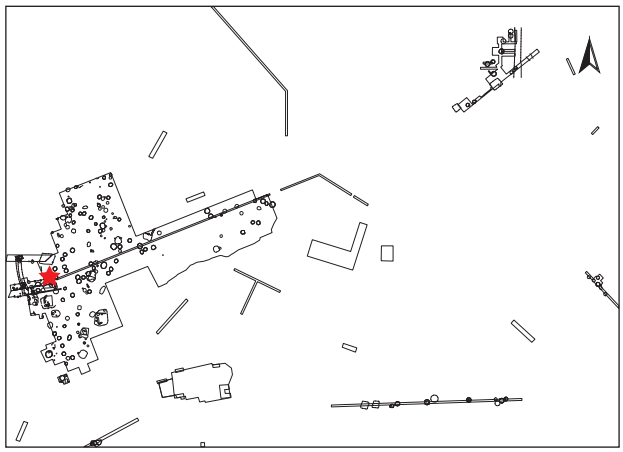


Abb. 365: V1139, schematische Darstellung, Schnitt und Lage des Schnittes im Planum.

Objekt V1140 – Kegelstumpfförmige Grube mit Deposition einer trächtigen Hirschkuh

Lage	Westlicher Abschnittswall, Nordprofil Schnitt II a/1980, Lfm. 1,1–3,3
alte Objektnr.	Verf. 2, 2a, 3, 5 (im Fundprotokoll), 7
Literatur	Weiser 1980, 181. – Pucher 1986, 54–57. – Barg 1987 (Grube 5). – Heiling-Schmoll 1987, 11–23. – Pucher 2017, 215–216 und Abb. 9. – Hellerschmid, Griebl in Vorbereitung – Pucher in Vorbereitung.
Interfaces	1079
Signaturen (Schichtnrn.)	10195–10202, 10215, 10222



Dokumentationsniveaus/Plana

Plannr.	Planum	alte Verf.	Lage/Quadrant	vertikale Einmessung		
				Ausgangspunkt	relative Tiefe	absolute Höhe in müA
WW 1/1978	Planum 1	7	NP II a	Lfm. 2	-133 cm	198,67
WW 6/1978	Planum 2	2	NP II a	Lfm. 2	-170 cm	198,30
WW 7/1978 (Abb. 366)	Planum 3	2	NP II a	Lfm. 2	-190 cm (Hirschkuh-Schädel) -225 cm (Hirschkuh, postkraniales Skelett)	198,10 (Schädel) 197,75 (Skelett)
WW 3/1980	Planum 4	3	NP II a	Lfm. 2	-270 cm	197,30

Profile/Schnitte

Plannr.	alte Verf.	Hauptprofil		Schnitt	
		Orientierung	Lage/Quadrant	Bezeichnung	unter DOKN
WW 10/1978 (Abb. 45, 366)	3	Nordprofil	NP II a		HOK
WW 3/1980	3	Zwischenprofil	NP II a	AB	Planum 4
WW 3/1980	3	Zwischenprofil	NP II a	CD	Planum 4
WW 3/1980	3	Zwischenprofil	NP II a	EF	Planum 4

Stratigraphie V1140

Obwohl Objekt V1140 am Nordprofil II a (NP II a; Abb. 45) vom hallstattzeitlichen Grubenhaus V1318 bis in eine Tiefe von 1,2 m überlagert wird, hat sich der Flaschenhals der Grube erhalten. Laut Fundprotokoll befinden sich unter den Funden aus den Verfüllungsschichten direkt über der Hirschkuh ein bzw. zwei eindeutige Scherben aus der Hallstattkultur.[1296] Da der Grubenlängsschnitt keinen Hinweis darauf gibt, dass oberhalb der Tierbestattung ein Hohlraum bis zu einer späteren Auffüllung verblieb, liegt möglicherweise ein Fehler in der Fundverwaltung vor.[1297]

1296. FNr. St. 7563/WS von Kalenderbergtasse mit später Kalenderbergzier (Pseudokalenderbergzier) aus Sign. 10222 und FNr. St. 7342/WS von Schale mit Grafitstreifenmalerei aus Sign. 10199. – Heiling-Schmoll 1987, Taf. V/5; VI/7. – Hellerschmid, Griebl in Vorbereitung.

1297. Hellerschmid, Griebl in Vorbereitung.

Grubenform

Wandverlauf	Sohlenverlauf	Übergang Sohle – Wand	primäre Nutzungsspuren
senkrechte Wand, konischer Schultereinzug, senkrechter Flaschenhals	gegen Westen abfallend	gerundet	

Größe und Fassungsvermögen V1140

min. Dm. (d): Bereich Sign. 10199	ca. 120 cm
max. Dm. (D): Grubensohle	200–210 cm
max. erh. Grubentiefe (h)	160–170 cm
max. rek. Grubentiefe	ca. 200 cm
erh. rek. Fassungsraum der Grube	4,78 m³
rek. Fassungsraum der Grube	4,96 m³
archäolog. Datierung	Ha B3
^{14}C-Datierung	Poz-59964[1298]: 2710 ± 30 BP [911 (95,4 %) 808 BC, Mw. 859 BC]
Zuordnung zu Siedlungsphase (Tierniederlegung)	III/2



Abb. 366: V1140: Kegelstumpfförmige Grube mit der Niederlegung einer trächtigen Hirschkuh, Blick Richtung Norden zum Nordprofil des Wallschnittes II a/1980 (Grabungsdokumentation Stillfried, Landessammlung Niederösterreich, Bereich Ur- und Frühgeschichte, Fotonr. ST01784).

1298. Probe: Knochen von Hirschkuh IF 1079, FNr. St. 7644.

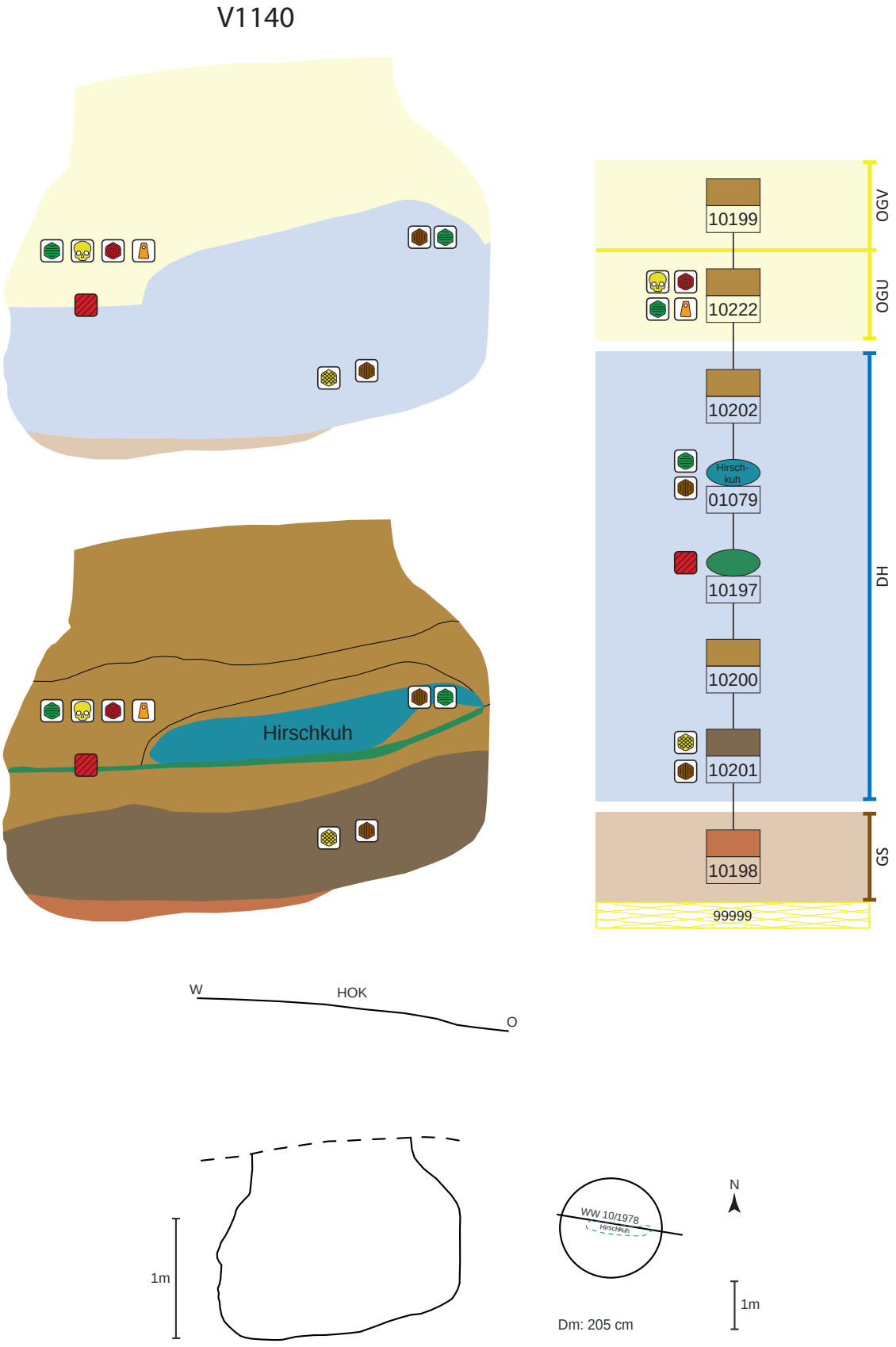


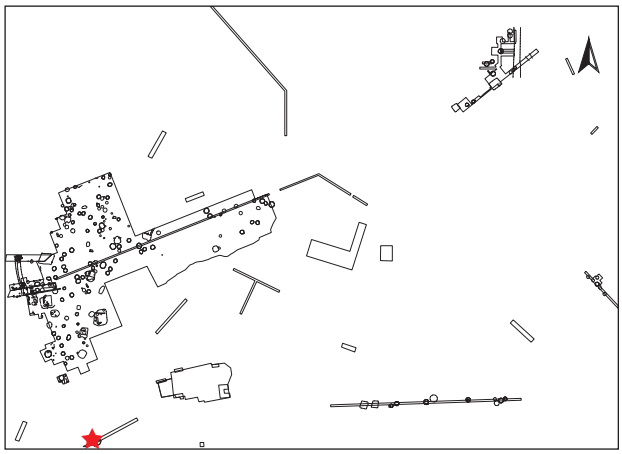
Abb. 367: V1140, schematische Darstellung, Schnitt und Lage des Schnittes im Planum.

Schichtabfolge V1140

Lage in der Grube	Sign.	Schicht-schlüssel	Beschreibung	Kurzbeschreibung	besondere Funde	Höhe ab Sohle in cm
direkt auf der Grubensohle	10198	17	aschig humos, stark mit gebrannten Lehmbrocken, Holzkohle, Steinen und Muscheln durchsetzt	Asche, Humus, fundarm		0–10
„Deponierungshorizont“						
	10201	4	humos	humos	**Knochenahle** (St. 7949); **Geweihhammer**[1299] (St. 7952; Taf. 59/1)	10–70
waagrechte Oberkante	10200	9	humos-lehmig	fundarm		45–70
Keramiklage	10197	8	Keramikbruchstücke	**Scherbenlage**, auch BS einer Einzugsrandschale mit Grafitstreifenmuster[1300]		65
Tierdeposition	IF1079	D	Deposition von trächtiger Hirschkuh[1301]	**abgelegte, natürlich verendete Hirschkuh**[1302] (Abb. 366)		70–100
	10202	9	humos-lehmiges Material	humos-lehmig, eingeschlämmt?	**menschenförm. Geweihanhänger mit Bronzering**[1303] (St. 7483; Taf. 59/2)	70–100
oberer Grubenbereich						
	10222	9	humos	fundreich, unter den Keramikfunden auch Schulterbruchstück einer Tasse mit Pseudokalenderbergzier (Dat. Ha C2/D1)[1304]	**Tonstange** (St. 7480; Taf. 58/3); **pyramidenstumpfförm. Webgewicht** (St. 7492; Taf. 58/2); **Bronzering** (St. 7471); **menschlicher Zahn** (St. 7483)	70–110
	10199	9	humose Verfüllung	fundarm		110–170

Objekt V1141 – Kegelstumpfförmige Grube mit der Niederlegung von sieben vollständigen Leichen

Lage	Kirchhügel Schnitt 1, Lfm. 21–27
alte Objektnr.	o. Nr.
Literatur	Eibner 1978b. – Breitinger 1980. – Eibner 1980. – Eibner 1988. – Szilvássy, Kritscher, Hauser 1988. – Griebl, Hellerschmid 2013, 333 und Abb. 4. – Hellerschmid 2015. – Hellerschmid, Griebl in Vorbereitung. – Wiltschke-Schrotta, Marschler in Vorbereitung.
Interfaces	2247–2253 (Skelette 1–7)
Signaturen (Schichtnrn.)	09019–09022, 09023–09029 (Skelette 1–7), 09030, 09031



1299. Verbleib: Museum Stillfried.

1300. Heiling-Schmoll 1987, Taf. V/5. – Hellerschmid, Griebl in Vorbereitung, V1140.

1301. FNrn. St. 7644, 7473, 7645, 7646. – Pucher 1986, 54–57.

1302. Verstorben in Folge einer Fehlgeburt.

1303. Das Fundstück ist heute bedauerlicherweise verschollen. Nach Auskunft von G. K. Kunst ist von Geweih als Ausgangsmaterial auszugehen.

1304. Heiling-Schmoll 1987, Taf. VI/7. – Hellerschmid, Griebl in Vorbereitung, V1140. – Vergleichsfund aus Grubenhaus V121, Eibner A. 1974, Taf. 19/2.



Abb. 368: V1141: Gesamtansicht von Befund V1141, der Grube mit den sieben menschlichen Skeletten aus dem Jahr 1976. Die kegelstumpfförmige Grube befindet sich am „Kirchhügel", dem höchstgelegen Bereich der Wallanlage. Die Schädel liegen Richtung Nordosten (Grabungsdokumentation Stillfried, Landessammlung Niederösterreich, Bereich Ur- und Frühgeschichte, Fotonr. ST28393).

Dokumentationsniveaus/Plana

Plannr.	Planum	alte Verf.	Lage/Quadrant	vertikale Einmessung		
				Ausgangspunkt	relative Tiefe	absolute Höhe in müA
KH 2/1976	Planum 2	o. Nr.	Lfm. 20–28	Lfm. 28	-180 cm	196,20
KH 6/1976	Planum 3	o. Nr.	Lfm. 24–28	Lfm. 28	-240 cm	195,60
KH 7/1976 (Skizze)		o. Nr.	Lfm. 0–28			
KH 8/1976	Planum 4	o. Nr.	Lfm. 24–26 SK1	Lfm. 25	-305 cm	195,25
KH 19/1976 (Skizze)		o. Nr.	Süderweiterung			
KH 20[1305], 21[1306]/1976	Planum 5	o. Nr.	Süderweiterung SK1–SK7 (IF2247–2253)		-300 cm	195,00
KH 22, 23/1976	Planum 6 Osthälfte	o. Nr.	Süderweiterung, SK1, SK2–SK4			
KH 24/1976[1307]	Planum 7	o. Nr.	Süderweiterung, obere Skelettlage			
KH 25/1976 (Abb. 369)	Planum 8	o. Nr.	Süderweiterung, untere Skelettlage: SK1, SK5, SK6 und Aschehügel			
KH 26/1976	Planum 9	o. Nr.	Süderweiterung, SK7			
KH 27/1976	Planum 10	o. Nr.	Süderweiterung, SK6			
KH 28/1976	Planum o. Nr.		Süderweiterung, Aschehügel			

1305. Als Kopie vorhanden.

1306. Plan fehlt.

1307. Plan fehlt.



Abb. 369: V1141: Detailansicht des Befundes mit der Dreiergruppe SK4, SK5 und SK6 der unteren Skelettlage, bestehend aus der älteren Frau SK5 (rechts) und den beiden Knabenskeletten SK4 und SK6 (links). Oberhalb der Köpfe/Schädel kam eine vollständige Reibplatte zu liegen (Bildarchiv der Anthropologischen Abteilung des NHM Wien, Fotonr. PHOT4480a_Oa).

Profile/Schnitte

Plannr.	alte Verf.	Hauptprofil		Schnitt	
		Orientierung	Lage/Quadrant	Bezeichnung	unter DOKN
KH 8/1976 (V1141, SK1)	o. Nr.	Zwischenprofil	Lfm. 25,60	SN	Planum 3
KH 10/1976 (V1141, V2018, V2272–V2274)	o. Nr.	Südprofil	Lfm. 28–22		HOK

Stratigraphie V1141

In V1141 wurden sieben vollständige Leichen in zwei Handlungsschritten im unteren Grubenbereich abgelegt (Abb. 368). Die Grube liegt am höchsten Punkt der Wallanlage unter den mittelalterlichen und römischen Wallplanierungen (V2273) sowie unter dem eingetieften, späturnenfelderzeitlichen Holz-Lehm-Bau V2274[1308] (Abb. 9, 55, 370). Letzterer überlagert auch die längliche Vertiefung V2350.[1309]

1308. Vgl. Hellerschmid 2015, 224 und Abb. 20.

1309. Hellerschmid 2015, Abb. 3, 18, 21. – Hellerschmid, Griebl in Vorbereitung.

Grubenform

Wandverlauf	Sohlenverlauf	Übergang Sohle – Wand	primäre Nutzungsspuren
regelmäßig konischer Wandverlauf	waagrecht, randlich schwach hochziehend	gerundet	

Größe und Fassungsvermögen V1141

min. Dm. (d): Bereich Sign. 09031	80 cm
max. Dm. (D): Bereich Sign. 09021	220 cm
max. erh. Grubentiefe (h)	130 cm
max. rek. Grubentiefe	ca. 160 cm
erh. rek. Fassungsraum der Grube	2,46 m³
rek. Fassungsraum der Grube	2,56 m³
archäolog. Datierung	Ha B3 früh
^{14}C-Datierungen	Poz-78217[1310]: 2770 ± 30 BP [997 (95,4 %) 839 BC, Mw. 910 BC] VERA-2918[1311]: 2745 ± 35 BP [980 (95,4 %) 810 BC, Mw. 895 BC] VERA-2919[1312]: 3000 ± 35 BP [1380 (95,4 %) 1120 BC, Mw. 1250 BC]
Zuordnung zu Siedlungsphase	III/1

Schichtabfolge V1141

Lage in der Grube	Sign.	Schicht-schlüssel	Beschreibung	Kurzbeschreibung	besondere Funde	Höhe ab Sohle in cm
direkt auf der Grubensohle						
	09019	2	verhärteter Löß (rötlich-braun)	harter Lößgrund/Grubensohle		0–2
schwacher Schüttkegel	09020	13	Einschüttung aus feiner weißlicher Asche mit Schlachtabfall und Rinderastragali, steinernen Reibplatten(teilen)[1313], Holzkohle, Schlachtabfall, vorwiegend vom Rind	fundreicher Aschehügel mit Keramikscherben, Steinplatten und Schlachtabfall[1314]	**pyramidenstumpfförm. Webgewichtfrg.** (NHM FNr. 6/1[1315]); **Silexklinge** (NHM FNr. 5/2); **Reibplatten(frg.;)** (NHM FNr. 3? 76, 89, 97); **Tierknochen** (Schlachtabfall mit grünlichen Abdrücken, von angelagerten Bronzegegenständen? Taf. 60/2)	2–12

1310. Probe FNr. St. 9208 (menschlicher Knochen).

1311. Probe von SK1 (IF 2247/Sign. 09023), Hellerschmid 2006, 293.

1312. Probe von SK7 (IF 2253/Sign. 09029), Hellerschmid 2006, 293.

1313. Eibner 1980, 109, 124: „[…] hell-weißliche Flugasche, Mahlsteinbruchstücke und Bruchstücke anderer Gesteinsbrocken lagen zusammen mit zahlreichen Säugetierknochen (Reh oder Hirsch), darunter vielfach Bruchstücke von dünnen Schädelknochen, manchmal mit eigenartigen kleinen grünspanigen Flecken."

1314. Siehe Plan KH25/1976.

1315. Diese Nummern wurden von den Anthropologen des Naturhistorischen Museums Wien im Zuge der Blockbergung vergeben, Aufbewahrung ebendort.

Lage in der Grube	Sign.	Schicht-schlüssel	Beschreibung	Kurzbeschreibung	besondere Funde	Höhe ab Sohle in cm
„Deponierungs-horizont“						
Deposition von drei vollständigen Leichen, Köpfe/Schädel im Osten	SK4–SK6 (IF2250–IF2252/ Sign. 09026–09028)	D	erste Leichengruppe: Frau SK5 (45 J.), in ihrem Schoß zu ihrer Rechten: Knabe SK6 (5–6 J.); zu ihrer Linken: Knabe SK4 (8 J.)	im Sohlenbereich am südlichen Grubenrand wurde die ältere Frau mit zwei Knaben pietätvoll und in enger körperlicher Verbindung abgelegt (SK4–SK6;[1316] Abb. 369)	**3 vollständige menschliche Skelette** (SK4–6); Bronzeschmuck:[1317] **1 Drahtspiralring** (Haarring?), **1 Ringlein, 1 Knopf**[1318] bei SK4; **2 Drahtspiralringe** (Haarringe?) bei **SK5**[1319] (Abb. 56); **1 Steinbeilsplitter** und **1 Reibplatte** (Unterleger) bei SK5 (Abb. 369); **1 Schleifstein?** bei SK4	2–15
Deposition der vierten Leiche, Kopf im Osten	SK1 (IF2247/ Sign. 09023)	D	Mann SK1 (30 J.) wird in der Grubenmitte auf Sign. 09020 abgelegt	auf den mittigen Aschehügel wird Mann SK1 in Rückenlage in einer zur ersten Leichengruppe (SK4–6) gewandten Haltung abgelegt, im Umfeld Gefäß(teil)e	**1 vollständiges menschliches Skelett** (SK1); o. FNr.: **Henkeltasse**; **grobe Schale** (ehem. Vorratstopf?); **halbe Schale**; **Reibplatte** (Granit, Unterleger)	15–30
	09021	3	Lößschicht über der ersten Leichengruppe (SK1, 4–6)	abdeckende Lößschicht über SK1, 4–6	**Kette** aus Bronzeringlein und Wolfsphalange (o. FNr.); **Schleifsteinfrg.** (o. FNr.)	2–30
	09022	2	dünne, rötlich gebrannte Lößschicht	rötlich gebrannte Oberkante von 09021		30–32
Deposition der letzten drei Leichen	SK3 (IF2249/ Sign. 09025)	D	Frau SK3 (40 J.) wurde genau über Frau SK5 abgelegt	Frau SK3 mit Blick zum Mann genau über Frau SK5 in gleicher Ausrichtung abgelegt (rechte Seitenlage)	**1 vollständiges menschliches Skelett** (SK3) mit **1 bronzenen Lockenring**[1320] (o. FNr.; Abb. 56) und **Fingerring** (o. FNr.)	30–40
	SK7 (IF2253/ Sign. 09029)	D	Mädchen SK7 (9 J.) am Grubenrand, etwa zwischen den Beinen des Mannes (SK1) abgelegt	Mädchen SK7 in kauernder Haltung abgelegt, Kopf auf ungebrannten, großen Webgewichten	**1 vollständiges menschliches Skelett** (SK7); **2 ungebrannte, große pyramidenstumpfförm. Webgewichte** (NHM FNr. 28; Abb. 120)	10–15
	SK2 (IF2248/ Sign. 09024)	D	an der Ostwand abgelegter Knabenleichnam SK2 (3 J.)	Knabe SK2 wirkt hineingeworfen	**1 vollständiges menschliches Skelett** (SK2)	35–45
	09030	9	lehmig-humos	lößig-lehmige Abdeckschicht über den Leichen/Skeletten	**große Schale/Deckelfrg.?** (St. 9163, 9208; Taf. 59/3–4); **menschliche Einzelknochen** (St. 9208, 9209)	2–90
oberer Grubenbereich	09031	11	Löß mit Brandschutt	lehmig-aschig		60–75
			Funde ohne genaue Schichtzuordnung	weitere menschliche Einzelknochen (St. 9212) und **1 Multifunktionsstein** (St. 9212; Taf. 60/1)		

1316. Ergebnis der mtDNA-Untersuchungen (Blutsverwandtschaft über die mütterliche Linie): Es gibt innerhalb der sieben Individuen aus V1141 nur eine diesbezügliche Blutsverwandschaft, nämlich zwischen SK5 und SK6, Parson et al. 2018.

1317. Ohne FNr.

1318. Eibner 1980, Taf. 52/3.

1319. Eibner 1980, Taf. 52/4.

1320. Eibner 1980, Taf. 52/2.

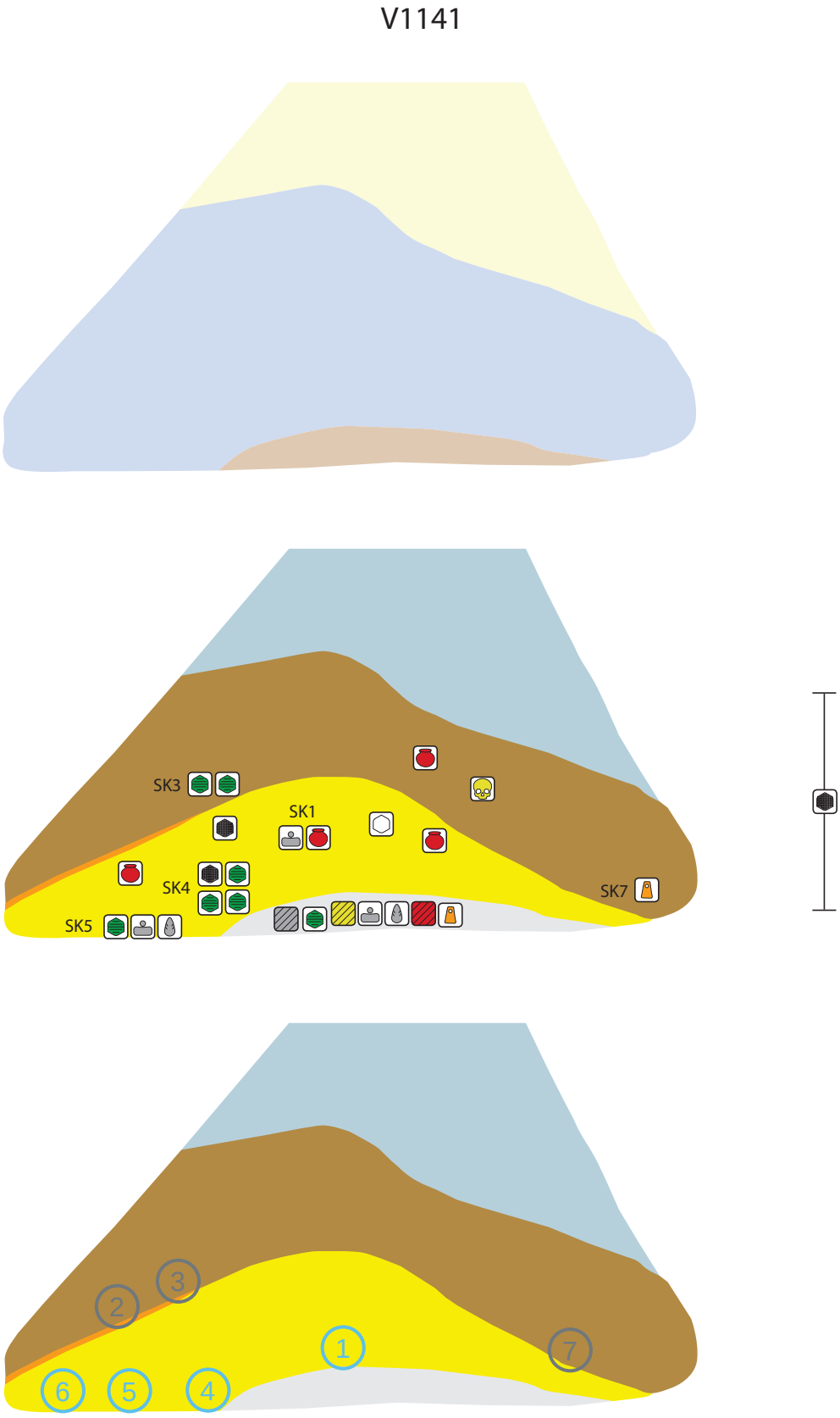


Abb. 370 (Teil 1): V1141, schematische Darstellung der Skelettlagen und der Fundgegenstände.

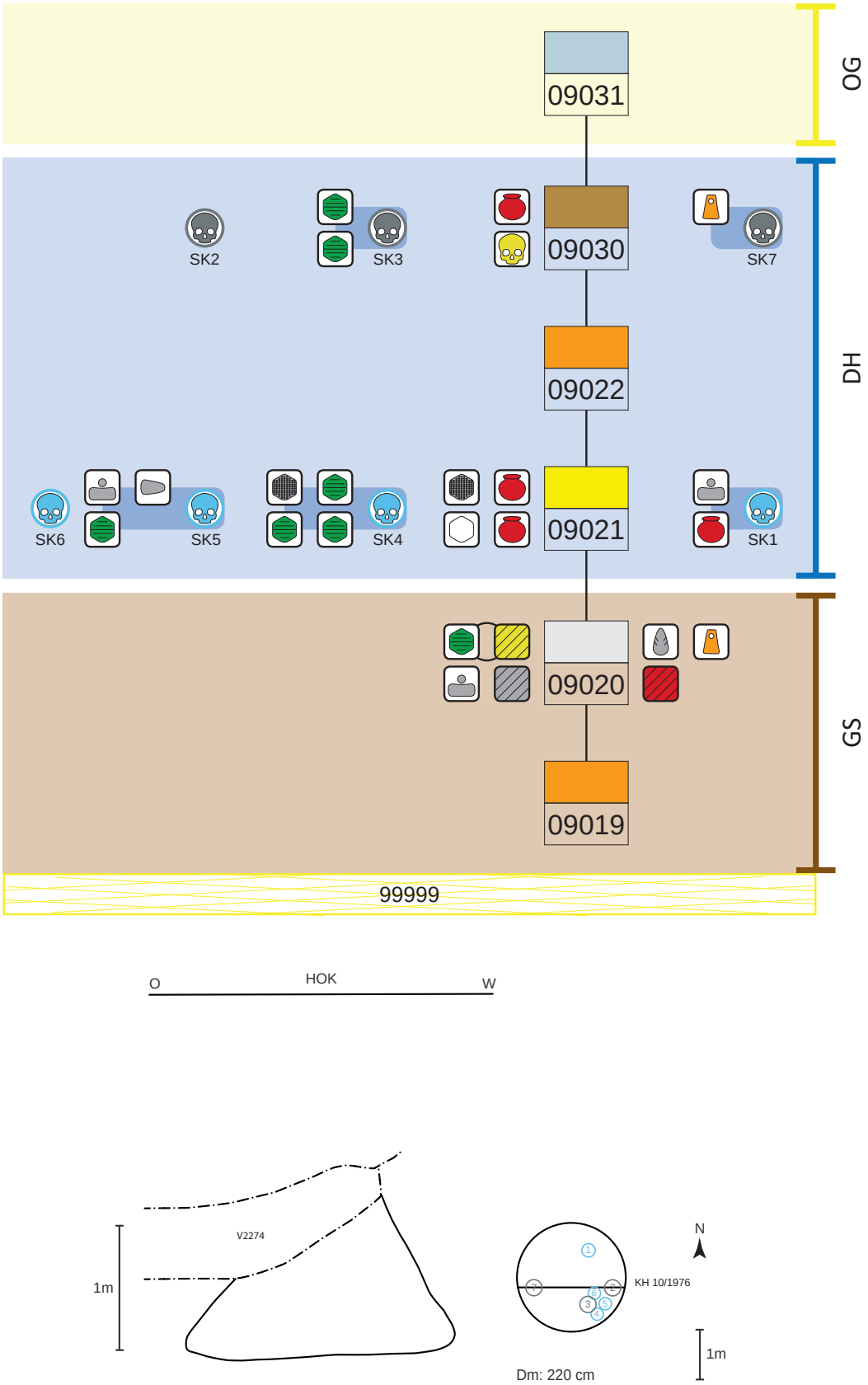
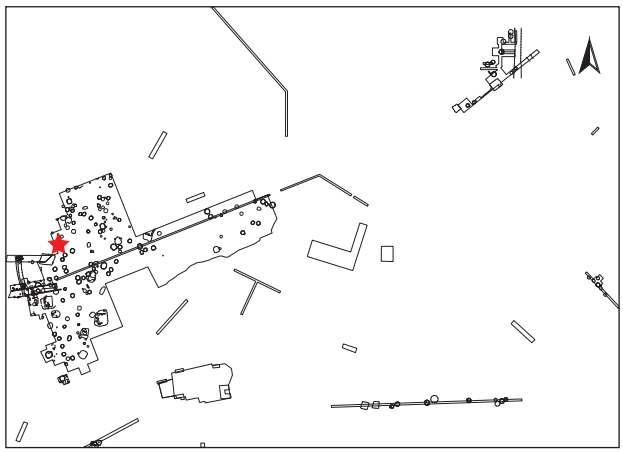


Abb. 370 (Teil 2): V1141, Matrix der Schichteinfüllungen; Schnitt und Lage des Schnittes im Planum.

Objekt V1325 – Kegelstumpfförmige Grube mit gestufter Sohle

Lage	Hügelfeld Quadrant J2
alte Objektnr.	Verf. 1[1321]
Literatur	Artner 1986, 127. – Hellerschmid 2006. – Penz 2006.
Interfaces	
Signaturen (Schichtnrn.)	00357–00359, 10386–10391



Dokumentationsniveaus/Plana

Plannr.	Planum	alte Verf.	Lage/Quadrant	vertikale Einmessung		
				Ausgangspunkt	relative Tiefe	absolute Höhe in müA
HF 17/1985	Planum 1	1	J2	SO J2	-15 cm	197,85
HF 57/1985	Planum 2	1	J2	SW J2	-92 cm	197,47
HF 65/1985	Planum 3	1	J2	SW J2	-115–121 cm	197,24–197,18
HF 89/1985	Planum 4	1	J2	SW J2	-149 cm	196,90
HF 101/1985 (Abb. 41/2; 372)	Planum 5	1	J2	SW J2	-177 cm	196,62

Profile/Schnitte

Plannr.	alte Verf.	Hauptprofil		Schnitt	
		Orientierung	Lage/Quadrant	Bezeichnung	unter DOKN
HF 81/1985 (Abb. 41/1; 371)	1	Zwischenprofil	J2	AOB	Planum 2
HF 121/1985	1	Westprofil	J2		HOK

Stratigraphie V1325

Eine (mittelalterliche) Störung (V723) schneidet über dem Planum 2 von Westen in das Objekt V1325.[1322]

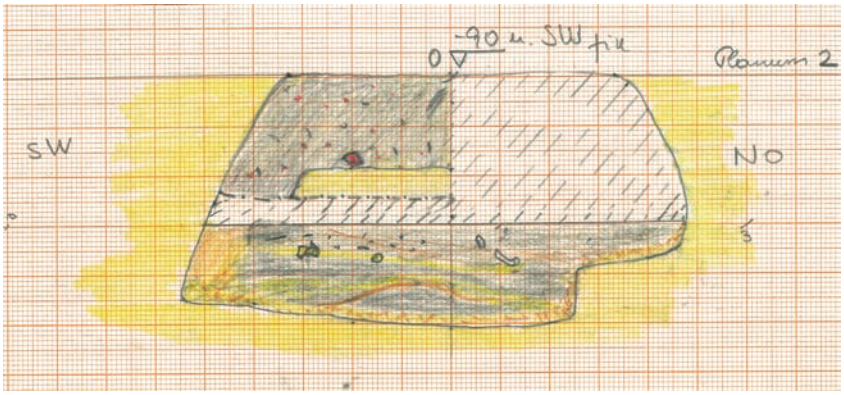


Abb. 371: V1325: Zwischenprofil AOB in Quadrant J2 mit V1325. Der gestrichelte Bereich wurde nicht zeichnerisch dokumentiert (Zeichnung: A. Mikosz, Universität Wien, Plannr. HF 81/1985).

1321. Bei Hellerschmid 2006 und Penz 2006 hat die Grube die Nummer V723A.

1322. Grabungsplan HF 57/1985.

Grubenform

Wandverlauf	Sohlenverlauf	Übergang Sohle – Wand	primäre Nutzungsspuren	Auffälligkeiten
steilkonische Wand	waagrechte bis leicht nach außen gewölbte Sohle	eckig-scharfkantig	Humus-Löß-Schicht auf der Sohle, festgetretene Benutzungsstrate? (Sign. 00357)	gestufte Grubensohle (Stufe im NO, ca. 25 cm hoch)

Größe und Fassungsvermögen V1325

min. Dm. (d): Bereich Sign. 00359	130 cm
max. Dm. (D): Grubensohle	210–220 cm
max. erh. Grubentiefe (h)	140 cm
max. rek. Grubentiefe	165 cm
min. rek. erh. Dm. (d)	85 cm
erh. rek. Fassungsraum der Grube	2,63 m³
rek. Fassungsraum der Grube	2,72 m³
archäolog. Datierung	Ha B2–3
Zuordnung zu Siedlungsphase	II–III/1

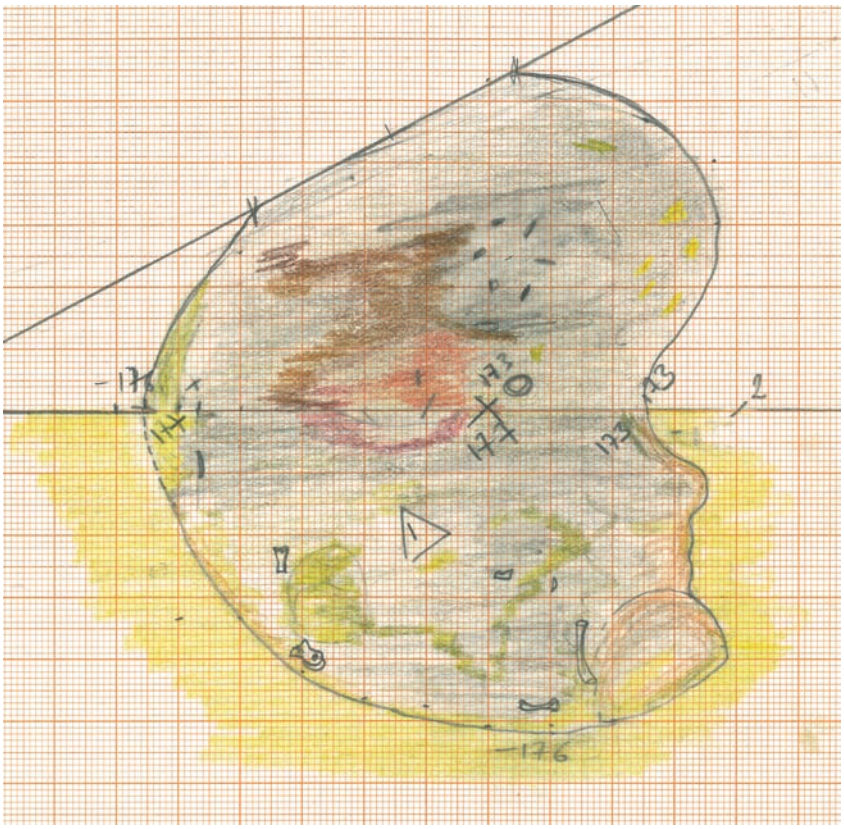


Abb. 372: V1325: Ausschnitt von Planum 5 des Quadranten J2 mit V1325. Zu sehen sind auch einige der Tierknochen in der grauen Schicht (Sign. 10388; Zeichnung: A. Mikosz, Universität Wien, Plannr. HF 101/1985).

Schichtabfolge V1325

Lage in der Grube	Sign.	Schicht-schlüssel	Beschreibung	Kurzbeschreibung	besondere Funde	Höhe ab Sohle in cm
Grubensohlenbereich						
primäre Nutzungs-spuren?	00357	B 9	gelb-braun, humos	festgetretene Benut-zungsstrate?	**RS von Miniaturtöpf-chen**[1323] (St. 12990); **pyramidenstumpf-förm. Webge-wichtfrg.**[1324] (St. 12961); **vierspitziges Geweih-gerät**[1325] (St. 12962; Taf. 54/3 u. Abb. 125); Herdplattenfrg. (St. 12290); **Klopfstein** (St. 13002; Abb. 132)	0–6
direkt auf der Grubensohle						
	10386	1	grau-aschiger Schütt-kegel	Asche fundarm(?)		5–16
	10387	2	rot-braunes, lehmiges Material	Brandschutt fundarm(?)		5–19
„Deponierungs-horizont“						
	10388	11	gelb-graues Material, mit zahlreichen Tier-knochen durchsetzt (Abb. 372)	Asche-Löß-Gemisch, fundreich		5–20
	00358	1	grau-aschiges Material	Asche, eher fundarm(?)		10–24
	10389	3	gelb-lehmiges Material	Löß		21–28
waagrechte Oberkante, keine Deponierung(?)	10390	2	rot-braunes, lehmiges Material mit Holzkohle und Hüttenlehm sowie zahlreichen Tierkno-chen	Brandschutt, fundreich	**gelochte Tonscheibe/ Hängegefäßdeckel**[1326] (St. 12975)	22–35
oberer Grubenbereich						
	10391	1	grau-aschiges Material	Asche, fundreich	**abgesägtes Geweih-stück, Abfall?** (St. 12960; Taf. 54/2)	33–?
	00359	17	braun-humoses Material, mit kleinen Hüttenlehmbrocken, vereinzelten Steinen und Knochen durch-setzt	Humus mit wenig Brandschutt, fundreich?	**3 Webgewichtfrg.** (St. 12918, 12957); **5 Reibplattenfrg. mit Feuereinwirkung** (St. 12918); Herdplattenfrg. (St. 12918, 12957)	?–oben

1323. Hellerschmid 2006, Taf. 77/8.

1324. Penz 2006, Taf. 20/3.

1325. Penz 2006, Taf. 20/4.

1326. Penz 2006, Taf. 20/5. Flache Tonscheibe mit zwei gegenständigen, schrägen, scharfkantigen Durchlochungen, Dm. 5,7 cm, St. 0,6 cm, Lochung 0,2 cm. (Miniatur)Hängegefäße könnten zum Aufbewahren von Räucherwerk, flüssigen Duftstoffen und vielem mehr verwendet worden sein, Lochner in Vorbereitung.

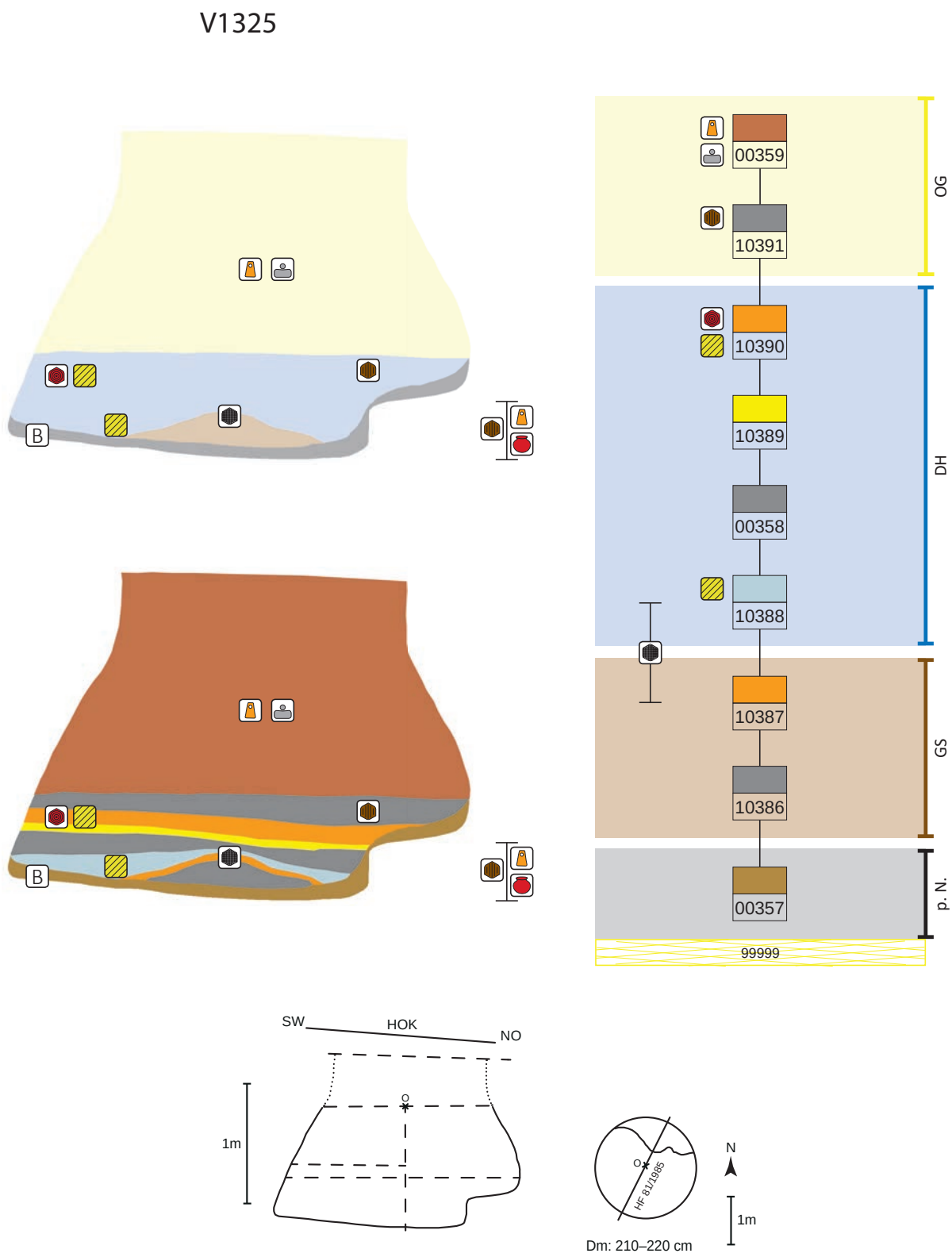
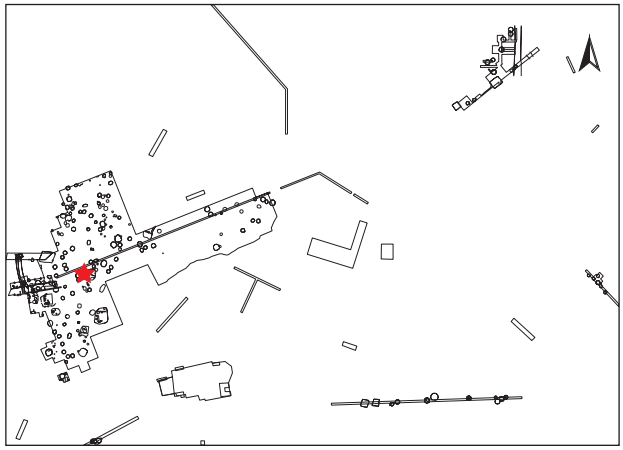


Abb. 373: V1325, schematische Darstellung, Schnitt und Lage des Schnittes im Planum.

Objekt V2027 – Kegelstumpfförmige Grube

Lage	Hügelfeld Quadranten G3, F3, Riegel G3/F3
alte Objektnr.	Verf. 2, 18
Literatur	Hellerschmid 2006.[1327]
Interfaces	
Signaturen (Schichtnrn.)	00021–00024, 10463, 10465



Dokumentationsniveaus/Plana

Plannr.	Planum	alte Verf.	Lage/Quadrant	vertikale Einmessung		
				Ausgangspunkt	relative Tiefe	absolute Höhe in müA
HF 88/1971	Planum 3	18	F3	NW F3	-156 cm	197,67
HF 134/1971	Planum 4	o. Nr.	G3	NW G3	-108 cm	197,94
HF 135/1971	Planum 2	o. Nr.	F3	NW F3	-140 cm	197,83
HF 156/1971	Planum 2	o. Nr.	G2/G3	NW F3	-145 cm	197,78

Profile/Schnitte

Plannr.	alte Verf.	Hauptprofil		Schnitt	
		Orientierung	Lage/Quadrant	Bezeichnung	unter DOKN
HF 96/1971	2	Zwischenprofil	F3	h-a	Planum 2
HF 103/1971	18	Westprofil	F3		HOK
HF 106/1971	18	Nordprofil	F3		HOK
HF 124/1971	2/18	Zwischenprofil	G3	N´S´	Planum 2
HF 153/1971	18	Südprofil	G2/G3		HOK
HF 159/1971	18	Westprofil	G3		HOK
HF 160/1971	18	Südprofil	G3		HOK
HF 167/1971	18	Nordprofil	F2/F3		HOK
HF 183/1971	18	Westprofil	F3/G3		HOK

Stratigraphie V2027

Objekt V2027 wird bis in eine Tiefe von etwa 1 m unter der SW-Ecke von G3 durch eine Grube (V27) gestört, die ihrerseits durch einen mittelalterlichen Graben (V2) geschnitten wird (Abb. 374).[1328] Über einer Kappung lagert rezenter Humus.

Grubenform

Wandverlauf	Sohlenverlauf	Übergang Sohle – Wand	primäre Nutzungsspuren	Auffälligkeiten
steilkonische Wand (stempelförmig)	waagrechte Sohle	leicht gerundet	Humus-Löß-Schicht auf der Sohle, festgetretene Benutzungsstrate? (Sign. 10463)	erhöhte Stufe in der Sohle im Südwesten (ca. 15 cm hoch; Plan HF 160/1971)

1327. Bei Hellerschmid 2006 hat die Grube die Nummer V27A.

1328. Grabungsplan HF 106/1971.

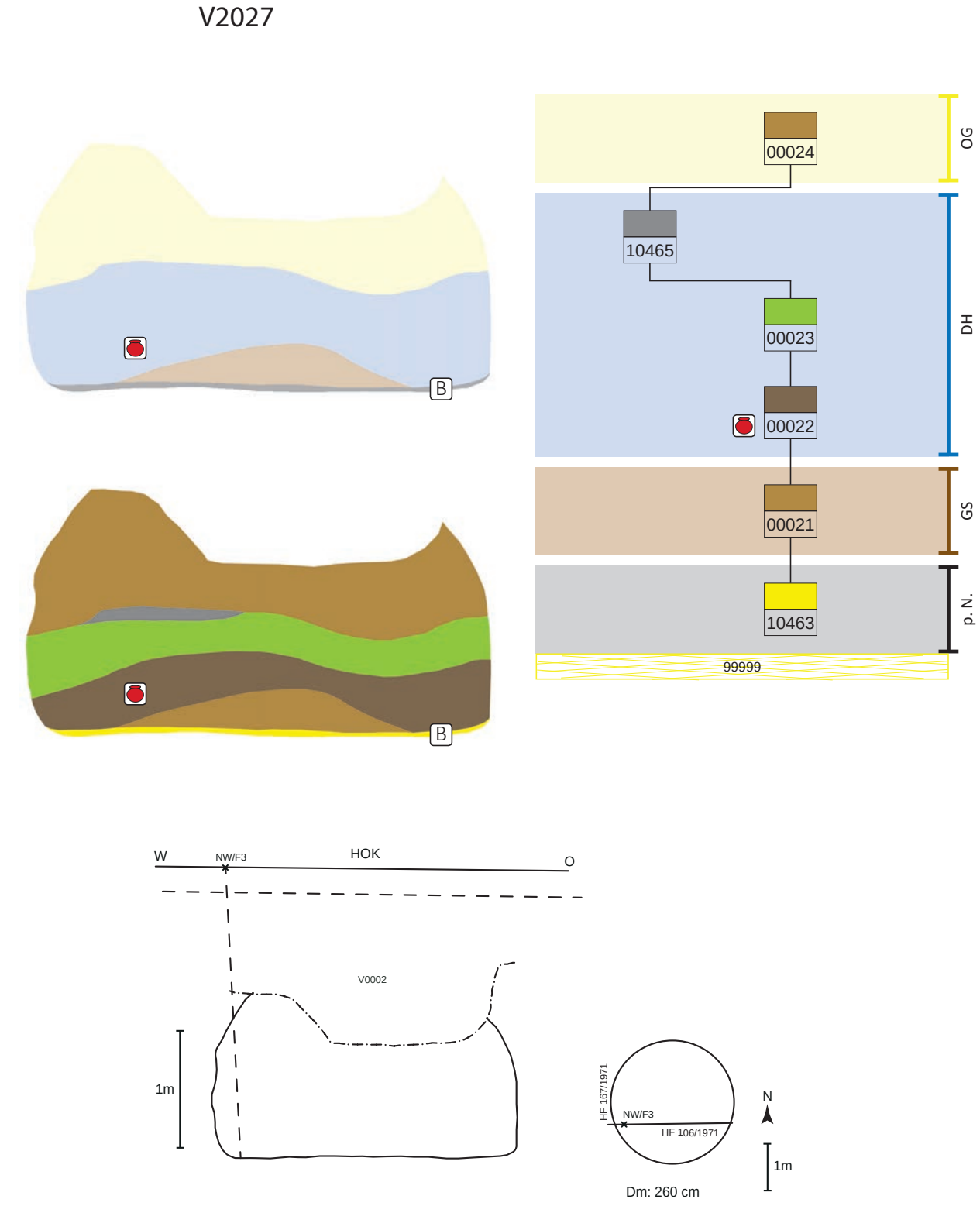


Abb. 374: V2027, schematische Darstellung, Schnitt und Lage des Schnittes im Planum.

Größe und Fassungsvermögen V2027

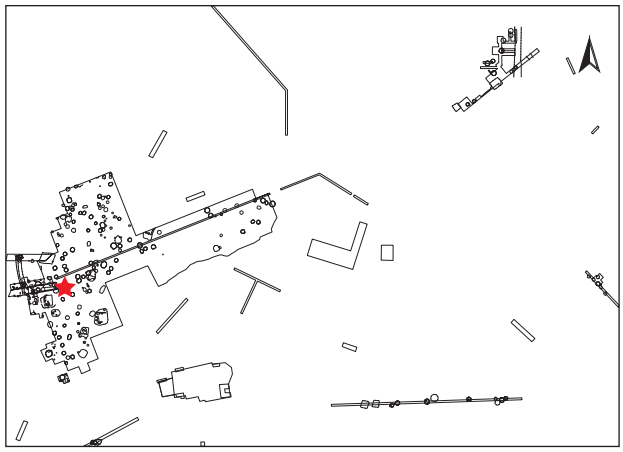
min. Dm. (d): Bereich Sign. 00024	180 cm
max. Dm. (D): Grubensohle	260 cm
max. erh. Grubentiefe (h)	157 cm
max. rek. Grubentiefe	222 cm
min. rek. erh. Dm. (HUK)	50 cm
erh. rek. Fassungsraum der Grube	6,03 m³
rek. Fassungsraum der Grube	untere (erh.) Grubenhälfte: 6,03 m³ obere (rek.) Grubenhälfte (h = 65 cm): 0,75 m³ gesamt: 6,78 m³
archäolog. Datierung	Ha B3
Zuordnung zu Siedlungsphase	III/2

Schichtabfolge V2027

Lage in der Grube	Sign.	Schicht-schlüssel	Beschreibung	Kurzbeschreibung	besondere Funde	Höhe ab Sohle in cm
Grubensohlenbereich						
primäre Nutzungs-spuren?	10463	B 3	dünnes hellbraunes Band	festgetretene Benut-zungsschicht?		0–3
direkt auf der Grubensohle						
	00021	9	humoser Schüttkegel mit Lößbrocken	Humus, Lößbrocken, fundarm		3–18
„Deponierungs-horizont“						
	00022	4	dunkelbraun-humoses Material	Humus, fundarm	**RS von Miniatur-schale**[1329] (St. 1101)	3–48
	00023	14	heller Löß mit dünnen, braun-humosen Bändern	Löß und wenig Humus, fundarm		20–70
Zentralbereich, annä-hernd waagrecht, keine Deponierung	10465	1	dünne Ascheschicht	Asche, fundarm		64–72
oberer Grubenbereich	00024	9	braun, fettiger Humus	Humus, eher fundarm		ab 57

Objekt V2044 – Kegelstumpfförmige Grube mit Hausschwein

Lage	Hügelfeld Quadrant F1, Riegel F1/G1
alte Objektnr.	6a
Literatur	Hellerschmid, Griebl in Vorberei-tung.
Interfaces	1287
Signaturen (Schichtnrn.)	00057–00059, 00060, 00062, 00065, 10217, 10478



1329. Hellerschmid 2006, Taf. 5/4.

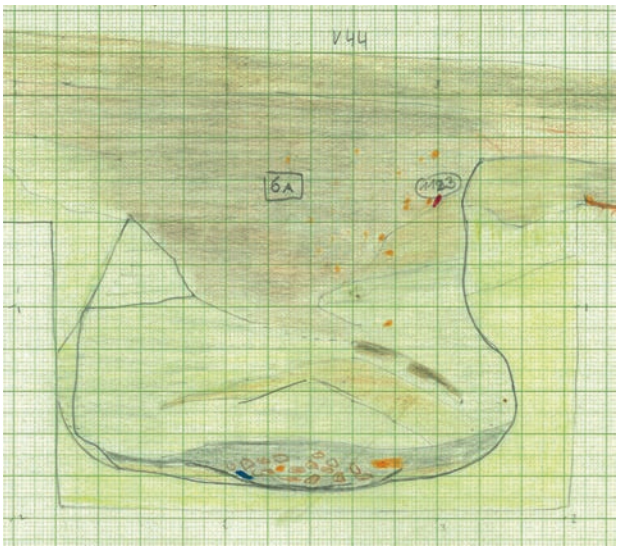


Abb. 375: V2044: Ausschnitt des Nordprofils von Quadrant F1 mit V2044. Gut zu erkennen ist die Störung (Sign. 10478) in der oberen Grubenhälfte. Sie erweckt den Eindruck eines gezielten Eingriffs in die Grubenverfüllung (Zeichnung: R. Turner, Universität Wien, Plannr. HF 77/1971).

Dokumentationsniveaus/Plana

Plannr.	Planum	alte Verf.	Lage/Quadrant	vertikale Einmessung		
				Ausgangspunkt	relative Tiefe	absolute Höhe in müA
HF 68/1971	Planum 2	6a	F1	NW F1	-66 cm	199,03
HF 146/1971	Planum 1	6a	F1/G1	NW F1	-90 cm	198,79

Profile/Schnitte

Plannr.	alte Verf.	Hauptprofil		Schnitt	
		Orientierung	Lage/Quadrant	Bezeichnung	unter DOKN
HF 77/1971 (Abb. 375)	6a	Nordprofil	F1		HOK

Stratigraphie V2044

Der Wandverlauf von Grube V2044 ist bis weit in die obere Grubenhälfte erhalten. Dieser obere Grubenbereich wird bestimmt von der beutelförmigen, humosen Störung Sign. 10478 (β), deren tiefster Punkt genau im Zentrum von V2044 liegt (Abb. 375, 376). Dabei handelt es sich möglicherweise um einen späteren, gezielten Eingriff in die Grubenverfüllung.

Grubenform

Wandverlauf	Sohlenverlauf	Übergang Sohle – Wand	primäre Nutzungsspuren	Auffälligkeiten
unten senkrecht mit starker Bauchung, Schultereinzug und steilkonischer Wandverlauf in oberem Bereich (stempelförmig)	waagrecht bis schwach nach außen gewölbt	angehoben und stark gerundet	stark lößhältige Schicht auf der Sohle im Randbereich; Überreste von der Nutzungsphase oder hereingebrochener Löß im leeren Zustand (Sign. 00057)	zentrale Störung innerhalb des Objekts (Zeitpunkt unklar, Sign. 10478)

Größe und Fassungsvermögen V2044

min. Dm. (d): Bereich Sign. 00065	100 cm
max. Dm. (D): Sign. 00059, 00060	220 cm
max. erh. Grubentiefe (h)	160 cm
max. rek. Grubentiefe	200 cm
erh. rek. Fassungsraum der Grube	3,37 m³
rek. Fassungsraum der Grube	3,55 m³
archäolog. Datierung	Ha B[1330]

1330. Für eine gesicherte zeitliche Zuordnung fehlen aussagekräftige Funde und eine naturwissenschaftliche Datierung.

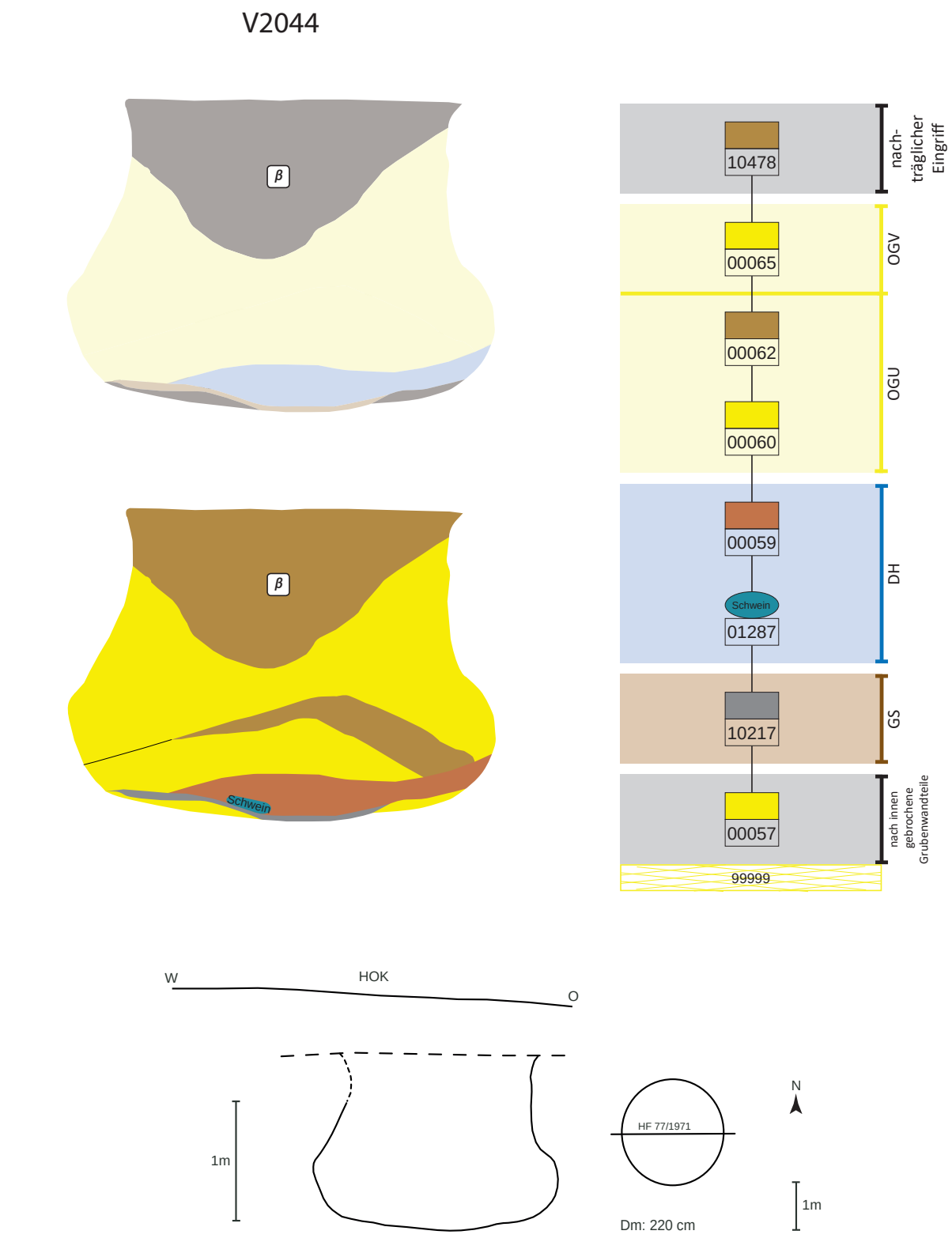


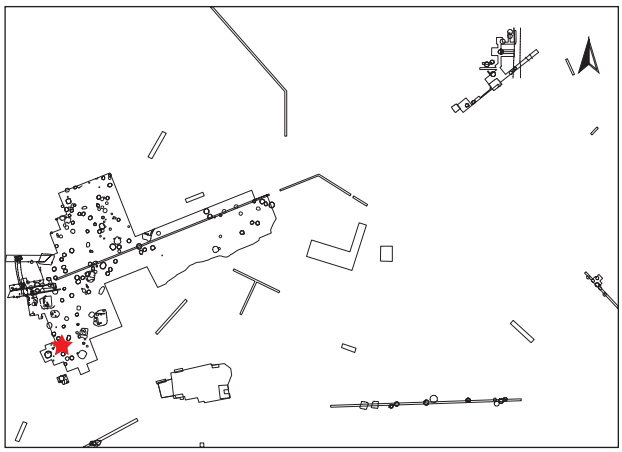
Abb. 376: V2044, schematische Darstellung, Schnitt und Lage des Schnittes im Planum.

Schichtabfolge V2044

Lage in der Grube	Sign.	Schicht-schlüssel	Beschreibung	Kurzbeschreibung	besondere Funde	Höhe ab Sohle in cm
direkt auf der Grubensohle						
primäre Nutzungs-spuren?	00057	3	stark lößhältige, dünne Schicht im Randbereich	Überreste von der Nutzung oder nach innen gebrochene Gruben-wandteile im leeren Zustand		0–6
waagrechte Oberkante	10217	1	Ascheband mit Holz-kohle im Zentrum und im Westbereich der Grube	dünne Aschenlage		0–8
„Deponierungs-horizont“						
Tierdeposition	IF1287 Sign. 00058	D	Deponierung eines Schweineoberteils,[1331] genaue Lage am Deponierungshorizont unbekannt	**Deponierung eines Schweineoberteils**		
	00059	17	Brandschutt mit Asche, Hüttenlehmbrocken und Tierknochen	Brandschutt mit Hüttenlehmbrocken		4–25
oberer Grubenbereich						
schüttkegelartige Oberkante	00060	3	Lößkegel, schwach aschig mit Holzkohle-flittern	Löß mit Asche durchmischt, Wandverlauf schwer zu erfassen		10–30
schüttkegelartige Oberkante	00062	9	Lößschicht, schwach humos			12–60
	00065	3	Löß und Asche, wie Sign. 00060	Verfüllung mit stark lößhältigem Material		20–135
zentraler nachträglicher Eingriff (β)	10478 β	9	braun-humoses Material	Humus, fundarm, darunter römerzeitliche Keramik (St. 1123)[1332]		bis 72 über Sohle

Objekt V2648 – Große kegelstumpfförmige Grube mit Fuchs, Feldhase und Wildschweinfrischling

Lage	Quadrant B-1
alte Objektnr.	Verf. 4, 4b
Literatur	Antl 1986, 119. – Pucher 1986, 38–41, 44–45. – Heiling-Schmoll 1987, 53–58. – Hellerschmid 2006. – Pucher 2017, 211–214 und Abb. 7. – Hellerschmid, Griebl in Vorbereitung. – Pucher in Vorbereitung.
Interfaces	1306–1308, 2349
Signaturen (Schichtnrn.)	00249, 00250, 00253, 00255



1331. Hausschwein(?), in Planbeschreibung HF 77/1971 wird das Skelettoberteil eines Schweines genannt, Tierknochen sind nicht auffindbar.
1332. Am Plan HF 77/1971 vermerkt.

Dokumentationsniveaus/Plana

Plannr.	Planum	alte Verf.	Lage/Quadrant	vertikale Einmessung		
				Ausgangspunkt	relative Tiefe	absolute Höhe in müA
HF 28/1983	Planum 3	4	B-1	SW B-1	-154 cm	198,56
HF 48a/1983	Zwischenplanum	4	B-1	SW B-1	-271 cm	197,39
HF 48/1983	Planum 4	4	B-1	SW B-1	-345 cm	196,65

Profile/Schnitte

Plannr.	alte Verf.	Hauptprofil		Schnitt	
		Orientierung	Lage/Quadrant	Bezeichnung	unter DOKN
HF 19/1983 (Abb. 377)	4b	Zwischenprofil	B-1	CED	Planum 1
HF 19/1983	4b	Zwischenprofil	B-1	AEB	Planum 1

Stratigraphie V2648

Das Objekt V2648 wird vollständig durch die römische Grube V648 gestört (Abb. 377, 378).

Grubenform

Wandverlauf	Sohlenverlauf	Übergang Sohle – Wand	primäre Nutzungsspuren
im Norden senkrecht, im Süden steilkonisch	waagrecht	gerundet im Norden, spitz zulaufend im Süden	

Größe und Fassungsvermögen V2648

min. Dm. (d): Bereich Sign. 00253	200 cm
max. Dm. (D): Sign. 00250	320 cm
max. erh. Grubentiefe (h)	160 cm
max. rek. Grubentiefe	270 cm
erh. rek. Fassungsraum der Grube	8,64 m³
rek. Fassungsraum der Grube	10,15 m³
archäolog. Datierung	Ha B3
Zuordnung zu Siedlungsphase	III/1

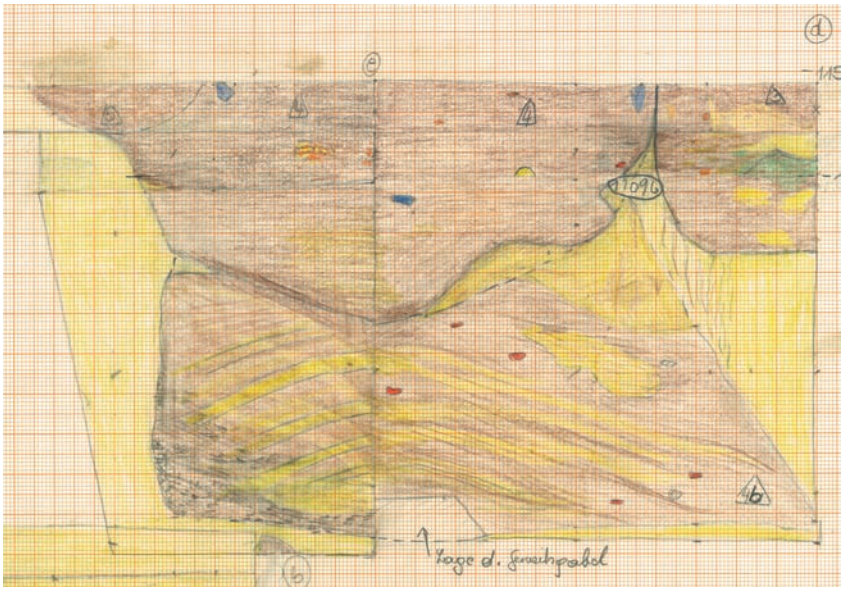


Abb. 377: V2648: Ostprofil von V2648. Die Hell-Dunkel-Einfüllung aus abwechselnd eingebrachten Löß- und Humuslagen ist hier besonders gut zu erkennen (Zeichnung: U. Langenecker, Universität Wien, Plannr. HF 19/1983).

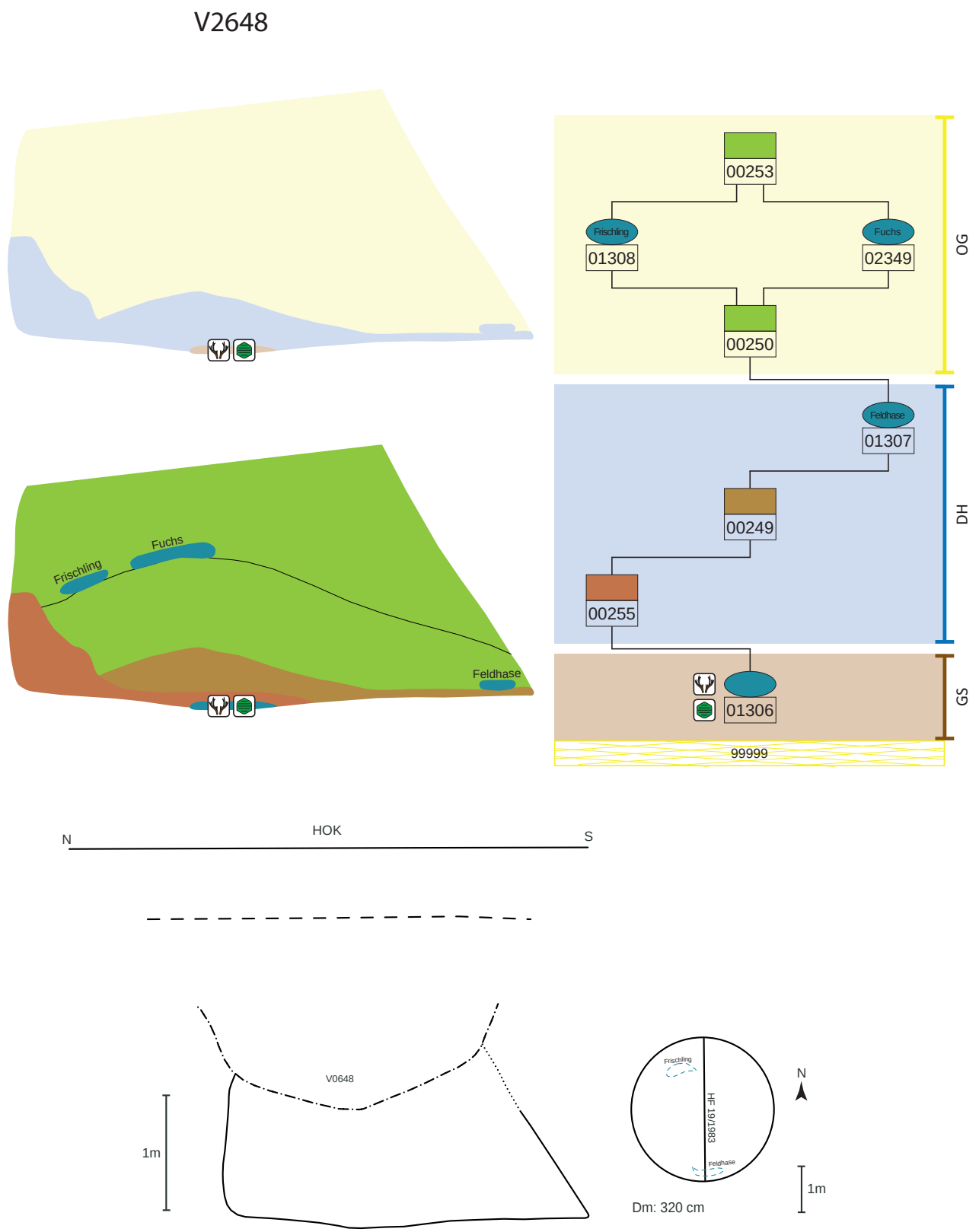


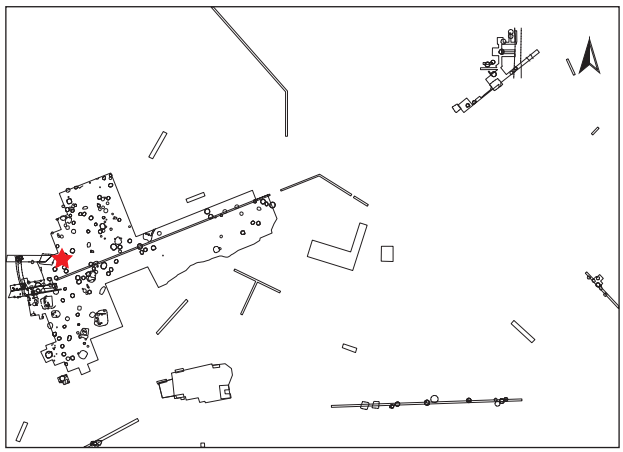
Abb. 378: V2648, schematische Darstellung, Schnitt und Lage des Schnittes im Planum.

Schichtabfolge V2648

Lage in der Grube	Sign.	Schicht-schlüssel	Beschreibung	Kurzbeschreibung	besondere Funde	Höhe ab Sohle in cm
direkt auf der Grubensohle						
Hirschgeweihdeposition	IF1306		abgelegte, abgesägte Hirschgeweihgabel, wenige Keramikstücke	Y-förmige, abgesägte Geweihgabel	**Bronzeniet** (St. 11382); **Hirschgeweihgabel** (St. 11385)	
„Deponierungshorizont“						
	00255	17	Brandschutt (aschig-humos) mit Keramikstücken, Tierknochen, Hüttenlehm und Schlacke (Taf. 60/3)	aschig, humos, fundreich		0–60
	00249	9	lehmig, humos	fundleer		0–35
Tierdeposition	IF1307	D	unvollständiger, großer Feldhase[1333]	**adulter Feldhase in rechter Seitenlage**		5–15
oberer Grubenbereich						
schwacher Schüttkegel	00250	14	abwechselnd dunkelhumose Einfüllung und Löß mit Keramikstücken, Tierknochen, Geweih, Schnecken, Hüttenlehm, Holzkohle, Schlacke	Hell-Dunkel-Einfüllung, fundreich (Abb. 377)	Knochenreste eines zweiten, juvenilen Feldhasen[1334]	5–90
Tierdeposition	IF1308	D	unvollständiger Wildschweinfrischling[1335] in linker Seitenlage	**Niederlegung eines Frischlings**		60–75
Tierdeposition?	IF2349	D?	alter Fuchs[1336] mit sehr schlechtem Zahnbild; Knochenverwachsungen als Folge degenerativer Erscheinungen und Verletzungen (Exostosen, Synostosen)	**sehr alter, in Gefangenschaft gehaltener Fuchs**, Fundlage des Skeletts unbekannt		60–75
	00253	14	Hell-Dunkel-Einfüllung, Tierknochen			30–160

Objekt V2713 – Große, kegelstumpfförmige Grube

Lage	Hügelfeld Quadrant I2, Riegel I1/I2
alte Objektnr.	Verf. 1[1337]
Literatur	Hellerschmid 2006. – Penz 2006.
Interfaces	
Signaturen (Schichtnrn.)	00274, 00275, 10369–10379, 10490



1333. FNrn. St. 11306, 11344, 11384, 11397, Knochenauswüchse an Zehen, Pucher 1986, 41. – Pucher in Vorbereitung.
1334. FNrn. St. 11183, 11185 (IF1330), Pucher 1986, 40. – Pucher in Vorbereitung.
1335. FNr. St. 11368. – Pucher 1986, 44–45.
1336. FNrn. St. 11212, 11167, 11171, 11175 (irrtümlich mit FNr. St. 11174 angeschrieben). – Pucher 1986, 38–39.
1337. Bei Hellerschmid 2006 und Penz 2006 hat die Grube die Nummer V713A.



Abb. 379: V2713: Zwischenprofil FA/AE in Quadrant I2 durch V2713, Blick Richtung Südwesten (Grabungsdokumentation Stillfried, Landessammlung Niederösterreich, Bereich Ur- und Frühgeschichte, Fotonr. ST03369).

Dokumentationsniveaus/Plana

Plannr.	Planum	alte Verf.	Lage/Quadrant	vertikale Einmessung		
				Ausgangspunkt	relative Tiefe	absolute Höhe in müA
HF 3/1985	Planum 1	1	I2	SO I2	-14 cm	198,12
HF 33/1985	Planum 2	1	I2	SW I2	-79 cm	197,73
HF 64/1985	Planum 3	1	I2	SW I2	-116 cm	197,36
HF 72/1985 (Abb. 381)	Planum 4	1	I2	SW I2	-135/-146 cm	197,17/197,06
HF 72/1985	Planum 5	1	I2	SW I2	-162 cm	196,90

Profile/Schnitte

Plannr.	alte Verf.	Hauptprofil		Schnitt	
		Orientierung	Lage/Quadrant	Bezeichnung	unter DOKN
HF 8/1985	1	Zwischenprofil	I2	DH	Planum 1
HF 38/1985	1	Westprofil (Teil)	I2		HOK
HF 77/1985	1	Zwischenprofile	I2	CA, AB	Planum 2
HF 78/1985 (Abb. 379)	1	Zwischenprofile	I2	FA, AE	Planum 2
HF 114/1985 (Abb. 380)	1	Westprofil	I2		HOK

Stratigraphie V2713

Im Zentrum von Objekt V2713 wurde nachträglich Material abgegraben (Sign. 10490). Über einem Kappungshorizont liegt rezenter Humus (Abb. 380).

Grubenform

Wandverlauf	Sohlenverlauf	Übergang Sohle – Wand	primäre Nutzungsspuren	Auffälligkeiten
konische Wand	waagrechte bis leicht nach außen gewölbte Sohle	eckig-scharfkantig		natürlich (durch Witterungseinflüsse?) eingeschlämmte Lößschicht (Sign. 10373), zentrale Störung innerhalb des Objekts (β, Zeitpunkt unklar)

Größe und Fassungsvermögen V2713

min. Dm. (d): Bereich Sign. 10379	ca. 235 cm
max. Dm. (D): Grubensohle	366 cm
max. erh. Grubentiefe (h)	114 cm
max. rek. Grubentiefe	250 cm
erh. rek. Fassungsraum der Grube	8,21 m³
rek. Fassungsraum der Grube	10,13 m³
archäolog. Datierung	Ha B

Schichtabfolge V2713

Lage in der Grube	Sign.	Schicht-schlüssel	Beschreibung	Kurzbeschreibung	besondere Funde	Höhe ab Sohle in cm
direkt auf der Grubensohle						
	10369	4	Schüttkegel aus braun-humosem Material	Humus, fundarm		0–8
	10370	2	graue Ascheschicht mit Holzkohleflittern	Asche, fundarm		0–12
	10371	4	braun-humoses Material	Humus, fundarm		0–18
„Deponierungs-horizont“						
	00274	2	graue Ascheschicht mit Holzkohleflittern	Asche, eher fundarm(?)		0–18
	10372	4	dunkelbraun-humoses Material	Humus, fundarm(?)		0–28
	10373	6	braun-lehmiges Material	eingeschwemmter Löß		0–30
	10374	3	gelb-lehmig (nur an der Südostkante)	Löß		0–10
keine waagrechte Oberkante, keine Deponierung/Störung in diesem Bereich	00275	15	mehrere Schichten braun-humosen Materials, hellgelber Löß, rötlich-braunes, lehmiges Material mit Hüttenlehmbrocken	Humus, Löß, Brandschutt, teils Funde (eher wenige)		5–60
oberer Grubenbereich						
	10375	17	grau-braunes Material mit kleinen Hüttenlehmbröckchen	Humus-Brandschutt-Gemisch, eher fundarm(?)	**Schleifsteinfrg.** (St. 12914)	12–80
	10376	3	gelb-lehmiges Material	Löß		14–94
	10377	9	braun-humoses Material	Humus-Gemisch, eher fundarm(?)		32–106
	10378	3	gelb-lehmiges Material	Löß		ab 32
Verfüllung(?)	10379	9	braun-humoses, inhomogenes Material mit Lößbrocken	Humus-Gemisch, eher fundarm(?)		ab 32
zentraler nachträglicher Eingriff (β)	10490	9 β	braun-humoses Material (Abb. 380, 381)	Humus, eher fundarm(?)	**Bronzeknöpfchen**[1338] (St. 12726)	bis 47 über Sohle

1338. Penz 2006, Taf. 20/2.



Abb. 380: V2713: Westprofil von Quadrant I2 mit Schnitt durch den Randbereich der Grube V2713 (Grabungsdokumentation Stillfried, Landessammlung Niederösterreich, Bereich Ur- und Frühgeschichte, Fotonr. ST29080).

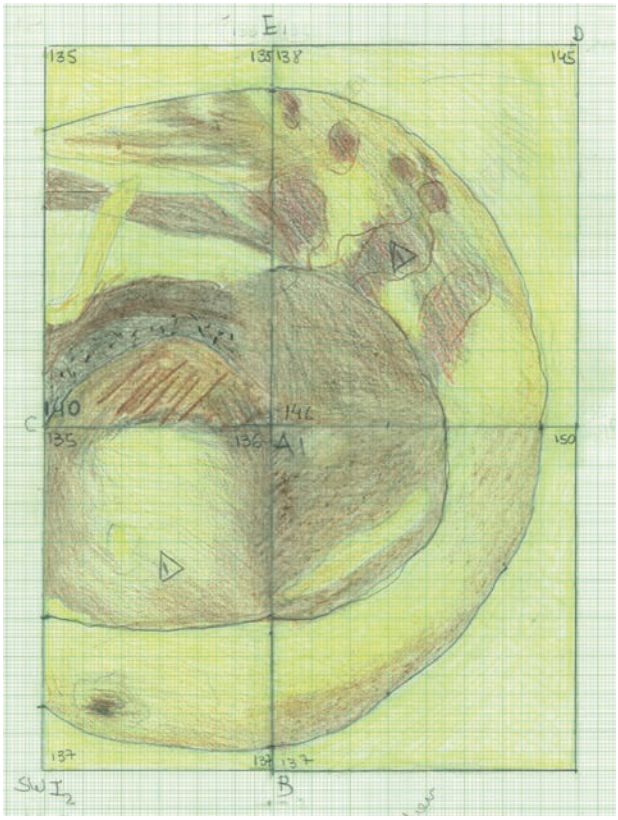


Abb. 381: V2713: Zeichnung von Planum 4 von Quadrant I2 mit V2713. Das Planum wurde etwa auf halber Grubenhöhe angelegt. Zu sehen ist gelber Löß und brauner Humus in den Randbereichen (Hell-Dunkel-Einfüllung? Sign. 10376–10379), im Zentralbereich brandschuttartiges Material (Sign. 10375 und 00275) sowie einheitlich humoses Material, das von der Störung (Schicht 10490 β) stammen dürfte (Zeichnung: A. Mikosz, Universität Wien, Plannr. HF 72/1985).

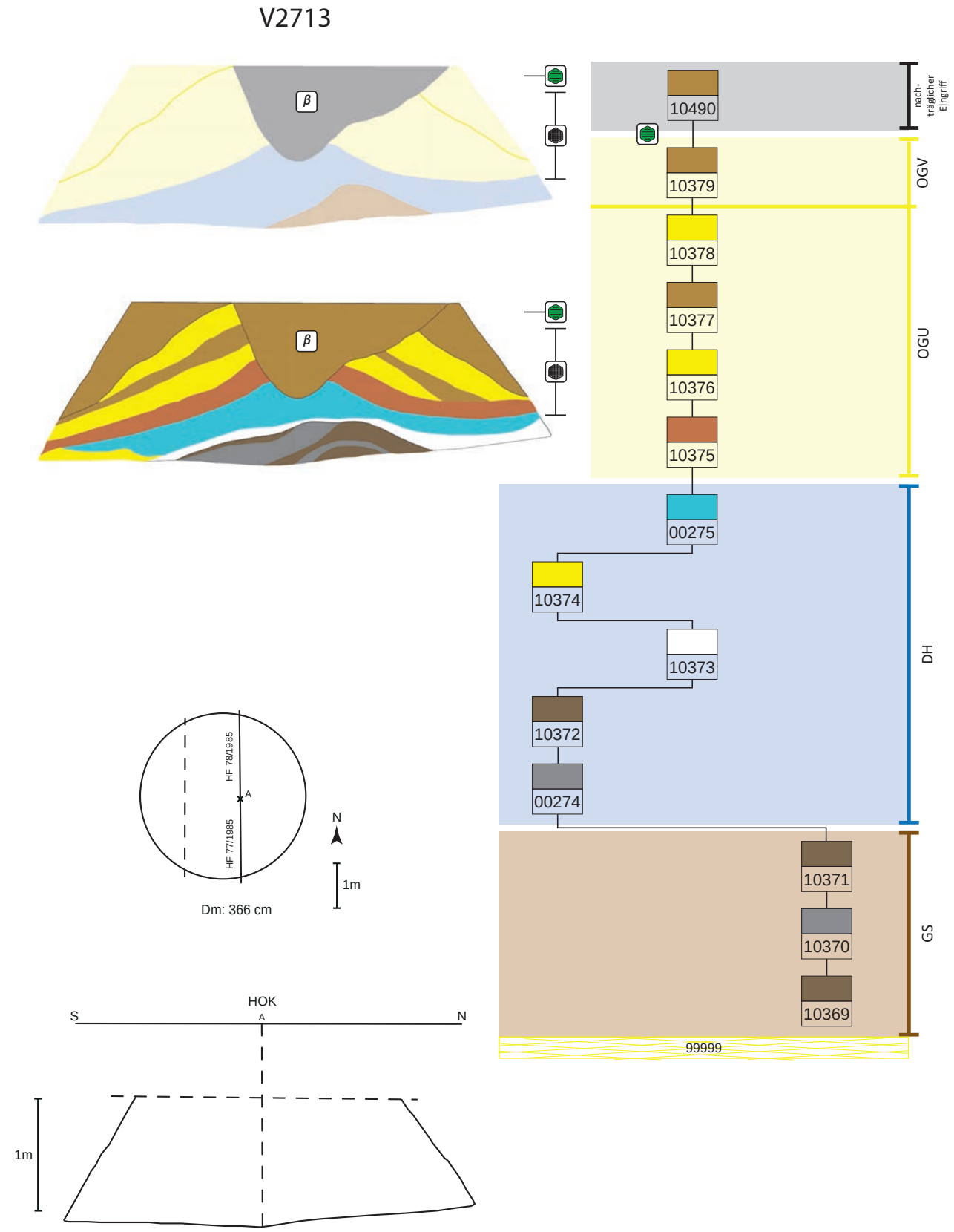
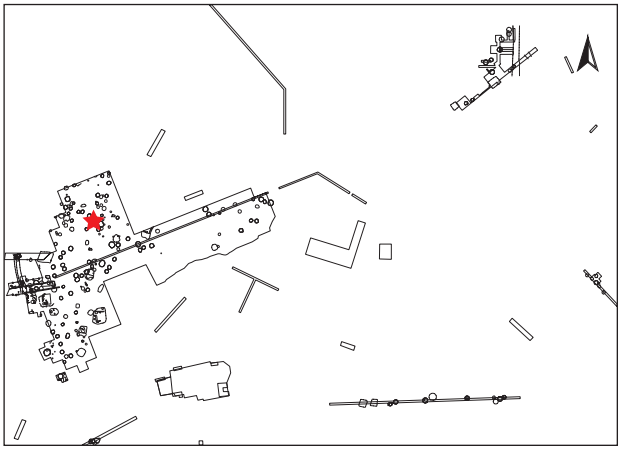


Abb. 382: V2713, schematische Darstellung, Schnitt und Lage des Schnittes im Planum.

Objekt V2779 – Kegelstumpfförmige Grube

Lage	Hügelfeld Quadranten K5, K6, Riegel K5/K6
alte Objektnr.	Verf. 2a, 3
Literatur	
Interfaces	
Signaturen (Schichtnrn.)	10394–10401



Dokumentationsniveaus/Plana

Plannr.	Planum	alte Verf.	Lage/Quadrant	vertikale Einmessung		
				Ausgangspunkt	relative Tiefe	absolute Höhe in müA
HF 13/1986	Planum 2	2a	K5	SO K5	-92 cm	?
HF 13/1986	Planum 3	2a	K5	SO K5	-132 cm	?
HF 17/1987	Planum 1	3	K6	SW K6	-45 cm	197,09
HF 71/1987	Planum 2	3	K6	SW K6	-110 cm	196,44

Profile/Schnitte

Plannr.	alte Verf.	Hauptprofil		Schnitt	
		Orientierung	Lage/Quadrant	Bezeichnung	unter DOKN
HF 25/1986	2a	Ostprofil	K5		Abschub
HF 60/1987	3	Zwischenprofil	K6	AB	Planum 1
HF 97/1987	3	Zwischenprofil	K6	EF	Planum 2
HF 110/1987 (Abb. 383)	3	Westprofil	K6		Abschub



Abb. 383: V2779: Westprofil von Quadrant K6 mit V2779 (Grabungsdokumentation Stillfried, Landessammlung Niederösterreich, Bereich Ur- und Frühgeschichte, Fotonr. ST47780002).

Stratigraphie V2779

Objekt V2779 erscheint ungestört. Der obere Bereich wirkt gekappt, darüber lagert rezenter Humus (Abb. 383, 384).

Grubenform

Wandverlauf	Sohlenverlauf	Übergang Sohle – Wand	primäre Nutzungsspuren
steilkonische Wand	waagrecht	gerundet	(verkohlte/verrottete) Überreste der Einfüllung(?) (Sign. 10394)

Größe und Fassungsvermögen V2779

min. Dm. (d): Bereich Sign. 10401	ca. 130 cm
max. Dm. (D): Grubensohle	ca. 165 cm
max. erh. Grubentiefe (h)	134 cm
max. rek. Grubentiefe	140 cm
erh. rek. Fassungsraum der Grube	1,34 m³
rek. Fassungsraum der Grube	1,35 m³
archäolog. Datierung	Ha B

Schichtabfolge V2779

Lage in der Grube	Sign.	Beschreibung	Kurzbeschreibung	besondere Funde	Höhe ab Sohle in cm
direkt auf der Grubensohle					
primäre Nutzungsspuren?	10394	dunkelbraun-humoses Material	Humus (Rest primärer Nutzung?), fundarm		0–2
		nicht mittig geschnitten! evtl. im Zentrum weitere Schicht/Schüttkegel			
	10395	hell-humoses Material	Humus-Löß-Gemisch, fundarm(?)		0–10
„Deponierungshorizont“					
	10396	grau-aschiges Material, mit Holzkohle und wenigen Hüttenlehmbröckchen durchsetzt	Asche mit wenig Brandschutt, fundarm(?)	Rehkrickerl (St. 21228)	5–26
	10397	hellbraunes, humos-lehmiges Material	Humus-Löß-Gemisch, fundarm(?)		18–35
	10398	grau-aschiges Material, mit Holzkohle durchsetzt	Asche, fundarm(?)		26–39
	10399	braun-humoses Material	Humus mit wenig Löß vermischt, fundarm(?)		28–42
annähernd waagrechte Oberkante (kann auch täuschen, da nicht mittig geschnitten!), keine Deponierung	10400	grau-aschiges Material, mit Holzkohle und wenigen Hüttenlehmbröckchen durchsetzt	Asche mit wenig Brandschutt, fundarm(?)		36–57
oberer Grubenbereich	10401	braun-humoses Material, mit Lößklumpen durchsetzt	Humus-Löß, fundarm(?)		ab 47

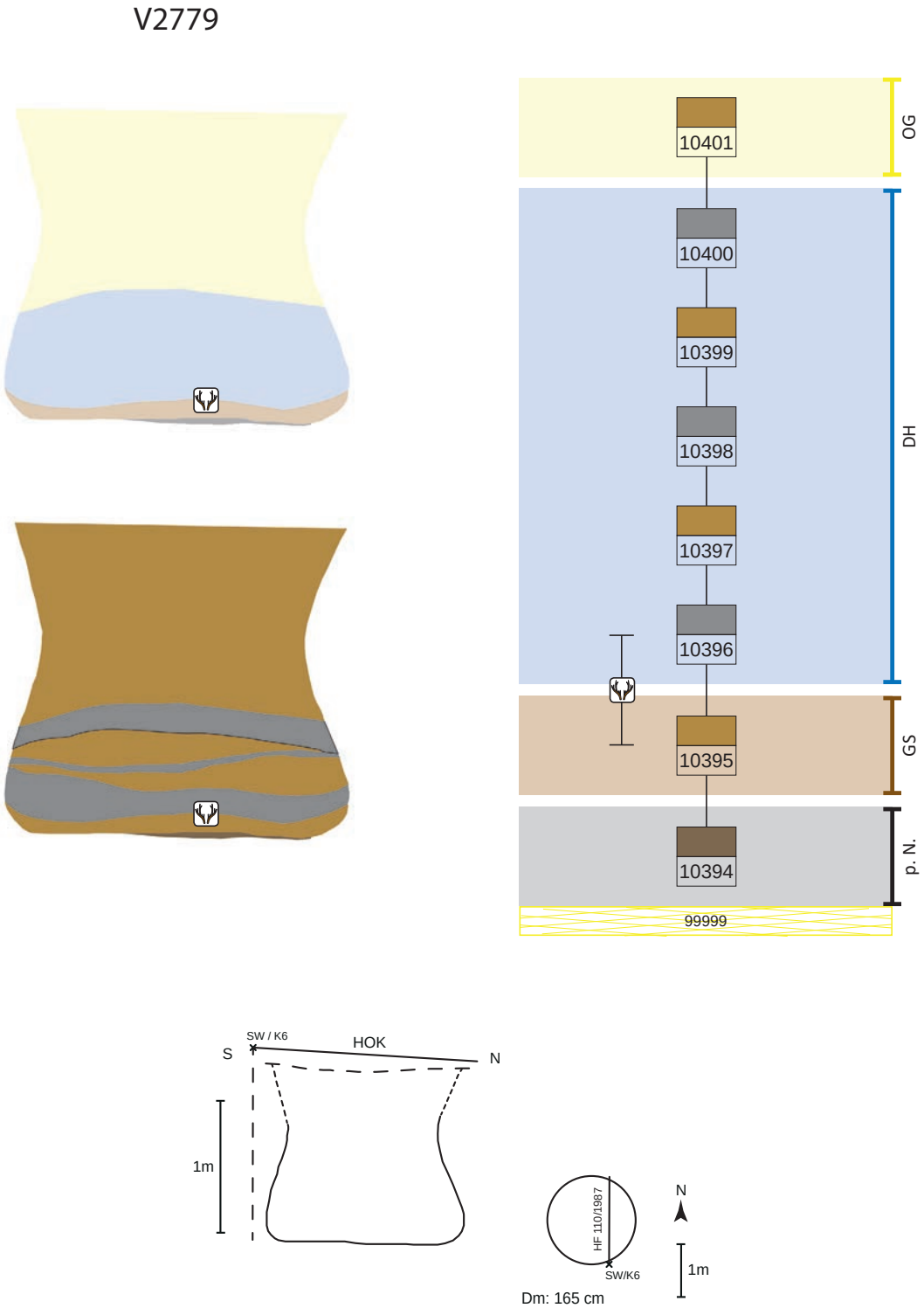


Abb. 384: V2779, schematische Darstellung, Schnitt und Lage des Schnittes im Planum.

Schichtbeschreibung (Sign.) V2779

Sign.	Schicht-schlüssel	Beschreibung	auf Plan	zugeordnete Fundnummern	besondere Funde
10394	4	dunkelbraun-humose Schicht auf der Sohle der Grube, ca. 2 cm hoch	HF 25/1986, HF 17, 110/1987		
10395	9	hellhumoses, mit wenig Löß durchsetztes Material, relativ gleichmäßig mächtig mit ca. 8 cm	HF 25/1986, HF 17, 110/1987		
		Bereich Sign. 10396 bis 10394		21228	**Rehkrickerl**
10396	1	grau-aschiges Material, mit Holzkohle und Hüttenlehm durchsetzt; 10–20 cm mächtig	HF 25/1986, HF 17, 110/1987		
10397	9	hellbraunes, humos-lehmiges Material; 2–16 cm mächtig	HF 25/1986, HF 17, 110/1987		
		Bereich Sign. 10398 bis 10396		21227	
		Bereich Sign. 10398, 10397		20252	
10398	1	grau-aschiges Material, mit Holzkohle durchsetzt; 3–4 cm mächtig	HF 25/1986, HF 17, 71, 110/1987		
		Bereich Sign. 10399, 10398		21225	
10399	9	braun-humoses Material; 2–16 cm mächtig	HF 13/1986(?), HF 25/1986, HF 71, 97, 110/1987		
10400	1	grau-aschiges Material, stark mit Holzkohle und Hüttenlehmbröckchen durchsetzt; ca. 12 cm mächtig	HF 25/1986, HF 110/1987		
		Bereich Sign. 10401 bis 10396		21067	
10401	9	braun-humoses Material, mit Lößklumpen durchsetzt; ca. 80 cm mächtig erhalten, keine Schichtung erkennbar!	HF 13, 25/1986, HF 17, 60, 110/1987		

Funde V2779

Die Grube beinhaltete nur wenige Funde. In keinem Fall konnten größere Gefäßpartien zusammengesetzt werden. Am aussagekräftigsten ist eine Wandscherbe mit Ritzlinienverzierung und Dellen am Schulterumbruch (Taf. 4/3). Des Weiteren besitzen zwei Scherben Fingertupfenleisten (FNrn. St. 21228, 21228). Meist weisen die Scherben sekundäre Brandspuren auf. Ein Rehkrickerl (FNr. St. 21228) wurde nicht näher bestimmt.

Archäologische Datierung

Die wenigen Funde erlauben nur eine allgemeine Datierung in die Urnenfelderzeit.

Befundinterpretation

Es handelt sich um eine ehemalige kleine Speichergrube, die sekundär mit humosem Material, das stellenweise mit wenig Brandschutt vermischt war, verfüllt wurde.

Fundkatalog V2779

20252
K5; Planum 1–2; 130–140 cm unter SO-Ecke
Alte Verf. 2(a)
Bereich Sign. 10398, 10397
Ker, Kn, HL
- 1 HL
- 5 WS (davon 4 sek. gebr.)
- 1 BoS von Schale, mittelfein
KiNr.: 1/15078, 1/15079

21067
K6; Planum 1–2; 0–61 cm unter Planum 1
Alte Verf. 3
Sign. 10401 bis 10396
Ker, Kn
- 1 WS, dick, sek. gebr.
KiNr.: 1/16064

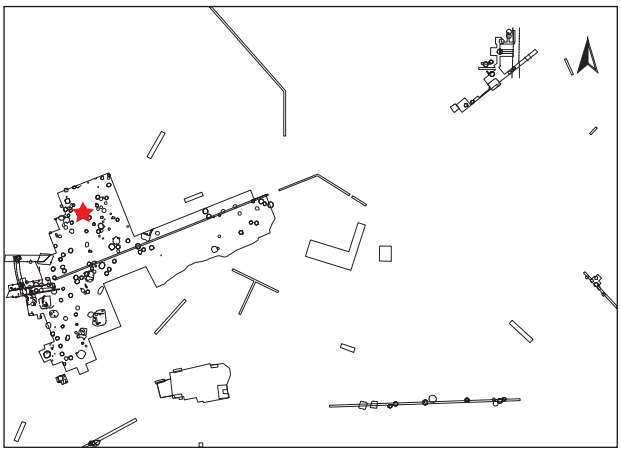
21125
K6; Planum 2; auf Plan HF 71/1987
Alte Verf. 3
Bereich Sign. 10399, 10398
Ker, Kn
- 1 kl. WS, grob, sek. gebr.?
KiNr.: 1/16064

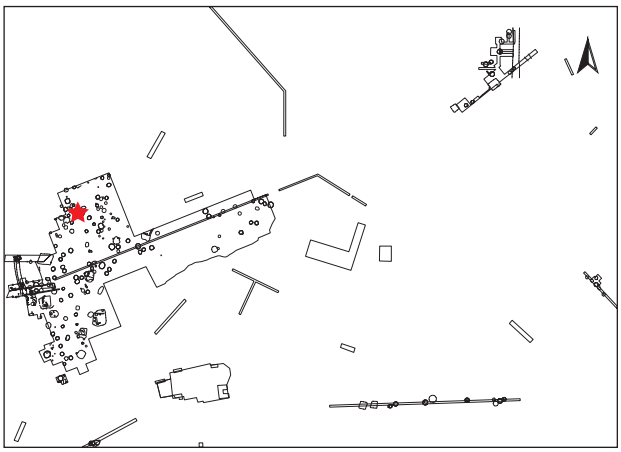
21227
K6; 0–25 cm unter Planum 2
Alte Verf. 3
Bereich 10398 bis 10396
Ker, Kn, Stein, HL
- 1 WS mit Ritzlinien u. Dellen auf Schulter (Taf. 4/3)
- 2 RS von feiner Schale
- 1 RS von Topf mit Fingertupfenleiste
KiNr.: 1/16064

21228
K6; 25–50 cm unter Planum 2
Alte Verf. 3
Bereich Sign. 10396 bis 10394
Ker, Kn, Horn, Stein
- Rehkrickerl
- 1 WS von Topf mit Fingertupfenleiste auf Schulter
KiNr.: 1/16064

Objekt V2784 und V3784 – Zwei kegelstumpfförmige Gruben mit Tierskelettverbänden („Zwillingsgruben"), Gefäß(scherben)- und Arbeitssteinverband sowie Bronzehort in V2784

Lage	Hügelfeld V2784: Quadrant L5 V3784: Quadrant L5, Riegel L4/L5
alte Objektnr.	V2784: Verf. 2, 2c V3784: Verf. 2b
Literatur	Artner 1988. – Felgenhauer 1988. – Hellerschmid 2006. – Penz 2006, 350–353 und Taf. 22, 23. – Lauermann, Rammer 2013, 96–99.– Pucher 2017, 209–210 und Abb. 3. – Brandl, Martinez in Vorbereitung[1339]. – Hellerschmid, Griebl in Vorbereitung. – Pucher in Vorbereitung.
Interfaces	V2784: 1313, 2347, 3864 V3784: 2348
Signaturen (Schichtnrn.)	V2784: 00328–00330, 10241 V3784: 00333–00336





Dokumentationsniveaus/Plana

Plannr.	Planum	alte Verf.	Lage/Quadrant	vertikale Einmessung		
				Ausgangspunkt	relative Tiefe	absolute Höhe in müA
HF 12/1986	Planum 1	2	L5	NO L5	-46 cm	195,97
HF 51/1986 (Abb. 385)	Planum 3	2, 2b	L5	NO L5	-78 cm	195,65
HF 63a/1986 V2784	Detailplanum Bronzehort	2	L5	Planum 3	-60–65 cm	195,05–195,00
HF 66/1986	Planum 4	2c	L5	NO L5	-118 cm	195,25
HF 124/1987 V3784 (Abb. 387)	Riegelplanum	2b	L4/L5	Westprofil L5/ Lfm. 2,5	-130 cm	ca. 195,20

1339. Analysenummern 1, 3, 4, 6–11.

Profile/Schnitte

Plannr.	alte Verf.	Hauptprofil		Schnitt	
		Orientierung	Lage/Quadrant	Bezeichnung	unter DOKN
HF 55a/1986	2b	Zwischenprofil	L5	CG	Planum 1
HF 64/1986	2b	Zwischenprofil	L5	CG	Planum 3
HF 64/1986	2c	Zwischenprofil	L5	GA	Planum 3
HF 64/1986	2c	Zwischenprofil	L5	CB	Planum 3
HF 65a/1986	2b	Zwischenprofil	L5	DG	Planum 3
HF 65a/1986	2b	Westprofil	L5		HOK

Stratigraphie/Interpretation V2784/3784

Die beiden kegelstumpfförmigen Gruben V2784 und V3784 gleichen einander in Form, Tiefe und Verfüllung. Im Bereich ihres größten Durchmessers (im unteren Grubenbereich) liegen sie nur 15 cm voneinander entfernt (Abb. 385). Eine gleichzeitige Errichtung bzw. Benutzung dieser beiden Gruben ist anzunehmen. Die beiden Gruben werden großflächig durch den mittelalterlichen Ofen V784 samt Aschengrube (V1784) und V2030 gestört (Abb. 385, 386, 388).

Die Bestimmung der Tierknochen aus Schicht 00330, dem Inhalt der „Lehmwanne" in V2784, erbrachte die annähernd vollständigen Skelette eines Wolfes und eines Rehs (FNr. 20524). Da sich den Ausgräbern kein Hinweis auf eine Deponierung bot, ist davon auszugehen, dass die Tierüberreste in bereits vollkommen verwestem Zustand hinein kamen.

Die Reh- und Wolfsknochen zeigen Spuren von Gefangenschaftshaltung sowie Zuchthinweise und belegen am Zentralort Stillfried jene eigentümlichen, bisher unerklärbaren Vorgänge, die mit Haltung und Zucht von heimischen Wildtierarten zu tun haben.[1340] V3784 werden die Knochen eines vollständigen Rinderkalbes[1341] zugewiesen, deren Lage ebenso ungewiss ist. Nachweislich im Sehnenverband vorgefunden wurde allerdings ein Feldhase[1342] (Abb. 387).

Grubenform V2784 und V3784

Wandverlauf	Sohlenverlauf	Übergang Sohle – Wand	primäre Nutzungsspuren	Auffälligkeiten
senkrecht bis steilkonisch	annähernd waagrecht	gerundet		V2784: hinter dem Sohle-Wand-Übergang wurde ein Bronzehort versteckt; gebrannte Lehmwanne mit Skeletten von großen und mittelgroßen Säugetieren

Größe und Fassungsvermögen V2784 und V3784

	V2784	**V3784**
min. Dm. (d): Bereich Sign. 00330/00336	180 cm	130 cm
max. Dm. (D): Sign. 00328/00333	190 cm	150 cm
max. erh. Grubentiefe (h)	60 cm	90 cm
max. rek. Grubentiefe	170 cm	170 cm
erh. rek. Fassungsraum der Grube	1,61 m³	1,39 m³
rek. Fassungsraum der Grube	2,87 m³	1,93 m³
archäolog. Datierung	Ha B3	Ha B3
^{14}C-Datierung	Poz-78218[1343]: 2695 ± 30 BP [901 (95,4 %) 806 BC, Mw. 854 BC]	
Zuordnung Siedlungsphase	III/2	III/2

1340. Pucher 1986. – Pucher 2017. – Pucher in Vorbereitung.

1341. FNr. St. 21307 aus V3784.

1342. Großteil der Hasenknochen trägt FNrn. St. 21307, 21319, siehe Plan HF 124/1986 (V3784), einige tragen FNr. St. 20524, die V2784 zugewiesen wird.

1343. Probe: FNr. St. 21307, Knochen von Wolf aus V2784.

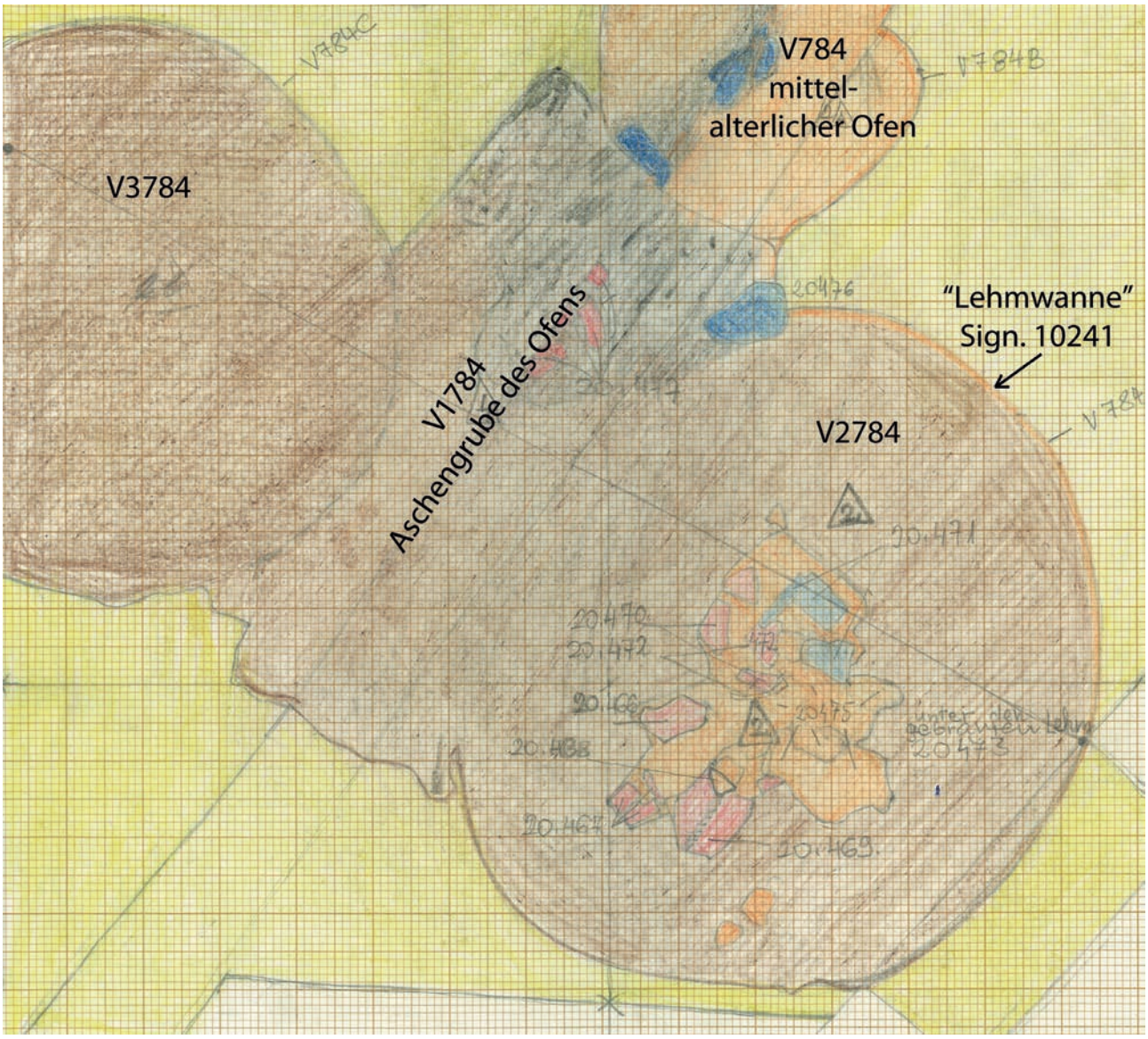


Abb. 385: V2784, V3284: Planum 3 in Quadrant L5. Bei der östlichen (rechten) runden Verfärbung handelt es sich um V2784. In ihrem Zentrum liegt die Brandschuttschicht 00329 mit Keramik und Knochen. Der rötliche Rand stammt von der gebrannten „Lehmwanne" Sign. 10241. Die westliche (linke) runde Verfärbung ist V3784 mit der humos-lehmigen Verfüllschicht 00333. Beide Gruben werden von der mittelalterlichen Ofenanlage V784/V1784 überlagert (Zeichnung: E. Hanny, Universität Wien, Plannr. HF 51/1986).

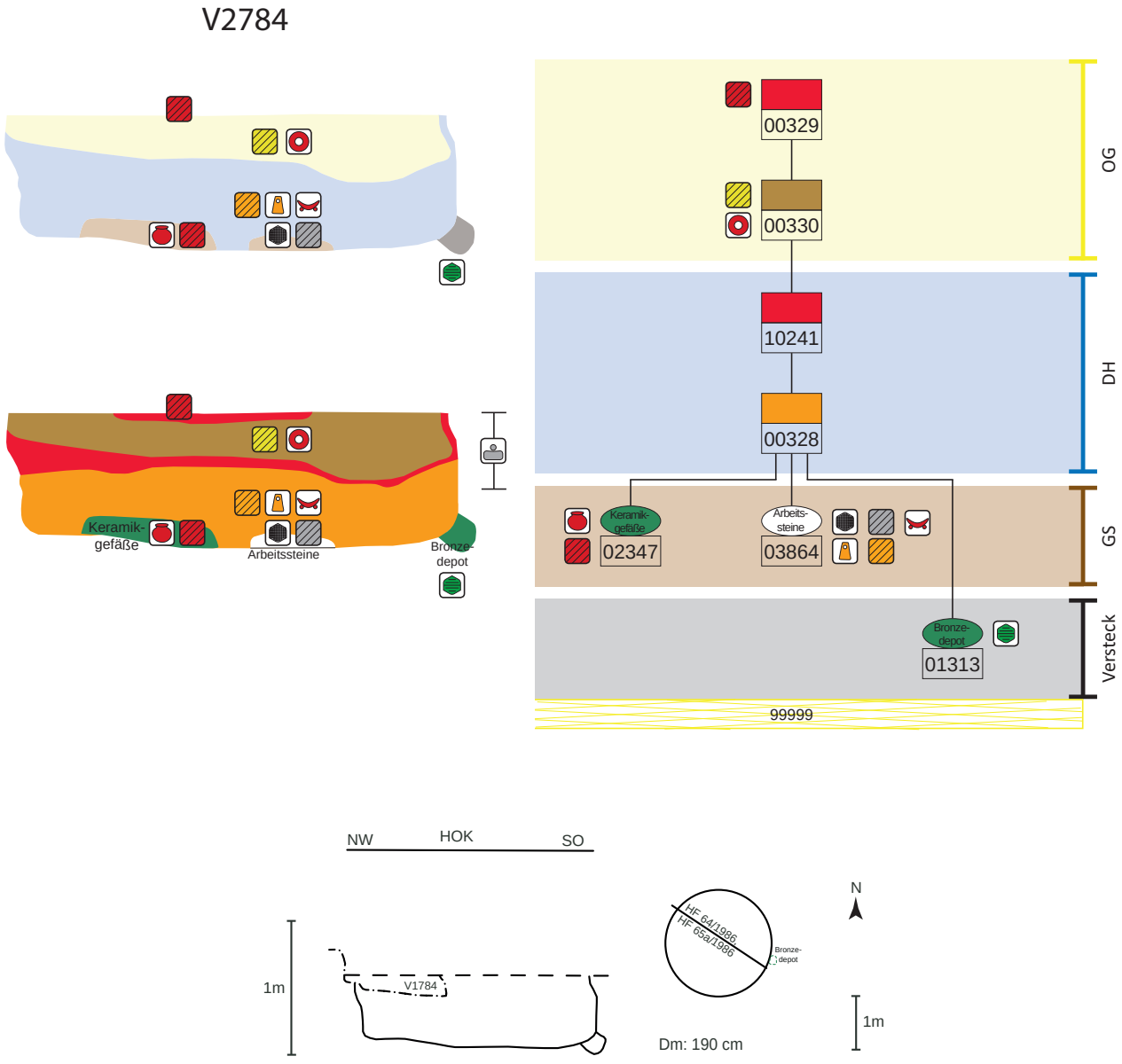


Abb. 386: V2784, schematische Darstellung, Schnitt und Lage des Schnittes im Planum.

Schichtabfolge V2784

Lage in der Grube	Sign.	Schicht-schlüssel	Beschreibung	Kurzbeschreibung	besondere Funde	Höhe ab Sohle in cm
versteckt unter bzw. seitlich der Grubensohle	IF1313	D	Bronzehort als eng gepacktes Bündel aus vollständigen und neuwertigen Bronzegegenständen (Abb. 46)	„personengebundener Hort“[1344]	**Bronzehort**, bestehend aus vollständigen und neuwertigen Bronzegegenständen, worunter Frauenschmuck überwiegt: 10 Armreifen, 2 Paar Brillenfibeln, 1 Paar Harfenfibeln, 2 Tüllenbeile und 2 Gussklumpen (Sammelfundnr. St. 20523;[1345] Taf. 61)	0
direkt auf der Grubensohle						
Gefäß(scherben)verband	IF2347	D	21 zerbrochene Gefäße[1346] (7 Schalen, 3 Kegelhalsgefäße, 9 Töpfe, eine Tasse, eine Sonderform), wovon sich 6 vollständig zusammensetzen ließen	21 zerbrochene Gefäße unterschiedlicher Funktion und Vollständigkeit	**vollständige Gefäße und BS** (St. 20516, 20521)	0–10
			Funde auf der Grubensohle, unter anderem zahlreiche, große Hüttenlehmbruchstücke (Architekturteile)		**Feuerbockfrg.; pyramidenstumpfförm. Webgewicht; Hüttenlehm, auch massivere Architekturteile** (alle St. 20521; Taf. 60/4 u. Abb. 103, 104)	
Arbeitssteinverband	IF3864	D	3 Multifunktionsgeräte (mit Schlag-, Stoß-, Klopf- und Reibspuren)[1347], 1 Glättstein[1348]; 1 zugerichtetes Plattenfragment[1349]; 1 Hitzestein[1350]		**Arbeitssteine** (St. 20521, 20547; Taf. 62/1–4; 63/1–2)	
„Deponierungshorizont“						
mit waagrechter Oberkante	00328	2	Brandschutt aus gebranntem Lehm und vielen Keramikbruchstücken	Überdeckung der Niederlegungen auf der Grubensohle		0–35
	10241	5	dünne Schicht hitzeverfärbten Lehms, waagrecht und entlang der Grubenwand im Südosten	in der Grube gebrannter, sekundär verlagerter Löß, „Lehmwanne“ (Abb. 385, 386)		30–60

1344. Kennzeichnend für das fortgeschrittene 10. und das 9. Jahrhundert v. Chr., Bezeichnung nach Metzner-Nebelsick 2012, 165.

1345. Verbleib Museum Stillfried. Penz 2006, 350–353 und Taf. 22, 23. – Lauermann, Rammer 2013, 96–99. – Zeitstellung des Bronzehortes: Depotfundstufe (DFS) V (Ha B3) bzw. bereits an den Übergang nach VI (Ha C1a nach Pare: 800–730/720 v. Chr.), Pare 1998, 371, 379. – Penz 2006, 352–353.

1346. FNrn. St. 20516, 20521, Hellerschmid 2006, Taf. 83/5–8; 84–86, 87/1–2.

1347. FNr. St. 20521, Penz 2006, Taf. 21/6, 9–10. – Brandl, Martinez in Vorbereitung, Analysenr. 8–10 (Sandstein, Quarzit).

1348. FNr. St. 20547, Brandl, Martinez in Vorbereitung, Analysenr. 1 (karbonatischer Sandstein).

1349. FNr. St. 20521, Brandl, Martinez in Vorbereitung, Analysenr. 6 (Gneis).

1350. FNr. St. 20521, Brandl, Martinez in Vorbereitung, Analysenr. 11 (Quarzitknolle, primäre Funktion: Klopfstein).

Lage in der Grube	Sign.	Schicht-schlüssel	Beschreibung	Kurzbeschreibung	besondere Funde	Höhe ab Sohle in cm
oberer Grubenbereich						
	00330	9 D?	lockere, humos-aschige Verfüllung, Tierskelette in unbekannter Fundlage[1351] (Abb. 385, 386)	Verfüllung der gebrannten „Tonwanne“ mit den Knochen eines skelettierten Wolfes und Rehs(?)	**Tonring** (St. 20546; Taf. 63/3); **Tierskelette von Wolf und Reh** (Fundlage unbekannt)	25–60
	00329	5	gebrannte, waagrechte Lehmschicht im Grubenzentrum mit viel Keramik, Hüttenlehm (Abb. 385)			55–60
	00328–00330		Zuordnung nicht gesichert		**Reibplatte (Unterlieger) aus Granit**[1352] (St. 20519; Taf. 4/4; 63/4 u. Abb. 130)	

Schichtabfolge V3784

Lage in der Grube	Sign.	Schicht-schlüssel	Beschreibung	Kurzbeschreibung	besondere Funde	Höhe ab Sohle in cm
direkt auf der Grubensohle						
waagrechte Oberkante	00335	9	humose Einfüllung	humos, fundleer		0–20
„Deponierungs-horizont“						
waagrechte Oberkante	00334	3	dünne Lößschicht			25–30
Feldhasendeposition	IF2348	D	adulter Feldhase im Sehnenverband abgelegt	**Deponierung eines adulten Feldhasen**[1353] (Abb. 387)		25–30
oberer Grubenbereich						
waagrechte Oberkante	00333	9	humos-lehmig mit Holzkohleflittern und Hüttenlehmbrocken	humos-lehmig, fundleer (Abb. 385, 388)		30–75
	000335–00333	D?	genaue Position und Fundlage unbekannt	**Knochen von vollständigem Rinderkalb** (St. 21307)		
	00336	3	Lößeinfüllung	Löß, fundleer		75–90

1351. Annähernd vollständige Skelette eines Wolfes (FNr. St. 20524) und eines Rehs (FNr. St. 20524). Einige Knochen dieser beiden Tiere trugen Fundnummern aus V3784 (FNrn. St. 21307, 21319), hier ist von einem Fehler in der Fundverwaltung auszugehen, auch Pucher in Vorbereitung, Kap. 2 „Aktuelles Forschungsprojekt“.

1352. Maße: max. L. 31 cm, B. 16–18,5 cm, max. H. 6,7 cm, durchgängig Originalseitenkanten(?). Grüner (Bronze)Abdruck auf der Rückseite.

1353. FNrn. St. 21307, 21319, 20524, wobei FNr. St. 20524 V2784 zugewiesen wird. Da davon auszugehen ist, dass ein vollständiger Tierkadaver vorgelegen hat, ist von einem Beschriftungsfehler auszugehen, Pucher in Vorbereitung.

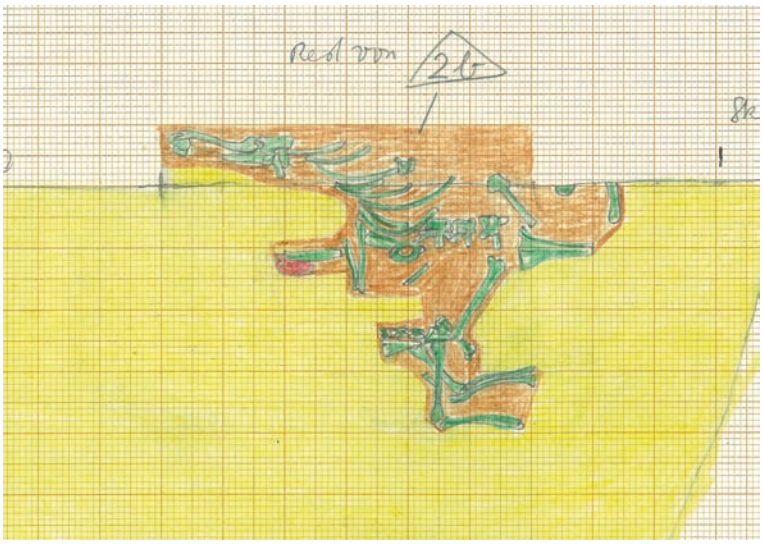


Abb. 387: V3784: Riegelplanum L4/L5 (195,15–195,20 müA) von V3784 mit dem Feldhasen (Zeichnung: E. Hanny, Universität Wien, Plannr. HF 124/1987).

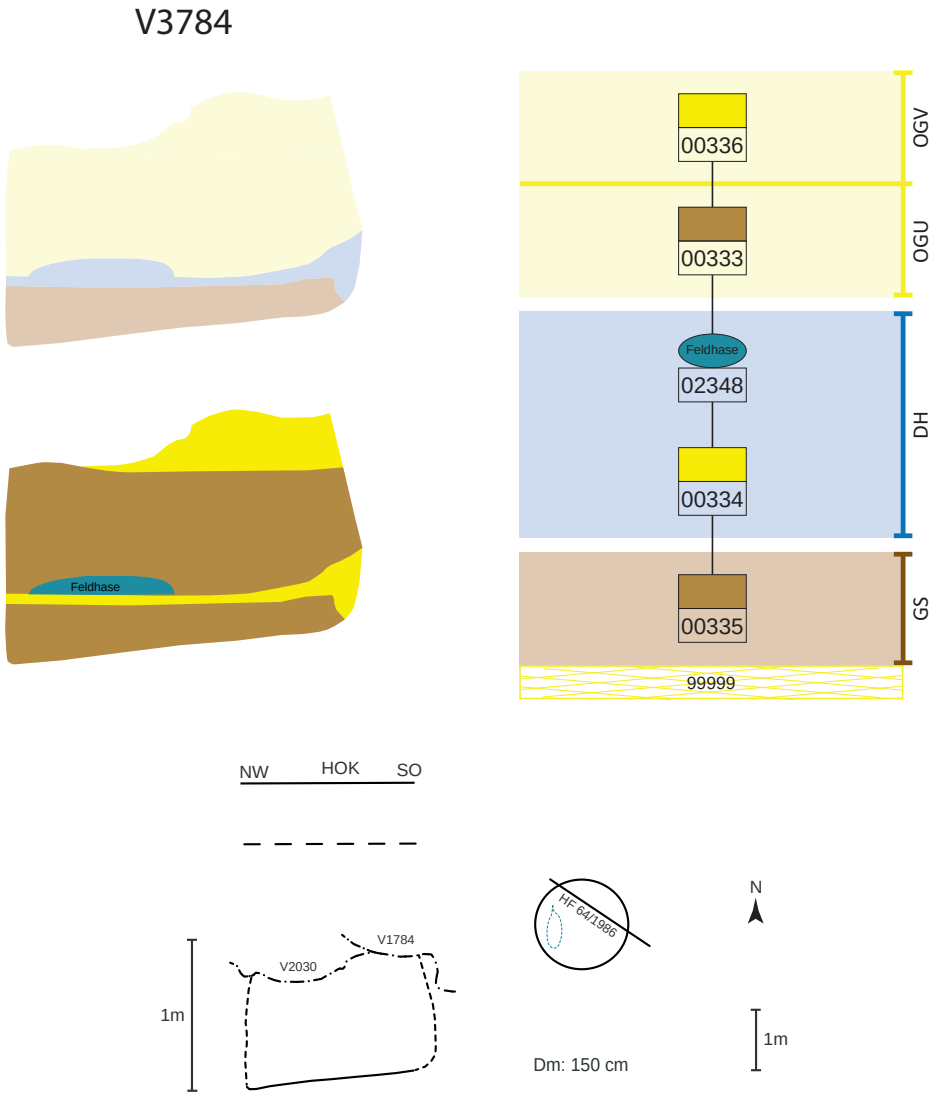
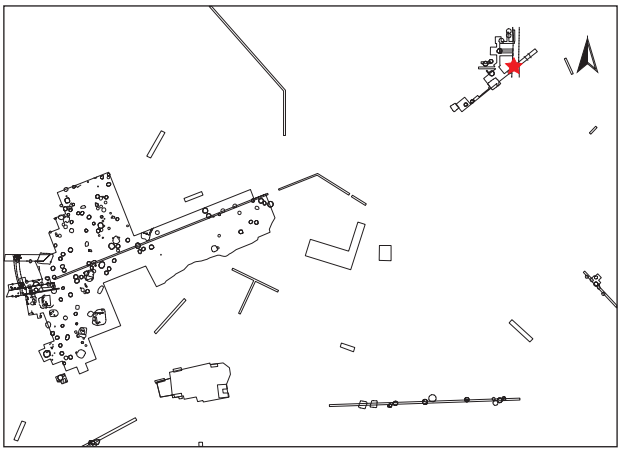


Abb. 388: V3784, schematische Darstellung, Schnitt und Lage des Schnittes im Planum.

10.1.2 Grabungsfläche „Wagneracker“

Objekt V5000 – (Kegelstumpfförmige) Grube mit Deponierung von drei menschlichen Schädeln

Lage	Wagneracker Schnitt 1 (S1), Lfm. 13,5–14,70
alte Objektnr.	Verf. 2
Literatur	Antl-Weiser 1988b, 284.
Interfaces	5011, 5012, 5013
Signaturen (Schichtnrn.)	20000–20005



Dokumentationsniveaus/Plana

Plannr.	DOKN	alte Verf.	Lage/Quadrant	vertikale Einmessung		
				Ausgangspunkt	relative Tiefe	absolute Höhe in müA
WA 3/1986 (Abb. 390, 392)	Planum 1	2	S1	FPO (181,6)[1354]	+6 bis -9 cm	181,66–181,69
WA 4/1986 (Abb. 391)	Planum 2	2	S1	FPO	+4 bis -5 cm	181,64–181,65
WA 5/1986	Planum 3	2	S1	FPO	-10 cm	181,50

Profile/Schnitte

Plannr.	alte Verf.	Hauptprofil		Schnitt	
		Orientierung	Lage/Quadrant	Bezeichnung	unter DOKN
WA 5/1986	2	Zwischenprofil	S1		Planum 2
WA 8/1986 (Abb. 389)	2	Nordprofil	S1		HOK

Stratigraphie V5000

Objekt V5000 wird im Süden von einer Grube(?) unbekannten Alters (V5016, mittelalterlich?) sowie im Nordosten massiv von einem mittelalterlichen Graben(?) (V5094) gestört, wobei lediglich der westlichste, unterste Teil der Grube erhalten blieb (Abb. 389, 393).

Grubenform

Wandverlauf	Sohlenverlauf	Übergang Sohle – Wand	primäre Nutzungsspuren
steilkonische Wand	waagrecht	gerundet	

1354. Mangels zeitnah errechnetem Höhenwert handelt es sich hier um den heutigen Höhenwert dieses Koordinatenpunktes (2016/NÖ-Atlas).

Größe und Fassungsvermögen V5000

min. Dm. (d): Bereich Sign. 20005	ca. 100 cm
max. Dm. (D): Grubensohle	ca. 180 cm
max. erh. Grubentiefe (h)	116 cm
max. rek. Grubentiefe	170 cm
erh. rek. Fassungsraum der Grube	1,83 m³
rek. Fassungsraum der Grube	2,08 m³
archäolog. Datierung	Ha B2
^{14}C-Datierung	Poz-99232[1354]: 2725 ± 30 BP [924 (95,4 %) 812 BC, Mw. 868 BC] Poz-111774[1355]: 2785 ± 30 BP [1007 (95,4 %) 845 BC, Mw. 926 BC]
Zuordnung zu Siedlungsphase	II

Beschreibung V5000

Form im Planum annähernd halbkreisförmig erhalten, mit einem errechneten Durchmesser von maximal 180 cm an der Grubensohle. Erhalten ist nur der westliche, unterste Teil der Grube. Die Grubenwand verläuft dort steilkonisch einziehend bei einer nahezu waagrechten Sohle (Abb. 389).

Zuunterst lagert eine gleichmäßig starke, etwa 4–12 cm mächtige, braun-humose Schicht (Sign. 20000). Darauf wurden am Südwestrand der Grube zwei einander berührende menschliche Schädel (FNrn. St. 16032, 16033) mit gegenläufiger Blickrichtung sowie ein weiterer Schädel (FNr. St. 16029) südöstlich in 40 cm Entfernung gesetzt (Abb. 391). Es ist keine übereinstimmende Blickrichtung der Schädel festzustellen (2× NW, 1× SO) und zweien fehlt der Unterkiefer (FNrn. St. 16032, 16033). Äußerst bemerkenswert sind übereinstimmende perimortale Veränderungen an allen drei Schädeln (siehe Kap. 4.2.1.1).

Eingebettet sind die Schädel in Asche, Hüttenlehm und Keramik[1357] (Schichten 20004, 20005). In Planum 1 ist Schädel FNr. St. 16033 noch vollständig überdeckt, die beiden anderen Schädel noch nicht vollständig freigelegt (Abb. 390). Der Bereich zwischen den beiden sichtbaren Schädeln wird als grau-weißliche Asche (Sign. 20004) beschrieben, was auf den Befundfotos gut zu erkennen ist. Die beiden westlichen Schädel (FNrn. St. 16032, 16033) sind von Brandschicht Sign. 20005 überdeckt. Diese wurde als rot und gelb beschrieben, bestehend aus gebrannten Hüttenlehmbrocken, Lößeinschlüssen und Humus. Da die Grube bereits 70 cm über der Grubensohle gekappt wurde, ist unbekannt, ob der Brandschutt noch mit humosem Material abgedeckt wurde.

Ascheschicht Sign. 20004 ist am nur etwa 5 cm tiefer angelegten Planum 2 (Abb. 391) im westlichen Bereich (bei den Schädeln) deutlich stärker ausgeprägt als im südöstlichen Teil, wo weiterhin humose Verfüllung vorherrscht, welche unschwer als die unterste Schicht Sign. 20000 zu erkennen ist. Am Niveau der drei menschlichen Schädel sind auf den Planzeichnungen einige Funde festgehalten: Auf Planum 1 bei Schädel FNr. St. 16029 (Abb. 390) eine Bronzespitze (FNr. St. 16006) und Tierknochen (FNrn. St. 16008, 16018) sowie beim Schädel FNr. St. 16032 eine größere Menge an Hüttenlehmbrocken (FNr. St. 16018.4, 500 g). Am Planum 2 sind um Schädel FNr. St. 16029 einige Keramikscherben[1358] und der scheibenförmige „Spielstein“ (St. 16022.1, Taf. 5/1; 64/1) gut zu erkennen (Abb. 391). Bei dem vieleckigen, knapp 30 cm großen, plattenartigen Fund knapp nördlich von Schädel FNr. St. 16029 handelt es sich wahrscheinlich um den in der Planbeschreibung angeführten „Humusbrocken“. Am Foto gewinnt man den Eindruck, dass der Schädel möglicherweise auf dieser Platte abgelegt wurde und später abrollte. In Summe stammt aus diesem untersten Grubenbereich, der sich von Grube V5000 erhalten hat, noch keramischer Siedlungsabfall in Form von etwa 1,5 kg Gefäßscherben und Tierknochen (FNrn. St. 16008, 16014, 16020–16022). Aus der oberen gekappten Verfüllschicht Sign. 20005 wurde keine Keramik geborgen; an Steinfunden sind zwei Reibplattenbruchstücke mit Feuereinwirkung zu nennen (Taf. 64/2; 64/3).

Ungefähr 40 cm südlich des einzelnen Schädels FNr. St. 16029 setzt die (mittelalterliche?) Störung durch Grube V5016 an (Abb. 390, 391). Als Mischposten aus diesem Niveau erweisen sich FNrn. St. 16005, 16009 und 16014 mit römischen Ziegelfragmenten und Mittelalterfunden, darunter auch ein kleiner Knochenwürfel (FNr. St. 16017.1).

1355. Tierknochen aus Fundposten St. 16008.3 aus dem unteren Grubenbereich (Sign. 20000 oben, 20004, 20005 unten).

1356. Messwiederholung von Tierknochen aus Fundposten St. 16008.3.

1357. Planbeschreibung aus Plan WA 3/1986 (Planum 1).

1358. Wandbruchstück von Topf 16021.1 und Wandbruchstück von Kegelhalsgefäß 16020.1

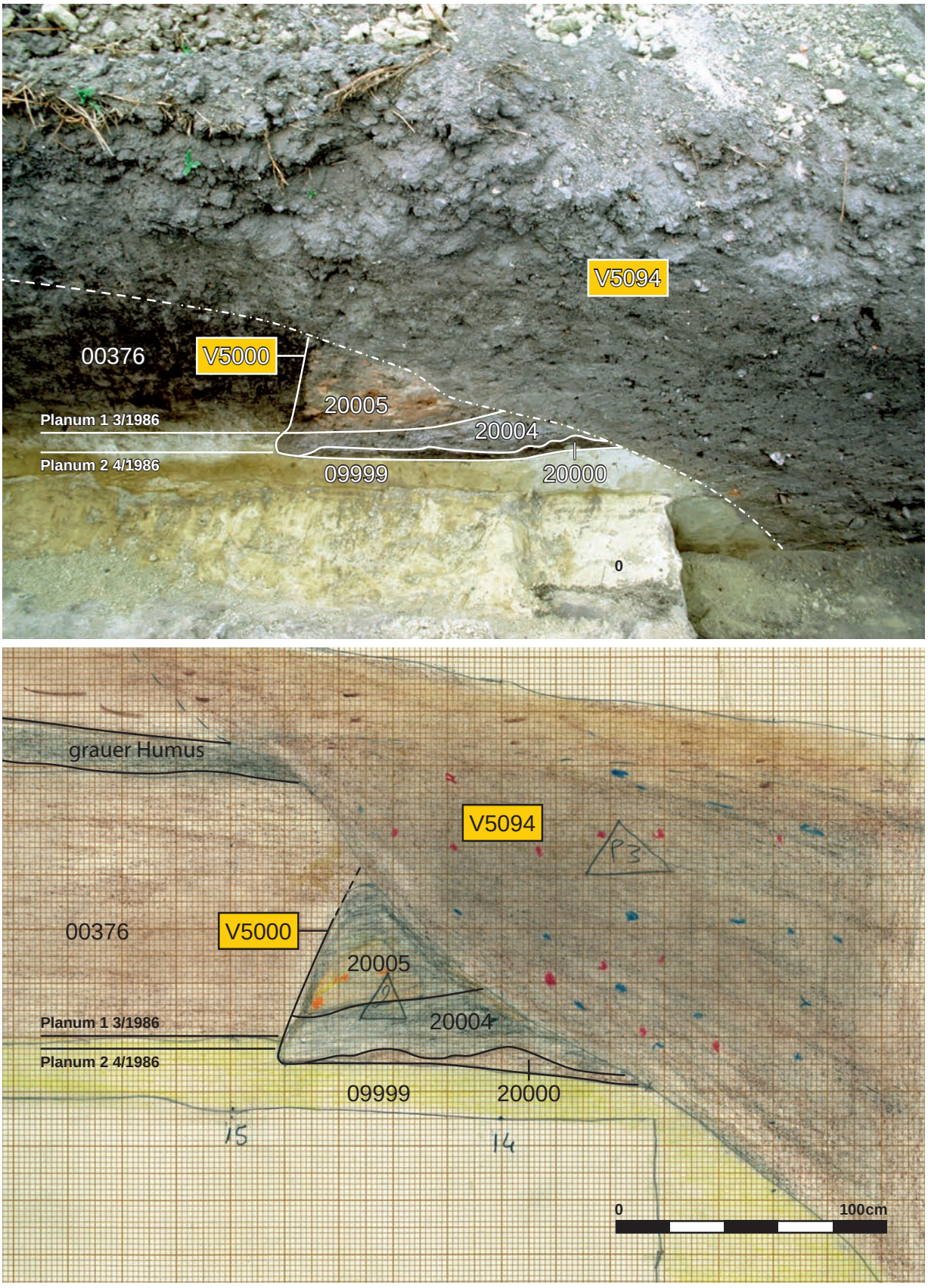


Abb. 389: V5000, „Wagneracker“: Schnitt 1 mit Nordprofil von V5000 (Grabungsdokumentation Stillfried, Landessammlung Niederösterreich, Bereich Ur- und Frühgeschichte, Fotonr. ST03515; Zeichnung: A. Mikosz, Universität Wien, Plannr. WA 8/1986).

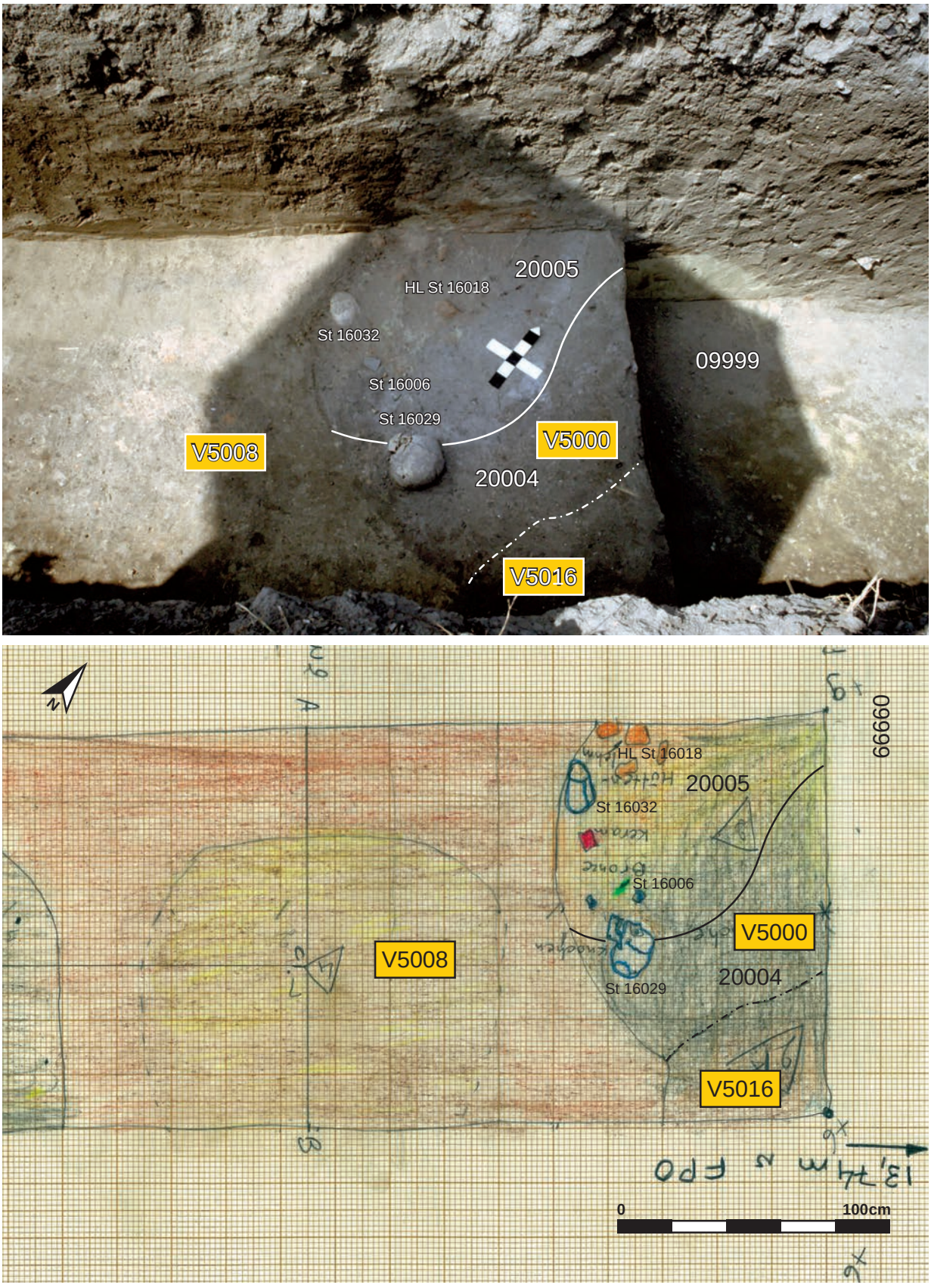


Abb. 390: V5000, „Wagneracker“: Schnitt 1 mit Planum 1 von V5000 (Grabungsdokumentation Stillfried, Landessammlung Niederösterreich, Bereich Ur- und Frühgeschichte, Fotonr. ST03501; Zeichnung: A. Mikosz, Universität Wien, Plannr. WA 3/1986).

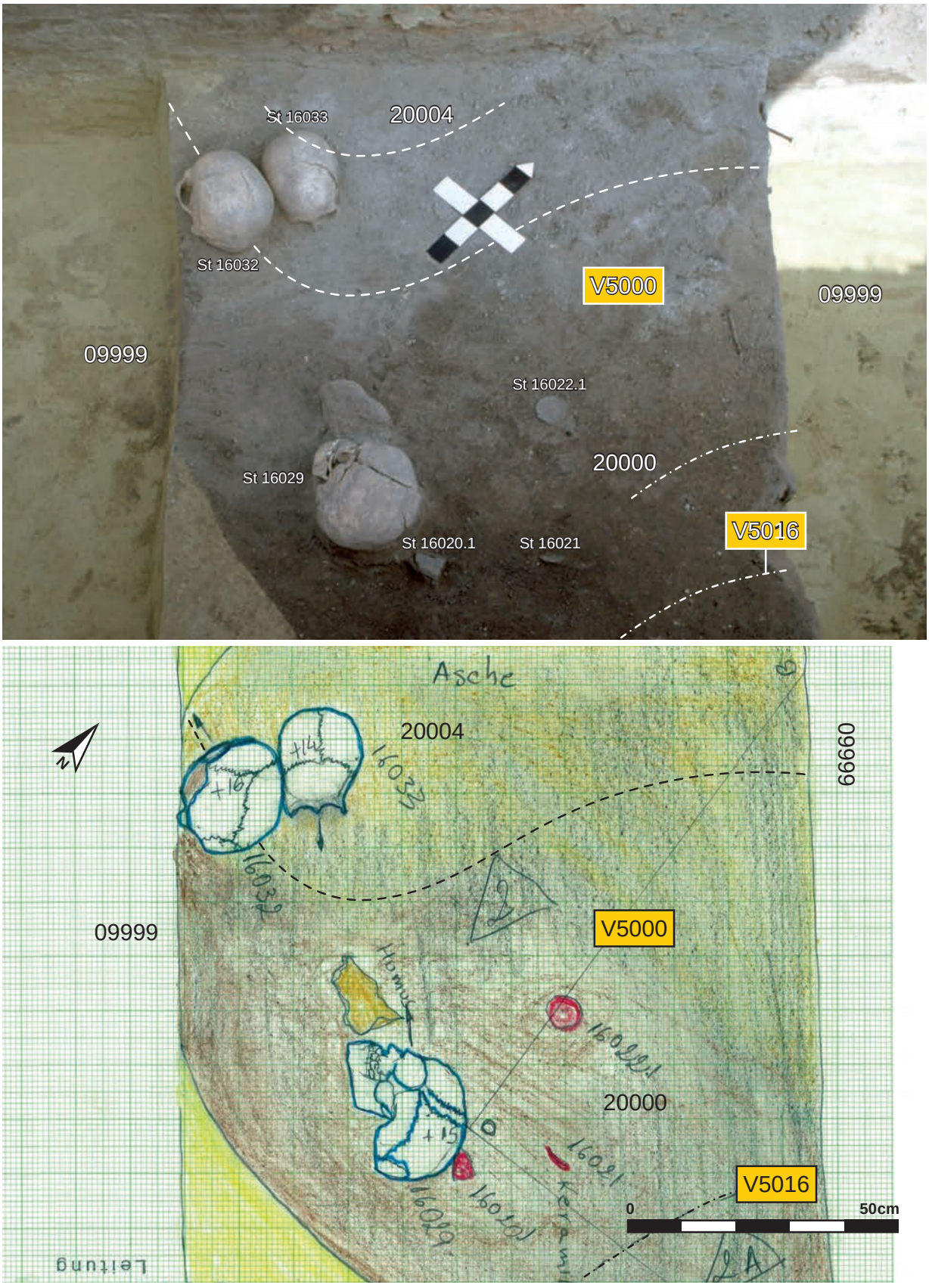


Abb. 391: V5000, „Wagneracker“: Schnitt 1 mit Planum 2 von V5000. Der rot eingezeichnete „Spielstein“ FNr. St. 16022 ist gut zu erkennen (Grabungsdokumentation Stillfried, Landessammlung Niederösterreich, Bereich Ur- und Frühgeschichte, Fotonr. ST29120; Zeichnung: A. Mikosz, Universität Wien, Plannr. WA 4/1986).



Abb. 392: V5000, „Wagneracker“: Schnitt 1 mit Planum 1 von V5000 (Grabungsdokumentation Stillfried, Landessammlung Niederösterreich, Bereich Ur- und Frühgeschichte, Fotonr. ST03505).

Schichtabfolge V5000

Lage in der Grube	Sign.	Beschreibung	Kurzbeschreibung	besondere Funde	Höhe ab Sohle in cm
direkt auf der Grubensohle					
waagrechte Oberkante	20000	dunkel-humoses Material mit Holzkohleflittern	Keramikbruchstücke und Tierknochen (Siedlungs-abfall?)	„Spielstein“	0–6
„Deponierungshorizont“		Deponierungsebene mit drei menschlichen Schädeln			
Deponierung	20001/ IF5011	menschlicher Schädel (St. 16029)			
Deponierung	20002/ IF5012	menschlicher Schädel (St. 16032)			
Deponierung	20003/ IF5013	menschlicher Schädel (St. 16033)			
schwacher Schüttkegel	20004	hellgrau-aschiges Material	fundarm	bronzene Spitze	4–25
	20005 oben bis 20000			2 Reibplattenfrg. mit Feuereinwirkung	
oberer Grubenbereich	20005	rot-brauner, lehmiger Brandschutt	fundarm/fundleer		ab 25–? erhaltene Mächtigkeit etwa 50

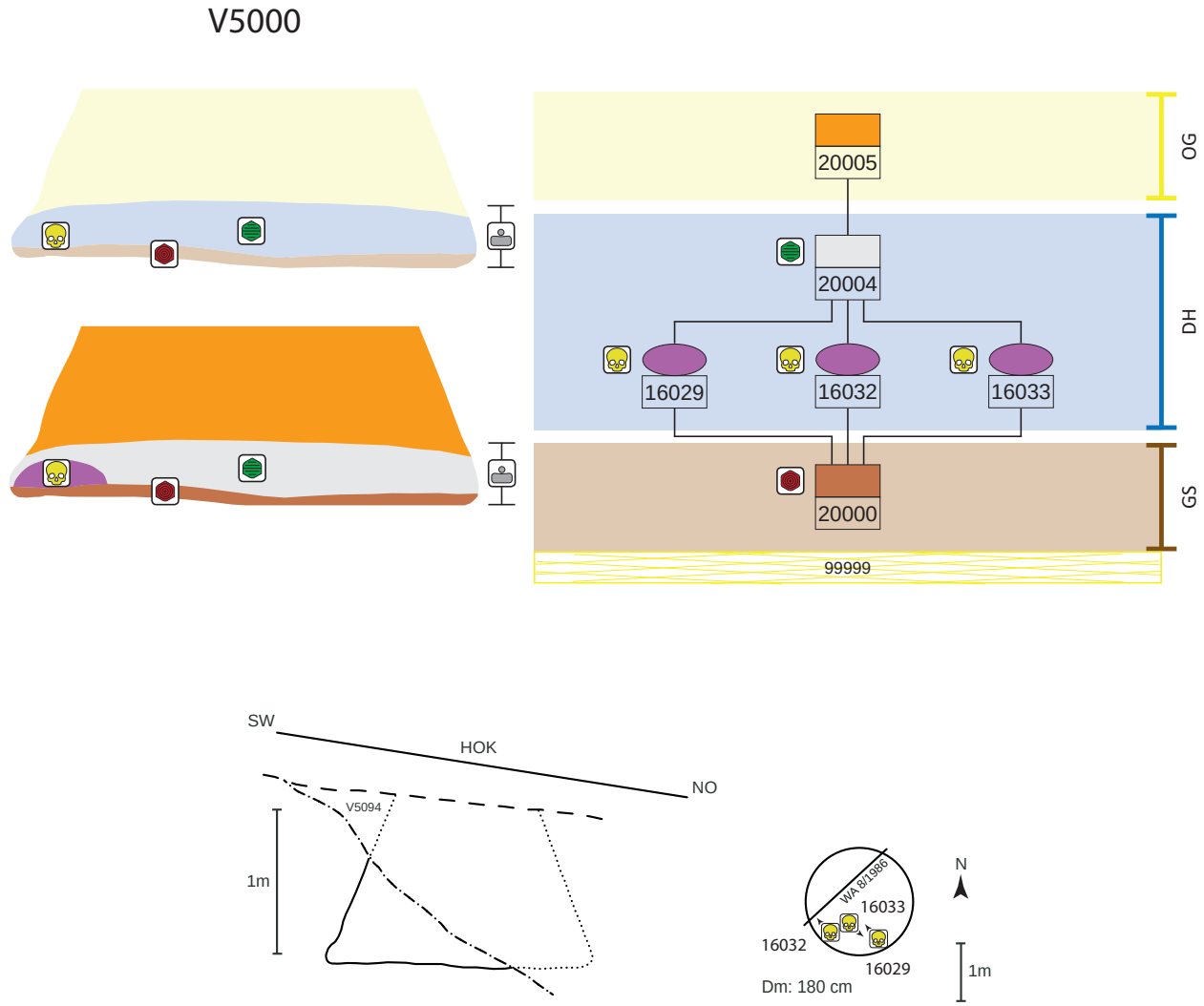


Abb. 393: V5000, schematische Darstellung, Schnitt und Lage des Schnittes im Planum.

Schichtbeschreibung (Sign.) V5000

Sign.	IF	Schicht-schlüssel	Beschreibung	auf Plan	zugeordnete Fundnummern	besondere Funde
20000		17	lockeres, braun-humoses Material mit kleinen Hüttenlehmbrocken, (Holzkohleflittern?), Keramikbruchstücken und Tierknochen vermischt; gegen Westen leicht abfallend, ca. 4 cm mächtig im Westen, im Osten ca. 12 cm	8/1986	16020, 16021, 16022	**„Spielstein“** (St. 16022.1; Taf. 5/1; 64/1)
20001	5011	D	menschlicher Schädel mit Unterkiefer (Infans II)	3, 4/1986	16029	**menschlicher Schädel mit Unterkiefer** (St. 16029; Abb. 173–177)
20002	5012	D	menschlicher Schädel ohne Unterkiefer (Mann matur)	3, 4/1986	16032	**menschlicher Schädel ohne Unterkiefer** (St. 16032; Abb. 178–181)
20003	5013	D	menschlicher Schädel ohne Unterkiefer (juvenil weiblich)	4/1986	16033	**menschlicher Schädel ohne Unterkiefer** (St. 16033; Abb. 182–187)
20004		13 (oder 1?)	hellgrau-aschiges Material (mehrere Schichten?), mit Humus durchsetzt, 5 –20 cm mächtig, kaum Funde	3, 4, 5, 8/1986		
			Schlämmproben aus dem Bereich Sign. 20000 und 20004		16006, 16023, 16024, 16028, 16030, 16031, 16034, 16035, 16036	**bronzene Spitze** (St. 16006;[1359] auf Abb. 390)
			unterer Grubenbereich: Sign. 20000 (oben), 20004, 20005 (unten), Keramik, Tierknochen		16008, 16018	**2 Reibplattenfrg.** (St. 16018.5, 16018.6; Taf. 64/2–3)
			Störungsbereich Sign. 20000 (oben), 20004, 20005 (unten), Keramik, Tierknochen		16005, 16009(?), 16014, 16017	
20005		2	rot-braunes, lehmiges Material: fast reiner, gebrannter Lehm/Löß und Lößeinschlüsse, nach oben zu leicht mit Humus vermischt; 50 cm mächtig erhalten	WA 3, 8/1986		

1359. Verbleib unbekannt.

Funde V5000

Die herausstechenden Funde aus V5000 sind drei menschliche Schädel von hervorragendem Erhaltungszustand. Alle drei weisen sehr ähnliche Defekte vor allem im Bereich des Hinterhauptloches (Foramen magnum) auf (Kap. 4.2.1.1). Die sonstige Fundmenge ist verhältnismäßig niedrig und stammt großteils aus dem untersten Grubenbereich, wobei eine genaue Zuordnung zu den drei Schichten schwierig ist (20000 oben, 20004, 20005 unten). Am stärksten mit Funden durchsetzt war die unterste, stark humose Schicht 20000. Es handelt sich um typischen Siedlungsabfall aus Keramikscherben mit alten Brüchen ohne Abnützungsspuren (Gesamtgewicht etwa 1,5 kg, Taf. 5/2–4), Tierknochen (gewöhnlicher Schlachtabfall und ein Hirsch-Oberkieferbruchstück FNr. St. 16008.3) und Hüttenlehm sowie um einige wenige Sonderfunde. Zu Letzteren zählt ein vollständiger, sekundär gebrannter Gefäßboden (Taf. 5/1; 64/1), der aus einem kleinen Gefäß absichtsvoll herausgearbeitet wurde. Dieser „Spielstein" (Fnr. St. 16022.1) lag genauso wie die Bronzespitze (St 16006) im direkten Umfeld der menschlichen Schädel (Abb. 390, 391). Bemerkenswert sind auch zwei Reibplattenbruchstücke mit Feuereinwirkung (Taf. 64/2–3), die sich als kennzeichnende Funde im Umfeld menschlicher Siedlungsdeponierungen herauskristallisiert haben.[1360]

Archäologische Datierung

Die Keramik lässt sich nur allgemein in die späte Urnenfelderzeit stellen (Ha B2–3).

Naturwissenschaftliche Datierung

Die beiden ^{14}C-Messwerte eines Tierknochens aus dem Fundposten 16008.3 ergaben ein Alter von 2725 ± 30 BP [924 (95,4 %) 812 BC, Mw. 868 BC][1361] bzw. 2785 ± 30 BP [1007 (95,4 %) 845 BC, Mw. 926 BC]. Diese Daten bestätigen die chronologische Zuweisung an den Beginn der Hochblüte der Siedlung, als der „Wagneracker" intensiv genutzt wurde, nach Ha B2 bzw. in Siedlungsphase II.

Befundinterpretation

Die drei menschlichen Schädel sind knapp über der Grubensohle in aufrechter Position absichtsvoll abgelegt worden, sodass von einer Schädeldeponierung auszugehen ist. Diese Beobachtung deutet auf eine zumindest zweistufige Bestattungspraxis, bei der die Schädel von einem Erstlagerungsort/Erstbestattungsplatz entnommen und in Grube V5000 endbestattet wurden. Unterstützt wird diese Annahme durch die sehr bemerkenswerten und annähernd vollständig übereinstimmenden perimortalen Veränderungen (Ausrissspuren, Eindrücke), die an allen drei Schädeln mit Schwerpunkt im Bereich des Hinterhauptlochs festgestellt werden konnten. Nach eingehender anthropologischer Untersuchung sind diese Gewaltspuren mit hoher Wahrscheinlichkeit einige Zeit nach dem Tod der Individuen entstanden, als sich die Skelette noch im Sehnenverband befanden. Sie lassen sich am ehesten als anthropogene Eingriffe deuten (Kap. 4.3.3).

„Spielstein" und Bronzespitze wurden im Rahmen dieser Handlung sehr wahrscheinlich absichtsvoll im unmittelbaren Umfeld der Schädel abgelegt.

Fundkatalog V5000

16005
Planum 1, Lfm. 14–20, beim Einebnen des Planums, Störungsbereich mit V5016
Bereich Sign. 20000 (oben), 20004, 20005 (unten)
Ker, Zie, HL, Kn
.1 Sammelposten 1200 g
.2 WS von Gefäß mit Ritzverzierung (Taf. 5/5)
.3 WS, LT
.4 1 kl. HL-Frg. (50 g)
.5 Zie (700 g), RKZ
- Kn (Verbleib?)
.6 1 Flussmuschelschale
KiNr.: 1/56015, 2/56013, 8/56009

16006
Planum 1, 15 cm unter FPO, „dicht an den Scheiteln"; auf Plan WA 3/1986
Sign. 20004
Bronze
- bronzene Spitze (Verbleib?)

16008
Planum 1, 15 cm unter FPO (über?), beim Putzen der Schädelgrube
Bereich Sign. 20000 (oben), 20004, 20005 (unten)
Ker, HL, Kn
.1 5 WS, grobe Ware (2 Frg. sek. gebr., 80 g), UK?
.2 1 Herdplattenfrg. (100 g)
.3 Kn (^{14}C-Dat.)
- Schaf/Ziege: Zahn, Costae
- Hirsch: Maxilla
KiNr.: 1/56021, 2/56018

16009
Planum 1, Lfm 14–20, 15 cm unter FPO (über?), beim Putzen, Störungsbereich mit V5016
Bereich Sign. 20000 (oben), 20004, 20005 (unten)
Ker
.1 15 KerBS von Gefäßen, UK
.2 w. HL
.3 1 kl. Ziegelfrg. (RKZ)
.4 1 kl. HK
.5 Tierkn
- Schaf/Ziege: Metapodia, Vertebrae
- Rind: Sacrum, Metacarpus, Calvaria
.6 1 Flussmuschelschale
KiNr.: 1/56012, 2/56002, 8/56009, 9/56008

16014
Planum 1; auf Plan WA 3/1986 (nicht vermerkt); Störungsbereich mit V5016
Bereich Sign. 20000 (oben), 20004, 20005 (unten)
Ker
.1 WS von Schale, fein
.2 Sammelposten (15 KerBS SMA u. w. BZ/UK)
KiNr.: 1/56016, 1/56021

16017
Planum 2; 15 cm unter FPO (über?); Skizze am Fundzettel
Alte Objektnr.?
Aus Störungsbereich mit V5016
Einzelfund
.1 kl. Würfel aus Kn (MA?)
KiNr.: 10/56007

1360. Hellerschmid, Griebl in Vorbereitung (V841, V1141).

1361. Probennr. Poz-99232.

16018
Planum 1–2; Plannummern 3, 4 (nicht eingezeichnet); auf Plan WA 3/1986
Alte Objektnr.?
Teile möglich zu V5000
Bereich Sign. 20000 (oben), 20004, 20005 (unten)
Ker, Stein, Kn
40 KerBS:
.1 Bandhenkel, gerillt, von kl. Henkelschale? (Taf. 5/2)
.2 RS von mittelfeinem Topf (Taf. 5/4)
.3 Hals-/SchulterBS von Gefäß mit Rillenzier (KHG? Taf. 5/3)
.4 HL (auch mit ebenen Schaufl., 500 g)
.5 Reibplattenfrg. (Ballensteiner Kalk), Feuereinwirkung? (Taf. 64/3)
.6 Reibplattenfrg. (Granit), Feuereinwirkung (Taf. 64/2)
.7 Kn
- Rind: Tibia, Humerus, Os malleolare, Phalanx 1
- Schaf/Ziege: Humerus (2 Frg.), Calvaria (3 Frg.), Mandibel, Costae (4 Frg.), Radius, Tibia
- Schwein: Costae (2 Frg.)
.8 KerBS von Gefäß
KiNr.: 1/56004, 2/56002, 3/56003

16020
Planum 2; auf Plan WA 4/1986
Sign. 20000
Ker
.1 SchulterBS von KHG?
KiNr.: 1/56021

16021
Planum 2; auf Plan WA 4/1986
Sign. 20000
Ker
.1 WS von grobem Gefäß
KiNr.: 1/56021

16022
Planum 2; auf Plan WA 4/1986 („16020“)
Sign. 20000
Ker
.1 „Spielstein“? (ausgeschnittener Gefäßboden), Dm. 5,5 cm, sek. gebr. (Taf. 5/1; 64/1)
KiNr.: 1/56021

16023
Planum 2; 0–10 cm unter Planum 2
Sign. 20000 bis 20004
S
.1 Erdbröckchen u. Steinchen (1000 g)
KiNr.: 9/56022

16024
Planum 2; 0–10 cm unter Planum 2
Alte Verf. 2A und 2D (?)
Wenn zu V5000 gehörend, dann Sign. 20000 bis 20004
S
.1 Erdbröckchen u. Steinchen (200 g)
KiNr.: 9/56008

16028
Planum 3
Sign. 20000 bis 20004
S
.1 Erdbröckchen (500 g)
KiNr.: 9/56022

16029
Planum 2; auf Plan WA 4/1986
Sign. 20001, IF5011
Homokn
.1 1 Schädel, Kind, Infans II (9–10 J.; Abb. 173–177)
Im NHM/Anthropologische Abteilung

16030
Planum 2–3, 10–14 cm unter Planum 2
Sign. 20000 bis 20004
S
.1 HL- u. Erdbröckchen (340 g)
KiNr.: 2/56028

16031
Planum 2–3, 10 bis 14 cm unter Planum 2
Sign. 20000 bis 20004
S
.1 Erd- u. Keramikbröckchen (1500 g)
KiNr.: 9/56008

16032
Planum 2; auf Plan WA III/4/1986
Sign. 20002, IF5012
Homokn
(.1) 1 Schädel ohne Unterkiefer, Mann, matur (40–60 J.; Abb. 178–181)
Im NHM/Anthropologische Abteilung

16033
Auf Plan WA4/1988
Sign. 20003, IF5013
Homokn
(.1) 1 Schädel ohne Unterkiefer, juvenil (etwa 15 J.; Abb. 182–187)
Im NHM/Anthropologische Abteilung

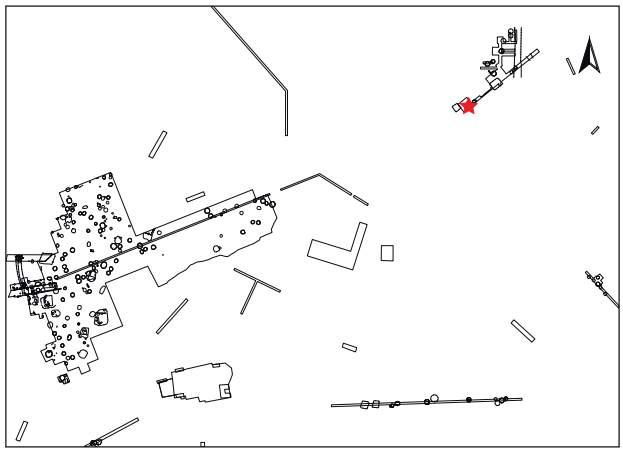
16034
Planum 2–3; 10–14 cm unter Planum 2
Sign. 2000 bis 20004
S
.1 Erd- u. Keramikbröckchen (1000 g)
KiNr.: 9/56008

16035
Planum 2–3, 10–14 cm unter Planum 2
Sign. 2000 bis 20004
S
.1 Erd- u. Keramikbröckchen (fein u. grob; 1100 g)
KiNr.: 9/56008

16036
Planum 2–3, 10–14 cm unter Planum 2
Sign. 2000 bis 20004
S
.1 Erd- u. Keramikbröckchen (750 g)
KiNr.: 9/56008

Objekt V5001 – Kegelstumpfförmige Grube mit Hausbrandschutt, Getreide und menschlichem Fötus/Neugeborenem

Lage	Wagneracker Schnitt 1/b (S1/b), Lfm. 6,20–8,12; Quadrant A/3 (1988)
alte Objektnrn.	Verf. 3/1987 (S1/b); Verf. 1/1988 (in Qu. A/3); Verf. A/3 1 (Kohler-Schneider 2001)
Literatur	Antl-Weiser 1988c, 287. – Antl-Weiser 1996a, 169. – Kohler-Schneider 2001, 57–62.
Interfaces	
Signaturen (Schichtnrn.)	20011–20015



Dokumentationsniveaus/Plana

Plannr.	Planum	alte Verf.	Lage/Quadrant	vertikale Einmessung		
				Ausgangspunkt	relative Tiefe	absolute Höhe in müA
WA 2/1987	Planum 1	3	S1/b	Lfm. 8	-130 cm	183,05
WA 4/1987 (Abb. 395)	Planum 2 Südhälfte	3	S1/b	Lfm. 6,7	-174 cm	182,61
WA 8/1987 (Abb. 53, 395)	Planum 3 Südhälfte	3	S1/b	Lfm. 6 bis 8,5	-178–192 cm	182,57–182,43
WA 19/1988	Planum 3	1	Qu. A/3	HOK 184,35	-130 cm	183,05
WA 36/1988 (Abb. 395)	Planum 4 (Nordhälfte)	1	Qu. A/3	HOK 184,35	-180 cm	182,55
WA 41/1988 (Abb. 395)	Planum 5 (Nordhälfte)	1	Qu. A/3	HOK 184,35	-180–210 cm	182,55–182,25

Profile/Schnitte

Plannr.	alte Verf.	Hauptprofil		Schnitt	
		Orientierung	Lage/Quadrant	Bezeichnung	unter DOKN
WA 6/1987 (Abb. 396)	3	Zwischenprofile	S/1b	AB, CD	Planum 2 (1987)
WA 14/1987 (Abb. 394)	3	Nordprofil	S/1b		HOK
WA 24/1988	1	Zwischenprofil	Qu. A/3	KH	Planum 1 (1988)
WA 38/1988 (Abb. 396)	1	Zwischenprofil	Qu. A/3	pq	Planum 4 (1988)

Stratigraphie V5001

Objekt V5001 erscheint im unteren Grubenbereich ungestört (Abb. 394). Bei den knapp um die Verfärbungsgrenze sichtbaren runden, humosen Verfärbungen (Abb. 395 unten) im gewachsenen Löß handelt es sich wahrscheinlich um Tiergänge.

Grubenform

Wandverlauf	Sohlenverlauf	Übergang Sohle – Wand	primäre Nutzungsspuren
in unterer Grubenhälfte steilkonisch bis senkrecht, danach flachkonische „Schulter“ und vermutlich steilkonische Wand (Störungsbereich)	waagrechte Grubensohle mit schwach hochgezogenen Enden	gerundet, schwach angehoben	

Größe und Fassungsvermögen V5001

min. Dm. (d): Bereich Sign. 20015	94 cm
max. Dm. (D): Grubensohle	183 cm
max. erh. Grubentiefe (h)	135 cm
max. rek. Grubentiefe	190 cm
erh. rek. Fassungsraum der Grube	unterer Grubenbereich (d = 120 cm, h = 60 cm): 2,18 m³ oberer Grubenbereich (steilkonisch, h = 78 cm): 0,70 m³ gesamt: 2,88 m³
rek. Fassungsraum der Grube	3,11 m³
archäolog. Datierung	frühes Ha B3
^{14}C-Datierung	ETH-16498[1361]: 2880 ± 50 BP [1212 (100 %) 907 BC, Mw. 1059 BC] Poz-99240[1362]: 2790 ± 30 BP [1011 (95,4 %) 846 BC, Mw. 928 BC] Poz-111781[1363]: 2800 ± 30 BP [1027 (95,4 %) 848 BC, Mw. 937 BC] Labor-Messergebnis für Probe St. 16696.1[1364]: kalibriertes Alter: 1110 (95,4 %) 909 BC, Mw. 1009 BC
Zuordnung zu Siedlungsphase	II

Beschreibung V5001

Form im Planum annähernd kreisförmig erhalten, mit einem Durchmesser von etwa 180 cm (Abb. 395). Die Wände verlaufen im unteren Teil gewölbt mit flachkonischer Schulter, im oberen Grubenbereich – soweit erhalten – steilkonisch (Abb. 394). Die Grubensohle ist annähernd waagrecht, mit schwach hochgezogenen Enden. Annähernd über die gesamte Sohle verteilt fand sich eine ungefähr 10 cm starke Lage aus verkohltem pflanzlichem Material, das sich als Vorratsmischprobe (v. a. Rispenhirse und Dinkel), Brocken eines Breigerichts und Wildpflanzenreste herausstellte[1366] (Abb. 142, 394). Anschließend folgt eine beträchtlich hohe Brandschuttschicht (Sign. 20012), die hauptsächlich von mächtigen Hüttenlehmbrocken und zahlreichen großen, sekundär gebrannten Keramikfragmenten von Vorratsgefäßen bestimmt wird (Abb. 53, 394–396). Die Überreste des feinkeramischen Tafelgeschirrs – vorwiegend kannelierte Henkelschüsseln – zeigen nur in einem Fall deutlichen Sekundärbrand. In den Hausbrandschutt eingeschlossen sind auch Reibplatten und Webgewichte, ebenso Sonderfunde wie eine Bronzepfeilspitze und das unvollständige Skelett eines menschlichen Fötus/Neugeborenen.

Eine außergewöhnliche Fundgruppe aus dieser Schicht 20012 sind fünf große, längliche Fundgegenstände aus gebranntem Lehm mit dreieckigem bis D-förmigem Querschnitt. Eine Deutung als Architekturbestandteile liegt nahe.

Auf den Brandschutt wurde humoses, fundarmes Material geleert (Sign. 20013) und mit grau-aschigem Brandschutt überdeckt (Sign. 20014; Abb. 394). Keramikanpassungen aus den beiden Brandschuttschichten (20012, 20014) belegen, dass es sich um dasselbe Brandgeschehen handelt. Zuletzt wurde helles, braun-humoses Material (Sign. 20015) eingefüllt, womit zweimal eine fundarme, humose Schicht (20013, 20015) einer (fundreichen) Brandschuttschicht (20012, 20014) folgt.

1362. Probe von verkohltem Getreide aus Sign. 20011, Kohler-Schneider 2001, 37, 57. Anmerkung: Für diese Messung wurde ein anderes Kalibrationsprogramm verwendet (Niklaus et al. 1992), weswegen sich die kalibrierten Daten von unseren Angaben auf Abb. 30 unterscheiden.

1363. Skelett von menschlichem Neugeborenen (FNr. St. 16332) aus Schicht 20012.

1364. Messwiederholung von Messung Poz-99240.

1365. Über Vermittlung von M. Kohler-Schneider (Universität für Bodenkultur Wien) wurden Hirseklumpen (Probe: Rispenhirse-Klümpchen FNr. St. 16696.1) aus Schicht 20012 im Rahmen des SFB/DFG-Projekts „Scales of Transformations: Human-Environmental Interaction in Prehistoric and Archaic Societies“, Projektnr. 2901391021 (Universität Kiel, 2018/2019) analysiert und ^{14}C datiert. Die kalibrierten Daten liegen davon vor.

1366. Siehe unten: Naturwissenschaftliche Auswertung der Pflanzenreste durch M. Kohler-Schneider.

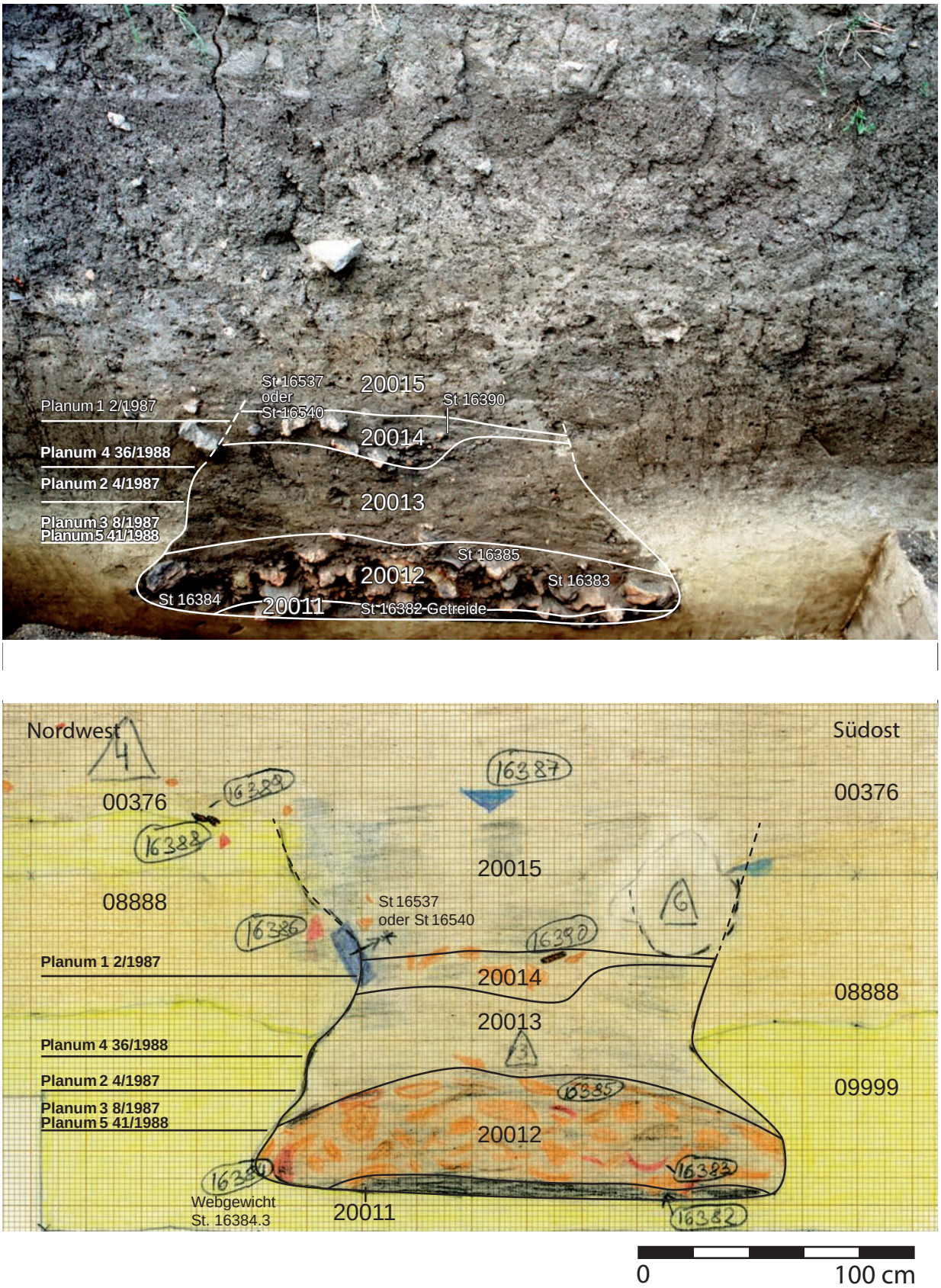


Abb. 394: V5001, „Wagneracker“: Ausschnitt des Nordprofils von Schnitt 1b mit V5001 (Grabungsdokumentation Stillfried, Landessammlung Niederösterreich, Bereich Ur- und Frühgeschichte, Fotonr. ST03865; Zeichnung: W. Hicke, Universität Wien, Plannr. WA 14/1987).

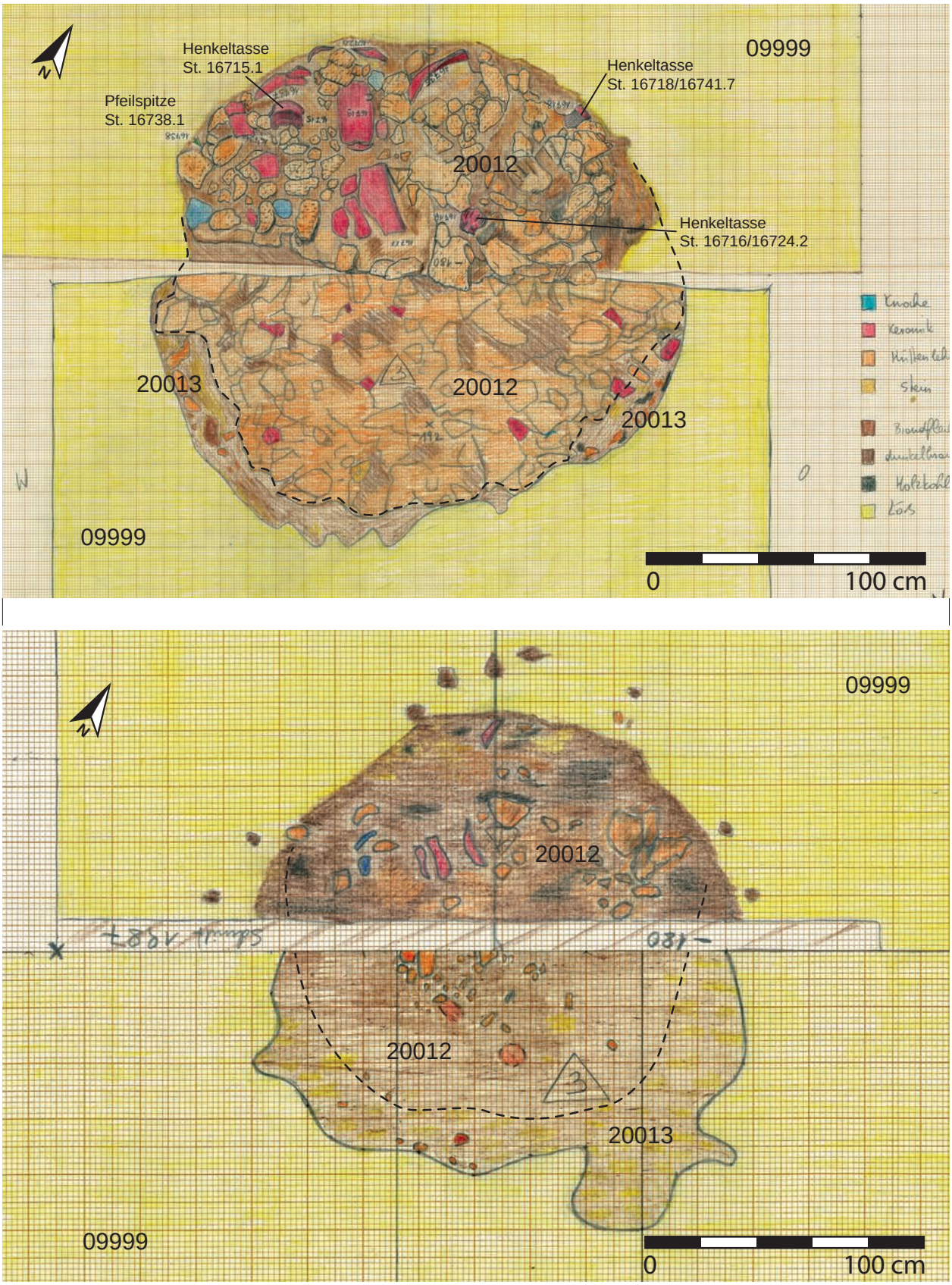


Abb. 395: V5001, „Wagneracker“. Oben: Planum 5 bzw. 3 von V5001 (Zeichnung: M. Frelih, Universität Wien, Plannr. WA 41/1988 [Nordhälfte]; C. Ranseder, Universität Wien, Plannr. WA 8/1987 [Südhälfte]). Unten: Planum 4 bzw. 2 von V5001 (Zeichnung: M. Frelih, Universität Wien, Plannr. WA 36/1988 [Nordhälfte]; C. Ranseder, Universität Wien, Plannr. WA 4/1987 [Südhälfte]).

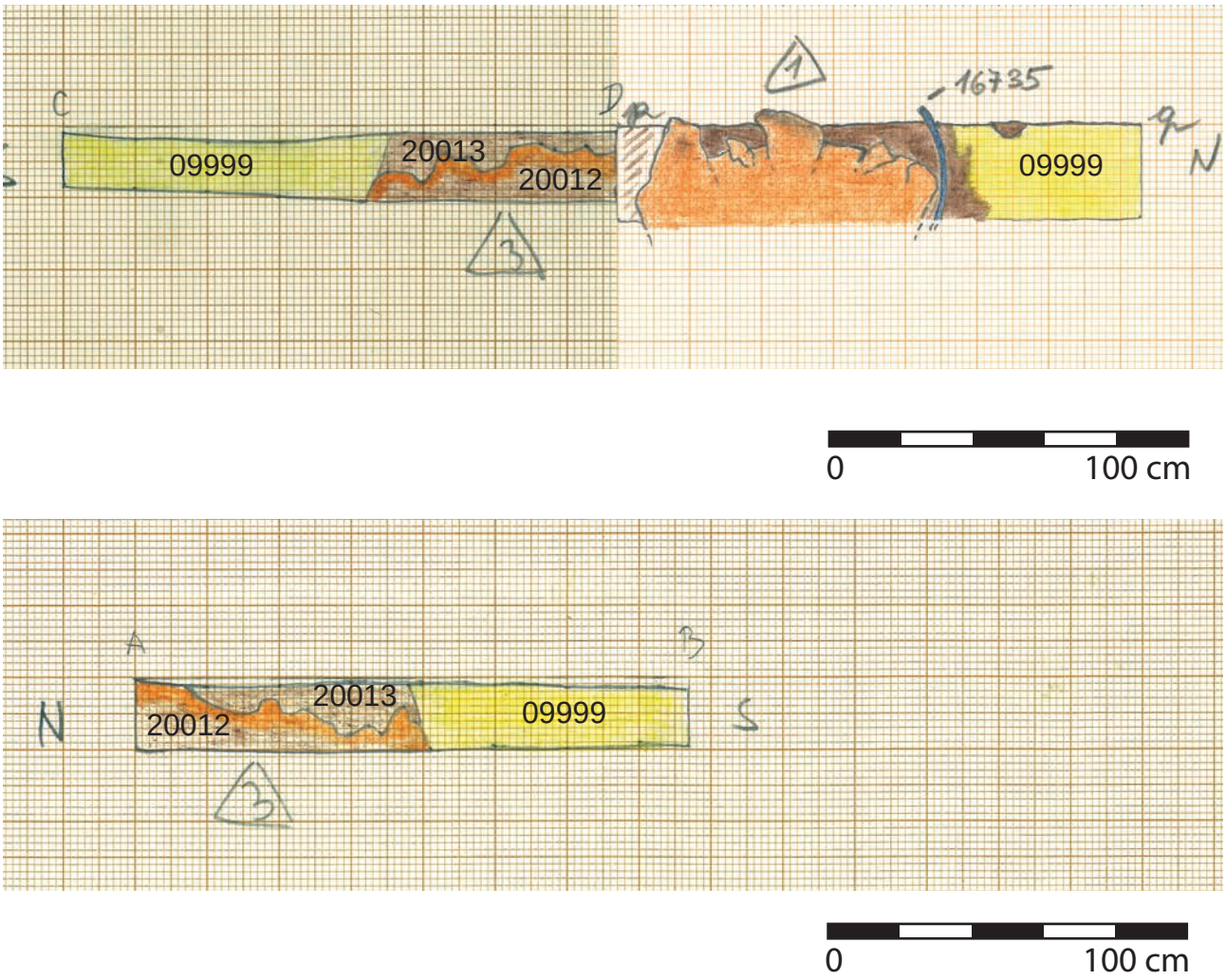


Abb. 396: V5001, „Wagneracker“. Oben: Zwischenprofil CD von 5001 (Zeichnung: C. Ranseder, Universität Wien, Plannr. WA 6/1987); Zwischenprofil pq (Zeichnung: M. Frelih, Universität Wien, Plannr. WA 38/1988). Unten: Zwischenprofil AB von 5001 (Zeichnung: C. Ranseder, Universität Wien, Plannr. WA 6/1987).

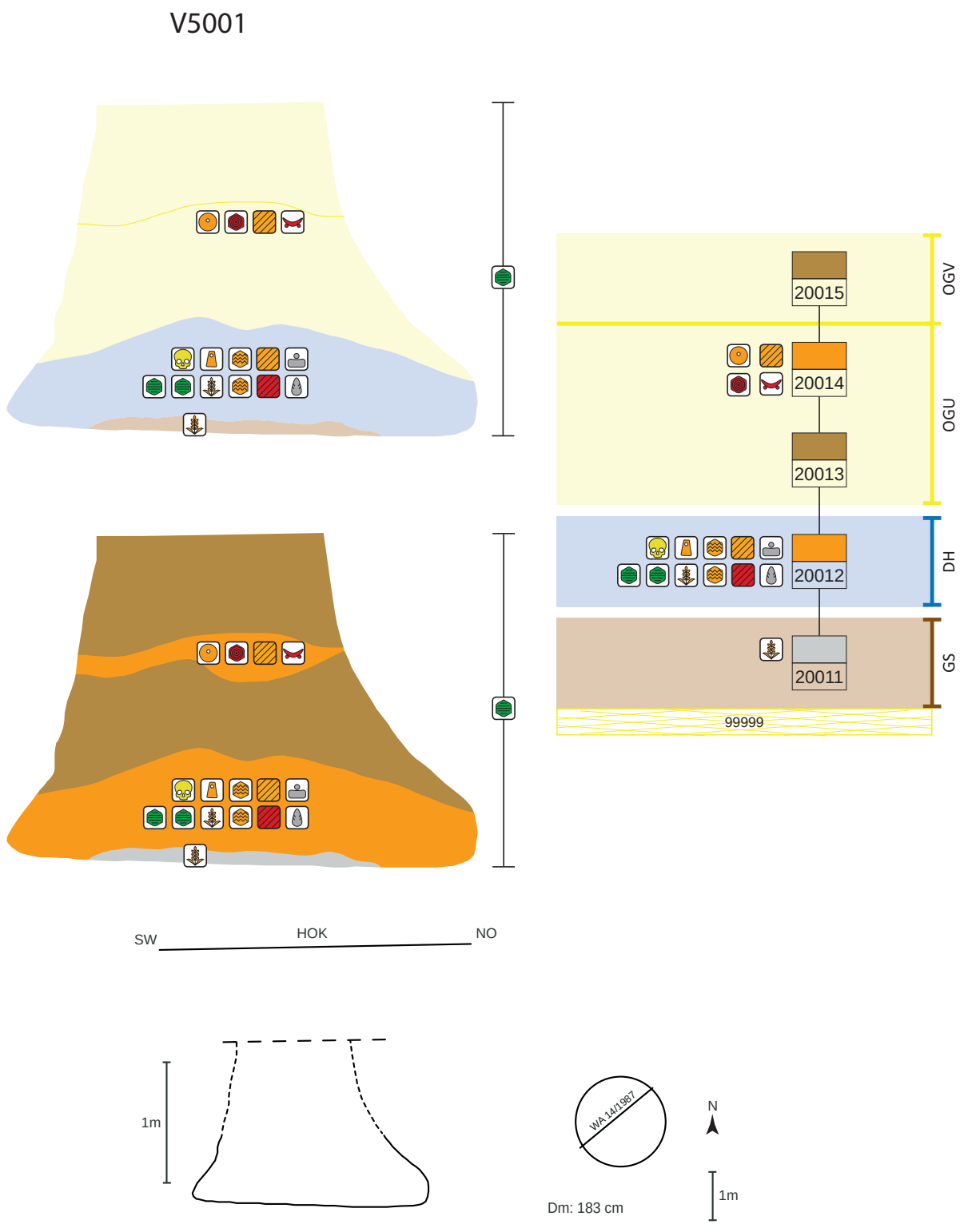


Abb. 397: V5001, schematische Darstellung, Schnitt und Lage des Schnittes im Planum.

Schichtabfolge V5001

Lage in der Grube	Sign.	Kurzbeschreibung	besondere Funde	Höhe ab Sohle in cm
direkt auf der Grubensohle	20011	verkohlte, vegetabile Einfüllung aus Saatgut, Breiresten und Wildpflanzen		0–8
„Deponierungshorizont“				
schwacher Schüttkegel, keine Deponierung	20012	mächtige Brandschuttschicht mit großem Hüttenlehmanteil, sehr fundreich (Abb. 53)	große Reibplatte (Feuereinwirkung); unvollständiges menschliches Skelett eines Neugeborenen; verkohlte Pflanzenreste; Bronzepfeilspitze; gebrannte Lehmobjekte; Bronzedraht; Silexklinge	0–48
oberer Grubenbereich				
	20013	Humus, fundarm		30–85
	20014	Brandschutt, fundreich	Feuerbockfrg.; Spinnwirtel	75–96
	20015	Humus, fundarm		75–96

Schichtbeschreibung (Sign.) V5001

Sign.	Schicht-schlüssel	Beschreibung	auf Plan	zugeordnete Fundnummern	besondere Funde
20011	7	dunkelgrauer Schüttkegel, zentral auf der Grubensohle aus hauptsächlich vegetabilem Material (verkohlten Getreide- und Wildpflanzenresten, Breiresten), ca. 10 cm hoch	WA 14/1987	16382(G), 16743(G), 16758(G)	**verkohltes Getreide,** hauptsächlich Dinkel (G) (St. 16382.1; Taf. 70/2 u. Abb. 142–144)
20011 oben bis 20012 (ganz unten)	7	vegetabiles Material: verkohlte Getreide- und Wildpflanzenreste, verkohlte Substanz (Breireste), sonstiges verkohltes, schwarzes Material[1367] (Abb. 138)		16367(H), 16368(H), 16369(H), 16370(H), 16371, 16372(H), 16373, 16374, 16375 16376(G), 16377(G), 16378(G, S), 16379(S), 16744?, 16745, 16747	Holz (H); Getreide (G); Breireste; **Silexabschlag** (St. 16375.1; Taf. 15/4 u. Abb. 135); **Bronzedraht** (St. 16374.1; Taf. 15/3); **Lochtennenfrg.?** (St. 16747.4; Taf. 11/2–3; 70/1 u. Abb. 97)
20012	2	mächtige rötliche Brandschuttschicht mit hauptsächlich Hüttenlehmbrocken (Taf. 65/1–2), darunter auch längliche (Architektur?)Bruchstücke, sekundär gebrannte Gefäßkeramik, Steine und Getreide, max. 42 cm mächtig (ca. 0,7 m³); Funde: etwa 100 kg HL und 15 kg Brandkeramik, darunter großteils (große) Bruchstücke der grobkeramischen Haushaltsware (Töpfe, Vorrats- und Kochgefäße) mit frischen Brüchen. Die wenigen Vertreter der mittelfeinen Ware (v. a. kannelierte Henkeltassen) sind weniger von Sekundärbrand beeinträchtigt. Große Reibplatte (Granit, St. 16744.1) mit massiver Feuereinwirkung, in viele Teile zerbrochen.	WA 4, 6, 8, 14/1987 WA 36, 38, 41/1988	16268, 16298, 16316, 16331, 16332, 16347, 16348, 16349(S), 16350(S), 16351, 16352, 16353, 16354, 16365(S), 16383, 16384, 16385, 16683, 16684(?), 16685, 16692, 16696(G), 16715, 16716, 16717, 16718, 16719, 16720, 16724, 16725, 16734, 16735, 16736, 16737, 16738, 16739, 16740, 16741, 16742	**2 pyramidenstumpfförm. Webgewichte** (St. 16384.3, 16740.1; Taf. 10/3; 11/1 u. Abb. 70) und Frg. (St. 16351.2; Taf. 10/2); **längliche u. runde gebrannte Lehmobjekte/Architekturteile** (Taf. 12; 13; 14/1–2; 66/2, 3; 67–69 u. Abb. 107); **Bronzepfeilspitze** (St. 16738.1; Taf. 15/1; 70/5); **verkohlte Pflanzenreste** (Hirse, St. 16696.1; Taf. 70/3 u. Abb. 145, 146); **Reibplatten**(frg.) (St. 16744.1, 16298.1, 16383.1, 16692; Taf. 15/5–7; 70/4[1368] u. Abb. 129); **menschliches Skelett** von Neugeborenem[1369] (St. 16332.1, 16352.100;Abb. 188); menschliche Schädelfrg. (St. 16684)
		Sign. 20012 bis 20013		16675	

1367. FNr. St. 16376.1: Zu einer ersten Stellungnahme zu dieser weitgehend formlosen, verkohlten Masse mit faltigem Aussehen siehe unten „Erste Stellungnahme durch A. G. Heiss“.

1368. Maße siehe Kap. 10.2, Detaillierte Fundbeschreibungen.

1369. Alter: 36.–40. Schwangerschaftswoche, siehe Kap. 4.2.2.

Sign.	Schicht-schlüssel	Beschreibung	auf Plan	zugeordnete Fundnummern	besondere Funde
20013	9	relativ einheitliches, braun-humoses, lehmiges Material, evtl. durch ein dunkleres, humoses Band unterbrochen; 30–50 cm mächtig	WA 4, 6, 14/1987	16543(?), 16679	
20014	2	Brandschutt mit Hüttenlehmbrocken (etwa 5 kg, großes Stück: Taf. 65/3) sowie mit schwarzer Asche durchmischt, 8–20 cm mächtig	WA 2, 14/1987 WA 19/1988	16216, 16238, 16273, 16242, 16254(?), 16386(?), 16390, 16542, 16616, 16617, 16618, 16619, 16620	**Feuerbockfrg.** (St. 16238.3; Taf. 16/4); **Spinnwirtel** (St. 16619.2; Taf. 16/3); **scheibenförm. Webgewichtfrg.** (St. 16242.2; Taf. 16/2)
		Sign. 20014 bis 20015		16606, 16660, 16664	
20015	9	hellbraun-humoses, kaum vom umgebenden Humus unterscheidbares Material; ca. 50 cm mächtig erhalten	WA 14/1987 WA 24/1988	16537(?), 16540(?)	
		keine Zuordnung möglich (Aushub)		16203, 16394	**Bronzenadel** (St. 16394.1; Taf. 15/2)

Funde V5001

In der unteren mächtigen Brandschuttschicht 20012 befand sich etwa 15 kg Brandkeramik. Den Hauptteil davon machen große Bruchstücke von **grobkeramischer Haushaltsware** (Töpfe, Vorrats- und Kochgefäße) aus, welche starken Sekundärbrand und frische Brüche aufweisen.[1370] Dabei handelt es sich um klassische Formen der späten Urnenfelderzeit (Ha B2–3) mit starker Keramikbruchmagerung. Konkret finden sich unverzierte Vorratsgefäßoberteile mit kegelförmigem Hals[1371] (Taf. 8/2; 9/1; 9/3) und sehr unterschiedlich stark S-profilierte Oberteile[1372] (Taf. 8/3; 9/2; 9/4). Die (Koch)Töpfe zeigen eine Vorliebe für verzierte Mundsäume (Eindruck- oder Kerbreihen) sowie Doppelknubben bzw. einzelne Kerbreihen auf der Schulter (Taf. 10/1; 16/1).

Der Brand kann bis zur Verschlackung von Gefäßabschnitten geführt haben (Randbruchstück von großem Vorratsgefäß: Taf. 9/1; 9/2; 9/4; Henkeltasse: Taf. 6/3). Die große Schale (Taf. 5/6; 64/4) ließ sich aus zahlreichen Fragmenten mit alten Bruchkanten vollständig zusammensetzen, was nicht die Regel ist. Sie war starkem Feuer ausgesetzt, wie die verzogenen Bruchstellen beweisen. Der mächtige Schmauchfleck außen am Gefäßunterteil einer Hochform (Taf. 64/5) wiederum verrät, dass das Gefäß länger in Glut bzw. heißer Asche lag. Die Bruchstücke des groben Topfes (Taf. 16/1) stammen aus Sign. 20012, lediglich ein anpassendes Randstück kommt aus der oberen Brandschicht (Sign. 20014, Abb. 394).[1373] Es liefert damit den wichtigen Hinweis, dass die beiden Brandschuttschichten aus demselben Brandgeschehen stammen. Alle sonstigen Anpassungen von Gefäßbruchstücken bewegen sich innerhalb von Sign. 20012.[1374]

Großgefäßreste ohne Sekundärbrandspuren, wie das Randstück eines großen Kegelhalsgefäßes (Taf. 9/3) und ein Schalenteil (Taf. 6/1), bilden die Ausnahme. Die wenigen Vertreter der mittelfeinen Ware – die **kannelierten Henkeltassen** – zeigen hingegen großteils weniger ausgeprägte Schadfeuereinwirkung, obwohl sie alle aus der Brandschuttschicht 20012 geborgen wurden (Taf. 6/2–5; 7/1–3 und Abb. 18, 78).[1375] Soweit dokumentiert, befanden sie sich im oberen Bereich der Brandschicht, wobei die Tassenbruchstücke Taf. 7/3 und Teilstücke der Henkeltassen Taf. 7/1 und 7/2[1376] am Plan gut erkennbar sind (Abb. 395). Die Tasse von Taf. 7/3 (FNr. St. 16715.1) ist in annähernd senkrechter Längsteilung vorhanden, was für eine Letztnutzung als Schöpfgerät spricht. Unterstützt wird diese Annahme von den Abnützungsspuren am Bauch und am Mundsaum (Abb. 78).

Diese gut vertretene Leitform der späten Urnenfelderzeit zeigt mit hohen (Taf. 6/5; 7/2) bis hin zu sehr flachen Formen (Taf. 7/3) eine beachtliche Vielfalt, auch hinsichtlich ihrer Größen. Sie deckt mit der höheren, älteren Form mit waagrechten Rillen (Taf. 7/1) und den flacheren, jüngeren Vertretern (Taf. 6/3; 7/3) die gesamte Zeitspanne von Ha B2 bis Ha B3 ab.[1377]

Im Brandschutt 20012 befanden sich auch große **pyramidenstumpfförmige Webgewichte** bzw. Teile davon: Webgewicht FNr. St. 16384.3 (Taf. 11/1, am Plan Abb. 394) ist stark vegetabil gemagert und in zwei Teile gebrochen,[1378] während andere Bruchstücke eher sandig (Taf. 10/2) und sogar mit Keramikbruch abgemagert sind (Taf. 10/3). Die rötlichen Brandspuren und die hellere Farbgebung an einer Bruchflächenhälfte des großen Webgewichts Taf. 10/3 belegen, dass es während des Brandes zu Bruch ging und teilweise stark dem Feuer ausgesetzt war (Abb. 70). An weiteren Sonderformen bzw. Kleinobjekten aus Sign. 20014 sind ein in urnenfelderzeitlichem Material seltener **Spinnwirtel** (Taf. 16/3), das Bruchstück eines scheibenförmigen Webgewichts (Taf. 16/2) sowie ein Feuerbockfragment (Taf. 16/4) zu nennen.

Von der überaus großen Menge an **Hüttenlehmbrocken**, die Brandschuttschicht 20012 beinhaltete,[1379] wurden etwa 100 kg

1370. FNrn. St. 16351.4, 5, 7; 16373.3, 4; 16741.1, 3; 16385.1; 16719.1; 16735.1.

1371. Hellerschmid 2006, Topf 4, Typ A Form mit kegelförmiger Halsbildung, Var. a–e.

1372. Hellerschmid 2006 Topf 2, Typ A mit S-Profilierung.

1373. FNr. St. 16390.1.

1374. Sign. 20012: FNrn. St. 16373.4 und 16717; 16741.4 und 16737; 16741.7 und 16373; 16692; 16718; 16724.2 und 16331; 16741; 16716.

1375. Zwei Vertreter mit eindeutigem Sekundärbrand: Taf. 6/2 (FNr. St. 16351.6) und Taf. 6/3 (FNr. St. 16685.1). Bei den anderen Henkeltassen ist die Sachlage unklar. Sie sind großteils klingend hart gebrannt. Ob sie im Schadfeuer lagen, lässt sich nicht beurteilen (Taf. 7/2: FNr. St. 16724.2 mit Riss am Henkel; Taf. 7/1: FNr. St. 16741.7; Taf. 7/3 usw.).

1376. FNr. St. 16718 (Teilstück von Henkeltasse FNr. St. 16741.7, Taf. 7/1) und FNr. St. 16716 (Teilstück von Henkeltasse FNr. St. 16724.2, Taf. 7/2).

1377. Siehe Kap. 1.4.1.2, 1.4.1.3.

1378. Starke vegetabile Magerung zeigen auch die pyramidenstumpfförmigen Webgewichtfragmente FNrn. St. 16740.2 und 16347.2.

1379. Dies bestätigt die Notiz auf Fundzettel 16747: „verziegelte Lehmbrocken – Auswahl“.

geborgen, aus der oberen Brandschuttschicht (20014) lediglich ungefähr 5 kg. Es handelt sich vornehmlich um große, vegetabil gemagerte und teils rötlich gebrannte Bruchstücke. In vielen Fällen zeigen sich glatte Schauflächen und Rutenabdrücke auf den Rückseiten, was auf Flechtwerkwände hindeutet (Taf. 65/1 und FNrn. St. 16353.2, 16372.1, 16367.3). Es finden sich aber auch Brettabdrücke, so auch auf dem mächtigen Hüttenlehmbruchstück mit rechteckigem Querschnitt und 20 cm Länge (Taf. 11/6; 65/3). Weiters sind auf selbigem Stück der Abdruck eines Rundholzes, grobe pflanzliche Magerung (Stroh?), glatte Abschnitte und das Negativ einer Holzausnehmung („Verzapfung") nachzuweisen. In dem Gebäude, aus dem es stammt, wurden demnach rechteckige Bauhölzer (Balken, Bretter) eingesetzt.

Hüttenlehmbruchstücke mit dreieckigem Querschnitt lassen darüber hinaus auf verbaute Rundhölzer schließen (Taf. 65/2; 66/1[1380]), in einem Fall mit Längsrillung an der Schaufläche (Taf. 65/2; Kap. 3.1.5.1[1381]).

Eine spezielle Fundgruppe sind längliche Gegenstände aus gebranntem, lehmigem Ton (Taf. 11/4; 13 und 68; 14/1 und 69 und Abb. 107; Taf. 14/2). Einige Stücke sind hingegen, ähnlich dem Hüttenlehm, stark vegetabil gemagert (Taf. 12 und 67; 66/2). Sehr wahrscheinlich waren die Stücke ursprünglich ungebrannt und haben sich nur durch den Einfluss des Schadfeuers erhalten. Die meisten Vertreter weisen einen schwachen Links- oder Rechtsdrall auf. An zwei Stücken zeigen sich an den Auflageflächen Abdrücke der (hölzernen?) Unterlage (Taf. 13 und 68; 14/1 und 69). Alle erwecken zu unterschiedlichem Grad den Eindruck einer Oberflächenschlickerung (z. B. Taf. 14/1 und 69). Exemplar FNr. St. 16351.8 (Taf. 12 und 67) mit auffallend glatter Sohle lässt vermuten, dass in Originallage eine Ausstreichung entlang der rechten Seitenkante[1382] erfolgte, welche weggebrochen ist. Ihre Funktion wird im Haupttext unter der Bezeichnung **„hüttenlehmartige Objekte in Schuhleistenform"** diskutiert (Kap. 3.1.5.2.).

Aus dem Brandschutt 20012 stammt auch ein großer runder, (sekundär?) gebrannter **Tonklumpen** von 5 kg Gewicht (Taf. 66/3), der in Form und Größe einem menschlichen Kopf ähnelt. Am verengten Ende ist der Gegenstand abgebrochen. Seine Oberfläche zeigt Fingereindrücke, wie sie beim Halten solcher Klumpen zustande kommen. An die Seite sind ihm (Bruch)Stücke ähnlicher Gegenstände mit stark rissiger Oberfläche und hohem spezifischem Gewicht zu stellen (Taf. 66/4). Ein Belegstück ist kleiner und sehr kompakt, mit ovalem Querschnitt bzw. ebener Unterseite (Taf. 11/5). Ihre Fundnummern[1383] lassen eine ähnliche Fundlage vermuten. Mit großer Wahrscheinlichkeit handelt es sich dabei um abgelegte, vorbereitete Tonballen, die sich durch das Schadfeuer erhalten haben (Näheres siehe Kap. 3.1.4.2).

Unter den Sonderformen aus gebranntem Lehm finden sich des Weiteren plattenartige, schwach erhitzte Bruchstücke mit senkrechten Lochungen (Dm. 3–3,5 cm), welche wir als **Lochtennenfragmente** ansprechen (Taf. 11/2–3; 70/1 und Abb. 97). Die Schauflächen und Durchbrüche zeigen glatte, gebrannte Originalflächen mit vegetabilen Einschlüssen, während die Unterseite uneben und erdig ist. In unserem Raum ist bereits ab der älteren Urnenfelderzeit mit Ofentennen zur Trennung von Feuerungs- und Brennraum beim Keramikbrand zu rechnen, wie Funde aus Sommerein belegen (Kap. 3.1.4.1).

An metallenen Artefakten aus dem verbrannten Hausrat sind eine **bronzene Pfeilspitze** und ein Bronzedrahtstück zu nennen. Sie zeigen starke und unregelmäßige Korrosionserscheinungen, welche als Hinweis auf Schadfeuer zu werten sind[1384] (Pfeilspitze: Taf. 15/1; 70/5 [FNr. St. 16738.1] und Abb. 395 oben; Drahtstück: Taf. 15/3). Aus dem Aushub kommt noch eine gut erhaltene Bronzenadel(spitze) (Taf. 15/2).

Sehr auffallend ist die große Zahl an **Reibplattenbruchstücken** (sechs), die hauptsächlich aus dem untersten Abschnitt der großen Brandschicht kommen (vor allem aus dem an die Getreideschicht angrenzenden Bereich, Sign. 20012/20011: (Taf. 15/5 und 70/4; 15/6; 15/7 und Abb. 129; FNrn. St. 16367.1; 16373.1; 16692.1). Drei davon waren intensiv dem Feuer ausgesetzt, darunter alle Bruchstücke der mächtigen Reibplatte FNr. St. 16744.1 (Taf. 15/5; 70/4), die sich größtenteils zusammensetzen ließ. Diese Platte wird als Bestandteil des ehemaligen Hausinventars betrachtet, wobei ihr Gegenspieler, der Läufer, nicht gefunden wurde. Die beiden anderen feuerbeeinflussten Reibplattenbruchstücke (Taf. 15/7 und Abb. 129 sowie FNr. St. 16367.1) könnten als Herdsteine oder Ähnliches in Verwendung gestanden sein. Es liegen auch Reibplattenfragmente ohne Feuereinwirkung aus dem Brandschutt vor (Taf. 15/6 und FNr. St. 16373.1).[1385] Ob der im Profil steckende, langrechteckige Stein zum Fundinventar dieser Grube gehört, ist unklar (FNr. St. 16537 oder 16540; Abb. 394). Unter den Steinfunden ist noch ein Silexabschlag zu nennen (Taf. 15/4 und Abb. 135).

Auf der Grubensohle fand sich eine große Menge an **verkohltem Getreide**[1386] (Sign. 20011, FNr. St. 16382.1, Taf. 70/2 und Abb. 142–144) und Breiresten. Dabei handelt es sich hauptsächlich um Rispenhirse und Dinkel. Auch zahlreiche **verkohlte Wildpflanzenreste** sind vertreten.[1387] Es ist davon auszugehen, dass diese Funde bereits im (verkohlten) Zustand in die Grube kamen. Andernfalls müsste der darüber liegende Brandschutt noch brennend heiß auf den eingelagerten Getreiderest geleert worden sein. Dies ist zu bezweifeln, da die Grubenwände keine Rotfärbung zeigen und im Brandschutt Funde ohne Brandspuren vorliegen. Auch direkt aus dem Brandschutt (Sign. 20012) wurden „verkohlte Pflanzenreste" geborgen, darunter eine größere Menge an Rispenhirse (FNr. St. 16696.1, Taf. 70/3 und Abb. 145, 146 sowie FNr. St. 16742).[1388] Zu erwähnen ist auch schwarzes, **verschlacktes Material**, das einer ersten Beurteilung unterzogen werden konnte[1389] (Abb. 138).

Die wenigen **Tierknochen** stammen großteils von gängigen Haustierarten und weisen kaum Feuerbeeinflussung auf.[1390] Der

---

1380. Aus dem Aushub.

1381. Unterkapitel: Hüttenlehm als Lehmbewurf auf Rundholzfugen (Fugenverstrich von waagrechen(?) Rundhölzern).

1382. Von oben betrachtet mit Blick zur Spitze.

1383. FNrn. St. 16744.4, 16745.2, 16747.3.

1384. „Wucherpatina", freundlicher Hinweis von M. Fritzl und M. Konrad.

1385. Steine ohne sichtbare Feuerspuren: FNr. St. 16369 (Sign. 20011, 20012), FNrn. St. 16273, 16542 (beide Sign. 20014), 16660 (Sign. 20014 oder 20015). Steine mit Brandeinwirkung aus Sign. 20012: FNrn. St. 16737, 16347, 16348, 16744.

1386. Saatgut oder Getreidevorrat.

1387. Siehe unten „Naturwissenschaftliche Auswertung der Pflanzenreste durch M. Kohler-Schneider".

1388. Die Auswertung der botanischen Funde finden sich weiter unten (Naturwissenschaftliche Auswertung der Pflanzenreste durch M. Kohler-Schneider) sowie in Kap. 3.7.7 (Zwei archäobotanische Proben aus der urnenfelderzeitlichen Grube V5001 am „Wagneracker" in Stillfried an der March – Grabungen 1987/1988 durch M. Popovtschak).

1389. Siehe unten „Erste Stellungnahme zu dem verschlackten, unförmigen, schwarzen Fundmaterial aus dem untersten Bereich der Brandschuttschicht 20012 durch A. G. Heiss" (FNr. St. 16376.1).

1390. Sign. 20014: FNrn. St. 16242.3; 16542.3; 16616.3; Sign. 20012: FNr. St. 16316.4; Sign. 20015: FNr. St. 16540.2; verschollen: FNr. St. 16352.

niedrige Tierknochenanteil fügt sich gut in die Deutung als Hausbrandschutt, denn Tierknochen werden rasch entsorgt und Fleisch stand im Regelfall nicht häufig am Speiseplan.

Dem unteren Brandschutt wurde ein menschlicher Fötus oder ein Neugeborenes (FNrn. St. 16332.1, 16352.100) angefügt. Die Knochen zeigen keine Brandspuren, was die Annahme unterstützt, dass der Brandschutt bereits erkaltet war (Abb. 188). Zwei weitere kleine menschliche Knochen entstammen ebenfalls dieser Schicht.[1391]

Während des Putzens von Planum 3[1392] kam laut Planbeschreibung eine größere Menge von kleinen menschlichen Knochen, darunter drei Bruchstücke einer Schädelkalotte (FNr. St. 16684) zum Vorschein.[1393] Da beide Fundposten (FNrn. St. 16316.4 und 16684) derzeit nicht auffindbar sind, lässt sich nicht sagen, ob sie zu obigem Neugeborenenskelett gehören.

Archäologische Datierung

Die in diesem Verband in älteren und jüngeren Spielarten gut vertretenen kannelierten Henkeltassen sind eine Leitform der jüngeren und späten Urnenfelderzeit, was einen Zeitansatz von Ha B2 bis Ha B3 ermöglicht. Die bronzene Pfeilspitze (mit Widerhaken) datiert in die jüngere Urnenfelderzeit.[1394]

Naturwissenschaftliche Datierung

Das verkohlte Getreide aus Schicht 20011 erbrachte eine AMS-^{14}C-Datierung von 2880 ± 50 BP [1212 (100 %) 907 BC, Mw. 1059 BC)].[1395]

Das Ergebnis der AMS-^{14}C-Datierung des menschlichen Fötus (FNr. St. 16332.1) beträgt: 2790 ± 30 BP [1011 (95,4 %) 846 BC, Mw. 928 BC].[1396] Diese verhältnismäßig hohe Zeitstellung begründet unsere Zuordnung der Grube V5001 zu Siedlungsphase II.

Naturwissenschaftliche Auswertung der Pflanzenreste durch M. Kohler-Schneider[1397]

Insgesamt wurden 80 l Probenmaterial aus dem Bereich der Getreidelage an der Grubensohle entnommen. Die Untersuchungen der vier Stichproben daraus (insgesamt 1.843 Pflanzenreste) durch Kohler-Schneider erbrachten Kultur- und Pflanzenreste in einer Verteilung, die Kohler-Schneider als „Vorratsmischprobe" bezeichnet.[1398] Die Hauptmenge der Kulturpflanzenarten waren Rispenhirse (*Panicum miliaceum*) und Dinkel (*Triticum spelta*) in etwa gleich großen Mengen (40 % bzw. 38 %). Weiters war Einkorn (*Triticum monococcum*) mit 16 % vertreten. Die nachgewiesenen Druschreste der vertretenen Getreidearten lassen auf eine Lagerung innerhalb der Spelzen schließen, was kennzeichnend für Saatgut bzw. Vorrat ist.[1399] In allen Stichproben waren reichlich Brei-Klümpchen vertreten, die auf ein Risotto-ähnliches Gericht aus Gerste (*Hordeum sativum*), Rispenhirse und Roggentrespe (*Bromus secalinus*) schließen lassen.[1400] Den Rest bilden großteils nicht näher bestimmbare Getreidekörner und Wildpflanzenreste, darunter viele Ackerunkräuter.

Kohler-Schneider deutet den Befund als Getreidespeichergrube, die abschließend mit Haushaltsabfällen gefüllt wurde.[1401]

Aus der dichten Getreidelage am Grubenboden (Sign. 20011)[1402] wurde eine weitere Probe (FNr. St. 16382.1) im Zuge des aktuellen Projekts ^{14}C datiert und nochmals einer archäobotanischen Bestimmung unterzogen (siehe Kap. 3.7.7).

Erste Stellungnahme zu dem verschlackten, unförmigen, schwarzen Fundmaterial aus dem untersten Bereich der Brandschuttschicht 20012 durch A. G. Heiss[1403] (FNr. St. 16376.1; Abb. 138).

Der Hauptteil besteht aus „schlackiger" bzw. amorpher, verkohlter Masse. Sie ist über weite Strecken strukturlos, die Außenfläche auf eigenwillige Weise „faltig".

Des Weiteren gibt es ziemlich große Ansammlungen verkohlter, „explodierter" bespelzter Hirsekörner, einige verkohlte Dinkelkörner, daran außen etwas verkohltes Stroh und einige Holzkohlenstücke sowie einen verkohlten Wildapfel.

Die unförmige Masse könnte zu einem Großteil von den Hirsen herrühren, da Hirsekörner bei bestimmten Verkohlungsbedingungen „ausrinnen" und solche Zusammenballungen bilden können. Die Masse kann aber auch aus einer anderen Quelle stammen.

Hypothetisch könnten die Hirsen, die (entspelzten!) Dinkelkörner und der Apfel einzelne Vorratsbestandteile oder gelagerte Lebensmittel sein, die zu Boden (Holzkohle! Stroh!) gefallen sind und sich dort vermischt haben (evtl. auch mit einer weiteren breiigen Komponente, die die amorphe Masse gebildet hat, falls es nicht die Hirsen waren). Die Struktur auf der Außenseite der Masse ist unklar, möglicherweise handelt es sich um Abdrücke eines geschnitzten Holzgefäßes.

Für gesicherte Aussagen sind weitere Untersuchungen notwendig.

Befundinterpretation

Bei den beiden Brandschuttschichten handelt es sich um Hausbrandschutt von ein und demselben Gebäude (Schichten 20012 und 20014). Da sich viele Gefäßteile trotz frischer Brüche nicht vollständig zusammensetzen ließen, liegt nur ein Ausschnitt des abgebrannten Hausrates vor, der in zwei Handlungsschritten eingefüllt wurde. Zu diesem Zeitpunkt war der Brandschutt bereits erkaltet, da keine Rotfärbung der angrenzenden Lößwände zu beobachten ist und Funde ohne Feuerspuren vorliegen.

Auf Hausrat weisen neben der großen Menge an Alltagskeramik (Vorrats- und Kochtöpfe, Taf. 8/2–3; 9/1–4; 10/1) und der großen Reibplatte (Taf. 15/5; 70/4) – allesamt stark feuerbeeinträchtigt – auch die Tonklumpen (Taf. 11/5; 66/3–4) und die Lochtennenbruchstücke (Taf. 11/2–3; 70/1; Handwerk vor Ort). Der Brandschutt enthält eine verhältnismäßig große Anzahl von auffälligen Gegenständen, die mit einer vielfältigen Hausarchitektur in Zusammenhang gebracht werden können. Hier sind vor allem die „schuhleistenförmigen"

1391. FNr. St. 16316.4; aus dem unteren Bereich der Schicht 20012, befanden sich unter den Tierknochen und wurden von K. Saliari aussortiert (2016), nicht auffindbar.

1392. Bereich Sign. 20013 und oberer Bereich von Sign. 20012.

1393. Verschollen, Plan 8/1987.

1394. Stegmann-Rajtár 1992, 64.

1395. Probe ETH-16498, Kohler-Schneider 2001, 37, 57.

1396. Probe Poz-99240.

1397. Kohler-Schneider 2001, 57–62.

1398. Getreide: FNrn: St. 16377, 16382.1, 16743, 16758; verkohlte Substanz: FNr. St. 16376.1.

1399. Kohler-Schneider 2001, 57.

1400. Kohler-Schneider 2001, 153, „Hirsotto".

1401. Kohler-Schneider 2001, 59.

1402. FNrn. St. 16382, 16743, 16758; FNrn. aus dem Übergang von Sign. 20011 und 20012: FNrn. St. 16376–16378, Kohler-Schneider 2001, 57 (Grube A/3 1).

1403. Wir danken Andreas G. Heiss herzlich für diese Erstbestimmung.

bemerkenswerte Funde aus dem Brandschutt	Anmerkung	profane Erklärung	kultische Erklärung
verkohltes Saatgut oder Vorrat, verkohlter Getreidebrei und verkohlte Wildpflanzenreste am Grubenboden (Taf. 70/2 u. Abb. 142, 144)		im Zuge des Schadfeuers zerstört und zufälligerweise als erstes entsorgt	im Zuge des Schadfeuers zerstört und absichtsvoll zu allererst in die Grube eingebracht. Fügt sich in das in den Speichergruben festgestellte Verfüllungsmuster, wonach sich auf der Sohle oftmals ein organisches/aschiges Häufchen befindet.
„Tonkopf" St. 16739.2; (Taf. 66/3)	aus dem humosen Untergrund herausgerissen	Ein zur Weiterverarbeitung vorbereiteter Tonballen befand sich zum Zeitpunkt des Schadenfeuers am Fußboden des Gebäudes, wurde nach dem Brand entfernt.	Das Stück wurde absichtlich aufgrund seiner außergewöhnlichen Form mit dem Brandschutt in die Grube eingebracht.
längliche, gebrannte Lehmobjekte mit D-förmigem bis dreieckigem Querschnitt (schuhleistenförmig; Taf. 12–14, 67–69 u. Abb. 107)	darunter ein Exemplar mit starker vegetabiler Magerung (Taf. 67)	Es handelt sich um Architekturteile eines mächtigen, besonderen Gebäudes.	Die Bruchstücke sind als besondere Architekturteile bewusst dem Hausbrand beigefügt worden. Als „Hausbestattung" geben sie Auskunft über die Art und Funktion des ehemaligen Gebäudes.
Skelett eines menschlichen Neugeborenen (Abb. 188)	keine Hitzeeinwirkung	Entsorgung im erkalteten Brandschutt	wurde im Rahmen der rituellen „Hausbestattung" zur Unterstützung des Ritualzieles beigegeben (um bestmögliche Voraussetzungen für einen Neubau zu schaffen?).
Tafelgeschirr mit weniger ausgeprägten Brandspuren	fünf der sieben Henkeltassen(bruchstücke) (Abb. 18) zeigen keine oder keine deutlichen Spuren eines Schadfeuers	Das Tafelgeschirr befand sich im Gegensatz zum Koch- und Vorratsgeschirr in einem Hausbereich, der vom Feuer verschont blieb.	Hinweis auf rituellen Umtrunk, der im Zuge der „Hausbestattung" durchgeführt wurde. Das dabei verwendete Geschirr war danach für den Alltagsgebrauch tabu. Es wurde zerschlagen und Teilstücke davon dem Brandschutt beigefügt.

Abschlüsse/Umrahmungen(?) aus Lehm zu nennen (Taf. 12–14, 67–69) und Hüttenlehmbruchstücke (Taf. 11/6; 65/3), die auf ein mächtiges Bauwerk von technisch anspruchsvoller Konstruktion schließen lassen. Die Bruchstücke mit dreieckigem Querschnitt (und Fingerstrich) sprechen für Hauswände, die aus waagrechten Rundhölzern (Riegelhölzern) bestanden (Taf. 65/2; 66/1; Kap. 3.1.5.1).

Auch im Tafelgeschirr (sieben kannelierte Henkeltassen) spiegelt sich die Bedeutung dieses Gebäudes. Für den in eine ehemalige Vorratsgrube verbrachten Hausbrandschutt schlagen wir eine profane und eine kultische Deutung vor (siehe Tabelle). Für die Deutung des beigefügten menschlichen Fötus bzw. des Neugeborenen gibt es demgemäß zwei Interpretationsansätze.

Profane Deutung: Das Schadfeuer vernichtete ein Gebäude innerhalb der Wallanlage. Teile des Brandschuttes wurden in bereits erkaltetem Zustand in der aufgelassenen Speichergrube V5001 entsorgt. Die Reihenfolge der Einfüllung entspricht dem Zufallsprinzip. Auch ein menschliches Neugeborenes wurde dem Brandschutt beigefügt. Überreste mächtiger Lehmarchitektur, großdimensionale Haushaltsgegenstände (Vorratsgefäße, Reibplatte) lassen auf ein besonderes (öffentliches?) Gebäude schließen, das dem Feuer zum Opfer fiel. Das Tafelgeschirr befand sich an einem anderen Ort als die Koch- und Vorratsgefäße und blieb vom Brand annähernd verschont.

Abschließend wird die Grube aus Sicherheitsgründen bis oben hin verschlossen, unterbrochen von einer weiteren Schuttlage desselben Brandgeschehens.

Kultische Deutung: Der Brandschutt eines durch Schadfeuer vernichteten bedeutenden (öffentlichen?) Gebäudes wurde rituell im Sinn einer „Hausbestattung" entsorgt, um die bestmögliche Voraussetzung für eine Neuerrichtung zu schaffen (Kap. 7.1). Zu allererst wurde eine große Menge des vernichteten Getreides, verkohlte Wildpflanzen- und Speisereste aus dem Hausbrandschutt auf die Grubensohle geschüttet,[1404] gefolgt von bereits erkaltetem Brandschutt. Seine Zusammensetzung sollte das Haus repräsentieren und war dementsprechend bewusst ausgewählt worden (Geschirr, Webgewichte, Mahlsteine, Pfeilspitze, Hüttenlehm usw.). Das zu diesem Zeitpunkt verstorbene menschliche Neugeborene bzw. der Fötus wird bei dieser „Hausbestattung" mit begraben.

Nach Abschluss des rituellen Umtrunkes/Kultmahles wird das dabei verwendete Geschirr (Henkeltassen) zerbrochen und Teile davon als Beleg für dieses Ereignis in den Brandschutt geworfen. Für eine Alltagsverwendung ist es tabu geworden. Es folgt eine rasche Verschließung durch eine „sterile" Erdschicht, weiterer Brandschutt desselben Brandgeschehens und eine neuerliche Abdeckschicht.

Fundkatalog V5001

Grabungsjahr 1987 (Schnitt 1/b)
16203
Allgemeiner Aushub; Teile können zu V5001 gehören
Ker, Kn
.3 30 KerBS von Gefäßen (UK)
.4 10 KerBS von Gefäßen (MA)
.1 Zie (RKZ)
.2 HL (1400 g; Taf. 66/1)
.6 Frg. von pyr. WG
KiNr.: 1/57001 2/57025, 8/57024, 12/57015

16211
Nordprofil; beim Putzen; kann zu V5001 gehören
Ker, Stein
.1 w. HL
.2 1 Stein
KiNr.: 1/57027, 2/57025, 3/57021

1404. Dies geht konform mit dem in den Stillfrieder Speichergruben beobachteten Verfüllungsmuster, wonach sich im Zentrum der Sohle oftmals organische Materialhäufchen zeigen.

16216
120 cm unter Lfm. 47,7
Sign. 20014
gebr. Lehm
.1 verziegelter Wandverputz mit deutlichen Abdrücken: Kantholzabdrücke mit zapfenart. Verankerungen (1300 g; Taf. 11/6; 65/3)
KiNr.:10/57010

16238
130–145 cm unter Lfm. 8; hauptsächlich wohl Sign. 20014
Ker, HL
.1 w. KerBS von Gefäßen
.2 w. HL (80 g)
.3 Frg. von Feuerbock (Taf. 16/4)
KiNr.: 1/57035, 1/57126, 2/57032, 12/57015

16242
120 cm unter Lfm. 8; Sign. 20014
Ker, Kn
.1 w. KerBS von Gefäßen
.2 Frg. von scheibenförm. WG (Taf. 16/2)
.3 Kn
- Schaf/Ziege: Zahn, Maxilla
KiNr.: 1/57035, 12/57015

16254
Evtl. Sign. 20014(?)
HL, HK
.1 HL (2000 g)
KiNr.: 2/57018

16268
175 cm unter? Nähe der Hüttenlehmanhäufung
Wahrscheinlich zu V5001; Sign. 20012
Ker
.1 2 Seitenteile von grober Kegelhalstasse, sek. gebr. (Taf. 8/1)
KiNr.: 1/57035

16273
130–145 cm unter Lfm. 8; hauptsächlich wohl Sign. 20014
Ker, HL
.1 w. KerBS von Gefäßen (auch MA)
.5 WS (Knubbe)
.4 Frg. von WG (pyr.?)
.6 w. HL (50 g)
.8 1 Stein
.7 Mörtel (60 g)
KiNr.: 1/57037, 2/57102, 7/57106, 12/57015

16298
Unter Planum 2; 170–190 cm unter Lfm. 8; Sign. 20012
Ker, Stein, HK
.2 RS von KHG (Taf. 9/3)
.3 w. KerBS, sek.gebr.?
.1 Reibplattenfrg. (Taf. 15/6)
KiNr.: 1/57100, 3/57008

16303
Aushub; Teile möglich zu V5001
Ker, Zie, Mörtel, Kn
.2 RS von Vorratsgefäß, sek. gebr.
.3 w. KerBS von Gefäßen
.4 2 KerBS von Gefäß (MA)
.1 HL
.5 HL (130 g)
KiNr.: 1/57040, 2/57025, 2/57102

16316
170–190 cm unter Lfm. 8; Sign. 20012
Ker, HK, Kn
.1 RS von kannelierter (Henkel)Tasse (Taf. 6/5)
.2 w. KerBS von Gefäßen, großteils sek. gebr.
.3 HL (280 g)
.4 2 menschliche Kn (zum Fötus-/Neugeborenenskelett gehörend? Verbleib: NHM/verschollen)
.5 1 unbestimmbarer Tierkn
KiNr.: 1/57035, 2/57014

16327
300–320 cm (???) unter Lfm. 8
Ker, Zie, Mörtel, Kn
.1 1 Flussmuschel

16331
Hüttenlehmversturz; Sign. 20012
Ker, HL
.1 RS von kannelierter (Henkel)Tasse (Taf. 6/4)
.2 RS von Topf, sek. gebr.
.3 w. KerBS von Gefäßen
.4 HL (710 g)
KiNr.: 1/57104, 2/57032, 8/57096

16332
In Planbeschreibung WA 8/1987 erwähnt
Sign. 20012 (Osthälfte)
Kn
.1 Skelettteil von menschlichem Fötus/Neugeborenem, Feuereinwirkung? (^{14}C-Dat., dazugehörig: St. 16352.1)

16347
178–190 cm unter? Hüttenlehmversturz
Sign. 20012
HL
.2 Frg. von pyr. WG
.3 viel HL (18 kg), darunter auch längliche, gebr. Lehmobjekte/Architekturteile?
.1 2 Steine
KiNr.: 2/57072, 2/57073, 2/57074, 2/57075, 2/57076, 2/57072, 3/57047

16348
Hüttenlehmversturz
Sign. 20012
Ker
.1 HL (ca. 20 kg)
.3 Frg. von länglichem, gebr. Lehmobjekt, Architekturteil? (Taf. 66/2 links)
.100 Reibplattenfrg. (zu St. 16744.1)
.2 1 kl. Stein
KiNr.: 2/57018, 2/57019, 2/57054, 2/57056, 2/57067, 2/57112, 2/57113, 3/57008, 3/57047

16349
Hüttenlehmversturz
Sign. 20012
S
.1 S (Erdbröckchen)
KiNr.: 9/57157

16350
Hüttenlehmversturz
Sign. 20012
S

.1 S (Erdbröckchen)
KiNr.: 9/57011

16351
Hüttenlehmversturz
Sign. 20012
Ker, gebr. Lehm, WG
.1 BrandKer, einige Vorratsgefäßteile, 2 Unterteile von mittelfeinen Schalen (unverbrannt), großteils grobe Ware
.4 WS von bauchigem Gefäß (Taf. 7/4)
.5 RS von Vorratsgefäß (Feuerspuren; Taf. 9/2)
.6 RS von kl. kannelierter Henkeltasse, sek. gebr. (Taf. 6/2)
.7 RS von Vorratsgefäß (Taf. 9/4)
.2 Frg. von pyr. WG (Taf. 10/2)
.3 2 Frg. von pyr. WG
.8 längliche, gebr. Lehmobjekte/Architekturteile? (Rechtsdrall; Taf. 12, 67)
KiNr.: 1/57086, 2/57025, 12/57015

16352
Hüttenlehmversturz; SO-Teil
Sign. 20012
Kn, Homokn
.100 Skelettteil von menschlichem Fötus/Neugeborenem, Feuereinwirkung? (zu St. 16332.1)

16353
Hüttenlehmversturz
Sign. 20012
HL
.1 gebr. Lehmplatte
.3 gebr. Lehm, scheibenförm.
.4 gebr. Lehm, plättchenförm. (Taf. 11/4)
.2 HL (1850 g)
KiNr.: 2/57006, 2/57108, 12/57015

16354
Hüttenlehmversturz
Sign. 20012
HL
.1 HL (ca. 5 kg)
KiNr.: 2/57066

16365
Hüttenlehmversturz
Sign. 20012
S
.1 S (Erdbröckchen)
KiNr.: 9/57158

16367
200–210 cm unter Lfm. 7; Nordteil
Sign. 20012 (ganz unten) bis 20011
Holz(?)
.2 1 KerWS von Gefäß
.3 HL (5800 g)
.1 Reibplattenfrg. mit Feuereinwirkung
KiNr.: 1/57037, 2/57036, 2/57034, 3/57021

16368
200–210 cm unter Lfm. 7; Nordteil
Sign. 20012 (ganz unten) bis 20011
Holz(?)
.1 HL (ca. 11 kg)
.100 Reibplattenfrg. (zu St. 16744.1)
KiNr.: 2/57122, 2/57124, 3/57101

16369
200–210 cm unter Lfm. 7; Nordteil
Sign. 20012 (ganz unten) bis 20011
Holz(?)
.1 rundlicher, plattiger Sandstein
.2 HL (1550 g)
KiNr.: 2/57032, 3/57021

16370
200–210 cm unter Lfm. 7; Nordteil
Sign. 20012 (ganz unten) bis 20011
Holz(?)
.2 Gefäßhenkel
.1 HL (ca. 7 kg)
.3 rötliche, schwere Erdbrocken
.100 Reibplattenfrg. (zu St. 16744.1)
KiNr.: 2/57122, 2/57124, 3/57101, 9/57011

16371
Keine genaue Sign. möglich (wahrscheinlich ebenfalls aus Sign. 20012 [ganz unten] bis 20011)
gebr. Lehm
.1 längliche, gebr. Lehmobjekte/Architekturteile? (Rechtsdrall; Taf. 13, 68)
.2 gebr. Lehmobjekte/Architekturteile? (Rechtsdrall; Taf. 14/1; 69 u. Abb. 107)
.3 gebr. Lehmobjekte/Architekturteile? (Linksdrall; Taf. 14/2)
KiNr.: 2/57108

16372
200–210 cm unter Lfm. 7; Nordteil
Sign. 20012 (ganz unten) bis 20011
Holz(?)
.1 HL (2500 g)
.3 HL (4000 g)
.4 HL (1700 g)
.2 Tonklumpen
KiNr.: 2/57031, 2/57033, 2/57034

16373
200–210 cm unter Lfm. 7; Nordteil
Sign. 20012 (ganz unten) bis 20011
Ker
.2 KerBS von Gefäßen (1500 g)
.3 RS von Vorratsgefäß (Taf. 9/1)
.4 gr. RS von Vorratsgefäß (anpassend St. 16717; Taf. 8/3)
- BS zu kannelierter Henkeltasse St. 16741.7
.1 Reibplattenfrg., Granit
KiNr.: 1/57087, 3/57021

16374
200–210 cm unter Lfm. 7; Nordteil
Sign. 20012 (ganz unten) bis 20011
Bronze
.1 Bronzedraht (Taf. 15/3)
KiNr.: 10/57010

16375
200–210 cm unter Lfm. 7; Nordteil
Sign. 20012 (ganz unten) bis 20011
Silex
.1 Silexabschlag (Taf. 15/4 u. Abb. 135)
KiNr.: 10/57010

16376
200–210 cm unter Lfm. 7; Nordteil

Sign. 20012 (ganz unten) bis 20011
vegetabiles Material
- verkohlte Substanz
.1 schwarzes, glasig-schlackeart. Material (1 g; Abb. 138)
KiNr.: 6/57013

16377
200–210 cm unter Lfm. 7; Nordteil
Sign. 20012 (ganz unten) bis 20011
G

16378
200–210 cm unter Lfm. 7; Nordteil
Sign. 20012 (ganz unten) bis 20011
G, S
.1 S (Erdbröckchen)
KiNr.: 9/57158

16379
200–210 cm unter Lfm. 7; Nordteil
Sign. 20012 (ganz unten) bis 20011
S

16381
Nordprofil (nicht vermerkt)
Keine genaue Sign. möglich
Holz, Stein

16382
Auf Plan WA 14/1987; am Boden im Ostteil der Grube
Sign. 20011
G
.1 G (3 g), Hauptbestandteile: Körner von Dinkel, Emmer, Einkorn (Taf. 70/2 u. Abb. 143, 144)
Großteil der Probe von M. Kohler-Schneider bestimmt, Verbleib: Universität für Bodenkultur Wien
KiNr.: 9/57011

16383
Im Osten der Verfärbung; auf Plan WA 14/1987
Sign. 20012
Ker, Stein
.2 w. KerBS von Gefäßen
.1 Reibplattenfrg. mit Feuereinwirkung, Granit (Taf. 15/7 u. Abb. 129)
KiNr.: 1/57049, 3/57008

16384
Im Westen der Verfärbung; auf Plan WA 14/1987
Sign. 20012
Ker, gebr. Lehm
.1 Topf (Taf. 10/1)
.2 Gefäßbauch
.3 pyr. WG (Taf. 11/1)
KiNr.: 1/57126, 10/56007, 12/57015

16385
Auf Plan WA 14/1987
Sign. 20012
Ker
.1 WS von Vorratsgefäß mit kegelförm. Hals
KiNr.: 1/57001

16386
Auf Plan WA 14/1987
Alte Objektnr.?
Am Rand oder außerhalb von V5001, evtl. zu Sign. 20014
Ker
.1 1 KerWS von Gefäß
KiNr.: 1/57001

16390
Auf Plan WA 14/1987
Sign. 20014
Ker
.1 zerscherbter, grober, verzierter Topf (anpassend St. 16351, 16331, 16741, 16384; Taf. 16/1)
KiNr.: 1/57001

16394
Aushub; kann zu V5001 gehören
Bronze
.1 Frg. von Bronzenadel (Taf. 15/2)
KiNr.: 10/57010

Grabungsjahr 1988 (Quadr. A/3)
16537
76–96 cm unter SO-Ecke; Bereich f, i, a
Alte Objektnr.?
Teils zu V5001 möglich; wenn zu V5001 gehörend, dann Sign. 20015
Ker, Zie, Stein, Kn
.1 w. KerBS von Gefäßen (Mischposten UK, RKZ, MA)
.2 HL (230 g)
KiNr.: 1/58040, 2/58100

16540
96–120 cm unter SO-Ecke; Bereich f, i, a
Alte Objektnr.?
Teils zu V5001 möglich; wenn zu V5001 gehörend, dann Sign. 20015
Ker, Zie, Stein
.1 w. KerBS von Gefäßen (UK, MA)
.2 Kn
- unbestimmbar (1 Frg.) mit Feuereinwirkung
KiNr.: 1/58040, 8/58074

16542
120–140 cm unter SO-Ecke; Bereich f, i, a
Teils zu V5001; hauptsächlich Sign. 20014
Ker, Zie, HL, Kn
.2 2 KerWS von Gefäß
.1 1 Stein
.3 Kn
- unbestimmbar (1 Frg.)
KiNr.: 1/58040, 1/58096, 3/58004, 8/58098

16543
140–165 cm unter SO-Ecke; Bereich f, i, a
Sign. 20013(?)
Ker, Stein
.1 w. KerBS
KiNr.: 1/58060

16606
20–40 cm unter Planum 1; humoses Material; (unsicher ob alles zu V5001 gehört, da ganzer östlicher Quadrant als „1“ bezeichnet wurde)
Sign. 20015 bis 20014
Ker, HL
.1 2 KerBS von Gefäß
.2 w. HL (20 g)
KiNr.: 1/58060, 2/58051

16616
0–20 cm unter Planum 3; dunkler Humus; unter Verfärbung „1“
Hauptsächlich wohl Sign. 20014
Ker, HL, Kn, Mollusken
.1 w. KerBS von Gefäßen
.2 w. HL (20 g)
.3 1 Flussmuschelschale
KiNr.: 1/58060, 2/58051

16617
0–20 cm unter Planum 3; im NW-Bereich der Verfärbung 1
Hauptsächlich wohl Sign. 20014
HL, Stein
.1 HL (300 g)
KiNr.: 2/58087

16618
0–20 cm unter Planum 3; östlicher Teil des NW-Bereiches
Hauptsächlich wohl Sign. 20014
Ker, HL
.1 4 KerBS von Gefäß
KiNr.: 1/58002

16619
0–20 cm unter Planum 3; im NO-Bereich
Hauptsächlich wohl Sign. 20014
Ker, HL
.2 Spinnwirtel (Taf. 16/3)
.1 w. HL (80 g)
KiNr.: 2/58051, 12/58032

16620
0–20 cm unter Planum 3; humose Verfüllung; im SW-Bereich
Hauptsächlich wohl Sign. 20014
Ker, HL, Stein, Kn
.1 9 KerBS von Gefäßen (Mischposten: UK, RKZ, MA)
.2 HL (1280 g)
KiNr.: 1/58043, 2/58125

16660
20–60 cm unter Planum 1; N–S-Riegel: 0–60 cm vom Südprofil
Sign. 20015 bis 20014
Ker, HL, Stein, Kn
.2 12 KerBS von Gefäßen (auch MA?), tw. sek. gebr.
.2 HL (150 g)
.1 1 kl. Stein
.4 w. schlackenart. Material
KiNr.: 1/58043, 1/58046, 2/58058, 3/58036, 6/58033

16664
20–60 cm unter Planum 1; dunkler Humus; unter Verfärbung „1“
Sign. 20015 bis 20014
Ker, H, Stein, Kn
.1 3 KerBS von Gefäßen (1 MBZ)
.2 w. HL (30 g)
KiNr.: 1/58043, 2/58058

16675
150–170 cm unter HOK; bei Südprofil
Sign. 20013 bis 20012
Ker, HL, Kn
.1 HL (760 g)
.2 1 Mörtelstück
KiNr.: 2/58038, 7/58001

16679
150–160 cm unter HOK; SW-Viertel
FNr. doppelt vergeben; Sign. 20013
Ker
.1 7 KerBS
KiNr.: 1/58128

16683
170–180 cm unter HOK; bei Südprofil
Sign. 20012 (oberer Bereich)
HL
.1 HL (1630 g)
KiNr.: 2/58051

16684
170–180 cm unter HOK; bei Südprofil; Anm.: Grubenhaus (?)
Sign. 20012 (oberer Bereich)
Homokn
- Schädelfrg. (Verbleib?)

16685
170–180 cm unter HOK; bei Südprofil
Sign. 20012 (oberer Bereich)
Ker
.1 sek. gebr. kannelierte (Henkel)Tasse (Taf. 6/3)
KiNr.: 1/58060

16692
180–200 cm unter HOK; Osthälfte am Südprofil
Sign. 20012
Ker, HL, Einzelfund: Reibpl.
.1 15 KerBS von Gefäßen, darunter BS von gr. schwarzem KHG mit Einglättzier (Ha D); BS zu kannelierter Henkeltasse St. 16741.7
KiNr.: 1/58128

16696
190 cm unter HOK; Hüttenlehmbrockenkonzentrat; am Südprofil
Sign. 20012
vegetabiles Material
.1 verkohlte Pflanzenreste (20 g), Hauptbestandteile: Körner der echten Rispenhirse, (^{14}C datiert; Taf. 70/3 u. Abb. 143, 145, 146)
KiNr.: 9/58029

16715
Auf Plan WA 41/1988
Wahrscheinlich auch Sign. 20012
Ker
.1 Seitenteil von kannelierter (Henkel)Tasse/Schüssel (Taf. 7/3 u. Abb. 78)
Tasse ist am Plan erkennbar
KiNr.: 1/58120

16716
Auf Plan WA 41/1988
Sign. 20012
Ker
.100 KerBS zu Henkeltasse St. 16724.2
KiNr.: 1/58129

16717
Auf Plan WA 41/1988
Sign. 20012
Ker
.100 RS zu Vorratstopf St. 16373.4
KiNr.: 1/58128

16718
Auf Plan WA 41/1988
Sign. 20012
Ker
.100 BS zu kannelierter Henkeltasse St. 16741.7 (St. 16373, 16692)
KiNr.: 1/58129

16719
Auf Plan WA 41/1988
Sign. 20012
Ker
.1 KerBS von Gefäßen, alle sek. gebr. (1,5 kg)
KiNr.: 1/58129

16720
Auf Plan WA 41/1988
Sign. 20012
Ker
.1 w. KerBS
KiNr.: 1/58128

16724
Planum 2; beim Putzen
Sign. 20012
Ker
.1 8 KerBS von Gefäßen, sek. gebr.
.2 kannelierte Henkeltasse (anpassend St. 16331, 16716, 16741; Taf. 7/2)
.3 w. HL (10 g)
KiNr.: 1/58129, 2/58047

16725
Planum 2; Sign. 20012
HL

16734
Sign. 20012
Stein
.100 Reibplattenfrg. (zu St. 16744.1)
KiNr.: 3/58004

16735
Auf Plan WA 41/1988 und WA 38/1988
Sign. 20012
Ker (Einzelfund)
1 Seitenteil von Gefäß, sek. gebr.
KiNr.: 1/58130

16736
Auf Plan WA 41/1988
Sign. 20012
Ker
.1 w. KerBS von. Gefäß, sek. gebr.
KiNr.: 1/58088

16737
Auf Plan WA 41/1988
Sign. 20012
Ker
- Ker siehe St. 16741.4
.1 1 Stein
KiNr.: 1/58128

16738
Auf Plan WA 41/1988
Sign. 20012 (am NW-Rand der Grube)
Bronze
.1 Bronzepfeilspitze mit Widerhaken (Taf. 15/1; 70/5)
Im Museum Stillfried

16739
Wahrscheinlich auch Sign. 20012
gebr. Tonklumpen
.1 1 KerWS von Gefäß
.2 gr., gebr. Tonklumpen (Umfang 60 cm; Taf. 66/3)
KiNr.: 1/58088, 10/58050

16740
Wahrscheinlich auch Sign. 20012
Ker
.1 pyr. WG (unvollständig; Taf. 10/3 u. Abb. 70)
.2 Frg. von pyr. WG
KiNr.: 12/58032

16741
Wahrscheinlich auch Sign. 20012
Ker
.1 Schale mit schwach einziehendem Rand u. kreuzständigen Knubben, zerbrochen u. stark sek. gebr. (Taf. 5/6; 64/4)
.2 Seitenteil von Schale (Taf. 6/1)
.3 RS von gr. Gefäß (KHG), sek. gebr. (Taf. 8/2)
.4 Gefäßunterteil, sek. Brandspuren (anpassend St. 16737; Taf. 64/5)
.5 2 RS von KHG, sek. gebr.
.6 KerBS von stark sek. gebr., gr. Gefäßen, weitere sek. gebr. BS sowie etwa 10 feine Ware, die nur tw. sek. gebr. ist
.7 kannelierte, gr. Henkeltasse (anpassend St. 16373, 16692, 16718; Taf. 7/1)
.8 2 HL-Brocken (150 g)
KiNr.: 1/58120, 1/58121, 2/58103

16742
Unter einem großen Gefäßbruchstück im NO der Grube
Wahrscheinlich auch Sign. 20012
vegetabiles Material (verkohlte Reste)

16743
Am Grubenboden
Sign. 2011
G

16744
Wahrscheinlich auch unterer Grubenbereich
Sign. 20012 bis 20011
Stein
.1 gr. Reibpl., Granit, spröde Beschaffenheit u. Rotfärbung (auch in den Brüchen) durch Feuereinwirkung, in zahlreiche BS zerbrochen, anpassend St. 16734, dazugeh. St. 16348, 16368, 16370 (erh. L. 37,5 cm, erh. B. 23 cm, H. 9,5 cm; Taf. 15/5; 70/4)
.2 sonstige Steine (2,5 kg)
.3 KerBS von gr. KHG? (Ha D?)
.4 rundes Gebilde, bestehend auch aus Schlacke? (100 g)
KiNr.: 1/58129, 2/58047, 3/58000

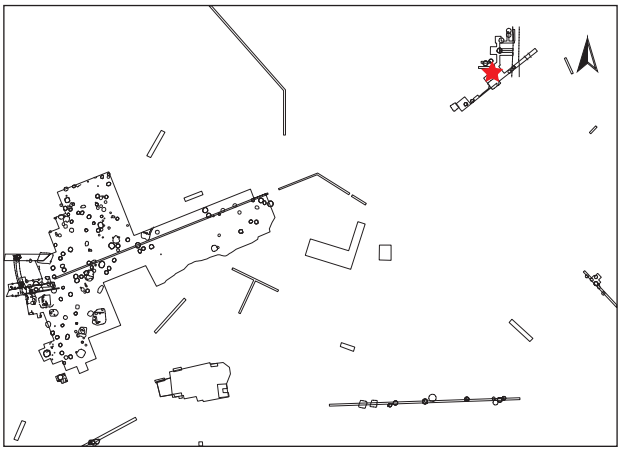
16745
Wahrscheinlich auch unterer Grubenbereich
Sign. 20012 bis 20011
gebr., bröckeliges Material
.1 KerWS von Gefäß
.2 gebr., rundes, bröckeliges Material, verschlackt? (300 g)
KiNr.: 1/58129, 2/58047

16747
Alte Objektnr.?
Sehr wahrscheinlich aus V5001; wahrscheinlich auch unterer Grubenbereich
Sign. 20012 bis 20011
HL
.1 w. HL, kaum gebr.
.2 HL, gebr. (Taf. 65/1–2)
.3 runde, schwere Klumpen, u. a. rundovaler, schwerer Klumpen mit Standfl. (Dm. 8 cm; Taf. 11/5) u. 2 Klumpen mit weißer Oberfl. (Taf. 66/4)
.4 2 Frg. von Lochtenne(n)? (Taf. 11/2–3; 70/1 u. Abb. 97)
KiNr.: 2/58011, 2/58038, 2/58056, 2/58057, 2/58090, 2/58091, 2/58112

16758
Am Grubenboden
Sign. 2011
G

Objekt V5003 – Kegelstumpfförmige Grube mit Brandschutt und verkohltem Getreide

Lage	Wagneracker Quadrant A/0 mit Schnitt a (S/a) und Schnitt 2 bei Lfm. 3,3 bis 4,9
alte Objektnr.	Verf. 1 (1986), 18 (1988), A/0 18 bei Kohler-Schneider 2001
Literatur	Antl-Weiser 1996a, 169. – Kohler-Schneider 2001, 51–57.
Interfaces	5014
Signaturen (Schichtnrn.)	20016–20024



Dokumentationsniveaus/Plana

Plannr.	Planum	alte Verf.	Lage/Quadrant	vertikale Einmessung		
				Ausgangspunkt	relative Tiefe	absolute Höhe in müA
WA 18/1986	Planum 1a	1	Schnitt 2		?	?
WA 11/1987	Planum 1b	11	A/0	NW A/0 Ost = HOK (184,15)	-72 cm	183,43
WA 4/1988	Planum 2 Ost	18	A/0	NW A/0	-110 cm	183,05
WA 7/1988	Planum 2a	18	Schnitt a in A/0	NW A/0	-130 cm	182,85
WA 9/1988	Planum 2b	18	Schnitt a in A/0	NW A/0	-196 cm	182,19
WA 14/1988	Planum 3	18	Schnitt a in A/0	NW A/0	-215 cm	182,00
WA 17/1988 (Abb. 401)	Planum 4	18	Schnitt a in A/0	NW A/0	-230 cm	181,85
WA 22/1988	Planum 3	18	A/0 nördlich von Schnitt a	NW A/0	-120 cm	183,15
WA 25/1988	Planum 4	18	A/0 nördlich von Schnitt a	NW A/0	-150 cm	182,85
WA 27/1988 (Abb. 402)	Planum 5	18	A/0 nördlich von Schnitt a	NW A/0	-176 cm	182,39
WA 30/1988	Planum 6	18	A/0 nördlich von Schnitt a	NW A/0	-200 cm	182,15
WA 34/1988 (Abb. 401)	Planum 7	18	A/0 nördlich von Schnitt a	NW A/0	-220 cm	181,95



Abb. 398: V5003, „Wagneracker“: Nordprofil des Schnittes a durch V5003 innerhalb des Quadranten A/0 (Grabungsdokumentation Stillfried, Landessammlung Niederösterreich, Bereich Ur- und Frühgeschichte, Fotonr. ST00123).

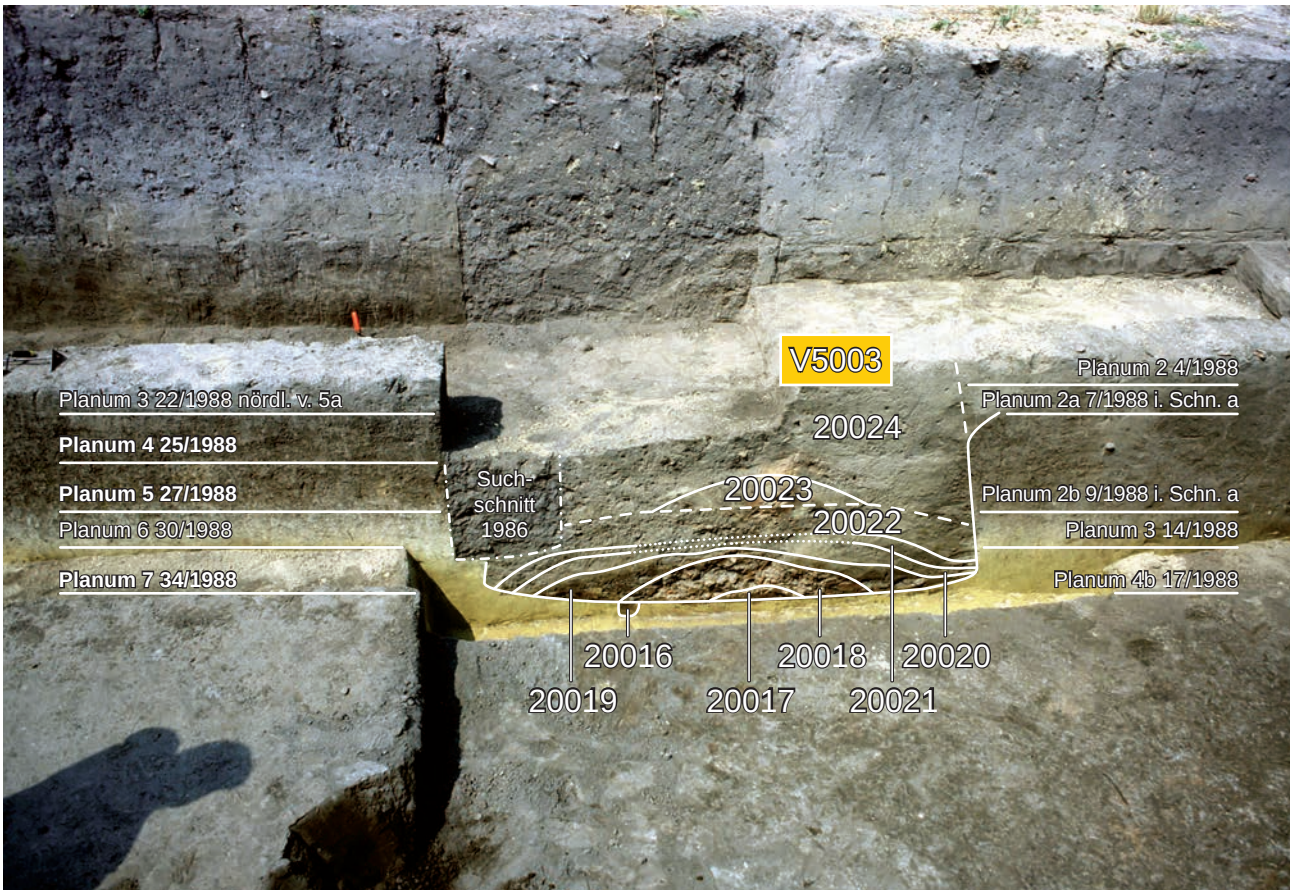


Abb. 399: V5003, „Wagneracker“: Nordprofil des Schnittes a durch V5003 innerhalb des Quadranten A/0 mit interpretierten Schichtgrenzen (Grabungsdokumentation Stillfried, Landessammlung Niederösterreich, Bereich Ur- und Frühgeschichte, Fotonr. ST00123).

Profile/Schnitte

Plannr.	alte Verf.	Hauptprofil		Schnitt	
		Orientierung	Lage/Quadrant	Bezeichnung	unter DOKN
WA 20/1988 (Abb. 398–400)	18	Zwischenprofil	A/0	N-Profil Schnitt a	Planum 2
WA 37/1988	18	Nordprofil	A/0		HOK

Stratigraphie V5003

Der obere Bereich von Objekt V5003 wurde durch eine spätere Planierung gekappt. Im Westen wird die Grube vom Suchschnitt von 1986 (Schnitt 2) gestört (Abb. 398–400).

Grubenform

Wandverlauf	Sohlenverlauf	Übergang Sohle – Wand	primäre Nutzungsspuren
annähernd senkrechte (Osten) und konisch gewölbte Wand (Westen)	schwach nach außen gewölbt	unterschiedlich angehoben und schwach gerundet	Abdrücke von Steigbaum in der Grubensohle?

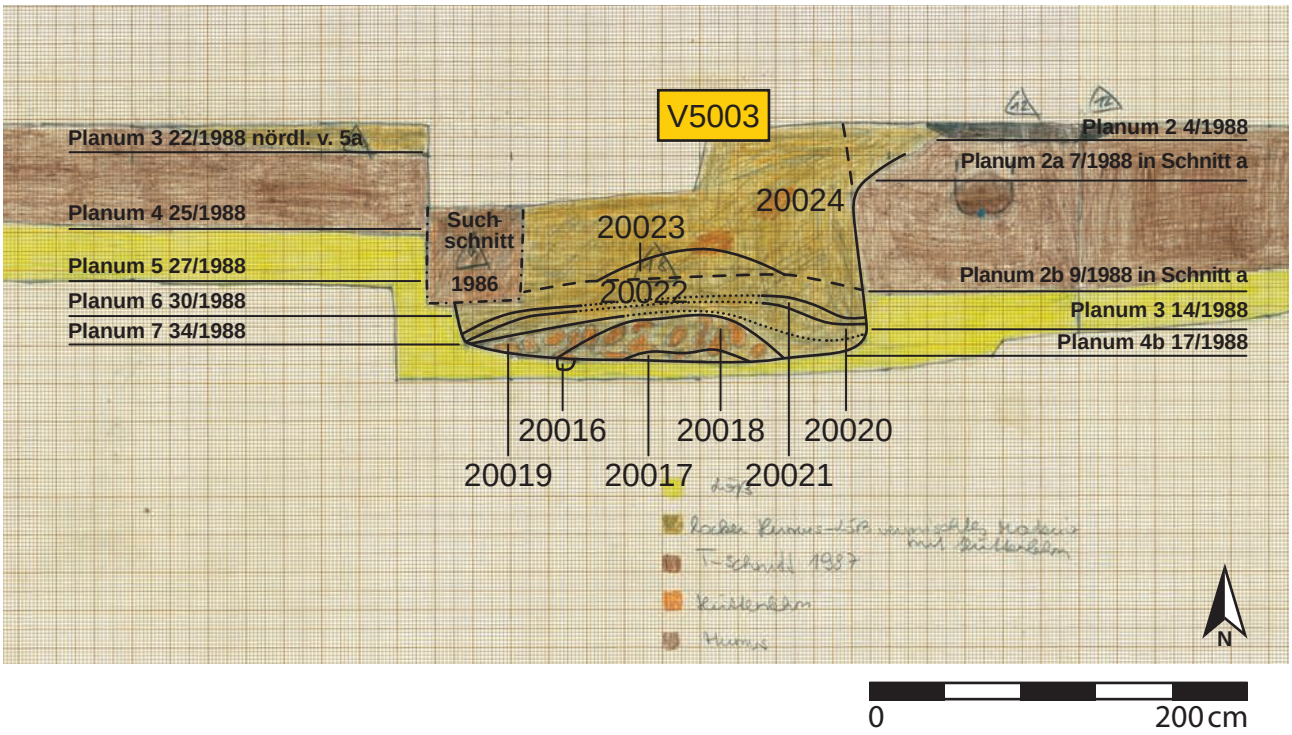


Abb. 400: V5003, „Wagneracker“: Nordprofil des Schnittes a durch V5003 innerhalb des Quadranten A/0 (Zeichnung: Günser, Universität Wien, Plannr. WA 20/1988).

Größe und Fassungsvermögen V5003

min. Dm. (d): Bereich Sign. 20024	162 cm
max. Dm. (D): Grubensohle	222 cm
max. erh. Grubentiefe (h)	128 cm
max. rek. Grubentiefe	240 cm
erh. rek. Fassungsraum der Grube	3,73 m³
rek. Fassungsraum der Grube	4,81 m³
archäolog. Datierung	Ha B2
^{14}C-Datierung	ETH-16497[1405]: 2750 ± 50 BP [992 (99 %) 810 BC, Mw. 901 BC]
Zuordnung zu Siedlungsphase	II

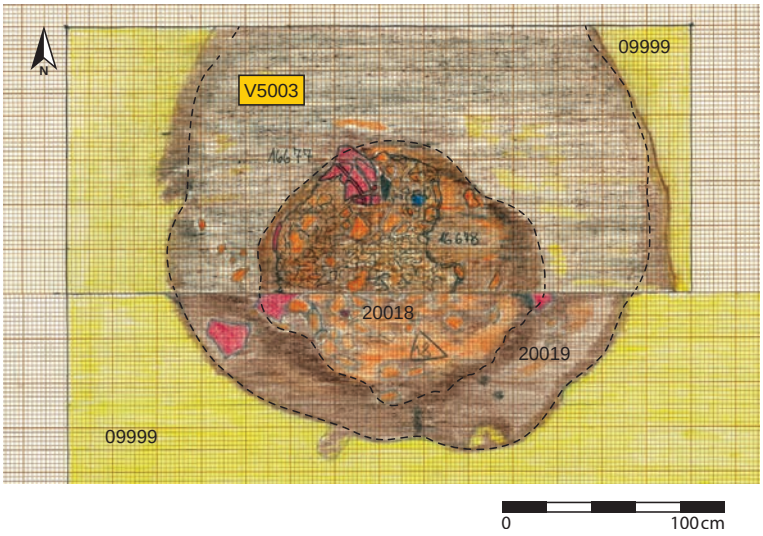


Abb. 401: V5003, „Wagneracker“: Quadrant A/0, Planum von V5003. Obere (nördliche) Hälfte, nördlich von Schnitt a: Planum 7 (Zeichnung: M. Frelih, Universität Wien, Plannr. WA 34/1988). Untere (südliche) Hälfte: Schnitt a, Planum 4 (Zeichnung: M. Frelih, Universität Wien, Plannr. WA 17/1988). Das große Kegelhalsgefäß (Taf. 17/2; 71/2; FNrn. St. 16609, 16668 und 16677) ist mit FNr. St. 16677 gut erkennbar.

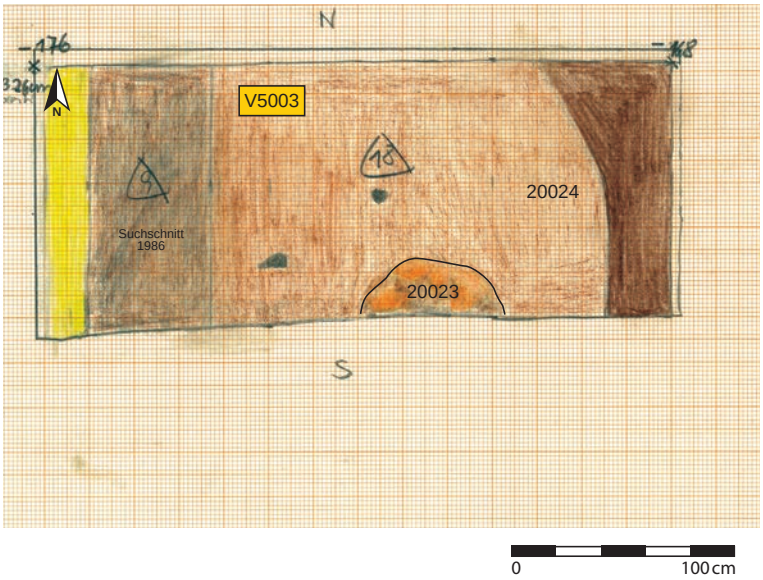


Abb. 402: V5003, „Wagneracker“: Quadrant A/0, nördlich von Schnitt a, Planum 5 von V5003 (Zeichnung: Günser, Universität Wien, Plannr. WA 27/1988).

1405. Probe von verkohltem Getreide aus Schicht 20018, Kohler-Schneider 2001, 37, 51. Anmerkung: Für diese Messung wurde ein anderes Kalibrationsprogramm verwendet (Niklaus et al. 1992), weswegen sich die kalibrierten Daten von unseren Angaben auf Abb. 30 unterscheiden.

Beschreibung V5003

Form im Planum annähernd kreisförmig erhalten, mit einem maximalen Durchmesser von 222 cm (Abb. 401). Die Wände verlaufen steil trapezförmig (Ostwand) bis konisch gewölbt (Westwand). Die Übergänge zur schwach nach außen gewölbten Sohle sind eckig. In die Grubensohle eingetieft befindet sich im westlichen Bereich eine annähernd rechteckige Vertiefung von 8 cm (Sign. 20016; Abb. 398–400). Dabei handelt es sich wahrscheinlich um Spuren der ursprünglichen Nutzung (Verankerung für Steigbaum? Falle für Schädlinge?). Auf einem kleinen dunkelbraun-humosen Schüttkegel (Sign. 20017), der vom Zentrum aus leicht nach Osten versetzt ist, befinden sich zwei Brandschuttschichten mit Hüttenlehmbrocken sowie Keramik, verkohlten Pflanzenresten und kalzinierten Knochen (Sign. 20018 und 20019; Abb. 400). Darüber wurde humoses Material (Sign. 20020 sowie 20022) eingefüllt, welches durch ein schwarzes, aschiges Band (Sign. 20021) unterbrochen wird. Es folgt erneut Brandschutt mit Hüttenlehmbrocken und Holzkohle (Sign. 20023). Der obere Teil der Grube ist mit lockerem, humosem Material verfüllt (Sign. 20024; Abb. 402).

Schichtabfolge V5003

Lage in der Grube	Sign.	Kurzbeschreibung	besondere Funde	Höhe ab Sohle in cm
unter der Grubensohle				
primäre Nutzungsspur?	20016 IF5014	kleine, trapezförmige Vertiefung mit humoser Verfüllung		-8–0
direkt auf der Grubensohle				
(annähernd) zentrale Einfüllung auf Sohle				0–15
	20017	dunkelbraun-humoser Schüttkegel, verkohlte Pflanzenreste?	Miniaturgefäß	0–4
Schüttkegel	20018	rot-braunes, lehmiges Brandschuttmaterial mit Hüttenlehmbrocken, Keramik, verkohlten Pflanzenresten und kalzinierten Knochen, fundreich	fast vollständiges Kegelhalsgefäß; Getreide	0–22
	20019	rot-braunes, lehmiges Brandschuttmaterial mit Hüttenlehmbrocken und Holzkohle		0–25
„Deponierungshorizont“				
annähernd waagrechte Oberkante	20020	braun-humoses Material, fundarm		10–30
annähernd waagrechte Oberkante	20021	schwarz-braunes, aschiges Material, fundarm		20–33
waagrechte Oberkante	20022	braun-humoses Material, fundarm		33–53
Einfüllung im Zentrum	20023	rot-braunes, lehmiges Brandschuttmaterial mit Hüttenlehmbrocken und Holzkohleflittern, fundreich (Abb. 402)	Tonring	54–67
oberer Grubenbereich	20024	Verfüllung aus lockerem, braun-humosem, leicht mit Holzkohle durchmischtem Material	Klingenfrg.	ab 54

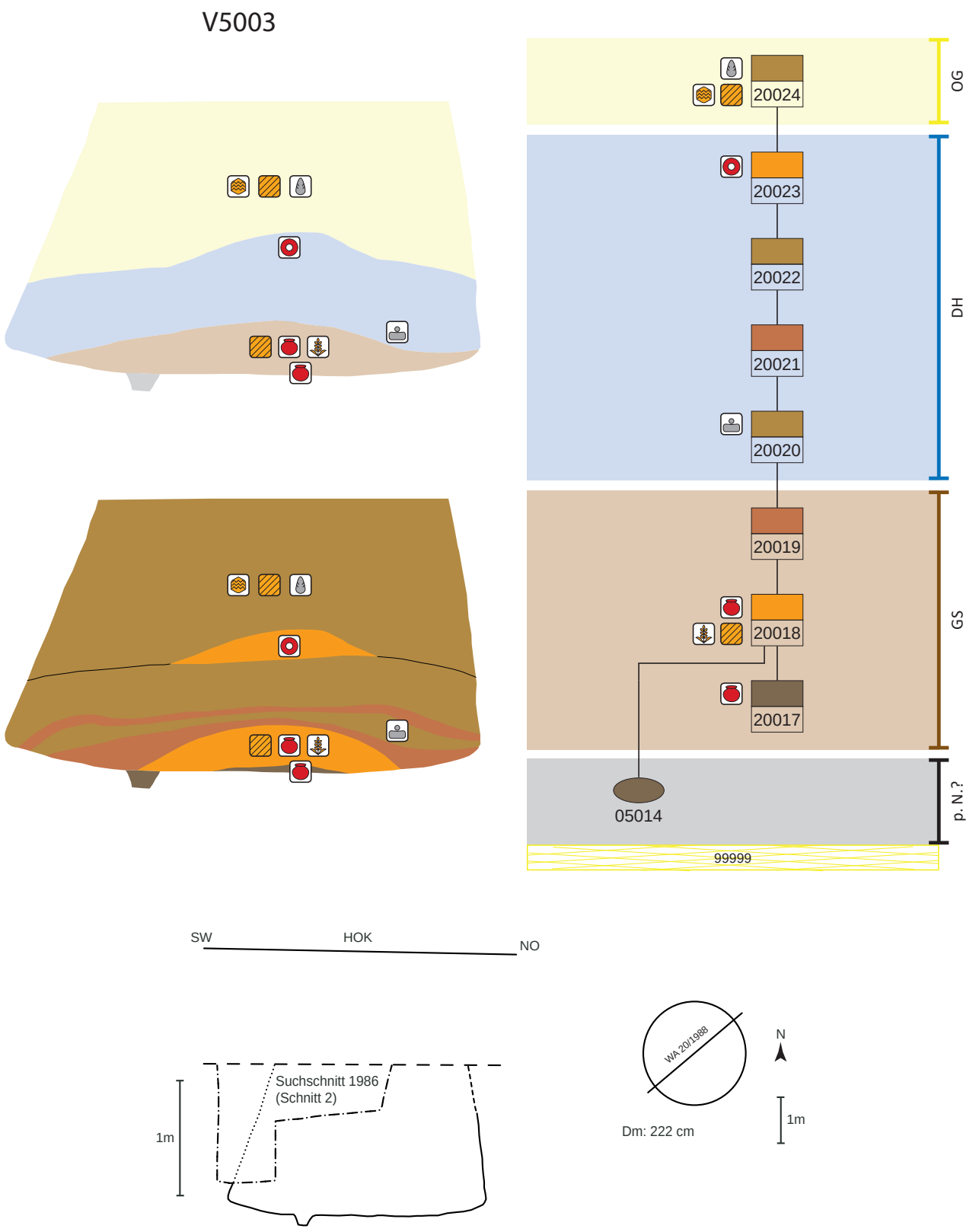


Abb. 403: V5003, schematische Darstellung, Schnitt und Lage des Schnittes im Planum.

Schichtbeschreibung (Sign.) V5003

Sign.	IF	Schicht-schlüssel	Beschreibung	auf Plan	zugeordnete Fundnummern	besondere Funde
20016	5014	4	kleine, rechteckige Vertiefung im Südwestbereich der Grubensohle, ca. 8 cm tief und 8–10 cm breit; verfüllt mit braun-humosem Material			
20017		4	dunkelbraun-humoser Schüttkegel, leicht nach Osten versetzt; verkohlte Pflanzenreste? ca. 4 cm hoch	WA 20/1988	16681	**Miniaturkegelhalsgefäß** (St. 16681.1; Taf. 17/1; 71/1)
20018		2	rot-braune, lehmige Brandschuttstrate mit hauptsächlich Hüttenlehmbrocken, aber auch Keramik, Holzkohleflittern sowie kalzinierten Knochen und schlackenartigen Konkretionen (Taf. 71/5);[1406] ein zum Großteil erhaltenes Kegelhalsgefäß sowie verkohlte Pflanzenreste, ca. 20 cm hoch aufgeschüttet, befanden sich ebenfalls darin	WA 14, 17, 20, 34, 37/1988	16677, 16678,[1407] 16679, 16682, 16686	**verkohlte Pflanzenreste** (Getreide, Breireste, Wildpflanzen)[1408]
			Sign. 20018, 20019		16609, 16623, 16688(?)	**fast komplettes Kegelhalsgefäß** (St. 16609.2; Taf. 17/2; 71/2)
20019		17	rot-dunkelbraunes, lehmiges Material, mit kleineren Hüttenlehmbröckchen (weniger dicht als in 20018) sowie mit Asche und Holzkohleflittern durchmischt; 2–15 cm mächtig	WA 14, 17, 20, 34/1988		
20020		9	hellbraun-humoses Material; 5–12 cm mächtig, im unteren Bereich schlackenartiges Material[1409] (Abb. 137)	WA 14, 20, 34, 37/1988[1410]	16550(?), 16592(?)	**Reibplattenfrg.** (St. 16550.5)
			Bereich Sign. 20021 bis 20016		16668	
20021		17	schwarz-braunes, aschiges Band; ca. 5 cm mächtig	WA 20, 34/1988		
20022		9	hellbraun-humoses Material; ca. 20–24 cm mächtig	WA 9, 20, 30, 27, 34, 37/1988		
			Bereich Sign. 20024 unten, 20023, 20022		16525, 16531	
20023		2	rot-braune, lehmige Brandschuttstrate mit Hüttenlehmbrocken und Holzkohleflittern; punktuell im Grubenzentrum befindlich, ca. 15 cm mächtig	WA 20, 27, 34/1988	16530	**Tonring** (St. 16530.2; Taf. 18/4; 71/3)
20024		9	hellbraun-humoses, lockeres Material, leicht mit Holzkohleflittern durchmischt; Hüttenlehm, darunter auch Bruchstücke mit D-förmigem Querschnitt, Steine, ca. 80 cm mächtig erhalten	WA 4, 7, 20, 22, 25/1988, WA 37/1988	16511, 16519, 16527, 16533(?), 16601, 16629, 16632, 16640	**längliche, gebrannte Lehmobjekte/Architekturteile** (St. 16640.6; Taf. 71/4); **Silex-Klingenfrg.** (St. 16519)

1406. Graugrünliches, unförmiges Material (FNr. St. 16686.1). Nach einer ersten Vorabstellungnahme durch A. G. Heiss handelt es sich um ein karbonatisch mineralisiertes Gemenge, bestehend aus eingeschlossenen Fasern oder Wurzeln, Knochen, Holzästchen und anderem. Ganz ähnliche Einschlüsse liegen aus Sign. 20020 vor.

1407. Unter dieser Fundnummer befinden sich viele jüngere Funde (Störung durch Sondageschnitt).

1408. Siehe unten „Naturwissenschaftliche Auswertung der Pflanzenreste durch M. Kohler-Schneider".

1409. Hellgrau-grünlicher Klumpen (Dm. 5 cm, St. 16592.3). Das Ergebnis der ersten Vorabstellungnahme durch A. G. Heiss entspricht dem Ergebnis des ganz ähnlichen Fundmaterials aus Sign. 20018 (FNr. St. 16686.1), siehe ebendort.

1410. Auf den Plänen schwer zu erkennen.

Funde V5003

Die verhältnismäßig große Grube barg nur wenige Funde. Auf der Grubensohle oder knapp darüber befand sich ein vollständiges, grob gearbeitetes und sekundär gebranntes **Miniaturkegelhalsgefäß** (Taf. 17/1; 71/1). Aus dem darüber liegenden Brandschutt (Sign. 20018) stammt ein **großes Kegelhalsgefäß** (Taf. 17/2; 71/2), das sich in groben Zügen zusammensetzen ließ. Seine Bruchstücke verteilen sich innerhalb der Brandschicht über drei Fundnummern. Die meisten Fragmente tragen die FNr. St. 16677 und sind mit dieser Nummer am Plan WA 34/1988 eingezeichnet[1411] (Abb. 401). Das Gefäß muss aufgrund seiner verzogenen Bruchverläufe vor dem Brand gebrochen sein. Als weitere typische Brandkeramik aus Schicht 20018 sind nur noch zwei Randbruchstücke einer Turbanrandschale (Taf. 17/3) und eines Vorratsgefäßes (Taf. 18/1) zu nennen. Aus dem tiefsten Grubenbereich, dem humosen Schüttkegel (Sign. 20017) und dem Brandschutt 20018, kommen **zahlreiche verkohlte Getreide- und Wildpflanzenreste**[1412] und verschlacktes Material (Taf. 71/5).

Der **Hüttenlehm** aus dem Brandschutt (Sign. 20018) wiegt an die 8 kg.[1413]

Ein Reibplattenbruchstück (FNr. St. 16650.5) mit Feuerspuren stammt aus der darüber liegenden, locker humosen Schicht 20020. Etwa 60 cm über der Grubensohle zeigte sich nochmals eine zentrale Brandschuttkonzentration (Sign. 20023), aus der ein vollständiger Tonring (Taf. 18/4; 71/3) kommt.

Aus der Sign. 20024 wurden vorrangig **Steine** ohne Bearbeitungsspuren und der Großteil der **Hüttenlehmposten** geborgen, wovon der umfangreichste knapp 3 kg wiegt (FNr. St. 16640.6). Neben größeren Verputzbrocken mit Rutenabdrücken sind auch einige längliche Bruchstücke mit D-förmigem Querschnitt (Taf. 71/4) darunter. Sie sind stark vegetabil gemagert bei sehr brüchig-lehmiger Beschaffenheit. Die ebenen (Schau)Flächen machen allerdings einen glatten bis geschlickerten Eindruck, was eine Funktion als ehemaliger Wandverputz wahrscheinlich macht. Aus Schicht 20024 stammen auch mehrere kleine Keramikposten, darunter sekundär gebrannte Fragmente (Taf. 18/5–6).

Die Fundposten von V5003 sind stark mit jüngeren Funden versetzt, allen voran römische Dachziegelfragmente, aber auch Mörtel und schlackenartiges Material, was als Ergebnis der starken Störungsbereiche zu erklären ist (Schnitt 2). Die Aussagekraft dessen, dass V5003 die meisten Tierknochenposten unter den vorgelegten Gruben vom „Wagneracker" aufweist, wird dadurch sehr eingeschränkt. Es handelt sich hauptsächlich um gewöhnlichen Schlachtabfall, ein Teil davon mit Feuereinwirkung. Erwähnenswert sind zwei Pferdeknochen mit Schlachtspuren (FNr. St. 16601.2: Mandibel, FNr. St. 16531.3: Zahn).

Archäologische Datierung

Die wenigen Keramikfunde erlauben eine Zeitstellung in die späte Urnenfelderzeit (Ha B2–3), welche vom ^{14}C-Datum untermauert wird.

Naturwissenschaftliche Datierung

AMS-^{14}C-Datierung von verkohlten Getreidekörnern aus Grube V5003: ETH-16497: 2750 ± 50 BP [992 (99 %) 810 BC, Mw. 901 BC.[1414]

Naturwissenschaftliche Auswertung der Pflanzenreste durch M. Kohler-Schneider[1415]

Es wurden botanische Proben zu je 30 l (bzw. 60 l) aus verschiedenen Füllschichten und Tiefen der Grube entnommen (insgesamt 150 l):

Die ersten drei Teilproben erwiesen sich in Art und Anzahl der verkohlten Pflanzenreste als recht ähnlich und entsprechen der durchschnittlichen Probendichte in den anderen Gruben.[1416] Sie stammen aus den oberen Schichten (20024, 20023 oder 20022). Anders verhält es sich mit der Probe aus dem tiefsten Grubenbereich, dem humosen Schüttkegel direkt auf der Grubensohle (Sign. 20017) und dem darüber liegenden Brandschutt 20018, deren Anteil an verkohlten Pflanzenresten im Verhältnis deutlich höher liegt. Auffällig ist darin der große Anteil an Rispenhirse (268 Nachweise) und Körnern der Spelzgerste (54 Nachweise) sowie Druschreste von *Triticum spelta* (Weizen) in 60 l Probenvolumen. Einige wenige Spelzgerstenkörner waren ausgekeimt, bevor sie verkohlten.[1417] Der Nachweis eines verkohlten Mehlkäferrests als typischer Vorratsschädling fügt sich gut in das Bild eines vorliegenden, ehemaligen Getreidevorrates ein.[1418]

Genauso wie in Grube WA V5001 sind auch verkohlte Breireste darunter, die mit ihrem Porengefüge an Brot erinnern. Eine große Besonderheit ist für diese Zeitstellung der Nachweis von Kulturwein (*Vitis vinifera* ssp. *Vinifera*) in Form von je einem Kern aus den beiden untersten Proben. Die meisten Druschreste gehörten zum Dinkel, der allerdings kaum als Korn vertreten ist.

V5003 ist die Grube mit den meisten Wildpflanzenfunden aus Stillfried,[1419] wobei Ackerun-/beikräuter von Sommergetreide überwiegen, was gut mit der dominierenden Rispenhirse übereinstimmt. Etwas weniger zahlreich sind Beikräuter von Wintersaaten wie der gut nachgewiesenen Gerste. Die große Zahl von Grünlandpflanzen trockener Standorte spricht für die Nutzung umliegender Wiesen als Heu oder Grünfutter, was für Tierhaltung innerhalb der Siedlung spricht.

Kohler-Schneider deutete den Befund ursprünglich als Getreidespeichergrube, auf deren Sohle die Reste der letzten Einfüllung (Hirse, Gerste) lagen.[1420] Die Auskeimung einzelner (Gersten)Körner führt die Bearbeiterin Kohler-Schneider auf feuchte Lagerungsbedingungen an der Grubensohle zurück. Abschließend erfolgte eine Verwendung als Abfallgrube mit verkohlten Speiseresten und eventuell Heuvorräten.

Nach Rücksprache mit Kohler-Schneider im Frühjahr 2018 ist Hirse im Gegensatz zur Gerste nicht für eine Lagerung in kegelstumpfförmigen Gruben geeignet. Vielmehr ist an eine diesbezügliche Aufbewahrung in (keramischen) Gefäßen zu denken. Die vorhandenen verkohlten Hirsekörner vom Grubenboden in V5003 kamen entweder bereits in verkohltem Zustand in die Grube oder die Verkohlung erfolgte durch die Überlagerung mit dem Brandschutt Sign. 20018, welcher in diesem Fall noch heiß gewesen sein müsste.

Befundinterpretation

Ähnlich wie bei V5001 bieten sich eine profane und eine kultische Erklärung an:

Profane Erklärung: Sekundäre Nutzung einer aufgelassenen Getreidespeichergrube als Abfallgrube. Auf die Grubensohle wurde organischer Abfall aus einer Brandruine (darunter verkohlte

---

1411. Weitere FNrn.: St. 16609 und 16668.

1412. Siehe unten „Naturwissenschaftliche Auswertung der Pflanzenreste durch M. Kohler-Schneider".

1413. FNr. St. 16682.1.

1414. Kohler-Schneider 2001, 37, 51 (ohne Fundnummernangabe).

1415. Kohler-Schneider 2001, 51–57 (Grube A/0 18).

1416. Zusammengefasst aus Kohler-Schneider 2001, 51–57.

1417. Kohler-Schneider 2001, 52, 130, ohne Angabe von FNrn.

1418. Kohler-Schneider 2001, 54.

1419. Neunundvierzig unterschiedliche Pflanzenarten mit insgesamt 1325 Nachweisen.

1420. Kohler-Schneider 2001, 54.

Vorrats- und Nahrungsreste) und sonstiger Brandschutt geworfen (Sign. 20017, 20018). Um Unfällen vorzubeugen, musste die Grube rasch verfüllt werden, wobei das humose Verfüllmaterial dabei durch eine weitere Brandschuttlage (Sign. 20023) unterbrochen wurde.

Als **kultische Erklärung** wird wie für den gut vergleichbaren, etwa 20 m entfernten Grubenbefund V5001 eine „Hausbestattung" vorgeschlagen. Dabei wurden verbrannter Getreidevorrat, Speisereste (Getreidebrei) und verkohlte Wildpflanzen aus dem Brandschutt gezielt in die Mitte der Grubensohle verbracht. Danach werden große Teile des bereits erkalteten, zerstörten Hausinventars auf die verkohlten Pflanzen- und Speisereste geschüttet. Es folgt eine rasche Abdeckung durch neutrale, hellbraune Erdlagen (Sign. 20020, 20022, 20024), die durch Einbringung weiteren Brandschuttes (Sign. 20023) unterbrochen wird.

Fundkatalog V5003 (Grabungsjahr 1988)

16511
A/0 Schnitt a, 0–20 cm unter Planum 2
Lockere, aschige Verfüllung
Sign. 20024
Ker, HL, Stein, Kn
.1 1 unbearbeiteter Stein
KiNr.: 3/58105

16519
A/0 Schnitt a, 30 cm unter Planum 2; 30 cm westlich des T-Schnittes, 40 cm von der Nordkante des Schnittes
Lockere Verfüllung mit Holzkohle und Hüttenlehm
Sign. 20024
Silex
- Klingenfrg. (Radiolarit; Verbleib?)

16524
A/0 Schnitt a, im Bereich des T-Schnittes; 50 cm unter Planum 2
Alte Verf. 9 (Teile möglich zu V5003!)
Ker, Zie, HL, Stein, Kn
.4 4 kl. KerBS unterschiedl. Zeitstellung
.3 Zie (RKZ)
.2 w. HL
.1 Mörtel
KiNr.: 7/58048, 8/58097, 2/58095

16525
A/0 Schnitt a, 50–88 cm unter Planum 2, unter dem T-Schnitt
Lockeres, feinkörniges, fast aschiges Material
Bereich Sign. 20024 unten, 20023, 20022
Ker, HL
.2 RS von Turbanrandschale (Taf. 18/3)
.3 3 kl. WS
.1 w. HL
KiNr.: 2/58095

16526
A/0, 60–88 cm unter Planum 2
Alte Verf. 9! (Teile möglich zu V5003)
Ker, Zie, HL, Stein, Kn
1 RS, 6 WS, UK/Ha?
.1 BoS von röm. Drehscheibenware
.2 HL
.4 Zie
.3 Steine
.5 Kn
- Rind: Radius
KiNr.: 8 /8098, 1/58096, 2/58095, 3/58105

16527
A/0 Schnitt a, 20–50 cm unter Planum 2
Lockere, feinkörnige Grubenverfüllung
Sign. 20024
Ker, HL, Stein, Kn
.1 BoS u. 6 WS (1 sek. gebr.)
.2 w. HL
KiNr.: 2/58095, 1/58143

16530
A/0 Schnitt a, 70 cm unter Planum 2; Nordprofil (nicht vermerkt!)
Brandschuttschicht
Sign. 20023
gebr. Lehm, Netzsenker
.1 w. HL
.2 Tonring, vollständig aber beschädigt, sek. gebr.? (Taf. 18/4; 71/3)
Im Museum Stillfried
KiNr.: 2/58065

16531
A/0 Schnitt a, 50–80 cm unter Planum 2
Feinkörnige, weiche Verfüllung
Bereich Sign. 20024 unten, 20023, 20022
Ker, Zie, HL, Stein, Kn
.2 12 kl. WS
.1 Steine
.3 Kn
- Pferd: Zahn
- unbestimmbar (2 Frg., davon 1 mit Feuereinwirkung)
KiNr.: 3/58105, 1/58143

16533
A/0 Schnitt a, östlich des T-Schnittes; 20–40 cm unter Planum 2
Dunkler Humus
Alte Objektnr.?
Unklar, ob der Fund zu V5003 gehört! Wenn, dann Sign. 20024
Ker, HL, Stein
.2 2 WS, 1 glasiertes WS (Neuzeit)
.1 w. HL
KiNr.: 2/58095, 1/58130

16550
A/0 Schnitt a, 100 cm unter Planum 2
Lockere, humose Verfüllung
Sign. 20020(?)
Ker, Zie, HL, Stein
.2 WS von gr., feinem Gefäß (Taf. 18/2)
.3 RS von gr., grobem Gefäß
.4 9 kl. WS
.1 w. HL
.5 Reibplattenfrg. mit Feuerspuren
.6 Stein
KiNr.: 2/58095, 1/58130

16592
A/0 Schnitt a,100–120 cm unter Planum 2
Lockeres Humus-Löß-Gemisch
Sign. 20020(?)
Ker, HL
.1,.2 8 WS
.4 Zie
.3 beige-grünliche Konkretionen (Abb. 137)
.5 Kn
- unbestimmbar (3 Frg., auch mit Feuereinwirkung)
KiNr.: 1/58046, 3/58036, 1/58060, 8/58059

16601
A/0, nördlich des Schnittes a; 0–20 cm unter Planum 2
Sign. 20024
Ker, HL
.1 5 KerBS
.2 Kn
- Pferd: Mandibel

16609
A/0 Schnitt a, 0–10 cm über Planum 4
Sign. 20018 bis 20019
Ker, HL, Kn
.1 RS von gr. Vorratsgefäß, sek. gebr. (Taf. 18/1)
.2 gr. KHG, sek. gebr., anpassend St. 16668, 16677 (Taf. 17/2; 71/2)
.3 Seitenteil von Turbanrandschale, sek. gebr. (Taf. 17/3)
.4 RS von Schale
.5 grober WS
.6 HL
.7 Kn
- unbestimmbar (19 Frg., auch mit Feuereinwirkung)
KiNr.: 1/58046, 2/58038

16613
A/0, 0–7 cm unter Planum 4, Grubenboden
Sign. 20018 bis 20019
Ker, HL
.1 4 KerBS
.2 HL
KiNr.: 2/58052

16623
A/0, 0–30 cm nördlich des Schnittes a; 0–4 cm unter Planum 2
Dunkler Humus
Alte Objektnr.? (Zuordnung zu V5003 unsicher)
Ker, HL, Kn
.1 2 WS
.2 Kn
- Schwein: Vertebrae
- unbestimmbar (2 ×) mit Feuereinwirkung
.3 1 Muschelfrg.
KiNr.: 1/58042

16625
A/0, nördlich des Schnittes a; Unterkante des T-Schnittes; 40 cm unter Planum 2, beim Putzen
Alte Objektnr.? (Teile möglich zu V5003)
HL. Kn
.3 kl. WS
.1 Klopfstein, Quarzitgeröll mit weißlicher Schlagkappe, unvollständig, Feuereinwirkung? L. 7,5 cm
.2 Stein
KiNr.: 1/58046, 3/58075

16626
A/0, nördlich des Schnittes a; 0–20 cm unter Planum 2
Sign. 20024
Ker, HL, Kn
.1 12 KerBS
KiNr. 1/58002

16629
A/0, nördlich des Schnittes a, 0–20 cm unter Teilplanum 3
Sign. 20024
Ker, HL, Stein, Kn
.1 11 KerBS
.2 w. HL
KiNr.: 1/58043

16632
A/0, nördlich des Schnittes a
Dunkler Humus
Alte Objektnr.? (Teile möglich zu V5003)
Ker, HL, Kn
.1 WS von Gefäß (MBZ)
.2 7 KerBS
KiNr.: 1/58041

16640
A/0, nördlich des Schnittes a; 0–20 cm unter Planum 2
Sign. 20024
Ker, HL, Stein, Kn, Mollusken
.1 WS von Vorratstopf mit Grifflappen, sek. gebr. (Taf. 18/5)
.2 RS von Topf, sek. gebr. (Taf. 18/6)
.3 RS von grobem Gefäß, sek. gebr.
.4 30 KerBS, tw. sek. gebr.
.5 HK
.6 viel HL (2940 g), darunter auch Frg. mit D-förm. Querschnitt („Schuhleisten"; Taf. 71/4)
KiNr.: 1/58041, 9/58029

16641
A/0, T-Schnitt von 1986 und nördlich von Schnitt a; 20–40 cm unter Planum 4
Alte Verf. 9! (Teile möglich zu V5003)
Ker, Zie, Stein, Kn
.3 2 RS von Topf
.1 u. .2 viele Zie (RKZ)
.4 HL
.7 Mörtel
.5 Schlacke
.6 Steine
KiNr.: 8/58039, 1/58031, 2/58038, 3/58036, 7/58001, 8/58021

16642
A/0, T-Schnitt von 1986 und nördlich von Schnitt a
Alte Verf. 9! (Teile möglich zu V5003)
Ker, Zie, Kn
.4 Zie
.2 2/58051, 3/58036, 7/58001, 8/58104

16655
A/0, nördlich des Schnittes a
Keine genaue Sign. möglich!
Ker, HL
.5 6 WS
.3 Zie
.1 w. HL
.2 HK
.6 11 kl. Schnecken (rez.)
- 10 kl. Schnecken
KiNr.: 2/58051, 9/58029, 8/58104

16668
A/0, nördlich des Schnittes a; 0–25 cm unter Planum 6
Bereich Sign. 20021 bis 20016
Ker, Zie, HL, Stein, Kn, Mollusken
.1 20 KerBS, tw. sek. gebr.
.100 fast komplettes KHG (siehe St. 16609.2)
.2 Zie
.3 HL (400 g)
.4 kl. Schnecke (rez.)
KiNr.: 1/58043, 8/58077

16677
A/0, nördlich des Schnittes a; 210–220 cm unter HOK; auf Plan WA 34/1988
Sign. 20018
Ker
.1 KerBS
.100 fast komplettes KHG (siehe St. 16609.2)
.2 Kn
- unbestimmbar (1 ×) mit Feuereinwirkung

16678
A/0, nördlich des Schnittes a; 210–220 cm unter HOK; auf Plan WA 34/1988 (HL, Störung durch Sondageschnitt)
Sign. 20018
HL
.1 1 RS von röm. Drehscheibenware
.5 Zie
.2 HL
.4 Mörtel
.3 Steine
KiNr.: 8/58013, 7/58001, 2/58011, 3/58004, 1/58002

16679
A/0, nördlich des Schnittes a; 210–220 cm unter HOK; auf Plan WA 34/1988
FNr. doppelt vergeben
Sign. 20018
HL
.1 7 KerBS, tw. sek. gebr.

16681
A/0, nördlich des Schnittes a, unter Schuttkegel, 230 cm unter HOK
Sign. 20017
Ker
.1 Miniaturgefäß, sek. gebr. (Taf. 17/1; 71/1)

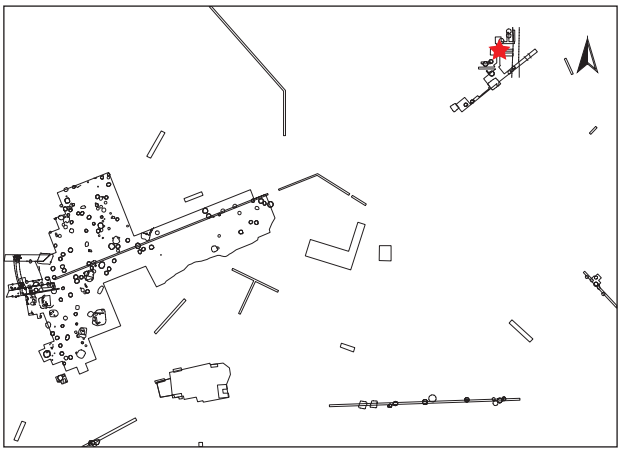
16682
A/0, nördlich des Schnittes a; 210–220 cm unter HOK
Sign. 20018
HL
.3 Zie
.1 viel HL (8000 g)
.2 Steine
.4 kl. Schnecke (rez.)
KiNr.: 2/58110, 2/58111, 2/58103, 3/58105, 8/58107

16686
A/0, Grubenboden, Hüttenlehmhaufen
Sign. 20018
HL, kalzinierte Kn
.1 beige-grünliche, schlackenart. Konkretionen (Taf. 71/5)
KiNr.: 2/58103

16688
A/0, Grubenboden
Sign. 20019 bis 20017?

Objekt V5004 – Sehr große kegelstumpfförmige Grube

Lage	Wagneracker Schnitt 4 (S/4), Schnitt 9 (S/9, nicht gegraben), Schnitt 10 (S/10, nicht gegraben)
alte Objektnr.	Verf. 6a
Literatur	Antl-Weiser 1996b, 175. – Kohler-Schneider 2001, 63–64.
Interfaces	
Signaturen (Schichtnrn.)	20025–20035



Dokumentationsniveaus/Plana

Plannr.	Planum	alte Verf.	Lage/Quadrant	vertikale Einmessung		
				Ausgangspunkt	relative Tiefe	absolute Höhe in müA
WA 6/1989	Planum 5	6a	S/4	Lfm 3 (183,50)	-170 cm	181,80
WA 9/1989	Planum 6	6a	S/4	Lfm 3 (183,50)	-200 cm	181,50
WA 11/1989 (Abb. 404)	Planum 7	6a	S/4	HOK (183,50)	-260 cm	180,90

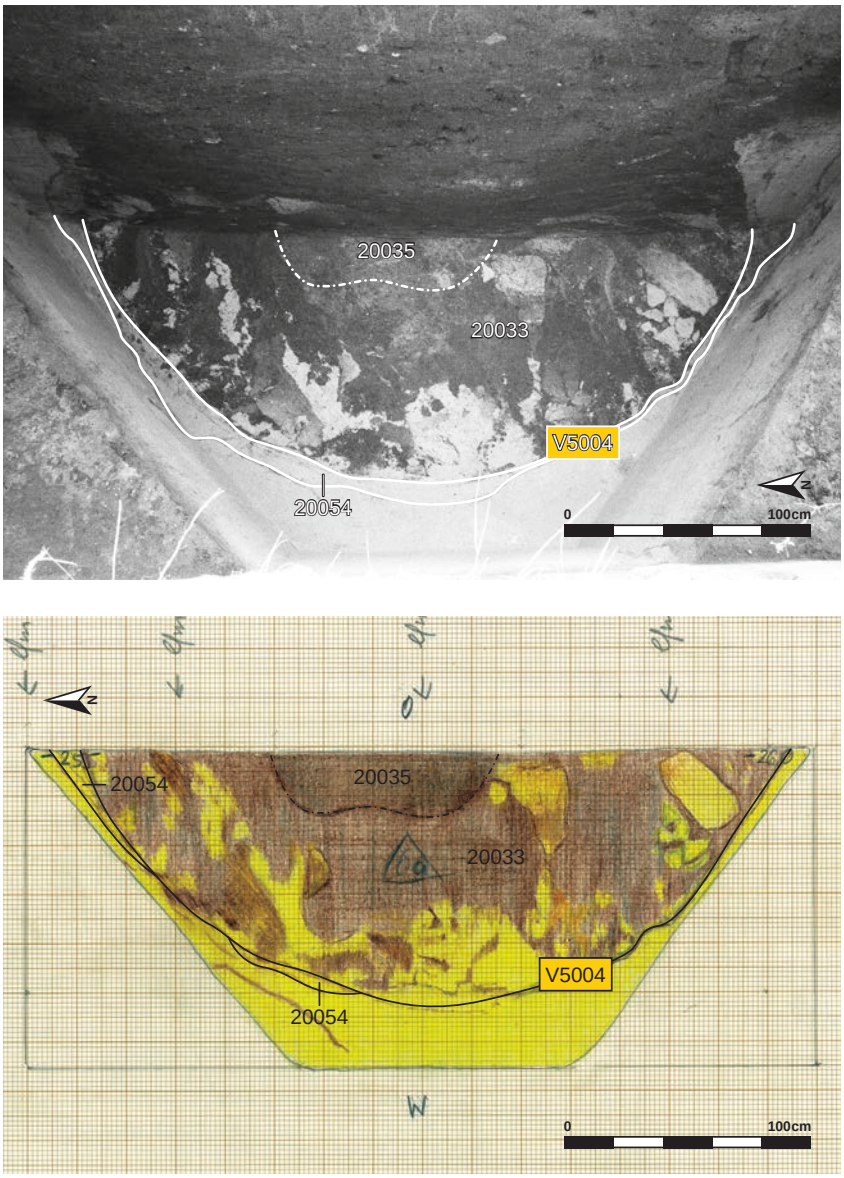


Abb. 404: V5004, „Wagneracker“: Planum 7 von V5004 am Ostprofil von Schnitt 4 (Grabungsdokumentation Stillfried, Landessammlung Niederösterreich, Bereich Ur- und Frühgeschichte, o. Fotonr.; Zeichnung: M. Frelih, Universität Wien, Plannr. WA 11/1989).

Profile/Schnitte

Plannr.	alte Verf.	Hauptprofil		Schnitt	
		Orientierung	Lage/Quadrant	Bezeichnung	unter DOKN
WA 35/1989 (Abb. 405)	6a	Ostprofil	S/4		HOK

Stratigraphie V5004

Objekt V5004 wird im oberen Bereich bis in eine Tiefe von 245 cm von einer römerzeitlichen Grube (V5055) gestört und gekappt (Abb. 405). Die zeitliche Einordnung der Störung Sign. 20035 ist unklar (Abb. 404, 405). Sie entstand wahrscheinlich vor der Anlage der großen, halbkreisförmigen Störung V5055. V5055 wird ihrerseits von V5091 geschnitten.

Grubenform

Wandverlauf	Sohlenverlauf	Übergang Sohle – Wand	primäre Nutzungsspuren	Auffälligkeiten
annähernd senkrecht bis steilkonisch	waagrecht	wenig gerundet		eingebrochene Grubenwand bei verfüllter Grube: seitliche Risse, nachträglicher Eingriff ins Grubenzentrum (Zeitpunkt unklar, Sign. 20035)

Größe und Fassungsvermögen V5004

min. Dm. (d): Bereich Sign. 20034	250 cm
max. Dm. (D): Grubensohle	320 cm
max. erh. Grubentiefe (h)	170 cm
max. rek. erh. Grubentiefe (HUK)	320 cm
max. rek. Grubentiefe	440 cm
min. rek. erh. Dm. (d) (HUK)	145 cm
erh. rek. Fassungsraum der Grube	14,22 m³
rek. Fassungsraum der Grube	15,19 m³
archäolog. Datierung	Ha B bis Ha C/D1
^{14}C-Datierung	Poz-99233[1421]: 2445 ± 35 BP [755 (95,4 %) 409 BC, Mw. 582 BC] Poz-111775[1422]: 2470 ± 30 BP [768 (95,4 %) 431 BC, Mw. 600 BC]
Zuordnung zu Siedlungsphase	V (?)

Beschreibung V5004

Form im Planum annähernd halbkreisförmig erhalten, mit einem errechneten Sohlendurchmesser von 320 m (Abb. 404). Die Wände sind steil trapezförmig, wobei auf allen Seiten Risse in den Wänden sichtbar sind (Abb. 405). Die Risse entstanden zu einem Zeitpunkt, als die Grube bereits verfüllt war. Die Sohle verläuft waagrecht, die Übergänge zur Wand sind eher kantig. Zuunterst wurde mittig ein flacher, fundreicher Löß-Humus-Schüttkegel (Sign. 20025) eingefüllt. Darauf lagert Humus (Sign. 20026), Löß (Sign. 20027) sowie eine mächtige, schüttkegelartige, humose Einfüllung von ca. 1,75 m³ Material (Sign. 20028). Auf einem abgeflachten, sockelartigen Zentralbereich befindet sich eine Löß-Humus-Mischung (Sign. 20029), gefolgt von braun-humosem Material (Sign. 20030) sowie im Südteil eine graue Ascheschicht (Sign. 20031). Darüber wurde Brandschuttmaterial eingebracht (Sign. 20032). Nach oben ist die Grube abwechselnd mit Humus- und Lößschichten verfüllt (Sign. 20033), wobei zuoberst reines, braun-humoses Material lagert (Sign. 20034). Die Störung (Sign. 20035) befindet sich auffälligerweise im zentralen Grubenbereich und reicht bis 60 cm über die Sohle, also genau in den Bereich des „Deponierungshorizontes“ (Abb. 404, 405). Ob sie chronologisch vor dem großen römerzeitlichen Eingriff V5055 liegt oder gleichzeitig erfolgte, ist ungeklärt.

Schichtabfolge V5004

Lage in der Grube	Sign.	Kurzeschreibung	besondere Funde	Höhe ab Sohle in cm
direkt auf der Grubensohle				
mittige Einfüllung auf Sohle	20025	Löß-Humus-Gemisch mit Hüttenlehm, Knochen und Keramik	Tonring	0–5
	20026	braun-humoses Material		0–10
	20027	gelber Löß		
„Deponierungshorizont“				10–78
		waagrechter Zentralbereich (schüttkegelartig) ohne Deponierung/Störung in diesem Bereich		
Oberkante als schwacher Schüttkegel	20028	mächtige, homogene, braun-humose bis grau-aschige Einfüllung		10–50
	20029	gelb-braunes Löß-Humus-Gemisch		50–60
	20030	braun-humoses Material		20–70
	20031	grau-aschiges Material		30–70
	20032	rot-braunes, lehmiges Brandschuttmaterial		30–80

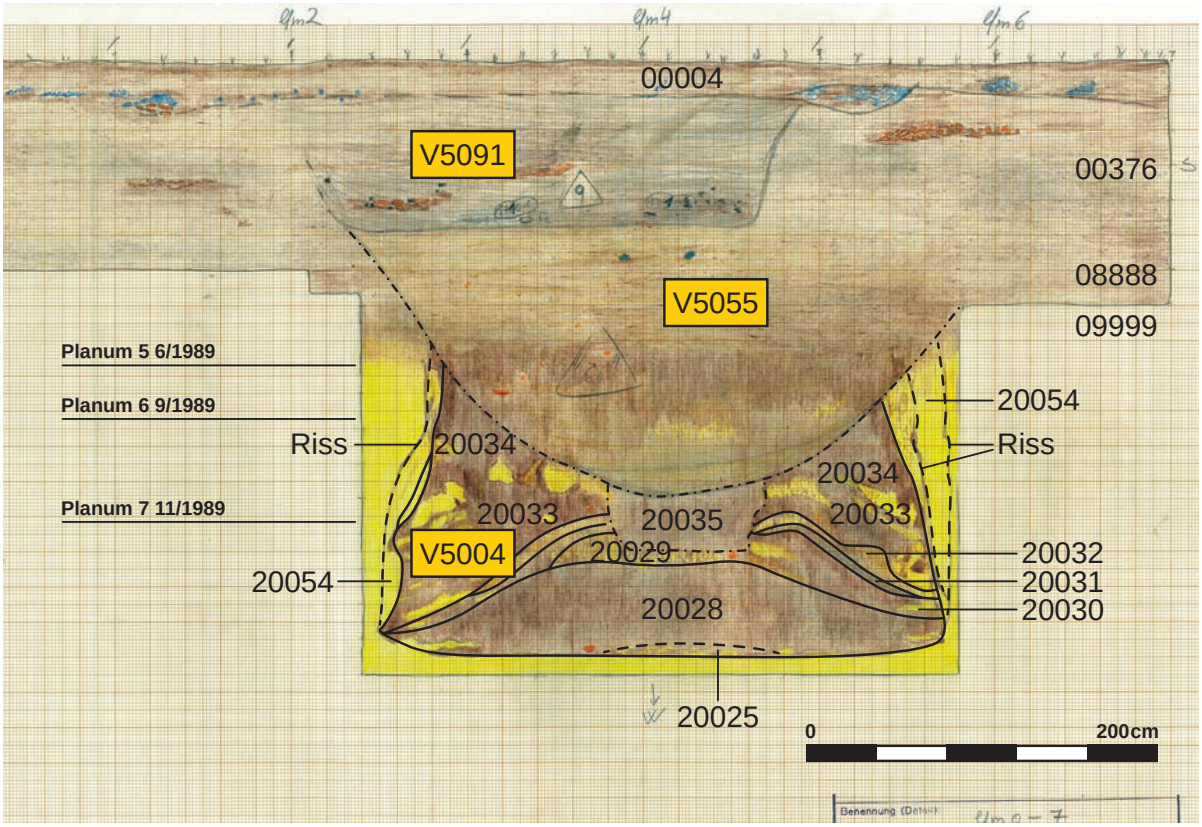
1421. Probe: FNr. St. 16907.6 (Tierknochen aus Grubensohlenbereich).

1422. Messwiederholung der Probe FNr. St. 16907.6 (Tierknochen aus Grubensohlenbereich).

Lage in der Grube	Sign.	Kurzeschreibung	besondere Funde	Höhe ab Sohle in cm
oberer Grubenbereich				
Hell-Dunkel-Einfüllung	20033	abwechselnde Löß- und Humuseinfüllung; teils Löß- und Humusbrocken		25–12
	20034	braun-humose Einfüllung		100–200?
zentraler nachträglicher Eingriff (β)	20035 β	trichterförmig nach oben verbreiterte, einheitliche, braun-humose Störung		60–100
natürliches Einwirken auf die verfüllte Grube (Zeitpunkt?)	20054	Nachsacken der angrenzenden Lößwand; Risse		30–200

Schichtbeschreibung (Sign.) V5004

Sign.	Schicht-schlüssel	Beschreibung	auf Plan	zugeordnete Fundnummern	besondere Funde
20025	17	flacher, zentraler Schüttkegel aus Löß-Humus-Gemisch mit kleineren Hüttenlehmbröckchen, Knochen und Keramik; ca. 5 cm hoch	WA 35/1989		
20026	9	braun-humoses Material; ca. 8 cm mächtig	WA 35/1989		
20027	3	gelber Löß v. a. in den Randbereichen der Grube (ca. 4 cm mächtig; können auch verstürzte Wandteile sein!)	WA 35/1989		
		Bereich hauptsächlich von Sign. 20028 bis 20025 (wahrscheinlich vor allem 20025)		16907, 16908	BS von Vorratstopf mit Sekundärbrand (St. 16907.3; Taf. 19/1; 72/1); **vollständiger Tonring** (St. 16908.1; Taf. 19/3; 72/2)
20028	4	relativ einheitliches, braun-humoses bis schwarzaschiges Material; Schüttkegel ca. 43 cm hoch; ca. 1,75 m³	WA 35/1989		
20029	9	gelb-braunes Humus-Löß-Gemisch im zentralen Bereich der Grube, ca. 17 cm hoch aufgeschüttet; von 20035 gestört	WA 35/1989		
20030	4	braun-humoses Material; im Süden mächtiger (ca. 20 cm) als im Norden (ca. 5 cm)	WA 35/1989		
20031	1	graue Ascheschicht in der Südhälfte der Grube, ca. 4 cm mächtig	WA 35/1989		
20032	2	rot-braune, lehmige Brandschuttstrate; ca. 6–8 cm mächtig	WA 11, 35/1989		
		Bereich Sign. 20033 (unten), 20032, 20031, 20030, 20029, 20028		16900	
		Bereich Sign. 20035, 20033, 20032, 20031, 20030, 20029		16899	
20033	14	mehrere Schichten braun-humoses Material sowie gelber Löß; teils größere Löß- und Humusbrocken; ca. 30–60 cm mächtig (Abb. 404, 405)	WA 11, 35/1989		
		Bereich Sign. 20035, 20034 (unten), 20033, 20032 (oben)		16884	**Reibplattenfrg.** (Granit, St. 16884.1; Taf. 72/3)
		Bereich Sign. 20034 bis 20033		16866(?)	
20034	9	braun-humoses Material mit wenigen Lößbrocken am Rand; max. 70 cm mächtig erhalten	WA 5, 9, 35/1989	16833(?), 16850(?), 16859(?)	
20035	9 β	ca. 80 cm breite Störung bis in eine Tiefe von 60 cm über der Sohle reichend; mit einheitlichem, braun-humosem Material verfüllt, Keramik und Knochen (Abb. 405)	WA 9, 11, 35/1989		
		steriler Löß sackte Richtung Grubenverfüllung, die dadurch entstandenen Risse füllten sich mit Humus (Abb. 404, 405).	WA 9, 35/1989		



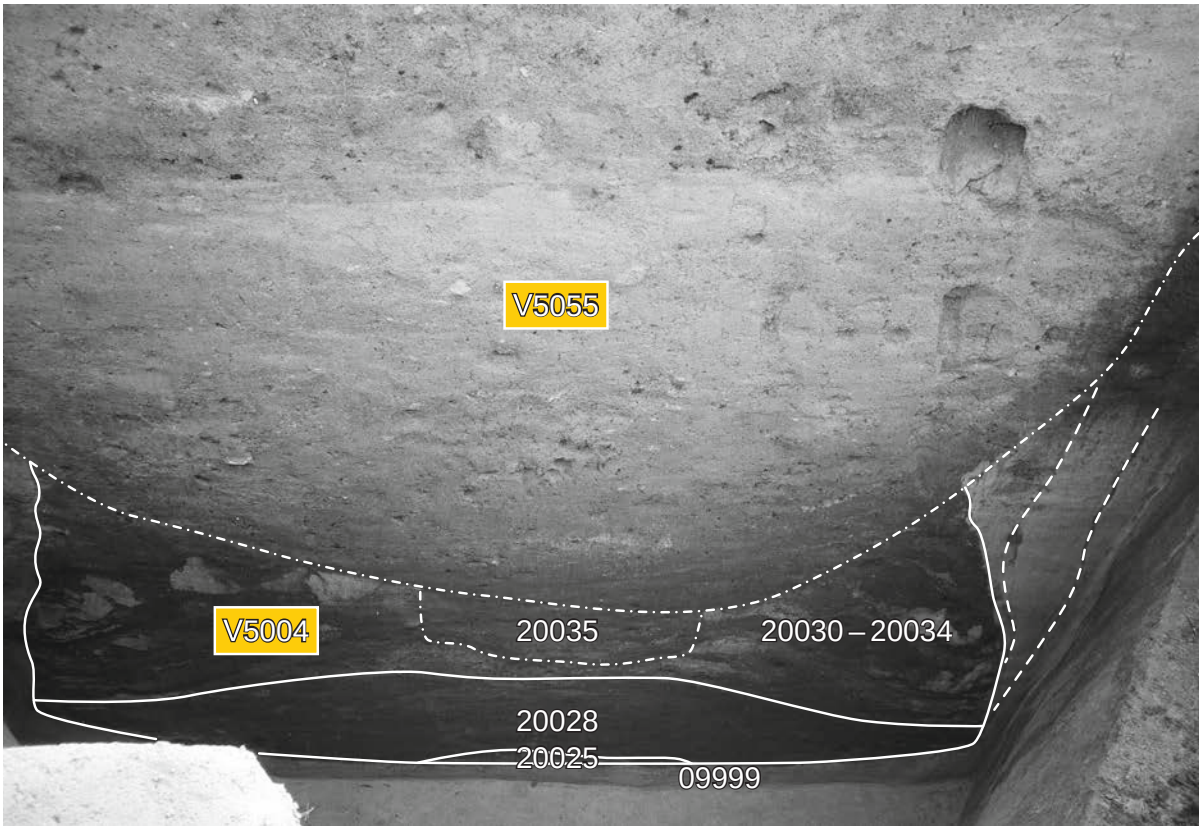


Abb. 405: V5004, „Wagneracker“: Ostprofil von Schnitt 4 mit V5004 (Zeichnung: M. Frelih, Universität Wien, Plannr. WA 35/1989; Grabungsdokumentation Stillfried, Landessammlung Niederösterreich, Bereich Ur- und Frühgeschichte, ohne Fotonr.).

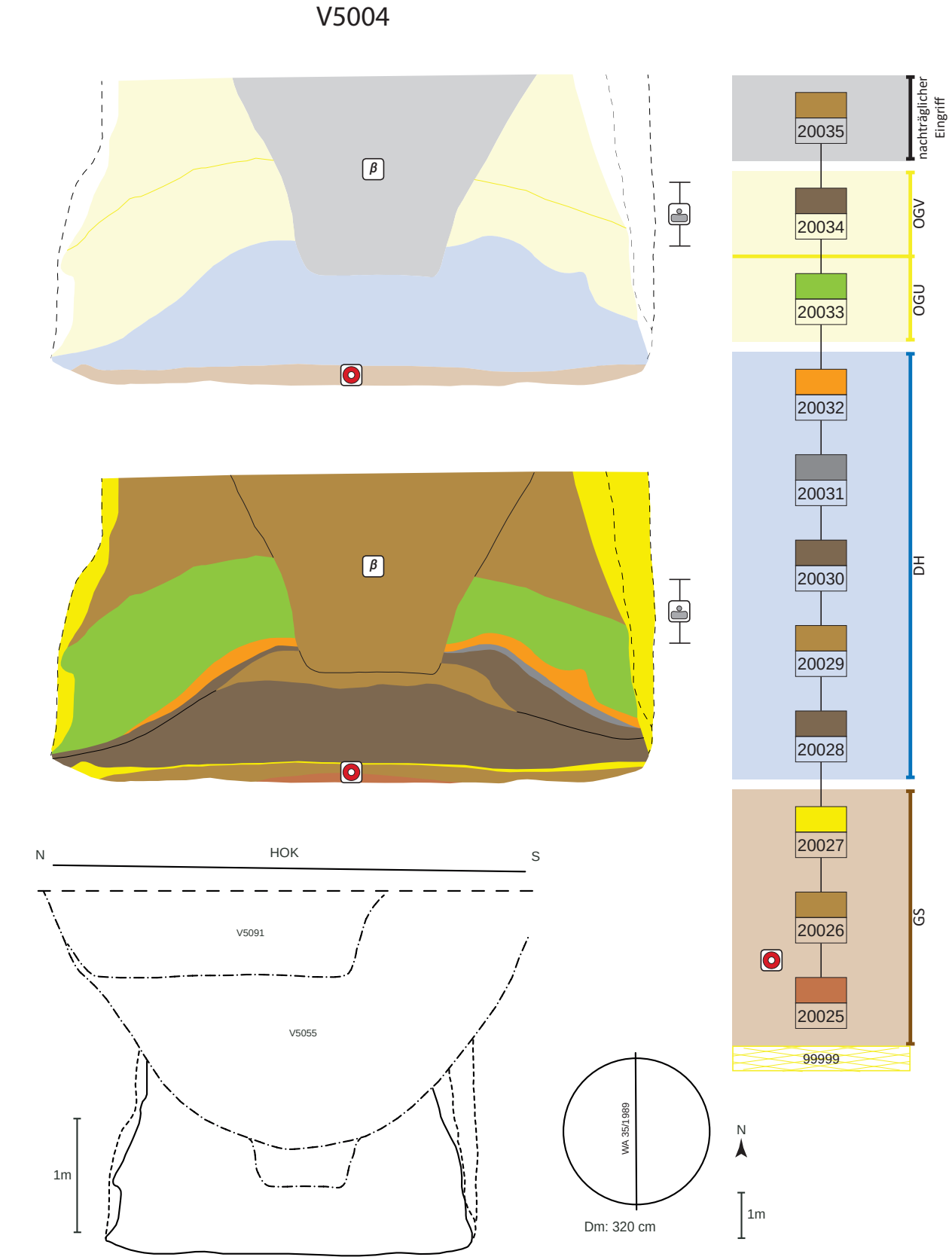


Abb. 406: V5004, schematische Darstellung, Schnitt und Lage des Schnittes im Planum.

Funde V5004

Im Verhältnis zur überaus stattlichen Grubengröße ist die Fundmenge niedrig. Es handelt sich um klassischen Siedlungsabfall, der sich ziemlich regelmäßig – soweit zuordenbar – über alle erhaltenen, unteren Schichten verteilt (Keramikbruchstücke, Hüttenlehm, wenige Tierknochen und ein Reibplattenbruchstück aus Granit [Taf. 72/3]). Bei den Tierknochen handelt es sich um gewöhnliche Schlachtabfälle, teils mit Feuereinwirkung. Hervorzuheben sind zwei Unterkieferfragmente von Pferden, die Brandspuren aufweisen (FNr. St. 16884.4).

Extra herauszustellen ist eine Konzentration von Keramik in der Mitte des Grubenbodens (Sign. 20025). Daraus stammen Rand- und Wandstücke von zwei sehr großen Vorratsgefäßen, jeweils mit Fingertupfenleiste auf der Schulter (Taf. 19/1–2), sowie ein Tonring (Taf. 19/3; 72/2). Eines der beiden Vorratsgefäße zeigt Sekundärbrand am Randbereich (Taf. 19/1; 72/1). Ein feinkeramisches Schulterbruchstück einer Schüssel(?) zeigt konzentrische, hängende Halbbögen, die besonders in der älteren Hallstattzeit verbreitet sind.[1423]

Archäologische Datierung

Die wenigen Fundstücke sind chronologisch kaum aussagekräftig und können nur allgemein nach Ha B bis in die Hallstattzeit gestellt werden.

Naturwissenschaftliche Datierung

Die ^{14}C-Datierung eines Tierknochens aus dem Fundposten St. 16907.6 ergab ein Alter von 2445 ± 35 BP [755 (95,4 %) 409 BC].[1424] Eine Messwiederholung erbrachte ein ganz ähnliches Ergebnis: 2470 ± 30 BP [768 (95,4 %) 431 BC].[1425] Dieser Zeitraum fällt in das „Hallstattplateau", was eine genauere Zuweisung innerhalb der Hallstattzeit aus naturwissenschaftlicher Sicht unmöglich macht.

Naturwissenschaftliche Auswertung der Pflanzenreste durch M. Kohler-Schneider[1426]

Die botanische Probe (insgesamt 35 l) wurde aus der „Grubenmitte von Verfärbung 6a in 2 m Tiefe entnommen."[1427] Die alte Bezeichnung „6a" fasst sowohl das römerzeitliche Objekt V5055 als auch die darunter liegende kegelstumpfförmige Grube V5004 zusammen. Entsprechend der Tiefenangabe stammt die botanische Probe aus einem Bereich, der sich noch innerhalb der Störung Sign. 20035 befunden hat. Bei Schicht 20035 handelt es sich um eine spätere Störung in die hallstattzeitliche Grube V5004, sodass die botanische Probenauswertung keinen Beitrag zur Beurteilung von V5004 leisten kann.

Befundinterpretation

Die große Vertiefung ist sehr einheitlich humos verfüllt und birgt nur wenige Funde. Ihr Fassungsvermögen von 15 m³ liegt etwa beim Vierfachen der durchschnittlichen späturnenfelderzeitlichen (Getreide)Speichergruben von Stillfried. Das vorliegende ^{14}C-Datum stellt V5004 in die Hallstattzeit. Die wenigen und kaum aussagekräftigen Funde tragen nicht zur Klärung der Zeitstellung bei. Allerdings bestärkt uns das weit überdurchschnittliche Grubenvolumen darin, dass diese Grube nicht in urnenfelderzeitlicher Tradition steht, sondern in der nachfolgenden Hallstattzeit einem anderen (Speicher?) Zweck diente.

1423. Griebl 2004, 198: mehrfache, hängende Halbbögen.

1424. Probennr. Poz-99233.

1425. Probennr. Poz-111775.

1426. Kohler-Schneider 2001, 63–64.

1427. Kohler-Schneider 2001, 63.

Fundkatalog V5004

16833
170–190 cm unter Lfm. 4
Dunkle, feste, humose Verfüllung mit Holzkohle und Hüttenlehm
Hauptsächlich wohl aus röm. Grube!
Teile zu Sign. 20034 möglich
Ker, Stein, Kn, Schnecke
.1 KerBS unterschiedl. Zeitstellung
KiNr.: 1/59064, 2/59066, 3/59065

16850
190–210 cm unter Lfm. 4 (Vermischung röm. Grube mit Ha-Grube)
Teile zu Sign. 20034 möglich
Ker, Kn
.1 KerBS unterschiedl. Zeitstellung
.2 w. HL

16859
220–220 cm unter HOK, Lfm. 5 bei Ostkante (Vermischung röm. Grube mit Ha-Grube)
Teile zu Sign. 20034 möglich
Ker, Kn
.1 KerBS unterschiedl. Zeitstellung
.2 kl. Schnecke (rez.)
KiNr.: 1/59011, 2/59013

16866
220–240 cm unter HOK, Lfm. 4 bei Ostkante (Vermischung röm. Grube mit Ha-Grube)
Teile zu Sign. 20034 bis 20033 möglich
Ker, HL
.2 KerBS unterschiedl. Zeitstellung
.1 kl. Stein
KiNr.: 1/59074, 3/59069

16884
240–265 cm unter Lfm. 4 bei Ostkante
Bereich Sign. 20035, 20034 (unten), 20033, 20032 (oben)
Noch Vermischung mit röm. Funden möglich!
Ker, Kn
.3 7 KerBS
.2 w. HL
.1 Reibplattenfrg. (Eckstück mit Reibfl.; Taf. 72/3)
.4 Kn
- Pferd: Mandibel (2 Frg. mit Feuereinwirkung)
- Rind: Mandibel, Zahn mit Feuereinwirkung
- unbestimmbar (2 Frg., davon 1 × mit Feuereinwirkung)
KiNr.: 3/59010, 1/59011, 2/59003, 8/59009

16899
265–290 cm unter Lfm. 4
Bereich Sign. 20035, 20033, 20032, 20031, 20030, 20029
Ker, HL, Kn
.1 KerBS unterschiedl. Zeitstellung
.3 w. HL
.2 Steine
.4 Kn
- Rind: Humerus
- Schwein: Vertebrae
- unbestimmbar (3 ×)

16900
290–310 cm unter Lfm. 4
Bereich Sign. 20033 (unten), 20032, 20031, 20030, 20029, 20028

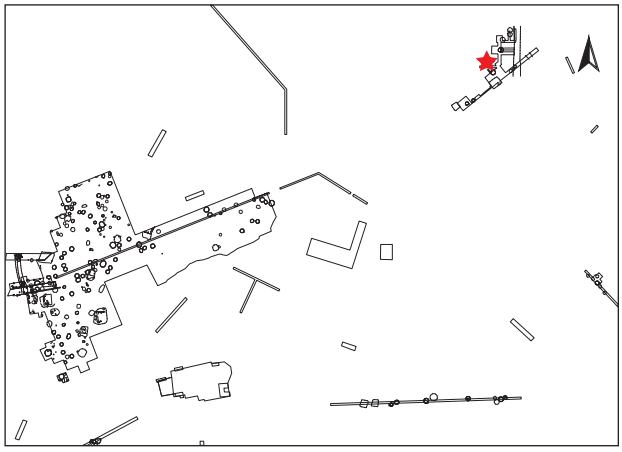
Ker, Kn
.2 w. KerBS
.1 w. HL
.3 Kn
- Schaf/Ziege: Radius
- unbestimmbar (1 Frg.)
.4 8 kl. Schnecken (rez.)
KiNr.: 1/59064, 2/59066

16907
310–330 cm unter Lfm. 4 bei Ostkante
Hauptsächlich Sign. 20028 bis 20025 (am Rand auch 20033 möglich) – wahrscheinlich hauptsächlich aus Fundkonzentration 20025
Ker, HL, Kn
.3 RS und WS von sehr gr. Vorratstopf mit grober Fingertupfenleiste, tw. sek. gebr. (Taf. 19/1; 72/1)
.4 6 WS von sehr gr. Vorratstopf mit aufgesetzter Fingertupfenleiste (Taf. 19/2)
.5 w. KerBS unterschiedl. Zeitstellung (MBZ)
.2 HL (1200 g)
.1 kl. Stein
.6 Kn (^{14}C-Dat.)
- unbestimmbar (3 Frg., davon 1 × mit Feuereinwirkung)
.7 kl. Schnecken (rez.)
KiNr.: 1/59030, 8/59032, 2/59033, 3/59029

16908
310–330 cm unter Lfm. 4 bei Ostkante
Hauptsächlich Sign. 20028 bis 20025 (am Rand auch 20033 möglich) – wahrscheinlich aus Fundkonzentration 20025
Tongewicht
.1 vollständiger Tonring (Taf. 19/3; 72/2)
Im Museum Stillfried

Objekt V5005 – Tiefe Grube mit stark gerundetem Sohlen-/Wandübergang

Lage	Wagneracker Schnitt 7 (S/7) bei Lfm. 4,6–7
alte Objektnr.	Verf. 2
Literatur	Antl-Weiser 1996b, 175. – Kohler-Schneider 2001, 65–72.
Interfaces	
Signaturen (Schichtnrn.)	20036–20044, 20055



Dokumentationsniveaus/Plana

Plannr.	Planum	alte Verf.	Lage/Quadrant	vertikale Einmessung		
				Ausgangspunkt	relative Tiefe	absolute Höhe in müA
WA 12/1989	Planum 1	2	S/7	SO-S7 (184,00)	-103 cm	182,97
WA 19/1989	Planum 2	2	S/7	Lfm. 6 von S7 (184,00)	-159 cm	182,416
WA 23a/1989	Planum 3	2	S/7	Lfm. 6 von S7 (184,00)	-188 cm	182,12
WA 27/1989 (Abb. 408)	Planum 4	2	S/7	Lfm. 7 von S7 (184,00)	-220 cm	181,80
WA 33/1989 (Abb. 409)	Planum 5	2	S/7	Lfm. 7 von S7 (184,00)	-270 cm	181,30

Profile/Schnitte

Plannr.	alte Verf.	Hauptprofil		Schnitt	
		Orientierung	Lage/Quadrant	Bezeichnung	unter DOKN
WA 36/1989 (Abb. 410, 411)	2	Südprofil	S/7		HOK
WA 42/1989 (Abb. 407)	2	Nordprofil	S/7		HOK



Abb. 407: V5005, „Wagneracker“: Nordprofil von Schnitt 7 (Grabungsdokumentation Stillfried, Landessammlung Niederösterreich, Bereich Ur- und Frühgeschichte, ohne Fotonr.).

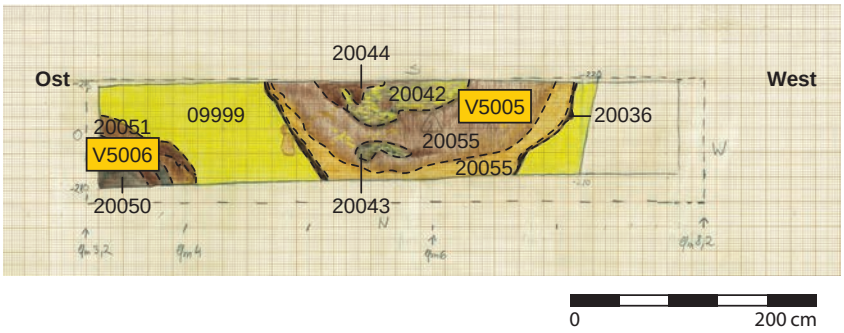


Abb. 408: V5005, V5006, „Wagneracker“: Planum 4 mit V5005 und V5006 (Zeichnung: M. Frelih, Universität Wien, Plannr. WA 27/1989).

Stratigraphie V5005

Das Objekt V5005 ist in seiner unteren Hälfte ungestört erhalten (Abb. 407, 410). Im obersten Grubenbereich schneiden zwei Pfostengruben ein (V5079, V5080; Abb. 410).

Grubenform

Wandverlauf	Sohlenverlauf	Übergang Sohle – Wand	primäre Nutzungsspuren	Auffälligkeiten
senkrecht bis stark ausbauchend im unteren Bereich, oberer Verlauf wahrscheinlich schulterartig einziehend	waagrechte bis schwach gerundet ausladende Grubensohle, etwas unebener Verlauf, muldenartige Vertiefung im Westen	stark gerundet	verrottete Überreste der letzten Einfüllung(?) in muldenförmiger Eintiefung der Sohle (Sign. 20036)	muldenförmige Eintiefung im Westbereich der Grubensohle, eingebrochener Wandbereich in oberer Grubenhälfte (Sign. 20055, α)

Größe und Fassungsvermögen V5005

min. rek. Dm. (d): Bereich Sign. 20044	170 cm
max. Dm. (D): 50 cm über Grubensohle	282 cm
Dm. auf der Grubensohle	210 cm
max. erh. Grubentiefe (h)	320 cm
max. rek. Grubentiefe	320 cm
erh. rek. Fassungsraum der Grube	7,95 m³
archäolog. Datierung	Ha B2–3
^{14}C-Datierung	ETH-16499:[1428] 2830 ± 50 BP [1123 (100 %) 839 BC, Mw. 981 BC] Poz-99237:[1429] 2805 ± 30 BP [1046 (95,4 %) 855 BC, Mw. 950 BC] Poz-111780:[1430] 2710 ± 30 BP [910 (95,4 %) 809 BC, Mw. 859 BC]
Zuordnung zu Siedlungsphase	II

1428. Probe von verkohltem Getreide, FNr. St. 17053, Kohler-Schneider 2001, 37, 65. Anmerkung: Für diese Messung wurde ein anderes Kalibrationsprogramm verwendet (Niklaus et al. 1992), weswegen sich die kalibrierten Daten von unseren Angaben auf Abb. 30 unterscheiden.

1429. Probe: menschlicher Humerus, FNr. St. 17038.5.

1430. Messwiederholung von Messung Poz-99237.

Beschreibung V5005

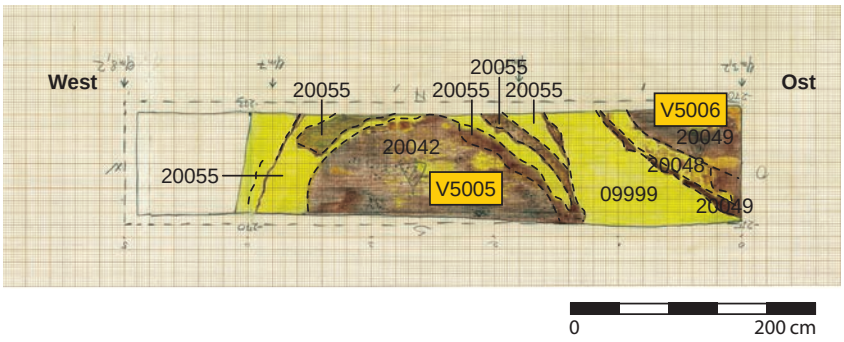
Form im Planum annähernd halbkreisförmig erhalten (Abb. 409). Der maximale Durchmesser der Grube V5005 beträgt 282 cm. Im oberen Bereich ist der ursprüngliche Grubenverlauf großteils nicht mehr nachvollziehbar (Abb. 410). Kennzeichnend sind die etwa in Grubenmitte randlich befindlichen Brocken, die vom umgebenden Wandbereich herausgebrochen sind und gegen den Grubeninhalt gedrückt haben (Sign. 20055; Abb. 409, 410).[1431] Hebt man diese Brocken fiktiv wieder in ihre Ausgangslage zurück, ergibt sich ein Flaschenhals mit einer Öffnung von etwa 50 cm Breite. Das würde für eine Interpretation als Vorratsgrube sprechen. Der Fassungsraum wurde mit etwa 8 m³ bestimmt. Die Grubensohle ist annähernd senkrecht, wobei im Westteil eine muldenartige Vertiefung sichtbar ist. Auf der Sohle ist im westlichen, eingetieften Bereich ein dunkler, uneinheitlicher Streifen erkennbar (Sign. 20036, Abb. 410). Dabei könnte es sich um verrottete Überreste der letzten Einfüllung handeln. Im oberen Grubenabschnitt zeigt sich beidseitig entlang des Grubenumrisses ein dunkler, einheitlicher Streifen. Hier ist mit kleinen Rissen zu rechnen, die sich nachträglich mit Humus füllten. Zuunterst ist grau-braunes, aschiges Material mit Holzkohle durchsetzt eingebracht (Sign. 20037), in dem sich abgesägte Geweihstangenstücke (Taf. 20/5; 21/1; 72/4; 73/1 und Abb. 123) und viele Knochen von Hausschweinen (FNr. St. 17100.8) befanden.

Auf die waagrechte Schichtoberkante sind eine dünne Brandschuttstrate mit Hüttenlehmbrocken (Sign. 20038) sowie erneut grau-braunes, aschiges Material (Sign. 20039) eingefüllt worden. Darauf befinden sich eine graue Ascheschicht mit Holzkohleflittern (Sign. 20040) sowie mehrere gelb-lehmige, braun-humose und rot-braune, lehmige Schichten (Sign. 20041). Anschließend wurde fundreiches, grau-braunes, aschiges Material (Sign. 20042), u. a. mit Fischresten (FNr. St. 17037) und der Gussform eines Tüllenbeiles (Taf. 21/6; 73/2), sowie eine grau-aschige Schicht (Sign. 20043) eingebracht. Die obere Grubenhälfte ist mit braun-humosem Material verfüllt (Sign. 20044).

Schichtabfolge V5005

Lage in der Grube	Sign.	Kurzbeschreibung	besondere Funde	Höhe ab Sohle in cm
direkt auf der Grubensohle				
primäre Nutzungsspuren?	20036	dünnes, braun-humoses Band in muldenförmiger Vertiefung, Überreste der letzten Einfüllung?		0–4
Einfüllung mit ebener Oberkante	20037	grau-braunes, aschiges Material, mit Löß durchsetzt und zahlreichen Holzkohleflittern, eher fundreich(?)	abgesägte Geweihstangenstücke	0–25
„Deponierungshorizont“				
ebene Oberkante	20038	dünnes Band aus rot-braunem, lehmigem Brandschuttmaterial mit Hüttenlehmfragmenten		15–20
	20039	grau-braunes, aschiges Material, mit zahlreichen Holzkohleflittern durchsetzt, eher fundreich(?)		20–65
	20040	graue Ascheschicht mit Holzkohleflittern		50–73
oberer Grubenbereich				
	20041	mehrere Schichten gelb-lehmiges, braun-humoses und rot-braunes, lehmiges Material	Getreidereste	63–84
schwacher Schüttkegel	20042	grau-braunes, aschiges Material, mit zahlreichen Holzkohleflittern durchsetzt, fundreich	Fischreste; Muschelschalen; Gussformfrg. eines Tüllenbeils; menschlicher Oberarmknochen	65–125
	20043	graue Ascheschicht mit Holzkohleflittern		90–128
	20044	braun-humoses Material mit großen Wandversturzbrocken		93–290
verstürzte Wandteile (α)	20055	herausgebrochene Wandbrocken aus primärem Humus und sterilem Löß		60–200

1431. Sie bestehen aus sterilem Löß und dem anschließenden Übergang zum primären Humus.



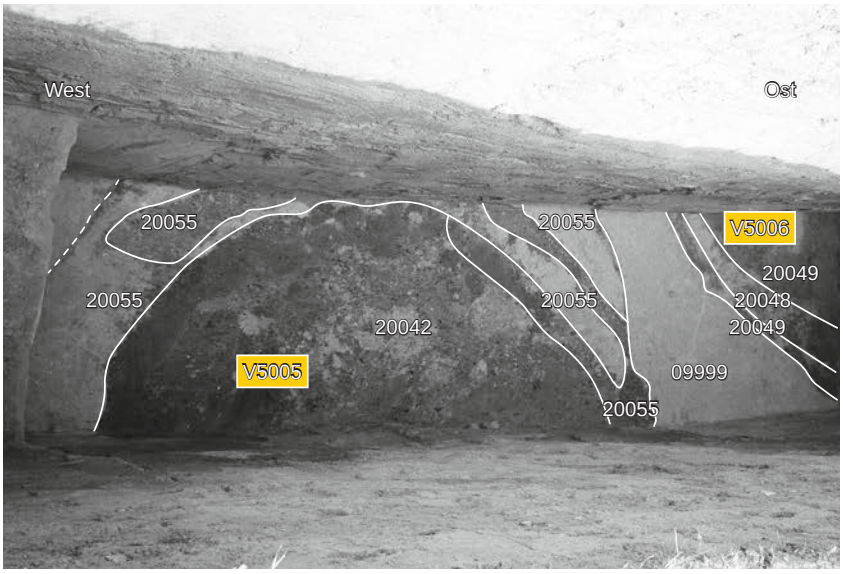


Abb. 409: V5005, V5006, „Wagneracker“: Planum 5 von Schnitt 7 mit V5005 und V5006 (Zeichnung: M. Frelih, Universität Wien, Plannr. WA 33/1989; Grabungsdokumentation Stillfried, Landessammlung Niederösterreich, Bereich Ur- und Frühgeschichte, ohne Fotonr.).

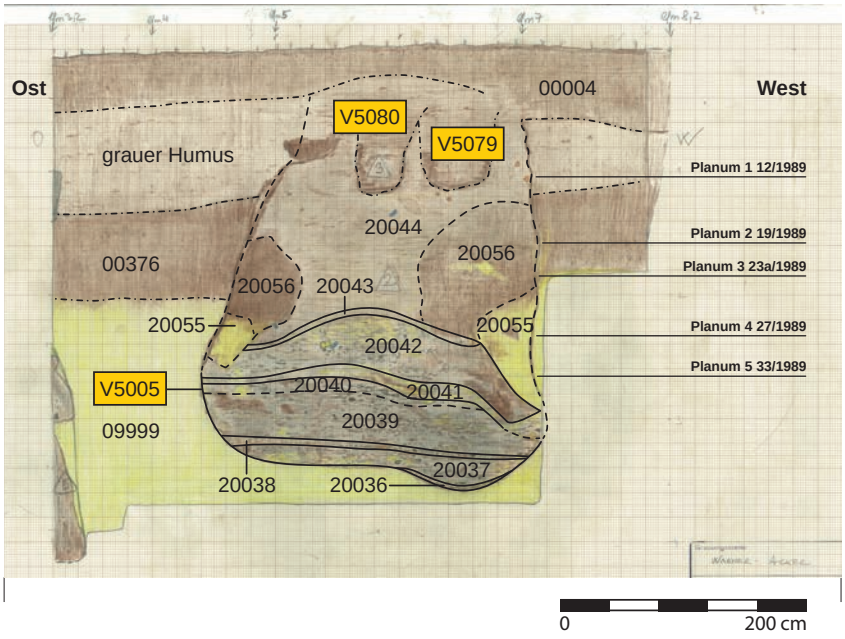


Abb. 410: V5005, „Wagneracker“: Südprofil von Schnitt 7 mit V5005. Östlich (links) ist im Ansatz die „Zwillingsgrube“ V5006 zu erkennen (Zeichnung: M. Frelih, Universität Wien, Plannr. WA 36/1989).

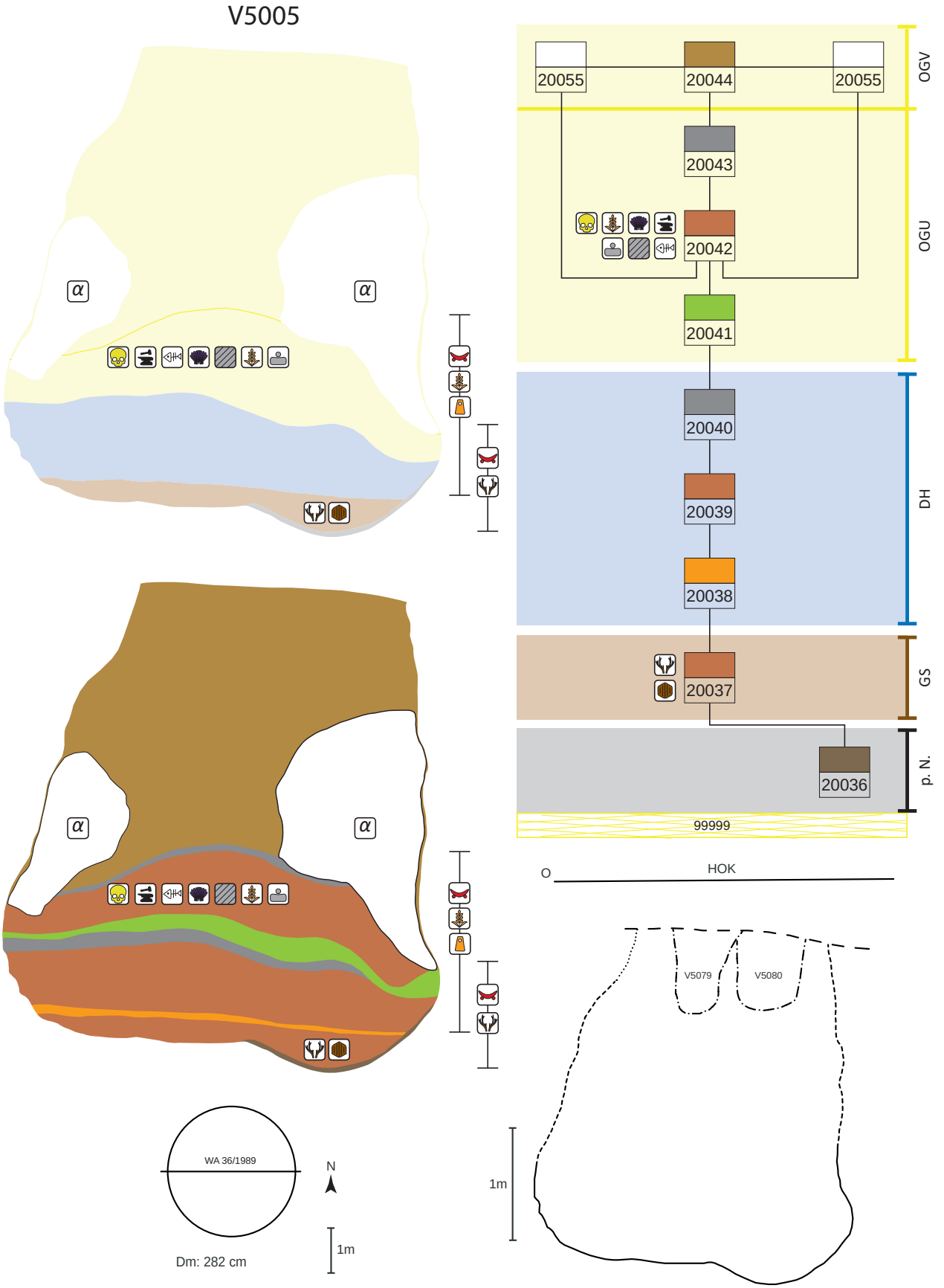


Abb. 411: V5005, schematische Darstellung, Schnitt und Lage des Schnittes im Planum.

Schichtbeschreibung (Sign.) V5005

Sign.	Schicht-schlüssel	Beschreibung	auf Plan	zugeordnete Fundnummern	besondere Funde
20036	4	dünnes, ca. 2 cm mächtiges, dunkelbraun-schwarzes Band	WA 36, 42/1989		
20037	17	grau-braunes, aschig-humoses Material mit gelber Lößeinmischung und zahlreichen Holzkohleflittern; sekundär gebrannte Gefäßreste, ca. 10–22 cm mächtig; bildet nach oben waagrechten Abschluss	WA 36, 42/1989	17099, 17100	**Geweihstangenstücke** mit Säge- und Hackspuren (St. 17099.1, 2; Taf. 20/5; 21/1; 72/4; 73/1)
		Sign. 20038 bis 20037		17098	
20038	2	rot-braune, lehmige Brandschuttstrate mit Hüttenlehmbrocken; gleichmäßig stark und waagrecht verlaufend; ca. 3–4 cm mächtig	WA 36/1989		
		Bereich Sign. 20039, 20038, 20037		17065, 17097	**Feuerbockfrg.** (St. 17097.5; Taf. 74/1); **abgesägtes Geweihstangenstück** (St. 17097.6; Taf. 20/6; 72/6)
20039	17	grau-braunes, aschig-humoses Material, mit zahlreichen Holzkohleflittern durchsetzt; max. 54 cm mächtig	WA 36, 42/1989	17059, 17096	
20040	1	grau-aschiges Material mit starker Holzkohlekonzentration; 2–4 cm mächtig	WA 36, 42/1989		
		Bereich Sign. 20041, 20040, 20039		17092	**pyramidenstumpfförm. Webgewichtfrg.** (St. 17092.1; Taf. 21/4); **Feuerbockfrg.** (St. 17092.6; Taf. 73/3)
20041	14	mehrere Schichten (mind. vier) von abwechselnd braun-humosem und gelb-lehmigem Material sowie rot-braunes, lehmiges Material; max. 15 cm mächtig	WA 33, 36, 42/1989		
		Bereich Sign. 20042 (ganz unten), 20041, 20040, 20039		17049(?), 17053, 17054	**Feuerbockfrg.** (St. 17054.5; Taf. 74/2); **verkohlte Getreide- und Wildpflanzenreste** (St. 17053.1)
20042	17	lockeres, grau-braunes, aschig-humoses Material mit zahlreichen Holzkohlebrocken und Lößeinmischung, v. a. im oberen Bereich; Keramik und Fischschuppen; 22–45 cm mächtig (Abb. 409)	WA 27, 33, 36, 42/1989	17037, 17038, 17039	**verkohlte Getreide- und Wildpflanzenreste** (17039.1); **Fischreste; Muschelschalen** (St. 17037, 17038.4); **Reibplattenfrg. und sonstige Steine** (St. 17038.2; Taf. 73/4); **menschlicher Oberarmknochen** (St. 17038.5; Abb. 189)
		Sign. 20043 bis 20042		17032, 17033	**Gußformfrg.** eines Tüllenbeils (St. 17033.1; Taf. 21/6; 73/2); Reibplattenfrg. (St. 17032.3)
20043	1	grau-aschiges Material; 2–4 cm mächtig	WA 27, 36, 42/1989		
		Sign. 20044 (ganz unten), 20043, 20042 (oben)		17013	

Sign.	Schicht-schlüssel	Beschreibung	auf Plan	zugeordnete Fundnummern	besondere Funde
20044	9	braun-humoses Material mit 1–1,7 m großen(!) Ausbrüchen aus der Wand (siehe Sign. 20055)	WA 12, 19, 23a, 27, 33, 36, 42/1989	16847(?), 16848(?), 16857(?), 16858(?), 16868(?), 16869(?), 16873(?), 16875(?), 16896(?), 16912(?), 16915, 16916, 16920, 16983(?), 16984, 17010, 17011	
20055	α	eingestürzte Grubenwand (primärer Humus und steriler Löß; Abb. 409)	WA 19, 23, 36, 42/1989		

Funde V5005

Die Fundanzahl ist im Verhältnis zur Grubengröße von V5005 (mind. etwa 10 m³) auffallend niedrig. Es handelt sich um die übliche Vergesellschaftung von Keramikbruchstücken, Hüttenlehm, Tierknochen und einigen wenigen Steinen, wobei die größeren Gefäßfragmente und die auffälligeren Funde durchgängig aus dem unteren Grubenbereich kommen (Schichten 20037–20042).

Konkret wurden direkt am Grubensohlenbereich zwei abgesägte Hirschgeweihstangenstücke (Taf. 20/5; 21/1; 72/4; 73/1) geborgen. Laut Fundprotokoll ist auch in FNr. St. 17100 ein Geweihfund vermerkt.[1432] Außerdem stammen aus der untersten Schicht zahlreiche Schweineknochen, die vom gesamten Körper (Kopf, Rumpf, Extremitäten) der Tiere herrühren (FNr. St. 17100.8). Daraus kommt auch der Großteil der datierenden, größeren Keramikbruchstücke, nämlich ein feinkeramischer Gefäßscherben mit Rädchenabrollung (Taf. 20/1; 72/5), vier grobkeramische, sekundär gebrannte Topfrandstücke, darunter ein großes Bruchstück eines Vorratstopfes (Taf. 20/2–4; 21/2[1433]). Ein weiterer, abgesägter Geweihrohstoff vom Rothirsch (Stange mit ausgebrochenem Ende – Ausschuss? Taf. 20/6; 72/6) kann nur allgemein dem unteren Schichtverband[1434] zugeordnet werden, gleiches gilt für einen menschlichen Knochen mit Schnittspuren (FNr. St. 17097.8).

Die Fundposten St. 17096, 17098, 17100 waren mit weniger aussagekräftigen Gefäßbruchstücken vergesellschaftet, darunter viele mit Sekundärbrand. Eines der drei Feuerbockfragmente stammt ebenfalls aus diesen untersten Schichten (Taf. 74/1 und Abb. 71). Es weist weiße Oberflächenbemalung und Sekundärbrand auf.

Die beiden weiteren Feuerbockstücke kommen aus den darüber liegenden Schichten Sign. 20039 bis 20042, wovon wiederum eines weiße Bemalung zeigt (Taf. 73/3 mit Bemalung[1435]; Taf. 74/2). Sie dürften ebenfalls in ein Schadfeuer gelangt sein, da Taf. 74/2 schlackenartigen Belag zeigt. Alle drei Feuerbockstücke sind stark mit Keramikbruch gemagert, was auch an der gröberen Gefäßkeramik zu beobachten[1436] und allgemein typisch für die Keramik dieses Fundplatzes („Wagneracker") in dieser Zeitperiode (Ha B) ist. Aus diesem Schichtverband kommen auch der Seitenteil einer hohen, feinkeramischen Henkelschale (Taf. 21/7) und das ebenso feinkeramische Bruchstück mit Rädchenabrollung (Taf. 21/5). Weitere Keramikscherben[1437] zeigen keine nachträgliche Feuereinwirkung.

Aus dem Schichtbereich Sign. 20039 bis 20041 stammt eines der beiden Webgewichtfragmente (Taf. 21/4) und ein Herdplattenbruchstück mit weißer Oberfläche (Abb. 114).

Von den drei Reibplattenbruchstücken[1438] tragen zwei Feuerspuren. Herauszustellen sind auch neun größere Steine aus der aschigen Schicht 20042 (Taf. 73/4) mit einem Gesamtgewicht von 2500 g, die alle von Feuereinwirkung beeinflusst sind. Konkret handelt es sich um drei plattige Sandsteine, ein granitenes Reibplattenfragment, ein Quarzitknollenbruchstück und drei große kalkhältige Steine. Auch ein Gussformfragment aus Sandstein für Tüllenbeile ist hier zu nennen (Taf. 21/6; 73/2). Ein menschlicher Oberarmknochen mit Tierverbiss (FNr. St. 17038.5) kommt ebenfalls aus Schicht 20042.

Die Tierknochen aus den Schichten 20039 bis 20042 zeichnen sich durch eine große Vielfalt an Haus- und Wildtieren aus (Rind, Schwein, Schaf/Ziege, Hirsch, Reh, Wildschwein, Biber sowie Hund). Viele zeigen Schlachtspuren sowie Feuereinwirkung und in einem Fall Tierverbiss (Schafbecken FNr. St. 17092.7). Auch Fischreste (Wels FNr. St. 17096.3, Fischschuppen, Wirbel, Gräten[1439]) und Muschelreste waren darunter.

Aus der oberen Grubenfüllung stammen nur wenige Tierknochen, die als Schlachtabfälle von Haustieren bestimmt werden konnten.

Archäologische Datierung

Die chronologisch nur wenig aussagekräftigen Funde lassen sich nach Ha B2–3 stellen.

Naturwissenschaftliche Datierung

^{14}C-Datierung verkohlter Getreidekörner (FNr. St. 17053): ETH-16499: 2830 ± 50 BP [1123 (100 %) 839 BC, Mw. 981 BC].[1440]

Gestützt wird dieses Ergebnis durch die ^{14}C-Datierung eines menschlichen Oberarmknochens aus dem Fundposten St. 17038.5: Poz-99237: Alter 2805 ± 30 BP [1046 (95,4 %) 855 BC, Mw. 950 BC]. Aufgrund eines Messfehlers, der an diesem Tag bei einer Probe desselben Messdurchgangs aufgetreten ist, wurde die Messung wiederholt. Sie erbrachte ein jüngeres Alter: Poz-111780:[1441] 2710 ± 30 BP [910 (95,4 %) 809 BC, Mw. 859 BC].

1432. FNr. St. 17100.9, nicht auffindbar.

1433. Aus Schicht 20038 bis 20037.

1434. Sign. 20037–20039.

1435. Dieses Bruchstück kann theoretisch mit FNr. St. 17097.5 von ein und demselben Objekt stammen.

1436. FNrn. St. 17098.1, 17100.4, 17100.5.

1437. FNrn. St. 17032, 17049.

1438. FNrn. St. 17032.3 (Sign. 20042, 20043); St. 17038.2 (Sign. 20042); St. 17049.3 (Sign. 20039–20042).

1439. Fischschuppen (FNr. St. 17037), Schuppen, Wirbel, Gräten sowie Muschelschalen aus dem archäobotanischen Schlämmgut (FNrn. St. 17039, 17053).

1440. Kohler-Schneider 2001, 37, 65.

1441. Probe: menschlicher Humerus, FNr. St. 17038.5.

Naturwissenschaftliche Untersuchungen (V5005)

Bei den 22 Schweineknochen mit FNr. St. 17100 handelt es sich um die Überreste von mehreren Individuen mit eindeutigen Schlachtspuren, es liegt also Haushaltsabfall vor.[1442]

Naturwissenschaftliche Auswertung der Pflanzenreste durch M. Kohler-Schneider[1443]

Die botanischen Proben (insgesamt 270 l) wurden aus der Grubenmitte (Probe FNr. St. 17039, Sign. 20042 und Probe FNr. St. 17053, Sign. 20039–20042 ganz unten) entnommen.[1444] In der qualitativen und auch mengenmäßigen Zusammensetzung waren sich die beiden Proben sehr ähnlich.

„[…] Die Probenzusammensetzung vermittelt erneut das Bild einer ‚Vorratsmischprobe', wobei die Funddichte etwas geringer war als in den übrigen reichhaltigen Siedlungsgruben. […] Ein Grund für die geringe Funddichte ist in der stärkeren Durchsetzung mit Holzkohlefragmenten zu suchen. […]

Den mit Abstand größten Anteil unter den Kulturpflanzen stellen **Rispenhirse** (Panicum miliceum, 35 % bzw. 53 %) und **Spelzgerste** (Hordeum sativum, 51 % bzw. 34 %). […]

Als hervorzuhebende Besonderheit können – neben dem sensationellen Fund von ‚emmerähnlichem Spelzweizen' – auch die Nachweise von Roggen, der einzigen Saubohne aus Stillfried, des Schlafmohns, des Leindotters sowie der Linsen-Wicke gelten.

Bemerkenswert erscheinen weiters die Funde von miteinander verbackenen Hirsekörnern, bei denen es sich um Speisereste handeln könnte, sowie das Vorhandensein von z. T. ausgekeimter Hirse. […]"[1445]

Kleine Tierknochen-Fragmente (vermutlich Mäuse), zahlreiche Fischreste (Schuppen, Wirbel, Gräten), Muschelschalen sowie verkohlte Insektenreste unterstützen die Deutung als Küchenabfall und damit die sekundäre Nutzung der Grube als Abfallgrube.

Befundinterpretation von V5005 und V5006

Da die direkt benachbarte Grube V5006 in Form und Inhalt eine große Ähnlichkeit mit V5005 aufweist, wird hier die Befundinterpretation für beide Gruben vorgenommen:

Die rekonstruierte Grubentiefe beider Gruben übersteigt deren größten Durchmesser. Dieses Verhältnis ist ungewöhnlich, da die klassische kegelstumpfförmige (Getreide)Speichergrube etwas breiter als hoch ist, mit trapezförmigem Querschnitt. Auch die muldenförmige Ausbuchtung der Grubensohle (V5005) bzw. die regelrecht gestufte Sohle von V5006 entsprechen nicht der Grundform von (Getreide)Speichergruben.

Wir gehen daher von einer anderen, uns unbekannten ursprünglichen Nutzung dieser Gruben aus. Vorgeschlagen wurde bereits eine Nutzung als „Maukengruben" (zum Aufbereiten von Ton bzw. Lehm für Hüttenlehmbewurf usw.).[1446]

Auffällig in der letztendlichen Verfüllung beider Gruben ist vorrangig die größere Zahl an hauptsächlich abgesägten Hirschgeweihabschnitten, die sich direkt auf der Grubensohle bzw. unmittelbar darüber befunden haben, aus V5006 immerhin neun Stück (einschließlich des beschädigten? Geweihgeräts Taf. 22/5 und Abb. 123). Obwohl sie durchgängig ihrer Sprossen durch Absägen entledigt worden waren, hätten die verbliebenen Teile noch immer für einige Messergriffe, Hämmer, Schlegel usw. gereicht. Möglicherweise war dieser Rohstoff in so großem Umfang vorhanden, dass im Verarbeitungsprozess Überflüssiges, Reste und Verschnitt großzügig entsorgt werden konnten. Für einen kultischen Zusammenhang ergibt sich daraus kein Hinweis, hauptsächlich weil es sich um bereits genütztes Material handelt.

Ähnlich bemerkenswert sind die drei verhältnismäßig großen, plattigen Steine aus Sign. 20042 in V5005 (Taf. 73/4), da es kein natürliches Vorkommen solcher Steine in Stillfried und Umgebung gibt und diese grundsätzlich noch unterschiedlichste Verwendung im Alltag gefunden hätten.

Beide Gruben enthalten im Verhältnis zum mengenmäßig eher bescheidenen Siedlungsabfall eine größere Zahl an Sonderfunden, wovon einige sekundär gebrannt sind: vier Feuerbockbruchstücke (drei davon aus V5005), Herdplattenfragmente, großteils mit weiß bemalter Oberfläche (V5005: Abb. 114; V5006: Taf. 74/5) sowie ein „Spielstein"(?) (V5006: Taf. 22/1; 74/4) und ein Gussformbruchstück (V5005: Taf. 21/6; 73/2). Davon betrachten die Verfasser vor allem das Gussformfragment als ungewöhnlichen Siedlungsabfall. Zubehör von Metallhandwerk findet sich im Verhältnis auffallend häufig in Grubenverfüllungen mit Tier- und Menschenniederlegungen.[1447]

Die große Vielfalt der verkohlten Pflanzenreste, darunter auch möglicherweise bereits Verkochtes (miteinander verbackene Hirsekörner), sowie Fischreste und Flussmuschelschalen sind als Siedlungsabfall zu betrachten.

Alles in allem deuten wir die Schließung der Gruben als profane Vorgänge, nachdem sie eine Zeit lang als Abfallgruben Verwendung fanden. Es ist allerdings in Betracht zu ziehen, dass einige (besondere) Gegenstände im Zuge der Auflassung noch vor der endgültigen Verfüllung (Sign. 20044 bzw. 20053) in symbolischer Absicht eingebracht wurden (Gussform- und Feuerbockfragmente, „Spielstein").

Fundkatalog V5005

16847
40–60 cm unter HOK, Lfm. 6 bis 8,2
Teile zu V5005 möglich; wenn zu V5005 gehörend, dann Sign. 20044
Ker, Zie, HL, Stein, Kn
KiNr.: 1/59021, 8/59019, 3/59017, 7/59018, 2/59013

16848
40–60 cm unter HOK, Lfm. 4 bis 6
Teile zu V5005 möglich; wenn zu V5005 gehörend, dann Sign. 20044
Ker, Zie, HL, Stein, Kn
.1 Kn
- Rind: Zahn, Costae (3 ×)
KiNr.: 1/59021, 8/59019, 3/59017, 7/59018, 2/59013

16857
40–60 cm unter HOK, Lfm. 6 bis 8,2
Teile zu V5005 möglich; wenn zu V5005 gehörend, dann Sign. 20044
Ker, Zie, Stein, Kn
.1 viele Kn
- Rind: Vertebrae (2 ×), Humerus
- Schwein: Maxilla, Vertebrae (3 ×), Costae (3 ×)

1442. E. Pucher, Mitteilung vom 30.1.2018.

1443. Kohler-Schneider 2001, 65–72.

1444. Es besteht Diskrepanz zwischen der Tiefenangabe von M. Kohler-Schneider (3 m und 3,40 m) und den Angaben bei den entsprechenden Fundnummern. Verfasser folgen den Angaben zu den Fundnummern.

1445. Kohler-Schneider 2001, 65.

1446. Mündl. Mitteilung von C. Eibner, Kohler-Schneider 2001, 66.

1447. Beispielsweise die steinerne Gussform und die beiden Gusskuchenbruchstücke aus Grube V841 von Stillfried, Penz 2006, Taf. 25/4, 6, 8; siehe auch Kap. 3.2.1, Abb. 118.

- Schaf: Calvaria (2 ×)
- Auerochse (Fossil, Pleistozän)
- unbestimmbar (2 ×)
KiNr.: 1/59052, 3/59053, 8/59049, 2/59048

16858
40–60 cm unter HOK, Lfm. 4 bis 6
Teile zu V5005 möglich; wenn zu V5005 gehörend, dann Sign. 20044
Ker, Zie, Stein, Kn
.1 Kn
- Schaf/Ziege: Calvaria
KiNr.: 3/59010, 8/59009, 1/59011, 2/59003

16868
60–80 cm unter HOK/Lfm. 8, Lfm. 6 bis 8,2
Teile zu V5005 möglich; wenn zu V5005 gehörend, dann Sign. 20044
Ker, Stein, Kn
.1 Frg. von pyr. WG

16869
60–80 cm unter HOK/Lfm. 8, Lfm. 4 bis 6
Humoses Material
Teile zu V5005 möglich; wenn zu V5005 gehörend, dann Sign. 20044
Ker, Zie, Kn

16873
80–100 cm unter HOK, Lfm. 6 bis 8,2
Teile zu V5005 möglich; wenn zu V5005 gehörend, dann Sign. 20044
Ker, Stein, Kn
.1 Kn
- Schwein: Calvaria (Feuereinwirkung), Vertrebrae, Zahn (Feuereinwirkung), Humerus
KiNr.: 1/59071, 3/59069, 2/59066, 8/59073

16875
80–100 cm unter HOK/Lfm. 6, Lfm. 4 bis 6
Teile zu V5005 möglich; wenn zu V5005 gehörend, dann Sign. 20044
Ker, Zie, HL, Stein, Kn
.1 HL (600 g) mit Rutenabdrücken

16896
110–130 cm unter Lfm. 4, Lfm. 4 bis 6
Teile zu V5005 möglich; wenn zu V5005 gehörend, dann Sign. 20044
Ker, Stein, Kn

16912
120–140 cm unter Lfm. 8, zwischen Verfärbung „1“ und „2“
Humoses Material, Mischung mit Nachbargrube(?); wenn zu V5005 gehörend, dann Sign. 20044
Ker, Stein

16915
120–140 cm unter Lfm. 6
Sign. 20044
Ker, HL, Kn
.1 3 KerBS
.2 w. HL

16916
120–140 cm unter Lfm. 4
Sign. 20044
Ker, HL, Kn

16920
140–160 cm unter Lfm. 6
Sign. 20044
Ker, Kn
.1 1 WS

16983
150–165 cm unter Lfm. 8, westlich von Verfärbung „2“
Humus
Zuordnung zu V5005 möglich; wenn zu V5005 gehörend, dann Sign. 20044
Ker, Kn
.1 RS von Einzugsrandschale, w. weitere BS
.2 2 Steine
.3 Kn
- Schaf/Ziege: Tibia
- Rind: Vertrebrae
- unbestimmbar (2 ×) davon 1 × mit Feuereinwirkung
KiNr.: 1/59074, 3/59069

16984
150–170 cm unter Lfm. 4
Sign. 20044
Ker
.1 2 KerWS
.2 Kn
- Schaf/Ziege: Mandibel
KiNr.: 1/59064, 8/59062

17010
180–200 cm unter Lfm. 6,
Sign. 20044 (unterer Bereich)
Ker, Stein, Kn
.1 etwa 20 KerBS
.3 HL (250 g)
.2 8 Steine (480 g)

17011
180–200 cm unter Lfm. 6
Verfärbung im Osten (Sign. 20044); Sign. 20044 (unterer Bereich)
Ker, Kn
.1 4 KerWS
.2 Abschlag
.3 w. Kn
- unbestimmbar (1 ×)
.4 kl. Schnecken (rez.)
KiNr.: 1/59015, 3/59017, 1/59017, 8/59019

17013
200–220 cm unter Lfm. 6
Bereich Sign. 20044 (ganz unten), 20043, 20042 (oben)
Ker, Kn

17032
0–20 cm unter Planum 4
Hauptsächlich Sign. 20043 und 20042
Ker, Stein, Kn
.1 Seitenteil von hoher Henkelschale (Taf. 21/7)
.2 etwa 20 KerBS
.4 Mörtel
.3 Steinposten (520 g): Sandstein, Schieferplatte, Reibplattenfrg./Granit, Feuereinwirkung
.5 Kn
- Hund: Ulna mit Feuereinwirkung
- Hirsch: Geweih mit Bearbeitungsspuren (L. ca. 12 cm)
- Wildschwein: Costae
- Schaf/Ziege: Calvaria, Vertebrae, Costae (2 ×), Tibia
- unbestimmbar (7 ×) davon 1 × mit Feuereinwirkung
KiNr.: 3/59057, 1/59058, 7/59055

17033
0–20 cm unter Planum 4
Hauptsächlich Sign. 20043 und 20042
.1 Gussformfrg. eines Tüllenbeils aus Sandstein mit starken Feuerspuren (Taf. 21/6; 73/2)
Im Museum Stillfried

17037
20–40 cm unter Planum 4
Sign. 20042
Erdprobe mit Fischschuppen

17038
Keine Tiefenangabe – wohl auch gleiche Tiefe
Sign. 20042
Ker, Stein, Kn
.1 1 KerWS
.2 Steinposten (2500 g): 3 Sandsteinplatten (Feuereinwirkung?), Quarzitknolle (Feuereinwirkung?), Reibplattenfrg. u. 4 gr., plattige, kalkhältige Steine (Taf. 73/4)
.3 viele Kn
- Hirsch: Vertebrae, Calcaneus
- Rind: Calvaria, Zahn, Mandibel, Scapula (3 ×), Humerus, Vertebrae (3 ×), Costae (7 ×), Femur (2 ×), Pelvis (2 ×), Tibia
- Schaf/Ziege: Radius, Vertebrae (3 ×), Costae (3 ×)
- Schwein: Scapula, Vertrebrae (2 ×), Metapodia
- Hund: Mandibula
- Biber: Calvaria
- unbestimmbar (30 Frg., davon 6 mit Feuereinwirkung)
.4 Flussmuscheln
.5 menschlicher Oberarmkn mit Tierverbiss (^{14}C-Dat.)
KiNr.: 8/59035, 3/59029, 1/59034

17039
20–40 cm unter Planum 4
Sign. 20042
Asche
.1 Aschenprobe (7 Säcke), archäobotanische Probe, Bestimmung durch M. Kohler-Schneider
Probenverbleib: Universität für Bodenkultur Wien, M. Kohler-Schneider

17049
0–20 cm unter Planum 2(?) (eher 5), unter Planum 5
Bereich Sign. 20042 (ganz unten), 20041, 20040, 20039
Ker, HL, Kn
.1 WS von bauchigem Gefäß (Taf. 21/5)
.5 27 KerBS
.2 HL (70 g)
.3 Reibplattenfrg.?
.4 1 Flussmuschel

17053
270–290 cm unter HOK
Bereich Sign. 20042 (ganz unten), 20041, 20040, 20039
Probe
.1 archäobotanische Probe, Bestimmung und ^{14}C-Datierung verkohlter Getreidekörner durch M. Kohler-Schneider
Probenverbleib: Universität für Bodenkultur Wien, M. Kohler-Schneider

17054
270–290 cm unter HOK
Bereich Sign. 20042 (ganz unten), 20041, 20040, 20039
Ker, HL, Kn, Mollusken
.1 etwa 20 KerBS, darunter ein RS SMA
.3 w. HL
.4 1 Herdplattenfrg. mit weiß bemalter Oberfl.
.5 Frg. von Feuerbock? (Taf. 74/2)
.2 3 kl. Kieselsteine

17059
290–310 cm unter HOK
Alte Verf. 2 und 5 (V5006)
Bereich Sign. 20042 (ganz unten), 20041, 20040, 20039 (hauptsächlich)
Ker, Stein, Kn
.1 WS („Spielstein"?), RS mit Pechanstrich?
.2 12 KerBS
.4 HL (350 g)
.3 Steine (Quarz mit Feuerspuren)
.5 Kn
- Rind: Humerus
- Schaf/Ziege: Humerus
- Schwein: Fibula, Vertebrae
- Reh(?): Mandibel
- unbestimmbar (1 ×)
KiNr.: 1/59030, 2/59025, 3/59029

17065
310–335 cm unter HOK
Bereich Sign. 20039, 20038, 20037
Ker, Kn
.1 w. KerBS
.2 Kn unbestimmbar (1 ×)
KiNr.: 1/59015

17092
280–300 cm unter HOK
Bereich Sign. 20041, 20040, 20039
Ker, Kn, Mollusken
.2 RS von Vorratsgefäß, Schlickerung, Pechanstrich? sek. gebr.
.3 20 KerBS
.1 pyr. WG (Taf. 21/4)
.5 HL (200 g), darunter 1 Eckstück
.6 Feuerbockfrg. mit weiß bemalter Oberfl. (Taf. 73/3)
.4 1 Stein (Feuereinw.)
.7 Kn (Hornzapfen)
- Rind: Processus frontalia, Metacarpus, Talus, Radius, Femus, Costae (3 Frg.)
- Schwein: Vertebrae, Costae
- Schaf/Ziege: Costae (5 Frg.), Scapula, Femur, Pelvis mit Verbissspuren (lochförm. Impressionsfraktur) von Carnivoren
- Hirsch: Mandibel
- Hund: Carpalia
- unbestimmbar (10 Frg., einige mit Feuereinwirkung)
KiNr.: 1/59083, 2/59085, 3/59082, 8/59084, 12/59008

17096
290–310 cm unter HOK, Westhälfte
Bereich Sign. 20041, 20040, 20039 (hauptsächlich)
Ker, Kn
.1 RS von grobem Gefäß mit Knubbe, sek. gebr., spätneol.? (Taf. 21/3)
.2 15 KerBS
.3 Kn
- Rind: Calvaria (3 Frg.), Vertebrae, Costae, Metacarpus
- Schaf: Radius
- Schaf/Ziege: Calvaria, Costae, Sacrum
- Schwein: Ulna, Costae
- Wels
- unbestimmbar (2 Frg.)
KiNr.: 1/59034, 3/59029, 2/59033

17097
310–330 cm unter HOK
Bereich Sign. 20039, 20038, 20037
Ker, HL, Kn, Horn
.1 25 KerBS
.2 RS von Vorratstopf mit Schlickerung u. Knubbe (sehr hart gebr.), Pechanstrich?
.5 Feuerbockfrg. mit weißer Oberfl. (stark mit Keramikbruch gemagert; Taf. 74/1 u. Abb. 71)
.4 HL (350 g)
.3 Kieselsteine (120 g)
.6 Hirschgeweihspross mit Sägespuren (Taf. 20/6; 72/6)
.7 Kn
- Schwein: Maxilla, Zahn, Costae (2 Frg.)
- Schaf: Talus
- Schaf/Ziege: Zahn, Vertebrae
- unbestimmbar (5 Frg.)
.8 menschlicher Kn mit Schnittspuren (Verbleib?)
Tierkn u. Hirschgeweihspross im NHM
KiNr.: 1/59083, 3/59082, 2/59075

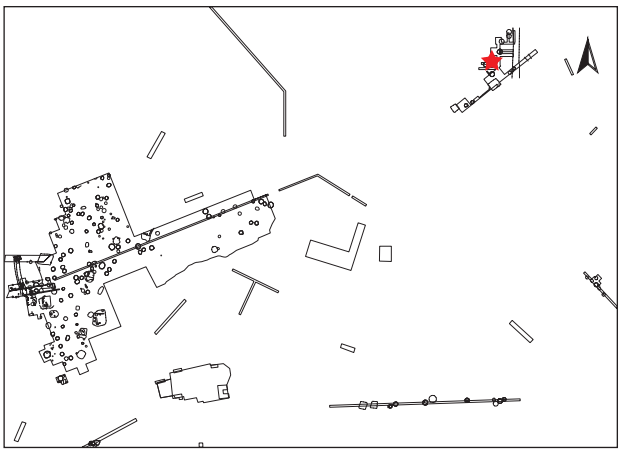
17098
330–350 cm unter HOK
Sign. 20038 bis 20037
Ker, Kn
.1 RS u. WS von gr. Topf, mit Keramikbruch gemagert, sek. gebr. (Taf. 21/2)
.2 17 KerBS, großteils grob u. sek. gebr.
.4 w. HL (30 g)
.3 Stein mit Feuerspuren, 1 Kiesel
.5 Kn
- Hirsch: Vertebrae
- Rind: Pelvis
- Schwein: Vertebrae
- unbestimmbar (5 Frg.)
KiNr.: 1/59021, 3/59026, 2/59025

17099
350–370 cm unter HOK
Sign. 20037 (Grubenboden)
Horn
.1 abgesägtes Geweihstangenstück (Taf. 20/5; 72/4)
.2 abgehacktes Geweihstück (Taf. 21/1; 73/1)
.1 und .2 im Museum Stillfried

17100
350–370 cm unter HOK
Sign. 20037(Grubenboden)
Ker, HL, Kn, Horn
.1 25 KerBS, großteils sek. gebr. (1000 g)
.2 WS von feinem, gr. Gefäß, sek. gebr. (Taf. 20/1; 72/5)
.3 RS von Vorratstopf, sek. gebr. (Taf. 20/3)
.4 RS von gr. Topf, mit Keramikbruch gemagert, sek. gebr. (Taf. 20/4)
.5 RS von grobem Topf, mit Keramikbruch gemagert, sek. gebr. (Taf. 20/2)
.7 HL mit Rundholzabdruck u. glatter Schaufl. (350 g)
.6 1 Stein mit Feuereinw. (80 g)
.8 Kn
- Schwein: Calvaria (2 Frg.), Mandibel (2 Frg.), Costae (6 Frg.), Vertebrae (5 Frg.), Pelvis, Scapula, Fibula (2 Frg.), Metatarsus II, III, V
- unbestimmbar (3 Frg.)
.9 Geweihstange (verschollen)
KiNr.: 1/59074, 3/59076, 2/59075

Objekt V5006 – Tiefe Grube mit gestufter Sohle

Lage	Wagneracker Schnitt 7 (S/7) bei Lfm. 3,2–4,2
alte Objektnr.	Verf. 5
Literatur	Antl-Weiser 1996b, 175. – Kohler-Schneider 2001, 73–76.
Interfaces	
Signaturen (Schichtnrn.)	20045–20053



Dokumentationsniveaus/Plana

Plannr.	Planum	alte Verf.	Lage/Quadrant	vertikale Einmessung		
				Ausgangspunkt	relative Tiefe	absolute Höhe in müA
WA 12/1989	Planum 1	5	S/7	SO-S7 (184,00)	-103 cm	182,97
WA 19/1989	Planum 2	5	S/7	Lfm. 6 von S7 (184,00)	-159 cm	182,416
WA 23a/1989	Planum 3	5	S/7	Lfm. 6 von S7 (184,00)	-188 cm	182,12
WA 27/1989 (Abb. 408)	Planum 4	5	S/7	Lfm. 7 von S7 (184,00)	-220 cm	181,80
WA 33/1989 (Abb. 409)	Planum 5	5	S/7	Lfm. 7 von S7 (184,00)	-270 cm	181,30

Profile/Schnitte

Plannr.	alte Verf.	Hauptprofil		Schnitt	
		Orientierung	Lage/Quadrant	Bezeichnung	unter DOKN
WA 36/1989 (Abb. 410, 412)	5	Südprofil	S/7		HOK
WA 39/1989 (Abb. 41/5; 412)	5	Ostprofil	S/7		HOK
WA 42/1989 (Abb. 412)	5	Nordprofil	S/7		HOK

Stratigraphie V5006

Grube V5006 lag direkt östlich von Grube V5005. Sie ist von ähnlicher Gestalt und in übereinstimmend auffälliger Tiefe (etwa 330 cm) wie V5005 in den sterilen Löß gegraben worden (Abb. 412). V5006 wurde nur zu einem Viertel ausgegraben, wo sie bis in eine Höhe von etwa 2,70 m über der Grubensohle ungestört zu sein scheint (Abb. 413). Gekappt wurde die Grube bzw. deren Hals erst vom römerzeitlichen bzw. mittelalterlichen Humus (1. Kappung – grauer Humus).

Grubenform

Wandverlauf	Sohlenverlauf	Übergang Sohle – Wand	primäre Nutzungsspuren	Auffälligkeiten
steilkonischer bis annähernd senkrechter Wandverlauf mit „Schulter“ und Flaschenhals	waagrecht bis schwach gerundet ausladend; etwas unebener Verlauf, stufenartige Eintiefung im Süden	gerundet		gestufte Grubensohle im Süden (Dm. der Eintiefung: 1 m, T. 50 cm)

Größe und Fassungsvermögen V5006[1448]

min. Dm. (d): Bereich Sign. 20053	148 cm
max. Dm. (D): 40 cm über Grubensohle	250 cm
Dm. auf der Grubensohle:	220 cm
max. erh. Grubentiefe (h)	330 cm
max. rek. Grubentiefe	330 cm
min. rek. erh. Dm. (d) (HUK)	50 cm
zylindrische (?) Vertiefung Dm.	95–100 cm -> 97,5 cm
zylindrische (?) Vertiefung Tiefe	50 cm
Fassungsraum Vertiefung ($V = \pi r^2 \times h$)	1,49 m³
erh. rek. Fassungsraum der Grube	6,69 m³ + 1,49 m³ (Sitzstufe) gesamt: 8,12 m³
archäolog. Datierung	Ha B2–3
^{14}C-Datierung	ETH-16500[1449]: 2840 ± 50 BP [1126 (95,5 %) 892 BC, Mw. 1009 BC]
Zuordnung zu Siedlungsphase	II

Beschreibung V5006

Form im Planum annähernd (viertel)kreisförmig erhalten, mit einem errechneten Durchmesser von maximal etwa 250 cm (Abb. 408, 409). Die Wände verlaufen im unteren Bereich steil trapezförmig bis senkrecht, im oberen Bereich steil trapezförmig mit einziehender Schulter (Abb. 412). Die Sohle zeigt sich senkrecht bis schwach ausladend gewölbt, wobei im Südosten eine 50 cm tiefe und etwa 97 cm breite Vertiefung angelegt wurde. Der Querschnitt dieser Eintiefung ist auffallend rechteckig. Auf der Sohle wurden mehrere Schichten braun-humosen bis grau-aschigen Materials sowie Löß eingebracht (Sign. 20045). Darüber sowie in der Vertiefung befand sich grauaschiges bis braun-humoses Material mit zahlreichen Holzkohleflittern und kleinen Hüttenlehmbröckchen (Sign. 20046). Aus dieser unteren Grubenverfüllung stammt wertvoller Rohstoff in Form von sieben Hirschgeweihstangenabschnitten. Über einem nahezu waagrechten Abschluss wurde im Westteil ein humoses Häufchen aufgeschüttet (Sign. 20047). Darauf folgen eine gelbe Lößeinfüllung (Sign. 20048), braun-humoses Material (Sign. 20049) sowie erneut grauaschiges Material mit zahlreichen Holzkohleflittern (Sign. 20050), ähnlich wie Sign. 20046. Eine gelbe Lößeinfüllung (Sign. 20051) und abschließend graue Asche (Sign. 20052) schließen den Schüttkegel ab. Die obere Grubenhälfte war mit braun-humosem Erdreich verfüllt (Sign. 20053).

1448. Es ist nur ein Viertel der Grube ergraben.

1449. Probe von verkohltem Getreide, FNr. St. 17078, Kohler-Schneider 2001, 37, 73. Anmerkung: Für diese Messung wurde ein anderes Kalibrationsprogramm verwendet (Niklaus et al. 1992), weswegen sich die kalibrierten Daten von unseren Angaben auf Abb. 30 unterscheiden.

Schichtabfolge V5006

Lage in der Grube	Sign.	Beschreibung	besondere Funde	Höhe ab Sohle in cm
direkt auf der Grubensohle				
„Deponierungshorizont“				0–57 bzw. 0–100 (Vertiefung)
	20045	mehrere Schichten von braun-humosem Material, Löß sowie Asche mit Holzkohleflittern, fundreich	7 Geweihstangenabschnitte; weiß bemaltes Feuerbockfrg.; „Spielstein“	0–56
	20046	grau-braunes Asche-Humus-Gemisch, stark mit Holzkohle, teils mit Hüttenlehmbröckchen durchsetzt, fundreich?		-45–57
oberer Grubenbereich				
	20047	braun-humoser Schüttkegel in der Westhälfte, fundarm(?)		54–62
	20048	gelbe Lößeinfüllung		54–87
	20049	braun-humoses Material, fundarm(?)		52–90
	20050	grau-braunes Humus-Asche-Gemisch mit Holzkohle sowie kleinen Hüttenlehmbröckchen durchsetzt, fundreich(?)		64–126
	20051	gelbe Lößeinfüllung		56–132
	20052	graue Ascheschicht mit Holzkohleflittern		63–132
	20053	braun-humoses Material mit wenigen kleinen Hüttenlehmbröckchen, fundarm(?)		ab 54

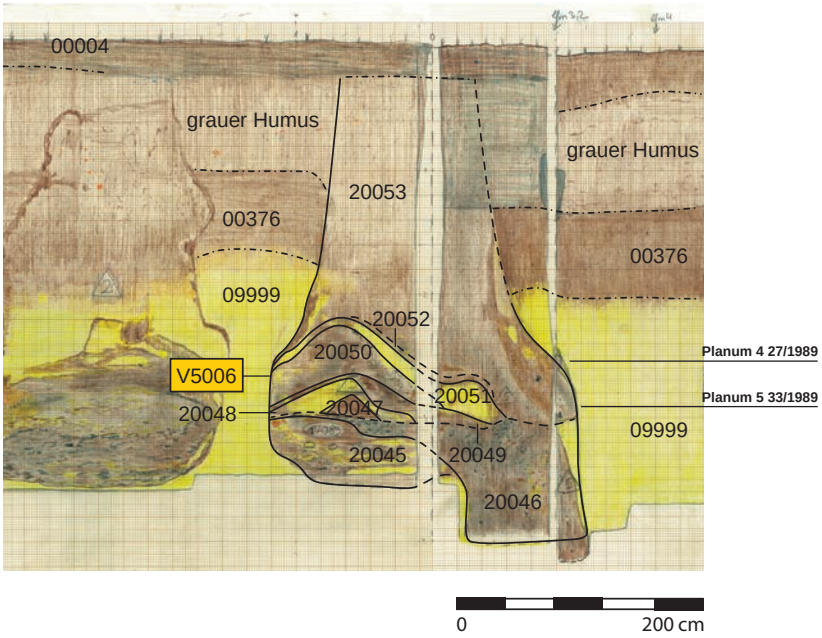


Abb. 412: V5005, V5006, „Wagneracker“, Schnitt 7: Zusammenschnitt aus dem Nordprofil (Plannr. WA 42/1989), dem Ostprofil (Plannr. WA 39/1989) und dem Südprofil (Plannr. WA 36/1989; Zeichnungen: M. Frelih, Universität Wien).

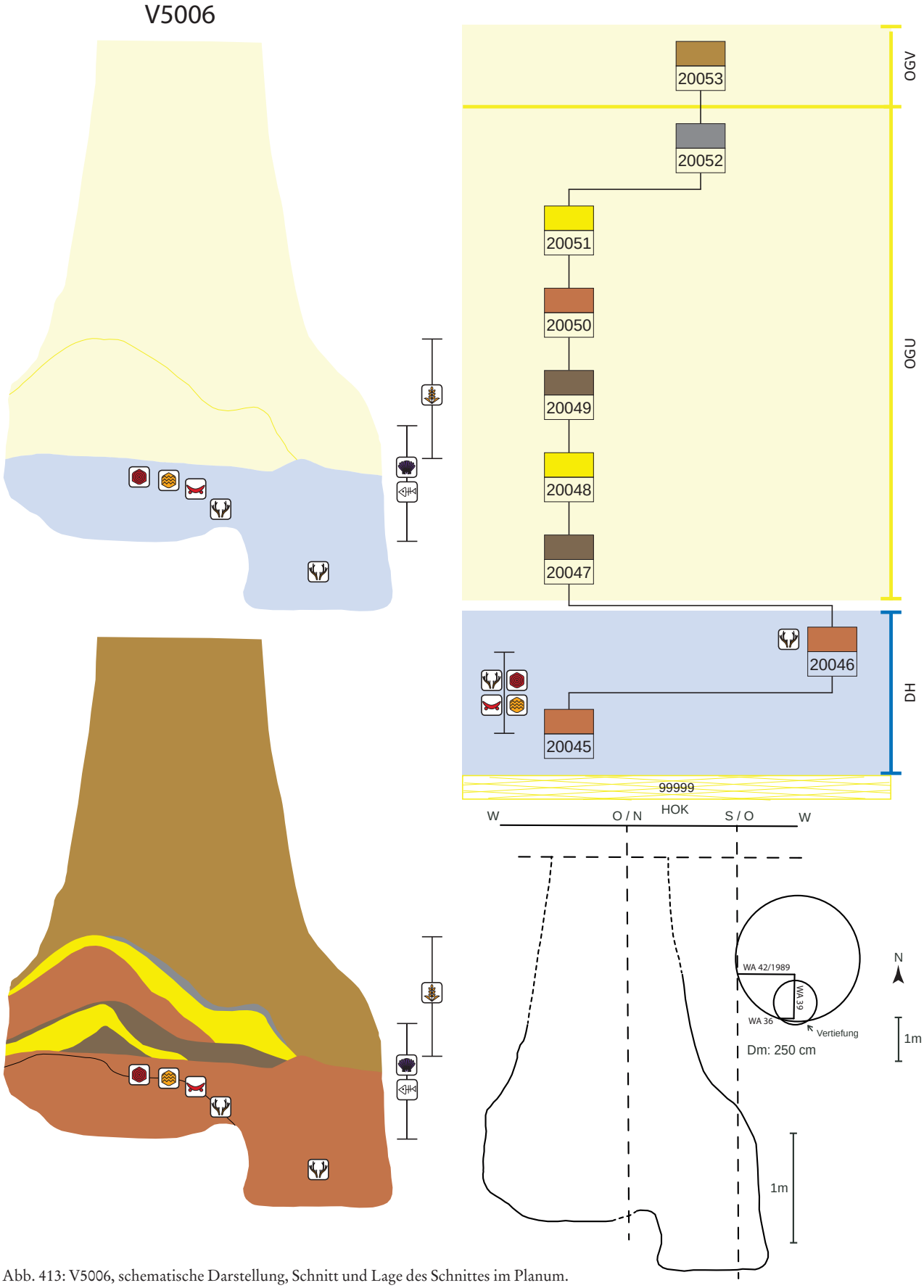


Abb. 413: V5006, schematische Darstellung, Schnitt und Lage des Schnittes im Planum.

Schichtbeschreibung (Sign.) V5006

Sign.	Schicht-schlüssel	Beschreibung	auf Plan	zugeordnete Fundnummern	besondere Funde
20045	17	mehrere, waagrechte Schichten(?) aus braun-grauem, aschigem Material sowie gelb-lehmigem Löß in der Westhälfte der Grube; teils mit Holzkohleflittern durchsetzt; ca. 50 cm mächtig	WA 39, 42/1989		
		Sign. 20045 bis 20046		17064, 17066, 17070, 17071, 17089	**7 abgesägte Geweihstangenabschnitte** (Rohstoff;[1450] Taf. 22/4; 23; 24/2–3; 74/6; 75/2; 76; 77/1 u. Abb. 123); **Geweihzwischenstück** (St. 17071.1; Taf. 22/5; 75/1); **bemaltes Feuerbockfrg.** (St. 17064.2; Taf. 22/2; 74/3); **„Spielstein"?** (St. 17070.1; Taf. 22/1; 74/4); **Herdplattenfrg.** (St. 17064.3; Taf. 22/3; 74/5)
20046	17	grau-braunes, aschiges Material, stark mit Holzkohleflittern und auch mit Hüttenlehmbröckchen durchsetzt; bildet nahezu waagrechten Abschluss nach oben; im Osten und Süden 1 m mächtig, im Westen; 2–15 cm	WA 36, 39, 42/1989		
20047	4	braun-humoser Schüttkegel im Westen der Grube; 18 cm hoch	WA 42/1989		
20048	3	gelb-lehmiges Material; v. a. auf dem Westteil des Schüttkegels mächtig mit 19 cm; nur im Westen über dem Schüttkegel vorhanden! (Abb. 409)	WA 42/1989		
20049	4	braun-humoses Material, v. a. auf dem Ostteil des Schüttkegels; ca. 16 cm mächtig (Abb. 409)	WA 39, 42/1989		
20050	17	grau-braunes, aschig-humoses Brandschuttgemisch mit Hüttenlehmbröckchen; nur über dem Schüttkegel im Westteil der Grube; ca. 35 cm mächtig	WA 33, 39, 42/1989		
20051	3	gelb-lehmiges Material über dem Schüttkegel; 5–14 cm mächtig	WA 33, 39, 42/1989		
20052	1	grau-aschiges Material mit Holzkohleflittern; ca. 5 cm mächtig	WA 33, 39, 42/1989		
		Bereich Sign. 20053 (ganz unten), 20049, 20048, 20047, 20046 (oben), 20045 (oben), Schlämmprobe (S)		17058, 17059(?), 17060, 17078(S)	**bearbeitetes Geweihstück** (St. 17058.1; Taf. 24/1 u. Abb. 123); **verkohltes Getreide und Wildpflanzen** (St. 17078); **Fischreste; Muscheln**
		Bereich Sign. 20053 (unten), 20052, 20051, 20050, 20049, 20048, 20047 (oben)		17055	
		Bereich Sign. 20053 (unten), 20052, 20051, 20050		17035	
		Bereich Sign. 20053 (unten), 20052, 20051		17028, 17048(?)	
20053	9	braun-humoses Material mit vereinzelten, kleinen Hüttenlehmbröckchen	WA 12, 23a, 27, 33, 36, 39, 42/1989	16849(?), 16863(?), 16870(?), 16880(?), 16898, 16919, 16985(?), 17016	

1450. FNrn. St. 17066.1–2; 17071.2, 17089.1–4.

Funde V5006

Die Fundanzahl ist für den Fassungsraum der Grube von etwa 8 m³ sehr niedrig. Wie bei Grube V5005 stammt das Gros der Funde aus dem unteren Grubenbereich, wie auch die Stratigrafie erwarten lässt (Schichten 20045/20046–20050).

Unter den wenigen Gefäßscherben, die einer konkreten Form zuweisbar sind, fällt das unverzierte, feinkeramische Tassenrandstück mit der starken Schulterbildung auf (Taf. 24/4). Ein gutes Vergleichsstück stammt aus der zeitgleichen Speichergrube V5400 vom „Küssleracker" in Stillfried (Taf. 30/3). Solche zarten, eher enghalsigen Gefäße sind kennzeichnend für die späte Urnenfelderzeit.

Die vertretene Topfform zeigt eine schwache Schulterbildung (Taf. 24/5), die in späturnenfelderzeitlichen Fundverbänden gut bekannt ist.[1451] Im Schulterbereich dürfte ein Grifflappen abgebrochen sein. Neuerlich fällt eine starke Keramikbruchmagerung auf (Abb. 69).

An Sonderfunden ist ein hart gebranntes, dicht gelochtes Siebgefäß zu nennen, das trotz seiner Dickwandigkeit offensichtlich absichtsvoll zu einem „Spielstein" zugerichtet wurde (Taf. 22/1; 74/4). Das vorliegende Stück gehört mit seinem Durchmesser von 7,5 × 6 cm zu den größeren Vertretern dieser beliebten Fundgattung der „Spielsteine".

Das Herdplattenbruchstück FNr. St. 17064.3 (Taf. 22/3; 74/5) zeigt neben weißer Bemalung zwei konzentrische Riefen, die wohl mit dem Finger in den noch weichen Ton gedrückt wurden. Die Farbreste reichen bis in die Bruchfläche hinein, was besagt, dass es sich um einen alten Bruch handelt. Auf der Rückseite zeigt sich eine Kämmung, die wohl als technisches Detail bei der Herstellung zu werten ist (Taf. 74/5 Mitte; Kap. 3.1.5.3).

Feuerböcke mit einer Längsrille am Rücken sind klassische Vertreter der Urnenfelderzeit.[1452] Erhalten hat sich ein Mittelstück mit weißer Bemalung, das an einer Seitenfläche den Ansatz einer dellenförmigen Eintiefung zeigt (Taf. 22/2; 74/3).

Aus dem untersten Grubenbereich kommt wie in V5005 eine regelrechte Ansammlung von abgesägten Geweihstangenstücken und einem (beschädigten?) Geweihgerät.[1453] Die neun Geweihstangenstücke stammen teilweise von sehr alten Rothirschen (Abb. 123). Ihre Sprossen sind durchwegs abgesägt worden und fehlen. Einige Stücke zeigen auch Hackspuren, auf den Oberflächen zudem Schnitt- und Schälspuren (Taf. 23/3). Die Oberfläche des einzigen Geweihgeräts, eines Zwischenstücks für ein Doppelgerät(?) (Taf. 22/5; 75/1), ist fein geglättet und gleichzeitig mit linearen Feil(?)- sowie Schnittspuren übersät. Alle Geweihstücke sind ungewöhnlich hell.

Die Tierknochenverteilung des Schlachtabfalls von Haus- und Wildtieren[1454] entspricht jener aus der „Zwillingsgrube" V5005. In der oberen Verfüllung fanden sich dagegen nur vereinzelte Haustierknochen.

Im Gegensatz zu V5005 sind die Funde von V5006 kaum sekundär gebrannt.

Archäologische Datierung

Einen Anhaltspunkt für den fortgeschrittenen Ha-B-Abschnitt (Ha B2–3) liefert unter den wenigen chronologisch aussagekräftigen Fundstücken die feinkeramische, s-profilierte Tasse Taf. 24/4. Sie stellt eine kennzeichnende Form der späten Urnenfelderzeit dar.

Naturwissenschaftliche Datierung

^{14}C-Datierung von verkohlten Getreidekörnern: ETH-16500:[1455] 2840 ± 50 BP [1126 (95,5 %) 892 BC, Mw. 1009 BC]

Naturwissenschaftliche Auswertung der Pflanzenreste durch M. Kohler-Schneider[1456]

Die botanische Probe FNr. St. 17078 wurde aus der Grubenmitte in 3 m Tiefe entnommen, ihr Volumen betrug 6 l. Die Zusammensetzung glich jener der Proben aus Grube V5005. Insgesamt wurden 910 Pflanzenreste analysiert, wobei in beiden Gruben (V5005, V5006) die Funddichte durch zahlreiche Holzkohlefragmente herabgesetzt wurde.

Den mit Abstand größten Anteil unter den Kulturpflanzenarten in V5006 stellten Spelzgerste (*Hordeum sativum*, 58 %) und Rispenhirse (*Panicu miliaceum*, 36 %). An Druschresten waren nur Ährengabeln und Hüllspelzenbasen von Einkorn häufig, das als Korn kaum vertreten war (so auch in V5005). Als Besonderheiten können der Schlaf- bzw. Borstenmohn sowie der Leindotter gelten. Miteinander verbackenes, unbestimmbares Getreide war ebenfalls vorhanden. Ob es sich dabei um Speisereste handelt, muss offen bleiben.

Den Hauptanteil der 257 Wildpflanzenreste stellen Ackerunkräuter, wobei zahlenmäßig Wintergetreide-Unkräuter überwiegen, die sich gut mit der Dominanz der Gerste deckt. Es sind aber auch zahlreiche Ackerunkräuter vertreten, die mit der Sommerfruchtart Rispenhirse vergesellschaftet gewesen sind. Die Bestimmung einer Holzkohlen-Stichprobe erbrachte einen weiteren Nachweis von Ulmenholz.

In der Probe fanden sich auch Knochen, zahlreiche Fischreste (Schuppen Wirbel, Gräten) sowie Muschelschalen. Diese Reste bestärken Kohler-Schneider darin, die Probe als (Küchen)Abfallmaterial zu deuten.

Befundinterpretation

Siehe V5005.

Fundkatalog V5006

16898
110–120 cm unter Lfm. 2, Lfm. 2–4
Sign. 20053
Ker, HL, Kn
.1 etwa 20 KerBS (auch LT und jünger?)
.3 HL mit Ruten- u. Holzbrettabdrücken (200 g)
.2 w. Steine (90 g)
KiNr.:1/59083 ,2/59075, 3/59082

16919
110–130 cm unter Lfm. 4
Sign. 20053
Ker, Kn
.1 5 KerBS, auch 1 jüngerer Scherben
.2 Kiesel (30 g)

16985
150–170 cm unter Lfm. 4, im östlichen Bereich
Humus

Alte Verf. 5(?)
Sign. 20053(?)

1451. Wewerka 2001, 45–46, 70 und Taf. 66/3; 268/20; 344/10; usw. (Töpfe mit zylindrischem bis kegelförmigem Gefäßoberteil).

1452. Nagy 1979, 38, 72, 73 und Abb. 36, 37.

1453. FNrn. St. 17058.1 (Sign. 20045–20053), Sign. 20045, 20046: FNrn. St. 17064, 17066.1–2, 17071.2, 17089.1–4.

1454. Rind, Schwein, Schaf/Ziege, Hirsch, Reh, Wolf.

1455. FNr. St. 17078, Kohler-Schneider 2001, 37, 73.

1456. Kohler-Schneider 2001, 73–76.

Ker, HL
.1 3 kl. KerWS
KiNr.: 1/59064

17016
200–220 cm unter HOK
Unterer Bereich Sign. 20053
Ker
.1 HL (100 g)
.2 Kn
- Schaf/Ziege: Femur, Costae
- unbestimmbar (1 Frg.)
KiNr.: 2/59066

17028
0–20 cm unter Planum 4
Lockeres, aschiges Material
Bereich Sign. 20053 (unten), 20052, 20051
Ker, Kn
.1 6 KerBS (auch Keramikbruchmagerung)
.2 Kn
- unbestimmbar (1 ×)
KiNr.: 1/59002, 2/59003, 8/59007

17035
20–40 cm unter Planum 4
Bereich Sign. 20053 (unten), 20052, 20051, 20050
Ker, HL, HK
.1 RS von Topf mit Grifflappen? sek. gebr., Keramikbruchmagerung (Taf. 24/5 u. Abb. 69)
.2 12 kl. KerBS
.3 w. HK
.4 Kn
- Rind: Talus
- Schwein: Zahn
- unbestimmbar (1 Frg.)
KiNr.: 1/59083, 2/59085, 9/59031

17048
0–20 cm unter Planum 2 (4?)
Bereich Sign. 20053 (unten), 20052, 20051(?)
Ker, Kn
.1 11 KerBS
.2 1 HL mit Rutenabdrücken
.3 1 Flussmuschel

17055
270–290 cm unter HOK
Bereich Sign. 20053 (unten), 20052, 20051, 20050, 20049, 20048, 20047 (oben)
Ker, HL, Kn
.1 8 KerBS
.3 HL (100 g)
.2 Kieselsteine (30 g)

17058
290–310 cm unter HOK
Bereich Sign. 20053 (ganz unten), 20049, 20048, 20047, 20046 (oben), 20045 (oben)
Horn
.1 an beiden Seiten abgesägtes Geweihstangenstück mit starken Furchen (Taf. 24/1)
Im Museum Stillfried

17059
290–310 cm unter HOK
Alte Verf. 2, 5! (Gemisch mit V5005!)
Bereich Sign. 20053 (ganz unten), 20049, 20048, 20047, 20046 (oben), 20045 (oben)
Ker, Stein, Kn
.1 WS („Spielstein"?), RS mit Pechanstrich?
.2 12 KerBS
.4 HL (350 g)
.3 Steine (Quarz mit Feuerspuren)
.5 Kn
- Rind: Humerus
- Schaf/Ziege: Humerus
- Schwein: Fibula, Vertebrae
- Reh(?): Mandibel
- unbestimmbar (1 ×)
KiNr.: 1/59030, 2/59025, 3/59029

17060
290–310 cm unter HOK
Bereich Sign. 20053 (ganz unten), 20049, 20048, 20047, 20046 (oben), 20045 (oben)
.1 RS von Tasse (Taf. 24/4)
.2 9 KerBS
.3 Seitenteil von Schüssel (Spätantike)
.5 4 Frg. von gebr. Lehm (von WG? Herdplatte? u. HL; 40 g)
.4 Steine (260 g)

17064
310–335 cm unter HOK
Sign. 20045 bis 20046
Ker, Kn, Horn, bearbeitetes Geweihstück
.2 Feuerbockfrg. mit Rille am Rücken u. Dellenverzierung auf Schaufl., weiße Bemalung (Taf. 22/2; 74/3)
.1 HL mit Brettabdrücken (300 g)
.3 Herdplattenfrg. mit weiß bemalter Oberfl. u. Zierriefen, Kämmung auf Rückseite, weiße Farbreste am Bruch (Taf. 22/3; 74/5)

17066
310–335 cm unter HOK
Sign. 20045 bis 20046
Horn
.1 abgesägtes Stück einer Geweihkrone, starke Beschädigungen bzw. Fehlstellen (Taf. 22/4; 77/1)[1457]
.2 abgesägter Geweihspross (Taf. 23/1)[1458]

17070
335–360 cm unter Lfm. 3,4
Sign. 20045 bis 20046
Ker, Stein, Kn
.1 Sonderform Keramik: BoS von Siebgefäß („Spielstein"? Taf. 22/1; 74/4)
.2 3 KerWS
.3 w. HL
.4 Kn
- Wolf: Scapula
- Hirsch: Geweih mit Bearbeitungsspuren (L. ca. 8 cm)
- Rind: Calvaria
- Schaf/Ziege: Mandibel, Pelvis
KiNr.: 1/59015, 2/59013

17071
335–360 cm unter Lfm. 3,4
Sign. 20045 bis 20046

1457. Verbleib: Museum Stillfried.
1458. Verbleib: Museum Stillfried.

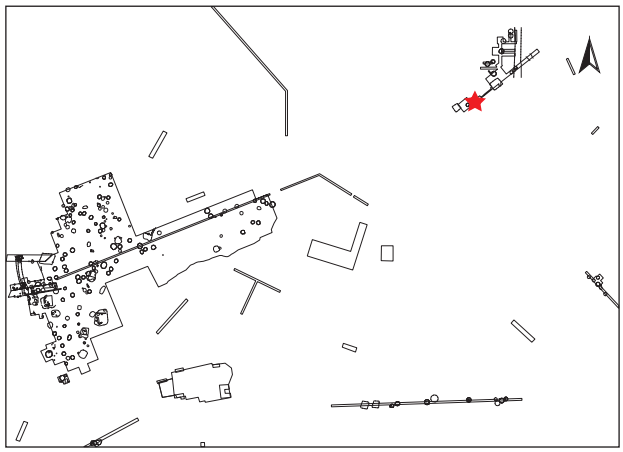
Horn
.1 Geweihzwischenstück für Doppelgerät? Hackspuren an allen drei Enden, Oberfl. geglättet mit Schnittspuren, zeigt parallele Reihen von kurzen Einschnitten (von Feilung zur Oberflächenbehandlung?), linke Seitenkante möglicherweise ausgebrochen, Spongiosa spröde u. teils verloren (Taf. 22/5; 75/1)[1459]
.2 vorderer Stangenteil eines Achtenders mit abgesägten Enden, Schnittfläche mit Säge- u. Hackspuren; Hack- u. Schnittspuren an der Oberfl. (Taf. 23/4; 75/2)[1460]

17078
290–310 cm unter HOK
Bereich Sign. 20053 (ganz unten), 20049, 20048, 20047, 20046 (oben), 20045 (oben)
S
. 1 archäobotanische Probe (^{14}C-Probe verkohlter Getreidekörner)

17089
330 cm unter HOK
Sign. 20045 bis 20046
Ker, Kn, Horn
- abgeschnittenes Geweihstück
.1 abgesägter, vorderer Teil von Rothirschgeweihstange von altem/mächtigem Tier (Taf. 24/2; 76/1)[1461]
.2 abgesägtes Geweihstück (Taf. 23/2; 76/3)[1462]
.3 schädelechtes Geweihstangenstück mit Rosenstock; Augspross u. Stange abgesägt (Taf. 24/3; 76/2)[1463]
.4 abgesägter Geweihstangenabschnitt, Sägespuren an der Schnittfläche in unterschiedl. Richtungen; an der Oberfl. Spuren von Schälung mit Messer in Längsrichtung (Taf. 23/3; 74/6)[1464]

Objekt V5009 – Kegelstumpfförmige Grube

Lage	Wagneracker Schnitt 1 (S/1) bei Lfm. 41–43
alte Objektnr.	o. Nr.
Literatur	
Interfaces	
Signaturen	20006–20010



Profile/Schnitte

Plannr.	alte Verf.	Hauptprofil		Schnitt	
		Orientierung	Lage/Quadrant	Bezeichnung	unter DOKN
WA 16/1986 (Abb. 414, 415)	o. Nr.	Nordprofil	S/1		HOK

Stratigraphie V5009

Von Objekt V5009 ist nur mehr der unterste Teil erhalten, welcher ungestört erscheint (Abb. 414, 415). Etwa 3 m westlich befindet sich die kegelstumpfförmige Grube V5001 (Abb. 14). Obwohl sich die Ausmaße von V5009 nur mehr annäherungsweise ermitteln lassen, könnten die beiden Gruben in etwa gleich tief gewesen sein (max. rek. Grubentiefe jeweils 190 cm).

Grubenform

Wandverlauf	Sohlenverlauf	Übergang Sohle – Wand	primäre Nutzungsspuren	Auffälligkeiten
steilkonisch	waagrecht	gerundet	(verkohlte) Überreste der Einfüllung(?)	niedrige Stufung der östlichen Grubensohlenhälfte (T. 6 cm)

1459. Verbleib: Museum Stillfried.
1460. Verbleib: Museum Stillfried.
1461. Verbleib: Museum Stillfried.
1462. Verbleib: Museum Stillfried.
1463. Verbleib: Museum Stillfried.
1464. Verbleib: Museum Stillfried.



Abb. 414: V5009, „Wagneracker“: Nordprofil des Schnittes 1 bei Lfm. 41 bis 43 mit V5009 (Grabungsdokumentation Stillfried, Landessammlung Niederösterreich, Bereich Ur- und Frühgeschichte, Fotonr. ST03549).

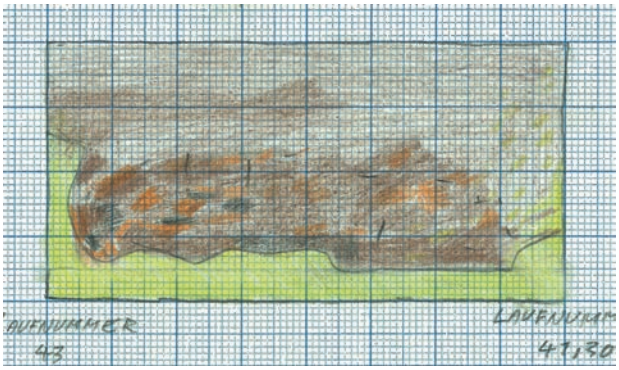


Abb. 415: V5009, „Wagneracker“: Nordprofil des Schnittes 1 bei Lfm. 41 bis 43 mit V5009. Die kleine Stufe in der Grubensohle ist gut erkennbar (Zeichnung: M. Seelos, Universität Wien, Plannr. WA 16/1986).

Größe und Fassungsvermögen V5009

min. Dm. (d): Bereich Sign. 20010	115 cm
max. Dm. (D): Grubensohle[1465]	144 cm
max. erh. Grubentiefe (h)	78 cm
max. rek. Grubentiefe (unter HOK)	190 cm
erh. rek. Fassungsraum der Grube	1,03 m³
rek. Fassungsraum der Grube	1,51 m³
archäolog. Datierung	Ha B
Zuordnung zu Siedlungsphase	II oder III/1

Beschreibung V5009

Der Umriss der Grube ist im Planum nicht dokumentiert. Die Wände verlaufen vermutlich steil trapezförmig, die Sohle ist waagrecht und besitzt in der Osthälfte eine schwache, stufenartige Vertiefung (Abb. 414–416). Auf der Stufe ist schüttkegelartig braun-humoses Material (Sign. 20006 und 20007) sowie eine schwarze Ascheschicht (Sign. 20008) vorhanden. Darüber wurde Brandschutt, bestehend hauptsächlich aus Hüttenlehmbrocken, eingefüllt (Sign. 20009; Abb. 414). Der oberhalb befindliche Humus (Sign. 20010) beinhaltet kaum Funde und ist vom umgebenden Humus nur schwer abgrenzbar.

1465. Es ist unklar, ob die Grube mittig oder nur randlich geschnitten wurde.

Schichtabfolge V5009

Lage in der Grube	Sign.	Kurzbeschreibung	besondere Funde	Höhe ab Sohle in cm
direkt auf der Grubensohle				
dezentrale Einfüllung	20006	dunkelbraun-humoses Material, Reste der ursprünglichen, organischen Einfüllung?	pyramidenstumpfförm. Webgewichtteilstück	0–2
	20007	braun-humoser Schüttkegel auf Sign. 20006, fundarm		2–7
	20008	schwarz-aschiges Material, mit Holzkohle durchsetzt, über die gesamte Grubensohle		0–9
„Deponierungshorizont“				
schwacher Schüttkegel, keine Deponierung	20009	rot-braunes, lehmiges Brandschuttmaterial, fundreich		2–42
oberer Grubenbereich	20010	einheitliche, braun-humose Verfüllung		17–78

Schichtbeschreibung (Sign.) V5009

Sign.	Schichtschlüssel	Beschreibung	auf Plan	zugeordnete Fundnummern	besondere Funde
20006	4	dunkelbraun-humoses Material; ca. 2 cm mächtig	WA 16/1986	16078	
20007	9	braun-humoses Material als flacher Schüttkegel im Westteil der Grube; ca. 5 cm hoch	WA 16/1986	16078	
20008	1	schwarz-aschige Strate mit Holzkohleflittern durchsetzt, ca. 2 cm mächtig	WA 16/1986	16078	
20009	2	rot-braune, lehmige Brandschuttschicht mit zahlreichen Hüttenlehmbrocken; 30–38 cm mächtig	WA 16/1986	16078	
20010	9	einheitliches, braun-humoses Material mit vereinzelten, wenigen, kleinen Hüttenlehmbröckchen; kaum vom umgebenden Humus zu trennen; max. 60 cm mächtig erhalten	WA 16/1986	16078	
		keine genaue Zuordnung		16078	**pyramidenstumpfförm. Webgewichtteilstück** (St. 16078.1; Taf. 25/3; 77/3)

Funde V5009

Die meisten Funde stammen aus der mächtigen Brandschuttlage Sign. 20009. Sie weisen großteils sekundäre Feuereinwirkung auf, wie der große Topf mit s-profiliertem Oberteil (Taf. 25/2)[1466] und die großen Hüttenlehmbrocken mit Rutenabdrücken auf den Rückseiten (Taf. 77/4). Auch der Oberteil eines pyramidenstumpfförmigen Webgewichtes mit etwas schräger Lochung (Taf. 25/3; 77/3) ist hier zu nennen. Sehr wahrscheinlich handelt es sich um einen Teil eines Hausbrandschuttes.

Der bemerkenswerteste Fund aus dieser Grube ist eine fein polierte, große Henkelschale, die in Fragmenten vorliegt (Taf. 25/1; 77/2) und im Gegensatz zu den übrigen Funden nicht mit Schadfeuer in Berührung kam.

Archäologische Datierung

Die wenigen Keramikfunde erlauben eine Datierung in die späte Urnenfelderzeit (Ha B2–3).

Befundinterpretation

Der untere Grubenbereich wird von Hausbrandschutt (bzw. einer Mischung von Brandschutt und humoser Erde) bestimmt (Sign. 20009). V5009 liegt in Tuchfühlung zu V5001, welche durch eine besonders mächtige Brandschutteinfüllung im unteren Grubenbereich hervorsticht. So ergeben beide Gruben mit ihren zuunterst liegenden, mächtigen Brandschuttschichten, jeweils abgedeckt von humos-lehmiger Verfüllung, einen sehr ähnlichen Befund. Für das

1466. Entspricht der Gefäßform Topf 2 Typ A (Form mit kurzer, durchschwingender Halsbildung) nach Hellerschmid 2006, 216.

Einbringen des Brandschutts in vorliegende Grube wird, ähnlich wie für V5001, eine profane und eine mögliche kultische Deutung vorgeschlagen (siehe Kap. 7.1).

Fundkatalog V5009

16041
Planum 1; 110 cm über bis 130 cm unter FPO, Einebnen des Planums, Lfm. 28,5 bis 43,6
Zuordnung möglich zu V5009
KiNr.: 8/56009

16078
Planum 1; 220–80 cm über FPO, Lfm. 41,3 bis 43
Sign. 20006 bis 20010
Ker, Kn, HL
.1 WG (Frg.), (sek.) gebr.? (Taf. 25/3; 77/3)
.2 Henkelschale, poliert (Taf. 25/1; 77/2)
.3 BS von Topf, sek. gebr. (Taf. 25/2)
.4 KerBS
.5 HL, größere Stücke, 2600 g (Taf. 77/4)
KiNr.: 1/56021, 1/56024, 2/56023, 12/56001

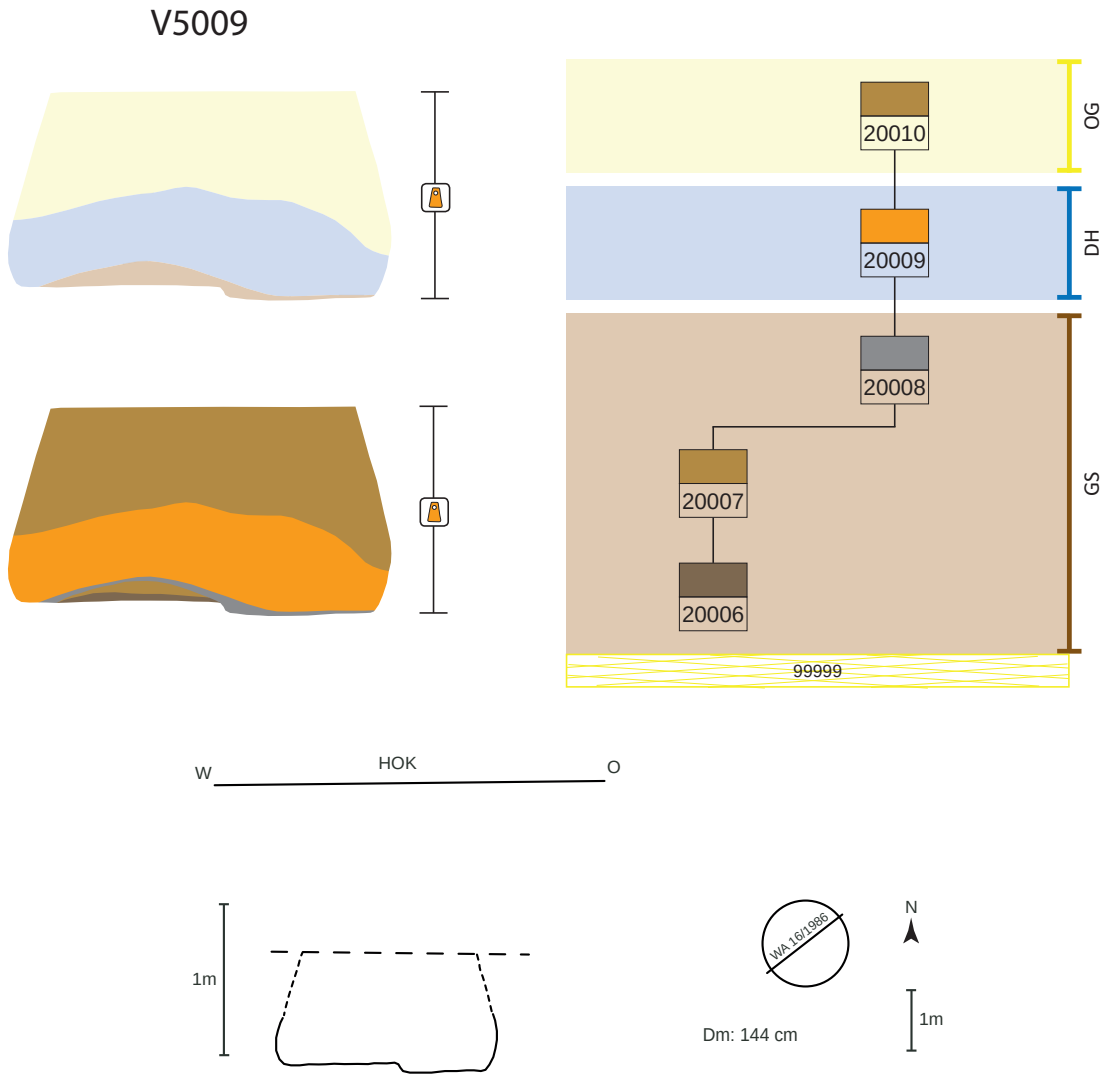
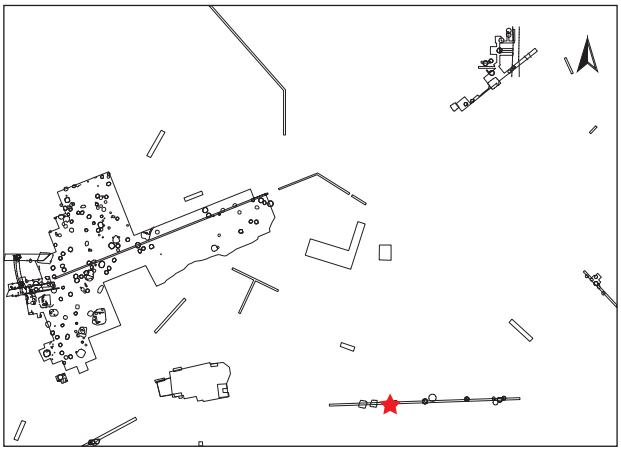


Abb 416: V5009, schematische Darstellung, Schnitt und Lage des Schnittes im Planum.

10.1.3 Grabungsfläche „Bügeleisen“

Objekt V5200 – Kegelstumpfförmige Grube

Lage	Bügeleisen Süd-Schnitt, Lfm. 30,70–33
alte Objektnr.	Verf. 39
Literatur	
Interfaces	
Signaturen (Schichtnrn.)	21000–21001



Dokumentationsniveaus/Plana

Plannr.	Planum	alte Verf.	Lage/Quadrant	vertikale Einmessung		
				Ausgangspunkt	relative Tiefe	absolute Höhe in müA
BE 42/1977	Planum 3	39	Süd-Erweiterung	Lfm. 32,60	-105 cm	?
BE 42/1977	Planum 4	39	Süd-Erweiterung	Lfm. 32,60	-116 cm	?
BE 41/1977	Planum 5	39	Süd-Erweiterung	Lfm. 31	-175 cm	?

Profile/Schnitte

Plannr.	alte Verf.	Hauptprofil		Schnitt	
		Orientierung	Lage/Quadrant	Bezeichnung	unter DOKN
BE 21/1977 (Abb. 417)	39	Südprofil	BE-Süd		HOK

Stratigraphie V5200

Objekt V5200 wird von einer römerzeitlichen Grube im oberen Bereich gekappt (V5235; Abb. 417). Außerdem stört im nördlichen Teil ein mittelalterlicher Erdstall (V5236) Grube V5200.[1467]

Grubenform

Wandverlauf	Sohlenverlauf	Übergang Sohle – Wand	primäre Nutzungsspuren
flachkonische Wand	nach außen gewölbte Grubensohle	eckig-scharfkantig, schwach angehoben	

1467. Grabungsplan BE 42/1977.

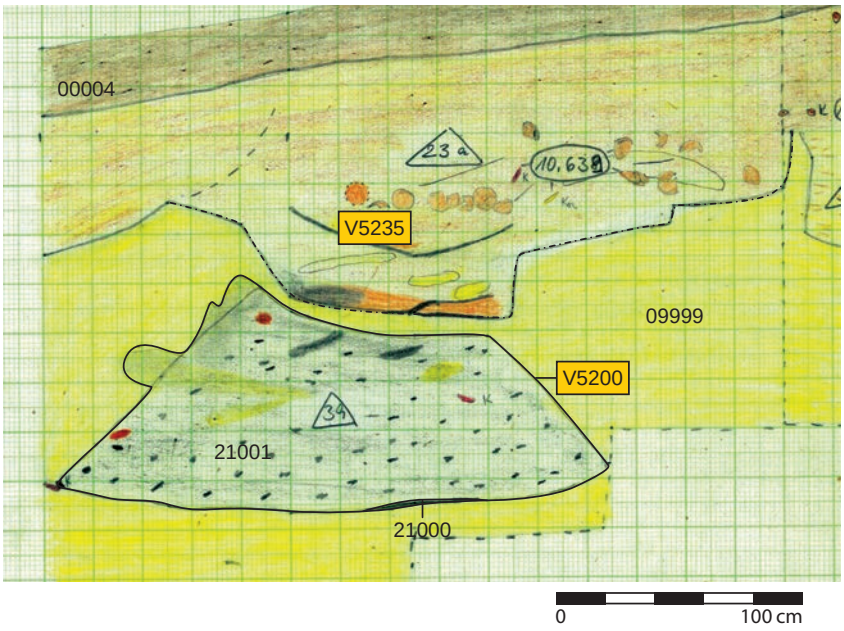


Abb. 417: V5200: Südprofil des „Bügeleisen"-Schnitts mit V5200 (Zeichnung: W. Weiser, Universität Wien, Plannr. BE 21/1977).

Größe und Fassungsvermögen V5200

min. Dm. (d): Bereich Sign. 21001	ca. 85 cm
max. Dm. (D): Grubensohle	ca. 240 cm
max. erh. Grubentiefe (h)	90 cm
max. rek. Grubentiefe	135 cm
erh. rek. Fassungsraum der Grube	2,55 m³
archäolog. Datierung	HaB

Beschreibung V5200

Form im Planum annähernd kreisförmig erhalten, mit einem maximalen Durchmesser an der Sohle von 240 cm. Die Wände verlaufen in flachem, konischem Winkel und gehen im spitzen Winkel scharfkantig in die konisch-ausladende Sohle über (Abb. 417). Auf der Grubensohle lagert ein dünnes Band von schwarzem, aschigem Material, das stark mit Holzkohle durchsetzt ist. Darüber ist graues, lockeres Aschematerial eingebracht, das nur wenige Kleinfunde wie Keramik und Knochen enthält. Ob die Grube im oberen Bereich mit anderem Material verfüllt wurde, oder ob das Aschematerial den gesamten Raum einnahm, ist unbekannt, da das Objekt 90 cm über der Sohle gekappt wurde.

Schichtabfolge V5200

Lage in der Grube	Sign.	Beschreibung	Kurzbeschreibung	besondere Funde	Höhe ab Sohle in cm
direkt auf der Grubensohle					
annähernd zentrales Häufchen	21000	schwarzes, aschiges Material, stark mit Holzkohle durchsetzt	Holzkohleschicht, fundarm		0–3(?)
oberer Grubenbereich	21001	lockere, aschige Verfüllung, mit wenigen Kleinfunden durchsetzt	Asche, eher fundarm	Tondüse; Tonrassel	0–90(?)

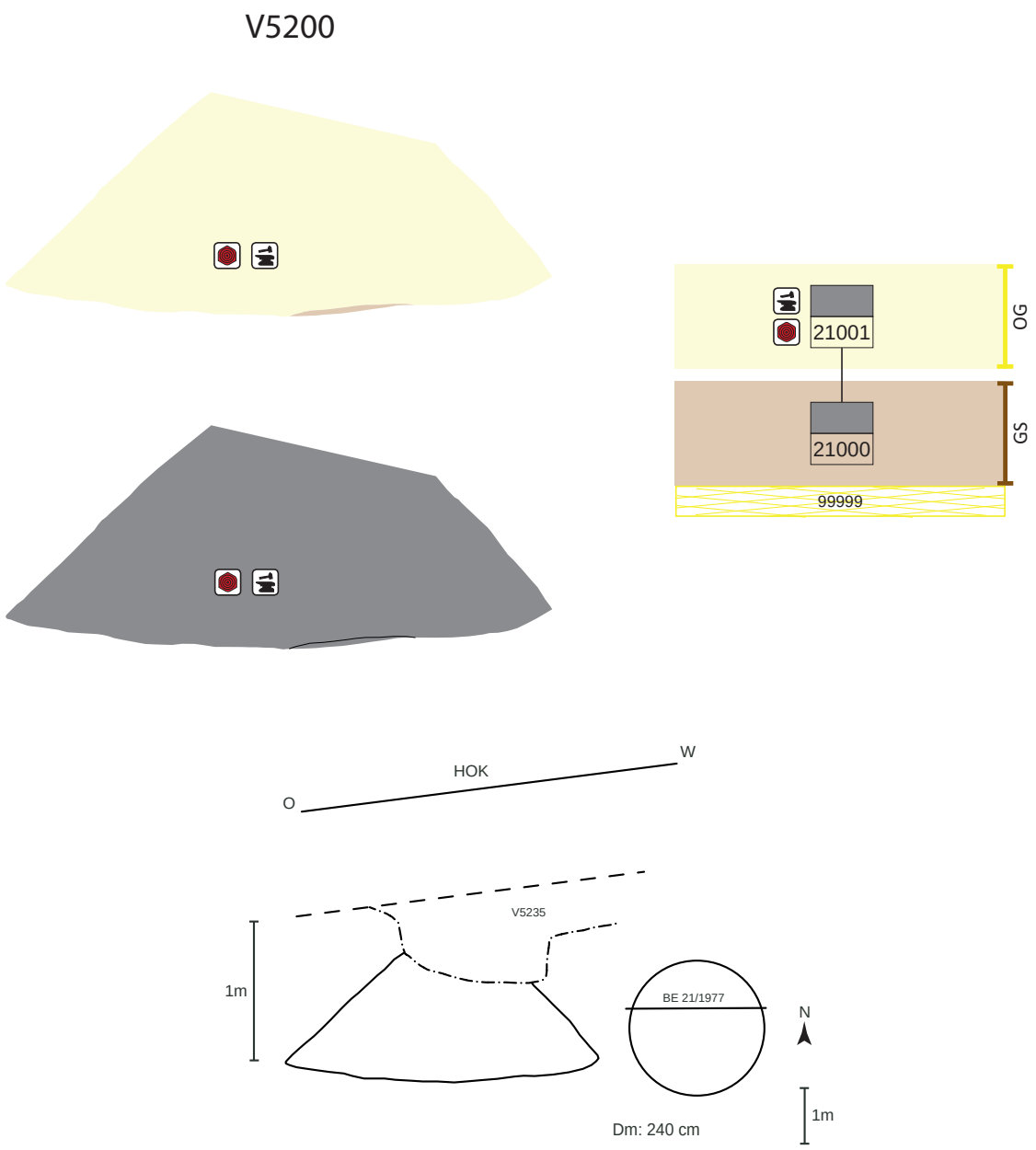


Abb. 418: V5200, schematische Darstellung, Schnitt und Lage des Schnittes im Planum.

Schichtbeschreibung (Sign.) V5200

Sign.	Schicht-schlüssel	Beschreibung	auf Plan	zugeordnete Fundnummern	besondere Funde
21000	1	schwarze, aschige Schicht mit viel Holzkohle(?); ca. 3 cm mächtig; in westlicher Grubenhälfte (Mächtigkeit und Lage kann nicht sicher festgestellt werden, da die Grube nicht mittig geschnitten wurde!)	BE 21, 41(?)/1977		
21001	1	lockere, graue Flugasche mit wenigen kleinen Lößlinsen sowie vereinzelten kleinen Keramikstücken, Hüttenlehm und Knochen; mind. 90 cm mächtig erhalten	BE 21, 41/1977	10510, 10511(?), 10512, 10526(?), 10539(?), 10561, 10579, 10641, 10742(?), 10827, 10828, 10830?, 10840, 10842, 10843, 10844	**verzierte Tondüse** (St. 10512.1; Taf. 26/4; 78/1); **umgeformte Tonrassel** (St. 10843.1; Taf. 78/2); BS, evtl. sekundär als Schaber/Glätter zugerichtet (St. 10830.5; Abb. 79)

Funde V5200

Die Grube enthielt nur wenige Funde, die allesamt in der locker-aschigen Verfüllung (Sign. 21001) verstreut eingebettet waren. Die Keramikbruchstücke, die in keinem Fall zu größeren Gefäßteilen zusammengesetzt werden können, stellen gewöhnlichen Haushaltsabfall dar (Taf. 26/1–3, 5). Als Verzierungen können Fingertupfenleisten, Ritzlinien, Rillen und Dellen beobachtet werden. Einige Stücke weisen sekundäre Brandspuren auf. Ein Tondüsenfragment (Taf. 26/4; 78/1) ist mit achsial angebrachten Fingerkerbleisten verziert und durch Sekundärbrand verformt. Solcherart verzierte Tondüsen sind in Stillfried gut bekannt.[1468] Flächig mit Ritzlinien verziert war jene Tonrassel mit hohem, langschmalem Griff und Tierkopfende, die nachträglich künstlich eingekürzt wurde und sich so als eine Art Stempel mit halbkugeligem Körper in diesem Objekt fand (Taf. 78/2).

Hier anzureihen ist wahrscheinlich auch jenes trapezförmige Boden-/Wandbruchstück eines Gefäßes (Topfes? Abb. 79), dessen Bruchkanten von retuschenartigen Zurichtungsspuren übersät sind. Diese machen eine absichtsvolle Umgestaltung zwecks Nachnutzung als Spatel oder Glätter wahrscheinlich.

Archäologische Datierung

Die wenigen Fundstücke sind chronologisch kaum aussagekräftig und können nur allgemein nach Ha B gestellt werden.

Befundinterpretation

Bei V5200 handelt es sich um eine ehemalige (Getreide)Speichergrube. Aufgrund der einheitlichen Verfüllung mit locker-aschigem Material ist davon auszugehen, dass die Grube entweder in einem Zug zugeschüttet oder kontinuierlich befüllt wurde. Der hohe Ascheanteil spricht dafür, dass die Grube abschließend als Aschengrube diente. Die darin eingebetteten Funde stellen größtenteils gewöhnlichen Siedlungsabfall dar. Ausnahmen sind eine sekundär verwendete Tonrassel mit Tierkopf sowie ein Tondüsenbruchstück als Metallhandwerkszubehör.

Fundkatalog V5200

10510
Bügeleisen-Süd; Lfm. 31,7 bis 32,3; 120–160 cm unter HOK/Lfm. 32
Asche
Sign. 21001
Ker
.1 7 RWS von Henkelschale

10511
Bügeleisen-Süd; Lfm. 30 – 36 (sic); 120–160 cm unter HOK/Lfm. 34
Keine genaueren Angaben, Teile können u. a. aus V5200 und V5201 stammen
Sign. 21001(?)
Ker, Kn, Stein
.1 20 KerBS
.2 RS Topf (Taf. 27/1)
.3 WS von gr. Vorratsgefäß (Taf. 26/5)

10512
Bügeleisen-Süd; Lfm 30,2 bis 31; 120–140 cm unter HOK/Lfm. 31
Sign. 21001
Ker, Kn
.2 25 KerBS von Haushaltsware
.1 Frg. von Tondüse (Taf. 26/4; 78/1)

10526
Bügeleisen-Süd; Lfm. 32 bis 34; 130–160 cm unter HOK/Lfm. 34
(Bereich reicht bis V5001 – Durchmischung beider Gruben möglich)
Sign. 21001(?)
Ker, Kn, Mollusken
(Verbleib?)

10539
Bügeleisen-Süd; Lfm. 30 bis 31,5; 195–205 cm unter HOK/Lfm. 31
Sign. 21001(?)
Ker, Stein, HL
.1 w. HL

10561
Bügeleisen-Süd; Lfm. 32 bis 33; 150–170 cm unter HOK/Lfm. 34
Alte Verf. 3(?) – wohl 39
Sign. 21001
Ker, Kn, HL
.1 w. HL

1468. Nachweise in den Gruben V119 und V198 vom „Hügelfeld", siehe Taf 36/3–4. – Penz 2006, Taf. 9/1–2.

10579
Bügeleisen-Süd; Lfm. 30,8 bis 31,3; 225–245 cm unter HOK/Lfm. 34
Sign. 21001
Ker, Kn
.1 RS von Einzugsrandschale (Taf. 26/1)
.2 w. KerBS

10641
Bügeleisen-Süd; Südprofil (nicht auf Plan vermerkt)
Alte Verf. 39
Sign. 21001
Ker, Kn, HL
(Verbleib?)

10742
Bügeleisen-Süd; Lfm. 26 bis 32; allgemeiner Aushub, evtl. Teile zu V5200
Sign. 21001(?)
Ker
(Verbleib?)

10827
Bügeleisen-Süd; Süderweiterung; wahrscheinlich ebenfalls wie 10828 aus V5200
Aschige Verfüllung
Sign. 21001
Ker, HL
.1 w. gebr. Lehmklumpen

10828
Bügeleisen-Süd; Lfm. 32; 125 cm unter HOK
Aschige Verfüllung
Sign. 21001
Ker
.1 WS von KHG (Taf. 26/3)

10830
Bügeleisen-Süd; Süderweiterung, 110–115 cm unter HOK
Aschig-humose Verfüllung
Teile möglich zu Sign. 21001 (Vermischung wohl mit V5235)
Ker, Kn
.1 WS mit waagr. Rillen
.2 WS von Schulter mit umlaufenden, waagr. Rillen, darüber Dellen (Taf. 26/2)
.3 RS mit Knubbenleiste
.4 BS von feiner Schale
.5 BS, evtl. sek. als Schaber/Glätter zugerichtet (Abb. 79)

10840
Bügeleisen-Süd; Süderweiterung; 90 cm nach Süden; 160 cm unter HOK
Aschig humose Verfüllung
Sign. 21001
Ker
(Verbleib?)

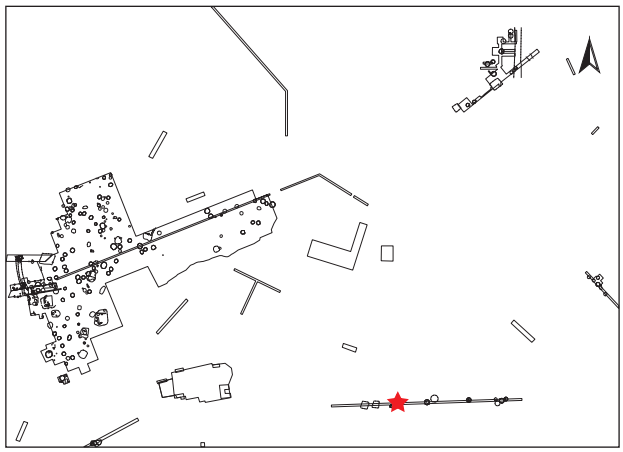
10842
Bügeleisen-Süd; Süderweiterung; 0 bis 80 cm nach Süden, 120–140 cm unter HOK
Sign. 21001
Ker, Kn
(Verbleib?)

10843
Bügeleisen-Süd; Süderweiterung; 85 cm nach Süden, 190 cm unter HOK
Sign. 21001
Ker
.1 Tonrassel (oberer Teil), sek. evtl. als Stempel verwendet[1469] (Taf. 78/2)

10844
Bügeleisen-Süd; 85–130 cm nach Süden (Süderweiterung), 120–220 cm unter HOK
Sign. 21001
Ker, Kn
(Verbleib?)

Objekt V5201 – Kegelstumpfförmige Grube

Lage	Bügeleisen Süd-Schnitt, Lfm. 33,30–35,60
alte Objektnr.	Verf. 29
Literatur	
Interfaces	
Signaturen (Schichtnrn.)	21002–21008



1469. Verbleib: Museum Stillfried.

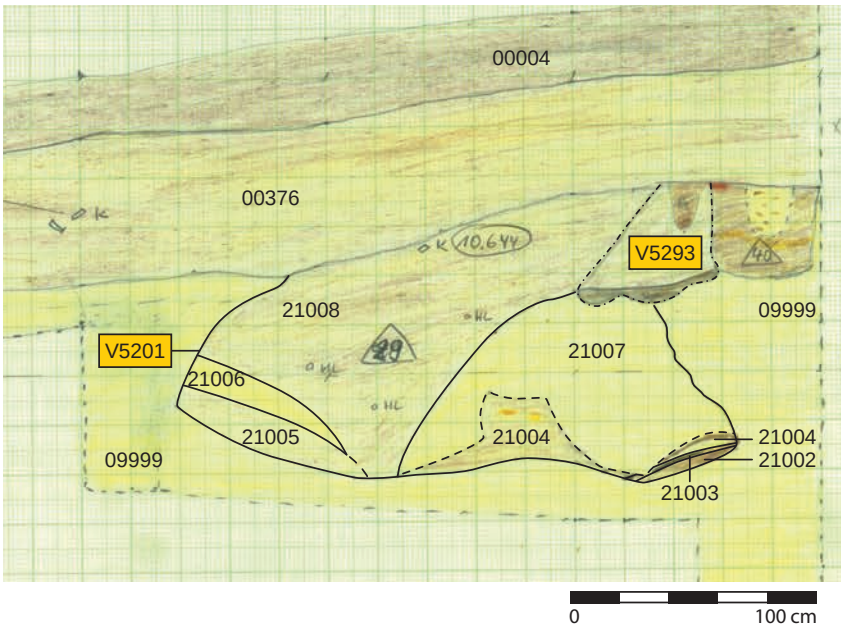


Abb. 419: V5201: Südprofil des „Bügeleisen"-Schnitts mit V5201 (Zeichnung: W. Weiser, Universität Wien, Plannr. BE 22/1977).

Profile/Schnitte

Plannr.	alte Verf.	Hauptprofil		Schnitt	
		Orientierung	Lage/Quadrant	Bezeichnung	unter DOKN
BE 14/1977	29	Nordprofil	BE-Süd		HOK
BE 22/1977 (Abb. 419)	29	Südprofil	BE-Süd		HOK

Stratigraphie V5201

Das Objekt V5201 wird im Süden und Westen durch eine Grube unbekannten Alters (V5293) gestört (Abb. 419).

Grubenform

Wandverlauf	Sohlenverlauf	Übergang Sohle – Wand	primäre Nutzungsspuren	Auffälligkeiten
stellenweise nach außen oder leicht nach innen gewölbte, konische bis flachkonische Wand	unebener, nach außen gewölbter Verlauf	eckig-scharfkantig und angehoben	(verkohlte) Überreste der Einfüllung(?) (Sign. 21002)	eingebrochene Grubenwandteile aus der oberen Grubenhälfte, welche auf den untersten Grubenbereich stürzten (α)

Größe und Fassungsvermögen V5201

min. Dm. (d): Bereich Sign. 21008	130 cm
max. Dm. (D): Grubensohle	228 cm
max. erh. Grubentiefe (h)	120 cm
max. rek. Grubentiefe	170 cm
erh. rek. Fassungsraum der Grube	3,09 m³
rek. Fassungsraum der Grube	3,43 m³
archäolog. Datierung	Ha B
^{14}C-Datierung	Poz-99235: 1640 ± 30 BP [336 (95,4 %) 535 AD, Mw. 435 AD]

Beschreibung V5201

Die Wände verlaufen unregelmäßig trapezförmig mit flachkonischem Winkel und sind leicht ausbauchend bis einziehend. Der Übergang zur Sohle ist spitz (Abb. 419). Die Sohle ist ebenfalls unregelmäßig ausladend gewölbt und randlich angehoben. Am Westrand der Grube ist ein kleiner Haufen dunkelbraun-humosen Materials (Sign. 21002), der vielleicht Rest einer primären Einfüllung ist, die in die Ecke gekehrt worden ist. Ebenfalls am Westrand lagert schwarzes Aschematerial mit Holzkohle (Sign. 21003). Darüber befindet sich braun-humoses, mit Löß durchsetztes Gemisch (Sign. 21004), dessen Mächtigkeit und Ausmaß aufgrund des darüber verstürzten Lößkeils (Sign. 21007) nicht zu erkennen ist. Am Ostrand der Grube ist auf der Sohle ebenfalls ein Humus-Löß-Gemisch (Sign. 21005) sowie darüber eine Lößschicht (Sign. 21006) eingebracht. Nach oben ist V5201 mit Schichten aus braun-humosem, grau-aschigem Material sowie Lößschichten verfüllt, die aufgrund des großen Lößkeils von Westen nach Osten abfallen (Sign. 21008).

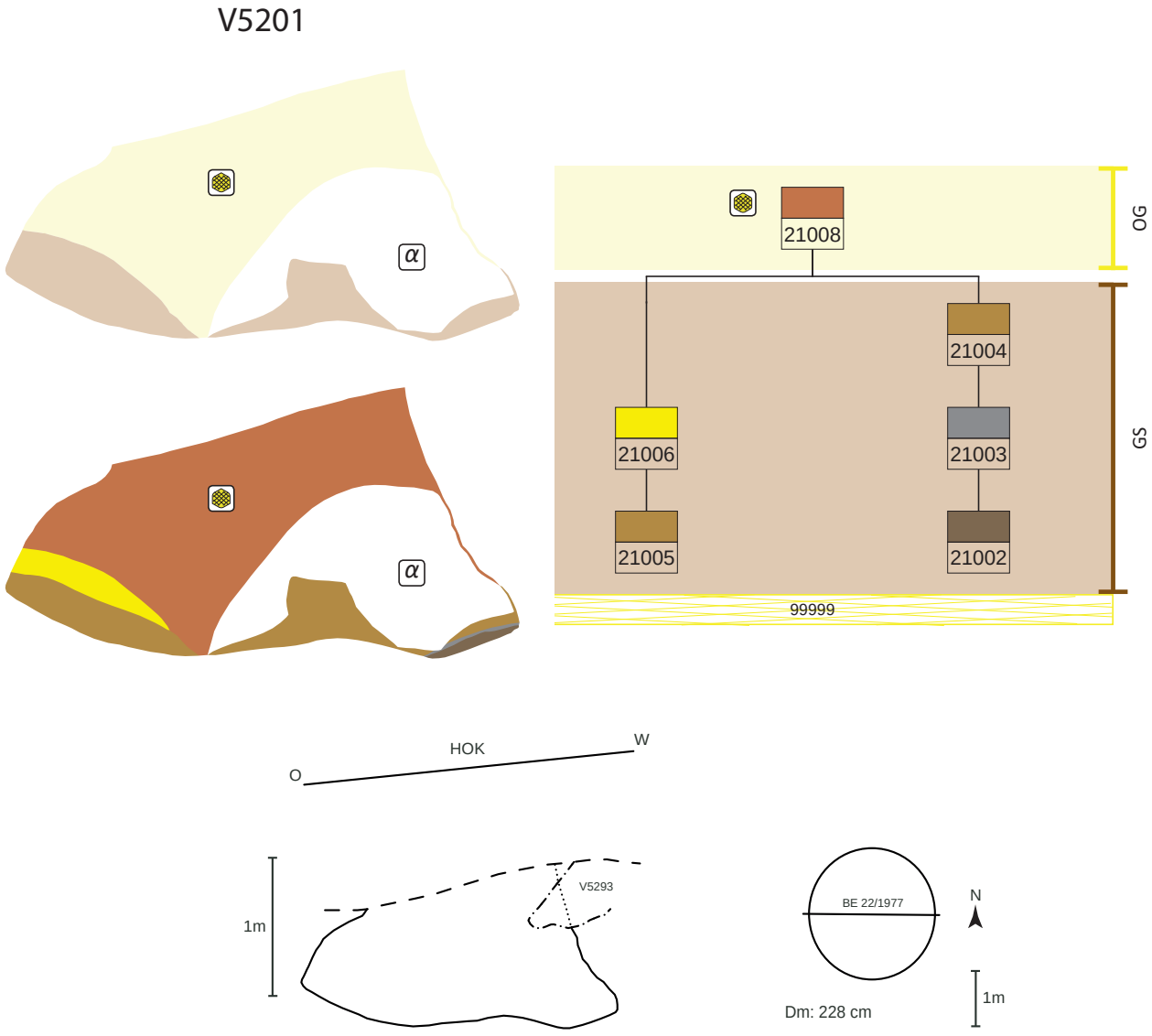


Abb. 420: V5201, schematische Darstellung, Schnitt und Lage des Schnittes im Planum.

Schichtabfolge V5201

Lage in der Grube	Sign.	Beschreibung	Kurzbeschreibung	besondere Funde	Höhe ab Sohle in cm
primäre Nutzungsphase?	21002	dunkelbraun-humoses Material am Westrand	Humus (evtl. Reste primärer Einfüllung), fundarm		0–6
direkt auf der Grubensohle					
	21003	schwarze Ascheschicht mit viel Holzkohle	Asche mit Holzkohle, fundarm		0–7
	21004	braun-humos bis gelb-lößverflocktes Material	Humus-Löß-Gemisch, fundarm		0–30
	21005	braun-humoses, gelb-löß-verflocktes Material	Humus-Löß-Gemisch, fundarm		0–15
	21006	gelber Löß	Löß, fundarm		15–29
oberer Grubenbereich					
verstürzte Wandteile (α)	21007α	verstürzter Lößkeil	reiner Löß		1–70
	21008	mehrere Schichten braun-humosen, grau-aschigen Materials sowie gelber Löß, darin einige Kleinfunde	Humus-Asche-Löß-Schichten, eher fundarm	durchbohrter Eberzahn	ab 0

Schichtbeschreibung (Sign.) V5201

Sign.	Schicht-schlüssel	Beschreibung	auf Plan	zugeordnete Fundnummern	besondere Funde
21002	4	dunkelbraun-humoses Material; im Westen am Grubenrand als kleines Häufchen von 40 cm Länge und 6 cm Höhe (Abb. 419)	BE 22/1977		
		Grubensohlenbereich?		10578(?)	
21003	1	schwarze, aschige Schicht im Westen der Grube, stark mit Holzkohle durchsetzt; ca. 2 cm mächtig (Abb. 419)	BE 22/1977		
21004	9	braun-humoses, teils lößverflocktes Material (Abb. 419)	BE 22/1977		
21005	9	braun-humoses, mit Löß durchsetztes Material im Osten der Grube auf der Sohle; ca. 15 cm mächtig (Abb. 419)	BE 22/1977		
21006	3	gelb-lehmige Lößeinfüllung im Osten der Grube; ca. 12 cm mächtig (Abb. 419)	BE 22/1977		
21007	α	mächtiger Lößkeil mit einem Ausmaß von 135 × 80 cm; wohl ursprünglich Teil der (oberen) Grubenwand (Abb. 419)	BE 22/1977		
		Sign. 21008 (unten) bis 21005 und 21004		10562	
21008	17	mehrere braun-humose, grau-aschige sowie gelbe Lößschichten, die von Westen nach Osten abfallen, mit einigen Kleinfunden (Abb. 419)	BE 14(?), 22/1977	10370, 10509, 10511, 10525, 10526(?), 10643(?), 10644	**durchbohrter Eberzahn** (St. 10370.2; Taf. 27/2; 78/3)

Funde V5201

Die Grube enthielt sehr wenige Funde, die gewöhnlichen Siedlungsabfall repräsentieren. Die Gefäßfragmente kamen bereits in zerscherbtem Zustand in die Grube und konnten in keinem Fall zu größeren Partien zusammengesetzt werden (Taf. 27/1). Bei den Tierknochen handelt es sich um Schlachtabfälle. Neben Rind und Schwein sind auch Hundeknochen nachweisbar. Im obersten Grubenbereich fand sich das Bruchstück eines durchbohrten Eberzahnes (Taf. 27/2; 78/3).

Archäologische Datierung

Die wenigen Fundstücke sind chronologisch kaum aussagekräftig und können nur allgemein nach Ha B gestellt werden.

Naturwissenschaftliche Datierung

Aus dem Fundposten St. 10562.1 wurde an einem Tierknochen eine ^{14}C-Datierung durchgeführt: Poz-99235: 1640 ± 30 BP [336 (95,4 %) 535 AD, Mw. 435 AD].

Die Funde aus V5201 liegen zwar in geringer Anzahl vor, weisen allerdings auf eine urgeschichtliche Machart hin. Römerzeitliche Keramik kann dagegen nicht festgestellt werden. Das ^{14}C-Ergebnis ist möglicherweise einem Fehler bei der Fundverwaltung geschuldet.

Befundinterpretation

Bei V5201 handelt es sich um eine ehemalige (Getreide-)Speichergrube. In die kaum verfüllte Grube fiel ein großer Lößbrocken, der vermutlich aus dem Halsbereich der Grube stammt. Dieser könnte der Grund gewesen sein, weshalb die Grube unbrauchbar und aufgegeben wurde. Das anschließend eingefüllte Material enthielt wenig Siedlungsabfall.

Fundkatalog V5201

10370
Bügeleisen-Süd; Lfm. 34 bis 36; 50–70 cm unter HOK/Lfm. 34
Sign. 21008 (ganz oben)
.1 KerBS (130 g)
.2 durchbohrter Eberzahn[1470] (Taf. 27/2; 78/3)

10509
Bügeleisen-Süd; Lfm. 34 bis 36; 120–140 cm unter HOK/Lfm. 34
Sign. 21008
Ker, Kn, HL
.1 WS von grobem Gefäß, sek. als „Spielstein" verwendet?

10511
Bügeleisen-Süd; Lfm. 30 bis 36; 120–160 cm unter HOK/Lfm. 34
Keine genaueren Angaben, Teile können u. a. aus V5200 und V5201 stammen
Sign. 21008, evtl. auch bis 21005 (oben) und 21004 (oben)
Ker, Kn, Stein
.1 20 KerBS
.2 RS von Topf (Taf. 27/1)
.3 WS von gr. Vorratsgefäß (Taf. 26/5)

10525
Bügeleisen-Süd; Lfm. 34 bis 36; 130–160 cm unter HOK/Lfm. 34
Sign. 21008, evtl. auch bis 21005 (oben) und 21004 (oben)
Ker, Kn
.1 w. KerBS

10526
Bügeleisen-Süd; Lfm. 32 bis 34; 130–160 cm unter HOK/Lfm. 34 (Bereich reicht bis V5000 -> Durchmischung beider Gruben möglich)
Sign. 21008(?), evtl. auch bis 21005 (oben) und 21004 (oben)
Ker, Kn, Mollusken
.1 WS von Drehscheibenware

10562
„Bügeleisen"-Süd; Lfm. 35 bis 36; 150–170 cm unter HOK/Lfm. 34
Humos-aschige Verfüllung
Alte Verf. 3 (der ganze Komplex wurde zu Beginn „3" genannt)
Sign. 21008 (unten) bis 21005 und 21004
Ker, Kn, HL
.1 Tierkn 200 g (^{14}C-Dat.)
- Hund: Metacarpus, Phalanx 1
- Rind: Calvaria, Costae, Femur
- Schwein: Costae (2 Frg.)
- unbestimmbar (1 Frg.)

10578
Bügeleisen-Süd; Lfm. 33,50 bis 34,3; 225–245 cm unter HOK/Lfm. 34 (so tief reicht V5201 nicht; in dem Bereich wurde auch nicht so tief gegraben!)
Grubensohlenbereich?
Ker, HL
.1 KerBS (240 g)

10643
Bügeleisen-Süd; Nordprofil (nicht auf Plan vermerkt!)
Alte Verf. 29
Keine genaue Sign. möglich – wohl aus 21008(?)
Ker, Kn
(Verbleib?)

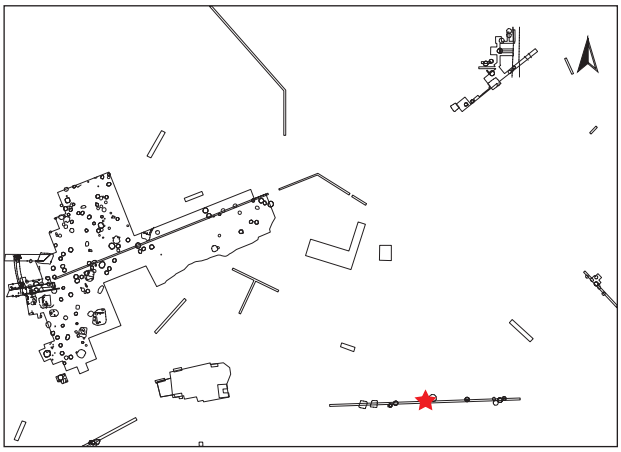
10644
Bügeleisen-Süd; Südprofil; auf Plan BE 22/1977
Alte Verf. 29
Sign. 21008
Ker, HL
.1 w. HL

10741
Bügeleisen-Süd; Lfm. 32 bis 36; allgemeiner Aushub
Evtl. Teile von V5201
Ker, Stein, HL
.1 w. KerBS
.2 Zie

1470. Verbleib: Museum Stillfried.

Objekt V5202 – Kegelstumpfförmige Grube

Lage	Bügeleisen Süd-Schnitt, Lfm. 48,80–51,40
alte Objektnr.	Verf. 46
Literatur	
Interfaces	
Signaturen (Schichtnrn.)	21009–21016



Dokumentationsniveaus/Plana

Plannr.	Planum	alte Verf.	Lage/Quadrant	vertikale Einmessung		
				Ausgangspunkt	relative Tiefe	absolute Höhe in müA
BE 7/1977 (Abb. 421)	Planum 1	o. Nr.	BE-Süd	Lfm. 49	-225 cm	?

Profile/Schnitte

Plannr.	alte Verf.	Hauptprofil		Schnitt	
		Orientierung	Lage/Quadrant	Bezeichnung	unter DOKN
BE 18/1977 (Abb. 422)	46	Nordprofil	BE-Süd		HOK
BE 24/1977 (Abb. 423)	46	Südprofil	BE-Süd		HOK

Stratigraphie V5202

Das Objekt V5202 wird durch die Pfostengrube V5239 sowie die Verfärbungen V5242 und V5244 im oberen Bereich gestört (Abb. 422, 423).

Grubenform

Wandverlauf	Sohlenverlauf	Übergang Sohle – Wand	primäre Nutzungsspuren	Auffälligkeiten
steilkonische Wand	waagrechte Grubensohle	gerundet		eingebrochener Grubenwandbereich in oberer Grubenhälfte bei verfüllter Grube (α)

Größe und Fassungsvermögen V5202

min. Dm. (d): Bereich Sign. 21016	160 cm
max. Dm. (D): Grubensohle	260 cm
max. erh. Grubentiefe (h)	175 cm
max. rek. erh. Grubentiefe (h) (HUK)	212 cm
max. rek. Grubentiefe	265 cm
min. rek. erh. Dm. (d) (HUK)	130 cm
erh. rek. Fassungsraum der Grube	6,56 m³
rek. Fassungsraum der Grube	6,92 m³
archäolog. Datierung	Ha B

Beschreibung V5202

Form im Planum kreissegmentartig erhalten, mit einem Durchmesser von etwa 260 cm (Abb. 421). Die Wände verlaufen steil trapezförmig und gehen gerundet bis spitz in die annähernd waagrechte Sohle über (Abb. 422, 423). Zuunterst lagert ein braun-humoser Schüttkegel, der Kleinfunde aus Keramik und Hüttenlehm enthielt (Sign. 21009). Darüber wurden mehrere Schichten aus hauptsächlich Löß sowie Humus (Sign. 21010) und abschließend im Osten roter, gebrannter Lehm (Sign. 21011) eingebracht. Es folgen weitere Schichten aus braunem Humus sowie grauer Asche, die mit zahlreichen Hüttenlehmbröckchen und Holzkohleflittern durchsetzt waren (Sign. 21012). Im Osten der Grube, nach Westen abfallend, folgen weitere, der Signatur 21012 ähnliche Schichten mit einem Brandschuttgemisch (Sign. 21013), wohingegen im Westen braun-humoses Material lagert (Sign. 21014). Ein großer Lößbrocken (Sign. 21015) liegt an der Westwand auf dieser Schicht auf (Abb. 423). Die obere Grubenhälfte ist mit braun-humosem, wohl eingeschlämmtem Material verfüllt. Im obersten Bereich erweitert sich die Grube erneut trichterförmig.

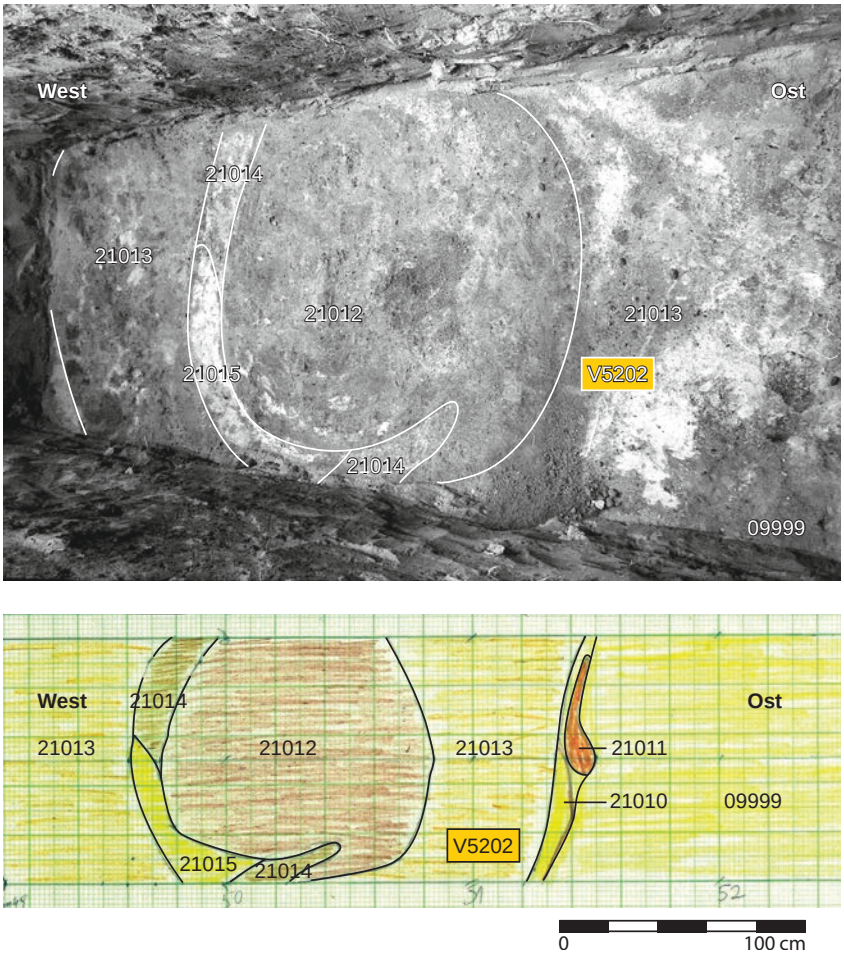


Abb. 421: V5202: „Bügeleisen"-Schnitt, Planum 1 mit V5202 (Grabungsdokumentation Stillfried, Landessammlung Niederösterreich, Bereich Ur- und Frühgeschichte, Fotonr. ST28459; Zeichnung: A. Pawlikovsky, Universität Wien, Plannr. BE 7/1977).



Abb. 422: V5202: Nordprofil des „Bügeleisen"-Schnitts mit V5202 (Zeichnung: W. Weiser, Universität Wien, Plannr. BE 18/1977).

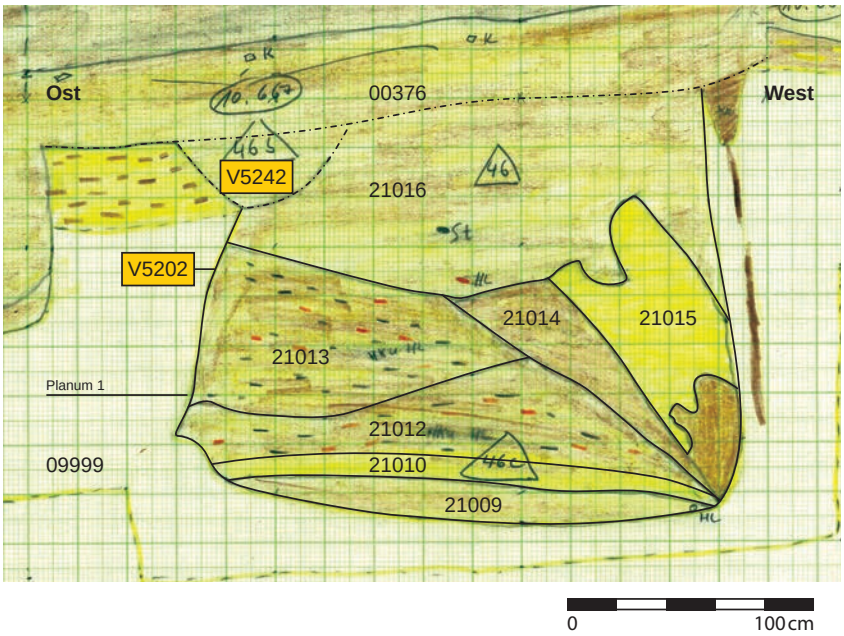


Abb. 423: V5202: Südprofil des „Bügeleisen"-Schnitts mit V5202 (Zeichnung: W. Weiser, Universität Wien, Plannr. BE 24/1977).

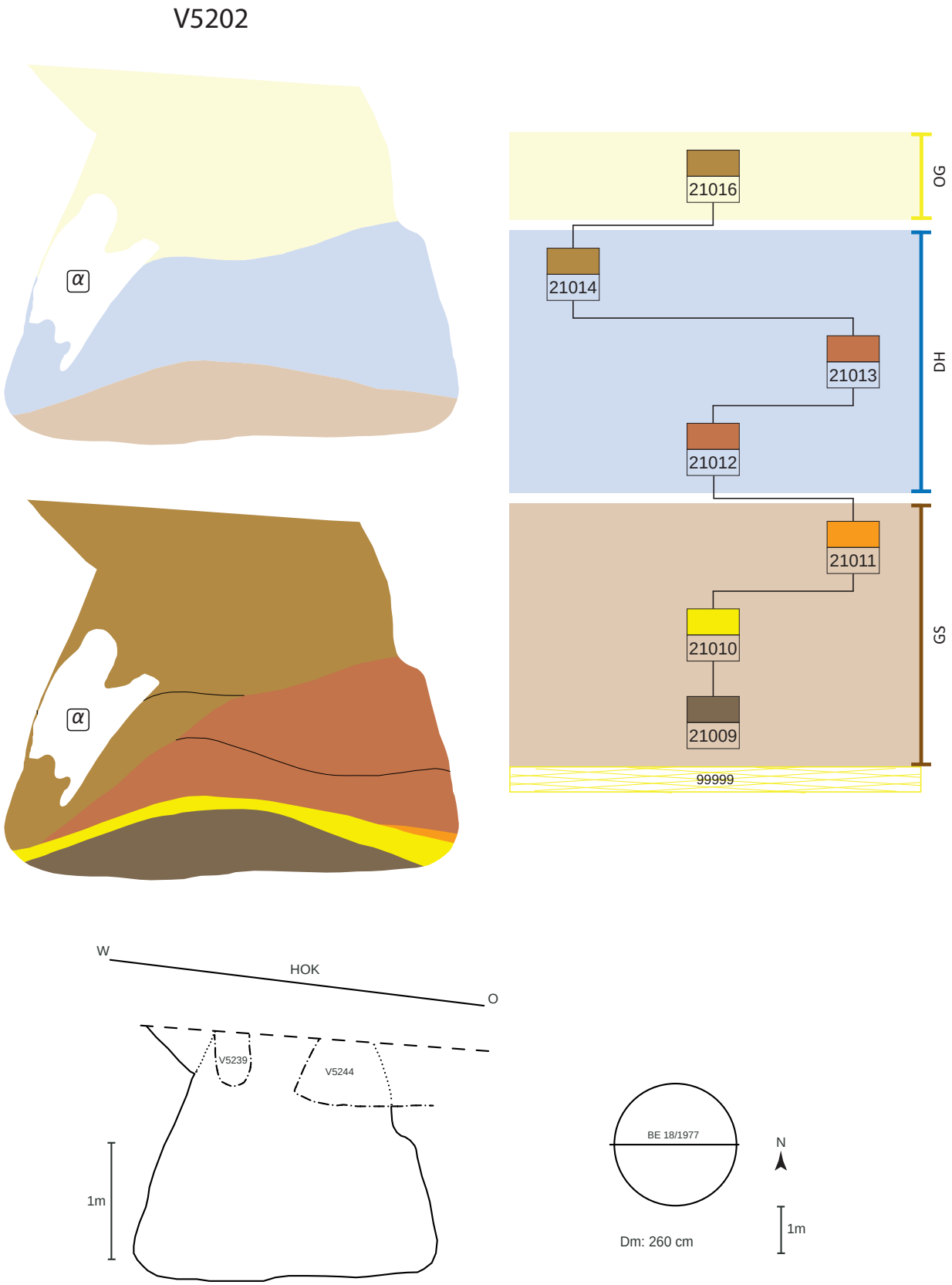


Abb. 424: V5202, schematische Darstellung, Schnitt und Lage des Schnittes im Planum.

Schichtabfolge V5202

Lage in der Grube	Sign.	Beschreibung	Kurzbeschreibung	besondere Funde	Höhe ab Sohle in cm
direkt auf der Grubensohle					
schwacher Schüttkegel	21009	dunkelbraun-humoser Schüttkegel, mit Kleinfunden durchsetzt	Humus, eher fundreich		0–ca. 50
schwacher Schüttkegel	21010	wohl mehrere Schichten aus hauptsächlich gelbem Löß mit dünnen Humusstreifen	Löß, fundarm		0–ca. 55
	21011	rot-braunes, lehmiges, gebranntes Material	gebrannter Lehm, fundarm		
„Deponierungshorizont“					
unebene Oberkante, keine Deponierung	21012	mehrere Schichten braun-humosen, sandigen und grau-schwarzen, aschigen Materials mit Holzkohle und Hüttenlehm	Humus-Brandschutt-Straten, eher fundarm(?)		22–66
	21013	mehrere Schichten braun-humosen, sandigen und grau-schwarzen, aschigen Materials mit Holzkohle und Hüttenlehm	Humus-Brandschutt-Straten, eher fundarm(?)		32–55
	21014	braun-humoses Material	Humus, fundarm		5–100
oberer Grubenbereich	21016	braun-humoses Material (evtl. eingeschlämmt)	Humus, fundarm		30–130
verstürzte Wandteile (α)	21015 α	verstürzter Lößbrocken (Abb. 423)	reiner Löß		

Schichtbeschreibung (Sign.) V5202

Sign.	Schicht-schlüssel	Beschreibung	auf Plan	zugeordnete Fundnummern	besondere Funde
21009	4?	dunkelbraun-humoser Schüttkegel, relativ zentral auf der Sohle; darin Kleinfunde (Keramik und Hüttenlehm); wohl ca. 50 cm hoch aufgeschüttet (Abb. 422, 423)	BE 7, 18, 24/1977	10524, 10538	
21010	3	hauptsächlich gelber Löß, der von dünneren, braun-humosen Schichten unterbrochen wird; ca. 6–16 cm mächtig (Abb. 421–423)	BE 7, 18, 24/1977		
21011	2	rot-braunes, lehmiges, gebranntes Band, das hauptsächlich im Planum sichtbar ist; im Ostteil der Grube; etwa 4 cm mächtig (Abb. 421)	BE 7, 24(?)/1977		
21012	17	mehrere Schichten eines Materialgemisches aus sandig-körnigem, braunem Humus, grauer Asche, mit Holzkohle sowie Hüttenlehm durchsetzt; ca. 45 cm mächtig (Abb. 421, 423)	BE 7, 18, 24/1977		
21013	17	mehrere Schichten eines Materialgemisches aus sandig-körnigem, braunem Humus, grauer Asche, mit Holzkohle sowie Hüttenlehm durchsetzt (ähnlich wie 21012); im Osten der Grube und nach Westen abfallend (Abb. 423)	BE 18, 24/1977		
		Sign. 21013 oder 21014		10502	
21014	9	braun-humoses Material im Westteil der Grube (Abb. 421, 423)	BE 18, 24/1977		
21015	α	verstürzter Lößbrocken (evtl. Wandteil); ca. 100 × 45 cm groß (Abb. 421, 423)	BE 24/1977		
		Funde aus fast allen Schichten von der Sohle bis Sign. 21016		10664	plattenförm. Lehmstücke (Taf. 79/1–3)
21016	9	braun-humoses Material, evtl. eingeschlämmt[1471]; mehr als 1 m mächtig erhalten (Abb. 422, 423)	BE 18, 24/1977	10479(?)	Hüttenlehm mit Rundholzabdruck (Abb. 105)

1471. Laut Anmerkung in Planbeschreibung BE 24/1977.

Funde V5202

Die aus der Grube geborgenen Funde entsprechen gewöhnlichen Haushaltsabfällen. Aus der untersten Einfüllung stammt ein Kegelhalsgefäß (Taf. 27/4), dessen obere Hälfte zu großen Teilen zusammengesetzt werden konnte. Das Gefäß war im Randbereich Feuereinwirkung ausgesetzt und spätestens während des Brandes zerbrochen. Davon zeugen die alten, teils versinterten Bruchstellen. Es handelt sich um einen Typ mit weicher Profilierung, engem Hals und tiefem Bauchumbruch, der chronologisch nur allgemein an das Ende der Urnenfelderzeit bis in die Hallstattzeit gestellt werden kann.[1472] Auch die sonstigen Funde weisen Brandspuren auf.

Mehrere plattenförmige Lehmstücke unter dem Hüttenlehm können als ehemalige Konstruktionselemente häuslicher Einbauten bzw. als Wandverputz interpretiert werden. Darunter befinden sich Stücke mit zwei gegenüberliegend erhaltenen Oberflächen (Taf. 79/3), teils mit Brettabdrücken, sowie ein Exemplar mit geflechtartigen Abdrücken (Taf. 79/1), die vermutlich durch eine Matte hervorgerufen wurden. Ein weiteres Stück besitzt zwei zueinander rechtwinklig stehende Oberflächen (Taf. 79/2). Ein hart gebranntes Eckbruchstück mit Rundholzabdruck (dreieckiges Profil) zeugt von der Verbauung und Auskleidung von Rundhölzern (Abb. 105).[1473]

Archäologische Datierung

Die Fundstücke sind chronologisch wenig aussagekräftig und können nur allgemein nach Ha B gestellt werden.

Befundinterpretation

Bei V5202 handelt es sich um eine ehemalige (Getreide-)Speichergrube. Am Beginn gelangte gewöhnlicher Haushaltsabfall in die leere Grube, bestehend aus verrottbarem, organischem Material, Tierknochen und zerscherbter Keramik (Sign. 21009). Diese Schicht deckte man vielleicht aus hygienischen Gründen mit einer Lößschicht ab und verfüllte in mehreren Zügen die restliche Grube. Dafür verwendete man Humus und Brandschuttmaterial. Ein großer Lößbrocken (Sign. 21015) könnte aus dem Halsbereich der Grube stammen und entweder verstürzt oder absichtlich nach unten geworfen worden sein. Das braun-humose Material im oberen Bereich (Sign. 21016) kam vermutlich erst mit zeitlichem Abstand in die Grube und wurde womöglich eingeschlämmt. Für ein längeres Offenstehen der oberen Grubenhälfte spricht außerdem der sich nach oben trichterförmig erweiternde Rand der Grube, der mit dem natürlichen Verfall erklärt werden kann.

Fundkatalog V5202

10479
Bügeleisen-Süd; Lfm. 50 bis 52; 80–100 cm unter HOK/Lfm. 50
Sign. 21016 – Teile auch aus Störungen östlich möglich!
Ker, Kn
.1 HL mit Rundholzabdrücken, stark gebr. (Abb. 105)
.2 17 dickwandige KerBS

10502
Bügeleisen-Süd; Lfm. 50 bis 52; 140–160 cm unter HOK/Lfm. 58
Sign. 21013 oder 21014
Ker, Kn, HL
(Verbleib?)

10523
Bügeleisen-Süd; Lfm. 49 bis 56 (vom Putzen), 235 cm unter HOK/Lfm. 50
Teile können zu V5202 gehören!
Ker, HL
.1 20 KerBS, großteils UK
.2 WS mit 2 winkelförm. einander kreuzenden Rillenbündeln (Taf. 27/5)

10524
Bügeleisen-Süd; Lfm. 49 bis 50; 235–255 cm unter HOK/Lfm. 50
Alte Verf. 46
Sign. 21009
Ker, HL
.1 30 KerBS von KHG, im Randbereich ins Feuer gekommen, teils alte, rotbraun versinterte Brüche (Taf. 27/4)
.2 WS, evtl. von gr. KHG mit senkr. Rillenbündeln aus 6 Rillen
.3 12 KerBS, UK, MA

10538
Bügeleisen-Süd; Lfm. 49 bis 51; 250–270 cm unter HOK/Lfm. 50
Alte Verf. 46
Sign. 21009
Ker, Mollusken, Stein
.1 RS von napfförm. Topf mit länglicher Knubbe (Taf. 27/3)
.2 20 KerBS, grobe Haushaltsware
.3 HL (100 g)

10664
Bügeleisen-Süd; Nordprofil; auf Plan BE 18/1977
Alte Verf. 46
Funde aus fast allen Schichten von der Sohle bis Sign. 21016
Ker, Kn, HL
.1 6 KerBS, grobe Haushaltsware (eine Anpassung an St. 10524)
.2 8 plattenförm. Lehmstücke mit einer oder mehreren erh. Oberfl., auch mit Mattenabdruck (Taf. 79/1–3)
.3 w. HL (40 g)

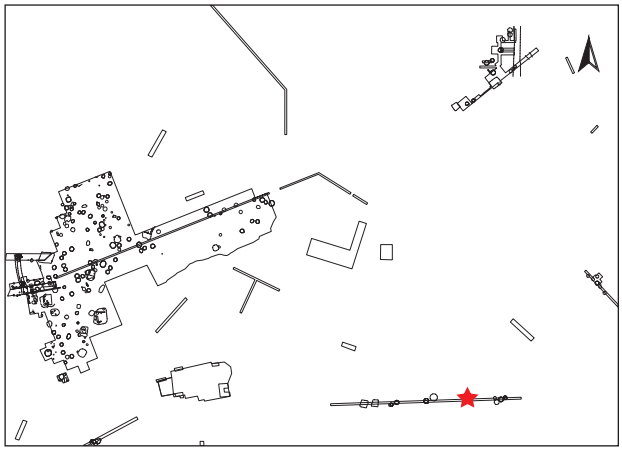
10737
Bügeleisen-Süd; Lfm. 48 bis 52; allgemeiner Aushub
Teile können zu V5202 gehören!
Ker, HL
.1 10 KerBS, röm./MA

1472. Hellerschmid 2006, 160, 211, Grundform 5-Topf 1, Typ A, Var. b: Form mit kegelförmigem Hals und hoher, enger Halsbildung.

1473. Auch Kap. 3.1.5.1, Hüttenlehm als Lehmbewurf auf Rundholzfugen.

Objekt V5203 – Kegelstumpfförmige Grube

Lage	Bügeleisen Süd-Schnitt, Lfm. 71–73,30
alte Objektnr.	Verf. 82, 68
Literatur	
Interfaces	
Signaturen (Schichtnrn.)	21017–21020



Profile/Schnitte

Plannr.	alte Verf.	Hauptprofil		Schnitt	
		Orientierung	Lage/Quadrant	Bezeichnung	unter DOKN
BE 27/1977 Abb. 425)	82	Nordprofil	BE-Süd	Lfm. 65–72	HOK
BE 28/1977 (Abb. 425)	82	Nordprofil	BE-Süd	Lfm. 72–79	HOK
BE 31/1977	68	Südprofil	BE-Süd		HOK

Stratigraphie V5203

Objekt V5203 wird durch einen Grubenkomplex bzw. eine Aufschüttung (V5295) im oberen Teil gekappt (Abb. 425).

Grubenform

Wandverlauf	Sohlenverlauf	Übergang Sohle – Wand	primäre Nutzungsspuren
konische bis steilkonische Wand	nach außen gewölbte Grubensohle	eckig-scharfkantig bis gerundet, randlich schwach angehoben	

Größe und Fassungsvermögen V5203

min. Dm. (d): Bereich Sign. 21020	120 cm
max. Dm. (D): Grubensohle	224 cm
max. erh. Grubentiefe (h)	195 cm
max. rek. Grubentiefe (oberer Teil wohl verstürzt)	185 cm
erh. rek. Fassungsraum der Grube	3,09 m³
archäolog. Datierung	Ha B

Beschreibung V5203

Die Wände verlaufen steil trapezförmig, wobei sie im oberen Teil senkrecht den Ansatz eines Flaschenhalses bilden. Der Übergang zur gewölbten Sohle ist gerundet bis spitz (Abb. 425). Zuunterst ist dunkelbraun-humoses Material eingefüllt (Sign. 21017), auf dem eine dünne, rote Brandschuttschicht mit Hüttenlehmbrocken (Sign. 21018) sowie im äußersten Osten eine Lößeinfüllung (Sign. 21019) eingebracht sind. Die obere Grubenhälfte nimmt graubraunes, humoses Material mit kleinen Holzkohlepartikeln, geringen Mengen an Keramik und eher wenigen Hüttenlehmbrocken, darunter auch große Stücke, ein (Sign. 21020).

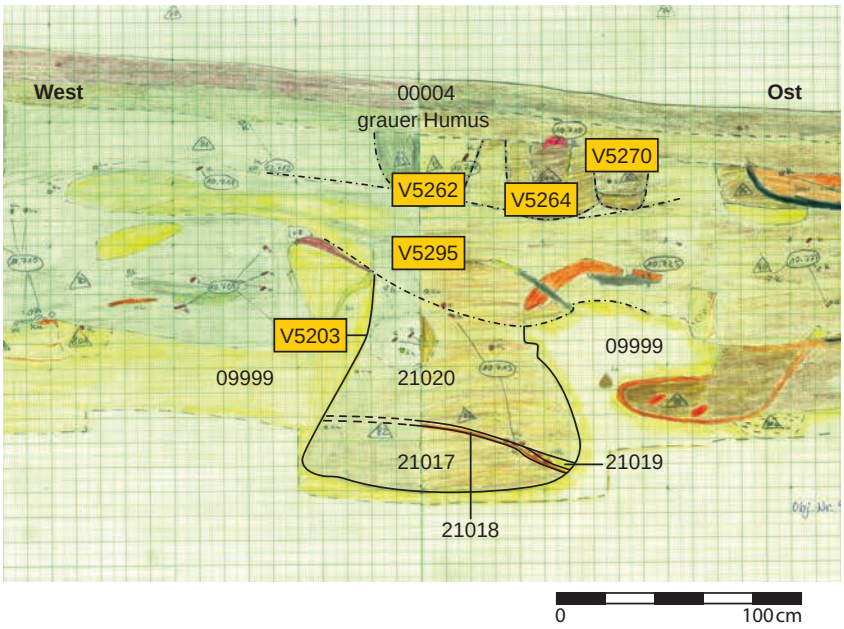


Abb. 425: V5203: Nordprofil des „Bügeleisen"-Schnitts mit V5203 (Zeichnungen: W. Weiser und S. von Osten, Universität Wien, Plannrn. BE 27/1977 und 28/1977).

Schichtabfolge V5203

Lage in der Grube	Sign.	Beschreibung	Kurzbeschreibung	besondere Funde	Höhe ab Sohle in cm
„Deponierungshorizont"					
	21017	dunkelbraun-humoses Material	Humus, fundarm		0–52
	21018	rot-braunes, lehmig-gebranntes Material mit Hüttenlehmbrocken	Brandschutt, fundarm		15–56
unebene Oberkante, keine Deponierung	21019	gelber Löß	Löß fundarm		16–32
oberer Grubenbereich	21020	grau-braunes, humoses Material mit Hüttenlehm und Holzkohleflittern	Humus, fundarm	scheibenförm. Webgewicht; pyramidenstumpfförm. Webgewicht; Knochenpfriem	30–195

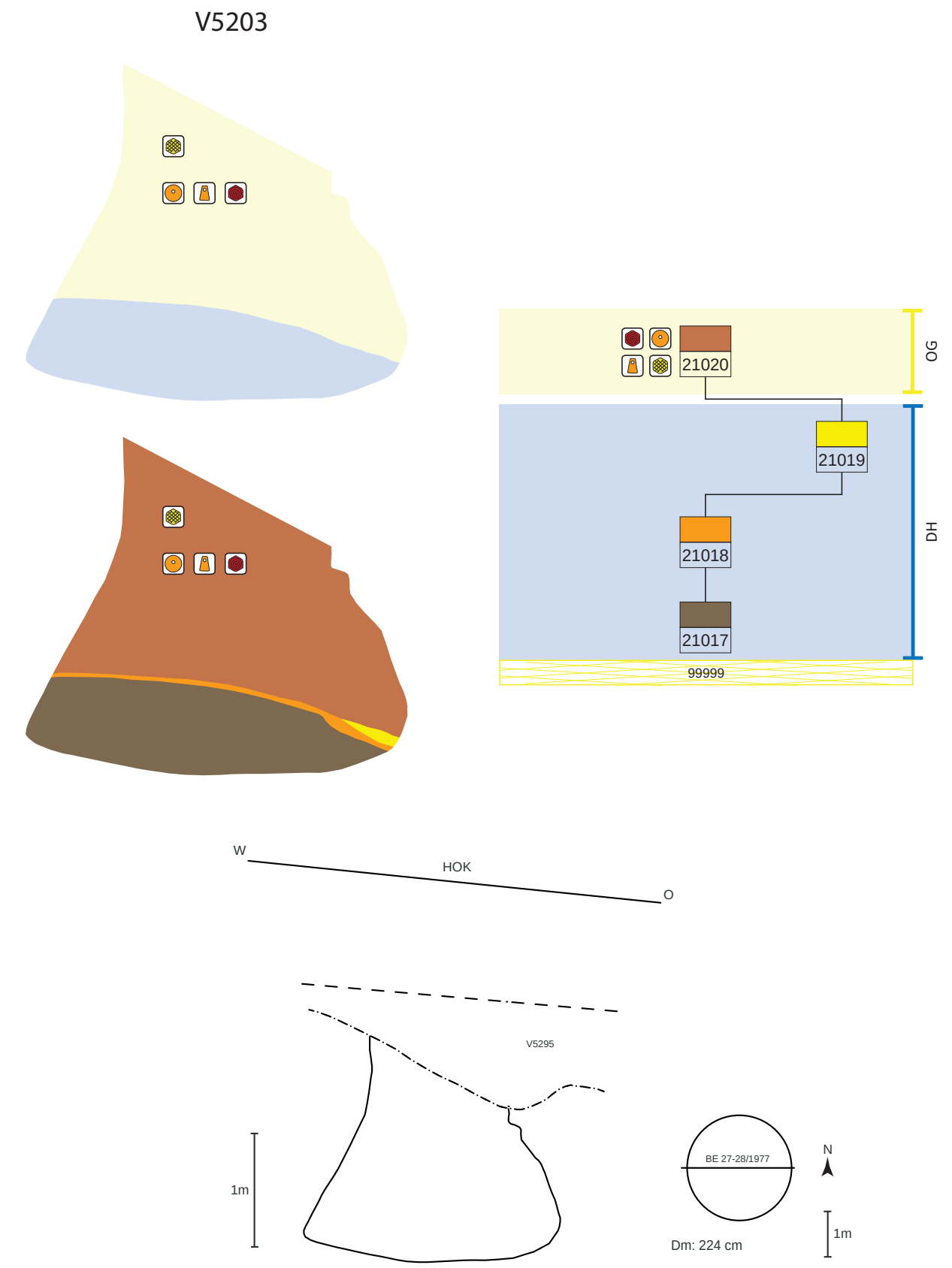


Abb. 426: V5203, schematische Darstellung, Schnitt und Lage des Schnittes im Planum.

Schichtbeschreibung (Sign.) V5203

Sign.	Schicht-schlüssel	Beschreibung	auf Plan	zugeordnete Fundnummern	besondere Funde
21017	4	dunkelbraun-humoses Material mit kaum Kleinfunden; von Westen nach Osten abfallend; 53 cm mächtig (Abb. 425)	BE 27, 28, 31/1977		
21018	2	rote Brandschuttschicht aus gebranntem Lehm mit Hüttenlehmbrocken und wenigen Keramikscherben; 2–5 cm mächtig (Abb. 425)	BE 27, 28, 31/1977		
21019	3	gelber Löß; nur im äußersten Osten der Grube; ca. 6 cm mächtig	BE 27, 28, 31/1977		
		sowohl Sign. 21020 als auch 21018		10713	
21020		homogenes(?), grau-braunes, humoses Material, mit etwas Hüttenlehm und Holzkohlepartikeln sowie wenigen Kleinfunden durchsetzt (ob Ascheschichten oder andere, weitere Straten vorhanden sind, ist unklar – evtl. nach oben hin graues Material); ca. 140 cm mächtig erhalten (Abb. 425)	BE 27, 28, 31/1977	10542(?), 10543(?), 10544(?), 10554(?), 10564, 10565(?)	**scheibenförm. Webgewichtfrg.** (St. 10564.2; Taf. 28/6; 80/3); **pyramidenstumpfförm. Webgewichtfrg.** (St. 10565); **„Spielstein“** (St. 10554.2; Taf. 28/4; 79/4 u. Abb. 85)
		Funde ohne klare Objektzuweisung		10518, 10519, 10520, 10521, 10533, 10534	**Knochenpfriem** (St. 10520.1; Taf. 28/8; 80/1); bearbeiteter Knochen (St. 10519)

Funde V5203

Es können nur wenige Funde sicher dem Objekt zugeordnet werden, nämlich FNrn. St. 10564 und 10713. Diese entstammen wohl gewöhnlichem Siedlungsabfall aus der Verfüllschicht 21020 und dem dünnen Brandschuttband Sign. 21018. Des Weiteren schließen wir eine Reihe weiterer Fundposten hier an. Darunter befinden sich hauptsächlich dickwandige Vorratsgefäße, mittelfeine Ware wie das Randstück einer verzierten Henkeltasse (Taf. 28/5), aber ebenso in geringen Mengen Feinkeramik wie zwei Tassenbruchstücke (Taf. 28/1, 3). Einige Stücke weisen sekundäre Brandspuren auf (FNr. St. 10564.3). Auch ein Bruchstück eines scheibenförmigen Webgewichts, das auf einer Seite eine radiale Rille aufweist, war wohl sekundär Feuer ausgesetzt (Taf. 28/6; 80/3). Die übrigen, nicht absolut sicher der Grube zuordenbaren, Funde passen in dieses Spektrum und stellen Inhalte eines Haushaltes dar. Davon ist der „Spielstein“ FNr. St. 10554.2 zu nennen, dessen Bruchkanten unregelmäßig und kaum verrundet sind (Abb. 83–85).

Wenige, große Brocken verbrannten Hüttenlehms mit Ruten und Rundholzabdrücken untermauern den Eindruck eines Fundverbandes aus einem abgebrannten Haus (Taf. 80/2).

Archäologische Datierung

Die wenigen Funde, die sicher der Grube zuweisbar sind, lassen sich nur allgemein nach Ha B datieren.

Befundinterpretation

Bei V5203 handelt es sich um eine ehemalige (Getreide-)Speichergrube. Nach Aufgabe der Grube wurde organischer Abfall eingebracht, der mit einer dünnen Brandschicht und Löß möglicherweise aus hygienischen Gründen abgedeckt wurde. Das abschließend verfüllte Gemisch aus Erde und den Resten eines Brandfalles wurde entweder sofort oder mit zeitlichem Abstand hineingeworfen.

Fundkatalog V5203[1474]

10518
Bügeleisen-Süd; Lfm. 70 bis 74; 105–120 cm unter HOK/Lfm. 74
Teile können aus V5203 stammen! Vermischung mit anderen Befunden!
Ker, Kn
.1 KerBS (1500 g), meist urgesch.
.2 HL (620 g), u. a. gr. Stück mit Rundholzabdrücken

10519
Bügeleisen-Süd; Lfm. 71,5 bis 72,1; 120 cm unter HOK/Lfm. 74; rötliche Brandschicht im Humus
Durchmischung mit Störung!
Kn
.1 bearbeiteter Kn[1475]

10520
Bügeleisen-Süd; Lfm. 71,5 bis 72,1; 120 cm unter HOK/Lfm. 74; rötliche Brandschicht im Humus
Durchmischung mit Störung!
Kn
.1 Knochenpfriem[1476] (Taf. 28/8; 80/1)

1474. Die Abgrenzung nach oben ist unsicher, sodass offen bleibt, auf welcher Höhe die Grube gekappt wurde. Daher stammen Funde, die nicht tiefer als 140 cm unter Lfm. 74 sind, wohl aus Störungen. Bei Funden, die zwischen 140 und 195 cm unter Lfm. 74 gefunden worden sind, ist eine Durchmischung mit Störungsbefunden möglich. Erst ab unter 200 cm ist eine sichere Zuweisung herstellbar!

1475. Keine genaue Fundauswertung möglich.

1476. Verbleib: Museum Stillfried.

10521
Bügeleisen-Süd; Lfm. 71,5 bis 72,1; 105–120 cm unter HOK/Lfm. 74; rötliche Brandschicht im Humus
Durchmischung mit Störung!
Ker, Kn, Stein
.1 KerBS (100 g)

10533
Bügeleisen-Süd; Lfm. 72 bis 76; 120–140 cm unter HOK/Lfm. 74
Durchmischung mit Störung!
Ker, Kn, Stein, Zie, HL, Herdplattenfrg.
.1 w. KerBS

10534
Bügeleisen-Süd; Lfm. 71,5 bis 72,2; 110–140 cm unter HOK/Lfm. 72; 0–30 cm nach Norden; Brandstelle
Durchmischung mit Störung!
Ker, Kn, Zie
.1 KerBS (930 g; Taf. 28/7)
.2 Frg. von pyr WG
.3 HL (50 g)

10542
Bügeleisen-Süd; Lfm. 72 bis 76; 135–155 cm unter HOK/Lfm. 74
Durchmischung mit Störung!
Wenn zu V5203 gehörend, dann Sign. 21020
Ker, Kn, Stein, HL
.1 w. KerBS von Drehscheibenware
.2 w. KerBS, urgesch.

10543
Bügeleisen-Süd; Lfm. 70 bis 72; 135–155 cm unter HOK/Lfm. 74
Stücke meist aus V5203, aber noch Vermischung mit anderen Befunden möglich! Wenn zu V5203 gehörend, dann Sign. 21020
Ker, Stein, HL
.2 Unterteil von Topf (1000 g), sek. angebrannt
.1 HL (600 g), davon 1 mit Rundholzabdruck

10544
Bügeleisen-Süd; Lfm. 70 bis 72; 155–175 cm unter HOK/Lfm. 74
Stücke meist aus V5203, aber noch Vermischung mit anderen Befunden möglich! Wenn zu V5203 gehörend, dann Sign. 21020
Ker, Kn, HL
.1 RS von Schüssel (Taf. 28/3)
.2 RS von kl. Tasse
.3 KerBS (630 g), u. a. WBS mit 4 waagr. Rillen am Wand-Boden-Übergang (Taf. 28/2)
.4 RS von Henkeltasse mit flachen Rillen, senkr. auf Henkel (Taf. 28/5)

10554
Bügeleisen-Süd; Lfm. 70 bis 76; 160–180 cm unter HOK/Lfm. 74
Stücke meist aus V5203, aber noch Vermischung mit anderen Befunden möglich! Wenn zu V5203 gehörend, dann Sign. 21020
Ker, Kn, HL
.1 KerBS (250 g)
.2 WS, wohl sek. als „Spielstein" herausgearbeitet (Taf. 28/4; 79/4 u. Abb. 85)

10564
Bügeleisen-Süd; Lfm. 71,6 bis 72; 180–210 cm unter HOK/Lfm. 72; 90–120 cm nach Norden
Objekt 82??
Sign. 21020
Ker, Kn, Stein
.1 w. KerBS
.3 KerBS von KHG (2000 g), tw. zusammensetzbar, sek. gebr.
.4 WS mit senkr. Kannelur
.2 Frg. von scheibenförm. WG mit radialer Rille, evtl. sek. gebr. (Taf. 28/6; 80/3)
.5 w. HL (20 g)
.6 2 Sandsteine (110 g)

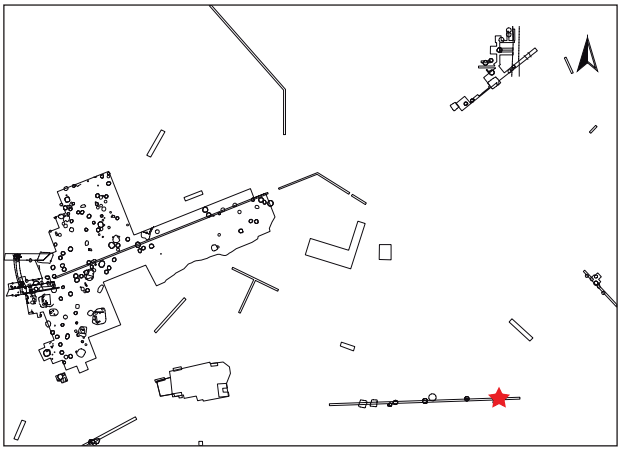
10565
Bügeleisen-Süd; Lfm. 70 bis 74; 190–210 cm unter HOK/Lfm. 74
Stücke meist aus V5203, aber noch Vermischung mit anderen Befunden möglich! Wenn zu V5203 gehörend, dann Sign. 21020
Ker, Kn, Zie, HL
.1 KerBS (900 g) v. a. Grobkeramik
.3 WS, german., mit Fingernagelkerben
.2 Frg. von pyr. WG
.4 HL (1500 g), davon 2 gr. mit Rutenabdrücken, 1 gr. mit Rundholzabdruck (Taf. 80/2)

10713
Bügeleisen-Süd; Nordprofil; auf Plan BE 27, 28/1977
Alte Verf. 82
Sowohl Sign. 21020 als auch 21018
Ker, Kn, HL
.1 w. KerBS (140 g)
.2 RS von kl. Tasse (Taf. 28/1)

10732
Bügeleisen-Süd; Lfm. 68 bis 74; allgemeiner Aushub
Teile können zu V5203 gehören
Ker
(Verbleib?)

Objekt V5204 – Kegelstumpfförmige Grube

Lage	Bügeleisen Süd-Schnitt, Lfm. 88,25–90,60
alte Objektnr.	Verf. 114, 121
Literatur	
Interfaces	
Signaturen (Schichtnrn.)	21021–21035



Profile/Schnitte

Plannr.	alte Verf.	Hauptprofil		Schnitt	
		Orientierung	Lage/Quadrant	Bezeichnung	unter DOKN
BE 35/1977 (Abb. 427)	121	Südprofil	BE-Süd		HOK
BE 37/1977 (Abb. 428)	114	Nordprofil	BE-Süd		HOK

Stratigraphie V5204

Objekt V5204 wird 194 cm über der Sohle von einer wohl mittelalterlichen Auffüllung (V5295) gekappt (Abb. 427, 428).

Grubenform

Wandverlauf	Sohlenverlauf	Übergang Sohle – Wand	primäre Nutzungsspuren	Auffälligkeiten
nach außen gewölbte, steilkonische bis senkrechte Wand, konische Schulter (stempelförmig)	waagrechte Grubensohle	eckig-scharfkantig bis leicht gerundet	Wandverputz? (Sign. 21021 und 21022)	eingebrochener Grubenwandbereich in oberer Grubenhälfte (im Osten) bei verfüllter Grube (α)

Größe und Fassungsvermögen V5204

min. Dm. (d): Bereich Sign. 21034	145 cm
max. Dm. (D): Grubensohle	222 cm
max. erh. Grubentiefe (h)	194 cm
max. rek. Grubentiefe	250 cm
erh. rek. Fassungsraum der Grube	unterer Teil[1477]: 3,04 m³ oberer Teil: 3,06 m³ gesamt: 6,01 m³
rek. Fassungsraum der Grube	6,1 m³
archäolog. Datierung	Ha B

1477. Dieser Teil wurde als Zylinder berechnet.

Beschreibung V5204

Die Wände verlaufen unregelmäßig senkrecht mit kennzeichnender Schulterbildung. Der Übergang der Wände zur Sohle ist rund, verläuft allerdings in unterschiedlichen Winkeln (Abb. 427, 428). An der Westwand ist dunkelbraunes, senkrecht verlaufendes Material (Sign. 21021) erkennbar, das evtl. von einem Wandverputz aus primärer Nutzung stammt (Abb. 427). Ebenso ist am Westrand im Flaschenhals rot-verziegelter Lehm (Sign. 21022) zu sehen. Die Sohle ist relativ waagrecht. Auf der Grubensohle ist braun-humoses Material (Sign. 21023) eingebracht. Darauf lagert Asche (Sign. 21024) und Brandschutt (Sign. 21025). Das anschließend eingefüllte grau-braune Humus-Asche-Gemisch (Sign. 21026) fällt von Osten nach Westen stark ab. Hauptsächlich im Norden und Westen folgt gelber Löß (Sign. 21027), ehe erneut ein Humus-Asche-Gemisch (Sign. 21028) die untere Einfüllung abschließt. Eine dünne Brandschuttstrate mit Hüttenlehmbrocken (Sign. 21029) fällt ebenso wie anschließende Humusschichten (Sign. 21030) und eine weitere Brandschuttstrate (Sign. 21031) von Osten nach Westen stark ab. Braun-humoses Material (Sign. 21032) bildet nach oben einen waagrechten Abschluss zum Flaschenhals, ehe eingeschlämmte Schichten (Sign. 21033 und 21034) die letzten Verfüllungen sind. Ein großer Lößbrocken (Sign. 21035) verstürzte wohl nach dem Eintrag von Sign. 21032.

Schichtabfolge V5204

Lage in der Grube	Sign.	Beschreibung	Kurzbeschreibung	besondere Funde	Höhe ab Sohle in cm
primäre Nutzungsspuren					
	21021 A	dunkelbraunes Material an der Westwand	Wandverputz?		
	21022 A	rot-brauner, gebrannter Lehm an der Westwand	verziegelter Lehm		
direkt auf der Grubensohle					
	21023	braun-humoses Material	Humus, fundarm		0–24
	21024	schwarz-graues, aschiges Material	Asche, fundarm		10–24
	21025	rot-braunes, lehmig-gebranntes Material	Brandschutt, fundarm		18–25
„Deponierungshorizont“					
	21026	schwarz-braunes Humus-Asche-Gemisch	Humus-Asche-Gemisch, fundarm		24–100
	21027	gelber Löß	Löß, fundarm		30–45
schräge Oberkante, keine Deponierung	21028	schwarz-braunes Humus-Asche-Gemisch	Humus-Asche-Gemisch, fundarm		32–95
	21029	rot-braunes, lehmiges Brandschuttmaterial mit Hüttenlehmbrocken	Brandschutt, fundarm(?)		45–120
oberer Grubenbereich					
	21030	mehrere Schichten meist braun-humosen Materials	Humus, wenige Kleinfunde	evtl. Steingerät	45–160
	21031	rot-braunes, lehmiges Brandschuttmaterial	Brandschutt, fundarm		84–162
	21032	braun-humoses Material	Humus, fundarm		86–165
	21033	braun-humoses Material	Humus, fundarm	evtl. Bronzeobjekt	90–150
	21034	grau-braunes, humoses Material	Humus, fundarm		ab 120
teilweiser Einsturz der Grubenwand	21035 α	großer Lößbrocken	Löß		ab 105

Schichtbeschreibung (Sign.) V5204

Sign.	Schicht-schlüssel	Beschreibung	auf Plan	zugeordnete Fundnummern	besondere Funde
21021	4 A	dunkelbraunes Material, senkrecht entlang der Westwand verlaufend (Wandbewurf?), ca. 2–3 cm mächtig (Abb. 427)	BE 35/1977		
21022	4 A	rot-verziegelter Lehm am oberen Teil der Westwand (am Flaschenhals), senkrecht verlaufend; 2–4 cm dick (Abb. 427)	BE 35/1977		
21023	4	dunkelbraunes, humoses Material auf der Sohle, relativ gleichmäßig verteilt; 15–24 cm mächtig (Abb. 427, 428)	BE 35, 37/1977		
21024	1	grau-schwarze Ascheschicht mit Holzkohle; v. a. im Zentralbereich; 2–7 cm mächtig (Abb. 427, 428)	BE 35, 37/1977		
21025	2	nur im Südwesten der Grube eine rotlehmige Brandschuttstrate; ca. 60 cm breit und 2–4 cm mächtig (Abb. 427)	BE 35/1977		
21026	17	braun-graues Humus-Asche-Gemisch, von Osten nach Westen stark abfallend; max. 65 cm mächtig (Abb. 427)	BE 35/1977		
		Sign. 21026 und 21028		10809	
21027	3	gelber Löß; v. a. im Nordteil der Grube bis 16 cm mächtig; nach Osten und Süden abfallend (Abb. 427, 428)	BE 35, 37/1977		
21028	17	braun-graues Humus-Asche-Gemisch; von Osten nach Westen abfallend, darin einige Kleinfunde; ca. 20 cm mächtig (Abb. 427, 428)	BE 35, 37/1977		
21029	2	rot-lehmige Brandschuttstrate mit Hüttenlehmbrocken; im Osten ein großer Hüttenlehmbrocken von ca. 30 cm; insgesamt meist ca. 4 cm mächtig (Abb. 427, 428)	BE 35, 37/1977		
		Sign. 21026–21030		10570(?) (Taf. 80/4), 10584(?)	
21030	9	wohl mehrere Schichten meist braunhumosen Materials, teils wenige Kleinfunde; von Osten nach Westen abfallend; relativ gleichmäßig mächtig mit ca. 45 cm (Abb. 427, 428)	BE 35, 37/1977	10540(?), 10809(Kn)	**Steingerät** (St. 10540)
21031	2	rot-lehmige Brandschuttstrate mit 2 cm Mächtigkeit (Abb. 427, 428)	BE 35, 37/1977		
21032	9	homogenes, braun-humoses Material; max. ca. 70 cm mächtig; nach oben waagrechter Abschluss (Abb. 427, 428)	BE 35, 37/1977	10799	
21033	9	braun-humoses Material (evtl. eingeschlämmt), waagrecht verlaufend; ca. 25 cm mächtig (Abb. 427, 428)	BE 35, 37/1977		
21034	9	grau-braunes, humoses Material (evtl. eingeschlämmt); ca. 30 cm mächtig erhalten (Abb. 428)	BE 37/1977	10716(?)	**Bronzeobjekt** (St. 10716; Taf. 29/1)
21035	α	eingebrochener Lößbrocken; über 50 cm groß (Abb. 428)	BE 37/1977		

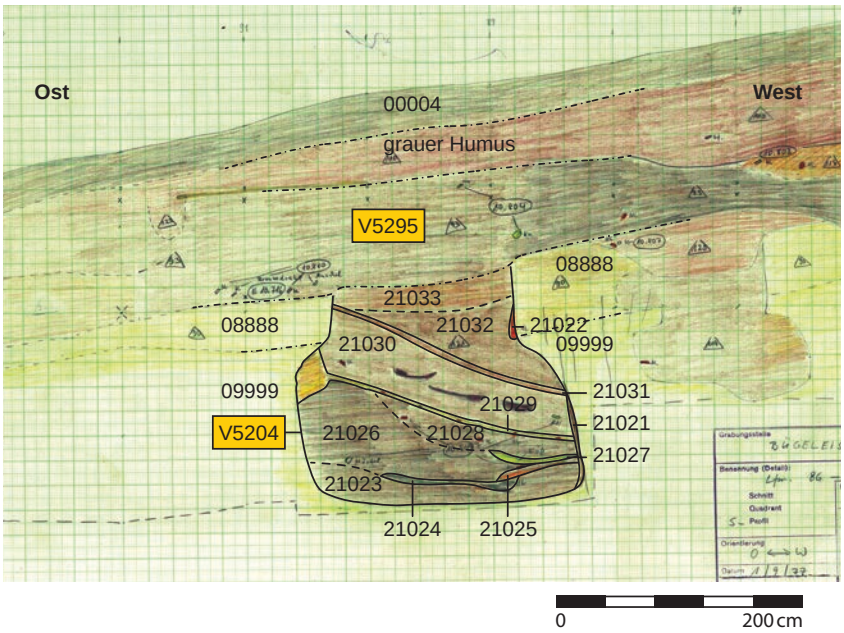


Abb. 427: V5204: Südprofil des „Bügeleisen"-Schnitts mit V5204 (Zeichnung: S. von Osten, Universität Wien, Plannr. BE 35/1977).

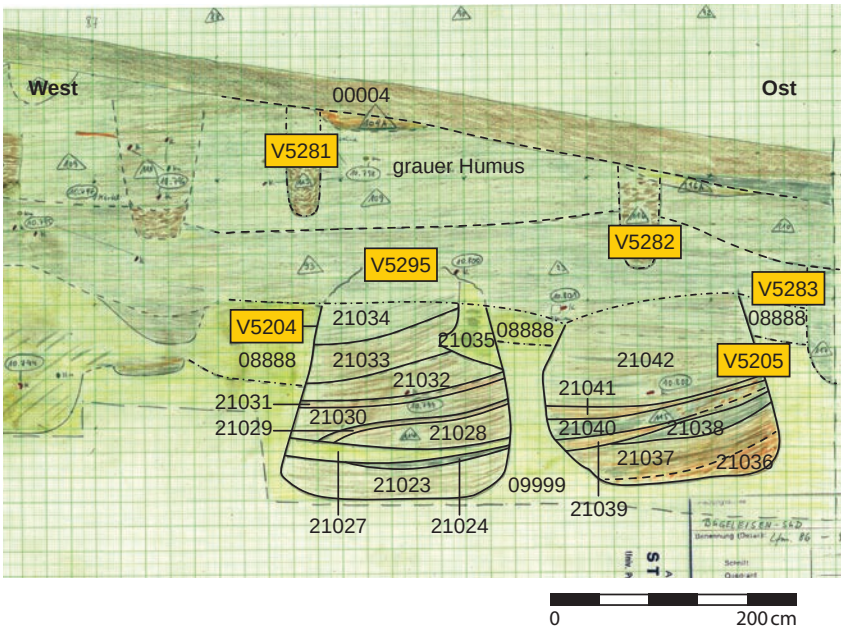


Abb. 428: V5204, V5205: Nordprofil des „Bügeleisen"-Schnitts mit V5204 (links) und V5205 (rechts; Zeichnung: S. von Osten, Universität Wien, Plannr. BE 37/1977).

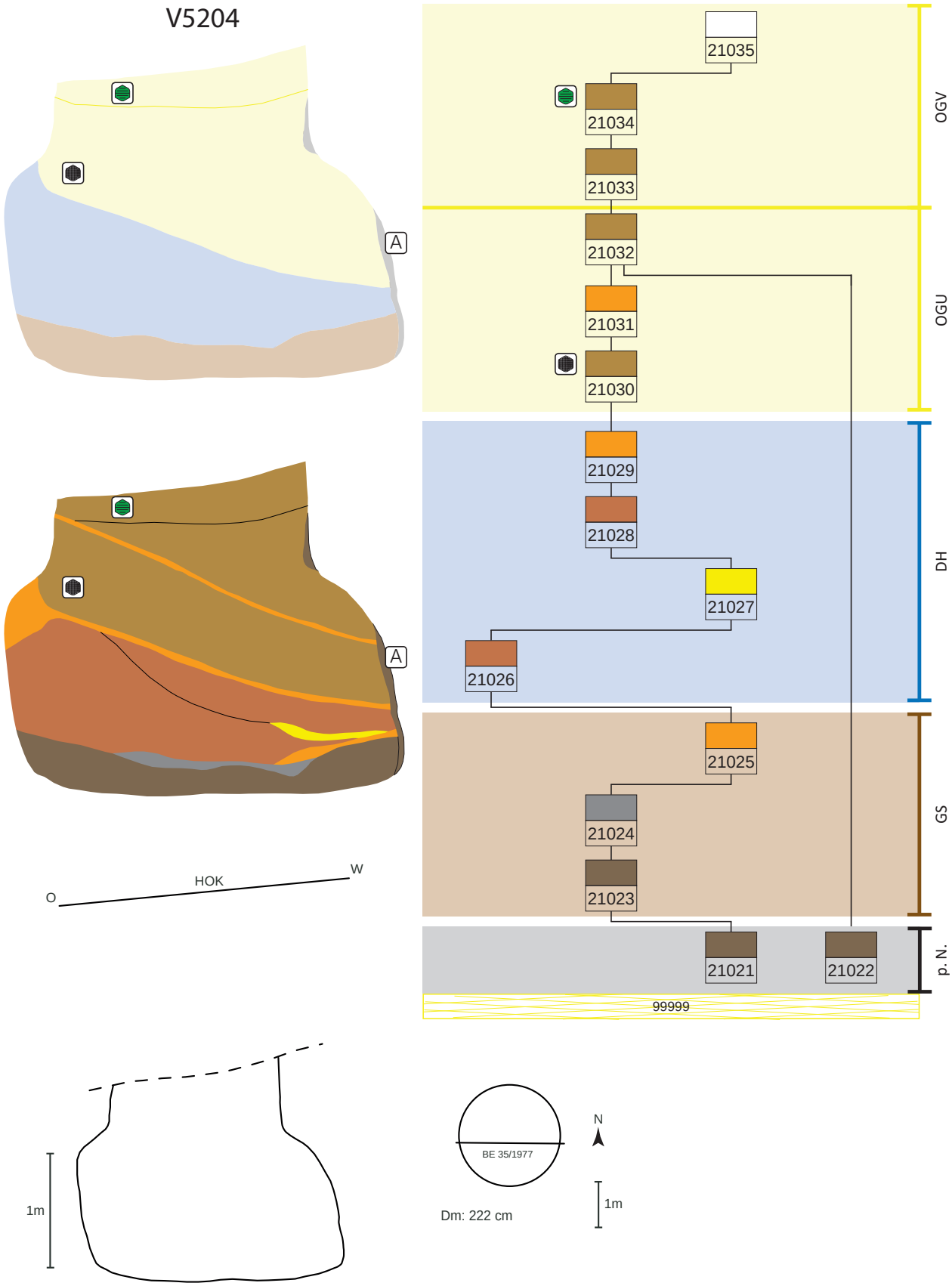


Abb. 429: V5204, schematische Darstellung, Schnitt und Lage des Schnittes im Planum.

Funde V5204

Wiederum können nur wenige Fundnummern dem beschriebenen Objekt (V5204) sicher zugeordnet werden (FNrn. St. 10809 und 10799). Diese wenigen Funde sind nicht aussagekräftig oder nicht auffindbar.

Die Funde, die mit jenen aus der benachbarten Grube V5205 durchmischt sind, erwecken den Eindruck eines normalen Siedlungsabfalls. Teilweise sind sekundäre Brandspuren erkennbar. Unter den Tierknochen befindet sich neben Schlachtabfall von Haustieren auch das Fersenbein eines Hirsches.

Archäologische Datierung

Die wenigen, unspezifischen Fundstücke, die sicher der Grube zugeordnet werden können, erlauben keine genauere Datierung. Zieht man die Menge des Mischpostens aus V5204 und der benachbarten V5205 hinzu, kann eine Datierung nach Ha B als wahrscheinlich angenommen werden.

Befundinterpretation

Bei V5204 kann es sich um eine ehemalige (Getreide-)Speichergrube handeln. Ein senkrecht verlaufendes, dunkelbraunes Band an der Wand sowie ein verziegelter Wandbereich können auf primäre Nutzungsspuren wie Wandverputz bzw. Ausbrennen deuten. Nach Aufgabe der Grube füllte man organisches Material ein und deckte dieses mit Asche und Brandschutt ab. Von Osten her füllte man anschließend unterschiedliches Material, unter anderem Brandschutt und Humus, in die Grube. Das letzte Drittel könnte noch einige Zeit offen gestanden haben, ehe das Loch schlussendlich verfüllt wurde bzw. selbst zusedimentierte. Ein Lößbrocken brach wohl zuvor noch von der Wand oder dem Halsbereich.

Fundkatalog V5204[1478]

10486
BE-Süd; Lfm. 90 bis 92; 120–140 cm unter HOK/Lfm. 90
Durchmischung mehrerer Befunde, evtl. können Teile aus oberstem Bereich von V5204 stammen – meist wohl aus Schicht 93[1479]
Ker, Kn, Stein, Zie
.1 KerBS (200 g)
.2 Herdplattenfrg., weißliche Oberfl. u. 2 schwache Riefen, stark gebr.

10515
BE-Süd; Lfm 86 bis 90; 130–150 cm unter HOK/Lfm. 90
Durchmischung mehrerer Befunde, evtl. können Teile aus oberstem Bereich von V5204 stammen – meist wohl aus Schicht 93
Ker, Kn, HL, Mondidolrest?
.1 KerBS (680 g), u. a. 2 Einzugsrandschalen (Taf. 29/2); WS mit Ritzlinien

10529
BE-Süd; Lfm. 88 bis 92; 140–160 cm unter HOK/Lfm. 90
Durchmischung mehrerer Befunde, evtl. können Teile aus oberstem Bereich von V5204 stammen – meist wohl aus Schicht 93
Ker, Kn
.1 w. KerBS (70 g), u. a. RS von feinem KHG, poliert, mit Abnutzung am Rand (Taf. 29/3)

10540
BE-Süd; Lfm. 90,4 bis 90,5; 190–200 cm unter HOK/Lfm. 90; 40–50 cm nach Norden
Nicht klar, ob der Fund noch vom äußersten Ost-Rand von V5204 oder dem urgeschichtlichen Laufhorizont „Alte Verf. 90“ stammt; wenn zu V5204 gehörend, dann im Bereich Sign. 21030
Steingerät
(Verbleib?)

10541
BE-Süd; Lfm. 86 bis 94; 120–160 cm unter HOK/Lfm. 90
Durchmischung mehrerer Befunde, evtl. können Teile aus oberstem Bereich von V5204 stammen – meist wohl aus Schicht 93
Ker, Kn, Stein
.1 HL (650 g), u. a. plattenförm., jeweils mit glatter Schaufl., 1 × mit Brettabdruck, teils rötlich verbrannt
.2 Herdplattenfrg., stark gebr., Brettabdruck auf Unterseite

10570
BE-Süd; Lfm. 86 bis 100; 230–290 cm unter HOK/Lfm. 90 und allgemeiner Aushub
Durchmischung mehrerer Befunde, hauptsächlich aber V5204 und V5205
Funde, die zu V5204 gehören -> Sign. 21026–21030
Ker, Kn, Stein
.1 KerBS (270 g), u. a. RS von Einzugsrandschale
.2 Tierkn (300 g; ^{14}C-Datierung)
- Hirsch: Calcaneus
- Rind: Processus frontalia (Hornzapfen) mit Feuereinw. (Taf. 80/4), Humerus
- Schwein: Calvaria (13 ×), Zahn[1480]

10584
BE-Süd; Lfm. 86 bis 90; 240–260 cm unter HOK/Lfm. 90
Durchmischung mehrerer Befunde, Teile können aus V5204 stammen
Funde, die zu V5204 gehören -> Sign. 21026–21030
Ker, Kn, Stein
.1 KerBS (110 g)
.2 KerBS von Drehscheibenware, SMA

10716
BE-Süd; Südprofil; 140 cm unter HOK/Lfm. 91
Übergangsbereich zwischen MA-Strate und V5204; wenn zu V5204 gehörend, dann Sign. 21033 oder 21034
Bronze
.1 Frg. von stabförm. Bronzeobjekt (von Fibel?) mit D-förm. Querschnitt (Taf. 29/1)

10799
BE-Süd; Nordprofil; auf Plan BE 37/1977
Alte Verf. 115
Sign. 21032 (unten)
Ker, Kn
(Verbleib?)

1478. V5204 wird in einer Tiefe von 160 cm unter Lfm. 90 von einem wohl mittelalterlichen Laufhorizont gekappt.

1479. Siehe Plan BE 37/1977; mit „93“ ist eine jüngere Schicht bzw. ein Objekt bezeichnet worden, welche/s V5204 und V5205 überlagert.

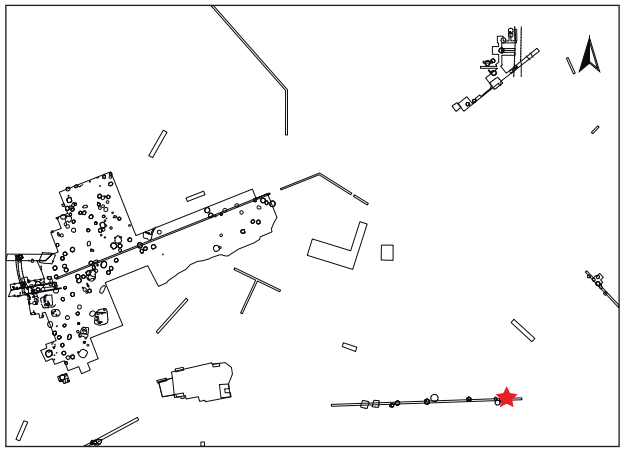
1480. Bei den 13 Schädelbruchstücken vom Hausschwein (FNr. St. 10570.2, V5204 oder V5205) handelt es sich um die Überreste von mehreren Individuen. Die meisten zeigen eindeutige Schlachtspuren, sind also Haushaltsabfall.

10800
BE-Süd; Nordprofil; auf Plan BE 37/1977
Alte Verf. 93 (knapp über V5204)
Unklar, ob noch zu V5204 gehörend – eher nicht
Ker
(Verbleib?)

10809
BE-Süd; Südprofil; auf Plan BE 35/1977
Alte Verf. 121
Keramik und Mörtel aus Sign. 21026 und 21028; Knochen aus Sign. 21030
Ker, Stein
.1 w. KerBS (20 g)

Objekt V5205 – Kegelstumpfförmige Grube

Lage	Bügeleisen Süd-Schnitt, Lfm. 90,60–92,60
alte Objektnr.	Verf. 115
Literatur	
Interfaces	
Signaturen (Schichtnrn.)	21036–21042



Profile/Schnitte

Plannr.	alte Verf.	Hauptprofil		Schnitt	
		Orientierung	Lage/Quadrant	Bezeichnung	unter DOKN
BE 37/1977 (Abb. 428)	115	Nordprofil	BE-Süd		HOK

Stratigraphie V5205

Objekt V5205 wird von einer wohl mittelalterlichen Aufschüttungsschicht (V5295) etwa 160 cm über der Sohle gekappt (Abb. 428).

Grubenform

Wandverlauf	Sohlenverlauf	Übergang Sohle – Wand	primäre Nutzungsspuren	Auffälligkeiten
überwiegend steilkonische Wand	relativ waagrechte Grubensohle	gerundet		nahe an Grube V5204 errichtet (unterer Bereich der Westwand aufgrund der Nähe zu V5204 möglicherweise einziehend)

Größe und Fassungsvermögen V5205[1481]

min. Dm. (d): Bereich Sign. 21042	130 cm
max. Dm. (D): Grubensohle (ca. 40 cm darüber)	185 cm
max. erh. Grubentiefe (h)	160 cm
max. rek. Grubentiefe	230 cm
erh. rek. Fassungsraum der Grube	3,15 m³
rek. Fassungsraum der Grube	3,62 m³
archäolog. Datierung	Ha B
^{14}C-Datierung	Poz-99236: 820 ± 30 BP [1165 (95,4 %) 1265 AD, Mw. 1215 AD]

1481. Es ist unklar, ob die Grube mittig oder randlich geschnitten wurde!

Beschreibung V5205

Die Wände verlaufen unregelmäßig: im Westen beutelförmig, im Osten steil trapezförmig. Der Übergang zur überwiegend waagrechten Sohle ist gerundet (Abb. 428). Die Einfüllungen fallen alle von Osten nach Westen ab. In die untere Grubenhälfte wurde Brandschutt in mehreren Etappen eingebracht. Zuunterst wurde reiner Brandschutt mit Hüttenlehmbrocken eingefüllt (Sign. 21036). Es folgen ein grau-rotes Asche-Brandschutt-Gemisch (Sign. 21037), reine Asche (Sign. 21038) sowie erneut roter Brandschutt (Sign. 21039), Asche (Sign. 21040) und abschließend wieder roter Brandschutt mit Hüttenlehmbrocken (Sign. 21041). Die obere Grubenhälfte nimmt graubraunes, humos-aschiges Material ein (Sign. 21042). Es sind kaum Kleinfunde in der gesamten Grubenverfüllung vorhanden.

Schichtabfolge V5205

Lage in der Grube	Sign.	Beschreibung	Kurzbeschreibung	besondere Funde	Höhe ab Sohle in cm
direkt auf der Grubensohle		keine Einfüllung dokumentiert			
„Deponierungshorizont“					
unebene Oberkante, keine Deponierung	21036	rot-graues Brandschutt-Asche-Gemisch (mehrere Schichten mit Löß?)	Brandschutt, fundarm		0–30
	21037	grau-aschiges Material	Brandschutt-Asche-Gemisch, fundarm		5–56
	21038	grau-aschiges Material	Asche, fundarm		35–65
	21039	roter Brandschutt mit Hüttenlehmbrocken	Brandschutt, fundarm		30–68
	21040	grau-aschiges Material	Asche, fundarm		40–80
	21041	roter Brandschutt mit Hüttenlehmbrocken	Brandschutt, fundarm		54–80
oberer Grubenbereich	21042	mehrere Schichten(?) von grau-braunem, humosem, aschigem Material	Humus-Gemisch, fundarm		62–160

Schichtbeschreibung (Sign.) V5205

Sign.	Schicht-schlüssel	Beschreibung	auf Plan	zugeordnete Fundnummern	besondere Funde
21036	2	rote Brandschuttschicht mit Hüttenlehmbrocken; von Osten nach Westen abfallend; 5–30 cm mächtig (Abb. 428)	BE 37/1977		
21037	17	rot-graues Brandschutt-Asche-Gemisch (evtl. mehrere Schichten – auch mit Löß); 20–25 cm mächtig (Abb. 428)	BE 37/1977		
21038	1	grau-aschiges Material; hauptsächlich im Ostteil (nach Westen abfallend); max. 16 cm mächtig (Abb. 428)	BE 37/1977		
21039	2	rote Brandschuttschicht mit Hüttenlehmbrocken; hauptsächlich im Westen; 2–8 cm mächtig (Abb. 428)	BE 37/1977		
21040	1	grau-aschiges Material; relativ gleichmäßig stark; 8–17 cm mächtig (Abb. 428)	BE 37/1977		
21041	2	rote Brandschuttschicht mit Hüttenlehmbrocken; im Westen stärker; max. ca. 9 cm mächtig (Abb. 428)	BE 37/1977		
		Funde, die zu V5205 gehören, Sign. 21042 (untere Hälfte) bis 21037		10570(?) (Taf. 80/4)	
21042	17	mehrere Schichten(?) von grau-braunem, humosem, aschigem Material; ca. 98 cm mächtig erhalten (Abb. 428)	BE 37/1977	10486(?), 10529(?), 10540(?), 10541(?), 10548(?), 10552(?), 10802	

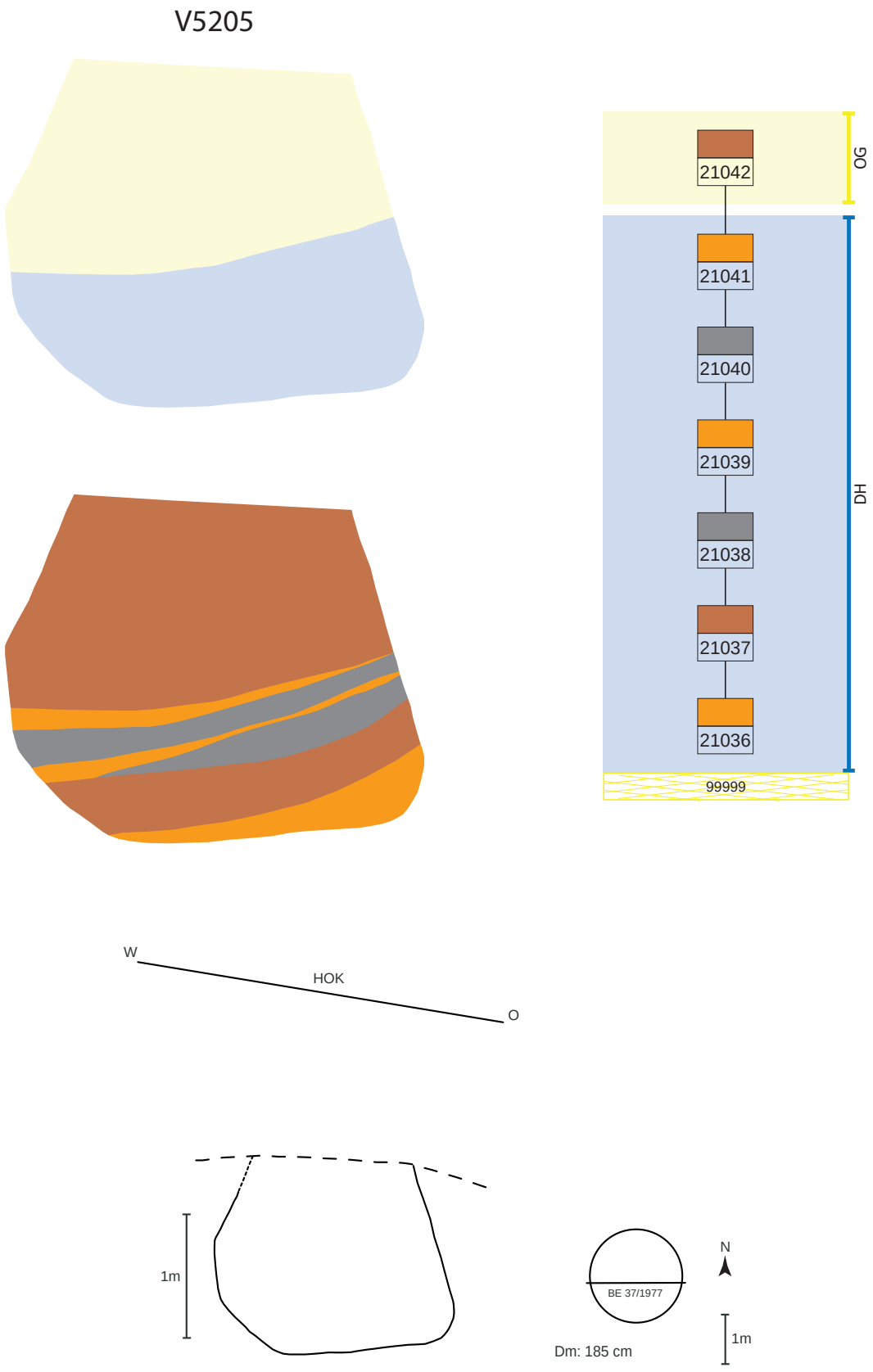


Abb. 430: V5205, schematische Darstellung, Schnitt und Lage des Schnittes im Planum.

Funde V5205

Aufgrund der Grabungsmethode kann nur eine Fundnummer dem Objekt V5205 sicher zugeordnet werden (FNr. St. 10802). Unter dieser Nummer läuft eine Wandscherbe mit Fingertupfenleiste. Weitere Fundnummern stammen entweder aus V5205 oder aus dem benachbarten Objekt V5204 (z. B. Taf. 29/3). Sie erwecken den Eindruck eines normalen Siedlungsabfalls.

Archäologische Datierung

Die wenigen, unspezifischen Fundstücke erlauben keine genauere Datierung als nach Ha B.

Naturwissenschaftliche Datierung

Aus dem Fundposten St. 10570.2 wurde an einem Tierknochen eine ^{14}C-Datierung durchgeführt und ein hochmittelalterliches Datum erzielt: Poz-99236: 820 ± 30 BP [1165 (95,4 %) 1265 AD, Mw. 1215 AD]. Der Tierknochen stammt offensichtlich aus dem mittelalterlichen Aufschüttungshorizont.[1482]

Befundinterpretation

Bei V5205 kann es sich um eine ehemalige (Getreide)Speichergrube handeln. Die Form der Grube ist nicht regelmäßig kegelstumpfförmig, sondern präsentiert sich an der westlichen Seite im unteren Bereich einziehend. Die Ursache könnte durch die Nähe zu Objekt V5204 begründet sein. Demnach war die benachbarte Grube bereits vorhanden, als V5205 angelegt wurde. Da man beim Graben zu nahe an die schon bestehende Grube gelangte, entschied man sich, in diesem Bereich die Wand einziehend zu gestalten. Nach Aufgabe wurde das Objekt mit Brandschuttmaterial verfüllt.

Fundkatalog V5205[1483]

10486
BE-Süd; Lfm. 90 bis 92; 120–140 cm unter HOK/Lfm. 90
Durchmischung mehrerer Befunde, evtl. können Teile aus oberstem Bereich von V5205 stammen – meist wohl aus Schicht 93
Ker, Kn, Stein, Zie
.1 KerBS (200 g)
.2 Herdplattenfrg., weißliche Oberfl. und 2 schwache Riefen, stark gebr.

10529
BE-Süd; Lfm. 88 bis 92; 140–160 cm unter HOK/Lfm. 90
Durchmischung mehrerer Befunde, evtl. können Teile aus oberstem Bereich von V5205 stammen – meist wohl aus Schicht 93
Ker, Kn
.1 w. KerBS (70 g), u. a. RS von feinem KHG, poliert, mit Abnutzung am Rand (Taf. 29/3)

10541
BE-Süd; Lfm. 86 bis 94; 120–160 cm unter HOK/Lfm. 90
Durchmischung mehrerer Befunde, evtl. können Teile aus oberstem Bereich von V5205 stammen – meist wohl aus Schicht 93
Ker, Kn, Stein
.1 HL (650 g), u. a. plattenförm., jeweils mit glatter Schaufl., 1 × Brettabdruck, teils rötlich verbrannt
.2 Herdplattenfrg., stark gebr., Brettabdruck auf Unterseite

10548
BE-Süd; Lfm. 90 bis 92; 120–140 cm unter HOK/Lfm. 90
Teile können aus oberstem Bereich von V5205 stammen – meist wohl aus Schicht 93
Wenn zu V5205 gehörend, dann Sign. 21042
Ker, Kn, Stein, Zie
(Verbleib?)

10552
BE-Süd; Lfm. 92 bis 96; 110–130 cm unter HOK/Lfm. 90
Teile können aus oberstem Bereich von V5205 stammen – meist wohl aus Schicht 93
Wenn zu V5205 gehörend, dann Sign. 21042
Ker, Kn, Stein, HL
.1 KerBS (110 g)
.2 HL (300 g) mit Rutenabdrücken, Holzabdrücken

10570
BE-Süd; Lfm. 86 bis 100; 230–290 cm unter HOK/Lfm. 90 und allgemeiner Aushub
Durchmischung mehrerer Befunde – hauptsächlich aber V5204 und V5205
Funde, die zu V5205 gehören, Sign. 21042 (untere Hälfte) bis 21037
Ker, Kn, Stein
.1 KerBS (270 g), u. a. RS von Einzugsrandschale
.2 Tierkn (300 g; ^{14}C-Datierung)
- Hirsch: Calcaneus
- Rind: Processus frontalia (Hornzapfen) mit Feuereinwirkung (Taf. 80/4), Humerus
- Schwein: Calvaria (13 Frg.), Zahn[1484]

10802
BE-Süd; Nordprofil; auf Plan BE 37/1977
Alte Verf. 115
Sign. 21042
Ker, HL
.1 w. KerBS (70 g), u. a. WS mit Fingertupfenleiste

1482. Teile des Fundpostens St. 10570 können aus dem Mischhorizont mit mittelalterlichen Funden stammen.

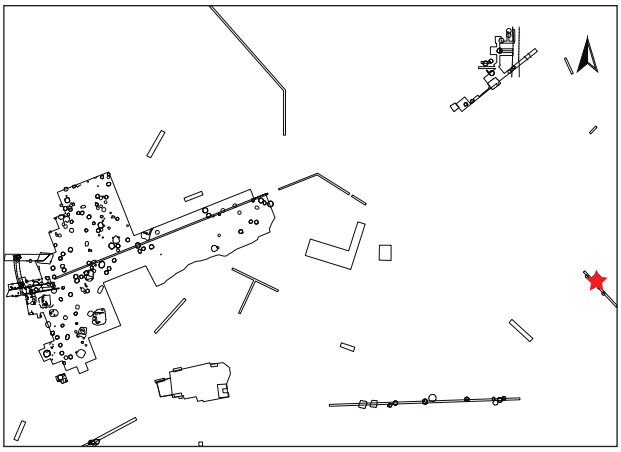
1483. Funde, die über einer Tiefe von 160 cm unter Lfm. 90 (120 cm unter Lfm. 92) stammen, sind wohl nicht V5205 zuzuordnen. Sie gehören sehr wahrscheinlich zu mittelalterlichen Straten!

1484. Bei den 13 Schädelbruchstücken vom Hausschwein (FNr. St. 10570.2, V5205) handelt es sich um die Überreste von mehreren Individuen. Dazu tragen die meisten Knochen eindeutige Schlachtspuren, sind also Haushaltsabfall.

10.1.4 Grabungsfläche „Küssleracker“

Objekt V5400 – Kegelstumpfförmige Grube mit verkohlten Getreideerzeugnissen

Lage	Küssleracker (Such)Schnitt A, Lfm. 8–10
alte Objektnr.	Verf. 16
Literatur	von Osten 1980, 181.
Interfaces	
Signaturen (Schichtnrn.)	20500–20505



Dokumentationsniveaus/Plana

Plannr.	Planum	alte Verf.	Lage/Quadrant	Vertikale Einmessung		
				Ausgangspunkt	relative Tiefe	absolute Höhe in müA
KÜ 17/1978	Planum 2	16	Schnitt A Ost-erweiterung	Lfm. 8	-70 cm (unter HOK/181 müA)	180,30 m
KÜ 18/1978	Planum 3	16	Schnitt A Ost-erweiterung	HOK (181 m ü.A)	-100 cm	180,00 m

Profile/Schnitte

Plannr.	alte Verf.	Hauptprofil		Schnitt	
		Orientierung	Lage/Quadrant	Bezeichnung	unter DOKN
KÜ 5/1978	16	Westprofil	Schnitt A		HOK
KÜ 8/1978 (Abb. 431)	16	Ostprofil	Schnitt A		HOK
KÜ 8/1978 (Abb. 431)	16	Zwischenprofil	Schnitt A	S-Profil bei Lfm. 9,8	1,45 m unter Fixpunkt F1

Stratigraphie V5400

Objekt V5400 wird im oberen Bereich durch Grube V5418 (alte Verf. 8) geschnitten (Abb. 431).

Grubenform

Wandverlauf	Sohlenverlauf	Übergang Sohle – Wand	primäre Nutzungsspuren	Auffälligkeiten
steilkonische, nach innen gewölbte Wand	waagrechte bis schwach ausladende Grubensohle	gerundet, Sohlenrand etwas gehoben		eingebrochener Gruben-wandbereich in oberer Grubenhälfte bei verfüllter Grube; seitliche Risse

Größe und Fassungsvermögen V5400[1485]

min. Dm. (d): Bereich Sign. 20505	ca. 90 cm
max. Dm. (D): Grubensohle	ca. 200 cm
max. erh. Grubentiefe (h)	135 cm
max. rek. erh. Grubentiefe (h) (HUK)	155 cm
max. rek. Grubentiefe	180 cm
erh. rek. Fassungsraum der Grube	2,68 m³
rek. Fassungsraum der Grube	2,80 m³
archäolog. Datierung	Ha B2
^{14}C-Datierung	Beta 486379[1486]: 2780 ± 30 BP [1004 (95,4 %) 844 BC, Mw. 924 BC]
Zuordnung zu Siedlungsphase	II

Beschreibung V5400

Wegen der interessanten Fundführung dieser urnenfelderzeitlichen Grube wurde der Suchschnitt nach Nordosten erweitert.[1487] Form im Planum annähernd kreisförmig erhalten, mit einem errechneten Durchmesser von höchstens etwa 200 cm. Die Wände verlaufen steil trapezförmig und nach innen gewölbt, während die Sohle schwach nach außen auslädt (Abb. 431). Zuunterst befand sich eine schwarze, aschige Schicht, in die sehr viel Holzkohle eingeschlossen war (Sign. 20500).

Darüber wurde ein Brandschutt-Humus-Gemisch (Sign. 20501) eingebracht, das viele Hüttenlehmbrocken, Holzkohle, sekundär gebrannte Keramikgefäße und weitere bemerkenswerte Funde mit sekundären Brandspuren enthielt, darunter insgesamt 13 Tonring(bruchstück)e sowie Reibplattenbruchstücke. Drei weitere, sehr kleine Ringlein konnten als verkohlte Getreideerzeugnisse[1488] bestimmt werden. Anschließend folgt eine fundarme Einfüllung aus hauptsächlich Humus und wenig Asche (Sign. 20502). Die untere Grubenhälfte wird von einer schwarzen Ascheschicht mit Holzkohle abgeschlossen (Sign. 20503). Darüber wurden abwechselnd braun-humose Schichten und Löß eingefüllt (Sign. 20504). Das zuletzt eingefüllte Material ist braun-humos (Sign. 20505).

Schichtabfolge V5400

Lage in der Grube	Sign.	Kurzbeschreibung	besondere Funde	Höhe ab Sohle in cm
direkt auf der Grubensohle	20500	Asche mit Holzkohle, fundarm(?)		0–2
„Deponierungshorizont“				
	20501	Brandschutt-Humus-Gemisch, fundreich!	mehrere Tonringe; organische Ringe; pyramidenstumpfförm. Webgewicht; bearbeitetes Holz; sekundär bearbeitete Keramik; gebrannte Lehmobjekte (Architekturteile?)	2–25
			halbes Gefäß (Kegelhalsgefäß)	
	20502	Humus, eher fundarm	Bronzenadel	10–57
annähernd waagrechte Oberkante, keine Deponierung?	20503	Asche, fundarm(?)		33–57
oberer Grubenbereich				
Hell-Dunkel-Einfüllung	20504	Humus-Löß, eher fundarm	bearbeitetes Geweih	45–89
	20505	Humus, fundarm		

1485. Die Grube wurde nicht genau mittig geschnitten, daher handelt es sich hier zum Teil um rekonstruierte Maße.

1486. Probe: Schwarzes, organisches Ringlein mit FNr. St. 12050.4 aus der Brandschuttschicht Sign. 20501. Wir danken der Firma “backaldrin International – The Kornspitz Company GmbH“ für die Finanzierung dieser Probe und Andreas G. Heiss für die Organisation.

1487. Von Osten 1980, 181.

1488. Heiss et al. 2017. – Heiss et al. 2019. – Siehe Kap. 3.8.

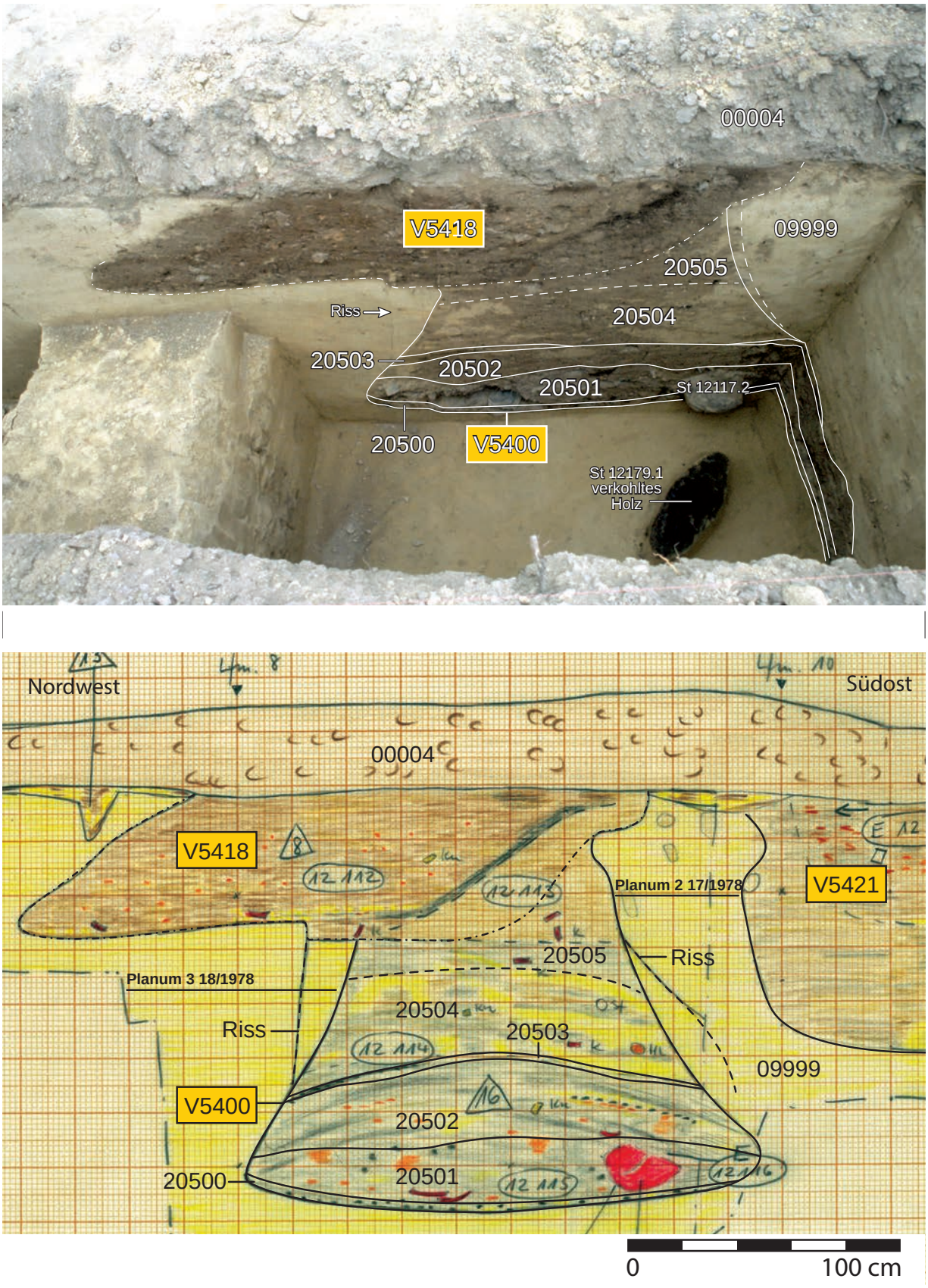


Abb. 431: V5400, „Küssleracker“: Umgezeichnetes Profilfoto und umgezeichneter Grabungsplan von Grube V5400. Die Schicht mit dem Brandschutt (Sign. 20501) enthielt auch die untersuchten Getreideringlein FNrn. St. 12050.2–4. Im Vordergrund ist das verkohlte Holzbrett FNr. St. 12179.1 am Grubenboden gut zu erkennen (Sign. 20500) (Grabungsdokumentation Stillfried, Landessammlung Niederösterreich, Bereich Ur- und Frühgeschichte, Fotonr. ST01764; Zeichnung: S. von Osten, Universität Wien, Plannr. KÜ 8/1978).

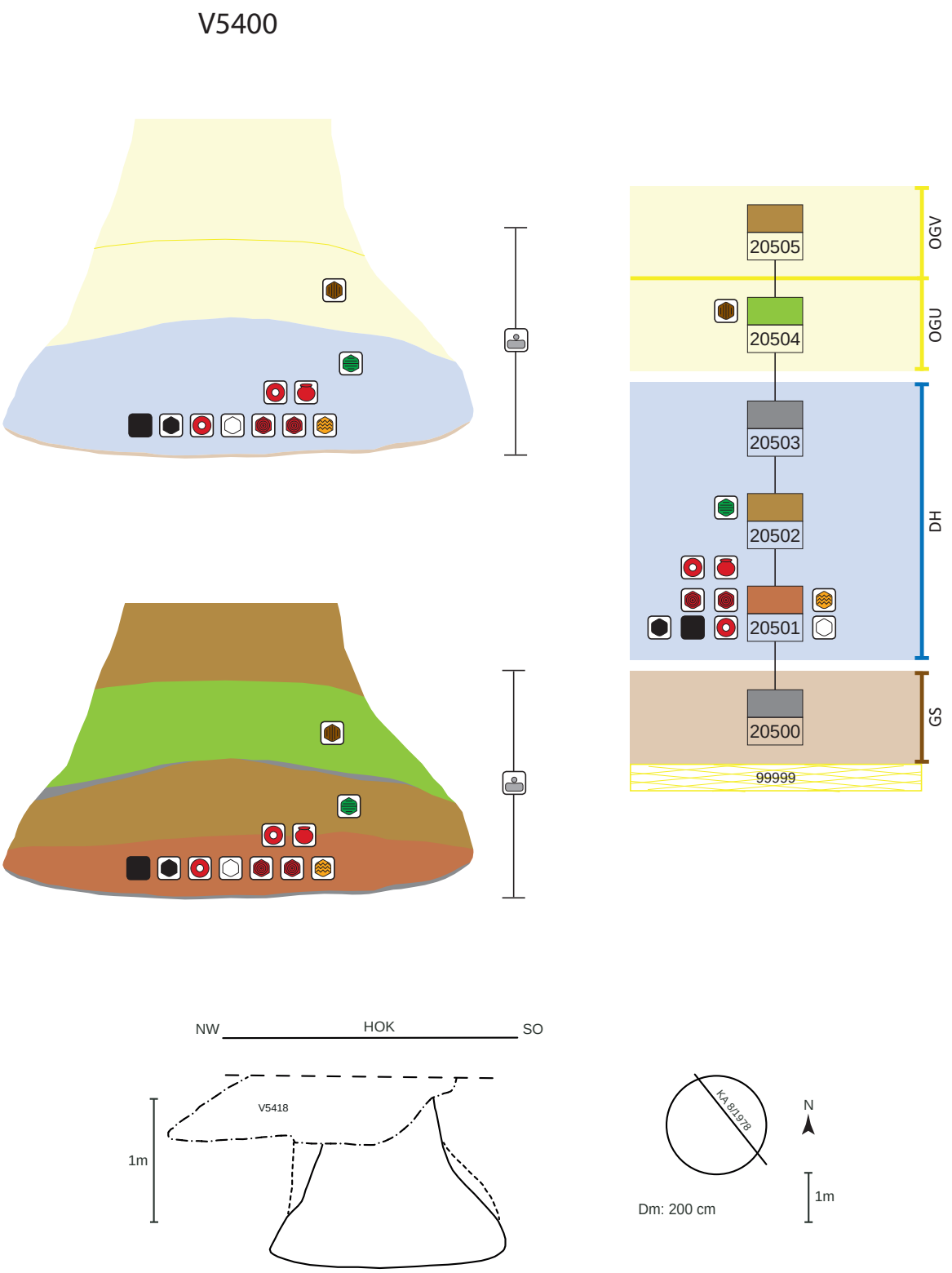


Abb. 432: V5400, schematische Darstellung, Schnitt und Lage des Schnittes im Planum.

Schichtbeschreibung (Sign.) V5400

Sign.	Schicht-schlüssel	Beschreibung	auf Plan	zugeordnete Fundnummern	besondere Funde
20500	1	relativ gleichmäßig auf der Sohle verteilte, dunkle, aschige Schicht, sehr stark mit Holzkohle durchsetzt; ca. 2 cm mächtig (im zentralen Bereich sehr starke Konzentration, evtl. Holzbrett; Taf. 82/3–4, Abb. 431)	KÜ 5, 8/1978	12100, 12179(HK)	**verkohltes Holz(brett)** (St. 12179.1; Taf. 82/3–4)
20501	17	braun-humoses bis grau-aschiges Gemisch mit sowohl kleinen Holzkohleflittern als auch großen Holzkohlestückchen sowie größeren Hüttenlehmbrocken und Keramik (evtl. ein ganzes oder zu großen Teilen ganzes Gefäß [Taf. 31/2]); 24 cm mächtig (ca. 0,6 m³)	KÜ 5, 8/1978	12043, 12045, 12046, 12047, 12048, 12049, 12050, 12052(HK), 12101, 12115, 12116, 12117, 12118(HK), 12119, 12136, 12137, 12138	Webgewichtfrg. (St. 12049.12); **verkohltes Holzstück mit Bearbeitungsspuren** (Eiche, St. 12050.1; Taf. 33/5); **Tonring** (St. 12116.1; Taf. 32/8); **drei kleine, ringförm. Getreideerzeugnisse** (Gersten- und Weizenmehl, St. 12050.2–4; Taf. 33/2–4); **„Tonstempel“** (St. 12049.1; Taf. 31/3; 81/3); **evtl. intentionell bearbeitete Wandscherbe** (St. 12049.6; Taf. 31/4 u. Abb. 83, 84); Herdplattenfrg. (St. 12049.13); **längliche, gebrannte Lehmobjekte/Architekturteile** (St. 12049.11; Taf. 81/5); kalzinierte Knochen (St. 12138)
		Übergang Sign. 20501 und 20502		12044, 12051	**neun Tonringe** (St. 12044.1–9; Taf. 31/5–6; 32/1–7); **halbes Kegelhalsgefäß** (St. 12051.1; Taf. 31/1; 81/1–2)
20502	9	meist braun-humoses Material mit dünnen Aschebändern und kleinen Lößeinschlüssen; teils kleinere Hüttenlehmbröckchen; 31 cm mächtig	KÜ 5, 8/1978	12042(HK), 12099, 12102	**Bronzenadel** (St. 12099.3; Taf. 33/7); Herdplattenfrg. (St. 12099.2)
20503	1	dünnes schwarzes Ascheband mit Holzkohle und kleinen Hüttenlehmbröckchen; v. a. im Nordteil der Grube; 1–2 cm mächtig	KÜ 8/1978		
20504	14	mehrere braun-humose und gelb-lehmige Schichten mit wenig Knochen, Keramik, Hüttenlehm; 30–35 cm mächtig	KÜ 5, 8, 18/1978	12039, 12103, 12114, 12125	**bearbeitetes Geweih** (St. 12039)
20505	9	braun-humoses Material	KÜ 8, 17/1978	12040(?), 12113(?), 12254(?)	Reibplattenfrg. (St. 12040.3; Taf. 34/2)
		keine genaue Zuordnung möglich (Großteil wohl aus St. 12501)		12041, 12107, 12109(HK), 12110, 12111, 12119, 12121(?), 12260, 12266, 12267, 12268, 12271, 12272, 12273, 12274	**Reibplattenteilstücke** (St. 12041.4, 12260.5; Taf. 34/1, 4; 83); Tonringe (St. 12266.1–2, 12272.1; Taf. 32/9–10; 33/1); **längliche, gebrannte Lehmobjekte** (St. 12041.3; 12267.4; Taf. 82/1,2); pyramidenstumpfförm. Webgewicht (St. 12260.4); Tonringfrg. (St. 12273.1; Taf. 33/6)

Funde V5400

Im Brandschutt (Sign. 20501) knapp über der Grubensohle befand sich Brandkeramik, die deutliche Anzeichen von Schadfeuer aufweist. Die Gesamtmenge der Gefäßkeramik aus V5400 von etwa 8 kg stammt größtenteils aus dieser Schicht. Darunter überwiegen große Bruchstücke grobkeramischer Haushaltsware,[1489] die zu großen Teilstücken zusammengesetzt werden konnten (Töpfe, Vorrats- und Kochgefäße). Ein großes Kegelhalsgefäß (Taf. 31/2) ließ sich annähernd vollständig ergänzen. Sieben Bruchstücke einer Einzugs-

1489. Sekundär gebrannt: FNrn. St. 12117.2; 12049.4–5, 7–8; Zuordnung nicht gesichert: FNr. St. 12267.1.

randschale ergeben immerhin eine knappe Gefäßhälfte (Taf. 30/1). Beide Gefäße sind stark sekundär gebrannt und mit auffällig großen, weißlichen Quarzsteinchen (bis 1,2 cm Größe, FNr. St. 12049.2) bzw. einzelnen, großen Kalksteinchen (FNr. St. 12045.1) gemagert. Auffällig ist das ebenfalls stark verbrannte, dünnwandige Kegelhalsgefäß mit einem erhaltenen Bandhenkel am Hals sowie zwei waagrechten Ritzlinien am Hals-/Schulterübergang (Taf. 30/5). Da ähnliche Kegelhalsgefäße aus dem Stillfrieder Gräberfeld – datierend in ein frühes Ha B2[1490] – doppelhenkelig sind, ist dies auch für unser Stück anzunehmen. Solche dünnwandigen, doppelhenkeligen Kegelhalsgefäße sind kennzeichnend für die Lausitzer Kultur (Schlesische Gruppe),[1491] sodass die Stillfrieder Exemplare unter nordöstlichem Einfluss stehen. In Machart, Ton und Brand (Sekundärbrand?) sind Randbruchstücke einer großen kannelierten (Henkel)Tasse aus der kegelstumpfförmigen Grube V868 diesem Gefäß an die Seite zu stellen, wo zwei tief und scharf eingeritzte waagrechte Linien den Hals-/Schulterübergang markieren.[1492]

Unter den wenigen sonstigen Vertretern der mittelfeinen und feinen Ware[1493] zeigt der Randscherben einer dünnwandigen Tasse (Taf. 30/3)[1494] keine Spur eines Schadfeuers, während dies beim Randstück einer großen kannelierten Henkeltasse nicht klar zu beantworten ist (Ha B2–3; Taf. 30/4). Ein weiteres Randstück einer solchen noch größeren Henkeltasse aus dieser Grube (V5400) zeigt eindeutig Sekundärbrand (Rdm. 24 cm, Taf. 34/5). Tasse Taf. 30/3 hat eine gute Parallele aus V5006 (Taf. 24/4).

Auch die drei keramischen Sonderformen aus dem Brandschutt zeigen keine Spuren von Schadfeuer. Es handelt sich um die vollständige Hälfte eines längsgeteilten Kegelhalsgefäßes (Taf. 31/1; 81/2). Der Gefäßboden scheint darüber hinaus absichtlich entfernt worden zu sein, wie die alten Brüche zeigen (Taf. 81/1). An den seitlichen Bruchkanten sind stellenweise Pickspuren zu vermuten, was einen Hinweis auf eine absichtsvolle Längsteilung des Gefäßes gibt. Die ursprünglich vorhandenen Griffleisten sind vermutlich entfernt worden, wie die rundlichen Fehlstellen an der Außenseite der Bauchwölbung andeuten (Taf. 81/2). Hier handelt es sich möglicherweise um eine (zweifache) Abänderung eines ehemaligen Vorrats- oder Kochgefäßes: Zuerst zu einem Trichter (Bodenlochung) und danach durch die Längsspaltung zu einem Schöpfbehelf?

Mit Taf. 31/3 und 81/3 liegt möglicherweise ein Deckel eines feinkeramischen Gefäßes mit voluminösem Griff vor, der zu einem Stempel(?) verkleinert wurde. Abnutzungsspuren lassen sich nicht erkennen. Die dritte Sonderform ist eine halbkreisförmige, vermutlich intentionell aus einem Wandstück gearbeitete Scherbe bzw. ein halbierter „Spielstein“ (Taf. 31/4). Letztere findet eine Parallele in der Depositionsgrube V1133 vom Wallbereich.[1495]

Aus dem Brandschutt stammen alle 14 Tonringe und die drei kleinen, organischen Ringlein (FNrn. St. 12044.1–9, 12116.1, 12266.1–2,[1496] 12272.1; Taf. 31/5–6; 32; 33/1 und Abb. 122). Bei einem weiteren Tonringfragment ist keine Schichtzuordnung möglich (FNr. St. 12273.1; Taf. 33/6). Von den 14 tönernen Stücken sind zwölf vom selben Typ, mit glatter, ebener Unterseite und schwach gerundeter Oberseite, organisch gemagert und mäßig gebrannt (Taf. 31/5–6; 32/1–10). Davon sind zwei Ringe vollständig, wenn auch schwach beschädigt (Taf. 32/3–4). Weitere drei ließen sich aus je zwei alt gebrochenen Bruchstücken zusammensetzen, wovon zwei genau in der Mitte auseinander brachen (Taf. 31/6; 32/9). Ein vollständig zusammensetzbarer Tonring brach in drei Teile (Taf. 31/5). Von den verbleibenden sechs Vertretern fehlt bei einem das vierte Teilstück (Taf. 32/1), während von dreien genau eine Hälfte erhalten ist (Taf. 32/5–6, 10). Von lediglich zweien liegt jeweils nur ein kleines Teilstück vor. Acht dieser zwölf Tonringe weisen rötliche Farbspuren durch Feuereinwirkung auf (Taf. 31/5–6; 32/1–2, 6–9). Sie lassen sich in zwei Größengruppen unterteilen und dienten sehr wahrscheinlich als Webstuhlgewichte (möglicherweise desselben Gerätes). Die größere Gruppe mit acht Vertretern hat einen Durchmesser von 8,6–10,5 cm (Taf. 31/5–6; 32/1, 8–10), die kleineren sind zwischen 6,2 und 7,7 cm breit (Taf. 32/4–6, 7?).

Beim gut erhaltenen Befund eines abgebrannten Gewichtswebstuhls aus Gars-Thunau in Niederösterreich[1497] fanden sich 31 Webgewichte, darunter drei ringförmige, die in Maßen, Form und Gewicht unseren Stücken entsprechen. Alle anderen sind scheibenförmig. Die Thunauer Belege lassen sich ebenfalls in zwei Gewichts- und Größenklassen gliedern. Im Nachbauversuch zeigte es sich, dass keine Rücksicht auf Form (ring- oder scheibenförmig) oder Gewicht der einzelnen Stücke gelegt wurde. Was zählt, ist einzig das Gesamtgewicht der an den Kettfädenbündeln hängenden Gewichte: Die Gewichtsreihen müssen gleich schwer sein.[1498]

Schierer schreibt, dass sie davon ausgeht, dass die Webgewichte vom späturnenfelderzeitlichen Webstuhlbefund von Gars-Thunau luftgetrocknet in Verwendung standen und erst durch das Schadfeuer gebrannt wurden.[1499] Einen Hinweis sieht sie in der unterschiedlichen Färbung auf Unter- und Oberseite. Wir haben bei den Stillfrieder Tonringen zwar keine Regelmäßigkeit in der Rotfärbung beobachtet, aber doch unregelmäßige rötliche Flecken. Die Stillfrieder Gewichte könnten leicht gebrannt im Einsatz gestanden sein oder tatsächlich ungebrannt, beides ist möglich.

Von anderer Form sind das schlankere, stark sekundär gebrannte Tonringfragment von Taf. 33/6 sowie der einzige verzierte Tonring (Taf. 33/1), welcher auch bezüglich Material und Brand herausfällt.[1500] Von pyramidenstumpfförmigen Webgewichten liegen nur kleine Fragmente vor (FNrn. St. 12049.12; 12260.4).

Die drei schwärzlichen Ringlein(bruchstücke) mit Durchmessern zwischen 3,5 und 4,3 cm (FNr. St. 12050.2–4; Taf. 33/2–4) mit blasenartig verschlackten Auftreibungen konnten als verkohlte brotähnliche Objekte bestimmt werden (Mischteig aus Gersten- und Weizenmehl, unfermentiert). Aufgrund des bemerkenswert guten Erhaltungszustands dieser äußerst zerbrechlichen Gegenstände ist zu vermuten, dass diese absichtsvoll in der Grube abgelegt wurden (Näheres in Kap. 3.8).

Weiters liegen gleich drei Bruch- bzw. Teilstücke granitener Reibplatten vor, von denen alle Feuereinwirkung erkennen lassen. Zwei stammen vermutlich aus dem Brandschutt,[1501] nämlich ein langrechteckiges Teilstück (Taf. 34/4) und eine unvollständige Reibplatte von 34 cm (Unterlieger? Taf. 34/1; 83). Das dritte, kleinere Fragment kommt aus der obersten Verfüllschicht (Taf. 34/2). Seine grob rechteckige Form mit den geraden Trennflächen spricht für eine absichtsvolle Zurichtung.

Der Großteil der laut Fundprotokoll geborgenen Tierknochen stammt aus dem Brandschutt, wovon viele nicht auffindbar

---

1490. Grab 28 und 34, Kaus 1984, 134–135, 149–150 und Taf. 27/28a; 34/34a. – Datierung beider Gräber nach S. Stegmann-Rajtár Ha B1 bzw. Ha B1/B2 (Stegmann-Rajtár 1992, 43–45). – M. Kaus stellt Grab 34 in den Übergangshorizont Ha B2/3, Kaus 1984, 16, 19.

1491. Podborský 1970, 46–47, 79, 184.

1492. FNrn. St. 21394, 21378 (V868: Siedlungsphase II).

1493. Fundposten St. 12049.7 von 800 g; St. 12267.1 von 640 g (Zuordnung zu Sign. 20501 unsicher).

1494. Zuordnung zu Sign. 20501 unsicher.

1495. Inv.-Nr. WW164, Sauter, Jordis 1980, Taf. 57. – Hellerschmid, Griebl in Vorbereitung.

1496. Bei FNrn. St. 12266.1 und 12272.1 ist die Zuordnung zum Brandschutt nicht gesichert.

1497. Schierer 1987.

1498. Schierer 1987, 50.

1499. Schierer 1987, 65.

1500. Weißlicher, gut gebrannter Ton.

1501. Zuordnung zu Sign. 20501 unsicher.

sind.[1502] Die vorhandenen Tierknochen setzen sich aus gewöhnlichen Schlachtabfällen zusammen, wobei aus dem Brandschuttbereich auch kalzinierte Tierknochen dokumentiert sind (FNrn. St. 12115.3; 12138.1).

Der Hauptteil des geborgenen Hüttenlehms mit einem Gesamtgewicht von etwa 20 kg kommt ebenso aus der Brandschicht.[1503] Die Stücke verweisen mit ihren vielfältigen Abdrücken (von Ruten, Rundhölzern und Brettern) auf unterschiedliche Bautechniken (Flechtwerkwände, Brettverschalungen, Pfostenbauten mit Riegelhölzern). Auffällig sind hart gebrannte, zylinderförmige Bruchstücke mit senkrechten, parallel verlaufenden Abdrücken schmaler Ruten, die einer Quirlform nahe kommen (Taf. 81/4).

In diesem Verband fanden sich auch gebrannte, längliche Lehmobjekte, die den „hüttenlehmartigen Objekten in Schuhleistenform" aus Grube V5001 vom „Wagneracker" ähneln und als Architekturbruchstücke gedeutet werden. Sie haben bei leichter Krümmung einen D-förmigen Querschnitt. Die Unterseiten sind entweder eben („Sohlen") oder uneben ausgebrochen (Taf. 81/5 und Abb. 108; Taf. 82/1; FNr. St. 12041.3). Anders das stark vegetabil gemagerte Stück FNr. St. 12267.4 (Taf. 82/2), das mit seiner einseitigen, konkav verlaufenden Krümmung eine Ausstreichung im Bereich eines Rundpfostens in Hüttenlehmmanier anzeigt (Kap. 3.1.5.2). Anzuschließen ist das stark abgerundete und gebrannte Herdplattenstück von Abb. 115 (FNr. St. 12049.13) mit zwei bzw. drei flachen, gewölbten Riefen auf der geglätteten Oberseite (Fingerriefung?). Es weist bei geringer Höhe[1504] auch eine glatte Rückseite auf. Sehr wahrscheinlich geriet es in ein Schadfeuer.

Auf der Sohle wurde ein großes, verkohltes Holzstück geborgen (Abb. 431). Der an einer Seite anhaftende gebrannte Lehm lässt vermuten, dass das Holz (noch) in der Grube brannte (Taf. 82/3–4), wobei die geringe Stärke auf ein Brett hindeutet. Direkt aus dem Brandschutt stammt ein großes, verkohltes Eichenholzstück mit Hackspuren (Taf. 33/5).

Nur wenige Funde kommen aus den den Brandschutt abdeckenden Schichten, darunter ein Bronzenadelbruchstück (Taf. 33/7) und das Randstück einer waagrecht facettierten Einzugsrandschale (Taf. 34/3).

Archäologische Datierung

Das zahlenmäßig geringe keramische Material spricht für eine zeitliche Stellung nach Ha B2 bis Ha B3. Durch die Anwesenheit des alten gehenkelten Kegelhalstyps von Taf. 30/5 und das ^{14}C-Datum wird eine Datierung von Grube V5400 nach Ha B2 vorgeschlagen.

Naturwissenschaftliche Datierung

Es liegen zwei AMS-^{14}C-Datierungen vor:

Kleine schwarze Ringbruchstücke/Getreideerzeugnisse FNrn. St. 12050.2–4 aus der Brandschicht 20501: Beta-486379: 2780± 30 BP [1004 (95,4 %) 844 BC, Mw. 924 BC].[1505]

Ein Tierknochen, laut Fundprotokoll aus Schicht 20501 stammend, erbrachte ein römerzeitliches Alter.[1506] Wir gehen von einem Fehler in der Fundverwaltung aus.

Naturwissenschaftliche Untersuchung der ringförmigen Getreideerzeugnisse

Siehe Kap. 3.8.

Holzbestimmung

Aus dem unteren Grubenbereich wurden drei Holzkohleproben einer Holzbestimmung unterzogen:[1507] Das große, verkohlte Holzstück mit Hackspuren aus dem Brandschutt (Sign. 20501) konnte als Eichenholz bestimmt werden (Taf. 33/5). Weitere Proben aus dieser Schicht haben sich als verkohltes Eichen- und Lindenholz herausgestellt (FNr. St. 12118.1). Die zehn Holzkohlestücke aus der darüber liegenden Schicht 20502 erwiesen sich als Eiche (4 ×), Linde (5 ×) und Ulme (1 ×) (FNr. St. 12042.1).

Befundinterpretation

Bei Objekt V5400 handelt es sich um eine aufgelassene (Getreide) Speichergrube. In die leere Grube wurde ein brennendes bzw. noch glühend heißes Holzbrett geworfen (Sign. 20500). Der anschließend eingefüllte Brandschutt enthielt Konstruktionselemente und Hausinventar eines abgebrannten Gebäudes, vermengt mit Erde (Hüttenlehm, längliche Lehmobjekte der Hausarchitektur?, große Bruchstücke von Vorrats- und Kochgefäßen mit Sekundärbrand, Reibplattenfragmente und einen Satz von Tonringen; Abb. 122). In dieser Schicht fanden sich auch drei kleine, ringförmige und äußerst zerbrechliche verkohlte Getreideerzeugnisse (Abb. 33/2–4), deren guter Erhaltungszustand ein absichtsvolles Ablegen wahrscheinlich macht (siehe Kap. 3.8.5.2). Der im Vergleich zur groben Haushaltsware niedrige Anteil des Tafelgeschirrs fügt sich gut in die Deutung eines Hausinventars, da mengenmäßig die Koch- und Vorratsgefäße das Tafelgeschirr übertreffen. Zwei der drei Tassenbruchstücke weisen dabei keine Schadfeuerspuren auf (Taf. 30/3–4). Gleiches gilt für die drei sekundär zugerichteten keramischen Sonderformen: Eine Kegelhalsgefäßhälfte, die in Zweitverwendung als Schöpfgefäß gedient haben könnte, ein möglicher Tonstempel und eine halbkreisförmige Wandscherbe.

Der Befund lässt sich sowohl profan als auch kultisch deuten:

Profane Deutung: Ein Schadfeuer vernichtete ein Haus samt Bauelementen und Inventar. Das Tafelgeschirr und die keramischen Sonderfunde befanden sich in jenem Hausbereich, der im Gegensatz zum Vorrats- und Kochgeschirr vom Feuer verschont blieb. Ein Teil des Brandschutts wurde in die aufgelassene Speichergrube gefüllt, wobei die Getreideringlein per Zufall in auffällig gutem Zustand erhalten blieben. Anschließend wurde die Grube rasch mit Humus und Löß aufgefüllt.

Kultische Deutung: Entsprechend dem kulturanthropologischen Ansatz, wonach alle Nutzungsabschnitte prähistorischer Bauten (Errichtung, Nutzung, Auflassung) fest vorgeschriebenen Regeln und Handlungsschritten unterlagen, musste auch dieses abgebrannte Haus, dessen Inventar teilweise in Grube V5400 vorgefunden wurde, rituell von seinen Aufgaben entbunden und „beerdigt" werden. Damit wurden die bestmöglichen Voraussetzungen für einen Neubeginn (Neuerrichtung) geschaffen, indem Gegenstände aus dem Brandschutt, die das Haus repräsentieren, in die Grube gefüllt wurden (Architektur- und Geschirrteile, Herdplattenbruchstück, Reibplattenfragment, Hüttenlehm, Holzkohle, Tierknochen). Der Tonringsatz versinnbildlicht die große Bedeutung des Textilhandwerks in diesem Haus. Bei den drei verkohlten Ringlein handelt es sich um (Brand)Opfergaben, die dem Brandschutt im Rahmen des Rituals genauso beigegeben wurden wie Teile des beim Speise- bzw. Trankopfer verwendeten Tafelgeschirrs. Auch die drei vollständigen

---

1502. Nicht auffindbar aus Sign. 20501: FNrn. St. 12138; 12048, 12101.

1503. FNrn. St. 12049.10; 12136.2, keine gesicherte Zuordnung möglich: FNrn. St. 12041.2; 12260.3; 12267.2.

1504. H. 2,6 cm, L. 9 cm, B. 9 cm. – Siehe Kap. 3.1.5.3.

1505. Wir danken der Firma "backaldrin International – The Kornspitz Company GmbH" für die Finanzierung dieser Probe und Andreas G. Heiss für die Abwicklung.

1506. FNr. St. 12049.14: Poz-99235: 1830 ± 35 BP [83 (95,4 %) 316 AD, Mw. 200 AD] und Messwiederholung Poz-111776.

1507. Wir danken Andreas G. Heiss für die Durchführung der Probenbestimmung.

keramischen Sonderfunde (längshalbiertes Kegelhalsgefäß, „Stempel“ und halber „Spielstein“) wurden dem Verband absichtsvoll in symbolhafter Bedeutung beigefügt (siehe auch Kap. 7.1 und 7.2.2.2 sowie Kap. 3.8.5.2).

Fundkatalog V5400

12039
Lfm. 9, unter Planum 1; 110 cm unter HOK
Sign. 20504
bearbeitetes Horn [Geweih], *Übergabe Dr. Pucher 23.8.1979*

12040
Lfm. 8 bis 10; unter Planum 1; 60–90 cm unter HOK
Abbau
Sign. 20505 (Vermischung mit Grube 8 [V5418]!)
Ker, Kn, Stein, HL
.1 KerBS (900 g), u. a. RS von Einzugsrandschale (Taf. 34/3)
.2 HL (150 g) mit Rutenabdrücken
.3 Reibplattenfrg. (Taf. 34/2)
KiNr.: 1/60004, 2/60042, 3/60021

12041
Lfm. 8 bis 10; unter Planum 1; ab 90 cm unter HOK
Abbau
Keine genaue Zuordnung möglich
Ker, Kn, Stein, HL
.1 RS von feiner Tasse (Taf. 30/3)
.2 HL (1500 g) mit Rutenabdrücken, Rundholzabdrücken
.3 gebr. Lehmobjekte mit D-förm. (schuhleistenförm.) u. u-förm. Querschnitt, unvollständig, Architekturbestandteile?
.4 Reibplattenfrg., langrechteckig, Feuereinw. (Taf. 34/4)
KiNr.: 1/60027, 2/60019, 3/60021, 8/60008

12042
Lfm. 8 bis 10; unter Planum 1; 150 cm unter HOK
Sign. 20502
HK
.1 HK (22,1 g, bis 4 cm groß)
- 4 × Eiche (7,5 g)
- 5 × Linde (14,4 g)
- 1 × Ulme (0,2 g)
KiNr.: 9/60029

12043
Lfm. 8,5; unter Planum 1; 170 cm unter HOK
Sign. 20501
Ker
.1 RS von Tasse, senkr. Kannelur, sek. gebr. (Taf. 34/5)
KiNr.: 1/60036

12044
Lfm. 8; unter Planum 1; 160 cm unter HOK
Übergang Sign. 20501 und 20502
Ker, 5 Tonringe und weitere Tonringfragmente
.1–.9 9 Tonringe, davon 2 vollständig, 2 vollständig zusammensetzbar, Rest in Teilen zusammensetzbar, alle organisch gemagert, teils schwach rötliche Brandspuren (Taf. 31/5–6; 32/1–7)
KiNr.: 10/60044

12045
Lfm. 8,5; unter Planum 1; 170 cm unter HOK
Sign. 20501
Ker
.1 Einzugsrandschale, zu ¾ zusammensetzbar, sek. gebr. (Taf. 30/1)
KiNr.: 1/60036

12046
Lfm. 9; unter Planum 1; 180 cm unter HOK; 35 cm westlich des Ostprofils
Sign. 20501
Ker

12047
Unter Planum 1; 180 cm unter HOK; 40 cm westlich des Ostprofils
Sign. 20501
Ker

12048
Lfm. 9,2; unter Planum 1; 180 cm unter HOK; 50 cm von Westprofil
Sign. 20501
Ker
.1 w. KerBS
.2 HL
KiNr.: 1/60015, 2/60019

12049
Lfm. 8,5 bis 9,5; unter Planum 1; 180 cm unter HOK
Sign. 20501
Ker, Stein, HL, gebr. Lehm
.1 Deckelgriff, nachträglich zu Stempel zugerichtet? (Tonstempel? Taf. 31/3; 81/3)
.2 KHG, vollständig rek., sek. gebr. (eine Seite durch Hitze verformt; Taf. 31/2)
.3 KHG mit Henkel (Oberteilfrg.), sehr dünnwandig, auf Schulter 2 umlaufende Ritzlinien, sek. gebr. (Taf. 30/5)
.4 Topf, Boden vollständig erh., sek. gebr.
.5 BoS u. RS von Topf, sek. gebr.
.6 WS, intentionell halbkreisförm. herausgearbeitet (Taf. 31/4)
.7 KerBS (800 g), w. feine Ware, v. a. Haushaltsker
.8 RS von Schale mit echtem Turbanrand (Taf. 30/2)
.12 Frg. von WG (pyr.)
.10 HL (2500 g), u. a. Brettabdrücke, Rundholzabdrücke
.11 längliche, gebr. Lehmobjekte/Architekturteile(?), mit D-förm. u. u-förm. Querschnitt, unvollständig (Taf. 81/5 u. Abb. 108)
.13 Herdplattenfrg. mit 2 Riefen, glatte Unterseite (Abb. 115)
.9 HK (100 g)
.14 u. .15 kl. Tierkn (^{14}C-Dat.) u. unbestimmbar (1 ×)
KiNr.: 1/60009, 1/60012, 1/60020, 1/60022, 2/60000, 2/60028, 2/60033, 2/60037, 2/60039, 2/60042

12050
Lfm. 9,5; unter Planum 1; 180 cm unter HOK; 30 cm westlich des Ostprofils
Sign. 20501
bearbeitetes Holz, H
.1 verkohltes, pfostenartiges Holzstück einer Eiche mit Hackspuren (L. 14,5 cm; Taf. 33/5)
.2–.4 3 ringförm. Getreideerzeugnisse aus Gersten- u. Weizenmehl (^{14}C-Dat.; Taf. 33/2–4 u. Abb. 159–161)
KiNr.: 9/60043

12051
Lfm. 9,2; unter Planum 1; 160 cm unter HOK; vor Westprofil
Übergang Sign. 20501 und 20502
Ker
.1 KHG-Hälfte, annähernd vollständig (Taf. 31/1; 81/1–2)
KiNr.: 1/60001

12052
Lfm. 8 bis 10; unter Planum 1; 180 cm unter HOK
Sign. 20501

HK
.1 w. HK (20 g, L. unter 3 cm)
KiNr.: 9/60018

12099
Ostprofil; auf Plan KÜ 5/1978
Sign. 20502
Bronze, HL
.1 w. KerBS, u. a. WS mit Doppelknubbe
.2 Herdplattenfrg. (50 g), 5 dünne Plättchen, mit weißlicher Masse eingestrichen
.3 Bronzenadelfrg. (Taf. 33/7)
KiNr.: 1/60012, 2/60000, 10/60011

12100
Ascheschicht und Holzkohle unter FNr. St. 12101
Sign. 20500(?)
Ker, HL
.1 w. KerBS
.2 HL (400 g)
.3 w. HK (30 g, L. unter 2,5 cm)
KiNr.: 1/60012, 2/60046, 9/60007

12101
Asche, Holzkohle und verziegeltes Material über FNr. St. 12100; unter FNr. St. 12103
Sign. 20501
HL
.1 w. KerBS
.2 HL (900 g) mit Rundholz-/Pfostenabdruck
KiNr.: 1/60012, 2/60042

12102
Asche und Humus über FNr. St. 12101; unter FNr. St. 12103
Sign. 20502
Ker, HL
.1 w. KerBS
.2 HL (1250 g), u. a. mit Brettabdrücken
KiNr.: 1/60012, 2/60022, 2/60047

12103
Lößdurchsetzt, über FNr. St. 12102
Sign. 20504
Ker, HL
.1 w. KerBS
.2 w. HL mit Rutenabdrücken

12104
3. Stich; alte Verf. 23 (auf Fundzettel V5400); unsichere Zuordnung zum Objekt!
Ker, Kn, HL
.1 w. KerBS, u. a. RS von Topf mit Eindruckreihe am Mundsaum
KiNr.: 1/60012

12107
Ostprofil; beim Putzen
Keine genaue Schichtzuordnung möglich
Ker, HL
.1 w. KerBS
KiNr.: 1/60012

12109
Westprofil (nicht eingezeichnet)
Keine genaue Schichtzuordnung möglich
HK
.1 w. HK (15 g)
KiNr.: 9/60018

12110
Westprofil (nicht eingezeichnet)
Keine genaue Schichtzuordnung möglich
HL
.1 w. KerBS
.2 w. HL
KiNr.: 1/60036
2/60046

12111
Westprofil (nicht eingezeichnet)
Keine genaue Schichtzuordnung möglich
Ker, HL

12113
Auf Plan KÜ 8/1978; obere Hälfte
Sign. 20505 (teils genau am Übergang zur Störung Grube 8 [V5418] – Vermischung möglich!)
Ker
.1 w. HL
KiNr.: 2/60000

12114
Auf Plan KÜ 8/1978; obere Hälfte
Sign. 20504 (Teile auch von darunter möglich!)
Ker, Kn, Stein, HL
.1 w. KerBS
KiNr.: 1/60024

12115
Auf Plan KÜ 8/1978; untere Hälfte
Sign. 20501
Ker
.1 KerBS (250 g), u. a. spätantik
.2 HL (600 g) mit dreieckigem Querschnitt
.3 Tierkn
- unbestimmbar (1 ×), Frg. von Langkn mit Feuereinw.
KiNr.: 1/60015, 2/60046

12116
Auf Plan KÜ 8/1978
Sign. 20501
Ker, Tonringfragment
.1 Tonringfrg., vollständig zusammensetzbar mit Stück aus St. 12044 (Taf. 32/8)
KiNr.: 10/60044

12117
Auf Plan KÜ 8/1978
Sign. 20501
Ker, Kn (Übergabe Dr. Pucher 23.8.1979)
.1 KerBS (fast alle anpassend an St. 12049)
.2 fast vollständig zusammensetzbarer Unterteil von gröberem Topf, eine Seite stark sek. gebr.
.5 HL (400 g), u. a. mit Rundholzabdrücken
.4 w. HK (35 g, L. bis 2 cm)
.3 S (Erdbröckchen, 400 g)
KiNr.: 1/60030, 9/60018

12118
Hinter Profil; hinter Topf FNr. St. 12117; auf Plan KÜ 8/1978
Sign. 20501
HK
.1 HK (10 g, L. bis 6,5 cm), zerbrochener Ast, Eiche, Linde
KiNr.: 9/60029

12119
Aushub; keine genaue Zuordnung möglich
Ker, HK
.1 w. HK (20 g, L. bis 2 cm)
KiNr.: 9/60018

12121
Ostprofil
Keine genaue Schichtzuordnung möglich
Ker
.1 KerBS (100 g), unspez., mind. 1 SMA
KiNr.: 1/60024

12125
Zwischenprofil; auf Plan KÜ 8/1978; Lehmschicht; oberer Teil
Sign. 20504
Ker, Stein, HL, HK
.1 w. KerBS
.2 HL (150 g) mit dicht gesetzten Rutenabdrücken
.3 HK (40 g, L. bis 1,8 cm)
.4 u. .5 Tierkn
- Schaf/Ziege(?): Rippen
KiNr.: 1/60020, 2/60028, 9/60007

12136
Zwischenprofil; aschige Schicht; auf Plan KÜ 8/1978
Sign. 20501
Ker, Kn, Stein, HL
.1 w. KerBS
.2 HL (2000 g), u. a. gr. Stück mit Rundholzabdrücken
.3 Kn
- Schaf/Ziege: Wirbel (2 ×)
KiNr.: 1/60012, 2/60049

12137
Zwischenprofil; aschige Schicht; auf Plan KÜ 8/1978
Sign. 20501
Ker
.1 RS von gr. Henkeltasse, senkr. Kannelur, Bandhenkel vollständig erh. (Taf. 30/4)
KiNr.: 1/60045 (1/60020/WS St. 12049)

12138
Zwischenprofil; aschige Schicht; auf Plan KÜ 8/1978
Sign. 20501
Kn
- kalzinierter Kn

12179
Suchschnitt B! (A?); Lfm. 8 bis 10; 200 cm unter HOK
Sign. 20500
HK
.1 mehrere verkohlte Holzstücke (L. max. 10 cm), teils haftet gebr. Lehm daran; alle eher dünn, evtl. Rest von Brett (Taf. 82/3–4 u. Abb. 431)
KiNr.: 10/60011

12254
Suchschnitt A Ost; 60–90 cm unter HOK
Sign. 20505 (Vermischung mit Grube 8 [V5418]!)
Ker, Kn, Stein

12260
Suchschnitt A Ost
Keine genaue Schichtzuordnung möglich
Ker, Kn, Stein, HL, HK
.1 RS von Topf mit Fingertupfenleiste
.2 w. KerBS
.4 WG-Frg., pyr.?
.3 HL (120 g), u. a. mit Rutenabdrücken
.6 w. HK (30 g, L. bis 1,5 cm)
.5 unvollständige Reibpl., Rotfärbung durch Feuereinwirkung (Taf. 34/1; 83)
KiNr.: 1/60030, 2/60000, 3/60048, 12/60013, 9/60029

12266
Suchschnitt A Ost; keine genaue Schichtzuordnung möglich
Ker, 1,5 Tonringe
.3 KerBS, Neuzeit
.1 u. .2 2 Tonringe, sek. gebr., 1 vollständig zusammensetzbar, vom zweiten liegt genau eine Hälfte vor (Taf. 32/9–10)
KiNr.: 1/60025, 10/60044

12267
Suchschnitt A Ost; keine genaue Schichtzuordnung möglich
Ker, Kn, Stein, HL
.1 KerBS (640 g), u. a. WS mit Kerbleiste, RS von sehr gr. Gefäß
.2 HL (3000 g), würfelförm. Frg. mit Rutenabdrücken (Taf. 81/4)
.4 HL (3000 g), längliche gebr. Lehmobjekte, unter anderem mit D-förm. Querschnitt (Taf. 82/1–2)
.3 2 gr. Lehmklumpen mit HK
KiNr.: 1/60030, 2/60019, 2/60038, 9/60029

12268
Suchschnitt A Ost; Abbau
Keine genaue Schichtzuordnung möglich
HL
.1 viel HK (290 g; L. bis 3,5 cm)
KiNr.: 9/60029

12271
Suchschnitt A Ost; keine genaue Schichtzuordnung möglich
Ker
.1 HK (20 g, L. bis 2,5 cm)
KiNr.: 9/60029, 10/60044

12272
Suchschnitt A Ost; keine genaue Schichtzuordnung möglich
Ker, Tonring/WG
.1 Frg. von Tonring, außen durch Eintiefungen buckelartig verziert (Taf. 33/1)
KiNr.: 12/60013

12273
Suchschnitt A Ost; keine genaue Schichtzuordnung möglich
Ker, Netzsenkerbruchstück
.1 Frg. von Tonring, sek. gebr. (Taf. 33/6)
KiNr.: 12/60013

12274
Suchschnitt A Ost; Abbau; keine genaue Schichtzuordnung möglich
Kn
.1 Kn
- Rind: Rippen
- unbestimmbar (5 ×), Frg. von Langkn, Feuereinwirkung bis kalziniert

10.2 Gesamttabelle mit den Grundlagendaten zu den einzelnen Gruben

Erklärung der Verschlüsselungen in der Tabelle Abb. 433:

Form:
1 kegelstumpfförmig
2 kegelstumpfförmig mit nach außen gewölbter Sohle
3 kegelstumpfförmig mit gerundetem Sohle-Wand-Übergang bei waagrechter Sohle
4 kegelstumpfförmig mit gerundetem Sohle-Wand-Übergang sowie nach außen gewölbter Sohle
5 stempelförmig
6 zylindrisch

Lage der Sonderfunde:
1 die meisten Sonderfunde auf der Grubensohle/im unteren Grubenbereich
2 die meisten Sonderfunde im mittleren Grubenbereich (bis „Deponierungshorizont“)
3 die meisten Sonderfunde im oberen Grubenbereich
4 viele Sonderfunde sowohl aus unterem als auch aus oberem Grubenbereich (insgesamt viele Sonderfunde)
5 fast keine Sonderfunde

Verfüllmaterial
1 Dominanz Brandschutt/Asche/Asche-Humus
2 Dominanz von lehmig-humosem Material
3 Dominanz Hell-Dunkel-Einfüllung/Schichtpakete aus feinen, unterschiedlichen Bändern

Menschliche Überreste
0 keine menschlichen Überreste
1 Skelett im Sehnenverband
2 Schädel
3 lose Menschenknochen

Tierische Überreste
0 kein Tierskelett
1 Tierskelett im Sehnenverband

Fundkategorien:
0 nicht vorhanden
1 vorhanden

Ergänzende Erläuterung zu den Fundkategorien:
- Zu den Ganzgefäßen zählen keine Miniaturgefäße. Diese werden in einer eigenen Spalte gelistet.
- Zu den Bronzeobjekten zählen auch Bruchstücke.
- Zu den Steingeräten zählen keine Reibplatten oder Silexgeräte. Diese sind jeweils in einer eigene Spalte gelistet.
- Zu den bearbeiteten Geweihobjekten zählen sowohl Exemplare mit Bearbeitungsspuren (z. B. abgesägten Enden) als auch fertige Geweiherzeugnisse (z. B. Geweihhammer).

Verfärbungsnummer	rek. Volumen	Datierung	Form	Lage Sonderfunde	Verfüllmaterial	menschl. Überreste	tierische Überreste	Ganzgefäß	zungenf. Tonlappen	Webgewichte/ Tonringe	Feuerbock	Reibplatten	Bronzen	Miniaturgefäße	Metallhandwerk	Steingerät	Silex	bearb. Geweih	bearb. Knochen	Geweih (Abwurf)	sonstige besondere Objekte
1	3,09	SPH III-1 bzw. Ha B3a	1	1	2	0	0	0	0	1	0	0	0	1	0	0	0	0	0	0	
15	4,85	SPH II bzw. Ha B2	1	5	2	0	1	0	0	1	0	0	0	0	0	0	0	0	0	0	
18	4,90	HaB	1	5	2	0	0	0	0	0	0	0	0	0	0	0	0	0	0	0	
26	3,96	SPH II bzw. Ha B2	3	2	3	0	0	1	0	0	1	0	1	0	0	0	0	0	0	0	
31	2,98	SPH III-2 bzw. Ha B3b	5	2	1	0	1	0	1	0	0	0	0	0	0	0	0	0	0	0	Backteller
33	4,97	SPH III-2 bzw. Ha B3b	1	5	1	0	0	0	0	0	0	0	0	0	0	0	0	0	0	0	
43	5,76	SPH III-1 bzw. Ha B3a	1	2	1	0	0	0	0	1	1	0	0	0	0	0	0	0	0	0	
52	6,96	SPH II bzw. Ha B2	1	2	1	0	0	0	1	0	0	0	0	0	0	0	0	0	0	0	
67	4,09	SPH II bzw. Ha B2	1	2	2	0	1	1	0	1	0	0	1	0	0	1	0	0	0	1	
106	5	SPH I bzw. Ha A2/B1, B1	5	5	3	0	0	0	0	0	0	1	1	1	0	0	0	0	0	0	
119	2,35	SPH III-1 bzw. Ha B3a	4	2	2	0	0	0	0	1	1	0	0	0	1	0	0	0	0	0	
156	8,18	SPH I bzw. Ha A2/B1, B1	6	2	2	0	0	0	0	1	1	0	1	0	0	0	0	0	0	0	
164	3,73	SPH I bzw. Ha A2/B1, B1	3	2	1	0	0	0	0	1	0	1	0	0	0	0	1	0	0	0	
171	6,06	SPH II bzw. Ha B2	1	2	3	0	0	0	0	1	0	1	0	0	0	0	0	0	0	0	
183	5,16	SPH I bzw. Ha A2/B1, B1	5	2	3	3?	0	0	0	0	0	0	0	0	1	0	0	0	0	0	
193	2,23	HaB	1	5	3	0	0	0	0	0	0	0	0	0	0	0	1	0	0	0	
195	5,11	SPH III-1 bzw. Ha B3a	4	4	1	0	1	0	1	0	0	1	1	0	0	0	1	0	0	0	
198	7,37	SPH III-1 bzw. Ha B3a	6	2	3	0	0	0	0	1	1	0	0	1	1	1	0	0	0	0	
204	2,42	SPH I bzw. Ha A2/B1, B1	1	2	3	0	0	1	0	1	0	0	0	1	0	0	0	0	0	0	
234	8,15	SPH II bzw. Ha B2	1	2	2	0	0	0	0	0	0	0	0	1	0	0	1	0	1	0	
245	4,53	HaB	3	5	2	0	1	0	0	0	0	0	0	0	0	0	0	0	0	0	
341	2,71	SPH III-1 bzw. Ha B3a	1	2	2	0	0	0	0	1	0	0	0	0	0	0	0	1	0	0	
383	1,62	HaB	1	5	2	0	0	0	0	0	0	0	0	0	0	0	0	0	0	0	
394	6,99	HaB	2	5	2	0	0	0	0	0	0	0	0	0	0	0	0	0	0	0	
407	3,5	SPH II bzw. Ha B2	1	5	2	0	0	1	0	0	0	0	0	0	0	0	0	0	0	0	
409	2,01	SPH II bzw. Ha B2	1	5	3	0	0	1	0	0	0	0	0	0	0	0	0	0	0	0	
412	5,07	HaB	2	2	3	0	0	0	0	0	0	0	0	0	0	0	0	1	0	0	
445	1,95	SPH III-1 bzw. Ha B3a	3	2	1	2	1	0	0	1	0	0	1	0	0	1	0	0	0	1	Tonmodell Scheibenrad
479	5,63	SPH III-2 bzw. Ha B3b	5	4	3	0	1	1	0	0	0	0	0	0	1	1	1	0	0	0	scheibenförm. Tonspule
510	5,46	SPH II bzw. Ha B2	2	2	2	0	0	0	0	1	0	1	0	1	0	0	0	0	0	0	
514	4,79	HaB	1	2	3	0	0	0	0	1	0	0	0	0	0	0	0	0	1	0	
519	6,89	SPH III-1 bzw. Ha B3a	5	4	1	0	0	0	0	1	0	1	1	1	0	1	0	1	1	0	
523	5,79	SPH III-1 bzw. Ha B3a	4	1	3	0	0	1	0	1	0	0	0	0	1	1	0	0	0	0	
526	2,78	SPH III-1 bzw. Ha B3a	4	2	3	0	0	0	1	0	0	0	0	0	0	0	0	0	0	0	

Verfär-bungs-nummer	rek. Volu-men	Datierung	Form	Lage Sonderfunde	Verfüll-material	menschl. Überreste	tierische Überreste	Ganzgefäß	zungenf. Tonlappen	Webgewichte/ Tonringe	Feuerbock	Reibplatten	Bronzen	Miniatur-gefäße	Metall-handwerk	Steingerät	Silex	bearb. Geweih	bearb. Knochen	Geweih (Abwurf)	sonstige besondere Objekte
603	0,69	HaB	3	5	2	0	0	0	0	0	0	0	0	1	0	0	0	0	0	0	
621	4,21	SPH III-1 bzw. Ha B3a	2	1	3	0	0	0	0	0	0	0	0	0	0	0	0	0	0	0	
628	11,54	SPH II bzw. Ha B2	2	2	3	0	1	0	0	1	1	0	1	0	0	1	1	0	0	1	
634	10,09	HaB	3	2	2	0	0	0	0	0	0	0	0	0	0	0	0	1	0	0	
643	4,85	SPH II bzw. Ha B2	4	1	2	0	1	0	1	0	0	0	1	1	0	0	0	1	0	0	
656	2,85	SPH II bzw. Ha B2	3	5	1	0	0	0	0	0	0	0	1	0	0	0	0	0	0	0	
662	3,74	SPH II bzw. Ha B2	1	1	3	0	1	1	0	0	0	1	0	0	0	0	0	0	0	0	
667	2,7	SPH I bzw. Ha A2/B1, B1	2	1	3	0	0	0	0	0	0	0	0	0	0	0	0	0	1	0	
704	12,45	SPH III-2 bzw. Ha B3b	1	2	1	0	0	0	0	1	0	0	1	0	0	1	0	0	1	0	
715	2,42	SPH III-2 bzw. Ha B3b	1	2	1	0	0	0	1	1	0	0	0	0	0	0	0	0	0	0	
729	9,59	SPH II bzw. Ha B2	1	2	3	0	0	0	0	0	0	1	0	0	0	0	1	0	0	0	
777	3,23	SPH III-1 bzw. Ha B3a	1	4	2	0	0	0	0	1	0	0	1	0	0	0	0	1	0	0	
780	2,57	SPH III-2 bzw. Ha B3b	5	5	1	0	0	0	0	0	0	0	0	0	0	0	0	0	0	0	
792	1,4	SPH III-1 bzw. Ha B3a	4	5	2	0	0	0	0	0	0	0	0	0	0	0	0	0	0	0	
793	2,61	HaB	3	5	1	0	0	0	0	0	0	0	0	0	0	0	0	0	0	0	
812	11,13	SPH III-2 bzw. Ha B3b	3	2	3	0	0	0	0	1	0	1	1	0	0	0	1	0	0	0	
813	7,24	SPH III-1 bzw. Ha B3a	1	4	1	0	0	0	0	1	1	1	1	1	0	0	1	1	0	0	
819	4,3	HaB	4	5	1	0	0	0	0	0	0	0	0	0	0	0	0	0	0	0	
831	3,41	SPH III-1 bzw. Ha B3a	3	5	2	0	0	0	0	0	0	0	1	0	0	0	0	0	0	0	
834		SPH III-2 bzw. Ha B3b	-	-	1	0	0	0	0	0	0	0	0	1	0	0	0	0	0	0	halbe Tonscheibe
841	21,49	SPH III-1 bzw. Ha B3a	5	2	1	1	0	1	0	1	1	1	1	1	1	1	1	1	1	0	
868	4,64	SPH II bzw. Ha B2	1	2	1	0	0	0	0	1	0	1	0	1	0	0	0	0	0	0	
871	5,11	SPH III-1 bzw. Ha B3a	2	4	2	0	0	0	0	1	0	1	0	1	0	0	0	0	0	0	
885	2,92	SPH III-1 bzw. Ha B3a	1	2	1	2	0	0	0	1	0	0	0	0	0	0	1	0	1	0	
889	2,62	HaB	5	5	3	0	0	0	0	0	0	0	0	0	0	0	0	0	0	0	Backteller
891	3,71	SPH I bzw. Ha A2/B1, B1	2	2	3	0	0	1	0	1	0	0	0	0	1	1	1	0	0	0	
894	8,29	SPH II bzw. Ha B2	3	2	2	0	0	0	0	1	0	0	0	1	0	0	1	0	0	0	
897	2,04	SPH II bzw. Ha B2	1	3	1	0	0	0	0	0	0	0	0	0	0	0	0	0	1	0	
949	3,87	SPH I bzw. Ha A2/B1, B1	2	2	3	0	1	0	1	0	0	1	0	0	0	0	0	0	0	0	
981	1,84	HaB	5	1	1	0	0	0	0	0	0	1	0	1	0	1	0	1	0	0	
992	1,9	HaB	1	1	3	0	0	0	0	1	0	1	0	1	0	0	0	0	0	0	
994	4,59	SPH III-1 bzw. Ha B3a	3	1	3	0	1	0	0	1	0	0	0	0	0	0	1	0	0	0	
1008	7,84	SPH IV bzw. Ha C1	2	5	2	0	1	0	0	0	1	0	0	0	0	0	0	0	0	0	
1015	2,07	SPH II bzw. HaB2 oder SPH III-1 bzw. Ha B3a	5	2	1	0	0	0	0	0	0	0	1	0	0	0	0	0	1	0	

Verfärbungsnummer	rek. Volumen	Datierung	Form	Lage Sonderfunde	Verfüllmaterial	menschl. Überreste	tierische Überreste	Ganzgefäß	zungenf. Tonlappen	Webgewichte/ Tonringe	Feuerbock	Reibplatten	Bronzen	Miniaturgefäße	Metallhandwerk	Steingerät	Silex	bearb. Geweih	bearb. Knochen	Geweih (Abwurf)	sonstige besondere Objekte
1138	4,61	SPH III-1 bzw. Ha B3a	2	4	3	0	0	1	0	1	1	0	0	1	0	1	0	0	0	0	
1139	3,12	SPH III-2 bzw. Ha B3b	1	3	1	0	0	0	0	1	0	1	0	1	0	0	0	0	1	0	Bernsteinperle
1140	4,96	SPH III-2 bzw. Ha B3b	4	2	2	3	1	0	0	1	0	0	1	0	0	0	0	1	1	0	Tonstange, Kn-Anhänger
1141	2,56	SPH III-1 bzw. Ha B3	2	4	2	1	0	1	0	1	0	1	1	0	0	1	1	0	0	0	u. a. Kette Wolfsphalange
1325	2,72	SPH II bzw. HaB2 oder SPH III-1 bzw. Ha B3a	1	4	1	0	0	0	0	1	0	1	0	1	0	1	0	1	0	0	
2027	6,77	SPH III-2 bzw. Ha B3b	5	2	2	0	0	0	0	0	0	0	0	1	0	0	0	0	0	0	
2044	3,55	HaB	4	5	2	0	1	0	0	0	0	0	0	0	0	0	0	0	0	0	
2648	10,15	SPH III-1 bzw. Ha B3a	1	1	3	0	1	0	0	0	0	0	1	0	0	0	0	1	0	0	
2713	10,13	HaB	1	4	3	0	0	0	0	0	0	0	1	0	0	1	0	0	0	0	
2779	1,35	HaB	3	1	2	0	0	0	0	0	0	0	0	0	0	0	0	0	0	1	
2784	2,87	SPH III-2 bzw. Ha B3b	1	4	1	0	1	1	0	1	1	1	1	0	1	1	0	0	0	0	Bronzehort, Arbeitssteindepot, Mischdepot
3784	1,93	SPH III-2 bzw. Ha B3b	1	5	2	0	1	0	0	0	0	0	0	0	0	0	0	0	0	0	
5000	2,08	SPH II bzw. Ha B2	1	1	1	2	0	0	0	0	0	1	1	0	0	0	0	0	0	0	
5001	3,11	SPH II bzw. Ha B2	1	2	1	1	0	0	0	1	1	1	1	0	0	0	1	0	0	0	Lochtennenfrgm., „Schuhleisten“
5003	4,81	SPH II bzw. Ha B2	2	1	1	0	0	1	0	1	0	1	0	1	0	0	1	0	0	0	
5004	15,19	SPH V bzw. HaC2/HaD1	1	5	3	0	0	0	0	1	0	1	0	0	0	0	0	0	0	0	
5005	7,95	SPH II bzw. Ha B2	4	4	1	3	0	0	0	1	1	1	0	0	1	0	0	1	0	0	
5006	8,12	SPH II bzw. Ha B2	4	2	1	0	0	0	0	0	1	0	0	0	0	0	0	1	0	1	
5009	1,51	SPH II bzw. HaB2 oder SPH III-1 bzw. Ha B3a	1	5	1	0	0	0	0	1	0	0	0	0	0	0	0	0	0	0	
5200	2,55	HaB	2	5	1	0	0	0	0	0	0	0	0	0	1	0	0	0	0	0	Tonrassel
5201	3,43	HaB	2	5	1	0	0	0	0	0	0	0	0	0	0	0	0	0	1	0	
5202	6,92	HaB	3	5	1	0	0	0	0	0	0	0	0	0	0	0	0	0	0	0	
5203	3,09	HaB	2	5	1	0	0	0	0	1	0	0	0	0	0	0	0	0	0	0	
5204	6,46	HaB	5	5	1	0	0	0	0	0	0	0	1	0	0	1	0	0	0	0	
5205	3,62	HaB	3	5	1	0	0	0	0	0	0	0	0	0	0	0	0	0	0	0	
5400	2,8	SPH II bzw. Ha B2	2	4	3	0	0	0	0	1	1	1	1	0	0	0	0	1	0	0	Brotringlein, „Schuhleisten“

Abb. 433: Gesamttabelle mit den Grundlagendaten zu den einzelnen Gruben. Für die Erklärung des Zahlenschlüssels siehe die Einleitung in diesem Kapitel (Kap. 10.2).

10.3 Materialvorlage

Bei den „Detaillierten Fundbeschreibungen (Erstvorlage)“ handelt es sich um die nähere Beschreibung all jener Funde, die aus erstmalig vorgestellten Gruben stammen.

Die Fundnummern setzen sich folgendermaßen zusammen: Die erste Position steht für die Grabungsfläche, es folgt die Objektnummer, dann die Fundnummer und die Unternummer.

Beispiel: 1.891.21403.1 = „Hügelfeld“, Objekt V891, Fundnummer 21403, erste Unternummer.

Entschlüsselung der Grabungsflächen:

1. „Hügelfeld“, 3. „Wagneracker“, 6. „Küssleracker“, 15. „Bügeleisen“

Die Angaben erfolgen in Zentimeter und Gramm.

Die Fundzeichnungen wurden, wenn nicht anders angegeben, von B. Biederer, M. Griebl und S. Tikatsch erstellt.

Detaillierte Fundbeschreibungen (Erstvorlage)

V891

1.891.21403.1
Gefäßkeramik
Gefäßform: kleine Schale
Maße: Wst. 0,4; H. 3,9–4,6; Rdm. 10; Bdm. 2
Keramikqualität: mittelfeine Ware
Oberfläche außen: grob geglättet, Oberfläche innen: mittelfein geglättet
Farbe außen: braun, Farbe innen: dunkelbraun
Brand: sehr gut gebrannt
Erhaltungszustand: vollständig, Beschädigungen restauriert
Anmerkung: Form u. Rand grob handgeformt; eine Seite höher, daher eignet sie sich gut als Schöpfgefäß (Taf. 2/1; 47/5 u. Abb. 344)

1.891.21444.1
Gefäßkeramik
Gefäßform: Topf mit doppelkonischer Grundform
Maße: Wst. 0,8; erh. H. 27,5; Rdm. 27; Bauchdm. 33,5
Keramikqualität: grobe Ware
Oberfläche außen: Oberteil grob geglättet, Unterteil grob belassen, radiale Furchung angedeutet?; Oberfläche innen: grob geglättet
Farbe außen: rötlich-braun, Farbe innen: rötlich-braun, Farbe Bruch: dunkelbraun
Brand: sehr gut gebrannt
Erhaltungszustand: oberer Teil fast vollständig
Anmerkung: sek. Brandspuren, Keramikbruchmagerung (Taf. 2/2)

1.891.21444.2
Gefäßkeramik
Gefäßform: Schale, Gefäßtyp: Form mit einziehendem Rand (niedere Einzugsrandschale)
Maße: Wst. 0,45–0,9; H. 8,7; Rdm. 21–22; Bdm. 10
Keramikqualität: mittelfeine Ware
Oberfläche außen: poliert, Oberfläche innen: fein geglättet
Farbe außen: braun, Farbe innen: hellbraun, rötlich, Farbe Bruch: grau
Verzierung: erhabene Verzierung, Doppelknubbe
Brand: sehr gut gebrannt
Erhaltungszustand: Randbruchstück
Anmerkung: Keramikbruchmagerung (Taf. 2/4)

1.891.21444.3
Gussform
Material: Sandstein
Maße: erh. L. 3,3; erh. B. 2,6; St. 1,4
Erhaltungszustand: Bruchstück
Anmerkung: Gussformfrg. für ringförmiges Objekt (Taf. 2/3; 51/3)

1.891.21444.4
Webgewicht
Form: Annäherung an Pyramidenform
Maße: H. 11; B. 9; T. 2,05
Erhaltungszustand: vollständig
Anmerkung: grobe, unregelmäßige Form mit gr. Lochung (Abb. 121)

V894

1.894.21388.1
Miniaturgefäß
Gefäßform: Kegelhalsgefäß
Maße: Wst. 0,5–0,6; erh. H. 4; Rdm. 5,3
Keramikqualität: mittelfeine Ware
Oberfläche außen: geglättet und poliert
Verzierung: eingetiefte Verzierung, Ritzung, Inkrustation?
Brand: sehr gut gebrannt
Erhaltungszustand: Randbruchstück
Anmerkung: Randpartie von Miniaturgefäß mit Ritzlinien u. weißen Inkrustationen (Taf. 3/2)

1.894.21432.1
Gefäßkeramik
Gefäßform: Schüssel, Vorratsgefäß
Maße: Wst. 0,75–1,1; erh. H. 17; Rdm. 48
Keramikqualität: grobe Ware
Oberfläche außen: mittelfein geglättet, Oberfläche innen: grob geglättet
Farbe außen: hellbraun, Farbe innen: hellbraun, Farbe Bruch: grau
Brand: sehr gut gebrannt
Erhaltungszustand: Randbruchstück
Anmerkung: Randpartie von sehr gr. Schüssel (Vorratsgefäß), Keramikbruchmagerung (Taf. 2/5)

1.894.21493.1
Gefäßkeramik
Gefäßform: Schüssel, Gefäßtyp: Form mit Rand- und Schulterbildung
Maße: Wst. 0,6–0,8; H. 14,2; Rdm. 15,5; Bdm. 7
Keramikqualität: mittelfeine Ware
Oberfläche außen: geglättet, starke Abnützungsspuren, oftmals ist die Oberfläche punktuell herausgebrochen, Oberfläche innen: grob geglättet
Farbe außen: dunkelgrau, Farbe innen: dunkelgrau, Farbe Bruch: dunkel-braun-grau
Verzierung: eingetiefte Verzierung, Rillen
Brand: sehr gut gebrannt
Erhaltungszustand: Randbruchstück
Anzahl der Gefäße: 1
Anmerkung: hohe Schüssel mit 3–4 waagrechten Rillen am Schulter-Hals-Umbruch u. annähernd senkrechtem Hals; wohl Altform aus Knovízer Kultur (Phase Štítary); stark kieselsteinchengemagert (weiße, auch größere, Quarzsteinchen), schwache Keramikbruchmagerung (Taf. 3/1 u. Abb. 21, 22)

V981

1.981.21979.1
Klopfstein?
Farbe: dunkelgrau
Material: dunkelgraues Quarzitgeröll?
Maße: erh. L. 6; erh. B. 4,8; erh. T. 4,4
Erhaltungszustand: Bruchstück
Anmerkung: durch Gewalteinwirkung zersprungen (Taf. 3/5)

1.981.22135.1
Gefäßkeramik
Gefäßform: Schale
Maße: Wst. 1,1; H. 8,5–9; Rdm. 21; Bdm. 7,8
Keramikqualität: mittelfeine Ware
Oberfläche außen: fein geglättet, Oberfläche innen: grob geglättet
Farbe außen: dunkelbraun, Farbe innen: dunkelbraun, Farbe Bruch: dunkelgrau
Brand: sekundär gebrannt
Erhaltungszustand: vollständig und Feuereinwirkung
Anzahl der Gefäße: 1
Anmerkung: zu 2/3 zusammensetzbare Schale; sek. gebr., Keramikbruchmagerung (Taf. 3/7)

1.981.22136.1
Gefäßkeramik
Gefäßform: Topf mit kegelförmigem Hals, Vorratsgefäß
Maße: Wst. 1,2–1,4; max. erh. H. 25; rek. Rdm. 40; rek. Bauchdm. 60
Keramikqualität: grobe Ware
Oberfläche außen: grob geglättet, Oberfläche innen: grob geglättet
Farbe außen: rötlich-braun, Farbe innen: rötlich, Farbe Bruch: grau
Verzierung: erhabene Verzierung, Leiste, nicht umlaufende Fingertupfenleiste
Brand: sekundär gebrannt
Erhaltungszustand: Randbruchstück
Anzahl der Bruchstücke: 1, Anzahl der Gefäße: 1
Anmerkung: stark sek. gebr., starke Keramikbruchmagerung (Taf. 3/6 u. Abb. 72)

1.981.22136.2
Gefäßkeramik
Gefäßform: napfförmiger Topf, Gefäßtyp: fassartige Form, Vorratsgefäß
Maße: Wst. 0,65–0,9; erh. H. 30; Rdm. 40
Keramikqualität: grobe Ware
Oberfläche außen: grob geglättet, Oberfläche innen: grob geglättet
Farbe außen: braun, Farbe innen: braun, Farbe Bruch: dunkelgrau
Brand: sehr gut gebrannt
Erhaltungszustand: Randbruchstück
Anzahl der Bruchstücke: 2, Anzahl der Gefäße: 1
Anmerkung: Randpartie von gr. Vorratsgefäß; feine Keramikbruchmagerung (Taf. 4/1)

V992

1.22123.1
Reibplatte (Unterlieger)
Material: Gneis
Maße: St./H. 6,5; erh. L. 12; erh. B. max. 5
Erhaltungszustand: Reibfläche, Unterseite und eine (senkrechte) Seitenkante erhalten; Feuereinwirkung durch schwache Rotfärbung und Schmauchflecken
Anmerkung: BS

1.992.22152.1
Webgewicht
Form: Tonring
Maße: erh. H. 3,6; erh. B. 6; erh. T. 2,05
Erhaltungszustand: Oberfläche erhalten
Anmerkung: BS (Taf. 4/2)

V2779

1.2779.21227.1
Gefäßkeramik
Maße: Wst. 0,5; erh. H. 7,5
Keramikqualität: mittelfeine Ware
Oberfläche außen: fein geglättet, Oberfläche innen: grob geglättet
Farbe außen: braun-grau, Farbe innen: dunkelgrau u. hellgrau, Farbe Bruch: dunkel-hellgrau
Verzierung: eingetiefte Verzierung, Ritzung und eingetiefte Verzierung, Delle
Brand: klingend hart gebrannt
Erhaltungszustand: Hals-/Schulterbruchstück
Anzahl der Bruchstücke: 1
Anmerkung: WS mit Ritzlinien u. Dellen auf Schulter (Taf. 4/3)

V5000

3.5000.16005.1
Gefäßkeramik
Gewicht: 1200
Anzahl der Bruchstücke: 69
Anmerkung: 5 RS mittelfeine Ware, 2 RS grobe Ware, 1 RS mit Fingertupfenleiste, 1 HenkelBS, 2 BoS

3.5000.16005.4
Hüttenlehm
Anmerkung: 1 kl. HL-Brocken

3.5000.16005.2
Gefäßkeramik
Maße: Wst., 0,8–0,4; H. 3
Keramikqualität: mittelfeine Ware
Oberfläche außen: poliert, Oberfläche innen: grob geglättet
Farbe außen: hellocker, Farbe innen: dunkelgrau, Farbe Bruch: braun-grau
Verzierung: eingetiefte Verzierung, Einstichreihe und eingetiefte Verzierung, Rille(n)
Brand: sehr gut gebrannt
Erhaltungszustand: Wandbruchstück
Anzahl der Bruchstücke: 1, Anzahl der Gefäße: 1
Anmerkung: WS mit Rillen u. Einstichreihe, evtl. Attinger Zier (Taf. 5/5)

3.5000.16005.3
Gefäßkeramik
Maße: Wst. 0,7; H. 3,3
Keramikqualität: mittelfeine Ware
Farbe außen: hellgrau, Farbe innen: hellgrau, Farbe Bruch: hellgrau
Verzierung: eingetiefte Verzierung, Kammstrich
Brand: sehr gut gebrannt
Erhaltungszustand: Wandbruchstück
Anzahl der Bruchstücke: 1, Anzahl der Gefäße: 1
Anmerkung: WS

3.5000.16008.1
Gefäßkeramik
Gewicht: 80
Keramikqualität: grobe Ware

Brand: sekundär gebrannt
Erhaltungszustand: Wandbruchstück
Anzahl der Bruchstücke: 5
Anmerkung: 5 WS grobe Ware

3.5000.16008.2
Herdplattenfragment
Gewicht: 100
Anzahl: 1

3.5000.16009.1
Gefäßkeramik
Gewicht: 160
Anzahl der Bruchstücke: 15
Anmerkung: 1 RS mittelfeine Ware, 1 HenkelBS mittelfeine Ware, 1 BoS und 13 WS, meist kl., davon 6 grobe Ware

3.5000.16009.2
Hüttenlehm
Anmerkung: w. HL

3.5000.16014.1
Gefäßkeramik
Maße: Wst. 0,5–0,6; erh. H. 6
Keramikqualität: mittelfeine Ware
Oberfläche außen: mittelfein geglättet, Oberfläche innen: fein geglättet
Farbe außen: braun-grau, Farbe innen: schwarz-grau, Farbe Bruch: braun-grau
Brand: sehr gut gebrannt
Erhaltungszustand: Wandbruchstück
Anzahl der Bruchstücke: 1
Anmerkung: WS, gr. (Einzugsrand)Schale? außen poliert mit Grafit?

3.5000.16014.2
Gefäßkeramik
Anzahl der Bruchstücke: 24
Anmerkung: viele MA-Scherben, 1 RS u. mehrere WS urgeschichtlich, davon 1 mit vertikalen Riefen (evtl. MBZ)

3.5000.16018.1
Gefäßkeramik
Gefäßform: Henkelschale
Maße: Wst. 0,6–0,7; H. 4,9
Keramikqualität: feine Ware
Oberfläche außen: poliert, Oberfläche innen: grob belassen
Farbe außen: dunkelgrau, Farbe innen: dunkelgrau, Farbe Bruch: dunkelgrau
Verzierung: eingetiefte Verzierung, Rille(n) und flächige Grafitierung
Brand: sehr gut gebrannt
Erhaltungszustand: Henkel
Anzahl der Bruchstücke: 1, Anzahl der Gefäße: 1
Anmerkung: vollständiger, abgebrochener Henkel (Taf. 5/2)

3.5000.16018.2
Gefäßkeramik
Gefäßform: s-förmig profilierter Topf, Gefäßtyp: Form mit geschwungen einziehendem Hals,
Maße: Wst. 0,65–0,7; erh. H. 3; Rdm. 20
Keramikqualität: mittelfeine Ware
Oberfläche außen: mittelfein geglättet, Oberfläche innen: mittelfein geglättet
Farbe außen: ocker, Farbe innen: ocker, Farbe Bruch: grau
Brand: sehr gut gebrannt
Erhaltungszustand: Randbruchstück
Anzahl der Bruchstücke: 2, Anzahl der Gefäße: 1 (Taf. 5/4)

3.5000.16018.3
Gefäßkeramik
Gefäßform: Kegelhalsgefäß?
Maße: Wst. 0,5–0,6; erh. H. 2
Keramikqualität: mittelfeine Ware
Oberfläche außen: mittelfein geglättet, Oberfläche innen: fein geglättet
Farbe außen: grau, Farbe innen: grau, Farbe Bruch: grau-braun
Verzierung: eingetiefte Verzierung, Kannelur, waagrecht
Brand: sehr gut gebrannt
Erhaltungszustand: Hals-/Schulterbruchstück
Anzahl der Bruchstücke: 1, Anzahl der Gefäße: 1
Anmerkung: Hals-/SchulterBS, dichte waagrechte Rillen/Riefen (Taf. 5/3)

3.5000.16018.4
Hüttenlehm
Gewicht: 500
Anmerkung: etwa 15 rötliche HL-Brocken, auch mit ebenen Flächen (Schaufl.)

3.5000.16018.5
Reibplatte
Material: Ballensteiner Kalk
Maße: 4,5 × 4; H. 6, Gewicht: 60
Erhaltungszustand: Randbruchstück
Anmerkung: Eckbruchstück mit erh. Seitenkanten u. Reibfl., Feuereinwirkung? (Taf. 64/3)

3.5000.16018.6
Reibplatte
Material: Granit
Maße: 6 × 5,5; max. erh. H. 4; Gewicht: 190
Erhaltungszustand: Bruchstück und Feuereinwirkung
Anmerkung: Reibfl. erh., weißlich verfärbt/versintert (Feuereinwirkung; Taf. 64/2)

3.5000.16018.8
Gefäßkeramik
Gewicht: 390
Erhaltungszustand: Bruchstück
Anzahl der Bruchstücke: 40

3.5000.16020.1
Gefäßkeramik
Maße: Wst. 0,67; erh. H. 5
Keramikqualität: mittelfeine Ware
Oberfläche außen: mittelfein geglättet, Oberfläche innen: grob geglättet
Farbe außen: ocker-braun, Farbe innen: ocker-braun, Farbe Bruch: ocker-braun
Brand: sehr gut gebrannt
Erhaltungszustand: Hals-/Schulterbruchstück
Anzahl der Bruchstücke: 1
Anmerkung: WS (SchulterBS), kantiger Schulter-Hals-Absatz, KHG?

3.5000.16021.1
Gefäßkeramik
Maße: Wst. 0,8; erh. H. 6
Keramikqualität: grobe Ware
Farbe außen: ocker-grau, Farbe innen: schwarz-grau, Farbe Bruch: schwarz-grau
Brand: sehr gut gebrannt
Erhaltungszustand: Wandbruchstück
Anzahl der Bruchstücke: 1
Anmerkung: WS, Topf?

3.5000.16022.1
„Spielstein“
Maße: Dm: 5,5; Bst. 0,8; erh. H. 1,3
Keramikqualität: mittelfeine Ware
Oberfläche außen: grob geglättet, Oberfläche innen: grob geglättet
Farbe außen: grau-braun, Farbe innen: grau-braun, Farbe Bruch: grau-braun
Brand: sekundär gebrannt
Erhaltungszustand: vollständig
Anzahl der Bruchstücke: 1, Anzahl der Objekte: 1
Anmerkung: ausgeschnittener Boden (abgesetzt), etwas unregelmäßig geformt; innen Boden-Wand-Übergang fließend (Taf. 5/1; 64/1)

V5001

3.5001.16203.2
Hüttenlehm
Typ: Hüttenlehm mit dreieckigem Profil
Maße: erh. L. 9; Gewicht: 1200
Anmerkung: etwa 30 Frg., davon 2 mit dreieckigem Profil, 1 gr. HL-Brocken mit 2 ebenen Flächen u. Rutenabdrücken (Taf. 66/1)

3.5001.16203.3
Gefäßkeramik
Gefäßform: s-förmig profilierter Topf, Vorratsgefäß
Gewicht: 900
Keramikqualität: grobe Ware
Verzierung: erhabene Verzierung, Leiste, Fingertupfenleiste umlaufend
Erhaltungszustand: Bruchstück
Anzahl der Bruchstücke: 30
Anmerkung: 2 RS u. Fingertupfenleiste von Vorratsgefäß, RS von Topf Typ 2, etwa 5 BS von mittelfeiner Ware

3.5001.16203.4
Gefäßkeramik
Gewicht: 250
Keramikqualität: mittelfeine Ware
Verzierung: erhabene Verzierung, Leiste, Fingertupfenleiste umlaufend
Erhaltungszustand: Bruchstück
Anzahl der Bruchstücke: 10
Anmerkung: 1 RS von Topf, 2 BoS, 7 WS

3.5001.16203.6
Webgewicht
Form: pyramidenstumpfförmig
Maße: erh. B. 4,5; erh. H. 6; erh. T. 5,3; Gewicht: 140
Erhaltungszustand: Randbruchstück und Feuereinwirkung
Anmerkung: Frg. wohl von oberer Ecke; kein Loch vorhanden; verbrannt

3.5001.16211.1
Hüttenlehm
Anmerkung: 10 kl. HL-Brocken

3.5001.16211.2
Stein
Material: braune Kieselkonkretion
Gewicht: 70
Anzahl: 1
Anmerkung: 1 Geröll

3.5001.16216.1
Hüttenlehm
Typ: Hüttenlehm mit Holzbrettabdrücken und Verzapfung
Maße: L. 21; Gewicht: 1300
Anmerkung: 1 gr., quaderförmiger HL-Brocken mit Abdrücken von Holzbrettern u. Holzverzapfung(?), vegetabil gemagert (Taf. 11/6; 65/3)

3.5001.16238.1
Gefäßkeramik
Erhaltungszustand: Bruchstück
Anzahl der Bruchstücke: 5
Anmerkung: 5 kl. BS: 1 RS von feiner Schale

3.5001.16238.2
Hüttenlehm
Gewicht: 80
Anmerkung: 8 kl. Brocken

3.5001.16238.3
Feuerbock
Barrenform mit Lochung?
Maße: B. 4; T. 2,5; H. 4,5; Gewicht: 40
Oberfläche: mittelfein geglättet, Farbe: ocker-braun, Brand: sekundär gebrannt?
Erhaltungszustand: Randbruchstück
Anmerkung: Frg. von kl. Feuerbock(?) (Taf. 16/4)

3.5001.16242.1
Gefäßkeramik
Erhaltungszustand: Bruchstück
Anzahl der Bruchstücke: 5
Anmerkung: 5 kl. BS: 1 WS von feinem Gefäß; 1 BoS von grobem Gefäß

3.5001.16242.2
Webgewicht
Form: scheibenförmig
Maße: erh. L. 5; erh. B. 3,4; Wst. 1,4; Gewicht: 30
Erhaltungszustand: Randbruchstück
Anmerkung: Frg. mit erh. Lochung (Taf. 16/2)

3.5001.16254.1
Hüttenlehm
Typ: Flechtwerk
Gewicht: 2000
Anmerkung: 3 gr., 15 mittlere Brocken

3.5001.16268.1
Gefäßkeramik
Gefäßform: Tasse, Gefäßtyp: Form mit Kegel- oder Zylinderhals
Maße: Wst. 0,55–0,7; Bauchdm. 14; erh. H. 10; dicker Bandhenkel vollständig erh.
Keramikqualität: mittelfeine Ware
Oberfläche außen: mittelfein geglättet, Oberfläche innen: grob geglättet
Farbe außen: rötlich-grau, Farbe innen: rötlich-grau, Farbe Bruch: rötlich-grau
Verzierung: eingetiefte Verzierung, Rille(n)
Brand: sekundär gebrannt
Erhaltungszustand: ganzes Profil bis Gefäßhälfte erhalten
Anzahl der Bruchstücke: 4, Anzahl der Gefäße: 1
Anpassung an: 16351 (3 ×)
Anmerkung: kalkgemagert u. einzelne größere Steinchen im Ton; Oberfl. innen durch Feuereinwirkung aufgewölbt (Taf. 8/1)

3.5001.16273.1
Gefäßkeramik
Erhaltungszustand: Bruchstück

Anzahl der Bruchstücke: 10
Anmerkung: 8 BS (RS von Topf); 1 RS röm.? 2–3 WS UK?

3.5001.16273.4
Webgewicht
Form: pyramidenstumpfförmig
Maße: erh. H. 5,5; Gewicht: 50
Erhaltungszustand: Wandbruchstück
Anmerkung: 2 kl. Frg. von pyr. WG? Mit groben Steinchen gemagert

3.5001.16273.5
Gefäßkeramik
Maße: Wst. > 2
Keramikqualität: grobe Ware
Oberfläche außen: grob geglättet
Farbe außen: ocker-braun, Farbe Bruch: dunkelgrau
Verzierung: erhabene Verzierung, Grifflappen
Erhaltungszustand: Wandbruchstück
Anzahl der Bruchstücke: 1, Anzahl der Gefäße: 1
Anmerkung: 1 WS mit Grifflappen von sehr gr. Gefäß

3.5001.16273.6
Hüttenlehm
Gewicht: 50
Anmerkung: 2 kl. Brocken

3.5001.16273.8
Stein
Material: Leithakalk („Wurmkalk“)
Gewicht: 120
Anzahl: 1

3.5001.16298.1
Reibplatte
Material: Biotit-Hornblende-Gneis?
Maße: 14,5 × 8,4; H. 6,2 (originale H.); Gewicht: 910
Erhaltungszustand: Randbruchstück
Anmerkung: Frg. mit erh. Reibfl. u. Unterseite sowie 1 erh. Seitenkante (Taf. 15/6)

3.5001.16298.2
Gefäßkeramik
Gefäßform: Kegelhalsgefäß
Maße: Wst. 0,6–0,8; erh. H. 6,5; Rdm. 25
Keramikqualität: mittelfeine Ware
Oberfläche außen: mittelfein geglättet, Oberfläche innen: mittelfein geglättet
Farbe außen: ocker, Farbe innen: ocker, Farbe Bruch: dunkelgrau
Brand: sehr gut gebrannt
Erhaltungszustand: Randbruchstück
Anzahl der Bruchstücke: 4, Anzahl der Gefäße: 1
Anpassung an: 16316 (2 kl.)
Anmerkung: stark geschwungen ausl. Rand; zusammengesetzt (Taf. 9/3)

3.5001.16298.3
Gefäßkeramik
Brand: sekundär gebrannt?
Erhaltungszustand: Randbruchstück
Anzahl der Bruchstücke: 9
Anmerkung: 2 BoS, 7 WS

3.5001.16303.1
Hüttenlehm
Anmerkung: 1 kl. HL-Brocken

3.5001.16303.2
Gefäßkeramik
Gefäßform: Topf mit kegelförmigem Hals, Vorratsgefäß
Maße: Wst. 1,3; Rdm. 29
Farbe außen: rötlich, Farbe innen: rötlich, Farbe Bruch: dunkelgrau
Brand: sekundär gebrannt
Erhaltungszustand: Randbruchstück
Anzahl der Bruchstücke: 1, Anzahl der Gefäße: 1
Anmerkung: Keramikbruchmagerung, stark sek. gebr., außen Patina

3.5001.16303.3
Gefäßkeramik
Erhaltungszustand: Bruchstück
Anzahl der Bruchstücke: 9
Anmerkung: 9 BS

3.5001.16303.4
Gefäßkeramik
Erhaltungszustand: Wandbruchstück
Anzahl der Bruchstücke: 2
Anmerkung: 2 WS

3.5001.16303.5
Hüttenlehm
Gewicht: 130
Anmerkung: 10 kl. Brocken

3.5001.16316.1
Gefäßkeramik
Gefäßform: Tasse, Gefäßtyp: Form mit kegelförmigem Hals
Maße: Wst. 0,4–0,55; Rdm. 7,7; erh. H. 5,6
Keramikqualität: feine Ware
Oberfläche außen: fein geglättet, Oberfläche innen: grob geglättet
Farbe außen: ocker-grau, Farbe innen: ocker-grau, Farbe Bruch: braun-grau
Verzierung: eingetiefte Verzierung, Kannelur, senkrecht
Brand: sehr gut gebrannt
Erhaltungszustand: Randbruchstück
Anzahl der Bruchstücke: 1, Anzahl der Gefäße: 1
Anmerkung: innen 1 waagrechter Riss bzw. eine nicht geglättete Stelle (Taf. 6/5 u. Abb. 18, 19)

3.5001.16316.2
Gefäßkeramik
Brand: sekundär gebrannt
Erhaltungszustand: Wandbruchstück
Anzahl der Bruchstücke: 7
Anmerkung: großteils sek. gebr.

3.5001.16316.3
Hüttenlehm
Gewicht: 280
Anmerkung: 4 mittlere, 6 kl. Brocken

3.5001.16331.1
Gefäßkeramik
Gefäßform: Tasse, Gefäßtyp: Form mit kegelförmigem Hals
Maße: Wst. 0,45–0,5; Rdm. 11,5
Keramikqualität: feine Ware
Oberfläche außen: fein geglättet, Oberfläche innen: fein geglättet
Farbe außen: ocker, Farbe innen: ocker-grau, Farbe Bruch: ockergrau
Verzierung: eingetiefte Verzierung, Kannelur, senkrecht
Brand: sehr gut gebrannt
Erhaltungszustand: Randbruchstück
Anzahl der Bruchstücke: 1, Anzahl der Gefäße: 1 (Taf. 6/4)

3.5001.16331.2
Gefäßkeramik
Gefäßform: s-förmig profilierter Topf
Maße: Wst. 0,6–0,8; erh. H. 8,7
Keramikqualität: grobe Ware
Oberfläche außen: grob belassen, Oberfläche innen: grob geglättet
Farbe außen: ocker-grau, Farbe innen: rötlich-weiß, Farbe Bruch: rötlich
Verzierung: erhabene Verzierung, Knubben flächig(?) und eingetiefte Verzierung, Eindruckreihe
Brand: sekundär gebrannt
Erhaltungszustand: Randbruchstück
Anzahl der Bruchstücke: 1, Anzahl der Gefäße: 1
Anmerkung: Kerbreihe auf dem Mundsaum; flache Doppelknubbe auf Schulter

3.5001.16331.3
Gefäßkeramik
Erhaltungszustand: Bruchstück
Anzahl der Bruchstücke: 6
Anmerkung: 6 kl. BS (Urzeit)

3.5001.16331.4
Hüttenlehm
Gewicht: 710
Anmerkung: ca. 30 kleinere Brocken

3.5001.16347.1
Stein
Material: Sandstein, Granit
Gewicht: 280
Anzahl: 2
Anmerkung: 1 Frg. Sandstein verbrannt; 1 kl. Frg. Granit verbrannt (zugehörig wohl zu 16744.1)

3.5001.16347.2
Webgewicht
Form: pyramidenstumpfförmig
Maße: erh. H. 6,5; erh. B. 3,5; erh. T. 3,5; Gewicht: 40
Erhaltungszustand: Wandbruchstück
Anmerkung: BS mit Wand; vegetabil gemagert, schlecht gebr.

3.5001.16347.3
Hüttenlehm
Typ: Flechtwerk
Gewicht: ca. 18000
Anmerkung: sehr viele kl. u. mittlere Brocken; einige gr. Brocken
5 Kisten voll mit HL

3.5001.16348.1
Hüttenlehm
Typ: Flechtwerk
Gewicht: ca. 20000
Anmerkung: viele kl. u. mittlere, einige gr. Brocken
7(!) Kisten HL

3.5001.16348.2
Stein
Material: Granit
Gewicht: 30
Anzahl: 1
Anmerkung: 1 kl. Frg., verbrannt

3.5001.16348.3
Hüttenlehm
Typ: längliche, gebrannte Lehmobjekte/Architekturteile
Gewicht: 630
Anmerkung: gr. Stück gebr. Lehms mit D-förmigem Querschnitt, grob geglätteter Oberseite u. unebener Unterseite/Auflagefl. (L. ca. 20; Taf. 66/2 links)

3.5001.16351.1
Gefäßkeramik
Vorratsgefäß
Gewicht: 330
Erhaltungszustand: Bruchstück
Anzahl der Bruchstücke: 70
Anmerkung: Brandkeramik, einige Vorratsgefäßteile, 2 Unterteile von mittelfeinen Schalen (unverbrannt), großteils grobe Ware

3.5001.16351.2
Webgewicht
Form: pyramidenstumpfförmig
Maße: erh. B. 5,5; erh. H. 5,1; erh. T. 7,1; Lochdm. 0,9–1,2; Gewicht: 140
Erhaltungszustand: Bruchstück mit erh. Oberfl.
Anmerkung: Frg. der Spitze mit halber Lochung (Taf. 10/2)

3.5001.16351.3
Webgewicht
Form: pyramidenstumpfförmig
Maße: erh. H. 10; erh. B. 4,4; erh. T. 5; Gewicht: 220
Erhaltungszustand: Bruchstücke
Anmerkung: 2 Frg. mit erh. Oberfl.; schlecht gebr.

3.5001.16351.4
Gefäßkeramik
Gefäßform: Schüssel?
Maße: Wst. 0,55; Bauchdm. 20–22; erh. H.7,5
Keramikqualität: feine Ware
Oberfläche außen: fein geglättet, Oberfläche innen: fein geglättet
Farbe außen: rötlich-grau, Farbe innen: weißlich-ocker, Farbe Bruch: grau
Verzierung: eingetiefte Verzierung, Ritzung, Inkrustation(?) und eingetiefte Verzierung, Kannelur, senkrecht
Brand: sekundär gebrannt
Erhaltungszustand: Wandbruchstück
Anzahl der Bruchstücke: 5, Anzahl der Gefäße: 1
Anmerkung: verzogen durch Brand? Auf Schulter über der Kannelur waagrechte Ritzlinie, darüber umlaufender, eingeritzter Zierstreifen aus eingefassten, linksläufigen Kerben (Taf. 7/4 u. Abb. 18).

3.5001.16351.5
Gefäßkeramik
Gefäßform: s-förmig profilierter Topf, Gefäßtyp: Form mit geschwungen einziehendem Hals, Vorratsgefäß
Maße: Wst. 0,6–1; rek. Rdm. 28; erh. H. 8
Keramikqualität: mittelfeine Ware
Oberfläche außen: grob geglättet, Oberfläche innen: grob geglättet
Farbe außen: rötlich, Farbe innen: rötlich, Farbe Bruch: rötlich
Brand: sekundär gebrannt, verschlackt
Erhaltungszustand: Randbruchstück
Anzahl der Bruchstücke: 3, Anzahl der Gefäße: 1
Anmerkung: außen auf Schulter Verschlackungen, mögliche dazugehörige WS nicht verbrannt (Taf. 9/2)

3.5001.16351.6
Gefäßkeramik
Gefäßform: Tasse, Gefäßtyp: Form mit kegelförmigem Hals
Maße: Wst. 0,45; erh. H. 4,5
Keramikqualität: feine Ware
Oberfläche außen: fein geglättet, Oberfläche innen: fein geglättet

Farbe außen: rötlich, Farbe innen: rötlich-grau, Farbe Bruch: rötlich-grau
Verzierung: eingetiefte Verzierung, Kannelur, senkrecht
Brand: sekundär gebrannt
Erhaltungszustand: Randbruchstück
Anzahl der Bruchstücke: 3, Anzahl der Gefäße: 1
Anmerkung: oberrandständiger Bandhenkel fehlt (Taf. 6/2 u. Abb. 18, 19)

3.5001.16351.7
Gefäßkeramik
Gefäßform: s-förmig profilierter Topf, Gefäßtyp: Form mit kurzer, durchschwingender Halsbildung, Vorratsgefäß
Maße: Wst. 0,7–1,3; erh. H. 10; Rdm. 60
Keramikqualität: grobe Ware
Oberfläche außen: grob geglättet, Oberfläche innen: grob geglättet
Farbe außen: rötlich-braun, Farbe innen: rötlich-braun, Farbe Bruch: grau, orange
Brand: sekundär gebrannt
Erhaltungszustand: Randbruchstück
Anzahl der Bruchstücke: 3, Anzahl der Gefäße: 1
Anmerkung: stark sek. gebr., wahrscheinlich durch starke Hitzeeinwirkung verzogen (Taf. 9/4)

3.5001.16351.8
Hüttenlehm
Typ: längliche, gebrannte Lehmobjekte/Architekturteile
Maße: L. 24,3; H. 6,5; B. 7,5; Gewicht: 900
Zustand: gebrannt
Anmerkung: 2 zusammenpassende Stücke gebr. Lehms, Schnabelschuhform, alle Seiten vollständig, lediglich das rückwärtige Ende („Ferse“) gebrochen (Taf. 12; 66/2 rechts; 67)

3.5001.16353.2
Hüttenlehm
Typ: Hüttenlehm mit Rutenabdrücken und Schauflächen
Maße: 13 × 11 × 5 (St.); Gewicht: 3000
Zustand: gebrannt
Anmerkung: gr., mittlere u. kl. Brocken

3.5001.16353.3
Hüttenlehm
Typ: Bruchstücke einer Scheibe
Gewicht: 70
Anmerkung: 2 Frg. einer platten Scheibe(?), schlecht gebr.

3.5001.16353.4
Hüttenlehm
Typ: Plättchen
Maße: 7 × 5 (erh. B.) × 2,5; Gewicht: 50
Zustand: kaum gebrannt
Anmerkung: vollkommen ebene Auflagefl., eine Originalseitenkante erh. (schwach gerundet einwärts laufend); erinnert an die Stücke mit D-förmigem Profil (Taf. 11/4)

3.5001.16354.1
Hüttenlehm
Gewicht: ca. 5000
Anmerkung: mittlere und kl. Brocken

3.5001.16367.1
Reibplatte
Material: Brecciöser Tonschiefer
Maße: 10 × 7,5 × 4,5; Gewicht: 390
Erhaltungszustand: Randbruchstück und Feuereinwirkung (rötlich verfärbt)
Anmerkung: Eckbruckstück mit beiden erh. Seitenkanten u. Reibfl. Sehr wahrscheinlich handelt es sich bei den Seitenkanten um die alten Teilungskanten (als die Reibpl. zu rechteckigen Teilstücken zerteilt wurde) u. nicht um die ursprünglichen Seitenkanten einer Reibpl.

3.5001.16367.2
Gefäßkeramik
Erhaltungszustand: Wandbruchstück
Anzahl der Bruchstücke: 1
Anmerkung: 1 kl. WS, o. D. (handgeformt)

3.5001.16367.3
Hüttenlehm
Typ: Flechtwerk
Gewicht: 5800
Anmerkung: 4 gr., ca. 70 mittlere u. kl. Brocken

3.5001.16368.1
Hüttenlehm
Typ: Flechtwerk
Gewicht: ca. 11000
Anmerkung: gr., mittlere u. kl. Brocken
3,5 Kisten voll

3.5001.16369.1
Stein
Maße: 9,3 × 8,5 × 3,3; Gewicht: 270
Anzahl: 1
Anmerkung: 1 Stein, wohl durch Zufall rundlich zugeschlagen; keine sicher anthropogenen Bearbeitungsspuren

3.5001.16369.2
Hüttenlehm
Gewicht: 1550
Anmerkung: ca. 60 kleinere Brocken

3.5001.16370.1
Hüttenlehm
Gewicht: ca. 7000
Anmerkung: gr., mittlere u. kl. Brocken
1 ganze Kiste, 2 halbe Kisten voll

3.5001.16370.2
Gefäßkeramik
Gefäßform: Tasse?
Maße: kleines Bandhenkelbruchstück, B. 1,5; St. 0,4
Keramikqualität: feine Ware
Oberfläche außen: fein geglättet, Oberfläche innen: fein geglättet
Farbe außen: ocker, Farbe innen: ocker, Farbe Bruch: grau
Brand: sehr gut gebrannt
Erhaltungszustand: Bruchstück
Anzahl der Bruchstücke: 1
Anmerkung: BS von Bandhenkel (von kannelierter Henkeltasse?)

3.5001.16371.1
Hüttenlehm
Typ: längliche, gebrannte Lehmobjekte/Architekturteile
Maße: L. 22 (Ende gebrochen, sonst vollständig); H. 8; Gewicht: 500 (Taf. 13, 68)
Anmerkung: schuhleistenförmig, mit einem abgeflachten Abschluss, am anderen Ende Bruchstelle. Auf der Unterseite/Auflagefl. Negativ von Holz(?)-Unterlage.

3.5001.16371.2
Hüttenlehm
Typ: längliche, gebrannte Lehmobjekte/Architekturteile

Maße: L. 31; Ende gebrochen, sonst vollständig; H. 7,5; B. 11,5; Gewicht: 1470
Anmerkung: schuhleistenförmig, mit einem schwach abgeflachten Ende, am anderen Ende Bruchstelle. Auf der Unterseite/Auflagefl. schwacher Abdruck von Holzbrett(?) quer zur Längsachse (Taf. 14/1; 69 u. Abb. 107).

3.5001.16371.3
Hüttenlehm
Typ: längliche, gebrannte Lehmobjekte/Architekturteile
Gewicht: 100, 350
Anmerkung: 2 Stück gebr. Lehms von 2(?) „Schuhleisten"(?), größeres Stück 13 × 10 × 6,5 (Taf. 14/2)

3.5001.16372.1
Hüttenlehm
Typ: Flechtwerk
Gewicht: ca. 2500
Anmerkung: 6 größere, ca. 40 kleinere Brocken; Flechtwerkabdrücke

3.5001.16372.2
Hüttenlehm
Typ: gebrannter Lehm
Gewicht: 440
Anmerkung: gebr. Lehmklumpen

3.5001.16372.3
Hüttenlehm
Typ: Flechtwerk
Gewicht: ca. 4000
Anmerkung: 14 gr. Brocken, ca. 15 mittlere Brocken

3.5001.16372.4
Hüttenlehm
Typ: Flechtwerk
Gewicht: 1750
Anmerkung: 1 gr. Brocken, ca. 30 kleinere Brocken

3.5001.16373.1
Reibplatte
Material: Granit
Maße: 6,7 × 5,3; erh. H. 5; Gewicht: 200
Erhaltungszustand: Bruchstück
Anmerkung: 1 kl. Frg. mit erh. Reibfl., die senkrechte Seitenkante könnte vom Zerteilen der Platte (in rechteckige Teilstücke) stammen

3.5001.16373.2
Gefäßkeramik
Gewicht: 1500
Keramikqualität: grobe Ware
Farbe außen: rötlich, Farbe innen: rötlich
Brand: sekundär gebrannt
Erhaltungszustand: Bruchstück
Anzahl der Bruchstücke: 30
Anmerkung: Posten mit vielen, auch zusammenpassenden BS von gr. Vorratsgefäßen, wenig feine Ware (1 kl. HenkelBS von Henkeltasse)

3.5001.16373.3
Gefäßkeramik
Gefäßform: Topf mit kegelförmigem Hals, Vorratsgefäß
Maße: Wst. 1,1–1,2; Rdm. 30; erh. H. 10; Gewicht: 400
Keramikqualität: mittelfeine Ware
Oberfläche außen: mittelfein geglättet, Oberfläche innen: mittelfein geglättet
Farbe außen: rötlich-ocker, Farbe innen: rötlich-ocker, Farbe Bruch: dunkelgrau
Brand: sekundär gebrannt
Erhaltungszustand: Randbruchstück
Anzahl der Bruchstücke: 2, Anzahl der Gefäße: 1
Anmerkung: möglicherweise gehört RS 3.16303.2 dazu (Taf. 9/1)

3.5001.16373.4
Gefäßkeramik
Gefäßform: s-förmig profilierter Topf, Vorratsgefäß
Maße: Wst. 0,8–0,9; Rdm. 40; erh. H. 20; Gewicht: 1800
Keramikqualität: mittelfeine Ware
Oberfläche außen: mittelfein geglättet, Oberfläche innen: mittelfein geglättet
Farbe außen: ocker-grau, Farbe innen: ocker-grau, Farbe Bruch: ockergrau
Brand: sekundär gebrannt
Erhaltungszustand: Rand- und Wandbruchstücke
Anzahl der Bruchstücke: 3, Anzahl der Gefäße: 1
Anpassung an: 16717.100
Anmerkung: 3 sehr gr. RS, Profil schwach unregelmäßig; auch BS vom Unterteil erh. (Taf. 8/3)

3.5001.16374.1
Bronzedraht
Maße: L. 4,2; Dm. 0,3
Erhaltungszustand: Bruchstück und korrodiert (patiniert)
Anmerkung: halbkreisförmig gebogenes, rundstabiges Drahtstück, korrodiert (Taf. 15/3)

3.5001.16375.1
Silexobjekt
Klinge mit (Gebrauchs?)Retuschen
Maße: L. 2,3; B. 1,3; max. St. 0,3
Farbe: rötlich-ocker
Erhaltungszustand: Bruchstück
Anmerkung: Abschlag, dorsal ist noch tw. Cortex erh., auf gegenüberliegender Seite scharfe Schneidkante, Feuereinwirkung (Taf. 15/4 u. Abb. 135)

3.5001.16376.1
Schwarzes, glasig-schlackenartiges Material
Maße: größtes 5,5; Gewicht: 10
Anmerkung: 8 kl. Stücke, sehr leicht; beinhalten durch Hitze veränderte, bespelzte Hirsekörner, einige verkohlte Dinkelkörner, etwas verkohltes Stroh, einige Holzkohlenstücke u. verkohlten Wildapfel (Abb. 138)

3.5001.16383.1
Reibplatte
Material: Granit
Maße: erh. L. 24,7; erh. B. 16,8; H. 8,4; Gewicht: ca. 4000
Erhaltungszustand: Randbruchstück und Feuereinwirkung
Anmerkung: 2 zusammenpassende Frg. mit erh. Reibfl. u. Unterseite(?) sowie 1 erh. Seitenkante; Feuereinwirkung auch im Bruch erkennbar (Taf. 15/7 u. Abb. 129)

3.5001.16383.2
Gefäßkeramik
Erhaltungszustand: Bruchstück
Anzahl der Bruchstücke: 2
Anmerkung: BoS u. WS von groben Gefäßen

3.5001.16384.1
Gefäßkeramik
Gefäßform: s-förmig profilierter Topf
Maße: Wst. 0,6–0,7; Rdm. 17; H. 16,5; Bst. 0,8; Bdm. 9
Keramikqualität: grobe Ware

Oberfläche außen: grob belassen, Oberfläche innen: fein geglättet
Farbe außen: rötlich-ocker, Farbe innen: rötlich, Farbe Bruch: grau
Verzierung: erhabene Verzierung, Knubben flächig(?) und eingetiefte Verzierung, Eindruckreihe
Brand: sekundär gebrannt
Erhaltungszustand: ganzes Profil bis Gefäßhälfte erhalten
Anzahl der Bruchstücke: 9, Anzahl der Gefäße: 1
Anpassung an: 16373, 16351, 16660 (16331?)
Anmerkung: sek. gebr. mit frischen Brüchen, kreuzständige Doppelknubben, Kerbreihe am Mundsaum (Taf. 10/1)

3.5001.16384.2
Gefäßkeramik
Maße: Wst. 0,7; Rdm. 17; H. 16,5; Bst. 0,8
Keramikqualität: mittelfeine Ware
Oberfläche außen: mittelfein geglättet, Oberfläche innen: mittelfein geglättet
Farbe außen: orange-ocker, Farbe innen: orange-ocker, Farbe Bruch: orange-grau
Brand: sekundär gebrannt
Erhaltungszustand: Wandbruchstück
Anzahl der Bruchstücke: 1, Anzahl der Gefäße: 1
Anmerkung: stark gebauchter Bauchteil

3.5001.16384.3
Webgewicht
Form: pyramidenstumpfförmig
Maße: H. 5,3; B. 9,9; T. 12; Lochdm. 1,5; Gewicht: 1340
Erhaltungszustand: vollständig
Anmerkung: fast vollständig zusammensetzbares WG (2 gr., 2 kl. Frg.); schwach gebr. (Taf. 11/1)

3.5001.16385.1
Gefäßkeramik
Gefäßform: Topf mit kegelförmigem Hals, Vorratsgefäß
Maße: Wst. 0,5–0,6; erh. H. 6,5
Keramikqualität: mittelfeine Ware
Oberfläche außen: mittelfein geglättet, Oberfläche innen: grob belassen
Farbe außen: ockerorange, Farbe innen: grau-braun, Farbe Bruch: grau-braun
Brand: u. a. sekundär gebrannt
Erhaltungszustand: Hals-/Schulterbruchstück, RS
Anzahl der Bruchstücke: 2, Anzahl der Gefäße: 1
Anpassung an: 16386.1
Anmerkung: innen im Randbereich Risse durch Sekundärbrand, WS 16386 wahrscheinlich dazugehörig

3.5001.16386.1
Gefäßkeramik
Keramikqualität: mittelfeine Ware
Farbe außen: ocker, Farbe Bruch: grau
Erhaltungszustand: Wandbruchstück
Anzahl der Bruchstücke: 1, Anzahl der Gefäße: 1
Anmerkung: 1 WS von Großgefäß

3.5001.16390.1
Gefäßkeramik
Gefäßform: s-förmig profilierter Topf, Gefäßtyp: Form mit geschwungen einziehendem Hals,
Maße: Wst. 0,7–0,9; erh. H. 11,5; rek. Rdm. 19
Keramikqualität: grobe Ware
Oberfläche außen: grob geglättet, Oberfläche innen: grob geglättet
Farbe außen: orange-ocker, Schmauchflecken, Farbe innen: orange-ocker, Farbe Bruch: orange, grau
Verzierung: eingetiefte Verzierung, Einstichreihe und Turbanrand
Brand: sekundär gebrannt
Erhaltungszustand: Randbruchstück
Anzahl der Bruchstücke: mind. 8, Anzahl der Gefäße: 1
Anpassung an: 16331, 16351, Boden: 16384, 16741
Anmerkung: 3 RS, Boden, am Mundsaum Fingernagelkerbreihe, selbige auf Schulter, die waagrecht u. girlandenförmig verläuft; wohl kreuzständige, flache Doppelknubben (Taf. 16/1)

3.5001.16394.1
Bronzenadel
Maße: L. 5,8; größter Dm. Schaft 0,2
Erhaltungszustand: unvollständig (Spitze; Taf. 15/2)

3.5001.16537.1
Gefäßkeramik
Erhaltungszustand: Bruchstück
Anzahl der Bruchstücke: 20

3.5001.16537.2
Hüttenlehm
Gewicht: 230
Anmerkung: 7 mittlere bis kleinere Brocken

3.5001.16540.1
Gefäßkeramik
Erhaltungszustand: Bruchstück
Anzahl der Bruchstücke: 12
Anmerkung: 2 WS (SMA), 1 RS mit senkrechter, kurzer Leiste (Neol.?)

3.5001.16542.1
Stein
Gewicht: 140
Anzahl: 1
Anmerkung: 1 Kiesel, gebrochen, keine anthropogenen Spuren

3.5001.16542.2
Gefäßkeramik
Erhaltungszustand: Wandbruchstück
Anzahl der Bruchstücke: 2
Anmerkung: kl. WS, sandig-seifiger Ton, o. D., 1 kl. WS verschlackt

3.5001.16606.1
Gefäßkeramik
Brand: sekundär gebrannt?
Erhaltungszustand: Wandbruchstück
Anzahl der Bruchstücke: 2, Anzahl der Gefäße: 1

3.5001.16606.2
Hüttenlehm
Gewicht: 20
Anmerkung: 3 kl. Bröckchen

3.5001.16616.1
Gefäßkeramik
Brand: u. a. sekundär gebrannt
Erhaltungszustand: Bruchstück
Anzahl der Bruchstücke: 8
Anmerkung: 1 RS von feinem Gefäß, in Summe 3 feine BS

3.5001.16616.2
Hüttenlehm
Gewicht: 20
Anmerkung: 2 kl. Bröckchen

3.5001.16617.1
Hüttenlehm
Gewicht: 300
Anmerkung: 2 mittlere, 3 kl. Brocken

3.5001.16618.1
Gefäßkeramik
Erhaltungszustand: Wandbruchstück
Anzahl der Bruchstücke: 4

3.5001.16619.1
Hüttenlehm
Gewicht: 80
Anmerkung: 6 kl. Brocken

3.5001.16619.2
Spinnwirtel
Form: kegelförmig
Maße: H. 2,8; Dm. 2,8; Lochdm. 0,5; Gewicht: 20
Erhaltungszustand: vollständig, aber beschädigt
Anmerkung: oberer Teil abgebrochen (Taf. 16/3)

3.5001.16620.1
Gefäßkeramik
Vorratsgefäß
Erhaltungszustand: Bruchstück
Anzahl der Bruchstücke: 9
Anmerkung: mind. 1 BS RKZ/MA

3.5001.16620.2
Hüttenlehm
Gewicht: 1280
Anmerkung: ca. 20 mittlere, 20 kl. Brocken

3.5001.16660.1
Stein
Material: Quarz?
Gewicht: 10
Anzahl: 1
Anmerkung: 1 kl. Frg.

3.5001.16660.2
Gefäßkeramik
Erhaltungszustand: Bruchstück
Anzahl der Bruchstücke: 8, Anzahl der Gefäße: 12
Anmerkung: dicker WS aus Grafitton (Kiste 1/8046), 8 WS UK (Kiste 1/58043)

3.5001.16660.3
Hüttenlehm
Gewicht: 150
Anmerkung: 2 mittlere, 2 kl. Brocken

3.5001.16660.4
Schlacke
Maße: Dm. 5, Gewicht: 5
Anmerkung: 1 Stück sehr leichte Schlacke

3.5001.16664.1
Gefäßkeramik
Maße: Wst. 0,5
Verzierung: eingetiefte Verzierung, Rille(n) und eingetiefte Verzierung, Einstichreihe
Erhaltungszustand: Wandbruchstück
Anzahl der Bruchstücke: 3
Anmerkung: MBZ: WS mit 1 senkrechten Rille/Riefe, in Schulterhöhe vieleckige Eindrücke

3.5001.16664.2
Hüttenlehm
Gewicht: 30
Anmerkung: 1 kl. Brocken

3.5001.16675.1
Hüttenlehm
Gewicht: 760
Anmerkung: ca. 5 mittlere, 30 kl. Brocken

3.5001.16683.1
Hüttenlehm
Gewicht: 1630
Anmerkung: ca. 10 mittlere, 40 kl. Brocken

3.5001.16685.1
Gefäßkeramik
Gefäßform: Tasse, Gefäßtyp: Form mit kegelförmigem Hals
Maße: Wst. 0,3–0,5; Rdm. 8; erh. H. 5,5
Keramikqualität: feine Ware
Oberfläche außen: mittelfein geglättet, Oberfläche innen: geglättet
Farbe außen: rötlich, Farbe innen: rötlich, Farbe Bruch: grau
Verzierung: eingetiefte Verzierung, Kannelur, senkrecht
Brand: sekundär gebrannt, verschlackt
Erhaltungszustand: Randbruchstück, Wandbruchstück
Anzahl der Bruchstücke: 2, Anzahl der Gefäße: 1
Anmerkung: ehemals Henkeltasse? Durch die Hitze ist der Scherben an beiden Randbereichen stark aufgewölbt, blasig u. sogar „weggeronnen“ (Taf. 6/3 u. Abb. 18, 19).

3.5001.16692.1
Gefäßkeramik
Gefäßform: Kegelhalsgefäß, Vorratsgefäß
Maße: Bdm. (von KHG) 14
Keramikqualität: feine Ware
Oberfläche außen: poliert, Oberfläche innen: mittelfein geglättet
Farbe außen: dunkelgrau, Farbe innen: dunkelgrau, Farbe Bruch: dunkelgrau
Verzierung: Einglättzier außen auf Hals/Schulter, Gittermuster und Grafitstreifenmalerei außen
Brand: sekundär gebrannt?
Erhaltungszustand: Bruchstück
Anzahl der Bruchstücke: 15, Anzahl der Gefäße: 5
Anpassung an: 16744.3 (Ha)
Anmerkung: BoS u. 6 WS von großem KHG (Ha D), auf Schulter Einglättzier aus gittergefüllten Dreiecken aus Grafitstreifenmalerei; UK: WS, sek. gebr.

3.5001.16715.1
Gefäßkeramik
Gefäßform: Tasse, Gefäßtyp: Form mit kegelförmigem Hals
Maße: Wst. 0,35–0,5; Rdm. 11; H. 7,5
Keramikqualität: feine Ware
Oberfläche außen: fein geglättet, Oberfläche innen: fein geglättet
Farbe außen: braun-grau, Farbe innen: braun-grau, Farbe Bruch: braun-grau
Verzierung: eingetiefte Verzierung, Kannelur, senkrecht und eingetiefte Verzierung, Ritzung
Brand: reduzierend gebrannt
Erhaltungszustand: unvollständig und restauriert
Anzahl der Bruchstücke: 2, Anzahl der Gefäße: 1
Anmerkung: halbe Tasse mit schwach eingedelltem Boden; nach Anbringung der senkrechten Kannelur wurde eine Ritzlinie recht unbeholfen angebracht (Taf. 7/3 u. Abb. 18, 19, 78)

3.5001.16719.1
Gefäßkeramik
Vorratsgefäß
Maße: Wst. 0,9–1; erh. H. des Bauches 11; Bauchdm. etwa 45–50
Keramikqualität: grobe Ware
Oberfläche außen: grob geglättet, Oberfläche innen: grob geglättet
Farbe außen: grau-ocker, Farbe innen: grau-ocker, Farbe Bruch: grau-orange
Verzierung: Knubbe länglich
Brand: sekundär gebrannt
Erhaltungszustand: Wandbruchstück
Anzahl der Bruchstücke: 5, Anzahl der Gefäße: 1
Anmerkung: großes, bauchiges Vorratsgefäß, auf Schulter 1 senkrechte, längliche Knubbe erh.

3.5001.16724.1
Gefäßkeramik
Maße: eher große Gefäße
Keramikqualität: grobe Ware, mittelfeine Ware
Brand: sekundär gebrannt?
Erhaltungszustand: Wandbruchstück
Anzahl der Bruchstücke: 24

3.5001.16724.2
Gefäßkeramik
Gefäßform: Tasse, Gefäßtyp: Form mit kegelförmigem Hals
Maße: Wst. 0,5–0,65; Rdm. 9,2; Bauchdm. 11,5; erh. H. 9
Keramikqualität: feine Ware
Oberfläche außen: fein geglättet, Oberfläche innen: fein geglättet
Farbe außen: ocker, braun, Farbe innen: braun, ocker, Farbe Bruch: ocker, braun
Verzierung: eingetiefte Verzierung, Kannelur, senkrecht
Brand: sehr gut gebrannt
Erhaltungszustand: Rand- und Wandbruchstücke
Anzahl der Bruchstücke: 10, Anzahl der Gefäße: 1
Anpassung an: 16741, 16716, 16331
Anmerkung: großteils erh. u. zusammengesetzt; Boden fehlt, Bandhenkel vollständig erh. (Taf. 7/2 u. Abb. 18, 19).

3.5001.16724.3
Hüttenlehm
Gewicht: 10
Anmerkung: 1 kl. Bröckchen

3.5001.16735.1
Gefäßkeramik
Vorratsgefäß
Maße: Wst. 1–1,3; erh. H. 20; Gewicht: 1800
Keramikqualität: grobe Ware
Oberfläche außen: grob geglättet, Oberfläche innen: grob geglättet
Farbe außen: rötlich-ocker, Farbe innen: rötlich-ocker, Farbe Bruch: dunkelgrau
Brand: sekundär gebrannt
Erhaltungszustand: Randbruchstück
Anzahl der Bruchstücke: 7, Anzahl der Gefäße: 1
Anmerkung: zusammenpassende Teile von Vorratsgefäßkörper

3.5001.16736.1
Gefäßkeramik
Vorratsgefäß
Maße: Wst. 0,5; erh. H. 9,5
Keramikqualität: mittelfeine Ware
Oberfläche außen: grob geglättet, Oberfläche innen: grob geglättet
Farbe außen: ocker, Farbe innen: ocker, Farbe Bruch: ocker
Brand: sekundär gebrannt
Erhaltungszustand: Wandbruchstück
Anzahl der Bruchstücke: 2, Anzahl der Gefäße: 1
Anmerkung: 2 WS von gr. Gefäß

3.5001.16737.1
Stein
Material: Sandstein
Gewicht: 50
Anzahl: 1
Anmerkung: 1 Sandsteinfrg., durch Brand zersprungen, rot gefärbt

3.5001.16738.1
Bronzepfeilspitze mit Widerhaken
Maße: L. 3,4; B. 1,9; Dm. Schaft 0,6
Erhaltungszustand: vollständig
Verbleib: Museum Stillfried/Vitrine (Taf. 15/1; 70/5)

3.5001.16739.1
Gefäßkeramik
Erhaltungszustand: Wandbruchstück
Anzahl der Bruchstücke: 1

3.5001.16739.2
Hüttenlehm
Typ: Sonderform (gebrannter „Klumpen“)
Maße: H. 21; B. 19–25; Umfang 60; Gewicht: 5000–6000
Zustand: gebrannt (sekundär?)
Anmerkung: Kopfförmig, Frontalansicht: linke Seite annähernd senkrecht, rechte Seite u. „Hinterkopf“ ähneln einem Kopf, Ton ist stark mit Keramikbruch versetzt. Alles Originaloberfl., mit Ausnahme des untersten, sich stöpselartig verengenden (halsförmigen) Bereichs, wo der Gegenstand abgebrochen ist: dunkelbraune, bröckelige Bruchfl., auf Erde aufgelegen u. abgebrochen? (Taf. 66/3)

3.5001.16740.1
Webgewicht
Form: pyramidenstumpfförmig
Maße: erh. H. 12; B. 12,5; T. 9,7; Lochdm. 1; Gewicht: 1400
Erhaltungszustand: Randbruchstück
Anmerkung: unterer Teil erh. (bis Lochung), sek. Brandspuren (am Bruch; Taf. 10/3 u. Abb. 70)

3.5001.16740.2
Webgewicht
Form: pyramidenstumpfförmig
Maße: erh. H. 6; erh. B. 6,5; erh. T. 5,5; Lochdm. 0,7; Gewicht: 140
Erhaltungszustand: Randbruchstück
Anmerkung: oberer Teil erh. (bis Lochung), vegetabil gemagert, sek. gebr.

3.5001.16741.1
Gefäßkeramik
Gefäßform: Schale, Gefäßtyp: konische bis steilkonische Form mit einziehendem Rand (hohe Einzugsrandschale)
Maße: Wst. 0,35–0,5; H. 7,5; Rdm. 11; Bdm. 9
Keramikqualität: mittelfeine Ware
Oberfläche außen: mittelfein geglättet, Oberfläche innen: mittelfein geglättet
Farbe außen: rötlich, Farbe innen: rötlich-schwarz, Farbe Bruch: rötlich
Verzierung: Knubbe länglich
Brand: sekundär gebrannt
Erhaltungszustand: vollständig, aber beschädigt
Anzahl der Bruchstücke: 12, Anzahl der Gefäße: 1
Anpassung an: 16720, 16737
Anmerkung: durch Feuereinwirkung verzogen, vor allem in einer Hälfte; 4 waagrechte, längliche Knubben kreuzständig (Taf. 5/6; 64/4)

3.5001.16741.2
Gefäßkeramik
Gefäßform: Schale, Gefäßtyp: steilkonische Form,
Maße: Wst. 0,6; H. 11,5; Rdm. 22; Bdm. 11
Keramikqualität: mittelfeine Ware
Oberfläche außen: mittelfein geglättet, Oberfläche innen: mittelfein geglättet
Farbe außen: rötlich-ocker, Farbe innen: rötlich-ocker, Farbe Bruch: rötlich-grau
Brand: sehr gut gebrannt
Erhaltungszustand: ganzes Profil bis Gefäßhälfte erhalten
Anzahl der Bruchstücke: 5, Anzahl der Gefäße: 1
Anmerkung: außen am Rand schwache Einbuchtung zu „Lippe“; außen u. innen Schmauchflecken (Taf. 6/1)

3.5001.16741.3
Gefäßkeramik
Gefäßform: Kegelhalsgefäß, Gefäßtyp: bauchige Form mit kurzer durchschwingender Halsbildung (s-förmige Profilierung), Vorratsgefäß
Maße: Wst. 0,7–1; erh. H. 15; Rdm. 25; Gewicht: 600
Keramikqualität: mittelfeine Ware
Oberfläche außen: grob geglättet, Oberfläche innen: grob geglättet
Farbe außen: ocker, Farbe innen: rötlich-ocker, Farbe Bruch: orange, grau
Brand: sekundär gebrannt
Erhaltungszustand: Randbruchstück
Anzahl der Bruchstücke: 6, Anzahl der Gefäße: 1
Anmerkung: 2 Randabschnitte mit altem Bruch, wovon einer dem Feuer viel stärker ausgesetzt war (Taf. 8/2)

3.5001.16741.4
Gefäßkeramik
Gefäßform: Gefäß, Hochform
Maße: Bauchdm. >30, Bdm. 11; Wst. 0,5–0,6; erh. H. 14
Keramikqualität: mittelfeine Ware
Oberfläche außen: mittelfein geglättet, Oberfläche innen: mittelfein geglättet
Farbe außen: rötlich-schwarz, Farbe innen: rötlich-schwarz, Farbe Bruch: grau, rötlich
Brand: oxidierend gebrannt, sekundär gebrannt
Erhaltungszustand: Bodenbruchstück
Anzahl der Bruchstücke: 14, Anzahl der Gefäße: 1
Anpassung an: 16737
Anmerkung: Boden vollständig, Profil bis zum gebauchten Bauchumbruch erh.; Rückseite: schwarz umrandeter, runder Bereich: in Feuer/Asche gelegen (Taf. 64/5)

3.5001.16741.5
Gefäßkeramik
Gefäßform: Kegelhalsgefäß, Gefäßtyp: bauchige Form mit kurzer, durchschwingender Halsbildung (s-förmige Profilierung)? Vorratsgefäß
Maße: Rdm. 36; Wst. 1; erh. H. 10
Keramikqualität: grobe Ware
Oberfläche außen: mittelfein geglättet, Oberfläche innen: mittelfein geglättet
Farbe außen: rötlich, Farbe innen: rötlich, Farbe Bruch: dunkelgrau, rötlich
Brand: sekundär gebrannt
Erhaltungszustand: Randbruchstück
Anzahl der Bruchstücke: 3, Anzahl der Gefäße: 1
Anmerkung: 2 RS, 1 WS

3.5001.16741.6
Gefäßkeramik
Vorratsgefäß
Gewicht: 1500
Brand: sehr gut gebrannt, sekundär gebrannt
Erhaltungszustand: Bruchstück
Anzahl der Bruchstücke: 50–70
Anmerkung: BS von stark sek. gebr., gr. Gefäßen; weitere sek. gebr. BS; etwa 10 feine Ware, nur tw. sek. gebr.

3.5001.16741.7
Gefäßkeramik
Gefäßform: Tasse, Gefäßtyp: Form mit kegelförmigem Hals
Maße: Wst. 0,5; Rdm. 14,5; H. 13,8; Henkelst. 1; Henkelb. über 2,2
Keramikqualität: feine Ware
Oberfläche außen: fein geglättet, Oberfläche innen: fein geglättet
Farbe außen: ocker, schwärzlich, Farbe innen: dunkelbraun, Farbe Bruch: dunkelbraun
Verzierung: eingetiefte Verzierung, Kannelur, senkrecht und eingetiefte Verzierung, Rille(n)
Brand: sehr gut gebrannt
Erhaltungszustand: ganzes Profil bis Gefäßhälfte erhalten
Anzahl der Bruchstücke: 10; Anzahl der Gefäße: 1
Anpassung an: 16373, 16718, 16692
Anmerkung: etwa die Hälfte erh.; keine Spuren von Sekundärbrand, Bandhenkel abgebrochen (Taf. 7/1)

3.5001.16741.8
Hüttenlehm
Gewicht: 150
Anmerkung: 2 mittlere Brocken

3.5001.16744.1
Reibplatte
Material: Granit
Maße: erh. L. 37,5; erh. B. 23; H. 9,5 (Höhe komplett); Gewicht: ca. 12000
Erhaltungszustand: Randbruchstück und Feuereinwirkung
Anmerkung: 8 Frg., zusammenpassend, mit erh. Reibfl., Boden u. einigen erh. Seitenkantenabschnitten (16744 u. gr. Stück 16734); dazu 5 kleinere Frg. nicht anpassend (16347, 16348, 16368, 16370); alle Stücke stark verbrannt mit Rotfärbung, auch an den Brüchen (Taf. 15/5; 70/4)

3.5001.16744.2
Stein
Material: Sandstein, Granit
Gewicht: 2500
Anzahl: 5
Anmerkung: 6 Sandsteinfrg., durch Brand zersprungen, rot gefärbt, teils zusammenpassend; 6 Granitfrg., verbrannt

3.5001.16744.3
Gefäßkeramik
Gefäßform: Kegelhalsgefäß, Gefäßtyp: Form mit kegelförmigem Hals, Vorratsgefäß
Farbe außen: schwarz
Anzahl der Bruchstücke: 7, Anzahl der Gefäße: 1
Anpassung an: 16692
Anmerkung: wahrscheinlich zum gr., schwarzen, hallstattzeitlichen KHG (16692.1) gehörig

3.5001.16744.4
Schlacke?
Maße: 6, Gewicht: 100
Anmerkung: 1 Stück Schlackengemisch(?), schwer für seine Größe

3.5001.16745.1
Gefäßkeramik
Erhaltungszustand: Wandbruchstück
Anzahl der Bruchstücke: 1
Anmerkung: 1 kl. WS

3.5001.16745.2
Schlacke?
Maße: größtes Stück 7; Gewicht: 300
Anmerkung: 3 Stück Schlacke, rundlich/kugelförmig

3.5001.16747.1
Hüttenlehm
Typ: Hüttenlehm mit Ruten- und Brettabdrücken
Maße: max. 9; Gewicht: 3000
Zustand: kaum gebrannt
Anmerkung: braun, bröckelig

3.5001.16747.2
Hüttenlehm
Typ: Hüttenlehm mit Abdrücken von Ruten und Rundhölzern (mit dreieckigem Querschnitt), 1 Bruchstück mit D-förmigem Querschnitt
Maße: L. bis 16; St. bis 10; Frg. mit Rutenabdrücken: 16 × 12 × 10; Frg. mit dreieck. Profil: L. 15 × 6,5 × 7; Gewicht: 20000
Zustand: etwas mehr gebrannt
Anmerkung: etwas rötlich, ocker-rötlicher Gesamteindruck; meist ist die ebene Wandoberfl. erh., vegetabil gemagert
Massiver Hüttenlehm, in Ki 2/58091 (Taf. 65/1–2)

3.5001.16747.3
Hüttenlehm
Typ: 3 runde, schwere Klumpen; 1 × mit Standfläche (gezeichnet)
Maße: Klumpen mit Standfl.: Dm. 8; erh. H. 5,5; anderer Klumpen: erh. L. max. 11; Gewicht: 2000
Zustand: sekundär gebrannt
Anmerkung: in 2 Fällen Originaloberfl. erh. (weißlich); ungewöhnlich hohes spezifisches Gewicht: Ton mit Erzrückständen versetzt? Keramikbruchmagerung
Erinnert an kopfförmigen Klumpen 16739.2 (Taf. 11/5; 66/4)

3.5001.16747.4
Hüttenlehm
Typ: Lochtenne?
Maße: St. 7; 10 × 6,5; 11 × 5; Lochdm. 2,5–3; Gewicht: 800
Zustand: kaum gebrannt
Anmerkung: Teile einer kaum gebr. Platte, welche dicht mit versetzt angelegten, senkrechten Lochungen versehen ist
Für Tenne auffällig wenig gebrannt (Taf. 11/2–3; 70/1 u. Abb. 97)

V5003

3.5003.16511.1
Stein
Gewicht: 300
Anzahl: 1
Anmerkung: 1 Stein, keine Bearbeitungsspuren, weiß verbrannt mit Rissen

3.5003.16524.2
Hüttenlehm
Gewicht: 5
Anmerkung: 2 kl. HL-Brocken

3.5003.16524.4
Gefäßkeramik
Anzahl der Bruchstücke: 4
Anmerkung: 4 kl. BS unterschiedl. Zeitstellung

3.5003.16525.1
Hüttenlehm
Gewicht: 100
Anmerkung: 10 kleinere HL-Brocken; teils mit Abdrücken

3.5003.16525.2
Gefäßkeramik
Gefäßform: Schale, Gefäßtyp: Form mit schräg kanneliertem Rand und welliger Mundsaumgestaltung (echter Turbanrand)
Maße: Wst. 0,4–0,75; erh. H.3,7
Keramikqualität: mittelfeine Ware
Oberfläche außen: fein geglättet, Oberfläche innen: mittelfein geglättet
Farbe außen: rötlich-ocker, Farbe innen: ocker, Farbe Bruch: schwarz
Brand: sehr gut gebrannt
Erhaltungszustand: Randbruchstück
Anzahl der Bruchstücke: 1, Anzahl der Gefäße: 1
Anmerkung: außen Schmauchspuren (Taf. 18/3)

3.5003.16525.3
Gefäßkeramik
Erhaltungszustand: Wandbruchstück
Anzahl der Bruchstücke: 3
Anmerkung: 3 kl. WS grobe Ware

3.5003.16526.1
Gefäßkeramik
Maße: Wst. 1, erh. H. 2,5
Keramikqualität: mittelfeine Ware
Oberfläche außen: grob geglättet, Oberfläche innen: mittelfein geglättet
Farbe außen: grau, Farbe innen: orange, Farbe Bruch: grau-orange
Brand: sehr gut gebrannt
Erhaltungszustand: Bruchstück
Anzahl der Bruchstücke: 1
Anmerkung: BS von röm. Drehscheibenware

3.5003.16526.2
Hüttenlehm
Gewicht: 290
Anmerkung: 14 HL-Brocken; teils mit Abdrücken

3.5003.16526.3
Stein
Material: u. a. 1 Sandstein
Gewicht: 350
Anzahl: 4
Anmerkung: 4 Steine, keine Bearbeitungsspuren, keine Hitzeeinwirkung

3.5003.16527.1
Gefäßkeramik
Anzahl der Bruchstücke: 6
Anmerkung: 5 kl. WS, davon 3 mittelfein, 2 grob; 1 BoS

3.5003.16527.2
Hüttenlehm
Gewicht: 100
Anmerkung: 2 HL-Brocken, 3 kleinere Brösel

3.5003.16530.1
Hüttenlehm
Gewicht: 220
Anmerkung: 13 HL-Brocken, teils mit Abdrücken

3.5003.16530.2
Tonring
Maße: Adm. 8,8–9; Lochdm. 1,7–2; max. St. 1,8
Erhaltungszustand: vollständig, aber beschädigt
Anmerkung: langovaler Querschnitt; dunkel-braun-grauer Ton, unregelmäßige Oberfl., gut gebr. (Taf. 18/4; 71/3)

3.5003.16531.1
Stein
Gewicht: 280
Anzahl: 2
Anmerkung: 2 Steine, 1 davon evtl. Frg. von Mahlstein(?)

3.5003.16531.2
Gefäßkeramik
Keramikqualität: mittelfeine Ware
Anzahl der Bruchstücke: 12
Anmerkung: 12 WS, davon 7 mittelfein, 1 mittelfein mit schwarzem Auftrag, 4 grobe Ware

3.5003.16533.1
Hüttenlehm
Gewicht: 20
Anmerkung: 3 kl. HL-Bröckchen, 1 davon mit Abdrücken

3.5003.16533.2
Gefäßkeramik
Anzahl der Bruchstücke: 3
Anmerkung: 2 WS grobe Ware; 1 WS neuzeitlich glasiert

3.5003.16550.1
Hüttenlehm
Gewicht: 15
Anmerkung: 2 kl. HL-Bröckchen

3.5003.16550.2
Gefäßkeramik
Maße: Wst. 0,65; H. 5,8
Keramikqualität: mittelfeine Ware
Oberfläche außen: hochglänzend poliert, Oberfläche innen: fein geglättet
Farbe außen: grau, Farbe innen: grau, Farbe Bruch: grau
Verzierung: eingetiefte Verzierung, Kannelur, senkrecht,
Erhaltungszustand: Wandbruchstück
Anzahl der Bruchstücke: 1, Anzahl der Gefäße: 1
Anmerkung: 1 Hals-/SchulterBS, seifiger Ton, fein geglättet, außen grafitiert, mit senkrechten, etwas unregelmäßig verlaufenden, sehr seichten Kanneluren (Taf. 18/2)

3.5003.16550.3
Gefäßkeramik
Maße: Wst. 1,1; H. 5,2
Keramikqualität: grobe Ware
Farbe außen: ocker-braun, Farbe innen: hellgrau, Farbe Bruch: hellgrau
Brand: sekundär gebrannt
Erhaltungszustand: Wandbruchstück und Feuereinwirkung
Anzahl der Bruchstücke: 1, Anzahl der Gefäße: 1
Anmerkung: RS, grobe Ware mit kantigem, gerade abgestrichenem Rand

3.5003.16550.4
Gefäßkeramik
Anzahl der Bruchstücke: 9
Anmerkung: 9 kl. WS unterschiedl. Qualität; davon 1 mit Fingertupfenleiste, davon 4 mittelfeine Ware

3.5003.16550.5
Reibplatte
Material: Granit
Maße: 8,7 × 5,8; H. 5,4; Gewicht: 280
Erhaltungszustand: Randbruchstück
Anmerkung: Frg. einer Reibpl. mit erh. Seitenkante u. Feuerspuren

3.5003.16550.6
Stein
Material: Granit
Gewicht: 50
Anzahl: 1
Anmerkung: 1 kl. Granitstein, zerbrochen, ohne alte Oberfl.

3.5003.16592.1
Gefäßkeramik
Keramikqualität: grobe Ware
Brand: sehr gut gebrannt
Erhaltungszustand: Wandbruchstück
Anzahl der Bruchstücke: 7
Anmerkung: 7 WS grobe Ware

3.5003.16592.2
Gefäßkeramik
Keramikqualität: grobe Ware
Brand: sehr gut gebrannt
Erhaltungszustand: Wandbruchstück
Anzahl der Bruchstücke: 1
Anmerkung: 1 WS grobe Ware

3.5003.16592.3
Beige-grünliche Konkretionen, darin eingeschlossen Faserbündel oder Wurzeln und ein Knochenstück
Maße: Dm. 6, Gewicht: 20
Anmerkung: sehr leichte Schlacke mit Knocheneinschlüssen (Abb. 137)

3.5003.16601.1
Gefäßkeramik
Anzahl der Bruchstücke: 5
Anmerkung: 1 RS s-förmig profiliert; 1 BoS, 3 WS; alles grobe Ware

3.5003.16609.1
Gefäßkeramik
Gefäßform: Kegelhalsgefäß, Gefäßtyp: Form mit Kegelhals, Vorratsgefäß
Maße: Wst. 0,9; erh. H. 16; Rdm. 40
Keramikqualität: grobe Ware
Oberfläche außen: grob geglättet, Oberfläche innen: grob geglättet
Farbe außen: ocker-braun, Farbe innen: ocker-braun, Farbe Bruch: ocker-braun-grau
Brand: sekundär gebrannt
Erhaltungszustand: Randbruchstück und Feuereinwirkung
Anzahl der Bruchstücke: 2, Anzahl der Gefäße: 1
Anmerkung: 1 RS von KHG mit ausl. Rand, Brandspuren besonders am Mundsaum, mit Keramikbruch gemagert (Taf. 18/1)

3.5003.16609.2
Gefäßkeramik
Gefäßform: Kegelhalsgefäß, Gefäßtyp: Form mit Kegelhals, Vorratsgefäß
Maße: Wst. 0,8–0,9; erh. H. 40; Rdm. 29
Keramikqualität: grobe Ware
Oberfläche außen: grob geglättet, Oberfläche innen: grob geglättet
Farbe außen: ocker-braun-grau, Farbe innen: ocker-braun-grau, Farbe Bruch: schwarz
Verzierung: eingetiefte Verzierung, Rillen und Knubbe spitz
Brand: u. a. sekundär gebrannt
Erhaltungszustand: unvollständig und restauriert
Anzahl der Gefäße: 1
Anpassung an: 16668, 16677
Anmerkung: KHG; 2 waagrechte Rillen am Schulter-Hals-Absatz, auf der Schulter spitze Knubben, kreuzständig?, Gefäß ist vor dem Schadenfeuer gebrochen, verzogene Brüche u. demgemäß verschmauchte Innenfl. (die meisten BS haben FNr. St. 16677; Taf. 17/2; 71/2 u. Abb. 401)

3.5003.16609.3
Gefäßkeramik
Gefäßform: Schale, Gefäßtyp: Form mit schräg kanneliertem Rand und welliger Mundsaumgestaltung (echter Turbanrand)
Maße: Wst. 0,45; H. 8,8; Rdm. 26; Bdm. 9,8
Keramikqualität: mittelfeine Ware
Oberfläche außen: grob geglättet, Oberfläche innen: grob geglättet
Farbe außen: ocker-braun, Farbe innen: orange, Farbe Bruch: ocker-braun
Brand: sekundär gebrannt
Erhaltungszustand: Randbruchstück und Feuereinwirkung
Anzahl der Bruchstücke: 2, Anzahl der Gefäße: 1
Anmerkung: 1 RS, 1 RWBS von echter Turbanrandschale mit sek. Brandspuren v. a. im Randbereich (Taf. 17/3)

3.5003.16609.4
Gefäßkeramik
Gefäßform: Schale
Maße: Wst. 0,65; erh. H. 3,5
Keramikqualität: mittelfeine Ware
Oberfläche außen: hochglänzend poliert, Oberfläche innen: hochglänzend poliert
Farbe außen: schwarz, Farbe innen: schwarz, Farbe Bruch: schwarz
Brand: sehr gut gebrannt
Erhaltungszustand: Randbruchstück
Anzahl der Bruchstücke: 1
Anmerkung: 1 RS von Schale, außen u. innen grafitiert

3.5003.16609.5
Gefäßkeramik
Maße: Wst. 1
Keramikqualität: grobe Ware
Oberfläche außen: grob geglättet, Oberfläche innen: grob geglättet
Farbe außen: hellgrau, Farbe innen: grau-orange, Farbe Bruch: grau-orange
Brand: sehr gut gebrannt
Erhaltungszustand: Wandbruchstück
Anzahl der Bruchstücke: 1
Anmerkung: WS grobe Ware

3.5003.16609.6
Hüttenlehm
Gewicht: 10
Anmerkung: 1 kl. HL-Brocken

3.5003.16613.1
Hüttenlehm
Gewicht: 650
Anmerkung: ca. 30 größere und kleinere HL-Brocken, teils mit Abdrücken

3.5003.16613.2
Gefäßkeramik
Anzahl der Bruchstücke: 4
Anmerkung: 3 RS, 1 BoS grobe Ware

3.5003.16623.1
Gefäßkeramik
Maße: Wst. 0,45
Keramikqualität: mittelfeine Ware
Oberfläche außen: grob geglättet, Oberfläche innen: grob geglättet
Farbe außen: grau, Farbe innen: grau, Farbe Bruch: grau
Brand: sehr gut gebrannt
Erhaltungszustand: Wandbruchstück
Anzahl der Bruchstücke: 2
Anmerkung: 2 WS

3.5003.16625.1
Klopfstein
Material: Geröll
Maße: erh. Dm. 7,5
Erhaltungszustand: Bruchstück
Anmerkung: 1 Frg. von Geröll mit Klopfspuren, Feuereinwirkung wahrscheinlich

3.5003.16625.2
Stein
Material: u. a. Sandsteine
Gewicht: 870
Anzahl: 16
Anmerkung: v. a. Sandsteine, keine Bearbeitungsspuren

3.5003.16625.3
Gefäßkeramik
Keramikqualität: mittelfeine Ware
Farbe außen: grau-braun
Brand: sehr gut gebrannt
Erhaltungszustand: Wandbruchstück
Anzahl der Bruchstücke: 1
Anmerkung: 1 kl. WS

3.5003.16626.1
Gefäßkeramik
Brand: sehr gut gebrannt
Erhaltungszustand: Wandbruchstück
Anzahl der Bruchstücke: 12
Anmerkung: 11 kleinere WS, davon 2 mit Grafitierung, 1 RS

3.5003.16629.1
Gefäßkeramik
Keramikqualität: grobe Ware
Erhaltungszustand: Wandbruchstück
Anzahl der Bruchstücke: 11
Anmerkung: 3 BoS, 8 WS grobe Ware

3.5003.16629.2
Hüttenlehm
Typ: Flechtwerkwand
Gewicht: 240
Anmerkung: ca. 15 Stück mit teils ebener Fläche

3.5003.16632.1
Gefäßkeramik
Maße: Wst. 7; H. 4,2
Keramikqualität: grobe Ware
Oberfläche außen: grob geglättet, Oberfläche innen: grob geglättet
Farbe außen: ocker-baun, Farbe innen: rot-braun, Farbe Bruch: ocker-braun
Verzierung: eingetiefte Verzierung, Einstichreihe und eingetiefte Verzierung, Kannelur, senkrecht
Brand: sehr gut gebrannt
Erhaltungszustand: Wandbruchstück
Anzahl der Bruchstücke: 1
Anmerkung: 1 WS, grobe Ware mit waagrecht verlaufender Einstichreihe u. senkrecht verlaufenden Kanneluren, MBZ?

3.5003.16632.2
Gefäßkeramik
Erhaltungszustand: Wandbruchstück
Anzahl der Bruchstücke: 7, Anzahl der Gefäße: 7
Anmerkung: 2 RS, 5 WS, grobe, mittelfeine u. feine Ware; mind. 1 davon grafitiert

3.5003.16640.1
Gefäßkeramik
Vorratsgefäß
Maße: Wst. 1; erh. H. 8
Keramikqualität: grobe Ware
Oberfläche außen: grob geglättet, Oberfläche innen: grob geglättet
Farbe außen: ocker-braun, Farbe innen: ocker-braun, Farbe Bruch: grau-braun
Verzierung: Knubbe länglich
Brand: sekundär gebrannt
Erhaltungszustand: Wandbruchstück
Anzahl der Bruchstücke: 1, Anzahl der Gefäße: 1
Anmerkung: 1 WS mit Knubbe (Taf. 18/5)

3.5003.16640.2
Gefäßkeramik
Gefäßform: s-förmig profilierter Topf, Gefäßtyp: Form mit kurzer durchschwingender Halsbildung (s-förmige Profilierung),
Maße: Wst. 0,75; erh. H. 7; Rdm. 19
Keramikqualität: grobe Ware
Oberfläche außen: grob geglättet, Oberfläche innen: grob geglättet
Farbe außen: ocker-braun, Farbe innen: ocker-braun, Farbe Bruch: grau-braun
Brand: sekundär gebrannt
Erhaltungszustand: Randbruchstück und Feuereinwirkung
Anzahl der Bruchstücke: 2, Anzahl der Gefäße: 1
Anmerkung: 2 RS von Topf, s-förmig profiliert, mit Keramikbruch gemagert (Taf. 18/6)

3.5003.16640.3
Gefäßkeramik
Vorratsgefäß
Maße: Wst.1,05; Rdm. > 40
Keramikqualität: grobe Ware
Oberfläche außen: grob geglättet, Oberfläche innen: grob geglättet
Farbe außen: grau-braun, Farbe innen: grau-braun, Farbe Bruch: grau
Verzierung: eingetiefte Verzierung, Eindruckreihe
Brand: sekundär gebrannt
Erhaltungszustand: Randbruchstück und Feuereinwirkung
Anzahl der Bruchstücke: 2, Anzahl der Gefäße: 1
Anmerkung: 2 RS mit nach außen gelegtem, eingedelltem Rand (Fingertupfen)

3.5003.16640.4
Gefäßkeramik
Vorratsgefäß
Maße: Bdm.12 u. 18; Gesamtgewicht: 1340
Erhaltungszustand: Bruchstück
Anzahl der Bruchstücke: 30, Anzahl der Gefäße: mind. 10
Anmerkung: 1 RS, 7 BoS (davon 3 zusammenpassend), 26 WS, davon 1 mit senkrechten Rillen sowie 5 davon mittelfeine Ware; 1 Henkel; teils Grafitierung, teils sek. gebr.

3.5003.16640.6
Hüttenlehm
Typ: Flechtwerkwand, auch Brettbau und Rundholz; Sonderform (D-förmiges Profil)
Gewicht: 2940
Anmerkung: etwa 15 größere Brocken mit Rutenabdrücken u. ebener Fläche, 5 mit D-förmigem Profil (Taf. 71/4)

3.5003.16641.3
Gefäßkeramik
Anzahl der Bruchstücke: 13, Anzahl der Gefäße: mind. 10
Anmerkung: 2 RS, davon 1 stark verschlackt, 1 BoS, 9 WS; unterschiedl. Qualität, teils sek. gebr.

3.5003.16641.4
Hüttenlehm
Gewicht: 250
Anmerkung: 9 HL-Brocken, teils mit Abdrücken

3.5003.16641.5
Schlacke
Maße: Dm. 10, Gewicht: 320
Anmerkung: 3 Schlackestücke, 2 davon etwas größer, ca. 10 cm

3.5003.16641.6
Stein
Material: u. a. 1 Hornstein, Sandsteine
Gewicht: 470
Anzahl: 9
Anmerkung: unterschiedl. Steine, teils Gerölle, 1 Hornstein, keine Bearbeitungsspuren, teils verbrannt

3.5003.16642.1
Stein
Material: Koralle
Gewicht: 140
Anzahl: 4
Anmerkung: hellgraue Korallensteine(?)

3.5003.16642.2
Hüttenlehm
Gewicht: 250
Anmerkung: ca. 10 HL-Brocken

3.5003.16655.1
Hüttenlehm
Gewicht: 950
Anmerkung: ca. 40 v. a. kleinere HL-Brocken, teils mit Abdrücken

3.5003.16655.5
Gefäßkeramik
Erhaltungszustand: Wandbruchstück
Anzahl der Bruchstücke: 6
Anmerkung: 6 WS, davon 3 grobe Ware, 3 mittelfeine Ware

3.5003.16668.1
Gefäßkeramik
Anzahl der Bruchstücke: 22
Anmerkung: 1 RS, 1 BoS, 20 WS von mehreren Gefäßen, meist graubraun; teils sek. gebr., 1 WS mit Lochung (Sieb?), 1 WS mit 3 umlaufenden Riefen

3.5003.16668.3
Hüttenlehm
Typ: Flechtwerkwand und Sonderform (D-förmiges Profil)
Gewicht: 400
Anmerkung: 8 größere u. viele kleinere Brocken, 1 innen glatt, außen rund

3.5003.16677.1
Gefäßkeramik
Vorratsgefäß
Anzahl der Bruchstücke: 34
Anmerkung: 1 mittelfeines SchulterBS von größerem Gefäß mit senkrechter, seichter Kannelur; 2 RS von bauchigem Vorratsgefäß mit ausl. Rand; BoS; 2 WS sehr stark sek. gebr. (Abb. 401)

3.5003.16678.1
Gefäßkeramik
Anzahl der Bruchstücke: 3, Anzahl der Gefäße: 3
Anmerkung: 1 RS von röm. Drehscheibenware, 2 WS grobe Ware

3.5003.16678.2
Hüttenlehm
Gewicht: 70
Anmerkung: 2 HL-Brocken mit Abdrücken

3.5003.16678.3
Stein
Gewicht: 60
Anzahl: 2
Anmerkung: 2 Gerölle ohne Bearbeitungsspuren

3.5003.16679.1
Gefäßkeramik
Erhaltungszustand: Bruchstück
Anzahl der Bruchstücke: 7
Anmerkung: 1 RS mit Arkadenrand, grobe Ware, 6 kl. WS mittelfeine Ware, sek. gebr.

3.5003.16681.1
Miniaturgefäß
Gefäßform: Kegelhalsgefäß
Maße: Wst. 3,5; H. 7; Rdm. 4,5–4,9; Bdm. 2,7; Bauchdm. 7; Bst. 1
Keramikqualität: mittelfeine Ware
Oberfläche außen: grob belassen
Farbe außen: ocker-braun, Farbe innen: ocker-braun, Farbe Bruch: ocker-braun
Brand: sekundär gebrannt
Erhaltungszustand: vollständig, aber beschädigt
Anmerkung: nach innen erhöhter, abgesetzter Boden, tiefliegender, gewölbter Bauchumbruch, verlaufende Wandung mit schwach abgesetztem, ausl. Rand; wulstartige Erhebung bzw. Rille am Bauchumbruch (Taf. 17/1; 71/1)

3.5003.16682.1
Hüttenlehm
Gewicht: ca. 8000
Anmerkung: 2 volle Kisten mit Hüttenlehm; einige mit Abdrücken

3.5003.16682.2
Stein
Gewicht: 340
Anzahl: 8
Anmerkung: 8 Steine, davon 7 Gerölle; alle ohne Bearbeitungsspuren

3.5003.16686.1
Beige-grünliche Konkretionen, darin eingeschlossen Faserbündel oder Wurzeln
Gewicht: 50
Anmerkung: sehr leichtes Material; u. a. verbrannte Knochen

V5004

3.5004.16833.1
Gefäßkeramik
Gewicht: 750
Erhaltungszustand: Bruchstück
Anzahl der Bruchstücke: 56
Anmerkung: 2 RS mittelfein, 1 RS fein; 1 WS mit horizontalen Riefen, 1 WS mit Fingertupfenleiste; Rest WS unterschiedl. Qualität

3.5004.16850.1
Gefäßkeramik
Gewicht: 200
Erhaltungszustand: Bruchstück
Anzahl der Bruchstücke: 15
Anmerkung: Mischposten mit grauer Patina

3.5004.16850.2
Hüttenlehm
Anmerkung: w. kl. HL-Bröckchen

3.5004.16859.1
Gefäßkeramik
Vorratsgefäß
Erhaltungszustand: Bruchstück
Anzahl der Bruchstücke: 17
Anmerkung: SchulterBS von Vorratsgefäß mit Fingertupfenleiste; mittelfeiner WS mit mehrfacher Kreisriefe; WS mit Fingerstrichrauhung (MBZ?/ältere UK?)

3.5004.16866.1
Stein
Material: Granit
Maße: L 6; Gewicht: 70
Anzahl: 1
Anmerkung: „Abschlag“

3.5004.16866.2
Gefäßkeramik
Erhaltungszustand: Bruchstück
Anzahl der Bruchstücke: 20
Anmerkung: 1 HenkelBS MA

3.5004.16884.1
Reibplatte
Material: Granit
Maße: L. 6; B. 3,5; St. 1,5; Gewicht: 50
Erhaltungszustand: Bruchstück mit Oberfl.
Anmerkung: Seitenkantenstück mit erh. Reibfl.; innen auch rosa-orange Einschlüsse, keine Hinweise auf Feuereinwirkung (Taf. 72/3)

3.5004.16884.2
Hüttenlehm
Gewicht: 25
Anmerkung: 5 kl. Bröckchen

3.5004.16884.3
Gefäßkeramik
Erhaltungszustand: Bruchstück
Anzahl der Bruchstücke: 7
Anmerkung: 6 kl. WS grob u. mittelfein; 1 RS mittelfein

3.5004.16899.1
Gefäßkeramik
Gewicht: 700
Erhaltungszustand: Bruchstück
Anzahl der Bruchstücke: 30
Anmerkung: Mischposten mit grauer Patina

3.5004.16899.2
Stein
Maße: L. 3; Gewicht: 20
Anzahl: 1
Anmerkung: weiße Patina

3.5004.16899.3
Hüttenlehm
Gewicht: 30
Anmerkung: 6 kl. HL-Bröckchen

3.5004.16900.1
Hüttenlehm
Typ: Hüttenlehm mit Rutenabdrücken und Schaufläche
Maße: max. L. 5; Gewicht: 150
Zustand: kaum gebrannt

3.5004.16900.2
Gefäßkeramik
Gewicht: 120
Erhaltungszustand: Bruchstück
Anzahl der Bruchstücke: 13
Anmerkung: kl. BS, 1 WS geschlickert mit senkrechten Fingerstrichen

3.5004.16907.1
Stein
Material: Flusskiesel
Maße: H. 4,5; Gewicht: 15
Anzahl: 1

3.5004.16907.2
Hüttenlehm
Typ: Hüttenlehm mit Rutenabdrücken, Holzabdrücken und Schauflächen
Maße: max. L. 12, B. 6; Stärke 6; Gewicht: 1200
Zustand: rötlich gebrannt
Anmerkung: rötliche, auch größere HL-Brocken, tw. sehr unförmig

3.5004.16907.3
Gefäßkeramik
Gefäßform: s-förmig profilierter Topf, Vorratsgefäß
Maße: Wst. 1,2–1,4; erh. H. 18; rek. Rdm. 42–44; rek. Bauchdm. mind. 50; Gewicht: 1100
Keramikqualität: mittelfeine Ware
Oberfläche außen: fein geglättet, Oberfläche innen: mittelfein geglättet
Farbe außen: rötlichbraun, Farbe innen: hellockergrau, Farbe Bruch: grau
Verzierung: erhabene Verzierung, Leiste, Fingertupfenleiste umlaufend
Brand: sehr gut gebrannt, sekundär gebrannt
Erhaltungszustand: Rand- und Wandbruchstücke
Anzahl der Bruchstücke: 10, Anzahl der Gefäße: 1
Anmerkung: gr. RS u. gr. SchulterBS von gr. Vorratsgefäß, kaum/keine Keramikbruchmagerung, fein geschlämmter Ton, am Rand brüchig (im Feuer gelegen?); außen vom Mundsaum (?) abwärts 7 cm breites, umlaufendes Band aus dunkelbraunem Anstrich (Pech?); auch an 2 WS vom Bauchbereich streifenförmiger Anstrich; an 1 davon auch innen Anstrichspuren? (Taf. 19/1; 72/1)

3.5004.16907.4
Gefäßkeramik
Gefäßform: s-förmig profilierter Topf, Vorratsgefäß
Maße: Wst. Bauch 0,9; Wst. Hals 1,15; erh. Bdm. 38; erh. Halsdm. 34; Knubbe: L. 5,5; B. 2; T. 1,8; Gewicht: 300
Keramikqualität: mittelfeine Ware
Oberfläche außen: grob geglättet, Oberfläche innen: mittelfein geglättet
Farbe außen: rötlich-braun, Farbe innen: dunkelgrau, Farbe Bruch: dunkelgrau
Verzierung: erhabene Verzierung, Leiste, umlaufende Fingertupfenleiste und längliche Knubbe
Brand: sehr gut gebrannt
Erhaltungszustand: Wandbruchstück
Anzahl der Bruchstücke: 8, Anzahl der Gefäße: 1
Dazugehörig: 16833 (3 WS, 1 Knubbe), 16866 (1 WS)
Anmerkung: Wandpartie Bauch-Hals-Übergang mit aufgesetzter Fingertupfenleiste u. länglicher Knubbe. Da ein Leistenstück abgesprungen ist, erkennt man, dass das Gefäß zuerst mit 2 Rillen aufgeraut wurde, ehe man die Leiste aufsetzte; Gleiches bei der Knubbe (Taf. 19/2)

3.5004.16907.5
Gefäßkeramik
Gewicht: 100
Erhaltungszustand: Bruchstück
Anzahl der Bruchstücke: 7
Anmerkung: 1 WS mit Kornstich (MBZ)

3.5004.16908.1
Scheibenförmiges Webgewicht
Form: Tonring klein
Maße: Adm. 5,5; H. 1,8–2; Lochdm. 1,5
Erhaltungszustand: vollständig und Ausbesserung
Anmerkung: langovaler Querschnitt; vollständig, restauriert mit grauer Farbe; grau-brauner Ton, außen rau u. grob gearbeitet; Schmauchfleck, mäßig gebrannt (Taf. 19/3; 72/2)

V5005

3.5005.16059.1
Gefäßkeramik
Maße: Wst. 0,9
Keramikqualität: grobe Ware
Oberfläche außen: grob geglättet, Oberfläche innen: grob geglättet
Farbe außen: ocker-braun mit dunklem Überzug, Farbe innen: ocker-braun mit dunklem Überzug, Farbe Bruch: ocker-braun, grau
Brand: sehr gut gebrannt
Erhaltungszustand: Randbruchstück
Anzahl der Bruchstücke: 2, Anzahl der Gefäße: 1
Anmerkung: 1 RS u. 1 WS mit dunklem Überzug (Pech?)

3.5005.16059.2
Gefäßkeramik
Gewicht: gesamt 330
Anzahl der Bruchstücke: 12

Anmerkung: 1 RS mittelfeine Ware; 1 WS mit Bandhenkel (MBZ); 1 WBS grobe Ware; 1 WS feine Ware, sehr gut geglättet; Rest: 8 WS mittelfeine bis grobe Ware

3.5005.16868.1
Webgewicht
Form: pyramidenstumpfförmig
Maße: erh. 5; Gewicht: 60
Erhaltungszustand: Bruchstück mit erh. Oberfl.
Anmerkung: evtl. Teil eines WG

3.5005.16875.1
Hüttenlehm
Typ: auch von Rundhölzern mit ebener Schaufläche
Maße: L. max. 8; St. 3; Gewicht: 600
Zustand: gebrannt
Anmerkung: abgerundete, graue u. orange Brocken

3.5005.16915.1
Gefäßkeramik
Anmerkung: 1 kl. HenkelBS feine Ware; 1 kl. WS mit horizontaler Rille; 1 kl. WS mittelfein

3.5005.16915.2
Hüttenlehm
Maße: L. 7
Zustand: hart gebrannt

3.5005.16920.1
Gefäßkeramik
Anzahl der Bruchstücke: 1, Anzahl der Gefäße: 1
Anmerkung: 1 WBS grobe Ware

3.5005.16983.1
Stein
Material: Sandstein, Kiesel
Gewicht: 110
Anzahl: 2
Anmerkung: 1 Sandsteinfrg., 1 kl. Kiesel

3.5005.16983.2
Gefäßkeramik
Anzahl der Bruchstücke: 4
Anmerkung: 1 RS von Einzugsrandschale; 2 WS grobe Ware, 1 WS mittelfeine Ware

3.5005.16984.1
Gefäßkeramik
Erhaltungszustand: Wandbruchstück
Anzahl der Bruchstücke: 2, Anzahl der Gefäße: 2
Anmerkung: 2 kl. WS urgeschichtlich

3.5005.17010.1
Gefäßkeramik
Vorratsgefäß
Gewicht: 680
Anzahl der Bruchstücke: 32
Anmerkung: 3 RS, davon 1 großes KHG(?); 27 WS, 2 BoS

3.5005.17010.2
Stein
Material: Sandstein, Kalkstein, Kiesel
Gewicht: 480
Anzahl: 8
Anmerkung: 3 Sandstein, 2 Kalkstein, 3 Kiesel

3.5005.17010.3
Hüttenlehm
Gewicht: 250
Zustand: rötlich gebrannt
Anmerkung: 2 mittlere, 5 kl. Brocken ohne Abdrücke

3.5005.17011.1
Gefäßkeramik
Gewicht: 160
Brand: sehr gut gebrannt
Erhaltungszustand: Wandbruchstück
Anzahl der Bruchstücke: 4
Anmerkung: 3 WS grobe Ware, 1 WS feine Ware mit senkrechter Kannelur am Bauch

3.5005.17011.2
Silexobjekt
Abschlag
Maße: L. 4,3; B. 5
Farbe: rötlich
Erhaltungszustand: vollständig
Anmerkung: Abschlag verbrannt

3.5005.17025.4
Hüttenlehm
Gewicht: 350
Zustand: rötlich gebrannt
Anmerkung: 17 kl., verrundete Brocken

3.5005.17029.2
Stein
Material: Sandstein, Granit, Quarz
Gewicht: 2500
Anzahl: 10
Anmerkung: 2 Sandsteine mit flacher Oberfl. (Reibfl.?), verbrannt; 1 Sandstein mit viel Quarzanteilen u. ebenen Flächen, verbrannt; 1 Granit, verbrannt; Rest auch verbrannt

3.5005.17032.1
Gefäßkeramik
Gefäßform: Henkelschale, Gefäßtyp: Form mit zum Rand hin konischer einziehender Wandung
Maße: Wst. 0,5–0,6; Rdm. 11,5; H. 8,1; BoSt. 0,4; HenkelSt. 0,6–0,7
Keramikqualität: feine Ware
Oberfläche außen: poliert, Oberfläche innen: fein geglättet
Farbe außen: schwarz, Farbe innen: schwarz, Farbe Bruch: schwarz
Brand: sehr gut gebrannt
Erhaltungszustand: Randbruchstück
Anzahl der Bruchstücke: 2, Anzahl der Gefäße: 1
Anmerkung: vollständig rekonstruierbare, napfartige Schale mit hohem Henkel (Taf. 21/7)

3.5005.17032.2
Gefäßkeramik
Gewicht: gesamt 300
Anzahl der Bruchstücke: 18
Anmerkung: 18 WS grobe bis feine Ware

3.5005.17032.3
Stein
Material: Schiefer, Granit, Sandstein, Kiesel
Gewicht: 520
Anzahl: 9
Anmerkung: 1 Schieferplatte, 1 Granit-/Reibpl.? mit alter Reibfl. u Feuereinwirkung, 1 Sandstein (evtl. Schleifstein), 6 Kiesel

3.5005.17033.1
Gussform für ein Tüllenbeil
Material: Sandstein
Maße: erh. L. 6,5; erh. B. 4,3; H. 2,9–3,2
Erhaltungszustand: Randbruchstück
Anmerkung: obere Fläche gebrannt; Riss; am Rand Rillen: evtl. Arbeits- oder Herstellungsspuren (Taf. 21/6; 73/2)

3.5005.17038.1
Gefäßkeramik
Anzahl der Bruchstücke: 1, Anzahl der Gefäße: 1
Anmerkung: 1 WS urgeschichtlich

3.5005.17038.2
Stein
Material: Sandstein, Quarzitknolle, Granit? (kalkhältiger Stein)
Gewicht: 2500
Anzahl: 9
Anmerkung: Reibplattenfrg.? 3 plattige, gr. Sandsteine (Feuereinwirkung wahrscheinlich), 4 plattige, gr., kalkhältige Steine, rötliche Quarzitknolle (Feuereinwirkung? Taf. 73/4)

3.5005.17049.1
Gefäßkeramik
Gewicht: 600
Brand: sehr gut gebrannt, sekundär gebrannt
Anzahl der Bruchstücke: 27
Anmerkung: 5 RS, 2 BoS, 20 WS, davon 1 mit Abrollung u. 1 mit waagrechten u. senkrechten Rillen (Taf. 21/5)

3.5005.17049.2
Hüttenlehm
Gewicht: 70
Zustand: rötlich gebrannt
Anmerkung: 9 kl. Brocken

3.5005.17049.3
Schlacke?
Maße: 5, Gewicht: 80
Anmerkung: 1 Stück Schlackegemisch(?), schwer, 1 Seite flach

3.5005.17054.1
Gefäßkeramik
Gewicht: 220
Anzahl der Bruchstücke: 19
Anmerkung: 5 WS mittelfeine Ware, darunter 1 RS mit möglichem Pechüberzug; 12 weitere WS, darunter 1 mit anhaftenden Resten; 1 RS u. 1 WS 15./16. Jh. n. Chr.

3.5005.17054.2
Stein
Material: Kiesel
Gewicht: 50
Anzahl: 3
Anmerkung: 3 kl. Kiesel

3.5005.17054.3
Hüttenlehm
Maße: max. L. 5
Zustand: rötlich gebrannt

3.5005.17054.4
Herdplattenfragment
Maße: 6 × 4 × 1,8 (St.)
Anzahl: 1
Anmerkung: glatte, weiß bemalte Oberfl., dichter rötlicher Ton (Abb. 114)

3.5005.17054.5
Feuerbock
Barrenform?
Maße: erh. L. 6,5; erh. B. 3; erh. St. 3; Gewicht: 30
Oberfläche: grob geglättet
Farbe: rötlich, helle Oberfläche
Erhaltungszustand: Bruchstück
Anmerkung: schwache Keramikbruchmagerung (Taf. 74/2)

3.5005.17059.1
Gefäßkeramik
Brand: oxidierend gebrannt
Erhaltungszustand: Bruchstück
Anzahl der Bruchstücke: 2
Anmerkung: RS u. WS von grober Haushaltsware; RS: außen u. innen mit dunkelbraunem Anstrich, WS („Spielstein“?): Anstrich nur außen (Birkenpech?)

3.5005.17059.2
Gefäßkeramik
Erhaltungszustand: Bruchstück
Anzahl der Bruchstücke: 12
Anmerkung: RS, WS, BoS von grober u. mittelfeiner Ware

3.5005.17059.3
Stein
Material: Quarz
Gewicht: 70
Anzahl: 1
Anmerkung: 1 Quarz, verbrannt

3.5005.17059.4
Hüttenlehm
Gewicht: 350

3.5005.17065.1
Gefäßkeramik
Gewicht: 140
Anmerkung: 1 RS grobe Ware; 2 RS, 6 WS mittelfeine Ware

3.5005.17092.1
Webgewicht
Form: pyramidenstumpfförmig
Maße: erh. H. 6,8; erh. B. 5,7; erh. T. 6,5; Lochdm. ca. 1; Gewicht: 180
Erhaltungszustand: Bruchstück mit Oberfl.
Anmerkung: oberer Teil erh. (bis Lochung), sek. gebr.? (Taf. 21/4)

3.5005.17092.2
Gefäßkeramik
Gefäßform: eiförmiger Topf, Gefäßtyp: Form mit steil gerundeter Schulter ohne Randbildung (fassförmiger Topf)
Maße: Wst. 0,6–0,8; erh. H. 7
Keramikqualität: grobe Ware
Oberfläche außen: grob belassen, Oberfläche innen: grob geglättet
Farbe außen: ocker-braun, Farbe innen: dunkelgrau, Farbe Bruch: grau-ocker
Verzierung: Schlicker und Fingerstrich
Brand: sekundär gebrannt
Erhaltungszustand: Randbruchstück
Anzahl der Bruchstücke: 2, Anzahl der Gefäße: 1
Anmerkung: außen Schlickerung, Bereich vom Mundsaum abwärts an der Außenseite dunkelbrauner, waagrecht verlaufender Anstrich; innen am Randbereich dunkelbraune, poröse Reste

3.5005.17092.3
Gefäßkeramik
Gewicht: 550
Erhaltungszustand: Bruchstück
Anzahl der Bruchstücke: 20
Anmerkung: BS grobe u. mittelfeine Ware, tw. sek. gebr.?

3.5005.17092.4
Stein
Gewicht: 90
Anzahl: 1
Anmerkung: 1 verbrannter Stein

3.5005.17092.5
Hüttenlehm
Gewicht: 200
Zustand: gebrannt
Anmerkung: 1 Eckbruchstück erh.

3.5005.17092.6
Feuerbock
Barrenform?
Maße: erh. L. 5; erh. B. 4; erh. H. 7,5; Gewicht: 200
Oberfläche: grob geglättet
Farbe: rötlich-braun
Brand: hart gebrannt
Erhaltungszustand: Bruchstück
Anmerkung: Keramikbruchmagerung, außen weiß bemalt, kann zu 17097.5 gehören (Taf. 73/3)

3.5005.17096.1
Gefäßkeramik
Gefäßform: eiförmiger Topf, Gefäßtyp: Form mit steilkonischer Schulter
Maße: Wst. 1,2–1,4; erh. H. 6,5
Keramikqualität: feine Ware
Oberfläche außen: grob belassen, Oberfläche innen: grob geglättet
Farbe außen: ocker, Farbe innen: ocker, braun, Farbe Bruch: ockergrau
Verzierung: erhabene Verzierung, Knubben flächig?
Brand: sekundär gebrannt
Erhaltungszustand: Randbruchstück
Anzahl der Bruchstücke: 1, Anzahl der Gefäße: 1
Anmerkung: Doppelknubbe ist ungewöhnlich geformt (walzenförmig), spätneol.? (Taf. 21/3)

3.5005.17096.2
Gefäßkeramik
Erhaltungszustand: Bruchstück
Anzahl der Bruchstücke: 15
Anmerkung: etwa je zur Hälfte grobe u. feine Ware; 1 randständiger, englichtiger Henkel von Tasse, FBZ/MBZ

3.5005.17097.1
Gefäßkeramik
Gewicht: 550
Erhaltungszustand: Bruchstück
Anzahl der Bruchstücke: 25
Anmerkung: kl. BS grobe Ware, 1 RS von Topf mit grober Knubbe, einige mittelfeine Ware, einige BS sek. gebr.

3.5005.17097.2
Gefäßkeramik
Gefäßform: eiförmiger Topf, Gefäßtyp: Form mit steil gerundeter Schulter ohne Randbildung (fassförmiger Topf)
Maße: Wst. 0,6–0,8; erh. H. 6; Rdm. 15
Keramikqualität: grobe Ware
Oberfläche außen: grob belassen, Oberfläche innen: grob geglättet
Farbe außen: ocker, Farbe innen: grau, Farbe Bruch: grau
Verzierung: erhabene Verzierung, Knubben flächig?
Brand: sekundär gebrannt?
Erhaltungszustand: Randbruchstück
Anzahl der Bruchstücke: 2, Anzahl der Gefäße: 1
Anmerkung: sehr hart gebrannt

3.5005.17097.3
Stein
Material: Kiesel
Gewicht: 120
Anzahl: 7

3.5005.17097.4
Hüttenlehm
Gewicht: 350
Zustand: rötlich gebrannt
Anmerkung: hart gebrannte, rötliche u. 1 noch härter gebrannter, grauer Brocken

3.5005.17097.5
Feuerbock
Barrenform?
Maße: erh. L. 7,5; erh. B 4; erh. H. 4; Gewicht: 150
Oberfläche: grob geglättet
Farbe: rötlich-braun
Brand: hart gebrannt
Erhaltungszustand: Bruchstück
Anmerkung: Keramikbruchmagerung, weißliche Oberfl., kann zu 17092.6 gehören (Taf. 74/1 u. Abb. 71)

3.5005.17097.6
Geweih
Maße: L. 11,7; max. Dm. 3,1
Anmerkung: 1 Seite abgesägt; die andere Seite gebrochen; weitere Sägespur (Taf. 20/6; 72/6)

3.5005.17098.1
Gefäßkeramik
Gefäßform: eiförmiger Topf, Gefäßtyp: Form mit steilkonischer Schulter
Maße: Wst. 0,8–0,9; erh. H. 8,4; LappenB. 2,5; LappenSt. 0,7
Keramikqualität: grobe Ware
Oberfläche außen: grob geglättet, Oberfläche innen: grob geglättet
Farbe außen: braun, Farbe innen: grau-braun, Farbe Bruch: grau
Verzierung: erhabene Verzierung, Grifflappen
Brand: sekundär gebrannt
Erhaltungszustand: Randbruchstück
Anzahl der Bruchstücke: 1, Anzahl der Gefäße: 1
Anmerkung: mit grobem Keramikbruch gemagert, möglicherweise gehört 1 weiteres RS dazu, das weniger im Feuer gelegen ist (Taf. 21/2)

3.5005.17098.2
Gefäßkeramik
Vorratsgefäß
Brand: sehr gut gebrannt, sekundär gebrannt
Erhaltungszustand: Wandbruchstück
Anzahl der Bruchstücke: 17
Anmerkung: BS großteils grobe Ware, sek. gebr., 3 WS mittelfeine Ware

3.5005.17098.3
Stein
Gewicht: 100

Anzahl: 2
Anmerkung: 1 verbrannter Stein, 1 Kiesel

3.5005.17098.4
Hüttenlehm
Gewicht: 30
Zustand: kaum gebrannt
Anmerkung: 1 kl. Brocken

3.5005.17099.1
Geweih
Maße: L. 19; Dm. 2,9
Anmerkung: 2 Seiten abgesägt; 1 Seite gebrochen; helle Oberfl. (Taf. 20/5; 72/4 u. Abb. 123)

3.5005.17099.2
Geweih
Maße: L. 40; Dm. 5
Anmerkung: vom Geweih abgehackt; eine Seite abgesägt; eine Seite gebrochen (Taf. 21/1; 73/1 u. Abb. 123)

3.5005.17100.1
Gefäßkeramik
Gewicht: 1000
Brand: u. a. sekundär gebrannt
Erhaltungszustand: Bruchstück
Anzahl der Bruchstücke: 25
Anmerkung: BS großteils grobe Haushaltsware; 1 WS mittelfein, von KHG?,1 RS von Schale

3.5005.17100.2
Gefäßkeramik
Maße: Wst. 0,5–0,6; erh. H. 5
Keramikqualität: feine Ware
Oberfläche außen: poliert, Oberfläche innen: fein geglättet
Farbe außen: schwarz, Farbe innen: rötlich, Farbe Bruch: dunkelgrau, rötlich
Verzierung: eingetiefte Verzierung, Abrollung
Brand: sehr gut gebrannt
Erhaltungszustand: Wandbruchstück
Anzahl der Bruchstücke: 2, Anzahl der Gefäße: 1
Anmerkung: hochglänzende Außenfl., 2 senkrechte Abrollungen, schräg dazu beidseitig 2 weitere Abrollungen (Taf. 20/1; 72/5)

3.5005.17100.3
Gefäßkeramik
Gefäßform: Kegelhalsgefäß, Gefäßtyp: bauchige Form mit kurzer, durchschwingender Halsbildung (s-förmige Profilierung)? Vorratsgefäß
Maße: Wst. 1–1,2; Rdm. 46; erh. H. 15
Keramikqualität: feine Ware
Oberfläche außen: mittelfein geglättet, Oberfläche innen: mittelfein geglättet
Farbe außen: rötlich-ocker, Farbe innen: ocker-rötlich, Farbe Bruch: rötlich-grau
Brand: sekundär gebrannt
Erhaltungszustand: Randbruchstück
Anzahl der Bruchstücke: 6, Anzahl der Gefäße: 1
Anmerkung: innen krakeliert durch Sekundärbrand, außen nicht (Taf. 20/3)

3.5005.17100.4
Gefäßkeramik
Gefäßform: eiförmiger Topf, Gefäßtyp: Form mit steil gerundeter Schulter ohne Randbildung (fassförmiger Topf),
Maße: Wst. 0,7–1,1; Rdm. 26; erh. H. 11,8
Keramikqualität: grobe Ware
Oberfläche außen: grob geglättet, Oberfläche innen: grob geglättet
Farbe außen: rötlich-ocker, Farbe innen: rötlich-ocker, Farbe Bruch: grau, rötlich
Verzierung: erhabene Verzierung, Knubben flächig?
Brand: sekundär gebrannt
Erhaltungszustand: Randbruchstück
Anzahl der Bruchstücke: 1, Anzahl der Gefäße: 1
Anmerkung: schöne Doppelknubbe in Schulterhöhe (Taf. 20/4)

3.5005.17100.5
Gefäßkeramik
Gefäßform: eiförmiger Topf, Gefäßtyp: Form mit steil gerundeter Schulter ohne Randbildung (fassförmiger Topf)
Maße: Wst. 0,8–1,1; erh. H. 4; rek. Rdm. 14
Keramikqualität: grobe Ware
Oberfläche außen: grob geglättet, Oberfläche innen: grob geglättet
Farbe außen: grau-braun, Farbe innen: grau-braun, Farbe Bruch: grau
Verzierung: eingetiefte Verzierung, Einstichreihe?
Brand: sekundär gebrannt
Erhaltungszustand: Randbruchstück
Anzahl der Bruchstücke: 1, Anzahl der Gefäße: 1
Anmerkung: 2 Fingernagelkerben in Schulterhöhe, schlecht erkennbar, da die Oberfl. durch Sekundärbrand verschlackt ist (Taf. 20/2)

3.5005.17100.6
Stein
Gewicht: 80
Anzahl: 1
Anmerkung: 1 verbrannter Stein

3.5005.17100.7
Hüttenlehm
Typ: u. a. 1 Brocken von Rundholz mit ebener Schaufläche
Gewicht: 350
Zustand: rötlich gebrannt
Anmerkung: 14 kleinere, verrundete Brocken

V5006

3.5006.16898.1
Gefäßkeramik
Gewicht: 450
Brand: sehr gut gebrannt
Erhaltungszustand: Bruchstück
Anzahl der Bruchstücke: 20
Anmerkung: Mischposten, 3 scheibengedrehte WS (LT)

3.5006.16898.2
Stein
Material: Leithakalk („Wurmkalk"), Basalt, Kiesel
Gewicht: 90
Anzahl: 7
Anmerkung: 2 kl. „Wurmkalk"; 1 kl. Basalt; 4 kl. Kiesel

3.5006.16898.3
Hüttenlehm
Typ: Kombination v. Rutenabdrücken und Holz?
Maße: 4 L./B. 5; St. 1,8; Gewicht: 200
Zustand: stark gebrannt
Anmerkung: weitwinkelige Form, innen senkrechte Rutenabdrücke wie Fingerstriche, außen senkrechte Abdrücke von Holz?

3.5006.16919.1
Gefäßkeramik
Erhaltungszustand: Bruchstück
Anzahl der Bruchstücke: 5
Anmerkung: 1 RS von grobem Topf mit gekerbtem Mundsaum

3.5006.16919.2
Stein
Material: Kiesel
Gewicht: 30
Anzahl: 1
Anmerkung: 1 kl. Kiesel

3.5006.16985.1
Gefäßkeramik
Gewicht: 100
Erhaltungszustand: Wandbruchstück
Anzahl der Bruchstücke: 3
Anmerkung: 3 WS grobe Ware

3.5006.17016.1
Hüttenlehm
Maße: L. 6,5; Gewicht: 100
Zustand: schwach gebrannt
Anmerkung: 1 kl., schwerer HL-Brocken, auf 1 Fläche w. schmale Rutenabdrücke

3.5006.17028.1
Gefäßkeramik
Vorratsgefäß
Gewicht: 300
Erhaltungszustand: Bruchstück
Anzahl der Bruchstücke: 6
Anmerkung: 2 BS, davon 1 von Vorratsgefäß mit Keramikbruchmagerung, St. 1,5; 3 weitere BS grobe Ware, 1 weiterer BS feine Ware

3.5006.17035.1
Gefäßkeramik
Gefäßform: s-förmig profilierter Topf, Gefäßtyp: Form mit geschwungen einziehendem Hals
Maße: Wst. 0,5 (Bauch) 0,7 (Hals); erh. H. 9,5; Rdm. 22
Keramikqualität: grobe Ware
Oberfläche außen: grob geglättet, Oberfläche innen: grob geglättet
Farbe außen: ocker-grau, Farbe innen: ocker, Farbe Bruch: dunkelgrau
Verzierung: erhabene Verzierung, Grifflappen?
Brand: sekundär gebrannt
Erhaltungszustand: Randbruchstück
Anzahl der Bruchstücke: 1, Anzahl der Gefäße: 1
Anmerkung: abgebrochener Grifflappen? stark mit Keramikbruch gemagert (Taf. 24/5 u. Abb. 69).

3.5006.17035.2
Gefäßkeramik
Erhaltungszustand: Bruchstück
Anzahl der Bruchstücke: 12
Anmerkung: 1 RS, ansonsten WS grobe Ware

3.5006.17048.1
Gefäßkeramik
Gewicht: 200
Brand: sehr gut gebrannt
Erhaltungszustand: Bruchstück
Anzahl der Bruchstücke: 11
Anmerkung: 3 RS, ansonsten WS grobe Ware, kein Sekundärbrand

3.5006.17048.2
Hüttenlehm
Typ: Hüttenlehm mit Rutenabddrücken rundum
Maße: max. L 6; Gewicht: 150
Zustand: rötlich gebrannt
Anmerkung: kl. HL-Bröckchen

3.5006.17055.1
Gefäßkeramik
Gewicht: 150
Erhaltungszustand: Bruchstück
Anzahl der Bruchstücke: 8
Anmerkung: großteils grobkeramisch

3.5006.17055.2
Stein
Material: Kiesel
Gewicht: 30
Anzahl: 1
Anmerkung: 1 kl. Kiesel

3.5006.17055.3
Hüttenlehm
Typ: u. a. mit Flechtwerkabdruck
Gewicht: 100
Anmerkung: 1 kl. Brocken mit Flechtwerkabdruck, 3 weitere kl., verrundete Brocken

3.5006.17058.1
Geweih
Maße: L. 13,1; Dm. 4,5
Anmerkung: beidseitig abgesägtes Geweihstangenstück; Oberfl. unbehandelt, starke Furchen (Taf. 24/1 u. Abb. 123)

3.5006.17060.1
Gefäßkeramik
Gefäßform: Tasse, Gefäßtyp: Form mit kurzer durchschwingender Halsbildung (s-förmige Profilierung)
Maße: Wst. 0,35; erh. H. 5,5; Rdm. 6
Keramikqualität: feine Ware
Oberfläche außen: poliert, Oberfläche innen: fein geglättet
Farbe außen: dunkelgrau, Farbe innen: dunkelgrau, Farbe Bruch: dunkelgrau
Brand: sehr gut gebrannt
Erhaltungszustand: Randbruchstück
Anzahl der Bruchstücke: 1, Anzahl der Gefäße: 1 (Taf. 24/4)

3.5006.17060.2
Gefäßkeramik
Vorratsgefäß
Gewicht: 300
Erhaltungszustand: Bruchstück
Anzahl der Bruchstücke: 9
Anmerkung: BS von dickwandigem Vorratsgefäß, 3 RS von groben Töpfen (eiförmig)

3.5006.17060.3
Gefäßkeramik
Maße: Rdm. 7; Bauchdm. 12
Erhaltungszustand: ganzes Profil bis Gefäßhälfte erhalten
Anzahl der Bruchstücke: 1, Anzahl der Gefäße: 1
Anmerkung: großer Seitenteil von scheibengedrehter Schüssel aus seifigem Ton, enghalsig, mit (Dreh)Rillen am Schulter-Hals-Umbruch

3.5006.17060.4
Stein
Material: Quarz, Kiesel
Gewicht: 260
Anzahl: 5
Anmerkung: 1 Quarz, 1 verbrannter Stein, 3 kl. Kiesel

3.5006.17060.5
Hüttenlehm
Gewicht: 40
Anmerkung: 1 kl. Brocken mit abgeflachter Seite (vom Ton her evtl. WG o. Ä.), 3 kl. HL-Brocken

3.5006.17064.1
Hüttenlehm
Typ: Hüttenlehm mit Brettabdrücken
Maße: 7 × 7 × 3; Gewicht: 300
Zustand: kaum gebrannt

3.5006.17064.2
Feuerbock
Barrenform
Maße: erh. L. 10,5; erh. B. 4,5; erh. H. 4,5; Gewicht: 200
Oberfläche: mittelfein geglättet
Farbe: ocker-braun
Brand: hart gebrannt
Erhaltungszustand: Randbruchstück
Anmerkung: breite Rinne auf dem Rücken; auf 1 Schaufl. Ansatz von tiefer Delle erh., die andere (Schau)Fl. ist großteils nicht erh.; sehr dichter Ton, sehr schwer, nur schwach mit Keramikbruch gemagert; Ton erinnert an pyr. WG (Taf. 22/2; 74/3)

3.5006.17064.3
Herdplattenfragment
Maße: erh. L. 8; B. 6,5; Stärke 2–2,3; Gewicht: 200
Anzahl: 1
Anmerkung: weiß bemalte Oberfl. mit kreisförmigen, 2-fachen Fingerriefen, an 1 Bruchkante weiße Farbreste, Rückseite mit gut erkennbaren Holzabdrücken, feiner, rötlicher Ton unten, oben ocker (Taf. 22/3; 74/5)

3.5006.17066.1
Geweih
Maße: L. 30; Dm. 3,7
Anmerkung: abgesägtes Stück von Geweihkrone (Taf. 22/4; 77/1 u. Abb. 123)

3.5006.17066.2
Geweih
Maße: L. 16,5; Dm. 2
Anmerkung: beidseitig abgesägter Geweihspross mit Hackspuren (Taf. 23/1 u. Abb. 123)

3.5006.17070.1
Siebgefäß
Maße: Bdm. 7,5; max. Bst. 1,5
Keramikqualität: grobe Ware
Oberfläche außen: mittelfein geglättet, Oberfläche innen: grob geglättet
Farbe außen: orange-ocker, Farbe innen: orange-ocker, Farbe Bruch: hellbraun
Brand: sehr gut gebrannt
Erhaltungszustand: Bodenbruchstück
Anzahl der Bruchstücke: 1, Anzahl der Objekte: 1
Anmerkung: BoS u. tw. Boden-Wand-Übergang. Der Boden ist vermutlich absichtsvoll in die Form geschlagen worden (Taf. 22/1; 74/4).

3.5006.17070.2
Gefäßkeramik
Erhaltungszustand: Wandbruchstück
Anzahl der Bruchstücke: 3
Anmerkung: 3 kl. WS grobe Ware

3.5006.17070.3
Hüttenlehm
Zustand: gebrannt
Anmerkung: 1 kl. HL-Brocken

3.5006.17071.1
Geweihzwischenstük für Doppelgerät?
Maße: L. 14,5; B. 8; Dm. 4,8
Anmerkung: 2 Seiten abgesägt, eine Seite abgehackt, Feilspuren an der Oberfl. (geglättet) (Taf. 22/5; 75/1 u. Abb. 123)

3.5006.17071.2
Geweih
Maße: L. 38,5; max. Dm. 5,5
Anmerkung: abgesägtes, vollständiges Geweih von Achtender mit abgesägten Enden; Hackspuren (Taf. 23/4; 75/2 u. Abb. 123)

3.5006.17089.1
Geweih
Maße: L. 37; max. Dm. 7
Anmerkung: abgesägtes Geweihstück von altem, mächtigem Rothirsch (14-Ender?); Enden abgesägt, Hackspuren (Taf. 24/2; 76/1 u. Abb. 123)

3.5006.17089.2
Geweih
Maße: L. 22; Dm. 3,7
Anmerkung: abgebrochenes Geweihstück; Enden abgesägt (Taf. 23/2; 76/3 u. Abb. 123)

3.5006.17089.3
Geweih
Maße: L. 22,5; Dm. 6,2
Anmerkung: schädelechtes Geweihstück mit Rosenstock; Enden abgesägt, teils geglättet, Hackspuren (Taf. 24/3; 76/2 u. Abb. 123)

3.5006.17089.4
Geweih
Maße: L. 12; Dm. 5,6
Anmerkung: beidseitig abgesägtes Geweihstangenstück mit Hackspuren; Spuren einer Schälung mit Messer (Taf. 23/3; 74/6 u. Abb. 123)

V5009

3.5009.16078.1
Webgewicht
Form: pyramidenstumpfförmig
Maße: erh. H. 7,3; erh. B. 5,7; erh. T. 5,7; Lochdm. 0,7
Erhaltungszustand: Bruchstück mit erh. Oberfl.
Anmerkung: oberer Teil erh. (bis Lochung), sek. gebr.? (Taf. 25/3; 77/3)

3.5009.16078.2
Gefäßkeramik
Gefäßform: Henkelschale, Gefäßtyp: steilkonische Form
Maße: Wst. 0,6; rek. H. 12,2; Rdm. 20; Henkel: B. 5,2; H. 6; Wst. 0,7
Keramikqualität: feine Ware
Oberfläche außen: hochglänzend poliert, Oberfläche innen: poliert
Farbe außen: grau, Farbe innen: grau, Farbe Bruch: grau
Brand: sehr gut gebrannt

Erhaltungszustand: Randbruchstück
Anzahl der Bruchstücke: 8, Anzahl der Gefäße: 1
Anmerkung: Randpartien, WS, 1 BoS von Henkelschale, fein poliert (Taf. 25/1; 77/2)

3.5009.16078.3
Gefäßkeramik
Gefäßform: s-förmig profilierter Topf, Gefäßtyp: Form mit kurzer durchschwingender Halsbildung (s-förmige Profilierung), Vorratsgefäß
Maße: Wst. 0,9; erh. H. 19; Rdm. 32
Keramikqualität: grobe Ware
Oberfläche außen: grob geglättet, Oberfläche innen: grob geglättet
Farbe außen: rot-braun, Farbe innen: rot-braun, Farbe Bruch: rotbraun
Brand: sekundär gebrannt
Erhaltungszustand: Randbruchstück
Anzahl der Bruchstücke: 5, Anzahl der Gefäße: 1
Anmerkung: Topf, sek. gebr.; Keramikbruchmagerung (Taf. 25/2)

3.5009.16078.4
Gefäßkeramik
Anzahl der Bruchstücke: 10
Anmerkung: RS, WS, teils sek. gebr.

3.5009.16078.5
Hüttenlehm
Typ: Hüttenlehm mit Rutenabrdücken
Maße: L. ca. 10; Gewicht: 2600
Zustand: gut gebrannt
Anmerkung: 8 größere Brocken, rötlich (Taf. 77/4)

V5200

15.5200.10510.1
Gefäßkeramik
Gefäßform: Henkelschale, Gefäßtyp: konische bis steilkonische Form mit einziehendem Rand (hohe Einzugsrandschale),
Maße: Wst. 0,4–0,55; erh. H. 4,5; Gewicht: 40
Keramikqualität: mittelfeine Ware
Oberfläche außen: grob geglättet, Oberfläche innen: mittelfein geglättet
Farbe außen: ocker-braun, Farbe innen: ocker-braun, Farbe Bruch: grau, ocker
Brand: sehr gut gebrannt
Erhaltungszustand: Rand- und Wandbruchstücke
Anzahl der Bruchstücke: 7, Anzahl der Gefäße: 1
Anmerkung: Henkelschale mit annähernd senkrechtem Oberteil, schwach überrandständiger Bandhenkel, unterer Henkelansatz erh.

15.5200.10511.1
Gefäßkeramik
Gewicht: 800
Erhaltungszustand: Bruchstück
Anzahl der Bruchstücke: 20
Anmerkung: großteils Haushaltsware, 3 BS mittelfeine Ware

15.5200.10511.2
Gefäßkeramik
Gefäßform: s-förmig profilierter Topf,
Maße: Wst. 0,9–1; Rdm. 25; erh. H. 13; Gewicht: 200
Keramikqualität: mittelfeine Ware
Oberfläche außen: grob geglättet, Oberfläche innen: grob geglättet
Farbe außen: ocker-grau, Farbe innen: ocker-braun, Farbe Bruch: ocker-grau
Verzierung: Knubbenleiste
Brand: sehr gut gebrannt
Erhaltungszustand: Randbruchstück
Anzahl der Bruchstücke: 1, Anzahl der Gefäße: 1
Anmerkung: regelmäßig gearbeitete, längliche Leiste (Taf. 27/1)

15.5200.10511.3
Gefäßkeramik
Maße: Wst. 0,7–0,75; erh. H. 6,5
Keramikqualität: mittelfeine Ware
Oberfläche außen: grob geglättet, Oberfläche innen: grob geglättet
Farbe außen: ocker-grau, Farbe innen: ocker-grau, Farbe Bruch: ocker-grau
Verzierung: eingetiefte Verzierung, Ritzung
Brand: sehr gut gebrannt
Erhaltungszustand: Wandbruchstück
Anzahl der Bruchstücke: 1, Anzahl der Gefäße: 1
Anmerkung: WS von gr. Gefäß mit schrägem Ritzlinienbündel (Taf. 26/5)

15.5200.10512.1
Tondüse
Maße: Wst. 0,7–0,8; erh. L. 7,5; Adm. 6,3; Idm. 5; erh. H. 3,5
Keramikqualität: mittelfeine Ware
Oberfläche außen: grob geglättet, Oberfläche innen: grob belassen
Farbe außen: grau, Farbe innen: ocker-grau, Farbe Bruch: grau, braun
Verzierung: erhabene Verzierung, Leiste, Fingertupfleiste umlaufend
Brand: sekundär gebrannt
Erhaltungszustand: Randbruchstück
Anzahl der Bruchstücke: 1
Anmerkung: 2 erh., achsial angebrachte Fingerkerbleisten; dazu 1 rechtwinkelig darauf; durch Sekundärbrand evtl. verformt (Taf. 26/4; 78/1)

15.5200.10512.2
Gefäßkeramik
Vorratsgefäß
Gewicht: 1200
Brand: u. a. sekundär gebrannt
Erhaltungszustand: Bruchstück
Anzahl der Bruchstücke: 25
Anmerkung: großteils Haushaltsware, BS von Vorratsgefäß, außen mit senkrechtem, flächigem Kammstrich, RS von Topf mit Fingertupfenleiste, 1 mittelfeiner WS mit Grafitresten

15.5200.10539.1
Hüttenlehm
Zustand: stark gebrannt
Anmerkung: 1 kl. HL-Brocken

15.5200.10561.1
Hüttenlehm
Zustand: gebrannt
Anmerkung: 3 kl. HL-Brocken, 1 mit erh. Schaufl.

15.5200.10579.1
Gefäßkeramik
Gefäßform: Schale, Gefäßtyp: konische bis steilkonische Form mit einziehendem Rand (hohe Einzugsrandschale)
Maße: Wst. 0,5–0,6; erh. H. 9,5; Rdm. 24; Gewicht: 150
Keramikqualität: mittelfeine Ware
Oberfläche außen: grob geglättet, Oberfläche innen: mittelfein geglättet
Farbe außen: ocker, Schmauch, Farbe innen: grau-braun, Farbe Bruch: grau
Brand: sekundär gebrannt?
Erhaltungszustand: Randbruchstück

Anzahl der Bruchstücke: 1, Anzahl der Gefäße: 1
Anmerkung: kurzer, stark einziehender Rand mit kantig-waagrecht abschließendem Mundsaum (Taf. 26/1)

15.5200.10579.2
Gefäßkeramik
Erhaltungszustand: Bruchstück
Anzahl der Bruchstücke: 2, Anzahl der Gefäße: 2
Anmerkung: BoS von sehr grobem Gefäß; kl. WS mit Fingertupfenleiste (o. D.)

15.5200.10828.1
Gefäßkeramik
Gefäßform: Kegelhalsgefäß, Gefäßtyp: Form mit kegelförmigem Hals
Maße: Wst. 0,6–0,75; erh. H. 11; Bauchdm. 30; Dm. Delle 1,9; Gewicht: 150
Keramikqualität: mittelfeine Ware
Oberfläche außen: mittelfein geglättet, Oberfläche innen: grob geglättet
Farbe außen: ocker-braun, Farbe innen: ocker-braun, Farbe Bruch: dunkelgrau
Verzierung: eingetiefte Verzierung, Delle
Brand: sehr gut gebrannt
Erhaltungszustand: Wandbruchstück
Anzahl der Bruchstücke: 1, Anzahl der Gefäße: 1 (Taf. 26/3)

15.5200.10830.1
Gefäßkeramik
Maße: Wst. 0,8–0,9; erh. H. 6
Keramikqualität: mittelfeine Ware
Oberfläche außen: mittelfein geglättet, Oberfläche innen: grob geglättet
Farbe außen: ocker, Farbe innen: graubraun, Farbe Bruch: grau
Verzierung: eingetiefte Verzierung, Rille(n)
Brand: sehr gut gebrannt
Erhaltungszustand: Wandbruchstück
Anzahl der Bruchstücke: 1
Anmerkung: SchulterBS? mit auffällig betontem Hals-Schulter-Umbruch; am Hals 5 stark u. kantig eingetiefte Rillen erh.

15.5200.10830.2
Gefäßkeramik
Maße: Wst. 0,6; erh. H. 3,5
Keramikqualität: feine Ware
Oberfläche außen: poliert, Oberfläche innen: fein geglättet
Farbe außen: grafitiert, Farbe innen: braun, Farbe Bruch: grau-braun
Verzierung: eingetiefte Verzierung, Rille(n) und eingetiefte Verzierung, Delle
Brand: sehr gut gebrannt
Erhaltungszustand: Wandbruchstück
Anzahl der Bruchstücke: 2, Anzahl der Gefäße: 1
Anmerkung: HalsBS, gegen die Schulter zu mit 2 umlaufenden, waagrechten Rillen verziert, darüber eine Gruppe von 4 zarten Dellen (Taf. 26/2)

15.5200.10830.3
Gefäßkeramik
Gefäßform: napfförmiger Topf, Gefäßtyp: s-profilierte Form
Maße: Wst. 0,5; erh. H. 5
Keramikqualität: grobe Ware
Oberfläche außen: grob geglättet, Oberfläche innen: grob geglättet
Farbe außen: hellocker, Farbe innen: hellocker, Farbe Bruch: dunkelgrau, ocker
Verzierung: Knubbenleiste
Brand: sehr gut gebrannt
Erhaltungszustand: Randbruchstück
Anzahl der Bruchstücke: 1, Anzahl der Gefäße: 1

15.5200.10830.4
Gefäßkeramik
Gefäßform: Schale
Maße: Wst. 0,3–0,4; Bst. 0,5–0,7; erh. H. 4,3; Bdm. 6; Gewicht: 50
Keramikqualität: feine Ware
Oberfläche außen: fein geglättet, Oberfläche innen: poliert
Farbe außen: ocker, grau, Farbe innen: grafitiert, Farbe Bruch: dunkelgrau
Brand: sehr gut gebrannt
Erhaltungszustand: Bodenbruchstück
Anzahl der Bruchstücke: 2, Anzahl der Gefäße: 1
Anpassung an: 10579?
Anmerkung: Boden vollständig erh., flachkonisch gewölbter Wandansatz

15.5200.10830.5
Gefäßkeramik
Maße: Wst. 0,5; Bst. 0,9; erh. H. 13
Keramikqualität: mittelfeine Ware
Oberfläche außen: grob geglättet, Oberfläche innen: mittelfein geglättet
Farbe außen: ocker, Farbe innen: grau, Farbe Bruch: grau
Brand: sehr gut gebrannt
Erhaltungszustand: Bodenbruchstück
Anzahl der Bruchstücke: 1, Anzahl der Gefäße: 1
Anmerkung: D-förmig (halber Boden u. Wandansatz) mit alten Brüchen; könnte als „Schaber/Glätter“ so zugerichtet worden sein (liegt gut in der Hand; Abb. 79)

15.5200.10837.1
Hüttenlehm
Typ: gebrannter, runder Tonklumpen
Maße: 5 × 4 × 2,5 (St.); Gewicht: 30
Zustand: stark gebrannt
Anmerkung: 2 Frg. mit Randfl., rötlich-braun

15.5200.10843.1
Tonrassel
Maße: H. 6; Dm. 4,5
Keramikqualität: mittelfeine Ware
Oberfläche außen: mittelfein geglättet, Oberfläche innen: grob belassen
Verzierung: eingetiefte Verzierung, Rille(n) und eingetiefte Verzierung, stehende Dreiecke
Brand: sehr gut gebrannt
Erhaltungszustand: absichtsvoll in diese Form gebracht
Anmerkung: oberer Teil von Tonrassel; möglicherweise sek. als Stempel o. Ä. verwendet (Taf. 78/2)

V5201

15.5201.10370.1
Gefäßkeramik
Gewicht: 130
Erhaltungszustand: Bruchstück
Anzahl der Bruchstücke: 8
Anmerkung: 1 RS mit gerade abgestrichenem Rand; 7 WS grobe bis mittelfeine Ware; 1 RS röm. (2. Jh. n. Chr.)

15.5201.10370.2
Eberzahn mit Lochung
Maße: L. 11,6; B. 2,1; Lochdm. 0,75
Erhaltungszustand: Bruchstück (Taf. 27/2; 78/3)

15.5201.10509.1
Gefäßkeramik
Maße: Dm. 4,5–5
Keramikqualität: grobe Ware
Oberfläche außen: grob belassen, Oberfläche innen: mittelfein geglättet
Brand: sehr gut gebrannt
Erhaltungszustand: Wandbruchstück
Anzahl der Bruchstücke: 1
Anmerkung: 1 WS von grobem Gefäß, „Spielstein"?

15.5201.10525.1
Gefäßkeramik
Gewicht: 110
Erhaltungszustand: Bruchstück
Anzahl der Bruchstücke: 4
Anmerkung: 1 WBS, 3 WS grobe bis mittelfeine Ware; Anmerkung: „2 Urzeit-Stücke zum Zeichnen aussortiert" – nicht auffindbar

15.5201.10578.1
Gefäßkeramik
Gewicht: 240
Erhaltungszustand: Bruchstück
Anzahl der Bruchstücke: 8
Anmerkung: 8 WS grobe bis mittelfeine Ware

15.5201.10644.1
Hüttenlehm
Anmerkung: 1 kl. HL-Brocken

V5202

15.5202.10479.1
Hüttenlehm
Typ: Eckbruchstück mit Rundholzabdruck (dreieckiges Profil)
Maße: erh. L. 6; B. 6; St. 3,2; Gewicht: 50
Zustand: sehr stark gebrannt (Abb. 105)

15.5202.10479.2
Gefäßkeramik
Erhaltungszustand: Bruchstück
Anzahl der Bruchstücke: 17
Anmerkung: UK u. 1 jüngerer WS (dickwandig, außen Schlicker)

15.5202.10523.1
Gefäßkeramik
Brand: u. a. sekundär gebrannt
Erhaltungszustand: Bruchstück
Anzahl der Bruchstücke: 20
Anmerkung: Mischposten, großteils UK

15.5202.10523.2
Gefäßkeramik
Maße: Wst. 0,7; erh. H. 3,5
Keramikqualität: feine Ware
Oberfläche außen: poliert, Oberfläche innen: mittelfein geglättet
Farbe außen: dunkelgrau, Farbe innen: dunkelgrau, Farbe Bruch: grau
Verzierung: eingetiefte Verzierung, Rille(n)
Brand: sehr gut gebrannt
Erhaltungszustand: Wandbruchstück
Anzahl der Bruchstücke: 1, Anzahl der Gefäße: 1
Anmerkung: 2 winkelförmig einander kreuzende Rillenbündel (Taf. 27/5)

5.5202.10524.1
Gefäßkeramik
Gefäßform: Kegelhalsgefäß, Gefäßtyp: bauchige Form mit kurzer durchschwingender Halsbildung (s-förmige Profilierung)
Maße: Wst. 0,6–0,8; erh. H. 24; Rdm. 23; Bauchdm. 36
Keramikqualität: mittelfeine Ware
Oberfläche außen: grob geglättet, Oberfläche innen: grob geglättet
Farbe außen: ocker-grau, Farbe innen: grau-braun, Farbe Bruch: grau-ocker
Brand: u. a. sekundär gebrannt
Erhaltungszustand: ganzes Profil bis Gefäßhälfte erhalten
Anzahl der Bruchstücke: etwa 30, Anzahl der Gefäße: 1
Anpassung an: 10664, 10538
Anmerkung: großteils anpassende BS, könnte im Randbereich ins Feuer gekommen sein, an einigen Scherben alte, rot-braun versinterte Brüche (Taf. 27/4)

15.5202.10524.2
Gefäßkeramik
Maße: Wst. 0,6–0,7; erh. H. 6
Keramikqualität: feine Ware
Oberfläche außen: poliert, Oberfläche innen: mittelfein geglättet
Farbe außen: dunkelgrau, Farbe innen: dunkelgrau, Farbe Bruch: grau-braun
Verzierung: eingetiefte Verzierung, Rille(n)
Brand: sehr gut gebrannt
Erhaltungszustand: Wandbruchstück
Anzahl der Bruchstücke: 1, Anzahl der Gefäße: 1
Anmerkung: senkrechtes Rillenbündel aus 6 parallelen Rillen, evtl. von gr. KHG

15.5202.10524.3
Gefäßkeramik
Brand: sehr gut gebrannt
Erhaltungszustand: Bruchstück
Anzahl der Bruchstücke: 12
Anmerkung: RS von mittelfeinen Gefäßen, auch jüngere BS

15.5202.10538.1
Gefäßkeramik
Gefäßform: napfförmiger Topf, Gefäßtyp: fassartige Form
Maße: Wst. 0,8–0,95; Rdm. 17
Keramikqualität: grobe Ware
Oberfläche außen: grob geglättet, Oberfläche innen: grob geglättet
Farbe außen: braungrau, Farbe innen: grau, Farbe Bruch: grau
Verzierung: Knubbenleiste,
Brand: sehr gut gebrannt
Erhaltungszustand: Randbruchstück
Anzahl der Bruchstücke: 3, Anzahl der Gefäße: 1
Anmerkung: Napf mit länglicher Knubbe (Taf. 27/3)

15.5202.10538.2
Gefäßkeramik
Gewicht: 200
Keramikqualität: grobe Ware
Erhaltungszustand: Bruchstück
Anzahl der Bruchstücke: 20
Anmerkung: v. a. WS von grober Haushaltsware, frische Brüche, Keramikbruchmagerung!

15.5202.10538.3
Hüttenlehm
Typ: evtl. 1 Herdplattenfrg., sonst Hüttenlehm
Gewicht: 100
Anmerkung: 1 Frg. evtl. von Herdplatte; 5 kl. HL-Brocken

15.5202.10664.1
Gefäßkeramik
Brand: sehr gut gebrannt
Erhaltungszustand: Wandbruchstück
Anzahl der Bruchstücke: 6
Anmerkung: 6 WS grobe Ware

15.5202.10664.2
Herdplattenfragment
Maße: 8 × 5 × 2,5; sonstige L. 3–6; Gewicht: 150
Anzahl: 8
Anmerkung: 1 Lehmplattenfrg. mit erh. Oberfl. sowie im rechten dazu Winkel weitere Oberfl. (Teil von Arbeitsfl., Auflage, Altar…?); 1 kl. Plättchen mit Punkten (Mattenabdruck?); Rest: Plättchen mit meist 2 gegenüberliegenden, erh. Oberfl. (Taf. 79/1–3)

15.5202.10664.3
Hüttenlehm
Gewicht: 40
Anmerkung: 3 kl. HL-Brocken

V5203

15.5203.10518.1
Gefäßkeramik
Gewicht: 1500
Erhaltungszustand: Bruchstück
Anzahl der Bruchstücke: 62
Anmerkung: 62 BS unterschiedl. Qualität, meist Urgeschichte; 3 RS und 2 WS von mind. 3 Einzugsrandschalen, fein poliert; 1 RS mit Löchern (Siebgefäß?)

15.5203.10518.2
Hüttenlehm
Typ: Hüttenlehm mit Rundholzabdruck
Maße: L. 13; Gewicht: 620
Anmerkung: 1 gr. HL-Brocken mit Rundholzabdruck; 3 weitere HL-Brocken

15.5203.10520.1
Knochengerät
Knochenpfriem
Maße: L. 10,5
Erhaltungszustand: vollständig
Anmerkung: Spitze nicht abgerundet (Taf. 28/8; 80/1)

15.5203.10521.1
Gefäßkeramik
Gewicht: 100
Erhaltungszustand: Bruchstück
Anzahl der Bruchstücke: 4
Anmerkung: 4 WS, davon 2 grobe Ware, 1 mittelfeine Ware, 1 feine Ware (poliert)

15.5203.10533.1
Gefäßkeramik
Erhaltungszustand: Bruchstück
Anzahl der Bruchstücke: 2
Anmerkung: 2 WS

15.5203.10534.1
Gefäßkeramik
Gewicht: 930
Erhaltungszustand: Bruchstück
Anzahl der Bruchstücke: 34
Anmerkung: 34 BS unterschiedl. Qualität, meist grobe oder mittelfeine Ware; 1 WS mit 3 horizontalen Rillen am Schulter-Hals-Übergang (Taf. 28/7)

15.5203.10534.2
Webgewicht
Form: pyramidenstumpfförmig
Maße: erh. H. 5; erh. B. 10; erh. T. 7,5; Gewicht: 370
Erhaltungszustand: Wandbruchstück
Anmerkung: unterer Teil von gr. WG mit erh. Boden und 1 Wand

15.5203.10534.3
Hüttenlehm
Gewicht: 50
Anmerkung: 1 kl., verrundeter HL-Brocken

15.5203.10543.1
Hüttenlehm
Typ: Hüttenlehm mit dreieckigem Querschnitt
Gewicht: 600
Anmerkung: 1 HL-Brocken mit dreieckigem Querschnitt; 1 größerer Lehmbrocken; Rest kleinere HL-Brocken

15.5203.10542.1
Gefäßkeramik
Erhaltungszustand: Bruchstück
Anzahl der Bruchstücke: 1
Anmerkung: 1 BoS von Drehscheibenware; 1 WS von Drehscheibenware

15.5203.10542.2
Gefäßkeramik
Erhaltungszustand: Bruchstück
Anzahl der Bruchstücke: 1
Anmerkung: 3 WS

15.5203.10544.1
Gefäßkeramik
Gefäßform: Schüssel, Gefäßtyp: Form mit Kegelhals
Maße: Wst. 0,4–0,5; erh. H. 4,4; Rdm. 19
Keramikqualität: feine Ware
Oberfläche außen: fein geglättet, Oberfläche innen: mittelfein geglättet
Farbe außen: dunkelgrau, Farbe innen: dunkelgrau, Farbe Bruch: dunkelgrau
Brand: sehr gut gebrannt
Erhaltungszustand: Randbruchstück
Anzahl der Bruchstücke: 1, Anzahl der Gefäße: 1
Anmerkung: RS (Taf. 28/3)

15.5203.10544.2
Gefäßkeramik
Gefäßform: Tasse, Gefäßtyp: Form mit Kegel- oder Zylinderhals
Maße: Wst. 0,3; erh. H. 3,5; Rdm. 10
Keramikqualität: feine Ware
Oberfläche außen: poliert, Oberfläche innen: fein geglättet
Farbe außen: schwarz, Farbe innen: schwarz, Farbe Bruch: schwarz
Brand: sehr gut gebrannt
Erhaltungszustand: Randbruchstück
Anzahl der Bruchstücke: 1, Anzahl der Gefäße: 1
Anmerkung: RS fein poliert

15.5203.10544.3
Gefäßkeramik
Gewicht: 630
Erhaltungszustand: Bruchstück

Anzahl der Bruchstücke: 19
Anmerkung: 1 RS mittelfeine Ware 1 RS grobe Ware, facettierter Rand; 1 WBS mit 4 horizontalen Rillen am Wand-Boden-Übergang (Taf. 28/2)

15.5203.10544.4
Gefäßkeramik
Gefäßform: Tasse, Gefäßtyp: Form mit kurzer durchschwingender Halsbildung (s-förmige Profilierung)
Maße: Wst. 0,5; Henkelst. 0,7; Rdm. 25; Halsdm. 26; erh. H. 6,5
Keramikqualität: mittelfeine Ware
Oberfläche außen: fein geglättet, Oberfläche innen: fein geglättet
Farbe außen: ocker-braun-schwarz, Farbe innen: ocker-braun-schwarz, Farbe Bruch: ocker-braun
Verzierung: eingetiefte Verzierung, Kammstrich
Brand: sehr gut gebrannt
Erhaltungszustand: Randbruchstück
Anzahl der Bruchstücke: 1, Anzahl der Gefäße: 1
Anmerkung: RS mit Henkel; Oberfl. grafitiert; evtl. flache Rillen senkrecht auf Henkel (Taf. 28/5)

15.5203.10554.1
Gefäßkeramik
Gewicht: 250
Erhaltungszustand: Bruchstück
Anzahl der Bruchstücke: 14
Anmerkung: 13 WS, davon 2 poliert, Rest meist mittelfeine Ware; 1 WBS

15.5203.10554.2
„Spielstein“
Maße: Dm: 5,3; Bst. 0,9
Keramikqualität: mittelfeine Ware
Oberfläche außen: grob geglättet, Oberfläche innen: grob geglättet
Farbe außen: ocker-braun, Farbe innen: ocker-braun, Farbe Bruch: dunkelgrau
Brand: sehr gut gebrannt
Erhaltungszustand: vollständig
Anzahl der Bruchstücke: 1, Anzahl der Objekte: 1
Anmerkung: sek. aus WS höchstwahrscheinlich intentionell herausgearbeitet („Spielstein“; Taf. 28/4; 79/4 u. Abb. 85)

15.5203.10564.1
Gefäßkeramik
Anmerkung: Brösel

15.5203.10564.2
Webgewicht
Form: scheibenförmig?
Maße: erh. Radius max. 5; max. Dicke 1–1,6; max. erh. B. 5; Gewicht: 50
Erhaltungszustand: Randbruchstück
Anmerkung: auf 1 Seite radiale Rille, sehr gut gebrannt (sek.? Taf. 28/6; 80/3)

15.5203.10564.3
Gefäßkeramik
Gefäßform: Kegelhalsgefäß, Vorratsgefäß
Maße: Wst. 0,9; Bauchdm. ca. 35; Bdm. 16,2; Gewicht: 2000
Keramikqualität: grobe Ware
Oberfläche außen: grob geglättet, Oberfläche innen: grob geglättet
Farbe außen: schwarz-ocker-baun, Farbe innen: grau-braun, Farbe Bruch: ocker-braun
Brand: sehr gut gebrannt
Erhaltungszustand: Bruchstück
Anzahl der Bruchstücke: 15, Anzahl der Gefäße: 1
Anmerkung: vollständig erh. Boden; zusammensetzbare Bauchpartie bis Schulterübergang; sek. gebr.

15.5203.10564.4
Gefäßkeramik
Maße: Wst. 0,6; erh. H. 4,5
Keramikqualität: grobe Ware
Oberfläche außen: poliert, Oberfläche innen: grob geglättet
Farbe außen: schwarz, Farbe innen: braun, Farbe Bruch: schwarz-braun
Verzierung: eingetiefte Verzierung, Kannelur, senkrecht
Brand: sehr gut gebrannt
Erhaltungszustand: Bruchstück
Anzahl der Bruchstücke: 1, Anzahl der Gefäße: 1
Anmerkung: WS mit senkrechter Kannelur; fein poliert

15.5203.10564.5
Hüttenlehm
Gewicht: 20
Anmerkung: 1 kl. HL-Brocken mit Rutenabdrücken

15.5203.10564.6
Stein
Material: Sandstein
Gewicht: 110
Anzahl: 2
Anmerkung: 2 Sandsteine

15.5203.10565.1
Gefäßkeramik
Gewicht: 900
Erhaltungszustand: Bruchstück
Anzahl der Bruchstücke: 40
Anmerkung: 3 RS von 3 Einzugsrandschalen; 1 WS mit Henkelansatz; Rest meist grobe Ware, w. mittelfeine oder feine Ware

15.5203.10565.2
Webgewicht
Form: pyramidenstumpfförmig
Maße: erh. H. 5; erh. B. 5,5; Gewicht: 200
Erhaltungszustand: Wandbruchstück
Anmerkung: WG mit 1 erh. Oberfl.; Bruchstellen stark abgerundet

15.5203.10565.3
Gefäßkeramik
Maße: erh. H. 7,5
Erhaltungszustand: Randbruchstück
Anzahl der Bruchstücke: 1, Anzahl der Gefäße: 1
Anmerkung: 1 RS, german., mit Fingernagelkerben

15.5203.10565.4
Hüttenlehm
Typ: Hüttenlehm mit Rutenabdrücken bzw. Rundholzabdruck
Maße: L. 17, Gewicht: 1500
Anmerkung: 2 gr. HL-Brocken mit mehreren Rutenabdrücken (1 davon stark gebr.); 1 gr. HL-Brocken mit Rundholzabdruck (Taf. 80/2)

15.5203.10713.1
Gefäßkeramik
Gewicht: 140
Erhaltungszustand: Bruchstück
Anzahl der Bruchstücke: 5
Anmerkung: 4 WS, 1 WBS

15.5203.10713.2
Gefäßkeramik
Gefäßform: Tasse, Gefäßtyp: Form mit kurzer durchschwingender Halsbildung (s-förmige Profilierung)
Maße: Wst. 0,9–0,35; erh. H. 4,3; Rdm. 8,5; Bauchdm. 10
Keramikqualität: feine Ware
Oberfläche außen: fein geglättet, Oberfläche innen: mittelfein geglättet
Farbe außen: schwarz, Farbe innen: schwarz, Farbe Bruch: schwarz
Brand: sehr gut gebrannt
Erhaltungszustand: Randbruchstück
Anzahl der Bruchstücke: 2, Anzahl der Gefäße: 1
Anmerkung: Bauch-Rand-Partie von kl. Tasse; am Mundsaum Abnützungsspuren (Taf. 28/1)

V5204

15.5204.10515.1
Gefäßkeramik
Gewicht: 680
Erhaltungszustand: Bruchstück
Anzahl der Bruchstücke: 19
Anmerkung: 3 RS von 2 Einzugsrandschalen; 1 WS mit Ritzlinien; 15 sonstige BS unterschiedl. Qualiät (Taf. 29/2)

15.5204.10529.1
Gefäßkeramik
Erhaltungszustand: Bruchstück
Anzahl der Bruchstücke: 3
Anmerkung: 1 RS von feinem KHG, poliert, Abnutzung am Rand, 2 WS grobe Ware (Taf. 29/3)

15.5204.10541.1
Hüttenlehm
Typ: plättchenförmiger Hüttenlehm
Maße: 9 × 7; St. 2; Gewicht: 650
Zustand: gut gebrannt
Anmerkung: Farbe rötlich-ocker; mit großen Rutenabdrücken, jeweils mit glatter Schaufläche; davon 1 mit Brettabdruck auf „Schaufläche“

15.5204.10541.2
Herdplattenfragment
Maße: 7 × 5 × 3 (Stärke); Gewicht: 70
Anzahl: 1
Anmerkung: gr. spezifisches Gewicht, Brettabdrücke auf Unterseite, stark gebrannt

15.5204.10543.2
Gefäßkeramik
Maße: Wst. 1; Bdm. 12,5; erh. H. 13; Gewicht: 1000
Keramikqualität: grobe Ware
Oberfläche außen: grob geglättet, Oberfläche innen: grob geglättet
Farbe außen: ocker-braun, Farbe innen: ocker-braun-schwarz, Farbe Bruch: ocker-braun
Brand: sehr gut gebrannt
Erhaltungszustand: Bruchstück
Anzahl der Bruchstücke: 7, Anzahl der Gefäße: 1
Anmerkung: Unterteil von Topf; 1 Seite sek. angebrannt

15.5204.10570.1
Gefäßkeramik
Gewicht: 270
Erhaltungszustand: Bruchstück
Anzahl der Bruchstücke: 12
Anmerkung: 1 RS von Einzugsrandschale; Rest WS

15.5204.10584.1
Gefäßkeramik
Gewicht: 110
Erhaltungszustand: Bruchstück
Anzahl der Bruchstücke: 3
Anmerkung: 1 BoS grobe Ware; 2 WS urgeschichtlich

15.5204.10584.2
Gefäßkeramik
Erhaltungszustand: Bruchstück
Anzahl der Bruchstücke: 2
Anmerkung: 2 WS von Drehscheibenware, SMA

15.5204.10716.1
Bronzeobjekt
Maße: erh. L. 1,45; Dm: 0,25–0,3
Erhaltungszustand: Bruchstück
Anmerkung: Bronzeobjekt mit D-förmigem Querschnitt; die Enden sind verdickt u. rund im Querschnitt; Form bügelartig (Taf. 29/1)

15.5204.10809.1
Gefäßkeramik
Gewicht: 20
Erhaltungszustand: Bruchstück
Anzahl der Bruchstücke: 1
Anmerkung: 1 WS

15.5204.10810.1
Gefäßkeramik
Gewicht: 30
Erhaltungszustand: Bruchstück
Anzahl der Bruchstücke: 3
Anmerkung: 1 kl. BoS, 2 kl. WS

15.5204.10832.1
Gefäßkeramik
Gewicht: 30
Erhaltungszustand: Bruchstück
Anzahl der Bruchstücke: 3
Anmerkung: 3 kl. WS

V5205

15.5205.10486.1
Gefäßkeramik
Gewicht: 200
Erhaltungszustand: Bruchstück
Anzahl der Bruchstücke: 10
Anmerkung: 9 WS, davon 1 grafitiert, 1 RS mit gerade abgestrichenem Rand

15.5205.10486.2
Herdplattenfragment
Maße: 8 × 5 × 4 (Stärke); Gewicht: 50
Anzahl: 1
Anmerkung: weißliche Oberfl. und 2 schwache Riefen, stark gebr.

15.5205.10552.1
Gefäßkeramik
Gewicht: 110
Erhaltungszustand: Bruchstück
Anzahl der Bruchstücke: 7
Anmerkung: Mischposten, mittelfeine Ware, 1 BS grafitgemagert

15.5205.10552.2
Hüttenlehm
Typ: Hüttenlehm mit Rutenabdrücken in 2 Richtungen und Holzabdruck
Maße: 11 × 9 × 6 (Stärke); Gewicht: 300
Zustand: gut gebrannt
Anmerkung: Rutenabdrücke im Rückbereich senkrecht u. schräg verlaufend; gegenüberliegende „Schaufl." mit senkrechtem Holzbrettabdruck, weißlich-rötliche Farbe

V5400

6.5400.12040.1
Gefäßkeramik
Gefäßform: Schale, Gefäßtyp: Konische bis steilkonische Form mit einziehendem Rand (hohe Einzugsrandschale)
Maße: Wst. 0,45–0,55; Rdm. 24; erh. H. 4,5; Gewicht: 900
Keramikqualität: mittelfeine Ware
Oberfläche außen: poliert, Oberfläche innen: poliert
Farbe außen: graubraun, Farbe innen: grau, Farbe Bruch: grau
Verzierung: Facettierung
Brand: sehr gut gebrannt
Erhaltungszustand: Bruchstück
Anzahl der Bruchstücke: 31
Anmerkung: 1 RS von Einzugsrandschale mit facettiertem Rand, fein poliert; 1 WS mit Fingertupfenleiste; 1 WS mit Knubbe; 1 WS mit engen Riefen; 1 WS mit breiten Riefen, dazu 1 Henkelansatz mit breiten Riefen; 1 WS mit Besenstrichrauung; Rest: WS und BoS unterschiedl. Qualität (Taf. 34/3)

6.5400.12040.2
Hüttenlehm
Typ: Hüttenlehm mit Rutenabdruck und Schaufläche
Maße: 9 × 7; St. 4,5; Gewicht: 150
Zustand: gebrannt

6.5400.12040.3
Reibplatte
Material: Granit
Maße: erh.max. L. 11,8; erh. max. B. 11,2; max. H. 5,3; Gewicht: 690
Erhaltungszustand: Bruchstück/Teilstück
Anmerkung: Frg./Teilstück von Reibpl., Reibfl. u. Unterseite erh., annähernd rechteckige Form, Feuereinwirkung (rötlich, verschlackt? Taf. 34/2)

6.5400.12041.1
Gefäßkeramik
Gefäßform: Tasse, Gefäßtyp: Form mit kurzer, durchschwingender Halsbildung (s-förmige Profilierung)
Maße: Wst. 0,4–0,5; erh. H. 6; rek. Bauchdm. 15
Keramikqualität: feine Ware
Oberfläche außen: fein geglättet, Oberfläche innen: mittelfein geglättet
Farbe außen: hell-ocker-grau, Farbe innen: hellocker, Farbe Bruch: dunkelgrau
Brand: sehr gut gebrannt
Erhaltungszustand: Randbruchstück
Anzahl der Bruchstücke: 6, Anzahl der Gefäße: 1
Anmerkung: feinkeramische Tasse (Taf. 30/3)

6.5400.12041.2
Hüttenlehm
Typ: Hüttenlehm mit Rutenabdrücken (und Rundholz)
Maße: max. L. 13; B. 12; St. 3; Gewicht: 1500
Zustand: schwach gebrannt
Anmerkung: sehr große „Platten" mit Schaufl., welche grob verschmiert sind; kleinere Stücke mit zarten Rutenabdrücken auf 2 Seitenfl.; war im Konvolut mit den länglichen, gebr. Lehmobjekten (Architekturteilen) in Subnr. 3

6.5400.12041.3
Hüttenlehm
Typ: Bruchstücke mit D-förmigem Querschnitt (vgl. längliche, gebrannte Lehmobjekte/Architekturteile)
Maße: L. 15; B. 7,5; St. 3,3; L. 12; B. 7; St. 7,2; Gewicht: 1500
Zustand: schwach gebrannt
Anmerkung: wulstförmig mit grob D-förmigem Querschnitt, etwas gebogen in beide Achsen, wirkt wie Einfassung eines Ovals, wobei der „Boden" glatt ist, was gegen ein Aufsetzen auf die Erde spricht

6.5400.12041.4
Reibplatte
Material: Granit
Maße: erh. L. 11; erh. B. 5,5; H. 5,5; Gewicht: 540
Erhaltungszustand: Bruchstück
Anmerkung: Frg. einer Reibpl. von langrechteckiger Form, Reibfl., Unterseite sowie 1 Seitenkante(?) erh., Feuereinwirkung (rötlich; (Taf. 34/4)

6.5400.12043.1
Gefäßkeramik
Gefäßform: Tasse, Gefäßtyp: Form mit kurzer, durchschwingender Halsbildung (s-förmige Profilierung),
Maße: Wst. 0,45; Rdm. 24
Keramikqualität: mittelfeine Ware
Oberfläche außen: mittelfein geglättet, Oberfläche innen: mittelfein geglättet
Farbe außen: dunkelbraun, Farbe innen: dunkelbraun, Farbe Bruch: braun-rot
Verzierung: eingetiefte Verzierung, Kannelur, senkrecht
Brand: sekundär gebrannt
Erhaltungszustand: Randbruchstück
Anzahl der Bruchstücke: 1, Anzahl der Gefäße: 1
Anmerkung: 1 RS von sehr gr. Tasse mit senkrechter Kannelur, v. a. der Randbereich zeigt Risse von Sekundärbrand (Taf. 34/5)

6.5400.12044.1
Webgewicht
Form: Tonring
Maße: Adm. 9,3; Idm. 3,1–3,6; H. 3; Gewicht: 180
Erhaltungszustand: vollständig
Anmerkung: aus 3 Teilen zusammensetzbarer Tonring; organisch gemagert; auf 1 Seite leicht rötliche Brandspuren (Taf. 31/5 u. Abb. 122, 155)

6.5400.12044.2
Webgewicht
Form: Tonring
Maße: Adm. 8,5–8,6; Idm. 2,4; H. 2,6–3; Gewicht: 220
Erhaltungszustand: vollständig
Anmerkung: aus 2 Teilen zusammensetzbarer Tonring; organisch gemagert; auf beiden Seiten rötlich gebr. (Taf. 31/6 u. Abb. 122, 155)

6.5400.12044.3
Webgewicht
Form: Tonring
Maße: Adm. 8,6; Idm. 2,6; H. 2,5–2,7; Gewicht: 110
Erhaltungszustand: Bruchstück
Anmerkung: aus 3 Teilen zu etwa 2/3 zusammensetzbarer Tonring; organisch gemagert; auf einer Seite schwach rötliche Brandspuren (Taf. 32/1 u. Abb. 122, 155)

6.5400.12044.4
Webgewicht
Form: Tonring
Maße: Adm. ca. 10,5; Idm. ca. 3,5; H. 3,4; Gewicht: 70
Erhaltungszustand: Bruchstück
Anmerkung: zu etwa 1/4 erh. Tonring; organisch gemagert, schwach rötliche Brandspuren (Taf. 32/2 u. Abb. 122, 155)

6.5400.12044.5
Webgewicht
Form: Tonring
Maße: Adm. 7,7; Idm. 1,8–2,3; H. 2,1–2,4; Gewicht: 110
Erhaltungszustand: vollständig
Anmerkung: vollständig erh. Tonring; organisch gemagert (Taf. 32/3 u. Abb. 122, 155)

6.5400.12044.6
Webgewicht
Form: Tonring
Maße: Adm. 6,3–6,4; Idm. 1,8–2,1; H. 2,5–2,4; Gewicht: 80
Erhaltungszustand: vollständig
Anmerkung: vollständig erh. Tonring; organisch gemagert (Taf. 32/4 u. Abb. 122, 155)

6.5400.12044.7
Webgewicht
Form: Tonring
Maße: Adm. ca. 7; Idm. ca. 2,6; H. 2,2; Gewicht: 40
Erhaltungszustand: Bruchstück
Anmerkung: aus 2 Teilen etwa zur Hälfte zusammensetzbarer Tonring; organisch gemagert (Taf. 32/5 u. Abb. 122, 155)

6.5400.12044.8
Webgewicht
Form: Tonring
Maße: Adm. ca. 6,2; Idm. ca. 2,2; H. 2; Gewicht: 30
Erhaltungszustand: Bruchstück
Anmerkung: aus 2 Teilen etwa zur Hälfte zusammensetzbarer Tonring; organisch gemagert, schwach rötliche Brandspuren (Taf. 32/6 u. Abb. 122, 155)

6.5400.12044.9
Webgewicht
Form: Tonring
Maße: Adm. ca. 7; Idm. ca. 3; H. 2,2; Gewicht: 20
Erhaltungszustand: Bruchstück
Anmerkung: aus 2 Teilen etwa zu 1/4zusammensetzbarer Tonring; organisch gemagert, schwach rötliche Brandspuren (Taf. 32/7 u. Abb. 122, 155)

6.5400.12045.1
Gefäßkeramik
Gefäßform: Schale, Gefäßtyp: konische bis steilkonische Form mit einziehendem Rand (hohe Einzugsrandschale)
Maße: Wst. 0,6–0,8; Bst. 0,7; H. 8,3; Bdm. 7; Rdm. 16; Gewicht: 300
Keramikqualität: mittelfeine Ware
Oberfläche außen: mittelfein geglättet, Oberfläche innen: mittelfein geglättet
Farbe außen: braun, grau, Farbe innen: braun-grau, Farbe Bruch: braun, grau
Brand: sekundär gebrannt
Erhaltungszustand: ganzes Profil bis Gefäßhälfte erhalten
Anzahl der Bruchstücke: 7, Anzahl der Gefäße: 1
Anmerkung: zu 3/4 vollständig geklebte Einzugsrandschale mit gerundetem Boden, stark sek. gebr., Ton gut geschlämmt, allerdings einige einzelne, gr. Kalksteinchen (bis 0,7; Taf. 30/1)

6.5400.12048.1
Gefäßkeramik
Gefäßform: Schale, Gefäßtyp: flachkonische Form
Maße: Wst. 0.3–0,5; H. 3
Keramikqualität: mittelfeine Ware
Oberfläche außen: poliert, Oberfläche innen: mittelfein geglättet
Farbe außen: braun, ocker, Farbe innen: braun, ocker, Farbe Bruch: grau-braun
Brand: sehr gut gebrannt
Erhaltungszustand: ganzes Profil bis Gefäßhälfte erhalten
Anzahl der Bruchstücke: 6, Anzahl der Gefäße: 1
Anpassung an: 12049
Anmerkung: seifiger Ton, 1 schmaler Seitenteil u. weitere Frg.

6.5400.12049.1
Stempel?
Maße: L. 5,2; B. 4,5; H. 2
Keramikqualität: mittelfeine Ware
Oberfläche außen: fein geglättet
Farbe außen: dunkelgrau, Farbe innen: dunkelgrau, Farbe Bruch: dunkelgrau
Verzierung: eingetiefte Verzierung, Rille(n)
Brand: sehr gut gebrannt
Erhaltungszustand: vollständig?
Anzahl der Bruchstücke: 1, Anzahl der Objekte: 1
Anmerkung: sekundär aus Deckelgriff u. Wandung fußförmig zu Stempel herausgearbeitet. Ton ist stark seifig u. färbt ab. Auf der Außenfl. radiale, alte Riefung. Datierung? (Taf. 31/3; 81/3)

6.5400.12049.2
Gefäßkeramik
Gefäßform: Kegelhalsgefäß, Gefäßtyp: bauchige Form mit kurzer durchschwingender Halsbildung (s-förmige Profilierung)
Maße: Wst. 0,9–1,5; H. 34; Rdm. 22; Bdm. 12,5; Bauchdm. 34; Gewicht: 3300 (ca. 50 % vom Gefäß)
Keramikqualität: grobe Ware
Oberfläche außen: grob geglättet, Oberfläche innen: grob geglättet
Farbe außen: rötlich, grau, Farbe innen: rötlich, grau, Farbe Bruch: dunkelgrau
Brand: sekundär gebrannt
Erhaltungszustand: vollständig?
Anzahl der Bruchstücke: 75, Anzahl der Gefäße: 1
Anmerkung: vollständig rekonstruierbares KHG (Kieselsteinchen bis 1,2!), sek. Brandspuren (auf 1 Seite am Bauch durch Hitze verformt); insgesamt ca. 50 % vom Gefäß vorhanden (Taf. 31/2)

6.5400.12049.3
Gefäßkeramik
Gefäßform: Kegelhalsgefäß, Gefäßtyp: Form mit Kegelhals
Maße: Wst. 0,35–0,45; Rdm. 19; erh. H. 8,5; Gewicht: 200
Keramikqualität: mittelfeine Ware
Oberfläche außen: mittelfein geglättet, Oberfläche innen: mittelfein geglättet
Farbe außen: rötlich-braun, Farbe innen: grau, Farbe Bruch: dunkelgrau
Verzierung: eingetiefte Verzierung, Ritzung
Brand: sekundär gebrannt
Erhaltungszustand: Randbruchstück
Anzahl der Bruchstücke: 16, Anzahl der Gefäße: 1
Anpassung an: 12117 (auf Plan KÜ 8/1978)
Anmerkung: sehr dünnwandiges, hart gebr. (sek.) KHG mit Henkel, auf der Schulter 2 umlaufende Ritzlinien, großteils zusammenpassende Teile (Taf. 30/5)

6.5400.12049.4
Gefäßkeramik
Gefäßform: napfförmiger Topf
Maße: Wst. 0,6–0,7; Bdm. 11,2; Bst.1; erh. H. 8,6; Gewicht: 300
Keramikqualität: grobe Ware
Oberfläche außen: grob geglättet, Oberfläche innen: grob geglättet
Farbe außen: grau, Farbe innen: hellbraun, Farbe Bruch: grau, ocker
Brand: sekundär gebrannt
Erhaltungszustand: Unterteil
Anzahl der Bruchstücke: 6, Anzahl der Gefäße: 1
Anmerkung: Boden vollständig erh.

6.5400.12049.5
Gefäßkeramik
Gefäßform: s-förmig profilierter Topf
Maße: Wst. 0,8; Bdm. 12,5; Rdm. ca. 30; Gewicht: 600
Keramikqualität: mittelfeine Ware
Oberfläche außen: mittelfein geglättet, Oberfläche innen: mittelfein geglättet
Farbe innen: grau-braun, Farbe Bruch: grau-braun
Brand: sekundär gebrannt
Erhaltungszustand: Randbruchstück
Anzahl der Bruchstücke: 7, Anzahl der Gefäße: 1
Anmerkung: Boden vollständig erh., RS; fein gemagert

6.5400.12049.6
Halbkreisförmiger Scherben
Maße: Dm. 6,5; Wst. 1–1,1
Keramikqualität: mittelfeine Ware
Oberfläche außen: mittelfein geglättet, Oberfläche innen: mittelfein geglättet
Farbe außen: dunkel-grau-braun, Farbe innen: dunkel-grau-braun, Farbe Bruch: dunkel-grau-braun
Brand: sehr gut gebrannt
Erhaltungszustand: vollständig
Anzahl der Bruchstücke: 1, Anzahl der Objekte: 1
Anmerkung: sek. aus WS höchstwahrscheinlich intentionell herausgearbeitet (Taf. 31/4)

6.5400.12049.7
Gefäßkeramik
Gewicht: 800
Brand: u. a. sekundär gebrannt
Erhaltungszustand: Bruchstück
Anzahl der Bruchstücke: 50
Anmerkung: 1 RS von feinem Gefäß, ansonsten vorwiegend BS von Haushaltskeramik, könnten noch dazugehörige BS zu aufgenommenen Gefäßen sein

6.5400.12049.8
Gefäßkeramik
Gefäßform: Schale, Gefäßtyp: konische bis steilkonische Form mit einziehendem Rand (hohe Einzugsrandschale)
Maße: Wst. 0,9; erh. H. 2,5
Keramikqualität: mittelfeine Ware
Oberfläche außen: mittelfein geglättet, Oberfläche innen: mittelfein geglättet
Farbe außen: orange, Farbe innen: orange, Farbe Bruch: dunkelgrau
Verzierung: Turbanrand
Brand: sekundär gebrannt
Erhaltungszustand: Randbruchstück
Anzahl der Bruchstücke: 1, Anzahl der Gefäße: 1
Anmerkung: sehr hart gebr. (Taf. 30/2).

6.5400.12049.10
Hüttenlehm
Typ: Hüttenlehm mit Brettabdruck? Rundholzabdruck
Maße: L. 5; B. 4,5; St. 1,7; Gewicht: 2500
Zustand: gebrannt, schlecht gebrannt
Anmerkung: 1 seichter, länglicher, ebener Abdruck, wie Holz gefasert; viele kl. HL-Brocken

6.5400.12049.11
Hüttenlehm
Typ: ovale, wulstförmige Einfassung (vgl. Kap. 3.1.5.2)
Maße: L. 17; B. 12; H. 7; L. 17; B. 15; H. 8; L. 10; B. 7; H. 6; Gewicht: 3000
Zustand: schwach gebrannt
Anmerkung: viele Frg.: die größeren Stücke wirken seitlich ausgestrichen; rötlich-ocker bis grau-braun, tw. nur der gewölbte „Rücken" erh., tw. fehlt gerade dieser obere Abschluss. Alle Stücke haben einen Drall (meist nach links), sind also nicht genau geradlinig (Taf. 81/5 u. Abb. 108).

6.5400.12049.12
Webgewicht
Form: pyramidenstumpfförmig?
Maße: erh. H. 5; erh. B. 5,5; erh. St. 3; Gewicht: 60
Erhaltungszustand: Randbruchstück
Anmerkung: gerundetes Kantenfrg.

6.5400.12049.13
Herdplattenfragment
Maße: 9 × 9; St. 2,6; Gewicht: 200
Anzahl: 1
Anmerkung: plattenartig mit 2 ebenen Flächen, auf der besser geglätteten 2 (Finger)Riefen, gut gebr., auffällig ist die ebene Unterseite (Abb. 115)

6.5400.12050.1
Verkohltes, pfostenartiges Holzstück
Maße: L. 14,5; max. B. 6,8; T. 1,9
Holzart: Eiche
Anmerkung: Hackspuren (Taf. 33/5)

6.5400.12050.2
Ringförmiges Getreideerzeugnis
Maße: Adm. 3,5; Idm. 0,8; H. 1,3
Frg. eines schwarzen, sehr leichten, ringförmigen Objekts (Taf. 33/4 u. Abb. 122, 155, 160)

6.5400.12050.3
Ringförmiges Getreideerzeugnis
Maße: Adm. 4; Idm. 1; H. 1,85
Frg. eines schwarzen, sehr leichten, ringförmigen Objekts (Taf. 33/2 u. Abb. 122, 155, 161)

6.5400.12050.4
Ringförmiges Getreideerzeugnis
Maße: Adm. 4,3; Idm. 1; H. 1,35
Frg. eines schwarzen, sehr leichten, ringförmigen Objekts (Taf. 33/3 u. Abb. 122, 155, 159)

6.5400.12051.1
Gefäßkeramik
Gefäßform: Kegelhalsgefäß, Gefäßtyp: Form mit gut abgesetztem Kegelhals
Maße: Wst. 0,4–0,7; H. 29; Rdm. 21; Bdm. 10; Bst. 0,6–0,7; Bauchdm. 30,5; Gewicht: 1300
Keramikqualität: mittelfeine Ware

Oberfläche außen: mittelfein geglättet, Oberfläche innen: mittelfein geglättet
Farbe außen: ocker, braun, Farbe innen: ocker, braun, Farbe Bruch: ocker, braun
Brand: sehr gut gebrannt
Erhaltungszustand: ganzes Profil bis Gefäßhälfte erhalten
Anzahl der Bruchstücke: 8, Anzahl der Gefäße: 1
Anmerkung: gr. Seitenteil in einem Stück erh., mit anpassenden BS fast genau 1 senkrechte Hälfte erh.; senkrechte Bruchkante zeigt stellenweise mögliche Pickspuren, Boden wirkt intentionell ausgeschlagen, 2–3 WS nicht anpassend. Außen am Bauchumbruch Fehlstellen von ehemals Grifflappen? An der Innenseite wurde im unteren Bereich über einer rundlichen Stelle von etwa 10 × 12 die Oberfl. durch anlagernden Inhalt „weggeätzt" (kugelige/körnige Negative; Taf. 31/1; 81/1–2)

6.5400.12099.1
Gefäßkeramik
Brand: sehr gut gebrannt
Erhaltungszustand: Bruchstück
Anzahl der Bruchstücke: 10
Anmerkung: 1 WS mit Doppelknubbe; 1 RS von Topf

6.5400.12099.2
Herdplattenfragment
Maße: 5 × 5,5; St. 0,6–0,9; Gewicht: 50
Anzahl: 5
Anmerkung: 5 dünne Plättchen, schwach gebr., alle mit erh. ebener Oberfl., welche mit weißlicher Masse eingestrichen ist; Unterseite uneben, von Herdplattenfrg.?

6.5400.12099.3
Bronzenadel
Maße: 5,8; Dm: 0,2
Erhaltungszustand: Bruchstück (Spitze; Taf. 33/7)

6.5400.12100.1
Gefäßkeramik
Erhaltungszustand: Wandbruchstück
Anzahl der Bruchstücke: 3
Anmerkung: 3 kl. WS

6.5400.12100.2
Hüttenlehm
Gewicht: 400
Zustand: schwach gebrannt
Anmerkung: kl. HL-Brocken

6.5400.12101.1
Gefäßkeramik
Brand: sehr gut gebrannt
Erhaltungszustand: Randbruchstück
Anzahl der Bruchstücke: 1
Anmerkung: 1 RS von KHG?

6.5400.12101.2
Hüttenlehm
Typ: Hüttenlehm mit Rundholz/Pfostenabdruck
Maße: L. 13; B. 8; St. 7,5; Gewicht: 900
Zustand: gebrannt?
Anmerkung: dunkelbraun, ungebrannte Stücke

6.5400.12102.1
Gefäßkeramik
Brand: u. a. sekundär gebrannt
Erhaltungszustand: Wandbruchstück
Anzahl der Bruchstücke: 5
Anmerkung: 5 kl. WS

6.5400.12102.2
Hüttenlehm
Typ: Hüttenlehm mit Brettabdruck
Maße: L. 8; B. 9; St. 2,5; Gewicht: 1250
Zustand: schwach gebrannt
Anmerkung: dazu 3 unförmige Brocken mit erh. Schaufl.

6.5400.12103.1
Gefäßkeramik
Brand: sehr gut gebrannt
Erhaltungszustand: Wandbruchstück
Anzahl der Bruchstücke: 2
Anmerkung: 2 kl. WS

6.5400.12103.2
Hüttenlehm
Typ: Hüttenlehm mit Rutenabdruck und Schaufläche
Maße: 6 × 4; St. 3; Rutendm. 0,9
Zustand: gebrannt

6.5400.12104.1
Gefäßkeramik
Brand: sehr gut gebrannt
Erhaltungszustand: Bruchstück
Anzahl der Bruchstücke: 10
Anmerkung: RS von Topf(?) mit ausl. Rand; 1 RS von Topf mit Eindruckreihe am Mundsaum

6.5400.12107.1
Gefäßkeramik
Brand: u. a. sekundär gebrannt
Erhaltungszustand: Wandbruchstück
Anzahl der Bruchstücke: 3
Anmerkung: 3 kl. WS

6.5400.12110.1
Gefäßkeramik
Erhaltungszustand: Bruchstück
Anzahl der Bruchstücke: 1
Anmerkung: 1 kl. WS, unspezifisch

6.5400.12110.2
Hüttenlehm
Typ: Hüttenlehm mit Schaufläche
Maße: 5,5 × 3; St. 1
Zustand: gebrannt
Anmerkung: 2 kl. Brocken

6.5400.12113.1
Hüttenlehm
Anmerkung: ganz kl. Bröckchen

6.5400.12114.1
Gefäßkeramik
Gewicht: 30
Erhaltungszustand: Bruchstück
Anzahl der Bruchstücke: 4
Anmerkung: 4 kl. WS, davon 1 stark sek. gebr.

6.5400.12115.1
Gefäßkeramik
Brand: u. a. sekundär gebrannt
Erhaltungszustand: Bruchstück

Anzahl der Bruchstücke: 12
Anmerkung: 1 RS von Topf mit Fingertupfenleiste mit kantigem Profil am Mundsaum, handgeformt, gut gebr. (Dat.?)

6.5400.12115.2
Hüttenlehm
Typ: Hüttenlehm mit dreieckigem Querschnitt
Maße: 9,5 × 3; St. 3; Gewicht: 600
Zustand: schwach gebrannt
Anmerkung: graue Farbe, viele weitere kl. HL-Brocken

6.5400.12116.1
Webgewicht
Form: Tonring
Maße: Adm. 9,1–9,3; Idm. 2,7–2,85; H. 2,8–3; Gewicht: 170
Erhaltungszustand: vollständig
Anpassung: 12044
Anmerkung: aus 2 Teilen zusammensetzbarer Tonring; organisch gemagert; leicht angebrannt (eine Seite rötlich; Taf. 32/8 u. Abb. 122, 155)

6.5400.12117.1
Gefäßkeramik
Erhaltungszustand: Wandbruchstück
Anzahl der Bruchstücke: 1
Anpassung an: 12049.3
Anmerkung: 1 WS, die anderen WS 12117.1 sind anpassend an KHG 12049.3

6.5400.12117.2
Gefäßkeramik
Maße: Wst. 0,6–0,8; Bauchdm. 24; Bdm. 10; Bst. 1,2; erh. H. 15; Gewicht: 1100
Keramikqualität: grobe Ware
Oberfläche außen: grob geglättet, Oberfläche innen: grob geglättet
Farbe außen: rosa-grau, Farbe innen: dunkelgrau, ocker, Farbe Bruch: dunkelgrau, ocker
Brand: sekundär gebrannt
Erhaltungszustand: Unterteil
Anzahl der Bruchstücke: 10, Anzahl der Gefäße: 1
Anmerkung: annähernd vollständiger Unterteil von gröberem Topf, auf 1 Seite stärker dem Feuer ausgesetzt gewesen (krakeliert)

6.5400.12117.5
Hüttenlehm
Typ: Hüttenlehm mit dreieckigem Querschnitt und ebener Schaufläche
Maße: L. 9,5; B. der Schaufl. 4,5; St. 3; Gewicht: 400
Zustand: kaum gebrannt
Anmerkung: mehrere kleinere Brocken, 1 größerer, länglicher mit dreieckigem Querschnitt, hellgraue Farbe

6.5400.12121.1
Gefäßkeramik
Gewicht: 100
Erhaltungszustand: Bruchstück
Anzahl der Bruchstücke: 11
Anmerkung: unspezifische, kl. WS; mind. 1 SMA

6.5400.12125.1
Gefäßkeramik
Erhaltungszustand: Wandbruchstück
Anzahl der Bruchstücke: 3
Anmerkung: 1 WS von Vorratsgefäß

6.5400.12125.2
Hüttenlehm
Typ: Hüttenlehm mit Rutenabdrücken auf 2 Seitenflächen
Maße: 5,5 × 4,5; St. 2,5; Gewicht: 150
Zustand: gebrannt
Anmerkung: sehr klar erkennbare, dicht gesetzte Rutenabdrücke; Dm. 0,9; 1 schwerer Klumpen (250 g, L. 10)

6.5400.12136.1
Gefäßkeramik
Brand: u. a. sekundär gebrannt
Erhaltungszustand: Wandbruchstück
Anzahl der Bruchstücke: 8
Anmerkung: 8 kl. WS

6.5400.12136.2
Hüttenlehm
Typ: Hüttenlehm mit dreieckigem Querschnitt (Rundholz)
Maße: L. 8; B. 6,5; St. 4,5; Gewicht: 2000
Zustand: gut gebrannt
Anmerkung: 1 recht gr. Brocken mit dreieckigem Querschnitt, ansonsten eher kl., unförmige Stücke, gräuliche Farbe

6.5400.12137.1
Gefäßkeramik
Gefäßform: Tasse, Gefäßtyp: Form mit kegelförmigem Hals
Maße: Wst. 0,3–0,5; Bauchdm. 20; Rdm. 16,5; erh. H. 6,5
Keramikqualität: feine Ware
Oberfläche außen: fein geglättet, Oberfläche innen: mittelfein geglättet
Farbe außen: ocker-braun, Farbe innen: ocker, braun, Farbe Bruch: ocker, braun
Verzierung: eingetiefte Verzierung, senkrechte Kannelur
Brand: sehr gut gebrannt, sekundär gebrannt?
Erhaltungszustand: Randbruchstück, Wandbruchstück
Anzahl der Bruchstücke: 1, Anzahl der Gefäße: 1
Anmerkung: RS, sehr schwache, senkrechte Kannelur, Bandhenkel vollständig erh.; 1 loses, sek. gebr. WS (St. 12049) mit schwacher, senkrechter Kannelur stammt möglicherweise von diesem Gefäß (Taf. 30/4)

6.5400.12260.1
Gefäßkeramik
Gefäßform: Topf mit kegelförmigem Hals, Gefäßtyp: Form mit kegelförmigem Hals, Vorratsgefäß
Maße: Wst. 0,7–0,9; erh. H. 8,5; Schulterdm. ca. 32; Gewicht: 100
Keramikqualität: mittelfeine Ware
Oberfläche außen: mittelfein geglättet, Oberfläche innen: grob geglättet
Farbe außen: rötlich-ocker, Farbe innen: rötlich-ocker, Farbe Bruch: grau, rötlich
Verzierung: erhabene Verzierung, Leiste, Fingertupfenleiste umlaufend
Brand: sehr gut gebrannt
Erhaltungszustand: Randbruchstück
Anzahl der Bruchstücke: 1, Anzahl der Gefäße: 1
Anmerkung: fein gearbeitet

6.5400.12260.2
Gefäßkeramik
Brand: u. a. sekundär gebrannt
Erhaltungszustand: Bruchstück
Anzahl der Bruchstücke: 3
Anmerkung: 1 RS von Topf, sek. gebr.

6.5400.12260.3
Hüttenlehm
Typ: Hüttenlehm mit länglichen Rutenabdrücken auf 2 Seiten (ums Eck)
Maße: L. 10,5; B. 4; St. 5; Gewicht: 120
Zustand: gebrannt
Anmerkung: sehr gut erh. HL mit 2 rundlichen Rutenabdrücken auf einer der Flächen, annähernd rechteckige Kante, dort nahe an dieser Kante 2 weitere Rutenabdrücke; rötlich-ocker u. Schmauchbereich

6.5400.12260.4
Webgewicht
Form: pyramidenstumpfförmig?
Maße: erh. L. 3; erh. B. 2; erh. T. 2
Erhaltungszustand: Bruchstück
Anmerkung: gerundete Außenkante erh.

6.5400.12260.5
Reibplatte
Material: Granit
Maße: erh. L. 16,5; max. B. 34,5; H. 7,5; Gewicht: ca. 4000
Erhaltungszustand: unvollständig, Randteil fehlt
Anmerkung: Rotfärbung u. schwarzer Schmauchfleck durch Feuereinwirkung (Taf. 34/1; 83)

3.5400.12266.1
Webgewicht
Form: Tonring
Maße: Adm. 8,7–9; Idm. 2,4–2,9; H. 2,5–2,95; Gewicht: 200
Erhaltungszustand: vollständig
Anmerkung: aus 2 Häften zusammensetzbarer Tonring; organisch gemagert; 1 Seite leicht rötlich gebr. mit gr., schwarz-braunem Schmauchfleck (Taf. 32/9 u. Abb. 122, 155)

3.5400.12266.2
Webgewicht
Form: Tonring
Maße: Adm. 8,7; Idm. 2,6; H. 2,85; Gewicht: 100
Erhaltungszustand: Bruchstück
Anmerkung: etwa zur Hälfte erh. Tonring; organisch gemagert, sehr schwache rötliche Brandspuren (Taf. 32/10 u. Abb. 122, 155)

6.5400.12266.3
Gefäßkeramik
Erhaltungszustand: Bruchstück
Anzahl der Bruchstücke: 1
Anmerkung: 1 WS von Drehscheibenware, SMA/Neuzeit

6.5400.12267.1
Gefäßkeramik
Gewicht: 640
Brand: u. a. sekundär gebrannt
Erhaltungszustand: Bruchstück
Anzahl der Bruchstücke: 20
Anmerkung: 1 RS von sehr gr. Gefäß (max. Wst. 2,1!); 1 WS mit Kerbleiste; 1 WS mittelfeine Ware; Rest WS unterschiedl. Qualität, teils sek. gebr.

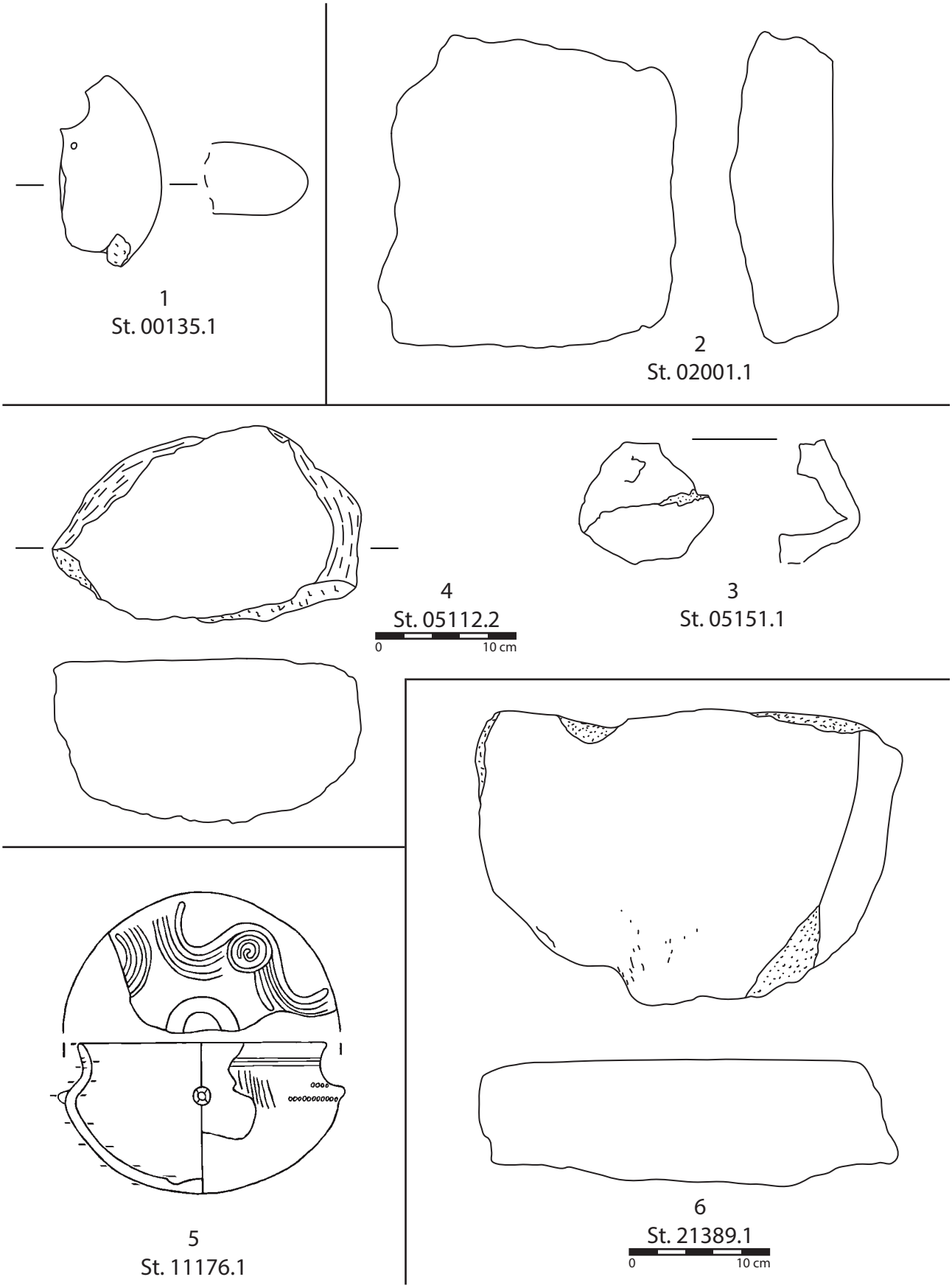
6.5400.12267.2
Hüttenlehm
Typ: würfelförmige Bruchstücke mit Rutenabdrücken
Maße: 5 × 5; St. 4; Gewicht: 3000
Anmerkung: auffällig ist die waagrechte Bruchkante (Taf. 81/4)

6.5400.12267.4
Hüttenlehm
Typ: Bruchstücke mit D-förmigem Querschnitt, einmal mit auffälliger Ausstreichung; große Lehmbrocken
Maße: Stück 1: L. 14,5; B. 8,5; Stück 2: L. 13; B. 8,5; H. 6 (fast rund); Brocken: L. 13, Gewicht: ca. 3000
Zustand: schwach gebrannt
Anmerkung: 3 Stücke mit D-förmigem Querschnitt (1 davon eher rund); mehrere gr. Lehmbrocken (Taf. 82/1–2)

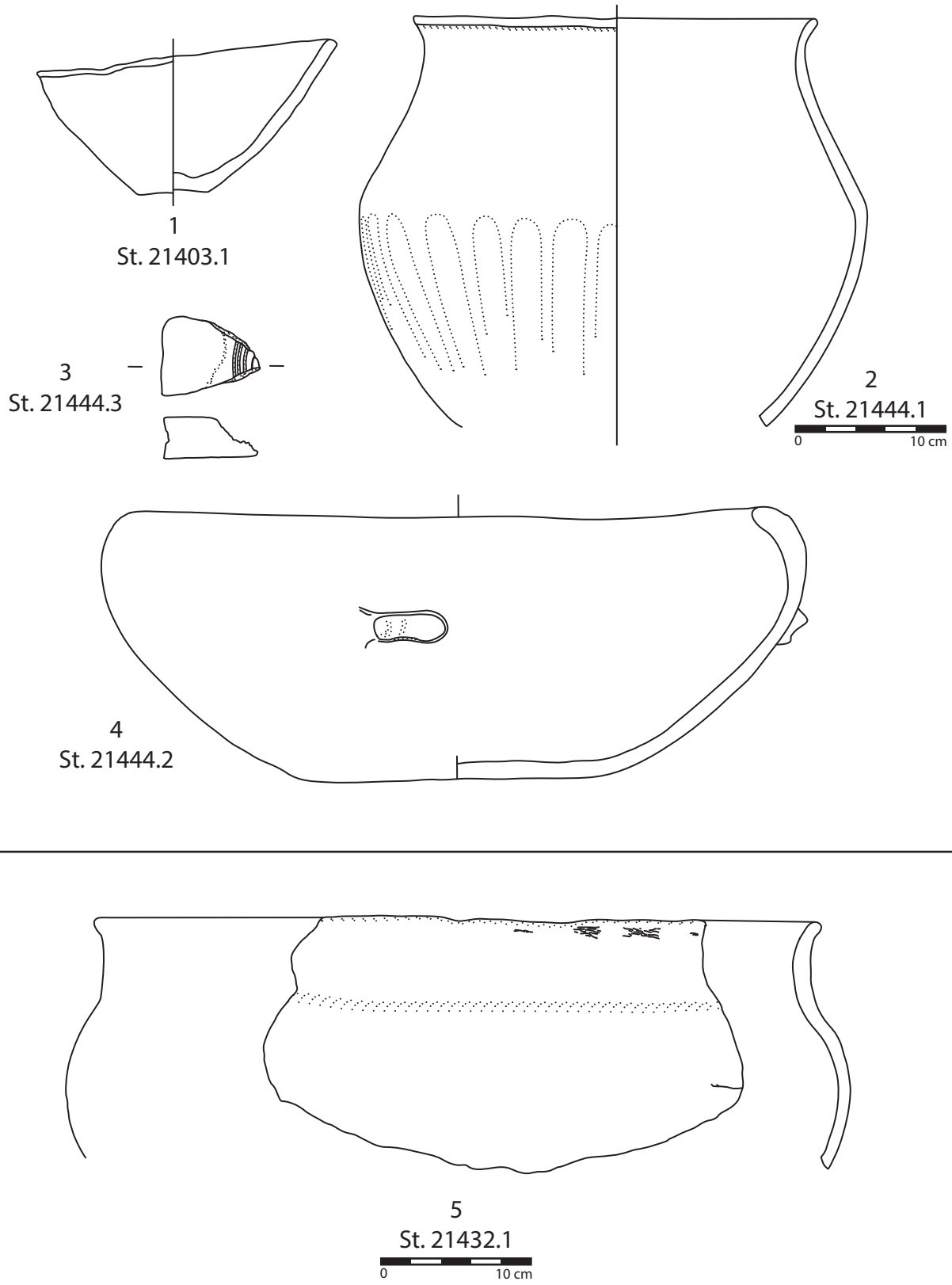
6.5400.12272.1
Webgewicht
Form: Tonring
Maße: Adm. 6,6–6,9; Idm. 3; B. 1,9–2,5; St. 1,9–2; Gewicht: 30
Erhaltungszustand: zur Hälfte erhalten
Anmerkung: seitliche Außenkante durch Eintiefungen buckelartig verziert? Auffällig plattgedrückte, ebene Flächen (obere u. untere Auflagefl.), gut gebr. (Taf. 33/1)

6.5400.12273.1
Webgewicht
Form: scheibenförmig?
Maße: Adm. 3; St. 2,2; erh. L. 4; Gewicht: 20
Erhaltungszustand: Randbruchstück
Anmerkung: sek. gebr. (Taf. 33/6)

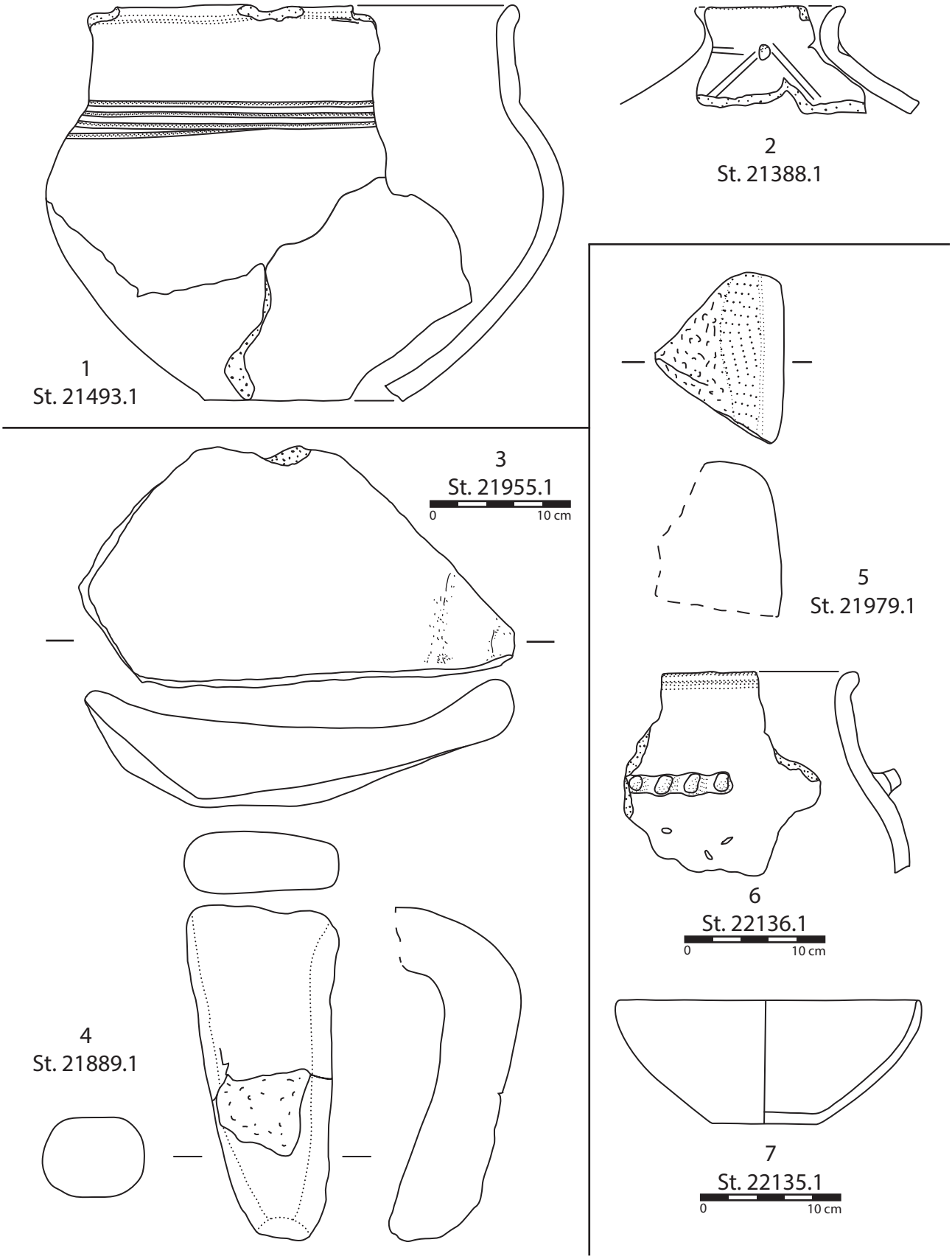
Tafeln



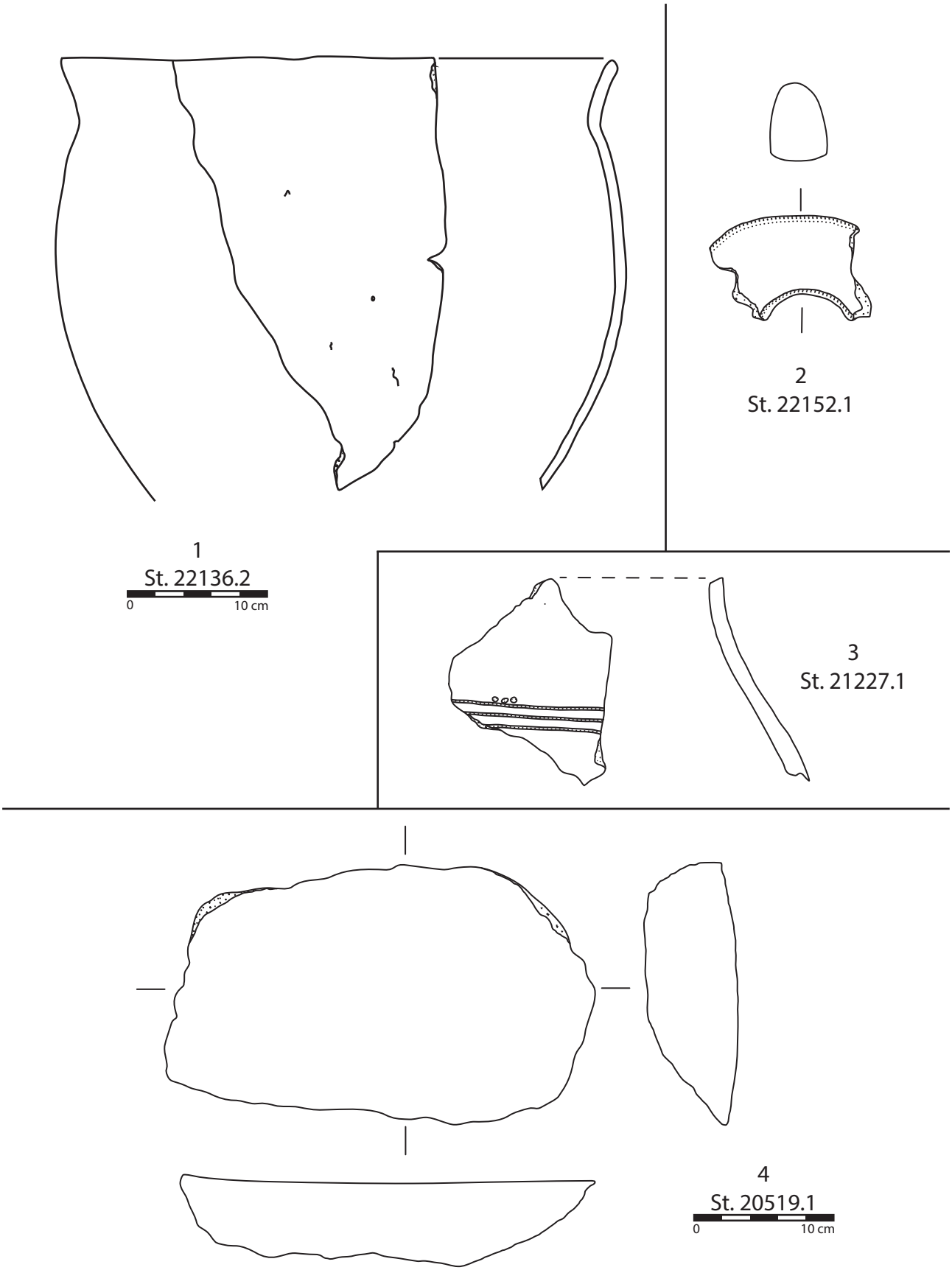
Tafel 1: 1. scheibenförmiges Webgewicht, V1, Sign. 10471 (M 1:2). – 2. Reibplattenteilstück, V171, Sign. 00489–10301 (M 1:2). – 3. halbe Tonrassel, V510, Sign. 10338–10333 (M 1:2). – 4. Reibplattenteilstück, V510, Sign. 10338–10333 (M 1:4). – 5. Schüssel mit Fremdeinfluss (Schlesische Schüssel der Lausitzer Kultur) V643, Sign. 10228 (M 1:2; Zeichnung I. Hellerschmid). – 6. halbierte Reibplatte, V871, Sign. 10422 (M 1:4).



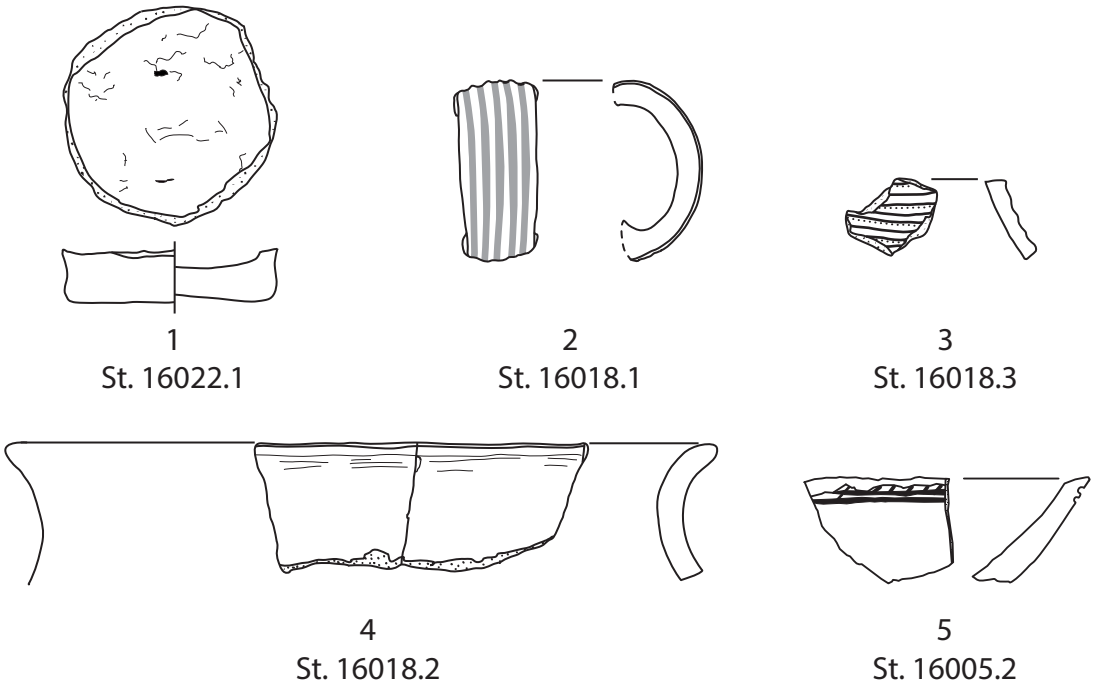
Tafel 2: 1–4. V891. 1: kleine Schale (M 1:2); 2: Topf (M 1:4), beide Sign. 00406; 3: Gussformfragment aus Sandstein (M 1:2); 4: Einzugsrandschale mit Doppelknubbe (M 1:2), beide Sign. 10441–00403. – 5. große Schüssel, V894, Sign. 00429–10444 (M 1:4).

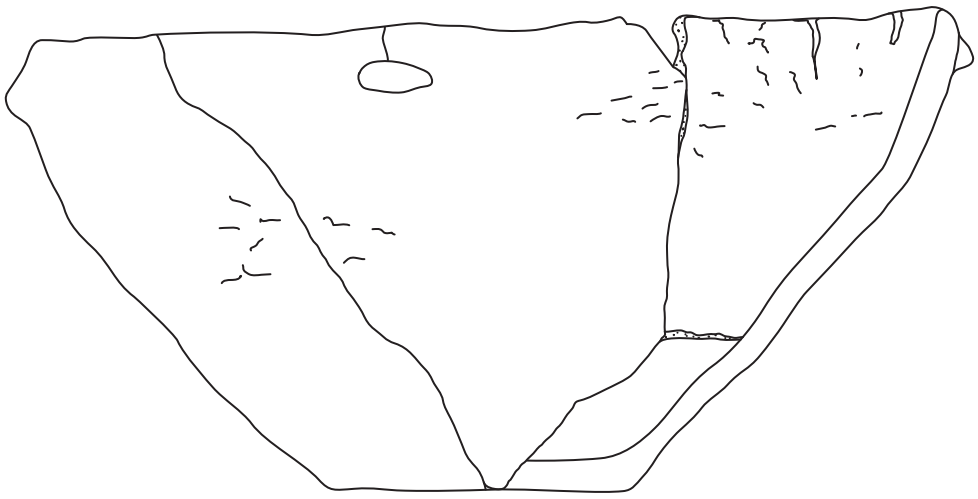


Tafel 3: 1–2. V894, Sign. 10451–10443 (M 1:2). 1: hohe Schüssel, Import aus der Knovízer Kultur (Phase Štítary); 2: Miniaturkegelhalsgefäß. – 3. Läufer, V949, Sign. 10206 (M 1:4). – 4. zungenförmiger Tonlappen, V949, Sign. 00375 (M 1:2). – 5. Reib- bzw. Klopfsteinfragment, V981, Sign. 08004–10452 (M 1:2). – 6. Vorratsgefäß, V981, Sign. 08004–10456 (M 1:4). – 7. Schale, V981, Sign. 10455–10456 (M 1:4).

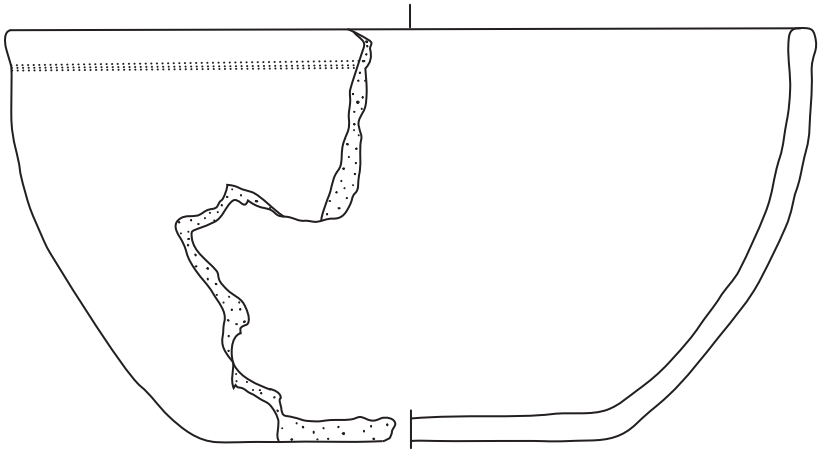


Tafel 4: 1. Vorratsgefäß, V981, Sign. 08004–10456 (M 1:4). – 2. Tonringfragment, V992, Sign. 08009–10458 (M 1:2). – 3. Wandscherbe mit Ritzlinienverzierung und Dellen am Schulterumbruch, V2779, Sign. 10398–10396 (M 1:2). – 4. Reibplatte, V2784, Sign. 00330–00328 (M 1:4).

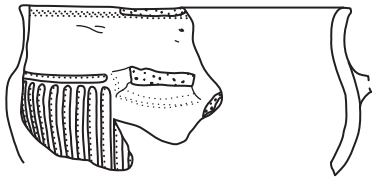




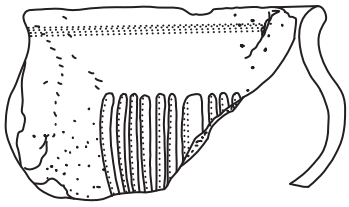
Tafel 5: 1. Gefäßboden/„Spielstein“, V5000, Sign. 20000. – 2–5. V5000, Sign. 20000–20005 (M 1:2). 2: Bandhenkel; 3: Scherbe mit Rillenzier; 4: Topf; 5: Scherbe mit Ritzverzierung. – 6. Schale, durch Hitze stark verzogen, V5001, Sign. 20012 (M 1:2).



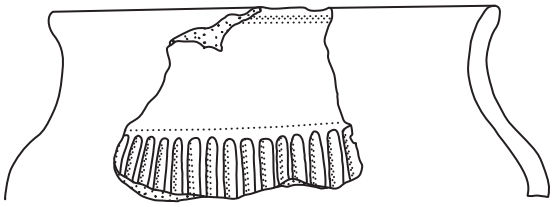
1
St. 16741.2



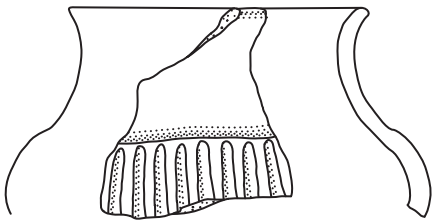
2
St. 16351.6



3
St. 16685.1

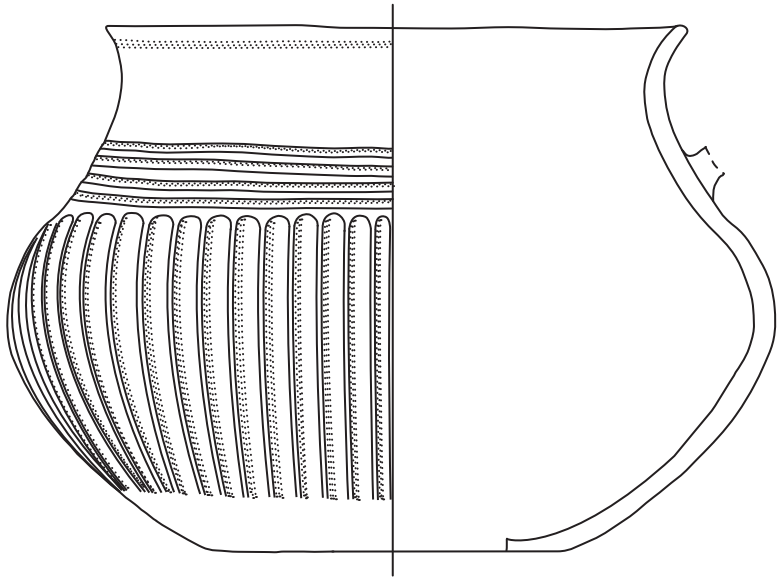


4
St. 16331.1

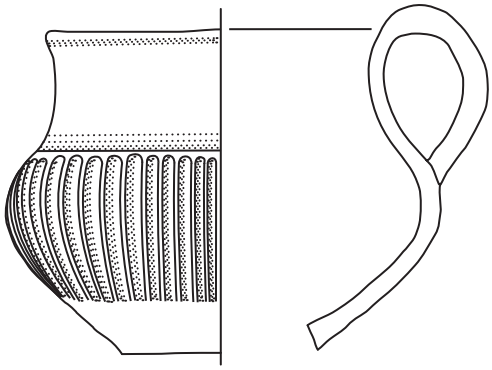


5
St. 16316.1

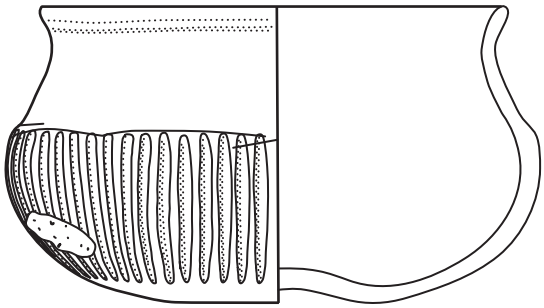
Tafel 6: 1–5. V5001, Sign. 20012 (M 1:2). 1: Schale; 2–5: kannelierte (Henkel-)Tassen.



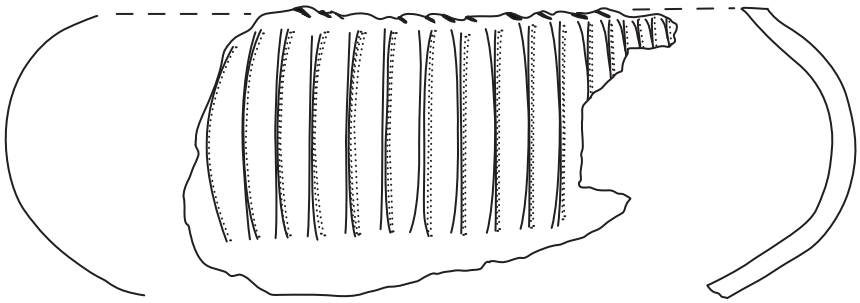
1
St. 16741.7



2
St. 16724.2

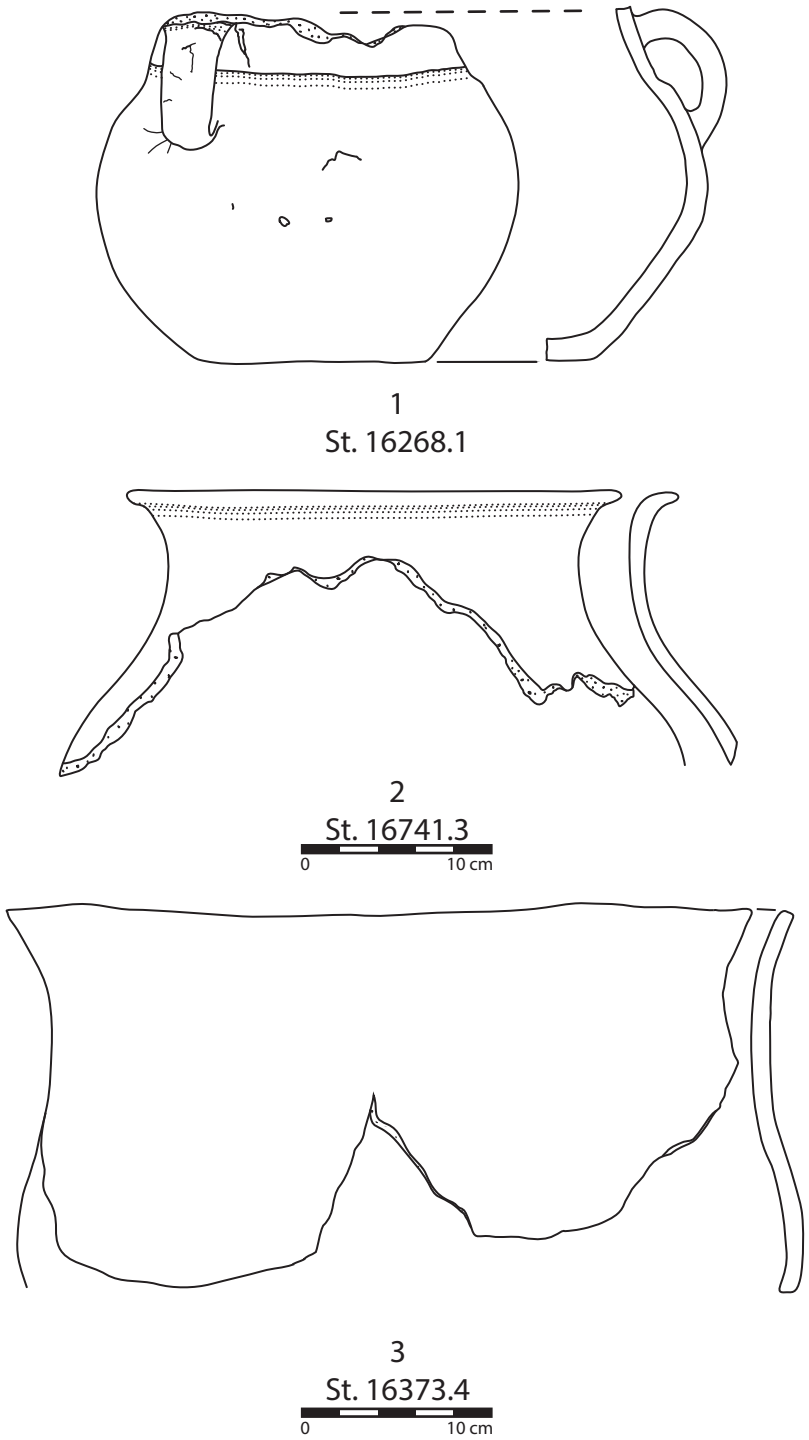


3
St. 16715.1

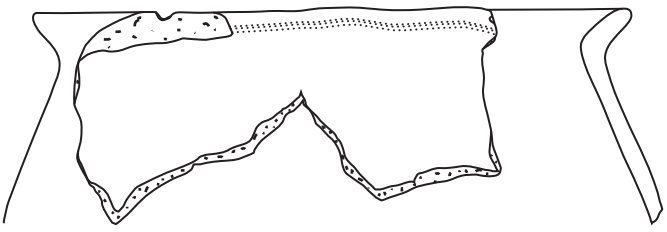


4
St. 16351.4

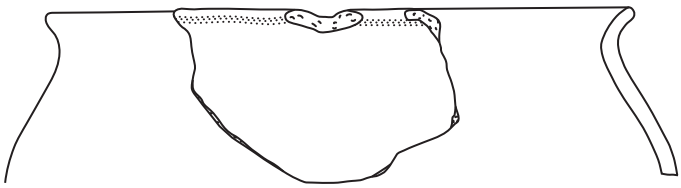
Tafel 7: 1–4. V5001, Sign. 20012 (M 1:2). 1–3: kannelierte (Henkel-)Tassen; 4: Schüssel mit Kannelur.



Tafel 8: 1. Tasse, V5001, Sign. 20012 (M 1:2). – 2–3. V5001, Sign. 20012 (M 1:4). 2: Kegelhalsgefäß; 3: Vorratsgefäß.

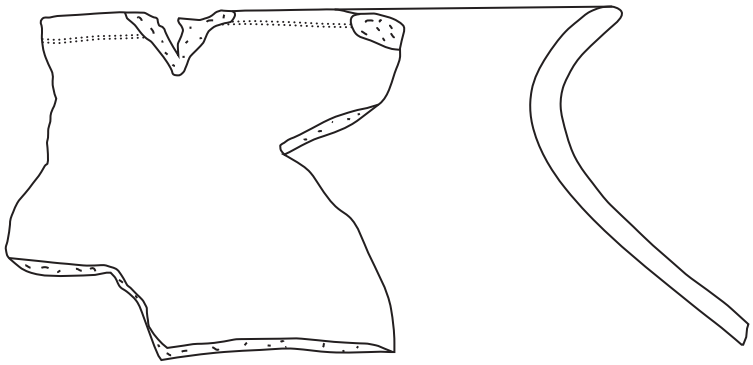


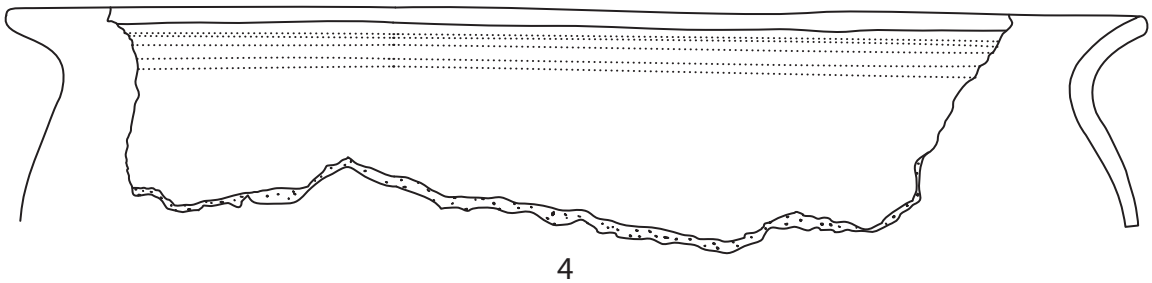
1
St. 16373.3
0 10 cm



2
St. 16351.5
0 10 cm

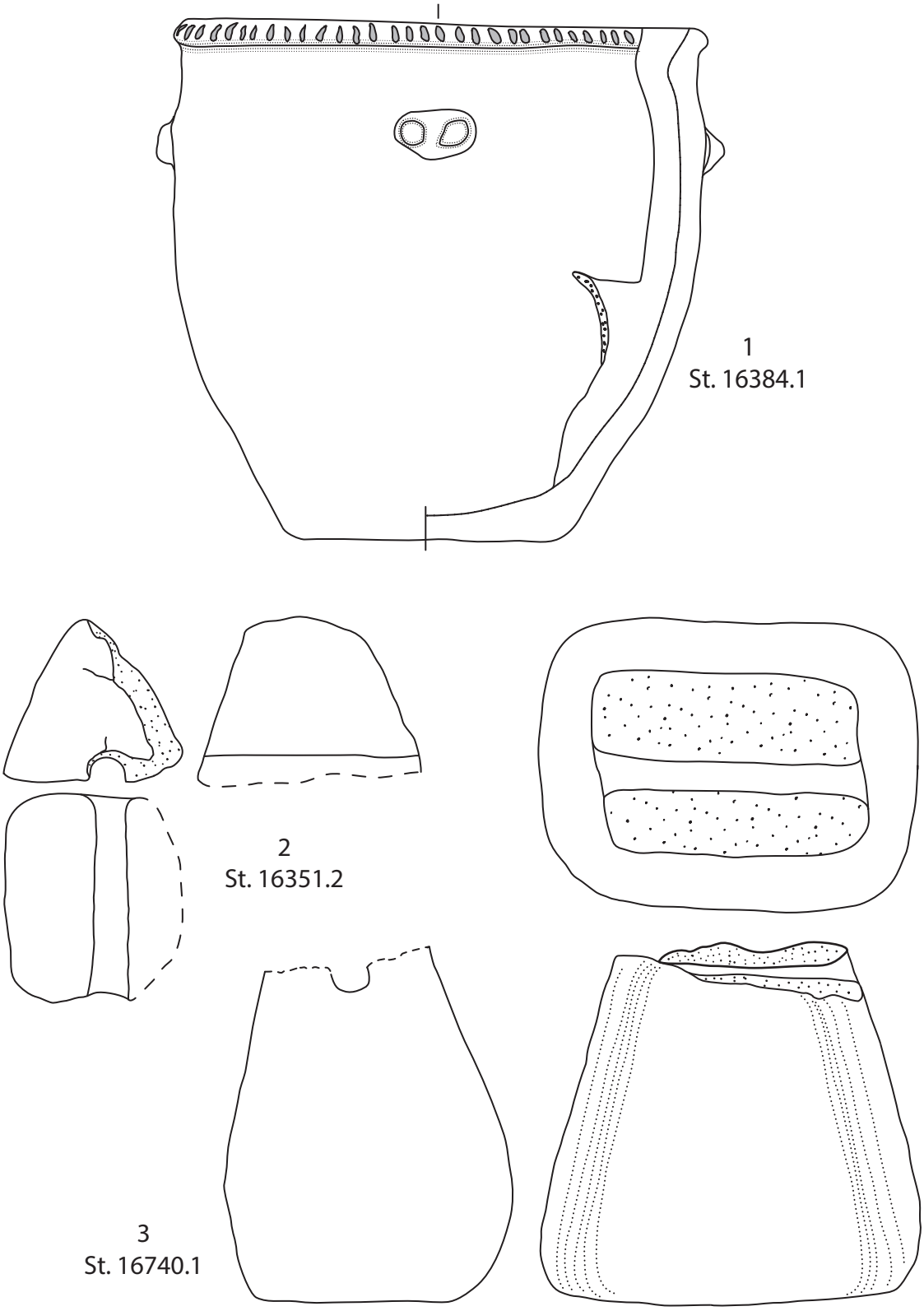
3
St. 16298.2



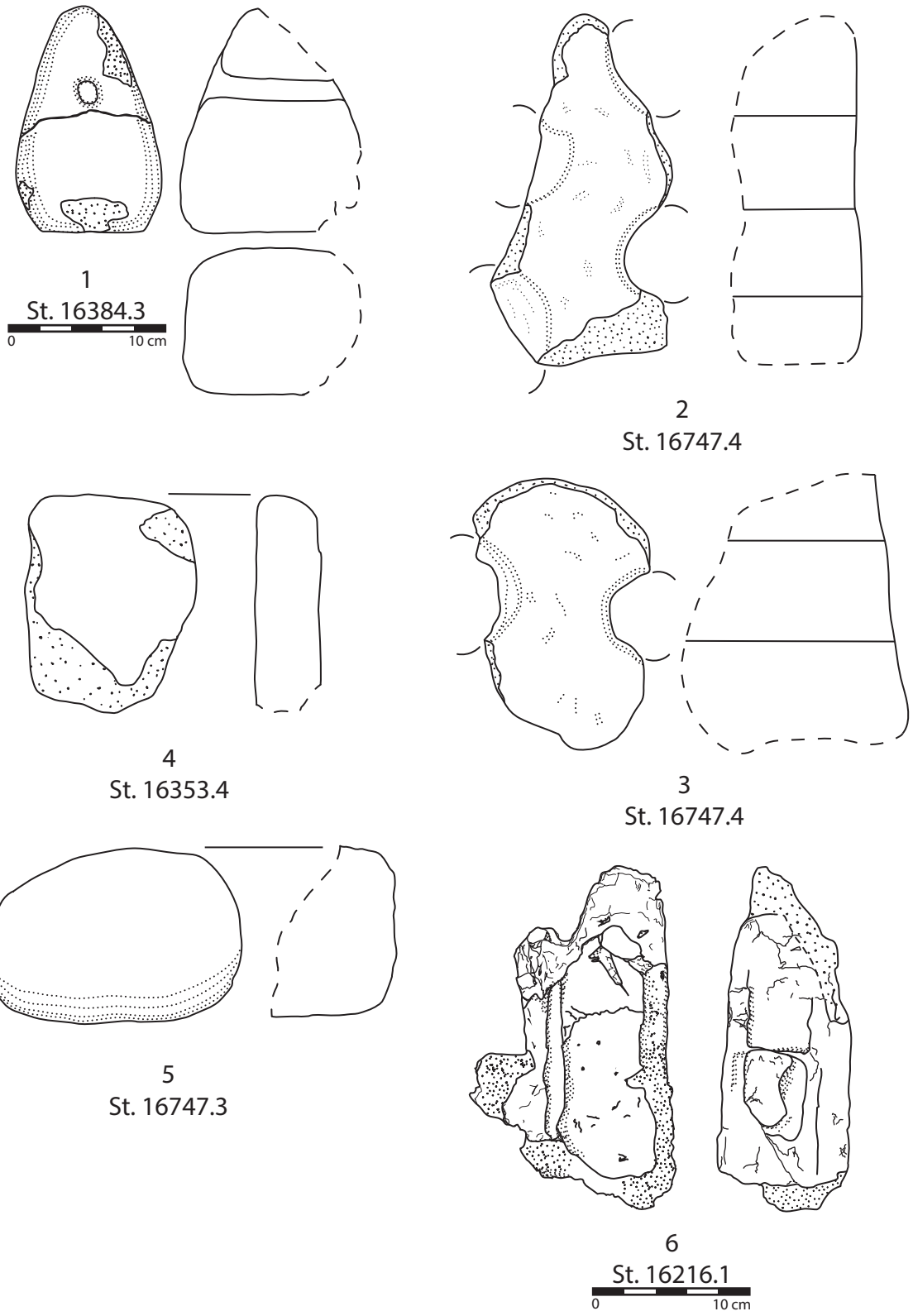


4
St. 16351.7
0 10 cm

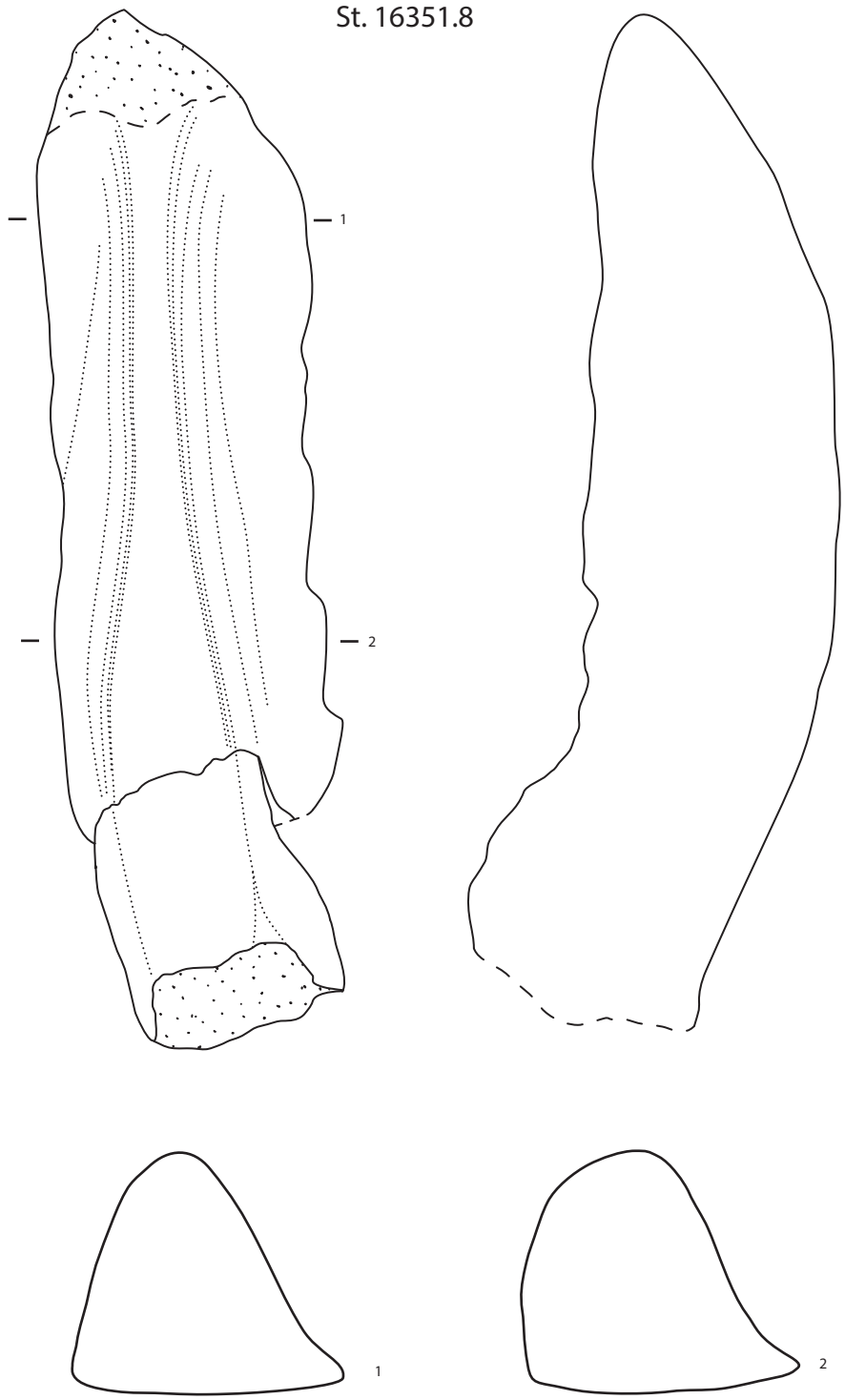
Tafel 9: 1. Vorratsgefäß, V5001, Sign. 20011–20012 (M 1:4). – 2, 4. Vorratsgefäße, V5001, Sign. 20012 (M 1:4). – 3. Kegelhalsgefäß, V5001, Sign. 20012 (M 1:2).



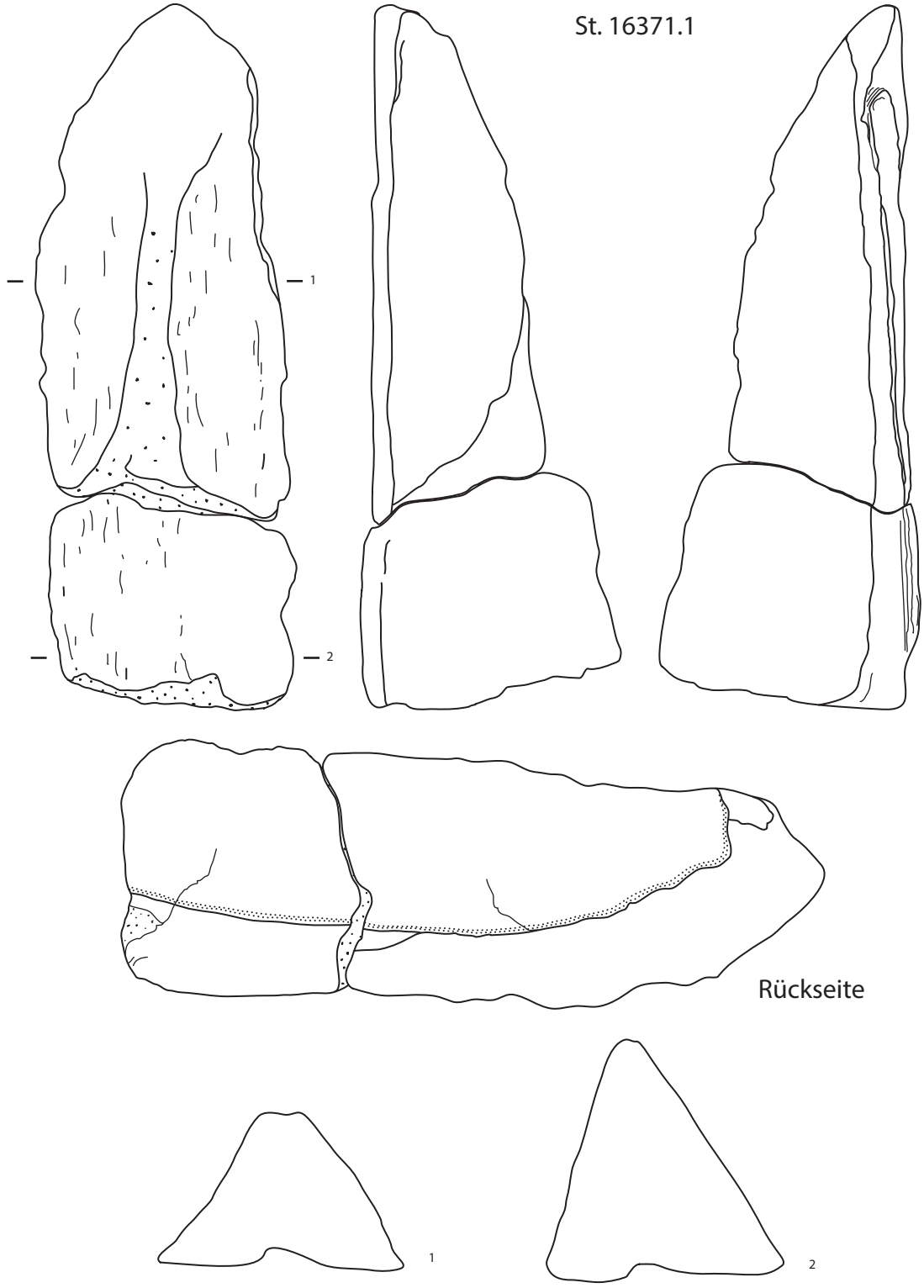
Tafel 10: 1. Topf, V5001, Sign. 20012 (M 1:2). – 2–3. pyramidenstumpfförmige Webgewichte, V5001, Sign. 20012 (M 1:2).



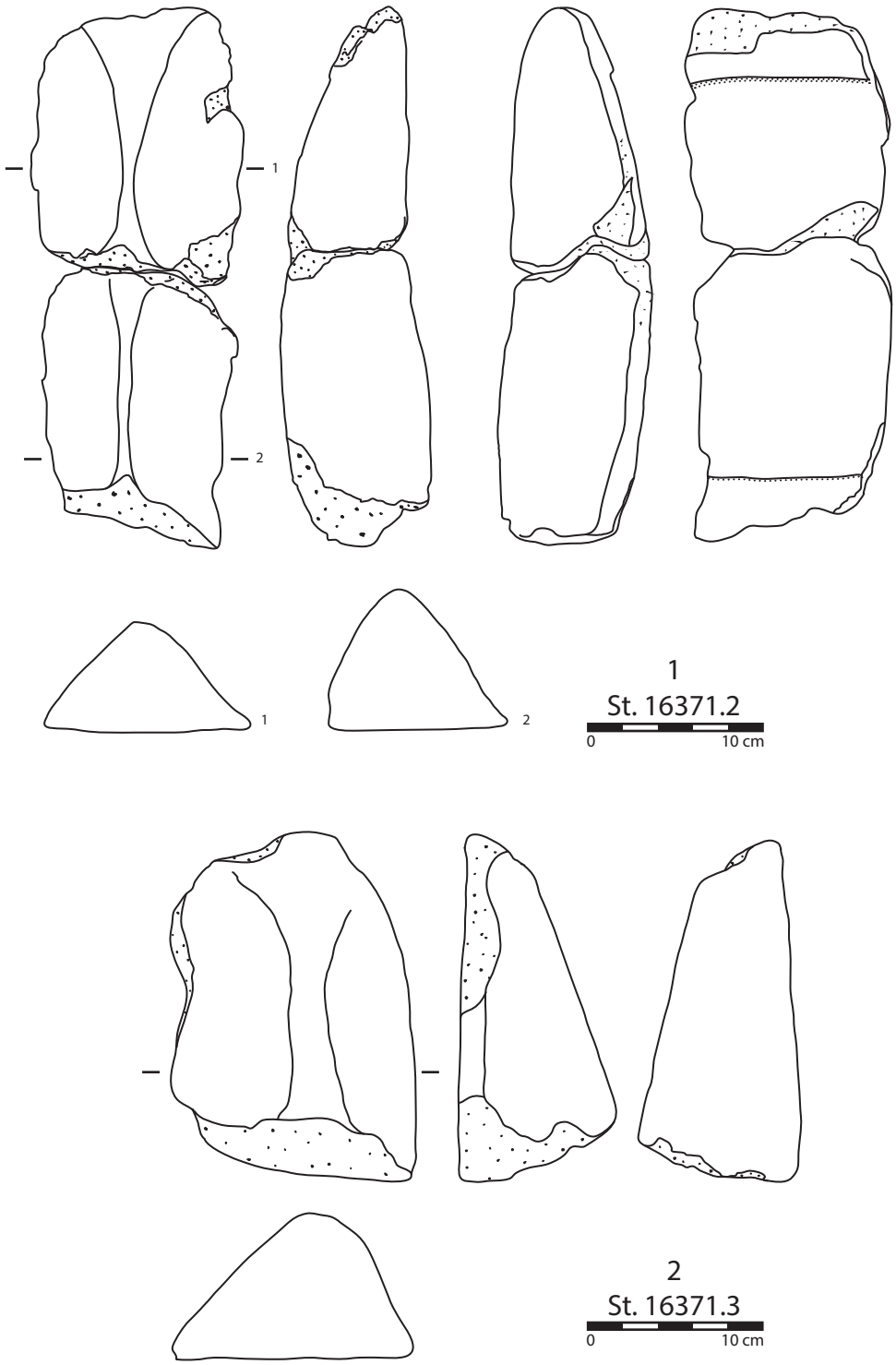
Taf. 11: 1. pyramidenstumpfförmiges Webgewicht, V5001, Sign. 20012 (M 1:4). – 2–5. V5001, Sign. 20012 (M 1:2). 2–3: Lochtennenfragmente; 4: Lehmplättchen; 5: Tonklumpen mit „Standfläche". – 6. Hüttenlehmstück mit Abdrücken von Brettern und Rundholz, V5001, Sign. 20014 (M 1:4).



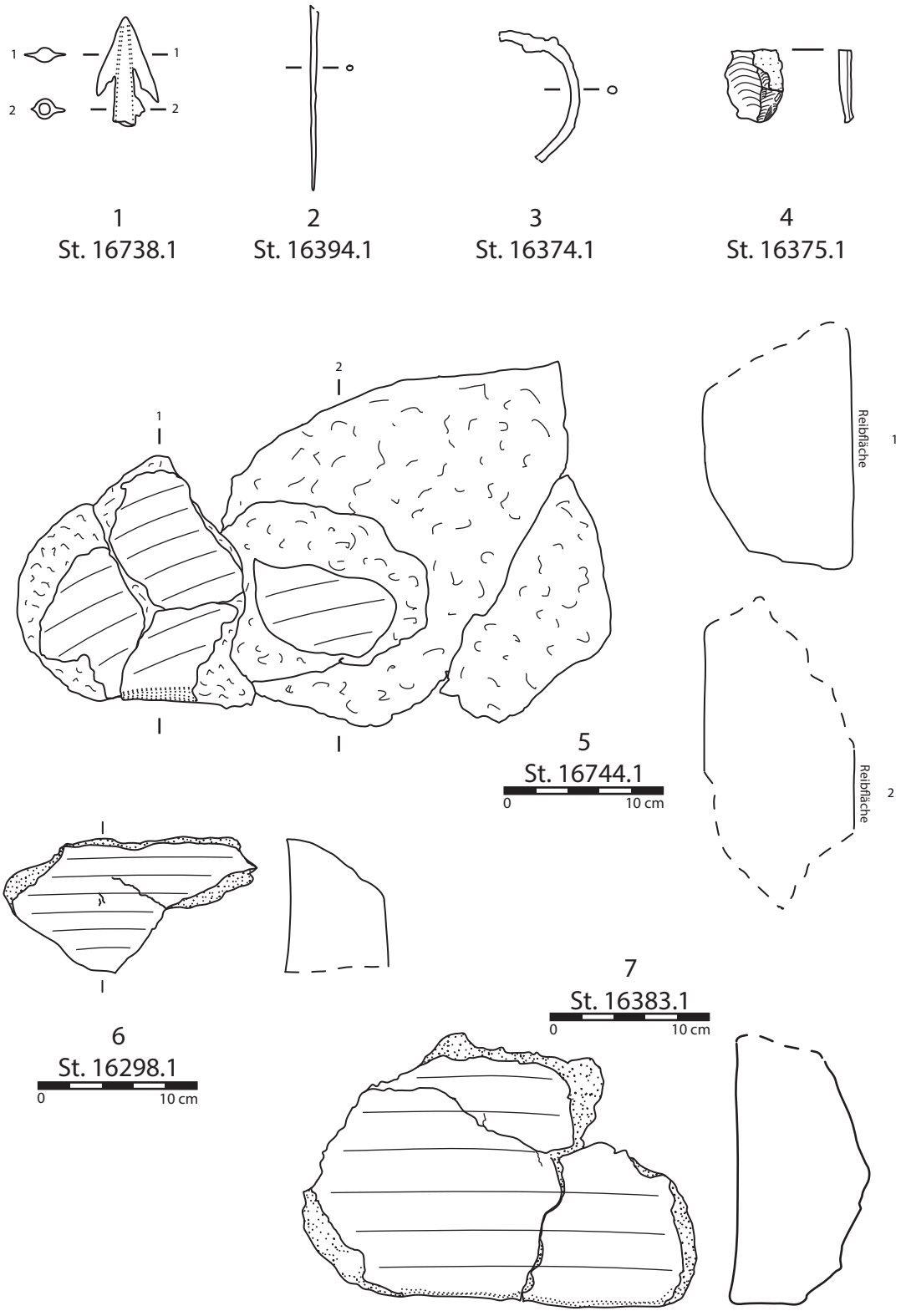
Tafel 12: 1. gebranntes Lehmobjekt (schuhleistenförmig, wohl Architekturteil), V5001, Sign. 20012 (M 1:2).



Tafel 13: 1. gebranntes Lehmobjekt (schuhleistenförmig, wohl Architekturteil), V5001, Sign. 20012 (M 1:2).



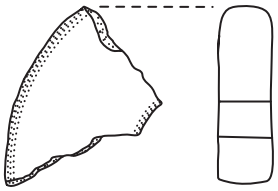
Tafel 14: 1–2. gebrannte Lehmobjekte (schuhleistenförmig, wohl Architekturteile), V5001, Sign. 20012 (M 1:4).



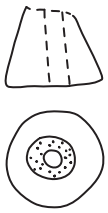
Tafel 15: 1. Bronzepfeilspitze, V5001, Sign. 20012 (M 1:2). – 2. Bronzenadel, V5001, Aushub (M 1:2). – 3–4. V5001, Sign. 20011–20012 (M 1:2). 3: Bronzedraht; 4: Silexabschlag. – 5–7. V5001, Reibplattenbruchstücke (Arbeitsrichtung angedeutet, M 1:4), Sign. 20012.



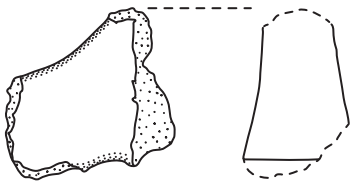
1
St. 16331,16351,16390.1



2
St. 16242.2

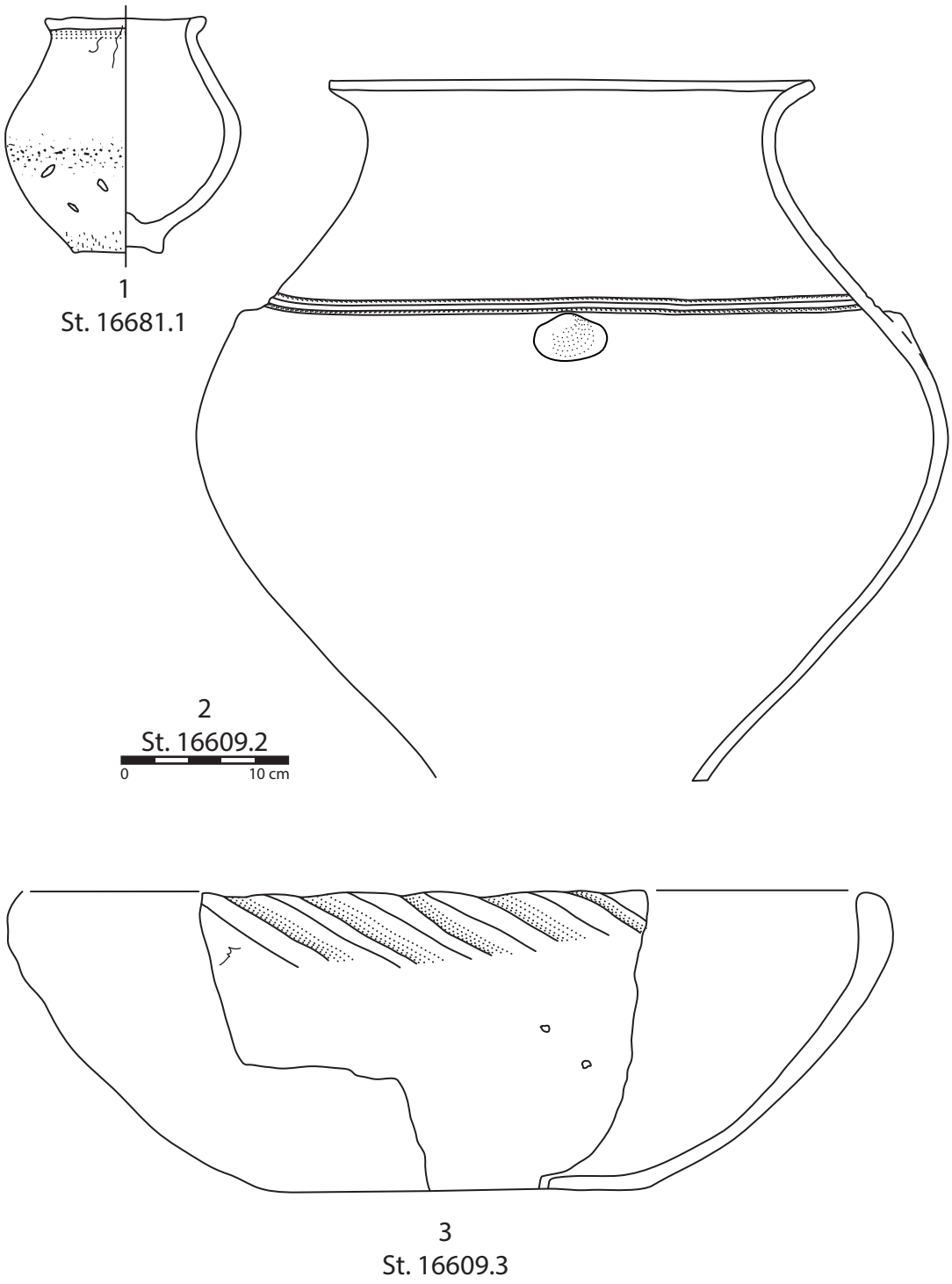


3
St. 16619.2

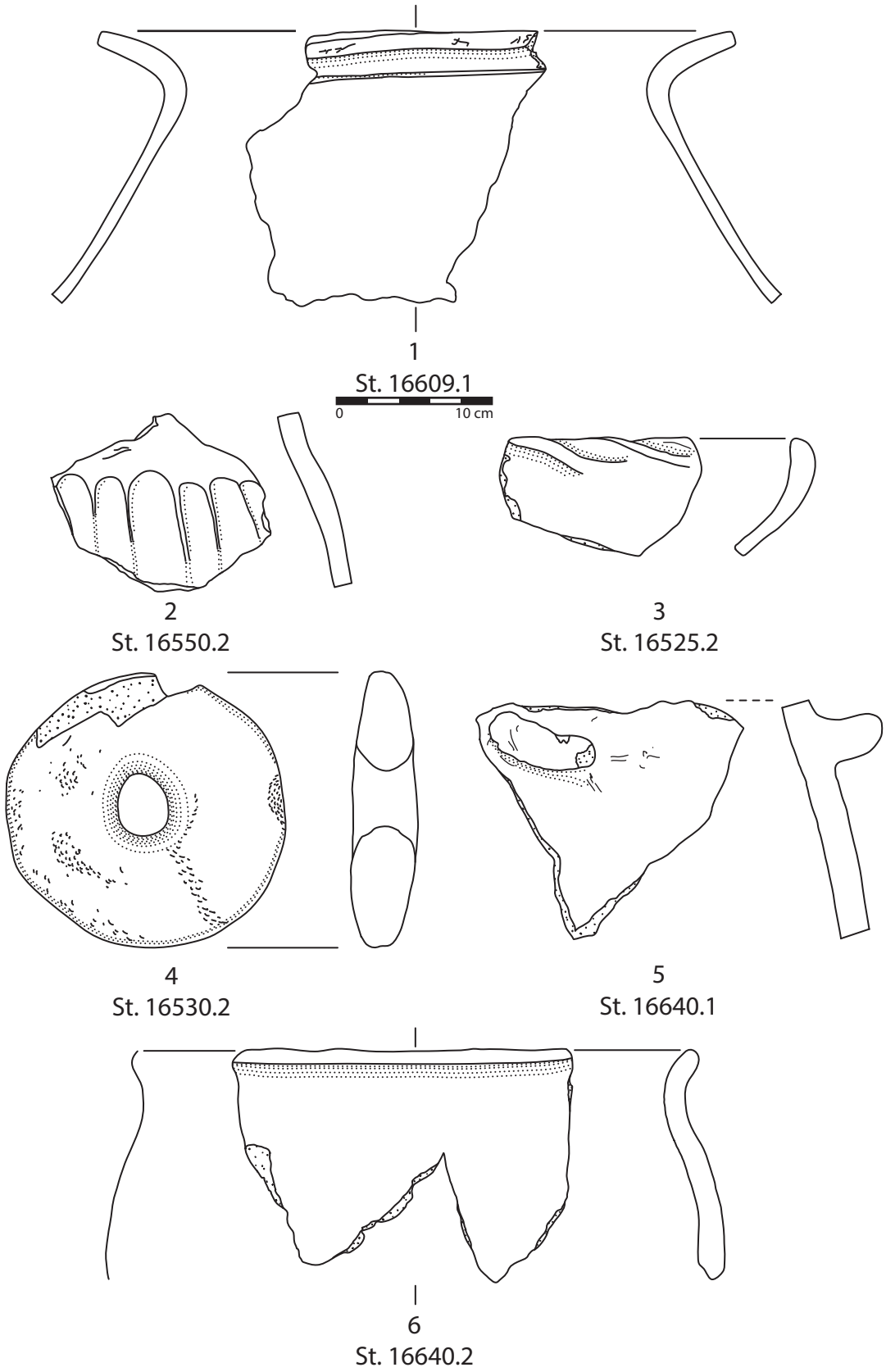


4
St. 16238.3

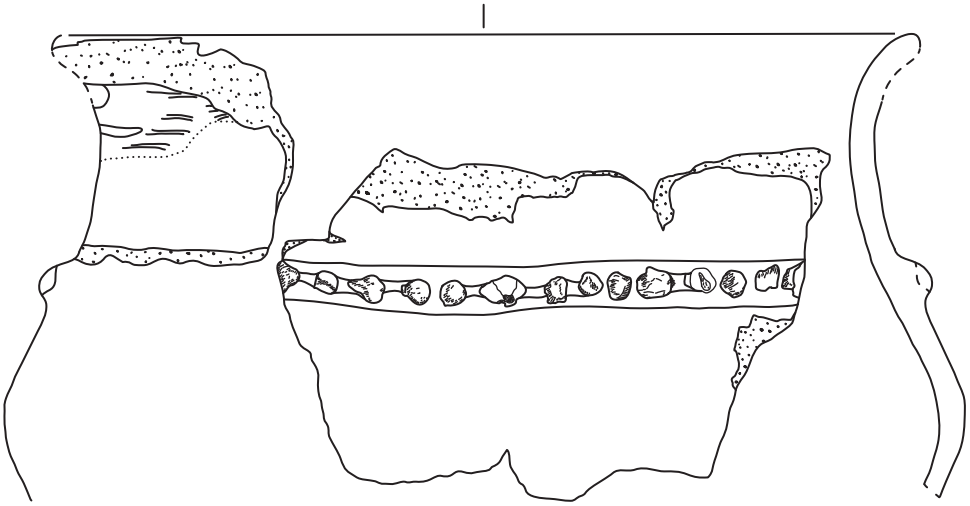
Tafel 16: 1. Topf, V5001, Sign. 20012, 20014 (M 1:2). – 2–4. V5001, Sign. 20014 (M 1:2). 2: scheibenförmiges Webgewicht; 3: Spinnwirtel; 4: Feuerbockfragment.



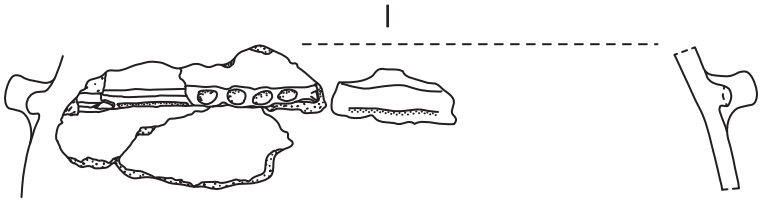
Tafel 17: 1. Miniaturkegelhalsgefäß, V5003, Sign. 20017 (M 1:2). – 2. fast komplettes Kegelhalsgefäß, V5003, Sign. 20018–20019 (M 1:4). – 3. Turbanrandschale, V5003, Sign. 20018–20019 (M 1:2).



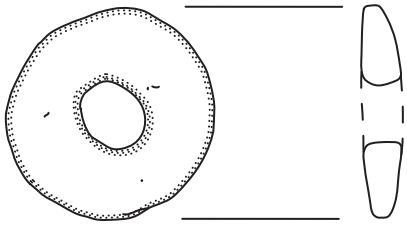
Tafel 18: 1. Kegelhalsgefäß, V5003, Sign. 20018–20019 (M 1:4). – 2. Hals-Schulter-Bruchstück mit seichten Kanneluren, V5003, Sign. 20020 (M 1:2). – 3. Turbanrandschale, V5003, Sign. 20022–20024 (M 1:2). – 4. Tonring, V5003, Sign. 20023 (M 1:2). – 5–6. Töpfe, V5003, Sign. 20024 (M 1:2).



1
St. 16907.3
0 10 cm

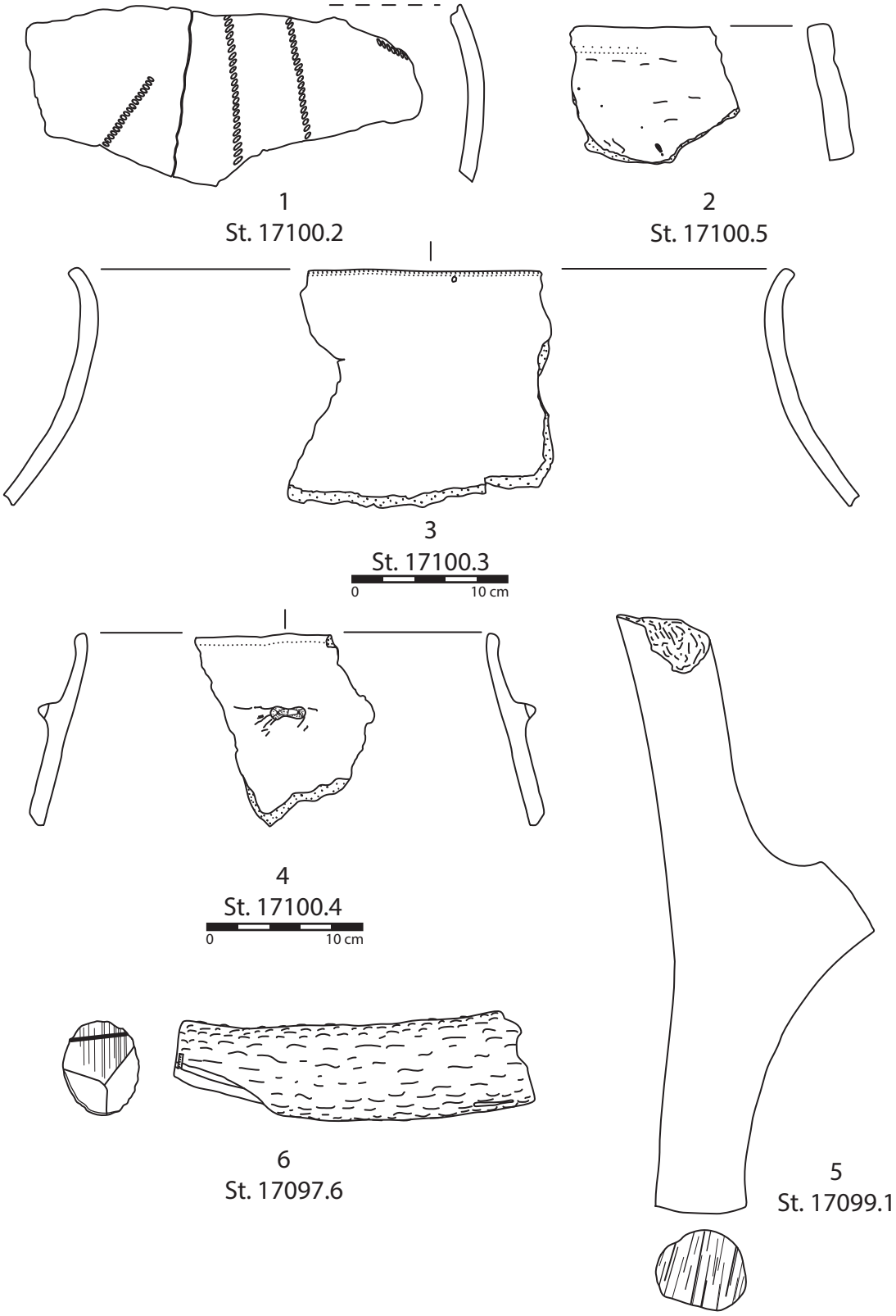


2
St. 16907.4
0 10 cm

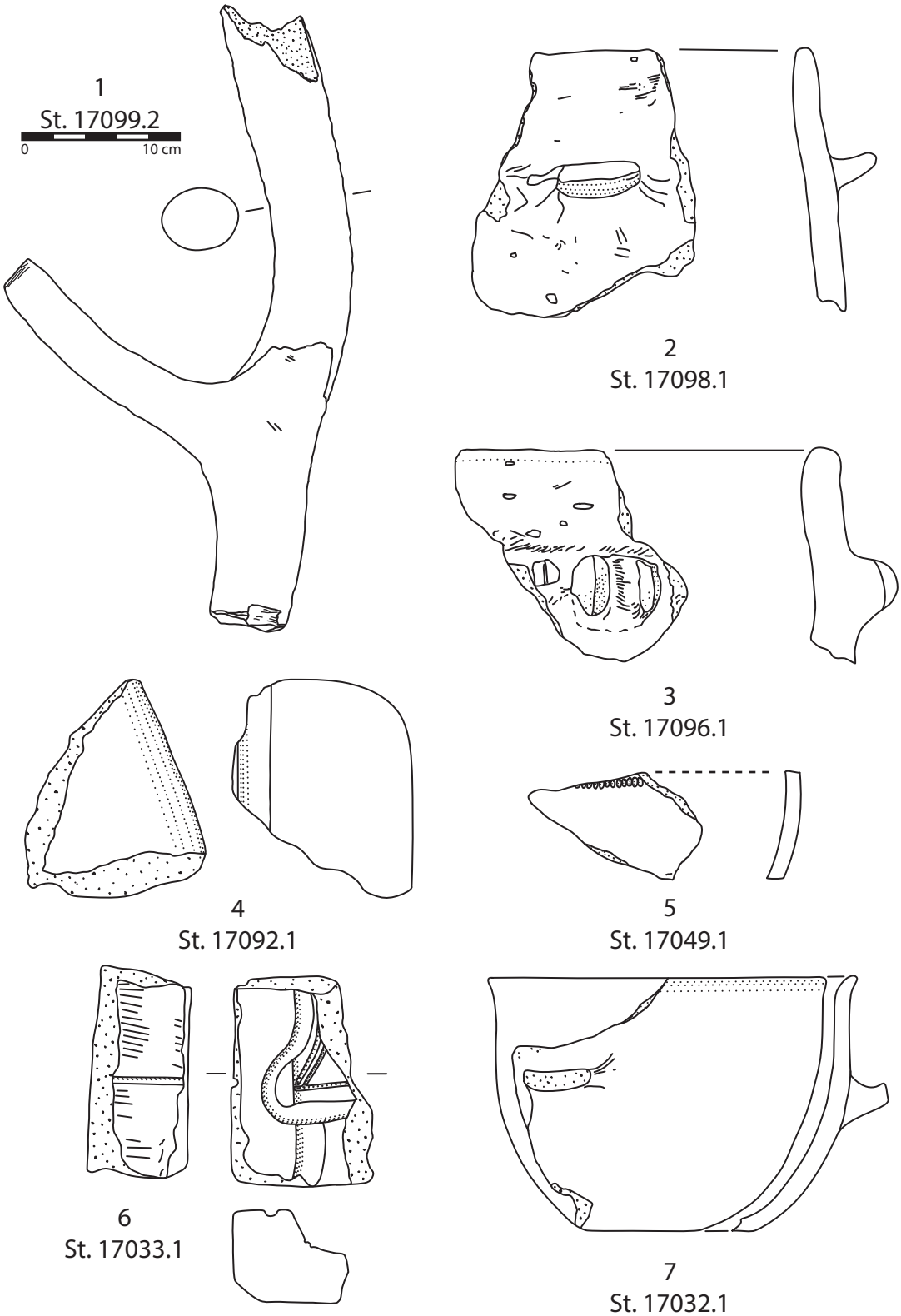


3
St. 16908.1

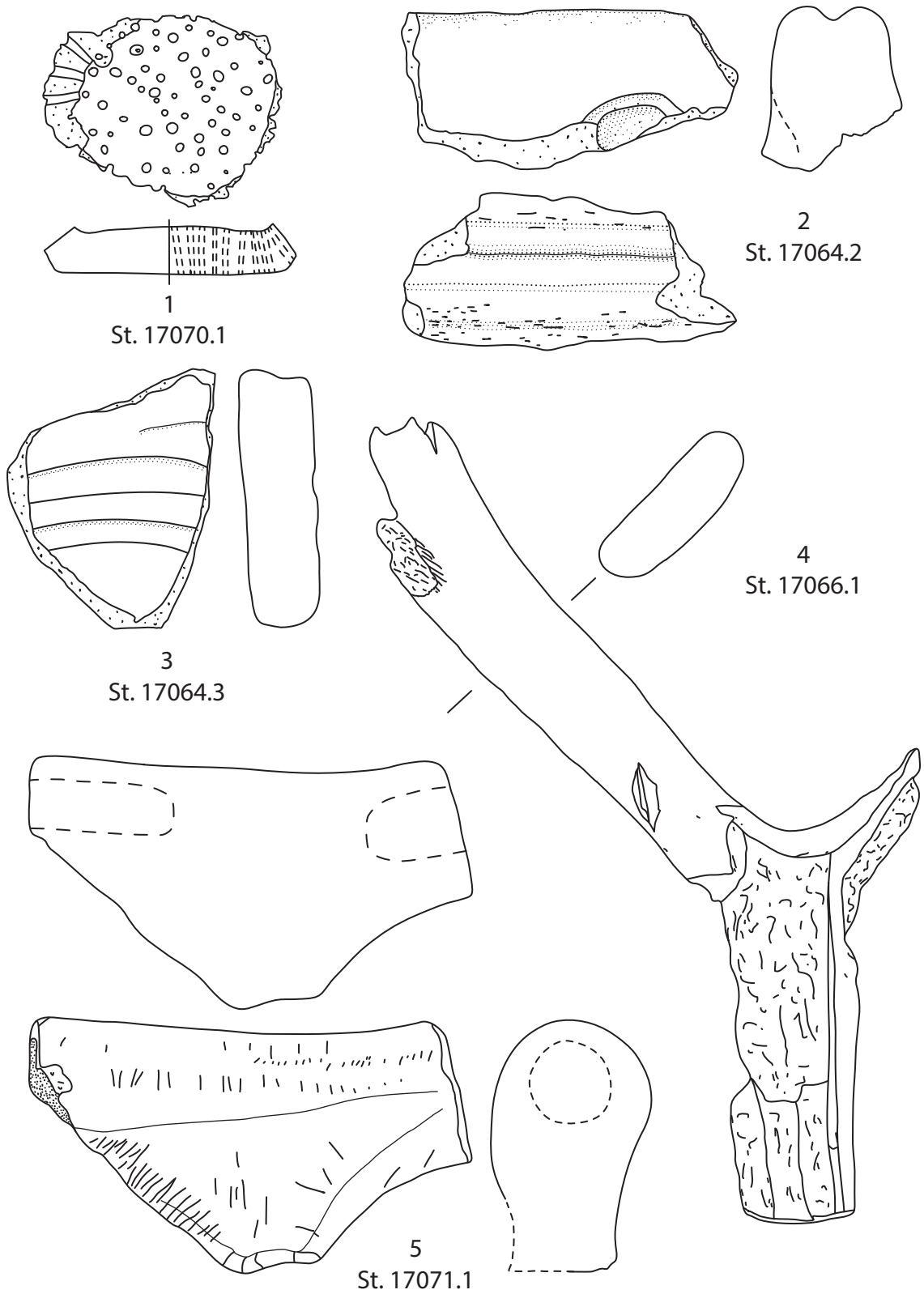
Tafel 19: 1–3. V5004, Sign. 20028–20025. 1–2: Vorratsgefäße (M 1:4); 3: Tonring (M 1:2).



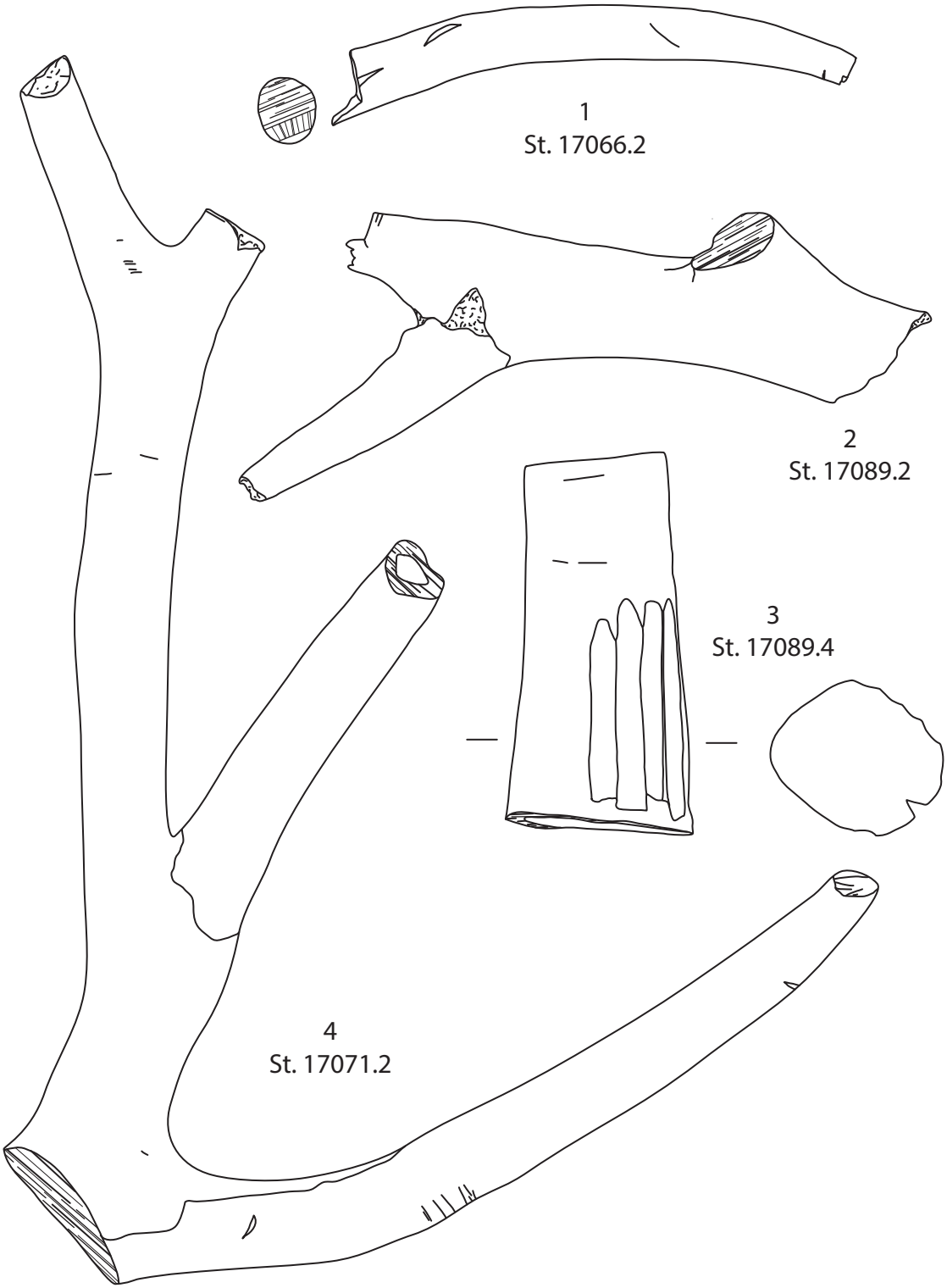
Tafel 20: 1–2. V5005, Sign. 20037 (M 1:2). 1: Scherbe mit Rädchenabrollung; 2: Topf. – 3–4. Töpfe, V5005, Sign. 20037 (M 1:4). – 5. abgesägtes Hirschgeweihstangenstück, V5005, Sign. 20037 (M 1:2). – 6. abgesägtes Hirschgeweihstangenstück, V5005, Sign. 20037–20039 (M 1:2).



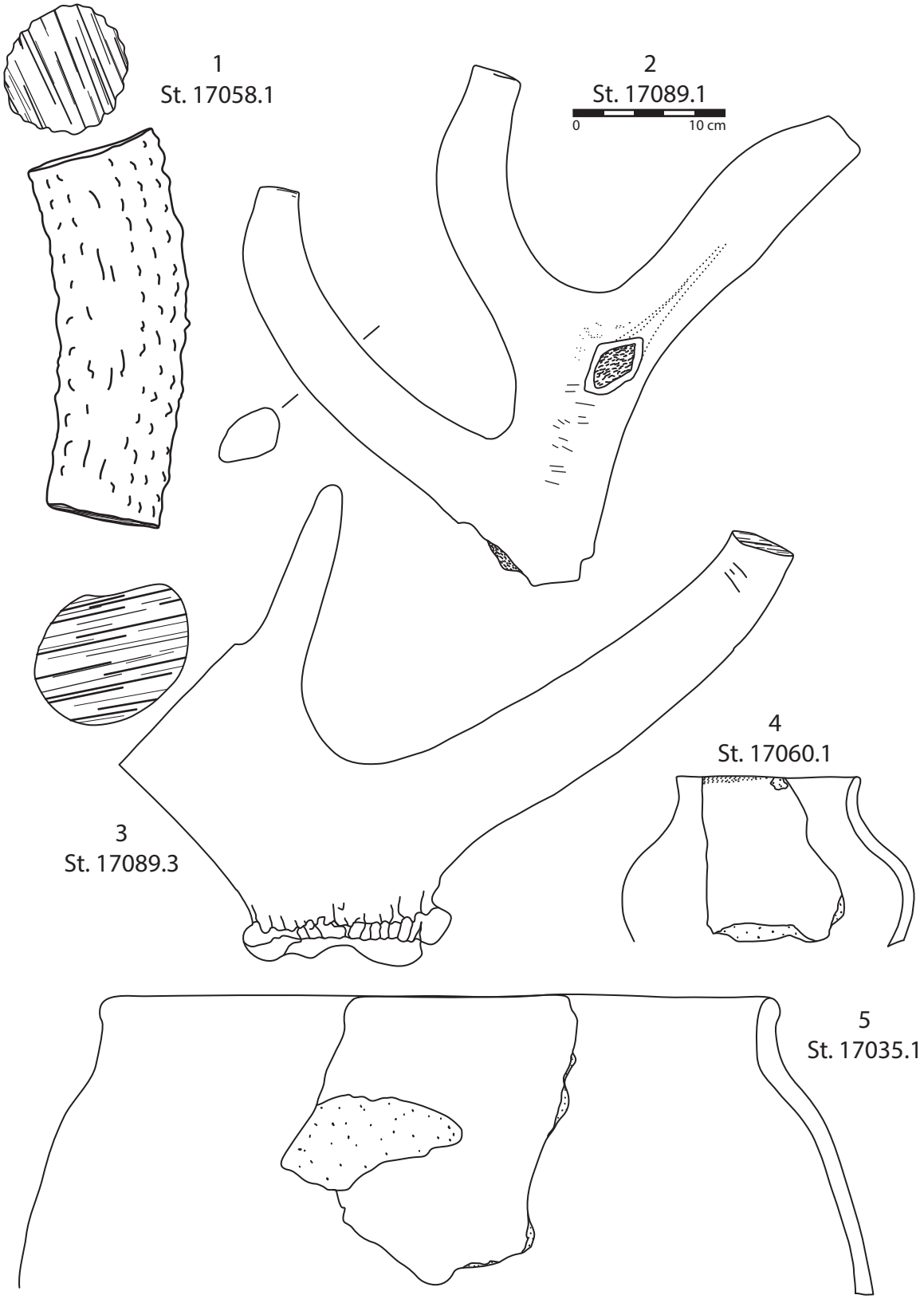
Tafel 21: 1. abgehacktes/abgesägtes Hirschgeweihstangenstück, V5005, Sign. 20037 (M 1:4). – 2. Topf, V5005, Sign. 20037–20038 (M 1:2). – 3. Topf, V5005, Sign. 20039 (M 1:2). – 4. pyramidenstumpfförmiges Webgewicht, V5005, Sign. 20039–20041 (M 1:2). – 5. Scherbe mit Rädchenabrollung, V5005, Sign. 20039–20042 (M 1:2). – 6–7. V5005, Sign. 20042–20043 (M 1:2). 6: Gussformfragment für Tüllenbeile aus Sandstein; 7: Henkelschale.



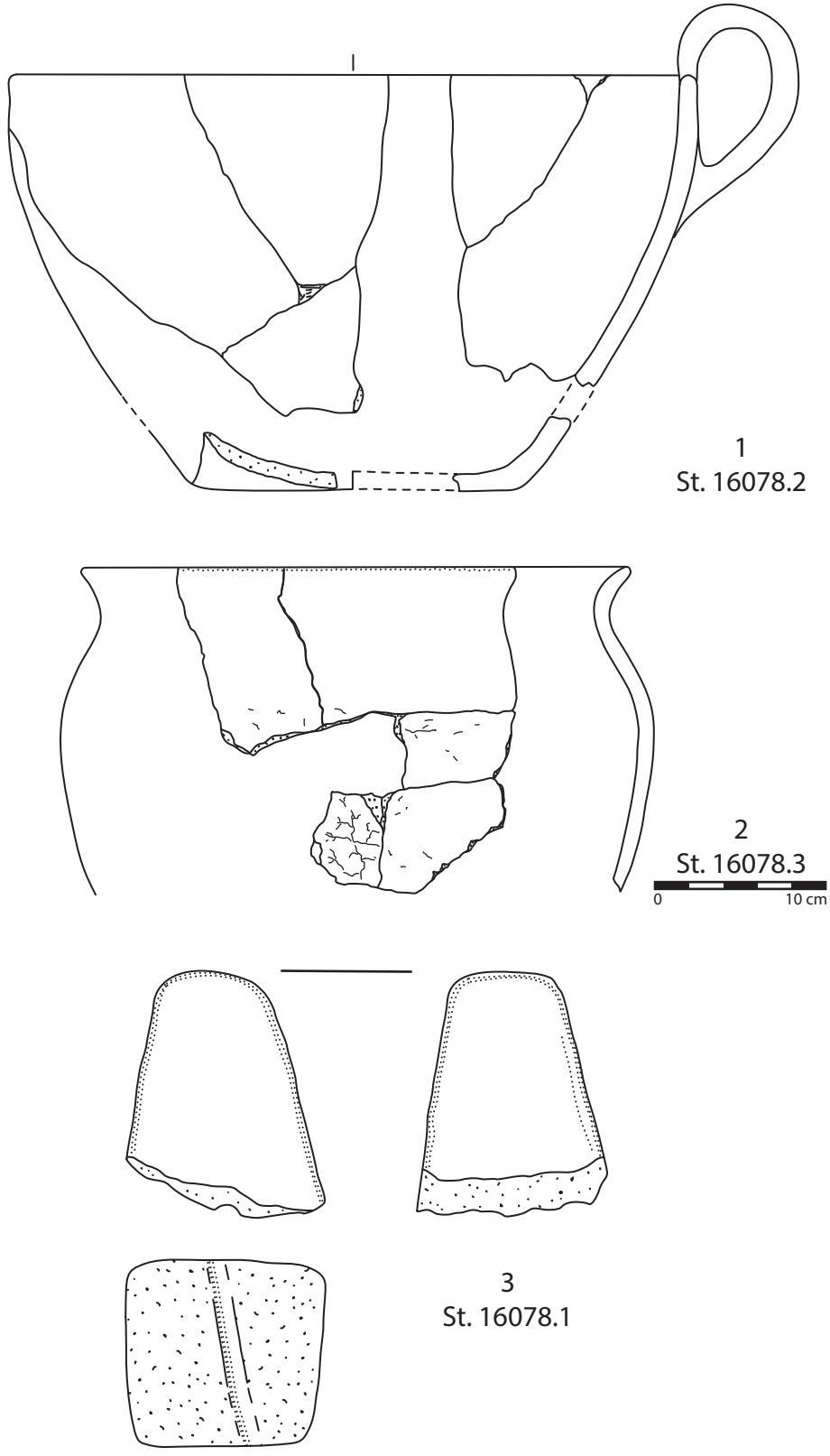
Tafel 22: 1–5. V5006, Sign. 20045–20046 (M 1:2). 1: Siebgefäßboden („Spielstein“); 2: Feuerbockbruchstück; 3: Herdplattenbruchstück; 4: abgesägtes Hirschgeweihstangenstück; 5: Geweihhalbprodukt (Zwischenstück für ein Doppelgerät?).



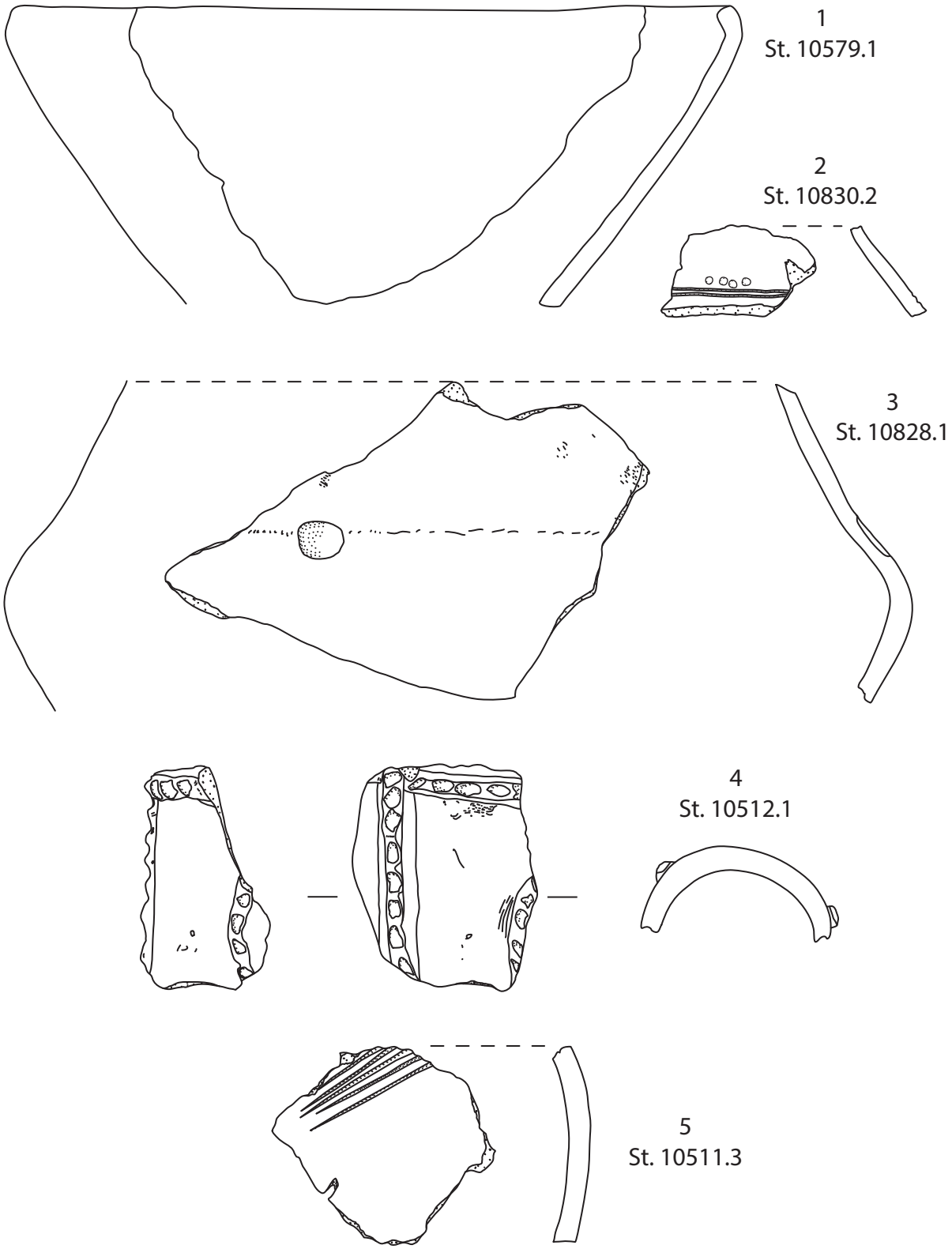
Tafel 23: 1–4. V5006, Sign. 20045–20046 (M 1:2). 1: abgesägter Geweihspross; 2, 4: abgesägte Hirschgeweihstangenstücke; 3: abgesägter Geweihstangenabschnitt, an der Oberfläche Spuren einer Schälung mit einem Messer in Längsrichtung.



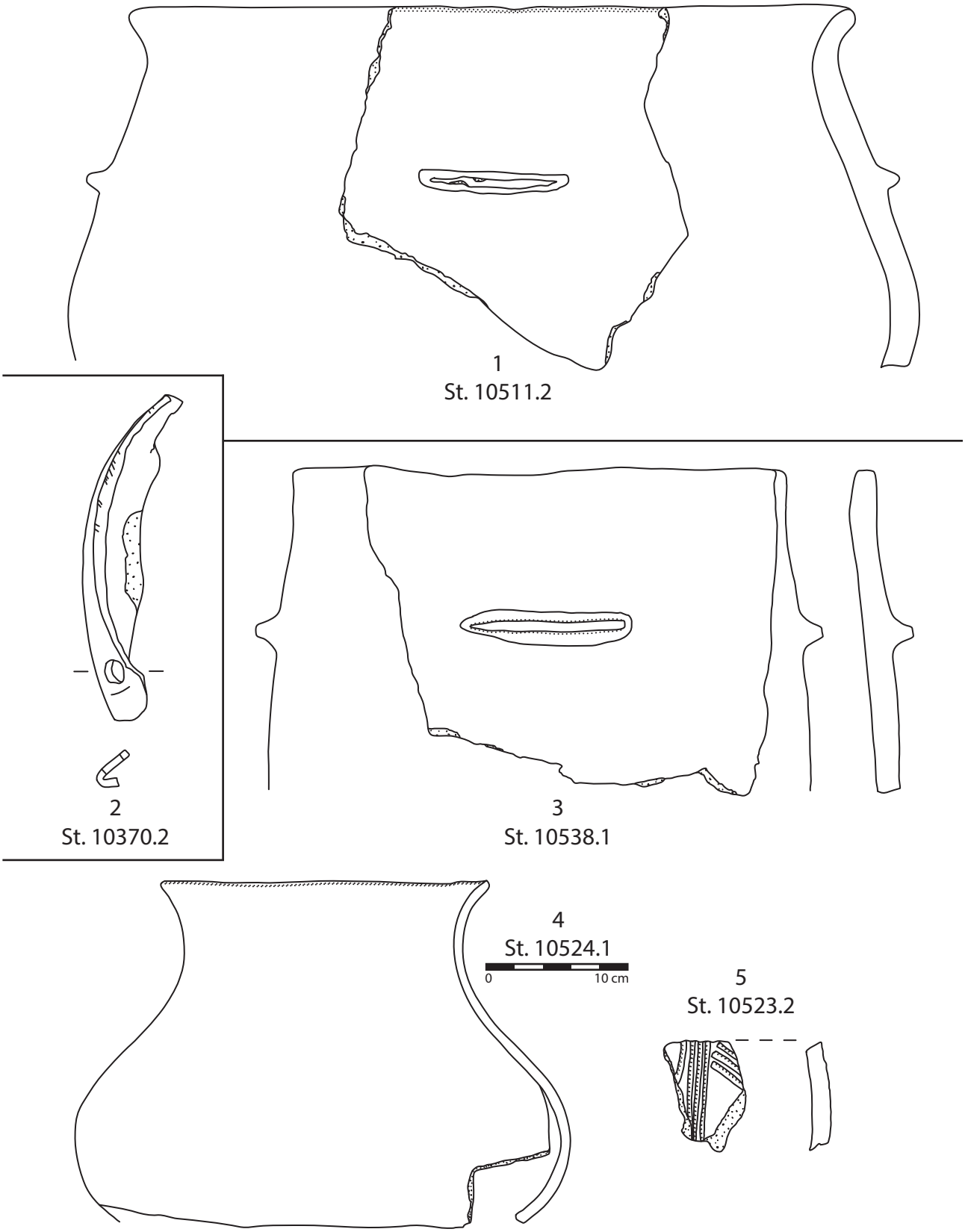
Tafel 24: 1. abgesägtes Hirschgeweihstangenstück, V5006, Sign. 20045–20053 (M 1:2). – 2. abgesägtes Hirschgeweihstangenstück, V5006, Sign. 20045–20046 (M 1:4). – 3. schädelechtes Geweihstangenstück mit Rosenstock, V5006, Sign. 20045–20046 (M 1:2). – 4. Tasse, V5006, Sign. 20045–20053 (M 1:2). – 5. Topf, V5006, Sign. 20050–20053 (M 1:2).



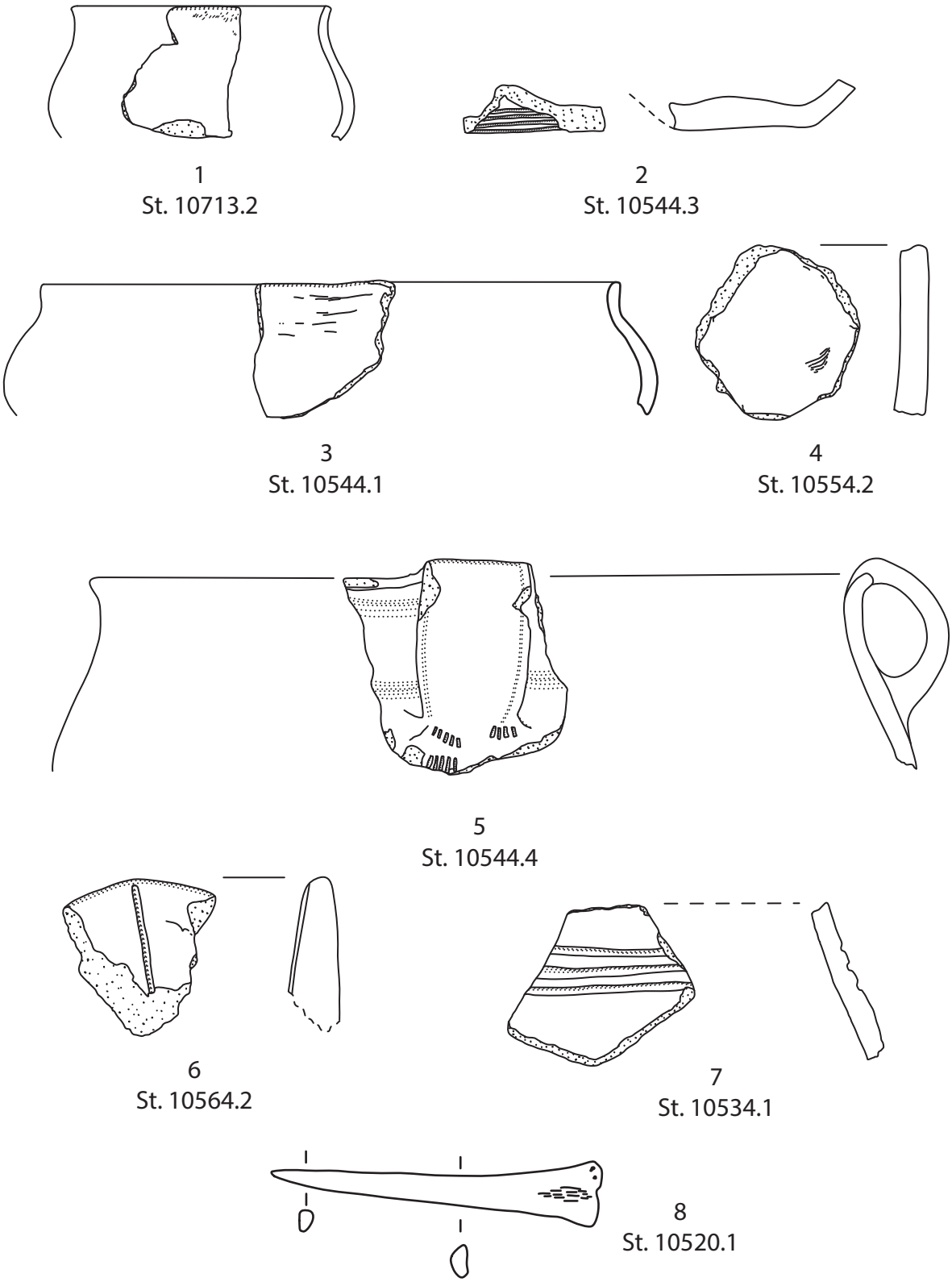
Tafel 25: 1, 3. V5009, Sign. 20006–20010 (M 1:2). 1: Henkelschale; 3: pyramidenstumpfförmiges Webgewicht. – 2. Topf, V5009, Sign. 2006–20010 (M 1:4).



Tafel 26: 1–4. V5200, Sign. 21001 (M 1:2). 1: Einzugsrandschale; 2: Schulterbruchstück mit Rillen und Dellen; 3: Kegelhalsgefäß; 4: Tondüsenfragment. – 5. Scherbe mit Ritzlinien, V5200/V5201, Sign. 21001/21004–21008 (M 1:2).



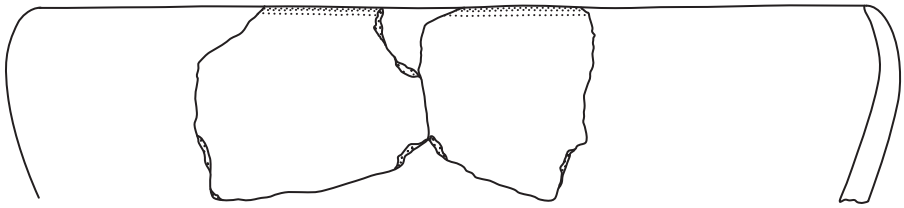
Tafel 27: 1. Topf, V5200/V5201, Sign. 21001/21004–21008 (M 1:2). – 2. durchbohrter Eberzahn, V5201, Sign. 21008 (M 1:2). – 3. Topf, V5202, Sign. 21009 (M 1:2). – 4. Kegelhalsgefäß, V5202, Sign. 21009 (M 1:4). – 5. Scherbe mit Rillenbündel, V5202(?) (M 1:2).



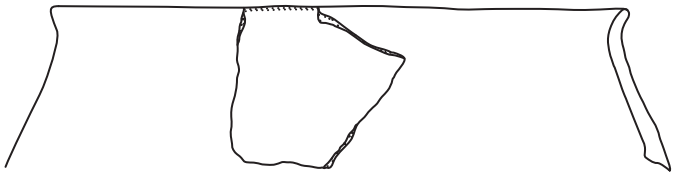
Tafel 28: 1. Tasse, V5203, Sign. 21018/21020? (M 1:2). – 2–6. V5203, Sign. 21020 (M 1:2). 2: Gefäßboden; 3: Schüssel; 4: Wandscherbe („Spielstein"); 5: Henkeltasse; 6: scheibenförmiges Webgewicht. – 7–8. V5203(?) (M 1:2). 7: Wandscherbe mit Rillen; 8: Knochenpfriem.



1
St. 10716.1

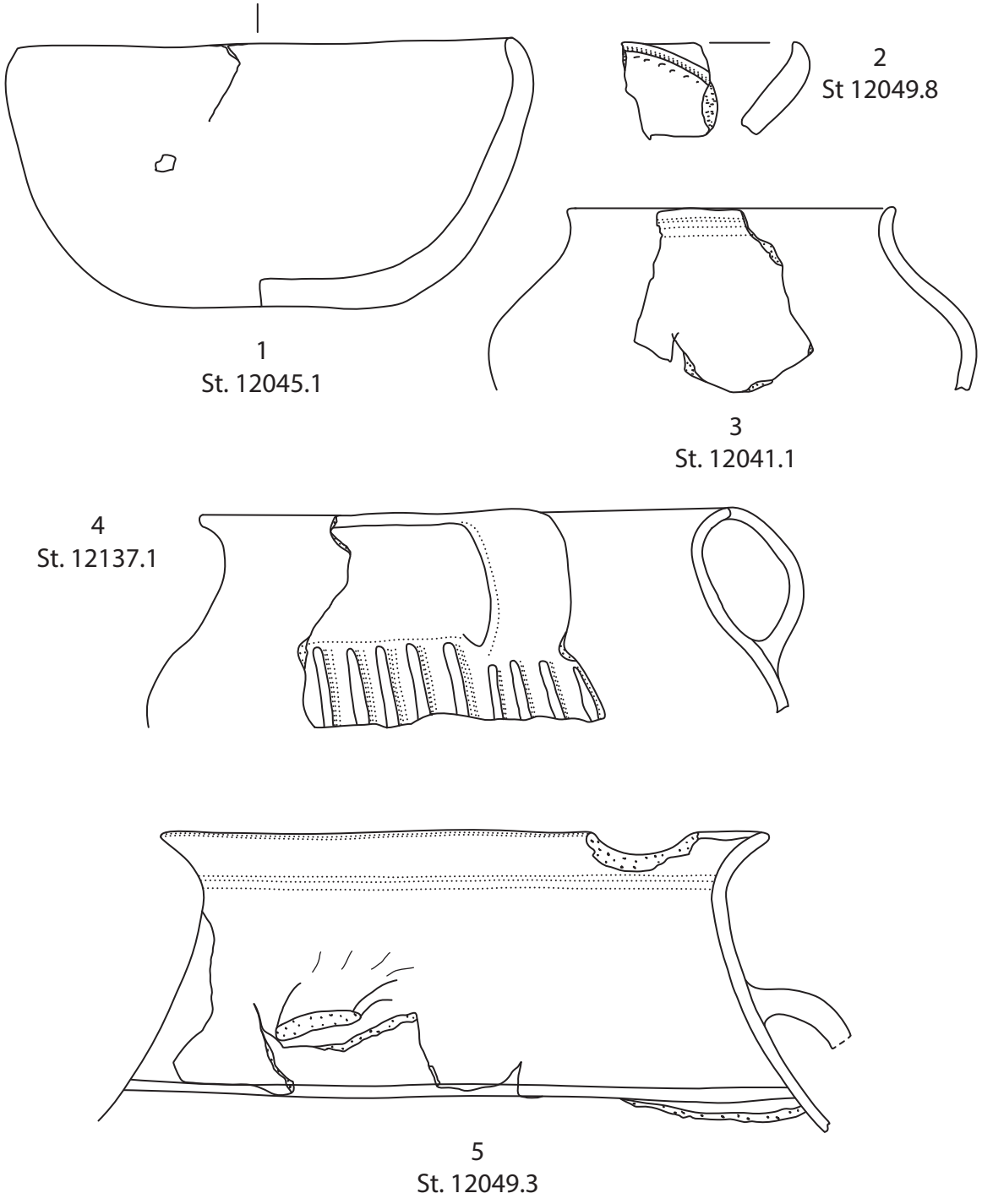


2
St. 10515.1

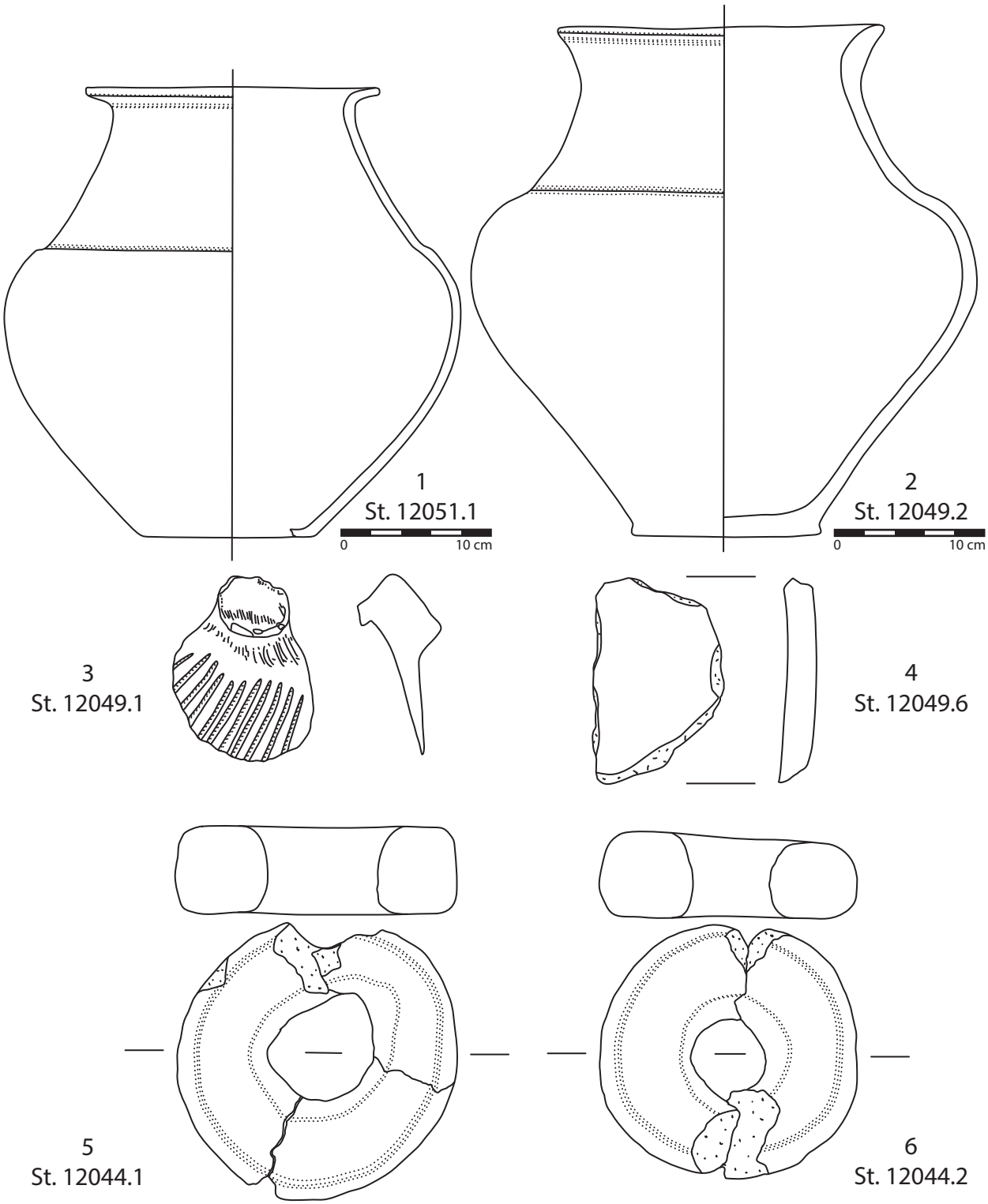


3
St. 10529.1

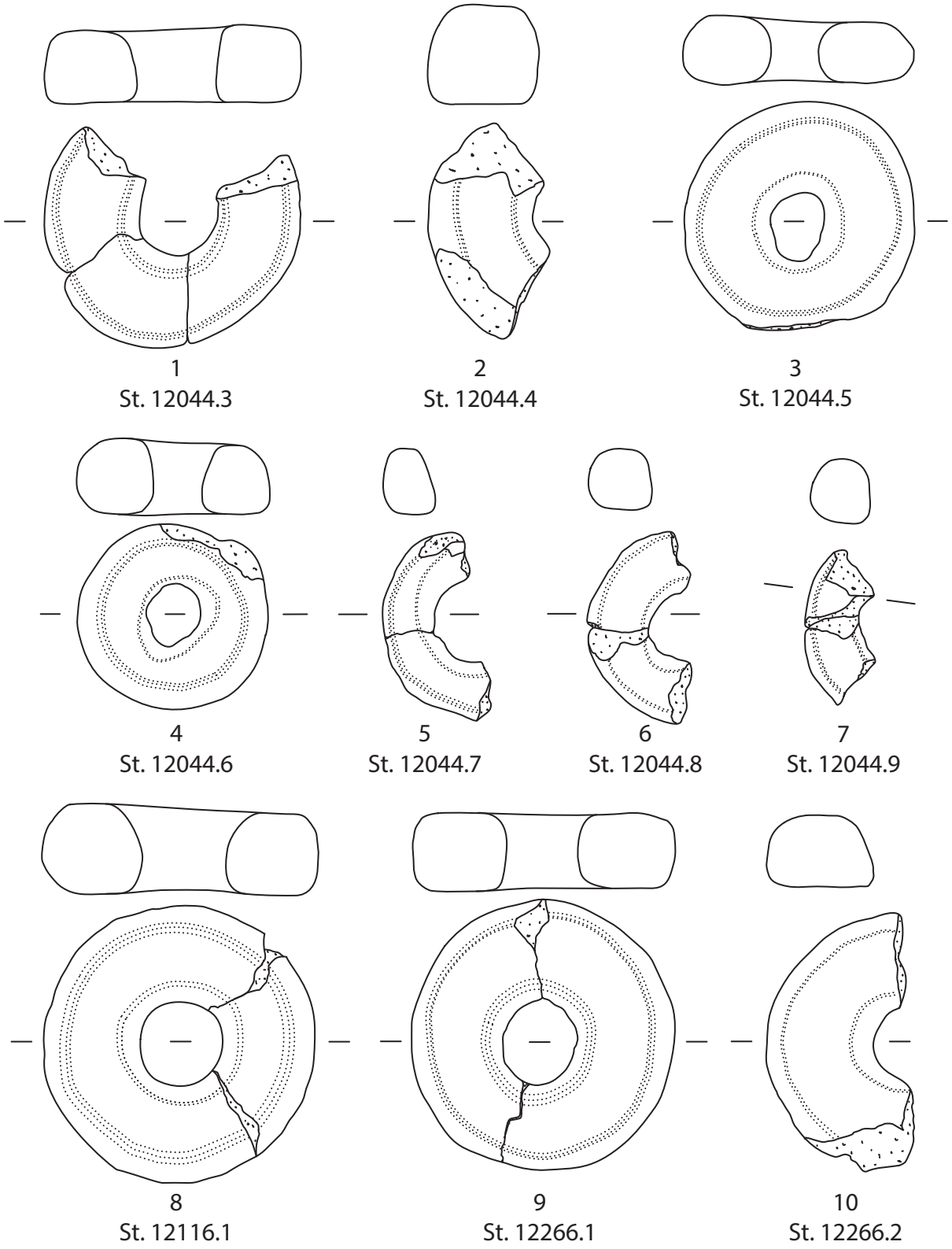
Tafel 29: 1. Bronzeobjekt, V5204, Sign. 21033–21034 (M 1:2). – 2. Einzugsrandschale, V5204(?) (M 1:2). – 3. Kegelhalsgefäß, V5204(?)/V5205(?) (M 1:2).



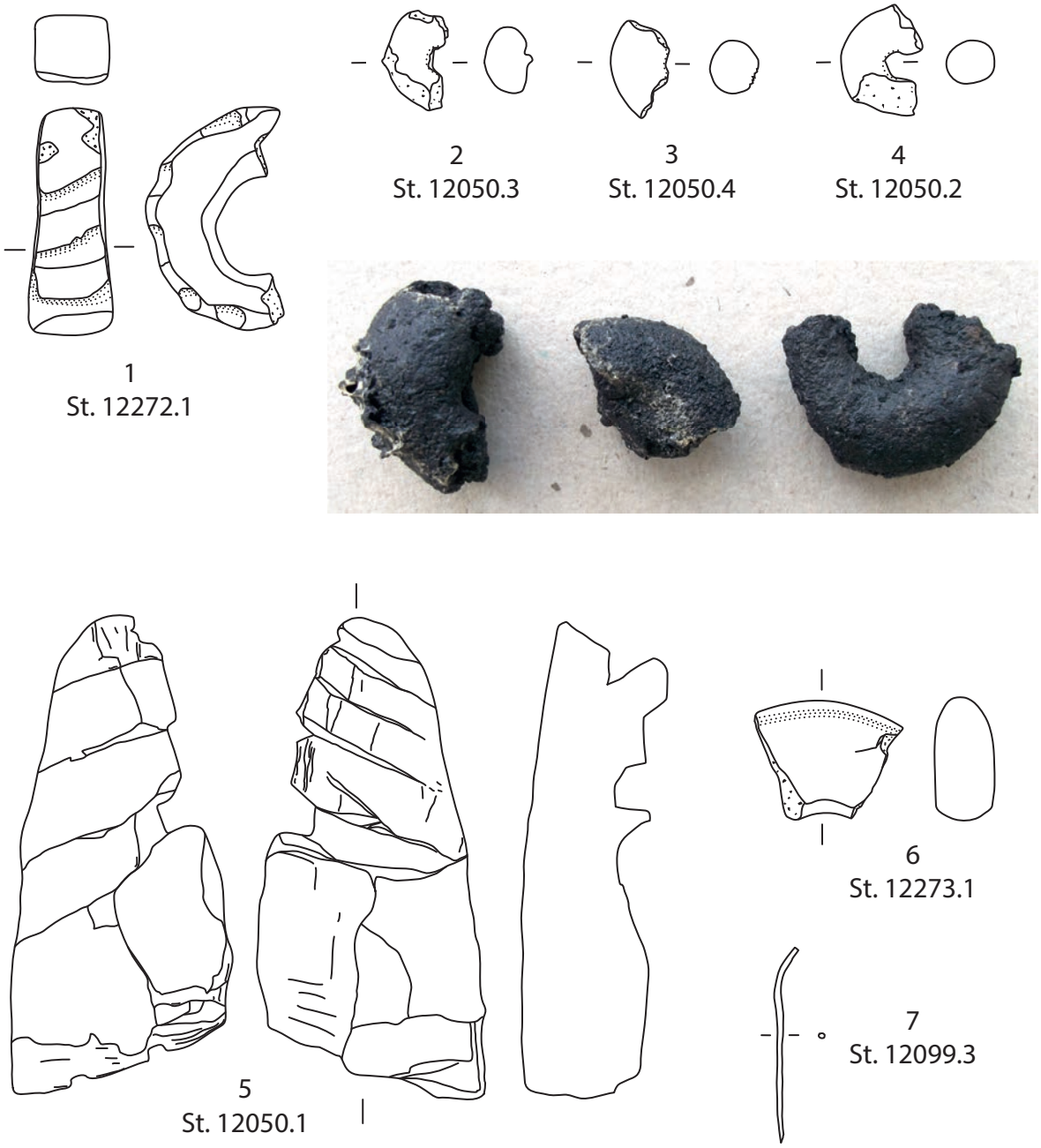
Tafel 30: 1, 2, 4, 5. V5400, Sign. 20501 (M 1:2). 1: Schale; 2: Turbanrandschale; 4: Henkeltasse mit Kannelur; 5: Kegelhalsgefäß mit Henkel. – 3. V5400, Tasse, keine genaue Schichtzuordnung möglich (M 1:2).



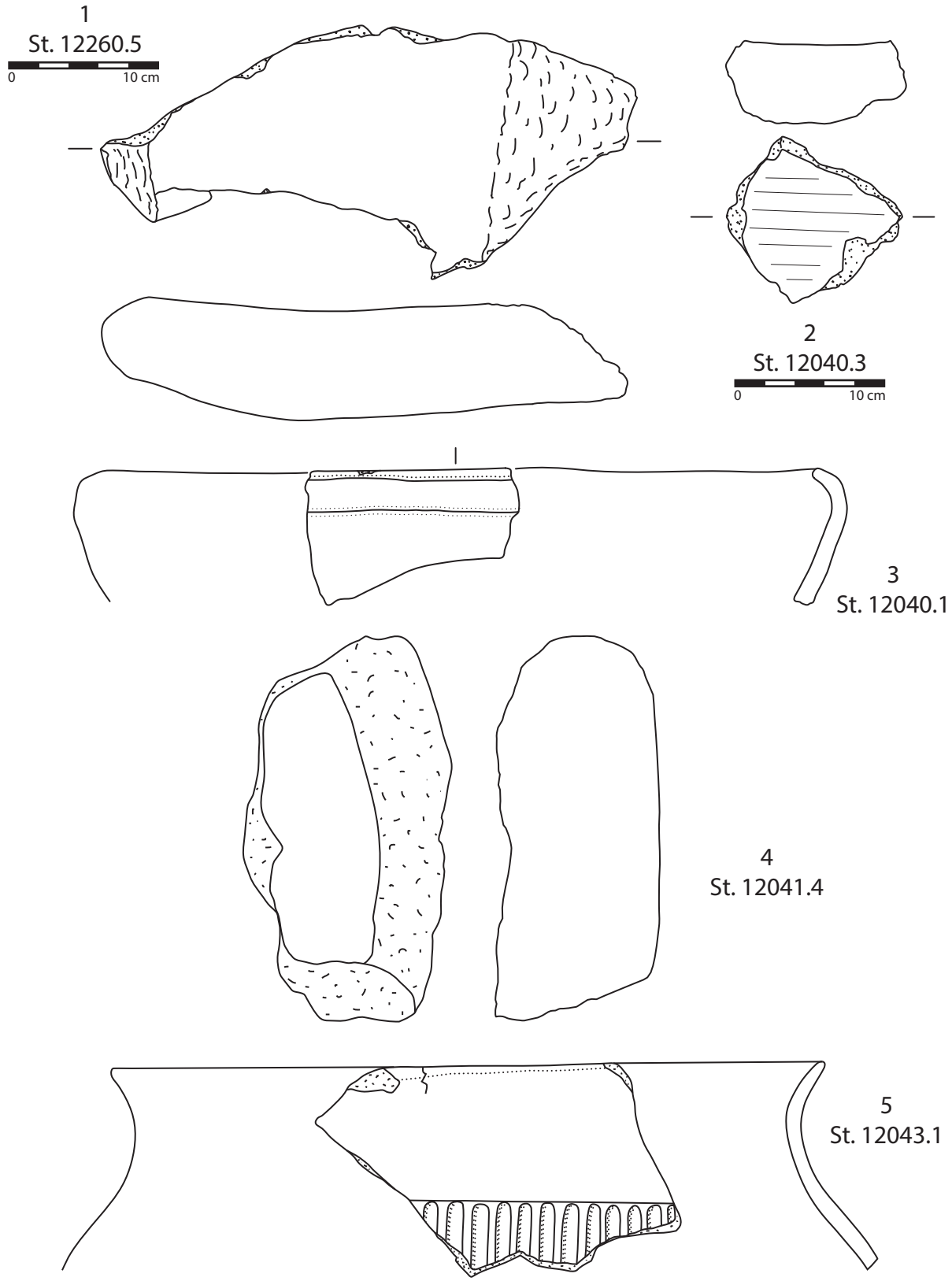
Tafel 31: 1. Kegelhalsgefäß (in Längshälfte halbiert), V5400, Sign. 20501–20502 (M 1:4). – 2. Kegelhalsgefäß, V5400, Sign. 20501 (M 1:4). – 3–6. V5400, Sign. 20501 (M 1:2): 3: Keramikdeckel(?) („Tonstempel"); 4: Wandscherbe (halbierter „Spielstein"); 5–6: Tonringe.



Tafel 32: 1–10. V5400, Sign. 20501, Tonringe (M 1:2).



Tafel 33: 1–6. V5400, Sign. 20501 (M 1:2). 1: verzierter Tonring; 2–4: verkohlte, ringförmige Getreideerzeugnisse aus Gersten- und Weizenmehl; 5. verkohltes Holzstück mit Hackspuren; 6: Tonring. – 7. Bronzenadel, V5400, Sign. 20502 (M 1:2).



Tafel 34: 1. Reibplattenbruchstück, V5400, keine genaue Schichtzuordnung (M 1:4). – 2. Reibplattenbruchstück, V5400, Sign. 20505 (M 1:4). – 3. Einzugsrandschale, V5400, Sign. 20505 (M 1:2). – 4. Reibplattenbruchstück, V5400 (M 1:2). – 5. Tasse mit Kannelur, V5400, Sign. 20501 (M 1:2).



1
St. 1206 (V26)

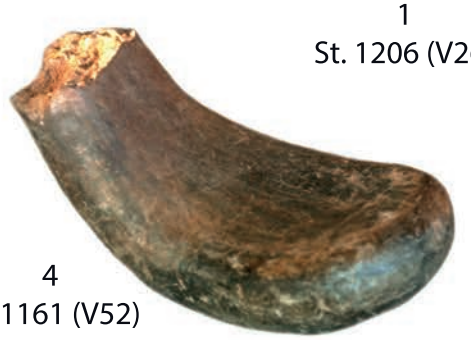


2
St. 978 (V26)





3
St. 1235 (V43)



4
St. 1161 (V52)



5
St. 71 (V31) Vorderseite



6
St. 71 (V31) Rückseite

Tafel 35: 1. V26: zerbrochener, vollständig zusammensetzbarer Vorratstopf, H. 51,8 cm, Rdm. 35 cm, FNr. St. 1206 (Sign. 00019). – 2. V26: längliches Bronzeobjekt mit quadratischem Querschnitt, erh. L. 4,4 cm, FNr. St. 978 (Sign. 00020). – 3. V43: Feuerbock, FNr. St. 1235 (Sign. 00042). – 4. V52: zungenförmiger Tonlappen, FNr. St. 1161 (Sign. 00067). – 5–6. V31: zungenförmiger Tonlappen, Vorder- und Rückseite; FNr. St. 71 (Sign. 00031).





1
St. 1604 (V106)





2
St. 1392 (V106)



3
St. 2897 (V198)

4
St. 749 (V119)

Tafel 36: 1. V106: Reibplattenteilstück, FNr. St. 1604. – 2. V106: Bronzeblechaufsatz (restauriert), Dm. 2,3 cm, FNr. St. 1392 (Sign. 00446). – 3. V198: Tondüsenfragment, FNr. St. 2897 (Sign. 00503). – 4. V119: Tondüsenfragment, FNr. St. 749 (Sign. 00451–00452).



1
St. 1840 (V171)



2
St. 2001 (V171)



3
St. 1977 (V198)





4
St. 4069 (V198)



5
St. 1863 (V156)

Tafel 37: 1. V171: restaurierter Vorratstopf, Rdm. 24 cm, FNr. St. 1840 (Sign. 10301–10302, 00488; Foto E. Weiss-Krejci). – 2. V171: Reibplattenteilstück, L. 11 cm, B. 10,5 cm, H. 3–3,7 cm, FNr. St. 2001. – 3. V198: scheibenförmiges Webgewicht, FNr. St. 1977 (Sign. 00502). – 4. V198: Feuerbockfragment, FNr. St. 4069, H. 14,6 cm. – 5. V156: halber, flacher Tonring mit Verzierung, Dm. 9,6 cm, FNr. St. 1863 (Sign. 00484).



1
St. 4489 (V407)





2
St. 5151
(V510)



3
St. 2013 (V195)

Tafel 38: 1. V407: vollständiger Vorratstopf, restauriert, H. 72–76 cm, Rdm. 55–59 cm, Bauchdm. 78 cm, Vol. ca. 202 l, FNr. St. 4489. – 2. V510: halbe Tonrassel, H. 4,5 cm, FNr. St. 5151 (Sign. 10338–10333). – 3. V195: zungenförmiger Tonlappen, grobe Ausführung, L. 9,3 cm, B. 3,3 cm, max. St. 2,5 cm, FNr. St. 2013 (Sign. 10219).





1
St. 4260
(V445)



2



2



2

2
St. 4437 (V445)



3
St. 4366
(V445)

Tafel 39: 1. V445: scheibenförmiges, verziertes Webgewicht, FNr. St. 4260 (Sign. 00087). – 2. V445: Tonmodell(bruchstück) von Scheibenrad mit Nabe?, Dm. 9 cm, St. 1–2 cm, FNr. St. 4437 (Sign. 00087). – 3. V445: Griffangelmesser, FNr. St. 4366 (Sign. 00087).



1
St. 4949, 4994, 5205 (V479)



2
St. 5207 (V479)



3
St. 5193 (V479)



4
St. 5193 (V479)

Tafel 40: 1. V479: großes Kegelhalsgefäß, restauriert, H. 42,5 cm, Rdm. 20,5 cm, Bauchdm. 35 cm, auf Deponierungshorizont Sign. 10476 abgestellt (Foto E. Weiss-Krejci). – 2. V479: Holzkohle und große Hüttenlehmbrocken aus dem Bereich der Mulde, FNr. St. 5207 (Sign. 00093 und 00094). – 3–4. V479: zylindrischer Sandstein (Arbeitsstein/Ambossstein) mit Feuereinwirkung, H. 18,6 cm, ovaler Querschnitt 15 × 10 cm (FNr. St. 5193), auf Deponierungshorizont Sign. 10476 abgestellt. 3: Seitenansicht; 4: Draufsicht auf die schräge, versinterte Arbeitsfläche mit Benützungsspuren.



Tafel 41: 1. V519: beidseitig abgesägtes Hirschgeweihstück, L. 13 cm, Dm. 3,7–4,1 cm, FNr. St. 22075 (Sign. 00180). – 2. V519: Geweihhammer mit Lochung, FNr. St. 5230 (Sign. 00184).



Tafel 42: 1. V519: Seitenstange von Pferdezaumzeug aus Geweihspross, oberes Ende fehlt, FNr. St. 22159 (Sign. 00181). – 2. V523: Siebgefäß, ehemals mit Bandhenkel, FNr. St. 5355 (Sign. 00186). – 3. V526: zungenförmiger Tonlappen, FNr. St. 5337 (Sign. 10343–00191). – 4. V628: weißes Silexgerät, jungpaläolithisch, FNr. St. 8402 (Sign. 10253 oder 10254). – 5. V628: Bronzeniet, Dorn abgebrochen, FNr. St. 8668 (Sign. 00229).



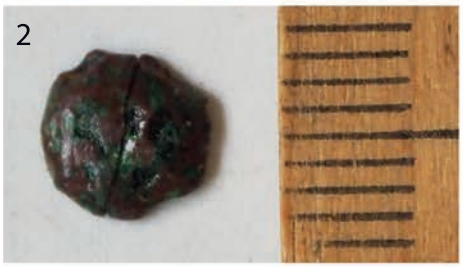


1
St. 8617 (V628)

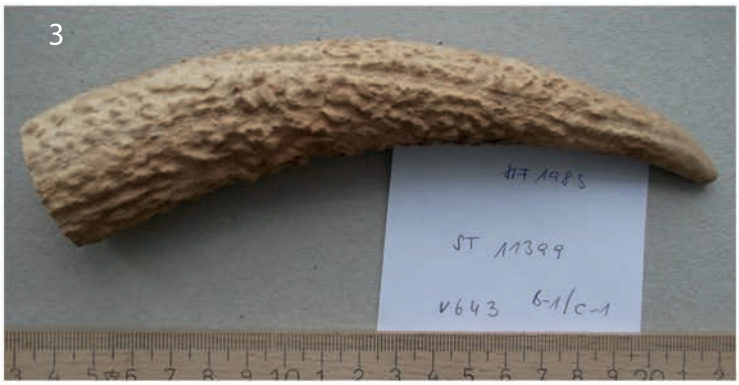


2
St. 11392 (V643)









3
St. 11399 (V643)

Tafel 43: 1. V628: verzierter Tonring, FNr. St. 8617 (Sign. 00230). – 2. V643: Bronzeniet, Dorn abgebrochen, Dm. 7 mm, FNr. St. 11392 (Sign. 00244). – 3. V643: abgesägter Hirschgeweihspross, L. 19 cm, FNr. St. 11399 (Sign. 00244).



Tafel 44: 1. V643: zungenförmiger Tonlappen, L. 9,1 cm, B. 4,2 cm, St. 2 cm, FNr. St. 11389 (Sign. 10228). – 2. V662: zwei Sandsteine mit Belag, FNr. St. 8594. – 3. V662: vollständiger Läufer aus Sandstein, FNr. St. 8485 (Sign. 00261–00262).



1
St. 11248 (V662)







3
St. 11843 (V704)



2
St. 8427 (V667)



4
St. 13082 (V729)



Tafel 45: 1. V662: vollständiges Gefäß eines Drillingsgefäßes mit Ritzlinienverzierung, restauriert, FNr. St. 11248 (Sign. 00261?). – 2. V667: Knochenpfriem, L. 7 cm, FNr. St. 8427 (Sign. 00264). – 3. V704: schwarz poliertes Tonobjekt mit Lochung und V-förmiger Einkerbung am erhaltenen Abschluss, FNr. St. 11843 (Sign. 00276–00278). – 4. V729: Klopfstein, FNr. St. 13082.



Tafel 46: 1. V704: korrodierte Bronzefragmente, max. L. 3,5 cm, St. 0,3 cm, FNr. St. 11755 (Sign. 00278). – 2. V715: zungenförmiger Tonlappen, L. 11 cm, FNr. St. 12943 (Sign. 00619). – 3. V812: versteinertes Holz, L. 7,5 cm, B. 4,5 cm, H. 3 cm, FNr. St. 21243 (Sign. 10409–10411). – 4. V812: rhomboider Limonit (Brauneisenerz), L. 5 cm, B. 2,5 cm, H. 1,6 cm, FNr. St. 21280 (Sign. 10409–10411).





1
St. 21281 (V813)



2
St. 21237 (V813)







4
St. 21394 (V868)





3
St. 21293 (V813)



5
St. 21403.1 (V891)

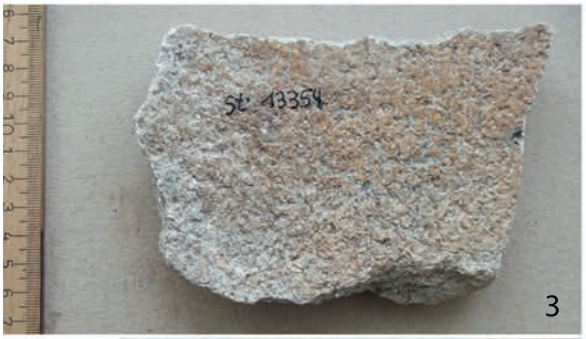
Tafel 47: 1. V813: vierspitziges Geweihgerät, L. 13,8 cm, FNr. St. 21281 (Sign. 01333). – 2. V813: Feuerbockbruchstück mit erhaltener Delle, L. 5 cm, B. 5,5 cm, St. 3,5 cm, FNr. St. 21237 (Sign. 01333). – 3. V813: scheibenförmiges Webgewicht, FNr. St. 21293 (Sign. 01331–10403). – 4. V868: fladenförmiges, stark vegetabil gemagertes Lehmobjekt, 17 × 15 cm, St. 4 cm, FNr. St. 21394. – 5. V891: kleine Schale, Schöpfgefäß?, FNr. St. 21403.1 (Sign. 00406).



1
St. 13320, 13322, 13345, 13349, 13350 (V841)

2
St. 13354, 13285 (V841)











3
St. 13354 (V841)



Tafel 48: 1–3. V841, Funde aus der untersten Skelettlage (Skelettlage 1). 1: doppelkonisches Gefäß, in großen Teilstücken vorgelegen, Bauchdm. 27 cm, H. 20 cm; 2: zu einer Schale eingekürzter Topf, mit Bodenloch versehen und beim Kopf von Frau SK13 abgestellt, max. erh. Dm. 32 cm, Lochdm. 3 cm; 3: Reibplattenteilstück, Granit, absichtsvoll in rechteckige Form gebracht, Sedimentreste auf Reibfläche (Vorder- und Rückseite, Seitenansicht), L. 13,7 cm, B. 9 cm, St. 2–3 cm, befand sich in Gefäß mit Bodenloch (Taf. 48/2).



1
St. 13331 (V841)



2
St. 13346 (V841)





3
St. 13331 (V841)



4
St. 13343 (V841)





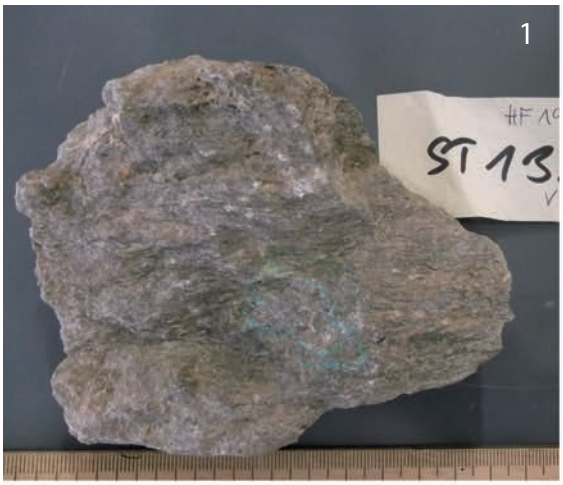
6
St. 13285 (V841)



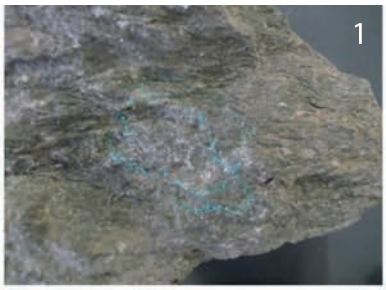


5
St. 13332 (V841)

Tafel 49: 1–6. V841, Funde aus den Skelettlagen 1 und 2. 1–2. Sandsteinplatten mit Feuereinwirkung: 1: FNr. St. 13331 (L. 13,5 cm); 2: FNr. St. 13346 (L. 17,5 cm, B. 9 cm; St. 2–4,5 cm); 3: gesägtes Hornzapfenteilstück; 4: unvollständiges, pyramidenstumpfförmiges Webgewicht (erh. H. 19,5 cm); 5: D-förmig zugerichtete Wandscherbe, max. H. 12,5 cm, max. B. 14 cm, Wst. 8 mm; 6: rechteckige Platte aus einer Sandsteinkonkretion, starker Hitze ausgesetzt, Schlacke und/oder aufgeschmolzenes Gestein an der Oberseite.



3
St. 13325 (V841)



1
St. 13285 (V841)



2
St. 13282 (V841)







4
St. 13143 (V841)



5
13263, 13286 (V841)

Tafel 50: 1–5. V841, Funde aus den Skelettlagen 2–4. 1: plattenförmiger, geschieferter Gneis mit grünem Abdruck (Kupfer/Bronze); 2: Gusskuchenbruchstück, Bronze?; 3: zugeschlagener Reibplattenteil (Läufer? Pegmatit) mit Feuereinwirkung, L. 21 cm, B. 13 cm; 4: vollständiges Miniaturkegelhalsgefäß, Rdm. 9 cm, Bauchdm. 14 cm, H. 12 cm; 5: grobkeramische, verzierte Henkeltasse, Rdm. 10 cm, H. 10 cm.



1
St. 13146, 13147, 13148 (V841, SK 1)







2
St. 21389 (V871)

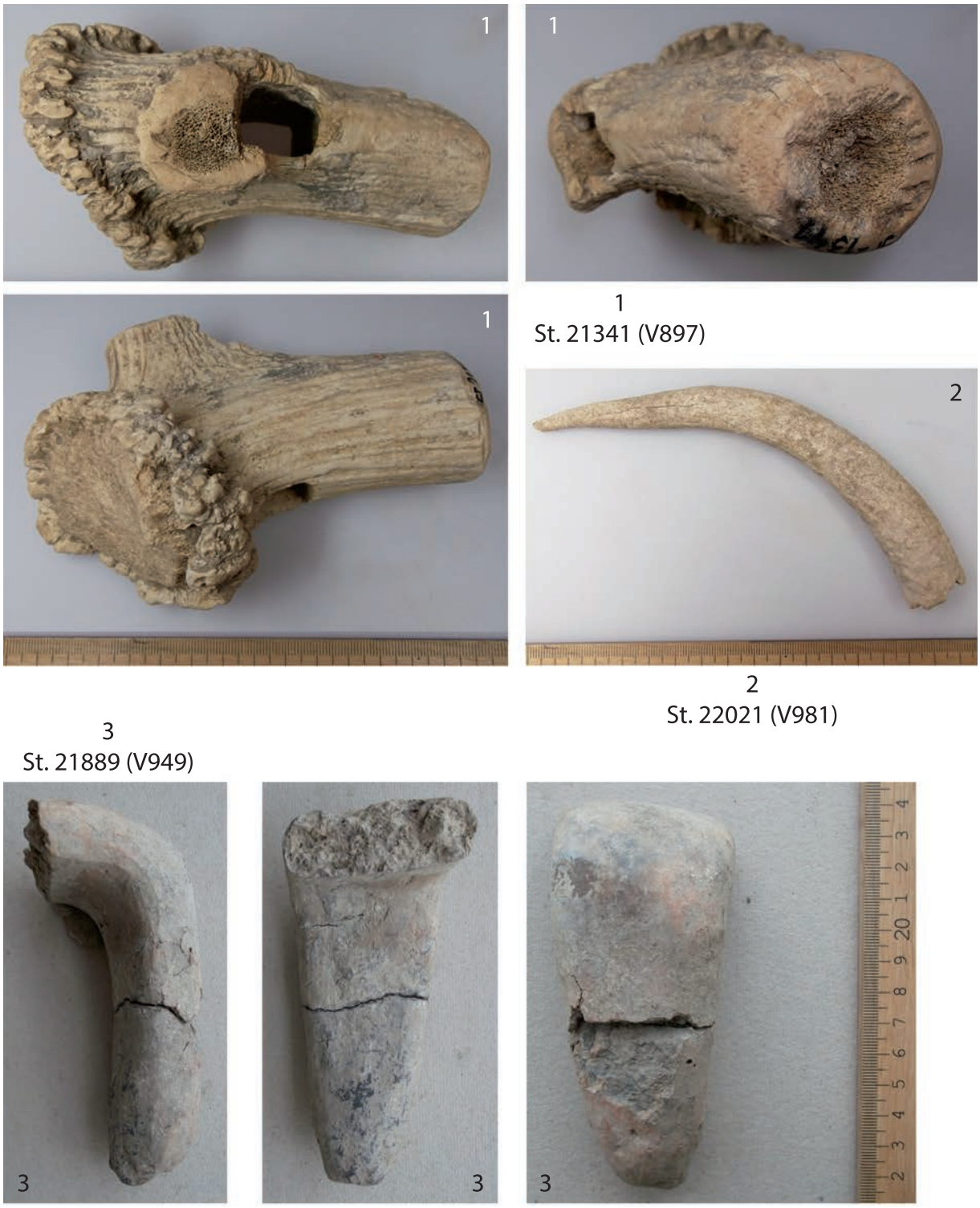


4
St. 21449 (V894)



3
St. 21444.3 (V891)

Tafel 51: 1. V841: Inhalt aus dem (ledernen?) Zubehörbeutel von Mann SK1 (IF2071), wahrscheinlich von einem Gürtel gehalten: Hängeschleifstein FNr. St. 13148; Bronzemesser FNr. St. 13146; drei bronzene Angelhaken FNr. St. 13147. – 2. V871: halbe Reibplatte, feuerbeeinflusst, erh. L. 21 cm, B. 30,5 cm, H. 7,7–9 cm, FNr. St. 21389 (Sign. 10422). – 3. V891: Gussformfragment aus Sandstein, FNr. St. 21444.3 (Sign. 10441–00403). – 4. V894: scheibenförmiges Webgewicht, FNr. St. 21449 (Sign. 00429–10450).



Tafel 52: 1. V897: Geweihhammer, L. 15 cm, FNr. St. 21341 (Sign. 00409). – 2. V981: Geweihspross, L. 16 cm, Dm. 2,5 cm, FNr. St. 22021 (Sign. 08004–10452). – 3. V949: grober, zungenförmiger Tonlappen, L. 11,6 cm; max. Br. 5,2 cm, FNr. St. 21889 (Sign. 00375).



1
St. 22013 (V949)





3
St. 21955 (V949)



2
St. 21746 (V949)



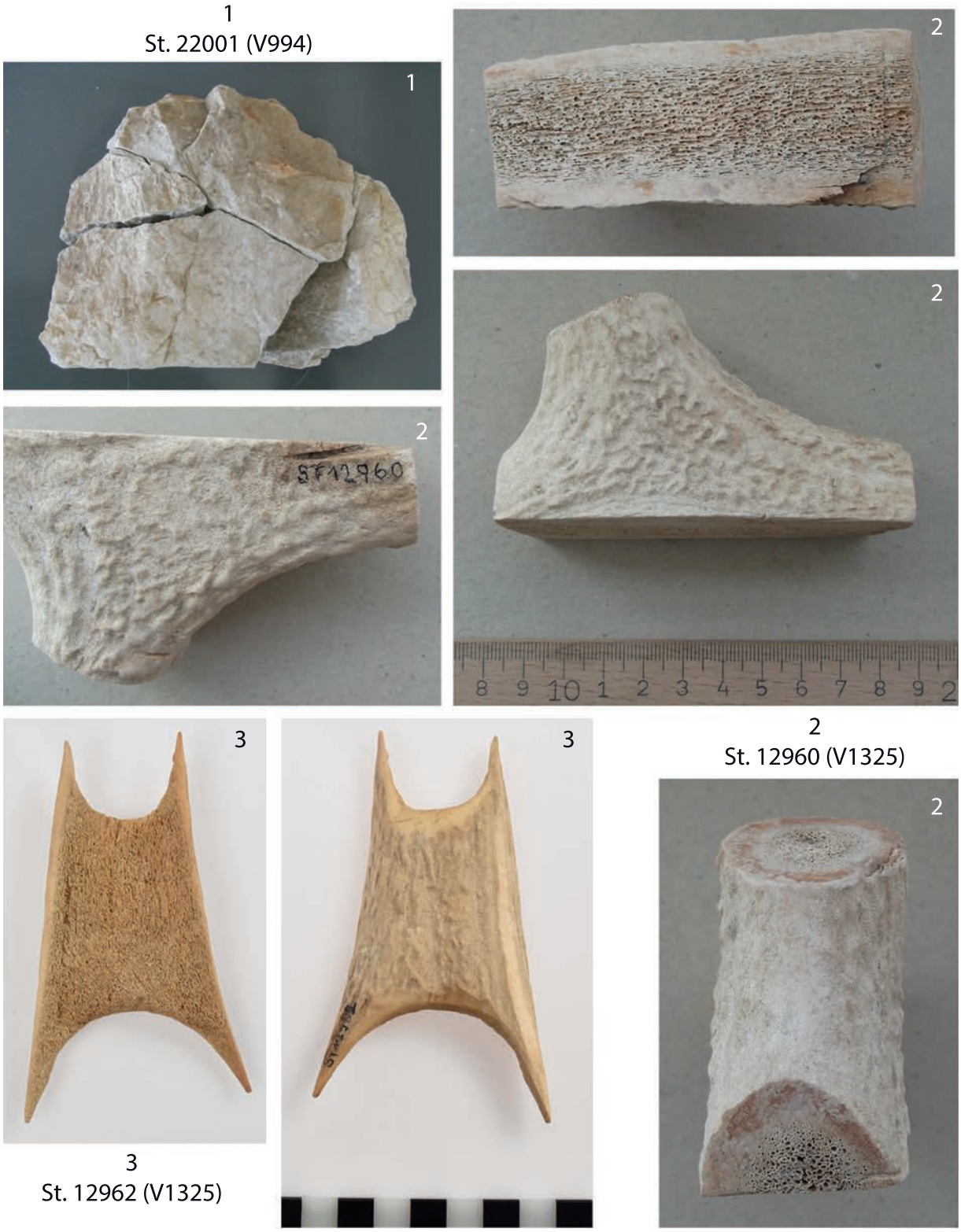


5
St. 22217 (V994)
(Rückseite)



4
St. 22117 (V994)
(Vorderseite)

Tafel 53: 1. V949: Wandbruchstück mit scharf gezogenen, senkrechten Riefenbündeln, FNr. St. 22013 (Sign. 10206). – 2. V949: Reibplattenteilstück (Granit), erh. L. 20 cm, erh. B. 12 cm, St. 11 cm, FNr. St. 21746 (Sign. 00375). – 3. V949: vollständiger Läufer einer Reibplattengarnitur, L. 32 cm, B. 17,8 cm, max. St. 6,2 cm, FNr. St. 21955 (Sign. 10206). – 4–5. V994: halbierte Sandsteinplatte (Schleifplatte) mit Feuerspuren, L. 10,5 cm, B. 11,1 cm, St. 0,9 cm, FNr. St. 22117 (Sign. 10232).



Tafel 54: 1. V994: zerborstene Kalksteinplatte, FNr. St. 22001 (Sign. 10238). – 2. V1325: abgesägtes Geweihstück, Abfall?, L. 9 cm, B. 3,5 cm, St. 5,5 cm, FNr. St. 12960 (Sign. 10391). – 3. V1325: vierspitziges Geweihgerät, L. 11,1 cm, B. 6,6 cm, St. 1,5 cm, FNr. St. 12962 (Sign. 00357–10388).

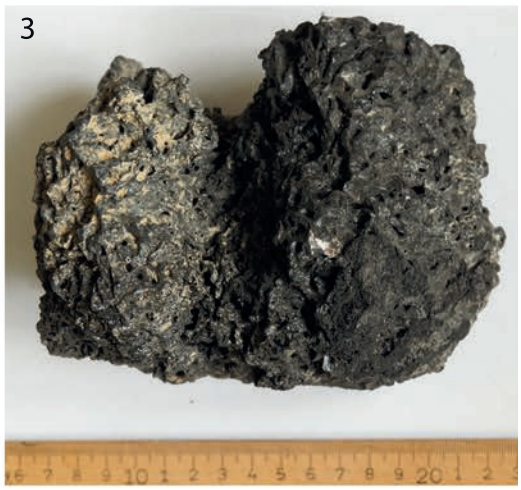


1
St. 7637 (V1138)

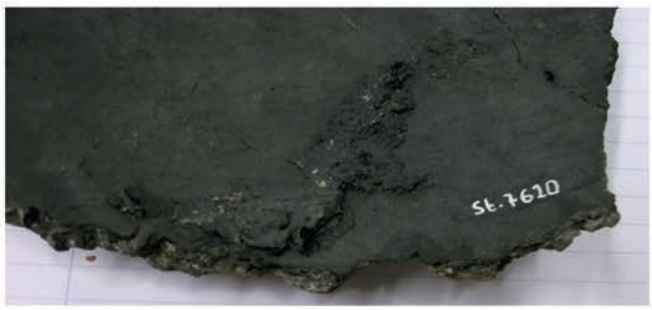


2
St. 7639 (V1138)





3
St. 7555 (V1138)



4
St. 7620 (V1138)



5
St. 7637 (V1138)

Tafel 55: 1–4. V1138/V1212: Zwei zerscherbte Großgefäße bzw. Kochtöpfe, die mit überhitztem Birkenpech gefüllt waren (Sign. 10135). Diese Überhitzung führte nicht nur zum blasig-schlackigen Zustand, sondern auch zum Verlust der kennzeichnenden Eigenschaften von Pech (Kleben, Dichten). 1, 2, 4: Scherben mit innenseitig anhaftenden Resten dieses Inhalts (FNrn. St. 7620, 7637, 7639); 3: Inhalt aus diesen Gefäßen (große Teilstücke des überhitzten Birkenpechs, darunter auch die Pechknolle FNr. St. 7555, Maße: 14 × 10 × 10,5 cm, Gewicht: 539 g (Sign. 00301). – 5. V1138 Tonringfragment, FNr. St. 7637 (Sign. 10134).



1
St. 7671 (V1138)



2
St. 7642 (V1138)



3
St. 7642 (V1138)



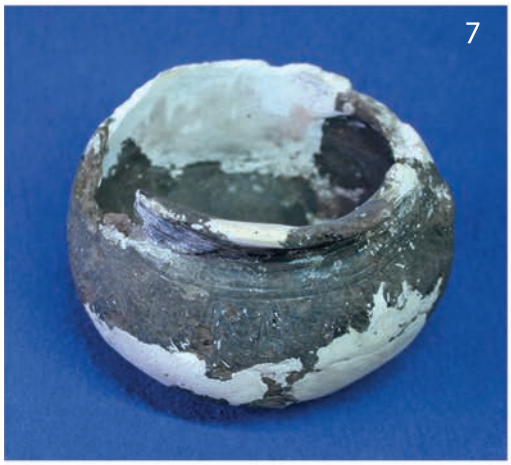
4
St. 7642 (V1138)



5
St. 7637 (V1138)



6
St. 7639 (V1138)





7
St. 7558 (V1212)

Tafel 56: 1. V1138: Bruchstücke von zwei pyramidenstumpfförmigen Webgewichten, FNr. St. 7671 (Sign. 10135). – 2. V1138: scheibenförmiges Keramikbruchstück, FNr. St. 7642 (Sign. 10134). – 3. V1138: Silex, FNr. St. 7642 (Sign. 10134). – 4. V1138: unbearbeiteter, durch Wasser verrundeter Sandstein, L. 24 cm, FNr. St. 7642 (Sign. 10134). – 5. V1138: kleine Steinplatte, L. 6 cm, B. 5 cm, FNr. St. 7637 (Sign. 10134). – 6. V1138: Rötelstein, L. 7 cm, FNr. St. 7639 (Sign. 10134). – 7. V1212: Miniaturgefäß mit flächiger Ritzzier, Rdm. 6 cm, Bauchdm. 9 cm, H. 6 cm, FNr. St. 7558 (Sign. 00301).



1
St. 7537, 7561 (V1212)



2
St. 7561 (V1212)







3
St. 7657 (V1212)



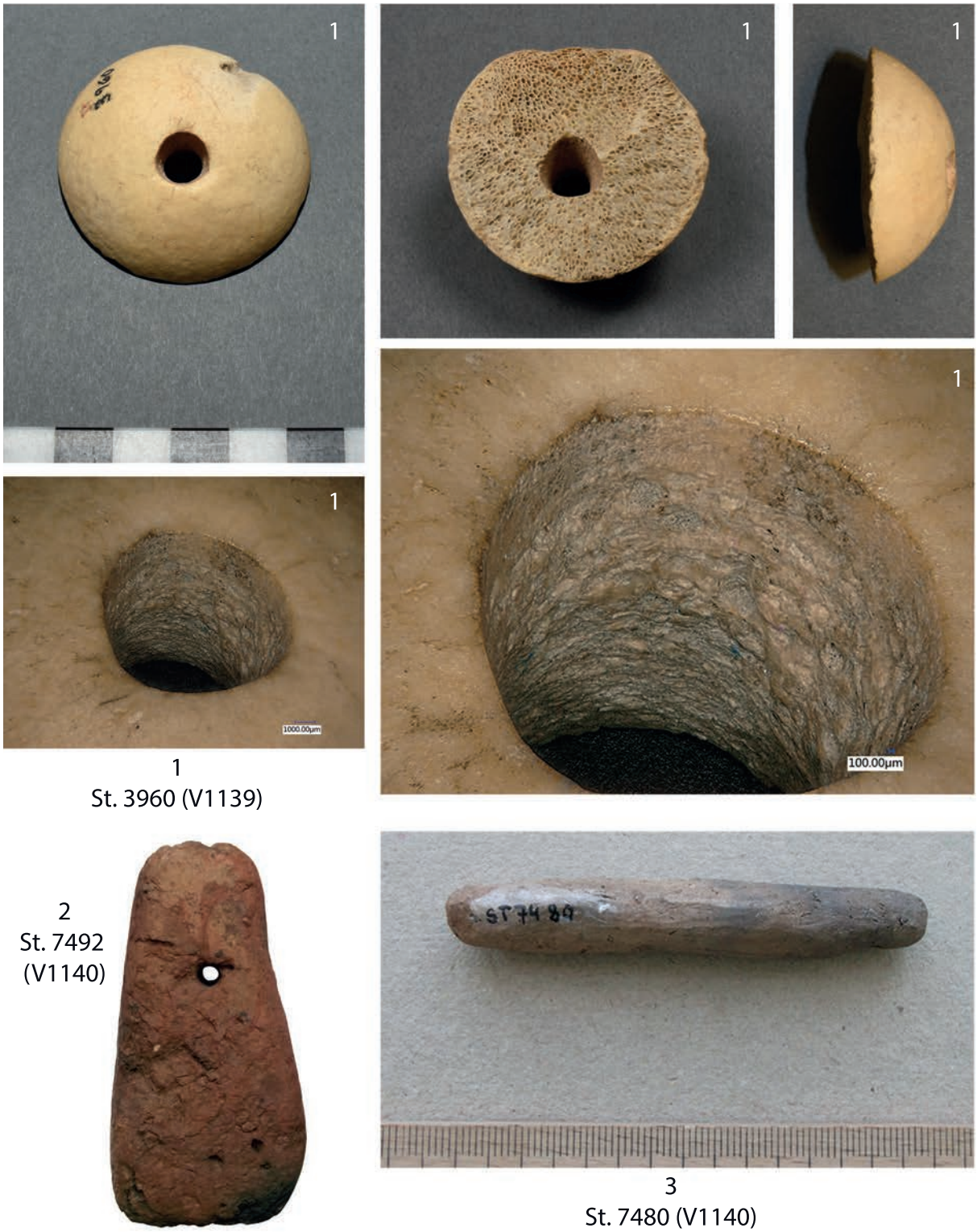


4
St. 3948 (V1139)



5
St. 3961, 3962 (V1139)

Tafel 57: 1. V1212: vollständig ergänzte Backplatte, rek. Dm. 19,5 cm, FNr. St. 7537, 7561 (Sign. 00301). – 2. V1212: Feuerbockbruchstück, FNr. St. 7561 (Sign. 00301). – 3. Sandsteinplatte, gebrochen, rötlich gefärbt durch Feuereinwirkung, Schlacke und/oder aufgeschmolzenes Gestein an Oberseite, FNr. St. 7657 (Sign. 00301). – 4. V1139: Bernsteinperle, abgerundete Quaderform mit Patina, beschädigt (Oberteil fehlt), erh. L. 1,95 cm, B. 1,15 cm, St. 0,85 cm, FNr. St. 3948 (Sign. 10053). – 5. V1139: zerbrochene Reibplatte, FNr. St. 3961, 3962 (Sign. 10051–10053).



Tafel 58: 1. V1139: gelochte Knochenscheibe aus Gelenkskopf von Wildrind (Auerochse), Dm. 4,6–4,9 cm, H. 1,8 cm, Lochdm. 0,9 cm (Oberseite), 1,1 cm (Unterseite; Sign. 10051–10053). Unten links und rechts: Bohrgrat von halbkugeliger Oberseite (Fotos: oben links, Mitte, rechts: F. Ostmann, OREA/ÖAW; unten links und rechts: Digitalmikroskop VHX6000 der Fa. Keyence Solutions, Belgien, Fotonrn. VHX000062 und VHX000063). – 2. V1140: vollständiges pyramidenstumpfförmiges Webgewicht, FNr. St. 7492 (Sign. 10222). – 3. V1140: vollständige Tonstange, L. 7,6 cm, Dm. 0,9–1,1 cm, FNr. St. 7480 (Sign. 10222).



1
St. 7952 (V1140)



2
St. 7483 (V1140)



3
St. 9163, 9208 (V1141)
Innenseite



4
St. 9163, 9208 (V1141)
Rückseite

Tafel 59: 1. V1140: Geweihhammer, beschädigt, L. 13,5 cm, B. 4 cm, H. 4,4–5,8 cm, FNr. St. 7952 (Sign. 10201). – 2. V1140: menschenförmiger Geweihanhänger mit Bronzeringlein, L. 2,5 cm, B. 1,4 cm, St. 0,2 cm, FNr. St. 7483 (Sign. 10202). – 3–4. V1141: Teilstück einer großen, flachkonischen Schale oder eines großen Deckels, FNr. St. 9163, 9208 (Sign. 09030).



1
St. 9212 (V1141)

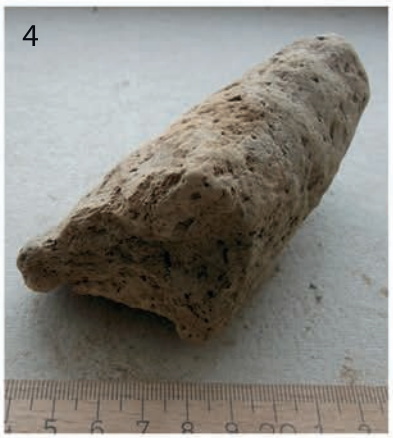


2
Fnr. 48, 100, 102 (NHM) (V1141)





3
St. 11266 (V2648)

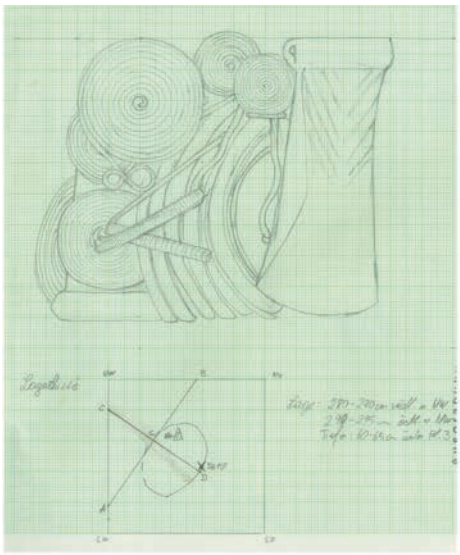




4
St. 20521 (V2784)



Tafel 60: 1. V1141: Klopfstein (und Schleifstein?), FNr. St. 9212. – 2. V1141: Tierknochen (unbestimmt) mit Bronzeabdrücken(?) (vom Naturhistorischen Museum Wien vergebene FNrn. 48, 100, 102; Sign. 09020). – 3. V2648: Schlacke, FNr. St. 11266, aus der Schicht mit Brandschutt von der Grubensohle (Sign. 00255). – 4. V2784: große Hüttenlehmbrocken, Architekturteile, FNr. St. 20521 (auf der Grubensohle, Unterkante von Sign. 00328).



1
St. 20523 (V2784)





Tafel 61: V2784: Bronzehort aus vollständigen und neuwertigen Bronzegegenständen (zehn Armreifen, zwei Paar Brillenfibeln, ein Paar Harfenfibeln, zwei Tüllenbeile und zwei Gussklumpen), FNr. St. 20523, IF1313 (versteckt hinter der Grubenwand im Sohlebereich).



Tafel 62: V2784: Arbeitssteinverband auf der Grubensohle. 1–3. Multifunktionsgeräte mit Schlag-, Stoß-, Klopf- und Reibspuren, 1 und 3 thermisch verändert, FNr. St. 20521. – 4. Glättstein, FNr. St. 20547. 1, 3, 4: feinkörnige Sandsteingerölle; 2: feinkörniges Quarzitgeröll.



1
St. 20521 (V2784)



2
St. 20521/
Stknr. 16625
(V2784)



3
St. 20546 (V2784)



4
St. 20519 (V2784)





Tafel 63: V2784. 1–2. Arbeitssteinverband auf der Grubensohle (Fortsetzung): 1: zugerichtetes Plattenfragment aus Gneis und unbearbeitetes Quarzgeröll, FNr. St. 20521; 2: gesprungener Hitzestein (feinkörniges Quarzitgeröll, primäre Funktion: Klopfstein), FNr. St. 20521. – 3. vollständiger Tonring, Dm. 8,5 cm, Lochdm. 3,5 cm, St. 2,4 cm, FNr. St. 20546 (Sign. 00330). – 4. Reibplatte, Unterlieger (Granit), max. L. 31 cm, B. 16–18,5 cm, max. H. 6,7 cm, FNr. St. 20519 (Sign. 00330–00328).



1
St. 16022.1 (V5000)







3
St. 16018.5 (V5000)



2
St. 16018.6 (V5000)

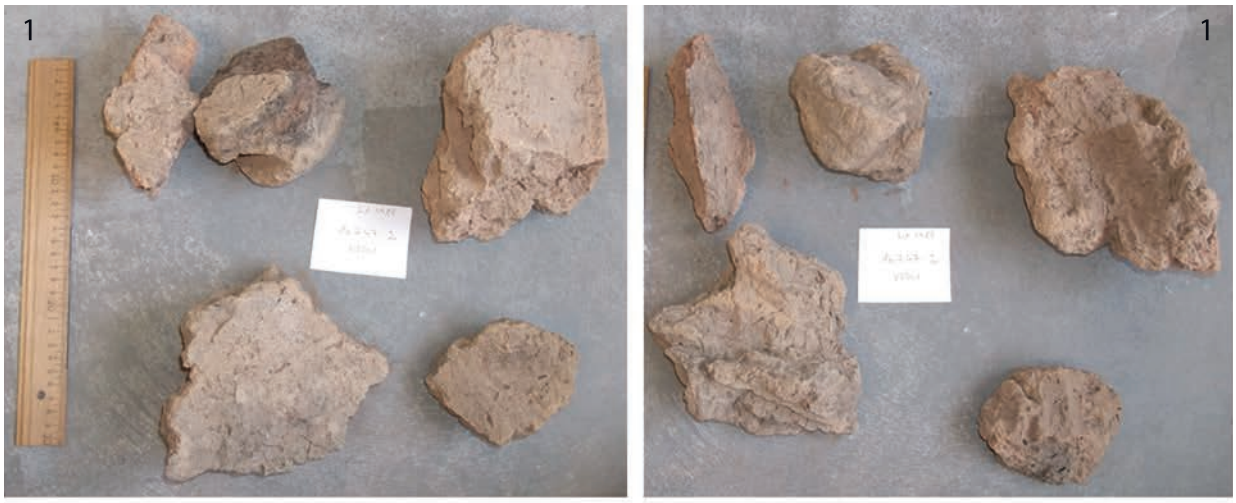


4
St. 16741.1 (V5001)



5
St. 16741.4 (V5001)

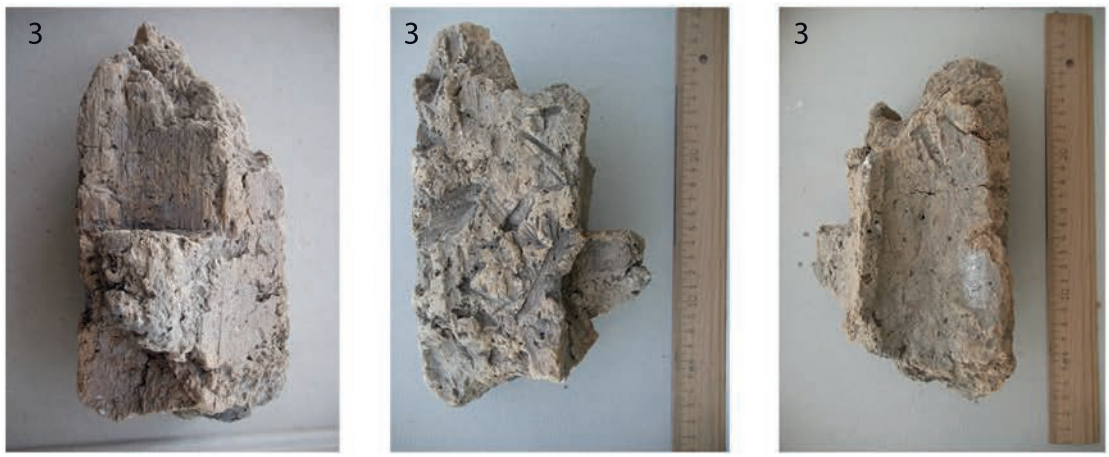
Tafel 64: 1. V5000: „Spielstein“, Dm. 5,5 cm, sekundär gebrannt, FNr. St. 16022.1 (Sign. 20000). – 2. V5000: Reibplattenfragment (Granit) mit Feuereinwirkung, FNr. St. 16018.6 (Sign. 2000–20005). – 3. V5000: plattenförmiger Stein, Ballensteiner Kalk; Reibplatte? Feuereinwirkung? FNr. St. 16018.5 (Sign. 2000–20005). – 4. V5001: stark sekundär gebrannte Schale, FNr. St. 16741.1 (Sign. 20012). – 5. V5001: Gefäßunterteil mit Schmauchfleck, FNr. St. 16741.4 (Sign. 20012).



1
St. 16747.2 (V5001)

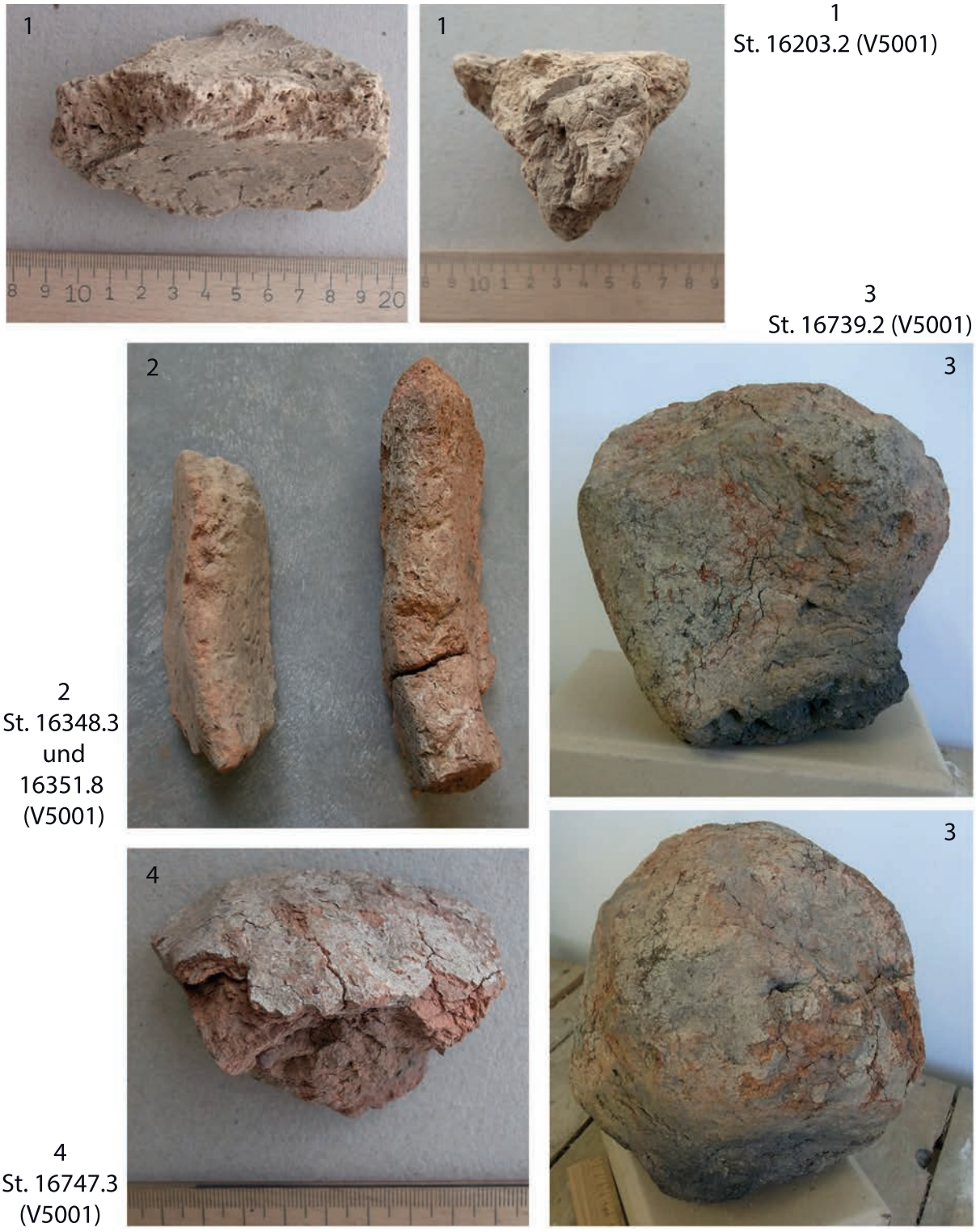


2
St. 16747.2 (V5001)



3
St. 16216.1 (V5001)

Tafel 65: 1. V5001: Hüttenlehm mit ebenen Schauflächen, auf der Rückseite mächtige Rutenabdrücke (links: Vorderseite, rechts: Rückseite), FNr. St. 16747.2 (Sign. 20012). – 2. V5001: Hüttenlehm mit dreieckigem Querschnitt, Rundholzabformung als Fugenverstrich von Blockbau? (links: Rückseite; rechts: ebene Vorderseite mit senkrechtem Fingerstrich), FNr. St. 16747.2 (Sign. 20012). – 3. V5001: mächtiges Hüttenlehmbruchstück mit Abdrücken vielfältiger Rauminnengestaltung, erh. L. 21 cm, FNr. St. 16216.1 (Sign. 20014).



Tafel 66: 1. V5001: Hüttenlehm mit dreieckigem Querschnitt (Rundholzabformung, Rückseite und Querschnitt), FNr. St. 16203.2 (Aushub). – 2. V5001: längliche, gebrannte Lehmobjekte/Architekturteile(?), beide mit schwacher Wölbung nach rechts, FNr. St. 16348.3 (links) und St. 16351.8 (rechts; Sign. 20012). – 3. V5001: großer Tonballen („Tonkopf"), Seitenansicht und Ansicht von oben, Umfang 60 cm, FNr. St. 16739.2 (Sign. 20012). – 4. V5001: gebrannter Klumpen mit weißlicher Oberfläche, FNr. St. 16747.3 (Sign. 20012).



Tafel 67: V5001: längliches, gebranntes Lehmobjekt/schuhleistenförmiger Architekturteil(?), im Profil von vorne (ganz unten) ist das erhaltene, spitze Ende zu sehen, FNr. St. 16351.8 (Sign. 20012).



Tafel 68: V5001: längliches, gebranntes Lehmobjekt/schuhleistenförmiger Architekturteil(?), sehr gut ist der (Holz?) Abdruck an der Unterseite (Auflagefläche) zu erkennen, FNr. St. 16371.1 (Sign. 20012).



Tafel 69: V5001: längliches, gebranntes Lehmobjekt/schuhleistenförmiger Architekturteil(?), an der glatten Unterseite (Auflagefläche) zeigen sich schwache Abdrücke von Holzbrettern oder Ähnlichem, FNr. St. 16371.2 (Sign. 20012).



1
St. 16747.4 (V5001)



2
St. 16382.1 (V5001)



3
St. 16696.1 (V5001)



4
St. 16744.1 (V5001)



5
St. 16738.1
(V5001)

Tafel 70: 1. V5001: Lochtennenbruchstück? Draufsicht und Seitenansicht, FNr. St. 16747.4 (Sign. 20012). – 2. V5001: verkohltes Getreide, hauptsächlich Dinkel, FNr. St. 16382.1 (Sign. 20011). – 3. V5001: zum Teil klumpenförmig verbundene, verkohlte Echt-Rispenhirse, FNr. St. 16696.1 (Sign. 20012). – 4. V5001: zerbrochene Reibplatte (Granit, Feuereinwirkung), FNr. St. 16744.1 (Sign. 20011– 20012). – 5. V5001: Bronzepfeilspitze, FNr. St. 16738.1 (Sign. 20012).



1
St. 16681.1 (V5003)







4
St. 16640.6 (V5003)

2
St. 16609.2 (V5003)





3
St. 16530.2 (V5003)



5
St. 16686.1 (V5003)

Tafel 71: 1. V5003: grob geformtes Miniaturkegelhalsgefäß, FNr. St. 16681.1 (Sign. 20017). – 2. V5003: Kegelhalsgefäß, FNr. St. 16609.2 (Sign. 20018). – 3. V5003: vollständiger Tonring, FNr. St. 16530.2 (Sign. 20023; Foto F. Ostmann, OREA/ÖAW). – 4. V5003: (Hüttenlehm-)Bruchstücke mit D-förmigem Querschnitt, FNr. St. 16640.6 (Sign. 20024). – 5. V5003: schlackenartiges Material, L. des größten Stücks 4,5 cm, FNr. St. 16686.1 (Sign. 20018).



1
St. 16907.3 (V5004)



2
St. 16908.1 (V5004)



3
St. 16884.1 (V5004)



4
St. 17099.1 (V5005)





5
St. 17100.2 (V5005)

6
St. 17097.6 (V5005)



Tafel 72: 1. V5004: Vorratstopf, Randbereich sekundär gebrannt, FNr. St. 16907.3 (Sign. 20028 bis 20025). – 2. V5004: vollständiger Tonring, FNr. St. 16908.1 (Sign. 20028 bis 20025, Foto F. Ostmann, OREA/ÖAW). – 3. V5004: Bruchstück von Reibplatte (Unterlieger) mit erhaltener Reibfläche und Seitenkante, Granit, FNr. St. 16884.1 (Schichtzuordnung unsicher). – 4. V5005: abgesägtes Geweihstangenstück, FNr. St. 17099.1 (Sign. Sign. 20037, Foto: F. Ostmann, OREA/ÖAW). – 5. V5005: feinkeramischer Gefäßscherben mit Rädchenabrollung, FNr. St. 17100.2 (Sign. 20037). – 6. V5005: Geweihstangenstück (Abfall?) mit tiefer Sägespur, FNr. St. 17097.6 (Sign. 20037–20039).



1
St. 17099.2 (V5005)





2
St. 17033.1 (V5005)



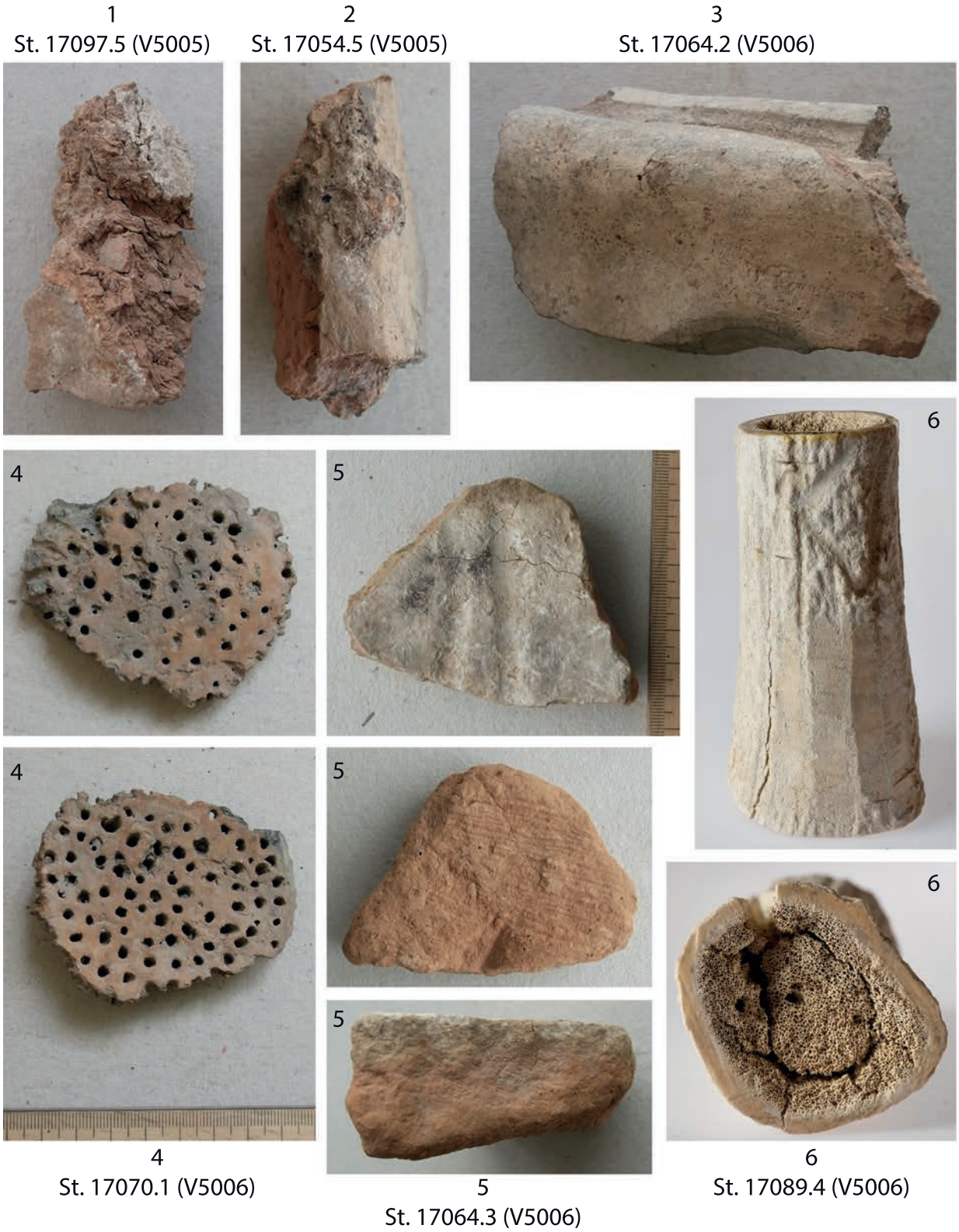




3
St.17092.6 (V5005)

4
St. 17038.2 (V5005)

Tafel 73: 1. V5005: abgehacktes Geweihstangenstück mit Schnittspuren, FNr. St. 17099.2 (Sign. 20037, Fotos F. Ostmann, OREA/ ÖAW). – 2. V5005: Gussformbruchstück aus Sandstein für ein Tüllenbeil mit starken Hitzespuren, FNr. St. 17033.1 (Sign. 20042–20043, Foto F. Ostmann, OREA/ÖAW). – 3. V5005: Bruchstück von Feuerbock mit Resten weißer Oberflächenbemalung, FNr. St. 17092.6 (Sign. 20039–20041). – 4. V5005: Steinposten aus Sign. 20042 mit plattigen Sandsteinen, einem Reibplattenbruchstück und Quarzitknollenfragment (FNr. St. 17038.2).



Tafel 74: 1. V5005: Bruchstück von Feuerbock mit Keramikbruchmagerung, FNr. St. 17097.5 (Sign. 20037–20039). – 2. V5005: Bruchstück von Feuerbock mit Schlackespuren von Brandeinwirkung auf der Oberfläche, FNr. St. 17054.5 (Sign. 20039–20041). – 3. V5006: Feuerbockbruchstück mit Rille am Rücken und Dellenzier auf Schaufläche, weiß bemalt, FNr. St. 17064.2 (Sign. 20045–20046). – 4. V5006: Bodenbruchstück von Siebgefäß, zu „Spielstein" umgeformt? FNr. St. 17070.1 (Sign. 20045–20046). – 5. V5006: Herdplattenbruchstück mit Dellenzier und weißer Bemalung, Kämmung auf Rückseite (Vorderseite, Rückseite, Seitenansicht), FNr. St. 17064.3 (Sign. 20045–20046). – 6. V5006: abgesägter Hirschgeweihstangenteil mit Schälspuren (Messer) in Längsrichtung, FNr. St. 17089.4 (Sign. 20045–20046, Foto F. Ostmann, OREA/ÖAW).



1
St. 17071.1
(V5006)



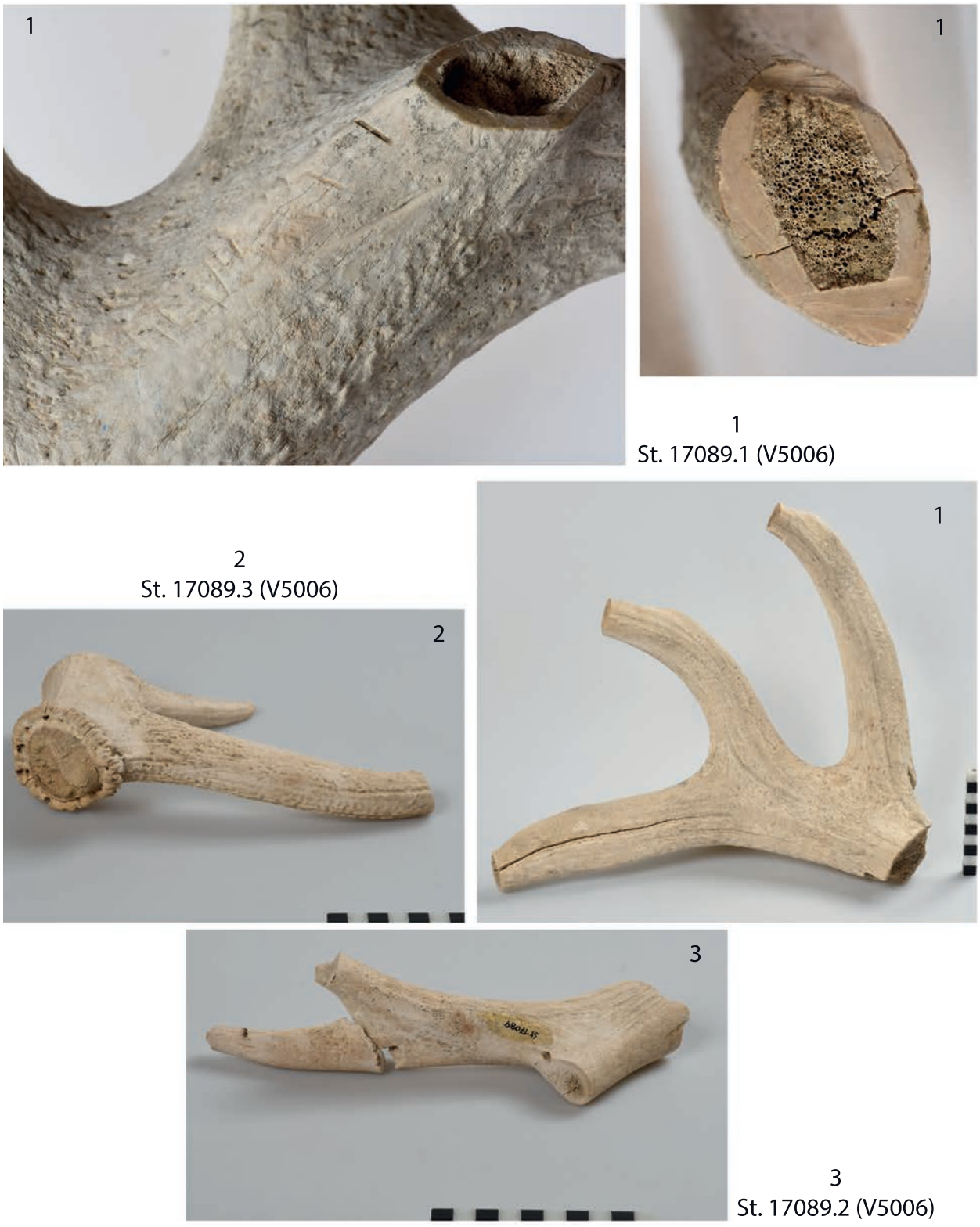




2
St. 17071.2 (V5006)



Tafel 75: 1. V5006: Geweihzwischenstück (für Doppelgerät?), Hackspuren an allen drei Enden, Schnittspuren, Oberfläche grob mit Feilspuren (in Längslinien) geglättet, FNr. St. 17071.1 (Sign. 20045–20046, Foto F. Ostmann, OREA/ÖAW). –2. V5006: vorderer Stangenteil eines Achtenders mit abgesägten Enden sowie Hack- und Schnittspuren an der Oberfläche, FNr. St. 17071.2 (Sign. 20045–20046, Foto F. Ostmann, OREA/ÖAW).



Tafel 76: 1. V5006: abgesägter vorderer Abschnitt von mächtiger Rothirschgeweihstange, Bild rechts oben: Sägespuren an der Schnittfläche, Bild links oben: Schnitt- und Hackspuren an Oberfläche, FNr. St. 17089.1 (Sign. 20045–20046, Foto F. Ostmann, OREA/ÖAW). – 2. V5006: schädelechtes Geweihstangenstück mit abgesägter Augsprosse und Eissprosse, FNr. St. 17089.3 (Sign. 20045–20046, Foto F. Ostmann, OREA/ÖAW). – 3. V5006: abgesägtes Geweihstück, FNr. St. 17089.2 (Sign. 20045–20046, Foto F. Ostmann, OREA/ÖAW).



1
St. 17066.1 (V5006)



2
St. 16078.2 (V5009)



4
St. 16078.5 (V5009)





3
St. 16078.1 (V5009)

Tafel 77: 1. V5006: abgesägtes Stück einer Geweihkrone, FNr. St. 17066.1 (Sign. 20045–20046, Foto F. Ostmann, OREA/ÖAW). – 2. V5009: Bruchstücke einer fein polierten, großen Henkelschale, FNr. St. 16078.2. – 3. V5009: Oberteil von pyramidenstumpfförmigem Webgewicht mit schräger Lochung, FNr. St. 16078.1. – 4. V5009: große Hüttenlehmbrocken mit ebenen Schauflächen und Rutenabdrücken an der Rückseite, FNr. St. 16078.5 (2–4: Sign. 20006–20010).



1
St. 10512.1 (V5200)

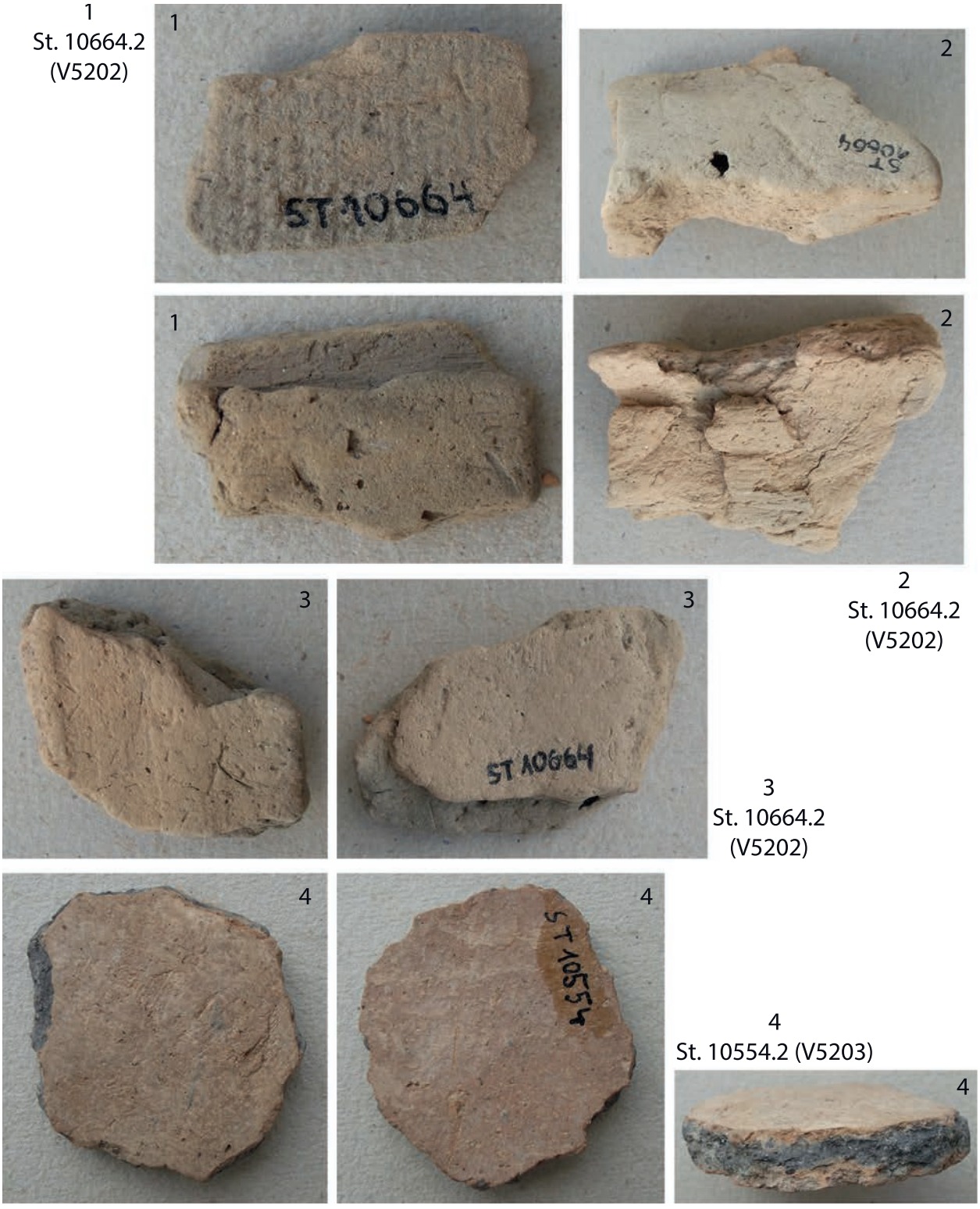


2
St. 10843.1
(V5200)



3
St. 10370.2 (V5201)

Tafel 78: 1. V5200: Tondüsenbruchstück mit Fingertupfenleisten, FNr. St. 10512.1 (Sign. 21001). – 2. V5200: oberer Teil einer Tonrassel, FNr. St. 10843.1 (Sign. 21001). – 3. V5201: durchbohrter Eberzahn mit Schnittspur, FNr. St. 10370.2 (Sign. 21008).



Tafel 79: 1–3. V5202: plattenförmige Lehmstücke mit einer oder mehreren erhaltenen Oberflächen, FNr. St. 10664.2; 1: mit Mattenabdrücken, L. 4 cm; 2: Maße: 8 × 5 × 2,5 cm; 3: L. 6,5 cm. – 4. V5203: Wandscherben, wohl sekundär als „Spielstein“ herausgearbeitet, FNr. St. 10554.2 (Sign. 21020).



1
St. 10520.1 (V5203)



2
St. 10565.4
(V5203)



4
St. 10570.1
(V5204/
V5205)



3
St. 10564.2 (V5203)



Tafel 80: 1: V5203: Knochenpfriem, FNr. St. 10520.1. – 2. V5203: große Hüttenlehmbrocken mit Rutenabdrücken und einmal mit Rundholzabdruck, FNr. St. 10565.4 (Sign. 21020). – 3. V5203: scheibenförmiges Webgewichtbruchstück, FNr. St. 10564.2 (Sign. 21020). – 4. V5204 oder V5205: abgebrochener Rinderhornzapfen mit Feuereinwirkung, FNr. St. 10570.2.



1
St. 12051.1
(V5400)



2
St. 12051.1 (V5400)



3
St. 12049.1
(V5400)

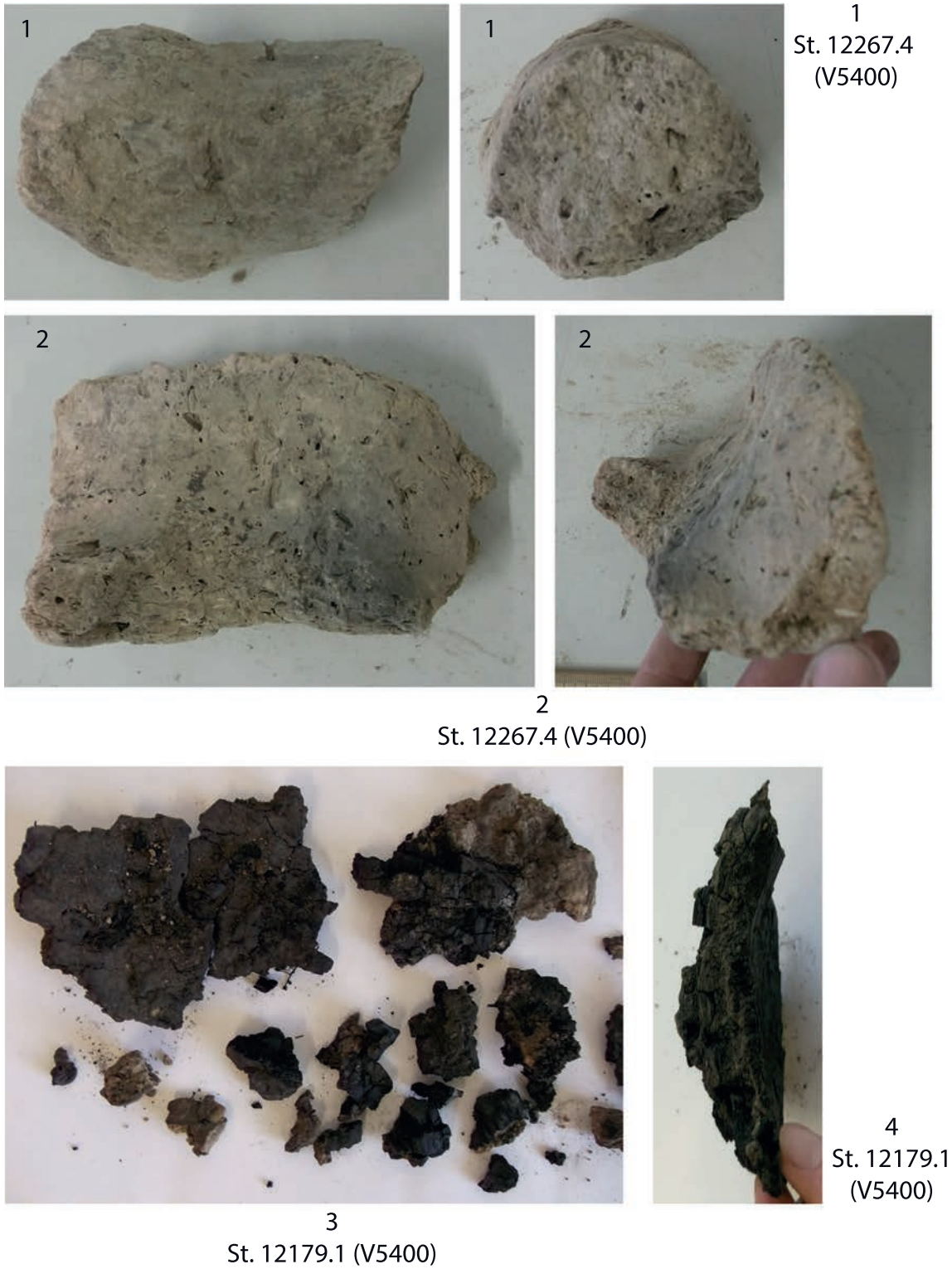


4
St. 12267.2 (V5400)



5
St. 12049.11

Tafel 81: 1–2. V5400: längshalbiertes Kegelhalsgefäß (1: Detail, Boden vermutlich absichtsvoll entfernt), FNr. St. 12051.1 (Sign. 20501–20502). – 3. V5400: keramische Sonderform: Stempel? FNr. St. 12049.1 (Sign. 20501). – 4. V5400: Hüttenlehm mit Abdrücken von Ruten, zylindrisch (Mittelstücke), FNr. St. 12267.2. – 5: V5400: längliche, gebrannte Lehmobjekte/Architekturteile(?) mit D-förmigem Querschnitt, FNr. St. 12049.11 (Sign. 20501).



Tafel 82: 1. V5400: längliches, gebranntes Lehmobjekt/Architekturteil(?) (Ansicht von oben und Querschnitt), FNr. St. 12267.4. – 2. V5400: längliches, gebranntes Lehmobjekt/Architekturteil(?) (Ansicht von oben und Seite), FNr. St. 12267.4. – 3–4. V5400: verkohltes Holzbrettfragment(?) mit anhaftendem Lehm (4: Querschnitt), FNr. St. 12179.1 (Sign. 20500).



Tafel 83: 1. V5400: unvollständige Reibplatte (Unterlieger?), Granit, mit Feuereinwirkung, erh. L. 16,5 cm, max. B. 34,5 cm, H. 7,5 cm, FNr. St. 12260.5, Sign. 20501?

Liste der Autorinnen und Autoren

Benedikt Biederer
Bayerisches Landesamt für Denkmalpflege
D-93055 Regensburg, Adolf-Schmetzer-Straße 1
Benedikt.Biederer@blfd.bayern.de
Benedikt.Biederer@gmail.com

Monika Griebl
Österreichische Akademie der Wissenschaften
Österreichisches Archäologisches Institut
Abteilung Prähistorie & Westasien-/Nordostafrika-Archäologie
A-1020 Wien, Hollandstraße 11–13
Monika.Griebl@oeaw.ac.at
M.Griebl@hotmail.com

Beiträge von:
Hubert Feiglstorfer (Beiträge in Kap. 3.1.4.2 und Kap. 3.1.5.1)
Österreichische Akademie der Wissenschaften
Institut für Sozialanthropologie
A-1020 Wien, Hollandstraße 11–13
Hubert.Feiglstorfer@oeaw.ac.at

Andreas G. Heiss (Kap. 3.8)
Österreichische Akademie der Wissenschaften
Österreichisches Archäologisches Institut
Abteilung Historische Archäologie
A-1190 Wien, Franz-Klein-Gasse 1
Andreas.Heiss@oeaw.ac.at

Anna-Maria Kriechbaum (Kap. 5)
Universität für Bodenkultur Wien
Institut für Analytische Chemie
VIRIS Labor
A-3430 Tulln, Konrad-Lorenz-Straße 24
Annamaria_Kriechbaum@yahoo.de

Maria Marschler (Kap. 4)
Naturhistorisches Museum Wien
Anthropologische Abteilung
A-1010 Wien, Burgring 7
Maria.Marschler@nhm-wien.ac.at

Roland Meingast (Beitrag in Kap. 3.1.4.2)
Lopas GmbH (Architektur mit Lehmbaustoffen)
A-2523 Tattendorf, Oberwaltersdorfer Straße 2c
Roland.Meingast@lopas.at

Michaela Popovtschak (Kap. 3.7.7)
A-1080 Wien, Laudongasse 69
Michaela.Popovtschak@aon.at

Thomas Prohaska (Kap. 5)
Montanuniversität Leoben
A-8700 Leoben, Franz-Josef-Straße 18
Thomas.Prohaska@unileoben.ac.at

Anika Retzmann (Kap. 5)
Montanuniversität Leoben
A-8700 Leoben, Franz-Josef-Straße 18
Anika.Retzmann@bam.de

Konstantina Saliari (Kap. 3.6)
Naturhistorisches Museum Wien
Zoologische Abteilung (Wirbeltiere)
A-1010 Wien, Burgring 7
Konstantina.Saliari@nhm-wien.ac.at

Karin Wiltschke-Schrotta (Kap. 4)
Naturhistorisches Museum Wien
Anthropologische Abteilung
A-1010 Wien, Burgring 7
Karin.Wiltschke@nhm-wien.ac.at

Die Bedeutung des befestigten, späturnenfelderzeitlichen „Zentralortes“ Stillfried an der March (1000–800 v. Chr.) begründet sich in der herausragenden Lage auf einem Löß-Plateau über dem Fluss March, wo sich zwei wichtige Handelswege kreuzten.

Im Hinblick auf die Organisation eines solchen politischen, wirtschaftlichen und religiösen Mittelpunktortes wird die kennzeichnende Befundgruppe der kegelstumpfförmigen Gruben einer vergleichenden Untersuchung unterzogen. Die systematische Betrachtung der insgesamt 94 Gruben, die unter Fritz Felgenhauer zwischen 1969 und 1989 ergraben wurden, brachte Hinweise auf deren Erstnutzung als Getreidespeicher. Unterschiedliche ethnologische Modelle der Vorratshaltung werden vorgestellt und ihre Übertragbarkeit auf die archäologischen Befunde von Stillfried geprüft.

Grundlage dieser Studie ist die Erfassung der Gruben in ihrer Gesamtheit. Dazu zählen Spuren von Wandverputz und Abdrücke von Steigbäumen genauso wie die genaue Dokumentation der letztendlich angetroffenen Verfüllungsschichten und möglicher späterer Eingriffe. Die Gruben enthielten kaum Siedlungsmüll, dafür aber auffällig viele bemerkenswerte Funde (z. B. halbierte Keramikgefäße, Mahlsteine, Skelette von abgelegten Wild- und Haustieren, Überreste menschlicher Körper). Dieses einheitliche Bild spricht für vorgeschriebene Regeln beim Auflassen der wertvollen Speicher und wird von verschiedenen Gesichtspunkten aus erörtert und diskutiert.

In einem ausführlichen Katalog am Ende des Bandes werden sämtliche Gruben in einer standardisierten Darstellungsweise vorgelegt.

ISBN 978-3-7001-8734-9

9 783700 187349

Made in Europe